



ThoriumSoftware d.o.o.

Mobile: +385 (0) 95 8 70 50 70
Kontakt: Dario Ilija Rendulić
Email:
info@thoriumsoftware.eu;
direndulic@gmail.com



Pravilnik o načinu izrade i sadržaju karata buke i akcijskih planova te o načinu izračuna dopuštenih indikatora buke

- izvorni tekst s izmjenama i dopunama -

(NN 75/09, NN 60/16, NN 117/18 i NN 146/21; stupio na snagu 31.12.2021.)

Legenda:

Tekst: dio pravilnika koji ostaje nepromijenjen (NN 75/09, NN 60/16, NN 117/18)

~~Tekst: dio pravilnika koji se briše (NN 146/21)~~

Tekst: dio pravilnika koji se uvodi (NN 146/21)

SADRŽAJ:

Članak 1	5
Članak 1.a	5
Članak 2	5
Članak 3	6
Članak 4	6
Članak 5	6
Članak 6	6
Članak 7	7
Članak 8	7
Članak 9	8
Članak 10	8
Članak 11	8
Članak 12	9
Članak 13	9
Članak 14	10
Članak 15	10
Članak 16	11
Članak 17	11
Članak 18	12
Članak 19	12
Članak 20	12
Članak 21	12
Članak 22	14
Članak 24	15
Članak 25	16
Članak 26	16
Članak 27	16
Članak 27. a	16
Članak 28	17
Članak 29	18
Članak 30	18
Članak 31	18
Članak 32	19
Članak 33	19
Članak 34	19
PRIJELAZNE I ZAVRŠNE ODREDBE iz NN 60/16.....	20
Članak 25	20

Članak 26	20
PRIJELAZNE I ZAVRŠNE ODREDBE iz NN 117/18.....	20
Članak 16.	20
Članak 17.	20
Članak 9. iz NN 146/21	21
PRILOG I.....	21
INDIKATORI BUKE I POLOŽAJ OCJENSKIH TOČAKA.....	21
PRILOG II.....	23
METODE OCJENE ZA INDIKATORE BUKE	23
1. Uvod	23
2. Zajedničke metode ocjene buke	23
Dodatak A	150
ZAHTJEVI U POGLEDU PODATAKA.....	150
Dodatak B	155
IZRAČUNI PERFORMANSI LETA.....	155
Dodatak C	172
MODELIRANJE BOČNE RASPRŠENOSTI TLOCRTA PUTANJE.....	172
Dodatak D	175
PONOVNI IZRAČUN NPD PODATAKA ZA NEREFERENTNE UVJETE	175
Dodatak E	178
Dodatak F.....	182
BAZA PODATAKA ZA IZVORE BUKE CESTOVNOG PROMETA	182
Dodatak G	195
BAZA PODATAKA ZA IZVORE BUKE PRUŽNOG PROMETA	195
Prilog H	215
PRILOG III.....	947
PRILOG III.....	950
PRILOG V.....	953
PODACI KOJI SE DOSTAVLJaju EUROPSKOJ KOMISIJI	953

NAPOMENA: sljedeću izmjenu definiranu ovim pravilnikom (NN 146/21, članak 7) nismo uspjeli pronaći te je nismo sprovedli. Ukoliko uočite gdje treba provesti izmjenu, javite nam i svi ćemo Vam biti zahvalni! 😊



ThoriumSoftware d.o.o.

Mobile: +385 (0) 95 8 70 50 70
Kontakt: Dario Ilija Rendulić
Email:
info@thoriumsoftware.eu;
direndulic@gmail.com

Izmjena koju nismo našli:

U tablici I-2, reci pod brojem 737700 i 737800 u stupcu „AIRCFTID“ mijenjaju se i glase:

„73770	Boeing 737- 700/CFM5 6-7B24	Mlaz ni	2Veli ki	Komercijal	154 5 00	129 2 00	4 44 5	24 00 0	3CF567 B	CN T (lb)	20 6	10 4	Krilo
73780	Boeing 737-800 / CFM56- 7B26	Mlaz ni	2Veli ki	Komercijal	174 2 00	146 3 00	5 43 5	26 30 0	3CF567 B	CN T (lb)	20 6	10 4	”

Članak 1.

Ovim Pravilnikom uređuje se način izrade i sadržaj karata buke i akcijskih planova te način izračuna dopuštenih indikatora buke.

Članak 1.a

~~Ovim se Pravilnikom u pravni poredak Republike Hrvatske prenosi Direktiva 2002/49/EZ Europskoga parlamenta i Vijeća od 25. lipnja 2002. godine o procjeni i upravljanju bukom okoliša i Izjava Komisije u Odboru za mirenje o Direktivi o procjeni i upravljanju bukom okoliša (SL 189, 18. 7. 2002.), Direktiva Komisije (EU) 2015/996 od 19. svibnja 2015. o uspostavi zajedničkih metoda ocjene buke u skladu s Direktivom 2002/49/EZ Europskog parlamenta i Vijeća (SL 168/1, 1. 7. 2015.) i Ispravak Direktive Komisije (EU) 2015/996 od 19. svibnja 2015. o uspostavi zajedničkih metoda ocjene buke u skladu s Direktivom 2002/49/EZ Europskog parlamenta i Vijeća (Službeni list Europske unije L 168 od 1. srpnja 2015.) (SL 5, 10. 1. 2018.).~~

Ovim Pravilnikom u hrvatsko zakonodavstvo preuzima se Direktiva 2002/49/EZ Europskoga parlamenta i Vijeća od 25. lipnja 2002. godine o procjeni i upravljanju bukom okoliša (SL L 189, 18. 7. 2002.), kako je posljednji put izmijenjena Delegiranim direktivom Komisije (EU) 2021/1226 od 21. prosinca 2020. o izmjeni, u svrhu prilagodbe znanstvenom i tehničkom napretku, Priloga II. Direktivi 2002/49/EZ Europskog parlamenta i Vijeća u pogledu zajedničkih metoda ocjene buke (SL L 269, 28. 7. 2021.).

Članak 2.

Za izradu strateških karata buke koristi se indikator buke za razdoblje »dan-večer-noć« L_{den} i indikator za razdoblje »noć« L_{night} izraženi u dB(A). Indikatori buke i položaj ocjenskih točaka indikatora određuju se sukladno Prilogu I. koji je otisnut uz ovaj Pravilnik i čini njegov sastavni dio.

Za akustičko planiranje i određivanje područja zaštite od buke pored indikatora buke navedenih u stavku 1. ovoga članka koristi se i indikator buke za razdoblje »dan« L_{day} i indikator buke za razdoblje »večer« $L_{evening}$.

Članak 3.

Osim indikatora buke L_{den} , L_{night} , L_{day} i $L_{evening}$ u cilju utvrđivanja posebnih uvjeta korištenja prostora, kao i posebnosti izvora buke koriste se posebni indikatori buke i s njima povezane granične vrijednosti i to:

- kada promatrani izvor buke djeluje samo kratko vrijeme (npr. manje od 20% vremena od ukupnih razdoblja »dan« jedne godine, ukupnih razdoblja »večer« jedne godine ili ukupnih razdoblja »noć« jedne godine)
- kada je prosječan broj događaja buke u jednom ili više razdoblja vrlo mali (npr. manje od jednog bučnog događaja na sat), pri čemu je događaj defi niran kao buka trajanja kraćeg od 5 minuta (npr. buka od prolaska vlaka ili preleta zrakoplova)
- kada se radi o buci koja sadrži istaknutu niskofrekvenčnu komponentu
- indikatori LA_{max} ili razina izloženosti zvuku L_E (SEL) pri razmatranju istaknutih pojedinačnih vršnih vrijednosti buke
- kada je potrebna posebna zaštita od buke vikendom ili u određenim dijelovima godine
- kada je potrebna posebna zaštita u razdoblju »dan«
- kada je potrebna posebna zaštita u razdoblju »večer«
- kada se ocjenjuje ukupna buka iz različitih izvora
- kada se radi o tihim područjima u prirodi i/ili izvan naseljenih područja
- kada se radi o buci koja sadrži istaknute tonove
- kada se radi o buci koja sadrži impulse.

Članak 4.

U postupku određivanja ocjenske vrijednosti indikatora buke izrađenih pomoću računalnih metoda navedenih u članku 6. ovoga Pravilnika razmatra se isključivo upadni zvuk.

Članak 5.

Vrijednosti indikatora buke L_{den} i indikatora buke L_{night} određuju se proračunom ili mjeranjem na mjestu ocjene.

Kod predviđanja vrijednosti indikatora buke primjenjuje se isključivo proračun računalnim metodama iz članka 6. ovoga Pravilnika.

Članak 6.

Računalne metode proračuna i ocjene buke okoliša jesu metode koje su navedene u Prilogu II. koji je u Dodatku ovoga Pravilnika i čini njegov sastavni dio.

Članak 7.

~~Za određivanje štetnog učinka na stanovništvo mora se upotrebljavati odnos doza učinak buke.~~

~~Ocjena odnosa doza učinak buke mora biti prikazana:~~

- ~~– odnosom između smetanja bukom i indikatora buke L_{den} za cestovni, željeznički, zračni promet i za buku industrijskih pogona i postrojenja~~
- ~~– odnosom između poremećaja sna izazvanog bukom i indikatora buke L_{night} za cestovni, željeznički, zračni promet i za buku industrije~~

~~Za detaljnije karte buke posebni odnosi doza učinak buke predstavljaju se sa:~~

- ~~– brojem stambenih jedinica za stalno stanovanje s posebnom zvučnom izolacijom,~~
- ~~– brojem stambenih jedinica za stalno stanovanje s tihom fasadom,~~
- ~~– različitim meteorološkim prilikama,~~
- ~~– različitim socio-kulturološkim navikama,~~
- ~~– stanovništvom posebno osjetljivim na buku,~~
- ~~– tonalnom i impulsnom komponentom buke industrije.~~

Za određivanje štetnog učinka na stanovništvo mora se upotrebljavati odnos doza-učinak buke, a kako je navedeno u Prilogu III. u Dodatku ovoga Pravilnika.

Članak 8.

Karta buke kao osnovni element sustava zaštite od buke jest podloga za međusobnu suradnju svih sudionika na provođenju zaštite od buke prilikom:

- ~~– izrade strateške procjene utjecaja na okoliš,~~
- ~~– izrade procjena o utjecaju na okoliš,~~
- ~~– izrade prostornih planova,~~
- ~~– određivanja lokacijskih uvjeta,~~
- ~~– određivanja posebnih uvjeta gradnje građevina u smislu zaštite od buke,~~

- određivanja granica tihih zona,
- utvrđivanja zona osjetljivosti na buku,
- određivanja broja stanovnika izloženih prekomjernim razinama buke,
- praćenja broja stambenih jedinica za stalno stanovanje izloženih prekomjernim razinama buke,
- praćenja broja stambenih jedinica za stalno stanovanje s posebnom zvučnom izolacijom,
- izrade akcijskih planova za područja na kojima je u karti buke utvrđeno prekomjerno izlaganje stanovništva određenim razinama buke.

Članak 9.

Strateške karte buke su karte buke koje obuhvaćaju samo jedan određeni izvor buke tj. cestovni, željeznički, zračni promet i industrijskih pogona i postrojenja, uključujući i pomorski i riječni promet zajedno s pripadajućom infrastrukturom te objekte za šport i rekreatiju itd.

Strateška karta buke izrađuje se za vremenska razdoblja 'noć' i 'dan-večer-noć'.

Karta buke izrađuje se za vremenska razdoblja 'dan', 'večer', 'noć' i 'dan-večer-noć'.

Članak 10.

Strateška karta buke odražava stanje razina buke u kalendarskoj godini koja prethodi godini izrade strateške karte buke.

Strateška karta buke i akcijski plan upravljanja bukom uskladjuju se trajno s izmjenama u prostoru, a obvezno se izrađuju svakih 5 godina za kalendarske godine određene propisima kojima je uređeno područje zaštite od buke.

Članak 11.

Strateška karta buke izrađuje se pomoću validiranih računalnih programa.

Računalni program iz stavka 1. ovoga članka mora omogućavati proračun razina buke pomoću računalnih metoda navedenih u Prilogu II. koji je u Dodatku ovoga Pravilnika i čini njegov sastavni dio i mora biti izrađen u skladu sa zahtjevima norme DIN 45687 »Akustika – Programska podrška za izračun širenja zvuka na otvorenom – Zahtjevi kvalitete i uvjeti

ispitivanja« i/ili norme ISO 17534 »Akustika – Programska podrška za izračun širenja zvuka na otvorenom.

Članak 12.

Strateška karta buke upotrebljava se prvenstveno kao:

- izvor podataka koje treba slati nadležnome tijelu iz članka 28. ovoga Pravilnika,
- izvor podataka za informiranje javnosti,
- osnova za akcijske planove u skladu sa članka 30. ovoga Pravilnika.

Primjena strateške karte buke iz stavka 1. ovoga članka zahtjeva izradu različite vrste strateške karte buke.

U svrhu informiranja javnosti u skladu s člankom 26. ovoga Pravilnika i izradom akcijskih planova u skladu sa člankom 30. ovoga Pravilnika mora biti predočeno:

- grafički prikazi indikatora buke L_{night} odnosno L_{den} ,
- karte koje prikazuju područja s prekoračenjem dopuštenih vrijednosti za minimalno razdoblje »noć«,
- razlikovne karte u kojima je postojeće stanje uspoređeno s različitim mogućim budućim situacijama,
- karte koje prikazuju vrijednosti indikatora buke na visinama različitim od 4 metra, gdje je to prikladno.

Članak 13.

Strateška karta buke sadrži najmanje:

- postojeće, prethodno ili predviđeno stanje buke izraženo indikatorom buke iz članka 2. ovoga Pravilnika,
- prekoračenje dopuštenih razina buke,
- procijenjeni broj stambenih jedinica za stalno stanovanje, škola, bolnica i zgrada sličnih namjena u nekom području koji su izloženi određenim vrijednostima indikatora buke,
- procijenjeni broj ljudi na nekom području izloženom buci.

Strateške karte buke prikazuju se javnosti na jedan ili više sljedećih načina u elektroničkom i/ili tiskanom obliku:

- grafički prikaz u obliku mrežnih GIS preglednika
- brojčani podaci u tablicama
- brojčani podaci u elektroničkom obliku.

Članak 14.

U slučaju nepostojanja realnog podatka potrebnog za izradu strateške karte buke ili akcijskog plana, kao izvor zamjenskih podataka rabi se posljednje izdanje dokumenta Europske komisije »Radna skupina za ocjenu izloženosti buci – Polazne osnove – Vodič kroz dobru stručnu praksu izrade strateških karata buke i s njima povezanih podataka o izloženosti buci« (eng. »European Commission Working Group Assessment of Exposure to Noise (WG-AEN) – Position Paper – Good Practice Guide for Strategic Noise Mapping and the Production of Associated Data on Noise Exposure«), dostupno na: https://www.lfu.bayern.de/laerm/eg_umgebungslaermrichtlinie/doc/good_practice_guide_2007.pdf.

Za primjenu Priloga II. ovoga Pravilnika potrebno je koristiti posljednje izdanje dokumenta Europske komisije »Zajedničke metode ocjene buke u Europi (CNOSSOS-EU)« (eng. »Common Noise Assessment Methods in Europe (CNOSSOS-EU)«), dostupno na: <https://ec.europa.eu/jrc/en/publication/reference-reports/common-noise-assessment-methods-europe-cnossos-eu>, kao i buduće dokumente Europske komisije o primjeni metode CNOSSOS-EU.

Za korištenje dokumenata iz stavaka 1. i 2. ovoga članka naručitelj izrade strateške karte buke ili akcijskog plana mora biti upoznat i suglasan s uvjetima uporabe zamjenskih podataka.

Korištenje dokumenata iz stavaka 1. i 2. ovoga članka mora biti evidentirano te se detaljne informacije o njihovom korištenju moraju dostaviti ministarstvu u okviru završnih elaborata strateške karte buke i/ili akcijskog plana upravljanja bukom.

Članak 15.

Obveznici izrade karata buke osiguravaju trodimenzionalni digitalan model područja izrade karte buke.

Digitalan model područja izrade iz stavka 1. ovoga članka mora sadržavati:

- relativan međuodnos visinskih točaka s najvećom mogućom dostupnom točnošću, ali ne lošijom od 1,5 metara,
- prijelomnice, linije oblika i visinske točke,
- sve građevine i vrste pokrova terena.

Svi korišteni podaci za izradu digitalnoga modela područja karata buke navode se u tekstualnome dijelu karte buke s točnim navodom izvora podataka kao i godinom izrade podataka.

Članak 16.

Strateška karta buka naseljenih područja mora obuhvatiti buku koju emitira:

- cestovni promet
- željeznički promet
- zračne luke
- industrijska područja, uključujući pomorski i riječni promet i luke.

Članak 17.

Za potrebe izrade strateške karte buke cestovnog prometa naseljenih područja obuhvaćaju se najmanje sve ceste s više od 3.000.000 prolaza vozila godišnje, a koje uključuju javne (autoceste, državne, županijske i lokalne ceste) i nerazvrstane ceste.

Za izradu strateške karte buke cestovnog prometa naseljenih područja upotrebljavaju se službeni podaci pravnih osoba koje upravljaju javnim cestama.

Za potrebe izrade strateške karte buke željezničkog prometa upotrebljavaju se službeni podaci Hrvatskih željeznica.

Ako ne postoje službeni podaci o cestovnom prometu i/ili željezničkom prometu, upotrebljavaju se zamjenski podaci iz članka 14. ovoga Pravilnika.

Članak 18.

Za potrebe izrade strateške karte buke zračnog prometa unutar naseljenih područja upotrebljavaju se službeni podaci trgovačkih društava koji upravljaju zračnom lukom s više od 50.000 operacija (uzljetanja ili slijetanja) godišnje.

Strateška karta buke naseljenih područja sadrži najmanje karte buke industrijskih pogona i postrojenja za koje se prema posebnim propisima iz područja zaštite okoliša pribavlja rješenje o objedinjenim uvjetima zaštite okoliša i okolišnim dozvolama, odnosno rješenje o prihvatljivosti zahvata za okoliš.

Članak 19.

Proračun indikatora buke provodi se u rasteru ne većem od 10×10 metara na visini 4 metra iznad tla.

Proračun indikatora buke provodi se uz najmanje jednu refleksiju zvučnoga vala. U slučaju situacije »kanjonskog efekta« proračun se provodi uz primjenu odgovarajućeg broja refleksija zvučnoga vala.

Proračun indikatora buke provodi se uz korištenje dugoročne korekcije koje slijede iz relevantnih meteoroloških uvjeta promatranoga područja.

Članak 20.

Strateška karta buke sastoji se od tekstualnoga i grafičkoga dijela.

Članak 21.

Tekstualni dio strateške karte buke naseljenih područja sadrži najmanje:

1. sažet opis područja izrade karte buke (lokacija, veličina, broj stanovnika),
2. opis prethodno provedenih programa zaštite od buke i mjera koje su u tijeku,
3. računalne metode korištene za izradu strateške karte buke,
4. popis podataka s kojima je izrađen akustički model izvora buke,
5. popis meteoroloških podataka iz članka 19. stavka 3. ovoga Pravilnika,
6. procijenjeni broj ljudi (zaokruženo na najbližu stotinu) koji žive u stambenim jedinicama za stalno stanovanje koji su izloženi svakom od sljedećih razreda vrijednosti

L_{den} u dB(A) proračunate na visinu 4 metra iznad tla: 55 – 59, 60 – 64, 65 – 69, 70 – 74, > 75, na najizloženijoj fasadi odvojeno za buku od cestovnoga, pružnoga i zračnoga prometa i od industrijskih izvora, uključujući pomorski i riječni promet i luke,

7. procijenjeni ukupni broj ljudi (zaokruženo na najbližu stotinu) koji žive u stambenim jedinicama za stalno stanovanje koji su izloženi svakom od sljedećih razreda vrijednosti L_{night} u dB(A) proračunate na visinu 4 metra iznad tla: 50 – 54, 55 – 59, 60 – 64, 65 – 69, > 70, na najizloženijoj fasadi odvojeno za cestovni, pružni i zračni promet i od industrijskih izvora uključujući pomorski i riječni promet i luke.

Kada postoji dostupna informacija, potrebno je navesti koliko ljudi živi u stambenim jedinicama za stalno stanovanje u razredima indikatora buke L_{den} iz stavka 1. točke 6. ovoga članka i L_{night} iz stavka 1. točke 7. ovoga članka, koji imaju:

- posebnu zvučnu izolaciju, i/ili
- tihu fasadu.

Za podatke iz stavka 2. ovoga članka potrebno je navesti kolikom ukupnom broju ljudi pridonosi buka glavnih cesta, glavnih željezničkih pruga i glavnih zračnih luka.

Grafički dio strateške karte buke izrađuje se na preslikama odgovarajućih grafičkih dijelova prostornih planova.

~~U grafičkom dijelu prikazuju se indikatori buke u obliku krivulja istih razina buke i/ili razreda buke u koracima s međusobnim razmakom 5 dB označeni bojom navedenom u Prilogu III. Tablica 1. koji je otisnut uz ovaj Pravilnik i čini njegov sastavni dio.~~

U grafičkom dijelu strateških karata buke i akcijskih planova prikazuju se indikatori buke u obliku krivulja istih razina buke i/ili razreda buke u koracima s međusobnim razmakom 5 dB označeni bojom za prikaz ocjenskih razina buke sukladno normi DIN 45682 i važećim izdanjima.

Grafički dio strateške karte buke naseljenoga područja sadrži najmanje grafički prikaz razreda indikatora buke L_{den} 55 – 59, 60 – 64, 65 – 69, 70 – 74, > 75 dB(A).

Grafički dio strateške karte buke naseljenoga područja sadrži najmanje grafički prikaz razreda indikatora buke L_{night} 50 – 54, 55 – 59, 60 – 64, 65 – 69, > 70 dB(A).

Članak 22.

Tekstualni dio strateške karte buke glavnih cesta, glavnih željezničkih pruga i glavnih zračnih luka sadrži najmanje:

1. opći opis cesta, željeznica ili zračnih luka uključujući najmanje lokaciju, veličinu i podatke o prometu iz relevantne godine,
2. opis okoline naseljenih područja, uključujući podatke o namjeni prostora kao i druge glavne izvore buke,
3. opis prethodno provedenih programa zaštite od buke i mjera koje su u tijeku,
4. računalnu metodu korištenu za izradu strateške karte buke s opisom postavki proračuna za svaki promatrani izvor buke,
5. popis podataka s kojima je izrađen akustički model izvora buke,
6. popis meteoroloških podataka iz članka 19. stavka 3. ovoga Pravilnika,
7. procijenjeni broj ljudi koji žive u stambenim jedinicama za stalno stanovanje koji su izloženi svakom od sljedećih razreda vrijednosti indikatora L_{den} u dB(A) proračunate na visinu 4 metra iznad tla: 55 – 59, 60 – 64, 65 – 69, 70 – 74, > 75, u skladu s metodom iz Priloga II. ovoga Pravilnika,
8. procijenjeni ukupni broj ljudi koji žive u stambenim jedinicama za stalno stanovanje koji su izloženi svakom od sljedećih razreda vrijednosti indikatora L_{night} u dB(A) proračunate na visinu 4 metra iznad tla: 50 – 54, 55 – 59, 60 – 64, 65 – 69, > 70, u skladu s metodom iz Priloga II. ovoga Pravilnika,
9. ukupnu ploštinu izraženu u km² izloženu vrijednostima indikatora buke L_{den} 55 – 64, 65 – 74, i višim od 75 dB(A) proračunatim na visinu 4 metra iznad tla uključujući procijenjeni ukupan broj stambenih jedinica za stalno stanovanje i procijenjeni ukupan broj stanovnika koji žive na svakoj od navedenih ploština,
10. krivulje jednakih razina indikatora buke L_{den} od 55 i 65 dB(A) s ucrtanim položajem granica naseljenih područja,
11. sažetak akcijskih planova koji sadrži podatke iz članka 31. ovoga Pravilnika.

Kada postoji dostupna informacija, potrebno je navesti koliko ljudi živi u stambenim jedinicama za stalno stanovanje u razredima indikatora buke L_{den} iz stavka 1. točke 7. ovoga članka i L_{night} iz stavka 1. točke 8. ovoga članka, koji imaju:

- posebnu zvučnu izolaciju, i/ili
- tihu fasadu.

Grafički dio strateške karte buke izrađuje se na preslikama odgovarajućih grafičkih dijelova prostornih planova.

~~U grafičkom dijelu prikazuju se indikatori buke u obliku krivulja istih razina buke i/ili razreda buke u koracima s međusobnim razmakom 5 dB označeni bojom navedenom u Prilogu III. Tablica 1. ovoga Pravilnika.~~

U grafičkom dijelu strateških karata buke i akcijskih planova prikazuju se indikatori buke u obliku krivulja istih razina buke i/ili razreda buke u koracima s međusobnim razmakom 5 dB označeni bojom za prikaz ocjenskih razina buke sukladno normi DIN 45682 i važećim izdanjima.

Grafički dio strateške karte buke glavnih cesta, glavnih željezničkih pruga i glavnih zračnih luka sadrži najmanje grafički prikaz krivulja jednakih razina razreda indikatora buke L_{den} 55 – 59, 60 – 64, 65 – 69, 70 – 74, > 75 dB(A).

Grafički dio strateške karte buke glavnih cesta, glavnih željezničkih pruga i glavnih zračnih luka sadrži najmanje grafički prikaz krivulja jednakih razina razreda indikatora buke L_{night} 50 – 54, 55 – 59, 60 – 64, 65 – 69, > 70 dB(A).

Članak 24.

Za potrebe izrade prostorno-planske dokumentacije i za upravljanje bukom okoliša naseljenih područja, strateške karte buke nadograđuju se s kartama buke imisije od ostalih izvora buke smještenih na promatranome području kao što su parkirališta, obrti, manja industrijska postrojenja, športski sadržaji, ugostiteljski objekti, sadržaji namijenjeni za rekreaciju i slobodno vrijeme i sl.

Visina ocjenske točke indikatora buke prilagođava se namjeni izrade karte buke imisije.

Karte buke imisije iz stavka 1. ovoga članka moraju minimalno sadržavati grafički prikaz odgovarajućega indikatora buke u razredima 40 – 44, 45 – 49, 50 – 54, 55 – 59, 60 – 64, 65 – 69, > 70 dB(A).

Članak 25.

Konfliktna karta buke jest razlikovna karta buke koja se izrađuje na temelju izrađene strateške karte buke, a iz koje je vidljiva razlika između postojećeg i/ili predviđenog stanja imisije buke i dopuštenih razina buke.

Konfliktna karta buke izrađuje se računalnim metodama, pri čemu se od razina postojećega i/ili predviđenoga stanja imisije buke oduzimaju dopuštene razine buke.

~~Razlike vrijednosti razina buke prikazuju se u obliku krivulja istih razina buke i/ili razreda buke u koracima s međusobnim razmakom 3 dB označeni bojama navedenim u Prilogu III., Tablica 2. koji je otisnut uz ovaj Pravilnik i čini njegov sastavni dio.~~

Razlike vrijednosti razina buke prikazuju se u obliku krivulja istih razina buke i/ili razreda buke u koracima s međusobnim razmakom 3 dB označeni bojom za prikaz ocjenskih razina buke sukladno normi DIN 45682 i važećim izdanjima.

Članak 26.

Strateške karte buke i akcijski planovi u potpunosti moraju biti dostupni javnosti sukladno posebnim propisima koji uređuju informiranje i sudjelovanje javnosti i zainteresirane javnosti u pitanjima zaštite okoliša.

Članak 27.

Obveznici izrade strateške karte buke i akcijskog plana obvezni su provesti savjetovanje s javnošću i podatke iz strateške karte buke i akcijskog plana predstaviti javnosti raspoloživim metodama informiranja na jasan i razumljiv način.

U cilju razvoja akcijskih planova javnost mora imati mogućnost uvida u konfliktnе karte buke.

Članak 27. a

Strateška karta buke i podaci iz strateške karte buke predstavljaju se javnosti na način da obveznik izrade i ovlaštena pravna osoba koja je izradila stratešku kartu buke informira javnost o rezultatima kao i obrazloženju rješenja, smjernica i predviđenih mjera upravljanja bukom.

Konfliktna karta buke i podaci iz konfliktnе karte buke iz članka 27. stavka 2. ovoga Pravilnika predstavlja se javnosti na način da obveznik izrade i ovlaštena pravna osoba koja je izradila konfliktnu kartu buke informira javnost o dobivenim rezultatima konfliktnе karte buke.

Prijedlog akcijskog plana predstavlja se javnosti na način da obveznik izrade i ovlaštena pravna osoba koja je izradila prijedlog scenarija akcijskog plana upravljanja bukom provede jedno ili više javnih izlaganja radi informiranja javnosti i mogućnosti uvida kao i davanja prijedloga i primjedbi na prijedlog scenarija akcijskog plana. O završnoj verziji akcijskog plana javnost se obavještava.

Članak 28.

Obveznici izrade strateških karata buke i akcijskih planova dostavljaju ministarstvu nadležnom za zdravlje (u dalnjem tekstu: ministarstvo) izrađene strateške karte buke i akcijske planove s pripadajućim rezultatima u elektroničkom obliku koristeći obrasce dostupne na službenim mrežnim stranicama Europske agencije za zaštitu okoliša (EEA)-, te u skladu s Provedbenom odlukom Komisije (EU) 2021/1967 od 11. studenoga 2021. o uspostavi obveznog repozitorija podataka i obveznog mehanizma za digitalnu razmjenu informacija u skladu s Direktivom 2002/49/EZ Europskog parlamenta i Vijeća (SL L400/160, 12. 11. 2021.).

Obveznici izrade strateških karata buke i akcijskih planova dostavljaju ministarstvu rezultate proračuna strateške karte buke za indikatore L_{den} i L_{night} u izvornom ASCII rasterskom formatu u obliku jedinstvenog georeferenciranog sloja za svaki indikator buke.

Tehničke specifikacije Geografskog informacijskog sustava (GIS) kompatibilnih rezultata strateških karata buke i/ili akcijskih planova objaviti će se na mrežnom poslužitelju ministarstva.

Ministarstvo dostavlja Europskoj komisiji podatke korištene za izradu strateških karata buke i sažetke akcijskih planova s pripadajućim rezultatima sukladno prijavnom mehanizmu propisanom od strane Europske agencije za zaštitu okoliša te prema prilogu V. koji se nalazi u Dodatku ovoga Pravilnika i čini njegov sastavni dio-, te u skladu s Provedbenom odlukom Komisije 2021/1967 od 11. studenoga 2021. o uspostavi obveznog repozitorija podataka i obveznog mehanizma za digitalnu razmjenu informacija u skladu s Direktivom 2002/49/EZ Europskog parlamenta i Vijeća (SL L400/160, 12. 11. 2021.).

Ministarstvo vodi evidenciju o izrađenim strateškim kartama buke i akcijskim planovima za provedbu izvješćivanja Europske komisije.

Članak 29.

Akcijski plan izrađuje se na temelju izrađene strateške karte buke odnosno konfliktne karte buke.

Članak 30.

Osnove za izradu akcijskih planova zaštite od buke odnosno upravljanja bukom jesu:

- plan mjera zaštite od buke za snižavanje razina buke okoliša (planiranje prometa, planiranje namjene prostora, tehničke mjere na izvorima buke, izbor izvora buke s nižim emisijskim vrijednostima, mjere za smanjenje na putu širenja buke, regulativne i/ili gospodarstvene mjere i sl.),
- strategija provođenja mjera zaštite od buke za snižavanje razina buke okoliša,
- procjena troškova za smanjenje buke promatranoga područja,
- procjena učinaka za smanjenje buke promatranoga područja,
- popis obveznika podmirenja troškova mjera zaštite od buke za snižavanje razina buke okoliša,
- vremenski plan izvršenja pojedinih aktivnosti tijekom provedbe mjera zaštite od buke.

Članak 31.

Akcijski plan sadrži najmanje:

- naziv s definiranim sadržajem,
- opis naseljenoga područja, cesta, pruga, zračnih luka i drugih izvora buke koji su uzeti u obzir prilikom razmatranja,
- podatke o naručitelju izrade akcijskoga plana i ovlaštenoga subjekta za izradu akcijskoga plana,
- pravnu osnovu za provedbu akcijskoga plana,
- važeće dopuštene razine buke,
- pregled rezultata izrađene strateške karte buke,

- ocjenu stanja buke na temelju procijenjenoga broja ljudi izloženih određenim razinama buke, prepoznavanje problema i situacija koje treba poboljšati,
- sažetak rezultata javne rasprave,
- postojeće i do sada predviđene mjere zaštite od buke,
- aktivnosti koje naručitelj izrade akcijskoga plana namjerava poduzeti u sljedećih pet godina, uključujući sve mjere za očuvanje tihih područja,
- dugoročnu strategiju zaštite od buke,
- elemente vrednovanja provedbe akcijskoga plana,
- procjenu smanjenja broja ljudi na koje djeluje buka preko dopuštenih razina.

Ako postoje dostupne finansijske informacije, akcijski plan treba sadržavati finansijske proračune, procjene isplativosti, procjene troškova i koristi.

Članak 32.

Strateške karte buke i akcijski planovi izrađeni na temelju Zakona o zaštiti od buke (»Narodne novine« broj 20/03) i Pravilnika o načinu izrade i sadržaju karata buke i akcijskih planova (»Narodne novine« broj 5/07) ostaju na snazi te se usklađuju trajno s izmjenama u prostoru, a obvezno se obnavljaju svakih pet godina od dana izrade, odnosno od dana odobravanja.

Članak 33.

Danom stupanja na snagu ovoga Pravilnika prestaje važiti Pravilnik o načinu izrade i sadržaju karata buke i akcijskih planova (»Narodne novine«, broj 5/07).

Članak 34.

Ovaj Pravilnik stupa na snagu osmoga dana od dana objave u »Narodnim novinama«, osim odredbe članka 28. stavka 3. koji stupa na snagu danom pristupanja Republike Hrvatske Europskoj uniji.

Klasa: 011-02/09-04/17

Urbroj: 534-07-09-1

Zagreb, 17. lipnja 2009.

PRIJELAZNE I ZAVRŠNE ODREDBE iz NN 60/16

Članak 25.

Obveznici izrade strateških karata buke i akcijskih planova koji su započeli s izradom strateških karata buke i akcijskih planova u skladu s odredbama Pravilnika o načinu izrade i sadržaju karata buke i akcijskih planova te o načinu izračuna dopuštenih indikatora buke (»Narodne novine«, broj 75/09), i iste nisu izradili, obvezni su strateške karte buke i akcijske planove dovršiti i uskladiti s odredbama ovoga Pravilnika.

Članak 26.

Ovaj Pravilnik stupa na snagu osmoga dana od dana objave u »Narodnim novinama«.

Klasa: 011-02/16-02/65

Urbroj: 534-02-1-1/8-16-1

Zagreb, 23. lipnja 2016.

PRIJELAZNE I ZAVRŠNE ODREDBE iz NN 117/18

Članak 16.

Strateške karte buke izrađene i dostavljene ministarstvu do 30. prosinca 2018. godine izrađuju se prema Prilogu II. Pravilnika o načinu izrade i sadržaju karata buke i akcijskih planova te o načinu izračuna dopuštenih indikatora buke (»Narodne novine«, br. 75/09 i 60/16).

Strateške karte buke koje nisu izrađene i dostavljene ministarstvu do 30. prosinca 2018. godine izrađuju se prema Prilogu II. ovoga Pravilnika.

Obveznici izrade strateške karte buke i akcijskog plana, uz podatke navedene u člancima 21., 22. i 31. ovoga Pravilnika, obvezni su dostaviti i izjavu ovlaštene pravne osobe koja je izradila stratešku kartu buke odnosno akcijski plan, kojom se potvrđuje usklađenost izrade strateške karte buke i akcijskog plana s propisima iz članka 1.a ovoga Pravilnika.

Članak 17.

Ovaj Pravilnik objavljuje se u »Narodnim novinama«, a stupa na snagu 31. prosinca 2018. godine.

Klasa: 011-02/18-02/195

Urbroj: 534-02-1-1/5-18-14

Zagreb, 12. prosinca 2018.

Članak 9. iz NN 146/21

Ovaj Pravilnik objavit će se u »Narodnim novinama«, a stupa na snagu 31. prosinca 2021. godine.

Klasa: 011-02/21-04/38

Urbroj: 534-07-1-1/6-21-6

Zagreb, 20. prosinca 2021.

PRILOG I.

INDIKATORI BUKE I POLOŽAJ OCJENSKIH TOČAKA

Indikator buke razdoblja »dan-večer-noć« L_{den} u dB(A) određuje se prema sljedećoj formuli:

$$L_{den} = 10 \lg \frac{1}{24} \left(12 * 10^{\frac{L_{day}}{10}} + 4 * 10^{\frac{L_{evening} + 5}{10}} + 8 * 10^{\frac{L_{night} + 10}{10}} \right)$$

gdje su:

L_{day} – A-vrednovana ekvivalentna razina buke definirana u ISO 1996-2 utvrđivana svakog dana tijekom jedne godine,

$L_{evening}$ – A-vrednovana ekvivalentna razina buke definirana u ISO 1996-2 utvrđivana svake večeri tijekom jedne godine,

L_{night} – A-vrednovana ekvivalentna razina buke definirana u ISO 1996-2 utvrđivana svake noći tijekom jedne godine.

Trajanje dana, večeri i noći mora biti jednako za sve promatrane izvore buke.

Položaj ocjenske točke indikatora buke L_{den} ovisi o namjeni.

Položaj ocjenske točke indikatora buke L_{night} jednaka je kao i položaj ocjenske točke indikatora buke L_{den} .

U svrhu izrade strateške karte buke visina ocjenske točke indikatora buke za razdoblje »dan-večer-noć« L_{den} , koja se određuje računalnim metodama navedenim u članku 6. ovoga

Pravilnika, a kojom se određuje izloženost buci unutar i u blizini građevinskih zgrada, mora biti na visini $(4,0 \pm 0,2)$ metara iznad tla na najizloženijoj fasadi objekta. U ovome slučaju najizloženija fasada je vanjski zid usmjeren prema najbližem promatranome izvoru buke. Za ostale namjene visina ocjenske točke indikatora buke za razdoblje »dan-večer-noć« L_{den} može biti proizvoljna.

U svrhu izrade strateške karte buke visina ocjenske točke indikatora buke za razdoblje »dan-večer-noć« L_{den} , koja se određuje mjerjenjem, a kojom se određuje izloženost buci unutar i u blizini građevinskih zgrada, mora biti na visini $(4,0 \pm 0,2)$ metara iznad tla.

U svrhu provedbe akustičkog planiranja i određivanja zona buke mogu se odabrati druge visine ocjenske točke indikatora buke L_{den} za razdoblje »dan-večer-noć«, ali visina nikada ne smije biti niža od 1,5 metara iznad tla, npr. za:

- ruralna područja s prizemnim kućama,
- izradu lokalnih mjera zaštita od buke namijenjenih smanjenju utjecaja buke na određene stanove,
- izradu detaljne karte buke određenog područja koja pokazuju izloženost buci pojedinačnih stanova, itd.

PRILOG II.

METODE OCJENE ZA INDIKATORE BUKE

1. Uvod

Vrijednosti L_{den} i L_{night} utvrđuju se na položajima za ocjenjivanje izračunom u skladu s metodom utvrđenom u 2. poglavlju i podacima opisanima u 3. poglavlju. Mjerenja se mogu obaviti u skladu s poglavljem 4.

2. Zajedničke metode ocjene buke

2.1. Opće odredbe – Buka cestovnog prometa, buka pružnog prometa i buka industrijskih pogona i postrojenja

2.1.1. Indikatori, frekvencijski raspon i definicije pojaseva

Izračuni buke definiraju se u frekvencijskom rasponu oktavnog pojasa od 63 Hz do 8 kHz. ~~Rezultati frekvencijskih pojaseva daju se za odgovarajući frekvencijski interval.~~

~~Izračuni se rade u pojasevima širine jedne oktave (oktavni pojasevi) za buku cestovnog prometa, buku pružnog prometa i buku industrijskih pogona i postrojenja, osim za zvučnu snagu izvora buke pružnog prometa za koju se upotrebljavaju pojasevi širine 1/3 oktave (tercni pojasevi). Na temelju tih rezultata oktavnih pojaseva za buku cestovnog prometa, buku pružnog prometa i buku industrijskih pogona i postrojenja izračunava se A-vrednovana dugotrajna prosječna razina zvučnog tlaka za razdoblje dana, večeri i noći, kako je definirano u Prilogu I. i na što se upućuje u članku 2. ovoga Pravilnika, zbrajanjem u svim frekvencijama:~~

$$L_{Aeq,T} = 10 \times \lg \sum_{i=1}^{10} 10^{\frac{(L_{i,T} + A_i)}{10}}$$

(2.1.1.)

pri čemu:

~~A_i označava A-vrednovanu korekciju u skladu s normom IEC 61672-1,~~

~~i – indeks frekvencijskog pojasa~~

~~T je vremensko razdoblje koje odgovara danu, večeri ili noći.~~

Izračuni se rade u pojasevima širine jedne oktave (oktavni pojasevi) za buku cestovnog prometa, buku željezničkog prometa i buku industrijskih pogona i postrojenja, osim za zvučnu snagu izvora buke željezničkog prometa za koju se upotrebljavaju pojasevi širine 1/3 oktave (tercni pojasevi). Na temelju tih rezultata oktavnih pojaseva za buku cestovnog prometa, buku željezničkog prometa i buku industrijskih pogona i postrojenja izračunava se A-vrednovana dugotrajna prosječna razina zvuka za razdoblje dana, večeri i noći, kako je definirano u Prilogu I., metodom opisanom u odjeljcima 2.1.2., 2.2., 2.3., 2.4. i 2.5. Kad je riječ o cestovnom i željezničkom prometu u naseljenim područjima, A-vrednovana dugotrajna prosječna razina zvuka odreduje se na temelju doprinosa cestovnih i željezničkih segmenata na tim područjima, uključujući glavne ceste i glavne željezničke pruge.

Akustički parametri buke:

L_p	Trenutačna razina zvučnog tlaka	[dB] (ref. $2 \cdot 10^{-5}$ Pa)
$L_{Aeq,LT}$	Globalna dugotrajna razina zvuka L_{Aeq} uzrokovana svim izvorima i zrcalnim izvorima na točki R	[dB] (ref. $2 \cdot 10^{-5}$ Pa)
L_w	Razina zvučne snage točkastog izvora (pokretnog ili nepomičnog) na lokaciji	[dB] (ref. 10^{-12} W)
$L_{W,i,dir}$	Razina usmjerene zvučne snage za i -ti frekvencijski pojas na lokaciji	[dB] (ref. 10^{-12} W)
L_w	Prosječna razina zvučne snage po metru linijskog izvora na lokaciji	[dB/m] (ref. 10^{-12} W)

Drugi fizički parametri:

p	efektivna vrijednost trenutačnog zvučnog tlaka	[Pa]
p_0	Referentni zvučni tlak = $2 \cdot 10^{-5}$ Pa	[Pa]
W_0	Referentna zvučna snaga = 10^{-12} W	[watt]

2.1.2. Kvalitativni okvir

Točnost ulaznih vrijednosti

Sve ulazne vrijednosti koje utječu na razinu emisije izvora određuju se barem s točnosti koja odgovara nesigurnosti od ± 2 dB(A) u razini emisije izvora (pri čemu se nijedan drugi parametar ne mijenja).

Upotreba unaprijed zadanih vrijednosti

Pri primjeni metode ulazni podaci moraju odražavati stvarno korištenje. Općenito se ne smije oslanjati na unaprijed zadane ulazne vrijednosti ili pretpostavke. Upotreba unaprijed zadanih vrijednosti i pretpostavki prihvatljiva je ako je prikupljanje stvarnih podataka povezano s nerazmjerne visokim troškovima.

Kvaliteta softvera koji se koristi za izračune

Softver koji se koristi za izračune mora biti dokazano sukladan s ovdje opisanim metodama, a to se dokazuje usporedbom rezultata s probnim slučajevima.

2.2. Buka cestovnog prometa

2.2.1. Opis izvora

Klasifikacija vozila

Izvor buke cestovnog prometa utvrđuje se spajanjem emisija buke svih pojedinih vozila od kojih je sastavljen protok prometa. Ta su vozila grupirana u pet odvojenih kategorija na temelju svojstava svojih emisija buke:

Kategorija 1: Laka vozila

Kategorija 2: Srednje teška vozila

Kategorija 3: Teška vozila

Kategorija 4: Motorna vozila na dva kotača

Kategorija 5: Otvorena kategorija

Kod motornih se vozila na dva kotača definiraju dvije potkategorije, za mopede i za snažnije motocikle, budući da među njima postoje znatne razlike u načinu vožnje i u brojnosti.

Prve se četiri kategorije moraju upotrebljavati, a peta je opcionalna. Predviđa se da se u budućnosti možda razviju nova vozila koja će se dovoljno razlikovati od postojećih u pogledu emisije buke da bi zahtijevala definiranje dodatne kategorije. Ta bi kategorija mogla obuhvatiti, na primjer, električna ili hibridna vozila ili bilo koje vozilo koje se u budućnosti razvije i bude suštinski različito od onih u kategorijama od 1 do 4.

Detalji o različitim razredima vozila nalaze se u tablici [2.2.a].

Tablica [2.2.a]: Razredi vozila

Kategorija	Naziv	Opis		Kategorija vozila u EZ-u Homologacija tipa vozila kao cjeline ¹
1	Laka motorna vozila	Osobni automobili, kombiji za dostavu ≤ 3,5 tona, sportska terenska vozila (SPV-ovi) ² , višenamjenska vozila (MPV-ovi) ³ uključujući prikolice i kamp-kućice		M1 i N1
2	Srednje teška vozila	Srednje teška vozila, kombiji za dostavu > 3,5 tona, autobusi, kamperi itd. s dvije osovine i dvostrukim gumama na stražnjoj osovini		M2, M3 i N2, N3
3	Teška vozila	Vozila za zahtjevne poslove, turistička vozila, autobusi, s tri ili više osovine		M2 i N2 s prikolicom, M3 i N3
4	Motorna vozila na dva kotača	4a	Mopedi s dva, tri i četiri kotača	L1, L2, L6
		4b	Motocikli s ili bez bočne prikolice, motocikli s tri i četiri kotača	L3, L4, L5, L7
5	Otvorena kategorija	Definirat će se u skladu s budućim potrebama.		nije primjenjivo

¹ Pravilnik o EU homologaciji i pojedinačnom odobravanju motornih vozila (Izdanje 00) (»Narodne novine«, broj 9/10)

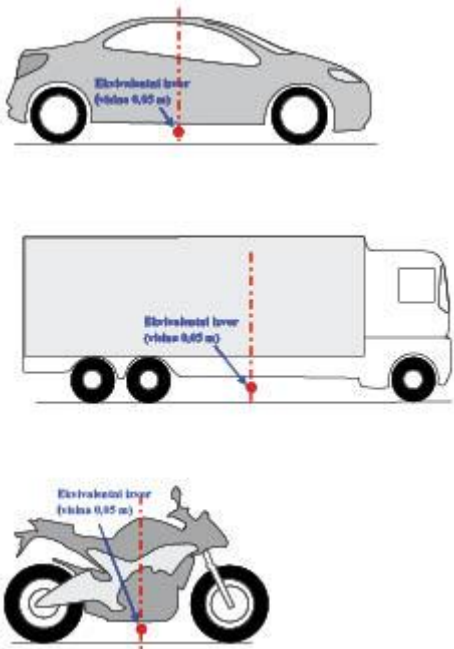
² Sportska terenska vozila

³ Višenamjenska vozila

Broj i položaj ekvivalentnih izvora zvuka

U ovoj je metodi svako vozilo (kategorije 1, 2, 3, 4 i 5) prikazano jednim točkastim izvorom iz kojeg zvuk ravnomjerno zrači u poluprostoru od 2π iznad tla. Prva se refleksija od površine ceste uzima implicitno. Taj je točkasti izvor smješten 0,05 m iznad površine ceste, što je prikazano na slici [2.2.a].

U ovom je modelu svako vozilo (kategorije 1, 2, 3, 4 i 5) prikazano jednim točkastim izvorom iz kojeg zvuk ravnomjerno zrači. Prva se refleksija od površine ceste uzima implicitno. Taj je točkasti izvor smješten 0,05 m iznad površine ceste, što je prikazano na slici [2.2.a].



Slika [2.2.a]

Položaj ekvivalentnog točkastog izvora na lakisim vozilima (kategorija 1), teškim vozilima (kategorije 2 i 3) i vozilima s dva kotača (kategorija 4)

Protok prometa prikazuje se linijskim izvorom. Pri modeliranju ceste s više traka idealno bi bilo prikazati svaku traku linijskim izvorom smještenim u središte svake trake. Međutim, prihvatljivo je i modeliranje jednog linijskog izvora u sredini dvosmjerne ceste ili jednog linijskog izvora po kolničkoj traci u vanjskoj prometnoj traci cesta s više traka.

Emisija zvučne snage

Opća razmatranja

Zvučna snaga izvora definira se kao »poluslobodno zvučno polje« pa tako zvučna snaga uključuje učinak refleksije od tla neposredno ispod modeliranog izvora ako ne postoji

prepreke u neposrednom okruženju, uz iznimku za refleksiju od površine ceste koja nije neposredno ispod modeliranog izvora.

Protok prometa

Emisija buke protoka prometa predstavlja se linijskim izvorom koji je opisan usmjerenom zvučnom snagom po metru po frekvenciji. To odgovara zbroju emisija zvuka pojedinih vozila u protoku prometa, pri čemu se uzima u obzir vrijeme koje vozila provedu na razmatranoj dionici ceste. Uvođenje pojedinih vozila u protok zahtijeva primjenu modela protoka prometa.

Ako se pretpostavi stabilan protok prometa Q_m vozila kategorije m po satu uz prosječnu brzinu v_m (u km/h), usmjerena zvučna snaga po metru u frekvencijskom pojasu i linijskog izvora $L_{W', eq, line, i, m}$ definira se jednadžbom:

$$L_{W', eq, line, i, m} = L_{W, i, m} + 10 \times \lg \left(\frac{Q_m}{1000 \times v_m} \right)$$

(2.2.1.)

pri čemu je $L_{W, i, m}$ usmjerena zvučna snaga jednog vozila. $L_{W, m}$ izražava se u dB (referentna razina zvučnog intenziteta 10^{-12} W/m). Te razine zvučne snage izračunavaju se za svaki oktavni pojas i od 63 Hz do 8 kHz.

Podaci o protoku prometa Q_m izražavaju se kao godišnji prosjek po satu, po vremenskom razdoblju (dan-večer-noć), po razredu vozila i po linijskom izvoru. Za sve se kategorije upotrebljavaju ulazni podaci o protoku prometa dobiveni iz brojanja prometa ili iz korištenih modela prometa.

~~Brzina v_m reprezentativna je brzina po kategoriji vozila; u većini je slučajeva to manja brzina od najveće zakonski dopuštene brzine za dionicu i najveće zakonski dopuštene brzine za kategoriju vozila. Ako nisu dostupni lokalno izmjereni podaci, upotrebljava se najveća zakonski dopuštena brzina za kategoriju vozila.~~

„Brzina v_m reprezentativna je brzina po kategoriji vozila: u većini je slučajeva to manja brzina od najveće zakonski dopuštene brzine za dionicu i najveće zakonski dopuštene brzine za kategoriju vozila.“

Pojedino vozilo

~~Pretpostavlja se da se u protoku prometa sva vozila kategorije m kreću istom brzinom, tj. v_m , prosječnom brzinom protoka vozila te kategorije.~~

Pretpostavlja se da se u protoku prometa sva vozila kategorije m kreću istom brzinom, tj. v_m .

Cestovno se vozilo modelira skupom matematičkih jednadžbi kojim se prikazuju dva glavna izvora buke:

1. buka kotrljanja uzrokovana interakcijom gume i ceste;
2. buka pogona koja nastaje u pogonskom sustavu (motor, ispuh itd.) vozila.

Aerodinamička buka sastavni je dio izvora buke kotrljanja.

Za laka, srednja i teška motorna vozila (kategorije 1, 2 i 3) ukupna zvučna snaga odgovara energetskom zbroju buke kotrljanja i buke pogona. Stoga se ukupna razina zvučne snage linijskih izvora $m = 1, 2$ ili 3 definira jednadžbom:

$$L_{W,i,m}(v_m) = 10 \times \lg(10^{L_{WR,i,m}(v_m)/10} + 10^{L_{WP,i,m}(v_m)/10}) \quad (2.2.2.)$$

pri čemu je $L_{WR,i,m}$ razina zvučne snage buke kotrljanja, a $L_{WP,i,m}$ razina zvučne snage buke pogona. To se odnosi na sve raspone brzine. Pri brzinama manjima od 20 km/h razina zvučne snage je ona koja se dobije formulom za $v_m = 20$ km/h.

Za vozila s dva kotača (kategorija 4) kao izvor se uzima samo buka pogona:

$$L_{W,i,m=4}(v_{m=4}) = L_{WP,i,m=4}(v_{m=4}) \quad (2.2.3.)$$

To se odnosi na sve raspone brzine. Pri brzinama manjima od 20 km/h razina zvučne snage je ona koja se dobije formulom za $v_m = 20$ km.

2.2.2. Referentni uvjeti

Jednadžbe i koeficijenti izvora vrijede za referentne uvjete u nastavku:

- konstantna brzina vozila,
- vodoravna cesta,
- temperatura zraka $\tau_{ref} = 20$ °C,
- virtualna referentna površina ceste koja se sastoji od prosječnog gustog betonskog asfalta 0/11 i splitmastiks asfalta 0/11, stare od 2 do 7 godina i u reprezentativnom stanju održavanja,
- suha površine ceste,
- bez guma čavlerica.

2.2.3. Buka kotrljanja

Opća jednadžba

Razina zvučne snage buke kotrljanja u frekvencijskom pojasu i za vozilo razreda $m = 1, 2$ ili 3 definira se jednadžbom:

$$L_{WR,i,m} = A_{R,i,m} + B_{R,i,m} \times \lg\left(\frac{v_m}{v_{ref}}\right) + \Delta L_{WR,i,m} \quad (2.2.4.)$$

Koeficijenti $A_{R,i,m}$ i $B_{R,i,m}$ zadani su po oktavnim pojasevima za svaku kategoriju vozila i za referentnu brzinu $v_{ref} = 70$ km/h. $\Delta L_{WR,i,m}$ jednak je zbroju korekcijskih koeficijenata koje treba primjeniti na emisiju buke kotrljanja za posebne uvjete ceste ili vozila koji se razlikuju od referentnih uvjeta:

$$\Delta L_{WR,i,m} = \Delta L_{WR,road,i,m} + \Delta L_{subsurf,i,m} + \Delta L_{WR,steel,i,m} + \Delta L_{WR,imp} \quad (2.2.5.)$$

$\Delta L_{WR,road,i,m}$ je utjecaj na buku kotrljanja koji nastaje zbog površine ceste čija se akustička svojstva razlikuju od onih virtualne referentne površine definirane u poglavlju 2.2.2. Ovaj koeficijent obuhvaća utjecaj na širenje i stvaranje buke.

$\Delta L_{studded\ tyres,i,m}$ je korekcijski koeficijent za povećanu buku kotrljanja lakih vozila opremljenih gumama čavlericama.

$\Delta L_{WR,acc,i,m}$ je utjecaj na buku kotrljanja koji nastaje zbog raskrižja sa semaforom ili kružnog toka. U njemu je integriran učinak na buku zbog promjene brzine.

$\Delta L_{W,temp}$ je korekcijski član za prosječnu temperaturu τ koja se razlikuje od referentne temperature $\tau_{ref} = 20^\circ\text{C}$.

Korekcija za gume čavlerice

U situacijama kad znatan broj lakih vozila u protoku prometa upotrebljava gume čavlerice nekoliko mjeseci svake godine potrebno je uzeti u obzir proizašli učinak na buku kotrljanja. Za svako vozilo kategorije $m = 1$ opremljeno gumama čavlericama povećanje emisije buke kotrljanja ovisno o brzini vrednuje se jednadžbom:

$$\Delta_{stud,i}(v) = \begin{cases} a_i + b_i \times \lg(50/70) & \text{za } v < 50 \text{ km/h} \\ a_i + b_i \times \lg(v/70) & \text{za } 50 \leq v \leq 90 \text{ km/h} \\ a_i + b_i \times \lg(90/70) & \text{za } v > 90 \text{ km/h} \end{cases}$$

(2.2.6.)

pri čemu su koeficijenti a_i i b_i zadani za svaki oktavni pojas.

Povećanje emisije buke kotrljanja pripisuje se samo u skladu s udjelom lakih vozila s gumama čavlericama i u ograničenom razdoblju T_s (u mjesecima) tijekom godine. Ako je $Q_{stud,ratio}$ prosječni omjer lakih vozila s gumama čavlericama u ukupnom broju po satu u razdoblju T_s (u mjesecima), tada se godišnji udio vozila s gumama čavlericama p_s izražava jednadžbom:

$$p_s = Q_{stud,ratio} \times \frac{T_s}{12}$$

(2.2.7.)

Dobivena korekcija koju treba primijeniti na emisiju zvučne snage kotrljanja zbog upotrebe guma čavlerica na vozilima kategorije $m = 1$ u frekvencijskom pojasu i iznosi:

$$\Delta L_{stud,tyres,i,m} = 10 \times \lg \left[(1 - p_s) + p_s 10^{\frac{\Delta_{stud,i}}{10}} \right]$$

(2.2.8.)

Za vozila svih ostalih kategorija ne primjenjuje se nikakva korekcija:

$$\Delta L_{stud,tyres,i,m} = 0$$

(2.2.9.)

Utjecaj temperature zraka na korekciju buke kotrljanja

Temperatura zraka utječe na emisiju buke kotrljanja: razina zvučne snage kotrljanja smanjuje se s povećanjem temperature zraka. Taj se utjecaj uvodi u korekciju za površinu ceste.

Korekcije za površinu ceste obično se vrednuju pri temperaturi zraka $\tau_{ref} = 20^\circ\text{C}$. U slučaju druge prosječne godišnje temperature zraka u $^\circ\text{C}$ buku površine ceste korigira se s:

$$\Delta L_{WP,temp,m}(\tau) = K_m \times (\tau_{ref} - \tau) \\ (2.2.10.)$$

Korekcijski je član pozitivan (tj. buka se povećava) za temperature niže od 20 °C i negativan (tj. buka se smanjuje) za više temperature. Koeficijent K ovisi o površini ceste i svojstvima guma te općenito pokazuje određenu ovisnost o frekvenciji. Opći koeficijent $K_{m=1} = 0,08$ dB/°C za laka vozila (kategorija 1) i $K_{m=2} = K_{m=3} = 0,04$ dB/°C za teška vozila (kategorije 2 i 3) primjenjuje se za sve površine ceste. Korekcijski koeficijent primjenjuje se jednako na sve oktavne pojaseve od 63 do 8000 Hz.

2.2.4. Buka pogona

Opća jednadžba

Emisija buke pogona u sebi sadrži sve doprinose iz motora, ispuha, prijenosnog mehanizma, dovoda zraka itd. Razina zvučne snage buke pogona u frekvencijskom pojasu i za vozilo razreda m definira se jednadžbom:

$$L_{WP,i,m} = A_{P,i,m} + B_{P,i,m} \times \frac{(v_m - v_{ref})}{v_{ref}} + \Delta L_{WP,i,m} \\ (2.2.11.)$$

Koeficijenti $A_{P,i,m}$ i $B_{P,i,m}$ zadani su u oktavnim pojasevima za svaku kategoriju vozila i referentnu brzinu $v_{ref} = 70$ km/h.

$\Delta L_{WP,i,m}$ je zbroj korekcijskih koeficijenata koje treba primijeniti na emisiju buke pogona za posebne uvjete vožnje ili regionalne uvjete koji se razlikuju od referentnih uvjeta:

$$\Delta L_{WP,i,m} = \Delta L_{WP,road,i,m} + \Delta L_{WP,grad,i,m} + \Delta L_{WP,acc,i,m} \\ (2.2.12.)$$

$\Delta L_{WP,road,i,m}$ je utjecaj površine ceste na buku pogona zbog apsorpcije. Izračuni se obavljaju u skladu s poglavljem 2.2.6.

$\Delta L_{WP,acc,i,m}$ i $\Delta L_{WP,grad,i,m}$ su utjecaj nagiba ceste te ubrzavanja i usporavanja vozila na raskrižjima. Oni se izračunavaju u skladu s poglavljima 2.2.4. i 2.2.5.

Utjecaj nagiba ceste

Nagib ceste utječe na emisiju buke vozila na dva načina: prvo, on utječe na brzinu vozila i time na emisiju buke kotrljanja i pogona vozila; drugo, on utječe na opterećenje motora i na brzinu motora putem odabira stupnja prijenosa pa time na emisiju buke pogona vozila. U ovom se odjeljku, u kojem se prepostavlja konstantna brzina, uzima u obzir samo utjecaj na buku pogona.

Utjecaj nagiba ceste na buku pogona uzima se u obzir korekcijskim članom $\Delta L_{WP,grad,m}$ koji je funkcija nagiba s (u %), brzine vozila v_m (u km/h) i razreda vozila m . U slučaju dvosmjernog protoka prometa neophodno je podijeliti protok na dva sastavna dijela i korigirati pola za kretanje uzbrdo i pola za kretanje nizbrdo. Korekcijski član primjenjuje se jednako na sve oktavne pojaseve:

za $m = 1$:

$$\Delta L_{WP,grad,i,m=1}(v_m) = \begin{cases} \frac{\text{Min}(12\%; -s) - 6\%}{1\%} & \text{za } s < -6\% \\ 0 & \text{za } -6\% \leq s \leq 2\% \\ \frac{\text{Min}(12\%; s) - 2\%}{1.5\%} \times \frac{v_m}{100} & \text{za } s > 2\% \end{cases} \quad (2.2.13.)$$

za $m = 2$:

$$\Delta L_{WP,grad,i,m=2}(v_m) = \begin{cases} \frac{\text{Min}(12\%; -s) - 4\%}{0.7\%} \times \frac{v_m - 20}{100} & \text{za } s < -4\% \\ 0 & \text{za } -4\% \leq s \leq 0\% \\ \frac{\text{Min}(12\%; s)}{1\%} \times \frac{v_m}{100} & \text{za } s > 0\% \end{cases} \quad (2.2.14.)$$

za $m = 3$:

$$\Delta L_{WP,grad,i,m=3}(v_m) = \begin{cases} \frac{\text{Min}(12\%; -s) - 4\%}{0.5\%} \times \frac{v_m - 10}{100} & \text{za } s < -4\% \\ 0 & \text{za } -4\% \leq s \leq 0\% \\ \frac{\text{Min}(12\%; s)}{0.8\%} \times \frac{v_m}{100} & \text{za } s > 0\% \end{cases} \quad (2.2.15.)$$

za $m = 4$:

$$\Delta L_{WP,grad,i,m=4} = 0 \quad (2.2.16.)$$

Korekcija $\Delta L_{WP,grad,m}$ implicitno uključuje utjecaj nagiba na brzinu.

2.2.5. Utjecaj ubrzavanja i usporavanja vozila

Prije i poslije raskrižja sa semaforima i kružnih tokova primjenjuje se korekcija zbog utjecaja ubrzavanja i usporavanja u skladu s opisom u nastavku.

Korekcijski članovi za buku kotrljanja, $\Delta L_{WR,acc,m,k}$, i za buku pogona, $\Delta L_{WP,acc,m,k}$, su linearne funkcije udaljenosti x (u metrima) točkastog izvora od najbližeg križanja vlastitog linijskog izvora s drugim linijskim izvorom. Oni se jednakom primjenjuju na sve oktavne pojaseve:

$$\Delta L_{WR,acc,m,k} = C_{R,m,k} \times \text{Max}(1 - \frac{|x|}{100}, 0) \quad (2.2.17.)$$

$$\Delta L_{WP,acc,m,k} = C_{P,m,k} \times \text{Max}(1 - \frac{|x|}{100}, 0) \quad (2.2.18.)$$

Koefficijenti $C_{R,m,k}$ i $C_{P,m,k}$ ovise o vrsti raskrižja k ($k = 1$ za raskrižje sa semaforima; $k = 2$ za kružni tok) i zadaju se za svaku kategoriju vozila. Korekcija uključuje utjecaj promjene brzine pri približavanju ili udaljavanju od raskrižja ili kružnog toka.

Treba imati na umu da je na udaljenosti $|x| \geq 100$ m, $\Delta L_{WR,acc,m,k} = \Delta L_{WP,acc,m,k} = 0$.

2.2.6. Utjecaj tipa površine ceste

Opća načela

Na površinama ceste s akustičkim svojstvima koja se razlikuju od onih referentne površine na buku kotrljanja i na buku pogona primjenjuje se spektralni korekcijski član.

Korekcijski član za površinu ceste za emisiju buke kotrljanja zadan je jednadžbom:

$$\Delta L_{\text{BR}, \text{road}, i, m} = \alpha_{i, m} + \beta_m \times \lg\left(\frac{v_m}{v_{ref}}\right)$$

(2.2.19.)

pri čemu je:

$\alpha_{i, m}$ spektralna korekcija u dB pri referentnoj brzini v_{ref} za kategoriju m (1, 2 ili 3) i spektralni pojas i ,

β_m učinak brzine na smanjenje buke kotrljanja za kategoriju m (1, 2 ili 3) i jednak je za sve frekvencijske pojaseve.

Korekcijski član za površinu ceste za emisiju buke pogona zadan je jednadžbom:

$$\Delta L_{\text{BP}, \text{road}, i, m} = \min\{\alpha_{i, m}; 0\}$$

(2.2.20.)

Apsorbirajuće površine smanjuju buku pogona, a neapsorbirajuće površine je ne povećavaju.

Utjecaj starosti na svojstva buke površine ceste

Svojstva buke površine ceste mijenjaju se ovisno o starosti i razini održavanja te teže ka povećanju glasnoće s vremenom. U ovoj se metodi parametri površine ceste izvode tako da budu reprezentativni za akustička svojstva tipa površine ceste koja su prosjek izračunan za reprezentativni životni vijek ceste i uz pretpostavku njezina odgovarajućeg održavanja.

2.3. Buka pružnog prometa

2.3.1. Opis izvora

Klasifikacija vozila

Definicija vozila i vlaka

U svrhu ove metode izračuna buke vozilo se definira kao bilo koje željezničko vozilo koje je dio vlaka (tipično lokomotiva, vagon s vlastitim pogonom, vučeni putnički vagon ili teretni vagon), koje se može samostalno kretati i koje se može odvojiti od ostatka vlaka. Za željeznička vozila koja tvore nerazdvojiv skup, tj. koja dijele jedno zajedničko okretno postolje, mogu postojati posebne okolnosti. Za potrebe ove metode izračuna sva se ta željeznička vozila uzimaju zajedno kao jedno vozilo.

Za potrebe ove metode izračuna vlak se sastoji od niza povezanih vozila.

U tablici [2.3.a] definira se zajednički jezik za opisivanje tipova vozila koji se nalaze u bazi podataka izvora. U toj se bazi nude odgovarajući opisi svojstava koje treba upotrebljavati kako bi se potpuno klasificirala vozila. Ti opisi odgovaraju svojstvima vozila koja utječu na akustičku usmjerenu zvučnu snagu po metru duljine ekvivalentnog modeliranog linijskog izvora.

Utvrđuje se broj vozila svakog tipa za svaku dionicu kolosijeka za svako vremensko razdoblje koje se upotrebljava za izračun buke. Taj se broj izražava kao prosječni broj vozila na sat, a dobiva se dijeljenjem ukupnog broja vozila koja su prometovala u određenom vremenskom

razdoblju s trajanjem tog razdoblja u satima (na primjer, 24 vozila u 4 sata znači 6 vozila na sat). Upotrebljavaju se svi tipovi vozila koja su prometovala na svakoj dionici kolosijeka.

Tablica [2.3.a]: Klasifikacija i opisi svojstava za željeznička vozila

Brojka	1	2	3	4
Opis svojstva	Tip vozila	Broj osovina po vozilu	Tip kočnice	Zaštita od buke na kotaču
Objašnjenje opisa	Slovo kojim se opisuje tip	Stvarni broj osovina	Slovo kojim se opisuje tip kočnice	Slovo kojim se opisuje tip mjere za smanjenje buke
Mogući opisi	h vozilo velike brzine (> 200 km/h)	1	c kočni umetak od lijevanog željeza	n bez zaštite
	m putnički vagoni na vlastiti pogon	2	k kompozitni ili sinterirani metalni kočni umetak	d prigušivači
	p vučeni putnički vagoni	3	n kočenje bez umetka, poput kočenja diskom, bubenjem ili magnetskog kočenja	s štitnici
	c vagon na vlastiti pogon ili bez vlastitog pogona gradskog tramvaja ili lake gradske željeznice	4		o ostalo
	d dizelska lokomotiva	itd.		
	e električna lokomotiva			
	a			

	bilo koje opće teretno vozilo			
	o ostalo (na primjer vozila za održavanje itd.)			

Klasifikacija kolosijeka i potporne strukture

Postojeći se kolosijeci mogu razlikovati jer postoji nekoliko elemenata koji doprinose njihovim akustičkim svojstvima te ih karakteriziraju. Vrste kolosijeka korištene u ovoj metodi navedene su u tablici [2.3.b] u nastavku. Neki elementi imaju velik utjecaj na akustička svojstva, a drugi imaju samo sporedan utjecaj. Općenito, najvažniji elementi koji utječu na emisiju pružne buke su: hrapavost površine tračnice, krutost podložnih ploča, podloga kolosijeka, spojevi tračnica i polumjer luka kolosijeka. Alternativno, mogu se definirati opća svojstva kolosijeka, a u tom su slučaju hrapavost površine tračnice i stupanj prigušenja kolosijeka u skladu s normom ISO 3095 dva akustički ključna parametra, zajedno s polumjerom luka kolosijeka.

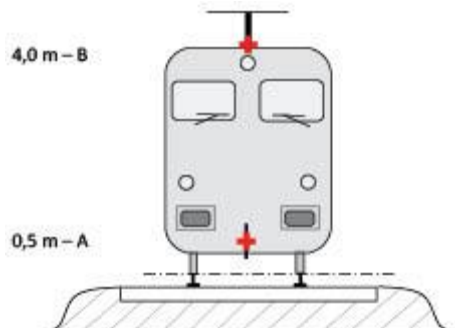
Dionica kolosijeka definira se kao dio jednog kolosijeka na pruzi, u kolodvoru ili spremištu na kojem se fizička svojstva i osnovni sastavni dijelovi kolosijeka ne mijenjaju.

Tablica [2.3.b] definira zajednički jezik za opisivanje tipova tračnica uključenih u bazu podataka izvora.

Brojka	1	2	3	4	5	6
Opis svojstva	Podloga kolosijeka	Hrapavost površine tračnice	Tip podložnih ploča	Dodatne zaštitne mjere	Spojevi tračnica	Luk
Objašnjenje opisa	Tip podloge kolosijeka	Indikator hrapavosti	Indikator »akustičke« krutosti Indikator »dinamičke« krutosti	Slovo koje opisuje akustičku napravu	Prisutnost spojeva i njihovi razmaci	Navođenje polumjera luka u metrima
Dopuštene označe	B Zastor	E Dobro održavano i vrlo glatko	S Mekano (od 150 do 250 MN/m)	N Nema	N Nema	N Pravocrtni kolosijek

	S Kolosijek na čvrstoj podlozi	M Normalno održavano	M Srednje (od 250 do 800 MN/m)	D Prigušivač tračnica	S Jedan spoj ili skretnica	L Nisko (od 1000 do 500 m)
	L Most sa zastorom	N Slabo održavano	H Kruto (od 800 do 1000 MN/m) H Tvrdo (od 800 do 1000 MN/m)	B Niski bukobran	D Dva spoja ili skretnice na 100 m	M Srednje (manje od 500 m i više od 300 m)
	N Most bez zastora	B Neodržavano i u lošem stanju		A Apsorbirajuća ploča na kolosijeku na čvrstoj podlozi	M Više od dva spoja ili skretnice na 100 m	H Visoko (manje od 300 m)
	T Kontinuirano oslonjeni kolosijek			E Kontinuirano oslonjena tračnica		
	O Ostalo			O Ostalo		

Broj i položaj ekvivalentnih izvora zvuka



Slika [2.3.a]: Položaj ekvivalentnih izvora buke

Različiti ekvivalentni linijski izvori buke smješteni su na različite visine i u sredinu kolosijeka. Sve se visine odnose na ravninu koja dodiruje dvije gornje površine dviju tračnica.

Ekvivalentni izvori uključuju različite fizičke izvore (indeks p). Fizički se izvori razvrstavaju u različite kategorije na temelju mehanizma kojim se buka stvara. Ti su izvori: 1) buka kotrljanja (uključujući ne samo vibracije u tračnicama i podlozi kolosijeka i vibracije kotača nego i buku nadgrađa teretnih vozila, ako postoji); 2) buka vuče; 3) aerodinamička buka; 4) udarna buka (zbog prijelaza, skretnica i križišta); buka civiljenja i 6) buka zbog dodatnih utjecaja poput mostova i vijadukata.

- a. Hrapavost kotača i površina tračnica, koja se na tri načina prenosi na emisijske površine (tračnice, kotači i nadgrađe), predstavlja buku kotrljanja. Ona se dodjeljuje na $h = 0,5$ m (emisijske površine A) kako bi se prikazali doprinos kolosijeka, u što su uključeni utjecaji površine tračnica, posebno kolosijeka na čvrstoj podlozi (u skladu s propagacijskim dijelom), doprinos kotača i doprinos nadgrađa vozila (kod teretnih vlakova).
 - b. Visine ekvivalentnih izvora za buku vuče kreću se između 0,5 m (izvor A) i 4,0 m (izvor B), ovisno o fizičkom položaju predmetnog sastavnog dijela. Izvori poput prijenosnog mehanizma i električnih motora često će biti na osovinskoj visini od 0,5 m (izvor A). Ventilacijski otvori i odsisi sustava za hlađenje za hlađenje mogu se nalaziti na raznim visinama; ispusi vozila na dizelski pogon često su na visini krova, odnosno na 4,0 m (izvor B). Ostali izvori na vuči poput ventilatora ili dizelskih motora mogu se nalaziti na visini od 0,5 m (izvor A) ili 4,0 m (izvor B). Ako se točna visina izvora nalazi između visina modela, zvučna energija proporcionalno raspoređuje između najbližih visina izvora.
- 2) Iz tog se razloga u metodi predviđaju dvije visine izvora, 0,5 m (izvor A) i 4,0 m (izvor B), te se ekvivalentna zvučna snaga povezana sa svakom od njih raspoređuje između njih ovisno o konkretnoj konfiguraciji izvora na tipu jedinice.
 - 3) Učinci aerodinamičke buke povezuju se s izvorom na 0,5 m (koji predstavlja pokrivače i zaslone, izvor A) i s izvorom na 4,0 m (kojim se modeliraju sve krovne naprave i oduzimač struje, izvor B). Odabir visine od 4,0 m za oduzimač struje smatra se jednostavnim modelom pa ga se mora pažljivo razmotriti ako je cilj odabrati odgovarajuću visinu bukobrana.
 - 4) Udarna buka povezuje se s izvorom na 0,5 m (izvor A).
 - 5) Buka civiljenja povezuje se s izvorom na 0,5 m (izvor A).
 - 6) Buka mosta povezuje se s izvorom na 0,5 m (izvor A).

2.3.2. Emisija zvučne snage

Opće jednadžbe

Pojedino vozilo

Model za buku pružnog prometa, na isti način kao i za buku cestovnog prometa, opisuje emisiju zvučne snage buke konkretne kombinacije tipova vozila i tipova kolosijeka koja ispunjava niz zahtjeva opisanih u klasifikaciji vozila i kolosijeka u obliku skupa zvučne snage po vozilu ($L_{w,0}$).

Protok prometa

Emisiju buke protoka prometa na svakom kolosijeku predstavlja skup od dva linijska izvora koji je opisan svojom usmjerrenom zvučnom snagom po metru po frekvencijskom pojasu. To odgovara zbroju emisija zvuka pojedinih vozila u protoku prometa, pri čemu se, u posebnom slučaju vozila u stanju mirovanja, uzima u obzir vrijeme koje vozila provedu na razmatranoj željezničkoj/pružnoj dionici.

Usmjerena zvučna snaga po metru po frekvencijskom pojasu, koju uzrokuju sva vozila koja prolaze po svakoj dionici kolosijeka na tipu kolosijeku (j), definira se:

- za svaki frekvencijski pojas (i),
- za svaku zadalu visinu izvora (h) (za izvore na 0,5 m h = 1, na 4,0 m h = 2),

a predstavlja zbroj energije svih doprinosa svih vozila koja se kreću na određenoj j-toj dionici kolosijeka. Ti su doprinosi:

- od svih vozila (t),
- pri njihovim različitim brzinama (s),
- u određenim uvjetima vožnje (konstantna brzina) (c),
- za svaki tip fizičkog izvora (kotrljanje, udar, civiljenje, vuča, aerodinamika i dodatni utjecaji poput, na primjer, buke mosta) (p).

Za izračun usmjerene zvučne snage po metru (unos za propagacijski dio) nastale prosječnom mješavinom prometa na j-toj dionici kolosijeka koristi se sljedeća jednadžba:

$$L_{W',eq,T,dtr,i} = 10 \cdot \lg \left(\sum_{x=1}^X 10^{L_{W',eq,base,x}/10} \right)$$

(2.3.1.)

pri čemu:

- T_{ref}** = referentno vremensko razdoblje za koje se razmatra prosječni promet,
X = ukupni broj postojećih kombinacija za i, t, s, c, p za svaku j-tu dionicu kolosijeka,
t = indeks za tipove vozila na j-toj dionici kolosijeka,
s = indeks za brzinu vlaka: postoji onoliko indeksa koliko postoji različitih prosječnih brzina vlaka na j-toj dionici kolosijeka,
c = indeks za stanje kretanja: 1 (konstantna brzina), 2 (stanje mirovanja),
p = indeks za tipove fizičkih izvora: 1 (za buku kotrljanja i udarnu buku), 2 (civiljenje u luku), 3 (buka vuče), 4 (aerodinamička buka), 5 (dodatni utjecaji),
L_{W',eq,line,x} = x-ta usmjerena zvučna snaga po metru za linijski izvor jedne kombinacije t, s, c, p na svakoj j-toj dionici kolosijeka.

Ako se prepostavi stalan protok od Q vozila na sat uz prosječnu brzinu v, u prosjeku će se ekvivalentni broj Q/v vozila u svakom trenutku nalaziti na jediničnoj mjeri dionice kolosijeka. Emisija buke protoka vozila izražena usmjerrenom zvučnom snagom po metru L_{W',eq,base} (izražena u dB/m (ref. 10⁻¹² W)) integrira se jednadžbom:

$$L_{W',eq,base,i}(\psi, \varphi) = L_{W',0,dtr,i}(\psi, \varphi) + 10 \times \lg \left(\frac{Q}{1000v} \right) \quad (\text{za } c = 1)$$

(2.3.2.)

pri čemu:

- Q je prosječan broj vozila na sat na j -toj dionici kolosijeka za tip vozila t , prosječnu brzinu vlaka s i stanje kretanja c ,
- ~~v je njihova brzina na j-toj dionici kolosijeka za tip vozila t i prosječnu brzinu vlaka s,~~
- ~~v je njihova brzina {km/h} na j-toj dionici kolosijeka za tip vozila t i prosječnu brzinu vlaka s,~~
- $L_{W,0,dir}$ je razina usmjerene zvučne snage specifične buke (kotrljanje, udar, civiljenje, vuča, aerodinamika, dodatni utjecaji) pojedinog vozila u smjerovima ψ, ϕ određenima s obzirom na smjer kretanja vozila (vidjeti sliku [2.3.b]).

U slučaju nepomičnog izvora, poput vozila u stanju mirovanja, pretpostavlja se da će vozilo tijekom cijelog razdoblja T_{idle} ostati na mjestu unutar dionice kolosijeka duljine L . Stoga se pomoću referentnog vremenskog razdoblja T_{ref} za ocjenu buke (na primjer 12 sati, 4 sata, 8 sati) usmjerena zvučna snaga za jediničnu duljinu na toj dionici kolosijeka definira jednadžbom:

$$L_{W,0,dir,0,i}(\psi, \varphi) = L_{W,0,dir,f}(\psi, \varphi) + 10 \times \lg\left(\frac{T_{idle}}{T_{ref} L}\right) \quad (\text{za } c=2)$$

(2.3.4.)

Općenito, usmjerena zvučna snaga dobiva se za svaki specifični izvor izrazom:

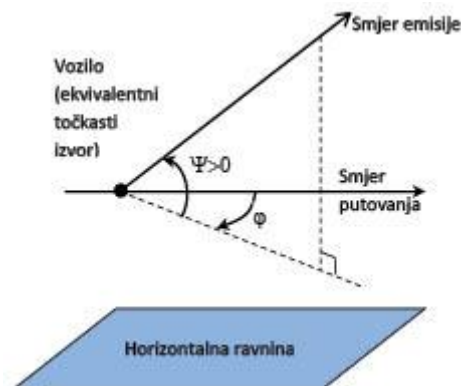
$$L_{W,0,dir,i}(\psi, \varphi) = L_{W,0,i} + \Delta L_{W,dir,vert,i} + \Delta L_{W,dir,hor,i}$$

(2.3.5.)

pri čemu je:

- $\Delta L_{W,dir,vert,i}$ funkcija korekcije vertikalne usmjerenoosti (bezdimenzionalna) ψ (slika [2.3.b]),
- $\Delta L_{W,dir,hor,i}$ funkcija korekcije horizontalne usmjerenoosti (bezdimenzionalna) ϕ (slika [2.3.b]).

I pri tome se $L_{W,0,dir,i}(\psi, \phi)$, nakon izvođenja iz tercnih pojaseva, izražava u oktavnim pojasevima zbrajanjem energetskih vrijednosti svakog pripadnog tercnog pojasa kako bi se dobio odgovarajući oktavni pojas.



Slika [2.3.b]: Geometrijska definicija

Za potrebe izračuna snaga izvora tada se specifično izražava usmjerenom zvučnom snagom po 1 m duljine kolosijeka $L_{W,tot,dir,i}$ kako bi se uvrstila usmjerenost izvora u njihovu vertikalnom i horizontalnom smjeru pomoću dodatnih korekcija.

Nekoliko se $L_{W,0,dir,i}(\psi, \varphi)$ uzima u obzir za svaku kombinaciju vozila, kolosijeka, brzine i stanja kretanja:

- za frekvencijski pojas širine 1/3 oktave (i),
- za svaku dionicu kolosijeka (j),
- visine izvora (h) (za izvore na 0,5 m $h = 1$, na 4,0 m $h = 2$),
- usmjerenost (d) izvora.

Skup $L_{W,0,dir,i}(\psi, \varphi)$ uzima se u obzir za svaku kombinaciju vozila, kolosijeka, brzine i stanja kretanja, svaku dionicu kolosijeka, visine koje odgovaraju $h = 1$ i $h = 2$ te usmjerenost.

Buka kotrljanja

Doprinos vozila i doprinos kolosijeka buci kotrljanja razdvaja se na četiri osnovna elementa, a to su: hrapavost kotača, hrapavost tračnica, prijenosna funkcija vozila na kotače i na nadgrađe (vozila) te prijenosna funkcija kolosijeka. Hrapavost kotača i tračnica predstavlja uzrok za stvaranje vibracija na mjestu dodira između tračnice i kotača, a prijenosne funkcije dvije su empirijske ili modelirane funkcije koje predstavljaju cijelu složenu pojavu mehaničke vibracije i stvaranja zvuka na površinama kotača, tračnica, pragova i podloge. U ovoj se podjeli odražavaju fizički dokazi da hrapavost prisutna na tračnici može pobuditi vibracije na tračnici, ali i da će također pobuditi vibracije kotača i obrnuto. Neuključivanje jednog od ova četiri parametra onemogućilo bi razdvajanje klasifikacija tračnica i vlakova.

Hrapavost kotača i tračnica

Buku kotrljanja uglavnom pobuđuje hrapavost kotača i tračnica u rasponu valnih duljina od 5 do 500 mm.

Definicija

Razina hrapavosti L_r definira se kao 10 puta logaritam od baze 10 kvadrata srednje kvadratne vrijednosti r^2 hrapavosti gornje površine tračnice ili vanjske površine kotača u smjeru kretanja (longitudinalna razina) izmjerene u μm na određenoj duljini tračnice ili na cijelom opsegu kotača, podijeljene s kvadratom referentne vrijednosti r_0^2 :

$$L_r = 10 \times \lg \left(\frac{r}{r_0} \right)^2 \text{ dB}$$

(2.3.6.)

pri čemu:

$r_0 = 1 \mu\text{m}$,

r = razlika efektivne vrijednosti vertikalnog pomaka kontaktne površine u odnosu na srednju razinu

Razina hrapavosti L_r tipično se dobiva kao spektar valne duljine λ te se pretvara u frekvencijski spektar $f = v/\lambda$ pri čemu je f središnja frekvencija zadanog pojasa širine 1/3 oktave u Hz, λ je valna duljina u metrima i v je brzina vlaka u m/s. Spektar hrapavosti je funkcija frekvencije pa se u skladu s tim pomiče duž osi frekvencije za različite brzine.

Općenito, nakon pretvaranja u frekvencijski spektar pomoću brzine neophodno je dobiti nove spektralne vrijednosti tercnih oktava izračunavanjem prosjeka između dva odgovarajuća tercna pojasa u području valne duljine. Za procjenu ukupnog efektivnog frekvencijskog spektra hrapavosti koji odgovara odgovarajućoj brzini vlaka, energetski i proporcionalno se izračunava prosjek dva odgovarajuća tercna pojasa definirana u području valne duljine.

Razina hrapavosti tračnica (hrapavost kolosijeka) za pojas i -te valne duljine definira se kao $L_{r,TR,i}$.

Analogno tome, **razina hrapavosti kotača** (hrapavost vozila) za pojas i -tog valnog broja definira se kao $L_{r,VEH,i}$.

Ukupna i efektivna razina hrapavosti za pojas valnog broja i ($L_{R,tot,i}$) definira se kao zbroj energija razina hrapavosti tračnica i kotača te kontaktnog filtra $A_3(\lambda)$ radi uzimanja u obzir učinka filtriranja dodirnog dijela između tračnice i kotača te se izražava u dB jednadžbom:

$$L_{R,tot,i} = 10 \cdot \lg(10^{L_{r,TR,i}/10} + 10^{L_{r,VEH,i}/10}) + A_{3,i} \quad (2.3.7.)$$

pri čemu se iskazuje kao funkcija pojasu i -tog valnog broja koji odgovara valnoj duljini λ . Kontaktni filter ovisi o tipu kolosijeka i kotača te o opterećenju.

U metodi se upotrebljava ukupna efektivna hrapavost za j -tu dionicu kolosijeka i svaki t -ti tip vozila pri njegovoj odgovarajućoj brzini v .

Prijenosna funkcija vozila, kolosijeka i nadgrađa

Definiraju se tri prijenosne funkcije neovisne o brzini, $L_{H,TR,i}$, $L_{H,VEH,i}$ i $L_{H,VEH,SUP,i}$: prva je funkcija za svaku j -tu dionicu kolosijeka, a druge dvije za svaki t -ti tip vozila. Te funkcije povezuju ukupnu efektivnu razinu hrapavosti sa zvučnom snagom kolosijeka, kotača i nadgrađa, tim redom.

Doprinos nadgrađa uzima se u obzir samo za teretne vagone, dakle, samo za vozila tipa »a«.

Dakle, za buku kotrljanja doprinosi kolosijeka i vozila potpuno su opisani ovim prijenosnim funkcijama i ukupnom efektivnom razinom hrapavosti. Kad je vlak u stanju mirovanja, buka kotrljanja se isključuje.

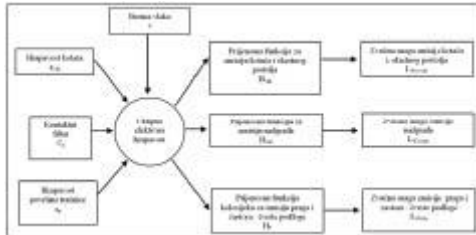
Za zvučnu snagu po vozilu buka kotrljanja izračunava se na visini osovine, a ulazne su vrijednosti ukupna efektivna razina hrapavosti $L_{R,tot,i}$ kao funkcija brzine vozila v , prijenosne funkcije kolosijeka, vozila i nadgrađa $L_{H,TR,i}$, $L_{H,VEH,i}$ i $L_{H,VEH,SUP,i}$ te ukupni broj osovina N_a : za $h = 1$:

$$L_{W,0,TR,i} - L_{R,tot,i} + L_{H,TR,i} + 10 \times \lg(N_a) \quad \text{dB} \quad (2.3.8.)$$

$$L_{W,0,VEH,i} - L_{R,tot,i} + L_{H,VEH,i} + 10 \times \lg(N_a) \quad \text{dB} \quad (2.3.9.)$$

$$L_{W,0,VEHSUP,i} - L_{R,tot,i} + L_{H,VEHSUP,i} + 10 \times \lg(N_a) \quad \text{dB} \quad (2.3.10.)$$

pri čemu je N_a broj osovina po vozilu za t -ti tip vozila.



Slika [2.3.c]: Shema za upotrebu različitih definicija hrapavosti i prijenosnih funkcija

Najmanja brzina od 50 km/h (30 km/h samo za tramvaje i laku gradsku željeznicu) upotrebljava se za utvrđivanje ukupne efektivne hrapavosti i time zvučne snage vozila (ta brzina ne utječe na izračun protoka vozila) radi kompenzacije potencijalne pogreške uvedene pojednostavljivanjem definicije buke kotrljanja, definicije buke kočenja i definicije udarne buke uzrokovane prijelazima i skretnicama.

Udarna buka (prijelazi, skretnice i križišta)

Udarnu buku mogu uzrokovati prijelazi, skretnice i križišta. Njezini se razmjeri mogu razlikovati te ona može nadjačati buku kotrljanja. Udarna se buka uzima u obzir za kolosijke sa spojnicama. Za udarnu buku uzrokovana skretnicama, prijelazima i spojevima na dionicama kolosijeka pri brzini manjoj od 50 km/h (30 km/h samo za tramvaje i laku gradsku željeznicu) ne radi se modeliranje jer se najmanja brzina od 50 km/h (30 km/h samo za tramvaje i laku gradsku željeznicu) upotrebljava za uključivanje više utjecaja u skladu s opisom iz poglavlja o buci kotrljanja. Također se ne radi modeliranje buke pri stanju kretanja $c = 2$ (stanje mirovanja).

Udarna buka uključena je u član buke kotrljanja time što se dopunska izmišljena razina hrapavosti (energetski) dodaje ukupnoj efektivnoj razini hrapavosti za svaku specifičnu j -tu dionicu kolosijeka na kojoj ta buka postoji. U tom se slučaju novi $L_{R,TOT+IMPACT,i}$ upotrebljava umjesto $L_{R,TOT,i}$ te će postati:

$$L_{R,TOT+IMPACT,f} = 10 \times \lg(10^{L_{R,TOT,f}/10} + 10^{L_{R,IMPACT,f}/10}) \text{ dB} \quad (2.3.11.)$$

$L_{R,IMPACT,i}$ je spektar pojasa širine 1/3 oktave (kao funkcija frekvencije). Za dobivanje tog frekvencijskog spektra, spektar se definira kao funkcija valne duljine λ te se pretvara u traženi spektar kao funkcija frekvencije korištenjem relacije $\lambda = v/f$, pri čemu je f središnja frekvencija pojasa širine 1/3 oktave u Hz i v je s-ta brzina vozila t -og tipa vozila u m/s. Utjecaj buke ovisit će o snazi i broju udara po jediničnoj duljini ili gustoći spojeva tako da se u slučaju da su zadani višestruki udari razina udarne hrapavosti koju treba upotrijebiti u gornjoj jednadžbi izračunava ovako:

$$L_{R,IMPACT,i} = L_{R,IMPACT-SINGLE,i} + 10 \times \lg\left(\frac{n_i}{0.01}\right) \text{ dB} \quad (2.3.12.)$$

pri čemu je $L_{R,IMPACT SINGLE,i}$ razina udarne hrapavosti uzeta za pojedini udar i n_i je gustoća spojeva.

Unaprijed zadana razina gustoće uzeta je za gustoću spojeva od $n_l = 0,01 \text{ m}^{-1}$, što znači jedan spoj na 100 m kolosijeka. Situacije s različitim brojem spojeva aproksimiraju se prilagođavanjem gustoće spojeva n_l . Treba napomenuti da se pri modeliranju trase i segmentacije pruge mora uzeti u obzir gustoća spojeva, što znači da možda bude neophodno uzeti odvojeni segment izvora za dio kolosijeka s više spojeva. $L_{W,O}$ doprinosa kolosijeka, kotača / okretnog postolja i nadgrađa povećava se pomoću $L_{R,IMPACT,i}$ za $+/- 50 \text{ m}$ ispred i iza spoja tračnica. U slučaju niza spojeva, povećanje se proširuje na -50 m ispred prvog spoja i $+50 \text{ m}$ iza posljednjeg spoja.

Primjenjivost tih spektara zvučne snage obično se provjerava na lokaciji.

Za kolosijeke sa spojnicama uzima se unaprijed zadana vrijednost n_l od 0,01.

Civiljenje

~~Civiljenje u luku kolosijeka je poseban izvor koji se odnosi samo na lukove pa je stoga lokaliziran. Budući da može biti značajan, potrebno ga je odgovarajuće opisati. Civiljenje u luku u pravilu ovisi o zakriviljenju, uvjetima trenja, brzini vlaka te geometriji i dinamici između tračnice i kotača. Razina emisije koju treba upotrijebiti određuje se za lukove s poljumjerom manjim od ili jednakim 500 m i za oštire lukove i grananja s poljumjerima manjima od 300 m. Emisija buke treba biti posebna za svaki tip željezničkog vozila jer neki tipovi kotača i okretnih postolja mogu biti znatno manje skloni civiljenju od drugih.~~

~~Primjenjivost tih spektara zvučne snage obično se provjerava na lokaciji, posebno u slučaju tramvaja.~~

Civiljenje u luku je poseban izvor koji se odnosi samo na lukove pa je stoga lokaliziran. Civiljenje u luku u pravilu ovisi o zakriviljenosti, uvjetima trenja, brzini vlaka te geometriji i dinamici između kolosijeka i kotača. Budući da može biti značajno, potrebno ga je primjereno opisati. Na mjestima gdje se javlja civiljenje u luku, a to je u pravilu u lukovima i željezničkim skretnicama, izvornoj snazi potrebno je dodati odgovarajuće spekture snage viška buke. Višak buke može biti poseban za svaki tip željezničkog vozila jer neki tipovi kotača i okretnih postolja mogu biti znatno manje skloni civiljenju od drugih. Ako su dostupna mjerena viška

buke u kojima se dostatno uzima u obzir stohastička priroda civiljenja, ona se mogu upotrebljavati.

Ako odgovarajuća mjerena nisu dostupna, može se primijeniti jednostavan pristup. U tom se pristupu buka civiljenja uzima u obzir tako da se sljedeći viškovi vrijednosti dodaju spektrima zvučne snage buke kotrljanja za sve frekvencije.

Vlak	5 dB za lukove s $300 \text{ m} < R \leq 500 \text{ m}$ i $l_{track} \geq 50 \text{ m}$ 8 dB za lukove s $R \leq 300 \text{ m}$ i $l_{track} \geq 50 \text{ m}$ 8 dB za skretnice s $R \leq 300 \text{ m}$ 0 dB u ostalim slučajevima
Tramvaj	5 dB za lukove i skretnice s $R \leq 200 \text{ m}$ 0 dB u ostalim slučajevima

pri čemu je l_{track} duljina kolosijeka duž luka, a R je poljumjer luka.

Primjenjivost tih spektara zvučne snage ili viškova vrijednosti obično se provjerava na lokaciji, posebno u slučaju tramvaja i mjesta na kojima se lukovi ili skretnice tretiraju sredstvima protiv civiljenja.

U jednostavnom pristupu buka civiljenja uzima se u obzir tako što se spektrima zvučne snage buke kotrljanja za sve frekvencije doda 8 dB za $R < 300$ m i 5 dB za $300 \text{ m} < R < 500$ m. Doprinos civiljenja primjenjuje se na dionice željezničkog/pružnog kolosijeka na kojima je polumjer unutar prethodno navedenih vrijednosti u duljini od barem 50 m kolosijeka.

Buka vuče

Iako je buka vuče obično posebna za svako tipično radno stanje (konstantna brzina, usporenje, ubrzanje i stanje mirovanja), jedina dva stanja za koja se vrši modeliranje su konstantna brzina (koja vrijedi i kad vlak usporava ili ubrzava) i stanje mirovanja. Modelirana snaga izvora odgovara jedino uvjetima maksimalnog opterećenja, a to daje vrijednosti $L_{W,0,const,i} = L_{W,0,idling,i}$. Također, $L_{W,0,idling,i}$ odgovara doprinosu svih fizičkih izvora zadanih vozila koji se mogu dodijeliti određenoj visini, u skladu s opisom iz točke 2.3.1. $L_{W,0,idling,i}$ izražava se kao statički izvor buke u stanju mirovanja za vrijeme trajanja stanja mirovanja te ga se treba upotrebljavati modeliranog kao stacionarni točkasti izvor u skladu s opisom iz sljedećeg poglavlja o buci industrijskih pogona i postrojenja. On se uzima u obzir samo ako su vlakovi u stanju mirovanja dulje od 0,5 sati.

Te se vrijednosti mogu dobiti mjeranjem svih izvora za svako radno stanje ili se izvori mogu definirati pojedinačno tako što će se utvrditi njihova ovisnost o parametrima i relativna snaga. To se može postići mjeranjem na vozilu u stanju mirovanja time što će se mijenjati brzina osovine vučne opreme, u skladu s normom ISO 3095:2005. Potrebno je opisati više izvora buke vuče koji ne moraju svi izravno ovisiti o brzini vlaka u mjeri u kojoj su ti izvori važni:

- buka pogonskog sustava, poput dizelskih motora (uključujući usisne i ispušne otvore i motor), prijenosnog mehanizma i električnih generatora, koja prije svega ovisi o broju okretaja motora u minuti (rpm), i buka električnih izvora poput transformatora, koja može uglavnom ovisiti o opterećenju,
- buka ventilatora i sustava za hlađenje, koja ovisi o brzini okretaja ventilatora u minuti; u nekim slučajevima ventilatori mogu biti izravno spojeni na pogonsku grupu,
- povremeni izvori poput kompresora, ventila i ostalih izvora koji posjeduju tipično trajanje rada i s odgovarajućom korekcijom emisije buke zbog radnog ciklusa.

Budući da se svaki od tih izvora može ponašati različito za svako radno stanje, buka vuče navodi se ovisno o tome. Snaga izvora dobiva se mjeranjem pod kontroliranim uvjetima. Općenito, lokomotive će pokazati veću varijaciju u opterećenju jer mogu postojati zнатне razlike u broju vagona koje vuku i time u izlaznoj snazi, dok fiksne kompozicije poput elektromotornih vlakova (EMV-ovi), dizelmotornih vlakova (DMV-ovi) i vlakova velike brzine imaju bolje definirano opterećenje.

Zvučna snaga izvora nije unaprijed dodijeljena visinama izvora pa se taj izbor vrši ovisno o specifičnoj buci i vozilu koje se ocjenjuje. Modelira se na izvoru A ($h = 1$) i izvoru B ($h = 2$).

Aerodinamička buka

Aerodinamička buka važna je samo za brzine iznad 200 km/h pa je stoga prvo potrebno provjeriti je li uopće potrebna za ove primjene. Ako su hrapavost i prijenosne funkcije buke kotrljanja poznate, aerodinamička se buka može ekstrapolirati za veće brzine te se može usporediti s postojećim podacima za velike brzine kako bi se provjerilo stvara li aerodinamička buka više razine buke. Ako je brzina vlakova na mreži veća od 200 km/h, ali je ograničena na 250 km/h, u nekim slučajevima nije nužno uključiti aerodinamičku buku, ovisno o konstrukciji vozila.

Doprinos aerodinamičke buke daje se kao funkcija brzine:

$$L_{W,0,i} = L_{W,0,1,i}(v_0) + \alpha_{1,i} \times \lg\left(\frac{v}{v_0}\right) \text{ dB za } h = 1 \quad (2.3.13.)$$

$$L_{W,0,i} = L_{W,0,2,i}(v_0) + \alpha_{2,i} \times \lg\left(\frac{v}{v_0}\right) \text{ dB} \quad \text{za } h = 2 \quad (2.3.14.)$$

pri čemu je:

v_0 brzina na kojoj je aerodinamička buka dominantna te je utvrđena na 300 km/h,
 $L_{W,0,1,i}$ referentna zvučna snaga izmjerena na najmanje dvije mjerne točke za izvore čije su visine izvora poznate, na primjer za prvo okretno postolje,
 $L_{W,0,2,i}$ referentna zvučna snaga izmjerena na najmanje dvije mjerne točke za izvore čije su visine izvora poznate, na primjer za visine udubine oduzimača struje,
 $\alpha_{1,i}$ koeficijent utvrđen iz najmanje dvije mjerne točke za izvore čije su visine izvora poznate, na primjer za prvo okretno postolje,
 $\alpha_{2,i}$ koeficijent utvrđen iz najmanje dvije mjerne točke za izvore čije su visine izvora poznate, na primjer za visine udubine oduzimača struje.

Usmjerenost izvora

Horizontalna usmjerenost $\Delta L_{W,dir,hor,i}$ u dB zadana je u horizontalnoj ravnini te se može unaprijed pretpostaviti da je dipolna za učinke kotrljanja, udara (spojevi tračnica itd.), civiljenja, kočenja, ventilatora i aerodinamike, zadana za svaki i -ti frekvencijski pojas jednadžbom:

$$\Delta L_{W,dir,hor,i} = 10 \times \lg(0.01 + 0.99 \cdot \sin^2 \varphi) \quad (2.3.15.)$$

Buka mosta modelira se na izvoru A ($h = 1$), za koji se pretpostavlja svesmjernost.

Vertikalna usmjerenost $\Delta L_{W,dir,ver,i}$ u dB zadana je u vertikalnoj ravnini za izvor A ($h = 1$) kao funkcija srednje frekvencije pojasa $f_{e,f}$ svakog i -tog frekvencijskog pojasa i za $-\pi/2 < \psi < \pi/2$ jednadžbom:

$$\Delta L_{W,dir,ver,i} = \left(\frac{40}{3} \times \left[\frac{2}{3} \times \sin(2 \cdot \psi) - \sin \psi \right] \times \lg\left[\frac{f_{e,f} + 600}{200}\right] \right) \quad (2.3.16.)$$

Vertikalna usmjerenošć $\Delta L_{W,dir,ver,i}$ u dB zadana je u vertikalnoj ravnini za izvor A ($h = 1$) kao funkcija središnje frekvencije pojasa $f_{c,i}$ svakog i -tog frekvencijskog pojasa i:

za $0 < \psi < \pi/2$ jest

$$\Delta L_{W,dir,ver,i} = \left(\frac{40}{3} * \left[\frac{2}{3} * \sin(2 * \psi) - \sin(\psi) \right] * \lg \left[\frac{f_{c,i} + 600}{200} \right] \right)$$

(2.3.16.)

za $-\pi/2 < \psi \leq 0$ jest

$$\Delta L_{W,dir,ver,i} = 0$$

Za izvor B ($h = 2$) za aerodinamički učinak:

$$\Delta L_{W,dir,ver,i} = 10 * \lg(\cos^2 \psi) \quad \text{za } \psi < 0$$

(2.3.17.)

inače $\Delta L_{dir,ver,i} = 0$

Usmjerenošć $\Delta L_{dir,ver,i}$ ne uzima se u obzir za izvor B ($h = 2$) za druge utjecaje jer se za izvore B u tom položaju pretpostavlja svesmjernost.

2.3.3. Dodatni utjecaji

Korekcija za strukturalna emitiranja (mostovi i vijadukti)

U slučaju kad se segment kolosijeka nalazi na mostu, neophodno je uzeti u obzir dodatnu buku nastalu vibracijom mosta zbog pobuđivanja uzrokovanih prisutnošću vlaka. Budući da zbog složenosti oblika mostova nije jednostavno modelirati emisiju mosta kao dodatnog izvora, za uvrštavanje buke mosta upotrebljava se povećanje buke kotrljanja. To se povećanje modelira isključivo dodavanjem fiksnog povećanja zvučnoj snazi buke za svaki tereni pojas. Kad se uzima korekcija, mijenja se samo zvučna snaga buke kotrljanja pa se upotrebljava novi $L_{W,0,rolling-and-bridge,i}$ umjesto $L_{W,0,rolling-only,i}$:

$$L_{W,0,rolling-and-bridge,i} = L_{W,0,rolling-only,i} + C_{bridge} \text{ dB}$$

(2.3.18.)

pri čemu je C_{bridge} konstanta koja ovisi o tipu mosta, a $L_{W,0,rolling-only,i}$ zvučna snaga buke kotrljanja na zadanom mostu koja ovisi samo o svojstvima vozila i kolosijeka.

Korekcija za strukturalna emitiranja (mostovi i vijadukti)

U slučaju kad se dionica kolosijeka nalazi na mostu, neophodno je uzeti u obzir dodatnu buku nastalu vibracijom mosta zbog pobuđivanja uzrokovanih prisutnošću vlaka. Buka mosta modelira se kao dodatni izvor čija se zvučna snaga po vozilu izražava sljedećom formulom:

$$L_{H,0,bridge,i} = L_{R,TOT,i} + L_{ff,bridge,i} + 10 * \lg(N_a) \text{ dB} \quad (2.3.18.)$$

pri čemu je $L_{H,0,bridge,i}$ prijenosna funkcija mosta. Buka mosta $L_{W,0,bridge,i}$ predstavlja samo zvuk koji emitira konstrukcija mosta. Buka kotrljanja vozila na mostu izračunava se s pomoću formula od (2.3.8.) do (2.3.10.), i to odabirom prijenosne funkcije kolosijeka koja odgovara sustavu kolosijeka koji je prisutan na mostu. Ograde uz rub mosta u pravilu se ne uzimaju u obzir.

Korekcija za ostale izvore povezane sa željeznicom

Moguća je prisutnost različitih drugih izvora koji su povezani sa pružnom bukom, poput spremišta, područja za utovar i istovar, kolodvora i stajališta, zvona, kolodvorskog zvučnika itd. Prema tim se izvorima treba postupati kao prema izvorima buke industrijskih pogona i postrojenja (stacionarni izvori buke) pa ih prema potrebi treba modelirati u skladu sa sljedećim poglavljem o buci industrijskih pogona i postrojenja.

2.4. Buka industrijskih pogona i postrojenja

2.4.1. Opis izvora

Klasifikacija vrsta izvora (točkasti, linijski, površinski)

Dimenzije industrijskih izvora mogu biti vrlo različite. Ti izvori mogu biti veliki industrijski pogoni i mali, koncentrirani izvori poput malih alata ili strojeva koji se upotrebljavaju u tvornicama. Stoga je neophodno upotrijebiti prikladnu tehniku modeliranja za specifičan izvor koji se ocjenjuje. Ovisno o dimenzijama i načinu na koji je više pojedinih izvora razmješteno na nekom području, pri čemu svaki od njih pripada istoj industrijskoj lokaciji, te se izvore može modelirati kao točkaste, linijske ili površinske. U praksi se izračuni učinka buke uvijek temelje na točkastim izvorima, ali nekoliko se točkastih izvora može upotrijebiti za prikaz stvarnog složenog izvora koji se uglavnom nalazi na nekoj liniji ili površini.

Broj i položaj ekvivalentnih izvora zvuka

Stvarni se izvori zvuka modeliraju korištenjem ekvivalentnih izvora zvuka koje predstavljaju jedan ili više točkastih izvora tako da ukupna zvučna snaga stvarnih izvora odgovara zbroju pojedinih zvučnih snaga dodijeljenih različitim točkastim izvorima.

Opća pravila koja treba primjenjivati u definiranju broja točkastih izvora koji će se upotrijebiti su:

- linijski ili točkasti izvori kod kojih je najveća dimenzija manja od 1/2 udaljenosti između izvora i prijemnika mogu se modelirati kao jedan točkasti izvor,
- izvori kod kojih je najveća dimenzija veća od 1/2 udaljenosti između izvora i prijemnika trebaju se modelirati kao niz nekoherentnih točkastih izvora na pravcu ili kao niz nekoherentnih točkastih izvora na nekoj površini tako da za svaki od tih izvora bude ispunjen uvjet 1/2 udaljenosti. Razdioba na nekoj površini može uključivati vertikalnu distribuciju točkastih izvora,
- posebnu je pozornost potrebno pridati visini izvora za izvore kod kojih su najveće dimenzije po visini iznad 2 m ili blizu razine tla. Udvostručenje broja izvora, uz njihovu ponovnu razdiobu samo po z-osi, ne mora dovesti do znatno boljeg rezultata za taj izvor,
- u slučaju bilo kojeg izvora udvostručenje broja izvora na površini izvora (u svim dimenzijama) ne mora dovesti do znatno boljeg rezultata.

Položaj ekvivalentnih izvora zvuka ne može biti fiksan, s obzirom na velik broj konfiguracija koje mogu postojati na industrijskoj lokaciji. Obično će se primjenjivati najbolja praktična rješenja.

Emisija zvučne snage

Općenito

Sljedeće informacije predstavljaju potpun skup ulaznih podataka za izračune širenja (propagacije) zvuka metodama koje treba upotrebljavati za izradu karata buke:

- spektar emitirane razine zvučne snage u oktavnim pojasevima,
- radno vrijeme (dan, večer, noć, prema godišnjem prosjeku),
- lokacija (koordinate x, y) i nadmorska visina (z) izvora buke,
- vrsta izvora (točkasti, linijski, površinski),

- dimenzije i orientacija,
- radni uvjeti izvora,
- usmjerenost izvora.

Zvučne snage točkastih, linijskih i površinskih izvora moraju se definirati:

- za točkasti izvor, kao zvučna snaga L_W i usmjerenost kao funkcija tri ortogonalne koordinate (x, y, z),
- mogu se definirati dvije vrste linijskih izvora:
- za linijske izvore koji prikazuju transportne trake, cjevovode itd., kao zvučna snaga po metru duljine L_W i usmjerenost kao funkcija dviju ortogonalnih koordinata u odnosu na os linijskog izvora,
- za linijske izvore koji prikazuju vozila u kretanju, kao svaka povezana zvučna snaga L_W i usmjerenost kao funkcija dviju ortogonalnih koordinata u odnosu na os linijskog izvora i zvučna snaga po metru L_W dobivena pomoću brzine i broja vozila koja putuju na tom pravcu po danu, večeri i noći; Korekcija za radno vrijeme, koju treba dodati snazi zvučnog izvora kako bi se dobila korigirana zvučna snaga koju treba upotrebljavati za izračune tijekom svakog vremenskog razdoblja, C_W u dB, izračunava se jednadžbom:

$$C_W = 10 \lg \left(\frac{I \times n}{1000 \times V \times T_0} \right)$$

(2.4.1.)

- linijski izvori koji prikazuju vozila u kretanju izračunavaju se u skladu s formulom 2.2.1.

Pri čemu je:

- V brzina vozila [km/h],
 n broj prolazaka vozila u razdoblju [-],
 I ukupna duljina izvora [m],

- za površinske izvore zvuka, kao zvučna snaga po kvadratnom metru L_{W/m^2} i bez usmjerenosti (može biti horizontalna ili vertikalna).

Radno je vrijeme ključna ulazna vrijednost za izračun razina buke. Radno se vrijeme zadaje za razdoblje dana, večeri i noći, ali se, ako se za širenje upotrebljavaju različite meteorološke klase definirane za svako razdoblje dana, noći i večeri, mora zadati detaljnija podjela radnog vremena za podrazdoblja koja odgovaraju distribuciji meteoroloških klasa. Te se informacije temelje na godišnjem prosjeku.

Korekcija za radno vrijeme, koju treba dodati snazi zvučnog izvora kako bi se dobila korigirana zvučna snaga koja se upotrebljava za izračune tijekom svakog vremenskog razdoblja, C_W u dB, izračunava se jednadžbom:

$$C_W = 10 \times \lg \left(\frac{T}{T_{ref}} \right)$$

(2.4.2.)

(2.4.1.)

pri čemu:

T je vrijeme aktivnog izvora po razdoblju na temelju uprosječenog godišnjeg stanja, u satima,

T_{ref} je referentno vremensko razdoblje u satima (na primjer, dan je 12 sati, večer je 4 sata, noć je 8 sati).

Za dominantnije izvore korekcija za prosječno godišnje radno vrijeme procjenjuje se barem unutar dopuštenog odstupanja od 0,5 dB kako bi se postigla prihvatljiva točnost (ekvivalent nesigurnosti ispod 10 % u definiciji aktivnog razdoblja za izvor).

Usmjerenost izvora

Usmjerenost izvora snažno je povezana s položajem ekvivalentnog izvora zvuka u odnosu na obližnje površine. Budući da metoda širenja uzima u obzir refleksije od bliskih površina i apsorpciju zvuka, neophodno je pažljivo razmotriti položaj bliskih površina. U pravilu se uvijek razlikuju dva slučaja:

- zvučna snaga i usmjerenost izvora utvrđuju se i zadaju u odnosu na određeni stvarni izvor koji je smješten u slobodno zvučno polje (isključujući utjecaj tla). To se slaže s definicijama u pogledu širenja ako se pretpostavi da nema bliskih površina na udaljenosti od najmanje 0,01 m od izvora, a površine na udaljenosti od 0,01 m ili više su uključene u izračun širenja,
- zvučna snaga i usmjerenost izvora utvrđuju se i zadaju u odnosu na određeni stvarni izvor koji je smješten na specifičnu lokaciju pa su stoga zvučna snaga i usmjerenost izvora zapravo »ekvivalentne« jer uključuju modeliranje utjecaja bliskih površina. To se definira kao »poluslobodno zvučno polje« u skladu s definicijama u vezi sa širenjem. U tom se slučaju modelirane bliske površine isključuju iz izračuna širenja.

Usmjerenost se u izračunu izražava kao faktor $\Delta L_{W,dir,xyz}(x, y, z)$ koji treba dodati zvučnoj snazi kako bi se dobila prava usmjerenena zvučna snaga referentnog zvučnog izvora kakva se vidi u širenju zvuka u zadanom smjeru. Taj se faktor može iskazati kao funkcija vektora smjera koji se definira pomoću (x,y,z) u $\sqrt{x^2+y^2+z^2}=1$.

Usmjerenost se također može izraziti korištenjem drugih koordinatnih sustava poput kutnog sustava.

2.5. Izračun širenja buke za cestovne, željezničke i industrijske izvore

2.5.1. Područje primjene i primjenjivost metode

U ovom se dokumentu određuje metoda za izračun prigušenja buke prilikom širenja u vanjskom prostoru. Uz poznata svojstva izvora ovom se metodom predviđa ekvivalentna kontinuirana razina zvučnog tlaka u točki prijemnika koja odgovara dvjema posebnim vrstama atmosferskih uvjeta, a to su:

- uvjeti širenja uz lom (refrakciju) prema dolje (pozitivni vertikalni gradijent efektivne brzine zvuka) od izvora do prijemnika,
- homogeni atmosferski uvjeti (nulti vertikalni gradijent efektivne brzine zvuka) u cijelom području širenja.

Metoda izračuna opisana u ovom dokumentu odnosi se na infrastrukture industrije i kopnenog prometa. Stoga se posebno odnosi na cestovne i željezničke infrastrukture. U područje primjene ove metode uključen je zračni promet samo za buku koja se stvara pri operacijama na tlu te u njega nije uključeno uzljetanje i slijetanje.

Industrijske infrastrukture koje emitiraju impulsne šumove ili jake tonalne buke iz norme ISO 1996-2:2007 ne ulaze u područje primjene ove metode.

Metoda izračuna ne daje rezultate za uvjete širenja uz lom (refrakciju) prema gore (negativni vertikalni gradijent efektivne brzine zvuka), ali ti se uvjeti aproksimiraju homogenim uvjetima pri izračunu L_{den} .

Kako bi se izračunalo prigušenje zbog apsorpcije u atmosferi za prometu infrastrukture, temperatura i vlaga izračunavaju se u skladu s normom ISO 9613-1:1996.

Metodom se dobivaju rezultati po oktavnim pojasevima od 63 Hz do 8000 Hz. Izračuni se rade za svaku središnju frekvenciju.

~~Djelomični zasloni i prepreke koji su pri modeliranju ukošeni preko 15 stupnjeva u odnosu na vertikalu ne spadaju u područje primjene ove metode izračuna.~~

Objekti koji su ukošeni više od 15° u odnosu na vertikalu ne smatraju se reflektorima, nego se uzimaju u obzir u svim ostalim aspektima širenja, kao što su utjecaji tla i difracija.

Jedan se zaslon izračunava kao jedan izračun difracije (ogiba), a dva ili više zaslona na jednom putu uzimaju se kao uzastopni niz pojedinih difracija primjenom u nastavku opisanog postupka.

2.5.2. Korištene definicije

Sve udaljenosti, visine, dimenzije i nadmorske visine u ovom dokumentu izražavaju se u metrima (m).

Zapis MN znači udaljenost u 3 dimenzije (3D) između točaka M i N koja je izmjerena na pravcu koji povezuje te točke.

Zapis M^N znači duljina krivulje između točaka M i N pod povoljnim uvjetima.

Uobičajeno je da se stvarne visine mjere vertikalno u smjeru okomitom na vodoravnu ravnicu. Visine točaka iznad lokalnog tla označavaju se slovom h , absolutne visine točaka i absolutna visina tla označavaju se slovom H .

Kako bi se uzeo u obzir stvarni reljef duž puta širenja, uvodi se pojam »ekvivalentne visine« koji se označava slovom z . Njime se zamjenjuju stvarne visine u jednadžbama za utjecaj tla.

Razine zvuka, označene velikim slovom L , izražene su u decibelima (dB) po frekvencijskom pojasu kad se ispusti indeks A . Razinama zvuka u decibelima dB(A) zadaje se indeks A .

Zbroj razina zvuka iz međusobno nekoherentnih izvora označava se znakom \oplus u skladu sa sljedećom definicijom:

$$L_1 \oplus L_2 = 10 \cdot \lg \left[10^{\frac{L_1}{10}} + 10^{\frac{L_2}{10}} \right] \quad (2.5.1.)$$

2.5.3. Geometrijska razmatranja

Segmentacija izvora

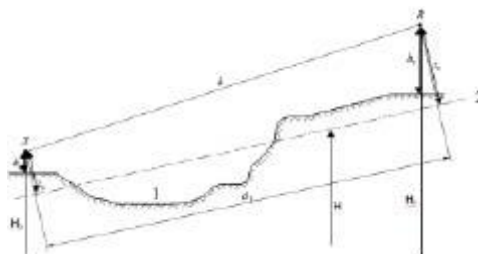
Stvarni izvori opisuju se skupom točkastih izvora ili, u slučaju pružnog ili cestovnog prometa, nekoherentnih linijskih izvora. U primjeni metode širenja pretpostavlja se da su linijski ili površinski izvori prethodno podijeljeni kako bi ih se prikazalo nizom ekvivalentnih točkastih izvora. To se moglo napraviti u preliminarnoj obradi izvornih podataka ili se može napraviti u prvom koraku u softveru za izračune. Način na koji se to radi nije obuhvaćen opsegom ove metodologije.

Putovi širenja

U metodi se upotrebljava geometrijski model koji se sastoji od skupa povezanih površina na tlu i površina prepreka. Put vertikalnog širenja primjenjuje se na jednoj ili više vertikalnih ravnina u odnosu na horizontalnu ravnicu. U slučaju putanja koje sadrže refleksije s vertikalnih površina koje nisu ortogonalne na upadnu ravninu, poslije se uzima još jedna vertikalna ravnina na kojoj se nalazi reflektirani dio puta širenja. U tim se slučajevima, kad se koristi više vertikalnih ravnina za opisivanje cijele putanje od izvora do prijemnika, vertikalne ravnine potom izravnavaju poput kineskog paravana na rasklapanje.

Značajne visine iznad tla

Ekvivalentne visine dobivaju se iz središnje ravnine tla između izvora i prijemnika. To zamjenjuje stvarno tlo zamišljenom ravninom koja predstavlja srednji profil zemlje.



1: Stvarni reljef

2: Središnja ravnina

Slika 2.5.a: Ekvivalentne visine u odnosu na tlo

Ekvivalentna visina točke je njezina ortogonalna visina u odnosu na srednju ravninu tla. Stoga se mogu definirati visina ekvivalentnog izvora z_s i visina ekvivalentnog prijemnika z_r .

Udaljenost između izvora i prijemnika projicirana na središnju ravninu tla obilježava se s d_p . Ako ekvivalentna visina točke postane negativna, to jest, ako se točka nalazi ispod središnje ravnine tla, zadržava se nulta visina, a ekvivalentna točka je jednaka sa svojom mogućom slikom.

Izračun središnje ravnine

Na ravnini puta širenja topografija (uključujući teren, humke, nasipe i druge ljudske prepreke, zgrade...) se može opisati uređenim skupom diskretnih točaka $(x_k, H_k); k \in \{1, \dots, n\}$. Taj skup točaka definira poliliniju ili, ekvivalentno, niz dužina $H_k = a_k x + b_k, x \in [x_k, x_{k+1}]; k \in \{1, \dots, n\}$, pri čemu je:

$$\begin{cases} a_k = (H_{k+1} - H_k) / (x_{k+1} - x_k) \\ b_k = (H_k \cdot x_{k+1} - H_{k+1} \cdot x_k) / (x_{k+1} - x_k) \end{cases}$$

(2.5.2.)

Središnja se ravnina prikazuje pravcem $Z = ax+b$; $x \in [x_1, x_n]$ koji se prilagođava poliliniji aproksimacijom najmanjih kvadrata. Jednadžba središnjeg pravca može se riješiti analitički. Korištenjem jednadžbi:

$$\begin{cases} A = \frac{2}{3} \sum_{k=1}^{n-1} a_k (x_{k+1}^3 - x_k^3) + \sum_{k=1}^{n-1} b_k (x_{k+1}^2 - x_k^2) \\ B = \sum_{k=1}^{n-1} a_k (x_{k+1}^2 - x_k^2) + 2 \sum_{k=1}^{n-1} b_k (x_{k+1} - x_k) \end{cases}$$

(2.5.3.)

Koeficijenti pravca dobivaju se jednadžbama:

$$\begin{cases} a = \frac{3(2A - B(x_n + x_1))}{(x_n - x_1)^3} \\ b = \frac{2(x_n^3 - x_1^3)}{(x_n - x_1)^4} B - \frac{3(x_n + x_1)}{(x_n - x_1)^3} A \end{cases}$$

(2.5.4.)

Pri čemu se dužine s $x_{k+1} = x_k$ zanemaruju pri rješavanju jednadžbe 2.5.3.

Refleksija od pročelja zgrada i drugih vertikalnih prepreka

Doprinosi refleksija uzimaju se u obzir uvođenjem zrcalnih izvora u skladu s opisom u nastavku.

2.5.4. Model širenja zvuka

Za prijemnik R izračuni se rade u skladu sa sljedećim koracima:

- 1) na svakom putu širenja:
 - izračun prigušenja u povoljnim uvjetima,
 - izračun prigušenja u homogenim uvjetima,
 - izračun dugotrajne razine zvuka za svaki put;
- 2) nakupljanje dugotrajnih razina zvuka za sve putove koji utječu na određeni prijemnik, čime se omogućuje da se ukupna razina zvuka izračuna na točki prijemnika.

Potrebno je napomenuti da meteorološki uvjeti utječu samo na prigušenja zbog utjecaja tla (A_{ground}) i difrakcije (A_{dif}).

2.5.5. Postupak izračuna

Za točkasti izvor S usmjerene snage zvuka $L_{w,0,\text{dir}}$ i zadanoj frekvencijskog pojasa ekvivalentna kontinuirana razina zvučnog tlaka na točki prijemnika R pod zadanim atmosferskim uvjetima dobiva se u skladu sa sljedećim jednadžbama.

Razina zvuka u povoljnim uvjetima (LF) za put (S, R)

$$L_F = L_{w,0,\text{dir}} - A_F$$

(2.5.5.)

Član A_F predstavlja ukupno prigušenje na putu širenja pod povoljnim uvjetima te se rastavlja na sljedeći način:

$$\overrightarrow{A_F = A_{div} + A_{atm} + A_{boundary,F}}$$

$$A_F = A_{div} + A_{atm} + A_{boundary,F}$$

(2.5.6.)

pri čemu:

A_{div} je prigušenje zbog geometrijske divergencije,

A_{atm} je prigušenje zbog apsorpcije u atmosferi,

$A_{boundary,F}$ je prigušenje zbog rubnih uvjeta u propagacijskom mediju pod povoljnim uvjetima. Ono može sadržavati sljedeće članove:

$A_{ground,F}$ što je prigušenje zbog tla pod povoljnim uvjetima,

$A_{dif,F}$ što je prigušenje zbog difrakcije pod povoljnim uvjetima.

Za zadani put i frekvencijski pojas moguća su sljedeća dva scenarija:

- ili se $A_{ground,F}$ izračunava bez difrakcije ($A_{dif,F} = 0$ dB) i $A_{boundary,F} = A_{ground,F}$,
- ili se izračunava $A_{dif,F}$. Utjecaj tla uzima se u obzir u samoj jednadžbi za $A_{dif,F}$ ($A_{ground,F} = 0$ dB). Time se dobiva $A_{boundary,F} = A_{dif,F}$.

Razina zvuka u homogenim uvjetima (L_H) za put (S,R)

Postupak je izričito identičan onom u slučaju povoljnih uvjeta prikazanom u prethodnom dijelu.

$$L_H = L_{W,0,div} - A_H$$

(2.5.7.)

Član A_H predstavlja ukupno prigušenje na putu širenja pod homogenim uvjetima te se rastavlja na sljedeći način:

$$A_H = A_{div} + A_{atm} + A_{boundary,H}$$

(2.5.8.)

pri čemu:

A_{div} je prigušenje zbog geometrijske divergencije,

A_{atm} je prigušenje zbog apsorpcije u atmosferi,

$A_{boundary,H}$ je prigušenje zbog rubnih uvjeta u propagacijskom mediju pod homogenim uvjetima. Ono može sadržavati sljedeće članove:

$A_{ground,H}$ što je prigušenje zbog tla pod homogenim uvjetima,

$A_{dif,H}$ što je prigušenje zbog difrakcije pod homogenim uvjetima.

Za zadani put i frekvencijski pojas moguća su sljedeća dva scenarija:

- ili se $A_{ground,H}$ izračunava bez difrakcije ($A_{dif,H} = 0$ dB), a $A_{boundary,H} = A_{ground,H}$,
- ili se izračunava $A_{dif,H}$ ($A_{ground,H} = 0$ dB). Utjecaj tla uzima se u obzir u samoj jednadžbi za $A_{dif,H}$. Time se dobiva $A_{boundary,H} = A_{dif,H}$.

Statistički pristup u urbanim prostorima za put širenja (S,R)

U urbanim je prostorima dopušten statistički pristup izračunu širenja zvuka iza prvog reda zgrada pod uvjetom da je takva metoda odgovarajuće dokumentirana, što podrazumijeva i odgovarajuće informacije o kvaliteti metode. Ova metoda može zamijeniti izračun $A_{boundary,H}$ i

$A_{\text{boundary},F}$ aproksimacijom ukupnog prigušenja za izravni put i sve refleksije. Izračun će se temeljiti na prosječnoj gustoći zgrada i na prosječnoj visini svih zgrada u prostoru.

Dugotrajna zvučna razina za put širenja (S,R)

»Dugotrajna« razina zvuka duž puta širenja iz zadanog točkastog izvora dobiva se iz logaritamskog zbroja vrednovane zvučne energije pod homogenim uvjetima i zvučne energije pod povoljnim uvjetima.

Te se razine zvuka vrednuju prema srednjem broju pojava p povoljnih uvjeta u smjeru puta širenja (S,R):

$$L_{LT} = 10 \times \lg \left(p \cdot 10^{\frac{L_p}{10}} + (1-p) \cdot 10^{\frac{L_H}{10}} \right) \quad (2.5.9.)$$

Napomena: Vrijednosti pojava za p izražene su u postocima. Na primjer, ako je vrijednost pojava 82 %, jednadžba (2.5.9.) bi imala $p = 0,82$.

Dugotrajne zvučne razine u točki R za sve putove širenja

Ukupna dugotrajna zvučna razina na prijemniku za neki frekvencijski pojas dobiva se zbrajanjem energetskih doprinosa iz svih putova N, uključujući sve tipove:

$$L_{wL,LT} = 10 \times \lg \left(\sum_n 10^{\frac{L_{n,LT}}{10}} \right) \quad (2.5.10.)$$

pri čemu:

n je indeks putova između S i R.

U nastavku je opisano kako se pomoću zrcalnih izvora uzimaju u obzir refleksije. Postotak pojava povoljnih uvjeta u slučaju puta koji se reflektira od vertikalne prepreke identičan je pojavama na izravnom putu.

Ako je S' zrcalni izvor S, tad se pojava p' puta (S',R) smatra jednakom pojavi p puta (S_i,R).

Dugotrajne zvučne razine na točki R u decibelima A (dBA)

Ukupna zvučna razina u decibelima A (dBA) dobiva se zbrajanjem razina u svakom frekvencijskom pojasu:

$$L_{Aeq,LT} = 10 \times \lg \sum_i 10^{\frac{(L_{n,i,LT} + AWC_{f,i})}{10}} \quad (2.5.11.)$$

pri čemu je i indeks frekvencijskog pojasa. AWC je A-vrednovana korekcija u skladu s međunarodnom normom IEC 61672-1:2003.

Pri čemu je i indeks frekvencijskog pojasa. AWC je A-vrednovana korekcija kako slijedi:

Frekvencija [Hz]	63	125	250	500	1 000	2 000	4 000	8 000
AWC _{ci} [dB]	-26,2	-16,1	-8,6	-3,2	0	1,2	1,0	-1,1

Ta razina $L_{Aeq,LT}$ je konačni rezultat, to jest, dugotrajna A-vrednovana razina zvučnog tlaka na točki prijemnika u određenom referentnom vremenskom razdoblju (to jest, dan, večer, noć ili neko kraće razdoblje unutar dana, večeri ili noći).

2.5.6. Izračun širenja buke za cestovne, željezničke i industrijske izvore

Geometrijska divergencija

Prigušenje zbog geometrijske divergencije A_{div} odgovara smanjenju razine zvuka zbog udaljenosti širenja. Za točasti izvor zvuka u slobodnom zvučnom polju prigušenje u dB dobiva se jednadžbom:

$$A_{div} = 20 \times \lg(d) + 11 \quad (2.5.12.)$$

pri čemu je d izravna trodimenzionalna udaljenost između izvora i prijemnika.

Atmosferska apsorpcija

Prigušenje zbog apsorpcije u atmosferi A_{atm} tijekom širenja na udaljenosti d dobiva se u dB jednadžbom:

$$A_{atm} = \alpha_{atm} \cdot d / 1000 \quad (2.5.13.)$$

pri čemu:

d je izravna trodimenzionalna udaljenost između izvora i prijemnika u m,

α_{atm} je koeficijent atmosferskog prigušenja u dB/km na nazivnoj središnjoj frekvenciji za svaki frekvencijski pojas u skladu s normom ISO 9613-1.

Vrijednosti koeficijenta α_{atm} dane su za temperaturu 15 °C, relativnu vlažnost 70 % i atmosferski tlak 101 325 Pa. Izračunavaju se s točnim središnjim frekvencijama frekvencijskog pojasa. Te su vrijednosti sukladne s normom ISO 9613-1. Ako su meteorološki podaci dostupni, upotrebljava se dugoročni meteorološki prosjek.

Utjecaj tla

Prigušenje zbog utjecaja tla uglavnom je rezultat interferencije između reflektiranog zvuka i zvuka koji se širi izravno od izvora do prijemnika. To je prigušenje fizički povezano s akustičkom apsorpcijom tla iznad kojeg se zvučni val širi. Međutim, ono je također znatno ovisno o atmosferskim uvjetima za vrijeme širenja jer lom zrake mijenja visinu puta iznad tla pa čini utjecaj tla i tlo blizu izvora više ili manje znatnim.

U slučaju da na širenje između izvora i prijemnika utječe prepreka na ravnini širenja, utjecaj tla izračunava se odvojeno na strani izvora i na strani prijemnika. U tom se slučaju z_s i z_r odnose na položaj ekvivalentnog izvora i/ili prijemnika prema kasnije navedenom na mjestu gdje je prikazana jednadžba za izračun difrakcije A_{dif} .

Akustičko opisivanje tla

Svojstva akustičke apsorpcije tla uglavnom su povezana s njegovom poroznosti. Zbijeno je tlo u načelu reflektivnije, a porozno jače apsorbira.

Za potrebe radnog izračuna akustička se apsorpcija tla predstavlja bezdimenzionalnim koeficijentom G čije su vrijednosti između 0 i 1. Koeficijent G nije ovisan o frekvenciji. U tablici 2.5.a dane su vrijednosti koeficijenta G za tlo u vanjskom prostoru. Općenito, prosječne vrijednosti koeficijenta G na putu širenja su između 0 i 1.

Tablica 2.5.a: Vrijednosti koeficijenta G za različite tipove tla

Opis	Tip	(kPa·s/m ²)	Vrijednost koeficijenta G
Vrlo meko (snijeg ili nalik na mahovinu)	A	12,5	1
Meko šumsko tlo (nisko, gusto raslinje nalik na vriesak ili debelu mahovinu)	B	31,5	1
Nezbijeno, rahlo tlo (treset, trava, rahlo tlo)	C	80	1
Normalno nezbijeno tlo (šumsko tlo, pašnjaci)	D	200	1
Zbijeno tlo i šljunak (zbijeni travnjaci, područja parkova)	E	500	0,7
Zbijeno gusto tlo (šljunčana cesta, parkiralište)	F	2000	0,3
Tvrde površine (uglavnom normalni asfalt, beton)	G	20 000	0
Vrlo tvrde i gaste površine (gusti asfalt, beton, voda)	H	200 000	0

G_{path} se definira kao udio apsorbirajućeg tla na cijelom putu širenja.

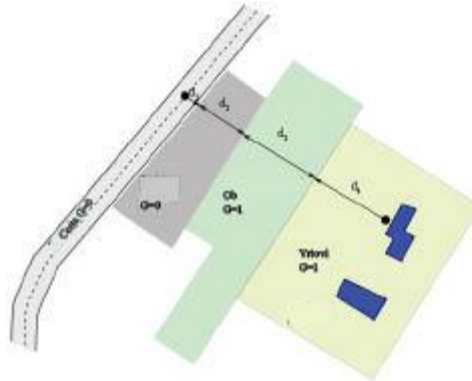
Kad su izvor i prijemnik toliko blizu da $d_p \leq 30(z_s + z_r)$, razlika između tipa tla koje se nalazi blizu izvora i tipa tla koje se nalazi blizu prijemnika je zanemariva. Kako bi se ova napomena uzela u obzir, faktor tla G_{path} se na kraju korigira na sljedeći način:

$$G'_{path} = \begin{cases} G_{path} \frac{d_p}{30(z_s + z_r)} + G_s \left(1 - \frac{d_p}{30(z_s + z_r)}\right) & \text{ako } d_p \leq 30(z_s + z_r) \\ G_{path} & \text{ako } d_p > 30(z_s + z_r) \end{cases}$$

(2.5.14.)

pri čemu je G_s faktor tla na području izvora. $G_s = 0$ za ravne plohe cesta^[1] (Apsorpcija poroznih cestovnih površina uzima se u obzir u modelu emisije.) i kolosijeke na čvrstoj podlozi. $G_s = 1$ za željezničke/pružne kolosijeke na zastoru. Za izvore buke industrijskih pogona i postrojenja ne postoji opći odgovor.

G se može povezati s otporom toka zraka.



$$d_p = d_1 + d_2 + d_3 + d_4$$

$$G_{path} = \frac{(0 \cdot d_1 + 0 \cdot d_2 + 1 \cdot d_3 + 1 \cdot d_4)}{d_p} = \frac{(d_3 + d_4)}{d_p}$$

Slika 2.5.b: Određivanje koeficijenta tla G_{path} na putu širenja

Udaljenosti d_n određuju se dvodimenzionalnom projekcijom na horizontalnoj ravnini.

Sljedeća dva pododjeljka o izračunima pod homogenim i povoljnim uvjetima uvođe opće zapise \bar{G}_u i \bar{G}_m za apsorpciju tla. U tablici 2.5.b navodi se slaganje između tih zapisa i varijabli G_{path} i G'_{path} .

Tablica 2.5.b: Slaganje između \bar{G}_u i \bar{G}_m i (G_{path} , G'_{path})

	Homogeni uvjeti			Poveljni uvjeti		
	A_{path}	$A_{path,0,0}$	$A_{path,0,0,0}$	A_{path}	$A_{path,0,0}$	$A_{path,0,0,0}$
\bar{G}_u	\bar{G}'_{path}				\bar{G}_{path}	
\bar{G}_m	\bar{G}'_{path}	\bar{G}_{path}	\bar{G}'_{path}	\bar{G}_{path}	\bar{G}'_{path}	\bar{G}_{path}

Izračuni pod homogenim uvjetima

Prigušenje zbog utjecaja tla pod homogenim uvjetima izračunava se sljedećim jednadžbama: ako $G_{path} \neq 0$

$$A_{path,R} = \max \left(-10 \times \log \left[4 \frac{k^2}{d_p^2} \left(z_p^2 - \sqrt{\frac{2C_f}{k}} z_p + \frac{C_f}{k} \right) \left(z_p^2 - \sqrt{\frac{2C_f}{k}} z_p + \frac{C_f}{k} \right) \right], A_{path,R,min} \right) \quad (2.5.15.)$$

pri čemu:

$$k = \frac{2\pi f_u}{c}$$

f_u je nazivna središnja frekvencija promatranoj frekvencijskog pojasa u Hz, c je brzina zvuka u zraku za čiju se vrijednost uzima 340 m/s, a C_f se definira jednadžbom:

$$C_f = d_p \frac{1 + 3w d_p e^{-\sqrt{w d_p}}}{1 + w d_p} \quad (2.5.16.)$$

pri čemu se vrijednosti w dobivaju iz sljedeće jednadžbe:

$$w = 0.0185 \frac{f_u^{2.5} \bar{G}_u^{-2.6}}{f_u^{1.5} \bar{G}_u^{-2.6} + 1.3 \cdot 10^3 f_u^{0.75} \bar{G}_u^{-1.3} + 1.16 \cdot 10^6} \quad (2.5.17.)$$

\bar{G}_w može biti jednak bilo G_{path} bilo G'_{path} , ovisno o tome izračunava li se utjecaj tla s ili bez difrakcije i ovisno o prirodi tla ispod izvora (stvarnog izvora ili izvora difrakcije). To je navedeno u sljedećim pododjeljcima i sažeto u tablici 2.5.b.

$$A_{ground,H,min} = -3(1 - G_w)$$

(2.5.18.)

je donja međa od $A_{ground,H}$.

Za put (S_i, R) pod homogenim uvjetima bez difrakcije:

$$\bar{G}_w = G'_{path}$$

$$\bar{G}_m = G'_{path}$$

ako $G_{path} = 0 : A_{ground,H} = -3 \text{ dB}$

S difrakcijom, pogledajte odjeljak o difrakciji za definicije \bar{G}_s i \bar{G}_r .

Član $\boxed{3(1 - \bar{G}_w)}$ uzima u obzir činjenicu da ploha ceste više nije prva refleksija u odnosu na izvor u slučaju da su izvor i prijemnik vrlo razdvojeni, nego je to tada prirodno tlo.

Izračuni pod povoljnim uvjetima

Utjecaj tla pod povoljnim uvjetima izračunava se jednadžbom za $A_{ground,H}$, ali ju je potrebno izmijeniti na sljedeći način:

Ako $G_{path} \neq 0$

- a) u jednadžbi za $A_{ground,H}$ visine z_s i z_r zamjenjuju se sa $z_s + \delta z_s + \delta z_T$ i $z_r + \delta z_r + \delta z_T$, tim redom, pri čemu

u jednadžbi 2.5.15. ($A_{ground,H}$) visine z_s i z_r zamjenjuju se sa $z_s + \delta z_s + \delta z_T$ i $z_r + \delta z_r + \delta z_T$, tim redom, pri čemu

$$\begin{cases} \delta z_s = a_0 \left(\frac{z_s}{z_s + z_r} \right)^2 \frac{d_p^2}{2} \\ \delta z_r = a_0 \left(\frac{z_r}{z_s + z_r} \right)^2 \frac{d_p^2}{2} \end{cases}$$

(2.5.19.)

$a_0 = 2 \times 10^{-4} \text{ m}^{-1}$ je obrnuto od polumjera zakrivljenosti krivulje

$$\delta z_T = 6 \cdot 10^{-3} \frac{d_p}{z_s + z_r}$$

- b) donja međa od $A_{ground,F}$ ovisi o geometriji puta širenja:

donja međa od $A_{ground,F}$ (koja se izračunava s nepromijenjenim visinama) ovisi o geometriji puta širenja:

$$A_{ground,F,min} = \begin{cases} -3(1 - \bar{G}_w) & \text{ako } d_p \leq 30(z_s + z_r) \\ -3(1 - \bar{G}_w) \left[1 + 2 \left(\frac{1 - 30(z_s + z_r)}{d_p} \right) \right] & \text{u suprotnom} \end{cases}$$

(2.5.20.)

ako $G_{path} = 0$

$$A_{ground,F} = A_{ground,F,min}$$

Korekcije za visinu δz_s i δz_r prenose učinak loma zvučne zrake. δz_T uvrštava utjecaj turbulencije.

\bar{G}_m može također biti jednak bilo G_{path} bilo G'_{path} , ovisno o tome izračunava li se utjecaj tla s ili bez difrakcije i ovisno o prirodi tla ispod izvora (stvarnog izvora ili izvora difrakcije). To je navedeno u sljedećim pododjeljcima.

Za put (S,R) pod povoljnim uvjetima bez difrakcije:

$$\bar{G}_w = G_{path} \text{ u jednadžbi (2.5.17.)},$$

$$\bar{G}_m = G'_{path}.$$

S difrakcijom, pogledajte sljedeći odjeljak za definicije \bar{G}_w i \bar{G}_m .

Difrakcija

Općenito, difrakciju treba proučavati na vrhu svake prepreke koja se nalazi na putu širenja.

Ako put širenja prolazi »dovoljno visoko« iznad brida difrakcije, može se zadati $A_{dif} = 0$ i izračunati izravan pogled, posebno kad se procjenjuje A_{ground} .

~~U praksi se za središnju frekvenciju svakog frekvencijskog pojasa uspoređuje razlika puta δ s vrijednosti $\lambda / 20$. Ako prepreka ne uzrokuje difrakciju, što se, na primjer, utvrdi na temelju Rayleighjeva kriterija, nije potrebno izračunati A_{dif} za razmatrani frekvencijski pojas. Drugim riječima, u tom slučaju $A_{dif} = 0$. U suprotnom se A_{dif} izračunava prema opisu u nastavku ovog dijela. Ovo se pravilo primjenjuje pod homogenim i pod povoljnim uvjetima, za jednu difrakciju i za višestruku difrakciju.~~

U praksi se sljedeće specifikacije razmatraju u jedinstvenoj vertikalnoj ravnini koja sadržava i izvor i prijemnik (izravnani kineski paravan u slučaju puta koji sadržava refleksije). Izravna zraka od izvora do prijemnika ima oblik pravca pod homogenim uvjetima širenja, odnosno krivulje (luk s polujerom koji ovisi o duljini pravocrtnе zrake) pod povoljnim uvjetima širenja.

Ako izravna zraka nije blokirana, traži se brid D koji stvara najveću razliku u duljini puta δ (najmanja absolutna vrijednost jer su te razlike u duljini puta negativne). Difrakcija se uzima u obzir:

- ako je ta razlika u duljini puta veća od $-\lambda/20$ i
- ako je ispunjen Rayleighev kriterij.

To je slučaj ako je δ veći od $\lambda/4 - \delta^*$, pri čemu je δ^* razlika u duljini puta koja se izračunava s istim bridom D, ali se odnosi na zrcalni izvor S* koji se izračunava sa središnjom ravninom tla na strani izvora i zrcalni prijemnik R* koji se izračunava sa središnjom ravninom tla na strani prijemnika. Za izračun δ^* uzimaju se u obzir samo točke S*, D i R* te se zanemaruju ostali bridovi koji blokiraju put S*->D->R*.

U navedenim slučajevima valna duljina λ izračunava se s pomoću nazivne središnje frekvencije i brzine zvuka od 340 m/s.

Ako su ta dva uvjeta ispunjena, brid D odvaja stranu izvora od strane prijemnika, izračunavaju se dvije odvojene središnje ravnine tla i izračunava se A_{dif} kako je opisano u ostatku ovog dijela. U ostalim slučajevima za taj se put ne uzima u obzir prigušenje difrakcijom, izračunava se zajednička središnja ravnina tla za put S->R, a A_{ground} izračunava se bez difrakcije ($A_{dif} = 0$ dB). To se pravilo primjenjuje i pod homogenim i pod povoljnim uvjetima.

Kad se za zadani frekvencijski pojas napravi izračun u skladu s postupkom opisanim u ovom odjeljku, A_{ground} se određuje kao jednak 0 dB pri izračunu ukupnog prigušenja. Utjecaj tla uzima se izravno u obzir u općoj jednadžbi za izračun difrakcije.

Ovdje predložene jednadžbe upotrebljavaju se za obradu difrakcija na tankim zaslonima, debelim zaslonima, zgradama, zemljanim uzvisinama (prirodnim ili umjetnim) i rubovima nasipa, usjeka i vijadukata.

Ako se na putu širenja nađe na više prepreka koje izazivaju difrakciju, te se prepreke uzimaju kao višestruka difrakcija primjenom postupka opisanog u sljedećem odjeljku za izračun razlike puta.

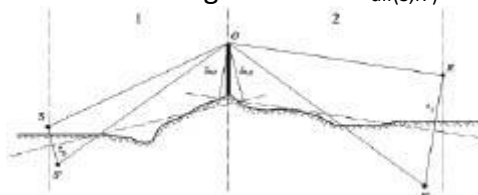
Ovdje prikazani postupci koriste se za izračun prigušenja pod homogenim uvjetima i pod povoljnim uvjetima. Lom zrake uzima se u obzir u izračunu za razliku puta i za izračun utjecaja tla prije i poslije difrakcije.

Opća načela

Slika 2.5.c prikazuje opću metodu za izračun prigušenja zbog difrakcije. Ova se metoda temelji na razbijanju puta širenja u dva dijela: put »od izvora«, koji se proteže od izvora do točke difrakcije, i put »do prijemnika«, koji se proteže od točke difrakcije do prijemnika.

Izračunava se sljedeće:

- utjecaj tla, od izvora, $\Delta_{ground(S,O)}$,
- utjecaj tla, do prijemnika, $\Delta_{ground(O,R)}$,
- i tri difrakcije:
 - između izvora S i prijemnika R : $\Delta_{dif(S,R)}$,
 - između zrcalnog izvora S' i R : $\Delta_{dif(S',R)}$,
 - između S i prijemnika vala iz zrcalnog izvora R' : $\Delta_{dif(S,R')}$.



1: Od izvora

2: Do prijemnika

Slika 2.5.c: Geometrija izračuna prigušenja zbog difrakcije

pri čemu:

S je izvor,

R je prijemnik,

S' je zrcalni izvor u odnosu na središnju ravninu tla na dijelu od izvora,

R' je prijemnik vala iz zrcalnog izvora u odnosu na središnju ravninu tla na dijelu do prijemnika,

O je točka difrakcije,

z_s je ekvivalentna visina izvora S odnosu na središnju ravninu tla na dijelu od izvora,

$z_{o,s}$ je ekvivalentna visina točke difrakcije O u odnosu na središnju ravninu tla na dijelu od izvora,

z_r je ekvivalentna visina prijemnika R u odnosu na središnju ravninu na dijelu do prijemnika,

$z_{o,r}$ je ekvivalentna visina točke difrakcije O u odnosu na središnju ravninu tla na dijelu do prijemnika.

Nepravilnost tla između izvora i točke difrakcije te između točke difrakcije i prijemnika uzima se u obzir korištenjem ekvivalentnih visina izračunanih u odnosu na središnju ravninu tla, prvo na strani od izvora, a onda na strani do prijemnika (dvije središnje ravnine tla), u skladu s metodom opisanom u pododjeljku o znatnim visinama iznad tla.

Čista difrakcija

Za čistu difraciju bez utjecaja tla prigušenje je zadano:

$$\Delta_{dif} = \begin{cases} 10C_h \cdot \lg\left(3 + \frac{40}{\lambda} C'' \delta\right) & \text{ako } \frac{40}{\lambda} C'' \delta \geq -2 \\ 0 & \text{ako } \frac{40}{\lambda} C'' \delta < -2 \end{cases} \quad (2.5.21.)$$

pri čemu:

$$C_h = 1$$

$$(2.5.22.)$$

λ je valna duljina u nazivnoj središnjoj frekvencijskoj pojasa, δ je razlika puta između puta difrakcije i izravnog puta (vidjeti sljedeći pododjeljak o izračunu razlike puta),

C'' je koeficijent koji se upotrebljava kako bi se u obzir uzele višestruke difrakcije:

$C'' = 1$ za jednu difrakciju.

~~U slučaju višestruke difrakcije, ako je e ukupna udaljenost puta, od O1 do O2 + od O2 do O3 + od O3 do O4 na temelju »metode elastičnog pojasa«, (vidjeti slike 2.5.d i 2.5.f) i ako je e veće od 0,3 m (inače je C'' = 1), taj se koeficijent definira izrazom:~~

$$C'' = \frac{1 + (5\lambda/e)^2}{1/3 + (5\lambda/e)^2}$$

$$(2.5.23.)$$

U slučaju višestruke difrakcije, ako je e ukupna udaljenost puta između prve i zadnje točke difrakcije (primjeniti zakrivljene zrake u slučaju povoljnih uvjeta) i ako je e veći od 0,3 m (inače je $C'' = 1$), taj se koeficijent definira formulom:

$$C'' = \frac{1 + (5\lambda/e)^2}{1/3 + (5\lambda/e)^2} \quad (2.5.23.)$$

Vrijednost Δ_{dif} se ograničava:

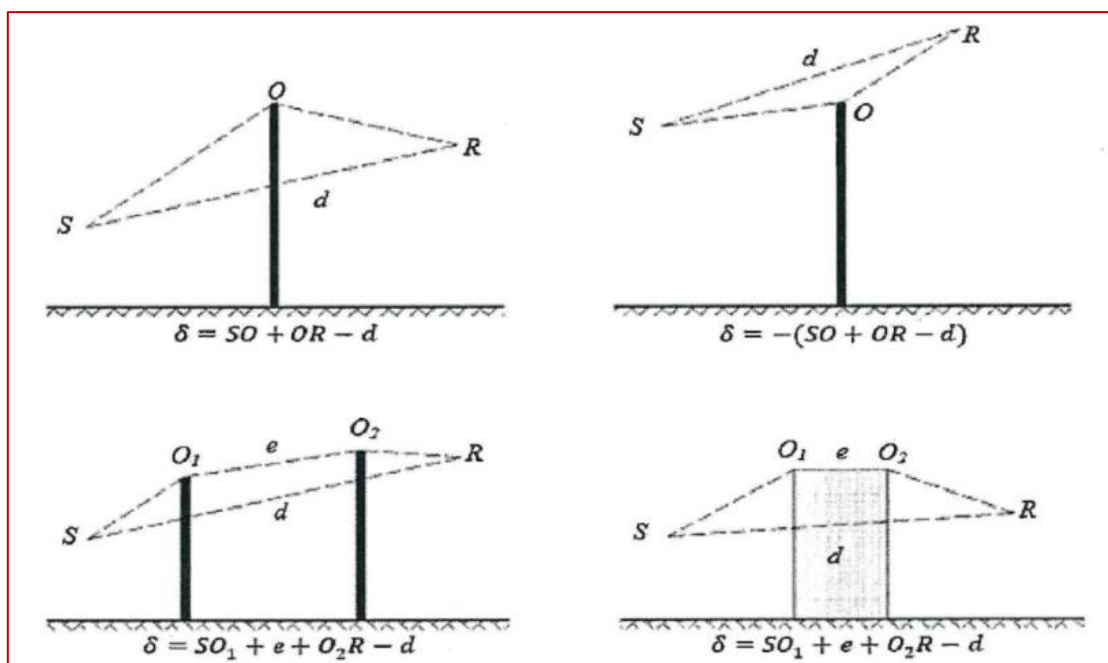
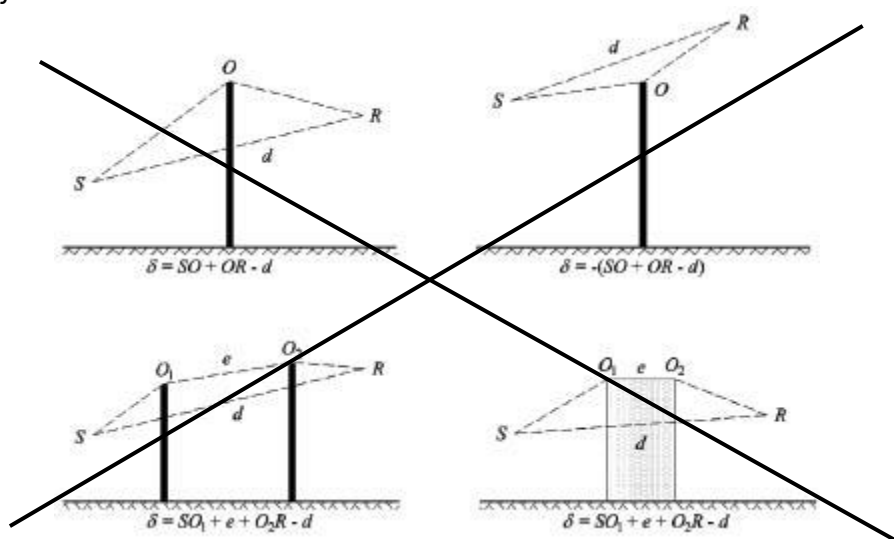
- ako $\Delta_{dif} < 0$: $\Delta_{dif} = 0$ dB
- ako $\Delta_{dif} > 25$: $\Delta_{dif} = 25$ dB za difraciju na horizontalnom bridu i samo za član Δ_{dif} koji se nalazi u izračunu A_{dif} . Ova se gornja međa ne primjenjuje u članovima Δ_{dif} koji

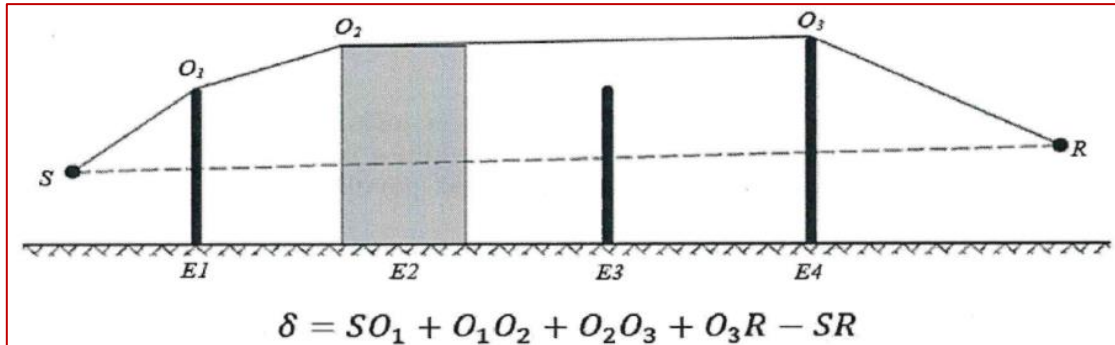
utječu na izračun Δ_{ground} ili za difrakciju na vertikalnom bridu (lateralna difrakcija) u slučaju izrade karte industrijske buke.

Izračun razlike puta

Razlika puta δ izračunava se na vertikalnoj ravnini na kojoj se nalaze izvor i prijemnik. Radi se o aproksimaciji u vezi s Fermatovim principom. Aproksimacija je ovdje (linijski izvori) i dalje primjenjiva. Razlika puta δ izračunava se u skladu sa sljedećim slikama, na temelju situacija na koje se naiđe.

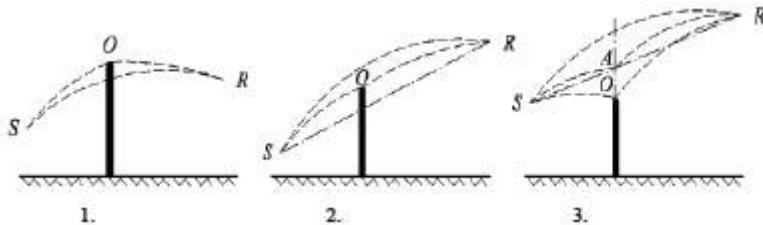
Homogeni uvjeti





Slika 2.5.d: Izračun razlike puta pod homogenim uvjetima. O , O_1 i O_2 su točke difrakcije
 Napomena: Za svaku je konfiguraciju zadani izraz δ .

Povoljni uvjeti



Slika 2.5.e: Izračun razlike puta pod povoljnim uvjetima (jedna difrakcija)

~~Pod povoljnim se uvjetima smatra da tri zakrivljene zvučne zrake SO , OR i SR imaju identičnu zakrivljenost krivulje koja se definira jednadžbom:~~

$$\Gamma = \max(1000, 8d)$$

(2.5.24.)

Pod povoljnim uvjetima tri zakrivljene zvučne zrake SO , OR i SR imaju identični polumjer zakrivljenosti Γ , koji se definira formulom:

$$\Gamma = \max(1000, 8d) \quad (2.5.24.)$$

pri čemu se d definira trodimenzionalnom udaljenošću između izvora i prijemnika razvijene putanje.

Duljina zvučne zrake krivulje MN zapisuje se kao \hat{MN} pod povoljnim uvjetima. Ta je duljina jednak:

$$\hat{MN} = 2\Gamma \arcsin\left(\frac{MN}{2\Gamma}\right)$$

(2.5.25.)

U načelu, potrebno je razmotriti tri scenarija u izračunu razlike puta pod povoljnim uvjetima δ_F (vidjeti sliku 2.5.e). U praksi su dovoljne dvije jednadžbe:

- ako je pravocrtna zvučna zraka SR zakrivena preprekom (1. i 2. slučaj na slici 2.5.e):

$$\delta_F = \hat{SO} + \hat{OR} - \hat{SR}$$

(2.5.26.)

- ako pravocrtna zvučna zraka SR nije zakrivena preprekom (3. slučaj na slici 2.5.e):

$$\delta_F = 2\hat{SA} + 2\hat{AR} - \hat{SO} - \hat{OR} - \hat{SR}$$

(2.5.27.)

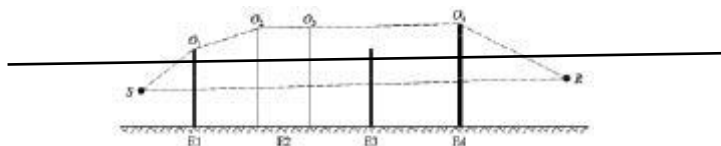
pri čemu je A sjecište pravocrtnе zvučne zrake SR i produljenja od prepreke koja uzrokuje difrakciju.

Za višestruke difrakcije pod povoljnim uvjetima:

- potrebno je odrediti konveksnu ljsuku koju definiraju razni potencijalni bridovi difrakcije,
- ukloniti bridove difrakcije koji se ne nalaze na rubu konveksne ljske,
- izračunati δ_F utemeljen na duljinama zakrivljene zvučne zrake tako što će se staza difrakcije razbiti u onoliko zakrivljenih segmenata koliko bude potrebno (vidjeti sliku 2.5.f)

$$\hat{\sigma}_F = \hat{S}O_1 + \sum_{i=1}^{n-1} O_i \hat{O}_{i+1} + \hat{O}_n R - \hat{S}R$$

(2.5.28.)



Slika 2.5.f: Primjer izračuna razlike puta pod povoljnim uvjetima u slučaju višestrukih difrakcija

U scenariju prikazanom na slici 2.5.f razlika puta je:

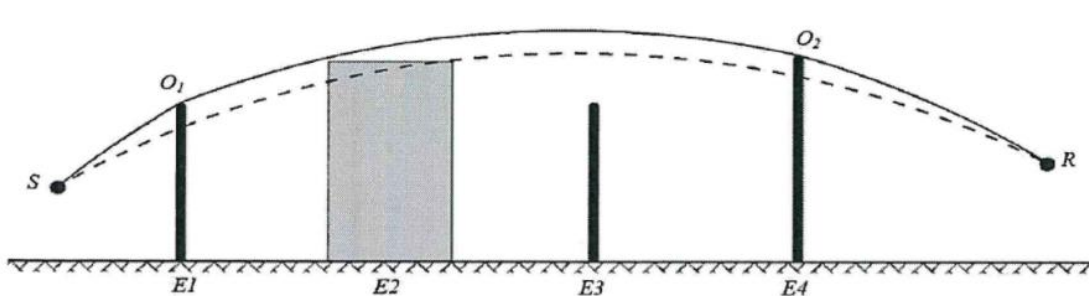
$$\hat{\sigma}_F = \hat{S}O_1 + O_1 \hat{O}_2 + O_2 \hat{O}_3 + O_3 \hat{O}_4 + O_4 \hat{O}_5 + \hat{O}_5 R - \hat{S}R$$

(2.5.29.)

(2.5.28.)

$$\hat{\sigma}_F = \hat{S}O_1 + \sum_{i=1}^{n-1} O_i \hat{O}_{i+1} + \hat{O}_n R - \hat{S}R$$

Pod povoljnim uvjetima put širenja u vertikalnoj ravnini širenja uvijek se sastoji od segmenata kruga čiji se polumjer izražava trodimenzionalnom udaljenošću između izvora i prijemnika, tj. svi segmenti puta širenja imaju isti polumjer zakrivljenosti. Ako je izravni luk koji spaja izvor i prijemnik blokiran, put širenja definira se kao najkraća konveksna kombinacija lukova koja obuhvaća sve prepreke. Izraz „konveksno“ u ovom kontekstu znači da na svakoj točki difrakcije segment izlazne zrake skreće prema dolje u odnosu na segment dolazne zrake.



U scenariju prikazanom na slici 2.5.f. razlika puta jest:

(2.5.29.)

$$\delta_F = \hat{S}O_1 + O_1\hat{O}_2 + \hat{O}_2R - \hat{S}R$$

Izračun prigušenja A_{dif}

Prigušenje zbog difrakcije, u kojem su uzeti u obzir utjecaji tla na stranama od izvora i do prijemnika, izračunava se u skladu sa sljedećim općim jednadžbama:

$$A_{dif} = \Delta_{dif(S,R)} + \Delta_{ground(S,O)} + \Delta_{ground(O,R)}$$

(2.5.30.)

pri čemu:

- $1397319796\Delta_{dif}(S,R)$ je prigušenje zbog difrakcije između izvora S i prijemnika R ,
- $1397319796\Delta_{ground(S,O)}$ je prigušenje zbog utjecaja tla na strani od izvora, vrednovano difrakcijom na strani od izvora; pri čemu se podrazumijeva da je $O = O_1$ u slučaju višestrukih difrakcija kao na slici 2.5.f.,
- $1397319796\Delta_{ground(O,R)}$ je prigušenje zbog učinka tla na strani do prijemnika, vrednovano difrakcijom na strani do prijemnika (vidjeti sljedeći pododjeljak o izračunu člana $\Delta_{ground(O,R)}$).

Izračun člana $\Delta_{ground(S,O)}$

$$\Delta_{ground(S,O)} = -20 \times \lg \left(1 + \left(10^{\frac{\Delta_{ground}(S,O)}{20}} - 1 \right) \cdot 10^{-\frac{|A_{dif}(S,R) - A_{dif}(S,O)|}{20}} \right)$$

(2.5.31.)

pri čemu:

- ~~$1397319796\Delta_{ground(S,O)}$ je prigušenje zbog utjecaja tla između izvora S i točke difrakcije O . Taj se član izračunava prema navedenom u prethodnom pododjeljku o izračunima pod homogenim uvjetima i u prethodnom pododjeljku o izračunu pod povoljnim uvjetima, uz sljedeće hipoteze:~~
- ~~$1397319796z_r = z_{0,5}$~~
- ~~$1397319796G_{path}$ se izračunava između S i O ,~~
- ~~pod homogenim uvjetima: $\bar{G}_w = G'_{path}$ u jednadžbi (2.5.17.), $\bar{G}_m = G'_{path}$ u jednadžbi (2.5.18.),~~
- ~~pod povoljnim uvjetima: $\bar{G}_w = G_{path}$ u jednadžbi (2.5.17.), $\bar{G}_m = G'_{path}$ u jednadžbi (2.5.20.),~~



Thorium A+

Izvrsni inženjeri koriste izvrstan alat!

ThoriumSoftware d.o.o.

Mobile: +385 (0) 95 8 70 50 70
Kontakt: Dario Ilija Rendulić
Email:
info@thoriumsoftware.eu;
direndulic@gmail.com

- 1397319796 $\Delta_{\text{dif}(S,R)}$ je prigušenje zbog difrakcije između zrcalnog izvora S' i R , izračunano kao u prethodnom pododjeljku o čistoj difraciji,
- 1397319796 $\Delta_{\text{dif}(S,R)}$ je prigušenje zbog difrakcije između S i R , izračunano kao u pododjeljku VI.4.4.b.

Izračun člana $\Delta_{\text{ground}(O,R)}$

$$\Delta_{\text{ground}(O,R)} = -20 \times \lg \left(1 + \left(10^{-A_{\text{ground}(O,R)}/20} - 1 \right) \cdot 10^{-(A_{\text{dif}(S,R)} - A_{\text{dif}(S,R)})/20} \right)$$

(2.5.32.)

pri čemu:

- 1397319796 $A_{\text{ground}(O,R)}$ je prigušenje zbog utjecaja tla između točke difrakcije O i prijemnika R . Taj se član izračunava prema navedenom u prethodnom pododjeljku o izračunu pod homogenim uvjetima i u prethodnom pododjeljku o izračunu pod povoljnim uvjetima, uz sljedeće hipoteze:
- $z_s = z_{o,f}$
- G_{path} se izračunava između O i R .

Ovdje se ne treba uzimati u obzir korekcija G'_{path} jer se izvorom smatra točka difrakcije. Stoga se G_{path} upotrebljava u izračunu utjecaja tla, uključujući član donje međe jednadžbe koji postaje $3(1 - G_{\text{path}})$.

- pod homogenim uvjetima, $\bar{G}_w = G_{\text{path}}$ u jednadžbi (2.5.17.) i $\bar{G}_m = G_{\text{path}}$ u jednadžbi (2.5.18.),
- pod povoljnim uvjetima, $\bar{G}_w = G_{\text{path}}$ u jednadžbi (2.5.17.) i $\bar{G}_m = G_{\text{path}}$ u jednadžbi (2.5.20.),
- 1397319796 $\Delta_{\text{dif}(S,R')}$ je prigušenje zbog difrakcije između S i prijemnika vala iz zrcalnog izvora R' , izračunano kao u prethodnom odjeljku o čistoj difraciji,
- 1397319796 $\Delta_{\text{dif}(S,R)}$ je prigušenje zbog difrakcije između S i R , izračunano kao u prethodnom pododjeljku o čistoj difraciji.

Izračun člana $\Delta_{\text{ground}(S,O)}$

$$\Delta_{\text{ground}(S,O)} = -20 \times \lg \left(1 + \left(10^{-A_{\text{ground}(S,O)}/20} - 1 \right) \cdot 10^{-(\Delta_{\text{dif}(S,R)} - \Delta_{\text{dif}(S,R)})/20} \right)$$

(2.5.31.)

pri čemu je

- $A_{\text{ground}(S,O)}$ prigušenje zbog utjecaja tla između izvora S i točke difrakcije O . Taj se član izračunava prema navedenom u prethodnom pododjeljku o izračunima pod homogenim uvjetima i u prethodnom pododjeljku o izračunu pod povoljnim uvjetima, uz sljedeće hipoteze:

$$z_r = z_{o,s},$$

- G_{path} izračunava se između S i O ,
- pod homogenim uvjetima: $\bar{G}_w = G_{\text{path}}$ u jednadžbi (2.5.17.), $\bar{G}_m = G'_{\text{path}}$ u jednadžbi (2.5.18.),
- pod povoljnim uvjetima: $\bar{G}_w = G_{\text{path}}$ u jednadžbi (2.5.17.), $\bar{G}_m = G_{\text{path}}$ u jednadžbi (2.5.20.),
- $\Delta_{\text{dif}(S,R)}$ je prigušenje zbog difrakcije između zrcalnog izvora S' i R , izračunano kao u prethodnom pododjeljku o čistoj difraciji,

— $\Delta_{diff(S,R)}$ je prigušenje zbog difrakcije između S i R , izračunano kao u prethodnom pododjeljku o čistoj difraciji.

U posebnom slučaju kad se izvor nalazi ispod središnje ravnine tla: $\Delta_{diff(S,R)} = \Delta_{diff(S,R)}$ i $\Delta_{ground(O,O)} = A_{ground(O,O)}$.

Izračun člana $\Delta_{ground(O,R)}$

$$A_{ground(O,R)} = -20 \times \lg \left(1 + \left(10^{-A_{ground(O,R)} / 20} - 1 \right) \cdot 10^{-(\Delta_{diff(S,R)} - \Delta_{diff(S,R)}) / 20} \right) \quad (2.5.32.)$$

pri čemu je

— $A_{ground(O,R)}$ je prigušenje zbog utjecaja tla između točke difracije O i prijemnika R . Taj se član izračunava prema navedenom u prethodnom pododjeljku o izračunu pod homogenim uvjetima i u prethodnom pododjeljku o izračunu pod povoljnim uvjetima, uz sljedeće hipoteze:

$$Z_s = Z_{o,r},$$

— G_{path} izračunava se između O i R .

Tu se ne treba uzimati u obzir korekcija G_{path} jer se izvorom smatra točka difracije. Stoga se G_{path} upotrebljava u izračunu utjecaja tla, uključujući član donje međe jednadžbe koji postaje $-3(1 - G_{path})$,

- pod homogenim uvjetima, $\bar{G}_w = G_{path}$ u jednadžbi (2.5.17.) i $\bar{G}_m = G_{path}$ u jednadžbi (2.5.18.),
- pod povoljnim uvjetima, $\bar{G}_w = G_{path}$ u jednadžbi (2.5.17.) i $\bar{G}_m = G_{path}$ u jednadžbi (2.5.20.),
- $\Delta_{diff(S,R)}$ je prigušenje zbog difracije između S i prijemnika vala iz zrcalnog izvora R' , izračunano kao u prethodnom odjeljku o čistoj difraciji,
- $\Delta_{diff(S,R)}$ je prigušenje zbog difracije između S i R , izračunano kao u prethodnom pododjeljku o čistoj difraciji.

U posebnom slučaju kad se prijemnik nalazi ispod središnje ravnine tla: $\Delta_{diff(S,R)} = \Delta_{diff(S,R)}$ i $\Delta_{ground(O,R)} = A_{ground(O,R)}$.

Scenariji s vertikalnim bridovima

~~Jednadžba (2.5.21.) može se upotrijebiti za izračun difracije na vertikalnim bridovima (lateralne difracije) u slučaju buke industrijskih pogona i postrojenja. U tom se slučaju uzima $A_{div} = A_{diff(S,R)}$ i zadržava se član A_{ground} . Dodatno, A_{atm} i A_{ground} se izračunavaju iz ukupne duljine puta širenja. A_{div} se i dalje izračunava iz izravne udaljenosti d . Jednadžbe (2.5.8.) i (2.5.6.) postaju:~~

$$A_H = A_{div} + A_{atm}^{path} + A_{ground,H}^{path} + \Delta_{diff,H(S,R)} \quad (2.5.33.)$$

$$A_F = A_{div} + A_{atm}^{path} + A_{ground,F}^{path} + \Delta_{diff,H(S,R)} \quad (2.5.34.)$$

~~Δ_{diff} se svakako upotrebljava pod homogenim uvjetima u jednadžbi (2.5.34.).~~



Thorium A+

Izvrsni inženjeri koriste izvrstan alat!

ThoriumSoftware d.o.o.

Mobile: +385 (0) 95 8 70 50 70
Kontakt: Dario Ilija Rendulić
Email:
info@thoriumsoftware.eu;
direndulic@gmail.com

Scenariji s vertikalnim bridovima

Jednadžba (2.5.21.) može se upotrijebiti za izračun difrakcija na vertikalnim bridovima (lateralne difrakcije) u slučaju buke industrijskih pogona i postrojenja. U tom se slučaju uzima $A_{dif} = \Delta_{dif}(S, R)$ i zadržava se član A_{ground} . Dodatno, A_{atm} i A_{ground} izračunavaju se iz ukupne duljine puta širenja. A_{dif} i dalje se izračunava iz izravne udaljenosti d. Jednadžbe (2.5.8.) i (2.5.6.) postaju:

$$A_H = A_{dif} + A_{atm}^{path} + A_{ground,H}^{path} + \Delta_{dif,H}(S, R) \quad (2.5.33.)$$

$$A_F = A_{dif} + A_{atm}^{path} + A_{ground,F}^{path} + \Delta_{dif,H}(S, R) \quad (2.5.34.)$$

Δ_{dif} svakako se upotrebljava pod homogenim uvjetima u jednadžbi (2.5.34.).

Lateralna difrakcija uzima se u obzir samo u slučajevima u kojima su ispunjeni sljedeći uvjeti: izvor je stvarni točkasti izvor – ne stvara se segmentacijom produljenog izvora kao što je linijski ili površinski izvor,
izvor nije zrcalni izvor generiran za izračun refleksije,

izravna zraka između izvora i prijemnika u cijelosti je iznad profila terena,

u vertikalnoj ravnini koja sadržava S i R razlika u duljini puta δ veća je od 0, što znači da je izravna zraka blokirana. Stoga se u nekim situacijama lateralna difrakcija može uzeti u obzir pod homogenim uvjetima širenja, ali ne i pod povoljnijim uvjetima širenja.

Ako su svi ti uvjeti ispunjeni, uzimaju se u obzir najviše dva lateralno difraktirana puta širenja, uz difraktirani put širenja u vertikalnoj ravnini koja sadržava izvor i prijemnik. Lateralna ravnina definira se kao ravnina koja je okomita na vertikalnu ravninu i ujedno sadržava izvor i prijemnik. Sjedišta s tom lateralnom ravninom izvode se iz svih prepreka kroz koje izravna zraka prolazi od izvora do prijemnika. U lateralnoj ravnini najkraćom konveksnom vezom između izvora i prijemnika, koja se sastoji od pravocrtnih segmenata i obuhvaća ta sjedišta, definiraju se vertikalni bridovi koji se uzimaju u obzir pri generiranju lateralno difraktiranog puta širenja.

Kako bi se izračunalo prigušenje tla za lateralno difraktirani put širenja, izračunava se središnja ravnina tla između izvora i prijemnika uzimajući u obzir profil tla vertikalno ispod puta širenja. Ako u projekciji na horizontalnu ravninu put lateralnog širenja presijeca projekciju zgrade, to se uzima u obzir pri izračunu G_{path} (obično s $G = 0$) i pri izračunu središnje ravnine tla s vertikalnom visinom zgrade.

Refleksije na vertikalnim preprekama

Apsorpcijsko prigušenje

Refleksije na okomitim preprekama rješavaju se zrcalnim izvorima. Refleksije na fasadama zgrada i bukobranima se dakle tako rješavaju.

~~Prepreka se smatra vertikalnom ako je nagib u odnosu na vertikalu manji od 15°.~~

~~Kad se radi o refleksijama na predmetima čiji je nagib u odnosu na vertikalu veći od ili jednak 15°, ti se predmeti ne uzimaju u obzir.~~

Površine predmeta smatraju se reflektorima samo ako su njihovi nagibi manji od 15° u odnosu na vertikalnu. Refleksije se uzimaju u obzir samo za puteve u vertikalnoj ravnini širenja, tj. ne uzimaju se u obzir za lateralno difraktirane puteve. Kad je riječ o upadnim i reflektiranim putovima, pod pretpostavkom da će reflektirajuća površina biti vertikalna, točka refleksije (koja leži na reflektirajućem objektu) generira se s pomoću pravaca pod homogenim uvjetima širenja, odnosno krivulja pod povoljnijim uvjetima širenja. Visina reflektora izmjerena kroz točku refleksije i promatrana iz smjera upadne zrake iznosi najmanje 0,5 m. Nakon projekcije na horizontalnu ravninu širina reflektora izmjerena kroz točku refleksije i promatrana iz smjera upadne zrake iznosi najmanje 0,5 m.

Prepreke kod kojih je barem jedna dimenzija manja od 0,5 m ignoriraju se u izračunu refleksije, osim za posebne konfiguracije.^[2](Mreža manjih prepreka u ravnini i u pravilnim razmacima predstavlja primjer posebne konfiguracije.)

Imajte u vidu da se ovdje ne rješavaju refleksije na tlu. One se uzimaju u obzir u izračunima prigušenja zbog rubnih uvjeta (tlo, difrakcija).

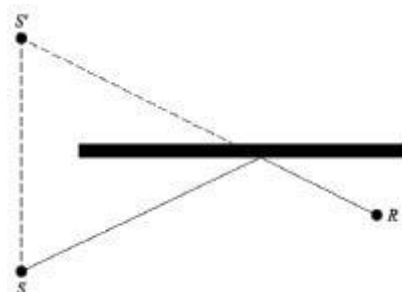
Ako je L_{ws} razina snage izvora S i α_r koeficijent apsorpcije prepreke, kako je definirano u normi EN 1793-1:2013, tada je razina snage zrcalne slike S' jednaka:

$$L_{ws'} = L_{ws} + 10 \cdot \lg(1 - \alpha_r) = L_{ws} + A_{refl}$$

(2.5.35.)

pri čemu je $0 \leq \alpha_r < 1$.

Širenje prethodno opisanih prigušenja zatim se primjenjuje na taj put (zrcalna slika, prijemnik) kao za izravan put.



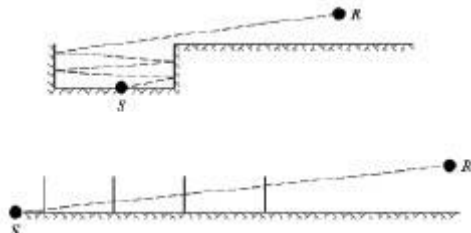
Slika 2.5.g: Zrcalni odraz na prepreci koji se rješava metodom zrcalnih izvora (S: izvor, S': zrcalni izvor, R: prijemnik)

Retrodifrakcijsko prigušenje

Pri geometrijskom istraživanju zvučnih putova pri refleksiji na vertikalnoj prepreci (zid, zgrada) položaj udara zrake u odnosu na gornji brid prepreke određuje više ili manje značajan udio energije koja se efektivno reflektira. Taj gubitak akustičke energije kad se zraka reflektira zove se retrodifrakcijsko prigušenje.

U slučaju mogućih višestrukih refleksija između dva vertikalna zida u obzir se uzima barem prva refleksija.

U slučaju rova (vidjeti na primjer sliku 2.5.h) retrodifrakcijsko prigušenje primjenjuje se na svaku refleksiju na potpornim zidovima.



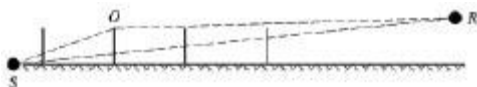
Slika 2.5.h: Reflektirana zvučna zraka 4. reda u rovu: stvarni poprečni presjek (gore), razvijeni poprečni presjek (dolje)

Na ovom prikazu zvučna zraka dolazi do prijemnika »uzastopnim prolascima kroz« potporne zidove rova koji se time mogu usporediti s otvorima.

Pri izračunu širenja kroz otvor, zvučno polje prijemnika je zbroj izravnog polja i polja difrakcije zbog rubova otvora. To polje difrakcije osigurava kontinuitet prelaska između slobodnog i zasjenjenog područja. Kad se zraka približi bridu otvora, prigušuje se izravno polje. Izračun je identičan izračunu prigušenja zbog prepreke na slobodnom području.

Razlika puta δ' povezana sa svakom retrodifrakcijom suprotna je od razlike puta između S i R u odnosu na svaki gornji brid O i to u prikazu u skladu s primjenjenim poprečnim presjekom (vidjeti sliku 2.5.i).

$$\delta' = -(SO + OR - SR) \quad (2.5.36.)$$



Slika 2.5.i: Razlika puta za drugu refleksiju

Znak »minus« jednadžbe (2.5.36.) znači da se smatra da je prijemnik ovdje u slobodnom području.

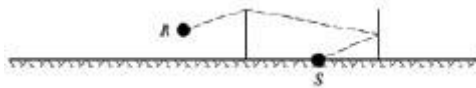
Retrodifrakcijsko prigušenje Δ_{retrodif} dobiva se jednadžbom (2.5.37.) koja je slična jednadžbi (2.5.21.) s prerađenim zapisima.

$$\Delta_{\text{retrodif}} = \begin{cases} 10C_h \cdot \lg \left(3 + \frac{40}{\lambda} \delta' \right) & \text{ako } \frac{40}{\lambda} \delta' \geq -2 \\ 0 & \text{ako } \frac{40}{\lambda} \delta' < -2 \end{cases} \quad (2.5.37.)$$

To se prigušenje primjenjuje na izravnu zraku svaki put kad ona »prođe kroz« zid ili zgradu (odrazi se od zida ili zgrade). Razina snage zrcalnog izvora S' stoga postaje:

$$L_{W1397969777} = L_W + 10 \times \lg (1 - \alpha_r) \Delta_{\text{retrodif}} \quad (2.5.38.)$$

U složenim konfiguracijama širenja mogu postojati difrakcije između refleksija ili između prijemnika i refleksija. U tom se slučaju retrodifrakcija na zidovima procjenjuje razmatranjem puta između izvora i prve difrakcijske točke R' (koja se stoga smatra prijemnikom u jednadžbi (2.5.36.)). Načelo je prikazano na slici 2.5.j.



Slika 2.5.j: Razlika puta u prisutnosti difrakcije: stvarni poprečni presjek (gore), razvijeni poprečni presjek (dolje)

U slučaju višestrukih refleksija, dodaju se refleksije zbog svake pojedine refleksije.

Kad se u blizini željezničkog kolosijeka nalazi reflektirajući bukobran ili prepreka, zvučne zrake iz izvora uzastopno se odbijaju od te prepreke i od bočne strane željezničkog vozila. U tim uvjetima zvučne zrake prolaze između prepreke i sanduka željezničkog vozila prije difrakcije s gornjeg brida prepreke.

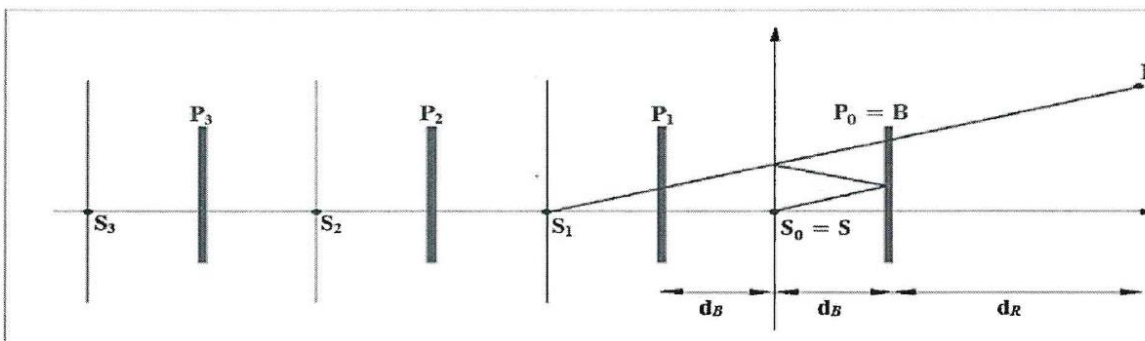
Kako bi se uzele u obzir višestruke refleksije između željezničkog vozila i obližnje prepreke, izračunava se zvučna snaga jednog ekvivalentnog izvora. U tom se izračunu zanemaruju utjecaji tla.

Za izvođenje zvučne snage ekvivalentnog izvora primjenjuju se sljedeće definicije:

- površina vanjske tračnice polazište je koordinatnog sustava,
- stvarni izvor nalazi se na S ($d_s = 0, h_s$), pri čemu je h_s visina izvora u odnosu na površinu tračnice,
- ravninom $h = 0$ definira se sanduk vagona,
- vertikalna prepreka s vrhom na B (d_b, h_b),
- prijemnik koji se nalazi na udaljenosti $d_r > 0$ iza prepreke, pri čemu R ima koordinate $(d_b + d_r, h_r)$.

Unutarnja strana prepreke ima koeficijente apsorpcije $\alpha(f)$ po oktavnom pojasu. Sanduk željezničkog vozila ima ekvivalentni koeficijent refleksije C_{ref} . U pravilu je C_{ref} jednak 1. Vrijednost 0 može se primijeniti samo u slučaju otvorenih teretnih vagona s ravnim dnom. Ako je $d_b > 5h_b$ ili $\alpha(f) > 0.8$, ne uzima se u obzir interakcija vlaka i prepreke.

U toj se konfiguraciji mogu izračunati višestruke refleksije između sanduka željezničkog vozila i prepreke s pomoću zrcalnih izvora koji se nalaze na S_n ($d_n = -2n \cdot d_b, h_n = h_s$), $n = 0, 1, 2, \dots N$, kako je prikazano na slici 2.5.k.



Zvučna snaga ekvivalentnog izvora izražena je formulom:

$$L_{W,eq} = 10 \times \lg \left(\sum_{n=0}^N 10^{L_{W,n}/10} \right) \quad (2.5.39.)$$

Pri tome se zvučna snaga djelomičnog izvora izražava formulom:

$$L_{W,n} = L_w + \Delta L_n$$

$$\Delta L_n = \Delta L_{geo,n} + \Delta L_{dif,n} + \Delta L_{abs,n} + \Delta L_{ref,n} + \Delta L_{retrodif,n}$$

pri čemu je:

L_w zvučna snaga stvarnog izvora

$\Delta L_{geo,n}$ korekcijski član za sferičnu divergenciju

$\Delta L_{dif,n}$ korekcijski član za difrakciju na vrhu prepreke

$\Delta L_{abs,n}$ korekcijski član za apsorpciju na unutarnjoj strani prepreke

$\Delta L_{ref,n}$ korekcijski član za refleksiju od sanduka željezničkog vozila

$\Delta L_{retrodif,n}$ korekcijski član za konačnu visinu prepreke kao reflektora

Korekcija za sferičnu divergenciju izražava se formulom

$$\Delta L_{geo,n} = 20 \times \lg \left(\frac{r_0}{r_n} \right) \quad (2.5.40.)$$

$$r_n = |S_n R| = \sqrt{(d_n - (d_B + d_R))^2 + (h_n - h_R)^2} \quad (2.5.41.)$$

Korekcija za difrakciju na vrhu prepreke izražava se formulom:

$$(2.5.42.)$$

$$\Delta L_{dif,n} = D_o - D_n \quad (2.5.42.)$$

Pri tome je D_n prigušenje zbog difrakcije, izračunano formulom 2.5.21. pri čemu je $C'' = 1$, za put koji povezuje izvor S_n s prijemnikom R , uzimajući u obzir difrakciju na vrhu prepreke B:

$$\delta_n = \pm(|S_n B| + |B R| - |S_n R|) \quad (2.5.43.)$$

Korekcija za apsorpciju na unutarnjoj strani prepreke izražava se formulom:

$$\Delta L_{abs,n} = 10 \cdot n \cdot \lg(1 - \alpha) \quad (2.5.44.)$$



Thorium A+

Izvrsni inženjeri koriste izvrstan alat!

ThoriumSoftware d.o.o.

Mobile: +385 (0) 95 8 70 50 70
Kontakt: Dario Ilija Rendulić
Email:
info@thoriumsoftware.eu;
direndulic@gmail.com

Korekcija za refleksiju od sanduka željezničkog vozila izražava se formulom:

$$\Delta L_{ref,n} = 10 \cdot n \cdot \lg (C_{ref}) \quad (2.5.45.)$$

Korekcija konačne visine reflektirajuće prepreke uzima se u obzir retrodifracijom. Prepreka će n puta reflektirati put zrake koji odgovara slici reda $N > 0$. U poprečnom presjeku te se refleksije odvijaju pri udaljenostima

$d_i = -(2i-q)d_b$, $i = 1, 2, \dots, n$. Pri tome su P_i ($d = d_i$, $h = h_b$), $i = 1, 2, \dots, n$ vrhovi tih reflektirajućih površina. U svakoj od tih točaka korekcijski član izračunava se formulom:

$$\Delta L_{retrodif,n,i} = \begin{cases} -\sum_{i=1}^n \Delta_{retrodif,n,i} & \text{ako je } n > 0 \\ 0 & \text{ako je } n = 0 \end{cases} \quad (2.5.46.)$$

Pri tome se $\Delta_{retrodif,n,i}$ izračunava za izvor na položaju S_i , vrh prepreke na P_i i prijemnik na položaju R' . Položaj ekvivalentnog prijamnika R' izražava se jednadžbom $R' = R$ ako je prijemnik iznad vidnog polja od S_n do B , a u ostalim slučajevima ekvivalentni prijemnik zauzima položaj u vidnom polju vertikalno iznad stvarnog prijemnika, tj.:

$$d_{R'} = d_n \quad (2.5.47.)$$

$$h_{R'} = \max(h_R, h_B) \frac{d_B + d_{R'} - d_n}{d_B - d_n} \quad (2.5.48.)$$

2.6. Opće odredbe – buka zrakoplova

2.6.1. Definicije i simboli

Ovdje su opisani neki važni *termini* i njihovo značenje u kontekstu ovog dokumenta. Popis nije potpun; nabrojeni su samo izrazi i kratice koje se često koriste. Ostali izrazi opisani su na mjestima gdje se prvi put pojavljuju u tekstu.

Glavni matematički *simboli* koji se koriste u jednadžbama u tekstu navedeni su nakon popisa termina. Ostali simboli koji se koriste povremeno u tekstu i prilozima definirani su tamo gdje ih se koristi.

U ovom su dokumentu izrazi *zvuk* i *buka* međusobno zamjenjivi. Iako riječ *buka* ima subjektivne konotacije – akustičari je obično definiraju kao »neželjeni zvuk« – u kontekstu kontrole buke zrakoplova obično se podrazumijeva da ta riječ znači jednostavno zvuk – energija koju zrakom prenose zvučni valovi. Simbolom → označava se upućivanje na druge termine s popisa.

Termini

AIP	Zbornik zrakoplovnih informacija
Konfiguracija zrakoplova	Položaj pretkrilaca, zakrilaca i stajnog trapa.
Kretanje zrakoplova	Dolazak, odlazak ili drugo kretanje zrakoplova koje utječe na razinu buke oko aerodroma.

Podaci o buci i performansama zrakoplova

Podaci o akustičkim svojstvima i performansama različitih tipova zrakoplova, koji su potrebni za proces modeliranja. Ti podaci uključuju → *odnose buka-snaga-udaljenost (NPD)* i podatke koji su potrebni za izračun potiska / snage motora kao funkcije → *letne konfiguracije*. Obično se koriste podaci koje je dostavio proizvođač zrakoplova, a kad to nije moguće, podaci se ponekad dobivaju iz drugih izvora. Kad nikakvi podaci nisu dostupni, obično se uzimaju prilagođeni podaci sličnog zrakoplova – to se naziva *supstitucijom*.

Visina

Nadmorska visina.

Baza podataka ANP

Baza podataka o buci i performansama zrakoplova koja je uključena u Dodatak I.

A-vrednovana razina zvuka, L_A

Ljestvica osnovne razine buke/zvuka koja se koristi za mjerjenje okolišnog zvuka uključujući zvuk zrakoplova i na kojoj se temelji većina mjerjenja kontura buke.

Tlocrt glavne putanje

Reprezentativna ili nazivna putanja ocrtana na zemlji, kojom se definira centar »snopa« sličnih putanja.

Osnovna razina zvučnog događaja

Razina zvučnog događaja kako je očitana iz baze podataka NPD.

Otpuštanje kočnica

→ *Početak kretanja*

Korigirani neto potisak

Pri zadanom režimu rada motora (npr. *EPR* ili N_1) neto potisak opada u skladu s gustoćom zraka, dakle s visinom leta; korigirani neto potisak je vrijednost potiska na razini mora.

Kumulativna razina zvuka/buke

Izmjerena razina primljene buke u decibelima tijekom određenog vremenskog razdoblja, na točki blizu aerodroma, od avionskog prometa u normalnim uvjetima rada i na normalnim putanjama. Izračunava se evidentiranjem razine događaja zvuka/buke na tom mjestu.

Zbroj ili prosjek decibela

U nekim slučajevima navode se kao »energetske« ili »logaritamske« (za razliku od aritmetičkih) vrijednosti. Koristi se kad je prikladno zbrojiti ili izračunati prosjek energije zvuka; npr. *ukupno u decibelima*
 $=10 \cdot \lg \sum 10^{L_i/10}$

Udio energije, F

Omjer zvučne energije koja je primljena na segmentu u odnosu na energiju koja je primljena na beskonačnoj putanji leta.

Režim rada motora

Vrijednost → *parametra snage povezanog s bukom* koji se koristi za određivanje emisije zvuka prema bazi podataka NPD.

Ekvivalentna (kontinuirana) razina zvuka, L_{eq}

Mjera za dugoročni zvuk. Razina hipotetskog trajnog zvuka čija je energija, izmjerena u određenom vremenskom razdoblju, ekvivalentna energiji trenutačnog promjenjivog zvuka.

Razina zvučnog događaja	Ukupnost zvuka (ili buke) koja je registrirana kao posljedica prolaska aviona, izmjerena u decibelima → razina izloženosti zvuku
Letna konfiguracija	= → <i>Konfiguracija zrakoplova</i> + → <i>Parametri leta</i>
Parametri leta	Režim rada motora, brzina, bočni nagib i težina.
Putanja leta	Putanja aviona u zraku, definirana s tri dimenzije, obično u odnosu na mjesto početka zaleta ili prag sletne staze.
Segment putanje leta	Dio putanje leta zrakoplova koji se za potrebe modeliranja buke predstavlja ravnom linijom ograničene duljine.
Letna procedura	Slijed operativnih koraka koji posada zrakoplova ili sustav kontrole leta prati: izražava se promjenama letne konfiguracije kao funkcija udaljenosti na tlocrtu putanje.
Profil leta	Promjena visine aviona duž putanje (ponekad uključuje i promjene → <i>letne konfiguracije</i>) – koja se opisuje kao skup → <i>točaka na profilu</i>
Ravnina tla	(ili nazivna ravnina tla) horizontalna ravnina na površini tla na kojoj se nalazi referentna točka aerodroma prema kojoj se obično računaju konture.
Brzina po horizontali	Brzina zrakoplova u odnosu na fiksnu točku na tlu.
Tlocrt putanje	Vertikalna projekcija putanje leta na ravninu tla.
Visina	Udaljenost po vertikali između zrakoplova i → <i>ravnine tla</i>
Integrirana razina zvuka	Drugi termin je → <i>razina izloženosti buci jednokratnog događaja</i> .
ISA	Međunarodna standardna atmosfera – kako je definira ICAO. Ovim se definiraju varijacije temperature, tlaka i gustoće zraka prema nadmorskoj visini. Koristi se za normalizaciju rezultata izračuna u dizajnu zrakoplova i analizu testnih podataka.
Lateralno prigušenje	Povećano prigušenje zvuka s udaljenošću koje uzrokuje, izravno ili neizravno, površina tla. Značajno je pri malim elevacijskim kutovima (zrakoplova u odnosu na udaljenost od površine tla)
Najveća razina zvuka/buke	Najveća razina zvuka dosegnuta tijekom zvučnog događaja
Srednja razina mora, <i>MSL</i>	Standardna nulta visina zemaljske površine referentna za → ISA-u.
Neto potisak	Potisna sila koju motor prenosi na zmaj zrakoplova.

Buka	Buka se definira kao neželjeni zvuk. Međutim, mjerama kao što su <i>A-vrednovana razina zvuka (L_A)</i> i <i>efektivna percipirana razina buke (EPNL)</i> razina zvuka se zapravo preračunava u razinu buke. Unatoč neodređenosti koja iz toga proizlazi, termini zvuk i buka ponekad se naizmjenično koriste u ovom dokumentu, kao i drugdje – posebno u kolokaciji s riječju <i>razina</i> .
Kontura buke	Crta oko zračne luke koja povezuje točke jednake kumulativne razine ili indeksa buke zrakoplova
Utjecaj buke	Neželjeni utjecaji buke na one koji su joj izloženi; važno je što se podrazumijeva da su izmjereni i izračunani podaci za buku indikatori utjecaja buke
Indeks buke	Mjera dugoročnog ili kumulativnog zvuka koji je u korelaciji s utjecajem zvuka na ljude (tj. smatra se da je pokazatelj utjecaja zvuka na ljude). Uz magnitudu zvuka može uzimati u obzir i druge faktore (naročito doba dana). Primjer toga je razina indikatora buke za dan-večer-noć L_{DEN} .
Razina buke	Izmjerena razina zvuka u decibelima na ljestvici glasnoće ili bučnosti. Za okolišnu buku koju uzrokuju zrakoplovi obično se koriste dvije ljestvice: A-vrednovana razina zvuka i percipirana razina buke. U tim se ljestvicama primjenjuju različiti ponderi za zvuk različitih frekvencija – čime se oponaša ljudska percepcija.
Mjera buke	Izraz koji se koristi za opisivanje bilo koje izmjerene količine buke na položaju prijemnika, bez obzira radi li se o jednokratnom događaju ili ukupnosti buke u dužem vremenskom razdoblju. Dvije se mjere obično koriste za jedan zvučni događaj: <i>maksimalna razina</i> koja je dosegnuta tijekom događaja i <i>razina izloženosti zvuku</i> kao mjera ukupne zvučne energije određena uključivanjem vremenske komponente.
NPD odnosi/podaci (buka – snaga – udaljenost)	Razine zvučnih događaja u tablici kao funkcija udaljenosti ispod aviona u pravocrtnom, horizontalnom letu referentnom brzinom u referentnoj atmosferi, za svaki zadani <i>režim rada motora</i> . Podaci o utjecajima prigušenja zvuka zbog kružnog širenja vala (slabljene s kvadratom udaljenosti) i apsorpcije u atmosferi. Udaljenost se definira okomito na putanju zrakoplova i os po širini zrakoplova (tj. okomito ispod zrakoplova u letu bez bočnog nagiba).
Parametar snage motora povezan s bukom	Parametar kojim se opisuje ili koji pokazuje potisnu snagu koju proizvodi motor zrakoplova i s kojim se može logički povezati emisija akustičke energije; pod njim se obično podrazumijeva → <i>korigirani neto potisak</i> . U tekstu se često navodi pod nazivom »snaga« ili »režim rada motora«.
Značenje za buku	Doprinos zvuku s određenog segmenta putanje leta je »značajan za buku« ako primjetno utječe na razinu zvučnog događaja. Zanemarivanjem segmenata koji nisu značajni za buku znatno se olakšava računalni izračun
Promatrač	→ <i>Prijemnik</i>

Proceduralni koraci	Propisani postupak profil leta – koraci uključuju promjene brzine i/ili visine.
Točka profila	Visina krajnje točke na segmentu putanje – na okomitoj ravnini iznad tlocrta putanje
Prijemnik	Primatelj buke koja dolazi s izvora; uglavnom na točki na tlu ili blizu nje
Referentna atmosfera	Tablica vrijednosti apsorpcije zvuka koja se koristi za standardiziranje podataka NPD (vidjeti Dodatak D)
Referentni dan	Skup atmosferskih uvjeta na temelju kojih se standardiziraju podaci za buku zrakoplova (ANP)
Referentno razdoblje	Nazivni vremenski interval koji se koristi za standardiziranje mjerenja jednokratnog izlaganja zvuku; 1 sekunda za → <i>razinu izloženosti buci (SEL)</i> .
Referentna brzina	Brzina aviona po horizontali za koju se računaju podaci <i>NPD</i> → <i>SEL</i>
<i>SEL</i>	→ <i>Razina izloženosti buci</i>
Razina izloženosti buci jednokratnog događaja	Razina zvuka koju bi događaj imao kad bi se sva njegova zvučna energija ujednačila i skupila u standardni vremenski interval koji se naziva → <i>referentno trajanje</i>
Meka površina	Zemaljska površina koja je akustički »mekana«; obično se radi o travnatim površinama koje okružuju većinu aerodroma. Akustički »tvrde«, tj. kako reflektirajuće zemaljske, površine su primjerice beton i voda. Ovdje opisana metodologija kojom se mapiraju konture buke odnosi se na uvjete na mekim površinama.
Zvuk	Energija koja se prenosi zrakom longitudinalnim valovima koje registrira ljudsko uho
Prigušenje buke	Smanjenje intenziteta zvuka s udaljenošću na putu širenja zvučnog vala. Kad je riječ o buci zrakoplova, među uzrocima prigušenja nalaze se sferno širenje vala, apsorpcija u atmosferi i → <i>lateralno prigušenje</i>
Izloženost zvuku	Ukupna količina zvučne energije koja je primljena u određenom vremenskom period (imisija zvučne energije)
Razina izloženosti buci, L_{AE}	(Kratica SEL) Standardna mjera prema ISO 1996-1 ili ISO 3891 = A-vrednovana razina izloženosti buci jednokratnog događaja s referentnim razdobljem od jedne sekunde.
Intenzitet zvuka	Razina zvuka koja je izmjerena u određenoj točki, povezana s akustičkom energijom (pokazatelj su izmjerene razine zvuka)

Razina zvuka	Količina zvučne energije izražena u decibelima. Primljeni zvuk mjeri se uz »frekvenčijsko vrednovanje« ili bez njega; razine izmjerene uz vrednovanje obično se nazivaju <i>razine buke</i>
Duljina dionice/puta	Udaljenost do prvog odredišta zrakoplova u odlasku; pokazatelj je težine zrakoplova
Početak zaleta, <i>SOR</i>	Točka na uzletno-sletnoj stazi odakle zrakoplov u odlasku započinje postupak uzlijetanja. Drugi naziv je »otpuštanje kočnica«.
Stvarna brzina	Točna brzina zrakoplova u odnosu na zrak (brzina po horizontali bez vjetra)
Vrednovana ekvivalentna razina zvuka, $L_{eq,w}$	Modificirana verzija L_{eq} u kojoj se za buku primjenjuju različiti ponderi ovisno o dobu dana (obično za dan, večer i noć)

Simboli

d	Najkraća udaljenost od promatračke točke do segmenta putanje
d_p	Udaljenost (pod pravim kutom u odnosu na putanju) od promatračke točke do putanje (izravna udaljenost)
d_λ	Prilagođena udaljenost
F_n	Stvarni neto potisak po motoru
F_n/δ	Korigirani neto potisak po motoru
h	Visina zrakoplova (nadmorska visina)
L	Razina zvučnog događaja (nedefinirana ljestvica)
$L(t)$	Razina zvuka u vremenu t (nedefinirana ljestvica)
$L_A, L_A(t)$	A-vrednovana razina zvučnog tlaka (u vremenu t) izmjerena na zvučnoj skali za <i>dugi</i> zvuk
L_{AE}	(SEL) Razina izlaganja buci
L_{Amax}	Maksimalna vrijednost $L_A(t)$ tijekom događaja
L_E	Razina izloženosti buci jednokratnog događaja
$L_{E\infty}$	Razina izloženosti buci jednokratnog događaja prema bazi podataka NPD
L_{EPN}	Efektivna percipirana razina buke
L_{eq}	Ekvivalentna (kontinuirana) razina zvuka

L_{max}	Maksimalna vrijednost $L(t)$ tijekom događaja
$L_{max,seg}$	Maksimalna razina (buke) koja se stvara na segmentu
ℓ	Udaljenost pod pravim kutom od promatračke točke do tlocrta putanje
lg	Logaritam s bazom 10
N	Broj segmenata ili podsegmenata
NAT	Broj događaja kad L_{max} premašuje određeni prag
P	Parametar snage u varijabli $L(P,d)$ NPD-a
P_{seg}	Parametar snage relevantan za određeni segment
q	Udaljenost od početka segmenta do najbliže točke prilaženja
R	Radius zaokreta
S	Standardna devijacija
s	Udaljenost duž tlocrta putanje
s_{RWY}	Dužina uzletno-sletne staze
t	Vrijeme
t_e	Stvarno trajanje jednokratnog zvučnog događaja
t_0	Referentno razdoblje za integriranu razinu zvuka
V	Brzina po horizontali
V_{seg}	Ekvivalentna brzina po horizontali na segmentu
V_{ref}	Referentna brzina po horizontali za koju se definiraju podaci NPD
x,y,z	Lokalne koordinate
x',y',z'	Koordinate zrakoplova
$X_{ARP}, Y_{ARP}, Z_{ARP}$	Zemljopisne koordinate referentne točke na aerodromu
z	Visina zrakoplova iznad ravnine tla / referentne točke na aerodromu
α	Parametar koji se koristi za izračunavanje korekcije za konačni segment Δ_F
β	Elevacijski kut zrakoplova u odnosu na ravninu tla

ϵ	Kut bočnog nagiba zrakoplova
γ	Kut penjanja/snižavanja
φ	Depresijski kut (parametar za lateralnu usmjerenost)
λ	Ukupna duljina segmenta
ψ	Kut između smjera kretanja zrakoplova i linije od zrakoplova do promatrača
ξ	Smjer kretanja zrakoplova, mјeren u odnosu na magnetski sjever u smjeru kazaljke na satu
$\Lambda(\beta, \xi)$	Lateralno prigušenje od zraka do tla
$\Lambda(\beta)$	Lateralno prigušenje od zraka do tla na velikoj udaljenosti
$\Gamma(\xi)$	Faktor udaljenosti za lateralno prigušenje
Δ	Promjena vrijednosti veličine ili korekcija (kako je u tekstu naznačeno)
Δ_F	Korekcija za konačni segment
Δ_I	Korekcija za položaj motora
Δ_i	Ponder za i -to doba dana, dB
Δ_{rev}	Negativni potisak
Δ_{SOR}	Korekcija za početak zaleta
Δ_v	Korekcija za trajanje (korekcija za brzinu)

Indeksi

1, 2	Indeksi koji označavaju početne i krajnje vrijednosti u intervalu ili segmentu
E	Izlaganje
i	Indeks za tip zrakoplova / zbroj kategorija
j	Indeks za zbroj tlocrta putanje / pomoćnih putanja
k	Indeks za zbrajanje segmenata
max	Maksimum
ref	Referentna vrijednost

<i>seg</i>	Specifična vrijednost za segment
<i>SOR</i>	Povezano s početkom kretanja
<i>TO</i>	Uzljetanje

2.6.2. Kvalitativni okvir

Točnost ulaznih vrijednosti

Sve ulazne vrijednosti koje utječu na razinu emisije izvora, uključujući položaj izvora, određuju se barem s točnosti koja odgovara nesigurnosti od $\pm 2\text{dB(A)}$ u razini emisije izvora (uz uvjet da su svi ostali parametri nepromijenjeni).

Upotreba unaprijed zadanih vrijednosti

Pri primjeni metode ulazni podaci moraju odražavati stvarno korištenje. Općenito se ne smije oslanjati na unaprijed zadane ulazne vrijednosti ili prepostavke. Konkretno, putanje leta do kojih se došlo korištenjem podataka s radara moraju se koristiti kad god postoje i kad su podaci dovoljno kvalitetni. Upotreba unaprijed zadanih vrijednosti i prepostavki prihvatljiva je, primjerice, za korištenje za modelirane rute umjesto putanja dobivenih korištenjem podataka s radara ako je prikupljanje stvarnih podataka povezano s nerazmjerno visokim troškovima.

Kvaliteta softvera koji se koristi za izračune

Softver koji se koristi za izračune mora biti dokazano sukladan s ovdje opisanim metodama, a to se dokazuje usporedbom rezultata s probnim slučajevima.

2.7. Buka zrakoplova

2.7.1. Cilj i područje primjene dokumenta

Karte kontura koriste se za označavanje dosega i veličine utjecaja buke zrakoplova oko zračnih luka, a taj se utjecaj iskazuje za to namijenjenim mjerama ili indeksima. Kontura je linija na kojoj je vrijednost indeksa konstantna. Vrijednost indeksa je zbroj, izračunat na poseban način, svih pojedinačnih događaja buke u određenom vremenskom periodu, koji se obično mjeri u danima ili mjesecima.

Buka na točkama na tlu, koju uzrokuju zrakoplovi u dolasku ili odlasku s aerodroma u blizini, ovisi o mnogim faktorima. Posebno su važni faktori tipovi zrakoplova i njihove pogonske skupine, snaga, položaj zakrilaca i postupci koji se tiču kontrole brzine za same zrakoplove; udaljenosti od predmetnih točaka do različitih putanja leta te lokalni topografski i vremenski uvjeti. Zračnim se lukama obično koriste različiti tipovi aviona, s različitim letnim procedurama i operativnim masama.

Konture se izvode matematičkim izračunom vanjskih granica indeksa lokalne buke. U ovom se dokumentu detaljno objašnjava kako izračunati razine zvučnog događaja pojedinog zrakoplova na jednoj promatračkoj točki, za određeni prelet zrakoplova ili vrstu preleta, na temelju kojih se nakon toga izračunava prosjeke ili se te vrijednosti *akumulira* kako bi se dobilo vrijednosti indeksa za tu točku. Potrebne vanjske granice indeksa izračunavaju se

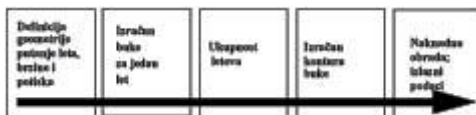
jednostavnim ponavljanjem izračuna po potrebi za različita kretanja zrakoplova, a učinkovitost se povećava isključivanjem događaja koji nisu »značajni za buku« (tj. koji ne doprinose bitno ukupnoj buci).

Ako aktivnosti povezane s radom zračne luke koje stvaraju buku ne doprinose primjetno ukupnoj izloženosti stanovništva buci zrakoplova i s njom povezanim konturama buke, može ih se zanemariti. Te aktivnosti uključuju: helikoptere, taksiranje, isprobavanje motora i upotrebu pomoćnih generatora energije. To ne znači nužno da je njihov utjecaj beznačajan pa se u slučaju takvih uvjeta procjena izvora buke može se provoditi kako je opisano u stavku 2.7.21. i 2.7.22.

2.7.2. Plan dokumenta

Postupak ocrtavanja konture buke prikazan je na **slici 2.7.a**. Konture se sastavljaju za različite svrhe pa o tome obično ovise zahtjevi za izvore i preliminarnu obradu ulaznih podataka.

Konture kojima se prikazuje prošli utjecaj buke mogu se generirati iz zabilježenih podataka o operacijama zrakoplova – njihovog kretanja, težine, putanja leta koje se izmjerene na radarima itd. Konture koje se koriste za planiranje više se oslanjaju na predviđanja prometa i putanja leta kao i performansi i zvučnih karakteristika budućih zrakoplova.



Slika 2.7.a Postupak ocrtavanja kontura buke

Bez obzira na izvor podataka o letu, svako različito kretanje zrakoplova, dolazak ili odlazak, definira se geometrijom njegove putanje leta i emisijom zvuka zrakoplova koja nastaje tijekom njegova kretanja tom putanjom (kretanja koja su suštinski jednaka gledano prema buci i putanji leta dodaju se jednostavnim množenjem). Emisija buke ovisi o osobinama zrakoplova – uglavnom o snazi njegovih motora. Preporučena metodologija uključuje dijeljenje putanje leta na segmente. U odjelicima 2.7.3. do 2.7.6. prikazuju se elementi metodologije i objašnjava princip segmentacije na kojem se metodologija temelji; zabilježena razina događaja buke je zbroj doprinosa sa svih segmenata putanje leta koji su »značajni za buku«, a svaki od njih može se izračunati neovisno od ostalih. U odjelicima 2.7.3. do 2.7.6. također se prikazuju zahtjevi za ulazne podatke koji su potrebni za ocrtavanje kontura buke. Detaljne specifikacije operativnih podataka koji su potrebni iznesene su u Dodatku A.

U odjelicima 2.7.7. do 2.7.13. opisano je kako se izračunavaju segmenti putanje leta na temelju preliminarno obrađenih ulaznih podataka. To uključuje analizu performansi leta zrakoplova, za koje su jednadžbe detaljno opisane u Dodatku B. Letne putanje mogu se znatno razlikovati – zrakoplovi koji slijede bilo koju rutu raspršeni su u širokom rasponu zbog razlika u atmosferskim uvjetima, težinama zrakoplova i operativnim procedurama, ograničenjima kontrole zračnog prometa itd. To se uzima u obzir statističkim opisivanjem svake putanje leta kao središnje ili »glavne« putanje uz koju postoji skup pomoćnih putanja. I to je objašnjeno u odjelicima 2.7.7. do 2.7.13. s upućivanjem na dodatne informacije u Dodatku C.

U odjelicima 2.7.14. do 2.7.19. navedeni su koraci koje treba slijediti u izračunu razine buke za jedan događaj buke koja se mjeri na tlu i koju uzrokuje jedan prelet zrakoplova. U Dodatku D opisuje se ponovni izračun podataka NPD za uvjete koji nisu referentni. U Dodatku E objašnjava se akustički dipol kao izvor zvuka za model kojim se definira zračenje zvuka s konačnih segmenata putanja leta.

Za primjene odnosa iz modela iz poglavlja 3. i 4. potrebni su, osim relevantnih putanja leta, odgovarajući podaci o buci i performansama predmetnog zrakoplova.

Ključni izračun je određivanje razine događaja za jedno kretanje zrakoplova promatrano s jedne promatračke točke. Taj se izračun mora ponoviti za svako kretanje zrakoplova na svakoj od unaprijed određenih točaka koje obuhvaćaju očekivane konture buke. Na svakoj se točki razine događaja na neki način zbrajaju ili im se izračunava prosjek, s ciljem izračuna »kumulativne razine« ili vrijednosti indeksa buke. Taj je dio procesa opisan u odjelicima 2.7.20. i od 2.7.23 do 2.7.25.

U odjelicima od 2.7.26. do 2.7.28. iznosi se kratak pregled mogućnosti i zahtjeva za pripisivanje kontura buke određenim vrijednostima indeksa buke. Time se daju smjernice za ocravanje kontura i naknadnu obradu.

2.7.3. Koncept segmentacije

Za svaki određeni zrakoplov u bazi podataka zabilježeni su osnovni NPD (buka – snaga – udaljenost) odnosi. Njima se kao funkcija udaljenosti određuju primljene razine zvučnog događaja izravno ispod zrakoplova^[3](Zapravo ispod zrakoplova pod kutom od 90 stupnjeva na os po širini zrakoplova u smjeru kretanja zrakoplova, odnosno okomito ispod zrakoplova u pravocrtnom letu (tj. bez bočnog nagiba).) – maksimalne i integrirane s vremenom – za zrakoplov koji leti horizontalno ujednačenom *referentnom brzinom* u određenim *referentnim atmosferskim uvjetima* i određenoj letnoj konfiguraciji. Za svrhe modeliranja buke najvažniji element, potisna snaga, predstavlja se *parametrom snage povezanim s bukom*; parametar koji se obično koristi je *korigirani neto potisak*. Osnovne razine događaja preuzete iz baze podataka korigiraju se za: prvo, razlike između stvarnih (tj. modeliranih) i referentnih atmosferskih uvjeta i (kad se radi o razinama izloženosti buci) brzinu zrakoplova te, drugo, za točke prijema koje nisu izravno ispod zrakoplova, razlike između buke koja zrači prema dolje i bočno zračene buke. Ovo posljednje potrebno je zbog *lateralne usmjerenosti* (efekti zbog položaja motora) i *lateralnog prigušenja*. Međutim, tako korigirane razine događaja buke i dalje se primjenjuju samo na ukupnu buku zrakoplova koji leti horizontalno ujednačenom brzinom.

Segmentacija je postupak u kojem se za modeliranje kontura buke prilagođavaju NPD i lateralni podaci s beskonačne putanje kako bi se izračunala buka koja dolazi do prijemnika s putanje na kojoj podaci nisu uvijek jednaki, tj. putanje na kojoj lete zrakoplovi u različitoj letnoj konfiguraciji. Za potrebe izračuna razine zvučnog događaja u jednom preletu zrakoplova putanja leta se predstavlja neprekidnim nizom pravocrtnih segmenata, a svaki od njih može se smatrati ograničenim dijelom beskonačne putanje za koju su poznati NPD i lateralne korekcije. Maksimalna razina događaja buke je jednostavno ona sa segmenta na kojem je izmjerena najveća vrijednost. Vremenski integrirana razina cijelog događaja buke

izračunava se zbrajanjem buke koja je primljena s dovoljnog broja segmenata, tj. onih s kojih se značajno doprinosi ukupnom događaju buke.

Metoda kojom se procjenjuje koliko se s jednog konačnog segmenta doprinosi ukupnoj razini događaja buke u potpunosti je empirijska. *Udio energije F* – buka na segmentu koja se izražava kao udio buke s ukupne beskonačne putanje – opisuje se relativno jednostavnim izrazom koji može uzimati u obzir longitudinalnu usmjerenošć buke zrakoplova i »pogled« s prijemnika na segment. Jedan od razloga zašto je jednostavna empirijska metoda općenito adekvatna je taj što većina buke u pravilu dolazi s najbližeg, obično susjednog, segmenta unutar kojeg se (ne na jednom od njegovih krajeva) nalazi *najbliža točka približavanja* (CPA) prijemniku. To znači da procjene buke sa segmenata koji nisu susjedni mogu biti progresivno približne što su dalje od prijemnika, a da to nema značajnog utjecaja na točnost.

2.7.4. Putanje leta: Projekcije putanja na zemljinu površinu i profili leta

U kontekstu modeliranja, *putanja leta* je potpuni opis kretanja zrakoplova u prostoru i vremenu^[4](Vrijeme se uračunava putem brzine zrakoplova.). Putanja i potisak (ili drugi parametar značajan za buku) podaci su koji su potrebni za izračun buke koja se stvara. *Tlocrt putanje* je okomita projekcija letne putanje na ravno tlo. Taj se podatak kombinira s *profilom leta po vertikali* čime se generira trodimenzionalna putanja leta. Za modeliranje po segmentima potrebno je da se putanja leta za svaki pojedinačni prelet zrakoplova opiše nizom ravnih segmenata. Način na koji se segmentacija provodi uvjetovan je potrebom da se uravnoteže preciznost i učinkovitost – stvarnu zakrivljenu putanju leta treba opisati dovoljno točno, uz istovremeno svođenje računalnog opterećenja i zahtjeva za podacima na najmanju moguću mjeru. Svaki segment mora biti definiran geometrijskim koordinatama njegovih krajnjih točaka te na njemu zabilježenim parametrima brzine zrakoplova i snage motora (o kojima ovisi emisija zvuka). Putanje leta i snaga motora mogu se utvrditi na različite načine, a glavni načini uključuju (a) sintezu niza proceduralnih koraka i (b) analizu izmјerenih podataka profila leta.

Sinteza putanje leta (a) zahtijeva poznavanje (ili pretpostavku) tlocrtâ putanja i njihovih lateralnih raspršenosti, težine zrakoplova, postupaka upravljanja potiskom, zakrilcima i stvarnom brzinom, nadmorske visine zračne luke, vjetra i temperature zraka. Jednadžbe za izračunavanje profila leta korištenjem zadanih aerodinamičkih parametara i parametara potiska iznesene su u Dodatku B. Svaka jednadžba uključuje koeficijente (i/ili konstante) koji se temelje na empirijskim podacima za svaki tip zrakoplova. Korištenjem jednadžbi za aerodinamičke performanse iz Dodatka B moguće je razmatrati bilo koju realnu kombinaciju operativne mase zrakoplova i letne procedure, uključujući i operacije s različitim ukupnim poletnim masama.

Analiza izmјerenih podataka (b), npr. iz uređaja za snimanje podataka o letu, s radara ili druge opreme za praćenje zrakoplova, uključuje »obrnuti inženjeringu«, u biti obrnut proces od procesa sinteze (a). Umjesto procjenjivanja ponašanja zrakoplova i pogonskih skupina na krajevima segmenata leta integriranjem efekata potiska i aerodinamičkih sila koje djeluju na zmaj zrakoplova, sile se procjenjuju promatranjem promjena visine i brzine zmaja zrakoplova. Postupci za obradu podataka o putanji leta opisani su u odjeljku 2.7.12.

U savršenoj aplikaciji za modeliranje buke svaki bi se pojedini let, u teoriji, mogao predstaviti neovisno; tako bi se osiguralo da je raspršenost letnih putanja u prostoru točno uzeta u obzir – što može biti jako bitno. Međutim, kako bi se pripremu podataka i računalno vrijeme zadržalo u razumnim granicama, uobičajena je praksa prikazati snopove letnih putanja malim brojem lateralno izmještenih »pomoćnih putanja«. (Raspršenost po vertikali obično se zadovoljavajuće prikazuje uračunavanjem efekata različitih težina zrakoplova na vertikalnim profilima).

2.7.5. Buka i performanse zrakoplova

~~U bazi podataka ANP iz Dodatka I. obuhvaćena je većina tipova zrakoplova u uporabi. Podaci za tipove ili inačice zrakoplova za koje podaci nisu navedeni mogu se supstituirati podacima za druge, slične tipove zrakoplova s popisa.~~

~~Baza podataka ANP uključuje unaprijed određene »proceduralne korake« kako bi se omogućilo generiranje profila leta za najmanje jednu proceduru za smanjivanje buke u odlasku. U novijim se zapisima u bazi podataka nalaze dvije različite procedure za smanjivanje buke u odlasku.~~

2.7.5. Buka i performanse zrakoplova

Baza podataka ANP iz Dodatka I. sadržava koeficijente performansi zrakoplova i motora, profile za odlazak i prilaz te NPD odnose za znatan udio civilnih zrakoplova koji lete iz zračnih luka u Europskoj uniji. Podaci za tipove ili inačice zrakoplova za koje podaci nisu navedeni mogu se supstituirati podacima za druge, slične tipove zrakoplova s popisa.

Ti su podaci dobiveni za izračun kontura buke za prosječnu ili reprezentativnu mješavinu flote i prometa u zračnoj luci. Možda nisu primjereni za predviđanje apsolutne razine buke pojedinačnih modela zrakoplova ni za uspoređivanje konkretnih tipova ili modela zrakoplova ili konkretne flote zrakoplova po performansama i značajkama povezanimi s bukom. Umjesto toga, kako bi se utvrdilo koji su tipovi ili modeli zrakoplova ili konkretna flota zrakoplova najbučniji, moraju se pregledati certifikati o buci.

Baza podataka ANP sadržava jedan ili više zadanih profila za uzljetanje i slijetanje za svaki navedeni tip zrakoplova. Mora se ispitati primjenjivost tih profila na promatrano zračnu luku te se moraju utvrditi fiksne točke profila ili proceduralni koraci koji najbolje predstavljaju letačke operacije u toj zračnoj luci.

2.7.6. Zračna luka i zrakoplovne operacije

Specifični podaci za lokaciju iz kojih se izračunavaju konture buke za određenu situaciju u zračnoj luci uključuju sljedeće:

Opći podaci o zračnoj luci

- Referentna točka aerodroma (za jednostavno smještanje aerodroma na odgovarajuće zemljopisne koordinate). Referentna točka određuje se kao polazište za lokalni Kartezijev koordinatni sustav koji se koristi u postupku izračuna.
- Referentna visina aerodroma (= nadmorska visina referentne točke na aerodromu). To je visina nazivne ravnine tla prema kojoj se, kada nema korekcija zbog topografije, definiraju konture buke.
- Prosječni meteorološki parametri na ili blizu referentne točke aerodroma (temperatura, relativna vlažnost, prosječna brzina vjetra i smjer vjetra).

Podaci o uzletno-sletnoj stazi

Za svaku uzletno-sletnu stazu:

- Oznaka uzletno-sletne staze
- Referentna točka uzletno-sletne staze (lokalne koordinate centra uzletno-sletne staze)
- Duljina uzletno-sletne staze, smjer i srednji nagib.
- Lokacija mesta početka zaleta i praga sletne staze^[5](Pomaknuti pragovi mogu se uzeti u obzir definiranjem dodatnih uzletno-sletnih staza.).

Podaci o tlocrtu putanje

Tlocrti putanja zrakoplova opisuju se koordinatama na (horizontalnoj) ravnini tla. Izbor izvora podataka za tlocrte putanja ovisi o tome jesu li ili nisu dostupni relevantni radarski podaci. Ako jesu, statističkom analizom podataka utvrđuje se glavna putanja i pogodne (raspršene) pomoćne putanje. Ako nisu, glavne se putanje obično generiraju upotrebom za to pogodnih proceduralnih podataka, npr. korištenjem procedura za standardni instrumentalni odlazak iz Zbornika zrakoplovnih informacija. U tom se konvencionalnom opisu nalaze sljedeći podaci:

- Oznaka uzletno-sletne staze od koje putanja počinje
- Opis polazišta putanje (početak zaleta, prag sletne staze)
- Duljina segmenata (za zaokrete, radijus i promjenu smjera)

To su minimalni podaci potrebni za definiranje glavne putanje. Međutim, izračun prosječnih razina buke na temelju pretpostavke da zrakoplovi točno slijede nazivne rute može dovesti do lokaliziranih grešaka od nekoliko decibela. Stoga se mora prikazati i lateralna raspršenost pa su potrebni sljedeći dodatni podaci:

- Širina snopa putanja (ili drugi statistički podatak za raspršenost) na svakom kraju segmenta
- Broj pomoćnih putanja
- Distribucija kretanja okomito u odnosu na glavnu putanju

Podaci o zračnom prometu

Podaci o zračnom prometu su:

- vremenski period na koji se podaci odnose i
- broj kretanja (dolazaka i odlazaka) za svaki tip zrakoplova na svakoj putanji leta, podijeljen na (1) vrijeme dana u skladu s prikladnim opisima svojstava buke, (2) za odlaske, operativne mase zrakoplova ili dužine dionica i (3) ako je potrebno, operativne procedure.

Za većinu indikatora buke potrebno je definirati događaje (tj. kretanja zrakoplova) kao prosječne dnevne vrijednosti tijekom određenih doba dana (npr. dan, večer i noć) – vidjeti odjeljke od 2.7.23. do 2.7.25.

Topografski podaci

Teren oko većine zračnih luka je relativno ravan. Međutim, to nije uvijek slučaj pa je ponekad potrebno uzeti u obzir varijacije u visini terena u odnosu na referentnu nadmorsku visinu

zračne luke. Nagib terena može biti osobito značajan u blizini prilaznih putanja, gdje zrakoplov leti na relativno maloj visini.

Podaci o visini terena obično se bilježe kao skup (x, y, z) koordinata na pravokutnoj mreži s određenom veličinom polja. Međutim, parametri za mrežu nadmorskih visina vjerojatno će biti različiti od onih za mrežu koja se koristi za izračun buke. U takvim slučajevima može se koristiti linearna interpolacija kako bi se procijenile potrebne koordinate za z u mreži za izračun buke.

Sveobuhvatna analiza efekata značajno neravnog tla na širenje zvuka složena je i izlazi iz okvira ove metode. Umjerena neravnost može se uračunati uz pretpostavku »pseudo-ravnog« tla; tj. jednostavnim uzimanjem više ili niže razine ravnine tla u odnosu na lokalnu nadmorsklu visinu tla (relativno u odnosu na referentnu ravninu tla) za svaku točku prijema (vidjeti odjeljak 2.7.4.).

Referentni uvjeti

Međunarodni podaci za buku i performanse zrakoplova (ANP) korigiraju se prema standardnim referentnim uvjetima koji su u širokoj upotrebi za studije o buci oko zračnih luka (vidjeti Dodatak D).

Referentni uvjeti za podatke NPD

- 1) Atmosferski tlak: 101,325 kPa (1013,25 mb)
- 2) Atmosferska apsorpcija: Stope prigušenja zvuka navedene su u tablici D-1 u Dodatku D
- 3) Padaline: Nikakve
- 4) Brzina vjetra: Manja od 8 m/s (15 čvorova)
- 5) Brzina po horizontali: 160 čvorova
- 6) Lokalni teren: Ravno, meko tlo bez velikih građevina ili drugih reflektirajućih objekata u krugu od nekoliko kilometara od tlocrta putanja zrakoplova.

Standardizirana mjerjenja zvuka zrakoplova vrše se 1,2 metra iznad površine tla. Međutim, o ovome nije potrebno posebno voditi računa jer se za svrhe modeliranja može pretpostaviti da je za razinu događaja buke visina prijemnika relativno nebitna^[6](6 Ponekad se zahtijeva izračun za visinu od 4 metra ili više. Usporedba mjerjenja na 1,2 metra i 10 metara i teoretski izračun efekata tla pokazuju da su varijacije A-vrednovane razine izloženosti buci relativno neosjetljive na visinu prijemnika. Varijacije su općenito manje od jednog decibela, osim ako je maksimalni kut prijema zvuka manji od 10° i ako A-vrednovani spektar na prijemniku dostiže maksimalnu vrijednost na frekvencijama između 200 i 500 Hz. Spektar u kojem dominiraju tako niske frekvencije zvuka moguć je npr. na velikim udaljenostima za motore s niskim prijenosnim omjerom (low-bypass ratio engines) i elisne motore koji proizvode diskretne niskofrekventne zvukove.).

Usporedbe procijenjenih i izmjerениh razina buke oko zračnih luka pokazuju da se podaci NPD mogu smatrati primjenjivima kada su prosječni uvjeti blizu površine u sljedećim okvirima:

- Temperatura zraka manja od 30 °C
- Umnožak temperature zraka (°C) i relativne vlažnosti (u postocima) veći od 500
- Brzina vjetra manja od 8 metara u sekundi (15 čvorova)

To su uvjeti za koje se može pretpostaviti da vladaju na većini glavnih zračnih luka u svijetu.

U Dodatku D iznesena je metoda za pretvaranje podataka NPD u prosječne lokalne uvjete koji su izvan tih okvira, ali se za ekstremne slučajeve preporučuje obraćanje relevantnim proizvođačima zrakoplova.

Referentni uvjeti za bilježenje aerodinamičkih podataka aviona i podataka za motore

1)	Nadmorska visina uzletno-sletne staze:	Srednja razina mora
2)	Temperatura zraka:	15 °C
3)	Ukupna uzletna masa:	Kako je definirana u bazi podataka ANP kao funkcija duljine dionice
4)	Ukupna masa pri slijetanju:	90 posto maksimalne ukupne mase pri slijetanju
5)	Motori koji osiguravaju potisak:	Svi

Iako se aerodinamički podaci i podaci o motorima iz ANP-a temelje na ovim uvjetima, može ih se koristiti onakve kako su navedeni u tablici i za nereferentne nadmorske visine uzletno-sletne staze i prosječne temperature zraka u državama ECAC-a, a da se pri tome ne utječe značajno na preciznost izračunate konture kumulativne prosječne razine zvuka. (vidjeti Dodatak B.)

U bazi podataka ANP navedena je tablica aerodinamičkih podataka za ukupnu masu pri uzljetanju i ukupnu masu pri slijetanju koje se spominju u točkama 3 i 4 gore. Iako za izračun kumulativne buke same aerodinamičke podatke ne treba korigirati za iznose ostalih ukupnih masa, izračun letnih profila pri uzljetanju i penjanju postupcima koji su opisani u Dodatku B temelji se na odgovarajućim operativnim ukupnim uzletnim masama.

2.7.7. Opis putanje leta

Za model buke potrebno je opisati svako različito kretanje zrakoplova njegovom trodimenzionalnom putanjom leta, varijacijama u snazi motora i brzinom na toj putanji. U pravilu jedno modelirano kretanje predstavlja dio ukupnog prometa u zračnoj luci, tj. određeni broj (pretpostavljenih) identičnih kretanja istog tipa zrakoplova, iste težine i s istim operativnim procedurama na jednom tlocrtu putanje. Ta putanja može biti jedna od više raspršenih »pomoćnih putanja« koje se koriste za modeliranje snopa putanja za jednu određenu rutu. Snopovi tlocrtâ putanja, vertikalni profil i operativni parametri za zrakoplove

definiraju se korištenjem ulaznih podataka za određenu situaciju, zajedno sa podacima o zrakoplovima iz baze podataka ANP.

NPD podaci (buka – snaga – udaljenost iz baze podataka ANP) vrijede za buku zrakoplova koji prelijeće po idealiziranim vodoravnim putanjama leta beskonačne duljine ujednačenom brzinom i konstantnom snagom motora. Za prilagođavanje tih podataka putanjama leta u završnom području koje karakteriziraju česte promjene snage i brzine svaka se putanja dijeli na ravne segmente ograničene duljinom; nakon toga se doprinos buci sa svakog od tih segmenata zbraja na promatračkom mjestu.

2.7.8. Odnosi između putanja leta i letnih konfiguracija

O trodimenzionalnoj putanji leta zrakoplova ovise geometrijski aspekti zračenja i širenja zvuka između zrakoplova i promatrača. Pri određenoj masi zrakoplova i određenim atmosferskim uvjetima putanja leta je u potpunosti određena slijedom promjena u snazi motora, položaju zakrilaca i promjenama visine kojima upravlja pilot (ili automatski sustav za upravljanje letom) slijedeći rute na visinama i pri brzinama koje određuje kontrola zračnog prometa – u skladu sa standardnim operativnim procedurama operatera zrakoplova. Tim se uputama i postupcima putanja leta dijeli u različite faze koje tvore prirodne segmente. Po horizontalnoj ravnini one uključuju ravne dionice, određene kao udaljenost do sljedećeg zaokreta, i zaokrete, koji su definirani radijusom i promjenom smjera. Na vertikali, segmenti su definirani vremenom i/ili udaljenošću koji su potrebni za postizanje zahtijevanih promjena brzine kretanja prema naprijed i/ili visine pri određenoj zadanoj snazi i položaju zakrilaca.

Odgovarajuće koordinate po vertikali se često nazivaju *točkama profila*.

Za svrhe modeliranja buke, podaci o putanji leta izvode se ili *sintezom* iz skupa proceduralnih koraka (tj. koraka koje slijedi pilot) ili *analizom* podataka s radara – fizičkim mjerenjem stvarnih putanja leta. Bez obzira na metodu koja se koristi, horizontalni i vertikalni izgled putanje leta se svodi na krivulje po segmentima. Njezin oblik po horizontali (tj. njezina dvodimenzionalna projekcija na tlo) je *tlocrt putanje* koji je definiran usmjeravanjem na rutu u dolasku ili odlasku. Njezinim se oblikom po vertikali, obilježenim točkama profila, kao i povezanim parametrima brzine, bočnog nagiba i režima rada motora, definira *profil leta* koji ovisi o *letnim procedurama* koje obično određuje proizvođač zrakoplova i/ili operater.

Putanja leta se izvodi spajanjem dvodimenzionalnog profila leta s dvodimenzionalnim tlocrtom putanje kako bi se sastavio slijed trodimenzionalnih segmenata putanje.

Važno je imati na umu da za određeni skup proceduralnih koraka profil ovisi o tlocrtu putanje; tj. pri jednakom potisku i brzini, brzina penjanja zrakoplova je manja u zaokretima nego u pravocrtnom letu. Iako se ovim uputama objašnjava kako uračunati tu međuvisnost, mora se priznati da bi to zahtjevalo vrlo velike dodatne računalne resurse pa korisnici mogu slobodno pretpostaviti da se za svrhe modeliranja buke profil leta i tlocrt putanje mogu smatrati neovisnim veličinama, tj. da nijedan zaokret ne utječe na profil penjanja. Međutim, važno je definirati promjene u bočnom nagibu koje su potrebne za zaokrete jer to ima važan utjecaj na usmjerenost emisije zvuka.

Buka primljena sa segmenta putanje leta ovisi o geometriji segmenta u odnosu na promatrača i letnoj konfiguraciji zrakoplova. Te su dvije veličine ovisne jedna o drugoj –

promjena jedne uzrokuje promjenu druge pa je potrebno osigurati da je za sve točke na putanji konfiguracija zrakoplova u skladu s njegovim kretanjem po putanji.

U sintezi putanje leta, tj. kad se putanja leta generira iz skupa »proceduralnih koraka« kojima se opisuju postupci pilota i njegov odabir snage motora, kuta zakrilaca i ubrzanja/brzine po vertikali, potrebno je izračunati kretanje. U analizi putanje leta stvar je obrnuta: režim rada motora mora se procijeniti iz podataka o kretanju zrakoplova koji su dobiveni radarom ili ponekad, u posebnim studijama, iz podataka zabilježenih uređajem za snimanje podataka o letu (iako je tada snaga motora obično uključena u podatke). U oba slučaja koordinate i letni parametri sa svih krajnjih točaka segmenata moraju se uračunati pri izračunu buke.

U Dodatu B iznesene su formule koje se odnose na sile koje djeluju na zrakoplov i njegovo kretanje te se objašnjava postupak definiranja svojstava segmenata koji sačinjavaju putanju leta. Vrste segmenata su (u zagradama se navode dijelovi Dodatka B koji se na njih odnose) *zalet pri uzljetanju* (B5), *penjanje konstantnom brzinom* (B6), *smanjivanje snage* (B7), *ubrzavanje pri penjanju i uvlačenje zakrilaca* (B8), *ubrzavanje pri penjanju nakon uvlačenja zakrilaca* (B9), *snižavanje i usporavanje* (B10) i *završno prilaženje pri slijetanju* (B11).

Neizbjježno je da modeliranje u praksi uključuje pojednostavljivanje u većoj ili manjoj mjeri – zahtjevi za pojednostavljivanje ovise o samoj primjeni, važnosti rezultata i resursima koji su na raspolaganju. Općenita je pretpostavka pri pojednostavljivanju, čak i za najsloženije primjene, ta da su za uračunavanje raspršenosti putanja leta profili leta i konfiguracije na svim pomoćnim putanjama jednaki kao i oni na glavnoj putanji. Budući da se koristi najmanje 6 pomoćnih putanja (vidjeti odjeljak 2.7.11.), na taj se način izračun znatno pojednostavljuje uz vrlo mali gubitak preciznosti.

2.7.9. Izvori podataka o putanji leta

Podaci s radara

Iako se iz zrakoplovnih uređaja za bilježenje podataka o letu mogu dobiti vrlo kvalitetni podaci, teško ih je upotrijebiti za svrhe modeliranja buke te se podaci s radara smatraju najdostupnijim izvorom informacija o stvarnim putanjama leta oko zračnih luka^[7](Iz zrakoplovnih uređaja za bilježenje podataka o letu dobivaju se detaljni operativni podaci. Međutim, ti podaci nisu lako dostupni i njihovo dobivanje nije jeftino; stoga je upotreba tih podataka za modeliranje buke obično ograničena na posebne projekte i studije razvoja modelâ.). Budući da ih se obično može dobiti iz aerodromskih sustava za praćenje buke i putanja leta, njima se sve više koristi i za modeliranje buke.

Na sekundarnom nadzornom radaru putanja leta vidi se kao niz točaka s definiranim koordinatama u intervalima koji odgovaraju jednom punom okretu prijemne antene radara – obično oko 4 sekunde. Položaj zrakoplova u zraku određuje se u polarnim koordinatama (udaljenost i azimut) radarskog odraza (iako nadzorni sustav obično pretvara polarne koordinate u koordinate Kartezijeva koordinatnog sustava); visinu zrakoplova^[8](Obično se mjeri kao visina iznad srednje razine mora (tj. u odnosu na vrijednost od 1013 mb), a aerodromski nadzorni sustavi prilagođavaju taj podatak prema nadmorskoj visini zračne luke.) mjeri visinomjer u samom zrakoplovu i šalje ga računalu kontrole zračnog prometa



Thorium A+

Izvrsni inženjeri koriste izvrstan alat!

ThoriumSoftware d.o.o.

Mobile: +385 (0) 95 8 70 50 70
Kontakt: Dario Ilija Rendulić
Email:
info@thoriumsoftware.eu;
direndulic@gmail.com

pomoću transpondera koji se aktivira radarskom zrakom. Pri tome su, zbog elektromagnetskih smetnji i ograničene rezolucije podataka, neizbjegne znatne pogreške u određivanju položaja zrakoplova (ali one nisu značajne za svrhe kontrole zračnog prometa). Dakle, kad je potrebno izvesti podatke o putanji leta određenog zrakoplova, neophodno je uskladiti dobivene podatke korištenjem za to prikladnog načina iscrtavanja krivulje. Međutim, za modeliranje buke obično se traži statistički opis snopa putanja leta; npr. za sva kretanja na određenoj ruti ili samo za one određenog tipa zrakoplova. Pri tome se greške u mjerenu povezane s odgovarajućim statističkim podacima mogu izvođenjem prosjeka smanjiti tako da ne budu značajne.

Proceduralni koraci

U mnogim slučajevima nije moguće modelirati putanje leta na temelju podataka s radara – bilo zato što nisu dostupna potrebna sredstva, ili zato što se radi o budućoj situaciji za koju ne postoje relevantni radarski podaci.

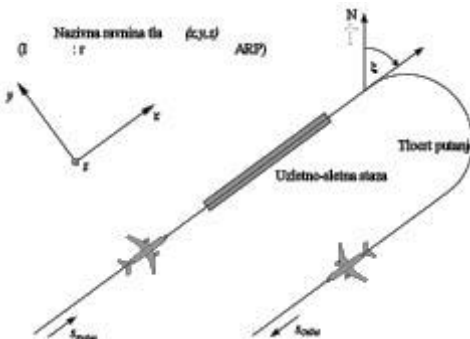
U nedostatku radarskih podataka ili kad njihova upotreba nije prikladna za svrhu, nužno je procijeniti putanje leta na temelju dostupnih operativnih radnih materijala, primjerice uputa koje posade zrakoplova dobivaju iz zbornika zrakoplovnih informacija i priručnika za određene zrakoplove, koji se ovdje obuhvaćaju zbirnim terminom *proceduralni koraci*. Za interpretaciju tih materijala savjetuje se s tijelima nadležnim za kontrolu zračnog prometa i korisnicima zrakoplova, prema potrebi.

2.7.10. Koordinatni sustavi

Lokalni koordinatni sustav

Lokalni koordinatni sustav (x, y, z) koji se koristi je Kartezijev sustav, a ishodište (0,0,0) mu je referentna točka u zračnoj luci ($X_{ARP}, Y_{ARP}, Z_{ARP}$), pri čemu je Z_{ARP} referentna nadmorska visina zračne luke, a $z = 0$ nazivna ravnina tla prema kojoj se obično računaju konture. Smjer kretanja zrakoplova ξ na ravni xy mjeri se u odnosu na magnetski sjever u smjeru kazaljke na satu (vidjeti sliku 2.7.b). Sve lokacije promatračkih mjesta, osnovna mreža za izračun i točke na konturama buke izražavaju se u lokalnim koordinatama^[9](Obično su osi lokalnog koordinatnog sustava paralelne s osi zemljopisne karte na koju se konture iscrtavaju.

Međutim, kako bi se do bile simetrične konture bez upotrebe detaljne mreže koordinata za izračun, ponekad je korisno odabrati os x paralelnu s uzletno-sletnom stazom (vidjeti odjeljke od 2.7.26. do 2.7.28.).).



Slika 2.7.b: Lokalni koordinatni sustav (x, y, z) i fiksna koordinata s Koordinatni sustav za tlocrt putanje

Ova je koordinata specifična za svaki tlocrt putanje i predstavlja udaljenost s koja se mjeri na putanji u pravcu leta. Za odlaznu putanju s se mjeri od početka zaleta, a za prilazne putanje od početka praga sletne staze. Stoga je s negativan broj u područjima

- iza točke početka zaleta za zrakoplove u odlasku i
- ispred točke prelaženja praga sletne staze za zrakoplove u prilaženju.

Operativni parametri leta kao što su visina, brzina i režim rada motora izražavaju se kao funkcije od s.

Koordinatni sustav za zrakoplov

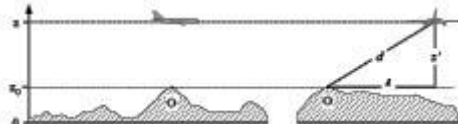
Ishodište Kartezijeva koordinatnog sustava za zrakoplov (x', y', z') je trenutni položaj zrakoplova. Osi su definirane kutom penjanja γ , pravcem kretanja zrakoplova ξ i bočnim nagibom ϵ (vidjeti sliku 2.7.c).



Slika 2.7.c: Koordinatni sustav za zrakoplov (x', y', z')

Uračunavanje topografije

Pri procjeni duljine širenja d, u slučajevima kada se mora uzeti u obzir topografija (vidjeti odjeljak 2.7.6.), koordinata visine zrakoplova z mijenja se sa $z = z - z_0$ (pri čemu je z_0 z koordinata promatračkog mjesta O). Odnos između zrakoplova i promatrača prikazan je na **slici 2.7.d**. Za definicije d i ℓ vidjeti odjeljke 2.7.14. do 2.7.19^[10] (Na tlu koje nije ravno moguće je da promatrač bude iznad zrakoplova pa se u tom slučaju pri izračunu širenja zvuka z' (i odgovarajući elevacijski kut β – vidjeti poglavlje 4) uvrštava kao nula.)

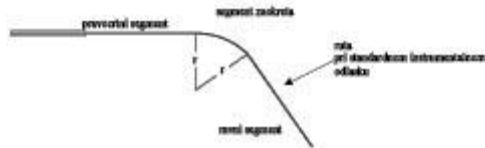


Slika 2.7.d: Nadmorska visina tla duž putanje leta (lijevo) i bočno od nje (desno). Nazivna ravnina tla $z = 0$ prolazi kroz referentnu točku aerodroma. O je promatračko mjesto.

Tlocrti putanja

Glavne putanje

Glavna putanja označava centar snopa putanja kojima se kreću zrakoplovi na određenoj ruti. Za modeliranje buke zrakoplova ona se definira ili (i.) unaprijed određenim operativnim podacima kao što su upute pilotima u zbornicima zrakoplovnih informacija ili (ii.) statističkom analizom podataka s radara kako je objašnjeno u odjeljku 2.7.9. – ako su dostupni i prikladni za potrebe studije koja uključuje modeliranje. Izvođenje putanje korištenjem operativnih uputa obično je jednostavno jer se tim uputama propisuje slijed odsječaka putanje koji su ili ravni i definirani duljinom i smjerom, ili su lukovi kružnih putanja definirani oštrinom zaokreta i promjenom smjera; za ilustraciju vidjeti sliku 2.7.e.



Slika 2.7.e: Geometrija tlocrta putanje u smislu zaokreta i ravnih segmenata

Iscrtavanje glavne putanje prema radarskim podacima je nešto složenije, prvo zato što je oštRNA zaokret u stvarnosti promjenjiva, a drugo zato što putanja nije sasvim jasna zbog nepreciznih podataka (rasipanja). Kako je prethodno objašnjeno, još nisu razvijeni formalni postupci pa je uobičajena praksa da se segmenti – ravnii i zakrivljeni – sparaju prema prosječnim položajima izračunanim prema radarskim odrazima na intervalima duž rute. Vjerojatno je da će u budućnosti biti razvijeni računalni algoritmi za ovu svrhu, no trenutačno odluka kako najbolje upotrijebiti dostupne podatke ostaje na osobi koja izvodi modeliranje. Važan je faktor činjenica da iz brzine i radijusa zaokreta zrakoplova proizlazi kut bočnog nagiba, a kako se objašnjava u odjeljku 2.7.19., o asimetrijama u zračenju zvuka duž putanje leta i položaju same putanje leta ovisi buka na tlu.

Teoretski, prijelaz bez međufaza iz pravocrtnog leta u zaokret s određenim radijusom zahtijevao bi trenutačnu promjenu bočnog nagiba zrakoplova ϵ , što je fizički nemoguće. U stvarnosti je potrebno određeno vrijeme da bočni nagib dostigne vrijednost koja je potrebna za zadržavanje zadane brzine i radijusa zaokreta r , a u tom vremenu radijus se smanjuje od beskonačnog do r . Za svrhe modeliranja to smanjivanje radijusa može se zanemariti pa se uzima da se bočni nagib konstantno povećava od nule (ili druge početne vrijednosti) do ϵ na početku zaokreta i da je sljedeća vrijednost ϵ na kraju zaokreta^[11](Korisniku se prepusta odluka kako će najbolje uračunati te podatke, ovisno o tome kako se definiraju radijusi zaokreta. Ako je početna točka slijed ravnih ili lučnih segmenata , relativno jednostavna mogućnost je ubacivanje segmenata s prijelazima bočnog nagiba na početak i kraj zaokreta u kojem se zrakoplov ujednačeno naginja (npr. izraženo u °/m ili °/s.).).

Raspršenost putanja leta

Lateralna raspršenost putanja leta

Ako je to moguće, određivanje lateralne raspršenosti i reprezentativnih pomoćnih putanja temelji se na relevantnom iskustvu sa zračne luke za koju se studija izrađuje; obično se to radi analizom radarskih podataka. Prvi je korak grupirati podatke prema rutama. Putanje u odlasku obilježene su znatnom lateralnom raspršenošću koja se pri točnom modeliranju mora uzeti u obzir. Rute u dolasku obično se spajaju u vrlo uzak snop na završnoj prilaznoj putanji i obično je dovoljno da se svi dolasci predstave jednom putanjom. Međutim, ako su snopovi prilaznih ruta široko raspršeni unutar kontura buke, možda ih bude potrebno prikazati pomoćnim putanjama na isti način kao što se prikazuju putanje u odlasku.

Uobičajena je praksa da se podaci za jednu rutu uzmu kao uzorak iz jedne populacije; tj. da ih se prikaže kao jednu glavnu putanju i jedan skup raspršenih putanja. Međutim, ako se pregledom ustanovi da se podaci za različite kategorije zrakoplova ili različite operacije znatno razlikuju (npr. ako veliki i mali zrakoplovi imaju bitno različite radijuse zaokreta), može biti poželjno dodatno razdijeliti podatke u različite snopove. Za svaki snop lateralna se

raspršenost određuje kao funkcija udaljenosti od početne točke; kretanja se tada, statističkom distribucijom, raspoređuju između glavne putanje i prikladnog broja raspršenih pomoćnih putanja.

U principu nije preporučljivo zanemarivati utjecaje raspršenosti putanja pa se u odsutnosti izmjerih podataka s cijelog snopa putanja koristi funkcija konvencionalne distribucije kako bi se definirao nazivni bočni raspon putanja oko glavne putanje. Izračunate vrijednosti indeksa buke nisu posebno osjetljive na točan oblik lateralne distribucije: normalnom (Gaussovom) distribucijom prikladno se opisuje mnoge snopove koji su izmjereni radarem.

Obično se koristi diskretna aproksimacija sa 7 točaka (tj. lateralna raspršenost se predstavlja sa 6 ravnomjerno raspoređenih pomoćnih putanja oko glavne putanje). Razmak između pomoćnih putanja ovisi o standardnoj devijaciji funkcije lateralne raspršenosti.

Za putanje s normalnom distribucijom i standardnom devijacijom S , 98,8 % putanja nalazi se unutar koridora omeđenog $\pm 2,5S$. U Tablici 2.7.a naveden je postotak kretanja koji se dodjeljuju svakoj pomoćnoj putanji i razmak između pomoćnih putanja. U Dodatku C navedene su ostale vrijednosti za pomoćne putanje.

Tablica 2.7.a: Postotak kretanja za funkciju normalne distribucije sa standardnom devijacijom S za 7 pomoćnih putanja (glavna putanja označena je kao pomoćna putanja 1).

Broj pomoćne putanje	Položaj pomoćne putanje	Postotak kretanja na pomoćnoj putanji
7	-2,14.S	3 %
5	-1,43.S	11 %
3	-0,71.S	22 %
1	0	28 %
2	0,71.S	22 %
4	1,43.S	11 %
6	2,14.S	3 %

Standardna devijacija S je funkcija koordinate s duž glavne putanje. Može je se navesti – zajedno s opisom glavne putanje – u podacima o putanjama iz Dodatka A3. Ako nisu dostupni indikatori za standardnu devijaciju – npr. iz radarskih podataka za slične putanje – preporučuju se sljedeće vrijednosti:

Za putanje koje uključuju zaokrete od manje od 45 stupnjeva:

$$\begin{aligned} S(s) &= 0,055 \cdot s - 150 && \text{za } 2700 \text{ m} \leq s \leq 30000 \text{ m} \\ S(s) &= 1500 \text{ m} && \text{za } s > 30000 \text{ m} \end{aligned}$$

(2.7.1.)

Za putanje koje uključuju zaokrete od preko 45 stupnjeva:

$$\begin{aligned} S(s) = 0.128 \cdot s - 420 & \quad \text{za } 3300 \leq s \leq 15000 \text{ m} \\ S(s) = 1500 \text{ m} & \quad \text{za } s > 15000 \text{ m} \end{aligned}$$

(2.7.2.)

Iz praktičnih razloga uzima se da je $S(s)$ nula između početka naginjanja i $s = 2700$ m ili $s = 3300$ m ovisno o oštrini zaokreta. Rute koje uključuju više od jednog zaokreta računaju se prema jednadžbi (2.7.2.). Za zrakoplove u dolasku lateralna raspršenost se može zanemariti do 6000 m od mjesta gdje zrakoplov prvi put dodirne tlo.

2.7.12. Profili leta

Profil leta je opis kretanja zrakoplova na vertikali iznad tlocrta putanje u smislu njegovog položaja, brzine, bočnog nagiba i režima rada motora. Jedan od najvažnijih zadataka za korisnika modela je definiranje letnih profila koji su prikladni za potrebe modeliranja – da to bude učinkovito, bez prekomjernog trošenja vremena i resursa. Naravno, kako bi se postigla visoka točnost, profili leta moraju vjerno odražavati letne operacije koje predstavljaju. To zahtijeva pouzdane informacije o atmosferskim uvjetima, tipovima i varijantama zrakoplova, operativnoj masi zrakoplova i operativnim procedurama – varijacijama u potisku i položaju zakrilaca, promjenama visine i brzine – i za sve to treba osigurati odgovarajuće prosjeke za predmetni vremenski period. Često ti podaci nisu dostupni, što nije nužno prepreka; čak i kad jesu dostupni, osoba koja izrađuje model treba prosuditi kako na najbolji način uskladiti preciznost i detaljnost ulaznih podataka za potrebe iscrtavanja konačnih kontura.

Sinteza profila leta »proceduralnim koracima« korištenjem podataka iz baze podataka ANP ili od operatera zrakoplova opisana je u odjeljku 2.7.13. i Dodatku B. Tim se postupkom, koji je obično i jedini mogući za modeliranje kada nema radarskih podataka, dobiva geometrija putanje leta i s njom povezane varijacije brzine i potiska. Obično se pretpostavlja da svi (slični) zrakoplovi u snopu putanja, bilo da im je dodijeljena glavna putanja ili raspršene pomoćne putanje, lete prema profilu leta koji je predstavljen glavnom putanjom.

Osim baze podataka ANP, u kojoj su navedene uobičajene informacije za proceduralne korake, operateri zrakoplova najbolji su izvor pouzdanih informacija, tj. informacija o procedurama koje koriste i uobičajenim masama zrakoplova za svaki let. Za pojedinačne letove, »zlatni standard« kad je riječ o izvorima informacija je uređaj za snimanje podataka o letu (FDR) iz kojeg se mogu dobiti sve relevantne informacije. No čak i ako su ti podaci dostupni, potreban je ogroman napor u pripremi takvih podataka za upotrebu. Stoga je, i u skladu s potrebom za ekonomičnošću u modeliranju, uobičajeno praktično rješenje krenuti od informiranih pretpostavki kad je riječ o prosječnim masama i operativnim procedurama.

Potreban je oprez prije nego što se pretpostave *uobičajeni* proceduralni koraci iz baze podataka ANP (i koji se obično uzimaju kad točne procedure nisu poznate). To su standardizirani postupci u širokoj upotrebni, ali to ne znači da ih se u konkretnim slučajevima operateri pridržavaju. Vrlo značajan faktor je definicija potiska motora pri uzljetanju (i ponekad uspinjanju), koji u određenoj mjeri ovisi o prevladavajućim uvjetima. Posebno je uobičajena praksa smanjivanje potiska u odlasku (u odnosu na maksimum) kako bi se produžio vijek trajanja motora. U Dodatku B iznose se smjernice za prikazivanje uobičajene prakse; na taj način se obično izvode realnije konture nego kad se pretpostavlja puna snaga

motora. Međutim, ako je na primjer uzletno-sletna staza kratka i/ili su prosječne temperature zraka visoke, po svoj prilici bit će realnije pretpostaviti punu snagu. Pri modeliranju stvarnih scenarija, veći stupanj točnosti može se postići korištenjem radarskih podataka kao dopune ili zamjene nazivnih podataka. Profili leta mogu se odrediti korištenjem radarskih podataka na sličan način kao i lateralne glavne putanje – ali samo nakon razvrstavanja prometa prema tipu i varijanti zrakoplova, a ponekad i prema masi ili dužini dionice (ali ne prema raspršenosti) – i na taj način se za svaku podgrupu dobiva prosječan profil visine i brzine u odnosu na zemaljsku udaljenost koja je prijeđena. I dalje, kad se nakon toga taj jedinstveni profil spaja s tlocrtima putanja, obično se dodjeljuje i glavnoj putnji i pomoćnim putnjama.

Ako se zna masa zrakoplova, promjene brzine i potiska mogu se izračunati za svaki korak korištenjem jednadžbi za gibanje. Prije toga korisno je preliminarno obraditi podatke kako bi se na minimum sveli utjecaji radarskih grešaka zbog kojih bi procjene ubrzanja mogle biti nepouzdane. U oba je slučaja prvi korak definiranje profila leta usklađivanjem pravocrtnih segmenata koji predstavljaju odgovarajuće faze leta. Svaki segment treba kategorizirati – npr. radi li se o zaletu, uspinjanju ili snižavanju konstantnom brzinom, smanjivanju potiska ili ubrzavanju/usporavanju uz promjene položaja zakrilaca ili bez promjena položaja zakrilaca. Potrebni su i podaci o masi zrakoplova i atmosferskim uvjetima.

U odjeljku 2.7.11. jasno je naznačeno da je potrebno posebno uračunati lateralnu raspršenost putanja leta oko nazivne ili glavne putanje. Na primjerima radarskih podataka vidljiva je slična raspršenost putanja leta i po vertikali. Međutim, nije uobičajeno modelirati raspršenost po vertikali kao nezavisnu varijablu; ona je uglavnom rezultat razlika u masi zrakoplova i operativnim procedurama koje se uzimaju u obzir u pripremi ulaznih podataka o prometu.

Minimalna visina izvora buke zrakoplova trebala bi biti 1,0 m (3,3 ft) iznad razine aerodroma ili prema potrebi iznad razina visine terena uzleno-sletne staze.

2.7.13. Generiranje segmenata putanje leta

Svaka putanja leta mora biti definirana skupom koordinata segmenta (čvorovi) i parametrima leta. Prvo je potrebno odrediti koordinate segmenata tlocrta putanje. Zatim se izračunava profil leta, pri čemu je važno imati na umu da za određeni skup proceduralnih koraka profil ovisi o tlocrtu putanje; tj. pri jednakom potisku i brzini, brzina penjanja zrakoplova je manja u zaokretima nego u pravocrtnom letu. Na kraju se trodimenzionalni segmenti putanje leta izvode spajanjem dvodimenzionalnog profila leta s dvodimenzionalnim tlocrtom putanje^[12]. (U tu svrhu ukupna duljina tlocrta putanje trebala bi uvek biti veća od profila leta. To se može postići, ako je potrebno, dodavanjem pravocrtnih segmenata pogodne duljine do posljednjeg segmenta projekcije putanje zrakoplova na tlo.).

Tlocrt putanje

Tlocrt putanje, neovisno o tome je li riječ o glavnoj putnji ili raspršenoj pomoćnoj putnji, definiran je nizom (x, y) koordinata na ravnini tla (npr. od radarskih podataka) ili nizom vektora kojima se opisuju pravocrtni segmenti i kružni lukovi (zaokreti definiranog radijusa r i promjena smjera $\Delta\phi$).



Thorium A+

Izvrsni inženjeri koriste izvrstan alat!

ThoriumSoftware d.o.o.

Mobile: +385 (0) 95 8 70 50 70
Kontakt: Dario Ilija Rendulić
Email:
info@thoriumsoftware.eu;
direndulic@gmail.com

Za modeliranje po segmentima luk zaokreta se predstavlja slijedom pravocrtnih segmenata koji predstavljaju dijelove luka. Premda se ti dijelovi luka ne spominju izričito u segmentima tlocrta putanje, nagib zrakoplova tijekom zaokreta utječe na njihovu definiciju. U Dodatku B4 objašnjeno je kako izračunati kutove bočnog nagiba tijekom jednakomjernog zaokreta, no oni se ne primjenjuju ili se odmah uklanjuju. Kako postupati s prijelazima između pravocrtnog leta i zaokreta ili između jednog zaokreta i leta nakon kojeg odmah slijedi uzastopni zaokret, nije propisano. U pravilu, pojedinosti koje su ostavljene korisniku (vidjeti odjeljak 2.7.11.), vjerojatno će imati zanemariv učinak na konačne konture; zahtjeva se uglavnom izbjegavanje naglih prekida na krajevima zaokreta, a to se može postići, na primjer, umetanjem kratkih prijelaznih segmenata u kojima se kut bočnog nagiba mijenja linearno s udaljenosti. Samo u posebnom slučaju u kojem je vjerojatno da će određeni zaokret imati prevladavajući utjecaj na konačne konture bilo bi potrebno modelirati dinamiku prijelaza koja više odgovara stvarnosti, kako bi se kut bočnog nagiba povezao s određenim tipovima zrakoplova i kako bi se uzele odgovarajuće stope kretanja. Ovdje je dovoljno navesti da su krajnji dijelovi luka $\Delta\xi_{trans}$ u svim zaokretima uvjetovani zahtjevima za promjenu kuta bočnog nagiba. Preostali dio luka s promjenom smjera od $\Delta\xi - 2 \cdot \Delta\xi_{trans}$ dijeli se u n_{sub} dijelove luka prema jednadžbi:

$$n_{sub} = \text{int}(1 + (\Delta\xi - 2 \cdot \Delta\xi_{trans}) / 30)$$

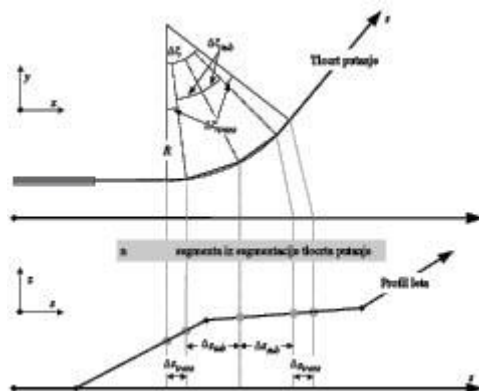
(2.7.3.)

pri čemu je $\text{int}(x)$ funkcija jednaka cijelom dijelu broja x . Zatim se promjena smjera $\Delta\xi_{sub}$ svakog dijela luka izračunava kako slijedi

$$\Delta\xi_{sub} = (\Delta\xi - 2 \cdot \Delta\xi_{trans}) / n_{sub}$$

(2.7.4.)

pri čemu n_{sub} treba biti dovoljno velik kako bi se osiguralo da je $\Delta\xi_{sub} \leq 30$ stupnjeva. Segmentacija luka (isključujući završetak prijelaza podsegmenata) prikazana je na slici 2.7.f.^[12] (Definirana na ovaj jednostavan način, ukupna duljina segmentirane putanje neznatno je kraća od duljine kružne putanje. Međutim, pogreška je posljedične konture zanemariva ako su kutna povećanja manja od 30°.).



Slika 2.7.f: Generiranje segmenata putanje leta s dijeljenjem zaokreta u segmente duljine Δs (gornji prikaz u horizontalnoj ravnini, donji prikaz u vertikalnoj ravnini)

Profil leta

Parametri kojima se opisuje svaki profil leta na početku (sufiks 1) i na kraju (sufiks 2) segmenta:

s_1, s_2 udaljenost duž tlocrta putanje,

z_1, z_2 visina aviona,

V_1, V_2 brzina po horizontali,

P_1, P_2 parametar snage motora povezan s bukom (koji odgovara parametru za koji su definirane NPD krivulje) i

ϵ_1, ϵ_2 kut bočnog nagiba.

Za sastavljanje profila leta od niza proceduralnih koraka (sinteza putanje leta), segmenti se izvode slijedom radi postizanja zahtijevanih uvjeta na krajnjim točkama. Parametri krajnje točke svakog segmenta postaju parametri početne točke sljedećeg segmenta. U svakom izračunu segmenta parametri su poznati na početku; zahtijevani uvjeti na kraju određeni su proceduralnim korakom. Sami koraci definirani su ili uobičajenim koracima iz ANP-a ili od strane korisnika (npr. iz priručnika o letenju zrakoplova). Krajnji su uvjeti obično visina i brzina, a posao sastavljanja profila je određivanje obuhvaćene udaljenosti putanje u postizanju tih uvjeta. Nedefinirani parametri određuju se izračunima svojstava leta episanima u Dodatku B.

Ako je tlocrt putanje pravocrtan, točke profila i s njima povezani parametri leta mogu se odrediti neovisno od tlocrta putanje (kut bočnog nagiba uvijek je jednak nuli). Međutim, tlocrti putanje rijetko su ravni; obično uključuju zaokrete a njih se, kako bi se ostvarili najbolji rezultati, mora uzeti u obzir pri određivanju dvodimenzionalnog profila leta, prema potrebi uz podjelu segmenata profila na čvorovima tlocrta putanje kako bi se uvele promjene kuta bočnog nagiba. U pravilu je duljina sljedećeg segmenta nepoznata na početku i izračunava se privremeno pod pretpostavkom da nema promjena kuta bočnog nagiba. Utvrdi li se potom da privremeni segmentom obuhvaća najmanje jedan čvor tlocrta putanje, pri čemu je prvi na s, tj. $s_1 < s < s_2$, segment se skraćuje na s, pri čemu se tamošnji parametri izračunavaju interpolacijom (vidjeti u nastavku). Ti parametri postaju parametri krajnje točke trenutačnog segmenta i parametri početne točke novog segmenta koji još uvijek ima iste uvjete na krajnjoj točki. Ako se u privremenom segmentu ne nalazi nijedan čvor tlocrta putanje, privremeni se segment potvrđuje.

Ako se namjerava zanemariti utjecaje zaokreta na profil leta, uzima se pravocrtni let, rješenje za pojedinačni segment, iako se podaci o kutu bočnog nagiba zadržavaju za kasniju upotrebu. Neovisno o tome jesu li utjecaji zaokreta potpuno modelirani, svaka trodimenzionalna putanja leta nastaje spajanjem njezina dvodimenzionalnog profila leta s njezinom dvodimenzionalnom tlocrtom putanje. Rezultat je slijed skupova koordinata (x, y, z) , pri čemu je svaki skup čvor segmentiranog tlocrta putanje, čvor profila leta ili čvor i tlocrta putanje i profila leta, dok su točke profila popraćene odgovarajućim vrijednostima visine z, brzinom po horizontali V, kutom bočnog nagiba ε i snagom motora P. Za točku putanje (x, y) koja je smještena između krajeva segmenta profila leta, parametri leta interpoliraju se kako slijedi:

$$z = z_1 + f \cdot (z_2 - z_1)$$

{2.7.5.}

$$V = \sqrt{V_1^2 + f \cdot (V_2^2 - V_1^2)}$$

{2.7.6.}

$$\varepsilon = \varepsilon_1 + f \cdot (\varepsilon_2 - \varepsilon_1)$$

{2.7.7.}

$$P = \sqrt{P_1^2 + f \cdot (P_2^2 - P_1^2)}$$

{2.7.8.}

pri čemu je:

$$f = (s - s_1) / (s_2 - s_1)$$

{2.7.9.}

Napomena: dok se za V i P pretpostavlja da variraju linearno s udaljenosti, za V i P pretpostavlja se da variraju linearno s vremenom (tj. konstantnim ubrzanjem^[14] (čaki ako režim rada motora ostane konstantan duž segmenta, potisna sila i ubrzanje mogu se promijeniti zbog varijacije gustoće zraka prema visini. Međutim, za potrebe modeliranja buke te su promjene obično zanemarive.)).

U skladu li se segmenti profila leta s podacima s radara (analiza putanje leta), sve udaljenosti krajnjih točaka, visine, brzine i kutovi bočnog nagiba određuju se izravno na temelju podataka; samo se režim snage motora mora izračunati jednadžbama za snagu. S obzirom na to da se i koordinate tlocrta putanje i profila leta mogu spariti na odgovarajući način, to je obično prilično jednostavan postupak.

Segmentacija zaleta

Pri uzljetanju, budući da zrakoplov ubrzava između točke otpuštanja kočnice (alternativni naziv glasi početak kretanja, eng. start of roll SOR) i točke odizanja, brzina se naglo mijenja na udaljenosti od 1 500 do 2 500 m, od nule do između 80 i 100 m/s.

Zalet je stoga podijeljen u segmente s promjenjivim duljinama na kojima se brzina zrakoplova mijenja za određeno povećanje ΔV koje iznosi najviše 10 m/s (približno 20 kt). Tako ubrzanje zapravo varira tijekom zaleta, pretpostavka konstantnog ubrzanja prikladna je za ovu svrhu. U tom slučaju, za fazu uzljetanja, V_1 je početna brzina, V_2 je brzina pri uzljetanju, n_{TO} je broj uzletnih segmenata i s_{TO} je ekvivalentna udaljenost pri uzljetanju s n_{TO} . Za ekvivalentnu udaljenost pri uzljetanju s_{TO} (vidjeti Dodatak B), početna brzina V_1 i brzina pri uzljetanju V_2 broj n_{TO} segmenata za zalet je

$$n_{TO} = \text{int}(1 + (V_2 - V_1) / 10)$$

{2.7.10.}

i stoga je promjena brzine uzduž segmenta

$$\Delta V = (V_2 - V_1) / n_{TO}$$

{2.7.11.}

a vrijeme At za svaki segment je (pretpostavljeno konstantno ubrzanje)

$$\Delta t = \frac{2 \cdot s_{TO}}{(V_2 + V_1) \cdot n_{TO}}$$

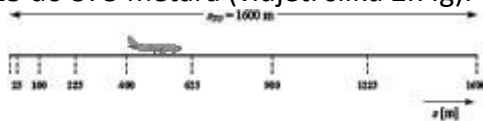
(2.7.12.)

Stoga je duljina $s_{TO,k}$ segmenta k ($1 \leq k \leq n_{TO}$) zaleta:

$$s_{TO,k} = (k - 0,5) \cdot \Delta V \cdot \Delta t = \frac{(2k - 1) \cdot s_{TO}}{n_{TO}^2}$$

(2.7.13.)

Primjer: Za udaljenost pri uzljetanju $s_{TO} = 1600$ m, $V_1 = 0$ m/s i $V_2 = 75$ m/s, dobiva se $n_{TO} = 8$ segmenta s duljinama od 25 do 375 metara (vidjeti sliku 2.7.g.):



Slika 2.7.g: Segmentacija zaleta (primjer za 8 segmenta)

Slično kao i za promjene brzine, potisak se zrakoplova mijenja na svakom segmentu za konstantno povećanje ΔP , koje se izračunava prema sljedećoj jednadžbi

$$\Delta P = (P_{TO} - P_{init}) / n_{TO}$$

(2.7.14.)

pri čemu P_{TO} odnosno P_{init} označuju potisak zrakoplova pri točki odizanja odnosno potisak zrakoplova na početak zaleta.

Korištenjem tog konstantnog povećanja potiska (umjesto korištenja oblika kvadratne jednadžbe 2.7.8.) namjerava se uspostaviti konzistentnost s linearnim odnosom potiska i brzine u slučaju zrakoplova na mlazni pogon (jednadžba B-1).

Segmentacija segmenta početnog penjanja

Tijekom segmenta početnog penjanja geometrija se brzo mijenja, posebno s obzirom na lokacije promatrača bočno od putanje leta, pri čemu će se *kut beta* promijeniti brzo kako se zrakoplov bude penjao duž tog početnog segmenta. Iz usporedbi s izračunima vrlo malih segmenta vidi se da upotreba samo jednog segmenta za početni uspon dovodi do slabe aproksimacije buke bočno od putanje leta za integrirane parametre. Točnost izračuna poboljšava se podsegmentacijom prvog segmenta odizanja. Na duljinu svakog segmenta i na njihov broj snažno utječe lateralno prigušenje. Ako se uzme u obzir izraz ukupnog lateralnog prigušenja za zrakoplove s motorima smještenima na trupu, može se pokazati da se radi ograničavanja promjene u lateralnom prigušenju od 1,5 dB po podsegmentu segment početnog penjanja mora podsegmentirati na temelju sljedećeg skupa vrijednosti za visinu:

$$z = \{18,9; 41,5; 68,3; 102,1; 147,5; 214,9; 334,9; 609,6; 1289,6\} \text{ metara ili}$$

$$z = \{62; 136; 224; 335; 484; 705; 1099; 2000; 4231\} \text{ stopa}$$

Prethodno navedene visine primjenjuju se tako što se određuje koja je visina iz prethodnog skupa najbliža krajnjoj točki izvornog segmenta. Stvarne visine podsegmenta potom bi se izračunale jednadžbom:

$$z'_i = z [z_i / z_N] \quad (i = 1..N)$$

(2.7.15)

pri čemu je z_1 krajnja visina izvornog segmenta, z_i je i ti član skupa čiji su elementi vrijednosti visine i z_N je najблиža gornja međa u odnosu na visinu z_i . Tim se procesom postiže konstantna promjena lateralnog prigušenja u svakom podsegmentu, čime se generiraju točnije konture, a da se time ne koriste vrlo kratki segmenti.

Primjer:

Ako je visina krajnje točke izvornog segmenta $z = 304,8$ m, na temelju skupa vrijednosti visina dobivamo $214,9 < 304,8 < 334,9$ i da najблиža gornja međa za $z = 304,8$ m iznosi $z_{i+1} = 334,9$ m. Krajnje visine podsegmenta izračunavaju se prema sljedećoj formuli:

$$z'_i = 304,8 [z_i / 334,9] \quad (i = 1 \dots N)$$

Stoga bi z'_1 iznosio 17,2 m, z'_2 37,8 m itd.

Vrijednosti brzine i snage motora na umetnutim točkama interpoliraju se jednadžbama (2.7.11.) odnosno (2.7.13.).

Segmentacija segmenata leta

Nakon što se segmentirana putanja leta izvede u skladu s postupkom opisanim u odjeljku 2.7.13. uz primjenu opisane podsegmentacije, daljnja podešavanja segmentacija mogu biti potrebna. Ona uključuju:

- uklanjanje točaka putanje leta koje su preblizu jedna drugoj;
- umetanje dodatnih točaka ako su promjene brzine uzduž segmenata predugačke.

Ako su točke međusobno udaljene najviše 10 metara uz jednake brzine i potiske, potrebno je ukloniti jednu od točaka.

Za segmente leta unutar kojih postoje znatne promjene brzine uzduž segmenta, to se mora podijeliti kao za kretanje zalet, tj.

$$n_{\text{seg}} = \text{int}(1 + |V_2 - V_1| / 10). \quad (2.7.16.)$$

pri čemu su V_1 i V_2 početna odnosno krajnja brzina u segmentu. Odgovarajući parametri podsegmenta izračunavaju se na sličan način kao za zalet jednadžbama 2.7.11. do 2.7.13.

Protrčavanje

Premda je protrčavanje u osnovi obrnuti proces od zaleta, posebno treba voditi računa o

- negativnom potisku koji se ponekad primjenjuje radi usporavanja zrakoplova i avionima koji napuštaju uzletno-sletnu stazu nakon usporavanja (zrakoplovi koji napuste uzletno-sletnu stazu više nisu relevantni za zračnu buku jer se buka izazvana taksiranjem ne uzima u obzir).

Za razliku od duljine zaleta koja se izvodi iz parametara performansi zrakoplova, duljina zaustavljanja s_{stop} (tj. duljina od zone dodira do točke pri kojoj zrakoplov napušta uzletno-sletnu stazu) nije svojstvena isključivo zrakoplovu. Premda se najmanja duljina zaustavljanja može procijeniti na temelju mase i performansi zrakoplova (i dostupnog negativnog potiska), stvarni put kočenja ovisi i o lokaciji voznih staza, prometnoj situaciji i o propisima o upotrebi negativnog potiska u predmetnoj zračnoj luci.



Thorium A+

Izvrsni inženjeri koriste izvrstan alat!

ThoriumSoftware d.o.o.

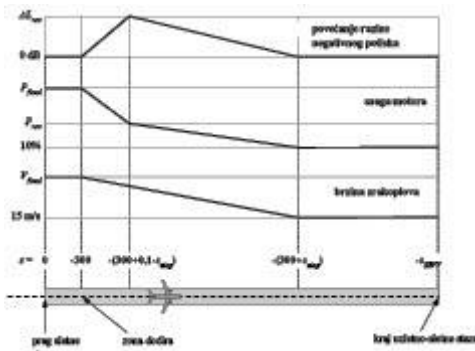
Mobile: +385 (0) 95 8 70 50 70
Kontakt: Dario Ilija Rendulić
Email:
info@thoriumsoftware.eu;
direndulic@gmail.com

Upotreba negativnog potiska nije standardni postupak, a primjenjuje se samo ako se potrebno usporenje ne može postići disk kočnicama. (Negativnim potiskom mogu se izazvati jake smetnje jer se brzom promjenom režima rada motora iz minimalnog u negativni potisak stvara iznenadna buka.)

Međutim, većina se uzletno-sletnih staza koristi za odlaske i slijetanja tako da negativni potisak ima vrlo mali utjecaj na konture buke jer u odnosu na ukupnu količinu zvučne energije u blizini uzletno-sletne staze prevladava buka nastala operacijama uzljetanja. Negativni potisak koji utječe na konture može biti značajan samo kada je korištenje uzletno-sletna staze ograničeno na operacije slijetanja.

Fizički, negativni potisak u odnosu na buku vrlo je složen proces, međutim zbog relativno malog značaja za konture zračne buke može se modelirati u pojednostavljenom obliku, naime u obzir se uzima brza promjena u snazi motora za pogodnu segmentaciju.

Jasno je da modeliranje buke za protrčavanje nije onako jednostavno kao za zalet. Sljedeće se pojednostavljene pretpostavke modeliranja preporučuju za opću upotrebu ako ne postoje detaljne informacije (vidjeti sliku 2.7.h.).



Slika 2.7.h: Modeliranje protrčavanja

Avion dodiruje tlo 300 metara iza praga sletne staze (koordinata $s = 0$ duž tlocrta putanje). Zrakoplov zatim usporava na kočnom putu s_{stop} specifične vrijednosti zrakoplova navedene su u bazi podataka ANP – od brzine završnog prilaza V_{final} na 15 m/s. Zbog brzih promjena u brzini tijekom tog segmenta mora se podsegmentirati na isti način kao za zalet (ili za segmente leta s brzim promjenama brzine) jednadžbama 2.7.10. do 2.7.13.

Režim rada motora mijenja se iz režima za završni prilaz pri zoni dodira u režim negativnog potiska P_{rev} na udaljenosti od $0,1 \cdot s_{stop}$, potom se smanjuje na 10 % najveće raspoložive snage na preostalih 90 % kočnog puta. Do kraja uzletno-sletne staze ($s = s_{RWY}$) brzina zrakoplova ostaje konstantna.

NPD krivulje za negativni potisak u ovom trenutku nisu uključene u baze podataka ANP i stoga je potrebno osloniti se na konvencionalne krivulje za modeliranje tog učinka. Snaga negativnog potiska P_{rev} obično iznosi približno 20 % za režim pune snage i to se preporučuje kada operativni podaci nisu dostupni. Međutim, pri zadanim režimu rada motora, negativnim potiskom obično se stvara znatno veća buka nego pozitivnim potiskom, pri čemu se povećanje ΔL mora primijeniti na NPD podatke dobivene iz razine događaja koji rastu od



ThoriumSoftware d.o.o.

Mobile: +385 (0) 95 8 70 50 70

Kontakt: Dario Ilija Rendulić

Email:

info@thoriumsoftware.eu;

direndulic@gmail.com

nule na vrijednost ΔL_{rev} (5 dB preporučuje se za improvizaciju^[15]). To je preporučeno u prethodnom izdanju ECAC dokumenta br. 29, ali se još uvijek smatra privremenim do stjecanja dodatnih eksperimentalnih podataka.) duž 0,1 s_{stop} i potom opada linearno prema nuli duž preostalog dijela duljine za zaustavljanje.

2.7.13. Generiranje segmenata putanje leta

Svaka putanja leta mora biti definirana skupom koordinata segmenta (čvorovi) i parametrima leta. Prvo je potrebno odrediti koordinate segmenata tlocrta putanje. Zatim se izračunava profil leta, pri čemu je važno imati na umu da za određeni skup proceduralnih koraka profil ovisi o tlocrtu putanje, npr. pri jednakom potisku i brzini brzina penjanja zrakoplova manja je u zaokretima nego u pravocrtnom letu. Zatim slijedi podsegmentacija za zrakoplov na uzletno-sletnoj stazi (zalet ili proterčavanje) i za zrakoplov u blizini uzletno-sletne staze (početno penjanje ili završni prilaz). Segmenti leta čije se brzine u početnoj i krajnjoj točki znatno razlikuju trebali bi se zatim podsegmentirati. Dvodimenzionalne koordinate segmenata tlocrta putanje (*) određuju se i spajaju s dvodimenzionalnim profilom leta radi generiranja trodimenzionalnih segmenata putanje leta. Naposljetu se uklanjuju točke putanje leta koje su preblizu jedna drugoj.

Profil leta

Parametri kojima se opisuje svaki segment profila leta na početku (sufiks 1) i na kraju (sufiks 2) segmenta:

s_1, s_2 udaljenost duž tlocrta putanje,

z_1, z_2 visina aviona,

V_1, V_2 brzina po horizontali,

P_1, P_2 parametar snage motora povezan s bukom (koji odgovara parametru za koji su definirane NPD krivulje), i

ϵ_1, ϵ_2 kut bočnog nagiba.

Za sastavljanje profila leta od niza proceduralnih koraka (*sinteza putanje leta*) segmenti se izvode slijedom radi postizanja zahtijevanih uvjeta na krajnjim točkama. Parametri krajnje točke svakog segmenta postaju parametri početne točke sljedećeg segmenta. U svakom izračunu segmenta parametri su poznati na početku, a zahtijevani krajnji uvjeti određeni su proceduralnim korakom. Sami koraci definirani su uobičajenim koracima iz ANP-a ili ih definira korisnik (npr. iz priručnika o letenju zrakoplova). Krajnji su uvjeti obično visina i brzina, a posao sastavljanja profila je određivanje prijeđene udaljenosti na putanji u postizanju tih uvjeta. Nedefinirani parametri određuju se izračunima performansi leta opisanima u **Dodatku B**.

Ako je tlocrt putanje pravocrtan, točke profila i s njima povezani parametri leta mogu se odrediti neovisno o tlocrtu putanje (kut bočnog nagiba uvijek je jednak nuli). No tlocrti putanje rijetko su ravni i obično uključuju zaokrete, koje se, kako bi se ostvarili najbolji rezultati, mora uzeti u obzir pri određivanju dvodimenzionalnog profila leta, prema potrebi uz podjelu segmenata profila na čvorovima tlocrta putanje kako bi se uvele promjene kuta bočnog nagiba. U pravilu je duljina sljedećeg segmenta nepoznata na početku i izračunava se privremeno pod pretpostavkom da nema promjena kuta bočnog nagiba. Utvrди li se potom da se privremenim segmentom obuhvaća najmanje jedan čvor tlocrta putanje, pri čemu je prvi na s , tj. $s_1 < s < s_2$, segment se skraćuje na s , pri čemu se tamošnji parametri izračunavaju interpolacijom (vidjeti u nastavku). Ti parametri postaju parametri krajnje točke trenutačnog segmenta i parametri početne točke novog segmenta koji još uvijek ima iste ciljne krajnje uvjete. Ako se u privremenom segmentu ne nalazi nijedan čvor tlocrta putanje, privremeni se segment potvrđuje.

Ako se namjerava zanemariti utjecaje zaokreta na profil leta, uzima se pravocrtni let, rješenje za pojedinačni segment iako se podaci o kutu bočnog nagiba zadržavaju za kasniju upotrebu.



Thorium A+

Izvrsni inženjeri koriste izvrstan alat!

ThoriumSoftware d.o.o.

Mobile: +385 (0) 95 8 70 50 70
Kontakt: Dario Ilija Rendulić
Email:
info@thoriumsoftware.eu;
direndulic@gmail.com

Neovisno o tome jesu li utjecaji zaokreta potpuno modelirani, svaka trodimenzionalna putanja leta generira se spajanjem njezina dvodimenzionalnog profila leta s njezinim dvodimenzionalnim tlocrtom putanje. Rezultat je slijed skupova koordinata (x, y, z), pri čemu je svaki skup čvor segmentiranog tlocrta putanje, čvor profila leta ili čvor i tlocrta putanje i profila leta, dok su točke profila popraćene odgovarajućim vrijednostima visine z , brzine po horizontali V , kuta bočnog nagiba ϵ i snage motora P . Za točku putanje (x, y) koja je smještena između krajnjih točaka segmenta profila leta, parametri leta interpoliraju se kako slijedi:

$z = z_1 + f \cdot (z_2 - z_1)$	(2.7.3.)
$V = \sqrt{V_1^2 + f \cdot (V_2^2 - V_1^2)}$	(2.7.4.)
$\epsilon = \epsilon_1 + f \cdot (\epsilon_2 - \epsilon_1)$	(2.7.5.)
$P = \sqrt{P_1^2 + f \cdot (P_2^2 - P_1^2)}$	(2.7.6.)

pri čemu je

$$f = (s - s_1)/(s_2 - s_1) \quad (2.7.7.)$$

Napomena: dok se za z i ϵ prepostavlja da variraju linearno s udaljenošću, za V i P prepostavlja se da variraju linearno s vremenom (točnije konstantnim ubrzanjem (**)).

Usklađuju li se segmenti profila leta s podacima s radara (*analiza putanje leta*), sve udaljenosti, visine, brzine i kutovi bočnog nagiba na krajnjim točkama određuju se izravno na temelju podataka, a samo se režimi rada motora moraju izračunati jednadžbama za performanse. Budući da se i koordinate tlocrta putanje i profila leta mogu spariti na odgovarajući način, to je obično prilično jednostavan postupak.

Zalet

Pri uzlijetanju, s obzirom na to da zrakoplov ubrzava između točke otpuštanja kočnica (alternativni naziv glasi početak kretanja, eng. *start-of-roll, SOR*) i točke odizanja, brzina se naglo mijenja na udaljenosti od 1 500 do 2 500 m, od nule do 80 – 100 m/s.

Zalet je stoga podijeljen u segmente s promjenjivim duljinama na kojima se brzina zrakoplova mijenja za određeno povećanje ΔV , koje iznosi najviše 10 m/s (približno 20 kt). Iako ubrzanje zapravo varira tijekom zaleta, pretpostavka konstantnog ubrzanja primjerena je za ovu svrhu. U tom slučaju, za fazu uzlijetanja, V_1 je početna brzina, V_2 je brzina pri uzlijetanju, n_{TO} je broj uzletnih segmenata, a s_{TO} je ekvivalentna udaljenost pri uzlijetanju. Za ekvivalentnu udaljenost pri uzlijetanju s_{TO} (vidjeti **Dodatak B**), brzinu pri uzlijetanju V_1 i brzinu pri uzlijetanju V_{TO} broj n_{TO} segmenata za kretanje na tlu jest

$$n_{TO} = \text{int} (1 + (V_{TO} - V_1) / 10) \quad (2.7.8.)$$

i stoga je promjena brzine uzduž segmenta

$$\Delta V = V_{TO}/n_{TO} \quad (2.7.9.)$$

a vrijeme Δt za svaki segment jest (uz pretpostavku konstantnog ubrzanja)

$$\Delta t = \frac{2 \cdot s_{TO}}{V_{TO} \cdot n_{TO}} \quad (2.7.10.)$$

Stoga je duljina $s_{TO,k}$ segmenta k ($1 \leq k \leq n_{TO}$) zaleta:

$$s_{TO,k} = (k - 0.5) \cdot \Delta V \cdot \Delta t = \frac{(2k - 1) \cdot s_{TO}}{n_{TO}^2} \quad (2.7.11.)$$



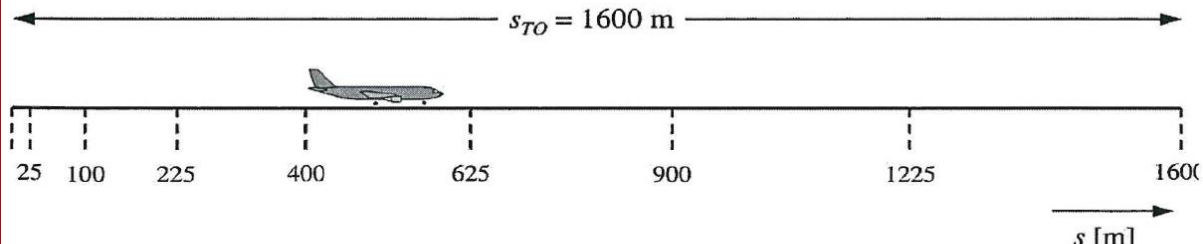
Thorium A+

Izvrsni inženjeri koriste izvrstan alat!

ThoriumSoftware d.o.o.

Mobile: +385 (0) 95 8 70 50 70
Kontakt: Dario Ilija Rendulić
Email:
info@thoriumsoftware.eu;
direndulic@gmail.com

Primjer: za udaljenost pri uzljetanju $s_{TO} = 1600$ m, $V_1 = 0$ m/s i $V_2 = 75$ m/s dobiva se $n_{TO} = 8$ segmenata s duljinama od 25 do 375 metara (vidjeti sliku 2.7.g):



Slično kao i za promjene brzine, potisak zrakoplova mijenja se na svakom segmentu za konstantno povećanje ΔP , koje se izračunava formulom

$$\Delta P = (P_{TO} - P_{init}) / n_{TO} \quad (2.7.12.)$$

pri čemu P_{TO} označuje potisak zrakoplova pri točki odizanja, a P_{init} potisak zrakoplova na početku zaleta.

Korištenjem tog konstantnog povećanja potiska (umjesto korištenja oblika kvadratne jednadžbe 2.7.6.) želi se uspostaviti konzistentnost s linearnim odnosom potiska i brzine u slučaju zrakoplova na mlazni pogon.

Važna napomena: u navedenim jednadžbama i primjeru implicitno se prepostavlja da je početna brzina zrakoplova na početku faze uzljetanja jednaka nuli. To je u skladu s uobičajenom situacijom u kojoj se zrakoplov počinje kretati i ubrzavati od točke otpuštanja kočnica. No postoje i situacije u kojima zrakoplov može početi ubrzavati iz svoje brzine taksiranja, a da se prije toga ne zaustavi na pragu uzletno-sletne staze. U slučaju početne brzine V_{init} , koja nije jednaka nuli, sljedeće „generalizirane“ jednadžbe trebale bi se upotrebljavati kao zamjena za jednadžbe 2.7.8., 2.7.9., 2.7.10. i 2.7.11.

$$\left\{ \begin{array}{l} n_{TO} = \text{int}(1 + |V_2 - V_1|/10) \\ \Delta V = (V_2 - V_1)/n \\ \Delta t = \frac{2 \cdot s}{(V_2 + V_1) \cdot n} \\ s_k = (V_1 + \Delta V \cdot (k - 0.5)) \cdot \frac{2 \cdot s}{(V_2 + V_1) \cdot n} \end{array} \right. \quad (2.7.13.)$$

U tom slučaju, za fazu uzljetanja, V_1 je početna brzina V_{init} , V_2 je brzina pri uzljetanju V_{TO} , n je broj uzletnih segmenata n_{TO} , s je ekvivalentna udaljenost pri uzljetanju s_{TO} , a s_k je duljina $s_{TO,k}$ segmenta k (1 [simbol] k [simbol] n).

Protrčavanje

Premda je protrčavanje u osnovi obrnuti proces od zaleta, posebno treba voditi računa o:

- negativnom potisku koji se ponekad primjenjuje radi usporavanja zrakoplova i
- avionima koji napuštaju uzletno-sletnu stazu nakon usporavanja (zrakoplovi koji napuste uzletno-sletnu stazu više nisu relevantni za zračnu buku jer se buka izazvana taksiranjem ne uzima u obzir).

Za razliku od duljine zaleta, koja se izvodi iz parametara performansi zrakoplova, zaustavni put s_{stop} (tj. udaljenost od zone dodira do točke u kojoj zrakoplov napusti uzletno-sletnu stazu) ne ovisi isključivo o zrakoplovu. Premda se najkraći zaustavni put može procijeniti na temelju mase i performansi zrakoplova (i dostupnog negativnog potiska), stvarni zaustavni put ovisi i



Thorium A+

Izvrsni inženjeri koriste izvrstan alat!

ThoriumSoftware d.o.o.

Mobile: +385 (0) 95 8 70 50 70
Kontakt: Dario Ilija Rendulić
Email:
info@thoriumsoftware.eu;
direndulic@gmail.com

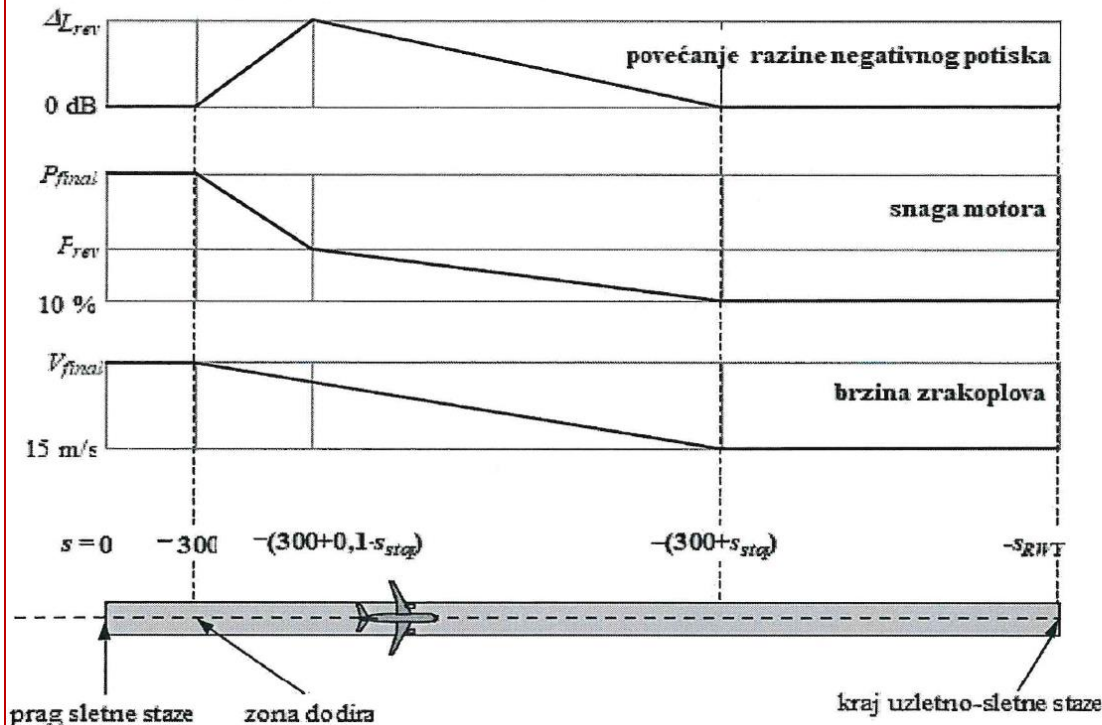
o lokaciji voznih staza, prometnoj situaciji i propisima o upotrebi negativnog potiska u određenoj zračnoj luci.

Upotreba negativnog potiska nije standardni postupak; primjenjuje se samo ako se potrebno usporenje ne može postići disk kočnicama. (Negativnim potiskom mogu se izazvati jake smetnje jer se brzom promjenom režima rada motora iz minimalnog u negativni potisak stvara iznenadna buka.)

Međutim, većina se uzletno-sletnih staza upotrebljava i za odlaske i za slijetanja tako da negativni potisak ima vrlo mali utjecaj na konture buke jer u odnosu na ukupnu količinu zvučne energije u blizini uzletno-sletne staze prevladava buka nastala operacijama uzljetanja. Utjecaj negativnog potiska na konture može biti značajan samo kada je korištenje uzletno-sletne staze ograničeno na operacije slijetanja.

S fizikalne je strane negativni potisak u odnosu na buku vrlo složen proces, ali zbog relativno malog značaja za konture zračne buke može se modelirati u pojednostavljenom obliku, pri čemu se odgovarajućom segmentacijom uzima u obzir brza promjena u snazi motora.

Jasno je da je modeliranje buke za protrčavanje složenije nego za zalet. Sljedeće se pojednostavnjene pretpostavke modeliranja preporučuju za opću upotrebu ako ne postoje detaljne informacije (vidjeti sliku 2.7.h.1.).



Zrakoplov prelazi prag sletne staze (koordinata $s = 0$ duž tlocrta putanje prilaza) pri visini od 50 stopa i zatim se snižava na kliznoj ravnini dok ne dodirne tlo na uzletno-sletnoj stazi. Za kliznu ravninu od 3° točka dodira je 291 m od praga sletne staze (kao što je prikazano na slici 2.7.h.1.). Zrakoplov zatim usporava na zaustavnom putu s_{stop} – za što su vrijednosti specifične za određeni zrakoplov navedene u bazi podataka ANP – od brzine završnog prilaza V_{final} na 15 m/s. Zbog brzih promjena brzine tijekom tog segmenta trebalo bi ga podsegmentirati na isti način kao za zalet (ili za segmente leta s brzim promjenama brzine) generaliziranim jednadžzbama 2.7.13. (s obzirom na to da brzina taksiranja nije jednaka nuli). Režim rada motora

mijenja se iz režima za završni prilaz u zoni dodira u režim za negativni potisak P_{rev} na udaljenosti od $0,1 \cdot s_{stop}$, potom se smanjuje na 10 % najveće raspoložive snage na preostalih 90 % zaustavnog puta. Do kraja uzletno-sletne staze ($s = -s_{RWY}$) brzina zrakoplova ostaje konstantna.

NPD krivulje za negativni potisak trenutačno nisu uključene u bazu podataka ANP i stoga je potrebno osloniti se na konvencionalne krivulje za modeliranje tog učinka. Snaga negativnog potiska P_{rev} obično iznosi približno 20 % režima rada motora punom snagom i to se preporučuje kad operativni podaci nisu dostupni. Međutim, pri zadanom režimu rada motora, negativnim potiskom obično se stvara znatno veća buka nego pozitivnim potiskom, pri čemu se povećanje ΔL mora primijeniti na NPD podatke dobivene iz razine događaja koji rastu od nule na vrijednost ΔL_{rev} (privremeno se preporučuje 5 dB (**)) duž $0,1 \cdot s_{stop}$ i potom opadaju linearno prema nuli duž preostalog dijela zaustavnog puta.

Segmentacija segmenata početnog penjanja i završnog prilaza

Geometrija segmenta do prijemnika brzo se mijenja duž segmenata leta za početno penjanje i završni prilaz, posebno s obzirom na lokacije promatrača bočno od putanje leta, pri čemu se elevacijski kut (*kut beta*) brzo mijenja kako se zrakoplov penje ili spušta kroz te početne/završne segmente. Iz usporedbi s izračunima vrlo malih segmenata vidi se da upotreba samo jednog segmenta leta za penjanje ili prilaz (ili njihova ograničenog broja) ispod određene visine (u odnosu na uzletno-sletnu stazu) dovodi do slabe aproksimacije buke bočno od putanje leta za integrirane mjere. To je stoga što se na razini svakog pojedinog segmenta primjenjuje fiksna vrijednost prilagodbe lateralnog prigušenja, koja za određeni segment odgovara jedinstvenom elevacijskom kutu, iako brze promjene tog parametra dovode do znatnih razlika u učinku lateralnog prigušenja duž svakog segmenta. Točnost izračuna poboljšava se podsegmentacijom segmenata leta za početno penjanje i završni prilaz. Broj i duljina podsegmenata određuju „granularnost“ promjene lateralnog prigušenja koja će se uzeti u obzir. Ako se uzme u obzir izraz ukupnog lateralnog prigušenja za zrakoplove s motorima smještenima na trupu, može se pokazati da bi se radi ograničavanja promjene lateralnog prigušenja od 1,5 dB po podsegmentu segmenti leta za penjanje i prilaz na visini manjoj od 1 289,6 m (4 231 ft) iznad uzletno-sletne staze trebali podsegmentirati na temelju sljedećeg skupa vrijednosti visine:

$$z = \{18,9, 41,5, 68,3, 102,1, 147,5, 214,9, 334,9, 609,6, 1 289,6\} \text{ metara ili}$$

$$z = \{62, 136, 224, 335, 484, 705, 1 099, 2 000, 4 231\} \text{ stopa}$$

Za svaki izvorni segment ispod 1 289,6 m (4 231 ft) navedene visine primjenjuju se tako što se određuje koja je visina iz navedenih skupova najbliža visini izvorne krajnje točke (za segment penjanja) ili visini početne točke (za segment prilaza). Stvarne visine podsegmenata z_i potom bi se izračunale jednadžbom:

$$z_i = z_e [z'_i / z'_N] \quad (i = k..N)$$

pri čemu je:

z_e	visina krajnje točke (penjanje) ili početne točke (prilaz) izvornog segmenta,
z'_i	i-ti član skupa navedenih vrijednosti visine,
z'_N	visina iz skupa navedenih vrijednosti visine koja je najbliža visini z_e ,
k	indeks prvog člana skupa vrijednosti visine za koje je izračunani z_i obvezno veći od visine krajnje točke prethodnog izvornog segmenta penjanja ili visine početne točke sljedećeg izvornog segmenta prilaza koji treba podsegmentirati.



Thorium A+

Izvrsni inženjeri koriste izvrstan alat!

ThoriumSoftware d.o.o.

Mobile: +385 (0) 95 8 70 50 70
 Kontakt: Dario Ilija Rendulić
 Email:
 info@thoriumsoftware.eu;
 direndulic@gmail.com

U konkretnom slučaju segmenta početnog penjanja ili segmenta završnog prilaza $k = 1$, ali u općenitijem slučaju segmenata leta koji nisu povezani s uzletno-sletnom stazom, k će biti veći od 1.

Primjer segmenta početnog penjanja:

Ako je visina krajnje točke izvornog segmenta $z_e = 304,8$ m, na temelju skupa vrijednosti visine dobivamo $214,9 \text{ m} < z_e < 334,9 \text{ m}$, a visina iz skupa koja je najbliža visini z_e jest $z' = 334,9$ m. Visine na krajnjim točkama podsegmenta izračunavaju se prema sljedećoj formuli:

$$z_i = 304,8 [z' / 334,9] \text{ za } i = 1 - 7$$

(imajući na umu da je u tom slučaju $k = 1$ jer je riječ o segmentu početnog penjanja)

Stoga bi z_1 bio 17,2 m, z_2 37,8 m itd.

Segmentacija segmenata leta

Segmenti leta unutar kojih postoje znatne promjene brzine duž segmenta moraju se podijeliti kao za kretanje na tlu, tj.

$$n_{seg} = \text{int}(1 + |V_2 - V_1|/10) \quad (2.7.14.)$$

pri čemu je V_1 početna, a V_2 krajnja brzina u segmentu. Odgovarajući parametri podsegmenta izračunavaju se na sličan način kao za zalet, jednadžbama od 2.7.9. do 2.7.11.

Tlocrt putanje

Tlocrt putanje, neovisno o tome je li riječ o glavnoj putanji ili raspršenoj pomoćnoj putanji, definiran je nizom koordinata (x, y) na ravnini tla (npr. iz radarskih podataka) ili nizom vektora kojima se opisuju pravocrtni segmenti i kružni lukovi (zaokreti definiranog polumjera r i promjena smjera $\Delta\xi$).

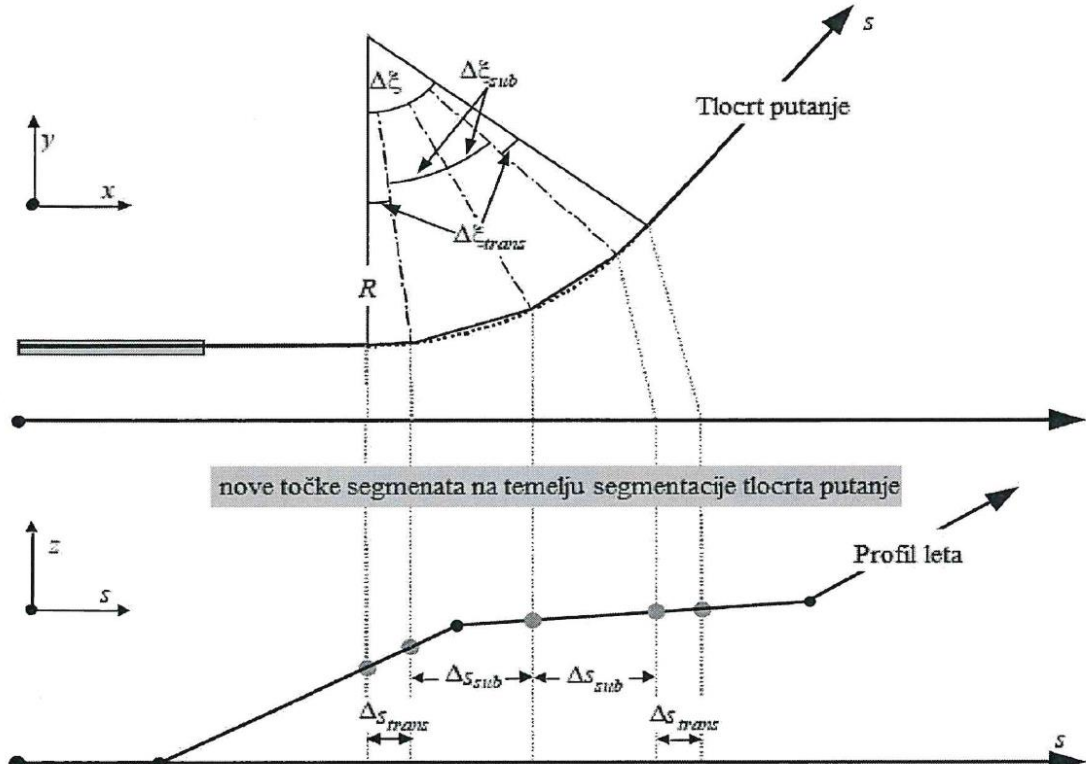
Za modeliranje po segmentima luk se predstavlja slijedom pravocrtnih segmenata koji predstavljaju dijelove luka. Premda se ti dijelovi luka ne spominju izričito u segmentima tlocrta putanje, nagib zrakoplova tijekom zaokreta utječe na njihovu definiciju. U **Dodatku B4** objašnjeno je kako izračunati kutove bočnog nagiba tijekom jednakomjernog zaokreta, no oni se ne primjenjuju, odnosno ne uklanjaju odmah. Nije propisano kako postupati s prijelazima između pravocrtnog leta i zaokreta leta ili između jednog zaokreta i drugog zaokreta odmah nakon njega. Pojedinosti koje su ostavljene korisniku (vidjeti **odjeljak 2.7.11.**) uglavnom će vjerojatno imati zanemariv učinak na konačne konture; prvenstveno se zahtijeva izbjegavanje naglih prekida na krajevima zaokreta, što se može postići, na primjer, umetanjem kratkih prijelaznih segmenata u kojima se kut bočnog nagiba mijenja linearno s udaljenošću. Samo u posebnom slučaju u kojem je vjerojatno da će određeni zaokret imati prevladavajući utjecaj na konačne konture bilo bi potrebno modelirati dinamiku prijelaza koja više odgovara stvarnosti kako bi se kut bočnog nagiba povezao s određenim tipovima zrakoplova i kako bi se uzele odgovarajuće stope kretanja. Ovdje je dovoljno navesti da su krajnji dijelovi luka $\Delta\xi_{trans}$ u svim zaokretima uvjetovani zahtjevima za promjenu kuta bočnog nagiba. Preostali dio luka s promjenom smjera od $\Delta\xi - 2 \cdot \Delta\xi_{trans}$ dijeli se u n_{sub} dijelove luka prema jednadžbi:

$$n_{sub} = \text{int}(1 + (\Delta\xi - 2 \cdot \Delta\xi_{trans})/10) \quad (2.7.15.)$$

pri čemu je $\text{int}(x)$ funkcija jednaka cijelom dijelu broja x . Zatim se promjena smjera $\Delta\xi_{sub}$ svakog dijela luka izračunava formulom

$$\Delta\xi = (\xi - 2 \cdot \Delta\xi_{trans}) / n_{sub} \quad (2.7.16.)$$

pri čemu n_{sub} treba biti dovoljno velik kako bi se osiguralo da je $\Delta\xi_{sub} \leq 10$ stupnjeva. Segmentacija luka (isključujući završetak prijelaza podsegmenata) prikazana je na slici 2.7.h.2. (****).



Kad se segmenti tlocrta putanje uspostave u ravnini x-y, segmenti profila leta (u ravnini s-z) preklapaju se kako bi se dobili trodimenzionalni (x, y, z) segmenti putanje.

Tlocrt putanje uvijek bi se trebao protezati od uzletno-sletne staze do točke izvan mreže za izračun. To se može postići, ako je potrebno, dodavanjem pravocrtnog segmenta odgovarajuće duljine posljednjem segmentu tlocrta putanje.

I ukupna duljina profila leta nakon spajanja s tlocrtom putanje mora se protezati od uzletno-sletne staze do točke izvan mreže za izračun. To se može postići, ako je potrebno, dodavanjem dodatne točke profila:

- na kraj profila odlaska, pri čemu su vrijednosti brzine i potiska u toj točki jednake tim vrijednostima u posljednjoj točki profila odlaska, a visina se ekstrapolira linearno od posljednje i preposljednje točke profila, ili
- na početak profila dolaska, pri čemu su vrijednosti brzine i potiska u toj točki jednake tim vrijednostima u prvoj točki profila dolaska, a visina se ekstrapolira linearno iz prve i druge točke profila.

Prilagodbe segmentacije segmenata leta

Nakon što se segmenti trodimenzionalne putanje leta izvedu u skladu s postupkom opisanim u odjeljku 2.7.13., moglo bi biti potrebne daljnje prilagodbe segmentacije radi uklanjanja točaka putanje leta koje su preblizu jedna drugoj.

Ako su točke međusobno udaljene manje od 10 metara i imaju jednake povezane brzine i potiske, trebalo bi ukloniti jednu od tih točaka.

(*) U tu bi svrhu ukupna duljina tlocrta putanje uvijek trebala biti veća od duljine profila leta. To se može postići, ako je potrebno, dodavanjem pravocrtnih segmenata odgovarajuće duljine do posljednjeg segmenta tlocrta putanje."

(**) Čak i ako režim rada motora ostane konstantan duž segmenta, potisna sila i ubrzanje mogu se promijeniti zbog varijacije gustoće zraka prema visini. Međutim, za potrebe modeliranja buke te su promjene obično zanemarive."

(***) To je preporučeno u prethodnom izdanju ECAC-ova dokumenta br. 29, ali se još uvijek smatra privremenim do stjecanja dodatnih eksperimentalnih podataka."

(****) Definirana na taj jednostavan način, ukupna duljina segmentirane putanje neznatno je kraća od duljine kružne putanje. Međutim, posljedična pogreška u konturi zanemariva je ako se kutovi mijenjaju za manje od 30°.";

2.7.14. Izračun buke s obzirom na jednokratni događaj

Srž procesa modeliranja opisanog ovdje u cijelosti jest izračun razine zvučnog događaja na temelju podataka o putanji leta opisanih u odjeljcima 2.7.7. do 2.7.13.

2.7.15. Mjere za jednokratni događaj

Zvuk proizveden kretanjem zrakoplova na lokaciji promatrača izražava se kao »razina zvuka (ili buke) za jednokratni događaj«, količina koja je indikator utjecaja na ljudе. Primljeni zvuk mjeri se u pogledu buke osnovnom ljestvicom u decibelima $L(t)$ koja se primjenjuje na frekvencijsko vrednovanje (ili filter) radi oponašanja karakteristike ljudskog sluha. Najvažnija skala u modeliranju konture buke zrakoplova jest A-vrednovana razina zvuka, L_A .

Najčešće korištena mjera radi obuhvaćanja cijelih događaja jest »razina izloženosti jednokratnom zvuku (ili buci)«, L_E , kojom se uzima u obzir sva (ili gotovo sva) zvučna energija u događaju. Uvođenjem vremenske komponente nastaju najsloženiji problemi u modeliranju segmentacijom (ili simulacijom). Jednostavnije je modelirati alternativnu mjeru L_{max} koja predstavlja maksimalnu trenutačnu razinu za vrijeme događaja; međutim L_E je temeljni sastavni element većine današnjih indeksa za buku zrakoplova, a za očekivati je da će praktičnim modelima u budućnosti biti obuhvaćeni i L_{max} i L_E . Obje mjere moguće je mjeriti na različitim skalamama buke; u ovom se dokumentu u obzir uzima samo A-vrednovana razina zvuka. Skala je obično označena odgovarajućim proširenjem sufiksa, tj. L_{AE} , L_{Amax} .

Razina izloženosti jednokratnom zvuku (ili buci) točno se izražava jednadžbom

$$L_E = 10 \cdot \lg \left(\frac{1}{t_0 - t_1} \int_{t_1}^{t_2} 10^{L(t)/10} dt \right)$$

(2.7.17.)

pri čemu t_0 označuje referentno vrijeme. Odabirom integracijskog intervala $[t_1, t_2]$ osigurava se obuhvaćanje (gotovo) cjelokupnog zvuka u događaju. Često se odabiru granice t_1 i t_2 kako bi se izrazilo vremensko razdoblje u kojem razina $L(t)$ ne prelazi 10 dB ispod L_{max} . To je razdoblje također poznato kao vrijeme »10 dB ispod« (10-dB down). Razine izloženosti zvuku (buci) u tablicama baze podataka ANP su vrijednosti 10 dB ispod^[16](LE s 10 dB ispod može biti do 0,5 dB niži od LE ocijenjenog u odnosu na dulje razdoblje. Međutim, osim na kratkim izravnim udaljenostima pri kojima su razine događaja visoke, zbog buke iz okoline dulji intervali mjerjenja često su nepraktični pa su norma vrijednosti 10 dB ispod. S obzirom na to da se studije o utjecajima buke (radi »kalibriranja« kontura buke) također često odnose na vrijednosti 10 dB ispod, podaci se iz ANP tablica smatraju u potpunosti prikladnima.).

Glavna primjena jednadžbe 2.7.17. pri modeliranju kontura buke zrakoplova je standardna mјera razine izloženosti zvuku L_{AE} (kratica SEL):

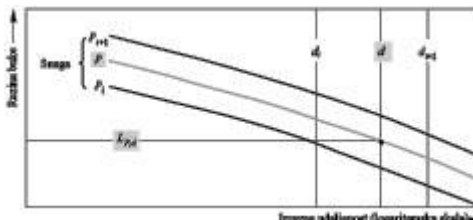
$$L_{AE} = 10 \cdot \lg \left(\frac{1}{t_0} \int_{t_0}^{t_1} 10^{\frac{L_A(t)}{10}} dt \right) \text{ s } t_0 = 1 \text{ sekunda}$$

(2.7.18.)

Prethodno navedene jednadžbe za razinu izloženosti mogu se koristiti za određivanje razina događaja kad je poznat cjelokupni vremenski protek $L(t)$. U preporučenoj metodologiji modeliranja zvuka ti vremenski proteci nisu definirani; razine izloženosti događaja izračunavaju se zbrajanjem vrijednosti segmenata, koje su djelomične razine događaja, a svaka od tih djelomičnih razina određuje doprinos jednog konačnog segmenta putanje leta.

2.7.16. Određivanje razina događaja na temelju NPD podataka

Glavni izvor podataka o buci zrakoplova je međunarodna baza podataka za buku i performanse zrakoplova (ANP). U toj su bazi podataka u tablici navedene vrijednosti L_{max} i L_E kao funkcije udaljenosti širenja d za određene tipove zrakoplova, inačice zrakoplova, konfiguracije leta (prilaz, odlet, položaj zakrilaca) i režimi rada motora P . Odnose se na jednakomjerni let pri određenim referentnim brzinama V_{ref} na teoretski beskonačnoj pravocrtnoj putanji leta^[17] (premda je pojam beskonačno dugačke putanje leta važan u odnosu na definiciju razini izloženosti buci događaja L_E , manje je relevantan u pogledu maksimalne razine događaja L_{max} koja je određena bukom koju emitira zrakoplov kad se nalazi na svojoj najbližoj točki približavanja promatraču ili blizu nje. Za potrebe modeliranja NPD parametar udaljenosti predstavlja najmanji razmak između promatrača i segmenta.). Kako se navode vrijednosti neovisnih varijabli P i d opisano je u nastavku. Pri pojedinačnom pretraživanju s ulaznim vrijednostima P i d potrebne izlazne vrijednosti su osnovne razine $L_{max}(P, d)$ i/ili $L_E(P, d)$ (primjenjivo na beskonačnu putanju leta). Osim ako u tablici nisu navedene točne vrijednosti za P i/ili d , u načelu bit će potrebno interpolacijom procijeniti potrebne razine zvučnog događaja. Pritom se između tabličnih postavki snage primjenjuje linearna interpolacija, a između tabličnih udaljenosti logaritamska interpolacija (vidjeti sliku 2.7.i).



Slika 2.7.i: Interpolacija u NPD krivuljama

Ako su P_i i P_{i+1} vrijednosti snage motora za koje su u tablici navedeni podaci za razinu buke u odnosu na udaljenost, razina buke $L(P)$ na zadanoj udaljenosti za snagu vrijednosti P između P_i i P_{i+1} izračunava se kako slijedi:

$$L(P) = L(P_i) + \frac{L(P_{i+1}) - L(P_i)}{P_{i+1} - P_i} \cdot (P - P_i)$$

(2.7.19.)

Ako za bilo koju vrijednost snage postoje udaljenosti d_i i d_{i+1} za koje se u tablici nalaze podaci o buci, razina buke $L(d)$ za udaljenost d između d_i i d_{i+1} izračunava se kako slijedi:

$$L(d) = L(d_i) + \frac{L(d_{i+1}) - L(d_i)}{\lg d_{i+1} - \lg d_i} \cdot (\lg d - \lg d_i)$$

(2.7.20.)

Jednadžbama (2.7.19.) i (2.7.20.) razina buke $L(P, d)$ može se izračunati za bilo koju vrijednost snage P i bilo koju udaljenost d unutar okvira baze NPD podataka.

Za udaljenosti d izvan NPD okvira primjenjuje se jednadžba 2.7.20. kako bi se izvela interpolacija iz prethodne dvije vrijednosti, tj. prema unutra iz $L(d_1)$ i $L(d_2)$ ili prema van iz $L(d_{i+1})$ i $L(d_i)$ pri čemu je / ukupni broj NPD bedova na krivulji. Tako je:

$$\text{prema unutra: } L(d) = L(d_1) + \frac{L(d_2) - L(d_1)}{\lg d_2 - \lg d_1} \cdot (\lg d_2 - \lg d)$$

(2.7.21.)

$$\text{prema van: } L(d) = L(d_{i+1}) - \frac{L(d_{i+1}) - L(d_i)}{\lg d_i - \lg d_{i+1}} \cdot (\lg d - \lg d_{i+1})$$

(2.7.22.)

Budući da pri malim udaljenostima d razine buke rastu izrazito brzo uz smanjenje udaljenosti širenja, preporučuje se da se za d odredi donja granica od 30 m, tj. $d = \max(d, 30 \text{ m})$.

Prilagodba impedancije standardnih NPD podataka

NPD podaci sadržani u bazi podataka ANP normalizirani su za specifične atmosferske uvjete (temperatura 25 °C i tlak 101,325 kPa). Prije primjene prethodno opisane metode interpolacije/ekstrapolacije na te je standardne NPD podatke potrebno primijeniti prilagodbu akustičke impedancije.

Akustička impedancija odnosi se na širenje zvučnih valova u akustičkom mediju i definira se kao umnožak gustoće zraka i brzine zvuka. Pri određenom intenzitetu zvuka (snaga zvuka po jediničnoj površini) primljenom na određenoj udaljenosti od izvora s time povezani zvučni tlak (radi definicije mjera SEL i L_{max}) ovisi o akustičkoj impedanciji zraka na mjestu mjerjenja. To je funkcija temperature, atmosferskog tlaka (i neizravno visine). Stoga je potrebno prilagoditi standardne NPD podatke iz baze podataka ANP vodeći računa o temperaturi i tlačnim uvjetima na točki prijema, a koji se općenito razlikuju od normaliziranih uvjeta ANP podataka.

Prilagodba impedancije na primjenjivu standardnu NPD razinu izražava se kako slijedi:

$$\Delta_{\text{impedance}} = 10 \cdot \lg \left(\frac{\rho \cdot c}{409,81} \right)$$

(2.7.23.)

pri čemu je:

$\Delta_{\text{impedance}}$ prilagodba impedancije za stvarne atmosferske uvjete na točki prijema (dB),

akustička impedancija (newton · sekunda/m³) zraka na točki prijema (pri čemu je 409,81 impedancija zraka povezana s atmosferskim referentnim uvjetima NPD podataka u bazi podataka ANP).

Impedancija $\rho \cdot c$ izračunava se kako slijedi:

$$\rho \cdot c = 416,86 \cdot \left[\frac{\delta}{\theta^{1/2}} \right]$$

(2.7.24.)

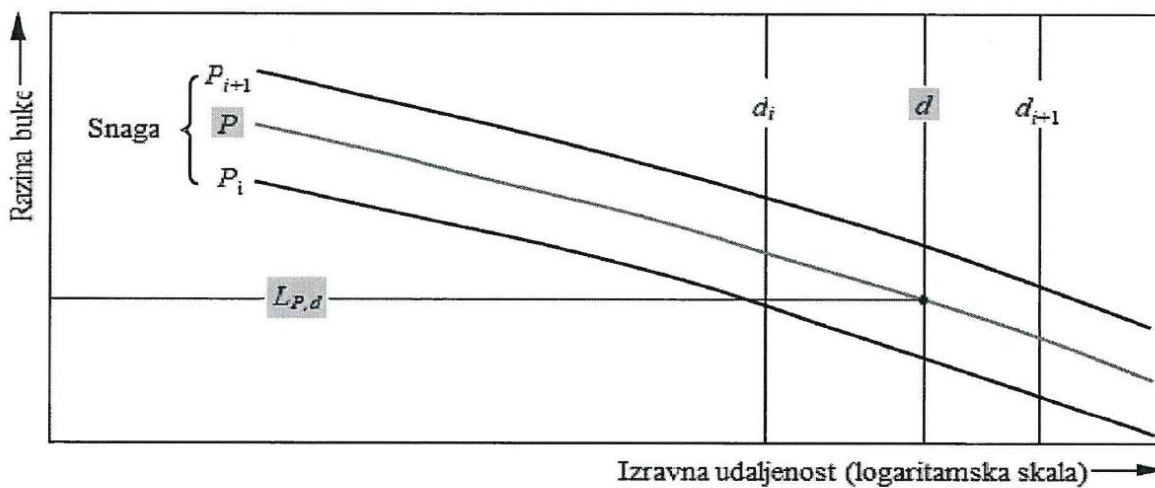
- 6 ρ/p_0 , omjer tlaka zraka u okolini na visini promatrača u odnosu na standardni tlak zraka na srednjoj razini mora: $p_0 = 101,325 \text{ kPa}$ (ili $1013,25 \text{ mb}$),
- 8 $(T + 273,15)/(T_0 + 273,15)$ omjer između temperature zraka na visini promatrača i standardne temperature zraka na srednjoj razini mora: $T_0 = 15,0 \text{ }^{\circ}\text{C}$.

Prilagodba akustičke impedancije obično iznosi manje od jedne desetine dB. Potrebno je osobito napomenuti da u atmosferskim standardnim uvjetima ($p_0 = 101,325 \text{ kPa}$ i $T_0 = 15,0 \text{ }^{\circ}\text{C}$) prilagodba impedancije iznosi manje od 0,1 dB (0,074 dB). Međutim, kad postoje znatne razlike u temperaturi i atmosferskom tlaku u odnosu na atmosferske referentne uvjete NPD podataka, prilagodba može biti znatno veća.

2.7.16. Određivanje razina događaja na temelju NPD podataka

Glavni izvor podataka o buci zrakoplova međunarodna je baza podataka o buci i performansama zrakoplova (ANP). U toj su bazi podataka u tablici navedene vrijednosti L_{max} i L_E kao funkcije udaljenosti širenja d za određene tipove zrakoplova, inačice zrakoplova, konfiguracije leta (prilaz, odlazak, položaj zakrilaca) i režime rada motora P . Odnose se na jednakomjerni let pri određenim referentnim brzinama V_{ref} na teoretski beskonačnoj pravocrtnoj putanji leta (•).

Način navođenja vrijednosti neovisnih varijabli P i d opisan je u nastavku. Pri pojedinačnom pretraživanju s ulaznim vrijednostima P i d potrebne izlazne vrijednosti jesu *osnovne razine* $L_{max}(P, d)$ i/ili $L_E(P, d)$ (primjenjivo na beskonačnu putanju leta). Načelno će biti potrebno interpolacijom procijeniti potrebne razine buke događaja, osim ako su u tablici navedene točne vrijednosti za P i/ili d . Pritom se između režima rada motora navedenih u tablici primjenjuje linearna interpolacija, a između tabličnih udaljenosti logaritamska interpolacija (vidjeti sliku 2.7.i).



Ako su P_i i P_{i+1} vrijednosti snage motora za koje su u tablici navedeni podaci o razini buke u odnosu na udaljenost, razina buke $L(P)$ na određenoj udaljenosti za međusagu P između P_i i P_{i+1} izražava se formulom:

$$L(P) = L(P_i) + \frac{L(P_{i+1}) - L(P_i)}{P_{i+1} - P_i} \cdot (P - P_i) \quad (2.7.19.)$$

Ako za bilo koji režim rada motora postoje udaljenosti d_i i d_{i+1} za koje su u tablici navedeni podaci o buci, razina buke $L(d)$ za međuudaljenost d između d_i i d_{i+1} izražava se formulom:

$$L(d) = L(d_i) + \frac{L(d_{i+1}) - L(d_i)}{\log d_{i+1} - \log d_i} \cdot (\log d - \log d_i) \quad (2.7.20.)$$

Jednadžbama (2.7.19.) i (2.7.20.) razina buke $L(P, d)$ može se izračunati za bilo koji režim rada motora P i bilo koju udaljenost d unutar okvira baze NPD podataka.

Za udaljenosti d izvan NPD okvira primjenjuje se jednadžba 2.7.20. radi ekstrapolacije iz prethodne dvije vrijednosti, tj. prema unutra iz $L(d_i)$ i $L(d_j)$ ili prema van iz $L(d_{i-1})$ i $L(d_i)$ pri čemu je I ukupni broj NPD bodova na krivulji. Tako je

prema unutra:

$$L(d) = L(d_2) + \frac{L(d_3) - L(d_2)}{\log d_3 - \log d_2} \cdot (\log d_2 - \log d) \quad (2.7.21.)$$

prema van:

$$L(d) = L(d_{I-1}) - \frac{L(d_I) - L(d_{I-1})}{\log d_I - \log d_{I-1}} \cdot (\log d - \log d_{I-1}) \quad (2.7.22.)$$

Budući da pri malim udaljenostima d razine buke rastu izrazito brzo uz smanjenje udaljenosti širenja, preporučuje se da se za d odredi donja granica od 30 m, tj. $d = \max(d, 30 \text{ m})$.

Prilagodba impedancije standardnih NPD podataka

NPD podaci sadržani u bazi podataka ANP normalizirani su za referentne atmosferske uvjete (temperatura 25 °C i tlak 101,325 kPa). Prije primjene prethodno opisane metode interpolacije/ekstrapolacije na te se standardne NPD podatke primjenjuje prilagodba akustičke impedancije.

Akustička impedancija odnosi se na širenje zvučnih valova u akustičkom mediju i definira se kao umnožak gustoće zraka i brzine zvuka. Pri određenom intenzitetu zvuka (snaga zvuka po jediničnoj površini) primljenom na određenoj udaljenosti od izvora s time povezani zvučni tlak (za definiciju mjera SEL i L_{Amax}) ovisi o akustičkoj impedanciji zraka na mjestu mjerjenja. To je funkcija temperature, atmosferskog tlaka i, neizravno, visine. Stoga je potrebno prilagoditi standardne NPD podatke iz baze podataka ANP kako bi se uzela u obzir temperatura i tlačni uvjeti na točki prijemnika, koji se uglavnom razlikuju od normaliziranih uvjeta ANP podataka.

Prilagodba impedancije koja se primjenjuje na standardne NPD razine izražava se kako slijedi:

$$\Delta_{Impedance} = 10 \cdot \lg \left(\frac{\rho \cdot c}{409.81} \right) \quad (2.7.23.)$$

pri čemu je:

$\Delta_{Impedance}$	prilagodba impedancije za stvarne atmosferske uvjete na točki prijemnika (dB),
$\rho \cdot c$	akustička impedancija (newton · sekunda/m³) zraka na nadmorskoj visini aerodroma (pri čemu je 409,81 impedancija zraka povezana s referentnim atmosferskim uvjetima NPD podataka u bazi podataka ANP).

Impedancija $\rho \cdot c$ izračunava se kako slijedi:

$$\rho \cdot c = 416.86 \cdot \left[\frac{\delta}{\theta^{1/2}} \right] \quad (2.7.24.)$$

δ p/p_0 , omjer tlaka zraka u okolini na visini promatrača i standardnog tlaka zraka na srednjoj razini mora: $p_0 = 101,325 \text{ kPa}$ (ili $1013,25 \text{ mb}$)

$\theta(T + 273,15)/(T_0 + 273,15)$ omjer između temperature zraka na visini promatrača i standardne temperature zraka na srednjoj razini mora: $T_0 = 15,0 \text{ }^{\circ}\text{C}$

Prilagodba akustičke impedancije obično iznosi manje od nekoliko desetina dB. Potrebno je osobito napomenuti da u standardnim atmosferskim uvjetima ($p_0 = 101,325 \text{ kPa}$ i $T_0 = 15,0 \text{ }^{\circ}\text{C}$) prilagodba impedancije iznosi manje od 0,1 dB (0,074 dB). Međutim, kad postoje znatne razlike u temperaturi i atmosferskom tlaku u odnosu na referentne atmosferske uvjete NPD podataka, prilagodba može biti znatno veća.

(*) Prema je pojmu beskonačno duge putanje leta važan za definiciju razine izloženosti buci dogadaja L_E , manje je relevantan kad je riječ o maksimalnoj razini dogadaja L_{max} koja je određena bukom koju emitira zrakoplov kad se nalazi na najbližoj točki prilaženja promatraču ili blizu te točke. Za potrebe modeliranja NPD parametar udaljenosti predstavlja najmanju udaljenost između promatrača i segmenta.";"

2.7.17. Opći izrazi

Razina događaja u segmentu L_{seg}

Vrijednosti segmenta određuju se primjenom prilagodbi na osnovne vrijednosti (beskonačna putanja) koje se uzimaju iz NPD podataka. Maksimalna razina buke jednog segmenta putanje leta $L_{max,seg}$ može se općenito izraziti kao

$$L_{max,seg} = L_{max}(P, d) + \Delta_I(\phi) - \Lambda(\beta, \ell) \quad (2.7.25.)$$

a doprinos jednog segmenta putanje leta razini L_E kao

$$L_{E,seg} = L_{E\infty}(P, d) + \Delta_V + \Delta_I(\phi) - \Lambda(\beta, \ell) + \Delta_F \quad (2.7.26.)$$

»Korektivni članovi« u jednadžbama 2.7.25. i 2.7.26., koji su detaljno opisani u odjeljku 2.7.19., uzimaju u obzir sljedeće efekte:

Δv *Korekcija za trajanje:* NPD podaci odnose se na referentnu brzinu leta. Tom se korekcijom razine izloženosti prilagođuju nereferentnim brzinama. (Ne primjenjuje se na $L_{max,seg}$.)

ΔI(φ) *Efekt instalacije:* označuje promjenu *lateralne usmjerenosti* zbog omatanja, refrakcije i refleksije prouzročenih zmajem zrakoplova, motorima i okružujućim poljima strujanja.

Λ(β, ℓ) *Lateralno prigušenje:* značajno za zvuk koji se u malim kutovima širi prema tlu; njime se u obzir uzima interakcija između izravnih i reflektiranih zvučnih valova (utjecaj tla) te utjecaji atmosferskih nehomogenosti (prije svega prouzročenih tlom) koji zvučne valove lome na njihovu putu prema promatraču bočno od putanje leta.

ΔF *Korekcija za konačni segment (udio buke)* uzima u obzir konačnu duljinu segmenta kojom se naravno manje pridonosi manjoj izloženosti buke nego beskonačnom duljinom. Primjenjuje se samo na mjere za izloženost.

Ako je segment dio zaleta ili protrčavanja i ako se promatrač nalazi iza predmetnog segmenta, poduzimaju se posebni koraci radi prikaza izražene usmjerenosti buke mlaznog motora koja je zabilježena iza zrakoplova spremnog za uzljetanje. Ti posebni koraci rezultiraju prije svega posebnim oblikom buke za razinu izloženosti:

$$L_{max,seg} = L_{max}(P, d) + \Delta_I(\phi) - \Lambda(\beta, \ell) + \Delta_{SOR}$$

(2.7.27.)

$$L_{E,seg} = L_E(P, d) + \Delta_V + \Delta_I(\phi) - \Lambda(\beta, \ell) + \Delta'_F + \Delta_{SOR}$$

(2.7.28.)

Δ'_F Poseban oblik korekcije za segment,

Δ_{SOR} Korekcija za usmjerenost: radi uzimanja u obzir izražene usmjerenosti buke mlaznog motora iza segmenta kretanja na tlu.

Poseban tretman segmenta zaleta ili protrčavanja opisan je u odjeljku 2.7.19.

U odjeljcima u nastavku opisan je izračun razina buke u segmentu.

Razina zvučnog događaja L kretanja zrakoplova

Maksimalna razina L_{max} u stvari je najveća od vrijednosti segmenta $L_{max,seg}$ (vidjeti jednadžbe 2.7.25. i 2.7.27.)

$$L_{max} = \max(L_{max,seg})$$

(2.7.29.)

pri čemu se svaka vrijednost segmenta određuje na temelju NPD podataka zrakoplova za snagu P i udaljenost d . Ti parametri i modifikatori $\Delta_I(\phi)$ i $\Lambda(\beta, \ell)$ objašnjavaju se u nastavku. Razina izloženosti LE izračunava se kao zbroj decibela doprinosa LE,seg svakog segmenta putanje leta značajnog za buku; tj.

$$L_E = 10 \cdot \lg \left(\sum 10^{L_{max,seg}/10} \right)$$

(2.7.30.)

Zbrajanje se odvija korak po korak kroz segmente putanje leta.

U ostaku ovog poglavlja govorit će se o određivanju razina buke segmenta $L_{max,seg}$ i $L_{E,seg}$.

2.7.18. Parametri segmenta putanje leta

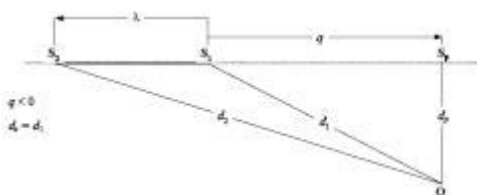
Snaga P i udaljenost d , za koje se osnovne razine $L_{max,seg}(P, d)$ i $L_{E,\infty}(P, d)$ interpoliraju iz NPD tablica, određuju se na temelju geometrijskih i operativnih parametara kojima se definira segment. Na koji se način to izvodi objašnjava se u nastavku pomoću ilustracija ravnine na kojoj se nalaze segment i promatrač.

Geometrijski parametri

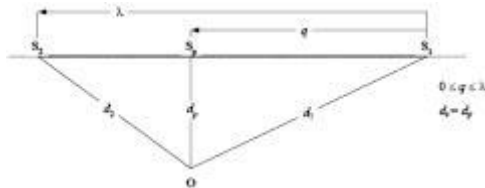
Na slikama od 2.7.j do 2.7.l prikazana je geometrija između izvora i prijemnika kad se promatrač O nalazi (a) iza, (b) pored i (c) ispred segmenta S1S2 pri čemu je smjer leta od S1 prema S2. U tim dijagramima vrijedi sljedeće:

O je lokacija promatrača,

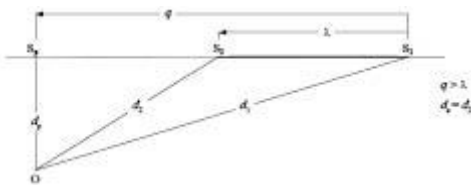
- S1, S2 su početak i kraj segmenta,
- Sp je točka najmanjeg razmaka prilaza okomita u odnosu na promatrača za segment ili njegovo povećanje,
- d_1, d_2 su udaljenosti između promatrača i početka i kraja segmenta,
- d_s je najkraća udaljenost između promatrača i segmenta,
- d_p je okomita udaljenost između promatrača i povećanog segmenta (*minimalna izravna udaljenost*),
- λ je duljina segmenta putanje leta,
- q je udaljenost od S1 do Sp (negativna ako se položaj promatrača nalazi iza segmenta).



Slika 2.7.j: Geometrija segmenta putanje leta kad se promatrač nalazi iza segmenta



Slika 2.7.k: Geometrija segmenta putanje leta kad se promatrač nalazi pored segmenta



Slika 2.7.l: Geometrija segmenta putanje leta kad se promatrač nalazi ispred segmenta

Segment putanje leta prikazan je tamnom punom crtom. Točkasta crta predstavlja *povećanje putanje leta* koja se proteže beskonačno u oba smjera. Što se tiče segmenata leta, kada je mjera događaja razina izloženosti L_E , NPD parametar udaljenosti d je razmak d_p udaljenost Sp i promatrača, tzv. *minimalna izravna udaljenost* (tj. okomita udaljenost između promatrača i segmenta ili njegova povećanja, drugim riječima prema (hipotetskoj) beskonačnoj putanji leta čijim se dijelom segment smatra).

Međutim što se tiče mjere razine izloženosti kad se lokacije promatrača nalaze iza segmenata tla za vrijeme zaleta odnosno ispred segmenata tla za vrijeme protrčavanja, NPD

parametar udaljenosti d postaje udaljenost d_s , najkraća udaljenost između promatrača i segmenta (tj. ista kao i za mjeru maksimalne razine).

Što se tiče mjere maksimalne razine, NPD parametar udaljenosti d jest d_s , najkraći razmak između promatrača i segmenta.

Snaga segmenta P

Tabeliranim NPD podacima opisuje se buka zrakoplova u jednakomjernom pravocrtnom letu na beskonačnoj putanji leta, tj. pri konstantnoj snazi motora P . U preporučenoj se metodologiji stvarne putanje leta, za vrijeme kojih brzina i smjer variraju, dijele na niz konačnih segmenata, svaki od kojih predstavlja dio ujednačene beskonačne putanje leta za koju vrijede NPD podaci. Metodologijom su međutim predviđene promjene snage po duljini segmenta; pretpostavljeno je da se mijenjaju linearno od udaljenosti P_1 na početku do P_2 na kraju segmenta. Stoga je potrebno definirati ekvivalentnu jednakomjernu vrijednost segmenta P . Za nju se uzima vrijednost na onoj točki segmenta koja je najbliža promatraču. Nalazi li se promatrač pored segmenta (slika 2.7.k), vrijednost se dobiva interpolacijom u skladu s jednadžbom 2.7.8. između krajnjih vrijednosti, tj.

$$P = \sqrt{P_1^2 + \frac{q}{\lambda} \cdot (P_2^2 - P_1^2)}$$

(2.7.31.)

Nalazi li se promatrač iza ili ispred segmenta, vrijednost je ona na najbližoj krajnjoj točki P_1 ili P_2 .

Snaga segmenta P

NPD podacima navedenima u tablici opisuje se buka zrakoplova u jednakomjernom pravocrtnom letu na beskonačnoj putanji leta, tj. pri konstantnoj snazi motora P . U preporučenoj se metodologiji stvarne putanje leta, za vrijeme kojih brzina i smjer variraju, dijele na niz konačnih segmenata, od kojih svaki predstavlja dio ujednačene beskonačne putanje leta za koju vrijede NPD podaci. Metodologijom su, međutim, predviđene promjene snage po duljini segmenta; pretpostavljeno je da se mijenjaju kvadratno s udaljenošću P , na početku do P_1 , na kraju segmenta. Stoga je potrebno definirati ekvivalentnu jednakomjernu vrijednost segmenta P . Za nju se uzima vrijednost na onoj točki segmenta koja je najbliža promatraču. Nalazi li se promatrač pored segmenta (slika 2.7.k), vrijednost se dobiva interpolacijom u skladu s jednadžbom 2.7.8. između krajnjih vrijednosti, tj.

$$P = \sqrt{P_1^2 + \frac{q}{\lambda} \cdot (P_2^2 - P_1^2)} \quad (2.7.31.)$$

Nalazi li se promatrač iza ili ispred segmenta, vrijednost je ona na najbližoj krajnjoj točki P_1 ili P_2 .

U odjeljku 2.7.19. „Korekcije za razinu događaja u segmentu“, stavak ispod naslova „Korekcija za trajanje ΔV (samo razine izloženosti LE)” do formule 2.7.34., uključujući formulu, mijenja se i glasi:

„Korekcija za trajanje ΔV (samo razine izloženosti LE)

Ovom se korekcijom (*) uzima u obzir promjena razina izloženosti ako se stvarna brzina po horizontali u segmentu razlikuje od referentne brzine zrakoplova V_{ref} na koju se odnose NPD podaci.

Kao i snaga motora, brzina se mijenja duž segmenta putanje leta (od V_{T1} do V_{T2} , što su izlazne brzine iz Dodatka B ili iz prethodno izračunatog profila leta).

Za segmente leta V_{seg} je brzina segmenta na najbližoj točki prilaženja S, interpolirana između vrijednosti krajnje točke segmenta pod pretpostavkom da se mijenja kvadratno s vremenom, tj. kad se promatrač nalazi pored segmenta:

$$V_{seg} = \sqrt{V_1^2 + \frac{q}{\lambda} \cdot (V_2^2 - V_1^2)} \quad (2.7.32.)$$

(*) To se naziva *korekcija za trajanje* jer se njome u obzir uzimaju utjecaji brzine zrakoplova na trajanje zvučnog događaja, pri čemu se polazi od jednostavne pretpostavke da su pod istim uvjetima trajanje, i samim tim primljena zvučna energija, obrnuto proporcionalni brzini izvora.”;

2.7.19. Korekcije za razinu događaja u segmentu

NPD podacima razine zvučnih događaja definiraju se kao funkcija udaljenosti okomito ispod idealizirane pravocrtnе putanje leta beskonačne duljine na kojoj zrakoplov leti jednakomjernom snagom pri fiksnoj referentnoj brzini^[18](U skladu s NPD specifikacijama podaci moraju biti utemeljeni na mjeranjima jednakomjernog pravocrtnog leta, a ne nužno na mjeranjima horizontalnog leta; radi stvaranja potrebnih uvjeta za let ispitna putanja leta zrakoplova može biti nagnuta u odnosu na horizontalu. Međutim, kao što će biti prikazano, nagnute putanje dovode do računalnih poteškoća pa je stoga pri korištenju podataka za modeliranje praktično vizualizirati putanje izvora kao pravocrtnе i horizontalne.). Razina događaja interpolirana na temelju NPD tablice za određenu vrijednost snage i određenu izravnu udaljenost opisana je u skladu s tim kao *osnovna razina*. Primjenjuje se na

beskonačnu putanju leta i mora se korigirati kako bi se uzeli u obzir utjecaji (1) nereferentne brzine, (2) utjecaji položaja motora (lateralna usmjerenošć), (3) lateralnog prigušenja, (4) konačne duljine segmenta i (5) longitudinalne usmjerenoštci nakon početka zaleta – vidjeti jednadžbe 2.7.25. i 2.7.26.

Korekcija za trajanje ΔV (samo razine izloženosti L_E)

Ovom se korekcijom^[19] (Naziv korekcije glasi korekcija za trajanje jer se njome u obzir uzimaju utjecaji brzine zrakoplova na trajanje zvučnog događaja, pri čemu se polazi od jednostavne pretpostavke da je pod istim uvjetima trajanje, i samim tim primljena zvučna energija, obrnuto proporcionalno brzini izvora.) uzima u obzir promjena razina izloženosti ako se stvarna brzina po horizontali na segmentu razlikuje od referentne brzine zrakoplova V_{ref} na koju se odnose NPD podaci. Kao što snaga motora varira, varira i brzina duž segmenta (brzina po horizontali od V_1 prema V_2) i stoga je potrebno odrediti ekvivalentnu brzinu segmenta V_{seg} , pri čemu treba uzeti u obzir nagib segmenta u odnosu na tlo; tj.

$$V_{seg} = V / \cos \gamma$$

(2.7.32.)

pri čemu je V ekvivalentna brzina po horizontali na segmentu (za informacije vidjeti jednadžbu B-22 u kojoj je V izraženo kao kalibrirana brzina leta V_e) i

$$\gamma = \tan^{-1} \left(\frac{z_2 - z_1}{s_2 - s_1} \right)$$

(2.7.33.)

Za segmente leta pretpostavlja se da je V brzina po horizontali na najbližoj točki prilaženja S , interpolirana između vrijednosti krajnje točke segmenta pod pretpostavkom da linearno varira s vremenom; tj. kada se promatrač nalazi pored segmenta:

$$V = \sqrt{V_1^2 + \frac{q}{\lambda} \cdot (V_2^2 - V_1^2)}$$

(2.7.34.)

„Korekcija za trajanje ΔV (samo razine izloženosti L_E)

Ovom se korekcijom (*) uzima u obzir promjena razina izloženosti ako se stvarna brzina po horizontali u segmentu razlikuje od referentne brzine zrakoplova V_{ref} na koju se odnose NPD podaci.

Kao i snaga motora, brzina se mijenja duž segmenta putanje leta (od V_{T1} do V_{T2} , što su izlazne brzine iz Dodatka B ili iz prethodno izračunatog profila leta).

Za segmente leta V_{seg} je brzina segmenta na najbližoj točki prilaženja S , interpolirana između vrijednosti krajnje točke segmenta pod pretpostavkom da se mijenja kvadratno s vremenom, tj. kad se promatrač nalazi pored segmenta:

$V_{seg} = \sqrt{V_1^2 + \frac{q}{\lambda} \cdot (V_2^2 - V_1^2)}$	(2.7.32.)
--	-----------

(*) To se naziva korekcija za trajanje jer se njome u obzir uzimaju utjecaji brzine zrakoplova na trajanje zvučnog događaja, pri čemu se polazi od jednostavne pretpostavke da su pod istim uvjetima trajanje, i samim tim primljena zvučna energija, obrnuto proporcionalni brzini izvora.”;

Nalazi li se promatrač iza ili ispred segmenta, vrijednost je ona na najbližoj krajnjoj točki V_1 ili V_2 .

Za segmente uzletno-sletne staze (dijelovi zaleta ili protrčavanja za koje vrijedi $\gamma = 0$) V_{seg} jednostavno predstavlja prosjek početne i krajnje brzine segmenta; t.j.

$$V_{seg} = (V_1 + V_2)/2$$

(2.7.35.)

(2.7.33.)

U oba slučaja aditivna korekcija za trajanje stoga iznosi

$$\Delta_V = 10 \cdot \lg(V_{ref}/V_{seg})$$

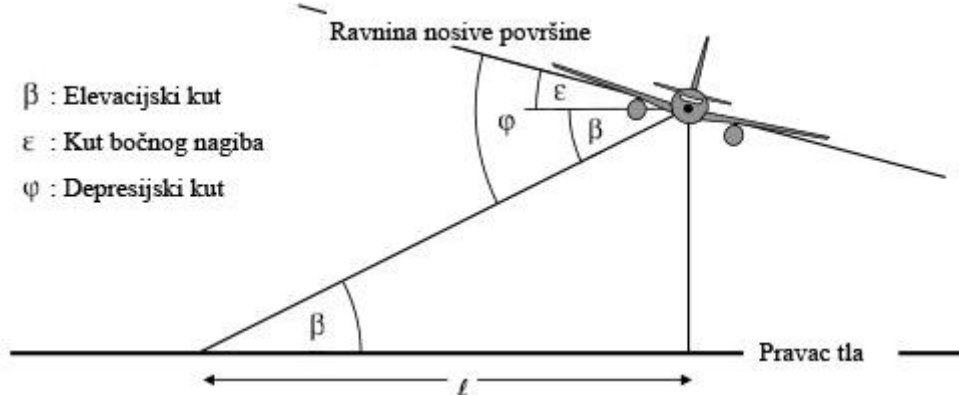
(2.7.36.)

(2.7.34.)

Geometrija širenja zvuka

~~Na slici 2.7.1 Na slici 2.7.m~~ prikazana je osnovna geometrija u ravnini okomitoj na putanju leta zrakoplova.

Pravac tla je sjecište okomite ravnine i ravnine tla. (Ako je putanja leta vodoravna, pravac je tla bokocrt ravnine tla.) Zrakoplov se nalazi pod kutom ϵ izmjeranim u smjeru kazaljke na satu u odnosu na svoju uzdužnu os (tj. nosiva površina na desnoj strani zrakoplova pokazuje prema gore). Stoga je pozitivan pri lijevim zaokretima, a negativan pri desnim.



Slika 2.7.m: Kut između zrakoplova i promatrača u ravnini okomitoj na putanju leta

- Elevacijskim *kutom* β (od 0 do 90°) između puta izravnog širenja zvučnog vala i horizontalnog pravca tla^[20](U slučaju neravnog terena mogu postojati različite definicije elevacijskog kuta. Ovdje se definira visinom zrakoplova iznad promatračke točke i izravnom udaljenosti, tj. zanemaruju se gradijenti lokalnog terena i prepreke na putu širenja zvučnog vala (vidjeti odjeljke 2.7.6. i 2.7.10.). Nalazi li se točka prijema iznad zrakoplova, elevacijski kut β postavljen je na nulu.) određuje se, zajedno s nagibom putanje leta i lateralnim pomakom ℓ promatrača od tlocrta putanje, lateralno prigušenje.
- Depresijskim *kutom* φ između ravnine nosive površine i puta širenja određuju se utjecaji zbog položaja motora. S obzirom na konvenciju za kut bočnog nagiba $\phi = \beta \pm \epsilon$ je pozitivnog

predznaka za promatrače na desnoj strani zrakoplova i negativnog predznaka za promatrače na lijevoj strani zrakoplova.

Korekcija za položaj motora Δ_l

Zrakoplov u letu predstavlja složen izvor zvuka. Osim što su izvori na motoru (i na zmaju zrakoplova) složeni već sami po sebi, konfiguracija zmaja zrakoplova, posebno položaj motora, utječe na uzorce zračenja buke procesima refleksije, refrakcije i raspršivanja od krutih površina i aerodinamičkih polja strujanja. To dovodi do neujednačene usmjerenosti lateralno zračenog zvuka oko uzdužne osi zrakoplova, a ta se usmjerenost ovdje naziva *lateralna usmjerenost*.

S obzirom na lateralnu usmjerenost postoje značajne razlike između zrakoplova s motorima smještenima na trupu i zrakoplova s motorima smještenima ispod nosive površine, a koje će u sljedećoj jednadžbi biti uzete u obzir:

$$\Delta_l(\varphi) = 10 \cdot \lg \left[\frac{a \cdot \cos^2 \varphi + \sin^2 \varphi}{c \cdot \sin^2 2\varphi + \cos^2 2\varphi} \right] \text{ dB} \quad (2.7.37.)$$

$$(2.7.35.)$$

pri čemu je $\Delta_l(\varphi)$ korekcija u dB pri depresijskom kutu φ (vidjeti sliku 2.7.m) i

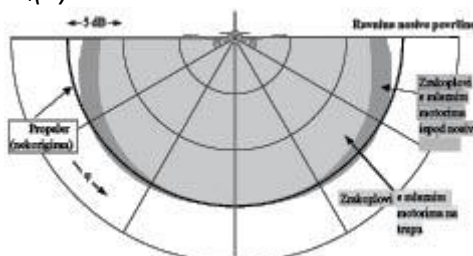
$a = 0,00384$,	$b = 0,0621$,	$c = 0,8786$	za motore smještene ispod nosive površine i
$a = 0,1225$,	$b = 0,3290$,	$c = 1$	za motore smještene na trupu.

$a = 0,00384$,	$b = 0,0621$,	$c = 0,8786$	za motore smještene ispod nosive površine i	(2.7.36.)
$a = 0,1225$,	$b = 0,3290$,	$c = 1$	za motore smještene na trupu.	(2.7.37.)

U slučaju elisnih zrakoplova razlike usmjerenosti su zanemarive i za njih se može pretpostaviti da

$$\Delta_l(\varphi) = 0 \quad (2.7.38.)$$

Na slici 2.7.n prikazana je razlika $\Delta_l(\varphi)$ oko uzdužne osi za tri položaja motora. Te je empirijske odnose izvelo Udruženje inženjera automobilske industrije (Society of Automotive Engineers – SAE) na temelju eksperimentalnih mjerena uglavnom ispod nosive površine. Dok se ne analiziraju podaci iznad nosive površine preporučuje se da se za negativni φ za sve vrste položaja koristi $\Delta_l(\varphi) = \Delta_l(0)$.



Slika 2.7.m: Lateralna usmjerenošć utjecaja instalacije

Pretpostavlja se da je $\Delta_l (\varphi)$ dvodimenzionalna; tj. ne ovisi o nijednom drugom parametru, a posebno se ne mijenja s longitudinalnim razmakom između promatrača i zrakoplova. Time se *elevacijski kut* β za $\Delta_l (\varphi)$ definira kao $\beta = \tan^{-1}(z/\ell)$. To je radi jednostavnijeg modeliranja dok se ne saznaju detalji mehanizma; efekti instalacije su u stvari trodimenzionalni. Unatoč tome, dvodimenzionalni model može se opravdati činjenicom da u razinama događaja uglavnom prevladava buka zračena bočno od najbližeg segmenta.

Lateralno prigušenje $\Lambda(\beta, \ell)$ (beskonačna putanja leta)

Tablične se NPD razine događaja odnose na jednakomjerni horizontalni let i obično se temelje na mjerljima 1,2 m iznad mekanog ravnog tla ispod zrakoplova; parametar udaljenosti praktički je visina iznad površine. Pretpostavlja se da su mogući učinci površine na razine zvučnog događaja ispod zrakoplova, koji bi mogli dovesti do toga da se tablične razine razlikuju od vrijednosti slobodnog polja^[21](Razina u »slobodnom polju« je razina koja bi bila promatrana kada ne bi bilo površine tla.), sadržani u podacima (tj. u obliku odnosa razine i udaljenosti).

Bočno od putanje leta parametar je udaljenosti minimalni izravni razmak – duljina vertikale od prijemnika do putanje leta. Na bilo kojem bočnom položaju razina buke općenito je manja nego na istoj udaljenosti neposredno ispod zrakoplova. Pored *lateralne usmjerenošći* ili »utjecaja instalacije« kao što su prethodno opisani zbog povećanog *lateralnog prigušenja* kojim se prouzročuje da razina zvuka brže opada s porastom udaljenosti nego što je to navedeno u NPD krivuljama. Prethodnu je metodu za modeliranje lateralnog širenja buke zrakoplova, koja se nalazi u širokoj primjeni, razvio SAE u normi AIR-1751, a algoritmi opisani u nastavku temelje se na poboljšanjima koje SAE trenutačno preporučuje u normi AIR-5662. Lateralno prigušenje je utjecaj refleksije na temelju interferencije između izravno zračenog zvuka i zvuka reflektiranog s površine. Ovisi o vrsti površine i može prouzročiti znatna smanjenja u promatranim razinama buke pri malim elevacijskim kutovima. Na prigušenje snažno utječe jednakomjerna i nejednakomjerna refrakcija zvuka prouzročena gradijentima vjetra i temperature ili turbulencijama koji su i sami mogu pripisati prisutnosti površine^[22](Gradijenti vjetra i temperature kao i turbulencije djelomično ovise o hrapavosti i svojstvima prijenosa topline površine.). Mehanizam je površinske refleksije dobro istražen i za ujednačene atmosferske i površinske uvjete može se teoretski prilično precizno opisati. Međutim, atmosferske i površinske neujednačenosti, koje se ne mogu obraditi jednostavnom teoretskom analizom, uvelike utječu na učinak refleksije i imaju sklonost da ga »prošire« na veće elevacijske kutove; stoga je teorija samo ograničeno primjenjiva. SAE konstantno radi na razvoju boljeg razumijevanja površinskog utjecaja što bi trebalo rezultirati boljim modelima. Do njihova razvoja preporučuje se sljedeća metodologija za izračun lateralnog prigušenja, opisana u normi AIR-5662. Ograničena je na slučaj širenja zvuka iznad mekanog ravnog tla što je prikladno za veliku većinu civilnih zračnih luka. Prilagodbe kako bi se uzeli u obzir efekti tvrde površine tla (ili površina sličnih akustičnih svojstava, vode) još su u fazi razvoja.

Metodologija se temelji na velikoj zbirci eksperimentalnih podataka o širenju zvuka iz zrakoplova s motorima smještenima na trupu u pravocrtnom (bez zaokreta), jednakomjernom, horizontalnom letu kako je izvorno navedena u AIR-1751. Pod pretpostavkom da pri horizontalnom letu prigušenje od zraka do tla i. ovisi o elevacijskom kutu β izmјerenom u vertikalnoj ravnini i ii. o bočnom pomaku od tlocrta putanje ℓ , podaci su analizirani na način da se izvede empirijska funkcija za ukupnu bočnu prilagodbu $\Lambda_T(\beta, \ell)$ (= bočna razina događaja minus razina pri istom razmaku ispod zrakoplova). S obzirom na to da vrijednost $\Lambda_T(\beta, \ell)$ uzima u obzir i lateralnu usmјerenost i lateralno prigušenje, lateralno prigušenje može se dobiti oduzimanjem. Pri opisu lateralne usmјerenosti jednadžbom 2.7.37., s koeficijentima za motore smještene na trupu i zamjenom ϕ s β (prikladno za let bez zaokreta), bočno prigušenje postaje:

$$\Lambda(\beta, \ell) = \Lambda_T(\beta, \ell) - \Delta_I(\beta)$$

(2.7.39.)

pri čemu se β i ℓ mјere kako je prikazano na slici 2.7.m u ravnini okomitoj na beskonačnu putanju leta koja je, pri horizontalnom letu, također vertikalna.

Premda bi se $\Lambda(\beta, \ell)$ jednadžbom 2.7.39. uzimanjem $\Lambda_T(\beta, \ell)$ iz AIR-1751 moglo izračunati izravno, preporučuje se učinkovitiji odnos. Pritom je riječ o sljedećoj empirijskoj aproksimaciji prilagođenoj prema AIR-5662:

$$\Lambda(\beta, \ell) = \Gamma(\ell) \cdot \Lambda(\beta)$$

(2.7.40.)

pri čemu je

pri čemu je $\Gamma(\ell)$ faktor razmaka dobiven s

$$\Gamma(\ell) = 1,089 \cdot [1 - \exp(-0,00274\ell)] \quad \text{za } 0 \leq \ell \leq 914 \text{ m}$$

(2.7.41.)

$\Gamma(\ell)=1 \quad \text{za } \ell > 914 \text{ m}$

(2.7.42.)

a $\Lambda(\beta)$ lateralno prigušenje od zraka do tla na velikoj udaljenosti dobiveno s

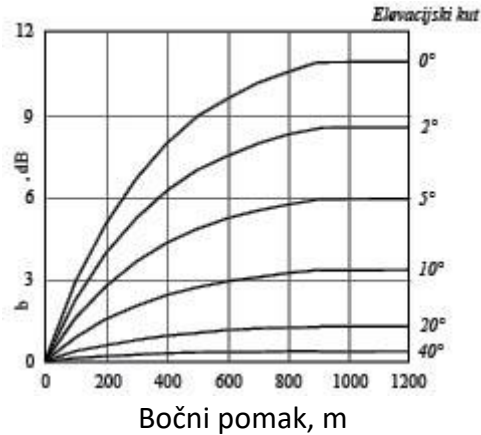
$$\Lambda(\beta) = 1,137 - 0,0229\beta + 9,72 \cdot \exp(-0,142\beta) \quad \text{za } 0^\circ \leq \beta \leq 50^\circ$$

(2.7.43.)

$$\Lambda(\beta) = 0 \quad \text{za } 50^\circ \leq \beta \leq 90^\circ$$

(2.7.44.)

Izraz za lateralno prigušenje $\Lambda(\beta, \ell)$, jednadžba 2.7.40., za koji se pretpostavlja da vrijedi za sve zrakoplove (elisni zrakoplovi, zrakoplovi s motorima smještenima na trupu kao i zrakoplovi s motorima smještenima ispod nosive površine), grafički je prikazan na slici 2.7.o. U određenim uvjetima (s terenom) vrijednost β može biti manja od nule. U tim se slučajevima preporučuje $\Lambda(\beta) = 10,57$.



Slika 2.7.o: Promjena lateralnog prigušenja $\Lambda(\beta, \ell)$ s elevacijskim kutom i razmakom
Lateralno prigušenje u konačnim segmentima

U jednadžbama od 2.7.41. do 2.7.44. opisano je lateralno prigušenje $\Lambda(\beta, \ell)$ zvuka koji promatraču dolazi od aviona u jednakomjernom letu na beskonačnoj horizontalnoj putanji leta. Pri njihovoj primjeni na nehorizontalne konačne segmente putanje leta prigušenje se mora izračunati za *ekvivalentnu* horizontalnu putanju leta jer se najблиžom točkom na jednostavnom produljenju nagnutog segmenta (koji na određenoj točki prolazi kroz površinu tla) općenito ne dobiva prikladan elevacijski kut β .

Određivanje lateralnog prigušenja za konačne segmente znatno se razlikuje pri mjerama L_{max} i L_E . Maksimalne razine segmenta L_{max} određuju se na temelju NPD podataka kao funkcija udaljenosti širenja d od najbliže točke u segmentu; za dimenzije segmenta nisu potrebne korekcije. Jednako se prepostavlja da lateralno prigušenje L_{max} ovisi samo o elevacijskom kutu iste točke i udaljenosti na tlu do te točke. Stoga su potrebne samo koordinate te točke. Međutim, za L_E proces je komplikiraniji.

Osnovna razina događaja $L_E(P, d)$ koja se određuje na temelju NPD podataka, iako za parametre konačnih segmenata, primjenjuje se unatoč tome na beskonačnu putanju leta. Razina izloženosti događaja iz segmenta $L_{E,seg}$ je, naravno, manja od osnovne razine i to za potrebni iznos u korekcije za konačni segment, pri čemu je taj iznos opisan u odjeljku 2.7.19. Tom se korekcijom, funkcijom geometrije trokutova OS_1S_2 na slikama 2.7.j do 2.7.l, utvrđuje koji dio kod O primljene zvučne energije ukupne beskonačne putanje dolazi od segmenta; ista se korekcija primjenjuje neovisno o postojanju lateralnog prigušenja. Međutim, sva se lateralna prigušenja izračunavaju za beskonačnu putanju leta, tj. kao funkcija njezina pomaka i visine, a ne za konačni segment.

Zbrajanjem korekcija Δ_V i Δ_I , i oduzimanjem lateralnog prigušenja $\Lambda(\beta, \ell)$ od NPD *osnovne razine* dobiva se prilagođena razina zvučnog događaja za *ekvivalentni jednakomjerni horizontalni* let na dodirnoj, beskonačnoj pravocrtnoj putanji. Međutim, stvarni segmenti putanje leta koji se modeliraju, oni koji utječu na konture buke, rijetko su horizontalni jer su zrakoplovi obično u fazi penjanja ili spuštanja.

Na slici 2.7.p prikazan je segment odleta S1S2 – zrakoplov se penje pod kutom γ – međutim odnosi su pri dolasku prilično slični. Ostatak »realne« putanje leta nije prikazan; ovdje je



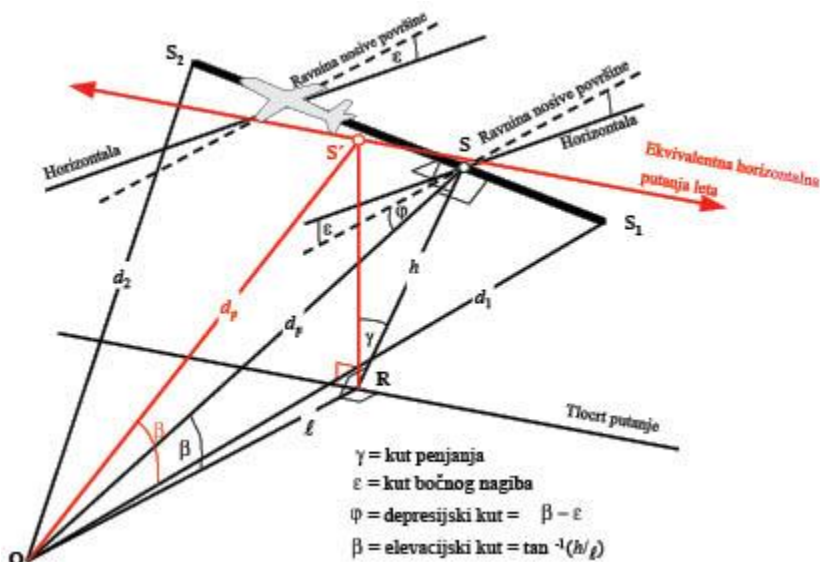
Thorium A+

Izvrsni inženjeri koriste izvrstan alat!

ThoriumSoftware d.o.o.

Mobile: +385 (0) 95 8 70 50 70
Kontakt: Dario Ilija Rendulić
Email:
info@thoriumsoftware.eu;
direndulic@gmail.com

dovoljno napomenuti da S_1S_2 predstavlja samo dio cijele putanje (koja je općenito u obliku luka). U tom se slučaju promatrač O nalazi lijevo pored segmenta. Zrakoplov se nalazi (suprotno od smjera kazaljke na satu u podnosu na putanju) pod kutom ϵ prema bočnoj horizontalnoj osi. Depresijski kut ϕ ravnine nosive površine, pri čemu je utjecaj instalacije Δ_i funkcija (jednadžba 2.7.39.), nalazi se u ravnni okomitoj na putanju leta u kojoj je ϵ definiran. Stoga vrijedi $\phi = \beta - \epsilon$ pri čemu je $\beta = \tan^{-1}(h/\ell)$ a ℓ okomita udaljenost OR između promatrača i tlocrta putanje; t.j. bočni pomak promatrača^[23](Pri promatraču desno od segmenta φ bi postao $\beta + \epsilon$ (vidjeti odjeljak 2.7.19.).). Najbliža točka prilaženja aviona promatraču S definirana je okomicom OS duljine (kosa udaljenost) d_p . Trokut OS_1S_2 odgovara slici 2.7.k, geometriji za izračun korekcije segmenta Δ_F .



Slika 2.7.p: Promatrač pored segmenta

Za izračun lateralnog prigušenja jednadžbom 2.7.40. (pri čemu se β mjeri u vertikalnoj ravnni), ekvivalentna horizontalna putanja leta definirana je u vertikalnoj ravnni kroz S_1S_2 i s istim okomitim izravnim razmakom d_p od promatrača. To je vizualizirano rotacijom trokuta ORS i pridružene putanje leta oko OR (vidjeti sliku 2.7.p) pod kutom γ čime se dobiva trokut ORS' . Elevacijski kut te ekvivalentne horizontalne putanje (sada u vertikalnoj ravnni) je $\beta = \tan^{-1}(h/\ell)$ (ℓ ostaje nepromijenjen). U tom slučaju, kad je promatrač pored segmenta, bočno prigušenje $A(\beta, \ell)$ isto je za mjere L_E i L_{max} .

Na slici 2.7.q prikazana je situacija u kojoj se promatračka točka O nalazi iza konačnog segmenta, a ne pored. Ovdje se segment promatra kao udaljeniji dio beskonačne putanje; ekonoma se može povući samo do točke S_p na njezinu prodljenju. Trokut OS_1S_2 odgovara slici 2.7.j u kojoj je definirana korekcija segmenta Δ_F . No, u ovom su slučaju parametri za lateralnu usmjerenost i lateralno prigušenje manje očigledni.

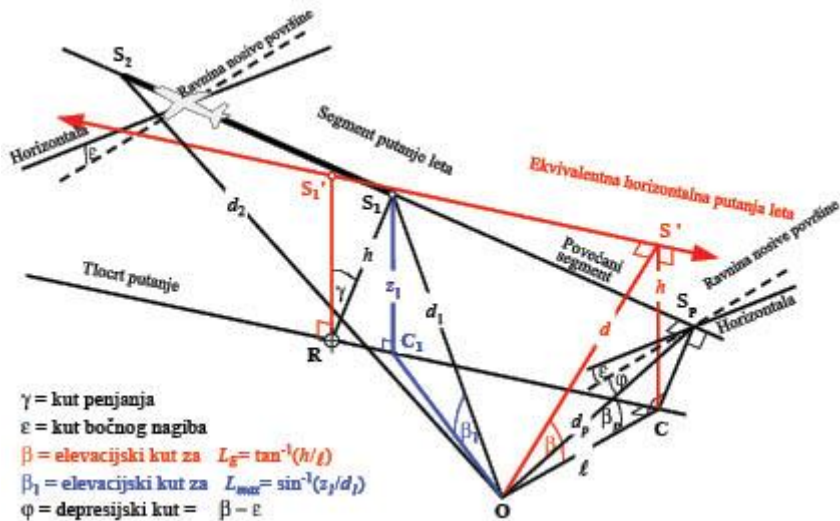


Thorium A+

Izvrsni inženjeri koriste izvrstan alat!

ThoriumSoftware d.o.o.

Mobile: +385 (0) 95 8 70 50 70
Kontakt: Dario Ilija Rendulić
Email:
info@thoriumsoftware.eu;
direndulic@gmail.com



Slika 2.7.q: Promatrač iza segmenta

S obzirom na to da je lateralna usmjerenost (utjecaj instalacije) za potrebe modeliranja dvodimenzionalna, definirajući depresijski kut ϕ mjeri se i dalje bočno od ravnine nosive površine zrakoplova. (Osnovna razina događaja i dalje je ona koja se stvara zrakoplovom koji leti beskonačnom putanjom leta koja se prikazuje produljenim segmentom.) Time se depresijski kut određuje na najbližoj točki prilaženja, tj. $\phi = \beta_p$, pri čemu je β_p kut SpOC. Za mjeru maksimalne razine NPD parametar udaljenosti uzima se kao najmanji razmak do segmenta, tj. $d = d_1$. Za mjeru razine izloženosti to je najkraća udaljenost d_p između O i Sp na produljenoj putanji leta; tj. na temelju NPD tablice interpolirana razina jest $L_{\text{ext}}(P_1, d_p)$. Geometrijski parametri za lateralno prigušenje različiti su i pri izračunu maksimalne razine i razine izloženosti. Za mjeru maksimalne razine prilagodba $A(\beta, \ell)$ dobiva se iz jednadžbe 2.7.40. s $\beta = \beta_1 - \sin^{-1}(z_1/d_1)$ i $\ell = OC_1 - \sqrt{d_1^2 - z_1^2}$ pri čemu su β_1 i d_1 definirani trokutom OC1S1 u vertikalnoj ravnini kroz O i S1.

Pri izračunu lateralnog prigušenja samo za segmente leta i mjeru razine izloženosti ℓ ostaje najkraći bočni pomak od produljenja segmenta (OC). Međutim, kako bi se definirala prikladna vrijednost za β , ponovno je potrebno vizualizirati (beskonačnu) ekvivalentnu horizontalnu putanju leta za koju se smatra da joj segment pripada. Ta se putanja povlači kroz S1', visinu h iznad površine, pri čemu je h jednak duljini RS1, okomici od tlocrta putanje do segmenta. To odgovara rotaciji produljene stvarne putanje leta pod kutom γ oko točke R (vidjeti sliku 2.7.q). Dok se R nalazi na okomici prema S1, točki u segmentu koja je najbliža O, konstrukcija ekvivalentne horizontalne putanje ista je kao i kad se O nalazi pored segmenta. Najbliža točka prilaženja ekvivalentne horizontalne putanje promatraču O je na S', izravnom razmaku d , tako da se trokutom OCS' konstruiranim na taj način u vertikalnoj ravnini onda definira visinski kut $\theta = \cos^{-1}(d/d)$. Premda se ta transformacija čini prilično zamršenom, potrebno je napomenuti da geometrija osnovnog izvora (definirana s d_1, d_2 i ϕ) ostaje netaknuta. Zvuk koji se kreće od segmenta prema promatraču identičan je zvuku koji bi nastao kad bi cijeli let duž beskonačno produljenog nagnutog segmenta (kojem segment

pripada za potrebe modeliranja) protekao konstantnom brzinom V i konstantnom snagom P_1 . S druge strane, lateralno prigušenje zvuka segmenta koji *pravi* promatrač nije povezano s β_p , elevacijskim kutom produljene putanje, nego s β , elevacijskim kutom ekvivalentne putanje.

Najbliža točka prilaženja ekvivalentne horizontalne putanje promatraču O je na S' , izravnom razmaku d , tako da se trokutom OCS' konstruiranim na taj način u vertikalnoj ravnini onda definira visinski kut $\beta = \cos^{-1}(\ell/d)$. Premda se ta transformacija čini prilično zamršenom, potrebno je napomenuti da geometrija osnovnog izvora (definirana s d_1, d_2 i ϕ) ostaje netaknuta. Zvuk koji se kreće od segmenta prema promatraču identičan je zvuku koji bi nastao kad bi cijeli let duž beskonačno produljenog nagnutog segmenta (kojem segment pripada za potrebe modeliranja) protekao konstantnom brzinom V i konstantnom snagom P_1 . S druge strane, lateralno prigušenje zvuka segmenta koji *pravi* promatrač nije povezano s β_p , elevacijskim kutom produljene putanje, nego s β , elevacijskim kutom ekvivalentne putanje.

Slučaj u kojem se promatrač nalazi ispred segmenta neće biti opisan zasebno jer je očito da u osnovi odgovara slučaju u kojem se promatrač nalazi iza segmenta.

Međutim, što se tiče mjere za razinu izloženosti kad se lokacije promatrača nalaze iza segmenata tla za vrijeme zaleta odnosno ispred segmenata tla za vrijeme protrčavanja, vrijednost za β postaje ista kao i za mjeru maksimalne razine, tj. $\beta = \beta_1 = \sin^{-1}(z_1/d_1) + \ell - OC_1 - \sqrt{d_1^2 - z_1^2}$

Korekcija za konačni segment F (samo razina izloženosti L_F)

Prilagođena osnovna razina izloženosti buci odnosi se na zrakoplov u kontinuiranom pravocrtnom jednakomjernom horizontalnom letu (iako uz kut bočnog nagiba ϵ koji je nespojiv s pravocrtnim letom). Primjenom (negativne) korekcije za konačni segment $\Delta_F = 10 \times \lg(F)$, pri čemu je *Fudio energije*, razina se dodatno prilagođuje razini koja bi vrijedila kad bi zrakoplov preletio samo konačni segment (ili kad bi zrakoplov bio potpuno bezvučan na estatku beskonačne putanje leta).

Članom za udio energije uzima se u obzir izražena longitudinalna usmjerenost buke zrakoplova i kut ograničen segmentom na promatračkom mjestu. Premda su procesi kojima se prouzročuje usmjerenost vrlo složeni, studijama se pokazalo da su dobivene konture prilično neosjetljive na točno pretpostavljena svojstva usmjerenosti. Izraz za Δ_F naveden u nastavku temelji se na 90 stupanjskom dipolnom modelu zračenja zvuka na četvrtu potenciju. Pretpostavlja se da ne postoji utjecaj bočne usmjerenosti i bočnog prigušenja. Izvođenje te korekcije detaljno je opisano u Dodatku E.

Udio energije F je funkcija »pogleda« trokut OS₁S₂ koji je definiran na slikama od 2.7.j do 2.7.l tako da se dobiva sljedeće:

$$\Delta_F = 10 \cdot \lg \left[\frac{1}{\pi} \left(\frac{\alpha_1}{1 + \alpha_2^2} + \arctan \alpha_2 - \frac{\alpha_2}{1 + \alpha_1^2} - \arctan \alpha_1 \right) \right] \quad (2.7.45.)$$

pri čemu je:

$$\alpha_1 = -\frac{q}{d_1}; \quad \alpha_2 = -\frac{q - \lambda}{d_2}; \quad d_1 = d_0 \cdot 10^{\frac{1}{2} \ln(P_s) - \ln(P_s) \cdot \ln(P_s) / 2}; \quad d_2 = \frac{2}{x} \cdot V_{A'} \cdot t_0.$$

~~a~~ označuje »prilagođeni razmak« (vidjeti ~~Dodatak E~~). Napominje se da je ~~L_{max}(P, d_P)~~ maksimalna razina (izvedena na temelju NPD podataka) za ekomiti razmak ~~d_P~~, a ~~NE L_{max}~~ segmenta.

Preporučuje se za Δ_f primijeniti donju granicu od -150 dB.

U posebnom slučaju da se lokacije promatrača nalaze iza svakog segmenta zaleta ili protrcavanja, primjenjuje se skraćeni oblik udjela buke koji je izražen u jednadžbi 2.7.45., a koja odgovara specifičnom slučaju $q = 0$. To se računa pomoću jednadžbe:

$$\Delta_f' = 10 \log_{10} \left[(1/\pi) [\alpha_2/(1+\alpha_2^2) + \tan^{-1} \alpha_2] 10^{\Delta_{SOR}/10} \right] \quad (2.7.46.)$$

pri čemu $\alpha_2 = \lambda / d_x$ i Δ_{SOR} je funkcija usmjerenoosti na početku kretanja koja je definirana u jednadžbama 2.7.51. i 2.7.52.

Razlozi za korištenje tog posebnog oblika udjela buke objašnjeni su detaljnije u odjeljku u nastavku u okviru primjene metode za usmjerenoost na početku kretanja.

Poseban tretman segmenata kretanja na tlu pri uzljetanju i slijetanju, uključujući funkciju usmjerenoosti na početku kretanja Δ_{SOR} .

U slučaju segmenata za kretanje na tlu (pri uzljetanju i slijetanju) primjenjuju se posebni tretmani koji su opisani u nastavku.

Funkcija usmjerenoosti na početku kretanja Δ_{SOR}

Buka mlaznih zrakoplova, posebno zrakoplova opremljenih motorima s niskim prijenosnim omjerom, pokazuje čunjaste oblike zračenja u stražnjem luku, što je tipično za ispušnu buku mlaza. Taj je obrazac izraženiji što je veća brzina mlaza i manja brzina leta. To je od posebne važnosti za lokacije promatrača iza početka kretanja gdje su ispunjena oba uvjeta. Taj se utjecaj uzima u obzir funkcijom usmjerenoosti Δ_{SOR} .

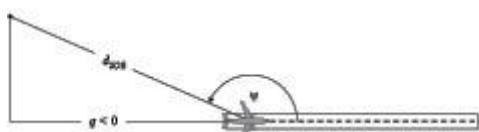
Funkcija Δ_{SOR} izvedena je iz nekoliko kampanja za mjerjenje buke u kojima su se upotrebljavali mikrofoni adekvatno pozicionirani iza i bočno od početka kretanja mlaznog zrakoplova u edlasku.

Na slici 2.7.r prikazana je odgovarajuća geometrija. Azimutni kut ψ između longitudinalne osi zrakoplova i vektora u odnosu na promatrača definiran je jednadžbom:

$$\psi = \arccos \left(\frac{q}{d_{SOR}} \right). \quad (2.7.47.)$$

Relativna udaljenost q je negativna (vidjeti sliku 2.7.j) tako da je ψ u rasponu od 0° u smjeru kretanja zrakoplova prema naprijed do 180° u obrnutom smjeru.

Promatrač



Slika 2.7.r: Geometrija zrakoplova i promatrača na tlu radi procjene korekcije za usmjerenoost

Funkcija Δ_{SOR} predstavlja promjenu ukupne buke nastale zaletom izmjerene iza početka kretanja u odnosu na ukupnu buku zaleta izmjerenu bočno od početka kretanja uz isti razmak:

$$L_{TGR}(d_{SOR}, \psi) = L_{TGR}(d_{SOR}, 90^\circ) + \Delta_{SOR}(d_{SOR}, \psi) \quad (2.7.48.)$$

pri čemu je $L_{TGR}(d_{SOR}, 901396991858)$ ukupna razina buke zaleta proizvedene svim segmentima zaleta u točki udaljenosti d_{SOR} bočno od početka kretanja. Pri udaljenostima d_{SOR} manjima od udaljenosti normaliziranja $d_{SOR,0}$, funkcija usmjerenosti na početku kretanja dobiva se na sljedeći način:

$$\Delta_{SOR}^0 = 51,47 - 1,553 \cdot \psi + 0,015147 \cdot \psi^2 - 0,000047173 \cdot \psi^3 \quad \text{ako } 90^\circ \leq \psi < 148,4^\circ \quad (2.7.49.)$$

$$\Delta_{SOR}^0 = 339,18 - 2,5802 \cdot \psi - 0,0045545 \cdot \psi^2 + 0,000044198 \cdot \psi^3 \quad \text{ako } 148,4^\circ \leq \psi \leq 180^\circ \quad (2.7.50.)$$

Ako je udaljenost d_{SOR} veća od udaljenosti normaliziranja $d_{SOR,0}$, korekcija za usmjerenost može se korekcijskim faktorom kako bi se uzelo u obzir da usmjerenost pri većim udaljenostima do zrakoplova postaje manje izražena; tj.

$$\Delta_{SOR} = \Delta_{SOR}^0 \quad \text{ako } d_{SOR} \leq d_{SOR,0} \quad (2.7.51.)$$

$$\Delta_{SOR} = \Delta_{SOR,0}^0 \cdot \frac{d_{SOR,0}}{d_{SOR}} \quad \text{ako } d_{SOR} > d_{SOR,0} \quad (2.7.52.)$$

Udaljenost normaliziranja $d_{SOR,0}$ jednaka je 762 m (2500 ft).

Trećim prijemnika koji se nalaze iza svakog segmenta zaleta i protičavanja

Prijeđeno opisanom funkcijom Δ_{SOR} obuhvaćen je prvenstveno izraženi učinak usmjerenosti početnog dijela zaleta na lokacijama iza početka kretanja (jer je najbliži prijemnicima i pokazuje najveći omjer brzine mlaza i brzine zrakoplova). Međutim, primjena izvedene funkcije Δ_{SOR} »generalizirana« je na položaju iza svakog pojedinog segmenta kretanja na tlu (pri uzlijetanju i slijetanju), tj. ne samo iza točke početka kretanja (pri uzlijetanju).

Parametri d_s i ψ izračunavaju se u odnosu na početak svakog pojedinog segmenta kretanja na tlu pri uzlijetanju i slijetanju.

Razina događaja L_{seg} za lokaciju iza zadanog segmenta zaleta ili protičavanja izračunava se kako bi se uđevojilo zahtjevima s obzirom na formu Δ_{SOR} funkcije: izračunava se u osnovi za referentnu točku koja se nalazi bočno od početne točke segmenta uz istu udaljenost d_s kao stvarna točka, a prilagođuje se dodatno s Δ_{SOR} kako bi se dobila razina događaja na stvarnoj točki.

To znači da se za različite korekcijske članove u jednadžbama u nastavku moraju primijeniti geometrijski parametri koji odgovaraju toj referentnoj točki koja se nalazi bočno od početne točke:

$$L_{max,seg} = L_{max}(P, d = d_s) + \Delta_I(\phi) - \Lambda(\beta, l = d_s) + \Delta_{SOR} \quad (2.7.53.)$$

$$L_{E,mg} = L_E(P, d - d_s) + \Delta_v + \Delta_i(\varphi) - \Lambda(\beta, l - d_s) + \Delta_p + \Delta_{rot}$$

(2.7.54.)

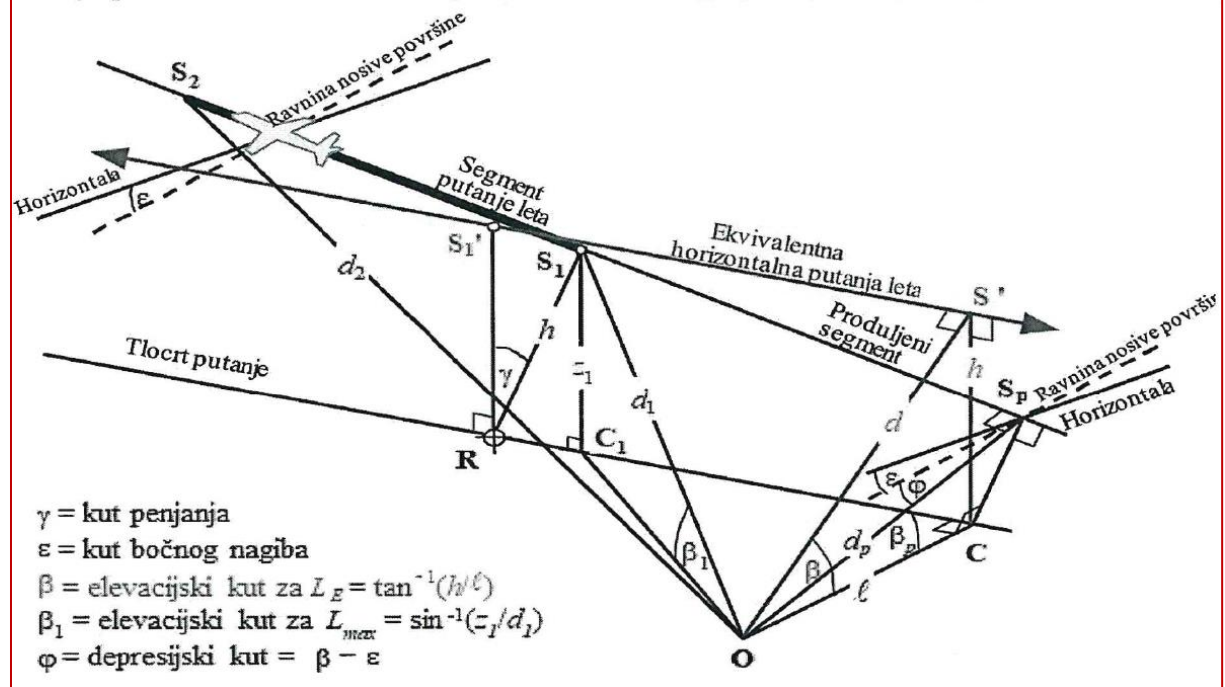
pri čemu je Δ' smanjeni oblik udjela buke koji je izražen u jednadžbi (2.7.46.) za slučaj $q=0$ (jer se referentna točka nalazi bočno od početne točke) i napominje se da je d_s potrebno izračunati pomoću d_s (a ne d_p):

$$d_s = d_0 \cdot 10^{[L_E(P, d_s) - L_{max}(P, d_s)]/10}$$

(2.7.55)

„Za izračun lateralnog prigušenja jednadžbom (2.7.40.) (pri čemu se β mjeri u vertikalnoj ravnini) preporučuje se produljena horizontalna putanja leta. Produljena horizontalna putanja leta definirana je u vertikalnoj ravnini kroz S_1S_2 i s istom okomitom izravnom udaljenošću d_s od promatrača. To je vizualizirano rotacijom trokuta ORS i pridružene putanje leta oko **OR** (vidjeti sliku 2.7.p) pod kutom γ , čime se dobiva trokut **ORS'**. Elevacijski kut te ekvivalentne horizontalne putanje (sada u vertikalnoj ravnini) jest $\beta = \tan^{-1}(h/\ell)$ (ℓ ostaje nepromijenjen). U tom slučaju, kad je promatrač pored segmenta, kut β i posljedično lateralno prigušenje $\Lambda(\beta, \ell)$ isti su za mjere L_E i L_{max} .

Na slici 2.7.r prikazana je situacija u kojoj se promatračka točka **O** nalazi *iza konačnog segmenta*, a ne pored. Tu se segment promatra kao udaljeniji dio beskonačne putanje, a okomica se može povući samo do točke S_p na njezinu produljenju. Trokut **OS'S₂** odgovara slici 2.7.j, na kojoj je definirana korekcija segmenta Δ_F . No u tom su slučaju parametri za lateralnu usmjerenošć i lateralno prigušenje manje očigledni.



Za mjeru maksimalne razine NPD parametar udaljenosti uzima se kao najkraća udaljenost do segmenta, tj. $d = d_1$. Za mjeru razine izloženosti to je najkraća udaljenost d_p između **O** i **S_p** na produljenoj putanji leta, tj. razina interpolirana na temelju NPD tablice jest $L_E \propto (P_1, d_p)$.

Geometrijski parametri za lateralno prigušenje različiti su i pri izračunu maksimalne razine i razine izloženosti. Za mjeru *maksimalne razine prilagodba* $\Lambda(\beta, \ell)$ izražava se jednadžbom 2.7.40. $s\beta = \beta_1 = \sin^{-1}(z_1/d_1)$ i $\ell = OC_1 = \sqrt{d_1^2 - z_1^2}$, pri čemu su β_1 i d_1 definirani trokutom **OC₁S₁** u vertikalnoj ravnini kroz **O** i **S₁**.

Pri izračunu lateralnog prigušenja samo za segmente leta i mjeru *razine izloženosti* ℓ ostaje najkraći bočni pomak od produljenja segmenta (**OC**). Međutim, kako bi se definirala primjerena vrijednost za β , ponovno je potrebno vizualizirati (beskonačnu) *ekvivalentnu horizontalnu putanju leta* za koju se može smatrati da joj segment pripada. Ta se putanja povlači kroz **S₁'**, visinu h iznad površine, pri čemu je h jednak duljini **RS₁**, okomici od tlocrta putanje do segmenta. To odgovara rotaciji produljene stvarne putanje leta pod kutom γ oko točke **R** (vidjeti *sliku 2.7.q*). Dok se **R** nalazi na okomici prema **S₁**, točki u segmentu koja je najbliža **O**, generiranje ekvivalentne horizontalne putanje isto je kao i kad se **O** nalazi pored segmenta.

Točka prilaženja ekvivalentne horizontalne putanje najbliža promatraču **O** nalazi se na **S'**, izravnoj udaljenosti d , tako da se trokutom **OCS'** konstruiranim na taj način u vertikalnoj ravnini tada definira elevacijski kut $\beta = \cos^{-1}(\ell/d)$. Premda se ta transformacija čini prilično zamršenom, potrebno je napomenuti da geometrija osnovnog izvora (definirana s d_1 , d_2 i ϕ) ostaje nepromijenjena i da je zvuk koji se kreće od segmenta *prema* promatraču identičan zvuku koji bi nastao kad bi cijeli let duž beskonačno produljenog nagnutog segmenta (kojem segment pripada za potrebe modeliranja) protekao konstantnom brzinom V i konstantnom snagom P . S druge strane, lateralno prigušenje zvuka segmenta koji promatrač *primi* nije povezano s β_p , elevacijskim kutom produljene putanje, nego s β , elevacijskim kutom ekvivalentne horizontalne putanje.

S obzirom na to da je utjecaj položaja motora Δ , za potrebe modeliranja dvodimenzionalan, definirajući depresijski kut φ i dalje se mjeri bočno od ravnine nosive površine zrakoplova (osnovna razina događaja i dalje je ona koja se stvara zrakoplovom koji leti beskonačnom putanjom leta koja se prikazuje produljenim segmentom). Tako se depresijski kut određuje na najbližoj točki prilaženja, tj. $\varphi = \beta_p - \epsilon$ pri čemu je β_p kut **S_pOC**.

Slučaj u kojem se promatrač nalazi ispred segmenta neće biti zasebno opisan jer je očito da u osnovi odgovara slučaju u kojem se promatrač nalazi iza segmenta.

Međutim, kad je riječ o mjeri razine izloženosti *kad se lokacije promatrača nalaze iza segmenata na tlu tijekom zaleta, odnosno ispred segmenata na tlu tijekom protrčavanja*, vrijednost za β postaje ista kao i za mjeru maksimalne razine.

Za lokacije iza segmenata zaleta:

$$\beta = \beta_1 = \sin^{-1}(z_1/d_1) \text{ i } \ell = OC_1 = \sqrt{d_1^2 - z_1^2}$$

Za lokacije ispred segmenata protrčavanja:

$$\beta = \beta_2 = \sin^{-1}(z_2/d_2) \text{ i } \ell = OC_2 = \sqrt{d_2^2 - z_2^2}$$

Razlog za upotrebu tih konkretnih izraza povezan je s primjenom funkcije usmjerenosti na početku kretanja iza segmenata zaleta i pretpostavke polukružne usmjerenosti ispred segmenata protrčavanja.

Korekcija za konačni segment Δ_F (samo razina izloženosti L_F)

Prilagođena osnovna razina izloženosti buci odnosi se na zrakoplov u kontinuiranom pravocrtnom jednakomjernom horizontalnom letu (iako uz kut bočnog nagiba ϵ koji je nespojiv s pravocrtnim letom). Primjenom (negativne) korekcije za konačni segment $\Delta_F = 10 \cdot \lg(F)$, pri čemu je F udio energije, razina se dodatno prilagođuje razini koja bi vrijedila kad bi zrakoplov preletio samo konačni segment (ili kad bi zrakoplov bio potpuno bezvučan na ostatku beskonačne putanje leta).

Članom za udio energije uzima se u obzir izražena longitudinalna usmjerenošć buke zrakoplova i kut ograničen segmentom na promatračkom mjestu. Premda su procesi kojima se prouzročuje usmjerenošć vrlo složeni, studijama se pokazalo da su dobivene konture prilično neosjetljive na točno pretpostavljena svojstva usmjerenošć. Izraz za Δ_F naveden u nastavku temelji se na 90-stupanjskom dipolnom modelu zračenja zvuka na četvrtu potenciju. Pretpostavlja se da ne postoji utjecaj lateralne usmjerenošći i lateralnog prigušenja. Izvođenje te korekcije detaljno je opisano u **Dodataku E**.

Udio energije F funkcija je trokuta „pogleda” $\mathbf{OS}_1\mathbf{S}_2$ koji je definiran na **slikama od 2.7.j do 2.7.I** tako da se dobiva sljedeće:

$$\Delta_F = 10 \cdot \log \left[\frac{1}{\pi} \left(\frac{\alpha_2}{1 + \alpha_2^2} + \arctan \alpha_2 - \frac{\alpha_1}{1 + \alpha_1^2} - \arctan \alpha_1 \right) \right] \quad (2.7.45.)$$

pri čemu je

$$\alpha_1 = -\frac{q}{d_\lambda}; \quad \alpha_2 = -\frac{q - \lambda}{d_\lambda}; \quad d_\lambda = d_0 \cdot 10^{[L_{B,\infty}(P,d_p) - L_{max}(P,d_p)]/10}; \quad d_0 = \frac{2}{\pi} \cdot V_{ref} \cdot t_0$$

pri čemu d_λ označuje „prilagođenu udaljenost” (vidjeti **Dodatak E**), a $V_{ref} = 270,05$ ft/s (za referentnu brzinu od 160 čvorova). Napominje se da je $L_{max}(P, d_p)$ maksimalna razina, izvedena na temelju NPD podataka, za okomitu udaljenost d_p , a NE L_{max} segmenta. Preporučuje se za Δ_F primjeniti donju granicu od -150 dB.

U posebnom slučaju kad se lokacije promatrača nalaze iza svakog segmenta zaleta primjenjuje se skraćeni oblik udjela buke koji je izražen u jednadžbi 2.7.45., što odgovara specifičnom slučaju $q = 0$.

To se označava jednadžbom $\Delta'_{F,d}$ pri čemu „d” objašnjava njezinu upotrebu za operacije odlaska, a izračunava se kako slijedi:

$$\Delta'_{F,d} = 10 \cdot \log_{10} \left[\frac{1}{\pi} \left(\frac{\alpha_2}{1 + \alpha_2^2} + \arctan \alpha_2 \right) \right] \quad (2.7.46.a)$$

pri čemu je $\alpha_2 = \lambda / d_\lambda$.

Taj poseban oblik udjela buke upotrebljava se s funkcijom usmjerenošć na početku kretanja, a njezina se metoda primjene detaljnije objašnjava u odjeljku u nastavku.

U posebnom slučaju kad se lokacije promatrača nalaze ispred svakog segmenta protičavanja, primjenjuje se skraćeni oblik udjela buke koji je izražen u jednadžbi 2.7.45., što odgovara specifičnom slučaju $q = \lambda$. To se označava s pomoću $\Delta'_{F,a}$ pri čemu „a” objašnjava upotrebu tog izraza za operacije dolaska, a izračunava se kako slijedi:

$$\Delta'_{F,a} = 10 \cdot \log_{10} \left[\frac{1}{\pi} \left(-\frac{\alpha_1}{1 + \alpha_1^2} - \arctan \alpha_1 \right) \right] \quad (2.7.46.b)$$

pri čemu je $\alpha_1 = -\lambda / d_\lambda$.



Thorium A+

Izvrsni inženjeri koriste izvrstan alat!

ThoriumSoftware d.o.o.

Mobile: +385 (0) 95 8 70 50 70
Kontakt: Dario Ilija Rendulić
Email:
info@thoriumsoftware.eu;
direndulic@gmail.com

Upotrebom tog izraza, a da se pritom ne primjenjuju nikakve daljnje prilagodbe horizontalne usmjerenosti (za razliku od slučaja kad se lokacija nalazi iza segmenata zaleta; vidjeti odjeljak o usmjerenosti na početku kretanja), implicitno se pretpostavlja polukružna horizontalna usmjerenost ispred segmenata protrčavanja.

Funkcija usmjerenosti na početku kretanja Δ_{SOR}

Buka zrakoplova, posebno mlaznih zrakoplova opremljenih motorima s niskim prijenosnim omjerom, pokazuje čunjaste oblike zračenja u stražnjem luku, što je tipično za ispušnu buku mlaza. Taj je obrazac izraženiji što je veća brzina mlaza i manja brzina leta. To je od posebne važnosti za lokacije promatrača iza početka kretanja, gdje su ispunjena oba uvjeta. Taj se utjecaj uzima u obzir funkcijom usmjerenosti Δ_{SOR} .

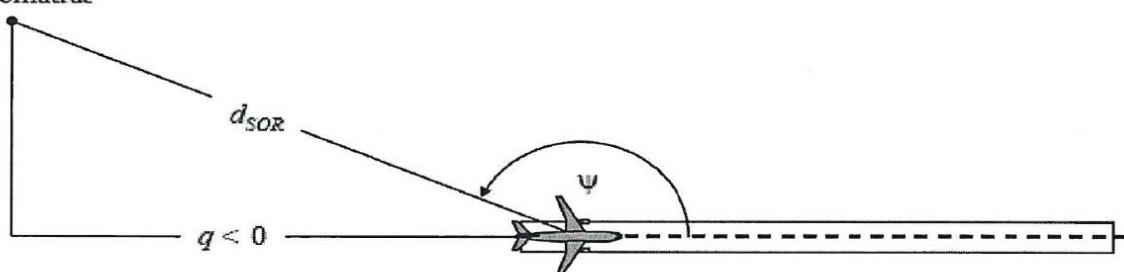
Funkcija Δ_{SOR} izvedena je iz nekoliko kampanja za mjerjenje buke u kojima su se upotrebljavali mikrofoni adekvatno pozicionirani iza i bočno od početka kretanja mlaznog zrakoplova u odlasku.

Na **slici 2.7.r** prikazana je odgovarajuća geometrija. Azimutni kut Ψ između longitudinalne osi zrakoplova i vektora u odnosu na promatrač definiran je jednadžbom

$$\psi = \arccos\left(\frac{q}{d_{SOR}}\right) \quad (2.7.47.)$$

Relativna udaljenost q negativna je (vidjeti **sliku 2.7.j**), tako da je ψ u rasponu od 90° u odnosu na kretanje zrakoplova prema naprijed do 180° u obrnutom smjeru.

Promatrač



Funkcija Δ_{SOR} predstavlja promjenu ukupne buke nastale zaletom izmjerene iza početka kretanja u odnosu na ukupnu buku zaleta izmjerenu bočno od početka kretanja uz istu udaljenost:

$$L_{TGR}(d_{SOR}, \psi) = L_{TGR}(d_{SOR}, 90^\circ) + \Delta_{SOR}(d_{SOR}, \psi) \quad (2.7.48.)$$

pri čemu je $L_{TGR}(d_{SOR}, 90^\circ)$ ukupna razina buke zaleta u točki udaljenosti d_{SOR} bočno od početka kretanja. Δ_{SOR} primjenjuje se kao prilagodba razine buke iz jednog segmenta putanje leta (npr. $L_{max,seg}$ ili $L_{E,seg}$), kako je opisano u jednadžbi 2.7.28.

Funkcija usmjerenosti na početku kretanja izražena u decibelima za *turboventilatorske mlazne zrakoplove* izražava se sljedećom jednadžbom:

Ako je $90^\circ \leq \Psi < 180^\circ$, tada je:

$$\Delta_{SOR}^0 = 2329.44 - (8.0573 \cdot \psi) + \left(11.51 \cdot \exp\left(\frac{\pi \cdot \psi}{180}\right)\right) - \left(\frac{3.4601 \cdot \psi}{\ln\left(\frac{\pi \cdot \psi}{180}\right)}\right) - \left(\frac{17403338.3 \cdot \ln\left(\frac{\pi \cdot \psi}{180}\right)}{\psi^2}\right) \quad (2.7.49.)$$



Thorium A+

Izvrsni inženjeri koriste izvrstan alat!

ThoriumSoftware d.o.o.

Mobile: +385 (0) 95 8 70 50 70
 Kontakt: Dario Ilija Rendulić
 Email:
 info@thoriumsoftware.eu;
 direndulic@gmail.com

Funkcija usmjerenosti na početku kretanja izražena u decibelima za *turboelisne zrakoplove* izražava se sljedećom jednadžbom:

Ako je $90^\circ \leq \Psi < 180^\circ$, tada je:

$$\Delta_{SOR}^0 = -34643.898 + \left(\frac{30722161.987}{\psi} \right) - \left(\frac{11491573930.510}{\psi^2} \right) + \left(\frac{2349285669062}{\psi^3} \right) - \left(\frac{283584441904272}{\psi^4} \right) \\ + \left(\frac{20227150391251300}{\psi^5} \right) - \left(\frac{790084471305203000}{\psi^6} \right) + \left(\frac{13050687178273800000}{\psi^7} \right) \quad (2.7.50.)$$

Ako je udaljenost d_{SOR} veća od udaljenosti normaliziranja $d_{SOR,0}$, korekcija usmjerenosti množi se korekcijskim faktorom kako bi se uzelo u obzir da usmjerenost pri većim udaljenostima do zrakoplova postaje manje izražena, tj.

$\Delta_{SOR} = \Delta_{SOR}^0$	ako je $d_{SOR} \leq d_{SOR,0}$	(2.7.51.)
---------------------------------	---------------------------------	-----------

$\Delta_{SOR} = \Delta_{SOR}^0 \cdot \frac{d_{SOR,0}}{d_{SOR}}$	ako je $d_{SOR} > d_{SOR,0}$	(2.7.52.)
---	------------------------------	-----------

Udaljenost normaliziranja $d_{SOR,0}$ jednaka je 762 m (2 500 ft).

Prethodno opisanom funkcijom Δ_{SOR} obuhvaćen je prvenstveno izraženi učinak usmjerenosti početnog dijela zaleta na lokacijama iza početka kretanja (jer je najbliži prijemnicima i pokazuje najveći omjer brzine mlaza i brzine zrakoplova). Međutim, primjena izvedene funkcije Δ_{SOR} „generalizirana“ je na položaje iza svakog pojedinog segmenta zaleta, tj. ne samo iza točke početka kretanja (pri uzljetanju). *Izvedena funkcija Δ_{SOR} ne primjenjuje se na položaje ispred pojedinih segmenata zaleta ni na položaje iza ili ispred pojedinih segmenata protičavanja.*

Parametri d_{SOR} i Ψ izračunavaju se u odnosu na početak svakog pojedinog segmenta kretanja na tlu. Razina događaja L_{SEG} za lokaciju iza zadanog segmenta zaleta izračunava se kako bi se udovoljilo zahtjevima s obzirom na formu funkcije Δ_{SOR} : izračunava se, u osnovi, za referentnu točku koja se nalazi bočno od početne točke segmenta uz istu udaljenost d_{SOR} kao stvarna točka te se dodatno prilagođava s Δ_{SOR} kako bi se dobila razina događaja na stvarnoj točki.

Napomena: formule (2.7.53.), (2.7.54.) i (2.7.55.) uklonjene su u posljednjoj izmjeni ovog Priloga.”

2.7.20. Razina zvučnog događaja L nekog kretanja zrakoplova općeg zrakoplovstva

Metoda opisana u odjeljku 2.7.19. primjenjiva je na zrakoplove općeg zrakoplovstva s elisnim motorom kada ih se tretira kao elisni zrakoplov s obzirom na utjecaje položaja motora.

U bazi podataka ANP sadržani su unosi za nekoliko zrakoplova općeg zrakoplovstva. Iako je često riječ o najčešćim zrakoplovima općeg zrakoplovstva, ponekad može imati smisla uključiti dodatne podatke.

Ako konkretni zrakoplovi općeg zrakoplovstva nisu poznati ili uvršteni u bazu podataka ANP, preporučuje se korištenje općenitih podataka zrakoplova GASEPF odnosno GASEPV. Ti skupovi podataka predstavljaju mali zrakoplov općeg zrakoplovstva s jednim motorom i elisom nepromjenjivog odnosno promjenjivog koraka. Tablice s unosima navedene su u Prilogu I. (tablice I-11 I-17)

2.7.21. Metoda za izračun buke helikoptera

Za izračun buke helikoptera može se upotrijebiti ista metoda izračuna kao i za zrakoplove s fiksnim krilima (opisana u odjeljku 2.7.14.) pod uvjetom da se helikopteri tretiraju kao elisni zrakoplovi, a da se pritom ne uzimaju u obzir utjecaji položaja motora povezani s mlaznim

zrakoplovom. Tablice s unosima za dva različita skupa podataka navedene su u Prilogu I. (tablice I-18 I-27).

2.7.22. Buka povezana s radnjama isprobavanja motora, taksiranjem i pomoćnim uređajima za napajanje

Ako se smatra potrebnim modelirati buku povezanu s isprobavanjem motora i pomoćnim uređajima za napajanje, to se modeliranje izvodi na temelju poglavlja o buci industrijskih pogona i postrojenja. Premda to uglavnom nije slučaj, buka isprobavanja motora zrakoplova na zračnim lukama može pridonijeti opterećenju bukom. Ta se isprobavanja obično provode za tehničke svrhe kako bi se provjerila funkcija motora, a pritom se zrakoplovi nalaze na sigurnoj udaljenosti od zgrada, drugih zrakoplova, i kretanja vozila i/ili osoba kako bi se izbjegla bilo kakva šteta povezana sa strujanjem u mlaznom motoru.

Iz dodatnih sigurnosnih razloga i razloga povezanih sa zaštitom od buke u zračnim se lukama, osobito u zračnim lukama s objektima za održavanje u kojima se često provode isprobavanja motora, mogu ugraditi kabine za zaštitu od buke, a to su zidovi za zaštitu od buke u U obliku posebno izrađeni za sprečavanje i odvođenje strujanja u mlaznom motoru i buke. Najbolji način za istraživanje emisija buke iz tih objekata, koje se mogu dodatno prigušiti i smanjiti dodatnim zemljanim nasipima ili velikim brojem protuzvučnih ograda, je taj da se kabina za zaštitu od buke uzme kao izvor buke industrijskih pogona i postrojenja pa da se primjeni odgovarajući model širenja buke i zvuka.

2.7.23. Izračun kumulativnih razina

U odjelicima od 2.7.14. do 2.7.19. opisan je izračun razine zvučnog događaja jednog kretanja zrakoplova na jednoj lokaciji promatrača. Ukupna izloženost buci na toj lokaciji izračunava se akumuliranjem razina događaja svih kretanja zrakoplova značajnih za buku, tj. svih kretanja, u dolasku ili odlasku, a koja utječe na kumulativnu razinu.

2.7.24. Vrednovane ekvivalentne razine zvuka

Vremenski vrednovane ekvivalentne razine zvuka, kojima se u obzir uzima sva primljena značajna zvučna energija zrakoplova, općenito se izražavaju formulom:

$$L_{eq,IF} = 10 \cdot \lg \left[\frac{t_0}{T_0} \cdot \sum_{i=1}^N g_i \cdot 10^{L_{E,i}/10} \right] + C \quad (2.7.56.)$$

Zbrajanje se izvodi preko svih događaja buke N tijekom vremenskog intervala T_0 na koji se primjenjuje indeks buke. $L_{E,i}$ je razina izloženosti jednokratnog zvučnog događaja i -og zvučnog događaja. g_i je faktor vrednovanja ovisan o dobu dana (obično definiran za dan, večer i noć). g_i je zapravo množitelj za broj letova u određenim razdobljima.

Konstanta C može imati različita značenja (konstanta normaliziranja, sezonska prilagodba itd.).

Primjenom odnosa

$$g_i = 10^{\Delta_i/10}$$

pri čemu je Δ_i vrednovanje u decibelima za i -to razdoblje, jednadžba se 2.7.56. može preformulirati na sljedeći način

$$L_{eq,W} = 10 \cdot \lg \left[\frac{t_0}{T_0} \sum_{i=1}^N 10^{(L_{eq,i} + \Delta_i)/10} \right] + C \quad (2.7.57.)$$

tj. vrednovanje za doba dana izraženo je aditivnim pomicanjem razine.

2.7.25. Vrednovani broj letova

Kumulativna razina buke procjenjuje se zbrajanjem doprinosova svih različitih tipova ili kategorija zrakoplova na različitim rutama leta koja čini scenarij zračne luke.

Radi opisa tog procesa zbrajanja uvode se dolje navedeni indeksi:

i indeks za tip ili kategoriju zrakoplova,

j indeks za putanju leta ili pomoćnu putanju (ako su pomoćne putanje definirane),

k indeks za segment putanje leta.

Mnogi indikatori za buku, posebno ekvivalentne razine zvuka, uključuju faktore vrednovanja za doba dana g_i u svojim definicijama (jednadžba 2.7.56. i 2.7.57.).

Proces zbrajanja može se pojednostaviti uvođenjem »vrednovanog broja letova«.

$$M_g = (g_{day} \cdot N_{g, day} + g_{evening} \cdot N_{g, evening} + g_{night} \cdot N_{g, night}) \quad (2.7.58.)$$

Vrijednosti N_{ij} predstavljaju broj letova za tip/kategoriju zrakoplova i na putanji (ili pomoćnoj putanji j za razdoblje dana, večeri odnosno noći^[24]) (Ovisno o definiciji primjenjenog indeksa buke vremenska se razdoblja mogu razlikovati od prethodna tri.).

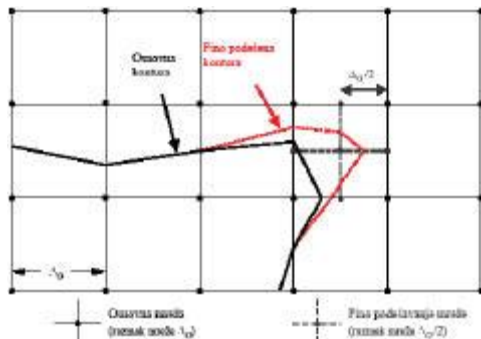
Na temelju jednadžbe (2.7.57.) (opća) kumulativna ekvivalentna razina zvuka L_{eq} na promatračkoj točki (x,y) jest

$$L_{eq,W}(x,y) = 10 \cdot \lg \left[\frac{t_0}{T_0} \cdot \sum_i \sum_j \sum_k M_g \cdot 10^{L_{eq,ijk}(x,y)/10} \right] + C \quad (2.7.59.)$$

To je referentno vremensko razdoblje. Ovisi – kao i faktori vrednovanja g_i o posebnoj definiciji korištenog vrednovanog indeksa (npr. L_{DEN}). $L_{E,ijk}$ je doprinos razine jednokratnog zvučnog događaja segmenta k putanje ili pomoćne putanje j za let zrakoplova kategorije i . Procjena za $L_{E,ijk}$ je detaljno opisana u odjeljcima od 2.7.14. do 2.7.19.

2.7.26. Izračun za standardnu mrežu i fino podešavanje

Kad se konture buke dobivaju interpolacijom između vrijednosti indeksa na pravokutno raspoređenim točkama mreže, njihova točnost ovisi o izboru razmaka mreže (veličina rubrike) Δ_G , posebno među čelijama kod kojih veliki nagib pri prostornoj raspodjeli indeksa stvara usku zakriviljenost konture (vidjet sliku 2.7.s). Smanjivanjem se razmaka unutar mreže mogu smanjiti interpolacijske pogreške, međutim time se povećava i broj točaka mreže, čime se produljuje vrijeme izračuna. Optimiziranje razmaka mreže uključuje pronalaženje ravnoteže između točnosti modeliranja i vremena izračuna.



Slika 2.7.s: Standardna mreža i fino podešavanje mreže

Značajan napredak u učinkovitosti izračuna s točnijim rezultatima ostvaruje se korištenjem neravnomjerne mreže radi finog podešavanja interpolacije u kritičnim čelijama. Tehnika prikazana na slici 2.7.s usmjerena je na lokalno sužavanje razmaka unutar mreže dok se većina mreže ne mijenja. To je vrlo jednostavno i postiže se sljedećim koracima:

1. utvrđivanje granične razlike finog podešavanja ΔL_R za indeks buke,
2. izračun osnovne mreže za razmak Δ_G ,
3. provjera razlike ΔL vrijednosti indeksa između dodirnih čvorova mreže,
4. ako postoji razlike $\Delta L > \Delta L_R$, utvrđivanje nove mreže s razmakom $\Delta_G/2$ i procjena razina za nove čvorove odvija se na sljedeći način:

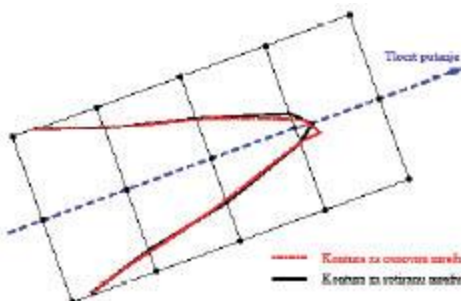
Ako $\begin{cases} \Delta L \leq \Delta L_R & \text{izrada novih vrijednosti} \\ \Delta L > \Delta L_R & \text{linearnom interpolacijom dodatnih vrijednosti} \end{cases}$
postupak izmora iz osnovnih slančnih podataka.

5. ponavljanje 1. do 4. koraka dok sve razlike budu manje od granične razlike,
6. procjena kontura linearom interpolacijom.

Ako se niz vrijednosti indeksa treba pridodati drugima (npr. pri izračunu vrednovanih indeksa zbrajanjem odvojenih kontura za dan, večer i noć), potrebno je voditi računa o tome kako bi se osiguralo da su odvojene mreže identične.

2.7.27. Korištenje rotiranih mreža

U mnogim praktičnim slučajevima kontura buke u stvarnosti prolazi simetrično oko tlocrta putanje. Međutim, ako smjer te putanje nije poravnat s izračunom mreže, to može imati za posljedicu asimetričan oblik konture.



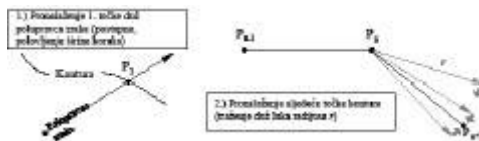
Slika 2.7.t: Korištenje rotirane mreže

Najjednostavniji način kako bi se izbjegao taj efekt jest suženje mreže, čime se međutim produljuje vrijeme izračuna. Elegantnije rješenje usmjereno je na rotiranje mreže za izračun

tako da njezin smjer bude paralelan s glavnim tlocrtima putanja (tj. obično paralelno s glavnom uzletno-sletnom stazom). Na slici 2.7.t prikazan je učinak te rotacije mreže na oblik konture.

2.7.28. Praćenje kontura

Vremenski vrlo učinkovit algoritam, kojim se u zamjenu za malo složeniji izračun može izostaviti izračun vrijednosti indeksa za cijelo polje mreže, radi tako da se kontura izračunava točku po točku. Tom se opcijom zahtijevaju dva osnovna koraka koja je potrebno izvršiti i ponoviti (vidjeti sliku 2.7.u):



Slika 2.7.u: Koncept algoritma za praćenje

U 1. koraku potrebno je na konturi naći točku P_1 . To se postiže izračunavanjem razina indeksa buke L u koracima s istim razmacima duž »polupravca zrake« od kojeg se očekuje da će se sjeći s potrebnom konturom razine L_c . Kad se kontura presiječe, razlika $\delta = L_c - L$ mijenja predznak. Potom se širina koraka polovi duž zrake, a traženje se odvija u obrnutom smjeru, sve dok δ ne postane manji nego prethodno utvrđeni prag točnosti.

U 2. koraku, koji se ponavlja dok kontura ne bude dovoljno definirana, potrebno je naći sljedeću točku na konturi L_c koja se nalazi na određenoj pravocrtnoj udaljenosti r od aktualne točke. U uzastopnim kutnim koracima razine indeksa i razlike δ izračunavaju se na krajevima vektora kojima se opisuje luk radijusa r . Odgovarajućim polovljenjem i obrnutim inkrementalnim povećanjem, ovaj put u smjeru vektora, sljedeća se točka konture određuje prethodno utvrđenom točnosti.



Slika 2.7.v: Geometrijski parametri radi definiranja uvjeta s obzirom na algoritam za praćenje. Nameće se nekoliko sporednih uvjeta kako bi se osiguralo da se kontura procijeni dovoljnim stupnjem točnosti (vidjeti **sliku 2.7.v**):

1. duljina tetine Δc (razmak između dvije točke konture) mora biti unutar intervala $[\Delta c_{\min}, \Delta c_{\max}]$, npr. [10 m, 200 m];
2. odnos duljina između dvije dodirne tetine Δc_n i Δc_{n+1} mora biti ograničen, npr. $0,5 < \Delta c_n / \Delta c_{n+1} < 2$.
3. s obzirom na dobru prilagodbu duljine tetine na zakrivljenost konture sljedeći uvjet mora biti ispunjen:

$$\phi_n \cdot \max(\Delta c_{n-1}, \Delta c_n) \leq \varepsilon \quad (\varepsilon \approx 15 \text{ m})$$

pri čemu je ϕ_n razlika smjerova tetine.

Iz iskustva s ovim algoritmom pokazalo se kako se u prosjeku moraju izračunati 2 do 3 vrijednosti indeksa radi određivanja točke konture s točnošću boljom od 0,01 dB.

Posebno pri potrebnom izračunu velikih kontura tim se algoritmom uvelike ubrzava vrijeme izračuna. Međutim, potrebno je napomenuti da se za njegovu provedbu zahtjeva iskustvo, posebno kad se kontura dijeli u odvojene otoke.

2.8. Dodjeljivanje razina buke i stanovništva zgradama

U procjeni izloženosti stanovnika buci razmatraju se samo stambene zgrade. Zgradama koje nisu stambene, kao što su škole, bolnice, poslovne zgrade i tvornice, ne dodjeljuju se stanovnici. Određivanje broja stanovnika u stambenim zgradama mora se temeljiti na najnovijim službenim podacima (ovisno o primjenjivim propisima svake države članice).

Budući da se pri izračunu buke zrakoplova koristi mreža razlučivosti 100×100 m, u konkretnom slučaju buke zrakoplova razina buke bit će izvedena iz razine buke na najbliže točki u tom koordinatnom sustavu.

Određivanje broja stanovnika u zgradi

Broj stanovnika stambene zgrade važan je posredni parametar za procjenu izloženosti buci. Nažalost, podaci za taj parametar nisu uvijek dostupni. U nastavku je navedeno kako se ovaj parametar može izvesti iz dostupnijih podataka.

Simboli koji se za to koriste su:

BA = površina tla koju zgrada zauzima

DFS = kvadratura stambenih prostora

$DUFs$ = kvadratura stana

H = visina zgrade

FSI = kvadratura stambenog prostora po stanovniku

Inh = broj stanovnika

NF = broj katova

V = volumen stambenih zgrada

Za izračun broja stanovnika koristi se postupak za slučaj 1 ili postupak za slučaj 2, ovisno o dostupnosti podataka.

SLUČAJ 1: dostupni su podaci o broju stanovnika

1A: Broj stanovnika je poznat ili je procijenjen na temelju broja stanova. U tom slučaju broj stanovnika zgrade je zbroj broja stanovnika svih stanova u zgradici.

$$Inh_{building} = \sum_{i=1}^n Inh_{dwelling_{unit}}$$

(2.8.1.)

1B: Broj stanovnika je poznat samo za područja veća od zgrade, primjerice strane gradskih blokova, gradske blokove, četvrti ili cijelu općinu. U tom slučaju broj stanovnika zgrade procjenjuje se na temelju volumena zgrade:

$$Inh_{building} = \frac{V_{building}}{V_{total}} \times Inh_{total}$$

(2.8.2.)

Indeks »total« ovdje se odnosi na predmetno područje. Volumen zgrade izračunava se množenjem površine tla koju zgrada zauzima i njezine visine:

$$V_{building} = BA_{building} \times H_{building}$$

(2.8.3.)

Ako visina zgrade nije poznata, procjenjuje se prema broju katova $NF_{building}$, uz pretpostavku prosječne visine od 3 metra za svaki kat:

$$H_{building} = NF_{building} \times 3 \text{ m}$$

(2.8.4)

Ako ni broj katova nije poznat, koristi se prethodno određena vrijednost za broj katova koja odgovara projektu za taj dio grada.

Ukupni volumen stambenih zgrada u razmatranom području V_{total} izračunava se zbrajanjem volumena svih stambenih zgrada u tom području.

$$V_{total} = \sum_{i=1}^n V_{building}$$

(2.8.5.)

SLUČAJ 2: nisu dostupni podaci o broju stanovnika

U tom slučaju broj stanovnika procjenjuje se na temelju prosječne kvadrature stambenog prostora po stanovniku FSI. Ako taj parametar nije poznat, koristi se prosjek kvadrature stambenog prostora po stanovniku za predmetnu državu.

2A: Kvadratura stambenog prostora je poznata i dobivena je na temelju kvadrature stanova.

U tom slučaju broj stanovnika svakog stana procjenjuje se na sljedeći način:

$$Inh_{dwelling_{unit}} = \frac{DUFS_i}{FSI}$$

(2.8.6.)

Broj stanovnika zgrade može se procijeniti kao u SLUČAJU 1A gore.

2B: Kvadratura stambenog prostora je poznata za cijelu zgradu, tj. kao zbroj kvadrature svakog stana u zgradici.

U tom slučaju broj stanovnika procjenjuje se na sljedeći način:

$$Inh_{building} = \frac{DFS_{building}}{FSI}$$

(2.8.7.)

2C: Kvadratura stambenog prostora je poznata samo za područja veća od zgrade, primjerice gradske blokove, kvartove ili cijelu općinu.

U tom slučaju broj stanovnika zgrade procjenjuje se na temelju volumena zgrade kako je episano u SLUČAJU 1B gore, a ukupni broj stanovnika procjenjuje se kako slijedi:

$$Inh_{total} = \frac{DFS_{total}}{FSI}$$

(2.8.8.)

~~2D: Kvadratura stambenog prostora nije poznata. U tom slučaju broj stanovnika zgrade procjenjuje se kako je opisano u SLUČAJU 2B gore, a kvadratura stambenog prostora procjenjuje se kako slijedi:~~

$$DFS_{building} = BA_{building} \times 0.8 \times NF_{building}$$

(2.8.9.)

~~Faktor 0.8 je konverzijski faktor za pretvaranje ukupne površine koju zgrada zauzima u kvadraturu stambenog prostora. Ako je za određeno područje reprezentativan neki drugi faktor, onda se on i koristi i to se mora jasno dokumentirati.~~

~~Ako broj katova zgrade nije poznat, on se procjenjuje na temelju visine zgrade, H_{zgrade} , a rezultat je obično broj katova izražen brojem koji nije cijeli broj:~~

$$NF_{building} = \frac{H_{building}}{3m}$$

(2.8.10)

~~Ako nije poznata visina zgrade ni broj katova, koristi se prethodno određena vrijednost za broj katova koja odgovara prosjeku za taj dio grada.~~

Definiranje točaka prijemnika na fasadama zgrade

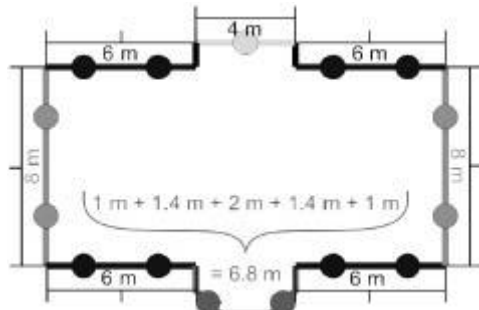
~~Procjena izloženosti stanovništva buci temelji se na razinama izmјerenima na točkama prijemnika na visini od 4 m iznad tla ispred fasada stambenih zgrada.~~

~~Za izračun broja stanovnika koristi se postupak za slučaj 1 ili postupak za slučaj 2 za zemaljske izvore buke. Za buku zrakoplova koja je izračunata prema 2.6., računa se da je ukupno stanovništvo zgrade izloženo buci s najbliže točke u mreži za koju je vrijednost buke izračunata.~~

SLUČAJ 1

Slika a

~~Primjer lokacije prijemnika oko zgrade prema proceduri za SLUČAJ 1.~~



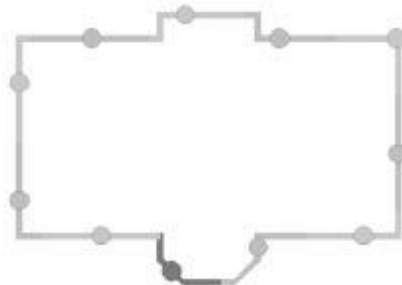
- a) Segmenti dulji od 5 m razdvajaju se u što dulje segmente podjednake duljine, ali ne dulje od 5 m. Točke prijemnika lociraju se na sredini svakog jednakog dijela.
- b) Ostali segmenti koji su dulji od 2,5 m predstavljeni su jednom točkom prijemnika na sredini svakog segmenta.

- c) Preostali susjedni segmenti ukupne duljine veće od 5 m smatraju se polilinijskim objektima slično kao a) i b).
- d) Broj stanovnika koji se pripisuje točki prijema vrednuje se prema dužini predmetne fasade tako da zbroj svih točaka prijemnika predstavlja ukupan broj stanovnika.
- e) Jedino u slučaju zgrade iz čije se površine kata može pretpostaviti da imaju samo jedan stan na svakom katu, za statistiku se izravno koristi razina buke s najizloženije fasade, te se pripisuje broju stanovnika zgrade.

SLUČAJ 2

Slika b

Primjer lokacije prijemnika oko zgrade prema proceduri za SLUČAJ 2.



- a) Pročelja se razmatraju odvojeno ili ih se razdvaja u dijelove duljine od 5 m, a točka prijemnika nalazi se na sredini fasade ili petometarskog segmenta.
- b) Na sredinu preostalog dijela također se postavlja točka prijemnika.
- c) Broj stanovnika koji se pripisuje točki prijema vrednuje se prema duljini predmetne fasade tako da zbroj svih točaka prijemnika predstavlja ukupan broj stanovnika.
- d) Jedino u slučaju zgrade iz čije se površine kata može pretpostaviti da imaju samo jedan stan na svakom katu, za statistiku se izravno koristi razina buke s najizloženije fasade, te se pripisuje broju stanovnika zgrade.

3. Ulazni podaci

Ulagani podaci koji se trebaju koristiti pri primjeni prethodno navedenih metoda izneseni su u Dodacima F do I.

U slučajevima kad ulazni podaci iz Dodataka F do I nisu primjenjivi ili uzrokuju odstupanja od realnih vrijednosti koja ne zadovoljavaju uvjete iz 2.1.2. i 2.6.2., mogu se koristiti druge vrijednosti, pod uvjetom da su adekvatno dokumentirane te da je adekvatno dokumentirana metodologija koja je korištena za njihovo dobivanje, uključujući dokaz da su prikladni. Te informacije moraju biti dostupne javnosti.

4. Mjerne metode

U slučajevima kada se, iz bilo kojeg razloga, vrše mjerjenja, ona moraju biti u skladu s načelima za dugotrajna mjerjenja prosjeka specificiranim u ISO 1996-1:2003 i ISO 1996-2:2007 ili, za buku zrakoplova, ISO 20906:2009.

,,2.8. Izloženost buci

Utvrdjivanje područja izloženog buci

Procjena područja izloženog buci temelji se na točkama ocjene buke na $4 \text{ m} \pm 0,2$ iznad tla, što odgovara točkama prijemnika definiranim u odjelicima 2.5., 2.6. i 2.7., koje su izračunane na mreži za pojedine izvore.

Točkama mreže koje se nalaze unutar zgrada dodjeljuje se rezultat razine buke tako da se dodijele najtiše obližnje točke prijemnika buke izvan zgrada, osim za buku zrakoplova za koju se u izračunu ne uzima u obzir prisutnost zgrada i u čijem se slučaju izravno primjenjuje točka prijemnika buke koja se nalazi u zgradi.

Ovisno o razlučivosti mreže, odgovarajuće područje dodjeljuje se svakoj točki izračuna u mreži. Na primjer, za mrežu veličine $10 \text{ m} \times 10 \text{ m}$ svaka točka procjene predstavlja područje od 100 kvadratnih metara koje je izloženo izračunanoj razini buke.

Dodjeljivanje točaka procjene buke zgradama bez stanova

Procjena mjere u kojoj su zgrade bez stanova, primjerice škole i bolnice, izložene buci temelji se na točkama procjene buke na $4 \pm 0,2$ m iznad tla, što odgovara točkama prijemnika definiranim u odjeljcima 2.5., 2.6. i 2.7.

U procjeni zgrada bez stanova koje su izložene buci zrakoplova svaka se zgrada povezuje s najbučnjom točkom prijemnika buke koja se nalazi u toj zgradi ili, ako takva točka ne postoji, u mreži koja okružuje zgradu.

U procjeni zgrada bez stanova koje su izložene zemaljskim izvorima buke točke prijemnika smještene su na otprilike 0,1 m ispred fasada zgrada. Refleksije od promatrane fasade isključuju se iz izračuna. Zgrada se zatim povezuje s najbučnjom točkom prijemnika na svojim fasadama.

Utvrđivanje izloženosti stanova i stanara buci

U procjeni izloženosti stanova i stanara buci razmatraju se samo stambene zgrade. Zgradama koje nisu stambene, kao što su zgrade koje služe isključivo kao škole, bolnice, poslovne zgrade ili tvornice, ne dodjeljuju se stanovi ni stanari. Dodjeljivanje stanova i stanara stambenim zgradama mora se temeljiti na najnovijim službenim podacima (ovisno o primjenjivim propisima svake države članice).

Broj stanova i stanara u stambenim zgradama važan je posredni parametar za procjenu izloženosti buci. Nažalost, podaci za te parametre nisu uvijek dostupni. U nastavku je navedeno kako se ti parametri mogu izvesti iz dostupnijih podataka.

Za to se upotrebljavaju sljedeći simboli:

BA = površina tla koju zgrada zauzima

DFS = kvadratura stambenog prostora

DUFS = kvadratura stana

H = visina zgrade

FSI = kvadratura stambenog prostora po stanaru

Dw = broj stanova

Inh = broj stanara

NF = broj katova

V = volumen stambenih zgrada

Za izračun broja stanova i stanara upotrebljava se postupak za slučaj 1. ili postupak za slučaj 2., ovisno o dostupnosti podataka.

Slučaj 1.: dostupni su podaci o broju stanova i stanara

1.A:

Broj stanara poznat je ili je procijenjen na temelju broja stanova. U tom je slučaju broj stanara zgrade zbroj broja stanara u svim stanovima u zgradi:

$$Inh_{building} = \sum_{i=1}^n Inh_{dwelling,unit_i} \quad (2.8.1.)$$

1.B:

Broj stanova ili stanara poznat je samo za područja veća od zgrade, primjerice statistička područja, gradske blokove, četvrti ili čak cijelu općinu. U tom se slučaju broj stanova i stanara zgrade procjenjuje na temelju volumena zgrade:

$$Dw_{building} = \frac{V_{building}}{V_{total}} \times Dw_{total} \quad (2.8.2.a)$$

$$Inh_{building} = \frac{V_{building}}{V_{total}} \times Inh_{total} \quad (2.8.2.b)$$

Indeks „total” tu se odnosi na predmetno područje. Volumen zgrade izračunava se množenjem površine tla koju zgrada zauzima i njezine visine:

$$V_{building} = BA_{building} \times H_{building} \quad (2.8.3.)$$

Ako visina zgrade nije poznata, procjenjuje se prema broju katova $NF_{building}$, uz pretpostavku prosječne visine od 3 m za svaki kat:

$$H_{building} = NF_{building} \times 3m \quad (2.8.4.)$$

Ako ni broj katova nije poznat, upotrebljava se prethodno određena vrijednost za broj katova koja je reprezentativna za taj dio grada. Ukupni volumen stambenih zgrada na promatranom području V_{total} izračunava se zbrajanjem volumena svih stambenih zgrada na tom području:

(2.8.5.)

$$V_{total} = \sum_{i=1}^n V_{building_i} \quad (2.8.5.)$$

Slučaj 2.: nisu dostupni podaci o broju stanara

U tom se slučaju broj stanara procjenjuje na temelju prosječne kvadrature stambenog prostora po stanaru, FSI. Ako taj parametar nije poznat, upotrebljava se njegova prethodno odredena vrijednost.

2.A:

Kvadratura stambenog prostora poznata je i dobivena na temelju kvadrature stanova.

U tom se slučaju broj stanara u svakom stanu procjenjuje kako slijedi:

$$Inh_{dwelling_{unit_i}} = \frac{DUFS_i}{FSI} \quad (2.8.6.)$$

Ukupan broj stanara zgrade može se procijeniti kao u slučaju 1.A.

2.B:

Kvadratura stambenog prostora poznata je za cijelu zgradu, tj. zbroj kvadratura stambenog prostora svih stanova u zgradama.

U tom slučaju broj stanara procjenjuje se kako slijedi:

$$Inh_{building} = \frac{DFS_{building}}{FSI} \quad (2.8.7.)$$

2.C:

Kvadratura stambenog prostora poznata je samo za područja veća od zgrade, primjerice statistička područja, gradske blokove, kvartove ili čak cijelu općinu.



Thorium A+

Izvrsni inženjeri koriste izvrstan alat!

ThoriumSoftware d.o.o.

Mobile: +385 (0) 95 8 70 50 70
Kontakt: Dario Ilija Rendulić
Email:
info@thoriumsoftware.eu;
direndulic@gmail.com

U tom se slučaju broj stanara zgrade procjenjuje na temelju volumena zgrade kako je opisano u slučaju 1.B, a ukupan broj stanara procjenjuje se kako slijedi:

$$Inh_{total} = \frac{DFS_{total}}{FSI} \quad (2.8.8.)$$

2.D:

Kvadratura stambenog prostora nije poznata.

U tom se slučaju broj stanara zgrade procjenjuje kako je opisano u slučaju 2.B, a kvadratura stambenog prostora procjenjuje se kako slijedi:

(2.8.9.)

$$DFS_{building} = BA_{building} \times 0.8 \times NF_{building} \quad (2.8.9.)$$

Faktor 0,8 konverzijski je faktor za pretvaranje bruto površine zgrade u kvadraturu stambenog prostora. Ako je za određeno područje reprezentativan neki drugi faktor, onda se on i upotrebljava i to se mora jasno dokumentirati. Ako broj katova zgrade nije poznat, on se procjenjuje na temelju visine zgrade, $H_{building}$, a rezultat je obično broj katova izražen brojem koji nije cijeli broj:

$$NF_{building} = \frac{H_{building}}{3m} \quad (2.8.10.)$$

Ako nije poznata visina zgrade ni broj katova, upotrebljava se prethodno određena vrijednost za broj katova koja je reprezentativna za taj dio grada.

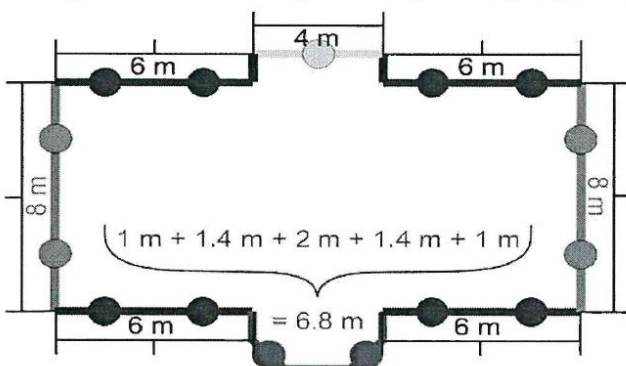
Dodjeljivanje točaka procjene buke stanovima i stanarima

Procjena izloženosti stanova i stanara buci temelji se na točkama procjene buke na $4 \pm 0,2$ m iznad tla, što odgovara točkama prijemnika definiranim u odjeljcima 2.5., 2.6. i 2.7.

U izračunu broja stanova i stanara koji su izloženi buci zrakoplova, svi se stanovi i stanari u zgradama povezuju s najbučnjom točkom prijemnika buke koja se nalazi u toj zgradi ili, ako takva točka ne postoji, u mreži koja okružuje zgradu.

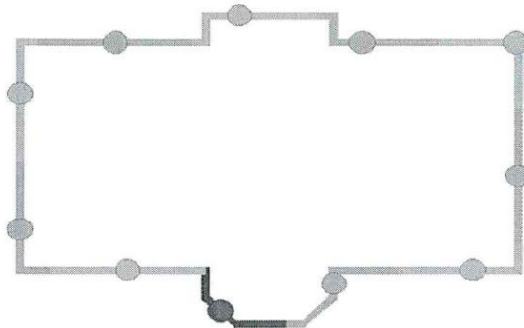
U izračunu broja stanova i stanara koji su izloženi zemaljskim izvorima buke, točke prijemnika smještene su na otprilike 0,1 m ispred fasada stambenih zgrada. Refleksije od promatrane fasade isključuju se iz izračuna. Za lociranje točaka prijemnika upotrebljava se postupak za slučaj 1. ili postupak za slučaj 2.

Slučaj 1.: fasade razdvojene u segmente podjednake duljine na svakoj fasadi



- (a) Segmenti dulji od 5 m razdvajaju se u što dulje segmente podjednake duljine, ali ne dulje od 5 m. Točke prijemnika postavljaju se na sredini svakog jednakog dijela.
- (b) Ostali segmenti dulji od 2,5 m predstavljeni su jednom točkom prijemnika na sredini svakog segmenta.
- (c) Preostali susjedni segmenti ukupne duljine veće od 5 m smatraju se polilinijskim objektima slično kao u (a) i (b).

Slučaj 2.: fasade razdvojene prema određenoj udaljenosti od početka poligona



- (a) Fasade se razmatraju odvojeno ili ih se razdvaja u dijelove duljine 5 m, a točka prijemnika nalazi se na sredini fasade ili petometarskog segmenta.
- (b) Na sredinu preostalog dijela također se postavlja točka prijemnika.

Dodjeljivanje stanova i stanara točkama prijemnika

Ako su dostupne informacije o položaju stanova na tlocrtu zgrade, svaki se stan i njegovi stanari dodjeljuju točki prijemnika na najizloženijoj fasadi predmetnog stana. Na primjer, to je slučaj kod samostojećih kuća, dvojnih kuća, kuća u nizu ili stambenih zgrada kod kojih je poznata unutarnja podjela zgrade ili kod zgrada na temelju čije se površine kata može prepostaviti da imaju samo jedan stan na svakom katu ili zgrada na temelju čije se površine kata i visine može prepostaviti da u zgradi postoji samo jedan stan.

Ako nisu dostupne informacije o položaju stanova na tlocrtu zgrade, kako je prethodno objašnjeno, za svaku se zgradu, ovisno o slučaju, primjenjuje jedna od dviju sljedećih metoda za procjenu mjere u kojoj su stanovi i stanari u toj zgradi izloženi buci.

- a) Dostupne informacije upućuju na to da su stanovi u stambenoj zgradi smješteni tako da im je samo jedna fasada izložena buci.

U tom slučaju pripisivanje broja stanova i stanara točkama prijemnika vrednuje se prema duljini predmetne fasade u skladu s postupkom iz slučaja 1. ili slučaja 2. tako da zbroj svih točaka prijemnika predstavlja ukupan broj stanova i stanara koji su dodijeljeni zgradi.

- b) Dostupne informacije upućuju na to da su stanovi u stambenoj zgradi smješteni tako da im je više fasada izloženo buci ili informacije o broju fasada stanova koje su izložene buci nisu dostupne.

U tom se slučaju za svaku zgradu skup povezanih lokacija prijemnika dijeli na donju i gornju polovinu na temelju srednje (*) vrijednosti izračunanih razina procjene za svaku zgradu. U slučaju neparnog broja točaka prijemnika primjenjuje se postupak u kojem se isključuje lokacija prijemnika s najnižom razinom buke.

Za svaku točku prijemnika u gornjoj polovini skupa podataka broj stanova i stanara ravnomjerno se dijeli tako da zbroj svih točaka prijemnika u gornjoj polovini skupa podataka predstavlja ukupan broj stanova i stanara. Prijemnicima u donjoj polovini skupa podataka ne dodjeljuju se stanovi ni stanari (*).

(*) Srednja vrijednost vrijednost je kojom se razdvajaju gornja (50 %) i donja polovina (50 %) skupa podataka."

(**) Donja polovina skupa podataka može se izjednačiti s prisutnošću relativno mirnih fasada. Buku za donju polovinu nije potrebno izračunavati ako je unaprijed poznato, npr. na temelju lokacije zgrada u odnosu na dominantne izvore buke, koje su lokacije prijemnika izložene najvišim/najnižim razinama buke.";

Dodatak A

ZAHTJEVI U POGLEDU PODATAKA

U odjeljku 2.7.6. glavnog teksta opisuju se općenito zahtjevi za posebne podatke za svaki pojedinačni slučaj kojima se opisuju zračna luka i njezine operacije i koji su potrebni za izračun kontura buke. Sljedeće su tablice ispunjene primjerima podataka za hipotetsku zračnu luku. Konkretni formati podataka općenito će ovisiti o zahtjevima i potrebama posebnog sustava modeliranja buke i o scenariju studije.

Napomena: Preporučuje se da se geografske informacije (referentne točke itd.) navode u kartezijanskim koordinatama. Izbor određenog koordinatnog sustava obično ovisi o raspoloživim zemljopisnim kartama.

A1 Opći podaci o zračnoj luci

Oznaka aerodroma	hipotetska zračna luka	
Koordinatni sustav	UTM, zona 15, datum WGS-84	
Referentna točka aerodroma (ARP)	3 600 000 m E	6 300 000 m N
središnja točka uzletno-sletne staze 09L-27R		
Nadmorska visina ARP-a	120 m /	
Prosječna temperatura zraka na ARP-u*	12,0 °C	
Prosječna relativna vlažnost zraka na ARP-u*	60 %	
Prosječna brzina i smjer vjetra*	5 čvorova (kt)	270 stupnjeva
Izvor topografskih podataka	nepoznato	

* Ponoviti za svaki vremenski interval koji nas zanima (doba dana, godišnje doba itd.).

A2 Opis uzletno-sletne staze

Oznaka uzletno-sletne staze	09L	
Početak uzletno-sletne staze	3 599 000 m E	6 302 000 m N

Kraj uzletno-sletne staze	3 603 000 m E	6 302 000 m N
Početak kretanja na tlu	3 599 000 m E	6 302 000 m N
Prag sletne staze	3 599 700 m E	6 302 000 m N
Nadmorska visina početka uzletno-sletne staze	110 m	
Srednji nagib uzletno-sletne staze	0,001	

Za pomaknute pragove, opis uzletno-sletne staze može se ponoviti ili se pomaknuti pragovi mogu opisati u okviru opisa tlocrta putanje.

A3 Opis tlocrta putanje

U nedostatku radarskih podataka potrebne su sljedeće informacije za opisivanje pojedinačnih tlocrta putanje.

Br. putanje	001
Oznaka putanje	Dep 01 – 09L
Od uzletno-sletne staze	09L
Vrsta putanje	odlet (Dep.)
Pomak od početka kretanja na tlu	0 m
Broj pomoćnih putanja:	7

Opis glavne putanje

Br. segmenta	Pravocrtno [m]	Luk krivulje			Standardna devijacija za lateralnu raspršenost na kraju segmenta [m]
		L/D	Promjena smjera leta [°]	Polumjer [m]	
1	10 000				2000
3		D	90,00	3000	2500
4	20 000				3000

Br. putanje	002
Oznaka putanje	App 01 – 09L – Disp 300



ThoriumSoftware d.o.o.

Mobile: +385 (0) 95 8 70 50 70
 Kontakt: Dario Ilija Rendulić
 Email:
 info@thoriumsoftware.eu;
 direndulic@gmail.com

Od uzletno-sletne staze		09L			
Vrsta putanje		prilaz (App.)			
Pomak od praga sletne staze		300 m			
Broj pomoćnih putanja:		1			
Opis glavne putanje					
Br. segmenta	Pravocrtno [m]	Luk krivulje			Standardna devijacija za lateralnu raspršenost na kraju segmenta [m]
		L/D	Promjena smjera leta [°]	Polumjer [m]	
1	30 000				0
Podaci o prilaznoj putanji					
Kut poniranja za prilazne putanje		2,7°			
Visina leta pri presretanju ravni poniranja		4000 ft			

A4 Opis zračnog prometa

Referentno razdoblje		366 d	= 8748 h
		(od 1. 1. 2014. do 31. 12. 2014.)	
Doba dana – razdoblje I.		od 7 do 19 sati	
Doba dana – razdoblje II.		od 19 do 23 sata	
Doba dana – razdoblje III.		od 23 do 7 sati	

OBRAZAC S PODACIMA O ZRAČNOM PROMETU – KRETANJA PO PUTANJAMA			
Br. tlocrta putanje		001	
Oznaka putanje		Dep 01 – 09L	
Oznaka zrakoplova		Kretanja tijekom vremenskog razdoblja	
		I.	II.
		III.	

A/C 1, Dep. 1.	20 000	4000	1000
A/C 2, Dep. 4.	10 000	5000	500
A/C 4, Dep. 3.	2000	300	0
<hr/>			
Br. tlocrta putanje	002		
Oznaka putanje	Dep 01 – 09L – Disp 300		
Oznaka zrakoplova	Kretanja tijekom vremenskog razdoblja		
	I.	II.	III.
A/C 1, App.1	18 000	2000	5000
A/C 2, App.1	10 000	3000	2500
A/C 4, App.1	1300	0	1000

A5 Obrazac s podacima o letnoj proceduri

Primjer za Boeing 727-200 u skladu s Poglavljem 3., dobiven iz radarskih podataka koristeći upute navedene u odjeljku 2.7.9. glavnog teksta.

Oznaka zrakoplova	B727C3
NPD identifikator iz baze podataka ANP	JT8E5
Broj motora	3
Način rada	odlazak
Stvarna masa zrakoplova [t]	71,5
Čeoni vjetar [m/s]	5
Temperatura [°C]	20
Nadmorska visina zračne luke [m]	83
<hr/>	

Segment	Udaljenost od RP ¹	Visina	Brzina po horizontali	Vrijednost snage motora ²
br.	[m]	[m]	[m/s]	
1	0	0	0	14 568
2	2500	0	83	13 335
3	3000	117	88	13 120
4	4000	279	90	13 134
5	4500	356	90	13 147
6	5000	431	90	13 076
7	6000	543	90	13 021
8	7000	632	93	12 454
9	8000	715	95	10 837
10	10 000	866	97	10 405
11	12 000	990	102	10 460
12	14 000	1122	111	10 485
13	16 000	1272	119	10 637
14	18 000	1425	125	10 877
15	20 000	1581	130	10 870
16	25 000	1946	134	10 842
17	30 000	2242	142	10 763

¹ Referentna točka RP je početak kretanja za odlet i praga sletne staze za prilaz.

² Jedinice odgovaraju jedinicama u bazi podataka ANP.

Primjer proceduralnog profila na temelju podataka o karakteristikama zrakoplova pohranjenih u bazi podataka ANP:

Oznaka zrakoplova iz baze podataka ANP	B727C3
--	--------

NPD identifikator iz baze podataka ANP	JT8E5
Broj motora	3
Način rada	odlazak
Stvarna masa zrakoplova [t]	71,5
Čeoni vjetar [m/s]	5
Temperatura [C]	15
Nadmorska visina zračne luke [m]	100

Segment	Način rada	Cilj	Zakrilca	Vrijednost snage motora
br.				
1	uzljetanje		5	uzljetanje
2	početno penjanje	visina 1 500 ft	5	uzljetanje
3	uvlačenje zakrilaca	210 kts IAS ROC 750 ft/min	0	maks. penjanje
4	ubrzavanje	250 kts IAS ROC 1500 ft/min	0	maks. penjanje
5	penjanje	10 000 ft	0	maks. penjanje

Dodatak B

IZRAČUNI PERFORMANSI LETA

Termini i simboli

Termini i simboli koji se upotrebljavaju u ovom dodatku usklađeni su s onima koje obično upotrebljavaju zrakoplovni inženjeri. Neki su osnovni termini ukratko objašnjeni u nastavku za korisnike koji nisu upoznati s njima. Kako bi se smanjilo neslaganje s glavnim dijelom metode, simboli su uglavnom definirani zasebno u ovom dodatku. Količinama koje su navedene u glavnom dijelu metode dodijeljeni su uobičajeni simboli; oni simboli koji se u ovom dodatku upotrebljavaju drukčije označeni su zvjezdicom (*). U određenoj se mjeri

jedinice koje se upotrebljavaju u SAD-u i SI jedinice stavljuju jedne uz druge kako bi se očuvale konvencije s kojima su upoznati korisnici iz različitih disciplina.

Termini

Prijelomna točka	Vidjeti pod »suha snaga«.
Kalibrirana brzina leta	(Inače se naziva ekvivalentna ili indicirana brzina leta.) Brzina zrakoplova u odnosu na zrak koju pokazuje kalibrirani instrument u zrakoplovu. Stvarna brzina leta, koja je obično veća, može se izračunati iz kalibrirane brzine leta uz poznavanje gustoće zraka.
Korigirani neto potisak	Neto potisak je potisna sila koju motor prenosi na zmaj zrakoplova. Pri zadanom režimu rada motora (EPR ili N_1) neto potisak pada s gustoćom zraka pri porastu visine; korigirani neto potisak je potisak na razini mora.
Suha snaga	Za specifične maksimalne temperature sastavnih dijelova, potisak motora pada s porastom temperature okolnog zraka i obratno. To znači da postoji kritična temperatura zraka iznad koje se <i>izračunani potisak motora</i> ne može postići. Kod većine suvremenih motora to se naziva »temperatura suhe snage« jer se na nižim temperaturama zraka potisak automatski ograničava na izračunani potisak motora kako bi se produžio životni vijek motora. Potisak ionako pada pri temperaturama iznad temperature suhe snage, što se često naziva <i>prijelomnom točkom</i> ili <i>prijelomnom temperaturom</i> .
Brzina	Magnituda vektora brzine zrakoplova (u odnosu na koordinatni sustav aerodroma).
Izračunani potisak motora	Životni vijek motora zrakoplova uvelike ovisi o radnim temperaturama njegovih sastavnih dijelova. Što je veća generirana snaga ili potisak, više su temperature i kraći životni vijek. Kako bi se postigla ravnoteža između zahtjeva u vezi s performansama i onih u vezi sa životnim vijekom, motorima na kojima je ograničena snaga dodijeljene su <i>količine snage motora</i> za uzlijetanje, penjanje i krstarenje koje određuju uobičajene maksimalne vrijednosti režima rada motora.
Parametar podešavanja potiska	Pilot ne može odabrati određeni potisak motora; umjesto toga on/ona odabire odgovarajuću vrijednost tog parametra koja se prikazuje u pilotskoj kabini. Obično se radi o omjeru tlaka motora (EPR) ili o brzini vrtnje niskotlačnog rotora (ili ventilatora) (N_1).

Simboli

Količine su bezdimenzionalne ako nije drugačije navedeno. Simboli i kratice koji nisu navedeni u nastavku upotrebljavaju se samo lokalno i definirani su u tekstu. Supskripti 1 i 2 označavaju uvjete na početku i na kraju segmenta. Crte iznad teksta označavaju srednje vrijednosti, tj. prosjek početnih i krajnjih vrijednosti.

a prosječno ubrzanje (ft/s^2)

a_{max}	najveće raspoloživo ubrzanje (ft/s^2)
A, B, C, D	koeficijenti zakrilaca
$E, F, G_{A,B}, H$	koeficijenti potiska motora
F_n	neto potisak po motoru (lbf)
F_n/δ	korigirani neto potisak po motoru (lbf)
G	gradijent penjanja
G'	gradijent penjanja kod otkaza jednog motora
G_R	srednji nagib uzletno-sletne staze, pozitivan uzbrdo
g	gravitacijsko ubrzanje (ft/s^2)
ISA	međunarodna standardna atmosfera (International Standard Atmosphere)
N^*	broj motora koji daju potisak
R	omjer između otpora i uzgona C_D/C_L
ROC	stopa uspona po segmentu (ft/min)
s	prijeđena udaljenost u odnosu na tlo duž tlocrta putanje (ft)
s_{TO8}	duljina zaleta pri čeonom vjetru od 8 čvorova (ft)
s_{TOG}	korigirana duljina zaleta uzimajući u obzir w i G_R (ft)
s_{Tow}	duljina zaleta pri čeonom vjetru w (ft)
T	temperatura zraka ($^\circ\text{C}$)
T_B	prijelomna temperatura ($^\circ\text{C}$)
V	brzina na horizontali u čvorovima (kt)
V_c	kalibrirana brzina kroz zrak u čvorovima (kt)
V_T	stvarna brzina leta u čvorovima (kt)
W	masa aviona (lb)
w	brzina čeonog vjetra u čvorovima (kt)

Δs	duljina segmenta bez vjetra projicirana na tlocrt putanje (ft)
Δs_w	projekcija duljine segmenta na tlu korigirana za čeoni vjetar (ft)
δ	p/p_0 , omjer između tlaka zraka u okolišu aviona i standardnog tlaka zraka na srednjoj razini mora: $p_0 = 101,325 \text{ kPa}$ (ili $1013,25 \text{ mb}$)
ϵ	bočni nagib u radijanima
γ	kut penjanja/snižavanja u radijanima
θ	$(T + 273,15)/(T_0 + 273,15)$ omjer između temperature zraka na visini i standardne temperature zraka na srednjoj razini mora: $T_0 = 15,0 \text{ }^{\circ}\text{C}$
σ^*	$\rho/\rho_0 = \text{omjer između gustoće zraka na visini i vrijednosti na srednjoj razini mora}$ (također, $\sigma = \delta/\theta$)

B1 Uvod

Sinteza putanje leta

U ovom se dodatku preporučuju postupci za izračun profila leta aviona na temelju navedenih aerodinamičkih parametara i parametara pogonske grupe, težine zrakoplova, atmosferskih uvjeta, tlocrta putanje i operativnog postupka (konfiguracije leta, režima rada motora, progresivne brzine, vertikalne brzine itd.). Operativni postupak opisan je nizom *proceduralnih koraka* kojima se propisuju načini leta za određeni profil.

Profil leta, za uzljetanje ili za prilaženje, prikazan je nizom pravocrtnih segmenata čiji se krajevi nazivaju *točkama profila*. Profil se izračunava pomoću aerodinamičkih jednadžbi i jednadžbi potiska koje sadržavaju brojne koeficijente i konstante koje moraju biti na raspolaganju za posebne kombinacije zmaja zrakoplova i motora. Taj postupak izračuna opisan je u tekstu kao postupak *sinteze* putanje leta.

Osim parametara performansi zrakoplova, koji se mogu pronaći u bazi podataka ANP, te jednadžbe zahtijevaju da se posebno navede: 1. bruto težina aviona, 2. broj motora, 3. temperatura zraka, 4. nadmorska visina uzletno-sletne staze i 5. proceduralni koraci (izraženi u smislu režima rada motora, otklona zakrilaca, brzine leta i, tijekom ubrzavanja, prosječne brzine vertikalnog penjanja/snižavanja) za svaki segment tijekom uzljetanja i prilaženja.

Svaki segment zatim se razvrstava kao kretanje na tlu, uzljetanje ili slijetanje, penjanje konstantnom brzinom, smanjivanje snage, penjanje s ubrzavanjem sa ili bez uvlačenja zakrilaca, snižavanje sa ili bez usporavanja i/ili upotrebe zakrilaca ili završni prilaz prilikom slijetanja. Profil leta sastavlja se korak po korak, pri čemu su početni parametri za svaki segment jednaki onima na kraju prethodnog segmenta.

Parametri aerodinamičkih performansi u bazi podataka ANP namijenjeni su za dobivanje razumno točnog prikaza stvarne putanje leta aviona u određenim referentnim uvjetima (vidjeti odjeljak 2.7.6. glavnog teksta). Međutim, pokazalo se da su aerodinamički parametri i

koeficijenti motora primjereni za temperature zraka do 43 °C, nadmorske visine aerodroma do 4000 stopa i unutar raspona težine navedenog u bazi podataka ANP. Jednadžbe stoga omogućuju izračun putanje leta u drugim uvjetima; tj. pri nereferentnoj težini aviona, brzini vjetra, temperaturi zraka i nadmorskoj visini uzletno-sletne staze (tlaku zraka), obično s dostatnom točnošću za izračun prosječnih kontura razine zvuka oko zračne luke.

U odjeljku B-4 objašnjava se kako se pri odletima uzimaju u obzir učinci zaokreta leta. Time se omogućuje uzimanje u obzir bočnog nagiba pri izračunu učinka lateralne usmjerenosti (učinci opreme). Isto tako, tijekom zaokreta leta, gradijenti penjanja općenito će se smanjiti ovisno o polumjeru zaokreta i brzini aviona. (Učinci zaokreta tijekom završnog prilaza složeniji su i nisu obuhvaćeni u ovom trenutku. Međutim, oni će rijetko bitno utjecati na konture buke.)

U odjeljcima od B-5 do B-9 opisuje se preporučena metodologija za generiranje profila leta prilikom odleta, na temelju koeficijenata iz baze podataka ANP i proceduralnih koraka.

U odjeljcima B-10 i B-11 opisuje se upotrijebljena metodologija za generiranje profila leta prilikom prilaza, na temelju koeficijenata iz baze podataka ANP i letnih procedura.

U odjeljku B-12 nalaze se primjeri izračuna.

Dodani su zasebni skupovi jednadžbi za određivanje neto potiska koji stvaraju mlazni motori i elise zrakoplova. Ako nije navedeno drugačije, jednadžbe za aerodinamičke performanse aviona primjenjuju se jednakom na avione na mlazni pogon i na avione na elisni pogon.

Korišteni matematički simboli definirani su na početku ovog dodatka i/ili prilikom prve upotrebe. U svim jednadžbama jedinice koeficijenata i konstanti moraju, naravno, biti u skladu s jedinicama odgovarajućih parametara i varijabli. Radi usklađenosti s bazom podataka ANP, u ovom se dodatku slijede konvencije inženjerstva performansi zrakoplova; udaljenosti i visine su izražene u stopama (ft), brzina u čvorovima (kt), masa u funtama (lb), sila u funtama sile (neto potisak korigiran za visoke temperature) i tako dalje, iako su neke dimenzije (npr. atmosferske) izražene u SI jedinicama. Izrađivači modela koji upotrebljavaju druge sustave jedinica trebali bi obratiti posebnu pozornost na primjenu odgovarajućih faktora konverzije pri prilagođavanju jednadžbi svojim potrebama.

Analiza putanje leta

U nekim primjenama modeliranja podaci o putanji leta ne pružaju se u obliku proceduralnih koraka, već kao koordinate u položaju i vremenu, obično određene analizom radarskih podataka. To je opisano u odjeljku 2.7.7. glavnog teksta. U tom se slučaju jednadžbe iz ovog dodatka upotrebljavaju »unatrag«; parametri potiska motora izvode se iz kretanja zrakoplova, a ne obratno. Općenito, nakon što se izračuna prosjek podataka o putanji leta i smanji na oblik segmenta, pri čemu se svaki segment razvrstava na osnovi penjanja ili snižavanja, ubrzavanja ili usporavanja te promjena potiska i zakrilaca, to je relativno jednostavno u usporedbi sa sintezom koja često uključuje iterativne procese.

B2 Potisak motora

Potisna sila koju stvara svaki motor jedna je od pet vrijednosti koje treba definirati na kraju svakog segmenta putanje leta (ostale su vrijednosti visina, brzina, režim rada motora i bočni nagib). Neto potisak predstavlja sastavni dio bruto potiska motora koji je na raspolaganju za pogon. Za aerodinamičke i akustičke izračune, neto potisak se navodi u odnosu na standardni tlak zraka na srednjoj razini mora. To nazivamo *korigiranim neto potiskom*, F_n/δ .

Tu će biti riječ o neto potisku dostupnom pri radu s određenom *količinom snage motora* ili o neto potisku do kojeg dolazi kad se *parametar za podešavanje potiska* podesi na određenu vrijednost. Za turbomlazni ili turboventilatorski motor koji radi s određenom količinom snage motora, korigirani neto potisak dobiva se primjenom jednadžbe

$$F_n/\delta = E + F \cdot V_c + G_A \cdot h + G_B \cdot h^2 + H \cdot T \quad (B-1)$$

pri čemu:

F_n je neto potisak po motoru (lbf),

δ je omjer tlaka zraka u okolini aviona u odnosu na standardni tlak zraka na srednjoj razini mora, tj. na 101,325 kPa (ili 1013,25 mb) [ref. 1.],

F_n/δ je korigirani neto potisak po motoru (lbf),

V_c je kalibrirana brzina leta u čvorovima (kt),

T je temperatura okolnog zraka u kojem radi avion (C) i

E, F, G_A, G_B, H su konstante potiska motora ili koeficijenti za temperature ispod temperature za suhu snagu motora pri količini snage motora u upotrebi (na trenutačnom segmentu uzljetanja/penjanja ili prilazne putanje leta), izražene u jedinicama lb.s/ft, lb/ft, lb/ft², lb/°C. Dostupne su u bazi podataka ANP.

U bazi podataka ANP također se navode podaci koji omogućuju izračun neizračunano potiska motora kao funkcije parametra podešavanja potiska. Neki proizvođači definiraju taj parametar kao omjer tlaka motora (EPR), a drugi kao brzinu niskotlačnog rotora ili brzinu ventilatora, N_1 . Kad je taj parametar EPR , jednadžba B-1 zamjenjuje se sljedećom:

$$F_n/\delta = E + F \cdot V_c + G_A \cdot h + G_B \cdot h^2 + H \cdot T + K_1 \cdot EPR + K_2 \cdot EPR^2 \quad (B-2)$$

pri čemu su K_1 i K_2 koeficijenti iz baze podataka ANP koji se odnose na korigirani neto potisak i omjer tlaka motora u blizini omjera tlaka motora od interesa za Machov broj određenog aviona.

Kad je brzina vrtnje motora N_1 parametar koji posada u pilotskoj kabini upotrebljava za podešavanje potiska, generalizirana jednadžba potiska postaje

$$F_n/\delta = E + F \cdot V_c + G_A \cdot h + G_B \cdot h^2 + H \cdot T + K_1 \left(\frac{N_1}{\sqrt{\delta}} \right) + K_2 \left(\frac{N_1}{\sqrt{\delta}} \right)^2$$

(B-3)

pri čemu:

N_1

je brzina vrtnje niskotlačnog kompresora (ili ventilatora) motora i stupnjeva turbine(%),

θ

= $(T + 273)/288,15$, omjer apsolutne ukupne temperature na ulazu motora u odnosu na apsolutnu standardnu temperaturu zraka na srednjoj razini mora [ref. 1.],

$\frac{N_1}{\sqrt{\theta}}$

je korigirana brzina niskotlačnog rotora (%) i

K_3, K_4

su konstante izvedene iz podataka o ugrađenom motoru koje obuhvaćaju
brzine N_1 od interesa.

Napominjemo da za određeni avion E, F, G_A, G_B i H u jednadžbama B-2 i B-3 mogu imati različite vrijednosti od onih u jednadžbi B-1.

Neće svaki član jednadžbe uvijek biti značajan. Na primjer, za motore na kojima je ograničena snaga koji rade na temperaturama zraka ispod prijelomne točke (obično je to 30 °C) član temperature možda neće biti potreban. Za motore na kojima nije ograničena snaga, temperatura okoline mora se uzeti u obzir pri određivanju izračunanog potiska. Iznad temperature za suhu snagu motora treba upotrebljavati drugačiji skup koeficijenata potiska motora (E, F, G_A, G_B i H)_{high} za određivanje raspoložive razine potiska. U tom bi slučaju uobičajena praksa bila izračunati F_n/δ koristeći koeficijent za nisku temperaturu i koeficijent za visoku temperaturu te koristiti viši nivo potiska za temperature *ispod* temperature za suhu snagu motora odnosno niži izračunani nivo potiska za temperature *iznad* temperature za suhu snagu motora.

Ako su dostupni samo koeficijenti potiska za niske temperature, može se koristiti sljedeći odnos:

$$(F_n/\delta)_{high} = F \cdot V_C + (E + H \cdot T_B) \cdot (1 - 0,006 \cdot T) / (1 - 0,006 \cdot T_B) \quad (B-4)$$

pri čemu:

$(F_n/\delta)_{high}$

je neto potisak korigiran za visoke temperature (u funtama sile),

T_B

je prijelomna temperatura (u nedostatku konačne vrijednosti prepostavimo unaprijed zadalu vrijednost od 30 °C).

U bazi podataka ANP nalaze se vrijednosti za konstante i koeficijente u jednadžbama B-1 do B-4.

Za avione s elisom, korigirani neto potisak po motoru treba iščitati iz grafikona ili izračunati pomoću jednadžbe

$$F_a/\delta = (326 \cdot \eta \cdot P_p/V_T)/\delta \quad (B-5)$$

pri čemu:

- η je učinkovitost elise za određenu konfiguraciju elise i funkcija je brzine vrtnje elise i brzine leta aviona,
- V_T je stvarna brzina leta u čvorovima (kt),
- P_p je neto potisna snaga za određene uvjete leta, npr. maks. snaga uzljetanja ili maks. snaga penjanja u ks.

Parametri u jednadžbi B-5 dostupni su u bazi podataka ANP za vrijednosti maksimalnog potiska pri uzljetanju i maksimalnog potiska pri penjanju.

Stvarna brzina V_T procjenjuje se na osnovi kalibrirane brzine leta V_C pomoću odnosa

$$V_T = V_C / \sqrt{\sigma} \quad (B-6)$$

pri čemu je σ omjer gustoće zraka u okolini aviona u odnosu na vrijednost na srednjoj razini mora.

Upute za rad sa smanjenim potiskom prilikom uzljetanja

Često je težina zrakoplova pri uzljetanju ispod najviše dopuštene težine i/ili je raspoloživa duljina uzletno-sletne staze veća od najmanje koja je potrebna pri upotrebi najvećeg potiska pri uzljetanju. U tim je slučajevima uobičajena praksa smanjiti potisak motora ispod maksimalne razine kako bi se produžio životni vijek motora i, ponekad, u svrhu smanjenja buke. Potisak motora može se smanjiti samo na razine koje održavaju potrebnu sigurnosnu granicu. Postupak izračuna koji upotrebljavaju zračni prijevoznici kako bi odredili primjerenu količinu smanjenja potiska tome je prilagođen: izračun je kompleksan i uzima u obzir brojne čimbenike, među kojima su težina pri uzljetanju, temperatura okolnog zraka, utvrđene udaljenosti uzletno-sletne staze, nadmorska visina uzletno-sletne staze i kriteriji za visinu zapreka uzletno-sletne staze. Stoga se iznos smanjenja potiska razlikuje od leta do leta.

Budući da smanjeni potisak može uvelike utjecati na konture buke prilikom odleta, izrađivači modela trebali bi u razumnoj mjeri voditi računa o njemu i, kako bi na najbolji mogući način predvidjeli njegove učinke, tražiti praktične savjete od zračnih prijevoznika.

Ako takvo savjetovanje nije dostupno, uputno ih je uzeti u obzir alternativnim sredstvima. Nije praktično doslovno prenijeti izračune zračnih prijevoznika za potrebe modeliranja buke, niti bi oni bili primjereni uz uobičajena pojednostavljenja i približne vrijednosti koje se upotrebljavaju za potrebe izračuna dugotrajne prosječne razine buke. Kao provediva alternativa dostupne su sljedeće smjernice. Treba naglasiti da su u ovom području u tijeku značajna istraživanja i stoga ove smjernice podliježu promjenama.

Analizom podataka iz uređaja za bilježenje podataka o letu pokazalo se da je razina smanjenja potiska snažno povezana s omjerom između stvarne težine pri uzljetanju i regulirane težine pri uzljetanju (RTOW), sve do fiksne donje granice^[25](Tijela za plovidbenost obično određuju nižu granicu potiska, često 25 posto ispod maksimalnog.); tj.

$$F_n / \delta = (F_n / \delta)_{\max} \cdot W / W_{RTOW}$$

(B-7)

pri čemu je $(F_n / \delta)_{\max}$ maksimalni izračunani potisak, W je stvarna bruto težina pri uzljetanju i W_{RTOW} je regulirana težina pri uzljetanju.

Regulirana težina pri uzljetanju je najveća težina pri uzljetanju koja se može sigurno upotrijebiti, a da udovolji zahtjevima duljine uzletno-sletne staze, stanja kod otkaza jednog motora i prepreka. Riječ je o funkciji raspoložive duljine uzletno-sletne staze, nadmorske visine uzletišta, temperature, čeonog vjetra i kuta zakrilaca. Taj se podatak može dobiti od zračnih prijevoznika i trebao bi biti lakše dostupan od podataka o stvarnim razinama smanjenog potiska. Može se izračunati i pomoći podataka iz letačkog priručnika zrakoplova.

Smanjen potisak pri penjanju

Prilikom upotrebe smanjenog potiska pri uzljetanju zračni prijevoznici često, ali ne uvijek, pri penjanju smanje potisak ispod maksimalne razine^[26](Na koju se smanji potisak nakon početnog penjanja sa snagom koja je potrebna za uzljetanje.). Time se sprečavaju situacije koje se javljaju kad, na kraju početnog penjanja s potiskom za uzljetanje, treba povećati, a ne smanjiti snagu. Međutim, ovdje je teže postaviti načelo kojim bi se utvrdila zajednička osnova. Neki zračni prijevoznici upotrebljavaju fiksne ograničivače ispod maksimalnog potiska pri penjanju koji se ponekad nazivaju »penjanje 1« i »penjanje 2« i obično smanje potisak pri penjanju za 10 odnosno 20 posto u odnosu na maksimalni potisak. Preporučuje se da pri svakoj upotrebi smanjenog potiska prilikom uzljetanja potisak pri penjanju također smanji za 10 posto.

B3 Vertikalni profili temperature zraka, tlaka, gustoće i brzine vjetra

Za potrebe ovog dokumenta smatra se da su promjene temperature, tlaka i gustoće s visinom iznad srednje razine mora one iz modela međunarodne standardne atmosfere.

Metodologija opisana u nastavku validirana je za aerodrome na nadmorskim visinama do 4000 stopa i za temperature zraka do 43 °C (109 °F).

Iako, u stvarnosti, srednja brzina vjetra varira s visinom i vremenom, obično to nije moguće uzeti u obzir za potrebe modeliranja kontura buke. Umjesto toga, jednadžbe performansi leta navedene u nastavku temelje se na zajedničkoj pretpostavci da se avion u svakom trenutku kreće izravno u (unaprijed zadani) čeoni vjetar od 8 čvorova – bez obzira na smjer kompasa (iako se u izračunima širenja zvuka izričito ne uzima u obzir srednja brzina vjetra). Na raspolaganju su metode za prilagodbu rezultata za druge brzine čeonog vjetra.

B4 Učinci zaokreta

U ostaku ovog dodatka objašnjava se kako izračunati zahtijevana svojstva segmenata koji povezuju točke profila s, z koje određuju dvodimenzionalnu putanju leta u okomitoj ravnini iznad tlocrta putanje. Segmenti su definirani jedan za drugim u smjeru kretanja. Na kraju svakog segmenta (ili na početku kretanja na tlu u slučaju prvog segmenta za odlet) za koji su

definirani operativni parametri i sljedeći proceduralni korak potrebno je izračunati kut penjanja i udaljenost putanje do točke na kojoj se postiže zahtijevana visina i/ili brzina. Ako je putanja pravocrtna, to će se obuhvatiti segmentom jedinstvenog profila, a njegova se geometrija može odrediti izravno (iako ponekad s određenom mjerom iteracije). No ako se, prije nego što se postignu traženi konačni uvjeti, započinje ili završava zaokret ili ako se mijenja njegov polumjer ili smjer, jedan segment nije dovoljan zbog uzgona zrakoplova i promjene otpora zrakoplova s bočnim nagibom. Kako bi se uzele u obzir posljedice zaokreta tijekom penjanja, potrebni su segmenti dodatnih profila za uvođenje proceduralnog koraka, prema tekstu u nastavku.

Izrada tlocrta putanje opisana je u odjeljku **2.7.13.** teksta. Taj se tlocrt izrađuje neovisno o bilo kojem profilu leta zrakoplova (iako se pazi da se ne definiraju zaokreti koji se ne bi mogli izvesti u normalnim radnim ograničenjima). No, budući da na profil leta – visinu i brzinu kao funkcije udaljenosti putanje – utječe zaokreti, profil leta ne može se odrediti neovisno od tlocrta putanje.

Kako bi se tijekom zaokreta održala brzina, treba povećati aerodinamički uzgon krila kako bi se uravnotežila centrifugalna sila kao i težina zrakoplova. To pak povećava otpor i, posljedično, potreban potisak. Učinci zaokreta izražavaju se u jednadžbama performansi kao funkcije bočnog nagiba ϵ koji se, za zrakoplov u horizontalno ravnom letu koji izvodi zaokret pri konstantnoj brzini na kružnoj putanji, dobivaju primjenom jednadžbe

$$\epsilon = \tan^{-1} \left\{ \frac{2,85 \cdot V^2}{r \cdot g} \right\}$$

(B-8)

pri čemu: V je brzina na horizontali u čvorovima (kt),
 r je polumjer zaokreta (ft),
 i g je ubrzanje uslijed gravitacije (ft/s^2).

Prepostavlja se da svi zaokreti imaju konstantni polumjer i ne uzimaju se u obzir sekundarni učinci povezani s nehorizontalnim putanjama leta; bočni nagibi temelje se samo na polumjeru zaokreta r tlocrta putanje.

Kako bi se proveo proceduralni korak, prvo se izračunava privremeni segment profila pomoću bočnog nagiba ϵ na početnoj točki – kako je definirano u jednadžbi B-8 za polumjer segmenta putanje r . Ako je izračunana duljina privremenog segmenta takva da ne prelazi početak ili kraj zaokreta, privremeni se segment potvrđuje i pažnja se usmjerava na sljedeći korak.

No ako privremeni segment prelazi jedan ili više početaka ili krajeva zaokreta (pri čemu se ϵ mijenja)^[27](Kako bi se izbjegli prekidi kontura zbog trenutačnih promjena bočnog nagiba na spojevima između pravocrtnog leta i zaokreta, u izračune buke unose se podsegmenti da bi se omogućili linearni prijelazi bočnog nagiba preko prvih i posljednjih 5° zaokreta. Oni nisu potrebni u izračunu performansi; bočni nagib uvijek se navodi po jednadžbi B-8.), parametri

leta na prvoj takvoj točki procjenjuju se interpolacijom (vidjeti odjeljak 2.7.13.), pohranjuju se zajedno sa svojim koordinatama kao vrijednosti krajnje točke i segment se skraćuje. Drugi dio proceduralnog koraka se zatim primjenjuje od te točke – opet uz prepostavku da se može završiti u jednom segmentu s istim krajnjim uvjetima, ali s novom početnom točkom i novim bočnim nagibom. Ako u tom drugom segmentu tada dođe do druge promjene polumjera ili smjera zaokreta, bit će potreban treći segment – i tako dalje sve dok se ne postignu krajnji uvjeti.

Približna metoda

Jasno je da potpuno uzimanje učinaka zaokreta u obzir, kako je gore opisano, podrazumijeva značajnu složenost izračuna jer treba posebno izračunati profil penjanja svakog zrakoplova za svaki tlocrt putanje koju avion slijedi. Međutim, promjene vertikalnog profila uzrokovane zaokretima obično imaju znatno manji utjecaj na konture od promjena bočnog nagiba, pa se neki korisnici mogu odlučiti na izbjegavanje složenosti – po cijenu određenog gubitka preciznosti – tako što neće uzeti u obzir učinke zaokreta na profile, pri čemu će još uvijek uzeti u obzir bočni nagib pri izračunu lateralne emisije zvuka (vidjeti odjeljak 2.7.19.). U okviru ove približne metode točke profila za određenu operaciju zrakoplova izračunavaju se samo jedanput, uz prepostavku pravocrtnog tlocrta putanje (za koju $\epsilon = 0$).

B5 Kretanje na tlu pri uzljetanju

Potisak pri uzljetanju ubrzava kretanje aviona uzletno-sletnom stazom do samog uzleta. Pretpostavlja se da je kalibrirana brzina leta konstantna tijekom početnog dijela penjanja. Pretpostavlja se da se podvozie, ako se može uvući, uvlači ubrzo nakon uzljetanja.

Za potrebe ovog dokumenta stvarno kretanje na tlu pri uzljetanju približno se ocjenjuje pomoću ekvivalentne duljine uzljetanja (u unaprijed zadani čeoni vjetar od 8 čvorova), s_{TOS} , definirane kako je prikazano na slici B-1 kao udaljenost duž uzletno-sletne staze od otpuštanja kočnice do točke na kojoj produžetak početne putanje leta tijekom penjanja s uvučenim podvozjem u ravnoj crti siječe uzletno-sletnu stazu.



Slika B-1: Ekvivalentna duljina uzljetanja

Na horizontalno ravnoj uzletno-sletnoj stazi, ekvivalentna duljina zaleta s_{TOS} u stopama određuje se pomoću jednadžbe:

$$s_{TOS} = \frac{B_8 \cdot \theta \cdot (W / \delta)^2}{N \cdot (F_n / \delta)}$$

(B-9)

pri čemu:

B_8 je koeficijent koji odgovara određenoj kombinaciji aviona i otklona zakrilaca za referentne uvjete ISA-e, uključujući čeoni vjetar od 8 čvorova (ft/lbf),

W je bruto težina aviona u trenutku otpuštanja kočnice (lbf),

N je broj motora koji daju potisak.

Napomena: Budući da se jednadžbom B-9 uzimaju u obzir varijacije potiska s brzinom leta i nadmorskom visinom uzletno-sletne staze, za određeni avion koeficijent B_8 ovisi samo o otklonu zakrilaca.

Za čeoni vjetar koji se razlikuje od unaprijed zadanih 8 čvorova, duljina zaleta prilikom uzlijetanja korigira se pomoću jednadžbe:

$$s_{TOW} = s_{TO8} \cdot \frac{(V_c - w)^2}{(V_c - 8)^2}$$

(B-10)

pri čemu:

s_{TOW} je duljina kretanja na tlu korigirana za čeoni vjetar w (ft),

V_c (u ovoj jednadžbi) je kalibrirana brzina pri rotaciji tijekom uzlijetanja u čvorovima (kt),

w je čeoni vjetar u čvorovima (kt).

Duljina zaleta također se korigira za nagib uzletno-sletne staze kako slijedi:

$$s_{TOG} = s_{TOW} \cdot \frac{a}{(a - g \cdot G_R)}$$

(B-11)

pri čemu:

s_{TOG} je duljina kretanja na tlu (ft) korigirana za čeoni vjetar i nagib uzletno-sletne staze,

a je prosječno ubrzanje duž uzletno-sletne staze, koje je jednako $(V_c \cdot \sqrt{\sigma})^2 / (2 \cdot s_{TOW})$ (ft/s²)

G_R je nagib uzletno-sletne staze; pozitivan je kad je uzlijetanje pod nagibom prema gore.

B6 Penjanje konstantnom brzinom

Ova vrsta segmenta određuje se pomoću kalibrirane brzine aviona, položaja zakrilaca te visine i bočnog nagiba na njegovu kraju, zajedno s brzinom čeonog vjetra (unaprijed zadana vrijednost je 8 čvorova). Kao za svaki segment, parametri početka segmenta, uključujući korigirani neto potisak, uzimaju se kao jednaki onima na kraju prethodnog segmenta – ne postoje prekidi (osim kuta zakrilaca i bočnog nagiba koji se u tim izračunima mogu mijenjati u koracima). Neto potisak na kraju segmenta prvo se izračunava primjenom odgovarajuće

jednadžbe od B-1 do B-5. Prosječni geometrijski kut penjanja γ (vidjeti sliku B-1) zatim se određuje primjenom jednadžbe

$$\gamma = \arcsin \left(K \cdot \left[N \cdot \frac{F_n / \delta}{W / \delta} - \frac{R}{\cos \varepsilon} \right] \right) \quad (\text{B-12})$$

pri čemu crte iznad članova jednadžbe označavaju vrijednosti na sredini segmenta (= prosjek vrijednosti početne i krajnje točke – općenito vrijednosti sa sredine segmenta) i

- K je konstanta koja ovisi o brzini i iznosi 1,01 kad je $V_c \leq 200$ čvorova ili 0,95 u ostalim slučajevima. Ta konstanta uzima u obzir učinke gradijenta penjanja pri penjanju u čoni vjetar od 8 čvorova i ubrzanja svojstvenog za penjanje pri konstantnoj kalibriranoj brzini na gradijent penjanja (stvarna brzina raste kako se gustoća zraka smanjuje s visinom).
- R je omjer između koeficijenta aerodinamičnog otpora aviona i njegova koeficijenta sile uzgona koji odgovara položaju zakrilaca. Pretpostavlja se da je podvozje uvučeno.
- ε Bočni nagib u radijanima.

Kut penjanja se korigira za čoni vjetar w pomoću:

$$\gamma_w = \gamma \cdot \frac{(V_c - 8)}{(V_c - w)} \quad (\text{B-13})$$

pri čemu je γ_w prosječni kut penjanja korigiran za čoni vjetar.

Udaljenost koju avion prijeđe duž tlocrta putanje, Δs , dok se penje pod kutom γ_w , s početne visine h_1 na konačnu visinu h_2 dobiva se primjenom jednadžbe

$$\Delta s = \frac{(h_2 - h_1)}{\tan \gamma_w} \quad (\text{B-14})$$

U pravilu, dvije različite faze profila odleta uključuju penjanje na konstantnoj brzini. Prva faza, koja se ponekad naziva *segmentom početnog penjanja*, odvija se odmah nakon uzljetanja, pri čemu sigurnosni zahtjevi nalažu da avion leti najmanje minimalnom brzinom leta koja je jednaka najmanje sigurnosnoj brzini uzljetanja. To je regulirana brzina i tijekom normalnog rada trebala bi se postići do visine od 35 stopa iznad uzletno-sletne staze. Međutim, uobičajena je praksa da se brzina početnog penjanja drži malo iznad sigurnosne brzine uzljetanja, obično za 10 – 20 čvorova, jer se time obično poboljšava postignuti gradijent početnog penjanja. Druga faza slijedi nakon uvlačenja zakrilaca i početnog ubrzanja i naziva se *nastavkom penjanja*.

Tijekom početnog penjanja brzina leta ovisi o položaju zakrilaca pri uzljetanju i bruto težini aviona. Kalibrirana brzina početnog penjanja V_{CTO} izračunava se primjenom aproksimacije prvog reda:

$$V_{CTO} = C \cdot \sqrt{W}$$

(B-15)

pri čemu je C koeficijent koji odgovara položaju zakrilaca (kt/vlbf) i očitava se iz baze podataka ANP.

Za nastavak penjanja nakon ubrzanja kalibrirana brzina leta je parametar koji unosi korisnik.

B7 Smanjenje snage (prijeletni segment)

U jednom trenutku nakon uzljetanja snaga se *smanjuje* u odnosu na snagu pri uzljetanju kako bi se produljio životni vijek motora i, često, kako bi se smanjila buka u određenim područjima. Potisak se obično smanjuje tijekom segmenta penjanja konstantnom brzinom (odjeljak B6) ili tijekom segmenta ubrzanja (odjeljak B8). Budući da se radi o relativno kratkom postupku koji obično traje samo od 3 do 5 sekundi, on se modelira dodavanjem »prijeletnog segmenta« primarnom segmentu. Obično se smatra da se njime pokriva horizontalna udaljenost na tlu od 1000 stopa (305 m).

Iznos smanjenja potiska

Pri normalnom radu potisak motora smanjuje se na maksimalnu vrijednost potiska pri penjanju. Za razliku od potiska pri uzljetanju, potisak pri penjanju može se održati na neodređeno vrijeme, u praksi obično dok avion ne dosegne svoju početnu visinu krstarenja. Maksimalna razina potiska pri penjanju određuje se primjenom jednadžbe B-1 koristeći najveće koeficijente potiska koje dostavlja proizvođač. Međutim, zbog zahtjeva za smanjenje buke može biti potrebno dodatno smanjenje potiska, koje se ponekad naziva dubokim smanjenjem. Iz sigurnosnih razloga najveće smanjenje potiska ograničeno je^[28](»Postupci za smanjenje buke«, ICAO dokument 8168 »PANS-OPS«, svezak 1., dio V., poglavljje 3., ICAO 2004.) na vrijednost koja se određuje na osnovi performansi aviona i broja motora.

Najmanja razina »smanjenog potiska« ponekad se naziva »smanjenim potiskom kod otkaza jednog motora«:

$$\left(\frac{F_a}{\delta} \right)_{\text{engaged}} = \frac{(W/\delta_2)}{(N-1)} \cdot \left[\frac{\sin(\arctan(0,01 \cdot G'))}{K} + \frac{R}{\cos \alpha} \right] \quad (\text{B-16})$$

pri čemu:

δ_2 je omjer tlaka na visini h_2 ,

postotak gradijenta penjanja kod otkaza jednog motora:

= 0 % za avione s automatskim sustavima ponovne uspostave potiska;

u ostalim slučajevima,

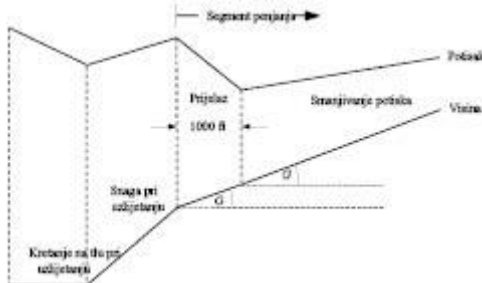
G' = 1,2 % za avion s 2 motora,

= 1,5 % za avion s 3 motora,

= 1,7 % za avion s 4 motora.

Segment penjanja konstantnom brzinom uz smanjenje potiska

Gradijent segmenta penjanja izračunava se primjenom jednadžbe B-12, s time da se potisak izračunava bilo primjenom jednadžbe B-1 s maksimalnim koeficijentima uspona ili primjenom jednadžbe B-16 za smanjeni potisak. Segment penjanja zatim se dijeli na dva podsegmenta koja imaju isti kut penjanja. To je prikazano na slici B-2.



Slika B-2: Segment penjanja konstantnom brzinom uz smanjenje potiska (ilustracija – nije u mjerilu)

Prvom podsegmentu dodijeljena je duljina na tlu od 1000 stopa (304 m), a korigirani neto potisak po motoru na kraju te duljine od 1000 stopa izjednačen je s vrijednošću smanjenja potiska. (Ako je prvotna horizontalna udaljenost manja od 2000 stopa, polovica segmenta upotrebljava se za smanjenje potiska.) Konačni potisak na drugom podsegmentu također je jednak vrijednostima smanjenja potiska. Stoga se drugi podsegment prelijeće uz konstantan potisak.

B8 Penjanje s ubrzavanjem i uvlačenje zakrilaca

Ovo obično slijedi nakon početnog penjanja. Kao i za sve segmente penjanja, visina početne točke h_1 , stvarna brzina leta V_{T1} i potisak $(F_n/\delta)_1$ su vrijednosti s kraja prethodnog segmenta. Podatke o kalibriranoj brzini leta na krajnjoj točki V_{C2} i prosječnoj brzini penjanja ROC unosi korisnik (bočni nagib ϵ je funkcija brzine i polumjera zaokreta). Budući da su međusobno ovisne, vrijednosti konačne visine h_2 , konačne stvarne brzine leta V_{T2} , konačnog potiska $(F_n/\delta)_2$ i duljine putanje segmenta Δs treba izračunati iteracijom; konačna visina h_2 prvo se procjenjuje, a zatim se u više navrata preračunava primjenom jednadžbi B-16 i B-17 sve dok razlika između uzastopnih procjena ne bude manja od naznačenog odstupanja, npr. jedne stope. Praktična početna procjena je $h_2 = h_1 + 250$ stopa.

Duljina putanje segmenta (prijeđena horizontalna udaljenost) procjenjuje se kao:

$$s_{seg} = 0,95 \cdot k^2 \cdot (V_{T2}^2 - V_{T1}^2) / 2(a_{max} - G \cdot g) \quad (B-17)$$

pri čemu:

0,95 je faktor za uzimanje u obzir učinka čeonog vjetra od 8 čvorova pri penjanju uz brzinu od 160 čvorova,

k je konstanta za pretvaranje čvorova u ft/sec = 1,688 ft/s po čvoru,

V_{T2} = stvarna brzina leta na kraju segmenta, u čvorovima (kt): $V_{T2} = V_{C2} / \sqrt{\sigma_2}$

pri čemu je $\sigma_2 = \text{omjer gustoće zraka na krajnjoj visini } h_2$,

$$a_{max} = \text{najveće ubrzanje u horizontalnom letu (ft/s}^2\text{)} = g / [N \cdot \bar{F}_n / \delta / (\bar{W} / \delta) - R / \cos \alpha]$$

$$G = \frac{\text{ROC}}{60 \cdot k V_r}$$

= gradijent penjanja
 pri čemu je $ROC = \text{brzina penjanja, ft/min.}$

Upotrebom te procjene Δs , konačna visina h_2 se zatim ponovno procjenjuje pomoću:

$$h_2' = h_1 + \Delta s \cdot G / 0,95$$

(B-18)

Sve dok je pogreška $|h_2' - h_2|$ izvan naznačenog odstupanja, koraci B-17 i B-18 ponavljaju se koristeći vrijednosti kraja segmenta za visinu h_2 , stvarnu brzinu leta V_{T2} i korigirani neto potisak po motoru (F_n/δ)₂ iz trenutačne iteracije. Kad je pogreška unutar naznačenog odstupanja, iteracijski ciklus se završava i segment ubrzavanja određen je konačnim vrijednostima kraja segmenta.

Napomena: Ako je tijekom postupka iteracije $(a_{max} - G \cdot g) < 0,02$ g, ubrzanje može biti nedostatno za postizanje željene brzine V_{C2} na razumnoj udaljenosti. U tom slučaju gradijent penjanja može se ograničiti na $G = a_{max} / g - 0,02$, čime se smanjuje željena brzina penjanja kako bi se održalo prihvatljivo ubrzanje. Ako je $G < 0,01$, treba zaključiti da nema dovoljno potiska za postizanje naznačenog ubrzanja i brzine penjanja; izračun treba okončati i provjeriti proceduralne korake^[29](U oba slučaja treba programirati računalni model tako da obavijesti korisnika o nedosljednosti.).

Duljina segmenta ubrzavanja korigira se za čeoni vjetar w pomoću:

$$\Delta s_w = \Delta s \cdot \frac{(V_r - w)}{(V_r - g)}$$

(B-19)

Segment ubrzavanja sa smanjenjem potiska

Smanjenje potiska unosi se u segment ubrzavanja na isti način kao i kod segmenta konstantne brzine, pretvaranjem njegova prvog dijela u prijelazni segment. Iznos smanjenja potiska izračunava se kao za postupak smanjivanja potiska pri konstantnoj brzini, primjenjujući samo jednadžbu B-1. Vodite računa o tome da obično nije moguće ubrzavanje i penjanje uz zadržavanje minimalne vrijednosti potiska kod otkaza jednog motora. Prijelazu potiska dodijeljena je duljina na tlu od 1000 stopa (305 m), a korigirani neto potisak po motoru na kraju te duljine od 1000 stopa izjednačen je s vrijednošću smanjenja potiska. Brzina na kraju segmenta određuje se iteracijom duljine segmenta od 1000 stopa (ako je prvo horizontalna udaljenost manja od 2000 stopa, polovica segmenta upotrebljava se za promjenu potiska.) Konačni potisak na drugom podsegmentu također je jednak vrijednostima smanjenja potiska. Stoga se drugi podsegment prelijeće uz konstantan potisak.

B9 Dodatni segmenti penjanja i ubrzavanja nakon uvlačenja zakrilaca

Ako se dodatni segmenti ubrzavanja uključuju u putanju leta tijekom penjanja, jednadžbe B-12 do B-19 trebalo bi ponovno upotrijebiti za izračun udaljenosti tlocrta putanje, prosječnog kuta penjanja i postignute visine za svaki segment. Kao i prije, konačnu visinu segmenta treba procijeniti iteracijom.

B10 Snižavanje i usporavanje

Prilaženje obično zahtijeva smanjenje visine i usporavanje aviona kako bi se pripremio za segment završnog prilaza u kojem su avionu zakrilca u položaju za prilaz, a podvozje spušteno. Nema promjena u mehanici leta u odnosu na odlet; glavna je razlika da su profili visine i brzine općenito poznati, dok se razine potiska motora moraju procijeniti za svaki segment. Osnovna jednadžba ravnoteže snage je:

$$F_n / \delta = W \cdot \frac{R \cdot \cos \gamma + \sin \gamma + a / g}{N \cdot \delta} \quad (\text{B-20})$$

Jednadžba B-20 može se rabiti na dva različita načina. Prvo se mogu definirati brzine aviona na početku i kraju segmenta, zajedno s kutom snižavanja (ili udaljenošću horizontalnog segmenta) te početnim i konačnim visinama segmenta. U tom se slučaju usporavanje može izračunati primjenom sljedeće jednadžbe:

$$a = \frac{(V_2 / \cos \gamma)^2 - (V_1 / \cos \gamma)^2}{(2 \cdot \Delta s / \cos \gamma)} \quad (\text{B-21})$$

pri čemu je Δs prijeđena udaljenost na tlu, a V_1 i V_2 su početne i konačne horizontalne brzine koje se izračunavaju primjenom jednadžbe

$$V = \frac{V_c \cdot \cos \gamma}{\sqrt{\sigma}} - w \quad (\text{B-22})$$

Jednadžbe B-20, B-21 i B-22 potvrđuju da će, kad se usporava na određenoj udaljenosti pri konstantnoj brzini snižavanja, jaki čeoni vjetar zahtijevati jači potisak kako bi se održao isti stupanj usporavanja, a vjetar u leđa zahtijevati manji potisak kako bi se održavao isti stupanj usporavanja.

U praksi se većina, ako ne i sva, usporavanja tijekom prilaza vrše s potiskom motora pri minimalnom potisku. Stoga se za drugu primjenu jednadžbe B-20 potisak definira minimalnom vrijednošću i jednadžba se rješava iterativno kako bi se odredilo 1. usporavanje i 2. visina na kraju segmenta usporavanja – na sličan način kao kod segmenata ubrzavanja pri odletu. U tom se slučaju udaljenost usporavanja može vrlo razlikovati s obzirom na čeoni vjetar i vjetar u leđa i ponekad je potrebno smanjiti kut snižavanja kako bi se dobili smisleni rezultati.

Za većinu aviona minimalni potisak nije nula i, za mnoge, također je funkcija brzine leta. Stoga se jednadžba B-20 za usporavanje rješava unoseći minimalni potisak; minimalni potisak izračunava se primjenom jednadžbe u sljedećem obliku:

$$(F_n / \delta)_{\text{min}} = E_{\text{min}} + F_{\text{min}} \cdot V_c + G_{A, \text{min}} \cdot h + G_{B, \text{min}} \cdot h^2 + H_{\text{min}} \cdot T \quad (\text{B-23})$$

pri čemu su (E_{idle} , F_{idle} , $G_{A,idle}$, $G_{B,idle}$ i H_{idle}) koeficijenti motora pri minimalnom potisku dostupni u bazi podataka ANP.

B11 Završni prilaz

Kalibrirana brzina leta za završni prilaz, V_{CA} , povezana je s bruto težinom zrakoplova pri slijetanju jednadžbom istog oblika kao jednadžba B-11, naime

$$V_{CA} \approx D \cdot \sqrt{W} \quad (B-24)$$

pri čemu koeficijent D (kt/vlbf) odgovara položaju zakrilaca za slijetanje.

Korigirani neto potisak po motoru tijekom snižavanja duž klizne ravnine prilaza izračunava se rješavanjem jednadžbe B-12 za težinu pri slijetanju W i omjer između otpora i uzgona R koji je primjeren za položaj zakrilaca s izvučenim podvozjem. Položaj zakrilaca trebao bi biti onaj koji se obično upotrebljava u stvarnim operacijama. Tijekom završnog prilaza može se pretpostaviti da je kut snižavanja na kliznoj ravnini γ konstantan. Za avione na mlazni pogon i elisne avione s više motora γ obično iznosi -3° . Za elisne avione s jednim motorom γ obično iznosi -5° .

Prosječni korigirani neto potisak po motoru izračunava se okretanjem jednadžbe B-12 pri upotrebi $K = 1,03$ kako bi se uzelo u obzir usporenje svojstveno letu na silaznoj putanji u referentni čeoni vjetar od 8 čvorova pri konstantnoj kalibriranoj brzini leta koju dobivamo jednadžbom B-24, tj.

$$\overline{F_n / \delta} = \frac{\overline{W / \delta}}{N} \cdot \left(R + \frac{\sin \gamma}{1.03} \right) \quad (B-25)$$

Za čeoni vjetar koji ne iznosi 8 čvorova prosječni korigirani neto potisak postaje

$$\left(\overline{F_n / \delta} \right)_w = \overline{F_n / \delta} + 1.03 \cdot \overline{W / \delta} \cdot \frac{\sin \gamma \cdot (w-8)}{N \cdot V_{CA}} \quad (B-26)$$

Prijeđena horizontalna udaljenost izračunava se kako slijedi:

$$\Delta s = \frac{(h_2 - h_1)}{\tan \gamma} \quad (B-27)$$

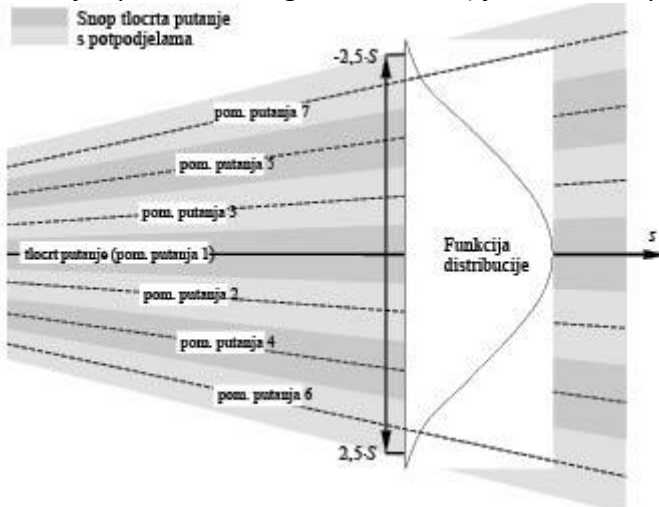
(pozitivna je budući da je $h_1 > h_2$ i vrijednost γ je negativna).

Dodatak C

MODELIRANJE BOČNE RASPRŠENOSTI TLOCRTA PUTANJE

Preporučuje se da se, u nedostatku radarskih podataka, bočna raspršenost tlocrta putanje modelira na temelju pretpostavke da širenje putanja okomito na glavnu putanju slijedi normalnu Gaussovou raspodjelu. Iskustvo je pokazalo da je to razumna pretpostavka u većini slučajeva.

Ako prepostavimo Gaussovou raspodjelu uz standardnu devijaciju S , prikazanu na slici C-1, oko 98,8 posto svih kretanja spada unutar granica $\pm 2,5S$ (tj. unutar snopa širine $5S$).



Slika C-1: Potpodjela tlocrta putanje na 7 pomoćnih putanja. Širina snopa je 5 puta veća od standardne devijacije za širenje tlocrta putanje.

Gaussovou raspodjelu može se obično modelirati na odgovarajući način koristeći 7 zasebnih pomoćnih putanja ravnomjerno raspoređenih između $\pm 2,5S$ granica snopa kako je prikazano na slici C-1.

Međutim, primjerenošć približne procjene ovisi o odnosu između razdvajanja putanje na pomoćne putanje u odnosu na visine zrakoplova. Mogu postojati slučajevi (vrlo uske ili vrlo raspršene putanje) u kojima je primjerenošć različit broj pomoćnih putanja. Premalo pomoćnih putanja uzrokuje pojavljivanje »prstiju« u konturama buke. U tablicama C-1 i C-2 prikazani su parametri za podjelu na 5 do 13 pomoćnih putanja. U tablici C-1 prikazan je položaj pojedinih pomoćnih putanja, a u tablici C-2 odgovarajući postotak kretanja na svakoj pomoćnoj putanji.

Tablica C-1 Položaj 5, 7, 9, 11 ili 13 pomoćnih putanja

Ukupna širina snopa (koja sadrži 98 % svih kretanja) je 5 puta veća od standardne devijacije

Broj pomoćnih putanja	Položaj pomoćnih putanja za poddjelu na				
	5 pomoćnih putanja	7 pomoćnih putanja	9 pomoćnih putanja	11 pomoćnih putanja	13 pomoćnih putanja
12 / 13					$\pm 2,31S$
10 / 11				$\pm 2,27S$	$\pm 1,92S$
8 / 9			$\pm 2,22S$	$\pm 1,82S$	$\pm 1,54S$
6 / 7		$\pm 2,14S$	$\pm 1,67S$	$\pm 1,36S$	$\pm 1,15S$

4 / 5	$\pm 2,00.S$	$\pm 1,43.S$	$\pm 1,11.S$	$\pm 0,91.S$	$\pm 0,77.S$
2 / 3	$\pm 1,00.S$	$\pm 0,71.S$	$\pm 0,56.S$	$\pm 0,45.S$	$\pm 0,38.S$
1	0	0	0	0	0

Tablica C-2 Postotak kretanja na 5, 7, 9, 11 ili 13 pomoćnih putanja

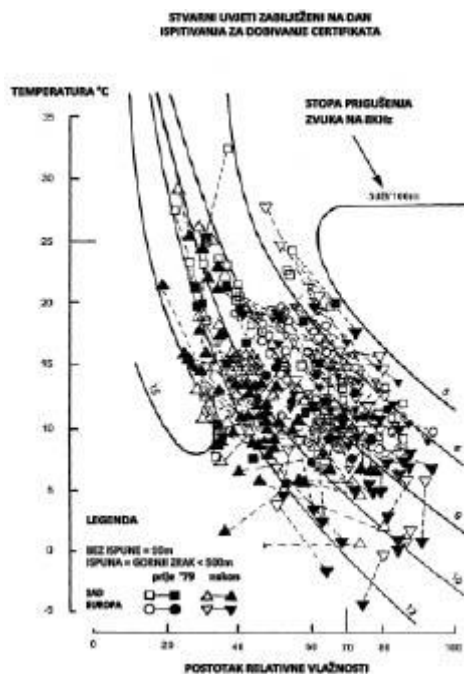
Ukupna širina snopa (koja sadržava 98 % svih kretanja) je 5 puta veća od standardne devijacije

Broj pomoćnih putanja	Postotak kretanja na pomoćnim putanjama za podpodjelu na				
	5 pomoćnih putanja	7 pomoćnih putanja	9 pomoćnih putanja	11 pomoćnih putanja	13 pomoćnih putanja
12 / 13					1,1 %
10 / 11				1,4 %	2,5 %
8 / 9			2,0 %	3,5 %	4,7 %
6 / 7		3,1 %	5,7 %	7,1 %	8,0 %
4 / 5	6,3 %	10,6 %	12,1 %	12,1 %	11,5 %
2 / 3	24,4 %	22,2 %	19,1 %	16,6 %	14,4 %
1	38,6 %	28,2 %	22,2 %	18,6 %	15,6 %

Dodatak D

PONOVNI IZRAČUN NPD PODATAKA ZA NEREFERENTNE UVJETE

Doprinosi svakog segmenta putanje leta razini buke izvode se iz NPD podataka pohranjenih u međunarodnoj bazi podataka ANP. Međutim, treba napomenuti da su ti podaci normalizirani upotrebom prosječnih stopa atmosferskog prigušenja utvrđenih u standardu SAE AIR-1845. Te su stope prosjeci vrijednosti određenih za vrijeme ispitivanja zrakoplova za dobivanje certifikata o buci u Europi i SAD-u. Velike razlike u atmosferskim uvjetima (temperatura i relativna vlažnost) u tim ispitivanjima prikazane su na slici D-1.



Slika D-1: Meteorološki uvjeti zabilježeni tijekom ispitivanja za dobivanje certifikata o buci. Krivulje prikazane na slici D-1, izračunane upotrebom standardnog industrijskog modela atmosferskog prigušenja ARP 866A, pokazuju da se u raznovrsnim ispitnim uvjetima mogu očekivati znatne varijacije apsorpcije zvuka visoke frekvencije (8 kHz), iako bi varijacija ukupne apsorpcije bila manja.

Budući da su stope prigušenja navedene u tablici D-1 aritmetički prosjeci, čitav se skup ne može povezati s jednom referentnom atmosferom (tj. s posebnim vrijednostima temperature i relativne vlažnosti). O njima se može razmišljati samo kao o svojstvima posve teoretske atmosfere koja se naziva »AIR-1845 atmosfera«.

Tablica D-1

Prosječne stope atmosferskog prigušenja koje se upotrebljavaju za normalizaciju NPD podataka u bazi podataka ANP

Središnja frekvencija pojasa širine 1/3 oktave [Hz]	Stopa prigušenja [dB/100 m]	Središnja frekvencija pojasa širine 1/3 oktave [Hz]	Stopa prigušenja [dB/100 m]
50	0,033	800	0,459
63	0,033	1 000	0,590
80	0,033	1 250	0,754
100	0,066	1 600	0,983
125	0,066	2 000	1,311
160	0,098	2 500	1,705
200	0,131	3 150	2,295
250	0,131	4 000	3,115
315	0,197	5 000	3,607
400	0,230	6 300	5,246
500	0,295	8 000	7,213
630	0,361	10 000	9,836

Koefficijenti prigušenja iz tablice D-1 mogu se smatrati valjanima u razumnom rasponu temperature i vlažnosti. Ipak, kako bi se provjerilo jesu li potrebne prilagodbe, treba upotrebljavati ARP-866A za izračun prosječnih koefficijenata atmosferske apsorpcije za prosječnu temperaturu zračne luke T i relativnu vlažnost RH . Ako se na osnovu usporedbe tih koefficijenata s onima u tablici D-1 ocijeni da je potrebna prilagodba, trebala bi se upotrebljavati metodologija opisana u nastavku.

„Koefficijenti prigušenja iz tablice D-1 mogu se smatrati valjanima u razumnom rasponu temperature i vlažnosti. Ipak, kako bi se provjerilo jesu li potrebne prilagodbe, treba upotrebljavati SAE ARP-5534 za izračun prosječnih koefficijenata atmosferske apsorpcije za prosječnu temperaturu zračne luke T i relativnu vlažnost RH . Ako se na temelju usporedbe tih koefficijenata s onima u tablici D-1 ocijeni da je potrebna prilagodba, trebala bi se upotrebljavati metodologija opisana u nastavku.“

Baza podataka ANP pruža sljedeće NPD podatke za svaki režim rada motora:

- maksimalna razina zvuka u odnosu na izravnu udaljenost, $L_{max}(d)$,
- vremenski integrirana razina u odnosu na udaljenost za referentnu brzinu leta, $L_E(d)$, i
- nevrednovani referentni zvučni spektar na izravnoj udaljenosti od 305 m (1000 ft), $L_{n,ref}(d_{ref})$ pri čemu je n = frekvencijski pojas (u rasponu od 1 do 24 za pojaseve širine 1/3 oktave sa središnjim frekvencijama od 50 Hz do 10 kHz),

pri čemu su svi podaci normalizirani na atmosferu AIR-1845.

Prilagodba NPD krivulja uvjetima T i RH koje je naveo korisnik vrši se u tri koraka:

1. Prvo se korigira referentni spektar kako bi se uklonilo atmosfersko prigušenje SAE AIR-1845 $\alpha_{n,ref}$:

$$L_n(d_{ref}) = L_{n,ref}(d_{ref}) + \alpha_{n,ref} \cdot d_{ref} \quad (\text{D-1})$$

pri čemu je $L_n(d_{ref})$ neprigušeni spektar na udaljenosti $d_{ref} = 305$ m i $\alpha_{n,ref}$ je koeficijent atmosferske apsorpcije za frekvencijski pojas n preuzet iz tablice D-1 (ali izražen u dB/m).

2. Zatim se korigirani spektar prilagođava svakoj od deset standardnih NPD udaljenosti d_i , koristeći stepen prigušenja za i. atmosferu iz standarda SAE AIR 1845 i ii. atmosferu koju je naveo korisnik (na temelju standarda SAE ARP 866A).

i. Za atmosferu iz standarda SAE AIR-1845:

$$L_{n,ref}(d_i) = L_n(d_{ref}) - 20 \cdot \lg(d_i / d_{ref}) - \alpha_{n,ref} \cdot d_i \quad (\text{D-2})$$

ii. Za atmosferu korisnika:

$$L_{n,866A}(T, RH, d_i) = L_n(d_{ref}) - 20 \cdot \lg(d_i / d_{ref}) - \alpha_{n,866A}(T, RH) \cdot d_i \quad (\text{D-3})$$

pri čemu je $\alpha_{n,866A}$ koeficijent atmosferske apsorpcije za frekvencijski pojas n (izražen u dB/m) izračunan pomoću standarda SAE ARP 866A s temperaturom T i relativnom vlažnošću RH .

3. Na svakoj NPD udaljenosti (d_i) dva su spektra A vrednovana pa se njihovi decibeli zbrajaju kako bi se dobile A vrednovane razine $L_{A,866A}$ i $L_{A,ref}$ koje se zatim aritmetički oduzimaju:

$$\Delta L(T, RH, d_i) = L_{A,866A} - L_{A,ref} = 10 \cdot \lg \sum_{n=1}^{24} 10^{(L_{n,866A}(T, RH, d_i) - A_n)/10} - 10 \cdot \lg \sum_{n=1}^{24} 10^{(L_{n,ref}(d_i) - A_n)/10} \quad (\text{D-4})$$



Thorium A+

Izvrsni inženjeri koriste izvrstan alat!

ThoriumSoftware d.o.o.

Mobile: +385 (0) 95 8 70 50 70
 Kontakt: Dario Ilija Rendulić
 Email:
 info@thoriumsoftware.eu;
 direndulic@gmail.com

„2.Zatim se korigirani spektar prilagođava svakoj od deset standardnih NPD udaljenosti d_i , uz upotrebu stopa prigušenja za i. atmosferu iz standarda SAE AIR-1845 i ii. atmosferu koju je naveo korisnik (na temelju standarda SAE ARP-5534).

i. Za atmosferu iz standarda SAE AIR-1845:

$$L_{n,ref}(d_i) = L_n(d_{ref}) - 20 \cdot \lg(d/d_{ref}) - \alpha_{n,ref} \cdot d_i \quad (D-2)$$

ii. Za atmosferu koju je naveo korisnik:

$$L_{n,5534}(T,RH,d_i) = L_n(d_{ref}) - 20 \cdot \lg(d/d_{ref}) - \alpha_{n,5534}(T,RH) \cdot d_i \quad (D-3)$$

pri čemu je $\alpha_{n,5534}$ koeficijent atmosferske apsorpcije za frekvencijski pojas n (izražen u dB/m) izračunan pomoću standarda SAE ARP-5534 uz temperaturu T i relativnu vlažnost RH .

3.Na svakoj NPD udaljenosti (d_i) dva su spektra A-vrednovana pa se njihovi decibeli zbrajaju kako bi se dobile A-vrednovane razine $L_{A,5534}$ i $L_{A,ref}$, koje se zatim aritmetički oduzimaju:

$$\Delta L(T, RH, d_i) = L_{A,5534} - L_{A,ref} = 10 \cdot \lg \sum_{n=1}^{24} 10^{(L_{n,5534}(T, RH, d_i) - A_n)/10} - 10 \cdot \lg \sum_{n=1}^{24} 10^{(L_{n,ref}(d_i) - A_n)/10} \quad (D-4)"$$

Promjena ΔL je razlika između NPD podataka u atmosferi koju je naveo korisnik i referentnoj atmosferi. Ona se dodaje vrijednostima NPD podataka iz baze podataka ANP kako bi se dobili prilagođeni NPD podaci.

Primjenom ΔL za prilagodbu NPD podataka L_{max} i L_E praktički se prepostavlja da različiti atmosferski uvjeti utječu samo na referentni spektar i nemaju nikakav utjecaj na oblik proteka razina kroz vrijeme. To se može smatrati valjanim za tipične raspone širenja i za tipične atmosferske uvjete.

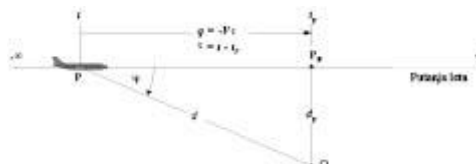
Dodatak E

KOREKCIJA ZA OGRANIČENI SEGMENT

U ovom se dodatku opisuje izvođenje korekcije za ograničeni segment i povezani algoritam za izračun energetskih udjela opisan u odjeljku 2.7.19.

E1 Geometrija

Algoritam za izračun energetskih udjela temelji se na zračenju zvuka 90-stupanjskog dipolnog izvora zvuka »na četvrtu potenciju«. On ima svojstva usmjerenosti koja približno sliče onima zvuka mlaznog zrakoplova, barem u kutnom području koje najviše utječe na razine zvučnih događaja ispod i pored putanje leta zrakoplova.



Slika E-1: Geometrija između putanje leta i lokacije promatrača O

Na slici E-1 prikazana je geometrija širenja zvuka između putanje leta i lokacije promatrača O. Zrakoplov na točki P leti konstantnom brzinom kroz miran i ujednačen zrak i slijedi horizontalno ravnu putanju leta. Njegova najbliža točka prilaska promatraču je Pp. Parametri su:

- d udaljenost od promatrača do zrakoplova,
- d_p udaljenost (pod pravim kutom u odnosu na putanju) od promatrača do putanje leta (izravna udaljenost),
- q udaljenost od P do P_p = -V·t,
- V brzina zrakoplova,
- t vrijeme kad je zrakoplov na točki P,
- t_p vrijeme kad se zrakoplov nalazi na točki najbližeg prilaska P_p,
- τ vrijeme leta = vrijeme u odnosu na vrijeme na točki P_p = t - t_p,
- ψ kut između putanje leta i vektora promatrača zrakoplova.

Treba napomenuti da, budući da je vrijeme leta τ u odnosu na točku najbližeg prilaska negativno kad se zrakoplov nalazi ispred položaja promatrača (kako je prikazano na slici E-1), relativna udaljenost q do točke najbližeg prilaska u tom slučaju postaje pozitivna. Ako se zrakoplov nalazi ispred promatrača, udaljenost q postaje negativna.

E2 Procjena energetskog udjela

Osnovni koncept energetskog udjela je izražavanje izloženosti buci E koja nastaje na položaju promatrača sa segmenta putanje leta P₁P₂ (s početnom točkom P₁ i krajnjom točkom P₂) množenjem izloženosti E_∞ iz čitave beskonačne putanje prelijetanja jednostavnim faktorom – faktorom *energetskog udjela* F :

$$E = F \cdot E_\infty \quad (\text{E-1})$$

S obzirom na to da se izloženost može izraziti kao vremenski integral (vrednovane) srednje kvadratne vrijednosti razine zvučnog tlaka, tj.

$$E = \text{const} \cdot \int p^2(r) dr \quad (\text{E-2})$$

za izračun vrijednosti E , srednja kvadratna vrijednost tlaka mora biti izražena kao funkcija poznatih geometrijskih i operativnih parametara. Za 90-stupanjski dipolni izvor zvuka,

$$p^2 = p_p^2 \cdot \frac{d_p^2}{d^2} \cdot \sin^2 \psi = p_p^2 \cdot \frac{d_p^4}{d^4} \quad (\text{E-3})$$

pri čemu su p^2 i p_p^2 promatrane vrijednosti srednje kvadratne vrijednosti zvučnog tlaka koji stvara zrakoplov dok prelazi točke P i P_p.

Pokazalo se da taj relativno jednostavan odnos pruža dobru simulaciju buke mlaznog zrakoplova, iako su stvarni mehanizmi u pozadini buke vrlo složeni. Član d_p^2/d^2 u jednadžbi E-3 opisuje samo mehanizam sferičnog širenja primijeren točkastom izvoru zvuka, beskonačnoj

brzini zvuka i ujednačenoj, neraspršujućoj atmosferi. Svi su drugi fizički utjecaji – usmjerenost izvora, ograničena brzina zvuka, atmosferska apsorpcija, Dopplerov pomak itd. – implicitno obuhvaćeni članom jednadžbe $\sin^2\psi$. Taj faktor uzrokuje obrnuto proporcionalno smanjenje srednje kvadratne vrijednosti tlaka, što je izraženo kao d^4 ; iz toga proizlazi izraz »izvor na četvrtu potenciju«.

Uvođenjem zamjena

$$d^2 = d_p^2 + q^2 = d_p^2 + (V \cdot \tau)^2 \quad \text{i} \quad \left(\frac{d}{d_p}\right)^2 = 1 + \left(\frac{V \cdot \tau}{d_p}\right)^2$$

srednja kvadratna vrijednost tlaka može se izraziti kao funkcija vremena (ponovo ne uzimajući u obzir vrijeme širenja zvuka):

$$p^2 = p_p^2 \cdot \left(1 + \left(\frac{V \cdot \tau}{d_p}\right)^2\right)^{-2} \quad (\text{E-4})$$

Ako se to umetne u jednadžbu (E-2) i obavi zamjena

$$\alpha = \frac{V \cdot \tau}{d_p} \quad (\text{E-5})$$

izloženost promatrača zvuku prelijetanja između vremenskog intervala $[\tau_1, \tau_2]$ može se izraziti kao

$$E = \text{const} \cdot p_p^2 \cdot \frac{d_p}{V} \cdot \int_{\alpha_1}^{\alpha_2} \frac{1}{(1+\alpha^2)^2} d\alpha \quad (\text{E-6})$$

Rješenje tog integrala je:

$$E = \text{const} \cdot p_p^2 \cdot \frac{d_p}{V} \cdot \frac{1}{2} \left(\frac{\alpha_2}{1+\alpha_2^2} + \arctan \alpha_2 - \frac{\alpha_1}{1+\alpha_1^2} - \arctan \alpha_1 \right) \quad (\text{E-7})$$

Integracija u intervalu $[-\infty, +\infty]$ (tj. tijekom čitave beskonačne putanje leta) daje sljedeći izraz za ukupnu izloženost E_∞ :

$$E_\infty = \text{const} \cdot \frac{\pi}{2} \cdot p_p^2 \cdot \frac{d_p}{V} \quad (\text{E-8})$$

i stoga je energetski udio prema jednadžbi E-1

$$F = \frac{1}{\pi} \left(\frac{\alpha_2}{1+\alpha_2^2} + \arctan \alpha_2 - \frac{\alpha_1}{1+\alpha_1^2} - \arctan \alpha_1 \right) \quad (\text{E-9})$$

E3 Dosljednost maksimalnih i vremensko integriranih parametara – prilagođena udaljenost
 Posljedica upotrebe jednostavnog dipolnog modela za utvrđivanje energetskog udjela jest to da se podrazumijeva posebna teoretska razlika ΔL između razina buke događaja L_{max} i L_E . Ako želimo da model konture bude interno dosljedan, to treba biti jednak razlici vrijednosti

utvrđenih na osnovi NPD krivulja. Problem je da su NPD podaci dobiveni iz stvarnih mjerena buke zrakoplova koja ne moraju nužno biti u skladu s jednostavnom teorijom. Stoga je potrebno teoriji dodati element fleksibilnosti. Ipak, u principu su varijable α_1 i α_2 određene geometrijom i brzinom zrakoplova, čime se ne ostavlja nikakva dodatna sloboda. Rješenje nudi koncept *prilagođene udaljenosti* d_λ kako slijedi.

Razina izloženosti $L_{E,\infty}$ prikazana kao funkcija d_p u bazi podataka ANP za referentnu brzinu V_{ref} , može se izraziti kao

$$L_{E,\infty}(V_{ref}) = 10 \cdot \lg \left[\frac{\int_{-\infty}^{\infty} p^2 dt}{P_0^2 \cdot t_{ref}} \right] \quad (\text{E-10})$$

pri čemu je p_0 standardni referentni tlak, a t_{ref} je referentno vrijeme (= 1 s za SEL). Za stvarnu brzinu V ona postaje

$$L_{E,\infty}(V) = L_{E,\infty}(V_{ref}) + 10 \cdot \lg \left(\frac{V_{ref}}{V} \right) \quad (\text{E-11})$$

Na sličan se način maksimalna razina događaja L_{max} može zapisati kao

$$L_{max} = 10 \cdot \lg \left[\frac{P_p^2}{P_0^2} \right] \quad (\text{E-12})$$

Za dipolni izvor, pomoću jednadžbi E-8, E-11 i E-12, imajući na umu da je (iz jednadžbi E-2 i E-8),

razlika ΔL može se zapisati na sljedeći način:

$$\Delta L = L_{E,\infty} - L_{max} = 10 \cdot \lg \left[\frac{V}{V_{ref}} \cdot \left(\frac{\pi}{2} P_p^2 \frac{d_p}{V} \right) \cdot \frac{1}{P_0^2 \cdot t_{ref}} \right] - 10 \cdot \lg \left[\frac{P_p^2}{P_0^2} \right] \quad (\text{E-13})$$

Ta se razlika može izjednačiti s vrijednošću ΔL određenom na temelju NPD podataka ako se izravna udaljenost d_p koja se upotrebljava za izračunavanje energetskog udjela zamijeni *prilagođenom udaljenošću* d_λ izraženom formulom

$$d_\lambda = \frac{2}{\pi} \cdot V_{ref} \cdot t_{ref} \cdot 10^{(\Delta L - L_{max})/10} \quad (\text{E-14a})$$

ili

$$d_\lambda = d_0 \cdot 10^{(\Delta L - L_{max})/10} \quad \text{sa} \quad d_0 = \frac{2}{\pi} \cdot V_{ref} \cdot t_{ref} \quad (\text{E-14b})$$

Ako u jednadžbi E-5 zamijenimo d_p vrijednošću d_λ i upotrijebimo definiciju $q = Vt$ sa **slike E-1**, parametri α_1 i α_2 u jednadžbi E-9 mogu se zapisati (stavivši $q = q_1$ na početnu točku i $q = q_2$ na krajnju točku segmenta putanje leta duljine λ) kao

$$\alpha_1 = \frac{-q_1}{d_1} \quad i \quad \alpha_2 = \frac{-q_1 + \lambda}{d_1}$$

(E-15)

Nužnost zamjene stvarne izravne udaljenosti prilagođenom udaljenošću umanjuje jednostavnost modela 90-stupanjskog dipola na četvrtu potenciju. Međutim, budući da se učinkovito kalibrira na licu mjesta pomoću podataka dobivenih mjeranjima, algoritam za izračun energetskih udjela može se prije smatrati poluempirijskim nego posve teoretskim.

Dodatak F

BAZA PODATAKA ZA IZVORE BUKE CESTOVNOG PROMETA

U ovom se prilogu nalazi baza podataka koja obuhvaća većinu postojećih izvora buke cestovnog prometa. Namijenjena je za izračunavanje buke cestovnog prometa prema modelu opisanom u odjeljku 2.2. Buka cestovnog prometa.

Tablica F-1 Koeficijenti $A_{R,i,m}$ i $B_{R,i,m}$ za buku kotrljanja i $A_{P,i,m}$ i $B_{P,i,m}$ za buku pogona

Kategorija	Koeficijent	63	125	250	500	1000	2000	4000	8000
1	A_R	79,7	85,7	84,5	90,2	97,3	93,9	84,1	74,3
	B_R	30	41,5	38,9	25,7	32,5	37,2	39	40
	A_P	94,5	89,2	88	85,9	84,2	86,9	83,3	76,1
	B_P	-1,3	7,2	7,7	8	8	8	8	8
2	A_R	84	88,7	91,5	96,7	97,4	90,9	83,8	80,5
	B_R	30	35,8	32,6	23,8	30,1	36,2	38,3	40,1
	A_P	101	96,5	98,8	96,8	98,6	95,2	88,8	82,7
	B_P	-1,9	4,7	6,4	6,5	6,5	6,5	6,5	6,5
3	A_R	87	91,7	94,1	100,7	100,8	94,3	87,1	82,5
	B_R	30	33,5	31,3	25,4	31,8	37,1	38,6	40,6
	A_P	104,4	100,6	101,7	101	100,1	95,9	91,3	85,3
	B_P	0	3	4,6	5	5	5	5	5
4a	A_R	0	0	0	0	0	0	0	0
	B_R	0	0	0	0	0	0	0	0
	A_P	88	87,5	89,5	93,7	96,6	98,8	93,9	88,7

	B _p	4,2	7,4	9,8	11,6	15,7	18,9	20,3	20,6
4b	A _R	0	0	0	0	0	0	0	0
	B _R	0	0	0	0	0	0	0	0
	A _P	95	97,2	92,7	92,9	94,7	93,2	90,1	86,5
	B _P	3,2	5,9	11,9	11,6	11,5	12,6	11,1	12
5	A _R								
	B _R								
	A _P								
	B _P								

„Kategorija	Koeficijent	63	125	250	500	1 000	2 000	4 000	8 000
1	A _R	83,1	89,2	87,7	93,1	100,1	96,7	86,8	76,2
	B _R	30,0	41,5	38,9	25,7	32,5	37,2	39,0	40,0
	A _P	97,9	92,5	90,7	87,2	84,7	88,0	84,4	77,1
	B _P	-1,3	7,2	7,7	8,0	8,0	8,0	8,0	8,0
2	A _R	88,7	93,2	95,7	100,9	101,7	95,1	87,8	83,6
	B _R	30,0	35,8	32,6	23,8	30,1	36,2	38,3	40,1
	A _P	105,5	100,2	100,5	98,7	101,0	97,8	91,2	85,0

	B _P	-1,9	4,7	6,4	6,5	6,5	6,5	6,5	6,5
3	A _R	91,7	96,2	98,2	104,9	105,1	98,5	91,1	85,6
	B _R	30,0	33,5	31,3	25,4	31,8	37,1	38,6	40,6
	A _P	108,8	104,2	103,5	102,9	102,6	98,5	93,8	87,5
	B _P	0,0	3,0	4,6	5,0	5,0	5,0	5,0	5,0
4a	A _R	0,0	0,0	0,0	0,0	0,0	0,0	0,0	0,0
	B _R	0,0	0,0	0,0	0,0	0,0	0,0	0,0	0,0
	A _P	93,0	93,0	93,5	95,3	97,2	100,4	95,8	90,9
	B _P	4,2	7,4	9,8	11,6	15,7	18,9	20,3	20,6
4b	A _R	0,0	0,0	0,0	0,0	0,0	0,0	0,0	0,0
	B _R	0,0	0,0	0,0	0,0	0,0	0,0	0,0	0,0
	A _P	99,9	101,9	96,7	94,4	95,2	94,7	92,1	88,6
	B _P	3,2	5,9	11,9	11,6	11,5	12,6	11,1	12,0
5	A _R								
	B _R								
	A _P								
	B _P ''								

Tablica F-2 Koeficijenti a_i i b_i za gume čavlerice

Kategorija	Koeficijent								
		63	125	250	500	1000	2000	4000	8000
1	a_i	0,0	0,0	0,0	2,6	2,9	1,5	2,3	9,2
	b_i	0,0	0,0	0,0	-3,1	-6,4	-14,0	-22,4	-11,4

Tablica F-3 Koeficijenti $C_{R,m,k}$ i $C_{P,m,k}$ za ubrzavanje i usporavanje

Kategorija	k	Cr	Cp
1	1 = raskrižje 2 = kružni tok	-4,5 -4,4	5,5 3,1
2	1 = raskrižje 2 = kružni tok	-4 -2,3	9 6,7
3	1 = raskrižje	-4	9

	2 = kružni tok	-2,3	6,7
4a	1 = raskrižje 2 = kružni tok	0 0	0 0
4b	1 = raskrižje 2 = kružni tok	0 0	0 0
5	1 = raskrižje 2 = kružni tok		

Tablica F-4 Koeficijenti $\alpha_{i,m}$ i β_m za površinu ceste

Opis	Najmanja brzina za koju vrijedi	Najveća brzina za koju vrijedi	Kategorija	am (63 Hz)	am (125 Hz)	am (250 Hz)	am (500 Hz)	am (1 kHz)	am (2 kHz)	am (4 kHz)	am (8 kHz)	fm
	[km/h]	[km/h]										
Referentna površina ceste			1	0,0	0,0	0,0	0,0	0,0	0,0	0,0	0,0	0,0
			2	0,0	0,0	0,0	0,0	0,0	0,0	0,0	0,0	0,0
			3	0,0	0,0	0,0	0,0	0,0	0,0	0,0	0,0	0,0
			4a	0,0	0,0	0,0	0,0	0,0	0,0	0,0	0,0	0,0
			4b	0,0	0,0	0,0	0,0	0,0	0,0	0,0	0,0	0,0
			5									
Jednoslojni ZGAB	50	130	1	0,5	3,3	2,4	3,2	-1,3	-3,5	-2,6	0,5	-6,5
			2	0,9	1,4	1,8	-0,4	-5,2	-4,6	-3,0	-1,4	0,2
			3	0,9	1,4	1,8	-0,4	-5,2	-4,6	-3,0	-1,4	0,2
			4a	0,0	0,0	0,0	0,0	0,0	0,0	0,0	0,0	0,0
			4b	0,0	0,0	0,0	0,0	0,0	0,0	0,0	0,0	0,0
			5									

Dvoslojni ZOAB	50	130	1	0,4	2,4	0,2	-3,1	-4,2	-6,3	-4,8	-2,0	-3,0
			2	0,4	0,2	-0,7	-5,4	-6,3	-6,3	-4,7	-3,7	4,7
			3	0,4	0,2	-0,7	-5,4	-6,3	-6,3	-4,7	-3,7	4,7
			4a	0,0	0,0	0,0	0,0	0,0	0,0	0,0	0,0	0,0
			4b	0,0	0,0	0,0	0,0	0,0	0,0	0,0	0,0	0,0
			5									
Dvoslojni ZOAB (sitan)	80	130	1	-1,0	1,7	-1,5	-5,3	-6,3	-8,5	-5,3	-2,4	-0,1
			2	1,0	0,1	-1,8	-5,9	-6,1	-6,7	-4,8	-3,8	-0,8
			3	1,0	0,1	-1,8	-5,9	-6,1	-6,7	-4,8	-3,8	-0,8
			4a	0,0	0,0	0,0	0,0	0,0	0,0	0,0	0,0	0,0
			4b	0,0	0,0	0,0	0,0	0,0	0,0	0,0	0,0	0,0
			5									
SMA-NL5	40	80	1	1,1	-1,0	0,2	1,3	-1,9	-2,8	-2,1	-1,4	-1,0
			2	0,0	0,0	0,0	0,0	0,0	0,0	0,0	0,0	0,0
			3	0,0	0,0	0,0	0,0	0,0	0,0	0,0	0,0	0,0
			4a	0,0	0,0	0,0	0,0	0,0	0,0	0,0	0,0	0,0
			4b	0,0	0,0	0,0	0,0	0,0	0,0	0,0	0,0	0,0
			5									
SMA-NL8	40	80	1	0,3	0,0	0,0	-0,1	-0,7	-1,3	-0,8	-0,8	-1,0
			2	0,0	0,0	0,0	0,0	0,0	0,0	0,0	0,0	0,0
			3	0,0	0,0	0,0	0,0	0,0	0,0	0,0	0,0	0,0

			4a	0,0	0,0	0,0	0,0	0,0	0,0	0,0	0,0	0,0
			4b	0,0	0,0	0,0	0,0	0,0	0,0	0,0	0,0	0,0
			5									
Očetkani beton	70	120	1	1,1	-0,4	1,3	2,2	2,5	0,8	-0,2	-0,1	1,4
			2	0,0	1,1	0,4	-0,3	-0,2	-0,7	-1,1	-1,0	4,4
			3	0,0	1,1	0,4	-0,3	-0,2	-0,7	-1,1	-1,0	4,4
			4a	0,0	0,0	0,0	0,0	0,0	0,0	0,0	0,0	0,0
			4b	0,0	0,0	0,0	0,0	0,0	0,0	0,0	0,0	0,0
			5									
Optimizirani očetkani beton	70	80	1	-0,2	-0,7	0,6	1,0	1,1	-1,5	-2,0	-1,8	1,0
			2	-0,3	1,0	-1,7	-1,2	-1,6	-2,4	-1,7	-1,7	-6,6
			3	-0,3	1,0	-1,7	-1,2	-1,6	-2,4	-1,7	-1,7	-6,6
			4a	0,0	0,0	0,0	0,0	0,0	0,0	0,0	0,0	0,0
			4b	0,0	0,0	0,0	0,0	0,0	0,0	0,0	0,0	0,0
			5									
Fine očetkani beton	70	120	1	1,1	-0,5	2,7	2,1	1,6	2,7	1,3	-0,4	7,7
			2	0,0	3,3	2,4	1,9	2,0	1,2	0,1	0,0	3,7
			3	0,0	3,3	2,4	1,9	2,0	1,2	0,1	0,0	3,7
			4a	0,0	0,0	0,0	0,0	0,0	0,0	0,0	0,0	0,0
			4b	0,0	0,0	0,0	0,0	0,0	0,0	0,0	0,0	0,0
			5									
Obrađena površina	50	130	1	1,1	1,0	2,6	4,0	4,0	0,1	-1,0	-0,8	-0,2
			2	0,0	2,0	1,8	1,0	-0,7	-2,1	-1,9	-1,7	1,7

			3	0,0	2,0	1,8	1,0	-0,7	-2,1	-1,9	-1,7	1,7
			4a	0,0	0,0	0,0	0,0	0,0	0,0	0,0	0,0	0,0
			4b	0,0	0,0	0,0	0,0	0,0	0,0	0,0	0,0	0,0
			5									
Kruti elementi slagani u uzorku riblje kosti	30	60	1	8,3	8,7	7,8	5,0	3,0	-0,7	0,8	1,8	2,5
			2	8,3	8,7	7,8	5,0	3,0	-0,7	0,8	1,8	2,5
			3	8,3	8,7	7,8	5,0	3,0	-0,7	0,8	1,8	2,5
			4a	0,0	0,0	0,0	0,0	0,0	0,0	0,0	0,0	0,0
			4b	0,0	0,0	0,0	0,0	0,0	0,0	0,0	0,0	0,0
			5									
Kruti elementi koji nisu slagani u uzorku riblje kosti	30	60	1	12,3	11,9	9,7	7,1	7,1	2,8	4,7	4,5	2,9
			2	12,3	11,9	9,7	7,1	7,1	2,8	4,7	4,5	2,9
			3	12,3	11,9	9,7	7,1	7,1	2,8	4,7	4,5	2,9
			4a	0,0	0,0	0,0	0,0	0,0	0,0	0,0	0,0	0,0
			4b	0,0	0,0	0,0	0,0	0,0	0,0	0,0	0,0	0,0
			5									
Tihi kruti elementi	30	60	1	7,8	6,3	5,2	2,8	-1,9	-6,0	-3,0	-0,1	1,7
			2	0,2	0,7	0,7	1,1	1,8	1,2	1,1	0,2	0,0
			3	0,2	0,7	0,7	1,1	1,8	1,2	1,1	0,2	0,0
			4a	0,0	0,0	0,0	0,0	0,0	0,0	0,0	0,0	0,0
			4b	0,0	0,0	0,0	0,0	0,0	0,0	0,0	0,0	0,0
			5									
Tanak-sloj A	40	130	1	1,1	0,1	-0,7	-1,3	-3,1	-4,9	-3,5	-1,5	-2,5

			2	1,6	1,3	0,9	-0,4	-1,8	-2,1	-0,7	-0,2	0,5
			3	1,6	1,3	0,9	-0,4	-1,8	-2,1	-0,7	-0,2	0,5
			4a	0,0	0,0	0,0	0,0	0,0	0,0	0,0	0,0	0,0
			4b	0,0	0,0	0,0	0,0	0,0	0,0	0,0	0,0	0,0
			5									
Tavanak-sloj B	40	130	1	0,4	-1,3	-1,3	-0,4	-5,0	-7,1	-4,9	-3,3	-1,5
			2	1,6	1,3	0,9	-0,4	-1,8	-2,1	-0,7	-0,2	0,5
			3	1,6	1,3	0,9	-0,4	-1,8	-2,1	-0,7	-0,2	0,5
			4a	0,0	0,0	0,0	0,0	0,0	0,0	0,0	0,0	0,0
			4b	0,0	0,0	0,0	0,0	0,0	0,0	0,0	0,0	0,0
			5									



ThoriumSoftware d.o.o.

Mobile: +385 (0) 95 8 70 50 70

Kontakt: Dario Ilija Rendulić

Email:

info@thoriumsoftware.eu;

direndulic@gmail.com

„Opis	Najmanja brzina za koju vrijedi [km/h]	Najveća brzin a za koju vrije di [km/ h]	Kat e- gor ija	α_m (63 Hz)	α_m (125 Hz)	α_m (250 Hz)	α_m (500 Hz)	α_m (1 k Hz)	α_m (2 k Hz)	α_m (4 k Hz)	α_m (8 k Hz)	β_m
Referentna na površina ceste			1	0,0	0,0	0,0	0,0	0,0	0,0	0,0	0,0	0,0
			2	0,0	0,0	0,0	0,0	0,0	0,0	0,0	0,0	0,0
			3	0,0	0,0	0,0	0,0	0,0	0,0	0,0	0,0	0,0
			4a/4b	0,0	0,0	0,0	0,0	0,0	0,0	0,0	0,0	0,0
	50	130	1	0,0	5,4	4,3	4,2	-1,0	-3,2	-2,6	0,8	-6

Jednoslojni ZOAB													
			2	7,9	4,3	5,3	-0,4	-5,2	-4,6	-3,0	-1,4	0	,5
			3	9,3	5,0	5,5	-0,4	-5,2	-4,6	-3,0	-1,4	0	,2
			4a/4b	0,0	0,0	0,0	0,0	0,0	0,0	0,0	0,0	0	,0
Dvoslojni ZOAB	50	130	1	1,6	4,0	0,3	-3,0	-4,0	-6,2	-4,8	-2,0	-3	,0
			2	7,3	2,0	-0,3	-5,2	-6,1	-6,0	-4,4	-3,5	4	,7
			3	8,3	2,2	-0,4	-5,2	-6,2	-6,1	-4,5	-3,5	4	,7
			4a/4b	0,0	0,0	0,0	0,0	0,0	0,0	0,0	0,0	0	,0
Dvoslojni ZOAB (sitan)	80	130	1	-1,0	3,0	-1,5	-5,3	-6,3	-8,5	-5,3	-2,4	-0	,1
			2	7,9	0,1	-1,9	-5,9	-6,1	-6,8	-4,9	-3,8	-0	,8
			3	9,4	0,2	-1,9	-5,9	-6,1	-6,7	-4,8	-3,8	-0	,9
			4a/4b	0,0	0,0	0,0	0,0	0,0	0,0	0,0	0,0	0	,0
SMA-NL5	40	80	1	10,3	-0,9	0,9	1,8	-1,8	-2,7	-2,0	-1,3	-1	,6
			2	0,0	0,0	0,0	0,0	0,0	0,0	0,0	0,0	0	,0

			3	0,0	0,0	0,0	0,0	0,0	0,0	0,0	0,0	0,0
			4a/4b	0,0	0,0	0,0	0,0	0,0	0,0	0,0	0,0	0,0
SMA-NL8	40	80	1	6,0	0,3	0,3	0,0	-0,6	-1,2	-0,7	-0,7	-1,0
			2	0,0	0,0	0,0	0,0	0,0	0,0	0,0	0,0	0,0
			3	0,0	0,0	0,0	0,0	0,0	0,0	0,0	0,0	0,0
			4a/4b	0,0	0,0	0,0	0,0	0,0	0,0	0,0	0,0	0,0
Očetkani beton	70	120	1	8,2	-0,4	2,8	2,7	2,5	0,8	-0,3	-0,1	1,4
			2	0,3	4,5	2,5	-0,2	-0,1	-0,5	-0,9	-0,8	5,0
			3	0,2	5,3	2,5	-0,2	-0,1	-0,6	-1,0	-0,9	5,5
			4a/4b	0,0	0,0	0,0	0,0	0,0	0,0	0,0	0,0	0,0
Optimizirani očetkani beton	70	80	1	-0,2	-0,7	1,4	1,2	1,1	-1,6	-2,0	-1,8	1,0
			2	-0,7	3,0	-2,0	-1,4	-1,8	-2,7	-2,0	-1,9	-6,6
			3	-0,5	4,2	-1,9	-1,3	-1,7	-2,5	-1,8	-1,8	-6,6
			4a/4b	0,0	0,0	0,0	0,0	0,0	0,0	0,0	0,0	0,0

Fino očetkani beton	70	120	1	8,0	-0,7	4,8	2,2	1,2	2,6	1,5	-0,6	7,6
			2	0,2	8,6	7,1	3,2	3,6	3,1	0,7	0,1	3,2
			3	0,1	9,8	7,4	3,2	3,1	2,4	0,4	0,0	2,0
			4a/4b	0,0	0,0	0,0	0,0	0,0	0,0	0,0	0,0	0,0
Obrađena površina	50	130	1	8,3	2,3	5,1	4,8	4,1	0,1	-1,0	-0,8	-0,3
			2	0,1	6,3	5,8	1,8	-0,6	-2,0	-1,8	-1,6	1,7
			3	0,0	7,4	6,2	1,8	-0,7	-2,1	-1,9	-1,7	1,4
			4a/4b	0,0	0,0	0,0	0,0	0,0	0,0	0,0	0,0	0,0
Kruti elementi slagani u uzorku riblje kosti	30	60	1	27,0	16,2	14,7	6,1	3,0	-1,0	1,2	4,5	2,5
			2	29,5	20,0	17,6	8,0	6,2	-1,0	3,1	5,2	2,5
			3	29,4	21,2	18,2	8,4	5,6	-1,0	3,0	5,8	2,5
			4a/4b	0,0	0,0	0,0	0,0	0,0	0,0	0,0	0,0	0,0
Kruti elementi koji nisu slagani u uzorku riblje kosti	30	60	1	31,4	19,7	16,8	8,4	7,2	3,3	7,8	9,1	2,9
			2	34,0	23,6	19,8	10,5	11,7	8,2	12,2	10,0	2,9
			3	33,8	24,7	20,4	10,9	10,9	6,8	12,0	10,8	2,9

			4a/4b	0,0	0,0	0,0	0,0	0,0	0,0	0,0	0,0	0,0	0,0
Tihi kruti elementi	30	60	1	26,8	13,7	11,9	3,9	-1,8	-5,8	-2,7	0,2	-1,7	,
			2	9,2	5,7	4,8	2,3	4,4	5,1	5,4	0,9	0,0	,
			3	9,1	6,6	5,2	2,6	3,9	3,9	5,2	1,1	0,0	,
			4a/4b	0,0	0,0	0,0	0,0	0,0	0,0	0,0	0,0	0,0	,
Tanak sloj A	40	130	1	10,4	0,7	-0,6	-1,2	-3,0	-4,8	-3,4	-1,4	-2,9	,
			2	13,8	5,4	3,9	-0,4	-1,8	-2,1	-0,7	-0,2	0,5	,
			3	14,1	6,1	4,1	-0,4	-1,8	-2,1	-0,7	-0,2	0,3	,
			4a/4b	0,0	0,0	0,0	0,0	0,0	0,0	0,0	0,0	0,0	,
Tanak sloj B	40	130	1	6,8	-1,2	-1,2	-0,3	-4,9	-7,0	-4,8	-3,2	-1,8	,
			2	13,8	5,4	3,9	-0,4	-1,8	-2,1	-0,7	-0,2	0,5	,
			3	14,1	6,1	4,1	-0,4	-1,8	-2,1	-0,7	-0,2	0,3	,
			4a/4b	0,0	0,0	0,0	0,0	0,0	0,0	0,0	0,0	0,0	,

Dodatak G

BAZA PODATAKA ZA IZVORE BUKE PRUŽNOG PROMETA

U ovom se prilogu nalazi baza podataka koja obuhvaća većinu postojećih izvora buke pružnog prometa; namijenjena je za izračunavanje buke pružnog prometa prema modelu opisanom u odjeljku 2.3. Buka pružnog prometa.

Tablica G-1. Koeficijenti $L_{r,TR,i}$ i $L_{r,VEH,i}$ za hrapavost tračnica i kotača

$L_{r,VEH,i}$			
Valna duljina	Tip kočnice		
	c	k	n
	Kočnica s umetkom od lijevanog željeza	Kompozitna kočnica	Disk-kočnica
1 000 mm	2,2	-4,0	-5,9
800 mm	2,2	-4,0	-5,9
630 mm	2,2	-4,0	-5,9
500 mm	2,2	-4,0	-5,9
400 mm	2,2	-4,0	-5,9
315 mm	2,2	-4,0	-5,9
250 mm	2,2	-4,0	2,3
200 mm	2,2	-4,0	2,8
160 mm	2,4	-4,0	2,6
120 mm	0,6	-4,0	1,2
100 mm	2,6	-4,0	2,1
80 mm	5,8	-4,3	0,9
63 mm	8,8	-4,6	-0,3
50 mm	11,1	-4,9	-1,6
40 mm	11,0	-5,2	-2,9
31,5 mm	9,8	-6,3	-4,9



ThoriumSoftware d.o.o.

Mobile: +385 (0) 95 8 70 50 70
 Kontakt: Dario Ilija Rendulić
 Email:
 info@thoriumsoftware.eu;
 direndulic@gmail.com

25 mm	7,5	-6,8	-7,0
20 mm	5,1	-7,2	-8,6
16 mm	3,0	-7,3	-9,3
12 mm	1,3	-7,3	-9,5
10 mm	0,2	-7,1	-10,1
8 mm	-0,7	-6,9	-10,3
6,3 mm	-1,2	-6,7	-10,3
5 mm	-1,0	-6,0	-10,8
4 mm	0,3	-3,7	-10,9
3,2 mm	0,2	-2,4	-9,5
2,5 mm	1,3	-2,6	-9,5
2 mm	3,1	-2,5	-9,5
1,6 mm	3,1	-2,5	-9,5
1,2 mm	3,1	-2,5	-9,5
1 mm	3,1	-2,5	-9,5
0,8 mm	3,1	-2,5	-9,5

Valna duljina	$L_{f,TR,i}$	
	E	M
	EN ISO 3095:2013 (Dobro održavana i vrlo glatka)	Prosječna mreža (normalno održavana tako da bude glatka)
1.000 mm	17,1	11,0
800 mm	17,1	11,0

630 mm	17,1	11,0
500 mm	17,1	11,0
400 mm	17,1	11,0
315 mm	15,0	10,0
250 mm	13,0	9,0
200 mm	11,0	8,0
160 mm	9,0	7,0
120 mm	7,0	6,0
100 mm	4,9	5,0
80 mm	2,9	4,0
63 mm	0,9	3,0
50 mm	-1,1	2,0
40 mm	-3,2	1,0
31,5 mm	-5,0	0,0
25 mm	-5,6	-1,0
20 mm	-6,2	-2,0
16 mm	-6,8	-3,0
12 mm	-7,4	-4,0
10 mm	-8,0	-5,0
8 mm	-8,6	-6,0
6,3 mm	-9,2	-7,0
5 mm	-9,8	-8,0
4 mm	-10,4	-9,0
3,2 mm	-11,0	-10,0



ThoriumSoftware d.o.o.

Mobile: +385 (0) 95 8 70 50 70
Kontakt: Dario Ilija Rendulić
Email:
info@thoriumsoftware.eu;
direndulic@gmail.com

2,5 mm	-11,6	-11,0
2 mm	-12,2	-12,0
1,6 mm	-12,8	-13,0
1,2 mm	-13,4	-14,0
1 mm	-14,0	-15,0
0,8 mm	-14,0	-15,0

L_{r,TR,i}

Valna duljina	Hrapavost tračnica	
	E	M
	EN ISO 3095:2013 (Dobro održavana i vrlo glatka)	Prosječna mreža (normalno održavana tako da bude glatka)
2 000 mm	17,1	35,0
1 600 mm	17,1	31,0
1 250 mm	17,1	28,0
1 000 mm	17,1	25,0
800 mm	17,1	23,0
630 mm	17,1	20,0
500 mm	17,1	17,0
400 mm	17,1	13,5
315 mm	15,0	10,5
250 mm	13,0	9,0
200 mm	11,0	6,5
160 mm	9,0	5,5
125 mm	7,0	5,0
100 mm	4,9	3,5
80 mm	2,9	2,0
63 mm	0,9	0,1
50 mm	-1,1	-0,2
40 mm	-3,2	-0,3
31,5 mm	-5,0	-0,8
25 mm	-5,6	-3,0
20 mm	-6,2	-5,0
16 mm	-6,8	-7,0
12,5 mm	-7,4	-8,0
10 mm	-8,0	-9,0
8 mm	-8,6	-10,0
6,3 mm	-9,2	-12,0
5 mm	-9,8	-13,0
4 mm	-10,4	-14,0
3,15 mm	-11,0	-15,0
2,5 mm	-11,6	-16,0
2 mm	-12,2	-17,0
1,6 mm	-12,8	-18,0

1,25 mm	-13,4	-19,0
1 mm	-14,0	-19,0
0,8 mm	-14,0	-19,0 "

Tablica G-2. Koeficijenti $A_{3,i}$ za kontaktni filter

$A_{3,i}$	Øsevinsko opterećenje 50 kN – promjer kotača 360 mm	Øsevinsko opterećenje 50 kN – promjer kotača 680 mm	Øsevinsko opterećenje 25 kN – promjer kotača 920 mm	Øsevinsko opterećenje 50 kN – promjer kotača 920 mm	Øsevinsko opterećenje 100 kN – promjer kotača 920 mm
1000 mm	0,0	0,0	0,0	0,0	0,0
800 mm	0,0	0,0	0,0	0,0	0,0
630 mm	0,0	0,0	0,0	0,0	0,0
500 mm	0,0	0,0	0,0	0,0	0,0
400 mm	0,0	0,0	0,0	0,0	0,0
315 mm	0,0	0,0	0,0	0,0	0,0
250 mm	0,0	0,0	0,0	0,0	0,0
200 mm	0,0	0,0	0,0	0,0	0,0
160 mm	0,0	0,0	0,0	0,0	0,0
120 mm	0,0	0,0	0,0	0,0	0,0
100 mm	0,0	0,0	0,0	0,0	0,0
80 mm	0,0	0,0	0,0	-0,2	-0,2
63 mm	0,0	-0,2	-0,2	-0,5	-0,6
50 mm	-0,2	-0,4	-0,5	-0,9	-1,3
40 mm	-0,5	-0,7	-0,9	-1,6	-2,2
31,5 mm	-1,2	-1,5	-1,6	-2,5	-3,7



ThoriumSoftware d.o.o.

Mobile: +385 (0) 95 8 70 50 70

Kontakt: Dario Ilija Rendulić

Email:

info@thoriumsoftware.eu;

direndulic@gmail.com

25 mm	-2,0	-2,8	-2,5	-3,8	-5,8
20 mm	-3,0	-4,5	-3,8	-5,8	-9,0
16 mm	-4,3	-7,0	-5,8	-8,5	-11,5
12 mm	-6,0	-10,3	-8,5	-11,4	-12,5
10 mm	-8,4	-12,0	-12,0	-12,0	-12,0
8 mm	-12,0	-12,5	-12,6	-13,5	-14,0
6,3 mm	-11,5	-13,5	-13,5	-14,5	-15,0
5 mm	-12,5	-16,0	-14,5	-16,0	-17,0
4 mm	-13,9	-16,0	-16,0	-16,5	-18,4
3,2 mm	-14,7	-16,5	-16,5	-17,7	-19,5
2,5 mm	-15,6	-17,0	-17,7	-18,6	-20,5
2 mm	-16,6	-18,0	-18,6	-19,6	-21,5
1,6 mm	-17,6	-19,0	-19,6	-20,6	-22,4
1,2 mm	-18,6	-20,2	-20,6	-21,6	-23,5
1 mm	-19,6	-21,2	-21,6	-22,6	-24,5
0,8 mm	-20,6	-22,2	-22,6	-23,6	-25,4

1.1. Valna duljina	,,A _{3,i}				
	Opterećenje kotača 50 kN – promjer kotača 360 mm	Opterećenje kotača 50 kN – promjer kotača 680 mm	Opterećenje kotača 50 kN – promjer kotača 920 mm	Opterećenje kotača 25 kN – promjer kotača 920 mm	Opterećenje kotača 100 kN – promjer kotača 920 mm
2 000 mm	0,0	0,0	0,0	0,0	0,0
1 600 mm	0,0	0,0	0,0	0,0	0,0
1 250 mm	0,0	0,0	0,0	0,0	0,0
1 000 mm	0,0	0,0	0,0	0,0	0,0
800 mm	0,0	0,0	0,0	0,0	0,0
630 mm	0,0	0,0	0,0	0,0	0,0
500 mm	0,0	0,0	0,0	0,0	0,0
400 mm	0,0	0,0	0,0	0,0	0,0
315 mm	0,0	0,0	0,0	0,0	0,0
250 mm	0,0	0,0	0,0	0,0	0,0
200 mm	0,0	0,0	0,0	0,0	0,0
160 mm	0,0	0,0	0,0	0,0	-0,1
125 mm	0,0	0,0	-0,1	0,0	-0,2
100 mm	0,0	-0,1	-0,1	0,0	-0,3
80 mm	-0,1	-0,2	-0,3	-0,1	-0,6
63 mm	-0,2	-0,3	-0,6	-0,3	-1,0
50 mm	-0,3	-0,7	-1,1	-0,5	-1,8
40 mm	-0,6	-1,2	-1,3	-1,1	-3,2
31,5 mm	-1,0	-2,0	-3,5	-1,8	-5,4
25 mm	-1,8	-4,1	-5,3	-3,3	-8,7
20 mm	-3,2	-6,0	-8,0	-5,3	-12,2
16 mm	-5,4	-9,2	-12,0	-7,9	-16,7
12,5 mm	-8,7	-13,8	-16,8	-12,8	-17,7
10 mm	-12,2	-17,2	-17,7	-16,8	-17,8
8 mm	-16,7	-17,7	-18,0	-17,7	-20,7
6,3 mm	-17,7	-18,6	-21,5	-18,2	-22,1
5 mm	-17,8	-21,5	-21,8	-20,5	-22,8

4 mm	-20,7	-22,3	-22,8	-22,0	-24,0
3,15 mm	-22,1	-23,1	-24,0	-22,8	-24,5
2,5 mm	-22,8	-24,4	-24,5	-24,2	-24,7
2 mm	-24,0	-24,5	-25,0	-24,5	-27,0
1,6 mm	-24,5	-25,0	-27,3	-25,0	-27,8
1,25 mm	-24,7	-28,0	-28,1	-27,4	-28,6
1 mm	-27,0	-28,8	-28,9	-28,2	-29,4
0,8 mm	-27,8	-29,6	-29,7	-29,0	-30,2 "

Tablica G-3. Koeficijenti $L_{H,TR,i}$, $L_{H,VEH,i}$ i $L_{H,VEH,SUP,i}$ za prijenosne funkcije

(Vrijednosti izražene u razini zvučne snage po osovini)

$L_{H,TR,i}$							
Frekvencija	Podloga kolosijeka / Tip podložnih ploča						
	B/S	B/M	B/H	B/S	B/M	B/H	B/H
	Jednodjelni prag na mekoj podložnoj ploči	Jednodjelni prag na podložnoj ploči srednje krutosti	Jednodjelni prag na krutoj podložnoj ploči	Dvodjelni prag na mekoj podložnoj ploči	Dvodjelni prag na podložnoj ploči srednje krutosti	Dvodjelni prag na krutoj podložnoj ploči	Drveni pragovi
50 Hz	53,3	50,9	50,1	50,9	50,0	49,8	44,0
63 Hz	59,3	57,8	57,2	56,6	56,1	55,9	51,0
80 Hz	67,2	66,5	66,3	64,3	64,1	64,0	59,9
100 Hz	75,9	76,8	77,2	72,3	72,5	72,5	70,8
125 Hz	79,2	80,9	81,6	75,4	75,8	75,9	75,1
160 Hz	81,8	83,3	84,0	78,5	79,1	79,4	76,9
200 Hz	84,2	85,8	86,5	81,8	83,6	84,4	77,2
250 Hz	88,6	90,0	90,7	86,6	88,7	89,7	80,9
316 Hz	91,0	91,6	92,1	89,1	89,6	90,2	85,3
400 Hz	94,5	93,9	94,3	91,9	89,7	90,2	92,5



ThoriumSoftware d.o.o.

Mobile: +385 (0) 95 8 70 50 70
Kontakt: Dario Ilija Rendulić
Email:
info@thoriumsoftware.eu;
direndulic@gmail.com

500 Hz	97,0	95,6	95,8	94,5	90,6	90,8	97,0
630 Hz	99,2	97,4	97,0	97,5	93,8	93,1	98,7
800 Hz	104,0	101,7	100,3	104,0	100,6	97,9	102,8
1 000 Hz	107,1	104,4	102,5	107,9	104,7	101,1	105,4
1 250 Hz	108,3	106,0	104,2	108,9	106,3	103,4	106,5
1 600 Hz	108,5	106,8	105,4	108,8	107,1	105,4	106,4
2 000 Hz	109,7	108,3	107,1	109,8	108,8	107,7	107,5
2 500 Hz	110,0	108,9	107,9	110,2	109,3	108,5	108,1
3 160 Hz	110,0	109,1	108,2	110,1	109,4	108,7	108,4
4 000 Hz	110,0	109,4	108,7	110,1	109,7	109,1	108,7
5 000 Hz	110,3	109,9	109,4	110,3	110,0	109,6	109,1
6 350 Hz	110,0	109,9	109,7	109,9	109,8	109,6	109,1
8 000 Hz	110,1	110,3	110,4	110,0	110,0	109,9	109,5
10 000 Hz	110,6	111,0	111,4	110,4	110,5	110,6	110,2

Frekven cija	<i>, „L_{H,Tn}“</i>							
	M/S	M/M	M/H	B/S	B/M	B/H	W	D
	Jednodij elni prag na mekoj podložno j ploči	Jednodij elni prag na podložno j ploči srednje krutosti	Jednodij elni prag na krutoj podložno j ploči	Dvodij elni prag na mekoj podlož noj ploči	Dvodij elni prag na podlož noj ploči	Dvodij elni prag na krutoj podlož noj ploči	Drve ni prag ovi	Izravno pričvršćiv anje na mostovim a
50 Hz	53,3	50,9	50,1	50,9	50,0	49,8	44,0	75,4
63 Hz	59,3	57,8	57,2	56,6	56,1	55,9	51,0	77,4
80 Hz	67,2	66,5	66,3	64,3	64,1	64,0	59,9	81,4
100 Hz	75,9	76,8	77,2	72,3	72,5	72,5	70,8	87,1
125 Hz	79,2	80,9	81,6	75,4	75,8	75,9	75,1	88,0
160 Hz	81,8	83,3	84,0	78,5	79,1	79,4	76,9	89,7
200 Hz	84,2	85,8	86,5	81,8	83,6	84,4	77,2	83,4
250 Hz	88,6	90,0	90,7	86,6	88,7	89,7	80,9	87,7
315 Hz	91,0	91,6	92,1	89,1	89,6	90,2	85,3	89,8
400 Hz	94,5	93,9	94,3	91,9	89,7	90,2	92,5	97,5
500 Hz	97,0	95,6	95,8	94,5	90,6	90,8	97,0	99,0
630 Hz	99,2	97,4	97,0	97,5	93,8	93,1	98,7	100,8
800 Hz	104,0	101,7	100,3	104,0	100,6	97,9	102,8	104,9
1 000 Hz	107,1	104,4	102,5	107,9	104,7	101,1	105,4	111,8
1 250 Hz	108,3	106,0	104,2	108,9	106,3	103,4	106,5	113,9

1 600 Hz	108,5	106,8	105,4	108,8	107,1	105,4	106,4	115,5
2 000 Hz	109,7	108,3	107,1	109,8	108,8	107,7	107,5	114,9
2 500 Hz	110,0	108,9	107,9	110,2	109,3	108,5	108,1	118,2
3 150 Hz	110,0	109,1	108,2	110,1	109,4	108,7	108,4	118,3
4 000 Hz	110,0	109,4	108,7	110,1	109,7	109,1	108,7	118,4
5 000 Hz	110,3	109,9	109,4	110,3	110,0	109,6	109,1	118,9
6 300 Hz	110,0	109,9	109,7	109,9	109,8	109,6	109,1	117,5
8 000 Hz	110,1	110,3	110,4	110,0	110,0	109,9	109,5	117,9
10 000 Hz	110,6	111,0	111,4	110,4	110,5	110,6	110,2	118,6 **

L _{H,VEH,i}				
Frekvencija	Kotač promjera 920 mm, bez dodatnih mjera	Kotač promjera 840 mm, bez dodatnih mjera	Kotač promjera 680 mm, bez dodatnih mjera	Kotač promjera 1 200 mm, bez dodatnih mjera
50 Hz	75,4	75,4	75,4	75,4
63 Hz	77,3	77,3	77,3	77,3
80 Hz	81,1	81,1	81,1	81,1
100 Hz	84,1	84,1	84,1	84,1
125 Hz	83,3	82,8	82,8	82,8
160 Hz	84,3	83,3	83,3	83,3
200 Hz	86,0	84,1	83,9	84,5
250 Hz	90,1	86,9	86,3	90,4
316 Hz 315 Hz	89,8	87,9	88,0	90,4

400 Hz	89,0	89,9	92,2	89,9
500 Hz	88,8	90,9	93,9	90,1
630 Hz	90,4	91,5	92,5	91,3
800 Hz	92,4	91,5	90,9	91,5
1 000 Hz	94,9	93,0	90,4	93,6
1 250 Hz	100,4	98,7	93,2	100,5
1 600 Hz	104,6	101,6	93,5	104,6
2 000 Hz	109,6	107,6	99,6	115,6
2 500 Hz	114,9	111,9	104,9	115,9
3 160 Hz 3 150 Hz	115,0	114,5	108,0	116,0
4 000 Hz	115,0	114,5	111,0	116,0
5 000 Hz	115,5	115,0	111,5	116,5
6 350 Hz 6 300 Hz	115,6	115,1	111,6	116,6
8 000 Hz	116,0	115,5	112,0	117,0
10 000 Hz	116,7	116,2	112,7	117,7

$L_{H,VEH,SUP,i}$	
Frekvencija	Tip vozila
	a
	Norma EU-a
50 Hz	0,0
63 Hz	0,0
80 Hz	0,0

100 Hz	0,0
125 Hz	0,0
160 Hz	0,0
200 Hz	0,0
250 Hz	0,0
316 Hz 315 Hz	0,0
400 Hz	0,0
500 Hz	0,0
630 Hz	0,0
800 Hz	0,0
1 000 Hz	0,0
1 250 Hz	0,0
1 600 Hz	0,0
2 000 Hz	0,0
2 500 Hz	0,0
3 160 Hz 3 150 Hz	0,0
4 000 Hz	0,0
5 000 Hz	0,0
6 350 Hz 6 300 Hz	0,0
8 000 Hz	0,0
10 000 Hz	0,0

Tablica G-4. Koeficijenti $L_{R,IMPACT,i}$ za udarnu buku

$L_{R,IMPACT,i}$	
Valna duljina	Jedna skretnica/spoj/prijelaz/100 m
1 000 mm	22,4
800 mm	22,4
630 mm	22,4
500 mm	23,8
400 mm	24,7
315 mm	24,7
250 mm	23,4
200 mm	21,7
160 mm	20,2
120 mm	20,4
100 mm	20,8
80 mm	20,9
63 mm	19,8
50 mm	18
40 mm	16
31,5 mm	13
25 mm	10
20 mm	6
16 mm	4
12 mm	-4
10 mm	-11
8 mm	-16,5



ThoriumSoftware d.o.o.

Mobile: +385 (0) 95 8 70 50 70
Kontakt: Dario Ilija Rendulić
Email:
info@thoriumsoftware.eu;
direndulic@gmail.com

6,3 mm	-18,5
5 mm	-21
4 mm	-22,5
3,2 mm	-24,7
2,5 mm	-26,6
2 mm	-28,6
1,6 mm	-30,6
1,2 mm	-32,6
1 mm	-34
0,8 mm	-34

Valna duljina	„L _{R,IMPACT} “
2 000 mm	22,0
1 600 mm	22,0
1 250 mm	22,0
1 000 mm	22,0
800 mm	22,0
630 mm	20,0
500 mm	16,0
400 mm	15,0

315 mm	14,0
250 mm	15,0
200 mm	14,0
160 mm	12,0
125 mm	11,0
100 mm	10,0
80 mm	9,0
63 mm	8,0
50 mm	6,0
40 mm	3,0
31,5 mm	2,0
25 mm	-3,0
20 mm	-8,0
16 mm	-13,0
12,5 mm	-17,0
10 mm	-19,0
8 mm	-22,0
6,3 mm	-25,0
5 mm	-26,0
4 mm	-32,0
3,15 mm	-35,0
2,5 mm	-40,0
2 mm	-43,0
1,6 mm	-45,0
1,25 mm	-47,0
1 mm	-49,0
0,8 mm	-50,0 "

Tablica G-5. Koeficijenti $L_{W,0,idling}$ za buku vuče
 (Vrijednosti izražene u razini zvučne snage po vozilu)

Frekvencija	$L_{W,0,idling}$				
	Tip vozila				
	d	d	d	e	e

	Dizelska lokomotiva (oko 800 kW)		Dizelska lokomotiva (oko 2 200 kW)		Dizelska motorna vozila		Električna lokomotiva		Električna motorna vozila	
	Izvor A	Izvor B	Izvor A	Izvor B	Izvor A	Izvor B	Izvor A	Izvor B	Izvor A	Izvor B
50 Hz	98,9	103,2	99,4	103,7	82,6	86,9	87,9	92,2	80,5	84,8
63 Hz	94,8	100,0	107,3	112,5	82,5	87,7	90,8	96,0	81,4	86,6
80 Hz	92,6	95,5	103,1	106,0	89,3	92,2	91,6	94,5	80,5	83,4
100 Hz	94,6	94,0	102,1	101,5	90,3	89,7	94,6	94,0	82,2	81,6
125 Hz	92,8	93,3	99,3	99,8	93,5	94,0	94,8	95,3	80,0	80,5
160 Hz	92,8	93,6	99,3	100,1	99,5	100,3	96,8	97,6	79,7	80,5
200 Hz	93,0	92,9	99,5	99,4	98,7	98,6	104,0	103,9	79,6	79,5
250 Hz	94,8	92,7	101,3	99,2	95,5	93,4	100,8	98,7	96,4	94,3
316 Hz 315 Hz	94,6	92,4	101,1	98,9	90,3	88,1	99,6	97,4	80,5	78,3
400 Hz	95,7	92,8	102,2	99,3	91,4	88,5	101,7	98,8	81,3	78,4
500 Hz	95,6	92,8	102,1	99,3	91,3	88,5	98,6	95,8	97,2	94,4
630 Hz	98,6	96,8	101,1	99,3	90,3	88,5	95,6	93,8	79,5	77,7
800 Hz	95,2	92,7	101,7	99,2	90,9	88,4	95,2	92,7	79,8	77,3
1 000 Hz	95,1	93,0	101,6	99,5	91,8	89,7	96,1	94,0	86,7	84,6
1 250 Hz	95,1	92,9	99,3	97,1	92,8	90,6	92,1	89,9	81,7	79,5
1 600 Hz	94,1	93,1	96,0	95,0	92,8	91,8	89,1	88,1	82,7	81,7
2 000 Hz	94,1	93,2	93,7	92,8	90,8	89,9	87,1	86,2	80,7	79,8
2 500 Hz	99,4	98,3	101,9	100,8	88,1	87,0	85,4	84,3	78,0	76,9
3 160 Hz	92,5	91,5	89,5	88,5	85,2	84,2	83,5	82,5	75,1	74,1

3 150 Hz										
4 000 Hz	89,5	88,7	87,1	86,3	83,2	82,4	81,5	80,7	72,1	71,3
5 000 Hz	87,0	86,0	90,5	89,5	81,7	80,7	80,0	79,0	69,6	68,6
6 350 Hz 6 300 Hz	84,1	83,4	31,4 81,4	30,7 80,7	78,8	78,1	78,1	77,4	66,7	66,0
8 000 Hz	81,5	80,9	81,2	80,6	76,2	75,6	76,5	75,9	64,1	63,5
10 000 Hz	79,2	78,7	79,6	79,1	73,9	73,4	75,2	74,7	61,8	61,3

Tablica G-6. Koeficijenti $L_{W,0,1}$, $L_{W,0,2}$, α_1 , α_2 za aerodinamičku buku
 (Vrijednosti izražene u razini zvučne snage po vozilu (za vozila duljine 20 m))

	Aerodinamička buka pri 300 km/h	
	α_1	α_2
	50	50
Frekvencija	$L_{W,0,1}$	$L_{W,0,2}$
50 Hz	112,6	36,7
63 Hz	113,2	38,5
80 Hz	115,7	39,0
100 Hz	117,4	37,5
125 Hz	115,3	36,8
160 Hz	115,0	37,1
200 Hz	114,9	36,4
250 Hz	116,4	36,2
316 Hz 315 Hz	115,9	35,9
400 Hz	116,3	36,3
500 Hz	116,2	36,3

630 Hz	115,2	36,3
800 Hz	115,8	36,2
1 000 Hz	115,7	36,5
1 250 Hz	115,7	36,4
1 600 Hz	114,7	105,2
2 000 Hz	114,7	110,3
2 500 Hz	115,0	110,4
3 160 Hz 3 150 Hz	114,5	105,6
4 000 Hz	113,1	37,2
5 000 Hz	112,1	37,5
6 350 Hz 6 300 Hz	110,6	37,9
8 000 Hz	109,6	38,4
10 000 Hz	108,8	39,2

Tablica G-7. Koeficijenti C_{bridge} za strukturno zračenje

C_{bridge}	
Predloga kolosijeka	
N	L
Uglavnom betonski ili zidani mostovi s bilo kojim oblikom kolosijeka	Uglavnom čelični mostovi s kolosijekom na zastoru
4	4

Frekvencija	,, $L_{H, \text{bridge}, i}$	+ 10 dB(A)	+ 15 dB(A)
50 Hz		85,2	90,1
63 Hz		87,1	92,1
80 Hz		91,0	96,0
100 Hz		94,0	99,5
125 Hz		94,4	99,9
160 Hz		96,0	101,5
200 Hz		92,5	99,6
250 Hz		96,7	103,8
315 Hz		97,4	104,5
400 Hz		99,4	106,5
500 Hz		100,7	107,8
630 Hz		102,5	109,6
800 Hz		107,1	116,1
1 000 Hz		109,8	118,8
1 250 Hz		112,0	120,9
1 600 Hz		107,2	109,5
2 000 Hz		106,8	109,1
2 500 Hz		107,3	109,6
3 150 Hz		99,3	102,0
4 000 Hz		91,4	94,1
5 000 Hz		86,9	89,6
6 300 Hz		79,7	83,6
8 000 Hz		75,1	79,0
10 000 Hz		70,8	74,7 ”

Prilog H

Baza podataka za izvore buke industrijskih pogona i postrojenja

U ovom se prilogu nalazi nekoliko primjera ulaznih vrijednosti za neke izvore buke industrijskih pogona i postrojenja koji se mogu upotrijebiti za izračunavanje buke industrijskih pogona i postrojenja prema modelu opisanom u odjeljku 2.4. Buka industrijskih pogona i postrojenja. Budući da su izvori buke industrijskih pogona i postrojenja krajnje specifični za svaku industrijsku lokaciju, odgovarajuće vrijednosti dobivaju se iz lokalnih, nacionalnih ili međunarodnih baza podataka ili mjerjenjem, ovisno o tome što je najprikladnije.

Tablica H-1 Koeficijenti L_W , $L_{W'}$ i $\Delta L_{W,dir,xyz}$ (x, y, z) za zvučnu snagu

$$\Delta L_{W,\text{dir},xyz}(x, y, z) = 0$$

L_w je izražen kao zvučna snaga po metru linijskog izvora ili po kvadratnom metru površinskog izvora.

Opis	Tip izvora	Usmjerenost izvora	63	125	250	500	1000	2000	4000	8000
Pjeskarenje – u vanjskom prostoru – uz korištenje mlaznice	Točkasti izvor	Slobodno polje	108,77	110,37	112,77	107,77	104,37	98,07	97,07	86,97
Rotacijska peć	Linijski izvor	Slobodno polje	79,27	84,17	86,67	89,27	93,07	93,47	92,07	87,77
Brodogradilište	Površinski izvor	Poluslobodno polje	67,17	69,07	74,57	62,17	63,97	66,77	70,97	68,07
Plinski terminal	Površinski izvor	Poluslobodno polje	74,17	70,07	65,57	64,17	59,97	57,77	51,97	56,07

PRILOG I

BAZA PODATAKA ZA IZVORE BUKE ZRAKOPLOVA — NPD PODACI

DODATAK I: BAZA PODATAKA ZA IZVORE BUKE ZRAKOPLOVA – PODACI O BUCI I PERFORMANSAMA ZRAKOPLAOVA (ANP)

U ovom se prilogu nalazi baza podataka koja obuhvaća većinu postojećih izvora buke zrakoplova. Namijenjena je za izračunavanje buke zrakoplova prema modelu opisanom u odjeljku 2.6. Buka zrakoplova.

Tablica I-1: Aerodinamički koeficijenti

Oznaka zrakoplova (ACFT_ID)	Tip operacije (OP_TYPE)	Oznaka zakrilca (FLAP_ID)	B (ft/lb)	C (kt/vlb)	D (kt/vlb)	R
1900D	A	35-A			0,915858	0,130495
1900D	A	A_40D			0,416345	0,140491
1900D	A	ZERO-A				0,106643
1900D	D	17-D	0,060076	0,858496		0,072968
1900D	D	ZERO-D				0,094383
707320	A	D-25			0,307537	0,107756

707320	A	D-40			0,279116	0,134567
707320	A	D-50			0,275511	0,15472
707320	A	U-25				0,098219
707320	D	14	0,004514	0,312431		0,089316
707320	D	INT				0,072743
707320	D	ZERO				0,05617
707QN	A	D-25			0,307537	0,107756
707QN	A	D-40			0,279116	0,134567
707QN	A	D-50			0,275511	0,15472
707QN	A	U-25				0,098219
707QN	D	14	0,004514	0,312431		0,089316
707QN	D	INT				0,072743
707QN	D	ZERO				0,05617
717200	A	A_OU				0,06456
717200	A	A_13D				0,109249
717200	A	A_13U				0,095353
717200	A	A_18D				0,11009
717200	A	A_18U				0,095015
717200	A	A_40D			0,416345	0,140491
717200	D	T_00B				0,06
717200	D	T_00C				0,06
717200	D	T_05H	0,011607	0,483254		0,075
717200	D	T_05M	0,011795	0,489068		0,075
717200	D	T_13A	0,010862	0,469923		0,078

720B	A	D-30			0,350247	0,109478
720B	A	D-50			0,339412	0,148843
720B	A	U-30				0,09805
720B	D	20	0,00573	0,356426		0,091933
720B	D	30	0,005238	0,340735		0,104243
720B	D	INT				0,074052
720B	D	ZERO				0,05617
727100	A	D-25			0,350485	0,128359
727100	A	D-30			0,343897	0,145903
727100	A	D-40			0,335992	0,186604
727100	A	U-15				0,090698
727100	A	U-25				0,113154
727100	D	2				0,0857
727100	D	5	0,008692	0,415048		0,088916
727100	D	15	0,008301	0,392649		0,095459
727100	D	25	0,007389	0,371567		0,115623
727100	D	ZERO				0,0636
727D15	A	D-25			0,383689	0,109535
727D15	A	D-30			0,368	0,1437
727D15	A	D-40			0,36	0,1844
727D15	A	U-15				0,089969
727D15	A	U-25				0,109535
727D15	D	2				0,0857
727D15	D	5	0,00924	0,409		0,0869

727D15	D	15	0,00826	0,388		0,0929
727D15	D	20	0,007712	0,376653		0,108897
727D15	D	25	0,00763	0,367		0,1112
727D15	D	ZERO				0,0594
727D17	A	D-25			0,383689	0,124821
727D17	A	D-30			0,368	0,1437
727D17	A	D-40			0,36	0,1844
727D17	A	U-15				0,089969
727D17	A	U-25				0,109535
727D17	D	2				0,0857
727D17	D	5	0,00924	0,409		0,0869
727D17	D	15	0,00826	0,388		0,0929
727D17	D	20	0,007712	0,376653		0,108897
727D17	D	25	0,00763	0,367		0,1112
727D17	D	ZERO				0,0594
727EM1	A	D-25			0,350485	0,128359
727EM1	A	D-30			0,343897	0,145903
727EM1	A	D-40			0,335992	0,186604
727EM1	A	U-15				0,090698
727EM1	A	U-25				0,113154
727EM1	D	2				0,0857
727EM1	D	5	0,008692	0,415048		0,088916
727EM1	D	15	0,008301	0,392649		0,095459
727EM1	D	25	0,007389	0,371567		0,115623



ThoriumSoftware d.o.o.

Mobile: +385 (0) 95 8 70 50 70
Kontakt: Dario Ilija Rendulić
Email:
info@thoriumsoftware.eu;
direndulic@gmail.com

727EM1	D	ZERO				0,0636
727EM2	A	D-25			0,383689	0,109535
727EM2	A	D-30			0,368	0,1437
727EM2	A	D-40			0,36	0,1844
727EM2	A	U-15				0,089969
727EM2	A	U-25				0,109535
727EM2	D	2				0,0857
727EM2	D	5	0,00924	0,409		0,0869
727EM2	D	15	0,00826	0,388		0,0929
727EM2	D	20	0,007712	0,376653		0,108897
727EM2	D	25	0,00763	0,367		0,1112
727EM2	D	ZERO				0,0594
727Q15	A	D-25			0,383689	0,109535
727Q15	A	D-30			0,368	0,1437
727Q15	A	D-40			0,36	0,1844
727Q15	A	U-15				0,089969
727Q15	A	U-25				0,109535
727Q15	D	2				0,0857
727Q15	D	5	0,00924	0,409		0,0869
727Q15	D	15	0,00826	0,388		0,0929
727Q15	D	20	0,007712	0,376653		0,108897
727Q15	D	25	0,00763	0,367		0,1112
727Q15	D	ZERO				0,0594
727Q7	A	D-25			0,350485	0,128359

727Q7	A	D-30			0,343897	0,145903
727Q7	A	D-40			0,335992	0,186604
727Q7	A	U-15				0,090698
727Q7	A	U-25				0,113154
727Q7	D	2				0,0857
727Q7	D	5	0,008692	0,415048		0,088916
727Q7	D	15	0,008301	0,392649		0,095459
727Q7	D	25	0,007389	0,371567		0,115623
727Q7	D	ZERO				0,0636
727Q9	A	D-25			0,372885	0,124565
727Q9	A	D-30			0,367614	0,142606
727Q9	A	D-40			0,359182	0,184273
727Q9	A	U-15				0,090523
727Q9	A	U-25				0,109315
727Q9	D	2				0,0857
727Q9	D	5	0,00924	0,409		0,0869
727Q9	D	15	0,00826	0,388		0,0929
727Q9	D	20	0,007712	0,376653		0,108897
727Q9	D	25	0,00763	0,367		0,1112
727Q9	D	ZERO				0,0594
727QF	A	D-15				0,1182
727QF	A	D-25				0,1359
727QF	A	D-30			0,3658	0,1602
727QF	A	D-40			0,3568	0,2003



ThoriumSoftware d.o.o.

Mobile: +385 (0) 95 8 70 50 70
Kontakt: Dario Ilija Rendulić
Email:
info@thoriumsoftware.eu;
direndulic@gmail.com

727QF	A	U-05				0,08709
727QF	A	U-15				0,09676
727QF	A	U-25				0,1201
727QF	A	U-ZERO				0,06027
727QF	D	2				0,081
727QF	D	5	0,00849	0,4242		0,0921
727QF	D	15	0,007525	0,412		0,1005
727QF	D	25	0,0069	0,3885		0,1222
727QF	D	ZERO				0,06599
737	A	D-25			0,452885	0,113106
737	A	D-30			0,442783	0,124898
737	A	D-40			0,432682	0,155057
737	A	U-15				0,088617
737	A	U-25				0,097687
737	D	5	0,011593	0,475473		0,085235
737	D	10	0,010935	0,457438		0,093192
737	D	25	0,010293	0,436124		0,109993
737	D	INT				0,07477
737	D	ZERO				0,0643
737300	A	D-15			0,4639	0,1103
737300	A	D-30			0,434	0,1247
737300	A	D-40			0,4215	0,1471
737300	D	1	0,0126	0,4958		0,069
737300	D	5	0,0116	0,477215		0,0742

737300	D	15	0,0111	0,4572		0,0872
737300	D	ZERO				0,062
7373B2	A	D-15			0,4639	0,1103
7373B2	A	D-30			0,434	0,1247
7373B2	A	D-40			0,4215	0,1471
7373B2	D	1	0,0124	0,4958		0,0761
7373B2	D	5	0,011511	0,477758		0,0794
7373B2	D	15	0,011	0,4575		0,0872
7373B2	D	T_01				0,067
7373B2	D	T_05				0,074679
7373B2	D	ZERO				0,062
737400	A	D-15			0,4779	0,1079
737400	A	D-30			0,4338	0,1251
737400	A	D-40			0,423	0,151
737400	D	1				0,0713
737400	D	5	0,0117	0,4834		0,0798
737400	D	15	0,0109	0,4596		0,0924
737400	D	ZERO				0,0628
737500	A	D-15			0,4538	0,1084
737500	A	D-30			0,4281	0,1253
737500	A	D-40			0,4166	0,151
737500	D	1				0,0712
737500	D	5	0,01138	0,474697		0,0803
737500	D	15	0,0109	0,4541		0,0925

737500	D	ZERO				0,061
737700	A	A_15			0,4122	0,1048
737700	A	A_30			0,3986	0,1194
737700	A	A_40			0,3907	0,1434
737700	D	T_00H				0,063
737700	D	T_01	0,0097	0,4329		0,062
737700	D	T_05A				0,07
737700	D	T_10	0,0089	0,4112		0,0858
737700	D	T_15	0,0087	0,406		0,0889
737700	D	T_25	0,0086	0,4021		0,0932
737700	D	T_5	0,0093	0,4251		0,0749
737700	D	T_ZERO				0,0552
737800	D	T_00				0,05625
737800	D	T_01				0,06253
737800	D	T_05	0,009633	0,435043		0,0737
737D17	A	D-25			0,451848	0,113169
737D17	A	D-30			0,443779	0,125252
737D17	A	D-40			0,434096	0,156502
737D17	A	U-15				0,106085
737D17	A	U-25				0,097127
737D17	D	5	0,011677	0,473007		0,087424
737D17	D	10	0,010956	0,456114		0,096364
737D17	D	25	0,010406	0,436124		0,10878
737D17	D	INT				0,07586



ThoriumSoftware d.o.o.

Mobile: +385 (0) 95 8 70 50 70
Kontakt: Dario Ilija Rendulić
Email:
info@thoriumsoftware.eu;
direndulic@gmail.com

737D17	D	ZERO				0,0643
737N17	A	D-25			0,451848	0,113169
737N17	A	D-30			0,443779	0,125252
737N17	A	D-40			0,434096	0,156502
737N17	A	U-15				0,106085
737N17	A	U-25				0,097127
737N17	D	5	0,011677	0,473007		0,087424
737N17	D	10	0,010956	0,456114		0,096364
737N17	D	25	0,010406	0,436124		0,10878
737N17	D	INT				0,07586
737N17	D	ZERO				0,0643
737N9	A	D-25			0,452885	0,113106
737N9	A	D-30			0,442783	0,124898
737N9	A	D-40			0,432682	0,155057
737N9	A	U-15				0,088617
737N9	A	U-25				0,097687
737N9	D	5	0,011593	0,475473		0,085235
737N9	D	10	0,010935	0,457438		0,093192
737N9	D	25	0,010293	0,436124		0,109993
737N9	D	INT				0,07477
737N9	D	ZERO				0,0643
737QN	A	D-25			0,452885	0,113106
737QN	A	D-30			0,442783	0,124898
737QN	A	D-40			0,432682	0,155057



ThoriumSoftware d.o.o.

Mobile: +385 (0) 95 8 70 50 70
Kontakt: Dario Ilija Rendulić
Email:
info@thoriumsoftware.eu;
direndulic@gmail.com

737QN	A	U-15				0,088617
737QN	A	U-25				0,097687
737QN	D	5	0,011593	0,475473		0,085235
737QN	D	10	0,010935	0,457438		0,093192
737QN	D	25	0,010293	0,436124		0,109993
737QN	D	INT				0,07477
737QN	D	ZERO				0,0643
74710Q	A	D-20			0,217555	0,109467
74710Q	A	D-25			0,210537	0,116953
74710Q	A	D-30			0,202116	0,142564
74710Q	A	U-20				0,091737
74710Q	D	5				0,07456
74710Q	D	10	0,002333	0,212212		0,092196
74710Q	D	20	0,002187	0,202456		0,099504
74710Q	D	ZERO				0,05693
747200	A	D-20			0,217555	0,109467
747200	A	D-25			0,210537	0,116953
747200	A	D-30			0,202116	0,142564
747200	A	U-20				0,091737
747200	D	5				0,074042
747200	D	10	0,00235	0,211659		0,091154
747200	D	20	0,002207	0,203133		0,098616
747200	D	ZERO				0,05693
74720A	A	D-25			0,2105	0,118



ThoriumSoftware d.o.o.

Mobile: +385 (0) 95 8 70 50 70
Kontakt: Dario Ilija Rendulić
Email:
info@thoriumsoftware.eu;
direndulic@gmail.com

74720A	A	D-30			0,2017	0,1438
74720A	D	5				0,0722
74720A	D	10	0,00234	0,2115		0,08917
74720A	D	20	0,002186	0,2029		0,09728
74720A	D	ZERO				0,05524
74720B	A	D-25			0,2113	0,1207
74720B	A	D-30			0,2016	0,1444
74720B	D	5				0,07276
74720B	D	10	0,002351	0,213		0,0886
74720B	D	20	0,002196	0,2045		0,09867
74720B	D	ZERO				0,05693
747400	A	D-25			0,2143	0,1171
747400	A	D-30			0,2064	0,141
747400	D	5				0,069
747400	D	10	0,002104	0,21338		0,0823
747400	D	20	0,0021	0,2062		0,0916
747400	D	T_00H				0,053
747400	D	T_01				0,057691
747400	D	T_05				0,071
747400	D	T_05C				0,057569
747400	D	T_10	0,002101	0,207131		0,110782
747400	D	T_10H				0,1
747400	D	ZERO		0,3111		0,0508
7478	A	F_20			0,192660	0,128462



ThoriumSoftware d.o.o.

Mobile: +385 (0) 95 8 70 50 70
Kontakt: Dario Ilija Rendulić
Email:
info@thoriumsoftware.eu;
direndulic@gmail.com

7478	A	F_30			0,189605	0,143406
7478	D	F_0				0,052717
7478	D	F_1				0,064841
7478	D	F_10	0,002000	0,204760		0,083321
7478	D	F_5				0,073443
747SP	A	D-20			0,216415	0,110347
747SP	A	D-25			0,209991	0,116897
747SP	A	D-30			0,202497	0,143096
747SP	A	U-20				0,092569
747SP	D	5				0,076123
747SP	D	10	0,002357	0,210572		0,095316
747SP	D	20	0,002179	0,201901		0,103296
747SP	D	ZERO				0,05693
757300	D	T_00				0,05554
757300	D	T_01				0,05943
757300	D	T_05	0,006931	0,38754		0,07993
757PW	A	D-25			0,3234	0,1186
757PW	A	D-30			0,3179	0,1342
757PW	D	5	0,006243	0,360271		0,0722
757PW	D	15	0,00611	0,3454		0,0782
757PW	D	20	0,00573	0,33		0,0864
757PW	D	T_00				0,055346
757PW	D	T_01				0,0609
757PW	D	T_05		0,360271		0,0682



ThoriumSoftware d.o.o.

Mobile: +385 (0) 95 8 70 50 70
Kontakt: Dario Ilija Rendulić
Email:
info@thoriumsoftware.eu;
direndulic@gmail.com

757PW	D	ZERO		0,4699		0,0548
757RR	A	D-25			0,3238	0,1178
757RR	A	D-30			0,3191	0,1337
757RR	D	5	0,006319	0,36165		0,07
757RR	D	15	0,00614	0,3454		0,0758
757RR	D	20	0,0057	0,33		0,0847
757RR	D	INT				0,0621
757RR	D	T_00				0,0525
757RR	D	T_01				0,058316
757RR	D	T_05				0,0635
757RR	D	ZERO		0,4699		0,0541
767300	A	D-25			0,2627	0,121
767300	A	D-30			0,2555	0,1329
767300	D	5	0,00409	0,297		0,075
767300	D	15	0,00381	0,2853		0,0824
767300	D	20	0,00367	0,2788		0,0866
767300	D	INT				0,0641
767300	D	ZERO				0,0531
767400	A	L_25_D			0,2601	0,1156
767400	A	L_30_D			0,2536	0,1265
767400	D	T_00_U				0,0492
767400	D	T_05_U	0,0043	0,2972		0,0674
767400	D	T_05A				0,055
767400	D	T_05B				0,06

767400	D	T_15_U	0,0041	0,2876		0,0736
767400	D	T_20_U	0,003624	0,2775		0,0794
767CF6	A	D-25			0,29009	0,1075
767CF6	A	D-30			0,28096	0,1232
767CF6	D	1	0,00557	0,31625		0,0646
767CF6	D	5	0,0053	0,30576		0,0685
767CF6	D	15	0,00504	0,29249		0,074
767CF6	D	20	0,0049	0,28496		0,0779
767CF6	D	ZERO				0,0489
767JT9	A	D-25			0,29009	0,1085
767JT9	A	D-30			0,28096	0,1258
767JT9	D	1	0,00504	0,31625		0,0658
767JT9	D	5	0,00472	0,30576		0,0705
767JT9	D	15	0,00436	0,29249		0,0756
767JT9	D	20	0,00417	0,28496		0,0802
767JT9	D	ZERO				0,052
777200	A	D20			0,2204	0,09765
777200	A	D25			0,2133	0,1158
777200	A	D30			0,203	0,133
777200	D	15	0,002867	0,2299		0,07432
777200	D	20	0,002751	0,2239		0,08186
777200	D	T_00		0,3218		0,05065
777200	D	T_00H				0,052
777200	D	T_00L				0,048

777200	D	T_01		0,2921		0,05555
777200	D	T_01H				0,06
777200	D	T_05	0,002475	0,239429		0,06898
777200	D	T_05A				0,063456
777200	D	T_05C				0,092
777200	D	T_05CH				0,085
777300	A	L_25_D			0,2156	0,116
777300	A	L_30_D			0,2071	0,1322
777300	D	T_00_U				0,0504
777300	D	T_05_U	0,0031	0,2586		0,0645
777300	D	T_15_U	0,0028	0,2454		0,0704
777300	D	T_20_U	0,0027	0,2363		0,0783
7773ER	A	F_20			0,225340	0,104970
7773ER	A	F_30			0,209490	0,134910
7773ER	D	FLAP_0				0,050171
7773ER	D	FLAP_1				0,054934
7773ER	D	FLAP_5	0,002710	0,240000		0,066100
7878R	A	F_00			0,393870	0,045060
7878R	A	F_01			0,329760	0,047700
7878R	A	F_05			0,288410	0,067150
7878R	A	FLAP20			0,260280	0,088050
7878R	A	FLAP30			0,246840	0,105000
7878R	D	FLAP_0				0,050055
7878R	D	FLAP_1				0,052026

7878R	D	FLAP_5	0,002949	0,256410		0,071636
A300-622R	A	1				0,071539
A300-622R	A	2_D				0,094763
A300-622R	A	2_U				0,072592
A300-622R	A	3_D			0,274926	0,102372
A300-622R	A	FULL_D			0,253296	0,125036
A300-622R	A	ZERO				0,052053
A300-622R	D	0				0,053127
A300-622R	D	1500	0,004121	0,292		0,072348
A300B4-203	A	D-15			0,28237	0,10607
A300B4-203	A	D-25			0,27151	0,125568
A300B4-203	D	1	0,005307	0,324359		0,090223
A300B4-203	D	8	0,004239	0,291059		0,093067
A300B4-203	D	15	0,00402	0,278999		0,102935
A300B4-203	D	ZERO				0,063491
A310-304	A	1				0,068197
A310-304	A	2_D				0,096731
A310-304	A	2_U				0,072778
A310-304	A	3_D			0,274926	0,106084
A310-304	A	FULL_D			0,253296	0,129438
A310-304	A	ZERO				0,054935
A310-304	D	0				0,055191
A310-304	D	1500	0,004875	0,313705		0,072016
A319-131	A	1_A				0,06317

A319-131	A	2_D				0,098119
A319-131	A	2_U				0,071826
A319-131	A	3_D			0,379931	0,098121
A319-131	A	FULL_D			0,355927	0,124534
A319-131	A	ZERO_A				0,056446
A319-131	D	1				0,071598
A319-131	D	1+F	0,007077	0,376764		0,072635
A319-131	D	ZERO				0,05429
A320-211	A	1_A				0,061662
A320-211	A	2_D				0,096267
A320-211	A	2_U				0,067463
A320-211	A	3_D			0,385223	0,101204
A320-211	A	FULL_D			0,37052	0,11586
A320-211	A	ZERO_A				0,057558
A320-211	D	1				0,066827
A320-211	D	1+F	0,007701	0,394884		0,071403
A320-211	D	ZERO				0,056281
A320-232	A	1_A				0,059086
A320-232	A	2_D				0,095899
A320-232	A	2_U				0,06679
A320-232	A	3_D			0,379853	0,100263
A320-232	A	FULL_D			0,369833	0,121141
A320-232	A	ZERO_A				0,054309
A320-232	D	1				0,065822

A320-232	D	1+F	0,007626	0,395674		0,069873
A320-232	D	ZERO				0,05332
A321-232	A	1_A				0,064258
A321-232	A	2_D				0,101798
A321-232	A	2_U				0,074849
A321-232	A	3_D			0,368096	0,112676
A321-232	A	FULL_D			0,357761	0,119073
A321-232	A	ZERO_A				0,057183
A321-232	D	1				0,071631
A321-232	D	1+F	0,007524	0,390238		0,075946
A321-232	D	ZERO				0,056647
A330-301	A	1_A				0,057783
A330-301	A	2_D				0,081654
A330-301	A	2_U				0,064098
A330-301	A	3_D			0,229065	0,092737
A330-301	A	FULL_D			0,222802	0,100779
A330-301	A	ZERO_A				0,047685
A330-301	D	1				0,059866
A330-301	D	1+F	0,002905	0,247076		0,061736
A330-301	D	ZERO				0,046057
A330-343	A	1_A				0,055464
A330-343	A	2_D				0,083569
A330-343	A	2_U				0,063042
A330-343	A	3_D			0,229705	0,092555

A330-343	A	FULL_D			0,222498	0,10202
A330-343	A	ZERO_A				0,046224
A330-343	D	1				0,05926
A330-343	D	1+F	0,0029	0,245211		0,062365
A330-343	D	ZERO				0,044593
A340-211	A	1_A				0,063657
A340-211	A	2_D				0,092945
A340-211	A	2_U				0,071673
A340-211	A	3_D			0,224603	0,101734
A340-211	A	FULL_D			0,220432	0,108554
A340-211	A	ZERO_A				0,051221
A340-211	D	1				0,068547
A340-211	D	1+F	0,002605	0,223635		0,073134
A340-211	D	ZERO				0,048646
A340-642	A	1_A				0,054416
A340-642	A	2_D				0,087508
A340-642	A	2_U				0,067996
A340-642	A	3_D			0,213821	0,100473
A340-642	A	FULL_D			0,20733	0,105616
A340-642	A	ZERO_A				0,051608
A340-642	D	1				0,06118
A340-642	D	1+F	0,002423	0,225716		0,06743
A340-642	D	ZERO				0,051433
A380-841	A	A_1+F				0,055657



ThoriumSoftware d.o.o.

Mobile: +385 (0) 95 8 70 50 70
Kontakt: Dario Ilija Rendulić
Email:
info@thoriumsoftware.eu;
direndulic@gmail.com

A380-841	A	A_2_D				0,081906
A380-841	A	A_2_U				0,064109
A380-841	A	A_3_D			0,154745	0,101662
A380-841	A	A_FULL			0,154745	0,107331
A380-841	A	ZERO_A				0,050279
A380-841	D	D_1				0,053173
A380-841	D	D_1+F	0,00125	0,159626		0,068055
A380-841	D	ZERO				0,050472
A380-861	A	A_1+F				0,058557
A380-861	A	A_2_D				0,081967
A380-861	A	A_2_U				0,065558
A380-861	A	A_3_D			0,154745	0,101738
A380-861	A	A_FULL			0,154745	0,108118
A380-861	A	ZERO_A				0,048776
A380-861	D	D_1				0,053241
A380-861	D	D_1+F	0,00125	0,159567		0,070602
A380-861	D	ZERO				0,049623
BAC111	A	D-45			0,49076	0,139207
BAC111	A	U-INT				0,106398
BAC111	D	8	0,01569	0,54382		0,082179
BAC111	D	INT1				0,07359
BAC111	D	ZERO				0,065
BAE146	A	D-18			0,61667	0,119715
BAE146	A	D-24			0,61667	0,138371

BAE146	A	D-33			0,45555	0,153186
BAE146	A	U-18				0,0818
BAE146	A	U-24				0,095298
BAE146	D	18	0,009678	0,49296		0,13241
BAE146	D	24	0,008979	0,45846		0,1412
BAE146	D	30	0,008173	0,43179		0,15287
BAE146	D	ZERO				0,083096
BAE300	A	D-18			0,60557	0,116925
BAE300	A	D-24			0,60557	0,134808
BAE300	A	D-33			0,4511	0,149009
BAE300	A	U-18				0,08058
BAE300	A	U-24				0,093519
BAE300	D	18	0,009449	0,49847		0,1279
BAE300	D	24	0,008341	0,462		0,1352
BAE300	D	30	0,00775	0,43351		0,14711
BAE300	D	ZERO				0,081866
BEC58P	A	D-15				0,14885
BEC58P	A	D-30			1,33492	0,16
BEC58P	D	TO	0,100258	1,28098		0,1377
BEC58P	D	ZERO				0,125381
CIT3	A	D-40			0,966375	0,147159
CIT3	A	D-INTR				0,130842
CIT3	D	10				0,092263
CIT3	D	20	0,04284	0,947523		0,114525

CIT3	D	ZERO				0,07
CL600	A	D-45			0,766248	0,169002
CL600	A	D-INTR				0,128747
CL600	D	10				0,079246
CL600	D	20	0,028225	0,780719		0,088492
CL600	D	ZERO				0,07
CL601	A	D-45			0,769487	0,163669
CL601	A	D-INTR				0,122639
CL601	D	10				0,075805
CL601	D	20	0,032183	0,780565		0,081609
CL601	D	ZERO				0,07
CNA172	A	10-D			1,3132	0,0994
CNA172	A	30-D			1,2526	0,1516
CNA172	A	ZERO-D				0,096
CNA172	D	10-C	0,0992	1,0304		0,1446
CNA172	D	CRUISE				0,096
CNA172	D	ZERO-C	0,1025	1,1112		0,0831
CNA182	A	F10APP				0,122
CNA182	A	F30APP			1,285	0,151
CNA182	D	F-20D	0,058	1,204		0,17
CNA182	D	ZERO				0,127
CNA182	D	ZERO-A				0,127
CNA182	D	ZERO-C				0,097
CNA182	D	ZERO-T				0,103

CNA206	A	10_D				0,105632
CNA206	A	40_D			1,23852	0,169084
CNA206	D	20_T	0,055005	1,02562		0,136998
CNA206	D	ZERO_C				0,09563
CNA206	D	ZERO_T	0,055005	1,02562		0,106327
CNA208	A	F30APP			0,867722	0,099468
CNA208	A	ZERO-A				0,089802
CNA208	D	F-20D	0,033202	0,74833		0,105087
CNA208	D	ZERO	0,05003	0,887307		0,089802
CNA208	D	ZERO-C				0,087252
CNA208	D	ZERO-T				0,060282
CNA20T	A	10_D				0,109615
CNA20T	A	40_D			1,32574	0,211577
CNA20T	D	20_T	0,054669	1,045287		0,13795
CNA20T	D	ZERO_C				0,101535
CNA20T	D	ZERO_T	0,054669	0,959417		0,099791
CNA441	A	D-INTR				0,141579
CNA441	A	D-L			1,02329	0,162936
CNA441	D	TO	0,072722	1,10834		0,120222
CNA441	D	ZERO				0,096518
CNA500	A	D-35			0,991547	0,147335
CNA500	A	D-INTR				0,113809
CNA500	D	1				0,080282
CNA500	D	12	0,054342	0,956752		0,090564

CNA500	D	ZERO				0,07
CNA510	A	A_15			1,073624	0,088506
CNA510	A	A_35			1,002913	0,126185
CNA510	D	D_15	0,07051	1,179843		0,097415
CNA510	D	ZERO_C				0,088914
CNA510	D	ZERO_D	0,090811	1,347624		0,103158
CNA525C	A	A_15			1,012614	0,106795
CNA525C	A	A_35			0,946574	0,126615
CNA525C	D	D-15	0,053355	0,993147		0,096525
CNA525C	D	ZERO_C				0,085
CNA525C	D	ZERO_D	0,061279	1,065348		0,09129
CNA55B	A	A_15			1,01427	0,118086
CNA55B	A	A_35			0,9553	0,200794
CNA55B	D	D_15	0,05628	1,080923		0,128052
CNA55B	D	ZERO_C				0,10833
CNA55B	D	ZERO_D	0,063189	1,159835		0,119835
CNA560E	D	15	0,054336	1,014289		0,122203
CNA560E	A	15 U			0,919106	0,099403
CNA560E	A	35 D			0,870372	0,130841
CNA560E	D	7	0,059522	1,061591		0,11951
CNA560E	D	ZERO				0,122635
CNA560U	D	15	0,038136	1,069934		0,13523
CNA560U	D	7	0,041179	1,10518		0,12699
CNA560U	A	7_APP				0,12699

CNA560U	A	D 15			0,86464	0,088125
CNA560U	A	D 35			0,811918	0,132402
CNA560U	D	ZERO				0,07
CNA560XL	D	15	0,030657	1,045811		0,13852
CNA560XL	D	7	0,035712	1,095308		0,13505
CNA560XL	A	D 15U			0,91189	0,08555
CNA560XL	A	D 35D			0,86179	0,126192
CNA560XL	D	ZERO				0,074551
CNA680	D	15	0,027468	0,725152		0,127804
CNA680	A	15 GU			0,717794	0,093247
CNA680	A	35 GD			0,662727	0,146827
CNA680	D	7	0,030105	0,764412		0,122083
CNA680	D	ZERO				0,105329
CNA750	A	15_GD			0,753068	0,174519
CNA750	A	15_GU			0,753068	0,146147
CNA750	A	35_GD			0,714646	0,250382
CNA750	A	5_GU			0,799175	0,118139
CNA750	D	5	0,038446	0,82511		0,122657
CNA750	D	15	0,034761	0,787004		0,12822
CNA750	D	ZERO				0,096475
CONCRD	A	D-L			0,349148	0,205927
CONCRD	A	U-L				0,183067
CONCRD	D	CL1				0,13294
CONCRD	D	TO	0,008051	0,338363		0,13294

CONCRD	D	ZERO				0,13294
CRJ9-ER	A	20				0,0976
CRJ9-ER	A	D-45			0,5801	0,1551
CRJ9-ER	A	U-45				0,1504
CRJ9-ER	A	ZERO				0,0655
CRJ9-ER	D	0-204				0,0599
CRJ9-ER	D	0-250				0,0641
CRJ9-ER	D	D-8	0,0177	0,5902		0,0978
CRJ9-ER	D	U-8				0,0775
CRJ9-LR	A	20				0,0976
CRJ9-LR	A	D-45			0,5801	0,1551
CRJ9-LR	A	U-45				0,1504
CRJ9-LR	A	ZERO				0,0655
CRJ9-LR	D	0-204				0,0599
CRJ9-LR	D	0-250				0,0641
CRJ9-LR	D	D-8	0,0177	0,5902		0,0978
CRJ9-LR	D	U-8				0,0775
CVR580	A	D-28			0,51972	0,118937
CVR580	A	D-40			0,49138	0,124222
CVR580	D	10	0,028303	0,540116		0,130717
CVR580	D	INTR				0,102858
CVR580	D	ZERO				0,075
DC1010	A	D-35			0,251236	0,132645
DC1010	A	D-50			0,244243	0,164729



ThoriumSoftware d.o.o.

Mobile: +385 (0) 95 8 70 50 70
Kontakt: Dario Ilija Rendulić
Email:
info@thoriumsoftware.eu;
direndulic@gmail.com

DC1010	A	U-35				0,127457
DC1010	A	U-50				0,161155
DC1010	D	5				0,079893
DC1010	D	10	0,00356	0,261942		0,101376
DC1010	D	INT				0,068522
DC1010	D	ZERO				0,057149
DC1030	A	D-35			0,2534	0,13
DC1030	A	U-20				0,104
DC1030	D	20	0,003091	0,2434		0,104
DC1030	D	INT1				0,09454
DC1030	D	INT2				0,07307
DC1030	D	ZERO				0,06519
DC1040	A	D-35			0,254879	0,121114
DC1040	A	D-50			0,247241	0,151007
DC1040	A	U-35				0,114222
DC1040	A	U-50				0,145481
DC1040	D	5				0,082503
DC1040	D	15	0,004009	0,272697		0,111044
DC1040	D	INT				0,071264
DC1040	D	ZERO				0,060025
DC3	A	D-45			0,597793	0,155222
DC3	A	U-INT				0,133361
DC3	D	TO	0,019837	0,619256		0,123784
DC3	D	ZERO				0,1115



ThoriumSoftware d.o.o.

Mobile: +385 (0) 95 8 70 50 70
Kontakt: Dario Ilija Rendulić
Email:
info@thoriumsoftware.eu;
direndulic@gmail.com

DC6	A	D-INTR				0,10199
DC6	A	D-L			0,294594	0,125979
DC6	D	TO	0,007829	0,430006		0,08204
DC6	D	ZERO				0,078
DC850	A	D-35			0,328558	0,129965
DC850	A	D-50			0,313281	0,149354
DC850	A	U-35				0,126751
DC850	A	U-50				0,145337
DC850	D	15	0,005206	0,323443		0,090417
DC850	D	25	0,004708	0,315832		0,103092
DC850	D	INT				0,074401
DC850	D	ZERO				0,058535
DC860	A	D-35			0,312879	0,117758
DC860	A	D-50			0,304526	0,130913
DC860	A	U-35				0,115049
DC860	A	U-50				0,12766
DC860	D	12	0,004899	0,320082		0,090214
DC860	D	23	0,004572	0,304797		0,095953
DC860	D	INT				0,071703
DC860	D	ZERO				0,05319
DC870	A	D-35			0,312879	0,117758
DC870	A	D-50			0,304526	0,130913
DC870	A	U-35				0,115049
DC870	A	U-50				0,12766



ThoriumSoftware d.o.o.

Mobile: +385 (0) 95 8 70 50 70
Kontakt: Dario Ilija Rendulić
Email:
info@thoriumsoftware.eu;
direndulic@gmail.com

DC870	D	12	0,004899	0,320082		0,090214
DC870	D	23	0,004572	0,304797		0,095953
DC870	D	INT				0,071703
DC870	D	ZERO				0,05319
DC8QN	A	D-35			0,312879	0,117758
DC8QN	A	D-50			0,304526	0,130913
DC8QN	A	U-35				0,115049
DC8QN	A	U-50				0,12766
DC8QN	D	12	0,004899	0,320082		0,090214
DC8QN	D	23	0,004572	0,304797		0,095953
DC8QN	D	INT				0,071703
DC8QN	D	ZERO				0,05319
DC910	A	D-35			0,480101	0,134177
DC910	A	D-50			0,445486	0,157948
DC910	A	U-15				0,087963
DC910	A	U-35				0,130625
DC910	A	U-50				0,153365
DC910	D	5	0,012996	0,49557		0,07757
DC910	D	15	0,010618	0,477234		0,087963
DC910	D	INT				0,076753
DC910	D	ZERO				0,075935
DC930	A	D-35			0,470211	0,135075
DC930	A	D-50			0,438965	0,165052
DC930	A	U-15				0,092489

DC930	A	U-35				0,131559
DC930	A	U-50				0,155925
DC930	D	5	0,012098	0,4899		0,084985
DC930	D	15	0,010507	0,471774		0,092489
DC930	D	INT				0,076701
DC930	D	ZERO				0,068416
DC93LW	A	D-35			0,470211	0,135075
DC93LW	A	D-50			0,438965	0,165052
DC93LW	A	U-15				0,092489
DC93LW	A	U-35				0,131559
DC93LW	A	U-50				0,155925
DC93LW	D	5	0,012098	0,4899		0,084985
DC93LW	D	15	0,010507	0,471774		0,092489
DC93LW	D	INT				0,076701
DC93LW	D	ZERO				0,068416
DC950	A	D-35			0,468147	0,135234
DC950	A	D-50			0,442406	0,160018
DC950	A	U-15				0,092489
DC950	A	U-35				0,131677
DC950	A	U-50				0,155399
DC950	D	5	0,012098	0,4899		0,084985
DC950	D	15	0,010507	0,471774		0,092489
DC950	D	INTR				0,076701
DC950	D	ZERO				0,068416

DC95HW	A	D-35			0,468147	0,135234
DC95HW	A	D-50			0,442406	0,160018
DC95HW	A	U-15				0,092489
DC95HW	A	U-35				0,131677
DC95HW	A	U-50				0,155399
DC95HW	D	5	0,012098	0,4899		0,084985
DC95HW	D	15	0,010507	0,471774		0,092489
DC95HW	D	INTR				0,076701
DC95HW	D	ZERO				0,068416
DC9Q7	A	D-35			0,480101	0,134177
DC9Q7	A	D-50			0,445486	0,157948
DC9Q7	A	U-15				0,087963
DC9Q7	A	U-35				0,130625
DC9Q7	A	U-50				0,153365
DC9Q7	D	5	0,012996	0,49557		0,07757
DC9Q7	D	15	0,010618	0,477234		0,087963
DC9Q7	D	INT				0,076753
DC9Q7	D	ZERO				0,075935
DC9Q9	A	D-35			0,470211	0,135075
DC9Q9	A	D-50			0,438965	0,165052
DC9Q9	A	U-15				0,092489
DC9Q9	A	U-35				0,131559
DC9Q9	A	U-50				0,155925
DC9Q9	D	5	0,012098	0,4899		0,084985

DC9Q9	D	15	0,010507	0,471774		0,092489
DC9Q9	D	INT				0,076701
DC9Q9	D	ZERO				0,068416
DHC6	A	D-INTR				0,125975
DHC6	A	D-L			0,577068	0,176949
DHC6	D	INTR				0,090222
DHC6	D	TO	0,031032	0,787095		0,105443
DHC6	D	ZERO				0,075
DHC6QP	A	D-INTR				0,125975
DHC6QP	A	D-L			0,577068	0,176949
DHC6QP	D	INTR				0,090222
DHC6QP	D	TO	0,031032	0,787095		0,105443
DHC6QP	D	ZERO				0,075
DHC7	A	D-25			0,51353	0,127688
DHC7	A	D-INTR				0,117133
DHC7	D	10				0,117133
DHC7	D	25	0,009556	0,466702		0,159266
DHC7	D	ZERO				0,075
DHC8	A	D-15			0,54969	0,092335
DHC8	A	D-35			0,50961	0,10086
DHC8	A	D-5			0,60123	0,087745
DHC8	A	U-15				0,080204
DHC8	A	U-5				0,073647
DHC8	D	5	0,017289	0,61342		0,07808

DHC8	D	15	0,017361	0,56668		0,08519
DHC8	D	ZERO				0,072424
DHC830	A	D-10			0,62986	0,091024
DHC830	A	D-15			0,60123	0,094958
DHC830	A	D-35			0,55542	0,103483
DHC830	A	U-10				0,079221
DHC830	A	U-15				0,084139
DHC830	D	5	0,017836	0,61764		0,070652
DHC830	D	10	0,015165	0,570532		0,076309
DHC830	D	15	0,014403	0,549595		0,080292
DHC830	D	INT	0,019987	0,659514		0,067572
DHC830	D	ZERO				0,068308
DO228	A	F30APP			0,75885	0,11911
DO228	A	ZERO-A				0,10717
DO228	D	FLAPS1	0,02196	0,80401		0,09042
DO228	D	ZERO	0,02745	0,86388		0,10717
DO228	D	ZERO-C				0,14459
DO228	D	ZERO-T				0,09218
DO328	A	F32APP			0,638	0,0961
DO328	A	ZERO-A				0,0916
DO328	D	F12-D	0,016	0,666		0,0664
DO328	D	ZERO				0,0916
DO328	D	ZERO-C				0,1206
ECLIPSE500	A	A_A_DN			1,273746	0,133462

ECLIPSE500	A	A_T_DN				0,178304
ECLIPSE500	D	TO_DN	0,100203	1,381422		0,105314
ECLIPSE500	D	TO_UP		1,381422		0,086185
ECLIPSE500	D	UP_DN		1,690947		0,103009
ECLIPSE500	D	UP_UP		1,690947		0,073313
EMB120	A	D-25			0,837	0,0801
EMB120	A	D-45			0,782	0,1305
EMB120	D	15	0,0297	0,82		0,1014
EMB120	D	ZERO		0,929		0,0834
EMB145	A	D-22			0,6836	0,1291
EMB145	A	D-45			0,6811	0,1809
EMB145	D	9		0,6503		0,0825
EMB145	D	9-GEAR	0,0218	0,6562		0,1048
EMB145	D	ZERO				0,0691
EMB14L	A	D-22			0,6836	0,1291
EMB14L	D	9		0,6503		0,083
EMB14L	D	9-GEAR	0,0212	0,6562		0,083
EMB14L	D	D-45		0,6811		0,1809
EMB14L	D	ZERO				0,0694
EMB170	D	1	0,015720	0,579870		0,076830
EMB170	A	FULL			0,498900	0,145550
EMB170	D	ZERO				0,066180
EMB175	D	1	0,015900	0,578990		0,077300
EMB175	A	FULL			0,498200	0,145800

EMB175	D	ZERO				0,066000
EMB190	D	1	0,012300	0,494610		0,082600
EMB190	A	FULL			0,434400	0,137100
EMB190	D	ZERO				0,066400
EMB195	D	1	0,012200	0,494520		0,083100
EMB195	A	FULL			0,433600	0,137400
EMB195	D	ZERO				0,067400
F10062	A	D-42			0,4731	0,1565
F10062	A	U-INT				0,1124
F10062	D	INT2				0,0904
F10062	D	T0	0,0122	0,5162		0,0683
F10062	D	ZERO				0,0683
F10065	A	D-42			0,4731	0,1565
F10065	A	U-INT				0,1129
F10065	D	INT2				0,0911
F10065	D	T0	0,0123	0,521		0,0693
F10065	D	ZERO				0,0693
F28MK2	A	D-42			0,5334	0,1677
F28MK2	A	U-INTR				0,1248
F28MK2	D	6	0,0171	0,6027		0,0793
F28MK2	D	INT2				0,1033
F28MK2	D	ZERO				0,0819
F28MK4	A	D-42			0,5149	0,1619
F28MK4	A	U-INTR				0,1187



ThoriumSoftware d.o.o.

Mobile: +385 (0) 95 8 70 50 70
 Kontakt: Dario Ilija Rendulić
 Email:
[info@thoriumsoftware.eu;](mailto:info@thoriumsoftware.eu)
direndulic@gmail.com

F28MK4	D	6	0,01515	0,5731		0,0749
F28MK4	D	INT2				0,0971
F28MK4	D	ZERO				0,0755
FAL20	A	D-25			0,804634	0,117238
FAL20	A	D-40			0,792624	0,136348
FAL20	D	10	0,035696	0,807797		0,098781
FAL20	D	INTR				0,084391
FAL20	D	ZERO				0,07
GII	A	L-0-U				0,0751
GII	A	L-10-U				0,0852
GII	D	L-20-D				0,1138
GII	D	L-39-D		0,5822		0,1742
GII	D	T-0-U				0,0814
GII	D	T-10-U				0,0884
GII	D	T-20-D	0,02	0,634		0,1159
GIB	A	L-0-U				0,0722
GIB	A	L-10-U				0,0735
GIB	D	L-20-D				0,1091
GIB	D	L-39-D		0,562984		0,1509
GIB	D	T-0-U				0,0738
GIB	D	T-10-U				0,0729
GIB	D	T-20-D	0,0162	0,583		0,1063
GIV	A	L-0-U				0,06
GIV	A	L-39-D			0,5805	0,1403



ThoriumSoftware d.o.o.

Mobile: +385 (0) 95 8 70 50 70
 Kontakt: Dario Ilija Rendulić
 Email:
[info@thoriumsoftware.eu;](mailto:info@thoriumsoftware.eu)
direndulic@gmail.com

GIV	D	L-20-D				0,1063
GIV	D	T-0-U				0,0586
GIV	D	T-10-U				0,0666
GIV	D	T-20-D	0,0146	0,5798		0,1035
GIV	D	T-20-U				0,0797
GV	A	L-20-D				0,0974
GV	A	L-20-U				0,0749
GV	A	L-39-D			0,4908	0,1328
GV	D	L-0-U				0,0617
GV	D	T-0-U				0,058
GV	D	T-10-U				0,0606
GV	D	T-20-D	0,01178	0,516		0,0953
GV	D	T-20-U				0,0743
HS748A	A	D-30			0,45813	0,13849
HS748A	A	D-INTR				0,106745
HS748A	D	INTR				0,088176
HS748A	D	TQ	0,012271	0,542574		0,101351
HS748A	D	ZERO				0,075
IA1125	A	D-40			0,967478	0,136393
IA1125	A	D-INTR				0,118618
IA1125	D	12	0,040745	0,963488		0,100843
IA1125	D	INTR				0,085422
IA1125	D	ZERO				0,07
L1011	A	D-33			0,286984	0,137671

L1011	A	D-42			0,256389	0,155717
L1011	D	10	0,004561	0,265314		0,093396
L1011	D	22	0,004759	0,251916		0,105083
L1011	D	INTR				0,07959
L1011	D	ZERO				0,06243
L1015	A	D-33			0,262728	0,140162
L1015	A	D-42			0,256123	0,155644
L1015	D	10	0,004499	0,265314		0,093396
L1015	D	22	0,004695	0,251916		0,105083
L1015	D	INTR				0,07959
L1015	D	ZERO				0,06243
L188	A	D-100			0,436792	0,174786
L188	A	D-78-%			0,456156	0,122326
L188	D	39-%	0,009995	0,420533		0,142992
L188	D	78-%	0,010265	0,404302		0,159974
L188	D	INTR				0,120987
L188	D	ZERO				0,082
LEAR25	A	D-40			1,28239	0,176632
LEAR25	A	D-INTR				0,149986
LEAR25	D	10				0,09667
LEAR25	D	20	0,082866	1,27373		0,12334
LEAR25	D	ZERO				0,07
LEAR35	A	D-40			1,08756	0,150688
LEAR35	A	D-INTR				0,129456



ThoriumSoftware d.o.o.

Mobile: +385 (0) 95 8 70 50 70
 Kontakt: Dario Ilija Rendulić
 Email:
[info@thoriumsoftware.eu;](mailto:info@thoriumsoftware.eu)
direndulic@gmail.com

LEAR35	Đ	10				0,089112
LEAR35	Đ	20	0,043803	1,05985		0,108224
LEAR35	Đ	ZERO				0,07
MD11GE	Đ	10	0,003812	0,2648		0,0843
MD11GE	Đ	15	0,003625	0,2578		0,0891
MD11GE	Đ	20	0,003509	0,2524		0,0947
MD11GE	Đ	25	0,003443	0,2481		0,1016
MD11GE	Đ	0/EXT				0,0692
MD11GE	Đ	0/RET				0,0551
MD11GE	Đ	ZERO				0,0551
MD11PW	Đ	10	0,003829	0,265		0,08425
MD11PW	Đ	15	0,003675	0,2576		0,08877
MD11PW	Đ	20	0,003545	0,2526		0,09472
MD11PW	Đ	25	0,003494	0,2487		0,1018
MD11PW	Đ	0/EXT				0,0691
MD11PW	Đ	0/RET				0,05512
MD11PW	Đ	ZERO				0,05512
MD81	Đ	11	0,009276	0,4247		0,07719
MD81	Đ	INT1				0,07643
MD81	Đ	INT2				0,06313
MD81	Đ	INT3				0,06156
MD81	Đ	INT4				0,06366
MD81	Đ	T_15	0,009369	0,420798		0,0857
MD81	Đ	T_INT				0,0701

MD81	D	T_ZERO				0,061
MD81	D	ZERO				0,06761
MD82	D	11	0,009248	0,4236		0,07969
MD82	D	INT1				0,07625
MD82	D	INT2				0,06337
MD82	D	INT3				0,06196
MD82	D	INT4				0,0634
MD82	D	T_15	0,009267	0,420216		0,086
MD82	D	T_INT				0,065
MD82	D	T_ZERO				0,061
MD82	D	ZERO				0,06643
MD83	D	11	0,009301	0,4227		0,0798
MD83	D	INT1				0,07666
MD83	D	INT2				0,0664
MD83	D	INT3				0,06247
MD83	D	INT4				0,06236
MD83	D	T_15	0,009384	0,420307		0,086
MD83	D	T_INT				0,0664
MD83	D	T_ZERO				0,0611
MD83	D	ZERO				0,06573
MD9025	A	D-28			0,4118	0,1181
MD9025	A	D-40			0,4003	0,1412
MD9025	A	U-0			0,4744	0,0876
MD9025	D	EXT/06	0,010708	0,458611		0,070601

MD9025	D	EXT/11	0,009927	0,441118		0,073655
MD9025	D	EXT/18	0,009203	0,421346		0,083277
MD9025	D	EXT/24	0,008712	0,408301		0,090279
MD9025	D	RET/0				0,05186
MD9028	A	D-28			0,4118	0,1181
MD9028	A	D-40			0,4003	0,1412
MD9028	A	U-0			0,4744	0,0876
MD9028	D	EXT/06	0,010993	0,463088		0,070248
MD9028	D	EXT/11	0,010269	0,446501		0,072708
MD9028	D	EXT/18	0,009514	0,426673		0,082666
MD9028	D	EXT/24	0,008991	0,413409		0,090018
MD9028	D	RET/0				0,05025
MU3001	A	D-30			1,07308	0,147487
MU3001	A	D-INTR				0,114684
MU3001	D	±	0,065703	1,1529		0,08188
MU3001	D	±0	0,055318	1,0729		0,09285
MU3001	D	ZERO				0,07
PA30	A	27-A			1,316667	0,104586
PA30	A	ZERO-A				0,078131
PA30	D	15-D	0,100146	1,166667		0,154071
PA30	D	ZERO-D				0,067504
PA42	A	30-DN			1,09213	0,14679
PA42	A	ZERO-A				0,087856
PA42	D	ZER-DN	0,06796	1,011055		0,08088



ThoriumSoftware d.o.o.

Mobile: +385 (0) 95 8 70 50 70
Kontakt: Dario Ilija Rendulić
Email:
info@thoriumsoftware.eu;
direndulic@gmail.com

PA42	Đ	ZERO				0,087856
PA42	Đ	ZERO-C				0,139096
PA42	Đ	ZERO-T				0,07651
SD330	A	D-15			0,746802	0,109263
SD330	A	D-35			0,702872	0,143475
SD330	Đ	10	0,031762	0,727556		0,138193
SD330	Đ	INTR				0,106596
SD330	Đ	ZERO				0,075
SF340	A	D-35			0,75674	0,147912
SF340	A	D-INTR				0,111456
SF340	Đ	5				0,105831
SF340	Đ	15	0,026303	0,746174		0,136662
SF340	Đ	ZERO				0,075



ThoriumSoftware d.o.o.

Mobile: +385 (0) 95 8 70 50 70
Kontakt: Dario Ilija Rendulić
Email:
info@thoriumsoftware.eu;
direndulic@gmail.com

„737800	A	A_00				0,0596977
737800	A	A_01				0,066122
737800	A	A_05				0,078996
737800	A	A_15				0,111985
737800	A	A_30			0,383611	0,117166
7378MAX	A	A_00	0	0	0	0,076682
7378MAX	A	A_00				0,056009
7378MAX	A	A_01	0	0	0	0,091438
7378MAX	A	A_01				0,066859
7378MAX	A	A_05	0	0	0	0,106627
7378MAX	A	A_05				0,077189
7378MAX	A	A_15	0	0	0,395117	0,165812
7378MAX	A	A_15				0,106525
7378MAX	A	A_30			0,375612	0,116638
7378MAX	A	A_40	0	0	0,375646	0,189672
7378MAX	D	D_00	0	0	0	0,074217
7378MAX	D	D_00				0,05418
7378MAX	D	D_01	0	0	0	0,085464
7378MAX	D	D_01				0,062526
7378MAX	D	D_05	0,00823	0,41332	0	0,101356
7378MAX	D	D_05	0,0079701	0,40898		0,074014
A350-941	A	A_1_U	0	0	0	0,05873
A350-941	A	A_1_U				0,056319
A350-941	A	A_2_D	0	0	0	0,083834
A350-941	A	A_2_D				0,081415
A350-941	A	A_2_U	0	0	0	0,06183
A350-941	A	A_2_U				0,059857
A350-941	A	A_3_D	0	0	0,219605	0,092731
A350-941	A	A_3_D			0,225785	0,092557
A350-941	A	A_FULL_D	0	0	0,214867	0,106381
A350-941	A	A_FULL_D			0,214862	0,106058
A350-941	A	A_ZERO	0	0	0	0,049173
A350-941	A	A_ZERO				0,048841
A350-941	D	D_1	0	0	0	0,052403

A350-941	D	D_1_U				0,058754
A350-941	D	D_1+F	0,00325	0,234635	0	0,06129
A350-941	D	D_1+F_D	0,002722	0,233179		0,098533
A350-941	D	D_1+F_U				0,062824
A350-941	D	D_ZERO	0	0	0	0,048142
A350-941	D	D_ZERO				0,048126
ATR72	A	15-A-G				0,0803
ATR72	A	33-A-G			0,55608	0,105
ATR72	A	ZERO-A				0,09027
ATR72	D	15	0,013155	0,538		0,08142
ATR72	D	INTR				0,07826
ATR72	D	ZERO				0,0708
F10062	A	D-42	0	0	0,4731	0,1565
F10062	A	INT2				0,0904
F10062	A	TO				0,0683
F10062	A	U-INT				0,1124
F10062	D	INT2				0,0904
F10062	D	TO	0,0122	0,5162		0,0683
F10062	D	ZERO				0,0683
F10065	A	D-42			0,4731	0,1565
F10065	A	INT2				0,0911
F10065	A	TO				0,0693
F10065	A	U-INT				0,1129
F10065	D	INT2				0,0911
F10065	D	TO	0,0123	0,521		0,0693
F10065	D	ZERO				0,0693
F28MK2	A	D-42			0,5334	0,1677
F28MK2	A	INT2				0,1033
F28MK2	A	U-INTR				0,1248
F28MK2	A	ZERO				0,0819
F28MK2	D	6	0,0171	0,6027		0,0793
F28MK2	D	INT2				0,1033
F28MK2	D	ZERO				0,0819
F28MK4	A	D-42			0,5149	0,1619

F28MK4	A	INT2				0,0971
F28MK4	A	U-INTR				0,1187
F28MK4	A	ZERO				0,0755
F28MK4	D	6	0,01515	0,5731		0,0749
F28MK4	D	INT2				0,0971
F28MK4	D	ZERO				0,0755
FAL20	A	D-25			0,804634	0,117238
FAL20	A	D-40			0,792624	0,136348
FAL20	A	INTR				0,084391
FAL20	A	ZERO				0,07
FAL20	D	10	0,035696	0,807797		0,098781
FAL20	D	INTR				0,084391
FAL20	D	ZERO				0,07
GII	A	L-0-U				0,0751
GII	A	L-10-U				0,0852
GII	A	L-20-D				0,1138
GII	A	L-39-D			0,5822	0,1742
GII	D	T-0-U				0,0814
GII	D	T-10-U				0,0884
GII	D	T-20-D	0,02	0,634		0,1159
GIIB	A	L-0-U				0,0722
GIIB	A	L-10-U				0,0735
GIIB	A	L-20-D				0,1091
GIIB	A	L-39-D			0,562984	0,1509
GIIB	D	T-0-U				0,0738
GIIB	D	T-10-U				0,0729
GIIB	D	T-20-D	0,0162	0,583		0,1063
GIV	A	L-0-U				0,06
GIV	A	L-20-D				0,1063
GIV	A	L-39-D			0,5805	0,1403
GIV	D	T-0-U				0,0586
GIV	D	T-10-U				0,0666
GIV	D	T-20-D	0,0146	0,5798		0,1035
GIV	D	T-20-U				0,0797

GV	A	L-0-U				0,0617
GV	A	L-20-D				0,0974
GV	A	L-20-U				0,0749
GV	A	L-39-D			0,4908	0,1328
GV	D	T-0-U				0,058
GV	D	T-10-U				0,0606
GV	D	T-20-D	0,01178	0,516		0,0953
GV	D	T-20-U				0,0743
HS748A	A	D-30			0,45813	0,13849
HS748A	A	D-INTR				0,106745
HS748A	A	INTR				0,088176
HS748A	A	ZERO				0,075
HS748A	D	INTR				0,088176
HS748A	D	TO	0,012271	0,542574		0,101351
HS748A	D	ZERO				0,075
IA1125	A	D-40			0,967478	0,136393
IA1125	A	D-INTR				0,118618
IA1125	A	INTR				0,085422
IA1125	A	ZERO				0,07
IA1125	D	12	0,040745	0,963488		0,100843
IA1125	D	INTR				0,085422
IA1125	D	ZERO				0,07
L1011	A	10				0,093396
L1011	A	D-33			0,286984	0,137671
L1011	A	D-42			0,256389	0,155717
L1011	A	ZERO				0,06243
L1011	D	10	0,004561	0,265314		0,093396
L1011	D	22	0,004759	0,251916		0,105083
L1011	D	INTR				0,07959
L1011	D	ZERO				0,06243
L10115	A	10				0,093396
L10115	A	D-33			0,262728	0,140162
L10115	A	D-42			0,256123	0,155644
L10115	A	ZERO				0,06243

L10115	D	10	0,004499	0,265314		0,093396
L10115	D	22	0,004695	0,251916		0,105083
L10115	D	INTR				0,07959
L10115	D	ZERO				0,06243
L188	A	D-100			0,436792	0,174786
L188	A	D-78-%			0,456156	0,122326
L188	A	INTR				0,120987
L188	A	ZERO				0,082
L188	D	39-%	0,009995	0,420533		0,142992
L188	D	78-%	0,010265	0,404302		0,159974
L188	D	INTR				0,120987
L188	D	ZERO				0,082
LEAR25	A	10				0,09667
LEAR25	A	D-40			1,28239	0,176632
LEAR25	A	D-INTR				0,149986
LEAR25	A	ZERO				0,07
LEAR25	D	10				0,09667
LEAR25	D	20	0,082866	1,27373		0,12334
LEAR25	D	ZERO				0,07
LEAR35	A	10				0,089112
LEAR35	A	D-40			1,08756	0,150688
LEAR35	A	D-INTR				0,129456
LEAR35	A	ZERO				0,07
LEAR35	D	10				0,089112
LEAR35	D	20	0,043803	1,05985		0,108224
LEAR35	D	ZERO				0,07
MD11GE	D	10	0,003812	0,2648		0,0843
MD11GE	D	15	0,003625	0,2578		0,0891
MD11GE	D	20	0,003509	0,2524		0,0947
MD11GE	D	25	0,003443	0,2481		0,1016
MD11GE	D	0/EXT				0,0692
MD11GE	D	0/RET				0,0551
MD11GE	D	ZERO				0,0551
MD11PW	D	10	0,003829	0,265		0,08425

MD11PW	D	15	0,003675	0,2576		0,08877
MD11PW	D	20	0,003545	0,2526		0,09472
MD11PW	D	25	0,003494	0,2487		0,1018
MD11PW	D	0/EXT				0,0691
MD11PW	D	0/RET				0,05512
MD11PW	D	ZERO				0,05512
MD81	D	11	0,009276	0,4247		0,07719
MD81	D	INT1				0,07643
MD81	D	INT2				0,06313
MD81	D	INT3				0,06156
MD81	D	INT4				0,06366
MD81	D	T_15	0,009369	0,420798		0,0857
MD81	D	T_INT				0,0701
MD81	D	T_ZERO				0,061
MD81	D	ZERO				0,06761
MD82	D	11	0,009248	0,4236		0,07969
MD82	D	INT1				0,07625
MD82	D	INT2				0,06337
MD82	D	INT3				0,06196
MD82	D	INT4				0,0634
MD82	D	T_15	0,009267	0,420216		0,086
MD82	D	T_INT				0,065
MD82	D	T_ZERO				0,061
MD82	D	ZERO				0,06643
MD83	D	11	0,009301	0,4227		0,0798
MD83	D	INT1				0,07666
MD83	D	INT2				0,0664
MD83	D	INT3				0,06247
MD83	D	INT4				0,06236
MD83	D	T_15	0,009384	0,420307		0,086
MD83	D	T_INT				0,0664
MD83	D	T_ZERO				0,0611
MD83	D	ZERO				0,06573
MD9025	A	D-28			0,4118	0,1181

MD9025	A	D-40			0,4003	0,1412
MD9025	A	U-0			0,4744	0,0876
MD9025	D	EXT/06	0,010708	0,458611		0,070601
MD9025	D	EXT/11	0,009927	0,441118		0,073655
MD9025	D	EXT/18	0,009203	0,421346		0,083277
MD9025	D	EXT/24	0,008712	0,408301		0,090279
MD9025	D	RET/0				0,05186
MD9028	A	D-28			0,4118	0,1181
MD9028	A	D-40			0,4003	0,1412
MD9028	A	U-0			0,4744	0,0876
MD9028	D	EXT/06	0,010993	0,463088		0,070248
MD9028	D	EXT/11	0,010269	0,446501		0,072708
MD9028	D	EXT/18	0,009514	0,426673		0,082666
MD9028	D	EXT/24	0,008991	0,413409		0,090018
MD9028	D	RET/0				0,05025
MU3001	A	1				0,08188
MU3001	A	D-30			1,07308	0,147487
MU3001	A	D-INTR				0,114684
MU3001	A	ZERO				0,07
MU3001	D	1	0,065703	1,1529		0,08188
MU3001	D	10	0,055318	1,0729		0,09285
MU3001	D	ZERO				0,07
PA30	A	27-A			1,316667	0,104586
PA30	A	ZERO-A				0,078131
PA30	D	15-D	0,100146	1,166667		0,154071
PA30	D	ZERO-D				0,067504
PA42	A	30-DN			1,09213	0,14679
PA42	A	ZERO-A				0,087856
PA42	D	ZER-DN	0,06796	1,011055		0,08088
PA42	D	ZERO				0,087856
PA42	D	ZERO-C				0,139096
PA42	D	ZERO-T				0,07651
SD330	A	D-15			0,746802	0,109263
SD330	A	D-35			0,702872	0,143475



ThoriumSoftware d.o.o.

Mobile: +385 (0) 95 8 70 50 70
 Kontakt: Dario Ilija Rendulić
 Email:
[info@thoriumsoftware.eu;](mailto:info@thoriumsoftware.eu)
direndulic@gmail.com

SD330	A	INTR									0,106596
SD330	A	ZERO									0,075
SD330	D	10	0,031762		0,727556						0,138193
SD330	D	INTR									0,106596
SD330	D	ZERO									0,075
SF340	A	5									0,105831
SF340	A	D-35						0,75674			0,147912
SF340	A	D-INTR									0,111456
SF340	A	ZERO									0,075
SF340	D	5									0,105831
SF340	D	15	0,026303		0,746174						0,136662
SF340	D	ZERO									0,075"

Tablica I-2: Zrakoplovi

ACFTID	Opis	Tip motora	Broj motora	Klasifikacija po masi	Kategorija vlasnika	MTOW (lb)	MGLW (lb)	Najveća duljina za slijetanje (ft)	Najveća razina statičkog potiska na razini mora (lb)	Poglavlje o buci	NPD oznaka (NPD_ID)	Parametarsnake	Oznaka spektralne klase za prilaz	Oznaka spektralne klase za odlet	Oznaka lateralne usmjerenoosti
1900D	Beech 1900D/PT6A67	Turboelisni	2	Veliki	Komercijalni	16950	14940	1696	3367	1	PT6A67	CNT (lb)	213	109	Elisa
707	Boeing 707-120/JT3C	Mlazni	4	Teški	Komercijalni	302400	188900	6682	10120	1	JT4A	CNT (lb)	208	107	Krilo
707120	Boeing 707-120B/JT3D-3	Mlazni	4	Teški	Komercijalni	302400	188900	6893	14850	1	JT3D	CNT (lb)	208	107	Krilo
707320	Boeing 707-320B/JT3D-7	Mlazni	4	Teški	Komercijalni	334000	247000	5622	19000	1	JT3D	CNT (lb)	208	107	Krilo
707QN	Boeing 707-320B/JT3D-7QN	Mlazni	4	Teški	Komercijalni	334000	247000	5622	19000	2	JT3DQ	CNT (lb)	208	106	Krilo
717200	Boeing 717-200/BR 715	Mlazni	2	Veliki	Komercijalni	121000	110000	4600	18000	3	BR715	CNT (lb)	203	105	Trup
720	Boeing 720/JT3C	Mlazni	4	Veliki	Komercijalni	223500	155600	4871	10120	1	JT4A	CNT (lb)	208	107	Krilo
720B	Boeing 720B/JT3D-3	Mlazni	4	Veliki	Komercijalni	234000	175000	5717	18000	1	JT3D	CNT (lb)	208	107	Krilo



ThoriumSoftware d.o.o.

Mobile: +385 (0) 95 8 70 50 70
 Kontakt: Dario Ilija Rendulić
 Email:
[info@thoriumsoftware.eu;](mailto:info@thoriumsoftware.eu)
direndulic@gmail.com

727100	Boeing 727-100/JT8D-7	Mlazni	3	Veliki	Komercijalni	169500	142500	4867	14000	1	3JT8D	CNT (lb)	201	101	Trup
727200	Boeing 727-200/JT8D-7	Mlazni	3	Veliki	Komercijalni	217600	163300	5571	11895	1	3JT8D	CNT (lb)	201	101	Trup
727D15	Boeing 727-200/JT8D-15	Mlazni	3	Veliki	Komercijalni	208000	169000	4922	15500	1	3JT8D	CNT (lb)	201	101	Trup
727D17	Boeing 727-200/JT8D-17	Mlazni	3	Veliki	Komercijalni	208000	169000	5444	16000	2	3JT8DQ	CNT (lb)	201	101	Trup
727EM1	FEDX 727-100/JT8D-7	Mlazni	3	Veliki	Komercijalni	169500	142500	4867	14000	3	3JT8E7	CNT (lb)	201	101	Trup
727EM2	FEDX 727-200/JT8D-15	Mlazni	3	Veliki	Komercijalni	208000	169000	4922	15500	3	3JT8E5	CNT (lb)	201	101	Trup
727Q15	Boeing 727-200/JT8D-15QN	Mlazni	3	Veliki	Komercijalni	208000	169000	4922	15500	2	3JT8DQ	CNT (lb)	201	101	Trup
727Q7	Boeing 727-100/JT8D-7QN	Mlazni	3	Veliki	Komercijalni	169500	142500	4867	14000	2	3JT8DQ	CNT (lb)	201	101	Trup
727Q9	Boeing 727-200/JT8D-9	Mlazni	3	Veliki	Komercijalni	191000	160000	5444	14500	2	3JT8DQ	CNT (lb)	201	101	Trup
727QF	UPS 727-100 22C 25C	Mlazni	3	Veliki	Komercijalni	169000	142500	4448	15380	3	TAY651	CNT (lb)	201	101	Trup
737	Boeing 737/JT8D-9	Mlazni	2	Veliki	Komercijalni	109000	98000	3900	14500	1	2JT8DW	CNT (lb)	201	101	Krilo
737300	Boeing 737-300/CFM56-3B-1	Mlazni	2	Veliki	Komercijalni	135000	114000	4580	20000	3	CFM563	CNT (lb)	202	102	Krilo
7373B2	Boeing 737-300/CFM56-3B-2	Mlazni	2	Veliki	Komercijalni	139500	114000	4580	22000	3	CFM563	CNT (lb)	202	102	Krilo
737400	Boeing 737-400/CFM56-3C-1	Mlazni	2	Veliki	Komercijalni	150000	124000	5062	23500	3	CFM563	CNT (lb)	202	102	Krilo
737500	Boeing 737-500/CFM56-3C-1	Mlazni	2	Veliki	Komercijalni	133500	111000	4551	20000	3	CFM563	CNT (lb)	202	102	Krilo
737700	Boeing 737-700/CFM56-7B24	Mlazni	2	Veliki	Komercijalni	154500	129200	4445	24000	3	CFM567B	CNT (lb)	203	104	Krilo
737800	Boeing 737-800/CFM56-7B26	Mlazni	2	Veliki	Komercijalni	174200	146300	5435	26300	3	CFM567B	CNT (lb)	203	104	Krilo
737D17	Boeing 737-200/JT8D-17	Mlazni	2	Veliki	Komercijalni	124000	107000	4244	16000	2	2JT8QW	CNT (lb)	201	101	Krilo
737N17	Boeing 737-200/JT8D-17 Nordam B737 LGW Hushkit	Mlazni	2	Veliki	Komercijalni	124000	107000	4244	16000	3	2JT8DN	CNT (lb)	202	104	Krilo



ThoriumSoftware d.o.o.

Mobile: +385 (0) 95 8 70 50 70
 Kontakt: Dario Ilija Rendulić
 Email:
[info@thoriumsoftware.eu;](mailto:info@thoriumsoftware.eu)
direndulic@gmail.com

737N9	Boeing 737/JT8D-9 Nordam B737 LGW Hushkit	Mlazni	2	Veliki	Komercijalni	109000	98000	3900	14500	3	2JT8DN	CNT (lb)	202	104	Krilo
737QN	Boeing 737/JT8D-9QN	Mlazni	2	Veliki	Komercijalni	109000	98000	3900	14500	2	2JT8QW	CNT (lb)	201	101	Krilo
747100	Boeing 747-100/JT9DBD	Mlazni	4	Teški	Komercijalni	733000	516600	5727	33042	2	JT9DBD	CNT (lb)	209	107	Krilo
74710Q	Boeing 747-100/JT9D-7QN	Mlazni	4	Teški	Komercijalni	733000	564000	6200	45500	3	JT9DFL	CNT (lb)	207	107	Krilo
747200	Boeing 747-200/JT9D-7	Mlazni	4	Teški	Komercijalni	775000	564000	6200	45500	3	JT9DFL	CNT (lb)	207	107	Krilo
74720A	Boeing 747-200/JT9D-7A	Mlazni	4	Teški	Komercijalni	785000	564000	6200	46300	3	JT9D7Q	CNT (lb)	207	107	Krilo
74720B	Boeing 747-200/JT9D-7Q	Mlazni	4	Teški	Komercijalni	800000	630000	6200	53000	3	JT9D7Q	CNT (lb)	207	107	Krilo
747400	Boeing 747-400/PW4056	Mlazni	4	Teški	Komercijalni	875000	652000	6989	56800	3	PW4056	CNT (lb)	207	107	Krilo
7478	Boeing 747-8F/GEnx-2B67	Mlazni	4	Teški	Komercijalni	987000	757000	7900	68000	4	GENX67	CNT (lb)	205	107	Krilo
747SP	Boeing 747SP/JT9D-7	Mlazni	4	Teški	Komercijalni	702000	475000	5911	45500	3	JT9DFL	CNT (lb)	207	107	Krilo
757300	Boeing 757-300/RB211-535E4B	Mlazni	2	Veliki	Komercijalni	275000	224000	5651	43100	3	RR535E	CNT (lb)	203	103	Krilo
757PW	Boeing 757-200/PW2037	Mlazni	2	Veliki	Komercijalni	255000	210000	4790	38300	3	PW2037	CNT (lb)	203	103	Krilo
757RR	Boeing 757-200/RB211-535E4	Mlazni	2	Veliki	Komercijalni	255000	210000	4640	40100	3	RR535E	CNT (lb)	203	103	Krilo
767300	Boeing 767-300/PW4060	Mlazni	2	Teški	Komercijalni	407000	320000	4710	60000	3	2CF680	CNT (lb)	203	103	Krilo
767400	Boeing 767-400ER/CF6-80C2B(F)	Mlazni	2	Teški	Komercijalni	450000	340000	6000	58685	3	CF680C	CNT (lb)	205	102	Krilo
767CF6	Boeing 767-200/CF6-80A	Mlazni	2	Teški	Komercijalni	315500	270000	4700	48000	3	2CF680	CNT (lb)	203	103	Krilo
767JT9	Boeing 767-200/JT9D-7R4D	Mlazni	2	Teški	Komercijalni	351000	270000	4744	48000	3	2CF680	CNT (lb)	203	103	Krilo
777200	Boeing 777-200/GE90-76B	Mlazni	2	Teški	Komercijalni	656000	470000	4450	90000	3	GE90	CNT (lb)	205	105	Krilo
777300	Boeing 777-300/Trent 892	Mlazni	2	Teški	Komercijalni	660000	524000	6012	77000	0	TRENT8	CNT (lb)	203	105	Krilo



ThoriumSoftware d.o.o.

Mobile: +385 (0) 95 8 70 50 70
 Kontakt: Dario Ilija Rendulić
 Email:
[info@thoriumsoftware.eu;](mailto:info@thoriumsoftware.eu)
direndulic@gmail.com

7773ER	Boeing 777-300ER/GE90-115B-EIS	Mlazni	2	Teški	Komercijalni	775000	554000	5805	115000	3	GE9015	CNT (lb)	204	107	Krilo
7878R	Boeing 787-8/T1000-C/01 Family Plan Cert	Mlazni	2	Teški	Komercijalni	502500	380000	5090	70000	4	T1KBFP	CNT (lb)	205	103	Krilo
A300-622R	Airbus A300-622R/PW4158	Mlazni	2	Teški	Komercijalni	378533	308647	4735	58000	3	PW4158	CNT (lb)	202	103	Krilo
A300B4-203	Airbus A300B4-200/CF6-50C2	Mlazni	2	Teški	Komercijalni	364000	295000	5367	52500	3	2CF650	CNT (lb)	203	103	Krilo
A310-304	Airbus A310-304/GE CF6-80C2A2	Mlazni	2	Teški	Komercijalni	346126	273373	4682	53500	3	A310	CNT (lb)	204	103	Krilo
A319-131	Airbus A319-131/V2522-A5	Mlazni	2	Veliki	Komercijalni	166449	137789	4364	22000	3	V2522A	CNT (lb)	205	103	Krilo
A320-211	Airbus A320-211/CFM56-5A1	Mlazni	2	Veliki	Komercijalni	169756	142198	4753	25000	3	CFM565	CNT (lb)	202	103	Krilo
A320-232	Airbus A320-232/V2527-A5	Mlazni	2	Veliki	Komercijalni	169756	145505	4917	26500	3	V2527A	CNT (lb)	205	103	Krilo
A321-232	Airbus A321-232/IAE V2530-A5	Mlazni	2	Veliki	Komercijalni	196211	166449	5587	30000	3	V2530	CNT (lb)	202	103	Krilo
A330-301	Airbus A330-301/GE CF6-80E1A2	Mlazni	2	Teški	Komercijalni	478400	383604	5966	67500	3	CF680E	CNT (lb)	202	102	Krilo
A330-343	Airbus A330-343/RR Trent 772B	Mlazni	2	Teški	Komercijalni	513677	412264	5512	71100	3	TRENT7	CNT (lb)	205	102	Krilo
A340-211	Airbus A340-211/CFM56-5C2	Mlazni	4	Teški	Komercijalni	573200	399036	5900	31200	3	CF565C	CNT (lb)	206	107	Krilo
A340-642	Airbus A340-642/RR Trent 556	Mlazni	4	Teški	Komercijalni	804687	564383	6919	56000	4	TRENT5	CNT (lb)	205	102	Krilo
A380-841	Airbus A380-841/RR Trent 970	Mlazni	4	Teški	Komercijalni	1254430	862007	6752	70000	4	TRENT9	CNT (lb)	205	105	Krilo
A380-861	Airbus A380-861/EA GP7270	Mlazni	4	Teški	Komercijalni	1254430	862007	6837	70000	4	GP7270	CNT (lb)	206	105	Krilo
BAC111	BAC 111/SPEY MK511-14	Mlazni	2	Veliki	Komercijalni	89600	82000	4449	11400	2	2JT8D	CNT (lb)	201	101	Trup
BAE146	BAe 146-200/ALF502R-5	Mlazni	4	Veliki	Komercijalni	93000	81000	3770	6970	3	AL502R	CNT (lb)	206	108	Krilo
BAE300	BAe 146-300/ALF502R-5	Mlazni	4	Veliki	Komercijalni	97500	84500	3960	6970	3	AL502R	CNT (lb)	206	108	Krilo



ThoriumSoftware d.o.o.

Mobile: +385 (0) 95 8 70 50 70
 Kontakt: Dario Ilija Rendulić
 Email:
 info@thoriumsoftware.eu;
 direndulic@gmail.com

BEC58P	Raytheon BARON 58P/TS10-520-L	Klipni	2	Mali	Opće zrakoplovstvo	6100	6100	2733	779	0	TSIO52	CNT (% mak sim alno g stat ičko g poti ska)	215	109	Elisa
CIT3	Cessna Citation III/TFE731-3-100S	Mlazni	2	Veliki	Opće zrakoplovstvo	20000	17000	2770	3650	3	TF7313	CNT (lb)	216	113	Trup
CL600	Canadair CL-600/ALF502L	Mlazni	2	Veliki	Opće zrakoplovstvo	36000	33000	3300	7500	3	AL502L	CNT (lb)	216	113	Trup
CL601	Canadair CL-601/CF34-3A	Mlazni	2	Veliki	Opće zrakoplovstvo	43100	36000	3550	9220	3	CF34	CNT (lb)	216	113	Trup
CNA172	Cessna 172R/Lycoming IO-360-L2A	Klipni	1	Mali	Opće zrakoplovstvo	2450	2450	1695	436	0	IO360L	CNT (% mak sim alno g stat ičko g poti ska)	215	109	Elisa
CNA182	Cessna 182H / Continental O-470-R	Klipni	1	Mali	Opće zrakoplovstvo	2800	2800	1544	965	2	O470R	CNT (lb)	215	113	Elisa
CNA206	Cessna 206H/Lycoming IO-540-AC	Klipni	1	Mali	Opće zrakoplovstvo	3600	3600	1880	798	0	IO540	Dru go (RP M)	215	109	Elisa
CNA208	Cessna 208 / PT6A-114	Turboelisni	1	Mali	Opće zrakoplovstvo	8750	8500	1740	2300	3	PT6A114	CNT (lb)	210	109	Elisa
CNA20T	Cessna T206H/Lycoming TIO-540-AJ1A	Klipni	1	Mali	Opće zrakoplovstvo	3600	3600	1880	825	0	TIO540	Dru go (RP M)	215	109	Elisa
CNA441	Cessna CONQUEST II /TPE331-8	Turboelisni	2	Mali	Komercijalni	9900	9400	1939	1535	0	TPE331	CNT (% mak sim alno g stat ičko g poti ska)	210	111	Elisa
CNA500	Cessna Citation II/JT15D-4	Mlazni	2	Veliki	Opće zrakoplovstvo	14700	14000	3050	2500	3	JT15D1	CNT (lb)	216	113	Trup

CNA510	Cessna Mustang Model 510 / PW615F	Mlazni	2	Mali	Komercijalni	8645	7200	3010	1466	0	PW615F	CNT (lb)	203	113	Trup
CNA525 C	Cessna Citation CJ4 525C /FJ44-4A	Mlazni	2	Mali	Komercijalni	16950	15500	3010	3600	4	FJ44-4	CNT (lb)	235	136	Trup
CNA55B	Cessna 550 Citation Bravo/PW530A	Mlazni	2	Veliki	Opće zrakoplovstvo	14800	13500	3010	2863	0	PW530A	CNT (lb)	203	113	Trup
CNA560 E	Cessna Citation Encore 560 / PW535A	Mlazni	2	Mali	Komercijalni	16300	13680	3000	3313	3	2PW535	CNT (lb)	238	138	Trup
CNA560 U	Cessna Citation Ultra 560 / JT15D-5D	Mlazni	2	Mali	Komercijalni	16300	13680	2700	3029	3	2J155D	CNT (lb)	237	113	Trup
CNA560 XL	Cessna Citation Excel 560 / PW545A	Mlazni	2	Mali	Komercijalni	20000	16830	3000	3824	3	PW545A	CNT (lb)	238	137	Trup
CNA680	Cessna Citation Sovereign 680 / PW306C	Mlazni	2	Mali	Komercijalni	30000	24390	3010	5749	3	PW306C	CNT (lb)	236	136	Trup
CNA750	Cessna Citation X/Rolls Royce Allison AE300TC	Mlazni	2	Veliki	Opće zrakoplovstvo	35700	31800	3500	6407	3	AE300C	CNT (lb)	202	105	Trup
CONCR D	Concorde/OLY593	Mlazni	4	Teški	Komercijalni	400000	245000	10600	38100	0	OLY593	CNT (lb)	206	106	Krilo
CRJ9-ER	Bombardier CL-600-2D15/CL-600-2D24/CF34-8C5	Mlazni	2	Veliki	Komercijalni	82500	73500	5779	13525	3	CF348C5	CNT (lb)	216	113	Trup
CRJ9-LR	Bombardier CL-600-2D15/CL-600-2D24/CF34-8C5	Mlazni	2	Veliki	Komercijalni	84500	75100	5680	13525	3	CF348C5	CNT (lb)	216	113	Trup
CVR580	Convair CV-580/ALL 501-D15	Turboelisni	2	Veliki	Komercijalni	58000	52000	4256	8100	0	501D13	CNT (% mak sim alno g stat ičko g poti ska)	214	112	Elisa
DC1010	McDonnell Douglas DC10-10/CF6-6D	Mlazni	3	Teški	Komercijalni	455000	363000	5820	40000	3	CF66D	CNT (lb)	203	101	Krilo
DC1030	McDonnell Douglas DC10-30/CF6-50C2	Mlazni	3	Teški	Komercijalni	572000	403000	5418	53200	3	CF66D	CNT (lb)	203	101	Krilo



ThoriumSoftware d.o.o.

Mobile: +385 (0) 95 8 70 50 70
 Kontakt: Dario Ilija Rendulić
 Email:
[info@thoriumsoftware.eu;](mailto:info@thoriumsoftware.eu)
direndulic@gmail.com

DC1040	McDonnell Douglas DC10-40/JT9D-20	Mlazni	3	Teški	Komercijalni	555000	403000	6020	49400	3	CF66D	CNT (lb)	203	101	Krilo
DC3	Douglas DC-3/R1820-86	Klipni	2	Veliki	Komercijalni	28000	24500	2222	3120	0	2R2800	CNT (% mak sim alno g stat ičko g poti ska)	213	110	Elisa
DC6	Douglas DC-6/R2800-CB17	Klipni	4	Veliki	Komercijalni	106000	95000	3010	4180	0	4R2800	CNT (% mak sim alno g stat ičko g poti ska)	213	110	Elisa
DC820	Douglas DC-8-20/JT4A	Mlazni	4	Teški	Komercijalni	317600	194400	6527	11850	1	JT4A	CNT (lb)	208	107	Krilo
DC850	Douglas DC-8-50/JT3D-3B	Mlazni	4	Teški	Komercijalni	325000	240000	5400	18000	1	JT3D	CNT (lb)	208	107	Krilo
DC860	Douglas DC-8-60/JT3D-7	Mlazni	4	Teški	Komercijalni	355000	275000	5310	19000	1	JT3D	CNT (lb)	208	107	Krilo
DC870	Douglas DC-8-70/CFM56-2C-5	Mlazni	4	Teški	Komercijalni	355000	258000	6500	22000	3	CFM562	CNT (lb)	206	106	Krilo
DC8QN	Douglas DC-8-60/JT8D-7QN	Mlazni	4	Teški	Komercijalni	355000	275000	5310	19000	2	JT3DQ	CNT (lb)	208	106	Krilo
DC910	McDonnell Douglas DC-9-10/JT8D-7	Mlazni	2	Veliki	Komercijalni	90700	81700	5030	14000	1	2JT8D	CNT (lb)	201	101	Trup
DC930	McDonnell Douglas DC-9-30/JT8D-9	Mlazni	2	Veliki	Komercijalni	114000	102000	4680	14500	1	2JT8D	CNT (lb)	201	101	Trup
DC93LW	McDonnell Douglas DC-9-30/JT8D-9 w/ ABS Lightweight hushkit	Mlazni	2	Veliki	Komercijalni	114000	102000	4680	14500	3	2JT8DL	CNT (lb)	201	101	Trup
DC950	McDonnell Douglas DC-9-50/JT8D-17	Mlazni	2	Veliki	Komercijalni	121000	110000	4880	16000	2	2JT8DQ	CNT (lb)	201	101	Trup
DC95HW	McDonnell Douglas DC-9-50/JT8D17 w/ ABS Heavyweight hushkit	Mlazni	2	Veliki	Komercijalni	121000	110000	4880	16000	3	2JT8DH	CNT (lb)	201	101	Trup



ThoriumSoftware d.o.o.

Mobile: +385 (0) 95 8 70 50 70
 Kontakt: Dario Ilija Rendulić
 Email:
[info@thoriumsoftware.eu;](mailto:info@thoriumsoftware.eu)
direndulic@gmail.com

DC9Q7	McDonnell Douglas DC-9-10/JT8D-7QN	Mlazni	2	Veliki	Komercijalni	90700	81700	5030	14000	2	2JT8DQ	CNT (lb)	201	101	Trup
DC9Q9	McDonnell Douglas DC-9-30/JT8D-9QN	Mlazni	2	Veliki	Komercijalni	114000	102000	4680	14500	2	2JT8DQ	CNT (lb)	201	101	Trup
DHC6	De Havilland DASH 6/PT6A-27	Turboelisni	2	Mali	Komercijalni	12500	12300	1500	2000	0	PT6A27	CNT (% mak sim alno g stat ičko g poti ska)	210	109	Elisa
DHC6QP	De Havilland DASH 6/PT6A-27 Raisbeck Quiet PropMod	Turboelisni	2	Mali	Komercijalni	12500	12300	1500	2000	0	RAISQP	CNT (% mak sim alno g stat ičko g poti ska)	210	109	Elisa
DHC7	De Havilland DASH 7/PT6A-50	Turboelisni	4	Veliki	Komercijalni	41000	39000	2150	2850	3	PT6A50	CNT (% mak sim alno g stat ičko g poti ska)	213	112	Elisa
DHC8	Bombardier de Havilland DASH 8-100/PW121	Turboelisni	2	Veliki	Komercijalni	34500	33900	3000	4750	3	PW120	CNT (% mak sim alno g stat ičko g poti ska)	213	112	Elisa
DHC830	Bombardier de Havilland DASH 8-300/PW123	Turboelisni	2	Veliki	Komercijalni	43000	42000	3500	4918	3	PW120	CNT (% mak sim alno g stat ičko g poti ska)	213	112	Elisa



ThoriumSoftware d.o.o.

Mobile: +385 (0) 95 8 70 50 70
 Kontakt: Dario Ilija Rendulić
 Email:
[info@thoriumsoftware.eu;](mailto:info@thoriumsoftware.eu)
direndulic@gmail.com

DO228	Dornier 228-202 / TPE 311-5	Turboelisni	2	Veliki	Komercijalni	13669	13448	2375	2240	3	TPE331-5	CNT (lb)	216	110	Elisa
DO328	Dornier 328-100 / PW119C	Turboelisni	2	Veliki	Komercijalni	30843	29167	3825	6745	3	PW119C	CNT (lb)	214	109	Elisa
ECLIPSE 500	Eclipse 500 / PW610F	Mlazni	2	Mali	Opće zrakoplovstvo	6000	5600	2389	1031	3	PW610F	CNT (lb)	201	103	Trup
EMB120	Embraer 120 ER / Pratt & Whitney PW118	Turboelisni	2	Veliki	Komercijalni	26433	25794	5571	4000	3	EPW118	CNT (lb)	213	109	Elisa
EMB145	Embraer 145 ER / Allison AE3007	Mlazni	2	Veliki	Komercijalni	45420	41230	4232	7500	3	AE3007	CNT (lb)	216	113	Trup
EMB14L	Embraer 145 LR / Allison AE3007A1	Mlazni	2	Veliki	Komercijalni	48500	42550	4232	7500	3	AE3007	CNT (lb)	216	113	Trup
EMB170	Embraer ERJ170-100	Mlazni	2	Veliki	Komercijalni	82012	72312	4029	13800	3	CF348E	CNT (lb)	216	113	Krilo
EMB175	Embraer ERJ170-200	Mlazni	2	Veliki	Komercijalni	85517	74957	4130	13800	3	CF348E	CNT (lb)	216	113	Krilo
EMB190	Embraer ERJ190-100	Mlazni	2	Veliki	Komercijalni	114199	97003	4081	18500	3	CF3410E	CNT (lb)	205	105	Krilo
EMB195	Embraer ERJ190-200	Mlazni	2	Veliki	Komercijalni	115280	100972	4183	18500	3	CF3410E	CNT (lb)	205	105	Krilo
F10062	Fokker 100/TAY 620-15	Mlazni	2	Veliki	Komercijalni	95000	85500	4560	13900	3	TAY620	CNT (lb)	201	101	Trup
F10065	Fokker 100/TAY 650-15	Mlazni	2	Veliki	Komercijalni	98000	88000	4704	15100	3	TAY650	CNT (lb)	201	101	Trup
F28MK2	Fokker F-28-2000/RB183MK555	Mlazni	2	Veliki	Komercijalni	65000	59000	3540	9850	2	RB183	CNT (lb)	216	104	Trup
F28MK4	Fokker F-28-4000/RB183MK555	Mlazni	2	Veliki	Komercijalni	73000	64000	3546	9900	2	RB183P	CNT (lb)	216	104	Trup
FAL20	Dassault FALCON 20/CF700-2D-2	Mlazni	2	Veliki	Opće zrakoplovstvo	28700	27300	2490	4500	2	CF700	CNT (lb)	203	113	Trup
GII	Gulfstream GII/SPEY 511-8	Mlazni	2	Veliki	Opće zrakoplovstvo	64800	58500	3200	11400	2	SPEYHK	CNT (lb)	216	104	Trup
GIIB	Gulfstream GIIB/GIII - SPEY 511-8	Mlazni	2	Veliki	Opće zrakoplovstvo	69700	58500	3250	11400	2	SPEYHK	CNT (lb)	216	104	Trup
GIV	Gulfstream GIV-SP/TAY 611-8	Mlazni	2	Veliki	Opće zrakoplovstvo	74600	66000	3190	13850	3	TAYGIV	CNT (lb)	203	113	Trup
GV	Gulfstream GV/BR 710	Mlazni	2	Veliki	Opće zrakoplovstvo	90500	75300	2760	14750	3	BR710	CNT (lb)	205	105	Trup



ThoriumSoftware d.o.o.

Mobile: +385 (0) 95 8 70 50 70
 Kontakt: Dario Ilija Rendulić
 Email:
[info@thoriumsoftware.eu;](mailto:info@thoriumsoftware.eu)
direndulic@gmail.com

HS748A	Hawker Siddeley HS-748/DART MK532-2	Turboelisni	2	Veliki	Komercijalni	46500	43000	3360	5150	2	RDA532	CNT (% mak sim alno g stat ičko g poti ska)	212	110	Elisa
IA1125	IAI-1125 ASTRA/TFE731-3A	Mlazni	2	Veliki	Opće zrakoplovstvo	23500	20700	3689	3700	3	TF7313	CNT (lb)	216	113	Trup
L1011	Lockheed Martin L-1011/RB211-22B	Mlazni	3	Teški	Komercijalni	430000	358000	5693	42000	3	RB2112	CNT (lb)	203	101	Krilo
L10115	Lockheed Martin L-1011-500/RB211-224B	Mlazni	3	Teški	Komercijalni	510000	368000	6800	50000	3	RB2112	CNT (lb)	203	101	Krilo
L188	Lockheed L-188C/ALL 501-D13	Turboelisni	4	Veliki	Komercijalni	116000	98100	4960	8000	0	T56A7	CNT (% mak sim alno g stat ičko g poti ska)	214	112	Elisa
LEAR25	Learjet 25/CJ610-8	Mlazni	2	Veliki	Opće zrakoplovstvo	15000	13500	2620	2950	2	CJ610	CNT (lb)	202	113	Trup
LEAR35	Learjet 36/TFE731-2	Mlazni	2	Veliki	Opće zrakoplovstvo	18300	15300	3076	3500	3	TF7312	CNT (lb)	216	113	Trup
MD11G E	McDonnell Douglas MD-11/CF6-80C2D1F	Mlazni	3	Teški	Komercijalni	682400	433300	5131	61500	3	2CF68D	CNT (lb)	203	103	Krilo
MD11P W	McDonnell Douglas MD-11/PW 4460	Mlazni	3	Teški	Komercijalni	682400	433300	4681	60000	3	PW4460	CNT (lb)	203	103	Krilo
MD81	McDonnell Douglas MD-81/JT8D-209	Mlazni	2	Veliki	Komercijalni	140000	128000	4860	19300	3	2JT8D2	CNT (lb)	204	104	Trup
MD82	McDonnell Douglas MD-82/JT8D-217A	Mlazni	2	Veliki	Komercijalni	149500	130000	4920	20900	3	2JT8D2	CNT (lb)	204	104	Trup
MD83	McDonnell Douglas MD-83/JT8D-219	Mlazni	2	Veliki	Komercijalni	160000	139500	5200	21700	3	2JT8D2	CNT (lb)	204	104	Trup
MD902 5	McDonnell Douglas MD-90/V2525-D5	Mlazni	2	Veliki	Komercijalni	156000	142000	3000	25000	3	V2525	CNT (lb)	205	105	Trup
MD902 8	McDonnell Douglas MD-90/V2528-D5	Mlazni	2	Veliki	Komercijalni	156000	142000	3000	28000	3	V2525	CNT (lb)	205	105	Trup



ThoriumSoftware d.o.o.

Mobile: +385 (0) 95 8 70 50 70
 Kontakt: Dario Ilija Rendulić
 Email:
[info@thoriumsoftware.eu;](mailto:info@thoriumsoftware.eu)
direndulic@gmail.com

MU300-1	Mitsubishi MU300-10 Diamond II/JT15D-5	Mlazni	2	Veliki	Opće zrakoplovstvo	14100	13200	2800	2500	3	JT15D5	CNT (lb)	203	113	Trup
PA28	Piper Warrior PA-28-161/O-320-D3G	Klipni	1	Mali	Opće zrakoplovstvo	2325	2325	1695	400	0	O320D3	Dru go (RP M)	213	113	Elisa
PA30	Piper Twin Comanche PA-30/IO-320-B1A	Klipni	2	Mali	Opće zrakoplovstvo	3600	3600	1654	777	0	IO320B	CNT (lb)	213	113	Elisa
PA31	Piper Navajo Chieftain PA-31-350/TIO-5	Klipni	2	Mali	Opće zrakoplovstvo	7000	7000	1850	1481	0	TIO542	Dru go (RP M)	213	109	Elisa
PA42	Piper PA-42 / PT6A-41	Turboelisni	2	Mali	Opće zrakoplovstvo	11200	10330	3300	1800	3	PT6A41	CNT (lb)	213	109	Elisa
SABR80	NA Sabreliner 80	Mlazni	2	Veliki	Opće zrakoplovstvo	33720	27290	2490	3962	2	CF700	CNT (lb)	203	113	Trup
SD330	Short SD3-30/PT6A-45AR	Turboelisni	2	Veliki	Komercijalni	22900	22600	3650	2670	3	PT6A45	CNT (% mak sim alno g stat ičko g poti ska)	211	109	Elisa
SF340	Saab SF340B/CT7-9B	Turboelisni	2	Veliki	Komercijalni	27300	26500	3470	4067	3	CT75	CNT (% mak sim alno g stat ičko g poti ska)	211	110	Elisa



ThoriumSoftware d.o.o.

Mobile: +385 (0) 95 8 70 50 70
 Kontakt: Dario Ilija Rendulić
 Email:
[info@thoriumsoftware.eu;](mailto:info@thoriumsoftware.eu)
direndulic@gmail.com

„7378M AX	Boeing 737 MAX 8 / CFM Leap1B -27	Mlazni	2Veli ki	Komercija lni	181 2 00	152 8 00	4 9 65	26 4 00	47378M AX	CN T (lb)	21 6 3	10 3	Kril o
A350-941	Airbus A350-941 / RR Trent XWB-84	Mlazni	2Teški	Komercija lni	610 6 81	456 3 56	6 5 58	84 2 00	4A350-941	CN T (lb)	23 9 9	13 9	Kril o
ATR72	Avions de Transport Regional ATR 72-212A /	Turboeli sni	2Veli ki	Komercija lni	50 71 0	49 27 0	3 3 60	7 58 7	4ATR72	CN T (lb)	24 0 0	14 0	Elisa ”
	PW127 F												

Tablica I-3: Uobičajeni proceduralni koraci u prilazu

ACFTID	Oznaka profila (Profile_ID)	Broj koraka	Tip koraka	Zakrilca (Flap_ID)	Početna visina (ft)	Početna kalibrirana brzina leta (kt)	Kut snižavanja (stupnjevi)	Protrčavanje (ft)	Duljina (ft)	Početni potisak (% najvećeg potiska)
1900D	DEFAULT	1	Snižavanje	ZERO-A	6000,0	160,0	3,0			
1900D	DEFAULT	2	Snižavanje	ZERO-A	3000,0	160,0	3,0			
1900D	DEFAULT	3	Snižavanje	ZERO-A	1500,0	146,0	3,0			
1900D	DEFAULT	4	Snižavanje	35-A	1000,0	118,0	3,0			
1900D	DEFAULT	5	Slijetanje	35-A				57,2		
1900D	DEFAULT	6	Usporenje			84,0			515,2	40,0
1900D	DEFAULT	7	Usporenje			10,0			0,0	10,0
707320	DEFAULT	1	Snižavanje	ZERO	6000,0	250,0	3,0			
707320	DEFAULT	2	Snižavanje	14	3000,0	160,0	3,0			
707320	DEFAULT	3	Snižavanje	D-25	1500,0	145,0	3,0			
707320	DEFAULT	4	Snižavanje	D-40	1000,0	131,6	3,0			



ThoriumSoftware d.o.o.

Mobile: +385 (0) 95 8 70 50 70
 Kontakt: Dario Ilija Rendulić
 Email:
 info@thoriumsoftware.eu;
 direndulic@gmail.com

707320	DEFAULT	5	Slijetanje	D-40				410,6		
707320	DEFAULT	6	Usporenje			124,9			3695,4	40,0
707320	DEFAULT	7	Usporenje			30,0			0,0	10,0
707QN	DEFAULT	1	Snižavanje	ZERO	6000,0	250,0	3,0			
707QN	DEFAULT	2	Snižavanje	14	3000,0	160,0	3,0			
707QN	DEFAULT	3	Snižavanje	D-25	1500,0	145,0	3,0			
707QN	DEFAULT	4	Snižavanje	D-40	1000,0	131,6	3,0			
707QN	DEFAULT	5	Slijetanje	D-40				410,6		
707QN	DEFAULT	6	Usporenje			124,9			3695,4	40,0
707QN	DEFAULT	7	Usporenje			30,0			0,0	10,0
717200	DEFAULT	1	Snižavanje	A_0U	6000,0	250,0	3,0			
717200	DEFAULT	2	Snižavanje	A_18U	3000,0	190,0	3,0			
717200	DEFAULT	3	Snižavanje	A_18D	1500,0	160,0	3,0			
717200	DEFAULT	4	Snižavanje	A_40D	1000,0	140,0	3,0			
717200	DEFAULT	5	Slijetanje	A_40D				318,6		
717200	DEFAULT	6	Usporenje			130,0			2867,4	40,0
717200	DEFAULT	7	Usporenje			30,0			0,0	8,6
720B	DEFAULT	1	Snižavanje	ZERO	6000,0	250,0	3,0			
720B	DEFAULT	2	Snižavanje	20	3000,0	160,0	3,0			
720B	DEFAULT	3	Snižavanje	U-30	1500,0	149,0	3,0			
720B	DEFAULT	4	Snižavanje	D-30	1000,0	139,0	3,0			
720B	DEFAULT	5	Slijetanje	D-30				419,1		
720B	DEFAULT	6	Usporenje			131,9			3771,9	40,0
720B	DEFAULT	7	Usporenje			30,0			0,0	10,0
727100	DEFAULT	1	Snižavanje	ZERO	6000,0	250,0	3,0			
727100	DEFAULT	2	Snižavanje	5	3000,0	160,0	3,0			
727100	DEFAULT	3	Snižavanje	D-25	1500,0	125,5	3,0			
727100	DEFAULT	4	Snižavanje	D-30	1000,0	123,2	3,0			
727100	DEFAULT	5	Slijetanje	D-30				342,6		



ThoriumSoftware d.o.o.

Mobile: +385 (0) 95 8 70 50 70
 Kontakt: Dario Ilija Rendulić
 Email:
[info@thoriumsoftware.eu;](mailto:info@thoriumsoftware.eu)
direndulic@gmail.com

727100	DEFAULT	6	Usporenje			116,8			3083,4	40,0
727100	DEFAULT	7	Usporenje			30,0			0,0	10,0
727D15	DEFAULT	1	Snižavanje	ZERO	6000,0	250,0	3,0			
727D15	DEFAULT	2	Snižavanje	5	3000,0	160,0	3,0			
727D15	DEFAULT	3	Snižavanje	D-25	1500,0	149,6	3,0			
727D15	DEFAULT	4	Snižavanje	D-30	1000,0	147,6	3,0			
727D15	DEFAULT	5	Slijetanje	D-30				347,6		
727D15	DEFAULT	6	Usporenje			140,0			3128,4	40,0
727D15	DEFAULT	7	Usporenje			30,0			0,0	10,0
727D17	DEFAULT	1	Snižavanje	ZERO	6000,0	250,0	3,0			
727D17	DEFAULT	2	Snižavanje	5	3000,0	160,0	3,0			
727D17	DEFAULT	3	Snižavanje	D-25	1500,0	149,6	3,0			
727D17	DEFAULT	4	Snižavanje	D-30	1000,0	147,6	3,0			
727D17	DEFAULT	5	Slijetanje	D-30				394,6		
727D17	DEFAULT	6	Usporenje			140,0			3551,4	40,0
727D17	DEFAULT	7	Usporenje			30,0			0,0	10,0
727EM1	DEFAULT	1	Snižavanje	ZERO	6000,0	250,0	3,0			
727EM1	DEFAULT	2	Snižavanje	5	3000,0	160,0	3,0			
727EM1	DEFAULT	3	Snižavanje	D-25	1500,0	125,5	3,0			
727EM1	DEFAULT	4	Snižavanje	D-30	1000,0	123,2	3,0			
727EM1	DEFAULT	5	Slijetanje	D-30				342,6		
727EM1	DEFAULT	6	Usporenje			116,8			3083,4	40,0
727EM1	DEFAULT	7	Usporenje			30,0			0,0	10,0
727EM2	DEFAULT	1	Snižavanje	ZERO	6000,0	250,0	3,0			
727EM2	DEFAULT	2	Snižavanje	5	3000,0	160,0	3,0			
727EM2	DEFAULT	3	Snižavanje	D-25	1500,0	149,6	3,0			
727EM2	DEFAULT	4	Snižavanje	D-30	1000,0	147,6	3,0			
727EM2	DEFAULT	5	Slijetanje	D-30				347,6		
727EM2	DEFAULT	6	Usporenje			140,0			3128,4	40,0

727EM2	DEFAULT	7	Usporenje			30,0			0,0	10,0
727Q15	DEFAULT	1	Snižavanje	ZERO	6000,0	250,0	3,0			
727Q15	DEFAULT	2	Snižavanje	5	3000,0	160,0	3,0			
727Q15	DEFAULT	3	Snižavanje	D-25	1500,0	149,6	3,0			
727Q15	DEFAULT	4	Snižavanje	D-30	1000,0	147,6	3,0			
727Q15	DEFAULT	5	Slijetanje	D-30				347,6		
727Q15	DEFAULT	6	Usporenje			140,0			3128,4	40,0
727Q15	DEFAULT	7	Usporenje			30,0			0,0	10,0
727Q7	DEFAULT	1	Snižavanje	ZERO	6000,0	250,0	3,0			
727Q7	DEFAULT	2	Snižavanje	5	3000,0	160,0	3,0			
727Q7	DEFAULT	3	Snižavanje	D-25	1500,0	125,5	3,0			
727Q7	DEFAULT	4	Snižavanje	D-30	1000,0	123,2	3,0			
727Q7	DEFAULT	5	Slijetanje	D-30				342,6		
727Q7	DEFAULT	6	Usporenje			116,8			3083,4	40,0
727Q7	DEFAULT	7	Usporenje			30,0			0,0	10,0
727Q9	DEFAULT	1	Snižavanje	ZERO	6000,0	250,0	3,0			
727Q9	DEFAULT	2	Snižavanje	5	3000,0	160,0	3,0			
727Q9	DEFAULT	3	Snižavanje	D-25	1500,0	145,4	3,0			
727Q9	DEFAULT	4	Snižavanje	D-30	1000,0	143,4	3,0			
727Q9	DEFAULT	5	Slijetanje	D-30				394,6		
727Q9	DEFAULT	6	Usporenje			136,0			3551,4	40,0
727Q9	DEFAULT	7	Usporenje			30,0			0,0	10,0
727QF	DEFAULT	1	Snižavanje	U-ZERO	6000,0	250,0	3,0			
727QF	DEFAULT	2	Snižavanje	U-05	3000,0	160,0	3,0			
727QF	DEFAULT	3	Snižavanje	D-15	1500,0	150,0	3,0			
727QF	DEFAULT	4	Snižavanje	D-30	1000,0	131,0	3,0			
727QF	DEFAULT	5	Slijetanje	D-30				363,0		
727QF	DEFAULT	6	Usporenje			121,0			2686,0	40,0
727QF	DEFAULT	7	Usporenje			60,0			0,0	10,0

737	DEFAULT	1	Snižavanje	ZERO	6000,0	250,0	3,0			
737	DEFAULT	2	Snižavanje	5	3000,0	170,0	3,0			
737	DEFAULT	3	Snižavanje	D-25	1500,0	134,5	3,0			
737	DEFAULT	4	Snižavanje	D-30	1000,0	131,5	3,0			
737	DEFAULT	5	Slijetanje	D-30				255,6		
737	DEFAULT	6	Usporenje			124,8			2300,4	40,0
737	DEFAULT	7	Usporenje			30,0			0,0	10,0
737300	DEFAULT	1	Snižavanje	ZERO	6000,0	250,0	3,0			
737300	DEFAULT	2	Snižavanje	5	3000,0	170,0	3,0			
737300	DEFAULT	3	Snižavanje	D-15	1500,0	148,6	3,0			
737300	DEFAULT	4	Snižavanje	D-30	1000,0	139,0	3,0			
737300	DEFAULT	5	Slijetanje	D-30				316,8		
737300	DEFAULT	6	Usporenje			131,9			2851,2	40,0
737300	DEFAULT	7	Usporenje			30,0			0,0	10,0
7373B2	DEFAULT	1	Snižavanje	ZERO	6000,0	250,0	3,0			
7373B2	DEFAULT	2	Snižavanje	5	3000,0	170,0	3,0			
7373B2	DEFAULT	3	Snižavanje	D-15	1500,0	148,6	3,0			
7373B2	DEFAULT	4	Snižavanje	D-30	1000,0	139,0	3,0			
7373B2	DEFAULT	5	Slijetanje	D-30				316,8		
7373B2	DEFAULT	6	Usporenje			131,9			2851,2	40,0
7373B2	DEFAULT	7	Usporenje			30,0			0,0	10,0
737400	DEFAULT	1	Snižavanje	ZERO	6000,0	250,0	3,0			
737400	DEFAULT	2	Snižavanje	5	3000,0	170,0	3,0			
737400	DEFAULT	3	Snižavanje	D-15	1500,0	159,7	3,0			
737400	DEFAULT	4	Snižavanje	D-30	1000,0	144,9	3,0			
737400	DEFAULT	5	Slijetanje	D-30				360,2		
737400	DEFAULT	6	Usporenje			137,5			3241,8	40,0
737400	DEFAULT	7	Usporenje			30,0			0,0	10,0
737500	DEFAULT	1	Snižavanje	ZERO	6000,0	250,0	3,0			

737500	DEFAULT	2	Snižavanje	5	3000,0	170,0	3,0			
737500	DEFAULT	3	Snižavanje	D-15	1500,0	143,4	3,0			
737500	DEFAULT	4	Snižavanje	D-30	1000,0	135,3	3,0			
737500	DEFAULT	5	Slijetanje	D-30				314,2		
737500	DEFAULT	6	Usporenje			128,4			2827,8	40,0
737500	DEFAULT	7	Usporenje			30,0			0,0	10,0
737700	DEFAULT	1	Snižavanje	T_ZERO	6000,0	250,0	3,0			
737700	DEFAULT	2	Snižavanje	T_5	3000,0	171,0	3,0			
737700	DEFAULT	3	Snižavanje	A_15	1500,0	140,0	3,0			
737700	DEFAULT	4	Snižavanje	A_40	1000,0	133,0	3,0			
737700	DEFAULT	5	Slijetanje	A_40				304,7		
737700	DEFAULT	6	Usporenje			116,0			2741,9	40,0
737700	DEFAULT	7	Usporenje			30,0			0,0	10,0
737D17	DEFAULT	1	Snižavanje	ZERO	6000,0	250,0	3,0			
737D17	DEFAULT	2	Snižavanje	5	3000,0	170,0	3,0			
737D17	DEFAULT	3	Snižavanje	D-25	1500,0	140,2	3,0			
737D17	DEFAULT	4	Snižavanje	D-30	1000,0	137,7	3,0			
737D17	DEFAULT	5	Slijetanje	D-30				286,6		
737D17	DEFAULT	6	Usporenje			130,7			2579,4	40,0
737D17	DEFAULT	7	Usporenje			30,0			0,0	10,0
737N17	DEFAULT	1	Snižavanje	ZERO	6000,0	250,0	3,0			
737N17	DEFAULT	2	Snižavanje	5	3000,0	170,0	3,0			
737N17	DEFAULT	3	Snižavanje	D-25	1500,0	140,2	3,0			
737N17	DEFAULT	4	Snižavanje	D-30	1000,0	137,7	3,0			
737N17	DEFAULT	5	Slijetanje	D-30				286,6		
737N17	DEFAULT	6	Usporenje			130,7			2579,4	40,0
737N17	DEFAULT	7	Usporenje			30,0			0,0	10,0
737N9	DEFAULT	1	Snižavanje	ZERO	6000,0	250,0	3,0			
737N9	DEFAULT	2	Snižavanje	5	3000,0	170,0	3,0			

737N9	DEFAULT	3	Snižavanje	D-25	1500,0	134,5	3,0			
737N9	DEFAULT	4	Snižavanje	D-30	1000,0	131,5	3,0			
737N9	DEFAULT	5	Slijetanje	D-30				255,6		
737N9	DEFAULT	6	Usporenje			124,8			2300,4	40,0
737N9	DEFAULT	7	Usporenje			30,0			0,0	10,0
737QN	DEFAULT	1	Snižavanje	ZERO	6000,0	250,0	3,0			
737QN	DEFAULT	2	Snižavanje	5	3000,0	170,0	3,0			
737QN	DEFAULT	3	Snižavanje	D-25	1500,0	134,5	3,0			
737QN	DEFAULT	4	Snižavanje	D-30	1000,0	131,5	3,0			
737QN	DEFAULT	5	Slijetanje	D-30				255,6		
737QN	DEFAULT	6	Usporenje			124,8			2300,4	40,0
737QN	DEFAULT	7	Usporenje			30,0			0,0	10,0
74710Q	DEFAULT	1	Snižavanje	ZERO	6000,0	250,0	3,0			
74710Q	DEFAULT	2	Snižavanje	10	3000,0	160,0	3,0			
74710Q	DEFAULT	3	Snižavanje	D-20	1500,0	155,0	3,0			
74710Q	DEFAULT	4	Snižavanje	D-30	1000,0	144,0	3,0			
74710Q	DEFAULT	5	Slijetanje	D-30				462,6		
74710Q	DEFAULT	6	Usporenje			136,6			4163,4	10,0
74710Q	DEFAULT	7	Usporenje			30,0			0,0	10,0
747200	DEFAULT	1	Snižavanje	ZERO	6000,0	250,0	3,0			
747200	DEFAULT	2	Snižavanje	10	3000,0	160,0	3,0			
747200	DEFAULT	3	Snižavanje	D-20	1500,0	155,0	3,0			
747200	DEFAULT	4	Snižavanje	D-30	1000,0	144,0	3,0			
747200	DEFAULT	5	Slijetanje	D-30				462,6		
747200	DEFAULT	6	Usporenje			136,6			4163,4	10,0
747200	DEFAULT	7	Usporenje			30,0			0,0	10,0
74720A	DEFAULT	1	Snižavanje	ZERO	6000,0	250,0	3,0			
74720A	DEFAULT	2	Snižavanje	10	3000,0	163,7	3,0			
74720A	DEFAULT	3	Snižavanje	D-25	1500,0	150,0	3,0			



ThoriumSoftware d.o.o.

Mobile: +385 (0) 95 8 70 50 70
 Kontakt: Dario Ilija Rendulić
 Email:
[info@thoriumsoftware.eu;](mailto:info@thoriumsoftware.eu)
direndulic@gmail.com

74720A	DEFAULT	4	Snižavanje	D-30	1000,0	143,7	3,0			
74720A	DEFAULT	5	Slijetanje	D-30				462,6		
74720A	DEFAULT	6	Usporenje			136,3			4163,4	10,0
74720A	DEFAULT	7	Usporenje			30,0			0,0	10,0
74720B	DEFAULT	1	Snižavanje	ZERO	6000,0	250,0	3,0			
74720B	DEFAULT	2	Snižavanje	10	3000,0	171,9	3,0			
74720B	DEFAULT	3	Snižavanje	D-25	1500,0	158,5	3,0			
74720B	DEFAULT	4	Snižavanje	D-30	1000,0	151,9	3,0			
74720B	DEFAULT	5	Slijetanje	D-30				462,6		
74720B	DEFAULT	6	Usporenje			144,1			4163,4	10,0
74720B	DEFAULT	7	Usporenje			30,0			0,0	10,0
747400	DEFAULT	1	Snižavanje	5	6000,0	250,0	3,0			
747400	DEFAULT	2	Snižavanje	10	3000,0	175,4	3,0			
747400	DEFAULT	3	Snižavanje	D-25	1500,0	161,4	3,0			
747400	DEFAULT	4	Snižavanje	D-30	1000,0	155,4	3,0			
747400	DEFAULT	5	Slijetanje	D-30				533,6		
747400	DEFAULT	6	Usporenje			147,5			4802,4	10,0
747400	DEFAULT	7	Usporenje			30,0			0,0	10,0
7478	DEFAULT	1	Snižavanje – minimalni potisak		6000,0	278,8	3,0			
7478	DEFAULT	2	Horizontalno – minimalni potisak		3000,0	279,5			30000,0	
7478	DEFAULT	3	Horizontalno – minimalni potisak		3000,0	218,3			10000,0	
7478	DEFAULT	4	Horizontalno – minimalni potisak		3000,0	186,1			3050,0	
7478	DEFAULT	5	Horizontalno – minimalni potisak		3000,0	174,6			4500,0	
7478	DEFAULT	6	Horizontalno	F_10	3000,0	162,3			2069,0	
7478	DEFAULT	7	Snižavanje	F_30	3000,0	157,4	3,0			
7478	DEFAULT	8	Slijetanje	F_30				615,6		



ThoriumSoftware d.o.o.

Mobile: +385 (0) 95 8 70 50 70
 Kontakt: Dario Ilija Rendulić
 Email:
[info@thoriumsoftware.eu;](mailto:info@thoriumsoftware.eu)
direndulic@gmail.com

7478	DEFAULT	9	Usporenje			150,4			5540,4	10,0
7478	DEFAULT	10	Usporenje			30,0			0,0	10,0
747SP	DEFAULT	1	Snižavanje	ZERO	6000,0	250,0	3,0			
747SP	DEFAULT	2	Snižavanje	10	3000,0	160,0	3,0			
747SP	DEFAULT	3	Snižavanje	D-20	1500,0	141,5	3,0			
747SP	DEFAULT	4	Snižavanje	D-30	1000,0	132,4	3,0			
747SP	DEFAULT	5	Slijetanje	D-30				436,6		
747SP	DEFAULT	6	Usporenje			125,6			3929,4	10,0
747SP	DEFAULT	7	Usporenje			30,0			0,0	10,0
757PW	DEFAULT	1	Snižavanje	ZERO	6000,0	250,0	3,0			
757PW	DEFAULT	2	Snižavanje	5	3000,0	160,0	3,0			
757PW	DEFAULT	3	Snižavanje	D-25	1500,0	136,5	3,0			
757PW	DEFAULT	4	Snižavanje	D-30	1000,0	134,2	3,0			
757PW	DEFAULT	5	Slijetanje	D-30				335,7		
757PW	DEFAULT	6	Usporenje			127,3			3021,3	40,0
757PW	DEFAULT	7	Usporenje			30,0			0,0	10,0
757RR	DEFAULT	1	Snižavanje	ZERO	6000,0	250,0	3,0			
757RR	DEFAULT	2	Snižavanje	5	3000,0	160,0	3,0			
757RR	DEFAULT	3	Snižavanje	D-25	1500,0	136,7	3,0			
757RR	DEFAULT	4	Snižavanje	D-30	1000,0	134,7	3,0			
757RR	DEFAULT	5	Slijetanje	D-30				322,2		
757RR	DEFAULT	6	Usporenje			127,8			2899,8	40,0
757RR	DEFAULT	7	Usporenje			30,0			0,0	10,0
767300	DEFAULT	1	Snižavanje	ZERO	6000,0	250,0	3,0			
767300	DEFAULT	2	Snižavanje	5	3000,0	167,0	3,0			
767300	DEFAULT	3	Snižavanje	D-25	1500,0	141,0	3,0			
767300	DEFAULT	4	Snižavanje	D-30	1000,0	137,1	3,0			
767300	DEFAULT	5	Slijetanje	D-30				328,5		
767300	DEFAULT	6	Usporenje			130,1			2956,5	10,0

767300	DEFAULT	7	Usporenje			30,0			0,0	10,0
767CF6	DEFAULT	1	Snižavanje	1	6000,0	250,0	3,0			
767CF6	DEFAULT	2	Snižavanje	5	3000,0	168,5	3,0			
767CF6	DEFAULT	3	Snižavanje	D-25	1500,0	143,0	3,0			
767CF6	DEFAULT	4	Snižavanje	D-30	1000,0	138,5	3,0			
767CF6	DEFAULT	5	Slijetanje	D-30				327,6		
767CF6	DEFAULT	6	Usporenje			131,4			2948,4	10,0
767CF6	DEFAULT	7	Usporenje			30,0			0,0	10,0
767JT9	DEFAULT	1	Snižavanje	ZERO	6000,0	250,0	3,0			
767JT9	DEFAULT	2	Snižavanje	5	3000,0	168,5	3,0			
767JT9	DEFAULT	3	Snižavanje	D-25	1500,0	143,0	3,0			
767JT9	DEFAULT	4	Snižavanje	D-30	1000,0	138,5	3,0			
767JT9	DEFAULT	5	Slijetanje	D-30				331,6		
767JT9	DEFAULT	6	Usporenje			131,4			2984,4	10,0
767JT9	DEFAULT	7	Usporenje			30,0			0,0	10,0
7773ER	DEFAULT	1	Snižavanje – minimalni potisak		6000,0	249,9	3,0			
7773ER	DEFAULT	2	Horizontalno – minimalni potisak		3000,0	249,9			20776,0	
7773ER	DEFAULT	3	Horizontalno – minimalni potisak		3000,0	210,6			10088,0	
7773ER	DEFAULT	4	Horizontalno – minimalni potisak		3000,0	185,4			5926,0	
7773ER	DEFAULT	5	Snižavanje – minimalni potisak		3000,0	170,4	3,0			
7773ER	DEFAULT	6	Snižavanje	F_30	2700,0	147,8	3,0			
7773ER	DEFAULT	7	Slijetanje	F_30				427,1		
7773ER	DEFAULT	8	Usporenje			140,8			3843,5	10,0
7773ER	DEFAULT	9	Usporenje			30,0			0,0	10,0
7878R	DEFAULT	1	Snižavanje – minimalni potisak		6000,0	249,0	3,0			

7878R	DEFAULT	2	Horizontalno – minimalni potisak		3000,0	249,5			20950,0	
7878R	DEFAULT	3	Horizontalno – minimalni potisak		3000,0	214,3			10000,0	
7878R	DEFAULT	4	Horizontalno – minimalni potisak		3000,0	178,9			5000,0	
7878R	DEFAULT	5	Snižavanje – minimalni potisak		3000,0	157,0	3,0			
7878R	DEFAULT	6	Snižavanje	FLAP30	2725,0	142,3	3,0			
7878R	DEFAULT	7	Slijetanje	FLAP30				362,7		
7878R	DEFAULT	8	Usporenje			135,3			3264,3	10,0
7878R	DEFAULT	9	Usporenje			30,0			0,0	10,0
A300-622R	DEFAULT	1	Snižavanje – minimalni potisak		6000,0	250,0	3,3			
A300-622R	DEFAULT	2	Horizontalno – minimalni potisak		3000,0	250,0			14583,3	
A300-622R	DEFAULT	3	Horizontalno – minimalni potisak		3000,0	210,9			7398,3	
A300-622R	DEFAULT	4	Snižavanje – minimalni potisak		3000,0	185,1	3,0			
A300-622R	DEFAULT	5	Snižavanje – minimalni potisak		2417,0	175,9	3,0			
A300-622R	DEFAULT	6	Snižavanje – minimalni potisak		1818,0	149,0	3,0			
A300-622R	DEFAULT	7	Snižavanje	FULL_D	1615,0	133,5	3,0			
A300-622R	DEFAULT	8	Snižavanje	FULL_D	50,0	133,5	3,0			
A300-622R	DEFAULT	9	Slijetanje	FULL_D				305,3		
A300-622R	DEFAULT	10	Usporenje			130,5			2747,8	10,0
A300-622R	DEFAULT	11	Usporenje			30,0			0,0	10,0
A300B4-203	DEFAULT	1	Snižavanje	ZERO	6000,0	250,0	3,0			
A300B4-203	DEFAULT	2	Snižavanje	1	3000,0	158,5	3,0			
A300B4-203	DEFAULT	3	Snižavanje	D-15	1500,0	148,5	3,0			
A300B4-203	DEFAULT	4	Snižavanje	D-25	1000,0	140,0	3,0			
A300B4-203	DEFAULT	5	Slijetanje	D-25				387,6		
A300B4-203	DEFAULT	6	Usporenje			132,8			3488,4	40,0



ThoriumSoftware d.o.o.

Mobile: +385 (0) 95 8 70 50 70
 Kontakt: Dario Ilija Rendulić
 Email:
[info@thoriumsoftware.eu;](mailto:info@thoriumsoftware.eu)
direndulic@gmail.com

A300B4-203	DEFAULT	7	Usporenje			30,0			0,0	10,0
A310-304	DEFAULT	1	Snižavanje – minimalni potisak		6000,0	250,0	3,2			
A310-304	DEFAULT	2	Horizontalno – minimalni potisak		3000,0	250,0			14609,6	
A310-304	DEFAULT	3	Horizontalno – minimalni potisak		3000,0	211,6			8736,9	
A310-304	DEFAULT	4	Snižavanje – minimalni potisak		3000,0	180,6	3,0			
A310-304	DEFAULT	5	Snižavanje – minimalni potisak		2551,0	169,3	3,0			
A310-304	DEFAULT	6	Snižavanje – minimalni potisak		2147,0	148,0	3,0			
A310-304	DEFAULT	7	Snižavanje	FULL_D	2000,0	134,6	3,0			
A310-304	DEFAULT	8	Snižavanje	FULL_D	50,0	134,6	3,0			
A310-304	DEFAULT	9	Slijetanje	FULL_D				302,9		
A310-304	DEFAULT	10	Usporenje			131,6			2726,6	10,0
A310-304	DEFAULT	11	Usporenje			30,0			0,0	10,0
A319-131	DEFAULT	1	Snižavanje – minimalni potisak		6000,0	250,0	3,1			
A319-131	DEFAULT	2	Horizontalno – minimalni potisak		3000,0	250,0			19940,9	
A319-131	DEFAULT	3	Horizontalno – minimalni potisak		3000,0	197,5			4813,0	
A319-131	DEFAULT	4	Snižavanje – minimalni potisak		3000,0	181,4	3,0			
A319-131	DEFAULT	5	Snižavanje – minimalni potisak		2610,0	167,7	3,0			
A319-131	DEFAULT	6	Snižavanje – minimalni potisak		2114,0	138,4	3,0			
A319-131	DEFAULT	7	Snižavanje	FULL_D	1971,0	125,3	3,0			
A319-131	DEFAULT	8	Snižavanje	FULL_D	50,0	125,3	3,0			
A319-131	DEFAULT	9	Slijetanje	FULL_D				152,3		
A319-131	DEFAULT	10	Usporenje			122,3			1370,6	40,0
A319-131	DEFAULT	11	Usporenje			30,0			0,0	10,0
A320-211	DEFAULT	1	Snižavanje – minimalni potisak		6000,0	250,0	3,5			
A320-211	DEFAULT	2	Horizontalno – minimalni potisak		3000,0	250,0			16811,0	

A320-211	DEFAULT	3	Horizontalno – minimalni potisak		3000,0	201,1			5547,9	
A320-211	DEFAULT	4	Snižavanje – minimalni potisak		3000,0	182,2	3,0			
A320-211	DEFAULT	5	Snižavanje – minimalni potisak		2614,0	173,7	3,0			
A320-211	DEFAULT	6	Snižavanje – minimalni potisak		1942,0	141,0	3,0			
A320-211	DEFAULT	7	Snižavanje	FULL_D	1823,0	132,6	3,0			
A320-211	DEFAULT	8	Snižavanje	FULL_D	50,0	132,6	3,0			
A320-211	DEFAULT	9	Slijetanje	FULL_D				303,5		
A320-211	DEFAULT	10	Usporenje			129,6			2731,6	40,0
A320-211	DEFAULT	11	Usporenje			30,0			0,0	10,0
A320-232	DEFAULT	1	Snižavanje – minimalni potisak		6000,0	250,0	2,8			
A320-232	DEFAULT	2	Horizontalno – minimalni potisak		3000,0	250,0			20003,3	
A320-232	DEFAULT	3	Horizontalno – minimalni potisak		3000,0	198,7			4629,3	
A320-232	DEFAULT	4	Snižavanje – minimalni potisak		3000,0	183,5	3,0			
A320-232	DEFAULT	5	Snižavanje – minimalni potisak		2613,0	172,8	3,0			
A320-232	DEFAULT	6	Snižavanje – minimalni potisak		2033,0	142,2	3,0			
A320-232	DEFAULT	7	Snižavanje	FULL_D	1819,0	133,8	3,0			
A320-232	DEFAULT	8	Snižavanje	FULL_D	50,0	133,8	3,0			
A320-232	DEFAULT	9	Slijetanje	FULL_D				311,0		
A320-232	DEFAULT	10	Usporenje			130,8			2799,4	40,0
A320-232	DEFAULT	11	Usporenje			30,0			0,0	10,0
A321-232	DEFAULT	1	Snižavanje – minimalni potisak		6000,0	250,0	3,1			
A321-232	DEFAULT	2	Horizontalno – minimalni potisak		3000,0	250,0			14717,8	
A321-232	DEFAULT	3	Horizontalno – minimalni potisak		3000,0	211,2			6135,2	
A321-232	DEFAULT	4	Snižavanje – minimalni potisak		3000,0	191,6	3,0			
A321-232	DEFAULT	5	Snižavanje – minimalni potisak		2530,0	175,2	3,0			

A321-232	DEFAULT	6	Snižavanje – minimalni potisak		2133,0	149,8	3,0			
A321-232	DEFAULT	7	Snižavanje	FULL_D	2003,0	138,5	3,0			
A321-232	DEFAULT	8	Snižavanje	FULL_D	50,0	138,5	3,0			
A321-232	DEFAULT	9	Slijetanje	FULL_D				345,2		
A321-232	DEFAULT	10	Usporenje			135,5			3106,8	40,0
A321-232	DEFAULT	11	Usporenje			30,0			0,0	10,0
A330-301	DEFAULT	1	Snižavanje – minimalni potisak		6000,0	250,0	3,1			
A330-301	DEFAULT	2	Horizontalno – minimalni potisak		3000,0	250,0			19547,2	
A330-301	DEFAULT	3	Horizontalno – minimalni potisak		3000,0	200,9			10029,5	
A330-301	DEFAULT	4	Snižavanje – minimalni potisak		3000,0	166,0	3,0			
A330-301	DEFAULT	5	Snižavanje – minimalni potisak		2547,0	154,0	3,0			
A330-301	DEFAULT	6	Snižavanje – minimalni potisak		2292,0	140,5	3,0			
A330-301	DEFAULT	7	Snižavanje	FULL_D	2144,0	130,9	3,0			
A330-301	DEFAULT	8	Snižavanje	FULL_D	50,0	130,9	3,0			
A330-301	DEFAULT	9	Slijetanje	FULL_D				210,4		
A330-301	DEFAULT	10	Usporenje			127,9			1893,8	10,0
A330-301	DEFAULT	11	Usporenje			30,0			0,0	10,0
A330-343	DEFAULT	1	Snižavanje – minimalni potisak		6000,0	250,0	2,4			
A330-343	DEFAULT	2	Horizontalno – minimalni potisak		3000,0	250,0			20711,9	
A330-343	DEFAULT	3	Horizontalno – minimalni potisak		3000,0	207,9			11430,4	
A330-343	DEFAULT	4	Snižavanje – minimalni potisak		3000,0	174,4	3,0			
A330-343	DEFAULT	5	Snižavanje – minimalni potisak		2517,0	165,0	3,0			
A330-343	DEFAULT	6	Snižavanje – minimalni potisak		2431,0	161,7	3,0			
A330-343	DEFAULT	7	Snižavanje – minimalni potisak		2113,0	146,6	3,0			
A330-343	DEFAULT	8	Snižavanje	FULL_D	1938,0	135,5	3,0			
A330-343	DEFAULT	9	Snižavanje	FULL_D	50,0	135,5	3,0			

A330-343	DEFAULT	10	Slijetanje	FULL_D				378,0		
A330-343	DEFAULT	11	Usporenje			132,5			3402,6	10,0
A330-343	DEFAULT	12	Usporenje			30,0			0,0	10,0
A340-211	DEFAULT	1	Snižavanje – minimalni potisak		6000,0	250,0	3,3			
A340-211	DEFAULT	2	Horizontalno – minimalni potisak		3000,0	250,0			14038,7	
A340-211	DEFAULT	3	Horizontalno – minimalni potisak		3000,0	212,7			10866,1	
A340-211	DEFAULT	4	Snižavanje – minimalni potisak		3000,0	175,6	3,0			
A340-211	DEFAULT	5	Snižavanje – minimalni potisak		2471,0	160,3	3,0			
A340-211	DEFAULT	6	Snižavanje – minimalni potisak		2336,0	153,8	3,0			
A340-211	DEFAULT	7	Snižavanje – minimalni potisak		2066,0	138,5	3,0			
A340-211	DEFAULT	8	Snižavanje	FULL_D	1976,0	132,1	3,0			
A340-211	DEFAULT	9	Snižavanje	FULL_D	50,0	132,1	3,0			
A340-211	DEFAULT	10	Slijetanje	FULL_D				381,8		
A340-211	DEFAULT	11	Usporenje			129,1			3436,6	10,0
A340-211	DEFAULT	12	Usporenje			30,0			0,0	10,0
A340-642	DEFAULT	1	Snižavanje – minimalni potisak		6000,0	250,0	2,8			
A340-642	DEFAULT	2	Horizontalno – minimalni potisak		3000,0	250,0			15853,0	
A340-642	DEFAULT	3	Horizontalno – minimalni potisak		3000,0	212,1			9839,2	
A340-642	DEFAULT	4	Snižavanje – minimalni potisak		3000,0	188,5	3,0			
A340-642	DEFAULT	5	Snižavanje – minimalni potisak		2333,0	178,1	3,0			
A340-642	DEFAULT	6	Snižavanje – minimalni potisak		2191,0	173,2	3,0			
A340-642	DEFAULT	7	Snižavanje – minimalni potisak		1805,0	155,5	3,0			
A340-642	DEFAULT	8	Snižavanje	FULL_D	1650,0	147,8	3,0			
A340-642	DEFAULT	9	Snižavanje	FULL_D	50,0	147,8	3,0			
A340-642	DEFAULT	10	Slijetanje	FULL_D				280,7		
A340-642	DEFAULT	11	Usporenje			144,8			2526,5	10,0

A340-642	DEFAULT	12	Usporenje			30,0			0,0	10,0
A380-841	DEFAULT	1	Snižavanje – minimalni potisak		6000,0	250,0	3,0			
A380-841	DEFAULT	2	Horizontalno – minimalni potisak		3000,0	250,0			18044,6	
A380-841	DEFAULT	3	Horizontalno	A_1+F	3000,0				11893,0	
A380-841	DEFAULT	4	Horizontalno – minimalni potisak		3000,0	205,0			9691,6	
A380-841	DEFAULT	5	Snižavanje – minimalni potisak		3000,0	172,6	3,0			
A380-841	DEFAULT	6	Snižavanje – minimalni potisak		2446,0	161,2	3,0			
A380-841	DEFAULT	7	Snižavanje	A_FULL	1976,0	136,3	3,0			
A380-841	DEFAULT	8	Snižavanje	A_FULL	50,0	136,3	3,0			
A380-841	DEFAULT	9	Slijetanje	A_FULL				636,8		
A380-841	DEFAULT	10	Usporenje			136,3			5731,3	10,0
A380-841	DEFAULT	11	Usporenje			30,0			0,0	10,0
A380-861	DEFAULT	1	Snižavanje – minimalni potisak		6000,0	250,0	2,7			
A380-861	DEFAULT	2	Horizontalno – minimalni potisak		3000,0	250,0			20036,1	
A380-861	DEFAULT	3	Horizontalno	A_1+F	3000,0				11896,0	
A380-861	DEFAULT	4	Horizontalno – minimalni potisak		3000,0	205,0			10213,0	
A380-861	DEFAULT	5	Snižavanje – minimalni potisak		3000,0	172,6	3,0			
A380-861	DEFAULT	6	Snižavanje – minimalni potisak		2445,0	161,2	3,0			
A380-861	DEFAULT	7	Snižavanje	A_FULL	1976,0	136,3	3,0			
A380-861	DEFAULT	8	Snižavanje	A_FULL	50,0	136,3	3,0			
A380-861	DEFAULT	9	Slijetanje	A_FULL				636,8		
A380-861	DEFAULT	10	Usporenje			136,3			5731,3	10,0
A380-861	DEFAULT	11	Usporenje			30,0			0,0	10,0
BAC111	DEFAULT	1	Snižavanje	ZERO	6000,0	250,0	3,0			
BAC111	DEFAULT	2	Snižavanje	INT1	3000,0	153,3	3,0			
BAC111	DEFAULT	3	Snižavanje	U-INT	1500,0	143,3	3,0			



ThoriumSoftware d.o.o.

Mobile: +385 (0) 95 8 70 50 70
 Kontakt: Dario Ilija Rendulić
 Email:
[info@thoriumsoftware.eu;](mailto:info@thoriumsoftware.eu)
direndulic@gmail.com

BAC111	DEFAULT	4	Snižavanje	D-45	1000,0	133,3	3,0			
BAC111	DEFAULT	5	Slijetanje	D-45				305,0		
BAC111	DEFAULT	6	Usporenje			126,5			2745,0	40,0
BAC111	DEFAULT	7	Usporenje			30,0			0,0	10,0
BAE146	DEFAULT	1	Snižavanje	ZERO	6000,0	250,0	3,0			
BAE146	DEFAULT	2	Snižavanje	18	3000,0	180,0	3,0			
BAE146	DEFAULT	3	Snižavanje	D-24	1500,0	166,5	3,0			
BAE146	DEFAULT	4	Snižavanje	D-33	1000,0	123,0	3,0			
BAE146	DEFAULT	5	Slijetanje	D-33				243,9		
BAE146	DEFAULT	6	Usporenje			116,7			2195,1	40,0
BAE146	DEFAULT	7	Usporenje			30,0			0,0	10,0
BAE300	DEFAULT	1	Snižavanje	ZERO	6000,0	250,0	3,0			
BAE300	DEFAULT	2	Snižavanje	18	3000,0	180,0	3,0			
BAE300	DEFAULT	3	Snižavanje	D-24	1500,0	167,0	3,0			
BAE300	DEFAULT	4	Snižavanje	D-33	1000,0	124,4	3,0			
BAE300	DEFAULT	5	Slijetanje	D-33				261,0		
BAE300	DEFAULT	6	Usporenje			118,0			2349,0	40,0
BAE300	DEFAULT	7	Usporenje			30,0			0,0	10,0
BEC58P	DEFAULT	1	Snižavanje	ZERO	6000,0	130,0	5,0			
BEC58P	DEFAULT	2	Snižavanje	TO	3000,0	119,0	5,0			
BEC58P	DEFAULT	3	Snižavanje	D-15	1500,0	109,0	5,0			
BEC58P	DEFAULT	4	Snižavanje	D-30	1000,0	99,0	5,0			
BEC58P	DEFAULT	5	Slijetanje	D-30				188,8		
BEC58P	DEFAULT	6	Usporenje			93,9			1699,2	40,0
BEC58P	DEFAULT	7	Usporenje			30,0			0,0	10,0
BEC58P	STD_3DEG	1	Snižavanje	ZERO	6000,0	130,0	3,0			
BEC58P	STD_3DEG	2	Snižavanje	TO	3000,0	119,0	3,0			
BEC58P	STD_3DEG	3	Snižavanje	D-15	1500,0	109,0	3,0			
BEC58P	STD_3DEG	4	Snižavanje	D-30	1000,0	99,0	3,0			

BEC58P	STD_3DEG	5	Slijetanje	D-30				188,8		
BEC58P	STD_3DEG	6	Usporenje			93,9			1699,2	40,0
BEC58P	STD_3DEG	7	Usporenje			30,0			0,0	10,0
BEC58P	STD_5DEG	1	Snižavanje	ZERO	6000,0	130,0	5,0			
BEC58P	STD_5DEG	2	Snižavanje	TO	3000,0	119,0	5,0			
BEC58P	STD_5DEG	3	Snižavanje	D-15	1500,0	109,0	5,0			
BEC58P	STD_5DEG	4	Snižavanje	D-30	1000,0	99,0	5,0			
BEC58P	STD_5DEG	5	Slijetanje	D-30				188,8		
BEC58P	STD_5DEG	6	Usporenje			93,9			1699,2	40,0
BEC58P	STD_5DEG	7	Usporenje			30,0			0,0	10,0
CIT3	DEFAULT	1	Snižavanje	ZERO	6000,0	250,0	3,0			
CIT3	DEFAULT	2	Snižavanje	10	3000,0	139,5	3,0			
CIT3	DEFAULT	3	Snižavanje	D-INTR	1500,0	129,5	3,0			
CIT3	DEFAULT	4	Snižavanje	D-40	1000,0	119,5	3,0			
CIT3	DEFAULT	5	Slijetanje	D-40				153,9		
CIT3	DEFAULT	6	Usporenje			113,4			1385,1	40,0
CIT3	DEFAULT	7	Usporenje			30,0			0,0	10,0
CL600	DEFAULT	1	Snižavanje	ZERO	6000,0	250,0	3,0			
CL600	DEFAULT	2	Snižavanje	10	3000,0	152,1	3,0			
CL600	DEFAULT	3	Snižavanje	D-INTR	1500,0	142,1	3,0			
CL600	DEFAULT	4	Snižavanje	D-45	1000,0	132,1	3,0			
CL600	DEFAULT	5	Slijetanje	D-45				201,6		
CL600	DEFAULT	6	Usporenje			125,3			1814,4	40,0
CL600	DEFAULT	7	Usporenje			30,0			0,0	10,0
CL601	DEFAULT	1	Snižavanje	ZERO	6000,0	250,0	3,0			
CL601	DEFAULT	2	Snižavanje	10	3000,0	158,5	3,0			
CL601	DEFAULT	3	Snižavanje	D-INTR	1500,0	148,5	3,0			
CL601	DEFAULT	4	Snižavanje	D-45	1000,0	138,5	3,0			
CL601	DEFAULT	5	Slijetanje	D-45				224,1		

CL601	DEFAULT	6	Usporenje			131,4			2016,9	40,0
CL601	DEFAULT	7	Usporenje			30,0			0,0	10,0
CNA172	DEFAULT	1	Snižavanje	ZERO-D	6000,0	100,0	3,0			
CNA172	DEFAULT	2	Snižavanje	ZERO-D	4000,0	100,0	3,0			
CNA172	DEFAULT	3	Snižavanje	ZERO-D	3000,0	80,0	3,0			
CNA172	DEFAULT	4	Snižavanje	10-D	1000,0	80,0	3,0			
CNA172	DEFAULT	5	Snižavanje	10-D	600,0	80,0	3,0			
CNA172	DEFAULT	6	Snižavanje	10-D	500,0	70,0	3,0			
CNA172	DEFAULT	7	Slijetanje	10-D				30,0		
CNA172	DEFAULT	8	Usporenje			62,0			530,0	10,0
CNA172	DEFAULT	9	Usporenje			10,0			0,0	10,0
CNA182	DEFAULT	1	Snižavanje	ZERO-A	6000,0	110,0	3,0			
CNA182	DEFAULT	2	Snižavanje	ZERO-A	4000,0	90,0	3,0			
CNA182	DEFAULT	3	Snižavanje	ZERO-A	2000,0	70,0	3,0			
CNA182	DEFAULT	4	Snižavanje	F10APP	1000,0	70,0	3,0			
CNA182	DEFAULT	5	Snižavanje	F30APP	500,0	65,0	3,0			
CNA182	DEFAULT	6	Slijetanje	F30APP				30,0		
CNA182	DEFAULT	7	Usporenje			65,0			560,0	10,0
CNA182	DEFAULT	8	Usporenje			10,0			0,0	10,0
CNA208	DEFAULT	1	Snižavanje	ZERO-A	6000,0	140,0	3,0			
CNA208	DEFAULT	2	Snižavanje	ZERO-A	4000,0	124,0	3,0			
CNA208	DEFAULT	3	Snižavanje	ZERO-A	2000,0	108,0	3,0			
CNA208	DEFAULT	4	Snižavanje	F30APP	1000,0	100,0	3,0			
CNA208	DEFAULT	5	Snižavanje	F30APP	500,0	80,0	3,0			
CNA208	DEFAULT	6	Slijetanje	F30APP				100,0		
CNA208	DEFAULT	7	Usporenje			78,0			815,0	10,0
CNA208	DEFAULT	8	Usporenje			30,0			0,0	10,0
CNA441	DEFAULT	1	Snižavanje	ZERO	6000,0	160,0	3,0			
CNA441	DEFAULT	2	Snižavanje	TO	3000,0	113,9	3,0			



ThoriumSoftware d.o.o.

Mobile: +385 (0) 95 8 70 50 70
 Kontakt: Dario Ilija Rendulić
 Email:
[info@thoriumsoftware.eu;](mailto:info@thoriumsoftware.eu)
direndulic@gmail.com

CNA441	DEFAULT	3	Snižavanje	D-INTR	1500,0	103,9	3,0			
CNA441	DEFAULT	4	Snižavanje	D-L	1000,0	93,9	3,0			
CNA441	DEFAULT	5	Slijetanje	D-L				79,1		
CNA441	DEFAULT	6	Usporenje			89,1			711,9	40,0
CNA441	DEFAULT	7	Usporenje			30,0			0,0	10,0
CNA500	DEFAULT	1	Snižavanje	ZERO	6000,0	250,0	3,0			
CNA500	DEFAULT	2	Snižavanje	1	3000,0	131,3	3,0			
CNA500	DEFAULT	3	Snižavanje	D-INTR	1500,0	121,3	3,0			
CNA500	DEFAULT	4	Snižavanje	D-35	1000,0	111,3	3,0			
CNA500	DEFAULT	5	Slijetanje	D-35				179,1		
CNA500	DEFAULT	6	Usporenje			105,6			1611,9	40,0
CNA500	DEFAULT	7	Usporenje			30,0			0,0	10,0
CNA510	DEFAULT	1	Snižavanje	ZERO_C	6000,0	250,0	3,0			
CNA510	DEFAULT	2	Snižavanje	ZERO_C	3000,0	160,0	3,0			
CNA510	DEFAULT	3	Snižavanje	A_15	1500,0	91,1	3,0			
CNA510	DEFAULT	4	Snižavanje	A_35	1000,0	85,1	3,0			
CNA510	DEFAULT	5	Slijetanje	A_35				175,5		
CNA510	DEFAULT	6	Usporenje			78,1			1579,5	40,0
CNA510	DEFAULT	7	Usporenje			30,0			0,0	10,0
CNA525C	DEFAULT	1	Snižavanje	ZERO_C	6000,0	250,0	3,0			
CNA525C	DEFAULT	2	Snižavanje	ZERO_C	3000,0	130,0	3,0			
CNA525C	DEFAULT	3	Snižavanje	A_15	1500,0	119,7	3,0			
CNA525C	DEFAULT	4	Snižavanje	A_35	1000,0	111,8	3,0			
CNA525C	DEFAULT	5	Slijetanje	A_35				200,0		
CNA525C	DEFAULT	6	Usporenje			115,0			1500,0	40,0
CNA525C	DEFAULT	7	Usporenje			30,0			0,0	10,0
CNA55B	DEFAULT	1	Snižavanje	ZERO_C	6000,0	250,0	3,0			
CNA55B	DEFAULT	2	Snižavanje	ZERO_C	3000,0	160,0	3,0			
CNA55B	DEFAULT	3	Snižavanje	A_15	1500,0	111,8	3,0			



ThoriumSoftware d.o.o.

Mobile: +385 (0) 95 8 70 50 70
 Kontakt: Dario Ilija Rendulić
 Email:
[info@thoriumsoftware.eu;](mailto:info@thoriumsoftware.eu)
direndulic@gmail.com

CNA55B	DEFAULT	4	Snižavanje	A_35	1000,0	105,3	3,0			
CNA55B	DEFAULT	5	Slijetanje	A_35				175,5		
CNA55B	DEFAULT	6	Usporenje			100,0			1580,0	40,0
CNA55B	DEFAULT	7	Usporenje			30,0			0,0	10,0
CNA560E	DEFAULT	1	Snižavanje	ZERO	6000,0	250,0	3,0			
CNA560E	DEFAULT	2	Snižavanje	15 U	3000,0	107,5	3,0			
CNA560E	DEFAULT	3	Snižavanje	35 D	1500,0	101,8	3,0			
CNA560E	DEFAULT	4	Snižavanje	35 D	1000,0	101,8	3,0			
CNA560E	DEFAULT	5	Slijetanje	35 D				200,0		
CNA560E	DEFAULT	6	Usporenje			100,0			1000,0	60,0
CNA560E	DEFAULT	7	Usporenje			30,0			0,0	10,0
CNA560U	DEFAULT	1	Snižavanje	ZERO	6000,0	250,0	3,0			
CNA560U	DEFAULT	2	Snižavanje	7	3000,0	120,0	3,0			
CNA560U	DEFAULT	3	Snižavanje	D 15	1500,0	110,0	3,0			
CNA560U	DEFAULT	4	Snižavanje	D 35	1000,0	101,8	3,0			
CNA560U	DEFAULT	5	Slijetanje	D 35				175,0		
CNA560U	DEFAULT	6	Usporenje			93,0			1385,1	60,0
CNA560U	DEFAULT	7	Usporenje			30,0			0,0	10,0
CNA560XL	DEFAULT	1	Snižavanje	ZERO	6000,0	250,0	3,0			
CNA560XL	DEFAULT	2	Snižavanje	ZERO	3000,0	132,0	3,0			
CNA560XL	DEFAULT	3	Snižavanje	D 15U	1500,0	122,0	3,0			
CNA560XL	DEFAULT	4	Snižavanje	D 35D	1000,0	112,0	3,0			
CNA560XL	DEFAULT	5	Slijetanje	D 35D				500,0		
CNA560XL	DEFAULT	6	Usporenje			108,0			2700,0	60,0
CNA560XL	DEFAULT	7	Usporenje			30,0			0,0	10,0
CNA680	DEFAULT	1	Snižavanje	ZERO	6000,0	250,0	3,0			
CNA680	DEFAULT	2	Snižavanje	ZERO	3000,0	160,0	3,0			
CNA680	DEFAULT	3	Snižavanje	15 GU	1500,0	112,0	3,0			
CNA680	DEFAULT	4	Snižavanje	35 GD	1000,0	105,0	3,0			



ThoriumSoftware d.o.o.

Mobile: +385 (0) 95 8 70 50 70
 Kontakt: Dario Ilija Rendulić
 Email:
[info@thoriumsoftware.eu;](mailto:info@thoriumsoftware.eu)
direndulic@gmail.com

CNA680	DEFAULT	5	Slijetanje	35 GD				200,0		
CNA680	DEFAULT	6	Usporenje			100,0			1580,0	60,0
CNA680	DEFAULT	7	Usporenje			30,0			0,0	10,0
CNA750	DEFAULT	1	Snižavanje	ZERO	6000,0	250,0	3,0			
CNA750	DEFAULT	2	Snižavanje	15_GU	3000,0	127,4	3,0			
CNA750	DEFAULT	3	Snižavanje	35_GD	1500,0	120,9	3,0			
CNA750	DEFAULT	4	Snižavanje	35_GD	1000,0	120,9	3,0			
CNA750	DEFAULT	5	Slijetanje	35_GD				200,0		
CNA750	DEFAULT	6	Usporenje			115,0			1500,0	40,0
CNA750	DEFAULT	7	Usporenje			30,0			0,0	10,0
CNA750	FLAP_15	1	Snižavanje	ZERO	6000,0	250,0	3,0			
CNA750	FLAP_15	2	Snižavanje	15_GU	3000,0	127,4	3,0			
CNA750	FLAP_15	3	Snižavanje	35_GD	1500,0	120,9	3,0			
CNA750	FLAP_15	4	Snižavanje	35_GD	1000,0	120,9	3,0			
CNA750	FLAP_15	5	Slijetanje	35_GD				200,0		
CNA750	FLAP_15	6	Usporenje			115,0			1500,0	40,0
CNA750	FLAP_15	7	Usporenje			30,0			0,0	10,0
CNA750	FLAP_5	1	Snižavanje	ZERO	6000,0	250,0	3,0			
CNA750	FLAP_5	2	Snižavanje	5_GU	3000,0	135,2	3,0			
CNA750	FLAP_5	3	Snižavanje	15_GD	1500,0	127,4	3,0			
CNA750	FLAP_5	4	Snižavanje	15_GD	1000,0	127,4	3,0			
CNA750	FLAP_5	5	Slijetanje	15_GD				200,0		
CNA750	FLAP_5	6	Usporenje			115,0			1500,0	40,0
CNA750	FLAP_5	7	Usporenje			30,0			0,0	10,0
CONCRD	DEFAULT	1	Snižavanje	CL1	6000,0	250,0	3,0			
CONCRD	DEFAULT	2	Snižavanje	ZERO	3000,0	194,0	3,0			
CONCRD	DEFAULT	3	Snižavanje	U-L	1500,0	184,0	3,0			
CONCRD	DEFAULT	4	Snižavanje	D-L	1000,0	164,0	3,0			
CONCRD	DEFAULT	5	Slijetanje	D-L				858,6		

CONCRD	DEFAULT	6	Usporenje			155,5			7727,4	40,0
CONCRD	DEFAULT	7	Usporenje			30,0			0,0	10,0
CRJ9-ER	DEFAULT	1	Snižavanje	ZERO	6000,0	250,0	3,0			
CRJ9-ER	DEFAULT	2	Snižavanje	20	3500,0	170,0	3,0			
CRJ9-ER	DEFAULT	3	Snižavanje	U-45	1500,0	160,0	3,0			
CRJ9-ER	DEFAULT	4	Snižavanje	D-45	1000,0	140,0	3,0			
CRJ9-ER	DEFAULT	5	Slijetanje	D-45				415,8		
CRJ9-ER	DEFAULT	6	Usporenje			143,0			2528,0	10,0
CRJ9-ER	DEFAULT	7	Usporenje			30,0			0,0	10,0
CRJ9-LR	DEFAULT	1	Snižavanje	ZERO	6000,0	250,0	3,0			
CRJ9-LR	DEFAULT	2	Snižavanje	20	3500,0	170,0	3,0			
CRJ9-LR	DEFAULT	3	Snižavanje	U-45	1500,0	160,0	3,0			
CRJ9-LR	DEFAULT	4	Snižavanje	D-45	1000,0	141,0	3,0			
CRJ9-LR	DEFAULT	5	Slijetanje	D-45				424,7		
CRJ9-LR	DEFAULT	6	Usporenje			144,0			2577,0	10,0
CRJ9-LR	DEFAULT	7	Usporenje			30,0			0,0	10,0
CVR580	DEFAULT	1	Snižavanje	ZERO	6000,0	200,0	3,0			
CVR580	DEFAULT	2	Snižavanje	INTR	3000,0	146,3	3,0			
CVR580	DEFAULT	3	Snižavanje	D-28	1500,0	112,4	3,0			
CVR580	DEFAULT	4	Snižavanje	D-40	1000,0	106,3	3,0			
CVR580	DEFAULT	5	Slijetanje	D-40				287,6		
CVR580	DEFAULT	6	Usporenje			100,9			2588,4	40,0
CVR580	DEFAULT	7	Usporenje			30,0			0,0	10,0
DC1010	DEFAULT	1	Snižavanje	ZERO	6000,0	250,0	3,0			
DC1010	DEFAULT	2	Snižavanje	INT	3000,0	163,7	3,0			
DC1010	DEFAULT	3	Snižavanje	U-35	1500,0	153,7	3,0			
DC1010	DEFAULT	4	Snižavanje	D-35	1000,0	143,7	3,0			
DC1010	DEFAULT	5	Slijetanje	D-35				428,4		
DC1010	DEFAULT	6	Usporenje			136,3			3855,6	10,0

DC1010	DEFAULT	7	Usporenje			30,0			0,0	10,0
DC1030	DEFAULT	1	Snižavanje	ZERO	6000,0	250,0	3,0			
DC1030	DEFAULT	2	Snižavanje	INT2	3000,0	172,6	3,0			
DC1030	DEFAULT	3	Snižavanje	U-20	1500,0	162,6	3,0			
DC1030	DEFAULT	4	Snižavanje	D-35	1000,0	152,6	3,0			
DC1030	DEFAULT	5	Slijetanje	D-35				392,2		
DC1030	DEFAULT	6	Usporenje			144,8			3529,8	10,0
DC1030	DEFAULT	7	Usporenje			30,0			0,0	10,0
DC1040	DEFAULT	1	Snižavanje	ZERO	6000,0	250,0	3,0			
DC1040	DEFAULT	2	Snižavanje	5	3000,0	173,5	3,0			
DC1040	DEFAULT	3	Snižavanje	U-35	1500,0	163,5	3,0			
DC1040	DEFAULT	4	Snižavanje	D-35	1000,0	153,5	3,0			
DC1040	DEFAULT	5	Slijetanje	D-35				446,4		
DC1040	DEFAULT	6	Usporenje			145,6			4017,6	10,0
DC1040	DEFAULT	7	Usporenje			30,0			0,0	10,0
DC3	DEFAULT	1	Snižavanje	ZERO	6000,0	140,0	3,0			
DC3	DEFAULT	2	Snižavanje	TO	3000,0	109,0	3,0			
DC3	DEFAULT	3	Snižavanje	U-INT	1500,0	99,0	3,0			
DC3	DEFAULT	4	Snižavanje	D-45	1000,0	88,9	3,0			
DC3	DEFAULT	5	Slijetanje	D-45				104,6		
DC3	DEFAULT	6	Usporenje			84,3			941,4	34,3
DC3	DEFAULT	7	Usporenje			30,0			0,0	10,0
DC6	DEFAULT	1	Snižavanje	ZERO	6000,0	160,0	3,0			
DC6	DEFAULT	2	Snižavanje	TO	3000,0	106,1	3,0			
DC6	DEFAULT	3	Snižavanje	D-INTR	1500,0	96,1	3,0			
DC6	DEFAULT	4	Snižavanje	D-L	1000,0	86,1	3,0			
DC6	DEFAULT	5	Slijetanje	D-L				175,5		
DC6	DEFAULT	6	Usporenje			81,7			1579,5	40,0
DC6	DEFAULT	7	Usporenje			30,0			0,0	10,0



ThoriumSoftware d.o.o.

Mobile: +385 (0) 95 8 70 50 70
 Kontakt: Dario Ilija Rendulić
 Email:
[info@thoriumsoftware.eu;](mailto:info@thoriumsoftware.eu)
direndulic@gmail.com

DC850	DEFAULT	1	Snižavanje	ZERO	6000,0	250,0	3,0			
DC850	DEFAULT	2	Snižavanje	INT	3000,0	165,6	3,0			
DC850	DEFAULT	3	Snižavanje	D-35	1500,0	152,7	3,0			
DC850	DEFAULT	4	Snižavanje	D-50	1000,0	145,6	3,0			
DC850	DEFAULT	5	Slijetanje	D-50				390,6		
DC850	DEFAULT	6	Usporenje			138,1			3515,4	40,0
DC850	DEFAULT	7	Usporenje			30,0			0,0	10,0
DC860	DEFAULT	1	Snižavanje	ZERO	6000,0	250,0	3,0			
DC860	DEFAULT	2	Snižavanje	INT	3000,0	161,5	3,0			
DC860	DEFAULT	3	Snižavanje	D-35	1500,0	155,7	3,0			
DC860	DEFAULT	4	Snižavanje	D-50	1000,0	151,5	3,0			
DC860	DEFAULT	5	Slijetanje	D-50				382,5		
DC860	DEFAULT	6	Usporenje			143,7			3442,5	40,0
DC860	DEFAULT	7	Usporenje			30,0			0,0	10,0
DC870	DEFAULT	1	Snižavanje	ZERO	6000,0	250,0	3,0			
DC870	DEFAULT	2	Snižavanje	INT	3000,0	166,7	3,0			
DC870	DEFAULT	3	Snižavanje	D-35	1500,0	150,8	3,0			
DC870	DEFAULT	4	Snižavanje	D-50	1000,0	146,7	3,0			
DC870	DEFAULT	5	Slijetanje	D-50				489,6		
DC870	DEFAULT	6	Usporenje			139,2			4406,4	40,0
DC870	DEFAULT	7	Usporenje			30,0			0,0	10,0
DC8QN	DEFAULT	1	Snižavanje	ZERO	6000,0	250,0	3,0			
DC8QN	DEFAULT	2	Snižavanje	INT	3000,0	161,5	3,0			
DC8QN	DEFAULT	3	Snižavanje	D-35	1500,0	155,7	3,0			
DC8QN	DEFAULT	4	Snižavanje	D-50	1000,0	151,5	3,0			
DC8QN	DEFAULT	5	Slijetanje	D-50				382,5		
DC8QN	DEFAULT	6	Usporenje			143,7			3442,5	40,0
DC8QN	DEFAULT	7	Usporenje			30,0			0,0	10,0
DC910	DEFAULT	1	Snižavanje	ZERO	6000,0	250,0	3,0			



ThoriumSoftware d.o.o.

Mobile: +385 (0) 95 8 70 50 70
 Kontakt: Dario Ilija Rendulić
 Email:
[info@thoriumsoftware.eu;](mailto:info@thoriumsoftware.eu)
direndulic@gmail.com

DC910	DEFAULT	2	Snižavanje	5	3000,0	150,2	3,0			
DC910	DEFAULT	3	Snižavanje	U-15	1500,0	140,2	3,0			
DC910	DEFAULT	4	Snižavanje	D-35	1000,0	130,2	3,0			
DC910	DEFAULT	5	Slijetanje	D-35				357,3		
DC910	DEFAULT	6	Usporenje			123,5			3215,7	40,0
DC910	DEFAULT	7	Usporenje			30,0			0,0	10,0
DC930	DEFAULT	1	Snižavanje	ZERO	6000,0	250,0	3,0			
DC930	DEFAULT	2	Snižavanje	5	3000,0	162,5	3,0			
DC930	DEFAULT	3	Snižavanje	U-15	1500,0	152,5	3,0			
DC930	DEFAULT	4	Snižavanje	D-35	1000,0	142,5	3,0			
DC930	DEFAULT	5	Slijetanje	D-35				325,8		
DC930	DEFAULT	6	Usporenje			135,2			2932,2	40,0
DC930	DEFAULT	7	Usporenje			30,0			0,0	10,0
DC93LW	DEFAULT	1	Snižavanje	ZERO	6000,0	250,0	3,0			
DC93LW	DEFAULT	2	Snižavanje	5	3000,0	162,5	3,0			
DC93LW	DEFAULT	3	Snižavanje	U-15	1500,0	152,5	3,0			
DC93LW	DEFAULT	4	Snižavanje	D-35	1000,0	142,5	3,0			
DC93LW	DEFAULT	5	Slijetanje	D-35				325,8		
DC93LW	DEFAULT	6	Usporenje			135,2			2932,2	40,0
DC93LW	DEFAULT	7	Usporenje			30,0			0,0	10,0
DC950	DEFAULT	1	Snižavanje	ZERO	6000,0	250,0	3,0			
DC950	DEFAULT	2	Snižavanje	5	3000,0	167,3	3,0			
DC950	DEFAULT	3	Snižavanje	U-15	1500,0	157,3	3,0			
DC950	DEFAULT	4	Snižavanje	D-35	1000,0	147,3	3,0			
DC950	DEFAULT	5	Slijetanje	D-35				343,8		
DC950	DEFAULT	6	Usporenje			139,7			3094,2	40,0
DC950	DEFAULT	7	Usporenje			30,0			0,0	10,0
DC95HW	DEFAULT	1	Snižavanje	ZERO	6000,0	250,0	3,0			
DC95HW	DEFAULT	2	Snižavanje	5	3000,0	167,3	3,0			



ThoriumSoftware d.o.o.

Mobile: +385 (0) 95 8 70 50 70
 Kontakt: Dario Ilija Rendulić
 Email:
[info@thoriumsoftware.eu;](mailto:info@thoriumsoftware.eu)
direndulic@gmail.com

DC95HW	DEFAULT	3	Snižavanje	U-15	1500,0	157,3	3,0			
DC95HW	DEFAULT	4	Snižavanje	D-35	1000,0	147,3	3,0			
DC95HW	DEFAULT	5	Slijetanje	D-35				343,8		
DC95HW	DEFAULT	6	Usporenje			139,7			3094,2	40,0
DC95HW	DEFAULT	7	Usporenje			30,0			0,0	10,0
DC9Q7	DEFAULT	1	Snižavanje	ZERO	6000,0	250,0	3,0			
DC9Q7	DEFAULT	2	Snižavanje	5	3000,0	150,2	3,0			
DC9Q7	DEFAULT	3	Snižavanje	U-15	1500,0	140,2	3,0			
DC9Q7	DEFAULT	4	Snižavanje	D-35	1000,0	130,2	3,0			
DC9Q7	DEFAULT	5	Slijetanje	D-35				357,3		
DC9Q7	DEFAULT	6	Usporenje			123,5			3215,7	40,0
DC9Q7	DEFAULT	7	Usporenje			30,0			0,0	10,0
DC9Q9	DEFAULT	1	Snižavanje	ZERO	6000,0	250,0	3,0			
DC9Q9	DEFAULT	2	Snižavanje	5	3000,0	162,5	3,0			
DC9Q9	DEFAULT	3	Snižavanje	U-15	1500,0	152,5	3,0			
DC9Q9	DEFAULT	4	Snižavanje	D-35	1000,0	142,5	3,0			
DC9Q9	DEFAULT	5	Slijetanje	D-35				325,8		
DC9Q9	DEFAULT	6	Usporenje			135,2			2932,2	40,0
DC9Q9	DEFAULT	7	Usporenje			30,0			0,0	10,0
DHC6	DEFAULT	1	Snižavanje	ZERO	6000,0	120,0	3,0			
DHC6	DEFAULT	2	Snižavanje	INTR	3000,0	80,7	3,0			
DHC6	DEFAULT	3	Snižavanje	D-INTR	1500,0	70,7	3,0			
DHC6	DEFAULT	4	Snižavanje	D-L	1000,0	60,7	3,0			
DHC6	DEFAULT	5	Slijetanje	D-L				39,6		
DHC6	DEFAULT	6	Usporenje			57,6			356,4	40,0
DHC6	DEFAULT	7	Usporenje			30,0			0,0	10,0
DHC6QP	DEFAULT	1	Snižavanje	ZERO	6000,0	120,0	3,0			
DHC6QP	DEFAULT	2	Snižavanje	INTR	3000,0	80,7	3,0			
DHC6QP	DEFAULT	3	Snižavanje	D-INTR	1500,0	70,7	3,0			



ThoriumSoftware d.o.o.

Mobile: +385 (0) 95 8 70 50 70
 Kontakt: Dario Ilija Rendulić
 Email:
[info@thoriumsoftware.eu;](mailto:info@thoriumsoftware.eu)
direndulic@gmail.com

DHC6QP	DEFAULT	4	Snižavanje	D-L	1000,0	60,7	3,0			
DHC6QP	DEFAULT	5	Slijetanje	D-L				39,6		
DHC6QP	DEFAULT	6	Usporenje			57,6			356,4	40,0
DHC6QP	DEFAULT	7	Usporenje			30,0			0,0	10,0
DHC7	DEFAULT	1	Snižavanje	ZERO	6000,0	160,0	3,0			
DHC7	DEFAULT	2	Snižavanje	10	3000,0	116,2	3,0			
DHC7	DEFAULT	3	Snižavanje	D-INTR	1500,0	106,2	3,0			
DHC7	DEFAULT	4	Snižavanje	D-25	1000,0	96,2	3,0			
DHC7	DEFAULT	5	Slijetanje	D-25				98,1		
DHC7	DEFAULT	6	Usporenje			91,3			882,9	40,0
DHC7	DEFAULT	7	Usporenje			30,0			0,0	10,0
DHC8	DEFAULT	1	Snižavanje	ZERO	6000,0	165,0	3,0			
DHC8	DEFAULT	2	Snižavanje	5	3000,0	109,0	3,0			
DHC8	DEFAULT	3	Snižavanje	D-15	1500,0	96,0	3,0			
DHC8	DEFAULT	4	Snižavanje	D-35	1000,0	89,0	3,0			
DHC8	DEFAULT	5	Slijetanje	D-35				174,6		
DHC8	DEFAULT	6	Usporenje			84,4			1571,4	24,6
DHC8	DEFAULT	7	Usporenje			30,0			0,0	4,1
DHC830	DEFAULT	1	Snižavanje	ZERO	6000,0	179,0	3,0			
DHC830	DEFAULT	2	Snižavanje	10	3000,0	128,0	3,0			
DHC830	DEFAULT	3	Snižavanje	D-15	1500,0	116,9	3,0			
DHC830	DEFAULT	4	Snižavanje	D-35	1000,0	108,0	3,0			
DHC830	DEFAULT	5	Slijetanje	D-35				219,6		
DHC830	DEFAULT	6	Usporenje			102,5			1976,4	26,1
DHC830	DEFAULT	7	Usporenje			30,0			0,0	4,4
DO228	DEFAULT	1	Snižavanje	ZERO-A	6000,0	200,0	3,0			
DO228	DEFAULT	2	Snižavanje	ZERO-A	4000,0	160,0	3,0			
DO228	DEFAULT	3	Snižavanje	ZERO-A	2000,0	120,0	3,0			
DO228	DEFAULT	4	Snižavanje	F30APP	1000,0	100,0	3,0			

DO228	DEFAULT	5	Snižavanje	F30APP	50,0	88,0	3,0			
DO228	DEFAULT	6	Slijetanje	F30APP				100,0		
DO228	DEFAULT	7	Usporenje			80,0			1320,9	10,0
DO228	DEFAULT	8	Usporenje			30,0			0,0	10,0
DO328	DEFAULT	1	Snižavanje	ZERO-A	6000,0	200,0	3,0			
DO328	DEFAULT	2	Snižavanje	ZERO-A	4000,0	175,0	3,0			
DO328	DEFAULT	3	Snižavanje	ZERO-A	2000,0	150,0	3,0			
DO328	DEFAULT	4	Snižavanje	F32APP	1000,0	109,0	3,0			
DO328	DEFAULT	5	Snižavanje	F32APP	500,0	109,0	3,0			
DO328	DEFAULT	6	Slijetanje	F32APP				50,0		
DO328	DEFAULT	7	Usporenje			109,0			2216,0	10,0
DO328	DEFAULT	8	Usporenje			30,0			0,0	10,0
ECLIPSE500	DEFAULT	1	Snižavanje	A_T_DN	6000,0	170,0	3,0			
ECLIPSE500	DEFAULT	2	Snižavanje	A_T_DN	5000,0	160,0	3,0			
ECLIPSE500	DEFAULT	3	Snižavanje	A_A_DN	3000,0	100,4	3,0			
ECLIPSE500	DEFAULT	4	Snižavanje	A_A_DN	2000,0	100,4	3,0			
ECLIPSE500	DEFAULT	5	Snižavanje	A_A_DN	1000,0	100,4	3,0			
ECLIPSE500	DEFAULT	6	Snižavanje	A_A_DN	100,0	90,4	3,0			
ECLIPSE500	DEFAULT	7	Slijetanje	A_A_DN				144,0		
ECLIPSE500	DEFAULT	8	Usporenje			70,0			1291,0	10,0
ECLIPSE500	DEFAULT	9	Usporenje			20,0			0,0	10,0
EMB120	DEFAULT	1	Snižavanje	ZERO	6000,0	141,5	3,0			
EMB120	DEFAULT	2	Snižavanje	15	3000,0	132,3	3,0			
EMB120	DEFAULT	3	Snižavanje	D-25	1500,0	127,4	3,0			
EMB120	DEFAULT	4	Snižavanje	D-45	1000,0	119,3	3,0			
EMB120	DEFAULT	5	Slijetanje	D-45				95,0		
EMB120	DEFAULT	6	Usporenje			116,1			855,0	40,0
EMB120	DEFAULT	7	Usporenje			30,0			0,0	10,0
EMB145	DEFAULT	1	Snižavanje	ZERO	6000,0	250,0	3,0			

EMB145	DEFAULT	2	Snižavanje	D-22	3000,0	150,0	3,0			
EMB145	DEFAULT	3	Snižavanje	D-45	1500,0	140,0	3,0			
EMB145	DEFAULT	4	Snižavanje	D-45	1000,0	134,0	3,0			
EMB145	DEFAULT	5	Slijetanje	D-45				285,5		
EMB145	DEFAULT	6	Usporenje			130,0			2569,5	40,0
EMB145	DEFAULT	7	Usporenje			30,0			0,0	10,0
EMB14L	DEFAULT	1	Snižavanje	ZERO	6000,0	250,0	3,0			
EMB14L	DEFAULT	2	Snižavanje	D-22	1500,0	140,0	3,0			
EMB14L	DEFAULT	3	Snižavanje	D-45	1000,0	140,0	3,0			
EMB14L	DEFAULT	4	Snižavanje	D-45	500,0	138,0	3,0			
EMB14L	DEFAULT	5	Slijetanje	D-45				285,5		
EMB14L	DEFAULT	6	Usporenje			132,0			2569,5	40,0
EMB14L	DEFAULT	7	Usporenje			30,0			0,0	10,0
EMB170	DEFAULT	1	Snižavanje – minimalni potisak		6000,0	250,0	3,0			
EMB170	DEFAULT	2	Snižavanje – minimalni potisak		3000,0	180,0	3,0			
EMB170	DEFAULT	3	Snižavanje – minimalni potisak		2000,0	140,0	3,0			
EMB170	DEFAULT	4	Snižavanje	FULL	1500,0	130,0	3,0			
EMB170	DEFAULT	5	Slijetanje	FULL				267,2		
EMB170	DEFAULT	6	Usporenje			120,0			2405,0	40,0
EMB170	DEFAULT	7	Usporenje			30,0			0,0	10,0
EMB175	DEFAULT	1	Snižavanje – minimalni potisak		6000,0	250,0	3,0			
EMB175	DEFAULT	2	Snižavanje – minimalni potisak		3000,0	180,0	3,0			
EMB175	DEFAULT	3	Snižavanje – minimalni potisak		2000,0	140,0	3,0			
EMB175	DEFAULT	4	Snižavanje	FULL	1500,0	130,0	3,0			
EMB175	DEFAULT	5	Slijetanje	FULL				276,3		
EMB175	DEFAULT	6	Usporenje			120,0			2487,0	40,0
EMB175	DEFAULT	7	Usporenje			30,0			0,0	10,0
EMB190	DEFAULT	1	Snižavanje – minimalni potisak		6000,0	250,0	3,0			

EMB190	DEFAULT	2	Snižavanje – minimalni potisak		3000,0	180,0	3,0			
EMB190	DEFAULT	3	Snižavanje – minimalni potisak		2000,0	140,0	3,0			
EMB190	DEFAULT	4	Snižavanje	FULL	1500,0	130,0	3,0			
EMB190	DEFAULT	5	Slijetanje	FULL				271,9		
EMB190	DEFAULT	6	Usporenje			120,0			2447,0	40,0
EMB190	DEFAULT	7	Usporenje			30,0			0,0	10,0
EMB195	DEFAULT	1	Snižavanje – minimalni potisak		6000,0	250,0	3,0			
EMB195	DEFAULT	2	Snižavanje – minimalni potisak		3000,0	180,0	3,0			
EMB195	DEFAULT	3	Snižavanje – minimalni potisak		2000,0	140,0	3,0			
EMB195	DEFAULT	4	Snižavanje	FULL	1500,0	130,0	3,0			
EMB195	DEFAULT	5	Slijetanje	FULL				281,1		
EMB195	DEFAULT	6	Usporenje			120,0			2530,0	40,0
EMB195	DEFAULT	7	Usporenje			30,0			0,0	10,0
F10062	DEFAULT	1	Snižavanje	TO	6000,0	250,0	3,0			
F10062	DEFAULT	2	Snižavanje	INT2	3000,0	161,3	3,0			
F10062	DEFAULT	3	Snižavanje	U-INT	1500,0	141,3	3,0			
F10062	DEFAULT	4	Snižavanje	D-42	1000,0	131,3	3,0			
F10062	DEFAULT	5	Slijetanje	D-42				315,0		
F10062	DEFAULT	6	Usporenje			124,5			2835,0	40,0
F10062	DEFAULT	7	Usporenje			30,0			0,0	10,0
F10065	DEFAULT	1	Snižavanje	TO	6000,0	250,0	3,0			
F10065	DEFAULT	2	Snižavanje	INT2	3000,0	163,1	3,0			
F10065	DEFAULT	3	Snižavanje	U-INT	1500,0	143,1	3,0			
F10065	DEFAULT	4	Snižavanje	D-42	1000,0	133,1	3,0			
F10065	DEFAULT	5	Slijetanje	D-42				328,0		
F10065	DEFAULT	6	Usporenje			126,3			2952,0	40,0
F10065	DEFAULT	7	Usporenje			30,0			0,0	10,0



ThoriumSoftware d.o.o.

Mobile: +385 (0) 95 8 70 50 70
 Kontakt: Dario Ilija Rendulić
 Email:
[info@thoriumsoftware.eu;](mailto:info@thoriumsoftware.eu)
direndulic@gmail.com

F28MK2	DEFAULT	1	Snižavanje	ZERO	6000,0	250,0	3,0			
F28MK2	DEFAULT	2	Snižavanje	INT2	3000,0	152,9	3,0			
F28MK2	DEFAULT	3	Snižavanje	U-INTR	1500,0	132,9	3,0			
F28MK2	DEFAULT	4	Snižavanje	D-42	1000,0	122,9	3,0			
F28MK2	DEFAULT	5	Slijetanje	D-42				223,2		
F28MK2	DEFAULT	6	Usporenje			116,6			2008,8	40,0
F28MK2	DEFAULT	7	Usporenje			30,0			0,0	10,0
F28MK4	DEFAULT	1	Snižavanje	ZERO	6000,0	250,0	3,0			
F28MK4	DEFAULT	2	Snižavanje	INT2	3000,0	153,6	3,0			
F28MK4	DEFAULT	3	Snižavanje	U-INTR	1500,0	133,6	3,0			
F28MK4	DEFAULT	4	Snižavanje	D-42	1000,0	123,6	3,0			
F28MK4	DEFAULT	5	Slijetanje	D-42				223,7		
F28MK4	DEFAULT	6	Usporenje			117,2			2013,3	40,0
F28MK4	DEFAULT	7	Usporenje			30,0			0,0	10,0
FAL20	DEFAULT	1	Snižavanje	ZERO	6000,0	250,0	3,0			
FAL20	DEFAULT	2	Snižavanje	INTR	3000,0	142,2	3,0			
FAL20	DEFAULT	3	Snižavanje	D-25	1500,0	126,1	3,0			
FAL20	DEFAULT	4	Snižavanje	D-40	1000,0	124,2	3,0			
FAL20	DEFAULT	5	Slijetanje	D-40				128,7		
FAL20	DEFAULT	6	Usporenje			117,9			1158,3	40,0
FAL20	DEFAULT	7	Usporenje			30,0			0,0	10,0
GII	DEFAULT	1	Snižavanje	L-0-U	6000,0	230,0	3,0			
GII	DEFAULT	2	Snižavanje	L-10-U	3000,0	170,0	3,0			
GII	DEFAULT	3	Snižavanje	L-20-D	1500,0	153,6	3,0			
GII	DEFAULT	4	Snižavanje	L-20-D	1000,0	153,6	3,0			
GII	DEFAULT	5	Snižavanje	L-39-D	200,0	143,6	3,0			
GII	DEFAULT	6	Slijetanje	L-39-D				790,0		
GII	DEFAULT	7	Usporenje			117,0			760,0	40,0
GII	DEFAULT	8	Usporenje			20,0			0,0	10,0

GIIB	DEFAULT	1	Snižavanje	L-0-U	6000,0	230,0	3,0			
GIIB	DEFAULT	2	Snižavanje	L-10-U	3000,0	170,0	3,0			
GIIB	DEFAULT	3	Snižavanje	L-20-D	1500,0	149,2	3,0			
GIIB	DEFAULT	4	Snižavanje	L-20-D	1000,0	149,2	3,0			
GIIB	DEFAULT	5	Snižavanje	L-39-D	200,0	139,2	3,0			
GIIB	DEFAULT	6	Slijetanje	L-39-D				790,0		
GIIB	DEFAULT	7	Usporenje			113,0			760,0	40,0
GIIB	DEFAULT	8	Usporenje			20,0			0,0	10,0
GIV	DEFAULT	1	Snižavanje	L-0-U	6000,0	250,0	3,0			
GIV	DEFAULT	2	Snižavanje	L-0-U	3000,0	160,0	3,0			
GIV	DEFAULT	3	Snižavanje	L-20-D	1500,0	160,0	3,0			
GIV	DEFAULT	4	Snižavanje	L-39-D	1000,0	151,5	3,0			
GIV	DEFAULT	5	Slijetanje	L-39-D				298,0		
GIV	DEFAULT	6	Usporenje			80,0			982,0	40,0
GIV	DEFAULT	7	Usporenje			20,0			0,0	4,0
GV	DEFAULT	1	Snižavanje	L-0-U	6000,0	250,0	3,0			
GV	DEFAULT	2	Snižavanje	L-20-U	3000,0	160,0	3,0			
GV	DEFAULT	3	Snižavanje	L-20-D	1500,0	160,0	3,0			
GV	DEFAULT	4	Snižavanje	L-39-D	1000,0	137,8	3,0			
GV	DEFAULT	5	Slijetanje	L-39-D				300,0		
GV	DEFAULT	6	Usporenje			107,0			1157,0	40,0
GV	DEFAULT	7	Usporenje			20,0			0,0	4,6
HS748A	DEFAULT	1	Snižavanje	ZERO	6000,0	160,0	3,0			
HS748A	DEFAULT	2	Snižavanje	INTR	3000,0	110,1	3,0			
HS748A	DEFAULT	3	Snižavanje	D-INTR	1500,0	100,1	3,0			
HS748A	DEFAULT	4	Snižavanje	D-30	1000,0	90,1	3,0			
HS748A	DEFAULT	5	Slijetanje	D-30				207,0		
HS748A	DEFAULT	6	Usporenje			85,5			1863,0	40,0
HS748A	DEFAULT	7	Usporenje			30,0			0,0	10,0



ThoriumSoftware d.o.o.

Mobile: +385 (0) 95 8 70 50 70
 Kontakt: Dario Ilija Rendulić
 Email:
[info@thoriumsoftware.eu;](mailto:info@thoriumsoftware.eu)
direndulic@gmail.com

IA1125	DEFAULT	1	Snižavanje	ZERO	6000,0	250,0	3,0			
IA1125	DEFAULT	2	Snižavanje	INTR	3000,0	152,1	3,0			
IA1125	DEFAULT	3	Snižavanje	D-INTR	1500,0	142,1	3,0			
IA1125	DEFAULT	4	Snižavanje	D-40	1000,0	132,1	3,0			
IA1125	DEFAULT	5	Slijetanje	D-40				236,6		
IA1125	DEFAULT	6	Usporenje			125,3			2129,4	40,0
IA1125	DEFAULT	7	Usporenje			30,0			0,0	10,0
L1011	DEFAULT	1	Snižavanje	ZERO	6000,0	250,0	3,0			
L1011	DEFAULT	2	Snižavanje	10	3000,0	160,5	3,0			
L1011	DEFAULT	3	Snižavanje	D-33	1500,0	162,9	3,0			
L1011	DEFAULT	4	Snižavanje	D-42	1000,0	145,5	3,0			
L1011	DEFAULT	5	Slijetanje	D-42				417,0		
L1011	DEFAULT	6	Usporenje			138,1			3753,0	10,0
L1011	DEFAULT	7	Usporenje			30,0			0,0	10,0
L10115	DEFAULT	1	Snižavanje	ZERO	6000,0	250,0	3,0			
L10115	DEFAULT	2	Snižavanje	10	3000,0	162,4	3,0			
L10115	DEFAULT	3	Snižavanje	D-33	1500,0	151,2	3,0			
L10115	DEFAULT	4	Snižavanje	D-42	1000,0	147,4	3,0			
L10115	DEFAULT	5	Slijetanje	D-42				516,6		
L10115	DEFAULT	6	Usporenje			139,8			4649,4	10,0
L10115	DEFAULT	7	Usporenje			30,0			0,0	10,0
L188	DEFAULT	1	Snižavanje	ZERO	6000,0	200,0	3,0			
L188	DEFAULT	2	Snižavanje	INTR	3000,0	147,5	3,0			
L188	DEFAULT	3	Snižavanje	D-78-%	1500,0	135,6	3,0			
L188	DEFAULT	4	Snižavanje	D-100	1000,0	129,8	3,0			
L188	DEFAULT	5	Slijetanje	D-100				351,0		
L188	DEFAULT	6	Usporenje			123,1			3159,0	40,0
L188	DEFAULT	7	Usporenje			30,0			0,0	10,0
LEAR25	DEFAULT	1	Snižavanje	ZERO	6000,0	250,0	3,0			

LEAR25	DEFAULT	2	Snižavanje	10	3000,0	161,6	3,0			
LEAR25	DEFAULT	3	Snižavanje	D-INTR	1500,0	151,6	3,0			
LEAR25	DEFAULT	4	Snižavanje	D-40	1000,0	141,7	3,0			
LEAR25	DEFAULT	5	Slijetanje	D-40				140,4		
LEAR25	DEFAULT	6	Usporenje			134,4			1263,6	40,0
LEAR25	DEFAULT	7	Usporenje			30,0			0,0	10,0
LEAR35	DEFAULT	1	Snižavanje	ZERO	6000,0	250,0	3,0			
LEAR35	DEFAULT	2	Snižavanje	10	3000,0	144,5	3,0			
LEAR35	DEFAULT	3	Snižavanje	D-INTR	1500,0	134,5	3,0			
LEAR35	DEFAULT	4	Snižavanje	D-40	1000,0	127,8	3,0			
LEAR35	DEFAULT	5	Slijetanje	D-40				181,4		
LEAR35	DEFAULT	6	Usporenje			121,2			1632,6	40,0
LEAR35	DEFAULT	7	Usporenje			30,0			0,0	10,0
MD9025	DEFAULT	1	Snižavanje	U-0	6000,0	185,0	3,0			
MD9025	DEFAULT	2	Snižavanje	D-28	3000,0	154,0	3,0			
MD9025	DEFAULT	3	Snižavanje	D-28	1500,0	150,0	3,0			
MD9025	DEFAULT	4	Snižavanje	D-40	1000,0	145,3	3,0			
MD9025	DEFAULT	5	Slijetanje	D-40				346,0		
MD9025	DEFAULT	6	Usporenje			130,0			2100,0	40,0
MD9025	DEFAULT	7	Usporenje			30,0			0,0	9,6
MD9028	DEFAULT	1	Snižavanje	U-0	6000,0	185,0	3,0			
MD9028	DEFAULT	2	Snižavanje	D-28	3000,0	154,0	3,0			
MD9028	DEFAULT	3	Snižavanje	D-28	1500,0	150,0	3,0			
MD9028	DEFAULT	4	Snižavanje	D-40	1000,0	145,3	3,0			
MD9028	DEFAULT	5	Slijetanje	D-40				346,0		
MD9028	DEFAULT	6	Usporenje			130,0			2100,0	40,0
MD9028	DEFAULT	7	Usporenje			30,0			0,0	8,6
MU3001	DEFAULT	1	Snižavanje	ZERO	6000,0	250,0	3,0			
MU3001	DEFAULT	2	Snižavanje	1	3000,0	133,8	3,0			



ThoriumSoftware d.o.o.

Mobile: +385 (0) 95 8 70 50 70
 Kontakt: Dario Ilija Rendulić
 Email:
[info@thoriumsoftware.eu;](mailto:info@thoriumsoftware.eu)
direndulic@gmail.com

MU3001	DEFAULT	3	Snižavanje	D-INTR	1500,0	123,8	3,0			
MU3001	DEFAULT	4	Snižavanje	D-30	1000,0	117,1	3,0			
MU3001	DEFAULT	5	Slijetanje	D-30				156,6		
MU3001	DEFAULT	6	Usporenje			111,1			1409,4	40,0
MU3001	DEFAULT	7	Usporenje			30,0			0,0	10,0
PA30	DEFAULT	1	Snižavanje	ZERO-A	6000,0	120,0	3,0			
PA30	DEFAULT	2	Snižavanje	27-A	3000,0	109,0	3,0			
PA30	DEFAULT	3	Snižavanje	27-A	1500,0	96,0	3,0			
PA30	DEFAULT	4	Snižavanje	27-A	1000,0	87,0	3,0			
PA30	DEFAULT	5	Slijetanje	27-A				53,5		
PA30	DEFAULT	6	Usporenje			70,0			481,1	10,0
PA30	DEFAULT	7	Usporenje			10,0			0,0	10,0
PA42	DEFAULT	1	Snižavanje	ZERO-A	6000,0	151,0	3,0			
PA42	DEFAULT	2	Snižavanje	ZERO-A	4000,0	135,0	3,0			
PA42	DEFAULT	3	Snižavanje	ZERO-A	2000,0	119,0	3,0			
PA42	DEFAULT	4	Snižavanje	30-DN	1000,0	111,0	3,0			
PA42	DEFAULT	5	Snižavanje	30-DN	50,0	111,0	3,0			
PA42	DEFAULT	6	Slijetanje	30-DN				100,0		
PA42	DEFAULT	7	Usporenje			111,0			2245,9	10,0
PA42	DEFAULT	8	Usporenje			10,0			0,0	10,0
SD330	DEFAULT	1	Snižavanje	ZERO	6000,0	160,0	3,0			
SD330	DEFAULT	2	Snižavanje	INTR	3000,0	120,2	3,0			
SD330	DEFAULT	3	Snižavanje	D-15	1500,0	106,5	3,0			
SD330	DEFAULT	4	Snižavanje	D-35	1000,0	100,2	3,0			
SD330	DEFAULT	5	Slijetanje	D-35				233,1		
SD330	DEFAULT	6	Usporenje			95,1			2097,9	40,0
SD330	DEFAULT	7	Usporenje			30,0			0,0	10,0
SF340	DEFAULT	1	Snižavanje	ZERO	6000,0	160,0	3,0			
SF340	DEFAULT	2	Snižavanje	5	3000,0	136,9	3,0			

SF340	DEFAULT	3	Snižavanje	D-INTR	1500,0	126,9	3,0			
SF340	DEFAULT	4	Snižavanje	D-35	1000,0	116,9	3,0			
SF340	DEFAULT	5	Slijetanje	D-35				216,9		
SF340	DEFAULT	6		Usporenje		110,9			1952,1	40,0
SF340	DEFAULT	7		Usporenje		30,0			0,0	10,0

,,737800	DEFAULT	1	Snižavanje – minimalni potisak	A_00	6 000	248,933				
737800	DEFAULT	2	Horizontalno – minimalni potisak	A_00	3 000	249,5		25 437		
737800	DEFAULT	3	Horizontalno – minimalni potisak	A_01	3 000	187,18		3 671		
737800	DEFAULT	4	Horizontalno – minimalni potisak	A_05	3 000	174,66		5 209		
737800	DEFAULT	5	Snižavanje – minimalni potisak	A_15	3 000	151,413				
737800	DEFAULT	6	Snižavanje	A_30	2 817	139,113				
737800	DEFAULT	7	Slijetanje	A_30			393,8			
737800	DEFAULT	8	Usporenje	A_30		139		3 837,5	40	
737800	DEFAULT	9	Usporenje	A_30		30		0	10	
737MAX8	DEFAULT	1	Snižavanje – minimalni potisak	A_00	6 000	249,2	3			
737MAX8	DEFAULT	2	Horizontalno – minimalni potisak	A_00	3 000	249,7		24 557		
737MAX8	DEFAULT	3	Horizontalno – minimalni potisak	A_01	3 000	188,5		4 678		
737MAX8	DEFAULT	4	Horizontalno – minimalni potisak	A_05	3 000	173,7		4 907		
737MAX8	DEFAULT	5	Snižavanje – minimalni potisak	A_15	3 000	152	3			
737MAX8	DEFAULT	6	Snižavanje	A_30	2 817	139	3			
737MAX8	DEFAULT	7	Slijetanje	A_30			393,8			
737MAX8	DEFAULT	8	Usporenje	A_30		139		3 837,5	40	
737MAX8	DEFAULT	9	Usporenje	A_30		30		0	10	
A350-941	DEFAULT1	1	Snižavanje – minimalni potisak	A_ZERO	6 000	250	2,74			
A350-941	DEFAULT1	2	Horizontalno – minimalni potisak	A_ZERO	3 000	250		26 122		
A350-941	DEFAULT1	3	Horizontalno – minimalni potisak	A_1_U	3 000	188,6		6 397,6		
A350-941	DEFAULT1	4	Snižavanje – minimalni potisak	A_1_U	3 000	168,4	3			
A350-941	DEFAULT1	5	Snižavanje – minimalni potisak	A_2_D	2 709	161,9	3			

A350-941	DEFAULT16	Snižavanje – minimalni potisak	A_3_D	2 494	155,2	3					
A350-941	DEFAULT17	Snižavanje	A_FULL_D2 180	137,5	3						
A350-941	DEFAULT18	Snižavanje	A_FULL_D50	137,5	3						
A350-941	DEFAULT19	Slijetanje	A_FULL_D				556,1				
A350-941	DEFAULT10	Usporenje	A_FULL_D		137,5			5 004,9	10		
A350-941	DEFAULT11	Usporenje	A_FULL_D		30			0	10		
A350-941	DEFAULT21	Snižavanje – minimalni potisak	A_ZERO	6 000	250	2,74					
A350-941	DEFAULT22	Horizontalno – minimalni potisak	A_ZERO	3 000	250			26 122			
A350-941	DEFAULT23	Horizontalno	A_1_U	3 000	188,6			20 219,8			
A350-941	DEFAULT24	Horizontalno – minimalni potisak	A_1_U	3 000	188,6			6 049,9			
A350-941	DEFAULT25	Snižavanje – minimalni potisak	A_1_U	3 000	168,3	3					
A350-941	DEFAULT26	Snižavanje – minimalni potisak	A_2_D	2 709	161,8	3					
A350-941	DEFAULT27	Snižavanje	A_FULL_D2 180	137,5	3						
A350-941	DEFAULT28	Snižavanje	A_FULL_D50	137,5	3						
A350-941	DEFAULT29	Slijetanje	A_FULL_D			556,1					
A350-941	DEFAULT20	Usporenje	A_FULL_D		137,5			5 004,9	10		
A350-941	DEFAULT21	Usporenje	A_FULL_D		30			0	10		
ATR72	DEFAULT 1	Snižavanje	ZERO-A	6 000	238	3					
ATR72	DEFAULT 2	Horizontalno – usporenje	ZERO-A	3 000	238			17 085			
ATR72	DEFAULT 3	Horizontalno – usporenje	15-A-G	3 000	158,3			3 236			
ATR72	DEFAULT 4	Horizontalno	15-A-G	3 000	139			3 521			
ATR72	DEFAULT 5	Horizontalno	33-A-G	3 000	139			3 522			
ATR72	DEFAULT 6	Snižavanje – usporenje	33-A-G	3 000	139	3					
ATR72	DEFAULT 7	Snižavanje	33-A-G	2 802	117,1	3					
ATR72	DEFAULT 8	Snižavanje	33-A-G	50	117,1	3					
ATR72	DEFAULT 9	Slijetanje	33-A-G				50				
ATR72	DEFAULT 10	Usporenje	33-A-G		114,2			1 218	75,9		
ATR72	DEFAULT 11	Usporenje	33-A-G		30			0	5,7"		

Tablica I-4 (1. dio): Uobičajeni proceduralni koraci pri odletu

ACFTID	Oznaka profila (Profile_ID)	Duljina faze	Broj koraka	Tip koraka	Režim rada motora	Zakrilca (Flap_ID)	Visina krajnje točke (ft)	Stopa penjanja (ft/min)	Kalibrirana brzina leta u krajnjoj točki (kt)	Postotak ubrzanja (Accelerate_Percent) (%)
1900D	DEFAULT	1	1	Uzljetanje	Maksimum za uzljetanje	17-D				
1900D	DEFAULT	1	2	Penjanje	Maksimum za uzljetanje	17-D	400			
1900D	DEFAULT	1	3	Ubrzanje	Maksimum za uzljetanje	17-D		2750	128	
1900D	DEFAULT	1	4	Ubrzanje	Maksimum za penjanje	ZERO-D		2950	138	
1900D	DEFAULT	1	5	Penjanje	Maksimum za penjanje	ZERO-D	3000			
1900D	DEFAULT	1	6	Ubrzanje	Maksimum za penjanje	ZERO-D		1500	160	
1900D	DEFAULT	1	7	Penjanje	Maksimum za penjanje	ZERO-D	5500			
1900D	DEFAULT	1	8	Penjanje	Maksimum za penjanje	ZERO-D	7500			
1900D	DEFAULT	1	9	Penjanje	Maksimum za penjanje	ZERO-D	10000			
1900D	DEFAULT	2	1	Uzljetanje	Maksimum za uzljetanje	17-D				
1900D	DEFAULT	2	2	Penjanje	Maksimum za uzljetanje	17-D	400			
1900D	DEFAULT	2	3	Ubrzanje	Maksimum za uzljetanje	17-D		2400	128	
1900D	DEFAULT	2	4	Ubrzanje	Maksimum za penjanje	ZERO-D		2650	138	
1900D	DEFAULT	2	5	Penjanje	Maksimum za penjanje	ZERO-D	3000			
1900D	DEFAULT	2	6	Ubrzanje	Maksimum za penjanje	ZERO-D		1500	160	
1900D	DEFAULT	2	7	Penjanje	Maksimum za penjanje	ZERO-D	5500			
1900D	DEFAULT	2	8	Penjanje	Maksimum za penjanje	ZERO-D	7500			
1900D	DEFAULT	2	9	Penjanje	Maksimum za penjanje	ZERO-D	10000			



ThoriumSoftware d.o.o.

Mobile: +385 (0) 95 8 70 50 70
 Kontakt: Dario Ilija Rendulić
 Email:
[info@thoriumsoftware.eu;](mailto:info@thoriumsoftware.eu)
direndulic@gmail.com

707320	DEFAULT	1	1	Uzlijetanje	Maksimum za uzlijetanje	14				
707320	DEFAULT	1	2	Penjanje	Maksimum za uzlijetanje	14	1000			
707320	DEFAULT	1	3	Ubrzanje	Maksimum za uzlijetanje	14		2047	175	
707320	DEFAULT	1	4	Ubrzanje	Maksimum za penjanje	INT		1000	195	
707320	DEFAULT	1	5	Penjanje	Maksimum za penjanje	ZERO	3000			
707320	DEFAULT	1	6	Ubrzanje	Maksimum za penjanje	ZERO		1000	250	
707320	DEFAULT	1	7	Penjanje	Maksimum za penjanje	ZERO	5500			
707320	DEFAULT	1	8	Penjanje	Maksimum za penjanje	ZERO	7500			
707320	DEFAULT	1	9	Penjanje	Maksimum za penjanje	ZERO	10000			
707320	DEFAULT	2	1	Uzlijetanje	Maksimum za uzlijetanje	14				
707320	DEFAULT	2	2	Penjanje	Maksimum za uzlijetanje	14	1000			
707320	DEFAULT	2	3	Ubrzanje	Maksimum za uzlijetanje	14		1905	179	
707320	DEFAULT	2	4	Ubrzanje	Maksimum za penjanje	INT		1000	199	
707320	DEFAULT	2	5	Penjanje	Maksimum za penjanje	ZERO	3000			
707320	DEFAULT	2	6	Ubrzanje	Maksimum za penjanje	ZERO		1000	250	
707320	DEFAULT	2	7	Penjanje	Maksimum za penjanje	ZERO	5500			
707320	DEFAULT	2	8	Penjanje	Maksimum za penjanje	ZERO	7500			
707320	DEFAULT	2	9	Penjanje	Maksimum za penjanje	ZERO	10000			
707320	DEFAULT	3	1	Uzlijetanje	Maksimum za uzlijetanje	14				
707320	DEFAULT	3	2	Penjanje	Maksimum za uzlijetanje	14	1000			

707320	DEFAULT	3	3	Ubrzanje	Maksimum za uzlijetanje	14		1793	183	
707320	DEFAULT	3	4	Ubrzanje	Maksimum za penjanje	INT		1000	203	
707320	DEFAULT	3	5	Penjanje	Maksimum za penjanje	ZERO	3000			
707320	DEFAULT	3	6	Ubrzanje	Maksimum za penjanje	ZERO		1000	250	
707320	DEFAULT	3	7	Penjanje	Maksimum za penjanje	ZERO	5500			
707320	DEFAULT	3	8	Penjanje	Maksimum za penjanje	ZERO	7500			
707320	DEFAULT	3	9	Penjanje	Maksimum za penjanje	ZERO	10000			
707320	DEFAULT	4	1	Uzlijetanje	Maksimum za uzlijetanje	14				
707320	DEFAULT	4	2	Penjanje	Maksimum za uzlijetanje	14	1000			
707320	DEFAULT	4	3	Ubrzanje	Maksimum za uzlijetanje	14		1624	189	
707320	DEFAULT	4	4	Ubrzanje	Maksimum za penjanje	INT		1000	209	
707320	DEFAULT	4	5	Penjanje	Maksimum za penjanje	ZERO	3000			
707320	DEFAULT	4	6	Ubrzanje	Maksimum za penjanje	ZERO		1000	250	
707320	DEFAULT	4	7	Penjanje	Maksimum za penjanje	ZERO	5500			
707320	DEFAULT	4	8	Penjanje	Maksimum za penjanje	ZERO	7500			
707320	DEFAULT	4	9	Penjanje	Maksimum za penjanje	ZERO	10000			
707320	DEFAULT	5	1	Uzlijetanje	Maksimum za uzlijetanje	14				
707320	DEFAULT	5	2	Penjanje	Maksimum za uzlijetanje	14	1000			
707320	DEFAULT	5	3	Ubrzanje	Maksimum za uzlijetanje	14		1430	197	
707320	DEFAULT	5	4	Ubrzanje	Maksimum za penjanje	INT		1000	217	



ThoriumSoftware d.o.o.

Mobile: +385 (0) 95 8 70 50 70
 Kontakt: Dario Ilija Rendulić
 Email:
[info@thoriumsoftware.eu;](mailto:info@thoriumsoftware.eu)
direndulic@gmail.com

707320	DEFAULT	5	5	Penjanje	Maksimum za penjanje	ZERO	3000			
707320	DEFAULT	5	6	Ubrzanje	Maksimum za penjanje	ZERO		1000	250	
707320	DEFAULT	5	7	Penjanje	Maksimum za penjanje	ZERO	5500			
707320	DEFAULT	5	8	Penjanje	Maksimum za penjanje	ZERO	7500			
707320	DEFAULT	5	9	Penjanje	Maksimum za penjanje	ZERO	10000			
707320	DEFAULT	6	1	Uzlijetanje	Maksimum za uzlijetanje	14				
707320	DEFAULT	6	2	Penjanje	Maksimum za uzlijetanje	14	1000			
707320	DEFAULT	6	3	Ubrzanje	Maksimum za uzlijetanje	14		1259	205	
707320	DEFAULT	6	4	Ubrzanje	Maksimum za penjanje	INT		800	225	
707320	DEFAULT	6	5	Penjanje	Maksimum za penjanje	ZERO	3000			
707320	DEFAULT	6	6	Ubrzanje	Maksimum za penjanje	ZERO		800	250	
707320	DEFAULT	6	7	Penjanje	Maksimum za penjanje	ZERO	5500			
707320	DEFAULT	6	8	Penjanje	Maksimum za penjanje	ZERO	7500			
707320	DEFAULT	6	9	Penjanje	Maksimum za penjanje	ZERO	10000			
707320	DEFAULT	7	1	Uzlijetanje	Maksimum za uzlijetanje	14				
707320	DEFAULT	7	2	Penjanje	Maksimum za uzlijetanje	14	1000			
707320	DEFAULT	7	3	Ubrzanje	Maksimum za uzlijetanje	14		1151	209	
707320	DEFAULT	7	4	Ubrzanje	Maksimum za penjanje	INT		800	229	
707320	DEFAULT	7	5	Penjanje	Maksimum za penjanje	ZERO	3000			
707320	DEFAULT	7	6	Ubrzanje	Maksimum za penjanje	ZERO		800	250	

707320	DEFAULT	7	7	Penjanje	Maksimum za penjanje	ZERO	5500			
707320	DEFAULT	7	8	Penjanje	Maksimum za penjanje	ZERO	7500			
707320	DEFAULT	7	9	Penjanje	Maksimum za penjanje	ZERO	10000			
707QN	DEFAULT	1	1	Uzlijetanje	Maksimum za uzlijetanje	14				
707QN	DEFAULT	1	2	Penjanje	Maksimum za uzlijetanje	14	1000			
707QN	DEFAULT	1	3	Ubrzanje	Maksimum za uzlijetanje	14		2047	175	
707QN	DEFAULT	1	4	Ubrzanje	Maksimum za penjanje	INT		1000	195	
707QN	DEFAULT	1	5	Penjanje	Maksimum za penjanje	ZERO	3000			
707QN	DEFAULT	1	6	Ubrzanje	Maksimum za penjanje	ZERO		1000	250	
707QN	DEFAULT	1	7	Penjanje	Maksimum za penjanje	ZERO	5500			
707QN	DEFAULT	1	8	Penjanje	Maksimum za penjanje	ZERO	7500			
707QN	DEFAULT	1	9	Penjanje	Maksimum za penjanje	ZERO	10000			
707QN	DEFAULT	2	1	Uzlijetanje	Maksimum za uzlijetanje	14				
707QN	DEFAULT	2	2	Penjanje	Maksimum za uzlijetanje	14	1000			
707QN	DEFAULT	2	3	Ubrzanje	Maksimum za uzlijetanje	14		1905	179	
707QN	DEFAULT	2	4	Ubrzanje	Maksimum za penjanje	INT		1000	199	
707QN	DEFAULT	2	5	Penjanje	Maksimum za penjanje	ZERO	3000			
707QN	DEFAULT	2	6	Ubrzanje	Maksimum za penjanje	ZERO		1000	250	
707QN	DEFAULT	2	7	Penjanje	Maksimum za penjanje	ZERO	5500			
707QN	DEFAULT	2	8	Penjanje	Maksimum za penjanje	ZERO	7500			



ThoriumSoftware d.o.o.

Mobile: +385 (0) 95 8 70 50 70
 Kontakt: Dario Ilija Rendulić
 Email:
[info@thoriumsoftware.eu;](mailto:info@thoriumsoftware.eu)
direndulic@gmail.com

707QN	DEFAULT	2	9	Penjanje	Maksimum za penjanje	ZERO	10000			
707QN	DEFAULT	3	1	Uzlijetanje	Maksimum za uzlijetanje	14				
707QN	DEFAULT	3	2	Penjanje	Maksimum za uzlijetanje	14	1000			
707QN	DEFAULT	3	3	Ubrzanje	Maksimum za uzlijetanje	14		1793	183	
707QN	DEFAULT	3	4	Ubrzanje	Maksimum za penjanje	INT		1000	203	
707QN	DEFAULT	3	5	Penjanje	Maksimum za penjanje	ZERO	3000			
707QN	DEFAULT	3	6	Ubrzanje	Maksimum za penjanje	ZERO		1000	250	
707QN	DEFAULT	3	7	Penjanje	Maksimum za penjanje	ZERO	5500			
707QN	DEFAULT	3	8	Penjanje	Maksimum za penjanje	ZERO	7500			
707QN	DEFAULT	3	9	Penjanje	Maksimum za penjanje	ZERO	10000			
707QN	DEFAULT	4	1	Uzlijetanje	Maksimum za uzlijetanje	14				
707QN	DEFAULT	4	2	Penjanje	Maksimum za uzlijetanje	14	1000			
707QN	DEFAULT	4	3	Ubrzanje	Maksimum za uzlijetanje	14		1624	189	
707QN	DEFAULT	4	4	Ubrzanje	Maksimum za penjanje	INT		1000	209	
707QN	DEFAULT	4	5	Penjanje	Maksimum za penjanje	ZERO	3000			
707QN	DEFAULT	4	6	Ubrzanje	Maksimum za penjanje	ZERO		1000	250	
707QN	DEFAULT	4	7	Penjanje	Maksimum za penjanje	ZERO	5500			
707QN	DEFAULT	4	8	Penjanje	Maksimum za penjanje	ZERO	7500			
707QN	DEFAULT	4	9	Penjanje	Maksimum za penjanje	ZERO	10000			
707QN	DEFAULT	5	1	Uzlijetanje	Maksimum za uzlijetanje	14				

707QN	DEFAULT	5	2	Penjanje	Maksimum za uzlijetanje	14	1000			
707QN	DEFAULT	5	3	Ubrzanje	Maksimum za uzlijetanje	14		1430	197	
707QN	DEFAULT	5	4	Ubrzanje	Maksimum za penjanje	INT		1000	217	
707QN	DEFAULT	5	5	Penjanje	Maksimum za penjanje	ZERO	3000			
707QN	DEFAULT	5	6	Ubrzanje	Maksimum za penjanje	ZERO		1000	250	
707QN	DEFAULT	5	7	Penjanje	Maksimum za penjanje	ZERO	5500			
707QN	DEFAULT	5	8	Penjanje	Maksimum za penjanje	ZERO	7500			
707QN	DEFAULT	5	9	Penjanje	Maksimum za penjanje	ZERO	10000			
707QN	DEFAULT	6	1	Uzlijetanje	Maksimum za uzlijetanje	14				
707QN	DEFAULT	6	2	Penjanje	Maksimum za uzlijetanje	14	1000			
707QN	DEFAULT	6	3	Ubrzanje	Maksimum za uzlijetanje	14		1259	205	
707QN	DEFAULT	6	4	Ubrzanje	Maksimum za penjanje	INT		800	225	
707QN	DEFAULT	6	5	Penjanje	Maksimum za penjanje	ZERO	3000			
707QN	DEFAULT	6	6	Ubrzanje	Maksimum za penjanje	ZERO		800	250	
707QN	DEFAULT	6	7	Penjanje	Maksimum za penjanje	ZERO	5500			
707QN	DEFAULT	6	8	Penjanje	Maksimum za penjanje	ZERO	7500			
707QN	DEFAULT	6	9	Penjanje	Maksimum za penjanje	ZERO	10000			
707QN	DEFAULT	7	1	Uzlijetanje	Maksimum za uzlijetanje	14				
707QN	DEFAULT	7	2	Penjanje	Maksimum za uzlijetanje	14	1000			
707QN	DEFAULT	7	3	Ubrzanje	Maksimum za uzlijetanje	14		1151	209	



ThoriumSoftware d.o.o.

Mobile: +385 (0) 95 8 70 50 70
 Kontakt: Dario Ilija Rendulić
 Email:
[info@thoriumsoftware.eu;](mailto:info@thoriumsoftware.eu)
direndulic@gmail.com

707QN	DEFAULT	7	4	Ubrzanje	Maksimum za penjanje	INT		800	229	
707QN	DEFAULT	7	5	Penjanje	Maksimum za penjanje	ZERO	3000			
707QN	DEFAULT	7	6	Ubrzanje	Maksimum za penjanje	ZERO		800	250	
707QN	DEFAULT	7	7	Penjanje	Maksimum za penjanje	ZERO	5500			
707QN	DEFAULT	7	8	Penjanje	Maksimum za penjanje	ZERO	7500			
707QN	DEFAULT	7	9	Penjanje	Maksimum za penjanje	ZERO	10000			
717200	DEFAULT	1	1	Uzlijetanje	Maksimum za uzlijetanje	T_13A				
717200	DEFAULT	1	2	Penjanje	Maksimum za uzlijetanje	T_13A	1000			
717200	DEFAULT	1	3	Penjanje	Maksimum za penjanje	T_13A	3000			
717200	DEFAULT	1	4	Ubrzanje	Maksimum za penjanje	T_00B		1296,4	250	
717200	DEFAULT	1	5	Penjanje	Maksimum za penjanje	T_00B	5000			
717200	DEFAULT	1	6	Penjanje	Maksimum za penjanje	T_00B	7500			
717200	DEFAULT	1	7	Penjanje	Maksimum za penjanje	T_00B	10000			
717200	DEFAULT	2	1	Uzlijetanje	Maksimum za uzlijetanje	T_13A				
717200	DEFAULT	2	2	Penjanje	Maksimum za uzlijetanje	T_13A	1000			
717200	DEFAULT	2	3	Penjanje	Maksimum za penjanje	T_13A	3000			
717200	DEFAULT	2	4	Ubrzanje	Maksimum za penjanje	T_00B		1298	250	
717200	DEFAULT	2	5	Penjanje	Maksimum za penjanje	T_00B	5000			
717200	DEFAULT	2	6	Penjanje	Maksimum za penjanje	T_00B	7500			
717200	DEFAULT	2	7	Penjanje	Maksimum za penjanje	T_00B	10000			

717200	DEFAULT	3	1	Uzlijetanje	Maksimum za uzlijetanje	T_13A				
717200	DEFAULT	3	2	Penjanje	Maksimum za uzlijetanje	T_13A	1000			
717200	DEFAULT	3	3	Penjanje	Maksimum za penjanje	T_13A	3000			
717200	DEFAULT	3	4	Ubrzanje	Maksimum za penjanje	T_00B		1229,1	250	
717200	DEFAULT	3	5	Penjanje	Maksimum za penjanje	T_00B	5000			
717200	DEFAULT	3	6	Penjanje	Maksimum za penjanje	T_00B	7500			
717200	DEFAULT	3	7	Penjanje	Maksimum za penjanje	T_00B	10000			
717200	DEFAULT	4	1	Uzlijetanje	Maksimum za uzlijetanje	T_13A				
717200	DEFAULT	4	2	Penjanje	Maksimum za uzlijetanje	T_13A	1000			
717200	DEFAULT	4	3	Penjanje	Maksimum za penjanje	T_13A	3000			
717200	DEFAULT	4	4	Ubrzanje	Maksimum za penjanje	T_00B		1165,9	250	
717200	DEFAULT	4	5	Penjanje	Maksimum za penjanje	T_00B	5000			
717200	DEFAULT	4	6	Penjanje	Maksimum za penjanje	T_00B	7500			
717200	DEFAULT	4	7	Penjanje	Maksimum za penjanje	T_00B	10000			
717200	DEFAULT	5	1	Uzlijetanje	Maksimum za uzlijetanje	T_13A				
717200	DEFAULT	5	2	Penjanje	Maksimum za uzlijetanje	T_13A	1000			
717200	DEFAULT	5	3	Penjanje	Maksimum za penjanje	T_13A	3000			
717200	DEFAULT	5	4	Ubrzanje	Maksimum za penjanje	T_00B		1142,6	250	
717200	DEFAULT	5	5	Penjanje	Maksimum za penjanje	T_00B	5000			
717200	DEFAULT	5	6	Penjanje	Maksimum za penjanje	T_00B	7500			



ThoriumSoftware d.o.o.

Mobile: +385 (0) 95 8 70 50 70
 Kontakt: Dario Ilija Rendulić
 Email:
[info@thoriumsoftware.eu;](mailto:info@thoriumsoftware.eu)
direndulic@gmail.com

717200	DEFAULT	5	7	Penjanje	Maksimum za penjanje	T_00B	10000			
717200	DEFAULT	6	1	Uzlijetanje	Maksimum za uzlijetanje	T_13A				
717200	DEFAULT	6	2	Penjanje	Maksimum za uzlijetanje	T_13A	1000			
717200	DEFAULT	6	3	Penjanje	Maksimum za penjanje	T_13A	3000			
717200	DEFAULT	6	4	Ubrzanje	Maksimum za penjanje	T_00B		1098,3	250	
717200	DEFAULT	6	5	Penjanje	Maksimum za penjanje	T_00B	5000			
717200	DEFAULT	6	6	Penjanje	Maksimum za penjanje	T_00B	7500			
717200	DEFAULT	6	7	Penjanje	Maksimum za penjanje	T_00B	10000			
717200	ICAO_B	1	1	Uzlijetanje	Maksimum za uzlijetanje	T_13A				
717200	ICAO_B	1	2	Penjanje	Maksimum za uzlijetanje	T_13A	1100			
717200	ICAO_B	1	3	Ubrzanje	Maksimum za uzlijetanje	T_13A		2137,1	186,2	
717200	ICAO_B	1	4	Penjanje	Maksimum za penjanje	T_00B	3000			
717200	ICAO_B	1	5	Ubrzanje	Maksimum za penjanje	T_00B		1000	250	
717200	ICAO_B	1	6	Penjanje	Maksimum za penjanje	T_00B	5500			
717200	ICAO_B	1	7	Penjanje	Maksimum za penjanje	T_00B	7500			
717200	ICAO_B	1	8	Penjanje	Maksimum za penjanje	T_00B	10000			
717200	ICAO_B	2	1	Uzlijetanje	Maksimum za uzlijetanje	T_13A				
717200	ICAO_B	2	2	Penjanje	Maksimum za uzlijetanje	T_13A	1000			
717200	ICAO_B	2	3	Ubrzanje	Maksimum za uzlijetanje	T_13A		2003,2	185	
717200	ICAO_B	2	4	Penjanje	Maksimum za penjanje	T_00B	3000			

717200	ICAO_B	2	5	Ubrzanje	Maksimum za penjanje	T_00B		1000	250	
717200	ICAO_B	2	6	Penjanje	Maksimum za penjanje	T_00B	5500			
717200	ICAO_B	2	7	Penjanje	Maksimum za penjanje	T_00B	7500			
717200	ICAO_B	2	8	Penjanje	Maksimum za penjanje	T_00B	10000			
717200	ICAO_B	3	1	Uzljetanje	Maksimum za uzljetanje	T_13A				
717200	ICAO_B	3	2	Penjanje	Maksimum za uzljetanje	T_13A	1000			
717200	ICAO_B	3	3	Ubrzanje	Maksimum za uzljetanje	T_13A		1874,4	183,8	
717200	ICAO_B	3	4	Penjanje	Maksimum za penjanje	T_00B	3000			
717200	ICAO_B	3	5	Ubrzanje	Maksimum za penjanje	T_00B		1000	250	
717200	ICAO_B	3	6	Penjanje	Maksimum za penjanje	T_00B	5500			
717200	ICAO_B	3	7	Penjanje	Maksimum za penjanje	T_00B	7500			
717200	ICAO_B	3	8	Penjanje	Maksimum za penjanje	T_00B	10000			
717200	ICAO_B	4	1	Uzljetanje	Maksimum za uzljetanje	T_13A				
717200	ICAO_B	4	2	Penjanje	Maksimum za uzljetanje	T_13A	1000			
717200	ICAO_B	4	3	Ubrzanje	Maksimum za uzljetanje	T_13A		1756,2	182,7	
717200	ICAO_B	4	4	Penjanje	Maksimum za penjanje	T_00B	3000			
717200	ICAO_B	4	5	Ubrzanje	Maksimum za penjanje	T_00B		1000	250	
717200	ICAO_B	4	6	Penjanje	Maksimum za penjanje	T_00B	5500			
717200	ICAO_B	4	7	Penjanje	Maksimum za penjanje	T_00B	7500			
717200	ICAO_B	4	8	Penjanje	Maksimum za penjanje	T_00B	10000			



ThoriumSoftware d.o.o.

Mobile: +385 (0) 95 8 70 50 70
 Kontakt: Dario Ilija Rendulić
 Email:
[info@thoriumsoftware.eu;](mailto:info@thoriumsoftware.eu)
direndulic@gmail.com

717200	ICAO_B	5	1	Uzlijetanje	Maksimum za uzlijetanje	T_13A				
717200	ICAO_B	5	2	Penjanje	Maksimum za uzlijetanje	T_13A	1000			
717200	ICAO_B	5	3	Ubrzanje	Maksimum za uzlijetanje	T_13A		1705,9	192,7	
717200	ICAO_B	5	4	Penjanje	Maksimum za penjanje	T_00B	3000			
717200	ICAO_B	5	5	Ubrzanje	Maksimum za penjanje	T_00B		1000	250	
717200	ICAO_B	5	6	Penjanje	Maksimum za penjanje	T_00B	5500			
717200	ICAO_B	5	7	Penjanje	Maksimum za penjanje	T_00B	7500			
717200	ICAO_B	5	8	Penjanje	Maksimum za penjanje	T_00B	10000			
717200	ICAO_B	6	1	Uzlijetanje	Maksimum za uzlijetanje	T_13A				
717200	ICAO_B	6	2	Penjanje	Maksimum za uzlijetanje	T_13A	1000			
717200	ICAO_B	6	3	Ubrzanje	Maksimum za uzlijetanje	T_13A		1540,3	191,2	
717200	ICAO_B	6	4	Penjanje	Maksimum za penjanje	T_00B	3000			
717200	ICAO_B	6	5	Ubrzanje	Maksimum za penjanje	T_00B		1000	250	
717200	ICAO_B	6	6	Penjanje	Maksimum za penjanje	T_00B	5500			
717200	ICAO_B	6	7	Penjanje	Maksimum za penjanje	T_00B	7500			
717200	ICAO_B	6	8	Penjanje	Maksimum za penjanje	T_00B	10000			
720B	DEFAULT	1	1	Uzlijetanje	Maksimum za uzlijetanje	20				
720B	DEFAULT	1	2	Penjanje	Maksimum za uzlijetanje	20	1000			
720B	DEFAULT	1	3	Ubrzanje	Maksimum za uzlijetanje	20		2632	175	
720B	DEFAULT	1	4	Ubrzanje	Maksimum za penjanje	INT		1000	195	



ThoriumSoftware d.o.o.

Mobile: +385 (0) 95 8 70 50 70
 Kontakt: Dario Ilija Rendulić
 Email:
[info@thoriumsoftware.eu;](mailto:info@thoriumsoftware.eu)
direndulic@gmail.com

720B	DEFAULT	1	5	Penjanje	Maksimum za penjanje	ZERO	3000			
720B	DEFAULT	1	6	Ubrzanje	Maksimum za penjanje	ZERO		1000	250	
720B	DEFAULT	1	7	Penjanje	Maksimum za penjanje	ZERO	5500			
720B	DEFAULT	1	8	Penjanje	Maksimum za penjanje	ZERO	7500			
720B	DEFAULT	1	9	Penjanje	Maksimum za penjanje	ZERO	10000			
720B	DEFAULT	2	1	Uzljetanje	Maksimum za uzljetanje	20				
720B	DEFAULT	2	2	Penjanje	Maksimum za uzljetanje	20	1000			
720B	DEFAULT	2	3	Ubrzanje	Maksimum za uzljetanje	20		2470	179	
720B	DEFAULT	2	4	Ubrzanje	Maksimum za penjanje	INT		1000	199	
720B	DEFAULT	2	5	Penjanje	Maksimum za penjanje	ZERO	3000			
720B	DEFAULT	2	6	Ubrzanje	Maksimum za penjanje	ZERO		1000	250	
720B	DEFAULT	2	7	Penjanje	Maksimum za penjanje	ZERO	5500			
720B	DEFAULT	2	8	Penjanje	Maksimum za penjanje	ZERO	7500			
720B	DEFAULT	2	9	Penjanje	Maksimum za penjanje	ZERO	10000			
720B	DEFAULT	3	1	Uzljetanje	Maksimum za uzljetanje	20				
720B	DEFAULT	3	2	Penjanje	Maksimum za uzljetanje	20	1000			
720B	DEFAULT	3	3	Ubrzanje	Maksimum za uzljetanje	20		2323	183	
720B	DEFAULT	3	4	Ubrzanje	Maksimum za penjanje	INT		1000	203	
720B	DEFAULT	3	5	Penjanje	Maksimum za penjanje	ZERO	3000			
720B	DEFAULT	3	6	Ubrzanje	Maksimum za penjanje	ZERO		1000	250	



ThoriumSoftware d.o.o.

Mobile: +385 (0) 95 8 70 50 70
 Kontakt: Dario Ilija Rendulić
 Email:
[info@thoriumsoftware.eu;](mailto:info@thoriumsoftware.eu)
direndulic@gmail.com

720B	DEFAULT	3	7	Penjanje	Maksimum za penjanje	ZERO	5500			
720B	DEFAULT	3	8	Penjanje	Maksimum za penjanje	ZERO	7500			
720B	DEFAULT	3	9	Penjanje	Maksimum za penjanje	ZERO	10000			
720B	DEFAULT	4	1	Uzlijetanje	Maksimum za uzlijetanje	20				
720B	DEFAULT	4	2	Penjanje	Maksimum za uzlijetanje	20	1000			
720B	DEFAULT	4	3	Ubrzanje	Maksimum za uzlijetanje	20		2125	189	
720B	DEFAULT	4	4	Ubrzanje	Maksimum za penjanje	INT		1000	209	
720B	DEFAULT	4	5	Penjanje	Maksimum za penjanje	ZERO	3000			
720B	DEFAULT	4	6	Ubrzanje	Maksimum za penjanje	ZERO		1000	250	
720B	DEFAULT	4	7	Penjanje	Maksimum za penjanje	ZERO	5500			
720B	DEFAULT	4	8	Penjanje	Maksimum za penjanje	ZERO	7500			
720B	DEFAULT	4	9	Penjanje	Maksimum za penjanje	ZERO	10000			
720B	DEFAULT	5	1	Uzlijetanje	Maksimum za uzlijetanje	20				
720B	DEFAULT	5	2	Penjanje	Maksimum za uzlijetanje	20	1000			
720B	DEFAULT	5	3	Ubrzanje	Maksimum za uzlijetanje	20		2005	193	
720B	DEFAULT	5	4	Ubrzanje	Maksimum za penjanje	INT		1000	213	
720B	DEFAULT	5	5	Penjanje	Maksimum za penjanje	ZERO	3000			
720B	DEFAULT	5	6	Ubrzanje	Maksimum za penjanje	ZERO		1000	250	
720B	DEFAULT	5	7	Penjanje	Maksimum za penjanje	ZERO	5500			
720B	DEFAULT	5	8	Penjanje	Maksimum za penjanje	ZERO	7500			



ThoriumSoftware d.o.o.

Mobile: +385 (0) 95 8 70 50 70
 Kontakt: Dario Ilija Rendulić
 Email:
[info@thoriumsoftware.eu;](mailto:info@thoriumsoftware.eu)
direndulic@gmail.com

720B	DEFAULT	5	9	Penjanje	Maksimum za penjanje	ZERO	10000			
727100	DEFAULT	1	1	Uzlijetanje	Maksimum za uzlijetanje	5				
727100	DEFAULT	1	2	Penjanje	Maksimum za uzlijetanje	5	1000			
727100	DEFAULT	1	3	Ubrzanje	Maksimum za uzlijetanje	5		1342	160	
727100	DEFAULT	1	4	Ubrzanje	Maksimum za uzlijetanje	2		1342	190	
727100	DEFAULT	1	5	Ubrzanje	Maksimum za penjanje	ZERO		1000	200	
727100	DEFAULT	1	6	Penjanje	Maksimum za penjanje	ZERO	3000			
727100	DEFAULT	1	7	Ubrzanje	Maksimum za penjanje	ZERO		1000	250	
727100	DEFAULT	1	8	Penjanje	Maksimum za penjanje	ZERO	5500			
727100	DEFAULT	1	9	Penjanje	Maksimum za penjanje	ZERO	7500			
727100	DEFAULT	1	10	Penjanje	Maksimum za penjanje	ZERO	10000			
727100	DEFAULT	2	1	Uzlijetanje	Maksimum za uzlijetanje	5				
727100	DEFAULT	2	2	Penjanje	Maksimum za uzlijetanje	5	1000			
727100	DEFAULT	2	3	Ubrzanje	Maksimum za uzlijetanje	5		1265	160	
727100	DEFAULT	2	4	Ubrzanje	Maksimum za uzlijetanje	2		1265	190	
727100	DEFAULT	2	5	Ubrzanje	Maksimum za penjanje	ZERO		1000	200	
727100	DEFAULT	2	6	Penjanje	Maksimum za penjanje	ZERO	3000			
727100	DEFAULT	2	7	Ubrzanje	Maksimum za penjanje	ZERO		1000	250	
727100	DEFAULT	2	8	Penjanje	Maksimum za penjanje	ZERO	5500			
727100	DEFAULT	2	9	Penjanje	Maksimum za penjanje	ZERO	7500			



ThoriumSoftware d.o.o.

Mobile: +385 (0) 95 8 70 50 70
 Kontakt: Dario Ilija Rendulić
 Email:
[info@thoriumsoftware.eu;](mailto:info@thoriumsoftware.eu)
direndulic@gmail.com

727100	DEFAULT	2	10	Penjanje	Maksimum za penjanje	ZERO	10000			
727100	DEFAULT	3	1	Uzlijetanje	Maksimum za uzlijetanje	5				
727100	DEFAULT	3	2	Penjanje	Maksimum za uzlijetanje	5	1000			
727100	DEFAULT	3	3	Ubrzanje	Maksimum za uzlijetanje	5		1192	165	
727100	DEFAULT	3	4	Ubrzanje	Maksimum za uzlijetanje	2		1192	195	
727100	DEFAULT	3	5	Ubrzanje	Maksimum za penjanje	ZERO		1000	205	
727100	DEFAULT	3	6	Penjanje	Maksimum za penjanje	ZERO	3000			
727100	DEFAULT	3	7	Ubrzanje	Maksimum za penjanje	ZERO		1000	250	
727100	DEFAULT	3	8	Penjanje	Maksimum za penjanje	ZERO	5500			
727100	DEFAULT	3	9	Penjanje	Maksimum za penjanje	ZERO	7500			
727100	DEFAULT	3	10	Penjanje	Maksimum za penjanje	ZERO	10000			
727100	DEFAULT	4	1	Uzlijetanje	Maksimum za uzlijetanje	5				
727100	DEFAULT	4	2	Penjanje	Maksimum za uzlijetanje	5	1000			
727100	DEFAULT	4	3	Ubrzanje	Maksimum za uzlijetanje	5		1115	170	
727100	DEFAULT	4	4	Ubrzanje	Maksimum za uzlijetanje	2		1115	200	
727100	DEFAULT	4	5	Ubrzanje	Maksimum za penjanje	ZERO		1000	210	
727100	DEFAULT	4	6	Penjanje	Maksimum za penjanje	ZERO	3000			
727100	DEFAULT	4	7	Ubrzanje	Maksimum za penjanje	ZERO		1000	250	
727100	DEFAULT	4	8	Penjanje	Maksimum za penjanje	ZERO	5500			
727100	DEFAULT	4	9	Penjanje	Maksimum za penjanje	ZERO	7500			



ThoriumSoftware d.o.o.

Mobile: +385 (0) 95 8 70 50 70
 Kontakt: Dario Ilija Rendulić
 Email:
[info@thoriumsoftware.eu;](mailto:info@thoriumsoftware.eu)
direndulic@gmail.com

727100	DEFAULT	4	10	Penjanje	Maksimum za penjanje	ZERO	10000			
727D15	DEFAULT	1	1	Uzlijetanje	Maksimum za uzlijetanje	5				
727D15	DEFAULT	1	2	Penjanje	Maksimum za uzlijetanje	5	1000			
727D15	DEFAULT	1	3	Ubrzanje	Maksimum za uzlijetanje	5		1363	170	
727D15	DEFAULT	1	4	Ubrzanje	Maksimum za uzlijetanje	2		1363	200	
727D15	DEFAULT	1	5	Ubrzanje	Maksimum za penjanje	ZERO		1000	210	
727D15	DEFAULT	1	6	Penjanje	Maksimum za penjanje	ZERO	3000			
727D15	DEFAULT	1	7	Ubrzanje	Maksimum za penjanje	ZERO		1000	250	
727D15	DEFAULT	1	8	Penjanje	Maksimum za penjanje	ZERO	5500			
727D15	DEFAULT	1	9	Penjanje	Maksimum za penjanje	ZERO	7500			
727D15	DEFAULT	1	10	Penjanje	Maksimum za penjanje	ZERO	10000			
727D15	DEFAULT	2	1	Uzlijetanje	Maksimum za uzlijetanje	5				
727D15	DEFAULT	2	2	Penjanje	Maksimum za uzlijetanje	5	1000			
727D15	DEFAULT	2	3	Ubrzanje	Maksimum za uzlijetanje	5		1281	170	
727D15	DEFAULT	2	4	Ubrzanje	Maksimum za uzlijetanje	2		1281	200	
727D15	DEFAULT	2	5	Ubrzanje	Maksimum za penjanje	ZERO		1000	210	
727D15	DEFAULT	2	6	Penjanje	Maksimum za penjanje	ZERO	3000			
727D15	DEFAULT	2	7	Ubrzanje	Maksimum za penjanje	ZERO		1000	250	
727D15	DEFAULT	2	8	Penjanje	Maksimum za penjanje	ZERO	5500			
727D15	DEFAULT	2	9	Penjanje	Maksimum za penjanje	ZERO	7500			



ThoriumSoftware d.o.o.

Mobile: +385 (0) 95 8 70 50 70
 Kontakt: Dario Ilija Rendulić
 Email:
[info@thoriumsoftware.eu;](mailto:info@thoriumsoftware.eu)
direndulic@gmail.com

727D15	DEFAULT	2	10	Penjanje	Maksimum za penjanje	ZERO	10000			
727D15	DEFAULT	3	1	Uzlijetanje	Maksimum za uzlijetanje	5				
727D15	DEFAULT	3	2	Penjanje	Maksimum za uzlijetanje	5	1000			
727D15	DEFAULT	3	3	Ubrzanje	Maksimum za uzlijetanje	5		1177	175	
727D15	DEFAULT	3	4	Ubrzanje	Maksimum za uzlijetanje	2		1177	205	
727D15	DEFAULT	3	5	Ubrzanje	Maksimum za penjanje	ZERO		1000	215	
727D15	DEFAULT	3	6	Penjanje	Maksimum za penjanje	ZERO	3000			
727D15	DEFAULT	3	7	Ubrzanje	Maksimum za penjanje	ZERO		1000	250	
727D15	DEFAULT	3	8	Penjanje	Maksimum za penjanje	ZERO	5500			
727D15	DEFAULT	3	9	Penjanje	Maksimum za penjanje	ZERO	7500			
727D15	DEFAULT	3	10	Penjanje	Maksimum za penjanje	ZERO	10000			
727D15	DEFAULT	4	1	Uzlijetanje	Maksimum za uzlijetanje	5				
727D15	DEFAULT	4	2	Penjanje	Maksimum za uzlijetanje	5	1000			
727D15	DEFAULT	4	3	Ubrzanje	Maksimum za uzlijetanje	5		1057	180	
727D15	DEFAULT	4	4	Ubrzanje	Maksimum za uzlijetanje	2		1057	210	
727D15	DEFAULT	4	5	Ubrzanje	Maksimum za penjanje	ZERO		1000	220	
727D15	DEFAULT	4	6	Penjanje	Maksimum za penjanje	ZERO	3000			
727D15	DEFAULT	4	7	Ubrzanje	Maksimum za penjanje	ZERO		1000	250	
727D15	DEFAULT	4	8	Penjanje	Maksimum za penjanje	ZERO	5500			
727D15	DEFAULT	4	9	Penjanje	Maksimum za penjanje	ZERO	7500			



ThoriumSoftware d.o.o.

Mobile: +385 (0) 95 8 70 50 70
 Kontakt: Dario Ilija Rendulić
 Email:
[info@thoriumsoftware.eu;](mailto:info@thoriumsoftware.eu)
direndulic@gmail.com

727D15	DEFAULT	4	10	Penjanje	Maksimum za penjanje	ZERO	10000			
727D15	DEFAULT	5	1	Uzlijetanje	Maksimum za uzlijetanje	5				
727D15	DEFAULT	5	2	Penjanje	Maksimum za uzlijetanje	5	1000			
727D15	DEFAULT	5	3	Ubrzanje	Maksimum za uzlijetanje	2		941	210	
727D15	DEFAULT	5	4	Ubrzanje	Maksimum za penjanje	ZERO		1000	220	
727D15	DEFAULT	5	5	Penjanje	Maksimum za penjanje	ZERO	3000			
727D15	DEFAULT	5	6	Ubrzanje	Maksimum za penjanje	ZERO		1000	250	
727D15	DEFAULT	5	7	Penjanje	Maksimum za penjanje	ZERO	5500			
727D15	DEFAULT	5	8	Penjanje	Maksimum za penjanje	ZERO	7500			
727D15	DEFAULT	5	9	Penjanje	Maksimum za penjanje	ZERO	10000			
727D17	DEFAULT	1	1	Uzlijetanje	Maksimum za uzlijetanje	5				
727D17	DEFAULT	1	2	Penjanje	Maksimum za uzlijetanje	5	1000			
727D17	DEFAULT	1	3	Ubrzanje	Maksimum za uzlijetanje	5		1465	170	
727D17	DEFAULT	1	4	Ubrzanje	Maksimum za uzlijetanje	2		1465	200	
727D17	DEFAULT	1	5	Ubrzanje	Maksimum za penjanje	ZERO		1000	210	
727D17	DEFAULT	1	6	Penjanje	Maksimum za penjanje	ZERO	3000			
727D17	DEFAULT	1	7	Ubrzanje	Maksimum za penjanje	ZERO		1000	250	
727D17	DEFAULT	1	8	Penjanje	Maksimum za penjanje	ZERO	5500			
727D17	DEFAULT	1	9	Penjanje	Maksimum za penjanje	ZERO	7500			
727D17	DEFAULT	1	10	Penjanje	Maksimum za penjanje	ZERO	10000			



ThoriumSoftware d.o.o.

Mobile: +385 (0) 95 8 70 50 70
 Kontakt: Dario Ilija Rendulić
 Email:
[info@thoriumsoftware.eu;](mailto:info@thoriumsoftware.eu)
direndulic@gmail.com

727D17	DEFAULT	2	1	Uzljetanje	Maksimum za uzljetanje	5				
727D17	DEFAULT	2	2	Penjanje	Maksimum za uzljetanje	5	1000			
727D17	DEFAULT	2	3	Ubrzanje	Maksimum za uzljetanje	5		1340	175	
727D17	DEFAULT	2	4	Ubrzanje	Maksimum za uzljetanje	2		1340	205	
727D17	DEFAULT	2	5	Ubrzanje	Maksimum za penjanje	ZERO		1000	215	
727D17	DEFAULT	2	6	Penjanje	Maksimum za penjanje	ZERO	3000			
727D17	DEFAULT	2	7	Ubrzanje	Maksimum za penjanje	ZERO		1000	250	
727D17	DEFAULT	2	8	Penjanje	Maksimum za penjanje	ZERO	5500			
727D17	DEFAULT	2	9	Penjanje	Maksimum za penjanje	ZERO	7500			
727D17	DEFAULT	2	10	Penjanje	Maksimum za penjanje	ZERO	10000			
727D17	DEFAULT	3	1	Uzljetanje	Maksimum za uzljetanje	5				
727D17	DEFAULT	3	2	Penjanje	Maksimum za uzljetanje	5	1000			
727D17	DEFAULT	3	3	Ubrzanje	Maksimum za uzljetanje	5		1236	180	
727D17	DEFAULT	3	4	Ubrzanje	Maksimum za uzljetanje	2		1236	210	
727D17	DEFAULT	3	5	Ubrzanje	Maksimum za penjanje	ZERO		1000	220	
727D17	DEFAULT	3	6	Penjanje	Maksimum za penjanje	ZERO	3000			
727D17	DEFAULT	3	7	Ubrzanje	Maksimum za penjanje	ZERO		1000	250	
727D17	DEFAULT	3	8	Penjanje	Maksimum za penjanje	ZERO	5500			
727D17	DEFAULT	3	9	Penjanje	Maksimum za penjanje	ZERO	7500			
727D17	DEFAULT	3	10	Penjanje	Maksimum za penjanje	ZERO	10000			

727D17	DEFAULT	4	1	Uzljetanje	Maksimum za uzljetanje	5				
727D17	DEFAULT	4	2	Penjanje	Maksimum za uzljetanje	5	1000			
727D17	DEFAULT	4	3	Ubrzanje	Maksimum za uzljetanje	5		1158	180	
727D17	DEFAULT	4	4	Ubrzanje	Maksimum za uzljetanje	2		1158	210	
727D17	DEFAULT	4	5	Ubrzanje	Maksimum za penjanje	ZERO		1000	220	
727D17	DEFAULT	4	6	Penjanje	Maksimum za penjanje	ZERO	3000			
727D17	DEFAULT	4	7	Ubrzanje	Maksimum za penjanje	ZERO		1000	250	
727D17	DEFAULT	4	8	Penjanje	Maksimum za penjanje	ZERO	5500			
727D17	DEFAULT	4	9	Penjanje	Maksimum za penjanje	ZERO	7500			
727D17	DEFAULT	4	10	Penjanje	Maksimum za penjanje	ZERO	10000			
727EM1	DEFAULT	1	1	Uzljetanje	Maksimum za uzljetanje	5				
727EM1	DEFAULT	1	2	Penjanje	Maksimum za uzljetanje	5	1000			
727EM1	DEFAULT	1	3	Ubrzanje	Maksimum za uzljetanje	5		1342	160	
727EM1	DEFAULT	1	4	Ubrzanje	Maksimum za uzljetanje	2		1342	190	
727EM1	DEFAULT	1	5	Ubrzanje	Maksimum za penjanje	ZERO		1000	200	
727EM1	DEFAULT	1	6	Penjanje	Maksimum za penjanje	ZERO	3000			
727EM1	DEFAULT	1	7	Ubrzanje	Maksimum za penjanje	ZERO		1000	250	
727EM1	DEFAULT	1	8	Penjanje	Maksimum za penjanje	ZERO	5500			
727EM1	DEFAULT	1	9	Penjanje	Maksimum za penjanje	ZERO	7500			
727EM1	DEFAULT	1	10	Penjanje	Maksimum za penjanje	ZERO	10000			

727EM1	DEFAULT	2	1	Uzljetanje	Maksimum za uzljetanje	5				
727EM1	DEFAULT	2	2	Penjanje	Maksimum za uzljetanje	5	1000			
727EM1	DEFAULT	2	3	Ubrzanje	Maksimum za uzljetanje	5		1265	160	
727EM1	DEFAULT	2	4	Ubrzanje	Maksimum za uzljetanje	2		1265	190	
727EM1	DEFAULT	2	5	Ubrzanje	Maksimum za penjanje	ZERO		1000	200	
727EM1	DEFAULT	2	6	Penjanje	Maksimum za penjanje	ZERO	3000			
727EM1	DEFAULT	2	7	Ubrzanje	Maksimum za penjanje	ZERO		1000	250	
727EM1	DEFAULT	2	8	Penjanje	Maksimum za penjanje	ZERO	5500			
727EM1	DEFAULT	2	9	Penjanje	Maksimum za penjanje	ZERO	7500			
727EM1	DEFAULT	2	10	Penjanje	Maksimum za penjanje	ZERO	10000			
727EM1	DEFAULT	3	1	Uzljetanje	Maksimum za uzljetanje	5				
727EM1	DEFAULT	3	2	Penjanje	Maksimum za uzljetanje	5	1000			
727EM1	DEFAULT	3	3	Ubrzanje	Maksimum za uzljetanje	5		1192	165	
727EM1	DEFAULT	3	4	Ubrzanje	Maksimum za uzljetanje	2		1192	195	
727EM1	DEFAULT	3	5	Ubrzanje	Maksimum za penjanje	ZERO		1000	205	
727EM1	DEFAULT	3	6	Penjanje	Maksimum za penjanje	ZERO	3000			
727EM1	DEFAULT	3	7	Ubrzanje	Maksimum za penjanje	ZERO		1000	250	
727EM1	DEFAULT	3	8	Penjanje	Maksimum za penjanje	ZERO	5500			
727EM1	DEFAULT	3	9	Penjanje	Maksimum za penjanje	ZERO	7500			
727EM1	DEFAULT	3	10	Penjanje	Maksimum za penjanje	ZERO	10000			



ThoriumSoftware d.o.o.

Mobile: +385 (0) 95 8 70 50 70
 Kontakt: Dario Ilija Rendulić
 Email:
[info@thoriumsoftware.eu;](mailto:info@thoriumsoftware.eu)
direndulic@gmail.com

727EM1	DEFAULT	4	1	Uzljetanje	Maksimum za uzljetanje	5				
727EM1	DEFAULT	4	2	Penjanje	Maksimum za uzljetanje	5	1000			
727EM1	DEFAULT	4	3	Ubrzanje	Maksimum za uzljetanje	5		1115	170	
727EM1	DEFAULT	4	4	Ubrzanje	Maksimum za uzljetanje	2		1115	200	
727EM1	DEFAULT	4	5	Ubrzanje	Maksimum za penjanje	ZERO		1000	210	
727EM1	DEFAULT	4	6	Penjanje	Maksimum za penjanje	ZERO	3000			
727EM1	DEFAULT	4	7	Ubrzanje	Maksimum za penjanje	ZERO		1000	250	
727EM1	DEFAULT	4	8	Penjanje	Maksimum za penjanje	ZERO	5500			
727EM1	DEFAULT	4	9	Penjanje	Maksimum za penjanje	ZERO	7500			
727EM1	DEFAULT	4	10	Penjanje	Maksimum za penjanje	ZERO	10000			
727EM2	DEFAULT	1	1	Uzljetanje	Maksimum za uzljetanje	5				
727EM2	DEFAULT	1	2	Penjanje	Maksimum za uzljetanje	5	1000			
727EM2	DEFAULT	1	3	Ubrzanje	Maksimum za uzljetanje	5		1363	170	
727EM2	DEFAULT	1	4	Ubrzanje	Maksimum za uzljetanje	2		1363	200	
727EM2	DEFAULT	1	5	Ubrzanje	Maksimum za penjanje	ZERO		1000	210	
727EM2	DEFAULT	1	6	Penjanje	Maksimum za penjanje	ZERO	3000			
727EM2	DEFAULT	1	7	Ubrzanje	Maksimum za penjanje	ZERO		1000	250	
727EM2	DEFAULT	1	8	Penjanje	Maksimum za penjanje	ZERO	5500			
727EM2	DEFAULT	1	9	Penjanje	Maksimum za penjanje	ZERO	7500			
727EM2	DEFAULT	1	10	Penjanje	Maksimum za penjanje	ZERO	10000			



ThoriumSoftware d.o.o.

Mobile: +385 (0) 95 8 70 50 70
 Kontakt: Dario Ilija Rendulić
 Email:
[info@thoriumsoftware.eu;](mailto:info@thoriumsoftware.eu)
direndulic@gmail.com

727EM2	DEFAULT	2	1	Uzlijetanje	Maksimum za uzlijetanje	5				
727EM2	DEFAULT	2	2	Penjanje	Maksimum za uzlijetanje	5	1000			
727EM2	DEFAULT	2	3	Ubrzanje	Maksimum za uzlijetanje	5		1281	170	
727EM2	DEFAULT	2	4	Ubrzanje	Maksimum za uzlijetanje	2		1281	200	
727EM2	DEFAULT	2	5	Ubrzanje	Maksimum za penjanje	ZERO		1000	210	
727EM2	DEFAULT	2	6	Penjanje	Maksimum za penjanje	ZERO	3000			
727EM2	DEFAULT	2	7	Ubrzanje	Maksimum za penjanje	ZERO		1000	250	
727EM2	DEFAULT	2	8	Penjanje	Maksimum za penjanje	ZERO	5500			
727EM2	DEFAULT	2	9	Penjanje	Maksimum za penjanje	ZERO	7500			
727EM2	DEFAULT	2	10	Penjanje	Maksimum za penjanje	ZERO	10000			
727EM2	DEFAULT	3	1	Uzlijetanje	Maksimum za uzlijetanje	5				
727EM2	DEFAULT	3	2	Penjanje	Maksimum za uzlijetanje	5	1000			
727EM2	DEFAULT	3	3	Ubrzanje	Maksimum za uzlijetanje	5		1177	175	
727EM2	DEFAULT	3	4	Ubrzanje	Maksimum za uzlijetanje	2		1177	205	
727EM2	DEFAULT	3	5	Ubrzanje	Maksimum za penjanje	ZERO		1000	215	
727EM2	DEFAULT	3	6	Penjanje	Maksimum za penjanje	ZERO	3000			
727EM2	DEFAULT	3	7	Ubrzanje	Maksimum za penjanje	ZERO		1000	250	
727EM2	DEFAULT	3	8	Penjanje	Maksimum za penjanje	ZERO	5500			
727EM2	DEFAULT	3	9	Penjanje	Maksimum za penjanje	ZERO	7500			
727EM2	DEFAULT	3	10	Penjanje	Maksimum za penjanje	ZERO	10000			



ThoriumSoftware d.o.o.

Mobile: +385 (0) 95 8 70 50 70
 Kontakt: Dario Ilija Rendulić
 Email:
[info@thoriumsoftware.eu;](mailto:info@thoriumsoftware.eu)
direndulic@gmail.com

727EM2	DEFAULT	4	1	Uzlijetanje	Maksimum za uzlijetanje	5				
727EM2	DEFAULT	4	2	Penjanje	Maksimum za uzlijetanje	5	1000			
727EM2	DEFAULT	4	3	Ubrzanje	Maksimum za uzlijetanje	5		1057	180	
727EM2	DEFAULT	4	4	Ubrzanje	Maksimum za uzlijetanje	2		1057	210	
727EM2	DEFAULT	4	5	Ubrzanje	Maksimum za penjanje	ZERO		1000	220	
727EM2	DEFAULT	4	6	Penjanje	Maksimum za penjanje	ZERO	3000			
727EM2	DEFAULT	4	7	Ubrzanje	Maksimum za penjanje	ZERO		1000	250	
727EM2	DEFAULT	4	8	Penjanje	Maksimum za penjanje	ZERO	5500			
727EM2	DEFAULT	4	9	Penjanje	Maksimum za penjanje	ZERO	7500			
727EM2	DEFAULT	4	10	Penjanje	Maksimum za penjanje	ZERO	10000			
727EM2	DEFAULT	5	1	Uzlijetanje	Maksimum za uzlijetanje	5				
727EM2	DEFAULT	5	2	Penjanje	Maksimum za uzlijetanje	5	1000			
727EM2	DEFAULT	5	3	Ubrzanje	Maksimum za uzlijetanje	2		941	210	
727EM2	DEFAULT	5	4	Ubrzanje	Maksimum za penjanje	ZERO		1000	220	
727EM2	DEFAULT	5	5	Penjanje	Maksimum za penjanje	ZERO	3000			
727EM2	DEFAULT	5	6	Ubrzanje	Maksimum za penjanje	ZERO		1000	250	
727EM2	DEFAULT	5	7	Penjanje	Maksimum za penjanje	ZERO	5500			
727EM2	DEFAULT	5	8	Penjanje	Maksimum za penjanje	ZERO	7500			
727EM2	DEFAULT	5	9	Penjanje	Maksimum za penjanje	ZERO	10000			
727Q15	DEFAULT	1	1	Uzlijetanje	Maksimum za uzlijetanje	5				



ThoriumSoftware d.o.o.

Mobile: +385 (0) 95 8 70 50 70
 Kontakt: Dario Ilija Rendulić
 Email:
[info@thoriumsoftware.eu;](mailto:info@thoriumsoftware.eu)
direndulic@gmail.com

727Q15	DEFAULT	1	2	Penjanje	Maksimum za uzlijetanje	5	1000			
727Q15	DEFAULT	1	3	Ubrzanje	Maksimum za uzlijetanje	5		1363	170	
727Q15	DEFAULT	1	4	Ubrzanje	Maksimum za uzlijetanje	2		1363	200	
727Q15	DEFAULT	1	5	Ubrzanje	Maksimum za penjanje	ZERO		1000	210	
727Q15	DEFAULT	1	6	Penjanje	Maksimum za penjanje	ZERO	3000			
727Q15	DEFAULT	1	7	Ubrzanje	Maksimum za penjanje	ZERO		1000	250	
727Q15	DEFAULT	1	8	Penjanje	Maksimum za penjanje	ZERO	5500			
727Q15	DEFAULT	1	9	Penjanje	Maksimum za penjanje	ZERO	7500			
727Q15	DEFAULT	1	10	Penjanje	Maksimum za penjanje	ZERO	10000			
727Q15	DEFAULT	2	1	Uzlijetanje	Maksimum za uzlijetanje	5				
727Q15	DEFAULT	2	2	Penjanje	Maksimum za uzlijetanje	5	1000			
727Q15	DEFAULT	2	3	Ubrzanje	Maksimum za uzlijetanje	5		1281	170	
727Q15	DEFAULT	2	4	Ubrzanje	Maksimum za uzlijetanje	2		1281	200	
727Q15	DEFAULT	2	5	Ubrzanje	Maksimum za penjanje	ZERO		1000	210	
727Q15	DEFAULT	2	6	Penjanje	Maksimum za penjanje	ZERO	3000			
727Q15	DEFAULT	2	7	Ubrzanje	Maksimum za penjanje	ZERO		1000	250	
727Q15	DEFAULT	2	8	Penjanje	Maksimum za penjanje	ZERO	5500			
727Q15	DEFAULT	2	9	Penjanje	Maksimum za penjanje	ZERO	7500			
727Q15	DEFAULT	2	10	Penjanje	Maksimum za penjanje	ZERO	10000			
727Q15	DEFAULT	3	1	Uzlijetanje	Maksimum za uzlijetanje	5				



ThoriumSoftware d.o.o.

Mobile: +385 (0) 95 8 70 50 70
 Kontakt: Dario Ilija Rendulić
 Email:
[info@thoriumsoftware.eu;](mailto:info@thoriumsoftware.eu)
direndulic@gmail.com

727Q15	DEFAULT	3	2	Penjanje	Maksimum za uzlijetanje	5	1000			
727Q15	DEFAULT	3	3	Ubrzanje	Maksimum za uzlijetanje	5		1177	175	
727Q15	DEFAULT	3	4	Ubrzanje	Maksimum za uzlijetanje	2		1177	205	
727Q15	DEFAULT	3	5	Ubrzanje	Maksimum za penjanje	ZERO		1000	215	
727Q15	DEFAULT	3	6	Penjanje	Maksimum za penjanje	ZERO	3000			
727Q15	DEFAULT	3	7	Ubrzanje	Maksimum za penjanje	ZERO		1000	250	
727Q15	DEFAULT	3	8	Penjanje	Maksimum za penjanje	ZERO	5500			
727Q15	DEFAULT	3	9	Penjanje	Maksimum za penjanje	ZERO	7500			
727Q15	DEFAULT	3	10	Penjanje	Maksimum za penjanje	ZERO	10000			

727Q15	DEFAULT	4	1	Uzlijetanje	Maksimum za uzlijetanje	5				
727Q15	DEFAULT	4	2	Penjanje	Maksimum za uzlijetanje	5	1000			
727Q15	DEFAULT	4	3	Ubrzanje	Maksimum za uzlijetanje	5		1057	180	
727Q15	DEFAULT	4	4	Ubrzanje	Maksimum za uzlijetanje	2		1057	210	
727Q15	DEFAULT	4	5	Ubrzanje	Maksimum za penjanje	ZERO		1000	220	
727Q15	DEFAULT	4	6	Penjanje	Maksimum za penjanje	ZERO	3000			
727Q15	DEFAULT	4	7	Ubrzanje	Maksimum za penjanje	ZERO		1000	250	
727Q15	DEFAULT	4	8	Penjanje	Maksimum za penjanje	ZERO	5500			
727Q15	DEFAULT	4	9	Penjanje	Maksimum za penjanje	ZERO	7500			
727Q15	DEFAULT	4	10	Penjanje	Maksimum za penjanje	ZERO	10000			
727Q15	DEFAULT	5	1	Uzlijetanje	Maksimum za uzlijetanje	5				
727Q15	DEFAULT	5	2	Penjanje	Maksimum za uzlijetanje	5	1000			
727Q15	DEFAULT	5	3	Ubrzanje	Maksimum za uzlijetanje	2		941	210	
727Q15	DEFAULT	5	4	Ubrzanje	Maksimum za penjanje	ZERO		1000	220	



ThoriumSoftware d.o.o.

Mobile: +385 (0) 95 8 70 50 70
 Kontakt: Dario Ilija Rendulić
 Email:
[info@thoriumsoftware.eu;](mailto:info@thoriumsoftware.eu)
direndulic@gmail.com

727Q15	DEFAULT	5	5	Penjanje	Maksimum za penjanje	ZERO	3000			
727Q15	DEFAULT	5	6	Ubrzanje	Maksimum za penjanje	ZERO		1000	250	
727Q15	DEFAULT	5	7	Penjanje	Maksimum za penjanje	ZERO	5500			
727Q15	DEFAULT	5	8	Penjanje	Maksimum za penjanje	ZERO	7500			
727Q15	DEFAULT	5	9	Penjanje	Maksimum za penjanje	ZERO	10000			
727Q7	DEFAULT	1	1	Uzlijetanje	Maksimum za uzlijetanje	5				
727Q7	DEFAULT	1	2	Penjanje	Maksimum za uzlijetanje	5	1000			
727Q7	DEFAULT	1	3	Ubrzanje	Maksimum za uzlijetanje	5		1342	160	
727Q7	DEFAULT	1	4	Ubrzanje	Maksimum za uzlijetanje	2		1342	190	
727Q7	DEFAULT	1	5	Ubrzanje	Maksimum za penjanje	ZERO		1000	200	
727Q7	DEFAULT	1	6	Penjanje	Maksimum za penjanje	ZERO	3000			
727Q7	DEFAULT	1	7	Ubrzanje	Maksimum za penjanje	ZERO		1000	250	
727Q7	DEFAULT	1	8	Penjanje	Maksimum za penjanje	ZERO	5500			
727Q7	DEFAULT	1	9	Penjanje	Maksimum za penjanje	ZERO	7500			
727Q7	DEFAULT	1	10	Penjanje	Maksimum za penjanje	ZERO	10000			
727Q7	DEFAULT	2	1	Uzlijetanje	Maksimum za uzlijetanje	5				
727Q7	DEFAULT	2	2	Penjanje	Maksimum za uzlijetanje	5	1000			
727Q7	DEFAULT	2	3	Ubrzanje	Maksimum za uzlijetanje	5		1265	160	
727Q7	DEFAULT	2	4	Ubrzanje	Maksimum za uzlijetanje	2		1265	190	
727Q7	DEFAULT	2	5	Ubrzanje	Maksimum za penjanje	ZERO		1000	200	
727Q7	DEFAULT	2	6	Penjanje	Maksimum za penjanje	ZERO	3000			
727Q7	DEFAULT	2	7	Ubrzanje	Maksimum za penjanje	ZERO		1000	250	
727Q7	DEFAULT	2	8	Penjanje	Maksimum za penjanje	ZERO	5500			
727Q7	DEFAULT	2	9	Penjanje	Maksimum za penjanje	ZERO	7500			
727Q7	DEFAULT	2	10	Penjanje	Maksimum za penjanje	ZERO	10000			
727Q7	DEFAULT	3	1	Uzlijetanje	Maksimum za uzlijetanje	5				
727Q7	DEFAULT	3	2	Penjanje	Maksimum za uzlijetanje	5	1000			
727Q7	DEFAULT	3	3	Ubrzanje	Maksimum za uzlijetanje	5		1192	165	



ThoriumSoftware d.o.o.

Mobile: +385 (0) 95 8 70 50 70
 Kontakt: Dario Ilija Rendulić
 Email:
[info@thoriumsoftware.eu;](mailto:info@thoriumsoftware.eu)
direndulic@gmail.com

727Q7	DEFAULT	3	4	Ubrzanje	Maksimum za uzlijetanje	2		1192	195	
727Q7	DEFAULT	3	5	Ubrzanje	Maksimum za penjanje	ZERO		1000	205	
727Q7	DEFAULT	3	6	Penjanje	Maksimum za penjanje	ZERO	3000			
727Q7	DEFAULT	3	7	Ubrzanje	Maksimum za penjanje	ZERO		1000	250	
727Q7	DEFAULT	3	8	Penjanje	Maksimum za penjanje	ZERO	5500			
727Q7	DEFAULT	3	9	Penjanje	Maksimum za penjanje	ZERO	7500			
727Q7	DEFAULT	3	10	Penjanje	Maksimum za penjanje	ZERO	10000			
727Q7	DEFAULT	4	1	Uzlijetanje	Maksimum za uzlijetanje	5				
727Q7	DEFAULT	4	2	Penjanje	Maksimum za uzlijetanje	5	1000			
727Q7	DEFAULT	4	3	Ubrzanje	Maksimum za uzlijetanje	5		1115	170	
727Q7	DEFAULT	4	4	Ubrzanje	Maksimum za uzlijetanje	2		1115	200	
727Q7	DEFAULT	4	5	Ubrzanje	Maksimum za penjanje	ZERO		1000	210	
727Q7	DEFAULT	4	6	Penjanje	Maksimum za penjanje	ZERO	3000			
727Q7	DEFAULT	4	7	Ubrzanje	Maksimum za penjanje	ZERO		1000	250	
727Q7	DEFAULT	4	8	Penjanje	Maksimum za penjanje	ZERO	5500			
727Q7	DEFAULT	4	9	Penjanje	Maksimum za penjanje	ZERO	7500			
727Q7	DEFAULT	4	10	Penjanje	Maksimum za penjanje	ZERO	10000			
727Q9	DEFAULT	1	1	Uzlijetanje	Maksimum za uzlijetanje	5				
727Q9	DEFAULT	1	2	Penjanje	Maksimum za uzlijetanje	5	1000			
727Q9	DEFAULT	1	3	Ubrzanje	Maksimum za uzlijetanje	5		1539	170	
727Q9	DEFAULT	1	4	Ubrzanje	Maksimum za uzlijetanje	2		1539	200	
727Q9	DEFAULT	1	5	Ubrzanje	Maksimum za penjanje	ZERO		1000	210	
727Q9	DEFAULT	1	6	Penjanje	Maksimum za penjanje	ZERO	3000			
727Q9	DEFAULT	1	7	Ubrzanje	Maksimum za penjanje	ZERO		1000	250	
727Q9	DEFAULT	1	8	Penjanje	Maksimum za penjanje	ZERO	5500			
727Q9	DEFAULT	1	9	Penjanje	Maksimum za penjanje	ZERO	7500			
727Q9	DEFAULT	1	10	Penjanje	Maksimum za penjanje	ZERO	10000			
727Q9	DEFAULT	2	1	Uzlijetanje	Maksimum za uzlijetanje	5				



ThoriumSoftware d.o.o.

Mobile: +385 (0) 95 8 70 50 70
 Kontakt: Dario Ilija Rendulić
 Email:
[info@thoriumsoftware.eu;](mailto:info@thoriumsoftware.eu)
direndulic@gmail.com

727Q9	DEFAULT	2	2	Penjanje	Maksimum za uzlijetanje	5	1000			
727Q9	DEFAULT	2	3	Ubrzanje	Maksimum za uzlijetanje	5		1390	170	
727Q9	DEFAULT	2	4	Ubrzanje	Maksimum za uzlijetanje	2		1390	200	
727Q9	DEFAULT	2	5	Ubrzanje	Maksimum za penjanje	ZERO		1000	210	
727Q9	DEFAULT	2	6	Penjanje	Maksimum za penjanje	ZERO	3000			
727Q9	DEFAULT	2	7	Ubrzanje	Maksimum za penjanje	ZERO		1000	250	
727Q9	DEFAULT	2	8	Penjanje	Maksimum za penjanje	ZERO	5500			
727Q9	DEFAULT	2	9	Penjanje	Maksimum za penjanje	ZERO	7500			
727Q9	DEFAULT	2	10	Penjanje	Maksimum za penjanje	ZERO	10000			
727Q9	DEFAULT	3	1	Uzlijetanje	Maksimum za uzlijetanje	5				
727Q9	DEFAULT	3	2	Penjanje	Maksimum za uzlijetanje	5	1000			
727Q9	DEFAULT	3	3	Ubrzanje	Maksimum za uzlijetanje	5		1255	180	
727Q9	DEFAULT	3	4	Ubrzanje	Maksimum za uzlijetanje	2		1255	210	
727Q9	DEFAULT	3	5	Ubrzanje	Maksimum za penjanje	ZERO		1000	220	
727Q9	DEFAULT	3	6	Penjanje	Maksimum za penjanje	ZERO	3000			
727Q9	DEFAULT	3	7	Ubrzanje	Maksimum za penjanje	ZERO		1000	250	
727Q9	DEFAULT	3	8	Penjanje	Maksimum za penjanje	ZERO	5500			
727Q9	DEFAULT	3	9	Penjanje	Maksimum za penjanje	ZERO	7500			
727Q9	DEFAULT	3	10	Penjanje	Maksimum za penjanje	ZERO	10000			
727Q9	DEFAULT	4	1	Uzlijetanje	Maksimum za uzlijetanje	5				
727Q9	DEFAULT	4	2	Penjanje	Maksimum za uzlijetanje	5	1000			
727Q9	DEFAULT	4	3	Ubrzanje	Maksimum za uzlijetanje	2		855	210	
727Q9	DEFAULT	4	4	Ubrzanje	Maksimum za penjanje	ZERO		1000	220	
727Q9	DEFAULT	4	5	Penjanje	Maksimum za penjanje	ZERO	3000			
727Q9	DEFAULT	4	6	Ubrzanje	Maksimum za penjanje	ZERO		1000	250	
727Q9	DEFAULT	4	7	Penjanje	Maksimum za penjanje	ZERO	5500			
727Q9	DEFAULT	4	8	Penjanje	Maksimum za penjanje	ZERO	7500			
727Q9	DEFAULT	4	9	Penjanje	Maksimum za penjanje	ZERO	10000			

727QF	DEFAULT	1	1	Uzlijetanje	Maksimum za uzlijetanje	5				
727QF	DEFAULT	1	2	Penjanje	Maksimum za uzlijetanje	5	1000			
727QF	DEFAULT	1	3	Ubrzanje	Maksimum za uzlijetanje	5		1000	175	
727QF	DEFAULT	1	4	Ubrzanje	Maksimum za uzlijetanje	2		1000	190	
727QF	DEFAULT	1	5	Ubrzanje	Maksimum za uzlijetanje	ZERO		1000	200	
727QF	DEFAULT	1	6	Penjanje	Maksimum za trajnu upotrebu	ZERO	3000			
727QF	DEFAULT	1	7	Ubrzanje	Maksimum za trajnu upotrebu	ZERO		1000	250	
727QF	DEFAULT	1	8	Penjanje	Maksimum za penjanje	ZERO	5500			
727QF	DEFAULT	1	9	Penjanje	Maksimum za penjanje	ZERO	7500			
727QF	DEFAULT	1	10	Penjanje	Maksimum za penjanje	ZERO	10000			
727QF	DEFAULT	2	1	Uzlijetanje	Maksimum za uzlijetanje	5				
727QF	DEFAULT	2	2	Penjanje	Maksimum za uzlijetanje	5	1000			
727QF	DEFAULT	2	3	Ubrzanje	Maksimum za uzlijetanje	5		1000	180	
727QF	DEFAULT	2	4	Ubrzanje	Maksimum za uzlijetanje	2		1000	190	
727QF	DEFAULT	2	5	Ubrzanje	Maksimum za uzlijetanje	ZERO		1000	200	
727QF	DEFAULT	2	6	Penjanje	Maksimum za trajnu upotrebu	ZERO	3000			
727QF	DEFAULT	2	7	Ubrzanje	Maksimum za trajnu upotrebu	ZERO		1000	250	
727QF	DEFAULT	2	8	Penjanje	Maksimum za penjanje	ZERO	5500			
727QF	DEFAULT	2	9	Penjanje	Maksimum za penjanje	ZERO	7500			
727QF	DEFAULT	2	10	Penjanje	Maksimum za penjanje	ZERO	10000			
727QF	DEFAULT	3	1	Uzlijetanje	Maksimum za uzlijetanje	5				
727QF	DEFAULT	3	2	Penjanje	Maksimum za uzlijetanje	5	1000			
727QF	DEFAULT	3	3	Ubrzanje	Maksimum za uzlijetanje	5		1000	184	
727QF	DEFAULT	3	4	Ubrzanje	Maksimum za uzlijetanje	2		1000	190	
727QF	DEFAULT	3	5	Ubrzanje	Maksimum za uzlijetanje	ZERO		1000	200	
727QF	DEFAULT	3	6	Penjanje	Maksimum za trajnu upotrebu	ZERO	3000			
727QF	DEFAULT	3	7	Ubrzanje	Maksimum za trajnu upotrebu	ZERO		1000	250	
727QF	DEFAULT	3	8	Penjanje	Maksimum za penjanje	ZERO	5500			

727QF	DEFAULT	3	9	Penjanje	Maksimum za penjanje	ZERO	7500			
727QF	DEFAULT	3	10	Penjanje	Maksimum za penjanje	ZERO	10000			
727QF	DEFAULT	4	1	Uzlijetanje	Maksimum za uzlijetanje	5				
727QF	DEFAULT	4	2	Penjanje	Maksimum za uzlijetanje	5	1000			
727QF	DEFAULT	4	3	Ubrzanje	Maksimum za uzlijetanje	5		1000	189	
727QF	DEFAULT	4	4	Ubrzanje	Maksimum za uzlijetanje	2		1000	190	
727QF	DEFAULT	4	5	Ubrzanje	Maksimum za uzlijetanje	ZERO		1000	200	
727QF	DEFAULT	4	6	Penjanje	Maksimum za trajnu upotrebu	ZERO	3000			
727QF	DEFAULT	4	7	Ubrzanje	Maksimum za trajnu upotrebu	ZERO		1000	250	
727QF	DEFAULT	4	8	Penjanje	Maksimum za penjanje	ZERO	5500			
727QF	DEFAULT	4	9	Penjanje	Maksimum za penjanje	ZERO	7500			
727QF	DEFAULT	4	10	Penjanje	Maksimum za penjanje	ZERO	10000			
737	DEFAULT	1	1	Uzlijetanje	Maksimum za uzlijetanje	5				
737	DEFAULT	1	2	Penjanje	Maksimum za uzlijetanje	5	1000			
737	DEFAULT	1	3	Ubrzanje	Maksimum za uzlijetanje	5		2090	146	
737	DEFAULT	1	4	Ubrzanje	Maksimum za uzlijetanje	INT		1568	171	
737	DEFAULT	1	5	Ubrzanje	Maksimum za penjanje	ZERO		1000	210	
737	DEFAULT	1	6	Penjanje	Maksimum za penjanje	ZERO	3000			
737	DEFAULT	1	7	Ubrzanje	Maksimum za penjanje	ZERO		1000	250	
737	DEFAULT	1	8	Penjanje	Maksimum za penjanje	ZERO	5500			
737	DEFAULT	1	9	Penjanje	Maksimum za penjanje	ZERO	7500			
737	DEFAULT	1	10	Penjanje	Maksimum za penjanje	ZERO	10000			
737	DEFAULT	2	1	Uzlijetanje	Maksimum za uzlijetanje	5				
737	DEFAULT	2	2	Penjanje	Maksimum za uzlijetanje	5	1000			
737	DEFAULT	2	3	Ubrzanje	Maksimum za uzlijetanje	5		2014	149	
737	DEFAULT	2	4	Ubrzanje	Maksimum za uzlijetanje	INT		1511	174	
737	DEFAULT	2	5	Ubrzanje	Maksimum za penjanje	ZERO		1000	210	
737	DEFAULT	2	6	Penjanje	Maksimum za penjanje	ZERO	3000			



ThoriumSoftware d.o.o.

Mobile: +385 (0) 95 8 70 50 70
 Kontakt: Dario Ilija Rendulić
 Email:
[info@thoriumsoftware.eu;](mailto:info@thoriumsoftware.eu)
direndulic@gmail.com

737	DEFAULT	2	7	Ubrzanje	Maksimum za penjanje	ZERO		1000	250	
737	DEFAULT	2	8	Penjanje	Maksimum za penjanje	ZERO	5500			
737	DEFAULT	2	9	Penjanje	Maksimum za penjanje	ZERO	7500			
737	DEFAULT	2	10	Penjanje	Maksimum za penjanje	ZERO	10000			
737	DEFAULT	3	1	Uzljetanje	Maksimum za uzljetanje	5				
737	DEFAULT	3	2	Penjanje	Maksimum za uzljetanje	5	1000			
737	DEFAULT	3	3	Ubrzanje	Maksimum za uzljetanje	5		1851	154	
737	DEFAULT	3	4	Ubrzanje	Maksimum za uzljetanje	INT		1388	179	
737	DEFAULT	3	5	Ubrzanje	Maksimum za penjanje	ZERO		1000	210	
737	DEFAULT	3	6	Penjanje	Maksimum za penjanje	ZERO	3000			
737	DEFAULT	3	7	Ubrzanje	Maksimum za penjanje	ZERO		1000	250	
737	DEFAULT	3	8	Penjanje	Maksimum za penjanje	ZERO	5500			
737	DEFAULT	3	9	Penjanje	Maksimum za penjanje	ZERO	7500			
737	DEFAULT	3	10	Penjanje	Maksimum za penjanje	ZERO	10000			
737	DEFAULT	4	1	Uzljetanje	Maksimum za uzljetanje	5				
737	DEFAULT	4	2	Penjanje	Maksimum za uzljetanje	5	1000			
737	DEFAULT	4	3	Ubrzanje	Maksimum za uzljetanje	5		1685	160	
737	DEFAULT	4	4	Ubrzanje	Maksimum za uzljetanje	INT		1264	185	
737	DEFAULT	4	5	Ubrzanje	Maksimum za penjanje	ZERO		1000	210	
737	DEFAULT	4	6	Penjanje	Maksimum za penjanje	ZERO	3000			
737	DEFAULT	4	7	Ubrzanje	Maksimum za penjanje	ZERO		1000	250	
737	DEFAULT	4	8	Penjanje	Maksimum za penjanje	ZERO	5500			
737	DEFAULT	4	9	Penjanje	Maksimum za penjanje	ZERO	7500			
737	DEFAULT	4	10	Penjanje	Maksimum za penjanje	ZERO	10000			
737300	DEFAULT	1	1	Uzljetanje	Maksimum za uzljetanje	5				
737300	DEFAULT	1	2	Penjanje	Maksimum za uzljetanje	5	1000			
737300	DEFAULT	1	3	Ubrzanje	Maksimum za penjanje	5		1483,4	187,9	
737300	DEFAULT	1	4	Ubrzanje	Maksimum za penjanje	1		1684,6	205,5	

737300	DEFAULT	1	5	Ubrzanje	Maksimum za penjanje	ZERO		1815,6	220,5	
737300	DEFAULT	1	6	Penjanje	Maksimum za penjanje	ZERO	3000			
737300	DEFAULT	1	7	Ubrzanje	Maksimum za penjanje	ZERO		1892,6	250	
737300	DEFAULT	1	8	Penjanje	Maksimum za penjanje	ZERO	5500			
737300	DEFAULT	1	9	Penjanje	Maksimum za penjanje	ZERO	7500			
737300	DEFAULT	1	10	Penjanje	Maksimum za penjanje	ZERO	10000			
737300	DEFAULT	2	1	Uzlijetanje	Maksimum za uzlijetanje	5				
737300	DEFAULT	2	2	Penjanje	Maksimum za uzlijetanje	5	1000			
737300	DEFAULT	2	3	Ubrzanje	Maksimum za penjanje	5		1398,8	189,2	
737300	DEFAULT	2	4	Ubrzanje	Maksimum za penjanje	1		1579,3	204,5	
737300	DEFAULT	2	5	Ubrzanje	Maksimum za penjanje	ZERO		1700,5	220,5	
737300	DEFAULT	2	6	Penjanje	Maksimum za penjanje	ZERO	3000			
737300	DEFAULT	2	7	Ubrzanje	Maksimum za penjanje	ZERO		1774,1	250	
737300	DEFAULT	2	8	Penjanje	Maksimum za penjanje	ZERO	5500			
737300	DEFAULT	2	9	Penjanje	Maksimum za penjanje	ZERO	7500			
737300	DEFAULT	2	10	Penjanje	Maksimum za penjanje	ZERO	10000			
737300	DEFAULT	3	1	Uzlijetanje	Maksimum za uzlijetanje	5				
737300	DEFAULT	3	2	Penjanje	Maksimum za uzlijetanje	5	1000			
737300	DEFAULT	3	3	Ubrzanje	Maksimum za penjanje	5		1311,5	190,8	
737300	DEFAULT	3	4	Ubrzanje	Maksimum za penjanje	1		1487,2	213,2	
737300	DEFAULT	3	5	Ubrzanje	Maksimum za penjanje	ZERO		1609,4	220,5	
737300	DEFAULT	3	6	Penjanje	Maksimum za penjanje	ZERO	3000			
737300	DEFAULT	3	7	Ubrzanje	Maksimum za penjanje	ZERO		1657,6	250	
737300	DEFAULT	3	8	Penjanje	Maksimum za penjanje	ZERO	5500			
737300	DEFAULT	3	9	Penjanje	Maksimum za penjanje	ZERO	7500			
737300	DEFAULT	3	10	Penjanje	Maksimum za penjanje	ZERO	10000			
737300	DEFAULT	4	1	Uzlijetanje	Maksimum za uzlijetanje	5				
737300	DEFAULT	4	2	Penjanje	Maksimum za uzlijetanje	5	1000			



ThoriumSoftware d.o.o.

Mobile: +385 (0) 95 8 70 50 70
 Kontakt: Dario Ilija Rendulić
 Email:
[info@thoriumsoftware.eu;](mailto:info@thoriumsoftware.eu)
direndulic@gmail.com

737300	DEFAULT	4	3	Ubrzanje	Maksimum za penjanje	5		1154,7	194,6	
737300	DEFAULT	4	4	Ubrzanje	Maksimum za penjanje	1		1295,8	211,5	
737300	DEFAULT	4	5	Ubrzanje	Maksimum za penjanje	ZERO		1391,6	220,5	
737300	DEFAULT	4	6	Penjanje	Maksimum za penjanje	ZERO	3000			
737300	DEFAULT	4	7	Ubrzanje	Maksimum za penjanje	ZERO		1444,8	250	
737300	DEFAULT	4	8	Penjanje	Maksimum za penjanje	ZERO	5500			
737300	DEFAULT	4	9	Penjanje	Maksimum za penjanje	ZERO	7500			
737300	DEFAULT	4	10	Penjanje	Maksimum za penjanje	ZERO	10000			
737300	ICAO_A	1	1	Uzlijetanje	Maksimum za uzlijetanje	5				
737300	ICAO_A	1	2	Penjanje	Maksimum za uzlijetanje	5	1500			
737300	ICAO_A	1	3	Penjanje	Maksimum za penjanje	5	3000			
737300	ICAO_A	1	4	Ubrzanje	Maksimum za penjanje	5		1413,5	184,9	
737300	ICAO_A	1	5	Ubrzanje	Maksimum za penjanje	1		1601,4	203,9	
737300	ICAO_A	1	6	Ubrzanje	Maksimum za penjanje	ZERO		1821,6	250	
737300	ICAO_A	1	7	Penjanje	Maksimum za penjanje	ZERO	5500			
737300	ICAO_A	1	8	Penjanje	Maksimum za penjanje	ZERO	7500			
737300	ICAO_A	1	9	Penjanje	Maksimum za penjanje	ZERO	10000			
737300	ICAO_A	2	1	Uzlijetanje	Maksimum za uzlijetanje	5				
737300	ICAO_A	2	2	Penjanje	Maksimum za uzlijetanje	5	1500			
737300	ICAO_A	2	3	Penjanje	Maksimum za penjanje	5	3000			
737300	ICAO_A	2	4	Ubrzanje	Maksimum za penjanje	5		1332,5	186,4	
737300	ICAO_A	2	5	Ubrzanje	Maksimum za penjanje	1		1497,1	203	
737300	ICAO_A	2	6	Ubrzanje	Maksimum za penjanje	ZERO		1705,6	250	
737300	ICAO_A	2	7	Penjanje	Maksimum za penjanje	ZERO	5500			
737300	ICAO_A	2	8	Penjanje	Maksimum za penjanje	ZERO	7500			
737300	ICAO_A	2	9	Penjanje	Maksimum za penjanje	ZERO	10000			
737300	ICAO_A	3	1	Uzlijetanje	Maksimum za uzlijetanje	5				
737300	ICAO_A	3	2	Penjanje	Maksimum za uzlijetanje	5	1500			



ThoriumSoftware d.o.o.

Mobile: +385 (0) 95 8 70 50 70
 Kontakt: Dario Ilija Rendulić
 Email:
[info@thoriumsoftware.eu;](mailto:info@thoriumsoftware.eu)
direndulic@gmail.com

737300	ICAO_A	3	3	Penjanje	Maksimum za penjanje	5	3000			
737300	ICAO_A	3	4	Ubrzanje	Maksimum za penjanje	5		1247,9	188,2	
737300	ICAO_A	3	5	Ubrzanje	Maksimum za penjanje	1		1415,3	211,7	
737300	ICAO_A	3	6	Ubrzanje	Maksimum za penjanje	ZERO		1609,9	250	
737300	ICAO_A	3	7	Penjanje	Maksimum za penjanje	ZERO	5500			
737300	ICAO_A	3	8	Penjanje	Maksimum za penjanje	ZERO	7500			
737300	ICAO_A	3	9	Penjanje	Maksimum za penjanje	ZERO	10000			
737300	ICAO_A	4	1	Uzlijetanje	Maksimum za uzlijetanje	5				
737300	ICAO_A	4	2	Penjanje	Maksimum za uzlijetanje	5	1500			
737300	ICAO_A	4	3	Penjanje	Maksimum za penjanje	5	3000			
737300	ICAO_A	4	4	Ubrzanje	Maksimum za penjanje	5		1093,3	192,2	
737300	ICAO_A	4	5	Ubrzanje	Maksimum za penjanje	1		1223,7	210,2	
737300	ICAO_A	4	6	Ubrzanje	Maksimum za penjanje	ZERO		1399,1	250	
737300	ICAO_A	4	7	Penjanje	Maksimum za penjanje	ZERO	5500			
737300	ICAO_A	4	8	Penjanje	Maksimum za penjanje	ZERO	7500			
737300	ICAO_A	4	9	Penjanje	Maksimum za penjanje	ZERO	10000			
737300	ICAO_B	1	1	Uzlijetanje	Maksimum za uzlijetanje	5				
737300	ICAO_B	1	2	Penjanje	Maksimum za uzlijetanje	5	1000			
737300	ICAO_B	1	3	Ubrzanje	Maksimum za uzlijetanje	5		1560,7	189,3	
737300	ICAO_B	1	4	Ubrzanje	Maksimum za uzlijetanje	1		1765,5	206,2	
737300	ICAO_B	1	5	Ubrzanje	Maksimum za uzlijetanje	ZERO		1897	220,5	
737300	ICAO_B	1	6	Penjanje	Maksimum za penjanje	ZERO	3000			
737300	ICAO_B	1	7	Ubrzanje	Maksimum za penjanje	ZERO		1892,6	250	
737300	ICAO_B	1	8	Penjanje	Maksimum za penjanje	ZERO	5500			
737300	ICAO_B	1	9	Penjanje	Maksimum za penjanje	ZERO	7500			
737300	ICAO_B	1	10	Penjanje	Maksimum za penjanje	ZERO	10000			
737300	ICAO_B	2	1	Uzlijetanje	Maksimum za uzlijetanje	5				
737300	ICAO_B	2	2	Penjanje	Maksimum za uzlijetanje	5	1000			



ThoriumSoftware d.o.o.

Mobile: +385 (0) 95 8 70 50 70
 Kontakt: Dario Ilija Rendulić
 Email:
[info@thoriumsoftware.eu;](mailto:info@thoriumsoftware.eu)
direndulic@gmail.com

737300	ICAO_B	2	3	Ubrzanje	Maksimum za uzljetanje	5		1468,7	190,5	
737300	ICAO_B	2	4	Ubrzanje	Maksimum za uzljetanje	1		1652,2	205,8	
737300	ICAO_B	2	5	Ubrzanje	Maksimum za uzljetanje	ZERO		1773,2	220,5	
737300	ICAO_B	2	6	Penjanje	Maksimum za penjanje	ZERO	3000			
737300	ICAO_B	2	7	Ubrzanje	Maksimum za penjanje	ZERO		1773,3	250	
737300	ICAO_B	2	8	Penjanje	Maksimum za penjanje	ZERO	5500			
737300	ICAO_B	2	9	Penjanje	Maksimum za penjanje	ZERO	7500			
737300	ICAO_B	2	10	Penjanje	Maksimum za penjanje	ZERO	10000			
737300	ICAO_B	3	1	Uzljetanje	Maksimum za uzljetanje	5				
737300	ICAO_B	3	2	Penjanje	Maksimum za uzljetanje	5	1000			
737300	ICAO_B	3	3	Ubrzanje	Maksimum za uzljetanje	5		1380,4	192,1	
737300	ICAO_B	3	4	Ubrzanje	Maksimum za uzljetanje	1		1557,4	213,8	
737300	ICAO_B	3	5	Ubrzanje	Maksimum za uzljetanje	ZERO		1688,1	220,5	
737300	ICAO_B	3	6	Penjanje	Maksimum za penjanje	ZERO	3000			
737300	ICAO_B	3	7	Ubrzanje	Maksimum za penjanje	ZERO		1657,6	250	
737300	ICAO_B	3	8	Penjanje	Maksimum za penjanje	ZERO	5500			
737300	ICAO_B	3	9	Penjanje	Maksimum za penjanje	ZERO	7500			
737300	ICAO_B	3	10	Penjanje	Maksimum za penjanje	ZERO	10000			
737300	ICAO_B	4	1	Uzljetanje	Maksimum za uzljetanje	5				
737300	ICAO_B	4	2	Penjanje	Maksimum za uzljetanje	5	1000			
737300	ICAO_B	4	3	Ubrzanje	Maksimum za uzljetanje	5		1217,8	195,7	
737300	ICAO_B	4	4	Ubrzanje	Maksimum za uzljetanje	1		1361,4	212	
737300	ICAO_B	4	5	Ubrzanje	Maksimum za uzljetanje	ZERO		1457,6	220,5	
737300	ICAO_B	4	6	Penjanje	Maksimum za penjanje	ZERO	3000			
737300	ICAO_B	4	7	Ubrzanje	Maksimum za penjanje	ZERO		1444,8	250	
737300	ICAO_B	4	8	Penjanje	Maksimum za penjanje	ZERO	5500			
737300	ICAO_B	4	9	Penjanje	Maksimum za penjanje	ZERO	7500			
737300	ICAO_B	4	10	Penjanje	Maksimum za penjanje	ZERO	10000			



ThoriumSoftware d.o.o.

Mobile: +385 (0) 95 8 70 50 70
 Kontakt: Dario Ilija Rendulić
 Email:
[info@thoriumsoftware.eu;](mailto:info@thoriumsoftware.eu)
direndulic@gmail.com

7373B2	DEFAULT	1	1	Uzlijetanje	Maksimum za uzlijetanje	5					
7373B2	DEFAULT	1	2	Penjanje	Maksimum za uzlijetanje	5	1000				
7373B2	DEFAULT	1	3	Ubrzanje	Maksimum za penjanje	T_05		1671,2	191,9		
7373B2	DEFAULT	1	4	Ubrzanje	Maksimum za penjanje	T_01		1900	209,1		
7373B2	DEFAULT	1	5	Penjanje	Maksimum za penjanje	ZERO	3000				
7373B2	DEFAULT	1	6	Ubrzanje	Maksimum za penjanje	ZERO		2058,2	250		
7373B2	DEFAULT	1	7	Penjanje	Maksimum za penjanje	ZERO	5500				
7373B2	DEFAULT	1	8	Penjanje	Maksimum za penjanje	ZERO	7500				
7373B2	DEFAULT	1	9	Penjanje	Maksimum za penjanje	ZERO	10000				
7373B2	DEFAULT	2	1	Uzlijetanje	Maksimum za uzlijetanje	5					
7373B2	DEFAULT	2	2	Penjanje	Maksimum za uzlijetanje	5	1000				
7373B2	DEFAULT	2	3	Ubrzanje	Maksimum za penjanje	T_05		1575,5	192,6		
7373B2	DEFAULT	2	4	Ubrzanje	Maksimum za penjanje	T_01		1786	208,8		
7373B2	DEFAULT	2	5	Penjanje	Maksimum za penjanje	ZERO	3000				
7373B2	DEFAULT	2	6	Ubrzanje	Maksimum za penjanje	ZERO		1934,6	250		
7373B2	DEFAULT	2	7	Penjanje	Maksimum za penjanje	ZERO	5500				
7373B2	DEFAULT	2	8	Penjanje	Maksimum za penjanje	ZERO	7500				
7373B2	DEFAULT	2	9	Penjanje	Maksimum za penjanje	ZERO	10000				
7373B2	DEFAULT	3	1	Uzlijetanje	Maksimum za uzlijetanje	5					
7373B2	DEFAULT	3	2	Penjanje	Maksimum za uzlijetanje	5	1000				
7373B2	DEFAULT	3	3	Ubrzanje	Maksimum za penjanje	T_05		1483,2	194		
7373B2	DEFAULT	3	4	Ubrzanje	Maksimum za penjanje	T_01		1675,9	215,3		
7373B2	DEFAULT	3	5	Penjanje	Maksimum za penjanje	ZERO	3000				
7373B2	DEFAULT	3	6	Ubrzanje	Maksimum za penjanje	ZERO		1828,7	250		
7373B2	DEFAULT	3	7	Penjanje	Maksimum za penjanje	ZERO	5500				
7373B2	DEFAULT	3	8	Penjanje	Maksimum za penjanje	ZERO	7500				
7373B2	DEFAULT	3	9	Penjanje	Maksimum za penjanje	ZERO	10000				
7373B2	DEFAULT	4	1	Uzlijetanje	Maksimum za uzlijetanje	5					



ThoriumSoftware d.o.o.

Mobile: +385 (0) 95 8 70 50 70
 Kontakt: Dario Ilija Rendulić
 Email:
[info@thoriumsoftware.eu;](mailto:info@thoriumsoftware.eu)
direndulic@gmail.com

7373B2	DEFAULT	4	2	Penjanje	Maksimum za uzlijetanje	5	1000			
7373B2	DEFAULT	4	3	Ubrzanje	Maksimum za penjanje	T_05		1314,1	197,8	
7373B2	DEFAULT	4	4	Ubrzanje	Maksimum za penjanje	T_01		1478,4	213,5	
7373B2	DEFAULT	4	5	Penjanje	Maksimum za penjanje	ZERO	3000			
7373B2	DEFAULT	4	6	Ubrzanje	Maksimum za penjanje	ZERO		1597,8	250	
7373B2	DEFAULT	4	7	Penjanje	Maksimum za penjanje	ZERO	5500			
7373B2	DEFAULT	4	8	Penjanje	Maksimum za penjanje	ZERO	7500			
7373B2	DEFAULT	4	9	Penjanje	Maksimum za penjanje	ZERO	10000			
7373B2	DEFAULT	M	1	Uzlijetanje	Maksimum za uzlijetanje	5				
7373B2	DEFAULT	M	2	Penjanje	Maksimum za uzlijetanje	5	1000			
7373B2	DEFAULT	M	3	Ubrzanje	Maksimum za penjanje	T_05		1214,7	200,6	
7373B2	DEFAULT	M	4	Ubrzanje	Maksimum za penjanje	T_01		1372,5	222,3	
7373B2	DEFAULT	M	5	Penjanje	Maksimum za penjanje	ZERO	3000			
7373B2	DEFAULT	M	6	Ubrzanje	Maksimum za penjanje	ZERO		1493,4	250	
7373B2	DEFAULT	M	7	Penjanje	Maksimum za penjanje	ZERO	5500			
7373B2	DEFAULT	M	8	Penjanje	Maksimum za penjanje	ZERO	7500			
7373B2	DEFAULT	M	9	Penjanje	Maksimum za penjanje	ZERO	10000			
7373B2	ICAO_A	1	1	Uzlijetanje	Maksimum za uzlijetanje	5				
7373B2	ICAO_A	1	2	Penjanje	Maksimum za uzlijetanje	5	1500			
7373B2	ICAO_A	1	3	Penjanje	Maksimum za penjanje	5	3000			
7373B2	ICAO_A	1	4	Ubrzanje	Maksimum za penjanje	T_05		1607,4	188,9	
7373B2	ICAO_A	1	5	Ubrzanje	Maksimum za penjanje	T_01		1827,6	206	
7373B2	ICAO_A	1	6	Ubrzanje	Maksimum za penjanje	ZERO		2030,2	250	
7373B2	ICAO_A	1	7	Penjanje	Maksimum za penjanje	ZERO	5500			
7373B2	ICAO_A	1	8	Penjanje	Maksimum za penjanje	ZERO	7500			
7373B2	ICAO_A	1	9	Penjanje	Maksimum za penjanje	ZERO	10000			
7373B2	ICAO_A	2	1	Uzlijetanje	Maksimum za uzlijetanje	5				
7373B2	ICAO_A	2	2	Penjanje	Maksimum za uzlijetanje	5	1500			



ThoriumSoftware d.o.o.

Mobile: +385 (0) 95 8 70 50 70
 Kontakt: Dario Ilija Rendulić
 Email:
[info@thoriumsoftware.eu;](mailto:info@thoriumsoftware.eu)
direndulic@gmail.com

7373B2	ICAO_A	2	3	Penjanje	Maksimum za penjanje	5	3000			
7373B2	ICAO_A	2	4	Ubrzanje	Maksimum za penjanje	T_05		1507,4	188,9	
7373B2	ICAO_A	2	5	Ubrzanje	Maksimum za penjanje	T_01		1703,4	206	
7373B2	ICAO_A	2	6	Ubrzanje	Maksimum za penjanje	ZERO		1909,1	250	
7373B2	ICAO_A	2	7	Penjanje	Maksimum za penjanje	ZERO	5500			
7373B2	ICAO_A	2	8	Penjanje	Maksimum za penjanje	ZERO	7500			
7373B2	ICAO_A	2	9	Penjanje	Maksimum za penjanje	ZERO	10000			
7373B2	ICAO_A	3	1	Uzlijetanje	Maksimum za uzlijetanje	5				
7373B2	ICAO_A	3	2	Penjanje	Maksimum za uzlijetanje	5	1500			
7373B2	ICAO_A	3	3	Penjanje	Maksimum za penjanje	5	3000			
7373B2	ICAO_A	3	4	Ubrzanje	Maksimum za penjanje	T_05		1417,2	191,3	
7373B2	ICAO_A	3	5	Ubrzanje	Maksimum za penjanje	T_01		1604,3	213,7	
7373B2	ICAO_A	3	6	Ubrzanje	Maksimum za penjanje	ZERO		1807,6	250	
7373B2	ICAO_A	3	7	Penjanje	Maksimum za penjanje	ZERO	5500			
7373B2	ICAO_A	3	8	Penjanje	Maksimum za penjanje	ZERO	7500			
7373B2	ICAO_A	3	9	Penjanje	Maksimum za penjanje	ZERO	10000			
7373B2	ICAO_A	4	1	Uzlijetanje	Maksimum za uzlijetanje	5				
7373B2	ICAO_A	4	2	Penjanje	Maksimum za uzlijetanje	5	1500			
7373B2	ICAO_A	4	3	Penjanje	Maksimum za penjanje	5	3000			
7373B2	ICAO_A	4	4	Ubrzanje	Maksimum za penjanje	T_05		1255,2	195,4	
7373B2	ICAO_A	4	5	Ubrzanje	Maksimum za penjanje	T_01		1411,8	212,1	
7373B2	ICAO_A	4	6	Ubrzanje	Maksimum za penjanje	ZERO		1576,8	250	
7373B2	ICAO_A	4	7	Penjanje	Maksimum za penjanje	ZERO	5500			
7373B2	ICAO_A	4	8	Penjanje	Maksimum za penjanje	ZERO	7500			
7373B2	ICAO_A	4	9	Penjanje	Maksimum za penjanje	ZERO	10000			
7373B2	ICAO_A	M	1	Uzlijetanje	Maksimum za uzlijetanje	5				
7373B2	ICAO_A	M	2	Penjanje	Maksimum za uzlijetanje	5	1500			
7373B2	ICAO_A	M	3	Penjanje	Maksimum za penjanje	5	3000			



ThoriumSoftware d.o.o.

Mobile: +385 (0) 95 8 70 50 70
 Kontakt: Dario Ilija Rendulić
 Email:
[info@thoriumsoftware.eu;](mailto:info@thoriumsoftware.eu)
direndulic@gmail.com

7373B2	ICAO_A	M	4	Ubrzanje	Maksimum za penjanje	T_05		1163,2	198,2	
7373B2	ICAO_A	M	5	Ubrzanje	Maksimum za penjanje	T_01		1309,7	220,9	
7373B2	ICAO_A	M	6	Ubrzanje	Maksimum za penjanje	ZERO		1469,1	250	
7373B2	ICAO_A	M	7	Penjanje	Maksimum za penjanje	ZERO	5500			
7373B2	ICAO_A	M	8	Penjanje	Maksimum za penjanje	ZERO	7500			
7373B2	ICAO_A	M	9	Penjanje	Maksimum za penjanje	ZERO	10000			
7373B2	ICAO_B	1	1	Uzlijetanje	Maksimum za uzlijetanje	5				
7373B2	ICAO_B	1	2	Penjanje	Maksimum za uzlijetanje	5	1000			
7373B2	ICAO_B	1	3	Ubrzanje	Maksimum za uzlijetanje	T_05		1881	195,6	
7373B2	ICAO_B	1	4	Ubrzanje	Maksimum za uzlijetanje	T_01		2138,5	214,5	
7373B2	ICAO_B	1	5	Penjanje	Maksimum za penjanje	ZERO	3000			
7373B2	ICAO_B	1	6	Ubrzanje	Maksimum za penjanje	ZERO		2075,4	250	
7373B2	ICAO_B	1	7	Penjanje	Maksimum za penjanje	ZERO	5500			
7373B2	ICAO_B	1	8	Penjanje	Maksimum za penjanje	ZERO	7500			
7373B2	ICAO_B	1	9	Penjanje	Maksimum za penjanje	ZERO	10000			
7373B2	ICAO_B	2	1	Uzlijetanje	Maksimum za uzlijetanje	5				
7373B2	ICAO_B	2	2	Penjanje	Maksimum za uzlijetanje	5	1000			
7373B2	ICAO_B	2	3	Ubrzanje	Maksimum za uzlijetanje	T_05		1774,2	196,2	
7373B2	ICAO_B	2	4	Ubrzanje	Maksimum za uzlijetanje	T_01		2009,3	214	
7373B2	ICAO_B	2	5	Penjanje	Maksimum za penjanje	ZERO	3000			
7373B2	ICAO_B	2	6	Ubrzanje	Maksimum za penjanje	ZERO		1950,7	250	
7373B2	ICAO_B	2	7	Penjanje	Maksimum za penjanje	ZERO	5500			
7373B2	ICAO_B	2	8	Penjanje	Maksimum za penjanje	ZERO	7500			
7373B2	ICAO_B	2	9	Penjanje	Maksimum za penjanje	ZERO	10000			
7373B2	ICAO_B	3	1	Uzlijetanje	Maksimum za uzlijetanje	5				
7373B2	ICAO_B	3	2	Penjanje	Maksimum za uzlijetanje	5	1000			
7373B2	ICAO_B	3	3	Ubrzanje	Maksimum za uzlijetanje	T_05		1674,8	197,4	
7373B2	ICAO_B	3	4	Ubrzanje	Maksimum za uzlijetanje	T_01		1895,7	217	



ThoriumSoftware d.o.o.

Mobile: +385 (0) 95 8 70 50 70
 Kontakt: Dario Ilija Rendulić
 Email:
[info@thoriumsoftware.eu;](mailto:info@thoriumsoftware.eu)
direndulic@gmail.com

7373B2	ICAO_B	3	5	Penjanje	Maksimum za penjanje	ZERO	3000			
7373B2	ICAO_B	3	6	Ubrzanje	Maksimum za penjanje	ZERO		1835,6	250	
7373B2	ICAO_B	3	7	Penjanje	Maksimum za penjanje	ZERO	5500			
7373B2	ICAO_B	3	8	Penjanje	Maksimum za penjanje	ZERO	7500			
7373B2	ICAO_B	3	9	Penjanje	Maksimum za penjanje	ZERO	10000			
7373B2	ICAO_B	4	1	Uzlijetanje	Maksimum za uzlijetanje	5				
7373B2	ICAO_B	4	2	Penjanje	Maksimum za uzlijetanje	5	1000			
7373B2	ICAO_B	4	3	Ubrzanje	Maksimum za uzlijetanje	T_05		1494,5	200,9	
7373B2	ICAO_B	4	4	Ubrzanje	Maksimum za uzlijetanje	T_01		1672,5	215,5	
7373B2	ICAO_B	4	5	Penjanje	Maksimum za penjanje	ZERO	3000			
7373B2	ICAO_B	4	6	Ubrzanje	Maksimum za penjanje	ZERO		1606,9	250	
7373B2	ICAO_B	4	7	Penjanje	Maksimum za penjanje	ZERO	5500			
7373B2	ICAO_B	4	8	Penjanje	Maksimum za penjanje	ZERO	7500			
7373B2	ICAO_B	4	9	Penjanje	Maksimum za penjanje	ZERO	10000			
7373B2	ICAO_B	M	1	Uzlijetanje	Maksimum za uzlijetanje	5				
7373B2	ICAO_B	M	2	Penjanje	Maksimum za uzlijetanje	5	1000			
7373B2	ICAO_B	M	3	Ubrzanje	Maksimum za uzlijetanje	T_05		1387,7	203,4	
7373B2	ICAO_B	M	4	Ubrzanje	Maksimum za uzlijetanje	T_01		1557,1	223,7	
7373B2	ICAO_B	M	5	Penjanje	Maksimum za penjanje	ZERO	3000			
7373B2	ICAO_B	M	6	Ubrzanje	Maksimum za penjanje	ZERO		1493,2	250	
7373B2	ICAO_B	M	7	Penjanje	Maksimum za penjanje	ZERO	5500			
7373B2	ICAO_B	M	8	Penjanje	Maksimum za penjanje	ZERO	7500			
7373B2	ICAO_B	M	9	Penjanje	Maksimum za penjanje	ZERO	10000			
737400	DEFAULT	1	1	Uzlijetanje	Maksimum za uzlijetanje	5				
737400	DEFAULT	1	2	Penjanje	Maksimum za uzlijetanje	5	1000			
737400	DEFAULT	1	3	Ubrzanje	Maksimum za penjanje	5		1715,3	198,8	
737400	DEFAULT	1	4	Ubrzanje	Maksimum za penjanje	1		1894,7	210,5	
737400	DEFAULT	1	5	Penjanje	Maksimum za penjanje	ZERO	3000			



ThoriumSoftware d.o.o.

Mobile: +385 (0) 95 8 70 50 70
 Kontakt: Dario Ilija Rendulić
 Email:
[info@thoriumsoftware.eu;](mailto:info@thoriumsoftware.eu)
direndulic@gmail.com

737400	DEFAULT	1	6	Ubrzanje	Maksimum za penjanje	ZERO		2067,4	250	
737400	DEFAULT	1	7	Penjanje	Maksimum za penjanje	ZERO	5500			
737400	DEFAULT	1	8	Penjanje	Maksimum za penjanje	ZERO	7500			
737400	DEFAULT	1	9	Penjanje	Maksimum za penjanje	ZERO	10000			
737400	DEFAULT	2	1	Uzljetanje	Maksimum za uzljetanje	5				
737400	DEFAULT	2	2	Penjanje	Maksimum za uzljetanje	5	1000			
737400	DEFAULT	2	3	Ubrzanje	Maksimum za penjanje	5		1616	199,8	
737400	DEFAULT	2	4	Ubrzanje	Maksimum za penjanje	1		1786,6	210,5	
737400	DEFAULT	2	5	Penjanje	Maksimum za penjanje	ZERO	3000			
737400	DEFAULT	2	6	Ubrzanje	Maksimum za penjanje	ZERO		1939,1	250	
737400	DEFAULT	2	7	Penjanje	Maksimum za penjanje	ZERO	5500			
737400	DEFAULT	2	8	Penjanje	Maksimum za penjanje	ZERO	7500			
737400	DEFAULT	2	9	Penjanje	Maksimum za penjanje	ZERO	10000			
737400	DEFAULT	3	1	Uzljetanje	Maksimum za uzljetanje	5				
737400	DEFAULT	3	2	Penjanje	Maksimum za uzljetanje	5	1000			
737400	DEFAULT	3	3	Ubrzanje	Maksimum za penjanje	5		1516,6	201	
737400	DEFAULT	3	4	Ubrzanje	Maksimum za penjanje	1		1660,9	210,5	
737400	DEFAULT	3	5	Penjanje	Maksimum za penjanje	ZERO	3000			
737400	DEFAULT	3	6	Ubrzanje	Maksimum za penjanje	ZERO		1807,5	250	
737400	DEFAULT	3	7	Penjanje	Maksimum za penjanje	ZERO	5500			
737400	DEFAULT	3	8	Penjanje	Maksimum za penjanje	ZERO	7500			
737400	DEFAULT	3	9	Penjanje	Maksimum za penjanje	ZERO	10000			
737400	DEFAULT	4	1	Uzljetanje	Maksimum za uzljetanje	5				
737400	DEFAULT	4	2	Penjanje	Maksimum za uzljetanje	5	1000			
737400	DEFAULT	4	3	Ubrzanje	Maksimum za penjanje	5		1370,2	203,9	
737400	DEFAULT	4	4	Ubrzanje	Maksimum za penjanje	1		1504,1	210,5	
737400	DEFAULT	4	5	Penjanje	Maksimum za penjanje	ZERO	3000			
737400	DEFAULT	4	6	Ubrzanje	Maksimum za penjanje	ZERO		1609,1	250	



ThoriumSoftware d.o.o.

Mobile: +385 (0) 95 8 70 50 70
 Kontakt: Dario Ilija Rendulić
 Email:
[info@thoriumsoftware.eu;](mailto:info@thoriumsoftware.eu)
direndulic@gmail.com

737400	DEFAULT	4	7	Penjanje	Maksimum za penjanje	ZERO	5500			
737400	DEFAULT	4	8	Penjanje	Maksimum za penjanje	ZERO	7500			
737400	DEFAULT	4	9	Penjanje	Maksimum za penjanje	ZERO	10000			
737400	DEFAULT	M	1	Uzljetanje	Maksimum za uzljetanje	5				
737400	DEFAULT	M	2	Penjanje	Maksimum za uzljetanje	5	1000			
737400	DEFAULT	M	3	Ubrzanje	Maksimum za penjanje	5		1225,8	207,5	
737400	DEFAULT	M	4	Ubrzanje	Maksimum za penjanje	1		1312,5	210,5	
737400	DEFAULT	M	5	Penjanje	Maksimum za penjanje	ZERO	3000			
737400	DEFAULT	M	6	Ubrzanje	Maksimum za penjanje	ZERO		1414,3	250	
737400	DEFAULT	M	7	Penjanje	Maksimum za penjanje	ZERO	5500			
737400	DEFAULT	M	8	Penjanje	Maksimum za penjanje	ZERO	7500			
737400	DEFAULT	M	9	Penjanje	Maksimum za penjanje	ZERO	10000			
737400	ICAO_A	1	1	Uzljetanje	Maksimum za uzljetanje	5				
737400	ICAO_A	1	2	Penjanje	Maksimum za uzljetanje	5	1500			
737400	ICAO_A	1	3	Penjanje	Maksimum za penjanje	5	3000			
737400	ICAO_A	1	4	Ubrzanje	Maksimum za penjanje	5		1641,7	195,7	
737400	ICAO_A	1	5	Ubrzanje	Maksimum za penjanje	1		1830	210,1	
737400	ICAO_A	1	6	Ubrzanje	Maksimum za penjanje	ZERO		2058,4	250	
737400	ICAO_A	1	7	Penjanje	Maksimum za penjanje	ZERO	5500			
737400	ICAO_A	1	8	Penjanje	Maksimum za penjanje	ZERO	7500			
737400	ICAO_A	1	9	Penjanje	Maksimum za penjanje	ZERO	10000			
737400	ICAO_A	2	1	Uzljetanje	Maksimum za uzljetanje	5				
737400	ICAO_A	2	2	Penjanje	Maksimum za uzljetanje	5	1500			
737400	ICAO_A	2	3	Penjanje	Maksimum za penjanje	5	3000			
737400	ICAO_A	2	4	Ubrzanje	Maksimum za penjanje	5		1546	196,8	
737400	ICAO_A	2	5	Ubrzanje	Maksimum za penjanje	1		1702,5	210,1	
737400	ICAO_A	2	6	Ubrzanje	Maksimum za penjanje	ZERO		1919,2	250	
737400	ICAO_A	2	7	Penjanje	Maksimum za penjanje	ZERO	5500			



ThoriumSoftware d.o.o.

Mobile: +385 (0) 95 8 70 50 70
 Kontakt: Dario Ilija Rendulić
 Email:
[info@thoriumsoftware.eu;](mailto:info@thoriumsoftware.eu)
direndulic@gmail.com

737400	ICAO_A	2	8	Penjanje	Maksimum za penjanje	ZERO	7500			
737400	ICAO_A	2	9	Penjanje	Maksimum za penjanje	ZERO	10000			
737400	ICAO_A	3	1	Uzlijetanje	Maksimum za uzlijetanje	5				
737400	ICAO_A	3	2	Penjanje	Maksimum za uzlijetanje	5	1500			
737400	ICAO_A	3	3	Penjanje	Maksimum za penjanje	5	3000			
737400	ICAO_A	3	4	Ubrzanje	Maksimum za penjanje	5		1446,6	198,2	
737400	ICAO_A	3	5	Ubrzanje	Maksimum za penjanje	1		1592,3	210,3	
737400	ICAO_A	3	6	Ubrzanje	Maksimum za penjanje	ZERO		1789,6	250	
737400	ICAO_A	3	7	Penjanje	Maksimum za penjanje	ZERO	5500			
737400	ICAO_A	3	8	Penjanje	Maksimum za penjanje	ZERO	7500			
737400	ICAO_A	3	9	Penjanje	Maksimum za penjanje	ZERO	10000			
737400	ICAO_A	4	1	Uzlijetanje	Maksimum za uzlijetanje	5				
737400	ICAO_A	4	2	Penjanje	Maksimum za uzlijetanje	5	1500			
737400	ICAO_A	4	3	Penjanje	Maksimum za penjanje	5	3000			
737400	ICAO_A	4	4	Ubrzanje	Maksimum za penjanje	5		1303,9	201,3	
737400	ICAO_A	4	5	Ubrzanje	Maksimum za penjanje	1		1426,1	210,3	
737400	ICAO_A	4	6	Ubrzanje	Maksimum za penjanje	ZERO		1598,5	250	
737400	ICAO_A	4	7	Penjanje	Maksimum za penjanje	ZERO	5500			
737400	ICAO_A	4	8	Penjanje	Maksimum za penjanje	ZERO	7500			
737400	ICAO_A	4	9	Penjanje	Maksimum za penjanje	ZERO	10000			
737400	ICAO_A	M	1	Uzlijetanje	Maksimum za uzlijetanje	5				
737400	ICAO_A	M	2	Penjanje	Maksimum za uzlijetanje	5	1500			
737400	ICAO_A	M	3	Penjanje	Maksimum za penjanje	5	3000			
737400	ICAO_A	M	4	Ubrzanje	Maksimum za penjanje	5		1159,5	205,1	
737400	ICAO_A	M	5	Ubrzanje	Maksimum za penjanje	1		1249,3	210,3	
737400	ICAO_A	M	6	Ubrzanje	Maksimum za penjanje	ZERO		1392,2	250	
737400	ICAO_A	M	7	Penjanje	Maksimum za penjanje	ZERO	5500			
737400	ICAO_A	M	8	Penjanje	Maksimum za penjanje	ZERO	7500			



ThoriumSoftware d.o.o.

Mobile: +385 (0) 95 8 70 50 70
 Kontakt: Dario Ilija Rendulić
 Email:
[info@thoriumsoftware.eu;](mailto:info@thoriumsoftware.eu)
direndulic@gmail.com

737400	ICAO_A	M	9	Penjanje	Maksimum za penjanje	ZERO	10000			
737400	ICAO_B	1	1	Uzlijetanje	Maksimum za uzlijetanje	5				

737400	ICAO_B	1	2	Penjanje	Maksimum za uzlijetanje	5	1000			
737400	ICAO_B	1	3	Ubrzanje	Maksimum za uzlijetanje	5		1869,9	201,5	
737400	ICAO_B	1	4	Ubrzanje	Maksimum za uzlijetanje	1		2073,3	210,5	
737400	ICAO_B	1	5	Penjanje	Maksimum za penjanje	ZERO	3000			
737400	ICAO_B	1	6	Ubrzanje	Maksimum za penjanje	ZERO		2067,4	250	
737400	ICAO_B	1	7	Penjanje	Maksimum za penjanje	ZERO	5500			
737400	ICAO_B	1	8	Penjanje	Maksimum za penjanje	ZERO	7500			
737400	ICAO_B	1	9	Penjanje	Maksimum za penjanje	ZERO	10000			
737400	ICAO_B	2	1	Uzlijetanje	Maksimum za uzlijetanje	5				
737400	ICAO_B	2	2	Penjanje	Maksimum za uzlijetanje	5	1000			
737400	ICAO_B	2	3	Ubrzanje	Maksimum za uzlijetanje	5		1766,9	202,3	
737400	ICAO_B	2	4	Ubrzanje	Maksimum za uzlijetanje	1		1945,9	210,5	

737400	ICAO_B	2	5	Penjanje	Maksimum za penjanje	ZERO	3000			
737400	ICAO_B	2	6	Ubrzanje	Maksimum za penjanje	ZERO		1939,1	250	
737400	ICAO_B	2	7	Penjanje	Maksimum za penjanje	ZERO	5500			
737400	ICAO_B	2	8	Penjanje	Maksimum za penjanje	ZERO	7500			
737400	ICAO_B	2	9	Penjanje	Maksimum za penjanje	ZERO	10000			
737400	ICAO_B	3	1	Uzljetanje	Maksimum za uzljetanje	5				
737400	ICAO_B	3	2	Penjanje	Maksimum za uzljetanje	5	1000			
737400	ICAO_B	3	3	Ubrzanje	Maksimum za uzljetanje	5		1660,1	203,4	
737400	ICAO_B	3	4	Ubrzanje	Maksimum za uzljetanje	1		1822,5	210,5	
737400	ICAO_B	3	5	Penjanje	Maksimum za penjanje	ZERO	3000			
737400	ICAO_B	3	6	Ubrzanje	Maksimum za penjanje	ZERO		1807,5	250	
737400	ICAO_B	3	7	Penjanje	Maksimum za penjanje	ZERO	5500			
737400	ICAO_B	3	8	Penjanje	Maksimum za penjanje	ZERO	7500			
737400	ICAO_B	3	9	Penjanje	Maksimum za penjanje	ZERO	10000			
737400	ICAO_B	4	1	Uzljetanje	Maksimum za uzljetanje	5				
737400	ICAO_B	4	2	Penjanje	Maksimum za uzljetanje	5	1000			

737400	ICAO_B	4	3	Ubrzanje	Maksimum za uzlijetanje	5		1502,8	206,1	
737400	ICAO_B	4	4	Ubrzanje	Maksimum za uzlijetanje	1		1644,7	210,5	
737400	ICAO_B	4	5	Penjanje	Maksimum za penjanje	ZERO	3000			
737400	ICAO_B	4	6	Ubrzanje	Maksimum za penjanje	ZERO		1610,5	250	
737400	ICAO_B	4	7	Penjanje	Maksimum za penjanje	ZERO	5500			
737400	ICAO_B	4	8	Penjanje	Maksimum za penjanje	ZERO	7500			
737400	ICAO_B	4	9	Penjanje	Maksimum za penjanje	ZERO	10000			
737400	ICAO_B	M	1	Uzlijetanje	Maksimum za uzlijetanje	5				
737400	ICAO_B	M	2	Penjanje	Maksimum za uzlijetanje	5	1000			
737400	ICAO_B	M	3	Ubrzanje	Maksimum za uzlijetanje	5		1350,9	209,5	
737400	ICAO_B	M	4	Ubrzanje	Maksimum za uzlijetanje	1		1428,6	210,5	
737400	ICAO_B	M	5	Penjanje	Maksimum za penjanje	ZERO	3000			
737400	ICAO_B	M	6	Ubrzanje	Maksimum za penjanje	ZERO		1414,7	250	
737400	ICAO_B	M	7	Penjanje	Maksimum za penjanje	ZERO	5500			
737400	ICAO_B	M	8	Penjanje	Maksimum za penjanje	ZERO	7500			
737400	ICAO_B	M	9	Penjanje	Maksimum za penjanje	ZERO	10000			

737500	DEFAULT	1	1	Uzlijetanje	Maksimum za uzlijetanje	5				
737500	DEFAULT	1	2	Penjanje	Maksimum za uzlijetanje	5	1000			
737500	DEFAULT	1	3	Ubrzanje	Maksimum za penjanje	5		1579,1	187	
737500	DEFAULT	1	4	Ubrzanje	Maksimum za penjanje	1		1800	206,6	
737500	DEFAULT	1	5	Penjanje	Maksimum za penjanje	ZERO	3000			
737500	DEFAULT	1	6	Ubrzanje	Maksimum za penjanje	ZERO		1961,7	250	
737500	DEFAULT	1	7	Penjanje	Maksimum za penjanje	ZERO	5500			
737500	DEFAULT	1	8	Penjanje	Maksimum za penjanje	ZERO	7500			
737500	DEFAULT	1	9	Penjanje	Maksimum za penjanje	ZERO	10000			
737500	DEFAULT	2	1	Uzlijetanje	Maksimum za uzlijetanje	5				
737500	DEFAULT	2	2	Penjanje	Maksimum za uzlijetanje	5	1000			
737500	DEFAULT	2	3	Ubrzanje	Maksimum za penjanje	5		1490,8	188	
737500	DEFAULT	2	4	Ubrzanje	Maksimum za penjanje	1		1681,3	205,6	
737500	DEFAULT	2	5	Penjanje	Maksimum za penjanje	ZERO	3000			
737500	DEFAULT	2	6	Ubrzanje	Maksimum za penjanje	ZERO		1834,4	250	
737500	DEFAULT	2	7	Penjanje	Maksimum za penjanje	ZERO	5500			

737500	DEFAULT	2	8	Penjanje	Maksimum za penjanje	ZERO	7500			
737500	DEFAULT	2	9	Penjanje	Maksimum za penjanje	ZERO	10000			
737500	DEFAULT	3	1	Uzlijetanje	Maksimum za uzlijetanje	5				
737500	DEFAULT	3	2	Penjanje	Maksimum za uzlijetanje	5	1000			
737500	DEFAULT	3	3	Ubrzanje	Maksimum za penjanje	5		1398,8	189,4	
737500	DEFAULT	3	4	Ubrzanje	Maksimum za penjanje	1		1572,4	204,5	
737500	DEFAULT	3	5	Penjanje	Maksimum za penjanje	ZERO	3000			
737500	DEFAULT	3	6	Ubrzanje	Maksimum za penjanje	ZERO		1713,4	250	
737500	DEFAULT	3	7	Penjanje	Maksimum za penjanje	ZERO	5500			
737500	DEFAULT	3	8	Penjanje	Maksimum za penjanje	ZERO	7500			
737500	DEFAULT	3	9	Penjanje	Maksimum za penjanje	ZERO	10000			
737500	DEFAULT	4	1	Uzlijetanje	Maksimum za uzlijetanje	5				
737500	DEFAULT	4	2	Penjanje	Maksimum za uzlijetanje	5	1000			
737500	DEFAULT	4	3	Ubrzanje	Maksimum za penjanje	5		1229,4	192,1	
737500	DEFAULT	4	4	Ubrzanje	Maksimum za penjanje	1		1388,1	212,4	
737500	DEFAULT	4	5	Penjanje	Maksimum za penjanje	ZERO	3000			

737500	DEFAULT	4	6	Ubrzanje	Maksimum za penjanje	ZERO		1521,8	250	
737500	DEFAULT	4	7	Penjanje	Maksimum za penjanje	ZERO	5500			
737500	DEFAULT	4	8	Penjanje	Maksimum za penjanje	ZERO	7500			
737500	DEFAULT	4	9	Penjanje	Maksimum za penjanje	ZERO	10000			
737500	DEFAULT	5	1	Uzlijetanje	Maksimum za uzlijetanje	5				
737500	DEFAULT	5	2	Penjanje	Maksimum za uzlijetanje	5	1000			
737500	DEFAULT	5	3	Ubrzanje	Maksimum za penjanje	5		1211,1	192,4	
737500	DEFAULT	5	4	Ubrzanje	Maksimum za penjanje	1		1370,8	212	
737500	DEFAULT	5	5	Penjanje	Maksimum za penjanje	ZERO	3000			
737500	DEFAULT	5	6	Ubrzanje	Maksimum za penjanje	ZERO		1503,1	250	
737500	DEFAULT	5	7	Penjanje	Maksimum za penjanje	ZERO	5500			
737500	DEFAULT	5	8	Penjanje	Maksimum za penjanje	ZERO	7500			
737500	DEFAULT	5	9	Penjanje	Maksimum za penjanje	ZERO	10000			
737500	DEFAULT	M	1	Uzlijetanje	Maksimum za uzlijetanje	5				
737500	DEFAULT	M	2	Penjanje	Maksimum za uzlijetanje	5	1000			
737500	DEFAULT	M	3	Ubrzanje	Maksimum za penjanje	5		1192,6	192,8	

737500	DEFAULT	M	4	Ubrzanje	Maksimum za penjanje	1		1343,1	211,9	
737500	DEFAULT	M	5	Penjanje	Maksimum za penjanje	ZERO	3000			
737500	DEFAULT	M	6	Ubrzanje	Maksimum za penjanje	ZERO		1470,2	250	
737500	DEFAULT	M	7	Penjanje	Maksimum za penjanje	ZERO	5500			
737500	DEFAULT	M	8	Penjanje	Maksimum za penjanje	ZERO	7500			
737500	DEFAULT	M	9	Penjanje	Maksimum za penjanje	ZERO	10000			
737500	ICAO_A	1	1	Uzlijetanje	Maksimum za uzlijetanje	5				
737500	ICAO_A	1	2	Penjanje	Maksimum za uzlijetanje	5	1500			
737500	ICAO_A	1	3	Penjanje	Maksimum za penjanje	5	3000			
737500	ICAO_A	1	4	Ubrzanje	Maksimum za penjanje	5		1509,2	184	
737500	ICAO_A	1	5	Ubrzanje	Maksimum za penjanje	1		1725,7	204,8	
737500	ICAO_A	1	6	Ubrzanje	Maksimum za penjanje	ZERO		1934,3	250	
737500	ICAO_A	1	7	Penjanje	Maksimum za penjanje	ZERO	5500			
737500	ICAO_A	1	8	Penjanje	Maksimum za penjanje	ZERO	7500			
737500	ICAO_A	1	9	Penjanje	Maksimum za penjanje	ZERO	10000			
737500	ICAO_A	2	1	Uzlijetanje	Maksimum za uzlijetanje	5				

737500	ICAO_A	2	2	Penjanje	Maksimum za uzlijetanje	5	1500			
737500	ICAO_A	2	3	Penjanje	Maksimum za penjanje	5	3000			
737500	ICAO_A	2	4	Ubrzanje	Maksimum za penjanje	5		1420,9	185,1	
737500	ICAO_A	2	5	Ubrzanje	Maksimum za penjanje	1		1612,5	203,9	
737500	ICAO_A	2	6	Ubrzanje	Maksimum za penjanje	ZERO		1810,3	250	
737500	ICAO_A	2	7	Penjanje	Maksimum za penjanje	ZERO	5500			
737500	ICAO_A	2	8	Penjanje	Maksimum za penjanje	ZERO	7500			
737500	ICAO_A	2	9	Penjanje	Maksimum za penjanje	ZERO	10000			
737500	ICAO_A	3	1	Uzlijetanje	Maksimum za uzlijetanje	5				
737500	ICAO_A	3	2	Penjanje	Maksimum za uzlijetanje	5	1500			
737500	ICAO_A	3	3	Penjanje	Maksimum za penjanje	5	3000			
737500	ICAO_A	3	4	Ubrzanje	Maksimum za penjanje	5		1332,5	186,6	
737500	ICAO_A	3	5	Ubrzanje	Maksimum za penjanje	1		1494,3	203	
737500	ICAO_A	3	6	Ubrzanje	Maksimum za penjanje	ZERO		1691,3	250	
737500	ICAO_A	3	7	Penjanje	Maksimum za penjanje	ZERO	5500			
737500	ICAO_A	3	8	Penjanje	Maksimum za penjanje	ZERO	7500			



ThoriumSoftware d.o.o.

Mobile: +385 (0) 95 8 70 50 70
 Kontakt: Dario Ilija Rendulić
 Email:
[info@thoriumsoftware.eu;](mailto:info@thoriumsoftware.eu)
direndulic@gmail.com

737500	ICAO_A	3	9	Penjanje	Maksimum za penjanje	ZERO	10000			
737500	ICAO_A	4	1	Uzlijetanje	Maksimum za uzlijetanje	5				
737500	ICAO_A	4	2	Penjanje	Maksimum za uzlijetanje	5	1500			
737500	ICAO_A	4	3	Penjanje	Maksimum za penjanje	5	3000			
737500	ICAO_A	4	4	Ubrzanje	Maksimum za penjanje	5		1166,9	189,6	
737500	ICAO_A	4	5	Ubrzanje	Maksimum za penjanje	1		1317	211	
737500	ICAO_A	4	6	Ubrzanje	Maksimum za penjanje	ZERO		1496,1	250	
737500	ICAO_A	4	7	Penjanje	Maksimum za penjanje	ZERO	5500			
737500	ICAO_A	4	8	Penjanje	Maksimum za penjanje	ZERO	7500			
737500	ICAO_A	4	9	Penjanje	Maksimum za penjanje	ZERO	10000			
737500	ICAO_A	5	1	Uzlijetanje	Maksimum za uzlijetanje	5				
737500	ICAO_A	5	2	Penjanje	Maksimum za uzlijetanje	5	1500			
737500	ICAO_A	5	3	Penjanje	Maksimum za penjanje	5	3000			
737500	ICAO_A	5	4	Ubrzanje	Maksimum za penjanje	5		1152,1	189,9	
737500	ICAO_A	5	5	Ubrzanje	Maksimum za penjanje	1		1300	210,8	
737500	ICAO_A	5	6	Ubrzanje	Maksimum za penjanje	ZERO		1477,5	250	

737500	ICAO_A	5	7	Penjanje	Maksimum za penjanje	ZERO	5500			
737500	ICAO_A	5	8	Penjanje	Maksimum za penjanje	ZERO	7500			
737500	ICAO_A	5	9	Penjanje	Maksimum za penjanje	ZERO	10000			
737500	ICAO_A	M	1	Uzlijetanje	Maksimum za uzlijetanje	5				
737500	ICAO_A	M	2	Penjanje	Maksimum za uzlijetanje	5	1500			
737500	ICAO_A	M	3	Penjanje	Maksimum za penjanje	5	3000			
737500	ICAO_A	M	4	Ubrzanje	Maksimum za penjanje	5		1130,1	190,4	
737500	ICAO_A	M	5	Ubrzanje	Maksimum za penjanje	1		1267,1	210,6	
737500	ICAO_A	M	6	Ubrzanje	Maksimum za penjanje	ZERO		1451,9	250	
737500	ICAO_A	M	7	Penjanje	Maksimum za penjanje	ZERO	5500			
737500	ICAO_A	M	8	Penjanje	Maksimum za penjanje	ZERO	7500			
737500	ICAO_A	M	9	Penjanje	Maksimum za penjanje	ZERO	10000			
737500	ICAO_B	1	1	Uzlijetanje	Maksimum za uzlijetanje	5				
737500	ICAO_B	1	2	Penjanje	Maksimum za uzlijetanje	5	1000			
737500	ICAO_B	1	3	Ubrzanje	Maksimum za uzlijetanje	5		1715,3	189,5	
737500	ICAO_B	1	4	Ubrzanje	Maksimum za uzlijetanje	1		1944,8	207,8	

737500	ICAO_B	1	5	Penjanje	Maksimum za penjanje	ZERO	3000			
737500	ICAO_B	1	6	Ubrzanje	Maksimum za penjanje	ZERO		1966,3	250	
737500	ICAO_B	1	7	Penjanje	Maksimum za penjanje	ZERO	5500			
737500	ICAO_B	1	8	Penjanje	Maksimum za penjanje	ZERO	7500			
737500	ICAO_B	1	9	Penjanje	Maksimum za penjanje	ZERO	10000			
737500	ICAO_B	2	1	Uzljetanje	Maksimum za uzljetanje	5				
737500	ICAO_B	2	2	Penjanje	Maksimum za uzljetanje	5	1000			
737500	ICAO_B	2	3	Ubrzanje	Maksimum za uzljetanje	5		1619,6	190,3	
737500	ICAO_B	2	4	Ubrzanje	Maksimum za uzljetanje	1		1835,3	207,1	
737500	ICAO_B	2	5	Penjanje	Maksimum za penjanje	ZERO	3000			
737500	ICAO_B	2	6	Ubrzanje	Maksimum za penjanje	ZERO		1844,6	250	
737500	ICAO_B	2	7	Penjanje	Maksimum za penjanje	ZERO	5500			
737500	ICAO_B	2	8	Penjanje	Maksimum za penjanje	ZERO	7500			
737500	ICAO_B	2	9	Penjanje	Maksimum za penjanje	ZERO	10000			
737500	ICAO_B	3	1	Uzljetanje	Maksimum za uzljetanje	5				
737500	ICAO_B	3	2	Penjanje	Maksimum za uzljetanje	5	1000			

737500	ICAO_B	3	3	Ubrzanje	Maksimum za uzlijetanje	5		1520,2	191,6	
737500	ICAO_B	3	4	Ubrzanje	Maksimum za uzlijetanje	1		1717,5	207,1	
737500	ICAO_B	3	5	Penjanje	Maksimum za penjanje	ZERO	3000			
737500	ICAO_B	3	6	Ubrzanje	Maksimum za penjanje	ZERO		1722,6	250	
737500	ICAO_B	3	7	Penjanje	Maksimum za penjanje	ZERO	5500			
737500	ICAO_B	3	8	Penjanje	Maksimum za penjanje	ZERO	7500			
737500	ICAO_B	3	9	Penjanje	Maksimum za penjanje	ZERO	10000			
737500	ICAO_B	4	1	Uzlijetanje	Maksimum za uzlijetanje	5				
737500	ICAO_B	4	2	Penjanje	Maksimum za uzlijetanje	5	1000			
737500	ICAO_B	4	3	Ubrzanje	Maksimum za uzlijetanje	5		1339,9	194,1	
737500	ICAO_B	4	4	Ubrzanje	Maksimum za uzlijetanje	1		1512,8	213,4	
737500	ICAO_B	4	5	Penjanje	Maksimum za penjanje	ZERO	3000			
737500	ICAO_B	4	6	Ubrzanje	Maksimum za penjanje	ZERO		1526,7	250	
737500	ICAO_B	4	7	Penjanje	Maksimum za penjanje	ZERO	5500			
737500	ICAO_B	4	8	Penjanje	Maksimum za penjanje	ZERO	7500			
737500	ICAO_B	4	9	Penjanje	Maksimum za penjanje	ZERO	10000			



ThoriumSoftware d.o.o.

Mobile: +385 (0) 95 8 70 50 70
Kontakt: Dario Ilija Rendulić
Email:
info@thoriumsoftware.eu;
direndulic@gmail.com

737500	ICAO_B	5	1	Uzlijetanje	Maksimum za uzlijetanje	5					
737500	ICAO_B	5	2	Penjanje	Maksimum za uzlijetanje	5	1000				
737500	ICAO_B	5	3	Ubrzanje	Maksimum za uzlijetanje	5		1322,2	194,4		
737500	ICAO_B	5	4	Ubrzanje	Maksimum za uzlijetanje	1		1500	213,2		
737500	ICAO_B	5	5	Penjanje	Maksimum za penjanje	ZERO	3000				
737500	ICAO_B	5	6	Ubrzanje	Maksimum za penjanje	ZERO		1503,1	250		
737500	ICAO_B	5	7	Penjanje	Maksimum za penjanje	ZERO	5500				
737500	ICAO_B	5	8	Penjanje	Maksimum za penjanje	ZERO	7500				
737500	ICAO_B	5	9	Penjanje	Maksimum za penjanje	ZERO	10000				
737500	ICAO_B	M	1	Uzlijetanje	Maksimum za uzlijetanje	5					
737500	ICAO_B	M	2	Penjanje	Maksimum za uzlijetanje	5	1000				
737500	ICAO_B	M	3	Ubrzanje	Maksimum za uzlijetanje	5		1303,1	194,8		
737500	ICAO_B	M	4	Ubrzanje	Maksimum za uzlijetanje	1		1463,2	213		
737500	ICAO_B	M	5	Penjanje	Maksimum za penjanje	ZERO	3000				
737500	ICAO_B	M	6	Ubrzanje	Maksimum za penjanje	ZERO		1475,5	250		
737500	ICAO_B	M	7	Penjanje	Maksimum za penjanje	ZERO	5500				

737500	ICAO_B	M	8	Penjanje	Maksimum za penjanje	ZERO	7500			
737500	ICAO_B	M	9	Penjanje	Maksimum za penjanje	ZERO	10000			
737700	DEFAULT	1	1	Uzlijetanje	Maksimum za uzlijetanje	T_5				
737700	DEFAULT	1	2	Penjanje	Maksimum za uzlijetanje	T_5	1000			
737700	DEFAULT	1	3	Ubrzanje	Maksimum za penjanje	T_ZERO		1782,4	195,1	
737700	DEFAULT	1	4	Penjanje	Maksimum za penjanje	T_ZERO	3000			
737700	DEFAULT	1	5	Ubrzanje	Maksimum za penjanje	T_ZERO		2159,3	250	
737700	DEFAULT	1	6	Penjanje	Maksimum za penjanje	T_ZERO	5500			
737700	DEFAULT	1	7	Penjanje	Maksimum za penjanje	T_00H	7500			
737700	DEFAULT	1	8	Penjanje	Maksimum za penjanje	T_00H	10000			
737700	DEFAULT	2	1	Uzlijetanje	Maksimum za uzlijetanje	T_5				
737700	DEFAULT	2	2	Penjanje	Maksimum za uzlijetanje	T_5	1000			
737700	DEFAULT	2	3	Ubrzanje	Maksimum za penjanje	T_ZERO		1710,1	197,7	
737700	DEFAULT	2	4	Penjanje	Maksimum za penjanje	T_ZERO	3000			
737700	DEFAULT	2	5	Ubrzanje	Maksimum za penjanje	T_ZERO		2056,7	250	
737700	DEFAULT	2	6	Penjanje	Maksimum za penjanje	T_ZERO	5500			

737700	DEFAULT	2	7	Penjanje	Maksimum za penjanje	T_00H	7500			
737700	DEFAULT	2	8	Penjanje	Maksimum za penjanje	T_00H	10000			
737700	DEFAULT	3	1	Uzlijetanje	Maksimum za uzlijetanje	T_5				
737700	DEFAULT	3	2	Penjanje	Maksimum za uzlijetanje	T_5	1000			
737700	DEFAULT	3	3	Ubrzanje	Maksimum za penjanje	T_ZERO		1635,7	200,3	
737700	DEFAULT	3	4	Penjanje	Maksimum za penjanje	T_ZERO	3000			
737700	DEFAULT	3	5	Ubrzanje	Maksimum za penjanje	T_ZERO		1957	250	
737700	DEFAULT	3	6	Penjanje	Maksimum za penjanje	T_ZERO	5500			
737700	DEFAULT	3	7	Penjanje	Maksimum za penjanje	T_ZERO	7500			
737700	DEFAULT	3	8	Penjanje	Maksimum za penjanje	T_00H	10000			
737700	DEFAULT	4	1	Uzlijetanje	Maksimum za uzlijetanje	T_5				
737700	DEFAULT	4	2	Penjanje	Maksimum za uzlijetanje	T_5	1000			
737700	DEFAULT	4	3	Ubrzanje	Maksimum za penjanje	T_ZERO		1498,3	205,8	
737700	DEFAULT	4	4	Penjanje	Maksimum za penjanje	T_ZERO	3000			
737700	DEFAULT	4	5	Ubrzanje	Maksimum za penjanje	T_ZERO		1774,4	250	
737700	DEFAULT	4	6	Penjanje	Maksimum za penjanje	T_ZERO	5500			

737700	DEFAULT	4	7	Penjanje	Maksimum za penjanje	T_ZERO	7500			
737700	DEFAULT	4	8	Penjanje	Maksimum za penjanje	T_ZERO	10000			
737700	DEFAULT	5	1	Uzlijetanje	Maksimum za uzlijetanje	T_5				
737700	DEFAULT	5	2	Penjanje	Maksimum za uzlijetanje	T_5	1000			
737700	DEFAULT	5	3	Ubrzanje	Maksimum za penjanje	T_ZERO		1348,5	211,6	
737700	DEFAULT	5	4	Penjanje	Maksimum za penjanje	T_ZERO	3000			
737700	DEFAULT	5	5	Ubrzanje	Maksimum za penjanje	T_ZERO		1581,2	250	
737700	DEFAULT	5	6	Penjanje	Maksimum za penjanje	T_ZERO	5500			
737700	DEFAULT	5	7	Penjanje	Maksimum za penjanje	T_ZERO	7500			
737700	DEFAULT	5	8	Penjanje	Maksimum za penjanje	T_ZERO	10000			
737700	DEFAULT	6	1	Uzlijetanje	Maksimum za uzlijetanje	T_5				
737700	DEFAULT	6	2	Penjanje	Maksimum za uzlijetanje	T_5	1000			
737700	DEFAULT	6	3	Ubrzanje	Maksimum za penjanje	T_ZERO		1347,1	211,6	
737700	DEFAULT	6	4	Penjanje	Maksimum za penjanje	T_ZERO	3000			
737700	DEFAULT	6	5	Ubrzanje	Maksimum za penjanje	T_ZERO		1579,1	250	
737700	DEFAULT	6	6	Penjanje	Maksimum za penjanje	T_ZERO	5500			

737700	DEFAULT	6	7	Penjanje	Maksimum za penjanje	T_ZERO	7500			
737700	DEFAULT	6	8	Penjanje	Maksimum za penjanje	T_ZERO	10000			
737700	ICAO_A	1	1	Uzlijetanje	Maksimum za uzlijetanje	T_5				
737700	ICAO_A	1	2	Penjanje	Maksimum za uzlijetanje	T_5	1500			
737700	ICAO_A	1	3	Penjanje	Maksimum za penjanje	T_5	3000			
737700	ICAO_A	1	4	Ubrzanje	Maksimum za penjanje	T_ZERO		1747,6	194,9	
737700	ICAO_A	1	5	Ubrzanje	Maksimum za penjanje	T_ZERO		2128,3	250	
737700	ICAO_A	1	6	Penjanje	Maksimum za penjanje	T_ZERO	5500			
737700	ICAO_A	1	7	Penjanje	Maksimum za penjanje	T_00H	7500			
737700	ICAO_A	1	8	Penjanje	Maksimum za penjanje	T_00H	10000			
737700	ICAO_A	2	1	Uzlijetanje	Maksimum za uzlijetanje	T_5				
737700	ICAO_A	2	2	Penjanje	Maksimum za uzlijetanje	T_5	1500			
737700	ICAO_A	2	3	Penjanje	Maksimum za penjanje	T_5	3000			
737700	ICAO_A	2	4	Ubrzanje	Maksimum za penjanje	T_ZERO		1673,6	197,4	
737700	ICAO_A	2	5	Ubrzanje	Maksimum za penjanje	T_ZERO		2028,3	250	
737700	ICAO_A	2	6	Penjanje	Maksimum za penjanje	T_ZERO	5500			

737700	ICAO_A	2	7	Penjanje	Maksimum za penjanje	T_ZERO	7500			
737700	ICAO_A	2	8	Penjanje	Maksimum za penjanje	T_00H	10000			
737700	ICAO_A	3	1	Uzlijetanje	Maksimum za uzlijetanje	T_5				
737700	ICAO_A	3	2	Penjanje	Maksimum za uzlijetanje	T_5	1500			
737700	ICAO_A	3	3	Penjanje	Maksimum za penjanje	T_5	3000			
737700	ICAO_A	3	4	Ubrzanje	Maksimum za penjanje	T_ZERO		1600,5	200,2	
737700	ICAO_A	3	5	Ubrzanje	Maksimum za penjanje	T_ZERO		1931,7	250	
737700	ICAO_A	3	6	Penjanje	Maksimum za penjanje	T_ZERO	5500			
737700	ICAO_A	3	7	Penjanje	Maksimum za penjanje	T_ZERO	7500			
737700	ICAO_A	3	8	Penjanje	Maksimum za penjanje	T_00H	10000			
737700	ICAO_A	4	1	Uzlijetanje	Maksimum za uzlijetanje	T_5				
737700	ICAO_A	4	2	Penjanje	Maksimum za uzlijetanje	T_5	1500			
737700	ICAO_A	4	3	Penjanje	Maksimum za penjanje	T_5	3000			
737700	ICAO_A	4	4	Ubrzanje	Maksimum za penjanje	T_ZERO		1462,2	205,6	
737700	ICAO_A	4	5	Ubrzanje	Maksimum za penjanje	T_ZERO		1753,8	250	
737700	ICAO_A	4	6	Penjanje	Maksimum za penjanje	T_ZERO	5500			

737700	ICAO_A	4	7	Penjanje	Maksimum za penjanje	T_ZERO	7500			
737700	ICAO_A	4	8	Penjanje	Maksimum za penjanje	T_00H	10000			
737700	ICAO_A	5	1	Uzlijetanje	Maksimum za uzlijetanje	T_5				
737700	ICAO_A	5	2	Penjanje	Maksimum za uzlijetanje	T_5	1500			
737700	ICAO_A	5	3	Penjanje	Maksimum za penjanje	T_5	3000			
737700	ICAO_A	5	4	Ubrzanje	Maksimum za penjanje	T_ZERO		1430	250	
737700	ICAO_A	5	5	Penjanje	Maksimum za penjanje	T_ZERO	5500			
737700	ICAO_A	5	6	Penjanje	Maksimum za penjanje	T_ZERO	7500			
737700	ICAO_A	5	7	Penjanje	Maksimum za penjanje	T_ZERO	10000			
737700	ICAO_A	6	1	Uzlijetanje	Maksimum za uzlijetanje	T_5				
737700	ICAO_A	6	2	Penjanje	Maksimum za uzlijetanje	T_5	1500			
737700	ICAO_A	6	3	Penjanje	Maksimum za penjanje	T_5	3000			
737700	ICAO_A	6	4	Ubrzanje	Maksimum za penjanje	T_ZERO		1430,1	250	
737700	ICAO_A	6	5	Penjanje	Maksimum za penjanje	T_ZERO	5500			
737700	ICAO_A	6	6	Penjanje	Maksimum za penjanje	T_ZERO	7500			
737700	ICAO_A	6	7	Penjanje	Maksimum za penjanje	T_ZERO	10000			

737700	ICAO_B	1	1	Uzlijetanje	Maksimum za uzlijetanje	T_5				
737700	ICAO_B	1	2	Penjanje	Maksimum za uzlijetanje	T_5	1000			
737700	ICAO_B	1	3	Ubrzanje	Maksimum za uzlijetanje	T_01		1888,7	195,1	
737700	ICAO_B	1	4	Penjanje	Maksimum za penjanje	T_ZERO	3000			
737700	ICAO_B	1	5	Ubrzanje	Maksimum za penjanje	T_ZERO		2159,3	250	
737700	ICAO_B	1	6	Penjanje	Maksimum za penjanje	T_00H	5500			
737700	ICAO_B	1	7	Penjanje	Maksimum za penjanje	T_00H	7500			
737700	ICAO_B	1	8	Penjanje	Maksimum za penjanje	T_ZERO	10000			
737700	ICAO_B	2	1	Uzlijetanje	Maksimum za uzlijetanje	T_5				
737700	ICAO_B	2	2	Penjanje	Maksimum za uzlijetanje	T_5	1000			
737700	ICAO_B	2	3	Ubrzanje	Maksimum za uzlijetanje	T_01		1814,3	197,7	
737700	ICAO_B	2	4	Penjanje	Maksimum za penjanje	T_ZERO	3000			
737700	ICAO_B	2	5	Ubrzanje	Maksimum za penjanje	T_ZERO		2058,1	250	
737700	ICAO_B	2	6	Penjanje	Maksimum za penjanje	T_ZERO	5500			
737700	ICAO_B	2	7	Penjanje	Maksimum za penjanje	T_ZERO	7500			
737700	ICAO_B	2	8	Penjanje	Maksimum za penjanje	T_00H	10000			



ThoriumSoftware d.o.o.

Mobile: +385 (0) 95 8 70 50 70
Kontakt: Dario Ilija Rendulić
Email:
info@thoriumsoftware.eu;
direndulic@gmail.com

737700	ICAO_B	3	1	Uzlijetanje	Maksimum za uzlijetanje	T_5					
737700	ICAO_B	3	2	Penjanje	Maksimum za uzlijetanje	T_5	1000				
737700	ICAO_B	3	3	Ubrzanje	Maksimum za uzlijetanje	T_5		1619	175,6		
737700	ICAO_B	3	4	Ubrzanje	Maksimum za uzlijetanje	T_01		1840,6	200,4		
737700	ICAO_B	3	5	Penjanje	Maksimum za penjanje	T_ZERO	3000				
737700	ICAO_B	3	6	Ubrzanje	Maksimum za penjanje	T_ZERO		1958,4	250		
737700	ICAO_B	3	7	Penjanje	Maksimum za penjanje	T_ZERO	5500				
737700	ICAO_B	3	8	Penjanje	Maksimum za penjanje	T_ZERO	7500				
737700	ICAO_B	3	9	Penjanje	Maksimum za penjanje	T_ZERO	10000				
737700	ICAO_B	4	1	Uzlijetanje	Maksimum za uzlijetanje	T_5					
737700	ICAO_B	4	2	Penjanje	Maksimum za uzlijetanje	T_5	1000				
737700	ICAO_B	4	3	Ubrzanje	Maksimum za uzlijetanje	T_01		1594,1	205,8		
737700	ICAO_B	4	4	Penjanje	Maksimum za penjanje	T_ZERO	3000				
737700	ICAO_B	4	5	Ubrzanje	Maksimum za penjanje	T_ZERO		1774,4	250		
737700	ICAO_B	4	6	Penjanje	Maksimum za penjanje	T_ZERO	5500				
737700	ICAO_B	4	7	Penjanje	Maksimum za penjanje	T_ZERO	7500				

737700	ICAO_B	4	8	Penjanje	Maksimum za penjanje	T_ZERO	10000			
737700	ICAO_B	5	1	Uzlijetanje	Maksimum za uzlijetanje	T_5				
737700	ICAO_B	5	2	Penjanje	Maksimum za uzlijetanje	T_5	1000			
737700	ICAO_B	5	3	Ubrzanje	Maksimum za uzlijetanje	T_01		1438,9	211,5	
737700	ICAO_B	5	4	Penjanje	Maksimum za penjanje	T_ZERO	3000			
737700	ICAO_B	5	5	Ubrzanje	Maksimum za penjanje	T_ZERO		1579,6	250	
737700	ICAO_B	5	6	Penjanje	Maksimum za penjanje	T_ZERO	5500			
737700	ICAO_B	5	7	Penjanje	Maksimum za penjanje	T_ZERO	7500			
737700	ICAO_B	5	8	Penjanje	Maksimum za penjanje	T_ZERO	10000			
737700	ICAO_B	6	1	Uzlijetanje	Maksimum za uzlijetanje	T_5				
737700	ICAO_B	6	2	Penjanje	Maksimum za uzlijetanje	T_5	1000			
737700	ICAO_B	6	3	Ubrzanje	Maksimum za uzlijetanje	T_01		1437,2	211,5	
737700	ICAO_B	6	4	Penjanje	Maksimum za penjanje	T_ZERO	3000			
737700	ICAO_B	6	5	Ubrzanje	Maksimum za penjanje	T_ZERO		1579,1	250	
737700	ICAO_B	6	6	Penjanje	Maksimum za penjanje	T_ZERO	5500			
737700	ICAO_B	6	7	Penjanje	Maksimum za penjanje	T_ZERO	7500			

737700	ICAO_B	6	8	Penjanje	Maksimum za penjanje	T_ZERO	10000			
737800	DEFAULT	1	1	Uzlijetanje	Maksimum za uzlijetanje	T_05				
737800	DEFAULT	1	2	Penjanje	Maksimum za uzlijetanje	T_05	1000			
737800	DEFAULT	1	3	Ubrzanje	Maksimum za uzlijetanje	T_05		1885,7	181,7	
737800	DEFAULT	1	4	Ubrzanje	Maksimum za uzlijetanje	T_01		2112	204,8	
737800	DEFAULT	1	5	Penjanje	Maksimum za uzlijetanje	T_00	2040			
737800	DEFAULT	1	6	Penjanje	Maksimum za penjanje	T_00	3000			
737800	DEFAULT	1	7	Ubrzanje	Maksimum za penjanje	T_00		1891,3	250	
737800	DEFAULT	1	8	Penjanje	Maksimum za penjanje	T_00	5500			
737800	DEFAULT	1	9	Penjanje	Maksimum za penjanje	T_00	7500			
737800	DEFAULT	1	10	Penjanje	Maksimum za penjanje	T_00	10000			
737800	DEFAULT	2	1	Uzlijetanje	Maksimum za uzlijetanje	T_05				
737800	DEFAULT	2	2	Penjanje	Maksimum za uzlijetanje	T_05	1000			
737800	DEFAULT	2	3	Ubrzanje	Maksimum za uzlijetanje	T_05		1786,4	183,9	
737800	DEFAULT	2	4	Ubrzanje	Maksimum za uzlijetanje	T_01		2016,2	208	
737800	DEFAULT	2	5	Penjanje	Maksimum za uzlijetanje	T_00	2000			

737800	DEFAULT	2	6	Penjanje	Maksimum za penjanje	T_00	3000			
737800	DEFAULT	2	7	Ubrzanje	Maksimum za penjanje	T_00		1793,4	250	
737800	DEFAULT	2	8	Penjanje	Maksimum za penjanje	T_00	5500			
737800	DEFAULT	2	9	Penjanje	Maksimum za penjanje	T_00	7500			
737800	DEFAULT	2	10	Penjanje	Maksimum za penjanje	T_00	10000			
737800	DEFAULT	3	1	Uzlijetanje	Maksimum za uzlijetanje	T_05				
737800	DEFAULT	3	2	Penjanje	Maksimum za uzlijetanje	T_05	1000			
737800	DEFAULT	3	3	Ubrzanje	Maksimum za uzlijetanje	T_05		1707,7	186,2	
737800	DEFAULT	3	4	Ubrzanje	Maksimum za uzlijetanje	T_05		1922	211,2	
737800	DEFAULT	3	5	Penjanje	Maksimum za uzlijetanje	T_00	1960			
737800	DEFAULT	3	6	Penjanje	Maksimum za penjanje	T_00	3000			
737800	DEFAULT	3	7	Ubrzanje	Maksimum za penjanje	T_00		1705,3	250	
737800	DEFAULT	3	8	Penjanje	Maksimum za penjanje	T_00	5500			
737800	DEFAULT	3	9	Penjanje	Maksimum za penjanje	T_00	7500			
737800	DEFAULT	3	10	Penjanje	Maksimum za penjanje	T_00	10000			
737800	DEFAULT	4	1	Uzlijetanje	Maksimum za uzlijetanje	T_05				

737800	DEFAULT	4	2	Penjanje	Maksimum za uzlijetanje	T_05	1000			
737800	DEFAULT	4	3	Ubrzanje	Maksimum za uzlijetanje	T_05		1576,6	189,6	
737800	DEFAULT	4	4	Ubrzanje	Maksimum za uzlijetanje	T_01		1766,9	216,2	
737800	DEFAULT	4	5	Penjanje	Maksimum za uzlijetanje	T_00	1880			
737800	DEFAULT	4	6	Penjanje	Maksimum za penjanje	T_00	3000			
737800	DEFAULT	4	7	Ubrzanje	Maksimum za penjanje	T_00		1546,5	250	
737800	DEFAULT	4	8	Penjanje	Maksimum za penjanje	T_00	5500			
737800	DEFAULT	4	9	Penjanje	Maksimum za penjanje	T_00	7500			
737800	DEFAULT	4	10	Penjanje	Maksimum za penjanje	T_00	10000			
737800	DEFAULT	5	1	Uzlijetanje	Maksimum za uzlijetanje	T_05				
737800	DEFAULT	5	2	Penjanje	Maksimum za uzlijetanje	T_05	1000			
737800	DEFAULT	5	3	Ubrzanje	Maksimum za uzlijetanje	T_05		1444,9	192,9	
737800	DEFAULT	5	4	Ubrzanje	Maksimum za uzlijetanje	T_01		1628,6	220,7	
737800	DEFAULT	5	5	Penjanje	Maksimum za uzlijetanje	T_00	1811			
737800	DEFAULT	5	6	Penjanje	Maksimum za penjanje	T_00	3000			
737800	DEFAULT	5	7	Ubrzanje	Maksimum za penjanje	T_00		1412,2	250	



ThoriumSoftware d.o.o.

Mobile: +385 (0) 95 8 70 50 70
Kontakt: Dario Ilija Rendulić
Email:
info@thoriumsoftware.eu;
direndulic@gmail.com

737800	DEFAULT	5	8	Penjanje	Maksimum za penjanje	T_00	5500				
737800	DEFAULT	5	9	Penjanje	Maksimum za penjanje	T_00	7500				
737800	DEFAULT	5	10	Penjanje	Maksimum za penjanje	T_00	10000				
737800	DEFAULT	6	1	Uzlijetanje	Maksimum za uzlijetanje	T_05					
737800	DEFAULT	6	2	Penjanje	Maksimum za uzlijetanje	T_05	1000				
737800	DEFAULT	6	3	Ubrzanje	Maksimum za uzlijetanje	T_05		1400	194,4		
737800	DEFAULT	6	4	Ubrzanje	Maksimum za uzlijetanje	T_01		1575,4	222,7		
737800	DEFAULT	6	5	Penjanje	Maksimum za uzlijetanje	T_00	1785				
737800	DEFAULT	6	6	Penjanje	Maksimum za penjanje	T_00	3000				
737800	DEFAULT	6	7	Ubrzanje	Maksimum za penjanje	T_00		1357,5	250		
737800	DEFAULT	6	8	Penjanje	Maksimum za penjanje	T_00	5500				
737800	DEFAULT	6	9	Penjanje	Maksimum za penjanje	T_00	7500				
737800	DEFAULT	6	10	Penjanje	Maksimum za penjanje	T_00	10000				
737800	ICAO_A	1	1	Uzlijetanje	Maksimum za uzlijetanje	T_05					
737800	ICAO_A	1	2	Penjanje	Maksimum za uzlijetanje	T_05	1500				
737800	ICAO_A	1	3	Penjanje	Maksimum za penjanje	T_05	3000				



ThoriumSoftware d.o.o.

Mobile: +385 (0) 95 8 70 50 70
Kontakt: Dario Ilija Rendulić
Email:
info@thoriumsoftware.eu;
direndulic@gmail.com

737800	ICAO_A	1	4	Ubrzanje	Maksimum za penjanje	T_05		1449,4	177,2	
737800	ICAO_A	1	5	Ubrzanje	Maksimum za penjanje	T_01		1663,3	204,6	
737800	ICAO_A	1	6	Penjanje	Maksimum za penjanje	T_00	3807			
737800	ICAO_A	1	7	Ubrzanje	Maksimum za penjanje	T_00		1896,8	250	
737800	ICAO_A	1	8	Penjanje	Maksimum za penjanje	T_00	5500			
737800	ICAO_A	1	9	Penjanje	Maksimum za penjanje	T_00	7500			
737800	ICAO_A	1	10	Penjanje	Maksimum za penjanje	T_00	10000			
737800	ICAO_A	2	1	Uzlijetanje	Maksimum za uzlijetanje	T_05				
737800	ICAO_A	2	2	Penjanje	Maksimum za uzlijetanje	T_05	1500			
737800	ICAO_A	2	3	Penjanje	Maksimum za penjanje	T_05	3000			
737800	ICAO_A	2	4	Ubrzanje	Maksimum za penjanje	T_05		1372,3	179,6	
737800	ICAO_A	2	5	Ubrzanje	Maksimum za penjanje	T_01		1579,3	207,8	
737800	ICAO_A	2	6	Penjanje	Maksimum za penjanje	T_00	3772			
737800	ICAO_A	2	7	Ubrzanje	Maksimum za penjanje	T_00		1804,3	250	
737800	ICAO_A	2	8	Penjanje	Maksimum za penjanje	T_00	5500			
737800	ICAO_A	2	9	Penjanje	Maksimum za penjanje	T_00	7500			



ThoriumSoftware d.o.o.

Mobile: +385 (0) 95 8 70 50 70
 Kontakt: Dario Ilija Rendulić
 Email:
[info@thoriumsoftware.eu;](mailto:info@thoriumsoftware.eu)
direndulic@gmail.com

737800	ICAO_A	2	10	Penjanje	Maksimum za penjanje	T_00	10000			
737800	ICAO_A	3	1	Uzlijetanje	Maksimum za uzlijetanje	T_05				
737800	ICAO_A	3	2	Penjanje	Maksimum za uzlijetanje	T_05	1500			
737800	ICAO_A	3	3	Penjanje	Maksimum za penjanje	T_05	3000			
737800	ICAO_A	3	4	Ubrzanje	Maksimum za penjanje	T_05		1297	182,1	
737800	ICAO_A	3	5	Ubrzanje	Maksimum za penjanje	T_01		1496,9	211	
737800	ICAO_A	3	6	Penjanje	Maksimum za penjanje	T_00	3737			
737800	ICAO_A	3	7	Ubrzanje	Maksimum za penjanje	T_00		1701,8	250	
737800	ICAO_A	3	8	Penjanje	Maksimum za penjanje	T_00	5500			
737800	ICAO_A	3	9	Penjanje	Maksimum za penjanje	T_00	7500			
737800	ICAO_A	3	10	Penjanje	Maksimum za penjanje	T_00	10000			
737800	ICAO_A	4	1	Uzlijetanje	Maksimum za uzlijetanje	T_05				
737800	ICAO_A	4	2	Penjanje	Maksimum za uzlijetanje	T_05	1500			
737800	ICAO_A	4	3	Penjanje	Maksimum za penjanje	T_05	3000			
737800	ICAO_A	4	4	Ubrzanje	Maksimum za penjanje	T_05		1194,2	185,8	
737800	ICAO_A	4	5	Ubrzanje	Maksimum za penjanje	T_01		1352,1	214,8	

737800	ICAO_A	4	6	Ubrzanje	Maksimum za penjanje	T_00		1548,2	250	
737800	ICAO_A	4	7	Penjanje	Maksimum za penjanje	T_00	5500			
737800	ICAO_A	4	8	Penjanje	Maksimum za penjanje	T_00	7500			
737800	ICAO_A	4	9	Penjanje	Maksimum za penjanje	T_00	10000			
737800	ICAO_A	5	1	Uzlijetanje	Maksimum za uzlijetanje	T_05				
737800	ICAO_A	5	2	Penjanje	Maksimum za uzlijetanje	T_05	1500			
737800	ICAO_A	5	3	Penjanje	Maksimum za penjanje	T_05	3000			
737800	ICAO_A	5	4	Ubrzanje	Maksimum za penjanje	T_05		1078,9	189,4	
737800	ICAO_A	5	5	Ubrzanje	Maksimum za penjanje	T_01		1233,3	217,4	
737800	ICAO_A	5	6	Ubrzanje	Maksimum za penjanje	T_00		1403,6	250	
737800	ICAO_A	5	7	Penjanje	Maksimum za penjanje	T_00	5500			
737800	ICAO_A	5	8	Penjanje	Maksimum za penjanje	T_00	7500			
737800	ICAO_A	5	9	Penjanje	Maksimum za penjanje	T_00	10000			
737800	ICAO_A	6	1	Uzlijetanje	Maksimum za uzlijetanje	T_05				
737800	ICAO_A	6	2	Penjanje	Maksimum za uzlijetanje	T_05	1500			
737800	ICAO_A	6	3	Penjanje	Maksimum za penjanje	T_05	3000			

737800	ICAO_A	6	4	Ubrzanje	Maksimum za penjanje	T_05		1037,8	190,9	
737800	ICAO_A	6	5	Ubrzanje	Maksimum za penjanje	T_01		1182,7	218,6	
737800	ICAO_A	6	6	Ubrzanje	Maksimum za penjanje	T_00		1349,5	250	
737800	ICAO_A	6	7	Penjanje	Maksimum za penjanje	T_00	5500			
737800	ICAO_A	6	8	Penjanje	Maksimum za penjanje	T_00	7500			

737800	ICAO_A	6	9	Penjanje	Maksimum za penjanje	T_00	10000			
737800	ICAO_B	1	1	Uzlijetanje	Maksimum za uzlijetanje	T_05				
737800	ICAO_B	1	2	Penjanje	Maksimum za uzlijetanje	T_05	1000			
737800	ICAO_B	1	3	Ubrzanje	Maksimum za uzlijetanje	T_05		1885,7	181,7	
737800	ICAO_B	1	4	Ubrzanje	Maksimum za uzlijetanje	T_01		2112	204,8	
737800	ICAO_B	1	5	Penjanje	Maksimum za uzlijetanje	T_00	2040			
737800	ICAO_B	1	6	Penjanje	Maksimum za penjanje	T_00	3000			
737800	ICAO_B	1	7	Ubrzanje	Maksimum za penjanje	T_00		1891,3	250	
737800	ICAO_B	1	8	Penjanje	Maksimum za penjanje	T_00	5500			
737800	ICAO_B	1	9	Penjanje	Maksimum za penjanje	T_00	7500			

737800	ICAO_B	1	10	Penjanje	Maksimum za penjanje	T_00	10000			
737800	ICAO_B	2	1	Uzlijetanje	Maksimum za uzlijetanje	T_05				
737800	ICAO_B	2	2	Penjanje	Maksimum za uzlijetanje	T_05	1000			
737800	ICAO_B	2	3	Ubrzanje	Maksimum za uzlijetanje	T_05		1786,4	183,9	
737800	ICAO_B	2	4	Ubrzanje	Maksimum za uzlijetanje	T_01		2016,2	208	
737800	ICAO_B	2	5	Penjanje	Maksimum za uzlijetanje	T_00	2000			
737800	ICAO_B	2	6	Penjanje	Maksimum za penjanje	T_00	3000			
737800	ICAO_B	2	7	Ubrzanje	Maksimum za penjanje	T_00		1793,4	250	
737800	ICAO_B	2	8	Penjanje	Maksimum za penjanje	T_00	5500			
737800	ICAO_B	2	9	Penjanje	Maksimum za penjanje	T_00	7500			
737800	ICAO_B	2	10	Penjanje	Maksimum za penjanje	T_00	10000			
737800	ICAO_B	3	1	Uzlijetanje	Maksimum za uzlijetanje	T_05				
737800	ICAO_B	3	2	Penjanje	Maksimum za uzlijetanje	T_05	1000			
737800	ICAO_B	3	3	Ubrzanje	Maksimum za uzlijetanje	T_05		1707,7	186,2	
737800	ICAO_B	3	4	Ubrzanje	Maksimum za uzlijetanje	T_05		1922	211,2	
737800	ICAO_B	3	5	Penjanje	Maksimum za uzlijetanje	T_00	1960			

737800	ICAO_B	3	6	Penjanje	Maksimum za penjanje	T_00	3000			
737800	ICAO_B	3	7	Ubrzanje	Maksimum za penjanje	T_00		1705,3	250	
737800	ICAO_B	3	8	Penjanje	Maksimum za penjanje	T_00	5500			
737800	ICAO_B	3	9	Penjanje	Maksimum za penjanje	T_00	7500			
737800	ICAO_B	3	10	Penjanje	Maksimum za penjanje	T_00	10000			
737800	ICAO_B	4	1	Uzlijetanje	Maksimum za uzlijetanje	T_05				
737800	ICAO_B	4	2	Penjanje	Maksimum za uzlijetanje	T_05	1000			
737800	ICAO_B	4	3	Ubrzanje	Maksimum za uzlijetanje	T_05		1576,6	189,6	
737800	ICAO_B	4	4	Ubrzanje	Maksimum za uzlijetanje	T_01		1766,9	216,2	
737800	ICAO_B	4	5	Penjanje	Maksimum za uzlijetanje	T_00	1880			
737800	ICAO_B	4	6	Penjanje	Maksimum za penjanje	T_00	3000			
737800	ICAO_B	4	7	Ubrzanje	Maksimum za penjanje	T_00		1546,5	250	
737800	ICAO_B	4	8	Penjanje	Maksimum za penjanje	T_00	5500			
737800	ICAO_B	4	9	Penjanje	Maksimum za penjanje	T_00	7500			
737800	ICAO_B	4	10	Penjanje	Maksimum za penjanje	T_00	10000			
737800	ICAO_B	5	1	Uzlijetanje	Maksimum za uzlijetanje	T_05				

737800	ICAO_B	5	2	Penjanje	Maksimum za uzlijetanje	T_05	1000			
737800	ICAO_B	5	3	Ubrzanje	Maksimum za uzlijetanje	T_05		1444,9	192,9	
737800	ICAO_B	5	4	Ubrzanje	Maksimum za uzlijetanje	T_01		1628,6	220,7	
737800	ICAO_B	5	5	Penjanje	Maksimum za uzlijetanje	T_00	1811			
737800	ICAO_B	5	6	Penjanje	Maksimum za penjanje	T_00	3000			
737800	ICAO_B	5	7	Ubrzanje	Maksimum za penjanje	T_00		1412,2	250	
737800	ICAO_B	5	8	Penjanje	Maksimum za penjanje	T_00	5500			
737800	ICAO_B	5	9	Penjanje	Maksimum za penjanje	T_00	7500			
737800	ICAO_B	5	10	Penjanje	Maksimum za penjanje	T_00	10000			
737800	ICAO_B	6	1	Uzlijetanje	Maksimum za uzlijetanje	T_05				
737800	ICAO_B	6	2	Penjanje	Maksimum za uzlijetanje	T_05	1000			
737800	ICAO_B	6	3	Ubrzanje	Maksimum za uzlijetanje	T_05		1400	194,4	
737800	ICAO_B	6	4	Ubrzanje	Maksimum za uzlijetanje	T_01		1575,4	222,7	
737800	ICAO_B	6	5	Penjanje	Maksimum za uzlijetanje	T_00	1785			
737800	ICAO_B	6	6	Penjanje	Maksimum za penjanje	T_00	3000			
737800	ICAO_B	6	7	Ubrzanje	Maksimum za penjanje	T_00		1357,5	250	

737800	ICAO_B	6	8	Penjanje	Maksimum za penjanje	T_00	5500			
737800	ICAO_B	6	9	Penjanje	Maksimum za penjanje	T_00	7500			
737800	ICAO_B	6	10	Penjanje	Maksimum za penjanje	T_00	10000			
737D17	DEFAULT	1	1	Uzlijetanje	Maksimum za uzlijetanje	5				
737D17	DEFAULT	1	2	Penjanje	Maksimum za uzlijetanje	5	1000			
737D17	DEFAULT	1	3	Ubrzanje	Maksimum za uzlijetanje	5		2279	152	
737D17	DEFAULT	1	4	Ubrzanje	Maksimum za uzlijetanje	INT		1709	177	
737D17	DEFAULT	1	5	Ubrzanje	Maksimum za penjanje	ZERO		1000	210	
737D17	DEFAULT	1	6	Penjanje	Maksimum za penjanje	ZERO	3000			
737D17	DEFAULT	1	7	Ubrzanje	Maksimum za penjanje	ZERO		1000	250	
737D17	DEFAULT	1	8	Penjanje	Maksimum za penjanje	ZERO	5500			
737D17	DEFAULT	1	9	Penjanje	Maksimum za penjanje	ZERO	7500			
737D17	DEFAULT	1	10	Penjanje	Maksimum za penjanje	ZERO	10000			
737D17	DEFAULT	2	1	Uzlijetanje	Maksimum za uzlijetanje	5				
737D17	DEFAULT	2	2	Penjanje	Maksimum za uzlijetanje	5	1000			
737D17	DEFAULT	2	3	Ubrzanje	Maksimum za uzlijetanje	5		2155	156	

737D17	DEFAULT	2	4	Ubrzanje	Maksimum za uzlijetanje	INT		1616	181	
737D17	DEFAULT	2	5	Ubrzanje	Maksimum za penjanje	ZERO		1000	210	
737D17	DEFAULT	2	6	Penjanje	Maksimum za penjanje	ZERO	3000			
737D17	DEFAULT	2	7	Ubrzanje	Maksimum za penjanje	ZERO		1000	250	
737D17	DEFAULT	2	8	Penjanje	Maksimum za penjanje	ZERO	5500			
737D17	DEFAULT	2	9	Penjanje	Maksimum za penjanje	ZERO	7500			
737D17	DEFAULT	2	10	Penjanje	Maksimum za penjanje	ZERO	10000			
737D17	DEFAULT	3	1	Uzlijetanje	Maksimum za uzlijetanje	5				
737D17	DEFAULT	3	2	Penjanje	Maksimum za uzlijetanje	5	1000			
737D17	DEFAULT	3	3	Ubrzanje	Maksimum za uzlijetanje	5		2041	160	
737D17	DEFAULT	3	4	Ubrzanje	Maksimum za uzlijetanje	INT		1531	185	
737D17	DEFAULT	3	5	Ubrzanje	Maksimum za penjanje	ZERO		1000	210	
737D17	DEFAULT	3	6	Penjanje	Maksimum za penjanje	ZERO	3000			
737D17	DEFAULT	3	7	Ubrzanje	Maksimum za penjanje	ZERO		1000	250	
737D17	DEFAULT	3	8	Penjanje	Maksimum za penjanje	ZERO	5500			
737D17	DEFAULT	3	9	Penjanje	Maksimum za penjanje	ZERO	7500			

737D17	DEFAULT	3	10	Penjanje	Maksimum za penjanje	ZERO	10000			
737D17	DEFAULT	4	1	Uzlijetanje	Maksimum za uzlijetanje	5				
737D17	DEFAULT	4	2	Penjanje	Maksimum za uzlijetanje	5	1000			
737D17	DEFAULT	4	3	Ubrzanje	Maksimum za uzlijetanje	5		1935	163	
737D17	DEFAULT	4	4	Ubrzanje	Maksimum za uzlijetanje	INT		1452	188	
737D17	DEFAULT	4	5	Ubrzanje	Maksimum za penjanje	ZERO		1000	210	
737D17	DEFAULT	4	6	Penjanje	Maksimum za penjanje	ZERO	3000			
737D17	DEFAULT	4	7	Ubrzanje	Maksimum za penjanje	ZERO		1000	250	
737D17	DEFAULT	4	8	Penjanje	Maksimum za penjanje	ZERO	5500			
737D17	DEFAULT	4	9	Penjanje	Maksimum za penjanje	ZERO	7500			
737D17	DEFAULT	4	10	Penjanje	Maksimum za penjanje	ZERO	10000			
737N17	DEFAULT	1	1	Uzlijetanje	Maksimum za uzlijetanje	5				
737N17	DEFAULT	1	2	Penjanje	Maksimum za uzlijetanje	5	1000			
737N17	DEFAULT	1	3	Ubrzanje	Maksimum za uzlijetanje	5		2279	152	
737N17	DEFAULT	1	4	Ubrzanje	Maksimum za uzlijetanje	INT		1709	177	
737N17	DEFAULT	1	5	Ubrzanje	Maksimum za penjanje	ZERO		1000	210	

737N17	DEFAULT	1	6	Penjanje	Maksimum za penjanje	ZERO	3000			
737N17	DEFAULT	1	7	Ubrzanje	Maksimum za penjanje	ZERO		1000	250	
737N17	DEFAULT	1	8	Penjanje	Maksimum za penjanje	ZERO	5500			
737N17	DEFAULT	1	9	Penjanje	Maksimum za penjanje	ZERO	7500			
737N17	DEFAULT	1	10	Penjanje	Maksimum za penjanje	ZERO	10000			
737N17	DEFAULT	2	1	Uzlijetanje	Maksimum za uzlijetanje	5				
737N17	DEFAULT	2	2	Penjanje	Maksimum za uzlijetanje	5	1000			
737N17	DEFAULT	2	3	Ubrzanje	Maksimum za uzlijetanje	5		2155	156	
737N17	DEFAULT	2	4	Ubrzanje	Maksimum za uzlijetanje	INT		1616	181	
737N17	DEFAULT	2	5	Ubrzanje	Maksimum za penjanje	ZERO		1000	210	
737N17	DEFAULT	2	6	Penjanje	Maksimum za penjanje	ZERO	3000			
737N17	DEFAULT	2	7	Ubrzanje	Maksimum za penjanje	ZERO		1000	250	
737N17	DEFAULT	2	8	Penjanje	Maksimum za penjanje	ZERO	5500			
737N17	DEFAULT	2	9	Penjanje	Maksimum za penjanje	ZERO	7500			
737N17	DEFAULT	2	10	Penjanje	Maksimum za penjanje	ZERO	10000			
737N17	DEFAULT	3	1	Uzlijetanje	Maksimum za uzlijetanje	5				

737N17	DEFAULT	3	2	Penjanje	Maksimum za uzlijetanje	5	1000			
737N17	DEFAULT	3	3	Ubrzanje	Maksimum za uzlijetanje	5		2041	160	
737N17	DEFAULT	3	4	Ubrzanje	Maksimum za uzlijetanje	INT		1531	185	
737N17	DEFAULT	3	5	Ubrzanje	Maksimum za penjanje	ZERO		1000	210	
737N17	DEFAULT	3	6	Penjanje	Maksimum za penjanje	ZERO	3000			
737N17	DEFAULT	3	7	Ubrzanje	Maksimum za penjanje	ZERO		1000	250	
737N17	DEFAULT	3	8	Penjanje	Maksimum za penjanje	ZERO	5500			
737N17	DEFAULT	3	9	Penjanje	Maksimum za penjanje	ZERO	7500			
737N17	DEFAULT	3	10	Penjanje	Maksimum za penjanje	ZERO	10000			
737N17	DEFAULT	4	1	Uzlijetanje	Maksimum za uzlijetanje	5				
737N17	DEFAULT	4	2	Penjanje	Maksimum za uzlijetanje	5	1000			
737N17	DEFAULT	4	3	Ubrzanje	Maksimum za uzlijetanje	5		1935	163	
737N17	DEFAULT	4	4	Ubrzanje	Maksimum za uzlijetanje	INT		1452	188	
737N17	DEFAULT	4	5	Ubrzanje	Maksimum za penjanje	ZERO		1000	210	
737N17	DEFAULT	4	6	Penjanje	Maksimum za penjanje	ZERO	3000			
737N17	DEFAULT	4	7	Ubrzanje	Maksimum za penjanje	ZERO		1000	250	

737N17	DEFAULT	4	8	Penjanje	Maksimum za penjanje	ZERO	5500			
737N17	DEFAULT	4	9	Penjanje	Maksimum za penjanje	ZERO	7500			
737N17	DEFAULT	4	10	Penjanje	Maksimum za penjanje	ZERO	10000			
737N9	DEFAULT	1	1	Uzlijetanje	Maksimum za uzlijetanje	5				
737N9	DEFAULT	1	2	Penjanje	Maksimum za uzlijetanje	5	1000			
737N9	DEFAULT	1	3	Ubrzanje	Maksimum za uzlijetanje	5		2090	146	
737N9	DEFAULT	1	4	Ubrzanje	Maksimum za uzlijetanje	INT		1568	171	
737N9	DEFAULT	1	5	Ubrzanje	Maksimum za penjanje	ZERO		1000	210	
737N9	DEFAULT	1	6	Penjanje	Maksimum za penjanje	ZERO	3000			
737N9	DEFAULT	1	7	Ubrzanje	Maksimum za penjanje	ZERO		1000	250	
737N9	DEFAULT	1	8	Penjanje	Maksimum za penjanje	ZERO	5500			
737N9	DEFAULT	1	9	Penjanje	Maksimum za penjanje	ZERO	7500			
737N9	DEFAULT	1	10	Penjanje	Maksimum za penjanje	ZERO	10000			
737N9	DEFAULT	2	1	Uzlijetanje	Maksimum za uzlijetanje	5				
737N9	DEFAULT	2	2	Penjanje	Maksimum za uzlijetanje	5	1000			
737N9	DEFAULT	2	3	Ubrzanje	Maksimum za uzlijetanje	5		2014	149	

737N9	DEFAULT	2	4	Ubrzanje	Maksimum za uzlijetanje	INT		1511	174	
737N9	DEFAULT	2	5	Ubrzanje	Maksimum za penjanje	ZERO		1000	210	
737N9	DEFAULT	2	6	Penjanje	Maksimum za penjanje	ZERO	3000			
737N9	DEFAULT	2	7	Ubrzanje	Maksimum za penjanje	ZERO		1000	250	
737N9	DEFAULT	2	8	Penjanje	Maksimum za penjanje	ZERO	5500			
737N9	DEFAULT	2	9	Penjanje	Maksimum za penjanje	ZERO	7500			
737N9	DEFAULT	2	10	Penjanje	Maksimum za penjanje	ZERO	10000			
737N9	DEFAULT	3	1	Uzlijetanje	Maksimum za uzlijetanje	5				
737N9	DEFAULT	3	2	Penjanje	Maksimum za uzlijetanje	5	1000			
737N9	DEFAULT	3	3	Ubrzanje	Maksimum za uzlijetanje	5		1851	154	
737N9	DEFAULT	3	4	Ubrzanje	Maksimum za uzlijetanje	INT		1388	179	
737N9	DEFAULT	3	5	Ubrzanje	Maksimum za penjanje	ZERO		1000	210	
737N9	DEFAULT	3	6	Penjanje	Maksimum za penjanje	ZERO	3000			
737N9	DEFAULT	3	7	Ubrzanje	Maksimum za penjanje	ZERO		1000	250	
737N9	DEFAULT	3	8	Penjanje	Maksimum za penjanje	ZERO	5500			
737N9	DEFAULT	3	9	Penjanje	Maksimum za penjanje	ZERO	7500			

737N9	DEFAULT	3	10	Penjanje	Maksimum za penjanje	ZERO	10000			
737N9	DEFAULT	4	1	Uzlijetanje	Maksimum za uzlijetanje	5				
737N9	DEFAULT	4	2	Penjanje	Maksimum za uzlijetanje	5	1000			
737N9	DEFAULT	4	3	Ubrzanje	Maksimum za uzlijetanje	5		1685	160	
737N9	DEFAULT	4	4	Ubrzanje	Maksimum za uzlijetanje	INT		1264	185	
737N9	DEFAULT	4	5	Ubrzanje	Maksimum za penjanje	ZERO		1000	210	
737N9	DEFAULT	4	6	Penjanje	Maksimum za penjanje	ZERO	3000			
737N9	DEFAULT	4	7	Ubrzanje	Maksimum za penjanje	ZERO		1000	250	
737N9	DEFAULT	4	8	Penjanje	Maksimum za penjanje	ZERO	5500			
737N9	DEFAULT	4	9	Penjanje	Maksimum za penjanje	ZERO	7500			
737N9	DEFAULT	4	10	Penjanje	Maksimum za penjanje	ZERO	10000			
737QN	DEFAULT	1	1	Uzlijetanje	Maksimum za uzlijetanje	5				
737QN	DEFAULT	1	2	Penjanje	Maksimum za uzlijetanje	5	1000			
737QN	DEFAULT	1	3	Ubrzanje	Maksimum za uzlijetanje	5		2090	146	
737QN	DEFAULT	1	4	Ubrzanje	Maksimum za uzlijetanje	INT		1568	171	
737QN	DEFAULT	1	5	Ubrzanje	Maksimum za penjanje	ZERO		1000	210	

737QN	DEFAULT	1	6	Penjanje	Maksimum za penjanje	ZERO	3000			
737QN	DEFAULT	1	7	Ubrzanje	Maksimum za penjanje	ZERO		1000	250	
737QN	DEFAULT	1	8	Penjanje	Maksimum za penjanje	ZERO	5500			
737QN	DEFAULT	1	9	Penjanje	Maksimum za penjanje	ZERO	7500			
737QN	DEFAULT	1	10	Penjanje	Maksimum za penjanje	ZERO	10000			
737QN	DEFAULT	2	1	Uzlijetanje	Maksimum za uzlijetanje	5				
737QN	DEFAULT	2	2	Penjanje	Maksimum za uzlijetanje	5	1000			
737QN	DEFAULT	2	3	Ubrzanje	Maksimum za uzlijetanje	5		2014	149	
737QN	DEFAULT	2	4	Ubrzanje	Maksimum za uzlijetanje	INT		1511	174	
737QN	DEFAULT	2	5	Ubrzanje	Maksimum za penjanje	ZERO		1000	210	
737QN	DEFAULT	2	6	Penjanje	Maksimum za penjanje	ZERO	3000			
737QN	DEFAULT	2	7	Ubrzanje	Maksimum za penjanje	ZERO		1000	250	
737QN	DEFAULT	2	8	Penjanje	Maksimum za penjanje	ZERO	5500			
737QN	DEFAULT	2	9	Penjanje	Maksimum za penjanje	ZERO	7500			
737QN	DEFAULT	2	10	Penjanje	Maksimum za penjanje	ZERO	10000			
737QN	DEFAULT	3	1	Uzlijetanje	Maksimum za uzlijetanje	5				

737QN	DEFAULT	3	2	Penjanje	Maksimum za uzlijetanje	5	1000			
737QN	DEFAULT	3	3	Ubrzanje	Maksimum za uzlijetanje	5		1851	154	
737QN	DEFAULT	3	4	Ubrzanje	Maksimum za uzlijetanje	INT		1388	179	
737QN	DEFAULT	3	5	Ubrzanje	Maksimum za penjanje	ZERO		1000	210	
737QN	DEFAULT	3	6	Penjanje	Maksimum za penjanje	ZERO	3000			
737QN	DEFAULT	3	7	Ubrzanje	Maksimum za penjanje	ZERO		1000	250	
737QN	DEFAULT	3	8	Penjanje	Maksimum za penjanje	ZERO	5500			
737QN	DEFAULT	3	9	Penjanje	Maksimum za penjanje	ZERO	7500			
737QN	DEFAULT	3	10	Penjanje	Maksimum za penjanje	ZERO	10000			
737QN	DEFAULT	4	1	Uzlijetanje	Maksimum za uzlijetanje	5				
737QN	DEFAULT	4	2	Penjanje	Maksimum za uzlijetanje	5	1000			
737QN	DEFAULT	4	3	Ubrzanje	Maksimum za uzlijetanje	5		1685	160	
737QN	DEFAULT	4	4	Ubrzanje	Maksimum za uzlijetanje	INT		1264	185	
737QN	DEFAULT	4	5	Ubrzanje	Maksimum za penjanje	ZERO		1000	210	
737QN	DEFAULT	4	6	Penjanje	Maksimum za penjanje	ZERO	3000			
737QN	DEFAULT	4	7	Ubrzanje	Maksimum za penjanje	ZERO		1000	250	

737QN	DEFAULT	4	8	Penjanje	Maksimum za penjanje	ZERO	5500			
737QN	DEFAULT	4	9	Penjanje	Maksimum za penjanje	ZERO	7500			
737QN	DEFAULT	4	10	Penjanje	Maksimum za penjanje	ZERO	10000			
74710Q	DEFAULT	1	1	Uzlijetanje	Maksimum za uzlijetanje	10				
74710Q	DEFAULT	1	2	Penjanje	Maksimum za uzlijetanje	10	1000			
74710Q	DEFAULT	1	3	Ubrzanje	Maksimum za uzlijetanje	10		2071	176	
74710Q	DEFAULT	1	4	Ubrzanje	Maksimum za penjanje	5		1000	216	
74710Q	DEFAULT	1	5	Penjanje	Maksimum za penjanje	ZERO	3000			
74710Q	DEFAULT	1	6	Ubrzanje	Maksimum za penjanje	ZERO		1000	250	
74710Q	DEFAULT	1	7	Penjanje	Maksimum za penjanje	ZERO	5500			
74710Q	DEFAULT	1	8	Penjanje	Maksimum za penjanje	ZERO	7500			
74710Q	DEFAULT	1	9	Penjanje	Maksimum za penjanje	ZERO	10000			
74710Q	DEFAULT	2	1	Uzlijetanje	Maksimum za uzlijetanje	10				
74710Q	DEFAULT	2	2	Penjanje	Maksimum za uzlijetanje	10	1000			
74710Q	DEFAULT	2	3	Ubrzanje	Maksimum za uzlijetanje	10		1972	179	
74710Q	DEFAULT	2	4	Ubrzanje	Maksimum za penjanje	5		1000	219	

74710Q	DEFAULT	2	5	Penjanje	Maksimum za penjanje	ZERO	3000			
74710Q	DEFAULT	2	6	Ubrzanje	Maksimum za penjanje	ZERO		1000	250	
74710Q	DEFAULT	2	7	Penjanje	Maksimum za penjanje	ZERO	5500			
74710Q	DEFAULT	2	8	Penjanje	Maksimum za penjanje	ZERO	7500			
74710Q	DEFAULT	2	9	Penjanje	Maksimum za penjanje	ZERO	10000			
74710Q	DEFAULT	3	1	Uzlijetanje	Maksimum za uzlijetanje	10				
74710Q	DEFAULT	3	2	Penjanje	Maksimum za uzlijetanje	10	1000			
74710Q	DEFAULT	3	3	Ubrzanje	Maksimum za uzlijetanje	10		1856	183	
74710Q	DEFAULT	3	4	Ubrzanje	Maksimum za penjanje	5		1000	223	
74710Q	DEFAULT	3	5	Penjanje	Maksimum za penjanje	ZERO	3000			
74710Q	DEFAULT	3	6	Ubrzanje	Maksimum za penjanje	ZERO		1000	250	
74710Q	DEFAULT	3	7	Penjanje	Maksimum za penjanje	ZERO	5500			
74710Q	DEFAULT	3	8	Penjanje	Maksimum za penjanje	ZERO	7500			
74710Q	DEFAULT	3	9	Penjanje	Maksimum za penjanje	ZERO	10000			
74710Q	DEFAULT	4	1	Uzlijetanje	Maksimum za uzlijetanje	10				
74710Q	DEFAULT	4	2	Penjanje	Maksimum za uzlijetanje	10	1000			

74710Q	DEFAULT	4	3	Ubrzanje	Maksimum za uzlijetanje	10		1727	187	
74710Q	DEFAULT	4	4	Ubrzanje	Maksimum za penjanje	5		1000	227	
74710Q	DEFAULT	4	5	Penjanje	Maksimum za penjanje	ZERO	3000			
74710Q	DEFAULT	4	6	Ubrzanje	Maksimum za penjanje	ZERO		1000	250	
74710Q	DEFAULT	4	7	Penjanje	Maksimum za penjanje	ZERO	5500			
74710Q	DEFAULT	4	8	Penjanje	Maksimum za penjanje	ZERO	7500			
74710Q	DEFAULT	4	9	Penjanje	Maksimum za penjanje	ZERO	10000			
74710Q	DEFAULT	5	1	Uzlijetanje	Maksimum za uzlijetanje	10				
74710Q	DEFAULT	5	2	Penjanje	Maksimum za uzlijetanje	10	1000			
74710Q	DEFAULT	5	3	Ubrzanje	Maksimum za uzlijetanje	10		1445	198	
74710Q	DEFAULT	5	4	Ubrzanje	Maksimum za penjanje	5		750	238	
74710Q	DEFAULT	5	5	Penjanje	Maksimum za penjanje	ZERO	3000			
74710Q	DEFAULT	5	6	Ubrzanje	Maksimum za penjanje	ZERO		750	258	
74710Q	DEFAULT	5	7	Penjanje	Maksimum za penjanje	ZERO	5500			
74710Q	DEFAULT	5	8	Penjanje	Maksimum za penjanje	ZERO	7500			
74710Q	DEFAULT	5	9	Penjanje	Maksimum za penjanje	ZERO	10000			

74710Q	DEFAULT	6	1	Uzlijetanje	Maksimum za uzlijetanje	10				
74710Q	DEFAULT	6	2	Penjanje	Maksimum za uzlijetanje	10	1000			
74710Q	DEFAULT	6	3	Ubrzanje	Maksimum za uzlijetanje	10		1411	199	
74710Q	DEFAULT	6	4	Ubrzanje	Maksimum za penjanje	5		750	239	
74710Q	DEFAULT	6	5	Penjanje	Maksimum za penjanje	ZERO	3000			
74710Q	DEFAULT	6	6	Ubrzanje	Maksimum za penjanje	ZERO		750	259	
74710Q	DEFAULT	6	7	Penjanje	Maksimum za penjanje	ZERO	5500			
74710Q	DEFAULT	6	8	Penjanje	Maksimum za penjanje	ZERO	7500			
74710Q	DEFAULT	6	9	Penjanje	Maksimum za penjanje	ZERO	10000			
747200	DEFAULT	1	1	Uzlijetanje	Maksimum za uzlijetanje	10				
747200	DEFAULT	1	2	Penjanje	Maksimum za uzlijetanje	10	1000			
747200	DEFAULT	1	3	Ubrzanje	Maksimum za uzlijetanje	10		1842	183	
747200	DEFAULT	1	4	Ubrzanje	Maksimum za penjanje	5		1000	223	
747200	DEFAULT	1	5	Penjanje	Maksimum za penjanje	ZERO	3000			
747200	DEFAULT	1	6	Ubrzanje	Maksimum za penjanje	ZERO		1000	250	
747200	DEFAULT	1	7	Penjanje	Maksimum za penjanje	ZERO	5500			

747200	DEFAULT	1	8	Penjanje	Maksimum za penjanje	ZERO	7500			
747200	DEFAULT	1	9	Penjanje	Maksimum za penjanje	ZERO	10000			
747200	DEFAULT	2	1	Uzlijetanje	Maksimum za uzlijetanje	10				
747200	DEFAULT	2	2	Penjanje	Maksimum za uzlijetanje	10	1000			
747200	DEFAULT	2	3	Ubrzanje	Maksimum za uzlijetanje	10		1757	186	
747200	DEFAULT	2	4	Ubrzanje	Maksimum za penjanje	5		1000	226	
747200	DEFAULT	2	5	Penjanje	Maksimum za penjanje	ZERO	3000			
747200	DEFAULT	2	6	Ubrzanje	Maksimum za penjanje	ZERO		1000	250	
747200	DEFAULT	2	7	Penjanje	Maksimum za penjanje	ZERO	5500			
747200	DEFAULT	2	8	Penjanje	Maksimum za penjanje	ZERO	7500			
747200	DEFAULT	2	9	Penjanje	Maksimum za penjanje	ZERO	10000			
747200	DEFAULT	3	1	Uzlijetanje	Maksimum za uzlijetanje	10				
747200	DEFAULT	3	2	Penjanje	Maksimum za uzlijetanje	10	1000			
747200	DEFAULT	3	3	Ubrzanje	Maksimum za uzlijetanje	10		1676	189	
747200	DEFAULT	3	4	Ubrzanje	Maksimum za penjanje	5		1000	229	
747200	DEFAULT	3	5	Penjanje	Maksimum za penjanje	ZERO	3000			

747200	DEFAULT	3	6	Ubrzanje	Maksimum za penjanje	ZERO		1000	250	
747200	DEFAULT	3	7	Penjanje	Maksimum za penjanje	ZERO	5500			
747200	DEFAULT	3	8	Penjanje	Maksimum za penjanje	ZERO	7500			
747200	DEFAULT	3	9	Penjanje	Maksimum za penjanje	ZERO	10000			
747200	DEFAULT	4	1	Uzlijetanje	Maksimum za uzlijetanje	10				
747200	DEFAULT	4	2	Penjanje	Maksimum za uzlijetanje	10	1000			
747200	DEFAULT	4	3	Ubrzanje	Maksimum za uzlijetanje	10		1508	195	
747200	DEFAULT	4	4	Ubrzanje	Maksimum za penjanje	5		750	235	
747200	DEFAULT	4	5	Penjanje	Maksimum za penjanje	ZERO	3000			
747200	DEFAULT	4	6	Ubrzanje	Maksimum za penjanje	ZERO		750	255	
747200	DEFAULT	4	7	Penjanje	Maksimum za penjanje	ZERO	5500			
747200	DEFAULT	4	8	Penjanje	Maksimum za penjanje	ZERO	7500			
747200	DEFAULT	4	9	Penjanje	Maksimum za penjanje	ZERO	10000			
747200	DEFAULT	5	1	Uzlijetanje	Maksimum za uzlijetanje	10				
747200	DEFAULT	5	2	Penjanje	Maksimum za uzlijetanje	10	1000			
747200	DEFAULT	5	3	Ubrzanje	Maksimum za uzlijetanje	10		1325	203	

747200	DEFAULT	5	4	Ubrzanje	Maksimum za penjanje	5		750	243	
747200	DEFAULT	5	5	Penjanje	Maksimum za penjanje	ZERO	3000			
747200	DEFAULT	5	6	Ubrzanje	Maksimum za penjanje	ZERO		750	263	
747200	DEFAULT	5	7	Penjanje	Maksimum za penjanje	ZERO	5500			
747200	DEFAULT	5	8	Penjanje	Maksimum za penjanje	ZERO	7500			
747200	DEFAULT	5	9	Penjanje	Maksimum za penjanje	ZERO	10000			
747200	DEFAULT	6	1	Uzlijetanje	Maksimum za uzlijetanje	10				
747200	DEFAULT	6	2	Penjanje	Maksimum za uzlijetanje	10	1000			
747200	DEFAULT	6	3	Ubrzanje	Maksimum za uzlijetanje	10		1146	210	
747200	DEFAULT	6	4	Ubrzanje	Maksimum za penjanje	5		500	250	
747200	DEFAULT	6	5	Penjanje	Maksimum za penjanje	ZERO	3000			
747200	DEFAULT	6	6	Ubrzanje	Maksimum za penjanje	ZERO		500	270	
747200	DEFAULT	6	7	Penjanje	Maksimum za penjanje	ZERO	5500			
747200	DEFAULT	6	8	Penjanje	Maksimum za penjanje	ZERO	7500			
747200	DEFAULT	6	9	Penjanje	Maksimum za penjanje	ZERO	10000			
747200	DEFAULT	7	1	Uzlijetanje	Maksimum za uzlijetanje	10				

747200	DEFAULT	7	2	Penjanje	Maksimum za uzlijetanje	10	1000			
747200	DEFAULT	7	3	Ubrzanje	Maksimum za uzlijetanje	10		1012	216	
747200	DEFAULT	7	4	Ubrzanje	Maksimum za penjanje	5		500	256	
747200	DEFAULT	7	5	Ubrzanje	Maksimum za penjanje	ZERO		500	276	
747200	DEFAULT	7	6	Penjanje	Maksimum za penjanje	ZERO	5500			
747200	DEFAULT	7	7	Penjanje	Maksimum za penjanje	ZERO	7500			
747200	DEFAULT	7	8	Penjanje	Maksimum za penjanje	ZERO	10000			
74720A	DEFAULT	1	1	Uzlijetanje	Maksimum za uzlijetanje	10				
74720A	DEFAULT	1	2	Penjanje	Maksimum za uzlijetanje	10	1000			
74720A	DEFAULT	1	3	Ubrzanje	Maksimum za uzlijetanje	10		2068	176	
74720A	DEFAULT	1	4	Ubrzanje	Maksimum za penjanje	5		1000	239	
74720A	DEFAULT	1	5	Penjanje	Maksimum za penjanje	ZERO	3000			
74720A	DEFAULT	1	6	Ubrzanje	Maksimum za penjanje	ZERO		1000	259	
74720A	DEFAULT	1	7	Penjanje	Maksimum za penjanje	ZERO	5500			
74720A	DEFAULT	1	8	Penjanje	Maksimum za penjanje	ZERO	7500			
74720A	DEFAULT	1	9	Penjanje	Maksimum za penjanje	ZERO	10000			

74720A	DEFAULT	2	1	Uzlijetanje	Maksimum za uzlijetanje	10				
74720A	DEFAULT	2	2	Penjanje	Maksimum za uzlijetanje	10	1000			
74720A	DEFAULT	2	3	Ubrzanje	Maksimum za uzlijetanje	10		1950	179	
74720A	DEFAULT	2	4	Ubrzanje	Maksimum za penjanje	5		1000	242	
74720A	DEFAULT	2	5	Penjanje	Maksimum za penjanje	ZERO	3000			
74720A	DEFAULT	2	6	Ubrzanje	Maksimum za penjanje	ZERO		1000	262	
74720A	DEFAULT	2	7	Penjanje	Maksimum za penjanje	ZERO	5500			
74720A	DEFAULT	2	8	Penjanje	Maksimum za penjanje	ZERO	7500			
74720A	DEFAULT	2	9	Penjanje	Maksimum za penjanje	ZERO	10000			
74720A	DEFAULT	3	1	Uzlijetanje	Maksimum za uzlijetanje	10				
74720A	DEFAULT	3	2	Penjanje	Maksimum za uzlijetanje	10	1000			
74720A	DEFAULT	3	3	Ubrzanje	Maksimum za uzlijetanje	10		1862	182	
74720A	DEFAULT	3	4	Ubrzanje	Maksimum za penjanje	5		1000	244	
74720A	DEFAULT	3	5	Penjanje	Maksimum za penjanje	ZERO	3000			
74720A	DEFAULT	3	6	Ubrzanje	Maksimum za penjanje	ZERO		1000	264	
74720A	DEFAULT	3	7	Penjanje	Maksimum za penjanje	ZERO	5500			

74720A	DEFAULT	3	8	Penjanje	Maksimum za penjanje	ZERO	7500			
74720A	DEFAULT	3	9	Penjanje	Maksimum za penjanje	ZERO	10000			
74720A	DEFAULT	4	1	Uzlijetanje	Maksimum za uzlijetanje	10				
74720A	DEFAULT	4	2	Penjanje	Maksimum za uzlijetanje	10	1000			
74720A	DEFAULT	4	3	Ubrzanje	Maksimum za uzlijetanje	10		1700	188	
74720A	DEFAULT	4	4	Ubrzanje	Maksimum za penjanje	5		750	248	
74720A	DEFAULT	4	5	Penjanje	Maksimum za penjanje	ZERO	3000			
74720A	DEFAULT	4	6	Ubrzanje	Maksimum za penjanje	ZERO		750	268	
74720A	DEFAULT	4	7	Penjanje	Maksimum za penjanje	ZERO	5500			
74720A	DEFAULT	4	8	Penjanje	Maksimum za penjanje	ZERO	7500			
74720A	DEFAULT	4	9	Penjanje	Maksimum za penjanje	ZERO	10000			
74720A	DEFAULT	5	1	Uzlijetanje	Maksimum za uzlijetanje	10				
74720A	DEFAULT	5	2	Penjanje	Maksimum za uzlijetanje	10	1000			
74720A	DEFAULT	5	3	Ubrzanje	Maksimum za uzlijetanje	10		1520	195	
74720A	DEFAULT	5	4	Ubrzanje	Maksimum za penjanje	5		750	254	
74720A	DEFAULT	5	5	Penjanje	Maksimum za penjanje	ZERO	3000			

74720A	DEFAULT	5	6	Ubrzanje	Maksimum za penjanje	ZERO		750	274	
74720A	DEFAULT	5	7	Penjanje	Maksimum za penjanje	ZERO	5500			
74720A	DEFAULT	5	8	Penjanje	Maksimum za penjanje	ZERO	7500			
74720A	DEFAULT	5	9	Penjanje	Maksimum za penjanje	ZERO	10000			
74720A	DEFAULT	6	1	Uzlijetanje	Maksimum za uzlijetanje	10				
74720A	DEFAULT	6	2	Penjanje	Maksimum za uzlijetanje	10	1000			
74720A	DEFAULT	6	3	Ubrzanje	Maksimum za uzlijetanje	10		1313	204	
74720A	DEFAULT	6	4	Ubrzanje	Maksimum za penjanje	5		750	264	
74720A	DEFAULT	6	5	Ubrzanje	Maksimum za penjanje	ZERO		750	284	
74720A	DEFAULT	6	6	Penjanje	Maksimum za penjanje	ZERO	5500			
74720A	DEFAULT	6	7	Penjanje	Maksimum za penjanje	ZERO	7500			
74720A	DEFAULT	6	8	Penjanje	Maksimum za penjanje	ZERO	10000			
74720A	DEFAULT	7	1	Uzlijetanje	Maksimum za uzlijetanje	10				
74720A	DEFAULT	7	2	Penjanje	Maksimum za uzlijetanje	10	1000			
74720A	DEFAULT	7	3	Ubrzanje	Maksimum za uzlijetanje	10		1172	210	
74720A	DEFAULT	7	4	Ubrzanje	Maksimum za penjanje	5		750	272	

74720A	DEFAULT	7	5	Ubrzanje	Maksimum za penjanje	ZERO		750	292	
74720A	DEFAULT	7	6	Penjanje	Maksimum za penjanje	ZERO	5500			
74720A	DEFAULT	7	7	Penjanje	Maksimum za penjanje	ZERO	7500			
74720A	DEFAULT	7	8	Penjanje	Maksimum za penjanje	ZERO	10000			
74720B	DEFAULT	1	1	Uzlijetanje	Maksimum za uzlijetanje	10				
74720B	DEFAULT	1	2	Penjanje	Maksimum za uzlijetanje	10	1000			
74720B	DEFAULT	1	3	Ubrzanje	Maksimum za uzlijetanje	10		2497	184	
74720B	DEFAULT	1	4	Ubrzanje	Maksimum za penjanje	5		1000	244	
74720B	DEFAULT	1	5	Penjanje	Maksimum za penjanje	ZERO	3000			
74720B	DEFAULT	1	6	Ubrzanje	Maksimum za penjanje	ZERO		1000	264	
74720B	DEFAULT	1	7	Penjanje	Maksimum za penjanje	ZERO	5500			
74720B	DEFAULT	1	8	Penjanje	Maksimum za penjanje	ZERO	7500			
74720B	DEFAULT	1	9	Penjanje	Maksimum za penjanje	ZERO	10000			
74720B	DEFAULT	2	1	Uzlijetanje	Maksimum za uzlijetanje	10				
74720B	DEFAULT	2	2	Penjanje	Maksimum za uzlijetanje	10	1000			
74720B	DEFAULT	2	3	Ubrzanje	Maksimum za uzlijetanje	10		2397	187	

74720B	DEFAULT	2	4	Ubrzanje	Maksimum za penjanje	5		1000	246	
74720B	DEFAULT	2	5	Penjanje	Maksimum za penjanje	ZERO	3000			
74720B	DEFAULT	2	6	Ubrzanje	Maksimum za penjanje	ZERO		1000	266	
74720B	DEFAULT	2	7	Penjanje	Maksimum za penjanje	ZERO	5500			
74720B	DEFAULT	2	8	Penjanje	Maksimum za penjanje	ZERO	7500			
74720B	DEFAULT	2	9	Penjanje	Maksimum za penjanje	ZERO	10000			
74720B	DEFAULT	3	1	Uzlijetanje	Maksimum za uzlijetanje	10				
74720B	DEFAULT	3	2	Penjanje	Maksimum za uzlijetanje	10	1000			
74720B	DEFAULT	3	3	Ubrzanje	Maksimum za uzlijetanje	10		2303	190	
74720B	DEFAULT	3	4	Ubrzanje	Maksimum za penjanje	5		750	249	
74720B	DEFAULT	3	5	Penjanje	Maksimum za penjanje	ZERO	3000			
74720B	DEFAULT	3	6	Ubrzanje	Maksimum za penjanje	ZERO		750	269	
74720B	DEFAULT	3	7	Penjanje	Maksimum za penjanje	ZERO	5500			
74720B	DEFAULT	3	8	Penjanje	Maksimum za penjanje	ZERO	7500			
74720B	DEFAULT	3	9	Penjanje	Maksimum za penjanje	ZERO	10000			
74720B	DEFAULT	4	1	Uzlijetanje	Maksimum za uzlijetanje	10				

74720B	DEFAULT	4	2	Penjanje	Maksimum za uzlijetanje	10	1000			
74720B	DEFAULT	4	3	Ubrzanje	Maksimum za uzlijetanje	10		2109	196	
74720B	DEFAULT	4	4	Ubrzanje	Maksimum za penjanje	5		750	254	
74720B	DEFAULT	4	5	Penjanje	Maksimum za penjanje	ZERO	3000			
74720B	DEFAULT	4	6	Ubrzanje	Maksimum za penjanje	ZERO		750	274	
74720B	DEFAULT	4	7	Penjanje	Maksimum za penjanje	ZERO	5500			
74720B	DEFAULT	4	8	Penjanje	Maksimum za penjanje	ZERO	7500			
74720B	DEFAULT	4	9	Penjanje	Maksimum za penjanje	ZERO	10000			
74720B	DEFAULT	5	1	Uzlijetanje	Maksimum za uzlijetanje	10				
74720B	DEFAULT	5	2	Penjanje	Maksimum za uzlijetanje	10	1000			
74720B	DEFAULT	5	3	Ubrzanje	Maksimum za uzlijetanje	10		1900	204	
74720B	DEFAULT	5	4	Ubrzanje	Maksimum za penjanje	5		750	263	
74720B	DEFAULT	5	5	Penjanje	Maksimum za penjanje	ZERO	3000			
74720B	DEFAULT	5	6	Ubrzanje	Maksimum za penjanje	ZERO		750	283	
74720B	DEFAULT	5	7	Penjanje	Maksimum za penjanje	ZERO	5500			
74720B	DEFAULT	5	8	Penjanje	Maksimum za penjanje	ZERO	7500			

74720B	DEFAULT	5	9	Penjanje	Maksimum za penjanje	ZERO	10000			
74720B	DEFAULT	6	1	Uzlijetanje	Maksimum za uzlijetanje	10				
74720B	DEFAULT	6	2	Penjanje	Maksimum za uzlijetanje	10	1000			
74720B	DEFAULT	6	3	Ubrzanje	Maksimum za uzlijetanje	10		1699	211	
74720B	DEFAULT	6	4	Ubrzanje	Maksimum za penjanje	5		750	272	
74720B	DEFAULT	6	5	Penjanje	Maksimum za penjanje	ZERO	3000			
74720B	DEFAULT	6	6	Ubrzanje	Maksimum za penjanje	ZERO		750	292	
74720B	DEFAULT	6	7	Penjanje	Maksimum za penjanje	ZERO	5500			
74720B	DEFAULT	6	8	Penjanje	Maksimum za penjanje	ZERO	7500			
74720B	DEFAULT	6	9	Penjanje	Maksimum za penjanje	ZERO	10000			
74720B	DEFAULT	7	1	Uzlijetanje	Maksimum za uzlijetanje	10				
74720B	DEFAULT	7	2	Penjanje	Maksimum za uzlijetanje	10	1000			
74720B	DEFAULT	7	3	Ubrzanje	Maksimum za uzlijetanje	10		1547	218	
74720B	DEFAULT	7	4	Ubrzanje	Maksimum za penjanje	5		750	279	
74720B	DEFAULT	7	5	Ubrzanje	Maksimum za penjanje	ZERO		750	299	
74720B	DEFAULT	7	6	Penjanje	Maksimum za penjanje	ZERO	5500			

74720B	DEFAULT	7	7	Penjanje	Maksimum za penjanje	ZERO	7500			
74720B	DEFAULT	7	8	Penjanje	Maksimum za penjanje	ZERO	10000			
747400	DEFAULT	1	1	Uzlijetanje	Maksimum za uzlijetanje	10				
747400	DEFAULT	1	2	Penjanje	Maksimum za uzlijetanje	T_10	1000			
747400	DEFAULT	1	3	Ubrzanje	Maksimum za penjanje	10		1533,3	190,8	
747400	DEFAULT	1	4	Ubrzanje	Maksimum za penjanje	T_05		1798,9	242	
747400	DEFAULT	1	5	Penjanje	Maksimum za penjanje	5	3869			
747400	DEFAULT	1	6	Ubrzanje	Maksimum za penjanje	ZERO		2198,9	269	
747400	DEFAULT	1	7	Penjanje	Maksimum za penjanje	T_00H	5500			
747400	DEFAULT	1	8	Penjanje	Maksimum za penjanje	T_00H	7500			
747400	DEFAULT	1	9	Penjanje	Maksimum za penjanje	T_00H	10000			
747400	DEFAULT	2	1	Uzlijetanje	Maksimum za uzlijetanje	10				
747400	DEFAULT	2	2	Penjanje	Maksimum za uzlijetanje	T_10	1000			
747400	DEFAULT	2	3	Ubrzanje	Maksimum za penjanje	10		1507,6	192,9	
747400	DEFAULT	2	4	Ubrzanje	Maksimum za penjanje	T_05		1718,8	244,6	
747400	DEFAULT	2	5	Penjanje	Maksimum za penjanje	T_01	3756			

747400	DEFAULT	2	6	Ubrzanje	Maksimum za penjanje	T_00H		2111,9	269	
747400	DEFAULT	2	7	Penjanje	Maksimum za penjanje	T_00H	5500			
747400	DEFAULT	2	8	Penjanje	Maksimum za penjanje	T_00H	7500			
747400	DEFAULT	2	9	Penjanje	Maksimum za penjanje	T_00H	10000			
747400	DEFAULT	3	1	Uzlijetanje	Maksimum za uzlijetanje	10				
747400	DEFAULT	3	2	Penjanje	Maksimum za uzlijetanje	T_10	1000			
747400	DEFAULT	3	3	Ubrzanje	Maksimum za penjanje	10		1412,1	195,1	
747400	DEFAULT	3	4	Ubrzanje	Maksimum za penjanje	T_05		1660,4	247,2	
747400	DEFAULT	3	5	Penjanje	Maksimum za penjanje	T_01	3637			
747400	DEFAULT	3	6	Ubrzanje	Maksimum za penjanje	ZERO		2033,6	269	
747400	DEFAULT	3	7	Penjanje	Maksimum za penjanje	T_00H	5500			
747400	DEFAULT	3	8	Penjanje	Maksimum za penjanje	T_00H	7500			
747400	DEFAULT	3	9	Penjanje	Maksimum za penjanje	T_00H	10000			
747400	DEFAULT	4	1	Uzlijetanje	Maksimum za uzlijetanje	10				
747400	DEFAULT	4	2	Penjanje	Maksimum za uzlijetanje	T_10	1000			
747400	DEFAULT	4	3	Ubrzanje	Maksimum za penjanje	10		1310,5	199,4	

747400	DEFAULT	4	4	Ubrzanje	Maksimum za penjanje	T_05		1531,8	252,3	
747400	DEFAULT	4	5	Penjanje	Maksimum za penjanje	T_01	3435			
747400	DEFAULT	4	6	Ubrzanje	Maksimum za penjanje	ZERO		1882,8	269	
747400	DEFAULT	4	7	Penjanje	Maksimum za penjanje	T_00H	5500			
747400	DEFAULT	4	8	Penjanje	Maksimum za penjanje	T_00H	7500			
747400	DEFAULT	4	9	Penjanje	Maksimum za penjanje	T_00H	10000			
747400	DEFAULT	5	1	Uzlijetanje	Maksimum za uzlijetanje	10				
747400	DEFAULT	5	2	Penjanje	Maksimum za uzlijetanje	T_10	1000			
747400	DEFAULT	5	3	Ubrzanje	Maksimum za penjanje	10		1182,2	204,8	
747400	DEFAULT	5	4	Ubrzanje	Maksimum za penjanje	T_05		1402,6	258,4	
747400	DEFAULT	5	5	Penjanje	Maksimum za penjanje	T_01	3199			
747400	DEFAULT	5	6	Ubrzanje	Maksimum za penjanje	ZERO		1724,1	269	
747400	DEFAULT	5	7	Penjanje	Maksimum za penjanje	T_00H	5500			
747400	DEFAULT	5	8	Penjanje	Maksimum za penjanje	T_00H	7500			
747400	DEFAULT	5	9	Penjanje	Maksimum za penjanje	ZERO	10000			
747400	DEFAULT	6	1	Uzlijetanje	Maksimum za uzlijetanje	10				

747400	DEFAULT	6	2	Penjanje	Maksimum za uzlijetanje	T_10	1000			
747400	DEFAULT	6	3	Ubrzanje	Maksimum za penjanje	5		1088,1	210,4	
747400	DEFAULT	6	4	Ubrzanje	Maksimum za penjanje	5		1372	259,5	
747400	DEFAULT	6	5	Ubrzanje	Maksimum za penjanje	T_01		1432,4	264,7	
747400	DEFAULT	6	6	Penjanje	Maksimum za penjanje	T_01	3004			
747400	DEFAULT	6	7	Ubrzanje	Maksimum za penjanje	ZERO		1560	269	
747400	DEFAULT	6	8	Penjanje	Maksimum za penjanje	T_00H	5500			
747400	DEFAULT	6	9	Penjanje	Maksimum za penjanje	T_00H	7500			
747400	DEFAULT	6	10	Penjanje	Maksimum za penjanje	T_00H	10000			
747400	DEFAULT	7	1	Uzlijetanje	Maksimum za uzlijetanje	10				
747400	DEFAULT	7	2	Penjanje	Maksimum za uzlijetanje	T_10H	1000			
747400	DEFAULT	7	3	Ubrzanje	Maksimum za penjanje	10		963,6	216,4	
747400	DEFAULT	7	4	Ubrzanje	Maksimum za penjanje	5		1114,2	259,6	
747400	DEFAULT	7	5	Penjanje	Maksimum za penjanje	T_01	2544			
747400	DEFAULT	7	6	Ubrzanje	Maksimum za penjanje	T_05		1329,4	270	
747400	DEFAULT	7	7	Penjanje	Maksimum za penjanje	T_00H	5500			

747400	DEFAULT	7	8	Penjanje	Maksimum za penjanje	T_00H	7500			
747400	DEFAULT	7	9	Penjanje	Maksimum za penjanje	T_00H	10000			
747400	DEFAULT	8	1	Uzlijetanje	Maksimum za uzlijetanje	10				
747400	DEFAULT	8	2	Penjanje	Maksimum za uzlijetanje	T_10H	1000			
747400	DEFAULT	8	3	Ubrzanje	Maksimum za penjanje	10		855,6	222,8	
747400	DEFAULT	8	4	Ubrzanje	Maksimum za penjanje	5		968,9	259,6	
747400	DEFAULT	8	5	Penjanje	Maksimum za penjanje	T_01	2561			
747400	DEFAULT	8	6	Ubrzanje	Maksimum za penjanje	T_01		1173,1	270	
747400	DEFAULT	8	7	Ubrzanje	Maksimum za penjanje	T_00H		1260	278	
747400	DEFAULT	8	8	Penjanje	Maksimum za penjanje	T_00H	5500			
747400	DEFAULT	8	9	Penjanje	Maksimum za penjanje	T_00H	7500			
747400	DEFAULT	8	10	Penjanje	Maksimum za penjanje	T_00H	10000			
747400	DEFAULT	9	1	Uzlijetanje	Maksimum za uzlijetanje	10				
747400	DEFAULT	9	2	Penjanje	Maksimum za uzlijetanje	T_10H	1000			
747400	DEFAULT	9	3	Ubrzanje	Maksimum za penjanje	10		783,8	226,8	
747400	DEFAULT	9	4	Ubrzanje	Maksimum za penjanje	5		884,5	259,6	

747400	DEFAULT	9	5	Penjanje	Maksimum za penjanje	T_01	2600			
747400	DEFAULT	9	6	Ubrzanje	Maksimum za penjanje	T_01		1078,7	271,8	
747400	DEFAULT	9	7	Ubrzanje	Maksimum za penjanje	T_00H		1182,6	282,7	
747400	DEFAULT	9	8	Penjanje	Maksimum za penjanje	T_00H	5500			
747400	DEFAULT	9	9	Penjanje	Maksimum za penjanje	T_00H	7500			
747400	DEFAULT	9	10	Penjanje	Maksimum za penjanje	T_00H	10000			
747400	ICAO_A	1	1	Uzlijetanje	Maksimum za uzlijetanje	10				
747400	ICAO_A	1	2	Penjanje	Maksimum za uzlijetanje	T_10	1500			
747400	ICAO_A	1	3	Penjanje	Maksimum za penjanje	10	3000			
747400	ICAO_A	1	4	Ubrzanje	Maksimum za penjanje	10		1472,8	190	
747400	ICAO_A	1	5	Ubrzanje	Maksimum za penjanje	5		1753,3	241,7	
747400	ICAO_A	1	6	Penjanje	Maksimum za penjanje	T_01	5796			
747400	ICAO_A	1	7	Ubrzanje	Maksimum za penjanje	ZERO		2158,4	268,4	
747400	ICAO_A	1	8	Penjanje	Maksimum za penjanje	ZERO	7500			
747400	ICAO_A	1	9	Penjanje	Maksimum za penjanje	ZERO	10000			
747400	ICAO_A	2	1	Uzlijetanje	Maksimum za uzlijetanje	10				

747400	ICAO_A	2	2	Penjanje	Maksimum za uzlijetanje	T_10	1500			
747400	ICAO_A	2	3	Penjanje	Maksimum za penjanje	10	3000			
747400	ICAO_A	2	4	Ubrzanje	Maksimum za penjanje	10		1412,8	192,2	
747400	ICAO_A	2	5	Ubrzanje	Maksimum za penjanje	5		1689,5	244,3	
747400	ICAO_A	2	6	Penjanje	Maksimum za penjanje	T_01	5685			
747400	ICAO_A	2	7	Ubrzanje	Maksimum za penjanje	ZERO		2078,8	268,4	
747400	ICAO_A	2	8	Penjanje	Maksimum za penjanje	ZERO	7500			
747400	ICAO_A	2	9	Penjanje	Maksimum za penjanje	ZERO	10000			
747400	ICAO_A	3	1	Uzlijetanje	Maksimum za uzlijetanje	10				
747400	ICAO_A	3	2	Penjanje	Maksimum za uzlijetanje	T_10	1500			
747400	ICAO_A	3	3	Penjanje	Maksimum za penjanje	10	3000			
747400	ICAO_A	3	4	Ubrzanje	Maksimum za penjanje	10		1353,5	194,4	
747400	ICAO_A	3	5	Ubrzanje	Maksimum za penjanje	5		1618,4	246,8	
747400	ICAO_A	3	6	Penjanje	Maksimum za penjanje	T_01	5579			
747400	ICAO_A	3	7	Ubrzanje	Maksimum za penjanje	ZERO		1995	268,4	
747400	ICAO_A	3	8	Penjanje	Maksimum za penjanje	ZERO	7500			

747400	ICAO_A	3	9	Penjanje	Maksimum za penjanje	ZERO	10000			
747400	ICAO_A	4	1	Uzlijetanje	Maksimum za uzlijetanje	10				
747400	ICAO_A	4	2	Penjanje	Maksimum za uzlijetanje	T_10	1500			
747400	ICAO_A	4	3	Penjanje	Maksimum za penjanje	10	3000			
747400	ICAO_A	4	4	Ubrzanje	Maksimum za penjanje	10		1249,3	198,7	
747400	ICAO_A	4	5	Ubrzanje	Maksimum za penjanje	5		1500,4	251,9	
747400	ICAO_A	4	6	Penjanje	Maksimum za penjanje	T_01	5372			
747400	ICAO_A	4	7	Ubrzanje	Maksimum za penjanje	ZERO		1847,9	268,4	
747400	ICAO_A	4	8	Penjanje	Maksimum za penjanje	ZERO	7500			
747400	ICAO_A	4	9	Penjanje	Maksimum za penjanje	ZERO	10000			
747400	ICAO_A	5	1	Uzlijetanje	Maksimum za uzlijetanje	10				
747400	ICAO_A	5	2	Penjanje	Maksimum za uzlijetanje	T_10	1500			
747400	ICAO_A	5	3	Penjanje	Maksimum za penjanje	10	3000			
747400	ICAO_A	5	4	Ubrzanje	Maksimum za penjanje	10		1131,2	204,1	
747400	ICAO_A	5	5	Ubrzanje	Maksimum za penjanje	5		1367,5	257,8	
747400	ICAO_A	5	6	Penjanje	Maksimum za penjanje	T_01	5145			

747400	ICAO_A	5	7	Ubrzanje	Maksimum za penjanje	ZERO		1686,7	268,4	
747400	ICAO_A	5	8	Penjanje	Maksimum za penjanje	ZERO	7500			
747400	ICAO_A	5	9	Penjanje	Maksimum za penjanje	ZERO	10000			
747400	ICAO_A	6	1	Uzlijetanje	Maksimum za uzlijetanje	10				
747400	ICAO_A	6	2	Penjanje	Maksimum za uzlijetanje	T_10H	1500			
747400	ICAO_A	6	3	Penjanje	Maksimum za penjanje	10	3000			
747400	ICAO_A	6	4	Ubrzanje	Maksimum za penjanje	10		1017,7	209,8	
747400	ICAO_A	6	5	Ubrzanje	Maksimum za penjanje	5		1223,8	259,1	
747400	ICAO_A	6	6	Penjanje	Maksimum za penjanje	T_01	4508			
747400	ICAO_A	6	7	Ubrzanje	Maksimum za penjanje	T_01		1416	264,3	
747400	ICAO_A	6	8	Penjanje	Maksimum za penjanje	ZERO	4921			
747400	ICAO_A	6	9	Ubrzanje	Maksimum za penjanje	ZERO		1531	269	
747400	ICAO_A	6	10	Penjanje	Maksimum za penjanje	ZERO	5500			
747400	ICAO_A	6	11	Penjanje	Maksimum za penjanje	ZERO	7500			
747400	ICAO_A	6	12	Penjanje	Maksimum za penjanje	ZERO	10000			
747400	ICAO_A	7	1	Uzlijetanje	Maksimum za uzlijetanje	10				

747400	ICAO_A	7	2	Penjanje	Maksimum za uzlijetanje	T_10H	1500			
747400	ICAO_A	7	3	Penjanje	Maksimum za penjanje	10	3000			
747400	ICAO_A	7	4	Ubrzanje	Maksimum za penjanje	10		908,3	215,8	
747400	ICAO_A	7	5	Ubrzanje	Maksimum za penjanje	5		1082,4	259,1	
747400	ICAO_A	7	6	Penjanje	Maksimum za penjanje	T_01	4509			
747400	ICAO_A	7	7	Ubrzanje	Maksimum za penjanje	T_01		1308,4	269,1	
747400	ICAO_A	7	8	Ubrzanje	Maksimum za penjanje	ZERO		1365,5	271	
747400	ICAO_A	7	9	Penjanje	Maksimum za penjanje	ZERO	5500			
747400	ICAO_A	7	10	Penjanje	Maksimum za penjanje	ZERO	7500			
747400	ICAO_A	7	11	Penjanje	Maksimum za penjanje	T_00H	10000			
747400	ICAO_A	8	1	Uzlijetanje	Maksimum za uzlijetanje	10				
747400	ICAO_A	8	2	Penjanje	Maksimum za uzlijetanje	T_10H	1500			
747400	ICAO_A	8	3	Penjanje	Maksimum za penjanje	10	3000			
747400	ICAO_A	8	4	Ubrzanje	Maksimum za penjanje	10		801,1	222,2	
747400	ICAO_A	8	5	Ubrzanje	Maksimum za penjanje	5		942,7	259,1	
747400	ICAO_A	8	6	Penjanje	Maksimum za penjanje	T_01	4540			

747400	ICAO_A	8	7	Ubrzanje	Maksimum za penjanje	T_01		1146,3	267,9	
747400	ICAO_A	8	8	Ubrzanje	Maksimum za penjanje	ZERO		1230	277,7	
747400	ICAO_A	8	9	Penjanje	Maksimum za penjanje	ZERO	5500			
747400	ICAO_A	8	10	Penjanje	Maksimum za penjanje	T_00H	7500			
747400	ICAO_A	8	11	Penjanje	Maksimum za penjanje	T_00H	10000			
747400	ICAO_A	9	1	Uzlijetanje	Maksimum za uzlijetanje	10				
747400	ICAO_A	9	2	Penjanje	Maksimum za uzlijetanje	T_10H	1500			
747400	ICAO_A	9	3	Penjanje	Maksimum za penjanje	10	3000			
747400	ICAO_A	9	4	Ubrzanje	Maksimum za penjanje	10		734,4	226,3	
747400	ICAO_A	9	5	Ubrzanje	Maksimum za penjanje	5		858,9	259,1	
747400	ICAO_A	9	6	Penjanje	Maksimum za penjanje	T_01	4590			
747400	ICAO_A	9	7	Ubrzanje	Maksimum za penjanje	T_01		1051,2	270,6	
747400	ICAO_A	9	8	Ubrzanje	Maksimum za penjanje	T_00H		1143	282,2	
747400	ICAO_A	9	9	Penjanje	Maksimum za penjanje	T_00H	5500			
747400	ICAO_A	9	10	Penjanje	Maksimum za penjanje	T_00H	7500			
747400	ICAO_A	9	11	Penjanje	Maksimum za penjanje	T_00H	10000			

747400	ICAO_B	1	1	Uzlijetanje	Maksimum za uzlijetanje	10				
747400	ICAO_B	1	2	Penjanje	Maksimum za uzlijetanje	T_10	1000			
747400	ICAO_B	1	3	Ubrzanje	Maksimum za uzlijetanje	10		1890,2	182,3	
747400	ICAO_B	1	4	Penjanje	Maksimum za uzlijetanje	10	1646			
747400	ICAO_B	1	5	Ubrzanje	Maksimum za penjanje	T_05		1788,2	242	
747400	ICAO_B	1	6	Penjanje	Maksimum za penjanje	T_05	4194			
747400	ICAO_B	1	7	Ubrzanje	Maksimum za penjanje	ZERO		2170,6	259	
747400	ICAO_B	1	8	Penjanje	Maksimum za penjanje	ZERO	5500			
747400	ICAO_B	1	9	Penjanje	Maksimum za penjanje	ZERO	7500			
747400	ICAO_B	1	10	Penjanje	Maksimum za penjanje	ZERO	10000			
747400	ICAO_B	2	1	Uzlijetanje	Maksimum za uzlijetanje	10				
747400	ICAO_B	2	2	Penjanje	Maksimum za uzlijetanje	T_10	1000			
747400	ICAO_B	2	3	Ubrzanje	Maksimum za uzlijetanje	10		1836,7	184,9	
747400	ICAO_B	2	4	Penjanje	Maksimum za uzlijetanje	10	1640			
747400	ICAO_B	2	5	Ubrzanje	Maksimum za penjanje	T_05		1727,1	244,6	
747400	ICAO_B	2	6	Penjanje	Maksimum za penjanje	T_05	4067			

747400	ICAO_B	2	7	Ubrzanje	Maksimum za penjanje	ZERO		2088,1	259,2	
747400	ICAO_B	2	8	Penjanje	Maksimum za penjanje	ZERO	5500			
747400	ICAO_B	2	9	Penjanje	Maksimum za penjanje	ZERO	7500			
747400	ICAO_B	2	10	Penjanje	Maksimum za penjanje	ZERO	10000			
747400	ICAO_B	3	1	Uzlijetanje	Maksimum za uzlijetanje	10				
747400	ICAO_B	3	2	Penjanje	Maksimum za uzlijetanje	T_10	1000			
747400	ICAO_B	3	3	Ubrzanje	Maksimum za uzlijetanje	10		1777,6	187,5	
747400	ICAO_B	3	4	Penjanje	Maksimum za uzlijetanje	10	1637			
747400	ICAO_B	3	5	Ubrzanje	Maksimum za penjanje	T_05		1653,3	247,2	
747400	ICAO_B	3	6	Penjanje	Maksimum za penjanje	T_05C	3942			
747400	ICAO_B	3	7	Ubrzanje	Maksimum za penjanje	ZERO		2009,7	259,2	
747400	ICAO_B	3	8	Penjanje	Maksimum za penjanje	ZERO	5500			
747400	ICAO_B	3	9	Penjanje	Maksimum za penjanje	ZERO	7500			
747400	ICAO_B	3	10	Penjanje	Maksimum za penjanje	ZERO	10000			
747400	ICAO_B	4	1	Uzlijetanje	Maksimum za uzlijetanje	10				
747400	ICAO_B	4	2	Penjanje	Maksimum za uzlijetanje	T_10	1000			

747400	ICAO_B	4	3	Ubrzanje	Maksimum za uzlijetanje	10		1653,5	192,6	
747400	ICAO_B	4	4	Penjanje	Maksimum za uzlijetanje	10	1633			
747400	ICAO_B	4	5	Ubrzanje	Maksimum za penjanje	T_05		1535,2	252,2	
747400	ICAO_B	4	6	Penjanje	Maksimum za penjanje	T_05C	3718			
747400	ICAO_B	4	7	Ubrzanje	Maksimum za penjanje	ZERO		1858,5	259,2	
747400	ICAO_B	4	8	Penjanje	Maksimum za penjanje	ZERO	5500			
747400	ICAO_B	4	9	Penjanje	Maksimum za penjanje	ZERO	7500			
747400	ICAO_B	4	10	Penjanje	Maksimum za penjanje	ZERO	10000			
747400	ICAO_B	5	1	Uzlijetanje	Maksimum za uzlijetanje	10				
747400	ICAO_B	5	2	Penjanje	Maksimum za uzlijetanje	T_10	1000			
747400	ICAO_B	5	3	Ubrzanje	Maksimum za uzlijetanje	10		1518,3	198,7	
747400	ICAO_B	5	4	Penjanje	Maksimum za uzlijetanje	10	1619			
747400	ICAO_B	5	5	Ubrzanje	Maksimum za penjanje	T_05		1397,6	258,3	
747400	ICAO_B	5	6	Penjanje	Maksimum za penjanje	T_05C	3459			
747400	ICAO_B	5	7	Ubrzanje	Maksimum za penjanje	ZERO		1685,4	259,4	
747400	ICAO_B	5	8	Penjanje	Maksimum za penjanje	ZERO	5500			

747400	ICAO_B	5	9	Penjanje	Maksimum za penjanje	ZERO	7500			
747400	ICAO_B	5	10	Penjanje	Maksimum za penjanje	ZERO	10000			
747400	ICAO_B	6	1	Uzlijetanje	Maksimum za uzlijetanje	10				
747400	ICAO_B	6	2	Penjanje	Maksimum za uzlijetanje	T_10	1000			
747400	ICAO_B	6	3	Ubrzanje	Maksimum za uzlijetanje	10		1394,6	205,1	
747400	ICAO_B	6	4	Penjanje	Maksimum za uzlijetanje	T_05C	1606			
747400	ICAO_B	6	5	Ubrzanje	Maksimum za penjanje	T_05		1346,5	264,7	
747400	ICAO_B	6	6	Penjanje	Maksimum za penjanje	T_05C	3217			
747400	ICAO_B	6	7	Ubrzanje	Maksimum za penjanje	ZERO		1560	269,2	
747400	ICAO_B	6	8	Penjanje	Maksimum za penjanje	ZERO	5500			
747400	ICAO_B	6	9	Penjanje	Maksimum za penjanje	ZERO	7500			
747400	ICAO_B	6	10	Penjanje	Maksimum za penjanje	ZERO	10000			
747400	ICAO_B	7	1	Uzlijetanje	Maksimum za uzlijetanje	10				
747400	ICAO_B	7	2	Penjanje	Maksimum za uzlijetanje	T_10H	1000			
747400	ICAO_B	7	3	Ubrzanje	Maksimum za uzlijetanje	10		1271	211,9	
747400	ICAO_B	7	4	Penjanje	Maksimum za uzlijetanje	T_05	1597			

747400	ICAO_B	7	5	Ubrzanje	Maksimum za penjanje	T_05		1112,4	259,4	
747400	ICAO_B	7	6	Penjanje	Maksimum za penjanje	T_05C	2759			
747400	ICAO_B	7	7	Ubrzanje	Maksimum za penjanje	T_01		1323,5	271,4	
747400	ICAO_B	7	8	Penjanje	Maksimum za penjanje	ZERO	5500			
747400	ICAO_B	7	9	Penjanje	Maksimum za penjanje	T_00H	7500			
747400	ICAO_B	7	10	Penjanje	Maksimum za penjanje	T_00H	10000			
747400	ICAO_B	8	1	Uzlijetanje	Maksimum za uzlijetanje	10				
747400	ICAO_B	8	2	Penjanje	Maksimum za uzlijetanje	T_10H	1000			
747400	ICAO_B	8	3	Ubrzanje	Maksimum za uzlijetanje	10		1147	218,9	
747400	ICAO_B	8	4	Penjanje	Maksimum za uzlijetanje	T_05	1592			
747400	ICAO_B	8	5	Ubrzanje	Maksimum za penjanje	T_05		975,2	259,6	
747400	ICAO_B	8	6	Penjanje	Maksimum za penjanje	T_05C	2755			
747400	ICAO_B	8	7	Ubrzanje	Maksimum za penjanje	T_01		1209,5	278,4	
747400	ICAO_B	8	8	Penjanje	Maksimum za penjanje	T_00H	5500			
747400	ICAO_B	8	9	Penjanje	Maksimum za penjanje	T_00H	7500			
747400	ICAO_B	8	10	Penjanje	Maksimum za penjanje	T_00H	10000			

747400	ICAO_B	9	1	Uzlijetanje	Maksimum za uzlijetanje	10				
747400	ICAO_B	9	2	Penjanje	Maksimum za uzlijetanje	T_10H	1000			
747400	ICAO_B	9	3	Ubrzanje	Maksimum za uzlijetanje	10		1070,9	223,3	
747400	ICAO_B	9	4	Penjanje	Maksimum za uzlijetanje	10	1611			
747400	ICAO_B	9	5	Ubrzanje	Maksimum za penjanje	T_05		893,7	259,5	
747400	ICAO_B	9	6	Penjanje	Maksimum za penjanje	T_01	2782			
747400	ICAO_B	9	7	Ubrzanje	Maksimum za penjanje	T_01		1119,3	282,7	
747400	ICAO_B	9	8	Penjanje	Maksimum za penjanje	T_00H	5500			
747400	ICAO_B	9	9	Penjanje	Maksimum za penjanje	T_00H	7500			
747400	ICAO_B	9	10	Penjanje	Maksimum za penjanje	T_00H	10000			
7478	DEFAULT	1	1	Uzlijetanje	Maksimum za uzlijetanje	F_10				
7478	DEFAULT	1	2	Penjanje	Maksimum za uzlijetanje	F_10	1000			
7478	DEFAULT	1	3	Ubrzanje_Postotak	Maksimum za penjanje	F_10			215	55
7478	DEFAULT	1	4	Ubrzanje_Postotak	Maksimum za penjanje	F_5			250	55
7478	DEFAULT	1	5	Ubrzanje_Postotak	Maksimum za penjanje	F_1			260	55
7478	DEFAULT	1	6	Penjanje	Maksimum za penjanje	F_0	3000			

7478	DEFAULT	1	7	Ubrzanje_Postotak	Maksimum za penjanje	F_0			295	50
7478	DEFAULT	1	8	Penjanje	Maksimum za penjanje	F_0	10000			
7478	DEFAULT	2	1	Uzlijetanje	Maksimum za uzlijetanje	F_10				
7478	DEFAULT	2	2	Penjanje	Maksimum za uzlijetanje	F_10	1000			
7478	DEFAULT	2	3	Ubrzanje_Postotak	Maksimum za penjanje	F_10			215	55
7478	DEFAULT	2	4	Ubrzanje_Postotak	Maksimum za penjanje	F_5			250	55
7478	DEFAULT	2	5	Ubrzanje_Postotak	Maksimum za penjanje	F_1			260	55
7478	DEFAULT	2	6	Penjanje	Maksimum za penjanje	F_0	3000			
7478	DEFAULT	2	7	Ubrzanje_Postotak	Maksimum za penjanje	F_0			295	50
7478	DEFAULT	2	8	Penjanje	Maksimum za penjanje	F_0	10000			
7478	DEFAULT	3	1	Uzlijetanje	Maksimum za uzlijetanje	F_10				
7478	DEFAULT	3	2	Penjanje	Maksimum za uzlijetanje	F_10	1000			
7478	DEFAULT	3	3	Ubrzanje_Postotak	Maksimum za penjanje	F_10			215	55
7478	DEFAULT	3	4	Ubrzanje_Postotak	Maksimum za penjanje	F_5			250	55
7478	DEFAULT	3	5	Ubrzanje_Postotak	Maksimum za penjanje	F_1			260	55
7478	DEFAULT	3	6	Penjanje	Maksimum za penjanje	F_0	3000			

7478	DEFAULT	3	7	Ubrzanje_Postotak	Maksimum za penjanje	F_0			295	50
7478	DEFAULT	3	8	Penjanje	Maksimum za penjanje	F_0	10000			
7478	DEFAULT	4	1	Uzlijetanje	Maksimum za uzlijetanje	F_10				
7478	DEFAULT	4	2	Penjanje	Maksimum za uzlijetanje	F_10	1000			
7478	DEFAULT	4	3	Ubrzanje_Postotak	Maksimum za penjanje	F_10			220	55
7478	DEFAULT	4	4	Ubrzanje_Postotak	Maksimum za penjanje	F_5			250	55
7478	DEFAULT	4	5	Ubrzanje_Postotak	Maksimum za penjanje	F_1			268	55
7478	DEFAULT	4	6	Penjanje	Maksimum za penjanje	F_0	3000			
7478	DEFAULT	4	7	Ubrzanje_Postotak	Maksimum za penjanje	F_0			295	50
7478	DEFAULT	4	8	Penjanje	Maksimum za penjanje	F_0	10000			
7478	DEFAULT	5	1	Uzlijetanje	Maksimum za uzlijetanje	F_10				
7478	DEFAULT	5	2	Penjanje	Maksimum za uzlijetanje	F_10	1000			
7478	DEFAULT	5	3	Ubrzanje_Postotak	Maksimum za penjanje	F_10			220	55
7478	DEFAULT	5	4	Ubrzanje_Postotak	Maksimum za penjanje	F_5			250	55
7478	DEFAULT	5	5	Ubrzanje_Postotak	Maksimum za penjanje	F_1			270	55
7478	DEFAULT	5	6	Penjanje	Maksimum za penjanje	F_0	3000			

7478	DEFAULT	5	7	Ubrzanje_Postotak	Maksimum za penjanje	F_0			295	50
7478	DEFAULT	5	8	Penjanje	Maksimum za penjanje	F_0	10000			
7478	DEFAULT	6	1	Uzlijetanje	Maksimum za uzlijetanje	F_10				
7478	DEFAULT	6	2	Penjanje	Maksimum za uzlijetanje	F_10	1000			
7478	DEFAULT	6	3	Ubrzanje_Postotak	Maksimum za penjanje	F_10			227	55
7478	DEFAULT	6	4	Ubrzanje_Postotak	Maksimum za penjanje	F_5			258	55
7478	DEFAULT	6	5	Ubrzanje_Postotak	Maksimum za penjanje	F_1			270	55
7478	DEFAULT	6	6	Penjanje	Maksimum za penjanje	F_0	3000			
7478	DEFAULT	6	7	Ubrzanje_Postotak	Maksimum za penjanje	F_0			295	50
7478	DEFAULT	6	8	Penjanje	Maksimum za penjanje	F_0	10000			
7478	DEFAULT	7	1	Uzlijetanje	Maksimum za uzlijetanje	F_10				
7478	DEFAULT	7	2	Penjanje	Maksimum za uzlijetanje	F_10	1000			
7478	DEFAULT	7	3	Ubrzanje_Postotak	Maksimum za penjanje	F_10			230	55
7478	DEFAULT	7	4	Ubrzanje_Postotak	Maksimum za penjanje	F_5			260	55
7478	DEFAULT	7	5	Ubrzanje_Postotak	Maksimum za penjanje	F_1			275	55
7478	DEFAULT	7	6	Penjanje	Maksimum za penjanje	F_0	3000			

7478	DEFAULT	7	7	Ubrzanje_Postotak	Maksimum za penjanje	F_0			295	50
7478	DEFAULT	7	8	Penjanje	Maksimum za penjanje	F_0	10000			
7478	DEFAULT	8	1	Uzlijetanje	Maksimum za uzlijetanje	F_10				
7478	DEFAULT	8	2	Penjanje	Maksimum za uzlijetanje	F_10	1000			
7478	DEFAULT	8	3	Ubrzanje_Postotak	Maksimum za penjanje	F_10			235	55
7478	DEFAULT	8	4	Ubrzanje_Postotak	Maksimum za penjanje	F_5			265	55
7478	DEFAULT	8	5	Ubrzanje_Postotak	Maksimum za penjanje	F_1			280	55
7478	DEFAULT	8	6	Penjanje	Maksimum za penjanje	F_0	3000			
7478	DEFAULT	8	7	Ubrzanje_Postotak	Maksimum za penjanje	F_0			295	50
7478	DEFAULT	8	8	Penjanje	Maksimum za penjanje	F_0	10000			
7478	DEFAULT	9	1	Uzlijetanje	Maksimum za uzlijetanje	F_10				
7478	DEFAULT	9	2	Penjanje	Maksimum za uzlijetanje	F_10	1000			
7478	DEFAULT	9	3	Ubrzanje_Postotak	Maksimum za penjanje	F_10			235	55
7478	DEFAULT	9	4	Ubrzanje_Postotak	Maksimum za penjanje	F_5			265	55
7478	DEFAULT	9	5	Ubrzanje_Postotak	Maksimum za penjanje	F_1			280	55
7478	DEFAULT	9	6	Penjanje	Maksimum za penjanje	F_0	3000			

7478	DEFAULT	9	7	Ubrzanje_Postotak	Maksimum za penjanje	F_0			295	50
7478	DEFAULT	9	8	Penjanje	Maksimum za penjanje	F_0	10000			
7478	ICAO_A	1	1	Uzlijetanje	Maksimum za uzlijetanje	F_10				
7478	ICAO_A	1	2	Penjanje	Maksimum za uzlijetanje	F_10	1500			
7478	ICAO_A	1	3	Penjanje	Maksimum za penjanje	F_10	3000			
7478	ICAO_A	1	4	Ubrzanje_Postotak	Maksimum za penjanje	F_10			220	55
7478	ICAO_A	1	5	Ubrzanje_Postotak	Maksimum za penjanje	F_5			250	55
7478	ICAO_A	1	6	Penjanje	Maksimum za penjanje	F_1	4700			
7478	ICAO_A	1	7	Ubrzanje_Postotak	Maksimum za penjanje	F_0			276	50
7478	ICAO_A	1	8	Penjanje	Maksimum za penjanje	F_0	10000			
7478	ICAO_A	2	1	Uzlijetanje	Maksimum za uzlijetanje	F_10				
7478	ICAO_A	2	2	Penjanje	Maksimum za uzlijetanje	F_10	1500			
7478	ICAO_A	2	3	Penjanje	Maksimum za penjanje	F_10	3000			
7478	ICAO_A	2	4	Ubrzanje_Postotak	Maksimum za penjanje	F_10			220	55
7478	ICAO_A	2	5	Ubrzanje_Postotak	Maksimum za penjanje	F_1			254	55
7478	ICAO_A	2	6	Penjanje	Maksimum za penjanje	F_1	4800			

7478	ICAO_A	2	7	Ubrzanje_Postotak	Maksimum za penjanje	F_0			275	50
7478	ICAO_A	2	8	Penjanje	Maksimum za penjanje	F_0	10000			
7478	ICAO_A	3	1	Uzlijetanje	Maksimum za uzlijetanje	F_10				
7478	ICAO_A	3	2	Penjanje	Maksimum za uzlijetanje	F_10	1500			
7478	ICAO_A	3	3	Penjanje	Maksimum za penjanje	F_10	3000			
7478	ICAO_A	3	4	Ubrzanje_Postotak	Maksimum za penjanje	F_5			220	55
7478	ICAO_A	3	5	Ubrzanje_Postotak	Maksimum za penjanje	F_1			255	55
7478	ICAO_A	3	6	Penjanje	Maksimum za penjanje	F_1	4500			
7478	ICAO_A	3	7	Ubrzanje_Postotak	Maksimum za penjanje	F_0			275	50
7478	ICAO_A	3	8	Penjanje	Maksimum za penjanje	F_0	10000			
7478	ICAO_A	4	1	Uzlijetanje	Maksimum za uzlijetanje	F_10				
7478	ICAO_A	4	2	Penjanje	Maksimum za uzlijetanje	F_10	1500			
7478	ICAO_A	4	3	Penjanje	Maksimum za penjanje	F_10	3000			
7478	ICAO_A	4	4	Ubrzanje_Postotak	Maksimum za penjanje	F_10			220	55
7478	ICAO_A	4	5	Ubrzanje_Postotak	Maksimum za penjanje	F_5			255	55
7478	ICAO_A	4	6	Ubrzanje_Postotak	Maksimum za penjanje	F_1			275	55

7478	ICAO_A	4	7	Penjanje	Maksimum za penjanje	F_0	10000			
7478	ICAO_A	5	1	Uzlijetanje	Maksimum za uzlijetanje	F_10				
7478	ICAO_A	5	2	Penjanje	Maksimum za uzlijetanje	F_10	1500			
7478	ICAO_A	5	3	Penjanje	Maksimum za penjanje	F_10	3000			
7478	ICAO_A	5	4	Ubrzanje_Postotak	Maksimum za penjanje	F_5		220	55	
7478	ICAO_A	5	5	Ubrzanje_Postotak	Maksimum za penjanje	F_1		255	55	
7478	ICAO_A	5	6	Ubrzanje_Postotak	Maksimum za penjanje	F_0		275	50	
7478	ICAO_A	5	7	Penjanje	Maksimum za penjanje	F_0	10000			
7478	ICAO_A	6	1	Uzlijetanje	Maksimum za uzlijetanje	F_10				
7478	ICAO_A	6	2	Penjanje	Maksimum za uzlijetanje	F_10	1500			
7478	ICAO_A	6	3	Penjanje	Maksimum za penjanje	F_10	3000			
7478	ICAO_A	6	4	Ubrzanje_Postotak	Maksimum za penjanje	F_5		225	55	
7478	ICAO_A	6	5	Ubrzanje_Postotak	Maksimum za penjanje	F_1		255	55	
7478	ICAO_A	6	6	Ubrzanje_Postotak	Maksimum za penjanje	F_0		278	50	
7478	ICAO_A	6	7	Penjanje	Maksimum za penjanje	F_0	10000			
7478	ICAO_A	7	1	Uzlijetanje	Maksimum za uzlijetanje	F_10				

7478	ICAO_A	7	2	Penjanje	Maksimum za uzlijetanje	F_10	1500			
7478	ICAO_A	7	3	Penjanje	Maksimum za penjanje	F_10	3000			
7478	ICAO_A	7	4	Ubrzanje_Postotak	Maksimum za penjanje	F_5			225	55
7478	ICAO_A	7	5	Ubrzanje_Postotak	Maksimum za penjanje	F_1			255	55
7478	ICAO_A	7	6	Ubrzanje_Postotak	Maksimum za penjanje	F_0			278	50
7478	ICAO_A	7	7	Penjanje	Maksimum za penjanje	F_0	10000			
7478	ICAO_A	8	1	Uzlijetanje	Maksimum za uzlijetanje	F_10				
7478	ICAO_A	8	2	Penjanje	Maksimum za uzlijetanje	F_10	1500			
7478	ICAO_A	8	3	Penjanje	Maksimum za penjanje	F_10	3000			
7478	ICAO_A	8	4	Ubrzanje_Postotak	Maksimum za penjanje	F_5			230	55
7478	ICAO_A	8	5	Ubrzanje_Postotak	Maksimum za penjanje	F_1			265	55
7478	ICAO_A	8	6	Ubrzanje_Postotak	Maksimum za penjanje	F_0			280	50
7478	ICAO_A	8	7	Penjanje	Maksimum za penjanje	F_0	10000			
7478	ICAO_A	9	1	Uzlijetanje	Maksimum za uzlijetanje	F_10				
7478	ICAO_A	9	2	Penjanje	Maksimum za uzlijetanje	F_10	1500			
7478	ICAO_A	9	3	Penjanje	Maksimum za penjanje	F_10	3000			

7478	ICAO_A	9	4	Ubrzanje_Postotak	Maksimum za penjanje	F_5			230	55
7478	ICAO_A	9	5	Ubrzanje_Postotak	Maksimum za penjanje	F_1			265	55
7478	ICAO_A	9	6	Ubrzanje_Postotak	Maksimum za penjanje	F_0			280	50
7478	ICAO_A	9	7	Penjanje	Maksimum za penjanje	F_0	10000			
7478	ICAO_B	1	1	Uzlijetanje	Maksimum za uzlijetanje	F_10				
7478	ICAO_B	1	2	Penjanje	Maksimum za uzlijetanje	F_10	1000			
7478	ICAO_B	1	3	Ubrzanje_Postotak	Maksimum za uzlijetanje	F_10			210	55
7478	ICAO_B	1	4	Ubrzanje_Postotak	Maksimum za uzlijetanje	F_5			250	55
7478	ICAO_B	1	5	Penjanje	Maksimum za uzlijetanje	F_1	3480			
7478	ICAO_B	1	6	Ubrzanje_Postotak	Maksimum za penjanje	F_0			280	50
7478	ICAO_B	1	7	Penjanje	Maksimum za penjanje	F_0	10000			
7478	ICAO_B	2	1	Uzlijetanje	Maksimum za uzlijetanje	F_10				
7478	ICAO_B	2	2	Penjanje	Maksimum za uzlijetanje	F_10	1000			
7478	ICAO_B	2	3	Ubrzanje_Postotak	Maksimum za uzlijetanje	F_10			223	55
7478	ICAO_B	2	4	Ubrzanje_Postotak	Maksimum za uzlijetanje	F_5			250	55
7478	ICAO_B	2	5	Penjanje	Maksimum za uzlijetanje	F_1	3350			

7478	ICAO_B	2	6	Ubrzanje_Postotak	Maksimum za penjanje	F_0			280	50
7478	ICAO_B	2	7	Penjanje	Maksimum za penjanje	F_0	10000			
7478	ICAO_B	3	1	Uzlijetanje	Maksimum za uzlijetanje	F_10				
7478	ICAO_B	3	2	Penjanje	Maksimum za uzlijetanje	F_10	1000			
7478	ICAO_B	3	3	Ubrzanje_Postotak	Maksimum za uzlijetanje	F_10			223	55
7478	ICAO_B	3	4	Ubrzanje_Postotak	Maksimum za uzlijetanje	F_5			263	55
7478	ICAO_B	3	5	Penjanje	Maksimum za uzlijetanje	F_1	3350			
7478	ICAO_B	3	6	Ubrzanje_Postotak	Maksimum za penjanje	F_0			300	50
7478	ICAO_B	3	7	Penjanje	Maksimum za penjanje	F_0	10000			
7478	ICAO_B	4	1	Uzlijetanje	Maksimum za uzlijetanje	F_10				
7478	ICAO_B	4	2	Penjanje	Maksimum za uzlijetanje	F_10	1000			
7478	ICAO_B	4	3	Ubrzanje_Postotak	Maksimum za uzlijetanje	F_10			210	55
7478	ICAO_B	4	4	Ubrzanje_Postotak	Maksimum za uzlijetanje	F_5			260	55
7478	ICAO_B	4	5	Penjanje	Maksimum za uzlijetanje	F_1	3480			
7478	ICAO_B	4	6	Ubrzanje_Postotak	Maksimum za penjanje	F_0			270	50
7478	ICAO_B	4	7	Penjanje	Maksimum za penjanje	F_0	10000			

7478	ICAO_B	5	1	Uzlijetanje	Maksimum za uzlijetanje	F_10				
7478	ICAO_B	5	2	Penjanje	Maksimum za uzlijetanje	F_10	1000			
7478	ICAO_B	5	3	Ubrzanje_Postotak	Maksimum za uzlijetanje	F_10			228	55
7478	ICAO_B	5	4	Ubrzanje_Postotak	Maksimum za uzlijetanje	F_5			262	55
7478	ICAO_B	5	5	Penjanje	Maksimum za uzlijetanje	F_1	2760			
7478	ICAO_B	5	6	Ubrzanje_Postotak	Maksimum za penjanje	F_0			270	50
7478	ICAO_B	5	7	Penjanje	Maksimum za penjanje	F_0	10000			
7478	ICAO_B	6	1	Uzlijetanje	Maksimum za uzlijetanje	F_10				
7478	ICAO_B	6	2	Penjanje	Maksimum za uzlijetanje	F_10	1000			
7478	ICAO_B	6	3	Ubrzanje_Postotak	Maksimum za uzlijetanje	F_10			231	55
7478	ICAO_B	6	4	Ubrzanje_Postotak	Maksimum za uzlijetanje	F_5			264	55
7478	ICAO_B	6	5	Penjanje	Maksimum za uzlijetanje	F_1	2610			
7478	ICAO_B	6	6	Ubrzanje_Postotak	Maksimum za penjanje	F_0			300	50
7478	ICAO_B	6	7	Penjanje	Maksimum za penjanje	F_0	10000			
7478	ICAO_B	7	1	Uzlijetanje	Maksimum za uzlijetanje	F_10				
7478	ICAO_B	7	2	Penjanje	Maksimum za uzlijetanje	F_10	1000			

7478	ICAO_B	7	3	Ubrzanje_Postotak	Maksimum za uzlijetanje	F_10			231	55
7478	ICAO_B	7	4	Ubrzanje_Postotak	Maksimum za uzlijetanje	F_5			270	55
7478	ICAO_B	7	5	Penjanje	Maksimum za uzlijetanje	F_1	2610			
7478	ICAO_B	7	6	Ubrzanje_Postotak	Maksimum za penjanje	F_0			300	50
7478	ICAO_B	7	7	Penjanje	Maksimum za penjanje	F_0	10000			
7478	ICAO_B	8	1	Uzlijetanje	Maksimum za uzlijetanje	F_10				
7478	ICAO_B	8	2	Penjanje	Maksimum za uzlijetanje	F_10	1000			
7478	ICAO_B	8	3	Ubrzanje_Postotak	Maksimum za uzlijetanje	F_10			235	55
7478	ICAO_B	8	4	Ubrzanje_Postotak	Maksimum za uzlijetanje	F_5			265	55
7478	ICAO_B	8	5	Ubrzanje_Postotak	Maksimum za uzlijetanje	F_1			275	55
7478	ICAO_B	8	6	Penjanje	Maksimum za penjanje	F_0	10000			
7478	ICAO_B	9	1	Uzlijetanje	Maksimum za uzlijetanje	F_10				
7478	ICAO_B	9	2	Penjanje	Maksimum za uzlijetanje	F_10	1000			
7478	ICAO_B	9	3	Ubrzanje_Postotak	Maksimum za uzlijetanje	F_10			240	55
7478	ICAO_B	9	4	Ubrzanje_Postotak	Maksimum za uzlijetanje	F_5			270	55
7478	ICAO_B	9	5	Ubrzanje_Postotak	Maksimum za uzlijetanje	F_1			280	55

7478	ICAO_B	9	6	Penjanje	Maksimum za penjanje	F_0	10000			
747SP	DEFAULT	1	1	Uzlijetanje	Maksimum za uzlijetanje	10				
747SP	DEFAULT	1	2	Penjanje	Maksimum za uzlijetanje	10	1000			
747SP	DEFAULT	1	3	Ubrzanje	Maksimum za uzlijetanje	10		2469	163	
747SP	DEFAULT	1	4	Ubrzanje	Maksimum za penjanje	5		1000	203	
747SP	DEFAULT	1	5	Penjanje	Maksimum za penjanje	ZERO	3000			
747SP	DEFAULT	1	6	Ubrzanje	Maksimum za penjanje	ZERO		1000	250	
747SP	DEFAULT	1	7	Penjanje	Maksimum za penjanje	ZERO	5500			
747SP	DEFAULT	1	8	Penjanje	Maksimum za penjanje	ZERO	7500			
747SP	DEFAULT	1	9	Penjanje	Maksimum za penjanje	ZERO	10000			
747SP	DEFAULT	2	1	Uzlijetanje	Maksimum za uzlijetanje	10				
747SP	DEFAULT	2	2	Penjanje	Maksimum za uzlijetanje	10	1000			
747SP	DEFAULT	2	3	Ubrzanje	Maksimum za uzlijetanje	10		2326	167	
747SP	DEFAULT	2	4	Ubrzanje	Maksimum za penjanje	5		1000	207	
747SP	DEFAULT	2	5	Penjanje	Maksimum za penjanje	ZERO	3000			
747SP	DEFAULT	2	6	Ubrzanje	Maksimum za penjanje	ZERO		1000	250	

747SP	DEFAULT	2	7	Penjanje	Maksimum za penjanje	ZERO	5500			
747SP	DEFAULT	2	8	Penjanje	Maksimum za penjanje	ZERO	7500			
747SP	DEFAULT	2	9	Penjanje	Maksimum za penjanje	ZERO	10000			
747SP	DEFAULT	3	1	Uzlijetanje	Maksimum za uzlijetanje	10				
747SP	DEFAULT	3	2	Penjanje	Maksimum za uzlijetanje	10	1000			
747SP	DEFAULT	3	3	Ubrzanje	Maksimum za uzlijetanje	10		2201	170	
747SP	DEFAULT	3	4	Ubrzanje	Maksimum za penjanje	5		1000	210	
747SP	DEFAULT	3	5	Penjanje	Maksimum za penjanje	ZERO	3000			
747SP	DEFAULT	3	6	Ubrzanje	Maksimum za penjanje	ZERO		1000	250	
747SP	DEFAULT	3	7	Penjanje	Maksimum za penjanje	ZERO	5500			
747SP	DEFAULT	3	8	Penjanje	Maksimum za penjanje	ZERO	7500			
747SP	DEFAULT	3	9	Penjanje	Maksimum za penjanje	ZERO	10000			
747SP	DEFAULT	4	1	Uzlijetanje	Maksimum za uzlijetanje	10				
747SP	DEFAULT	4	2	Penjanje	Maksimum za uzlijetanje	10	1000			
747SP	DEFAULT	4	3	Ubrzanje	Maksimum za uzlijetanje	10		2027	175	
747SP	DEFAULT	4	4	Ubrzanje	Maksimum za penjanje	5		1000	215	

747SP	DEFAULT	4	5	Penjanje	Maksimum za penjanje	ZERO	3000			
747SP	DEFAULT	4	6	Ubrzanje	Maksimum za penjanje	ZERO		1000	250	
747SP	DEFAULT	4	7	Penjanje	Maksimum za penjanje	ZERO	5500			
747SP	DEFAULT	4	8	Penjanje	Maksimum za penjanje	ZERO	7500			
747SP	DEFAULT	4	9	Penjanje	Maksimum za penjanje	ZERO	10000			
747SP	DEFAULT	5	1	Uzlijetanje	Maksimum za uzlijetanje	10				
747SP	DEFAULT	5	2	Penjanje	Maksimum za uzlijetanje	10	1000			
747SP	DEFAULT	5	3	Ubrzanje	Maksimum za uzlijetanje	10		1821	182	
747SP	DEFAULT	5	4	Ubrzanje	Maksimum za penjanje	5		1000	222	
747SP	DEFAULT	5	5	Penjanje	Maksimum za penjanje	ZERO	3000			
747SP	DEFAULT	5	6	Ubrzanje	Maksimum za penjanje	ZERO		1000	250	
747SP	DEFAULT	5	7	Penjanje	Maksimum za penjanje	ZERO	5500			
747SP	DEFAULT	5	8	Penjanje	Maksimum za penjanje	ZERO	7500			
747SP	DEFAULT	5	9	Penjanje	Maksimum za penjanje	ZERO	10000			
747SP	DEFAULT	6	1	Uzlijetanje	Maksimum za uzlijetanje	10				
747SP	DEFAULT	6	2	Penjanje	Maksimum za uzlijetanje	10	1000			



ThoriumSoftware d.o.o.

Mobile: +385 (0) 95 8 70 50 70
Kontakt: Dario Ilija Rendulić
Email:
info@thoriumsoftware.eu;
direndulic@gmail.com

747SP	DEFAULT	6	3	Ubrzanje	Maksimum za uzlijetanje	10		1643	188	
747SP	DEFAULT	6	4	Ubrzanje	Maksimum za penjanje	5		1000	228	
747SP	DEFAULT	6	5	Penjanje	Maksimum za penjanje	ZERO	3000			
747SP	DEFAULT	6	6	Ubrzanje	Maksimum za penjanje	ZERO		1000	250	
747SP	DEFAULT	6	7	Penjanje	Maksimum za penjanje	ZERO	5500			
747SP	DEFAULT	6	8	Penjanje	Maksimum za penjanje	ZERO	7500			
747SP	DEFAULT	6	9	Penjanje	Maksimum za penjanje	ZERO	10000			

„737MAX8	DEFAULT	1	1	Uzljetanje	Maksimum za uzljetanje	D_05					
737MAX8	DEFAULT	1	2	Penjanje	Maksimum za uzljetanje	D_05	1 000				
737MAX8	DEFAULT	1	3	Ubrzanje	Maksimum za penjanje	D_05		1 336	174		
737MAX8	DEFAULT	1	4	Ubrzanje	Maksimum za penjanje	D_01		1 799	205		
737MAX8	DEFAULT	1	5	Penjanje	Maksimum za penjanje	D_00	3 000				
737MAX8	DEFAULT	1	6	Ubrzanje	Maksimum za penjanje	D_00		1 681	250		
737MAX8	DEFAULT	1	7	Penjanje	Maksimum za penjanje	D_00	5 500				
737MAX8	DEFAULT	1	8	Penjanje	Maksimum za penjanje	D_00	7 500				
737MAX8	DEFAULT	1	9	Penjanje	Maksimum za penjanje	D_00	10 000				
737MAX8	DEFAULT	2	1	Uzljetanje	Maksimum za uzljetanje	D_05					
737MAX8	DEFAULT	2	2	Penjanje	Maksimum za uzljetanje	D_05	1 000				
737MAX8	DEFAULT	2	3	Ubrzanje	Maksimum za penjanje	D_05		1 284	176		
737MAX8	DEFAULT	2	4	Ubrzanje	Maksimum za penjanje	D_01		1 651	208		
737MAX8	DEFAULT	2	5	Penjanje	Maksimum za penjanje	D_00	3 000				
737MAX8	DEFAULT	2	6	Ubrzanje	Maksimum za penjanje	D_00		1 619	250		
737MAX8	DEFAULT	2	7	Penjanje	Maksimum za penjanje	D_00	5 500				
737MAX8	DEFAULT	2	8	Penjanje	Maksimum za penjanje	D_00	7 500				
737MAX8	DEFAULT	2	9	Penjanje	Maksimum za penjanje	D_00	10 000				
737MAX8	DEFAULT	3	1	Uzljetanje	Maksimum za uzljetanje	D_05					
737MAX8	DEFAULT	3	2	Penjanje	Maksimum za uzljetanje	D_05	1 000				
737MAX8	DEFAULT	3	3	Ubrzanje	Maksimum za penjanje	D_05		1 229	177		
737MAX8	DEFAULT	3	4	Ubrzanje	Maksimum za penjanje	D_01		1 510	210		
737MAX8	DEFAULT	3	5	Penjanje	Maksimum za penjanje	D_00	3 000				
737MAX8	DEFAULT	3	6	Ubrzanje	Maksimum za penjanje	D_00		1 544	250		
737MAX8	DEFAULT	3	7	Penjanje	Maksimum za penjanje	D_00	5 500				
737MAX8	DEFAULT	3	8	Penjanje	Maksimum za penjanje	D_00	7 500				
737MAX8	DEFAULT	3	9	Penjanje	Maksimum za penjanje	D_00	10 000				
737MAX8	DEFAULT	4	1	Uzljetanje	Maksimum za uzljetanje	D_05					
737MAX8	DEFAULT	4	2	Penjanje	Maksimum za uzljetanje	D_05	1 000				
737MAX8	DEFAULT	4	3	Ubrzanje	Maksimum za penjanje	D_05		1 144	181		
737MAX8	DEFAULT	4	4	Ubrzanje	Maksimum za penjanje	D_01		1 268	213		
737MAX8	DEFAULT	4	5	Penjanje	Maksimum za penjanje	D_00	3 000				
737MAX8	DEFAULT	4	6	Ubrzanje	Maksimum za penjanje	D_00		1 414	250		
737MAX8	DEFAULT	4	7	Penjanje	Maksimum za penjanje	D_00	5 500				

737MAX8	DEFAULT	4	8	Penjanje	Maksimum za penjanje	D_00	7 500			
737MAX8	DEFAULT	4	9	Penjanje	Maksimum za penjanje	D_00	10 000			
737MAX8	DEFAULT	5	1	Uzlijetanje	Maksimum za uzlijetanje	D_05				
737MAX8	DEFAULT	5	2	Penjanje	Maksimum za uzlijetanje	D_05	1 000			
737MAX8	DEFAULT	5	3	Ubrzanje	Maksimum za penjanje	D_05		1 032	184	
737MAX8	DEFAULT	5	4	Ubrzanje	Maksimum za penjanje	D_01		1 150	217	
737MAX8	DEFAULT	5	5	Penjanje	Maksimum za penjanje	D_00	3 000			
737MAX8	DEFAULT	5	6	Ubrzanje	Maksimum za penjanje	D_00		1 292	250	
737MAX8	DEFAULT	5	7	Penjanje	Maksimum za penjanje	D_00	5 500			
737MAX8	DEFAULT	5	8	Penjanje	Maksimum za penjanje	D_00	7 500			
737MAX8	DEFAULT	5	9	Penjanje	Maksimum za penjanje	D_00	10 000			
737MAX8	DEFAULT	6	1	Uzlijetanje	Maksimum za uzlijetanje	D_05				
737MAX8	DEFAULT	6	2	Penjanje	Maksimum za uzlijetanje	D_05	1 000			
737MAX8	DEFAULT	6	3	Ubrzanje	Maksimum za penjanje	D_05		1 001	185	
737MAX8	DEFAULT	6	4	Ubrzanje	Maksimum za penjanje	D_01		1 120	219	
737MAX8	DEFAULT	6	5	Penjanje	Maksimum za penjanje	D_00	3 000			
737MAX8	DEFAULT	6	6	Ubrzanje	Maksimum za penjanje	D_00		1 263	250	
737MAX8	DEFAULT	6	7	Penjanje	Maksimum za penjanje	D_00	5 500			
737MAX8	DEFAULT	6	8	Penjanje	Maksimum za penjanje	D_00	7 500			
737MAX8	DEFAULT	6	9	Penjanje	Maksimum za penjanje	D_00	10 000			
737MAX8	DEFAULT	M	1	Uzlijetanje	Maksimum za uzlijetanje	D_05				
737MAX8	DEFAULT	M	2	Penjanje	Maksimum za uzlijetanje	D_05	1 000			
737MAX8	DEFAULT	M	3	Ubrzanje	Maksimum za penjanje	D_05		951	188	
737MAX8	DEFAULT	M	4	Ubrzanje	Maksimum za penjanje	D_01		1 058	221	
737MAX8	DEFAULT	M	5	Penjanje	Maksimum za penjanje	D_00	3 000			
737MAX8	DEFAULT	M	6	Ubrzanje	Maksimum za penjanje	D_00		1 196	250	
737MAX8	DEFAULT	M	7	Penjanje	Maksimum za penjanje	D_00	5 500			
737MAX8	DEFAULT	M	8	Penjanje	Maksimum za penjanje	D_00	7 500			
737MAX8	DEFAULT	M	9	Penjanje	Maksimum za penjanje	D_00	10 000			
737MAX8	ICAO_A	1	1	Uzlijetanje	Maksimum za uzlijetanje	D_05				
737MAX8	ICAO_A	1	2	Penjanje	Maksimum za uzlijetanje	D_05	1 500			
737MAX8	ICAO_A	1	3	Penjanje	Maksimum za penjanje	D_05	3 000			
737MAX8	ICAO_A	1	4	Ubrzanje	Maksimum za penjanje	D_05		1 300	174	
737MAX8	ICAO_A	1	5	Ubrzanje	Maksimum za penjanje	D_01		1 667	205	

737MAX8	ICAO_A	1	6	Ubrzanje	Maksimum za penjanje	D_00		2 370	250
737MAX8	ICAO_A	1	7	Penjanje	Maksimum za penjanje	D_00	5 500		
737MAX8	ICAO_A	1	8	Penjanje	Maksimum za penjanje	D_00	7 500		
737MAX8	ICAO_A	1	9	Penjanje	Maksimum za penjanje	D_00	10 000		
737MAX8	ICAO_A	2	1	Uzljetanje	Maksimum za uzljetanje	D_05			
737MAX8	ICAO_A	2	2	Penjanje	Maksimum za uzljetanje	D_05	1 500		
737MAX8	ICAO_A	2	3	Penjanje	Maksimum za penjanje	D_05	3 000		
737MAX8	ICAO_A	2	4	Ubrzanje	Maksimum za penjanje	D_05		1 243	174
737MAX8	ICAO_A	2	5	Ubrzanje	Maksimum za penjanje	D_01		1 524	207
737MAX8	ICAO_A	2	6	Ubrzanje	Maksimum za penjanje	D_00		2 190	250
737MAX8	ICAO_A	2	7	Penjanje	Maksimum za penjanje	D_00	5 500		
737MAX8	ICAO_A	2	8	Penjanje	Maksimum za penjanje	D_00	7 500		
737MAX8	ICAO_A	2	9	Penjanje	Maksimum za penjanje	D_00	10 000		
737MAX8	ICAO_A	3	1	Uzljetanje	Maksimum za uzljetanje	D_05			
737MAX8	ICAO_A	3	2	Penjanje	Maksimum za uzljetanje	D_05	1 500		
737MAX8	ICAO_A	3	3	Penjanje	Maksimum za penjanje	D_05	3 000		
737MAX8	ICAO_A	3	4	Ubrzanje	Maksimum za penjanje	D_05		1 190	176
737MAX8	ICAO_A	3	5	Ubrzanje	Maksimum za penjanje	D_01		1 331	210
737MAX8	ICAO_A	3	6	Ubrzanje	Maksimum za penjanje	D_00		2 131	250
737MAX8	ICAO_A	3	7	Penjanje	Maksimum za penjanje	D_00	5 500		
737MAX8	ICAO_A	3	8	Penjanje	Maksimum za penjanje	D_00	7 500		
737MAX8	ICAO_A	3	9	Penjanje	Maksimum za penjanje	D_00	10 000		
737MAX8	ICAO_A	4	1	Uzljetanje	Maksimum za uzljetanje	D_05			
737MAX8	ICAO_A	4	2	Penjanje	Maksimum za uzljetanje	D_05	1 500		
737MAX8	ICAO_A	4	3	Penjanje	Maksimum za penjanje	D_05	3 000		
737MAX8	ICAO_A	4	4	Ubrzanje	Maksimum za penjanje	D_05		1 098	180
737MAX8	ICAO_A	4	5	Ubrzanje	Maksimum za penjanje	D_01		1 221	211
737MAX8	ICAO_A	4	6	Ubrzanje	Maksimum za penjanje	D_00		1 883	250
737MAX8	ICAO_A	4	7	Penjanje	Maksimum za penjanje	D_00	5 500		
737MAX8	ICAO_A	4	8	Penjanje	Maksimum za penjanje	D_00	7 500		
737MAX8	ICAO_A	4	9	Penjanje	Maksimum za penjanje	D_00	10 000		
737MAX8	ICAO_A	5	1	Uzljetanje	Maksimum za uzljetanje	D_05			
737MAX8	ICAO_A	5	2	Penjanje	Maksimum za uzljetanje	D_05	1 500		
737MAX8	ICAO_A	5	3	Penjanje	Maksimum za penjanje	D_05	3 000		

737MAX8	ICAO_A	5	4	Ubrzanje	Maksimum za penjanje	D_05		988	183
737MAX8	ICAO_A	5	5	Ubrzanje	Maksimum za penjanje	D_01		1 101	216
737MAX8	ICAO_A	5	6	Ubrzanje	Maksimum za penjanje	D_00		1 730	250
737MAX8	ICAO_A	5	7	Penjanje	Maksimum za penjanje	D_00	5 500		
737MAX8	ICAO_A	5	8	Penjanje	Maksimum za penjanje	D_00	7 500		
737MAX8	ICAO_A	5	9	Penjanje	Maksimum za penjanje	D_00	10 000		
737MAX8	ICAO_A	6	1	Uzljetanje	Maksimum za uzljetanje	D_05			
737MAX8	ICAO_A	6	2	Penjanje	Maksimum za uzljetanje	D_05	1 500		
737MAX8	ICAO_A	6	3	Penjanje	Maksimum za penjanje	D_05	3 000		
737MAX8	ICAO_A	6	4	Ubrzanje	Maksimum za penjanje	D_05		964	185
737MAX8	ICAO_A	6	5	Ubrzanje	Maksimum za penjanje	D_01		1 073	217
737MAX8	ICAO_A	6	6	Ubrzanje	Maksimum za penjanje	D_00		1 588	250
737MAX8	ICAO_A	6	7	Penjanje	Maksimum za penjanje	D_00	5 500		
737MAX8	ICAO_A	6	8	Penjanje	Maksimum za penjanje	D_00	7 500		
737MAX8	ICAO_A	6	9	Penjanje	Maksimum za penjanje	D_00	10 000		
737MAX8	ICAO_A	M	1	Uzljetanje	Maksimum za uzljetanje	D_05			
737MAX8	ICAO_A	M	2	Penjanje	Maksimum za uzljetanje	D_05	1 500		
737MAX8	ICAO_A	M	3	Penjanje	Maksimum za penjanje	D_05	3 000		
737MAX8	ICAO_A	M	4	Ubrzanje	Maksimum za penjanje	D_05		911	187
737MAX8	ICAO_A	M	5	Ubrzanje	Maksimum za penjanje	D_01		1 012	220
737MAX8	ICAO_A	M	6	Ubrzanje	Maksimum za penjanje	D_00		1 163	250
737MAX8	ICAO_A	M	7	Penjanje	Maksimum za penjanje	D_00	5 500		
737MAX8	ICAO_A	M	8	Penjanje	Maksimum za penjanje	D_00	7 500		
737MAX8	ICAO_A	M	9	Penjanje	Maksimum za penjanje	D_00	10 000		
737MAX8	ICAO_B	1	1	Uzljetanje	Maksimum za uzljetanje	D_05			
737MAX8	ICAO_B	1	2	Penjanje	Maksimum za uzljetanje	D_05	1 000		
737MAX8	ICAO_B	1	3	Ubrzanje	Maksimum za uzljetanje	D_01		1 734	178
737MAX8	ICAO_B	1	4	Ubrzanje	Maksimum za uzljetanje	D_00		2 595	205
737MAX8	ICAO_B	1	5	Penjanje	Maksimum za penjanje	D_00	3 000		
737MAX8	ICAO_B	1	6	Ubrzanje	Maksimum za penjanje	D_00		1 671	250
737MAX8	ICAO_B	1	7	Penjanje	Maksimum za penjanje	D_00	5 500		
737MAX8	ICAO_B	1	8	Penjanje	Maksimum za penjanje	D_00	7 500		
737MAX8	ICAO_B	1	9	Penjanje	Maksimum za penjanje	D_00	10 000		
737MAX8	ICAO_B	2	1	Uzljetanje	Maksimum za uzljetanje	D_05			

737MAX8	ICAO_B	2	2	Penjanje	Maksimum za uzljetanje	D_05	1 000			
737MAX8	ICAO_B	2	3	Ubrzanje	Maksimum za uzljetanje	D_01		1 682	179	
737MAX8	ICAO_B	2	4	Ubrzanje	Maksimum za uzljetanje	D_00		2 477	208	
737MAX8	ICAO_B	2	5	Penjanje	Maksimum za penjanje	D_00	3 000			
737MAX8	ICAO_B	2	6	Ubrzanje	Maksimum za penjanje	D_00		1 610	250	
737MAX8	ICAO_B	2	7	Penjanje	Maksimum za penjanje	D_00	5 500			
737MAX8	ICAO_B	2	8	Penjanje	Maksimum za penjanje	D_00	7 500			
737MAX8	ICAO_B	2	9	Penjanje	Maksimum za penjanje	D_00	10 000			
737MAX8	ICAO_B	3	1	Uzljetanje	Maksimum za uzljetanje	D_05				
737MAX8	ICAO_B	3	2	Penjanje	Maksimum za uzljetanje	D_05	1 000			
737MAX8	ICAO_B	3	3	Ubrzanje	Maksimum za uzljetanje	D_01		1 616	180	
737MAX8	ICAO_B	3	4	Ubrzanje	Maksimum za uzljetanje	D_00		2 280	210	
737MAX8	ICAO_B	3	5	Penjanje	Maksimum za penjanje	D_00	3 000			
737MAX8	ICAO_B	3	6	Ubrzanje	Maksimum za penjanje	D_00		1 545	250	
737MAX8	ICAO_B	3	7	Penjanje	Maksimum za penjanje	D_00	5 500			
737MAX8	ICAO_B	3	8	Penjanje	Maksimum za penjanje	D_00	7 500			
737MAX8	ICAO_B	3	9	Penjanje	Maksimum za penjanje	D_00	10 000			
737MAX8	ICAO_B	4	1	Uzljetanje	Maksimum za uzljetanje	D_05				
737MAX8	ICAO_B	4	2	Penjanje	Maksimum za uzljetanje	D_05	1 000			
737MAX8	ICAO_B	4	3	Ubrzanje	Maksimum za uzljetanje	D_01		1 509	184	
737MAX8	ICAO_B	4	4	Ubrzanje	Maksimum za uzljetanje	D_00		2 103	214	
737MAX8	ICAO_B	4	5	Penjanje	Maksimum za penjanje	D_00	3 000			
737MAX8	ICAO_B	4	6	Ubrzanje	Maksimum za penjanje	D_00		1 589	250	
737MAX8	ICAO_B	4	7	Penjanje	Maksimum za penjanje	D_00	5 500			
737MAX8	ICAO_B	4	8	Penjanje	Maksimum za penjanje	D_00	7 500			
737MAX8	ICAO_B	4	9	Penjanje	Maksimum za penjanje	D_00	10 000			
737MAX8	ICAO_B	5	1	Uzljetanje	Maksimum za uzljetanje	D_05				
737MAX8	ICAO_B	5	2	Penjanje	Maksimum za uzljetanje	D_05	1 000			
737MAX8	ICAO_B	5	3	Ubrzanje	Maksimum za uzljetanje	D_01		1 388	188	
737MAX8	ICAO_B	5	4	Ubrzanje	Maksimum za uzljetanje	D_00		1 753	220	
737MAX8	ICAO_B	5	5	Penjanje	Maksimum za penjanje	D_00	3 000			
737MAX8	ICAO_B	5	6	Ubrzanje	Maksimum za penjanje	D_00		1 295	250	
737MAX8	ICAO_B	5	7	Penjanje	Maksimum za penjanje	D_00	5 500			
737MAX8	ICAO_B	5	8	Penjanje	Maksimum za penjanje	D_00	7 500			

737MAX8	ICAO_B	5	9	Penjanje	Maksimum za penjanje	D_00	10 000			
737MAX8	ICAO_B	6	1	Uzljetanje	Maksimum za uzljetanje	D_05				
737MAX8	ICAO_B	6	2	Penjanje	Maksimum za uzljetanje	D_05	1 000			
737MAX8	ICAO_B	6	3	Ubrzanje	Maksimum za uzljetanje	D_01		1 345	188	
737MAX8	ICAO_B	6	4	Ubrzanje	Maksimum za uzljetanje	D_00		1 634	220	
737MAX8	ICAO_B	6	5	Penjanje	Maksimum za penjanje	D_00	3 000			
737MAX8	ICAO_B	6	6	Ubrzanje	Maksimum za penjanje	D_00		1 262	250	
737MAX8	ICAO_B	6	7	Penjanje	Maksimum za penjanje	D_00	5 500			
737MAX8	ICAO_B	6	8	Penjanje	Maksimum za penjanje	D_00	7 500			
737MAX8	ICAO_B	6	9	Penjanje	Maksimum za penjanje	D_00	10 000			
737MAX8	ICAO_B	M1	Uzljetanje	Maksimum za uzljetanje	D_05					
737MAX8	ICAO_B	M2	Penjanje	Maksimum za uzljetanje	D_05	1 000				
737MAX8	ICAO_B	M3	Ubrzanje	Maksimum za uzljetanje	D_01		1 287	191		
737MAX8	ICAO_B	M4	Ubrzanje	Maksimum za uzljetanje	D_00		1 426	225		
737MAX8	ICAO_B	M5	Penjanje	Maksimum za penjanje	D_00	3 000				
737MAX8	ICAO_B	M6	Ubrzanje	Maksimum za penjanje	D_00		1 196	250		
737MAX8	ICAO_B	M7	Penjanje	Maksimum za penjanje	D_00	5 500				
737MAX8	ICAO_B	M8	Penjanje	Maksimum za penjanje	D_00	7 500				
737MAX8	ICAO_B	M9	Penjanje	Maksimum za penjanje	D_00	10 000 "				

Tablica I-4 (2. dio): Uobičajeni proceduralni koraci pri odletu

ACFTID	Oznaka profila (Profile_ID)	Duljina faze	Broj koraka	Tip koraka	Režim rada motora	Zakrilca (Flap_ID)	Visina krajnje točke (ft)	Stopa penjanja (ft/min)	Kalibrirana brzina leta u krajnjoj točki (kt)	Postotak ubrzanja (Accelerate_Percent) (%)
747SP	DEFAULT	7	1	Uzljetanje	Maksimum za uzljetanje	10				
747SP	DEFAULT	7	2	Penjanje	Maksimum za uzljetanje	10	1000			
747SP	DEFAULT	7	3	Ubrzanje	Maksimum za uzljetanje	10		1403	196	
747SP	DEFAULT	7	4	Ubrzanje	Maksimum za penjanje	5		1000	236	
747SP	DEFAULT	7	5	Ubrzanje	Maksimum za penjanje	ZERO		1000	250	
747SP	DEFAULT	7	6	Penjanje	Maksimum za penjanje	ZERO	5500			
747SP	DEFAULT	7	7	Penjanje	Maksimum za penjanje	ZERO	7500			



ThoriumSoftware d.o.o.

Mobile: +385 (0) 95 8 70 50 70
 Kontakt: Dario Ilija Rendulić
 Email:
[info@thoriumsoftware.eu;](mailto:info@thoriumsoftware.eu)
direndulic@gmail.com

747SP	DEFAULT	7	8	Penjanje	Maksimum za penjanje	ZERO	10000			
757300	DEFAULT	1	1	Uzlijetanje	Maksimum za uzlijetanje	T_05				
757300	DEFAULT	1	2	Penjanje	Maksimum za uzlijetanje	T_05	1097			
757300	DEFAULT	1	3	Ubrzanje	Maksimum za uzlijetanje	T_05		2252,1	211,8	
757300	DEFAULT	1	4	Ubrzanje	Maksimum za uzlijetanje	T_01		2480	215,4	
757300	DEFAULT	1	5	Penjanje	Maksimum za uzlijetanje	T_00	2569			
757300	DEFAULT	1	6	Penjanje	Maksimum za penjanje	T_00	3000			
757300	DEFAULT	1	7	Ubrzanje	Maksimum za penjanje	T_00		1701,7	250	
757300	DEFAULT	1	8	Penjanje	Maksimum za penjanje	T_00	5500			
757300	DEFAULT	1	9	Penjanje	Maksimum za penjanje	T_00	7500			
757300	DEFAULT	1	10	Penjanje	Maksimum za penjanje	T_00	10000			
757300	DEFAULT	2	1	Uzlijetanje	Maksimum za uzlijetanje	T_05				
757300	DEFAULT	2	2	Penjanje	Maksimum za uzlijetanje	T_05	1041			
757300	DEFAULT	2	3	Ubrzanje	Maksimum za uzlijetanje	T_05		2154,9	213	
757300	DEFAULT	2	4	Ubrzanje	Maksimum za uzlijetanje	T_01		2352	218,6	
757300	DEFAULT	2	5	Penjanje	Maksimum za uzlijetanje	T_00	2412			
757300	DEFAULT	2	6	Penjanje	Maksimum za penjanje	T_00	3000			
757300	DEFAULT	2	7	Ubrzanje	Maksimum za penjanje	T_00		1607,8	250	
757300	DEFAULT	2	8	Penjanje	Maksimum za penjanje	T_00	5500			
757300	DEFAULT	2	9	Penjanje	Maksimum za penjanje	T_00	7500			



ThoriumSoftware d.o.o.

Mobile: +385 (0) 95 8 70 50 70
 Kontakt: Dario Ilija Rendulić
 Email:
[info@thoriumsoftware.eu;](mailto:info@thoriumsoftware.eu)
direndulic@gmail.com

757300	DEFAULT	2	10	Penjanje	Maksimum za penjanje	T_00	10000			
757300	DEFAULT	3	1	Uzlijetanje	Maksimum za uzlijetanje	T_05				
757300	DEFAULT	3	2	Penjanje	Maksimum za uzlijetanje	T_05	1000			
757300	DEFAULT	3	3	Ubrzanje	Maksimum za uzlijetanje	T_05		2062	214,5	
757300	DEFAULT	3	4	Ubrzanje	Maksimum za uzlijetanje	T_01		2223,5	221,8	
757300	DEFAULT	3	5	Penjanje	Maksimum za uzlijetanje	T_00	2275			
757300	DEFAULT	3	6	Penjanje	Maksimum za penjanje	T_00	3000			
757300	DEFAULT	3	7	Ubrzanje	Maksimum za penjanje	T_00		1521,8	250	
757300	DEFAULT	3	8	Penjanje	Maksimum za penjanje	T_00	5500			
757300	DEFAULT	3	9	Penjanje	Maksimum za penjanje	T_00	7500			
757300	DEFAULT	3	10	Penjanje	Maksimum za penjanje	T_00	10000			
757300	DEFAULT	4	1	Uzlijetanje	Maksimum za uzlijetanje	T_05				
757300	DEFAULT	4	2	Penjanje	Maksimum za uzlijetanje	T_05	1000			
757300	DEFAULT	4	3	Ubrzanje	Maksimum za uzlijetanje	T_05		1901,4	217,4	
757300	DEFAULT	4	4	Ubrzanje	Maksimum za uzlijetanje	T_01		2061,8	228	
757300	DEFAULT	4	5	Penjanje	Maksimum za uzlijetanje	T_00	2099			
757300	DEFAULT	4	6	Penjanje	Maksimum za penjanje	T_00	3000			
757300	DEFAULT	4	7	Ubrzanje	Maksimum za penjanje	T_00		1374,1	250	
757300	DEFAULT	4	8	Penjanje	Maksimum za penjanje	T_00	5500			
757300	DEFAULT	4	9	Penjanje	Maksimum za penjanje	T_00	7500			



ThoriumSoftware d.o.o.

Mobile: +385 (0) 95 8 70 50 70
 Kontakt: Dario Ilija Rendulić
 Email:
[info@thoriumsoftware.eu;](mailto:info@thoriumsoftware.eu)
direndulic@gmail.com

757300	DEFAULT	4	10	Penjanje	Maksimum za penjanje	T_00	10000			
757300	DEFAULT	5	1	Uzlijetanje	Maksimum za uzlijetanje	T_05				
757300	DEFAULT	5	2	Penjanje	Maksimum za uzlijetanje	T_05	1000			
757300	DEFAULT	5	3	Ubrzanje	Maksimum za uzlijetanje	T_05		1729,2	221,7	
757300	DEFAULT	5	4	Ubrzanje	Maksimum za uzlijetanje	T_01		1881,8	236,7	
757300	DEFAULT	5	5	Penjanje	Maksimum za uzlijetanje	T_00	1891			
757300	DEFAULT	5	6	Penjanje	Maksimum za penjanje	T_00	3000			
757300	DEFAULT	5	7	Ubrzanje	Maksimum za penjanje	T_00		1227,3	250	
757300	DEFAULT	5	8	Penjanje	Maksimum za penjanje	T_00	5500			
757300	DEFAULT	5	9	Penjanje	Maksimum za penjanje	T_00	7500			
757300	DEFAULT	5	10	Penjanje	Maksimum za penjanje	T_00	10000			
757300	DEFAULT	6	1	Uzlijetanje	Maksimum za uzlijetanje	T_05				
757300	DEFAULT	6	2	Penjanje	Maksimum za uzlijetanje	T_05	1000			
757300	DEFAULT	6	3	Ubrzanje	Maksimum za uzlijetanje	T_05		1655	224	
757300	DEFAULT	6	4	Ubrzanje	Maksimum za uzlijetanje	T_01		1836,4	240,1	
757300	DEFAULT	6	5	Penjanje	Maksimum za uzlijetanje	T_00	1829			
757300	DEFAULT	6	6	Penjanje	Maksimum za penjanje	T_00	3000			
757300	DEFAULT	6	7	Ubrzanje	Maksimum za penjanje	T_00		1159,2	250	
757300	DEFAULT	6	8	Penjanje	Maksimum za penjanje	T_00	5500			
757300	DEFAULT	6	9	Penjanje	Maksimum za penjanje	T_00	7500			



ThoriumSoftware d.o.o.

Mobile: +385 (0) 95 8 70 50 70
 Kontakt: Dario Ilija Rendulić
 Email:
[info@thoriumsoftware.eu;](mailto:info@thoriumsoftware.eu)
direndulic@gmail.com

757300	DEFAULT	6	10	Penjanje	Maksimum za penjanje	T_00	10000			
757300	ICAO_A	1	1	Uzlijetanje	Maksimum za uzlijetanje	T_05				
757300	ICAO_A	1	2	Penjanje	Maksimum za uzlijetanje	T_05	1500			
757300	ICAO_A	1	3	Penjanje	Maksimum za penjanje	T_05	3000			
757300	ICAO_A	1	4	Ubrzanje	Maksimum za penjanje	T_05		1388,6	198	
757300	ICAO_A	1	5	Ubrzanje	Maksimum za penjanje	T_01		1528,2	215	
757300	ICAO_A	1	6	Ubrzanje	Maksimum za penjanje	T_00		1693,5	250	
757300	ICAO_A	1	7	Penjanje	Maksimum za penjanje	T_00	5500			
757300	ICAO_A	1	8	Penjanje	Maksimum za penjanje	T_00	7500			
757300	ICAO_A	1	9	Penjanje	Maksimum za penjanje	T_00	10000			
757300	ICAO_A	2	1	Uzlijetanje	Maksimum za uzlijetanje	T_05				
757300	ICAO_A	2	2	Penjanje	Maksimum za uzlijetanje	T_05	1500			
757300	ICAO_A	2	3	Penjanje	Maksimum za penjanje	T_05	3000			
757300	ICAO_A	2	4	Ubrzanje	Maksimum za penjanje	T_05		1304,9	199,6	
757300	ICAO_A	2	5	Ubrzanje	Maksimum za penjanje	T_01		1441	215,6	
757300	ICAO_A	2	6	Ubrzanje	Maksimum za penjanje	T_00		1597,7	250	
757300	ICAO_A	2	7	Penjanje	Maksimum za penjanje	T_00	5500			
757300	ICAO_A	2	8	Penjanje	Maksimum za penjanje	T_00	7500			
757300	ICAO_A	2	9	Penjanje	Maksimum za penjanje	T_00	10000			
757300	ICAO_A	3	1	Uzlijetanje	Maksimum za uzlijetanje	T_05				



ThoriumSoftware d.o.o.

Mobile: +385 (0) 95 8 70 50 70
 Kontakt: Dario Ilija Rendulić
 Email:
[info@thoriumsoftware.eu;](mailto:info@thoriumsoftware.eu)
direndulic@gmail.com

757300	ICAO_A	3	2	Penjanje	Maksimum za uzljetanje	T_05	1500			
757300	ICAO_A	3	3	Penjanje	Maksimum za penjanje	T_05	3000			
757300	ICAO_A	3	4	Ubrzanje	Maksimum za penjanje	T_05		1242,3	201,6	
757300	ICAO_A	3	5	Ubrzanje	Maksimum za penjanje	T_01		1357,6	216,7	
757300	ICAO_A	3	6	Ubrzanje	Maksimum za penjanje	T_00		1500	250	
757300	ICAO_A	3	7	Penjanje	Maksimum za penjanje	T_00	5500			
757300	ICAO_A	3	8	Penjanje	Maksimum za penjanje	T_00	7500			
757300	ICAO_A	3	9	Penjanje	Maksimum za penjanje	T_00	10000			
757300	ICAO_A	4	1	Uzljetanje	Maksimum za uzljetanje	T_05				
757300	ICAO_A	4	2	Penjanje	Maksimum za uzljetanje	T_05	1500			
757300	ICAO_A	4	3	Penjanje	Maksimum za penjanje	T_05	3000			
757300	ICAO_A	4	4	Ubrzanje	Maksimum za penjanje	T_05		1127,1	205,3	
757300	ICAO_A	4	5	Ubrzanje	Maksimum za penjanje	T_01		1221,4	221,1	
757300	ICAO_A	4	6	Ubrzanje	Maksimum za penjanje	T_00		1359,4	250	
757300	ICAO_A	4	7	Penjanje	Maksimum za penjanje	T_00	5500			
757300	ICAO_A	4	8	Penjanje	Maksimum za penjanje	T_00	7500			
757300	ICAO_A	4	9	Penjanje	Maksimum za penjanje	T_00	10000			
757300	ICAO_A	5	1	Uzljetanje	Maksimum za uzljetanje	T_05				
757300	ICAO_A	5	2	Penjanje	Maksimum za uzljetanje	T_05	1500			
757300	ICAO_A	5	3	Penjanje	Maksimum za penjanje	T_05	3000			



ThoriumSoftware d.o.o.

Mobile: +385 (0) 95 8 70 50 70
 Kontakt: Dario Ilija Rendulić
 Email:
[info@thoriumsoftware.eu;](mailto:info@thoriumsoftware.eu)
direndulic@gmail.com

757300	ICAO_A	5	4	Ubrzanje	Maksimum za penjanje	T_05		997,2	210,6	
757300	ICAO_A	5	5	Ubrzanje	Maksimum za penjanje	T_01		1076	227,9	
757300	ICAO_A	5	6	Ubrzanje	Maksimum za penjanje	T_00		1192	250	
757300	ICAO_A	5	7	Penjanje	Maksimum za penjanje	T_00	5500			
757300	ICAO_A	5	8	Penjanje	Maksimum za penjanje	T_00	7500			
757300	ICAO_A	5	9	Penjanje	Maksimum za penjanje	T_00	10000			
757300	ICAO_A	6	1	Uzljetanje	Maksimum za uzljetanje	T_05				
757300	ICAO_A	6	2	Penjanje	Maksimum za uzljetanje	T_05	1500			
757300	ICAO_A	6	3	Penjanje	Maksimum za penjanje	T_05	3000			
757300	ICAO_A	6	4	Ubrzanje	Maksimum za penjanje	T_05		945,1	213,2	
757300	ICAO_A	6	5	Ubrzanje	Maksimum za penjanje	T_01		1031,2	230,6	
757300	ICAO_A	6	6	Ubrzanje	Maksimum za penjanje	T_00		1127,9	250	
757300	ICAO_A	6	7	Penjanje	Maksimum za penjanje	T_00	5500			
757300	ICAO_A	6	8	Penjanje	Maksimum za penjanje	T_00	7500			
757300	ICAO_A	6	9	Penjanje	Maksimum za penjanje	T_00	10000			
757300	ICAO_B	1	1	Uzljetanje	Maksimum za uzljetanje	T_05				
757300	ICAO_B	1	2	Penjanje	Maksimum za uzljetanje	T_05	1097			
757300	ICAO_B	1	3	Ubrzanje	Maksimum za uzljetanje	T_05		2252,1	211,8	
757300	ICAO_B	1	4	Ubrzanje	Maksimum za uzljetanje	T_01		2480	215,4	
757300	ICAO_B	1	5	Penjanje	Maksimum za uzljetanje	T_00	2569			



ThoriumSoftware d.o.o.

Mobile: +385 (0) 95 8 70 50 70
 Kontakt: Dario Ilija Rendulić
 Email:
[info@thoriumsoftware.eu;](mailto:info@thoriumsoftware.eu)
direndulic@gmail.com

757300	ICAO_B	1	6	Penjanje	Maksimum za penjanje	T_00	3000			
757300	ICAO_B	1	7	Ubrzanje	Maksimum za penjanje	T_00		1701,7	250	
757300	ICAO_B	1	8	Penjanje	Maksimum za penjanje	T_00	5500			
757300	ICAO_B	1	9	Penjanje	Maksimum za penjanje	T_00	7500			
757300	ICAO_B	1	10	Penjanje	Maksimum za penjanje	T_00	10000			
757300	ICAO_B	2	1	Uzljetanje	Maksimum za uzljetanje	T_05				
757300	ICAO_B	2	2	Penjanje	Maksimum za uzljetanje	T_05	1041			
757300	ICAO_B	2	3	Ubrzanje	Maksimum za uzljetanje	T_05		2154,9	213	
757300	ICAO_B	2	4	Ubrzanje	Maksimum za uzljetanje	T_01		2352	218,6	
757300	ICAO_B	2	5	Penjanje	Maksimum za uzljetanje	T_00	2412			
757300	ICAO_B	2	6	Penjanje	Maksimum za penjanje	T_00	3000			
757300	ICAO_B	2	7	Ubrzanje	Maksimum za penjanje	T_00		1607,8	250	
757300	ICAO_B	2	8	Penjanje	Maksimum za penjanje	T_00	5500			
757300	ICAO_B	2	9	Penjanje	Maksimum za penjanje	T_00	7500			
757300	ICAO_B	2	10	Penjanje	Maksimum za penjanje	T_00	10000			
757300	ICAO_B	3	1	Uzljetanje	Maksimum za uzljetanje	T_05				
757300	ICAO_B	3	2	Penjanje	Maksimum za uzljetanje	T_05	1000			
757300	ICAO_B	3	3	Ubrzanje	Maksimum za uzljetanje	T_05		2062	214,5	
757300	ICAO_B	3	4	Ubrzanje	Maksimum za uzljetanje	T_01		2223,5	221,8	
757300	ICAO_B	3	5	Penjanje	Maksimum za uzljetanje	T_00	2275			



ThoriumSoftware d.o.o.

Mobile: +385 (0) 95 8 70 50 70
 Kontakt: Dario Ilija Rendulić
 Email:
[info@thoriumsoftware.eu;](mailto:info@thoriumsoftware.eu)
direndulic@gmail.com

757300	ICAO_B	3	6	Penjanje	Maksimum za penjanje	T_00	3000			
757300	ICAO_B	3	7	Ubrzanje	Maksimum za penjanje	T_00		1521,8	250	
757300	ICAO_B	3	8	Penjanje	Maksimum za penjanje	T_00	5500			
757300	ICAO_B	3	9	Penjanje	Maksimum za penjanje	T_00	7500			
757300	ICAO_B	3	10	Penjanje	Maksimum za penjanje	T_00	10000			
757300	ICAO_B	4	1	Uzlijetanje	Maksimum za uzlijetanje	T_05				
757300	ICAO_B	4	2	Penjanje	Maksimum za uzlijetanje	T_05	1000			
757300	ICAO_B	4	3	Ubrzanje	Maksimum za uzlijetanje	T_05		1901,4	217,4	
757300	ICAO_B	4	4	Ubrzanje	Maksimum za uzlijetanje	T_01		2061,8	228	
757300	ICAO_B	4	5	Penjanje	Maksimum za uzlijetanje	T_00	2099			
757300	ICAO_B	4	6	Penjanje	Maksimum za penjanje	T_00	3000			
757300	ICAO_B	4	7	Ubrzanje	Maksimum za penjanje	T_00		1374,1	250	
757300	ICAO_B	4	8	Penjanje	Maksimum za penjanje	T_00	5500			
757300	ICAO_B	4	9	Penjanje	Maksimum za penjanje	T_00	7500			
757300	ICAO_B	4	10	Penjanje	Maksimum za penjanje	T_00	10000			
757300	ICAO_B	5	1	Uzlijetanje	Maksimum za uzlijetanje	T_05				
757300	ICAO_B	5	2	Penjanje	Maksimum za uzlijetanje	T_05	1000			
757300	ICAO_B	5	3	Ubrzanje	Maksimum za uzlijetanje	T_05		1729,2	221,7	
757300	ICAO_B	5	4	Ubrzanje	Maksimum za uzlijetanje	T_01		1881,8	236,7	
757300	ICAO_B	5	5	Penjanje	Maksimum za uzlijetanje	T_00	1891			



ThoriumSoftware d.o.o.

Mobile: +385 (0) 95 8 70 50 70
 Kontakt: Dario Ilija Rendulić
 Email:
[info@thoriumsoftware.eu;](mailto:info@thoriumsoftware.eu)
direndulic@gmail.com

757300	ICAO_B	5	6	Penjanje	Maksimum za penjanje	T_00	3000			
757300	ICAO_B	5	7	Ubrzanje	Maksimum za penjanje	T_00		1227,3	250	
757300	ICAO_B	5	8	Penjanje	Maksimum za penjanje	T_00	5500			
757300	ICAO_B	5	9	Penjanje	Maksimum za penjanje	T_00	7500			
757300	ICAO_B	5	10	Penjanje	Maksimum za penjanje	T_00	10000			
757300	ICAO_B	6	1	Uzlijetanje	Maksimum za uzlijetanje	T_05				
757300	ICAO_B	6	2	Penjanje	Maksimum za uzlijetanje	T_05	1000			
757300	ICAO_B	6	3	Ubrzanje	Maksimum za uzlijetanje	T_05		1655	224	
757300	ICAO_B	6	4	Ubrzanje	Maksimum za uzlijetanje	T_01		1836,4	240,1	
757300	ICAO_B	6	5	Penjanje	Maksimum za uzlijetanje	T_00	1829			
757300	ICAO_B	6	6	Penjanje	Maksimum za penjanje	T_00	3000			
757300	ICAO_B	6	7	Ubrzanje	Maksimum za penjanje	T_00		1159,2	250	
757300	ICAO_B	6	8	Penjanje	Maksimum za penjanje	T_00	5500			
757300	ICAO_B	6	9	Penjanje	Maksimum za penjanje	T_00	7500			
757300	ICAO_B	6	10	Penjanje	Maksimum za penjanje	T_00	10000			
757PW	DEFAULT	1	1	Uzlijetanje	Maksimum za uzlijetanje	5				
757PW	DEFAULT	1	2	Penjanje	Maksimum za uzlijetanje	5	1000			
757PW	DEFAULT	1	3	Ubrzanje	Maksimum za penjanje	T_05		1471	190,1	
757PW	DEFAULT	1	4	Ubrzanje	Maksimum za penjanje	T_01		1636,4	206	
757PW	DEFAULT	1	5	Penjanje	Maksimum za penjanje	T_00	3000			



ThoriumSoftware d.o.o.

Mobile: +385 (0) 95 8 70 50 70
 Kontakt: Dario Ilija Rendulić
 Email:
[info@thoriumsoftware.eu;](mailto:info@thoriumsoftware.eu)
direndulic@gmail.com

757PW	DEFAULT	1	6	Ubrzanje	Maksimum za penjanje	T_00		1822,2	250	
757PW	DEFAULT	1	7	Penjanje	Maksimum za penjanje	ZERO	5500			
757PW	DEFAULT	1	8	Penjanje	Maksimum za penjanje	ZERO	7500			
757PW	DEFAULT	1	9	Penjanje	Maksimum za penjanje	ZERO	10000			
757PW	DEFAULT	2	1	Uzlijetanje	Maksimum za uzlijetanje	5				
757PW	DEFAULT	2	2	Penjanje	Maksimum za uzlijetanje	5	1000			
757PW	DEFAULT	2	3	Ubrzanje	Maksimum za penjanje	T_05		1403,6	191,4	
757PW	DEFAULT	2	4	Ubrzanje	Maksimum za penjanje	T_01		1568,2	208,7	
757PW	DEFAULT	2	5	Penjanje	Maksimum za penjanje	T_00	3000			
757PW	DEFAULT	2	6	Ubrzanje	Maksimum za penjanje	T_00		1742,7	250	
757PW	DEFAULT	2	7	Penjanje	Maksimum za penjanje	ZERO	5500			
757PW	DEFAULT	2	8	Penjanje	Maksimum za penjanje	ZERO	7500			
757PW	DEFAULT	2	9	Penjanje	Maksimum za penjanje	ZERO	10000			
757PW	DEFAULT	3	1	Uzlijetanje	Maksimum za uzlijetanje	5				
757PW	DEFAULT	3	2	Penjanje	Maksimum za uzlijetanje	5	1000			
757PW	DEFAULT	3	3	Ubrzanje	Maksimum za penjanje	T_05		1339,2	193	
757PW	DEFAULT	3	4	Ubrzanje	Maksimum za penjanje	T_01		1495,9	211,1	
757PW	DEFAULT	3	5	Ubrzanje	Maksimum za penjanje	T_00		1666,7	211,6	
757PW	DEFAULT	3	6	Penjanje	Maksimum za penjanje	T_00	3000			
757PW	DEFAULT	3	7	Ubrzanje	Maksimum za penjanje	T_00		1661	250	



ThoriumSoftware d.o.o.

Mobile: +385 (0) 95 8 70 50 70
 Kontakt: Dario Ilija Rendulić
 Email:
[info@thoriumsoftware.eu;](mailto:info@thoriumsoftware.eu)
direndulic@gmail.com

757PW	DEFAULT	3	8	Penjanje	Maksimum za penjanje	ZERO	5500			
757PW	DEFAULT	3	9	Penjanje	Maksimum za penjanje	ZERO	7500			
757PW	DEFAULT	3	10	Penjanje	Maksimum za penjanje	ZERO	10000			
757PW	DEFAULT	4	1	Uzljetanje	Maksimum za uzljetanje	5				
757PW	DEFAULT	4	2	Penjanje	Maksimum za uzljetanje	5	1000			
757PW	DEFAULT	4	3	Ubrzanje	Maksimum za penjanje	T_05		1213,5	196,4	
757PW	DEFAULT	4	4	Ubrzanje	Maksimum za penjanje	T_01		1353,6	213,7	
757PW	DEFAULT	4	5	Ubrzanje	Maksimum za penjanje	T_00		1460,3	217,4	
757PW	DEFAULT	4	6	Penjanje	Maksimum za penjanje	T_00	3000			
757PW	DEFAULT	4	7	Ubrzanje	Maksimum za penjanje	T_00		1510,6	250	
757PW	DEFAULT	4	8	Penjanje	Maksimum za penjanje	ZERO	5500			
757PW	DEFAULT	4	9	Penjanje	Maksimum za penjanje	ZERO	7500			
757PW	DEFAULT	4	10	Penjanje	Maksimum za penjanje	ZERO	10000			
757PW	DEFAULT	5	1	Uzljetanje	Maksimum za uzljetanje	5				
757PW	DEFAULT	5	2	Penjanje	Maksimum za uzljetanje	5	1000			
757PW	DEFAULT	5	3	Ubrzanje	Maksimum za penjanje	T_05		1082,9	200,8	
757PW	DEFAULT	5	4	Ubrzanje	Maksimum za penjanje	T_01		1212	218,5	
757PW	DEFAULT	5	5	Ubrzanje	Maksimum za penjanje	T_00		1291,1	224,3	
757PW	DEFAULT	5	6	Penjanje	Maksimum za penjanje	T_00	3000			
757PW	DEFAULT	5	7	Ubrzanje	Maksimum za penjanje	T_00		1352,4	250	



ThoriumSoftware d.o.o.

Mobile: +385 (0) 95 8 70 50 70
 Kontakt: Dario Ilija Rendulić
 Email:
[info@thoriumsoftware.eu;](mailto:info@thoriumsoftware.eu)
direndulic@gmail.com

757PW	DEFAULT	5	8	Penjanje	Maksimum za penjanje	ZERO	5500			
757PW	DEFAULT	5	9	Penjanje	Maksimum za penjanje	ZERO	7500			
757PW	DEFAULT	5	10	Penjanje	Maksimum za penjanje	ZERO	10000			
757PW	DEFAULT	6	1	Uzlijetanje	Maksimum za uzlijetanje	5				
757PW	DEFAULT	6	2	Penjanje	Maksimum za uzlijetanje	5	1000			
757PW	DEFAULT	6	3	Ubrzanje	Maksimum za penjanje	T_05		1005,7	203,9	
757PW	DEFAULT	6	4	Ubrzanje	Maksimum za penjanje	T_01		1124,3	221,9	
757PW	DEFAULT	6	5	Ubrzanje	Maksimum za penjanje	T_00		1220	228,7	
757PW	DEFAULT	6	6	Penjanje	Maksimum za penjanje	T_00	3000			
757PW	DEFAULT	6	7	Ubrzanje	Maksimum za penjanje	T_00		1259,5	250	
757PW	DEFAULT	6	8	Penjanje	Maksimum za penjanje	ZERO	5500			
757PW	DEFAULT	6	9	Penjanje	Maksimum za penjanje	ZERO	7500			
757PW	DEFAULT	6	10	Penjanje	Maksimum za penjanje	ZERO	10000			
757PW	DEFAULT	7	1	Uzlijetanje	Maksimum za uzlijetanje	5				
757PW	DEFAULT	7	2	Penjanje	Maksimum za uzlijetanje	5	1000			
757PW	DEFAULT	7	3	Ubrzanje	Maksimum za penjanje	T_05		938,1	207	
757PW	DEFAULT	7	4	Ubrzanje	Maksimum za penjanje	T_01		1052,4	225,2	
757PW	DEFAULT	7	5	Ubrzanje	Maksimum za penjanje	T_00		1134,5	233,3	
757PW	DEFAULT	7	6	Penjanje	Maksimum za penjanje	T_00	3000			
757PW	DEFAULT	7	7	Ubrzanje	Maksimum za penjanje	T_00		1172,9	250	



ThoriumSoftware d.o.o.

Mobile: +385 (0) 95 8 70 50 70
 Kontakt: Dario Ilija Rendulić
 Email:
[info@thoriumsoftware.eu;](mailto:info@thoriumsoftware.eu)
direndulic@gmail.com

757PW	DEFAULT	7	8	Penjanje	Maksimum za penjanje	ZERO	5500			
757PW	DEFAULT	7	9	Penjanje	Maksimum za penjanje	ZERO	7500			
757PW	DEFAULT	7	10	Penjanje	Maksimum za penjanje	ZERO	10000			
757PW	ICAO_A	1	1	Uzljetanje	Maksimum za uzljetanje	5				
757PW	ICAO_A	1	2	Penjanje	Maksimum za uzljetanje	5	1500			
757PW	ICAO_A	1	3	Penjanje	Maksimum za penjanje	T_05	3000			
757PW	ICAO_A	1	4	Ubrzanje	Maksimum za penjanje	T_05		1399,5	188	
757PW	ICAO_A	1	5	Ubrzanje	Maksimum za penjanje	T_01		1605,4	205,8	
757PW	ICAO_A	1	6	Ubrzanje	Maksimum za penjanje	ZERO		1804,8	250	
757PW	ICAO_A	1	7	Penjanje	Maksimum za penjanje	ZERO	5500			
757PW	ICAO_A	1	8	Penjanje	Maksimum za penjanje	ZERO	7500			
757PW	ICAO_A	1	9	Penjanje	Maksimum za penjanje	ZERO	10000			
757PW	ICAO_A	2	1	Uzljetanje	Maksimum za uzljetanje	5				
757PW	ICAO_A	2	2	Penjanje	Maksimum za uzljetanje	5	1500			
757PW	ICAO_A	2	3	Penjanje	Maksimum za penjanje	T_05	3000			
757PW	ICAO_A	2	4	Ubrzanje	Maksimum za penjanje	T_05		1337,7	189,5	
757PW	ICAO_A	2	5	Ubrzanje	Maksimum za penjanje	T_01		1522,3	207,2	
757PW	ICAO_A	2	6	Ubrzanje	Maksimum za penjanje	ZERO		1725,5	250	
757PW	ICAO_A	2	7	Penjanje	Maksimum za penjanje	ZERO	5500			
757PW	ICAO_A	2	8	Penjanje	Maksimum za penjanje	ZERO	7500			



ThoriumSoftware d.o.o.

Mobile: +385 (0) 95 8 70 50 70
 Kontakt: Dario Ilija Rendulić
 Email:
[info@thoriumsoftware.eu;](mailto:info@thoriumsoftware.eu)
direndulic@gmail.com

757PW	ICAO_A	2	9	Penjanje	Maksimum za penjanje	ZERO	10000			
757PW	ICAO_A	3	1	Uzlijetanje	Maksimum za uzlijetanje	5				
757PW	ICAO_A	3	2	Penjanje	Maksimum za uzlijetanje	5	1500			
757PW	ICAO_A	3	3	Penjanje	Maksimum za penjanje	5	3000			
757PW	ICAO_A	3	4	Ubrzanje	Maksimum za penjanje	T_05		1271,9	191,1	
757PW	ICAO_A	3	5	Ubrzanje	Maksimum za penjanje	T_01		1451,8	208,2	
757PW	ICAO_A	3	6	Ubrzanje	Maksimum za penjanje	ZERO		1638	250	
757PW	ICAO_A	3	7	Penjanje	Maksimum za penjanje	ZERO	5500			
757PW	ICAO_A	3	8	Penjanje	Maksimum za penjanje	ZERO	7500			
757PW	ICAO_A	3	9	Penjanje	Maksimum za penjanje	ZERO	10000			
757PW	ICAO_A	4	1	Uzlijetanje	Maksimum za uzlijetanje	5				
757PW	ICAO_A	4	2	Penjanje	Maksimum za uzlijetanje	5	1500			
757PW	ICAO_A	4	3	Penjanje	Maksimum za penjanje	5	3000			
757PW	ICAO_A	4	4	Ubrzanje	Maksimum za penjanje	T_05		1153,8	194,7	
757PW	ICAO_A	4	5	Ubrzanje	Maksimum za penjanje	T_01		1312,6	212,2	
757PW	ICAO_A	4	6	Ubrzanje	Maksimum za penjanje	ZERO		1486	250	
757PW	ICAO_A	4	7	Penjanje	Maksimum za penjanje	ZERO	5500			
757PW	ICAO_A	4	8	Penjanje	Maksimum za penjanje	ZERO	7500			
757PW	ICAO_A	4	9	Penjanje	Maksimum za penjanje	ZERO	10000			
757PW	ICAO_A	5	1	Uzlijetanje	Maksimum za uzlijetanje	5				



ThoriumSoftware d.o.o.

Mobile: +385 (0) 95 8 70 50 70
 Kontakt: Dario Ilija Rendulić
 Email:
[info@thoriumsoftware.eu;](mailto:info@thoriumsoftware.eu)
direndulic@gmail.com

757PW	ICAO_A	5	2	Penjanje	Maksimum za uzljetanje	5	1500			
757PW	ICAO_A	5	3	Penjanje	Maksimum za penjanje	5	3000			
757PW	ICAO_A	5	4	Ubrzanje	Maksimum za penjanje	T_05		1028,8	199,2	
757PW	ICAO_A	5	5	Ubrzanje	Maksimum za penjanje	T_01		1171,1	217,2	
757PW	ICAO_A	5	6	Ubrzanje	Maksimum za penjanje	ZERO		1325,6	250	
757PW	ICAO_A	5	7	Penjanje	Maksimum za penjanje	ZERO	5500			
757PW	ICAO_A	5	8	Penjanje	Maksimum za penjanje	ZERO	7500			
757PW	ICAO_A	5	9	Penjanje	Maksimum za penjanje	ZERO	10000			
757PW	ICAO_A	6	1	Uzljetanje	Maksimum za uzljetanje	5				
757PW	ICAO_A	6	2	Penjanje	Maksimum za uzljetanje	5	1500			
757PW	ICAO_A	6	3	Penjanje	Maksimum za penjanje	5	3000			
757PW	ICAO_A	6	4	Ubrzanje	Maksimum za penjanje	T_05		953,4	202,5	
757PW	ICAO_A	6	5	Ubrzanje	Maksimum za penjanje	T_01		1087,8	220,6	
757PW	ICAO_A	6	6	Ubrzanje	Maksimum za penjanje	ZERO		1225,5	250	
757PW	ICAO_A	6	7	Penjanje	Maksimum za penjanje	ZERO	5500			
757PW	ICAO_A	6	8	Penjanje	Maksimum za penjanje	ZERO	7500			
757PW	ICAO_A	6	9	Penjanje	Maksimum za penjanje	ZERO	10000			
757PW	ICAO_A	7	1	Uzljetanje	Maksimum za uzljetanje	5				
757PW	ICAO_A	7	2	Penjanje	Maksimum za uzljetanje	5	1500			
757PW	ICAO_A	7	3	Penjanje	Maksimum za penjanje	5	3000			



ThoriumSoftware d.o.o.

Mobile: +385 (0) 95 8 70 50 70
 Kontakt: Dario Ilija Rendulić
 Email:
[info@thoriumsoftware.eu;](mailto:info@thoriumsoftware.eu)
direndulic@gmail.com

757PW	ICAO_A	7	4	Ubrzanje	Maksimum za penjanje	T_05		886,5	205,7	
757PW	ICAO_A	7	5	Ubrzanje	Maksimum za penjanje	T_01		1012,8	224	
757PW	ICAO_A	7	6	Ubrzanje	Maksimum za penjanje	ZERO		1140,1	250	
757PW	ICAO_A	7	7	Penjanje	Maksimum za penjanje	ZERO	5500			
757PW	ICAO_A	7	8	Penjanje	Maksimum za penjanje	ZERO	7500			
757PW	ICAO_A	7	9	Penjanje	Maksimum za penjanje	ZERO	10000			
757PW	ICAO_B	1	1	Uzljetanje	Maksimum za uzljetanje	5				
757PW	ICAO_B	1	2	Penjanje	Maksimum za uzljetanje	5	1000			
757PW	ICAO_B	1	3	Ubrzanje	Maksimum za uzljetanje	5		1970,1	206	
757PW	ICAO_B	1	4	Penjanje	Maksimum za penjanje	ZERO	3000			
757PW	ICAO_B	1	5	Ubrzanje	Maksimum za penjanje	ZERO		1821,5	250	
757PW	ICAO_B	1	6	Penjanje	Maksimum za penjanje	ZERO	5500			
757PW	ICAO_B	1	7	Penjanje	Maksimum za penjanje	ZERO	7500			
757PW	ICAO_B	1	8	Penjanje	Maksimum za penjanje	ZERO	10000			
757PW	ICAO_B	2	1	Uzljetanje	Maksimum za uzljetanje	5				
757PW	ICAO_B	2	2	Penjanje	Maksimum za uzljetanje	5	1000			
757PW	ICAO_B	2	3	Ubrzanje	Maksimum za uzljetanje	5		1899,2	208,7	
757PW	ICAO_B	2	4	Penjanje	Maksimum za penjanje	ZERO	3000			
757PW	ICAO_B	2	5	Ubrzanje	Maksimum za penjanje	ZERO		1743,3	250	
757PW	ICAO_B	2	6	Penjanje	Maksimum za penjanje	ZERO	5500			



ThoriumSoftware d.o.o.

Mobile: +385 (0) 95 8 70 50 70
 Kontakt: Dario Ilija Rendulić
 Email:
[info@thoriumsoftware.eu;](mailto:info@thoriumsoftware.eu)
direndulic@gmail.com

757PW	ICAO_B	2	7	Penjanje	Maksimum za penjanje	ZERO	7500			
757PW	ICAO_B	2	8	Penjanje	Maksimum za penjanje	ZERO	10000			
757PW	ICAO_B	3	1	Uzlijetanje	Maksimum za uzlijetanje	5				
757PW	ICAO_B	3	2	Penjanje	Maksimum za uzlijetanje	5	1000			
757PW	ICAO_B	3	3	Ubrzanje	Maksimum za uzlijetanje	5		1825,8	211,6	
757PW	ICAO_B	3	4	Penjanje	Maksimum za penjanje	ZERO	3000			
757PW	ICAO_B	3	5	Ubrzanje	Maksimum za penjanje	ZERO		1659,4	250	
757PW	ICAO_B	3	6	Penjanje	Maksimum za penjanje	ZERO	5500			
757PW	ICAO_B	3	7	Penjanje	Maksimum za penjanje	ZERO	7500			
757PW	ICAO_B	3	8	Penjanje	Maksimum za penjanje	ZERO	10000			
757PW	ICAO_B	4	1	Uzlijetanje	Maksimum za uzlijetanje	5				
757PW	ICAO_B	4	2	Penjanje	Maksimum za uzlijetanje	5	1000			
757PW	ICAO_B	4	3	Ubrzanje	Maksimum za uzlijetanje	5		1690,7	217,4	
757PW	ICAO_B	4	4	Penjanje	Maksimum za penjanje	ZERO	3000			
757PW	ICAO_B	4	5	Ubrzanje	Maksimum za penjanje	ZERO		1512,3	250	
757PW	ICAO_B	4	6	Penjanje	Maksimum za penjanje	ZERO	5500			
757PW	ICAO_B	4	7	Penjanje	Maksimum za penjanje	ZERO	7500			
757PW	ICAO_B	4	8	Penjanje	Maksimum za penjanje	ZERO	10000			
757PW	ICAO_B	5	1	Uzlijetanje	Maksimum za uzlijetanje	5				
757PW	ICAO_B	5	2	Penjanje	Maksimum za uzlijetanje	5	1000			



ThoriumSoftware d.o.o.

Mobile: +385 (0) 95 8 70 50 70
 Kontakt: Dario Ilija Rendulić
 Email:
[info@thoriumsoftware.eu;](mailto:info@thoriumsoftware.eu)
direndulic@gmail.com

757PW	ICAO_B	5	3	Ubrzanje	Maksimum za uzljetanje	5		1543,6	224,1	
757PW	ICAO_B	5	4	Penjanje	Maksimum za penjanje	ZERO	3000			
757PW	ICAO_B	5	5	Ubrzanje	Maksimum za penjanje	ZERO		1351,8	250	
757PW	ICAO_B	5	6	Penjanje	Maksimum za penjanje	ZERO	5500			
757PW	ICAO_B	5	7	Penjanje	Maksimum za penjanje	ZERO	7500			
757PW	ICAO_B	5	8	Penjanje	Maksimum za penjanje	ZERO	10000			
757PW	ICAO_B	6	1	Uzljetanje	Maksimum za uzljetanje	5				
757PW	ICAO_B	6	2	Penjanje	Maksimum za uzljetanje	5	1000			
757PW	ICAO_B	6	3	Ubrzanje	Maksimum za uzljetanje	5		1458,3	228,7	
757PW	ICAO_B	6	4	Penjanje	Maksimum za penjanje	ZERO	3000			
757PW	ICAO_B	6	5	Ubrzanje	Maksimum za penjanje	ZERO		1257,5	250	
757PW	ICAO_B	6	6	Penjanje	Maksimum za penjanje	ZERO	5500			
757PW	ICAO_B	6	7	Penjanje	Maksimum za penjanje	ZERO	7500			
757PW	ICAO_B	6	8	Penjanje	Maksimum za penjanje	ZERO	10000			
757PW	ICAO_B	7	1	Uzljetanje	Maksimum za uzljetanje	5				
757PW	ICAO_B	7	2	Penjanje	Maksimum za uzljetanje	5	1000			
757PW	ICAO_B	7	3	Ubrzanje	Maksimum za uzljetanje	5		1380,6	233,3	
757PW	ICAO_B	7	4	Penjanje	Maksimum za penjanje	ZERO	3000			
757PW	ICAO_B	7	5	Ubrzanje	Maksimum za penjanje	ZERO		1173,6	250	
757PW	ICAO_B	7	6	Penjanje	Maksimum za penjanje	ZERO	5500			



ThoriumSoftware d.o.o.

Mobile: +385 (0) 95 8 70 50 70
 Kontakt: Dario Ilija Rendulić
 Email:
[info@thoriumsoftware.eu;](mailto:info@thoriumsoftware.eu)
direndulic@gmail.com

757PW	ICAO_B	7	7	Penjanje	Maksimum za penjanje	ZERO	7500			
757PW	ICAO_B	7	8	Penjanje	Maksimum za penjanje	ZERO	10000			
757RR	DEFAULT	1	1	Uzlijetanje	Maksimum za uzlijetanje	5				
757RR	DEFAULT	1	2	Penjanje	Maksimum za uzlijetanje	5	1000			
757RR	DEFAULT	1	3	Ubrzanje	Maksimum za penjanje	T_05		1613,9	192,4	
757RR	DEFAULT	1	4	Ubrzanje	Maksimum za penjanje	T_01		1779,7	206,3	
757RR	DEFAULT	1	5	Penjanje	Maksimum za penjanje	ZERO	3000			
757RR	DEFAULT	1	6	Ubrzanje	Maksimum za penjanje	ZERO		1966,1	250	
757RR	DEFAULT	1	7	Penjanje	Maksimum za penjanje	ZERO	5500			
757RR	DEFAULT	1	8	Penjanje	Maksimum za penjanje	ZERO	7500			
757RR	DEFAULT	1	9	Penjanje	Maksimum za penjanje	ZERO	10000			
757RR	DEFAULT	2	1	Uzlijetanje	Maksimum za uzlijetanje	5				
757RR	DEFAULT	2	2	Penjanje	Maksimum za uzlijetanje	5	1000			
757RR	DEFAULT	2	3	Ubrzanje	Maksimum za penjanje	T_05		1544,6	193,9	
757RR	DEFAULT	2	4	Ubrzanje	Maksimum za penjanje	T_01		1703,3	209,2	
757RR	DEFAULT	2	5	Penjanje	Maksimum za penjanje	ZERO	3000			
757RR	DEFAULT	2	6	Ubrzanje	Maksimum za penjanje	ZERO		1879,3	250	
757RR	DEFAULT	2	7	Penjanje	Maksimum za penjanje	ZERO	5500			
757RR	DEFAULT	2	8	Penjanje	Maksimum za penjanje	ZERO	7500			
757RR	DEFAULT	2	9	Penjanje	Maksimum za penjanje	ZERO	10000			



ThoriumSoftware d.o.o.

Mobile: +385 (0) 95 8 70 50 70
 Kontakt: Dario Ilija Rendulić
 Email:
[info@thoriumsoftware.eu;](mailto:info@thoriumsoftware.eu)
direndulic@gmail.com

757RR	DEFAULT	3	1	Uzlijetanje	Maksimum za uzlijetanje	5				
757RR	DEFAULT	3	2	Penjanje	Maksimum za uzlijetanje	5	1000			
757RR	DEFAULT	3	3	Ubrzanje	Maksimum za penjanje	T_05		1474,6	195,5	
757RR	DEFAULT	3	4	Ubrzanje	Maksimum za penjanje	T_01		1627,6	212,2	
757RR	DEFAULT	3	5	Penjanje	Maksimum za penjanje	ZERO	3000			
757RR	DEFAULT	3	6	Ubrzanje	Maksimum za penjanje	ZERO		1787,2	250	
757RR	DEFAULT	3	7	Penjanje	Maksimum za penjanje	ZERO	5500			
757RR	DEFAULT	3	8	Penjanje	Maksimum za penjanje	ZERO	7500			
757RR	DEFAULT	3	9	Penjanje	Maksimum za penjanje	ZERO	10000			
757RR	DEFAULT	4	1	Uzlijetanje	Maksimum za uzlijetanje	5				
757RR	DEFAULT	4	2	Penjanje	Maksimum za uzlijetanje	5	1000			
757RR	DEFAULT	4	3	Ubrzanje	Maksimum za penjanje	T_05		1338	199	
757RR	DEFAULT	4	4	Ubrzanje	Maksimum za penjanje	T_01		1484,6	216,4	
757RR	DEFAULT	4	5	Ubrzanje	Maksimum za penjanje	ZERO		1560	218,3	
757RR	DEFAULT	4	6	Penjanje	Maksimum za penjanje	ZERO	3000			
757RR	DEFAULT	4	7	Ubrzanje	Maksimum za penjanje	ZERO		1623,1	250	
757RR	DEFAULT	4	8	Penjanje	Maksimum za penjanje	T_00	5500			
757RR	DEFAULT	4	9	Penjanje	Maksimum za penjanje	T_00	7500			
757RR	DEFAULT	4	10	Penjanje	Maksimum za penjanje	T_00	10000			
757RR	DEFAULT	5	1	Uzlijetanje	Maksimum za uzlijetanje	5				



ThoriumSoftware d.o.o.

Mobile: +385 (0) 95 8 70 50 70
 Kontakt: Dario Ilija Rendulić
 Email:
[info@thoriumsoftware.eu;](mailto:info@thoriumsoftware.eu)
direndulic@gmail.com

757RR	DEFAULT	5	2	Penjanje	Maksimum za uzljetanje	5	1000			
757RR	DEFAULT	5	3	Ubrzanje	Maksimum za penjanje	T_05		1196,6	203,7	
757RR	DEFAULT	5	4	Ubrzanje	Maksimum za penjanje	T_01		1325,3	221,1	
757RR	DEFAULT	5	5	Ubrzanje	Maksimum za penjanje	T_00		1400	225,7	
757RR	DEFAULT	5	6	Penjanje	Maksimum za penjanje	ZERO	3000			
757RR	DEFAULT	5	7	Ubrzanje	Maksimum za penjanje	ZERO		1447,1	250	
757RR	DEFAULT	5	8	Penjanje	Maksimum za penjanje	T_00	5500			
757RR	DEFAULT	5	9	Penjanje	Maksimum za penjanje	T_00	7500			
757RR	DEFAULT	5	10	Penjanje	Maksimum za penjanje	ZERO	10000			
757RR	DEFAULT	6	1	Uzljetanje	Maksimum za uzljetanje	5				
757RR	DEFAULT	6	2	Penjanje	Maksimum za uzljetanje	5	1000			
757RR	DEFAULT	6	3	Ubrzanje	Maksimum za penjanje	T_05		1142,2	205,8	
757RR	DEFAULT	6	4	Ubrzanje	Maksimum za penjanje	T_01		1258	223,4	
757RR	DEFAULT	6	5	Ubrzanje	Maksimum za penjanje	T_00		1329,6	228,9	
757RR	DEFAULT	6	6	Penjanje	Maksimum za penjanje	ZERO	3000			
757RR	DEFAULT	6	7	Ubrzanje	Maksimum za penjanje	ZERO		1377,4	250	
757RR	DEFAULT	6	8	Penjanje	Maksimum za penjanje	T_00	5500			
757RR	DEFAULT	6	9	Penjanje	Maksimum za penjanje	T_00	7500			
757RR	DEFAULT	6	10	Penjanje	Maksimum za penjanje	ZERO	10000			
757RR	DEFAULT	7	1	Uzljetanje	Maksimum za uzljetanje	5				



ThoriumSoftware d.o.o.

Mobile: +385 (0) 95 8 70 50 70
 Kontakt: Dario Ilija Rendulić
 Email:
[info@thoriumsoftware.eu;](mailto:info@thoriumsoftware.eu)
direndulic@gmail.com

757RR	DEFAULT	7	2	Penjanje	Maksimum za uzljetanje	5	1000			
757RR	DEFAULT	7	3	Ubrzanje	Maksimum za penjanje	T_05		1071,3	208,8	
757RR	DEFAULT	7	4	Ubrzanje	Maksimum za penjanje	T_01		1181,5	226,7	
757RR	DEFAULT	7	5	Ubrzanje	Maksimum za penjanje	T_00		1265,9	233,3	
757RR	DEFAULT	7	6	Penjanje	Maksimum za penjanje	ZERO	3000			
757RR	DEFAULT	7	7	Ubrzanje	Maksimum za penjanje	ZERO		1287,6	250	
757RR	DEFAULT	7	8	Penjanje	Maksimum za penjanje	T_00	5500			
757RR	DEFAULT	7	9	Penjanje	Maksimum za penjanje	ZERO	7500			
757RR	DEFAULT	7	10	Penjanje	Maksimum za penjanje	ZERO	10000			
757RR	ICAO_A	1	1	Uzljetanje	Maksimum za uzljetanje	5				
757RR	ICAO_A	1	2	Penjanje	Maksimum za uzljetanje	5	1500			
757RR	ICAO_A	1	3	Penjanje	Maksimum za penjanje	5	3000			
757RR	ICAO_A	1	4	Ubrzanje	Maksimum za penjanje	T_05		1543,3	190,3	
757RR	ICAO_A	1	5	Ubrzanje	Maksimum za penjanje	T_01		1735,6	206,1	
757RR	ICAO_A	1	6	Ubrzanje	Maksimum za penjanje	T_00		1959,8	250	
757RR	ICAO_A	1	7	Penjanje	Maksimum za penjanje	ZERO	5500			
757RR	ICAO_A	1	8	Penjanje	Maksimum za penjanje	ZERO	7500			
757RR	ICAO_A	1	9	Penjanje	Maksimum za penjanje	ZERO	10000			
757RR	ICAO_A	2	1	Uzljetanje	Maksimum za uzljetanje	5				
757RR	ICAO_A	2	2	Penjanje	Maksimum za uzljetanje	5	1500			



ThoriumSoftware d.o.o.

Mobile: +385 (0) 95 8 70 50 70
 Kontakt: Dario Ilija Rendulić
 Email:
[info@thoriumsoftware.eu;](mailto:info@thoriumsoftware.eu)
direndulic@gmail.com

757RR	ICAO_A	2	3	Penjanje	Maksimum za penjanje	5	3000			
757RR	ICAO_A	2	4	Ubrzanje	Maksimum za penjanje	T_05		1472,7	191,9	
757RR	ICAO_A	2	5	Ubrzanje	Maksimum za penjanje	T_01		1660,2	208,9	
757RR	ICAO_A	2	6	Ubrzanje	Maksimum za penjanje	T_00		1876	250	
757RR	ICAO_A	2	7	Penjanje	Maksimum za penjanje	ZERO	5500			
757RR	ICAO_A	2	8	Penjanje	Maksimum za penjanje	ZERO	7500			
757RR	ICAO_A	2	9	Penjanje	Maksimum za penjanje	ZERO	10000			
757RR	ICAO_A	3	1	Uzlijetanje	Maksimum za uzlijetanje	5				
757RR	ICAO_A	3	2	Penjanje	Maksimum za uzlijetanje	5	1500			
757RR	ICAO_A	3	3	Penjanje	Maksimum za penjanje	5	3000			
757RR	ICAO_A	3	4	Ubrzanje	Maksimum za penjanje	T_05		1401	193,6	
757RR	ICAO_A	3	5	Ubrzanje	Maksimum za penjanje	T_01		1590,6	211,5	
757RR	ICAO_A	3	6	Ubrzanje	Maksimum za penjanje	T_00		1769,2	250	
757RR	ICAO_A	3	7	Penjanje	Maksimum za penjanje	ZERO	5500			
757RR	ICAO_A	3	8	Penjanje	Maksimum za penjanje	ZERO	7500			
757RR	ICAO_A	3	9	Penjanje	Maksimum za penjanje	ZERO	10000			
757RR	ICAO_A	4	1	Uzlijetanje	Maksimum za uzlijetanje	5				
757RR	ICAO_A	4	2	Penjanje	Maksimum za uzlijetanje	5	1500			
757RR	ICAO_A	4	3	Penjanje	Maksimum za penjanje	5	3000			
757RR	ICAO_A	4	4	Ubrzanje	Maksimum za penjanje	T_05		1271,5	197,3	



ThoriumSoftware d.o.o.

Mobile: +385 (0) 95 8 70 50 70
 Kontakt: Dario Ilija Rendulić
 Email:
[info@thoriumsoftware.eu;](mailto:info@thoriumsoftware.eu)
direndulic@gmail.com

757RR	ICAO_A	4	5	Ubrzanje	Maksimum za penjanje	T_01		1436	214,5	
757RR	ICAO_A	4	6	Ubrzanje	Maksimum za penjanje	T_00		1593,3	250	
757RR	ICAO_A	4	7	Penjanje	Maksimum za penjanje	ZERO	5500			
757RR	ICAO_A	4	8	Penjanje	Maksimum za penjanje	ZERO	7500			
757RR	ICAO_A	4	9	Penjanje	Maksimum za penjanje	T_00	10000			
757RR	ICAO_A	5	1	Uzlijetanje	Maksimum za uzlijetanje	5				
757RR	ICAO_A	5	2	Penjanje	Maksimum za uzlijetanje	5	1500			
757RR	ICAO_A	5	3	Penjanje	Maksimum za penjanje	5	3000			
757RR	ICAO_A	5	4	Ubrzanje	Maksimum za penjanje	T_05		1134,7	202,1	
757RR	ICAO_A	5	5	Ubrzanje	Maksimum za penjanje	T_01		1278,3	219,8	
757RR	ICAO_A	5	6	Ubrzanje	Maksimum za penjanje	T_00		1416,8	250	
757RR	ICAO_A	5	7	Penjanje	Maksimum za penjanje	ZERO	5500			
757RR	ICAO_A	5	8	Penjanje	Maksimum za penjanje	ZERO	7500			
757RR	ICAO_A	5	9	Penjanje	Maksimum za penjanje	ZERO	10000			
757RR	ICAO_A	6	1	Uzlijetanje	Maksimum za uzlijetanje	5				
757RR	ICAO_A	6	2	Penjanje	Maksimum za uzlijetanje	5	1500			
757RR	ICAO_A	6	3	Penjanje	Maksimum za penjanje	5	3000			
757RR	ICAO_A	6	4	Ubrzanje	Maksimum za penjanje	T_05		1083,2	204,3	
757RR	ICAO_A	6	5	Ubrzanje	Maksimum za penjanje	T_01		1218,6	222,1	
757RR	ICAO_A	6	6	Ubrzanje	Maksimum za penjanje	T_00		1348,5	250	



ThoriumSoftware d.o.o.

Mobile: +385 (0) 95 8 70 50 70
 Kontakt: Dario Ilija Rendulić
 Email:
[info@thoriumsoftware.eu;](mailto:info@thoriumsoftware.eu)
direndulic@gmail.com

757RR	ICAO_A	6	7	Penjanje	Maksimum za penjanje	ZERO	5500			
757RR	ICAO_A	6	8	Penjanje	Maksimum za penjanje	ZERO	7500			
757RR	ICAO_A	6	9	Penjanje	Maksimum za penjanje	ZERO	10000			
757RR	ICAO_A	7	1	Uzljetanje	Maksimum za uzljetanje	5				
757RR	ICAO_A	7	2	Penjanje	Maksimum za uzljetanje	5	1500			
757RR	ICAO_A	7	3	Penjanje	Maksimum za penjanje	5	3000			
757RR	ICAO_A	7	4	Ubrzanje	Maksimum za penjanje	T_05		1013,1	207,4	
757RR	ICAO_A	7	5	Ubrzanje	Maksimum za penjanje	T_01		1137,3	225,4	
757RR	ICAO_A	7	6	Ubrzanje	Maksimum za penjanje	ZERO		1256,7	250	
757RR	ICAO_A	7	7	Penjanje	Maksimum za penjanje	ZERO	5500			
757RR	ICAO_A	7	8	Penjanje	Maksimum za penjanje	ZERO	7500			
757RR	ICAO_A	7	9	Penjanje	Maksimum za penjanje	ZERO	10000			
757RR	ICAO_B	1	1	Uzljetanje	Maksimum za uzljetanje	5				
757RR	ICAO_B	1	2	Penjanje	Maksimum za uzljetanje	5	1000			
757RR	ICAO_B	1	3	Ubrzanje	Maksimum za uzljetanje	T_05		2227,2	201,9	
757RR	ICAO_B	1	4	Ubrzanje	Maksimum za uzljetanje	T_01		2474,2	206,3	
757RR	ICAO_B	1	5	Penjanje	Maksimum za penjanje	ZERO	3000			
757RR	ICAO_B	1	6	Ubrzanje	Maksimum za penjanje	ZERO		1965,3	250	
757RR	ICAO_B	1	7	Penjanje	Maksimum za penjanje	ZERO	5500			
757RR	ICAO_B	1	8	Penjanje	Maksimum za penjanje	ZERO	7500			



ThoriumSoftware d.o.o.

Mobile: +385 (0) 95 8 70 50 70
 Kontakt: Dario Ilija Rendulić
 Email:
[info@thoriumsoftware.eu;](mailto:info@thoriumsoftware.eu)
direndulic@gmail.com

757RR	ICAO_B	1	9	Penjanje	Maksimum za penjanje	ZERO	10000			
757RR	ICAO_B	2	1	Uzlijetanje	Maksimum za uzlijetanje	5				
757RR	ICAO_B	2	2	Penjanje	Maksimum za uzlijetanje	5	1000			
757RR	ICAO_B	2	3	Ubrzanje	Maksimum za uzlijetanje	T_05		2139,9	203	
757RR	ICAO_B	2	4	Ubrzanje	Maksimum za uzlijetanje	T_01		2400	209,2	
757RR	ICAO_B	2	5	Penjanje	Maksimum za penjanje	ZERO	3000			
757RR	ICAO_B	2	6	Ubrzanje	Maksimum za penjanje	T_00		1876,9	250	
757RR	ICAO_B	2	7	Penjanje	Maksimum za penjanje	T_00	5500			
757RR	ICAO_B	2	8	Penjanje	Maksimum za penjanje	ZERO	7500			
757RR	ICAO_B	2	9	Penjanje	Maksimum za penjanje	ZERO	10000			
757RR	ICAO_B	3	1	Uzlijetanje	Maksimum za uzlijetanje	5				
757RR	ICAO_B	3	2	Penjanje	Maksimum za uzlijetanje	5	1000			
757RR	ICAO_B	3	3	Ubrzanje	Maksimum za uzlijetanje	T_05		2051,2	204,3	
757RR	ICAO_B	3	4	Ubrzanje	Maksimum za uzlijetanje	T_01		2300	212,1	
757RR	ICAO_B	3	5	Penjanje	Maksimum za penjanje	ZERO	3000			
757RR	ICAO_B	3	6	Ubrzanje	Maksimum za penjanje	T_00		1788	250	
757RR	ICAO_B	3	7	Penjanje	Maksimum za penjanje	T_00	5500			
757RR	ICAO_B	3	8	Penjanje	Maksimum za penjanje	T_00	7500			
757RR	ICAO_B	3	9	Penjanje	Maksimum za penjanje	ZERO	10000			
757RR	ICAO_B	4	1	Uzlijetanje	Maksimum za uzlijetanje	5				



ThoriumSoftware d.o.o.

Mobile: +385 (0) 95 8 70 50 70
 Kontakt: Dario Ilija Rendulić
 Email:
[info@thoriumsoftware.eu;](mailto:info@thoriumsoftware.eu)
direndulic@gmail.com

757RR	ICAO_B	4	2	Penjanje	Maksimum za uzljetanje	5	1000			
757RR	ICAO_B	4	3	Ubrzanje	Maksimum za uzljetanje	T_05		1884,9	207,3	
757RR	ICAO_B	4	4	Ubrzanje	Maksimum za uzljetanje	T_01		2135,6	218,4	
757RR	ICAO_B	4	5	Penjanje	Maksimum za penjanje	T_00	3000			
757RR	ICAO_B	4	6	Ubrzanje	Maksimum za penjanje	T_00		1621,6	250	
757RR	ICAO_B	4	7	Penjanje	Maksimum za penjanje	T_00	5500			
757RR	ICAO_B	4	8	Penjanje	Maksimum za penjanje	T_00	7500			
757RR	ICAO_B	4	9	Penjanje	Maksimum za penjanje	T_00	10000			
757RR	ICAO_B	5	1	Uzljetanje	Maksimum za uzljetanje	5				
757RR	ICAO_B	5	2	Penjanje	Maksimum za uzljetanje	5	1000			
757RR	ICAO_B	5	3	Ubrzanje	Maksimum za uzljetanje	T_05		1713,8	211,3	
757RR	ICAO_B	5	4	Ubrzanje	Maksimum za uzljetanje	T_01		1935,5	225,8	
757RR	ICAO_B	5	5	Penjanje	Maksimum za penjanje	ZERO	3000			
757RR	ICAO_B	5	6	Ubrzanje	Maksimum za penjanje	T_00		1447,1	250	
757RR	ICAO_B	5	7	Penjanje	Maksimum za penjanje	T_00	5500			
757RR	ICAO_B	5	8	Penjanje	Maksimum za penjanje	T_00	7500			
757RR	ICAO_B	5	9	Penjanje	Maksimum za penjanje	T_00	10000			
757RR	ICAO_B	6	1	Uzljetanje	Maksimum za uzljetanje	5				
757RR	ICAO_B	6	2	Penjanje	Maksimum za uzljetanje	5	1000			
757RR	ICAO_B	6	3	Ubrzanje	Maksimum za uzljetanje	T_05		1646,9	213,1	



ThoriumSoftware d.o.o.

Mobile: +385 (0) 95 8 70 50 70
 Kontakt: Dario Ilija Rendulić
 Email:
[info@thoriumsoftware.eu;](mailto:info@thoriumsoftware.eu)
direndulic@gmail.com

757RR	ICAO_B	6	4	Ubrzanje	Maksimum za uzljetanje	T_01		1872,3	228,9	
757RR	ICAO_B	6	5	Penjanje	Maksimum za penjanje	ZERO	3000			
757RR	ICAO_B	6	6	Ubrzanje	Maksimum za penjanje	T_00		1379,1	250	
757RR	ICAO_B	6	7	Penjanje	Maksimum za penjanje	T_00	5500			
757RR	ICAO_B	6	8	Penjanje	Maksimum za penjanje	T_00	7500			
757RR	ICAO_B	6	9	Penjanje	Maksimum za penjanje	T_00	10000			
757RR	ICAO_B	7	1	Uzljetanje	Maksimum za uzljetanje	5				
757RR	ICAO_B	7	2	Penjanje	Maksimum za uzljetanje	5	1000			
757RR	ICAO_B	7	3	Ubrzanje	Maksimum za uzljetanje	T_05		1562,1	215,8	
757RR	ICAO_B	7	4	Ubrzanje	Maksimum za uzljetanje	T_01		1781,3	233,3	
757RR	ICAO_B	7	5	Penjanje	Maksimum za penjanje	ZERO	3000			
757RR	ICAO_B	7	6	Ubrzanje	Maksimum za penjanje	T_00		1287,6	250	
757RR	ICAO_B	7	7	Penjanje	Maksimum za penjanje	T_00	5500			
757RR	ICAO_B	7	8	Penjanje	Maksimum za penjanje	T_00	7500			
757RR	ICAO_B	7	9	Penjanje	Maksimum za penjanje	T_00	10000			
767300	DEFAULT	1	1	Uzljetanje	Maksimum za uzljetanje	15				
767300	DEFAULT	1	2	Penjanje	Maksimum za uzljetanje	15	1000			
767300	DEFAULT	1	3	Ubrzanje	Maksimum za uzljetanje	15		2198	152	
767300	DEFAULT	1	4	Ubrzanje	Maksimum za uzljetanje	5		2198	172	
767300	DEFAULT	1	5	Ubrzanje	Maksimum za penjanje	INT		1000	215	



ThoriumSoftware d.o.o.

Mobile: +385 (0) 95 8 70 50 70
 Kontakt: Dario Ilija Rendulić
 Email:
[info@thoriumsoftware.eu;](mailto:info@thoriumsoftware.eu)
direndulic@gmail.com

767300	DEFAULT	1	6	Ubrzanje	Maksimum za penjanje	ZERO		1000	235	
767300	DEFAULT	1	7	Penjanje	Maksimum za penjanje	ZERO	3000			
767300	DEFAULT	1	8	Ubrzanje	Maksimum za penjanje	ZERO		1000	250	
767300	DEFAULT	1	9	Penjanje	Maksimum za penjanje	ZERO	5500			
767300	DEFAULT	1	10	Penjanje	Maksimum za penjanje	ZERO	7500			
767300	DEFAULT	1	11	Penjanje	Maksimum za penjanje	ZERO	10000			
767300	DEFAULT	2	1	Uzljetanje	Maksimum za uzljetanje	15				
767300	DEFAULT	2	2	Penjanje	Maksimum za uzljetanje	15	1000			
767300	DEFAULT	2	3	Ubrzanje	Maksimum za uzljetanje	15		2112	155	
767300	DEFAULT	2	4	Ubrzanje	Maksimum za uzljetanje	5		2112	175	
767300	DEFAULT	2	5	Ubrzanje	Maksimum za penjanje	INT		1000	218	
767300	DEFAULT	2	6	Ubrzanje	Maksimum za penjanje	ZERO		1000	238	
767300	DEFAULT	2	7	Penjanje	Maksimum za penjanje	ZERO	3000			
767300	DEFAULT	2	8	Ubrzanje	Maksimum za penjanje	ZERO		1000	250	
767300	DEFAULT	2	9	Penjanje	Maksimum za penjanje	ZERO	5500			
767300	DEFAULT	2	10	Penjanje	Maksimum za penjanje	ZERO	7500			
767300	DEFAULT	2	11	Penjanje	Maksimum za penjanje	ZERO	10000			
767300	DEFAULT	3	1	Uzljetanje	Maksimum za uzljetanje	15				
767300	DEFAULT	3	2	Penjanje	Maksimum za uzljetanje	15	1000			
767300	DEFAULT	3	3	Ubrzanje	Maksimum za uzljetanje	15		2029	158	



ThoriumSoftware d.o.o.

Mobile: +385 (0) 95 8 70 50 70
 Kontakt: Dario Ilija Rendulić
 Email:
[info@thoriumsoftware.eu;](mailto:info@thoriumsoftware.eu)
direndulic@gmail.com

767300	DEFAULT	3	4	Ubrzanje	Maksimum za uzljetanje	5		2029	178	
767300	DEFAULT	3	5	Ubrzanje	Maksimum za penjanje	INT		1000	221	
767300	DEFAULT	3	6	Ubrzanje	Maksimum za penjanje	ZERO		1000	241	
767300	DEFAULT	3	7	Penjanje	Maksimum za penjanje	ZERO	3000			
767300	DEFAULT	3	8	Ubrzanje	Maksimum za penjanje	ZERO		1000	250	
767300	DEFAULT	3	9	Penjanje	Maksimum za penjanje	ZERO	5500			
767300	DEFAULT	3	10	Penjanje	Maksimum za penjanje	ZERO	7500			
767300	DEFAULT	3	11	Penjanje	Maksimum za penjanje	ZERO	10000			
767300	DEFAULT	4	1	Uzljetanje	Maksimum za uzljetanje	15				
767300	DEFAULT	4	2	Penjanje	Maksimum za uzljetanje	15	1000			
767300	DEFAULT	4	3	Ubrzanje	Maksimum za uzljetanje	15		1895	163	
767300	DEFAULT	4	4	Ubrzanje	Maksimum za uzljetanje	5		1895	183	
767300	DEFAULT	4	5	Ubrzanje	Maksimum za penjanje	INT		1000	225	
767300	DEFAULT	4	6	Ubrzanje	Maksimum za penjanje	ZERO		1000	245	
767300	DEFAULT	4	7	Penjanje	Maksimum za penjanje	ZERO	3000			
767300	DEFAULT	4	8	Ubrzanje	Maksimum za penjanje	ZERO		1000	250	
767300	DEFAULT	4	9	Penjanje	Maksimum za penjanje	ZERO	5500			
767300	DEFAULT	4	10	Penjanje	Maksimum za penjanje	ZERO	7500			
767300	DEFAULT	4	11	Penjanje	Maksimum za penjanje	ZERO	10000			
767300	DEFAULT	5	1	Uzljetanje	Maksimum za uzljetanje	15				



ThoriumSoftware d.o.o.

Mobile: +385 (0) 95 8 70 50 70
 Kontakt: Dario Ilija Rendulić
 Email:
[info@thoriumsoftware.eu;](mailto:info@thoriumsoftware.eu)
direndulic@gmail.com

767300	DEFAULT	5	2	Penjanje	Maksimum za uzljetanje	15	1000			
767300	DEFAULT	5	3	Ubrzanje	Maksimum za uzljetanje	15		1744	169	
767300	DEFAULT	5	4	Ubrzanje	Maksimum za uzljetanje	5		1744	189	
767300	DEFAULT	5	5	Ubrzanje	Maksimum za penjanje	INT		1000	231	
767300	DEFAULT	5	6	Ubrzanje	Maksimum za penjanje	ZERO		1000	251	
767300	DEFAULT	5	7	Penjanje	Maksimum za penjanje	ZERO	3000			
767300	DEFAULT	5	8	Penjanje	Maksimum za penjanje	ZERO	5500			
767300	DEFAULT	5	9	Penjanje	Maksimum za penjanje	ZERO	7500			
767300	DEFAULT	5	10	Penjanje	Maksimum za penjanje	ZERO	10000			
767300	DEFAULT	6	1	Uzljetanje	Maksimum za uzljetanje	15				
767300	DEFAULT	6	2	Penjanje	Maksimum za uzljetanje	15	1000			
767300	DEFAULT	6	3	Ubrzanje	Maksimum za uzljetanje	15		1602	175	
767300	DEFAULT	6	4	Ubrzanje	Maksimum za uzljetanje	5		1602	195	
767300	DEFAULT	6	5	Ubrzanje	Maksimum za penjanje	INT		1000	237	
767300	DEFAULT	6	6	Ubrzanje	Maksimum za penjanje	ZERO		1000	257	
767300	DEFAULT	6	7	Penjanje	Maksimum za penjanje	ZERO	3000			
767300	DEFAULT	6	8	Penjanje	Maksimum za penjanje	ZERO	5500			
767300	DEFAULT	6	9	Penjanje	Maksimum za penjanje	ZERO	7500			
767300	DEFAULT	6	10	Penjanje	Maksimum za penjanje	ZERO	10000			
767300	DEFAULT	7	1	Uzljetanje	Maksimum za uzljetanje	15				



ThoriumSoftware d.o.o.

Mobile: +385 (0) 95 8 70 50 70
 Kontakt: Dario Ilija Rendulić
 Email:
[info@thoriumsoftware.eu;](mailto:info@thoriumsoftware.eu)
direndulic@gmail.com

767300	DEFAULT	7	2	Penjanje	Maksimum za uzljetanje	15	1000			
767300	DEFAULT	7	3	Ubrzanje	Maksimum za uzljetanje	15		1542	178	
767300	DEFAULT	7	4	Ubrzanje	Maksimum za uzljetanje	5		1542	198	
767300	DEFAULT	7	5	Ubrzanje	Maksimum za penjanje	INT		1000	240	
767300	DEFAULT	7	6	Ubrzanje	Maksimum za penjanje	ZERO		1000	260	
767300	DEFAULT	7	7	Penjanje	Maksimum za penjanje	ZERO	3000			
767300	DEFAULT	7	8	Penjanje	Maksimum za penjanje	ZERO	5500			
767300	DEFAULT	7	9	Penjanje	Maksimum za penjanje	ZERO	7500			
767300	DEFAULT	7	10	Penjanje	Maksimum za penjanje	ZERO	10000			
767400	DEFAULT	1	1	Uzljetanje	Maksimum za uzljetanje	T_20_U				
767400	DEFAULT	1	2	Penjanje	Maksimum za uzljetanje	T_20_U	1000			
767400	DEFAULT	1	3	Ubrzanje	Maksimum za penjanje	T_05_U		1695,3	215,4	
767400	DEFAULT	1	4	Penjanje	Maksimum za penjanje	T_00_U	3000			
767400	DEFAULT	1	5	Ubrzanje	Maksimum za penjanje	T_00_U		2123,3	250	
767400	DEFAULT	1	6	Penjanje	Maksimum za penjanje	T_00_U	5500			
767400	DEFAULT	1	7	Penjanje	Maksimum za penjanje	T_00_U	7500			
767400	DEFAULT	1	8	Penjanje	Maksimum za penjanje	T_00_U	10000			
767400	DEFAULT	2	1	Uzljetanje	Maksimum za uzljetanje	T_20_U				
767400	DEFAULT	2	2	Penjanje	Maksimum za uzljetanje	T_20_U	1000			
767400	DEFAULT	2	3	Ubrzanje	Maksimum za penjanje	T_05_U		1648,7	217,9	



ThoriumSoftware d.o.o.

Mobile: +385 (0) 95 8 70 50 70
 Kontakt: Dario Ilija Rendulić
 Email:
[info@thoriumsoftware.eu;](mailto:info@thoriumsoftware.eu)
direndulic@gmail.com

767400	DEFAULT	2	4	Penjanje	Maksimum za penjanje	T_00_U	3000			
767400	DEFAULT	2	5	Ubrzanje	Maksimum za penjanje	T_00_U		2040,6	250	
767400	DEFAULT	2	6	Penjanje	Maksimum za penjanje	T_00_U	5500			
767400	DEFAULT	2	7	Penjanje	Maksimum za penjanje	T_00_U	7500			
767400	DEFAULT	2	8	Penjanje	Maksimum za penjanje	T_00_U	10000			
767400	DEFAULT	3	1	Uzljetanje	Maksimum za uzljetanje	T_20_U				
767400	DEFAULT	3	2	Penjanje	Maksimum za uzljetanje	T_20_U	1000			
767400	DEFAULT	3	3	Ubrzanje	Maksimum za penjanje	T_05_U		1584,9	220,5	
767400	DEFAULT	3	4	Penjanje	Maksimum za penjanje	T_00_U	3000			
767400	DEFAULT	3	5	Ubrzanje	Maksimum za penjanje	T_00_U		1953,3	250	
767400	DEFAULT	3	6	Penjanje	Maksimum za penjanje	T_00_U	5500			
767400	DEFAULT	3	7	Penjanje	Maksimum za penjanje	T_00_U	7500			
767400	DEFAULT	3	8	Penjanje	Maksimum za penjanje	T_00_U	10000			
767400	DEFAULT	4	1	Uzljetanje	Maksimum za uzljetanje	T_20_U				
767400	DEFAULT	4	2	Penjanje	Maksimum za uzljetanje	T_20_U	1000			
767400	DEFAULT	4	3	Ubrzanje	Maksimum za penjanje	T_05_U		1482,5	225,1	
767400	DEFAULT	4	4	Penjanje	Maksimum za penjanje	T_00_U	3000			
767400	DEFAULT	4	5	Ubrzanje	Maksimum za penjanje	T_00_U		1821,8	250	
767400	DEFAULT	4	6	Penjanje	Maksimum za penjanje	T_00_U	5500			
767400	DEFAULT	4	7	Penjanje	Maksimum za penjanje	T_00_U	7500			



ThoriumSoftware d.o.o.

Mobile: +385 (0) 95 8 70 50 70
 Kontakt: Dario Ilija Rendulić
 Email:
[info@thoriumsoftware.eu;](mailto:info@thoriumsoftware.eu)
direndulic@gmail.com

767400	DEFAULT	4	8	Penjanje	Maksimum za penjanje	T_00_U	10000			
767400	DEFAULT	5	1	Uzlijetanje	Maksimum za uzlijetanje	T_20_U				
767400	DEFAULT	5	2	Penjanje	Maksimum za uzlijetanje	T_20_U	1000			
767400	DEFAULT	5	3	Ubrzanje	Maksimum za penjanje	T_05_U		1360,1	230,5	
767400	DEFAULT	5	4	Penjanje	Maksimum za penjanje	T_00_U	3000			
767400	DEFAULT	5	5	Ubrzanje	Maksimum za penjanje	T_00_U		1661,5	250	
767400	DEFAULT	5	6	Penjanje	Maksimum za penjanje	T_00_U	5500			
767400	DEFAULT	5	7	Penjanje	Maksimum za penjanje	T_00_U	7500			
767400	DEFAULT	5	8	Penjanje	Maksimum za penjanje	T_00_U	10000			
767400	DEFAULT	6	1	Uzlijetanje	Maksimum za uzlijetanje	T_20_U				
767400	DEFAULT	6	2	Penjanje	Maksimum za uzlijetanje	T_20_U	1000			
767400	DEFAULT	6	3	Ubrzanje	Maksimum za penjanje	T_05_U		1246,4	236	
767400	DEFAULT	6	4	Penjanje	Maksimum za penjanje	T_00_U	3000			
767400	DEFAULT	6	5	Ubrzanje	Maksimum za penjanje	T_00_U		1508	250	
767400	DEFAULT	6	6	Penjanje	Maksimum za penjanje	T_00_U	5500			
767400	DEFAULT	6	7	Penjanje	Maksimum za penjanje	T_00_U	7500			
767400	DEFAULT	6	8	Penjanje	Maksimum za penjanje	T_00_U	10000			
767400	DEFAULT	7	1	Uzlijetanje	Maksimum za uzlijetanje	T_20_U				
767400	DEFAULT	7	2	Penjanje	Maksimum za uzlijetanje	T_20_U	1000			
767400	DEFAULT	7	3	Ubrzanje	Maksimum za penjanje	T_05_U		1091,3	244,3	



ThoriumSoftware d.o.o.

Mobile: +385 (0) 95 8 70 50 70
 Kontakt: Dario Ilija Rendulić
 Email:
[info@thoriumsoftware.eu;](mailto:info@thoriumsoftware.eu)
direndulic@gmail.com

767400	DEFAULT	7	4	Penjanje	Maksimum za penjanje	T_00_U	3000			
767400	DEFAULT	7	5	Ubrzanje	Maksimum za penjanje	T_00_U		1303,8	250	
767400	DEFAULT	7	6	Penjanje	Maksimum za penjanje	T_00_U	5500			
767400	DEFAULT	7	7	Penjanje	Maksimum za penjanje	T_00_U	7500			
767400	DEFAULT	7	8	Penjanje	Maksimum za penjanje	T_00_U	10000			
767400	ICAO_A	1	1	Uzlijetanje	Maksimum za uzlijetanje	T_20_U				
767400	ICAO_A	1	2	Penjanje	Maksimum za uzlijetanje	T_20_U	1500			
767400	ICAO_A	1	3	Penjanje	Maksimum za penjanje	T_20_U	3000			
767400	ICAO_A	1	4	Ubrzanje	Maksimum za penjanje	T_05A		1659,9	215,1	
767400	ICAO_A	1	5	Penjanje	Maksimum za penjanje	T_00_U	4616			
767400	ICAO_A	1	6	Ubrzanje	Maksimum za penjanje	T_00_U		2098,5	250	
767400	ICAO_A	1	7	Penjanje	Maksimum za penjanje	T_00_U	5500			
767400	ICAO_A	1	8	Penjanje	Maksimum za penjanje	T_00_U	7500			
767400	ICAO_A	1	9	Penjanje	Maksimum za penjanje	T_00_U	10000			
767400	ICAO_A	2	1	Uzlijetanje	Maksimum za uzlijetanje	T_20_U				
767400	ICAO_A	2	2	Penjanje	Maksimum za uzlijetanje	T_20_U	1500			
767400	ICAO_A	2	3	Penjanje	Maksimum za penjanje	T_20_U	3000			
767400	ICAO_A	2	4	Ubrzanje	Maksimum za penjanje	T_05A		1600	217,6	
767400	ICAO_A	2	5	Penjanje	Maksimum za penjanje	T_00_U	4536			
767400	ICAO_A	2	6	Ubrzanje	Maksimum za penjanje	T_00_U		2008	250	



ThoriumSoftware d.o.o.

Mobile: +385 (0) 95 8 70 50 70
 Kontakt: Dario Ilija Rendulić
 Email:
[info@thoriumsoftware.eu;](mailto:info@thoriumsoftware.eu)
direndulic@gmail.com

767400	ICAO_A	2	7	Penjanje	Maksimum za penjanje	T_00_U	5500			
767400	ICAO_A	2	8	Penjanje	Maksimum za penjanje	T_00_U	7500			
767400	ICAO_A	2	9	Penjanje	Maksimum za penjanje	T_00_U	10000			
767400	ICAO_A	3	1	Uzljetanje	Maksimum za uzljetanje	T_20_U				
767400	ICAO_A	3	2	Penjanje	Maksimum za uzljetanje	T_20_U	1500			
767400	ICAO_A	3	3	Penjanje	Maksimum za penjanje	T_20_U	3000			
767400	ICAO_A	3	4	Ubrzanje	Maksimum za penjanje	T_05B		1536,2	220,4	
767400	ICAO_A	3	5	Penjanje	Maksimum za penjanje	T_00_U	4454			
767400	ICAO_A	3	6	Ubrzanje	Maksimum za penjanje	T_00_U		1935,8	250	
767400	ICAO_A	3	7	Penjanje	Maksimum za penjanje	T_00_U	5500			
767400	ICAO_A	3	8	Penjanje	Maksimum za penjanje	T_00_U	7500			
767400	ICAO_A	3	9	Penjanje	Maksimum za penjanje	T_00_U	10000			
767400	ICAO_A	4	1	Uzljetanje	Maksimum za uzljetanje	T_20_U				
767400	ICAO_A	4	2	Penjanje	Maksimum za uzljetanje	T_20_U	1500			
767400	ICAO_A	4	3	Penjanje	Maksimum za penjanje	T_20_U	3000			
767400	ICAO_A	4	4	Ubrzanje	Maksimum za penjanje	T_05B		1434,4	224,8	
767400	ICAO_A	4	5	Penjanje	Maksimum za penjanje	T_00_U	4323			
767400	ICAO_A	4	6	Ubrzanje	Maksimum za penjanje	T_00_U		1796,6	250	
767400	ICAO_A	4	7	Penjanje	Maksimum za penjanje	T_00_U	5500			
767400	ICAO_A	4	8	Penjanje	Maksimum za penjanje	T_00_U	7500			



ThoriumSoftware d.o.o.

Mobile: +385 (0) 95 8 70 50 70
 Kontakt: Dario Ilija Rendulić
 Email:
[info@thoriumsoftware.eu;](mailto:info@thoriumsoftware.eu)
direndulic@gmail.com

767400	ICAO_A	4	9	Penjanje	Maksimum za penjanje	T_00_U	10000			
767400	ICAO_A	5	1	Uzlijetanje	Maksimum za uzlijetanje	T_20_U				
767400	ICAO_A	5	2	Penjanje	Maksimum za uzlijetanje	T_20_U	1500			
767400	ICAO_A	5	3	Penjanje	Maksimum za penjanje	T_20_U	3000			
767400	ICAO_A	5	4	Ubrzanje	Maksimum za penjanje	T_05B		1318,8	230,2	
767400	ICAO_A	5	5	Penjanje	Maksimum za penjanje	T_00_U	4173			
767400	ICAO_A	5	6	Ubrzanje	Maksimum za penjanje	T_00_U		1640	250	
767400	ICAO_A	5	7	Penjanje	Maksimum za penjanje	T_00_U	5500			
767400	ICAO_A	5	8	Penjanje	Maksimum za penjanje	T_00_U	7500			
767400	ICAO_A	5	9	Penjanje	Maksimum za penjanje	T_00_U	10000			
767400	ICAO_A	6	1	Uzlijetanje	Maksimum za uzlijetanje	T_20_U				
767400	ICAO_A	6	2	Penjanje	Maksimum za uzlijetanje	T_20_U	1500			
767400	ICAO_A	6	3	Penjanje	Maksimum za penjanje	T_20_U	3000			
767400	ICAO_A	6	4	Ubrzanje	Maksimum za penjanje	T_05B		1258,5	250	
767400	ICAO_A	6	5	Penjanje	Maksimum za penjanje	T_00_U	5500			
767400	ICAO_A	6	6	Penjanje	Maksimum za penjanje	T_00_U	7500			
767400	ICAO_A	6	7	Penjanje	Maksimum za penjanje	T_00_U	10000			
767400	ICAO_A	7	1	Uzlijetanje	Maksimum za uzlijetanje	T_20_U				
767400	ICAO_A	7	2	Penjanje	Maksimum za uzlijetanje	T_20_U	1500			
767400	ICAO_A	7	3	Penjanje	Maksimum za penjanje	T_20_U	3000			



ThoriumSoftware d.o.o.

Mobile: +385 (0) 95 8 70 50 70
 Kontakt: Dario Ilija Rendulić
 Email:
[info@thoriumsoftware.eu;](mailto:info@thoriumsoftware.eu)
direndulic@gmail.com

767400	ICAO_A	7	4	Ubrzanje	Maksimum za penjanje	T_05B		1073	250	
767400	ICAO_A	7	5	Penjanje	Maksimum za penjanje	T_00_U	5500			
767400	ICAO_A	7	6	Penjanje	Maksimum za penjanje	T_00_U	7500			
767400	ICAO_A	7	7	Penjanje	Maksimum za penjanje	T_00_U	10000			
767400	ICAO_B	1	1	Uzljetanje	Maksimum za uzljetanje	T_20_U				
767400	ICAO_B	1	2	Penjanje	Maksimum za uzljetanje	T_20_U	1000			
767400	ICAO_B	1	3	Ubrzanje	Maksimum za uzljetanje	T_05_U		2330,5	215,3	
767400	ICAO_B	1	4	Penjanje	Maksimum za uzljetanje	T_00_U	3491			
767400	ICAO_B	1	5	Ubrzanje	Maksimum za penjanje	T_00_U		2147	250	
767400	ICAO_B	1	6	Penjanje	Maksimum za penjanje	T_00_U	5000			
767400	ICAO_B	1	7	Penjanje	Maksimum za penjanje	T_00_U	7500			
767400	ICAO_B	1	8	Penjanje	Maksimum za penjanje	T_00_U	10000			
767400	ICAO_B	2	1	Uzljetanje	Maksimum za uzljetanje	T_20_U				
767400	ICAO_B	2	2	Penjanje	Maksimum za uzljetanje	T_20_U	1000			
767400	ICAO_B	2	3	Ubrzanje	Maksimum za uzljetanje	T_05_U		2267,2	217,9	
767400	ICAO_B	2	4	Penjanje	Maksimum za uzljetanje	T_00_U	3393			
767400	ICAO_B	2	5	Ubrzanje	Maksimum za penjanje	T_00_U		2080,9	250	
767400	ICAO_B	2	6	Penjanje	Maksimum za penjanje	T_00_U	5000			
767400	ICAO_B	2	7	Penjanje	Maksimum za penjanje	T_00_U	7500			
767400	ICAO_B	2	8	Penjanje	Maksimum za penjanje	T_00_U	10000			



ThoriumSoftware d.o.o.

Mobile: +385 (0) 95 8 70 50 70
 Kontakt: Dario Ilija Rendulić
 Email:
[info@thoriumsoftware.eu;](mailto:info@thoriumsoftware.eu)
direndulic@gmail.com

767400	ICAO_B	3	1	Uzlijetanje	Maksimum za uzlijetanje	T_20_U				
767400	ICAO_B	3	2	Penjanje	Maksimum za uzlijetanje	T_20_U	1000			
767400	ICAO_B	3	3	Ubrzanje	Maksimum za uzlijetanje	T_05_U		2183,7	220,6	
767400	ICAO_B	3	4	Penjanje	Maksimum za uzlijetanje	T_00_U	3292			
767400	ICAO_B	3	5	Ubrzanje	Maksimum za penjanje	T_00_U		1975,7	250	
767400	ICAO_B	3	6	Penjanje	Maksimum za penjanje	T_00_U	5000			
767400	ICAO_B	3	7	Penjanje	Maksimum za penjanje	T_00_U	7500			
767400	ICAO_B	3	8	Penjanje	Maksimum za penjanje	T_00_U	10000			
767400	ICAO_B	4	1	Uzlijetanje	Maksimum za uzlijetanje	T_20_U				
767400	ICAO_B	4	2	Penjanje	Maksimum za uzlijetanje	T_20_U	1000			
767400	ICAO_B	4	3	Ubrzanje	Maksimum za uzlijetanje	T_05_U		2054,4	225	
767400	ICAO_B	4	4	Penjanje	Maksimum za uzlijetanje	T_00_U	3128			
767400	ICAO_B	4	5	Ubrzanje	Maksimum za penjanje	T_00_U		1850,9	250	
767400	ICAO_B	4	6	Penjanje	Maksimum za penjanje	T_00_U	5000			
767400	ICAO_B	4	7	Penjanje	Maksimum za penjanje	T_00_U	7500			
767400	ICAO_B	4	8	Penjanje	Maksimum za penjanje	T_00_U	10000			
767400	ICAO_B	5	1	Uzlijetanje	Maksimum za uzlijetanje	T_20_U				
767400	ICAO_B	5	2	Penjanje	Maksimum za uzlijetanje	T_20_U	1000			
767400	ICAO_B	5	3	Ubrzanje	Maksimum za uzlijetanje	T_05_U		1908,2	230,4	
767400	ICAO_B	5	4	Penjanje	Maksimum za uzlijetanje	T_00_U	2944			



ThoriumSoftware d.o.o.

Mobile: +385 (0) 95 8 70 50 70
 Kontakt: Dario Ilija Rendulić
 Email:
[info@thoriumsoftware.eu;](mailto:info@thoriumsoftware.eu)
direndulic@gmail.com

767400	ICAO_B	5	5	Penjanje	Maksimum za penjanje	T_00_U	3000			
767400	ICAO_B	5	6	Ubrzanje	Maksimum za penjanje	T_00_U		1653,1	250	
767400	ICAO_B	5	7	Penjanje	Maksimum za penjanje	T_00_U	5000			
767400	ICAO_B	5	8	Penjanje	Maksimum za penjanje	T_00_U	7500			
767400	ICAO_B	5	9	Penjanje	Maksimum za penjanje	T_00_U	10000			
767400	ICAO_B	6	1	Uzlijetanje	Maksimum za uzlijetanje	T_20_U				
767400	ICAO_B	6	2	Penjanje	Maksimum za uzlijetanje	T_20_U	1000			
767400	ICAO_B	6	3	Ubrzanje	Maksimum za uzlijetanje	T_05_U		1771,1	236	
767400	ICAO_B	6	4	Penjanje	Maksimum za uzlijetanje	T_00_U	2766			
767400	ICAO_B	6	5	Penjanje	Maksimum za penjanje	T_00_U	3000			
767400	ICAO_B	6	6	Ubrzanje	Maksimum za penjanje	T_00_U		1521,4	250	
767400	ICAO_B	6	7	Penjanje	Maksimum za penjanje	T_00_U	5000			
767400	ICAO_B	6	8	Penjanje	Maksimum za penjanje	T_00_U	7500			
767400	ICAO_B	6	9	Penjanje	Maksimum za penjanje	T_00_U	10000			
767400	ICAO_B	7	1	Uzlijetanje	Maksimum za uzlijetanje	T_20_U				
767400	ICAO_B	7	2	Penjanje	Maksimum za uzlijetanje	T_20_U	1000			
767400	ICAO_B	7	3	Ubrzanje	Maksimum za uzlijetanje	T_05_U		1560,3	239,8	
767400	ICAO_B	7	4	Penjanje	Maksimum za uzlijetanje	T_00_U	2111			
767400	ICAO_B	7	5	Ubrzanje	Maksimum za uzlijetanje	T_00_U		1840	244,3	
767400	ICAO_B	7	6	Penjanje	Maksimum za uzlijetanje	T_00_U	2523			



ThoriumSoftware d.o.o.

Mobile: +385 (0) 95 8 70 50 70
 Kontakt: Dario Ilija Rendulić
 Email:
[info@thoriumsoftware.eu;](mailto:info@thoriumsoftware.eu)
direndulic@gmail.com

767400	ICAO_B	7	7	Penjanje	Maksimum za penjanje	T_00_U	3000			
767400	ICAO_B	7	8	Ubrzanje	Maksimum za penjanje	T_00_U		1303,8	250	
767400	ICAO_B	7	9	Penjanje	Maksimum za penjanje	T_00_U	5000			
767400	ICAO_B	7	10	Penjanje	Maksimum za penjanje	T_00_U	7500			
767400	ICAO_B	7	11	Penjanje	Maksimum za penjanje	T_00_U	10000			
767CF6	DEFAULT	1	1	Uzlijetanje	Maksimum za uzlijetanje	15				
767CF6	DEFAULT	1	2	Penjanje	Maksimum za uzlijetanje	15	1000			
767CF6	DEFAULT	1	3	Ubrzanje	Maksimum za uzlijetanje	15		1913	144	
767CF6	DEFAULT	1	4	Ubrzanje	Maksimum za uzlijetanje	5		1913	164	
767CF6	DEFAULT	1	5	Ubrzanje	Maksimum za penjanje	1		1000	204	
767CF6	DEFAULT	1	6	Ubrzanje	Maksimum za penjanje	ZERO		1000	224	
767CF6	DEFAULT	1	7	Penjanje	Maksimum za penjanje	ZERO	3000			
767CF6	DEFAULT	1	8	Ubrzanje	Maksimum za penjanje	ZERO		1000	250	
767CF6	DEFAULT	1	9	Penjanje	Maksimum za penjanje	ZERO	5500			
767CF6	DEFAULT	1	10	Penjanje	Maksimum za penjanje	ZERO	7500			
767CF6	DEFAULT	1	11	Penjanje	Maksimum za penjanje	ZERO	10000			
767CF6	DEFAULT	2	1	Uzlijetanje	Maksimum za uzlijetanje	15				
767CF6	DEFAULT	2	2	Penjanje	Maksimum za uzlijetanje	15	1000			
767CF6	DEFAULT	2	3	Ubrzanje	Maksimum za uzlijetanje	15		1840	147	
767CF6	DEFAULT	2	4	Ubrzanje	Maksimum za uzlijetanje	5		1840	167	



ThoriumSoftware d.o.o.

Mobile: +385 (0) 95 8 70 50 70
 Kontakt: Dario Ilija Rendulić
 Email:
[info@thoriumsoftware.eu;](mailto:info@thoriumsoftware.eu)
direndulic@gmail.com

767CF6	DEFAULT	2	5	Ubrzanje	Maksimum za penjanje	1		1000	206	
767CF6	DEFAULT	2	6	Ubrzanje	Maksimum za penjanje	ZERO		1000	226	
767CF6	DEFAULT	2	7	Penjanje	Maksimum za penjanje	ZERO	3000			
767CF6	DEFAULT	2	8	Ubrzanje	Maksimum za penjanje	ZERO		1000	250	
767CF6	DEFAULT	2	9	Penjanje	Maksimum za penjanje	ZERO	5500			
767CF6	DEFAULT	2	10	Penjanje	Maksimum za penjanje	ZERO	7500			
767CF6	DEFAULT	2	11	Penjanje	Maksimum za penjanje	ZERO	10000			
767CF6	DEFAULT	3	1	Uzlijetanje	Maksimum za uzlijetanje	15				
767CF6	DEFAULT	3	2	Penjanje	Maksimum za uzlijetanje	15	1000			
767CF6	DEFAULT	3	3	Ubrzanje	Maksimum za uzlijetanje	15		1769	150	
767CF6	DEFAULT	3	4	Ubrzanje	Maksimum za uzlijetanje	5		1769	170	
767CF6	DEFAULT	3	5	Ubrzanje	Maksimum za penjanje	1		1000	209	
767CF6	DEFAULT	3	6	Ubrzanje	Maksimum za penjanje	ZERO		1000	229	
767CF6	DEFAULT	3	7	Penjanje	Maksimum za penjanje	ZERO	3000			
767CF6	DEFAULT	3	8	Ubrzanje	Maksimum za penjanje	ZERO		1000	250	
767CF6	DEFAULT	3	9	Penjanje	Maksimum za penjanje	ZERO	5500			
767CF6	DEFAULT	3	10	Penjanje	Maksimum za penjanje	ZERO	7500			
767CF6	DEFAULT	3	11	Penjanje	Maksimum za penjanje	ZERO	10000			
767CF6	DEFAULT	4	1	Uzlijetanje	Maksimum za uzlijetanje	15				
767CF6	DEFAULT	4	2	Penjanje	Maksimum za uzlijetanje	15	1000			



ThoriumSoftware d.o.o.

Mobile: +385 (0) 95 8 70 50 70
 Kontakt: Dario Ilija Rendulić
 Email:
[info@thoriumsoftware.eu;](mailto:info@thoriumsoftware.eu)
direndulic@gmail.com

767CF6	DEFAULT	4	3	Ubrzanje	Maksimum za uzljetanje	15		1656	155	
767CF6	DEFAULT	4	4	Ubrzanje	Maksimum za uzljetanje	5		1656	175	
767CF6	DEFAULT	4	5	Ubrzanje	Maksimum za penjanje	1		1000	214	
767CF6	DEFAULT	4	6	Ubrzanje	Maksimum za penjanje	ZERO		1000	234	
767CF6	DEFAULT	4	7	Penjanje	Maksimum za penjanje	ZERO	3000			
767CF6	DEFAULT	4	8	Ubrzanje	Maksimum za penjanje	ZERO		1000	250	
767CF6	DEFAULT	4	9	Penjanje	Maksimum za penjanje	ZERO	5500			
767CF6	DEFAULT	4	10	Penjanje	Maksimum za penjanje	ZERO	7500			
767CF6	DEFAULT	4	11	Penjanje	Maksimum za penjanje	ZERO	10000			
767CF6	DEFAULT	5	1	Uzljetanje	Maksimum za uzljetanje	15				
767CF6	DEFAULT	5	2	Penjanje	Maksimum za uzljetanje	15	1000			
767CF6	DEFAULT	5	3	Ubrzanje	Maksimum za uzljetanje	15		1529	160	
767CF6	DEFAULT	5	4	Ubrzanje	Maksimum za uzljetanje	5		1529	180	
767CF6	DEFAULT	5	5	Ubrzanje	Maksimum za penjanje	1		1000	219	
767CF6	DEFAULT	5	6	Ubrzanje	Maksimum za penjanje	ZERO		1000	239	
767CF6	DEFAULT	5	7	Penjanje	Maksimum za penjanje	ZERO	3000			
767CF6	DEFAULT	5	8	Ubrzanje	Maksimum za penjanje	ZERO		1000	250	
767CF6	DEFAULT	5	9	Penjanje	Maksimum za penjanje	ZERO	5500			
767CF6	DEFAULT	5	10	Penjanje	Maksimum za penjanje	ZERO	7500			
767CF6	DEFAULT	5	11	Penjanje	Maksimum za penjanje	ZERO	10000			



ThoriumSoftware d.o.o.

Mobile: +385 (0) 95 8 70 50 70
 Kontakt: Dario Ilija Rendulić
 Email:
[info@thoriumsoftware.eu;](mailto:info@thoriumsoftware.eu)
direndulic@gmail.com

767CF6	DEFAULT	6	1	Uzlijetanje	Maksimum za uzlijetanje	15				
767CF6	DEFAULT	6	2	Penjanje	Maksimum za uzlijetanje	15	1000			
767CF6	DEFAULT	6	3	Ubrzanje	Maksimum za uzlijetanje	15		1407	166	
767CF6	DEFAULT	6	4	Ubrzanje	Maksimum za uzlijetanje	5		1407	186	
767CF6	DEFAULT	6	5	Ubrzanje	Maksimum za penjanje	1		1000	225	
767CF6	DEFAULT	6	6	Ubrzanje	Maksimum za penjanje	ZERO		1000	245	
767CF6	DEFAULT	6	7	Penjanje	Maksimum za penjanje	ZERO	3000			
767CF6	DEFAULT	6	8	Ubrzanje	Maksimum za penjanje	ZERO		1000	250	
767CF6	DEFAULT	6	9	Penjanje	Maksimum za penjanje	ZERO	5500			
767CF6	DEFAULT	6	10	Penjanje	Maksimum za penjanje	ZERO	7500			
767CF6	DEFAULT	6	11	Penjanje	Maksimum za penjanje	ZERO	10000			
767CF6	DEFAULT	7	1	Uzlijetanje	Maksimum za uzlijetanje	15				
767CF6	DEFAULT	7	2	Penjanje	Maksimum za uzlijetanje	15	1000			
767CF6	DEFAULT	7	3	Ubrzanje	Maksimum za uzlijetanje	15		1345	169	
767CF6	DEFAULT	7	4	Ubrzanje	Maksimum za uzlijetanje	5		1345	189	
767CF6	DEFAULT	7	5	Ubrzanje	Maksimum za penjanje	1		1000	228	
767CF6	DEFAULT	7	6	Ubrzanje	Maksimum za penjanje	ZERO		1000	248	
767CF6	DEFAULT	7	7	Penjanje	Maksimum za penjanje	ZERO	3000			
767CF6	DEFAULT	7	8	Ubrzanje	Maksimum za penjanje	ZERO		1000	250	
767CF6	DEFAULT	7	9	Penjanje	Maksimum za penjanje	ZERO	5500			



ThoriumSoftware d.o.o.

Mobile: +385 (0) 95 8 70 50 70
 Kontakt: Dario Ilija Rendulić
 Email:
[info@thoriumsoftware.eu;](mailto:info@thoriumsoftware.eu)
direndulic@gmail.com

767CF6	DEFAULT	7	10	Penjanje	Maksimum za penjanje	ZERO	7500			
767CF6	DEFAULT	7	11	Penjanje	Maksimum za penjanje	ZERO	10000			
767JT9	DEFAULT	1	1	Uzlijetanje	Maksimum za uzlijetanje	15				
767JT9	DEFAULT	1	2	Penjanje	Maksimum za uzlijetanje	15	1000			
767JT9	DEFAULT	1	3	Ubrzanje	Maksimum za uzlijetanje	15		1879	145	
767JT9	DEFAULT	1	4	Ubrzanje	Maksimum za uzlijetanje	5		1879	165	
767JT9	DEFAULT	1	5	Ubrzanje	Maksimum za penjanje	1	1000	204		
767JT9	DEFAULT	1	6	Ubrzanje	Maksimum za penjanje	ZERO	1000	224		
767JT9	DEFAULT	1	7	Penjanje	Maksimum za penjanje	ZERO	3000			
767JT9	DEFAULT	1	8	Ubrzanje	Maksimum za penjanje	ZERO		1000	250	
767JT9	DEFAULT	1	9	Penjanje	Maksimum za penjanje	ZERO	5500			
767JT9	DEFAULT	1	10	Penjanje	Maksimum za penjanje	ZERO	7500			
767JT9	DEFAULT	1	11	Penjanje	Maksimum za penjanje	ZERO	10000			
767JT9	DEFAULT	2	1	Uzlijetanje	Maksimum za uzlijetanje	15				
767JT9	DEFAULT	2	2	Penjanje	Maksimum za uzlijetanje	15	1000			
767JT9	DEFAULT	2	3	Ubrzanje	Maksimum za uzlijetanje	15		1807	148	
767JT9	DEFAULT	2	4	Ubrzanje	Maksimum za uzlijetanje	5		1807	168	
767JT9	DEFAULT	2	5	Ubrzanje	Maksimum za penjanje	1	1000	207		
767JT9	DEFAULT	2	6	Ubrzanje	Maksimum za penjanje	ZERO	1000	227		
767JT9	DEFAULT	2	7	Penjanje	Maksimum za penjanje	ZERO	3000			



ThoriumSoftware d.o.o.

Mobile: +385 (0) 95 8 70 50 70
 Kontakt: Dario Ilija Rendulić
 Email:
[info@thoriumsoftware.eu;](mailto:info@thoriumsoftware.eu)
direndulic@gmail.com

767JT9	DEFAULT	2	8	Ubrzanje	Maksimum za penjanje	ZERO		1000	250	
767JT9	DEFAULT	2	9	Penjanje	Maksimum za penjanje	ZERO	5500			
767JT9	DEFAULT	2	10	Penjanje	Maksimum za penjanje	ZERO	7500			
767JT9	DEFAULT	2	11	Penjanje	Maksimum za penjanje	ZERO	10000			
767JT9	DEFAULT	3	1	Uzlijetanje	Maksimum za uzlijetanje	15				
767JT9	DEFAULT	3	2	Penjanje	Maksimum za uzlijetanje	15	1000			
767JT9	DEFAULT	3	3	Ubrzanje	Maksimum za uzlijetanje	15		1738	150	
767JT9	DEFAULT	3	4	Ubrzanje	Maksimum za uzlijetanje	5		1738	170	
767JT9	DEFAULT	3	5	Ubrzanje	Maksimum za penjanje	1		1000	210	
767JT9	DEFAULT	3	6	Ubrzanje	Maksimum za penjanje	ZERO		1000	230	
767JT9	DEFAULT	3	7	Penjanje	Maksimum za penjanje	ZERO	3000			
767JT9	DEFAULT	3	8	Ubrzanje	Maksimum za penjanje	ZERO		1000	250	
767JT9	DEFAULT	3	9	Penjanje	Maksimum za penjanje	ZERO	5500			
767JT9	DEFAULT	3	10	Penjanje	Maksimum za penjanje	ZERO	7500			
767JT9	DEFAULT	3	11	Penjanje	Maksimum za penjanje	ZERO	10000			
767JT9	DEFAULT	4	1	Uzlijetanje	Maksimum za uzlijetanje	15				
767JT9	DEFAULT	4	2	Penjanje	Maksimum za uzlijetanje	15	1000			
767JT9	DEFAULT	4	3	Ubrzanje	Maksimum za uzlijetanje	15		1626	155	
767JT9	DEFAULT	4	4	Ubrzanje	Maksimum za uzlijetanje	5		1626	175	
767JT9	DEFAULT	4	5	Ubrzanje	Maksimum za penjanje	1		1000	214	



ThoriumSoftware d.o.o.

Mobile: +385 (0) 95 8 70 50 70
 Kontakt: Dario Ilija Rendulić
 Email:
[info@thoriumsoftware.eu;](mailto:info@thoriumsoftware.eu)
direndulic@gmail.com

767JT9	DEFAULT	4	6	Ubrzanje	Maksimum za penjanje	ZERO		1000	234	
767JT9	DEFAULT	4	7	Penjanje	Maksimum za penjanje	ZERO	3000			
767JT9	DEFAULT	4	8	Ubrzanje	Maksimum za penjanje	ZERO		1000	250	
767JT9	DEFAULT	4	9	Penjanje	Maksimum za penjanje	ZERO	5500			
767JT9	DEFAULT	4	10	Penjanje	Maksimum za penjanje	ZERO	7500			
767JT9	DEFAULT	4	11	Penjanje	Maksimum za penjanje	ZERO	10000			
767JT9	DEFAULT	5	1	Uzljetanje	Maksimum za uzljetanje	15				
767JT9	DEFAULT	5	2	Penjanje	Maksimum za uzljetanje	15	1000			
767JT9	DEFAULT	5	3	Ubrzanje	Maksimum za uzljetanje	15		1499	161	
767JT9	DEFAULT	5	4	Ubrzanje	Maksimum za uzljetanje	5		1499	181	
767JT9	DEFAULT	5	5	Ubrzanje	Maksimum za penjanje	1		1000	220	
767JT9	DEFAULT	5	6	Ubrzanje	Maksimum za penjanje	ZERO		1000	240	
767JT9	DEFAULT	5	7	Penjanje	Maksimum za penjanje	ZERO	3000			
767JT9	DEFAULT	5	8	Ubrzanje	Maksimum za penjanje	ZERO		1000	250	
767JT9	DEFAULT	5	9	Penjanje	Maksimum za penjanje	ZERO	5500			
767JT9	DEFAULT	5	10	Penjanje	Maksimum za penjanje	ZERO	7500			
767JT9	DEFAULT	5	11	Penjanje	Maksimum za penjanje	ZERO	10000			
767JT9	DEFAULT	6	1	Uzljetanje	Maksimum za uzljetanje	15				
767JT9	DEFAULT	6	2	Penjanje	Maksimum za uzljetanje	15	1000			
767JT9	DEFAULT	6	3	Ubrzanje	Maksimum za uzljetanje	15		1379	167	



ThoriumSoftware d.o.o.

Mobile: +385 (0) 95 8 70 50 70
 Kontakt: Dario Ilija Rendulić
 Email:
[info@thoriumsoftware.eu;](mailto:info@thoriumsoftware.eu)
direndulic@gmail.com

767JT9	DEFAULT	6	4	Ubrzanje	Maksimum za uzljetanje	5		1379	187	
767JT9	DEFAULT	6	5	Ubrzanje	Maksimum za penjanje	1		1000	226	
767JT9	DEFAULT	6	6	Ubrzanje	Maksimum za penjanje	ZERO		1000	246	
767JT9	DEFAULT	6	7	Penjanje	Maksimum za penjanje	ZERO	3000			
767JT9	DEFAULT	6	8	Ubrzanje	Maksimum za penjanje	ZERO		1000	250	
767JT9	DEFAULT	6	9	Penjanje	Maksimum za penjanje	ZERO	5500			
767JT9	DEFAULT	6	10	Penjanje	Maksimum za penjanje	ZERO	7500			
767JT9	DEFAULT	6	11	Penjanje	Maksimum za penjanje	ZERO	10000			
767JT9	DEFAULT	7	1	Uzljetanje	Maksimum za uzljetanje	15				
767JT9	DEFAULT	7	2	Penjanje	Maksimum za uzljetanje	15	1000			
767JT9	DEFAULT	7	3	Ubrzanje	Maksimum za uzljetanje	15		1328	170	
767JT9	DEFAULT	7	4	Ubrzanje	Maksimum za uzljetanje	5		1328	190	
767JT9	DEFAULT	7	5	Ubrzanje	Maksimum za penjanje	1		1000	228	
767JT9	DEFAULT	7	6	Ubrzanje	Maksimum za penjanje	ZERO		1000	248	
767JT9	DEFAULT	7	7	Penjanje	Maksimum za penjanje	ZERO	3000			
767JT9	DEFAULT	7	8	Ubrzanje	Maksimum za penjanje	ZERO		1000	250	
767JT9	DEFAULT	7	9	Penjanje	Maksimum za penjanje	ZERO	5500			
767JT9	DEFAULT	7	10	Penjanje	Maksimum za penjanje	ZERO	7500			
767JT9	DEFAULT	7	11	Penjanje	Maksimum za penjanje	ZERO	10000			
777200	DEFAULT	1	1	Uzljetanje	Maksimum za uzljetanje	T_05				



ThoriumSoftware d.o.o.

Mobile: +385 (0) 95 8 70 50 70
 Kontakt: Dario Ilija Rendulić
 Email:
[info@thoriumsoftware.eu;](mailto:info@thoriumsoftware.eu)
direndulic@gmail.com

777200	DEFAULT	1	2	Penjanje	Maksimum za uzljetanje	T_05C	1089			
777200	DEFAULT	1	3	Ubrzanje	Maksimum za penjanje	T_01		1583,4	205,9	
777200	DEFAULT	1	4	Ubrzanje	Maksimum za penjanje	T_00		1744,7	213,7	
777200	DEFAULT	1	5	Penjanje	Maksimum za penjanje	T_00	3000			
777200	DEFAULT	1	6	Ubrzanje	Maksimum za penjanje	T_00		1856,6	250	
777200	DEFAULT	1	7	Penjanje	Maksimum za penjanje	T_00	5500			
777200	DEFAULT	1	8	Penjanje	Maksimum za penjanje	T_00	7500			
777200	DEFAULT	1	9	Penjanje	Maksimum za penjanje	T_00	10000			
777200	DEFAULT	2	1	Uzljetanje	Maksimum za uzljetanje	T_05				
777200	DEFAULT	2	2	Penjanje	Maksimum za uzljetanje	T_05C	1057			
777200	DEFAULT	2	3	Ubrzanje	Maksimum za penjanje	T_01		1526,8	206,6	
777200	DEFAULT	2	4	Ubrzanje	Maksimum za penjanje	T_00		1681	215,6	
777200	DEFAULT	2	5	Penjanje	Maksimum za penjanje	T_00	3000			
777200	DEFAULT	2	6	Ubrzanje	Maksimum za penjanje	T_00		1791,2	250	
777200	DEFAULT	2	7	Penjanje	Maksimum za penjanje	T_00	5500			
777200	DEFAULT	2	8	Penjanje	Maksimum za penjanje	T_00	7500			
777200	DEFAULT	2	9	Penjanje	Maksimum za penjanje	T_00	10000			
777200	DEFAULT	3	1	Uzljetanje	Maksimum za uzljetanje	T_05				
777200	DEFAULT	3	2	Penjanje	Maksimum za uzljetanje	T_05C	1022			
777200	DEFAULT	3	3	Ubrzanje	Maksimum za penjanje	T_01		1468,5	207,3	



ThoriumSoftware d.o.o.

Mobile: +385 (0) 95 8 70 50 70
 Kontakt: Dario Ilija Rendulić
 Email:
[info@thoriumsoftware.eu;](mailto:info@thoriumsoftware.eu)
direndulic@gmail.com

777200	DEFAULT	3	4	Ubrzanje	Maksimum za penjanje	T_00		1618,3	217,7	
777200	DEFAULT	3	5	Penjanje	Maksimum za penjanje	T_00	3000			
777200	DEFAULT	3	6	Ubrzanje	Maksimum za penjanje	T_00		1725,7	250	
777200	DEFAULT	3	7	Penjanje	Maksimum za penjanje	T_00	5500			
777200	DEFAULT	3	8	Penjanje	Maksimum za penjanje	T_00	7500			
777200	DEFAULT	3	9	Penjanje	Maksimum za penjanje	T_00	10000			
777200	DEFAULT	4	1	Uzljetanje	Maksimum za uzljetanje	T_05				
777200	DEFAULT	4	2	Penjanje	Maksimum za uzljetanje	T_05C	1000			
777200	DEFAULT	4	3	Ubrzanje	Maksimum za penjanje	T_01		1363,3	208,9	
777200	DEFAULT	4	4	Ubrzanje	Maksimum za penjanje	T_00		1510,5	221,7	
777200	DEFAULT	4	5	Penjanje	Maksimum za penjanje	T_00	3000			
777200	DEFAULT	4	6	Ubrzanje	Maksimum za penjanje	T_00		1601,3	250	
777200	DEFAULT	4	7	Penjanje	Maksimum za penjanje	T_00	5500			
777200	DEFAULT	4	8	Penjanje	Maksimum za penjanje	T_00	7500			
777200	DEFAULT	4	9	Penjanje	Maksimum za penjanje	T_00	10000			
777200	DEFAULT	5	1	Uzljetanje	Maksimum za uzljetanje	T_05				
777200	DEFAULT	5	2	Penjanje	Maksimum za uzljetanje	T_05C	1000			
777200	DEFAULT	5	3	Ubrzanje	Maksimum za penjanje	T_01		1247,5	211	
777200	DEFAULT	5	4	Ubrzanje	Maksimum za penjanje	T_00		1389,1	225,5	
777200	DEFAULT	5	5	Penjanje	Maksimum za penjanje	T_00	3000			



ThoriumSoftware d.o.o.

Mobile: +385 (0) 95 8 70 50 70
 Kontakt: Dario Ilija Rendulić
 Email:
[info@thoriumsoftware.eu;](mailto:info@thoriumsoftware.eu)
direndulic@gmail.com

777200	DEFAULT	5	6	Ubrzanje	Maksimum za penjanje	T_00		1467,1	250	
777200	DEFAULT	5	7	Penjanje	Maksimum za penjanje	T_00	5500			
777200	DEFAULT	5	8	Penjanje	Maksimum za penjanje	T_00	7500			
777200	DEFAULT	5	9	Penjanje	Maksimum za penjanje	T_00	10000			
777200	DEFAULT	6	1	Uzlijetanje	Maksimum za uzlijetanje	T_05				
777200	DEFAULT	6	2	Penjanje	Maksimum za uzlijetanje	T_05C	1000			
777200	DEFAULT	6	3	Ubrzanje	Maksimum za penjanje	T_01		1136,7	213,4	
777200	DEFAULT	6	4	Ubrzanje	Maksimum za penjanje	T_00		1275	231,5	
777200	DEFAULT	6	5	Penjanje	Maksimum za penjanje	T_00	3000			
777200	DEFAULT	6	6	Ubrzanje	Maksimum za penjanje	T_00		1337,6	250	
777200	DEFAULT	6	7	Penjanje	Maksimum za penjanje	T_00	5500			
777200	DEFAULT	6	8	Penjanje	Maksimum za penjanje	T_00	7500			
777200	DEFAULT	6	9	Penjanje	Maksimum za penjanje	T_00	10000			
777200	DEFAULT	7	1	Uzlijetanje	Maksimum za uzlijetanje	T_05				
777200	DEFAULT	7	2	Penjanje	Maksimum za uzlijetanje	T_05C	1000			
777200	DEFAULT	7	3	Ubrzanje	Maksimum za penjanje	T_01		1032,4	216,2	
777200	DEFAULT	7	4	Ubrzanje	Maksimum za penjanje	T_00		1147	228,5	
777200	DEFAULT	7	5	Ubrzanje	Maksimum za penjanje	T_00		1189,4	236,6	
777200	DEFAULT	7	6	Penjanje	Maksimum za penjanje	T_00	3000			
777200	DEFAULT	7	7	Ubrzanje	Maksimum za penjanje	T_00		1215,6	250	



ThoriumSoftware d.o.o.

Mobile: +385 (0) 95 8 70 50 70
 Kontakt: Dario Ilija Rendulić
 Email:
[info@thoriumsoftware.eu;](mailto:info@thoriumsoftware.eu)
direndulic@gmail.com

777200	DEFAULT	7	8	Penjanje	Maksimum za penjanje	T_00	5500			
777200	DEFAULT	7	9	Penjanje	Maksimum za penjanje	T_00	7500			
777200	DEFAULT	7	10	Penjanje	Maksimum za penjanje	T_00	10000			
777200	DEFAULT	8	1	Uzlijetanje	Maksimum za uzlijetanje	T_05				
777200	DEFAULT	8	2	Penjanje	Maksimum za uzlijetanje	T_05C	1000			
777200	DEFAULT	8	3	Ubrzanje	Maksimum za penjanje	T_01		931,9	219,4	
777200	DEFAULT	8	4	Ubrzanje	Maksimum za penjanje	T_00H		1033,1	232,5	
777200	DEFAULT	8	5	Ubrzanje	Maksimum za penjanje	T_00H		1088,7	242	
777200	DEFAULT	8	6	Penjanje	Maksimum za penjanje	T_00H	3000			
777200	DEFAULT	8	7	Ubrzanje	Maksimum za penjanje	T_00H		1101,5	250	
777200	DEFAULT	8	8	Penjanje	Maksimum za penjanje	T_00H	5500			
777200	DEFAULT	8	9	Penjanje	Maksimum za penjanje	T_00H	7500			
777200	DEFAULT	8	10	Penjanje	Maksimum za penjanje	T_00H	10000			
777200	DEFAULT	9	1	Uzlijetanje	Maksimum za uzlijetanje	T_05				
777200	DEFAULT	9	2	Penjanje	Maksimum za uzlijetanje	T_05C	1000			
777200	DEFAULT	9	3	Ubrzanje	Maksimum za penjanje	T_01		874,9	221,7	
777200	DEFAULT	9	4	Ubrzanje	Maksimum za penjanje	T_00H		969,4	235,4	
777200	DEFAULT	9	5	Ubrzanje	Maksimum za penjanje	T_00H		1020,2	245,6	
777200	DEFAULT	9	6	Penjanje	Maksimum za penjanje	T_00H	3000			
777200	DEFAULT	9	7	Ubrzanje	Maksimum za penjanje	T_00H		1031,1	250	



ThoriumSoftware d.o.o.

Mobile: +385 (0) 95 8 70 50 70
 Kontakt: Dario Ilija Rendulić
 Email:
[info@thoriumsoftware.eu;](mailto:info@thoriumsoftware.eu)
direndulic@gmail.com

777200	DEFAULT	9	8	Penjanje	Maksimum za penjanje	T_00H	5500			
777200	DEFAULT	9	9	Penjanje	Maksimum za penjanje	T_00H	7500			
777200	DEFAULT	9	10	Penjanje	Maksimum za penjanje	T_00H	10000			
777200	ICAO_A	1	1	Uzljetanje	Maksimum za uzljetanje	T_05				
777200	ICAO_A	1	2	Penjanje	Maksimum za uzljetanje	T_05C	1500			
777200	ICAO_A	1	3	Penjanje	Maksimum za penjanje	T_01	3000			
777200	ICAO_A	1	4	Ubrzanje	Maksimum za penjanje	T_05A		1504	203,3	
777200	ICAO_A	1	5	Ubrzanje	Maksimum za penjanje	T_01		1700	213,4	
777200	ICAO_A	1	6	Ubrzanje	Maksimum za penjanje	T_00		1856,1	250	
777200	ICAO_A	1	7	Penjanje	Maksimum za penjanje	T_00	5500			
777200	ICAO_A	1	8	Penjanje	Maksimum za penjanje	T_00	7500			
777200	ICAO_A	1	9	Penjanje	Maksimum za penjanje	T_00	10000			
777200	ICAO_A	2	1	Uzljetanje	Maksimum za uzljetanje	T_05				
777200	ICAO_A	2	2	Penjanje	Maksimum za uzljetanje	T_05C	1500			
777200	ICAO_A	2	3	Penjanje	Maksimum za penjanje	T_01	3000			
777200	ICAO_A	2	4	Ubrzanje	Maksimum za penjanje	T_05A		1451,9	204	
777200	ICAO_A	2	5	Ubrzanje	Maksimum za penjanje	T_01		1633,4	215,4	
777200	ICAO_A	2	6	Ubrzanje	Maksimum za penjanje	T_00		1789,9	250	
777200	ICAO_A	2	7	Penjanje	Maksimum za penjanje	T_00	5500			
777200	ICAO_A	2	8	Penjanje	Maksimum za penjanje	T_00	7500			



ThoriumSoftware d.o.o.

Mobile: +385 (0) 95 8 70 50 70
 Kontakt: Dario Ilija Rendulić
 Email:
[info@thoriumsoftware.eu;](mailto:info@thoriumsoftware.eu)
direndulic@gmail.com

777200	ICAO_A	2	9	Penjanje	Maksimum za penjanje	T_00	10000			
777200	ICAO_A	3	1	Uzlijetanje	Maksimum za uzlijetanje	T_05				
777200	ICAO_A	3	2	Penjanje	Maksimum za uzlijetanje	T_05C	1500			
777200	ICAO_A	3	3	Penjanje	Maksimum za penjanje	T_01	3000			
777200	ICAO_A	3	4	Ubrzanje	Maksimum za penjanje	T_05A		1395,1	204,9	
777200	ICAO_A	3	5	Ubrzanje	Maksimum za penjanje	T_01		1575	217,3	
777200	ICAO_A	3	6	Ubrzanje	Maksimum za penjanje	T_00		1719,4	250	
777200	ICAO_A	3	7	Penjanje	Maksimum za penjanje	T_00	5500			
777200	ICAO_A	3	8	Penjanje	Maksimum za penjanje	T_00	7500			
777200	ICAO_A	3	9	Penjanje	Maksimum za penjanje	T_00	10000			
777200	ICAO_A	4	1	Uzlijetanje	Maksimum za uzlijetanje	T_05				
777200	ICAO_A	4	2	Penjanje	Maksimum za uzlijetanje	T_05C	1500			
777200	ICAO_A	4	3	Penjanje	Maksimum za penjanje	T_01	3000			
777200	ICAO_A	4	4	Ubrzanje	Maksimum za penjanje	T_05A		1295,2	206,6	
777200	ICAO_A	4	5	Ubrzanje	Maksimum za penjanje	T_01		1477,7	221,3	
777200	ICAO_A	4	6	Ubrzanje	Maksimum za penjanje	T_00		1592,4	250	
777200	ICAO_A	4	7	Penjanje	Maksimum za penjanje	T_00	5500			
777200	ICAO_A	4	8	Penjanje	Maksimum za penjanje	T_00	7500			
777200	ICAO_A	4	9	Penjanje	Maksimum za penjanje	T_00	10000			
777200	ICAO_A	5	1	Uzlijetanje	Maksimum za uzlijetanje	T_05				



ThoriumSoftware d.o.o.

Mobile: +385 (0) 95 8 70 50 70
 Kontakt: Dario Ilija Rendulić
 Email:
[info@thoriumsoftware.eu;](mailto:info@thoriumsoftware.eu)
direndulic@gmail.com

777200	ICAO_A	5	2	Penjanje	Maksimum za uzljetanje	T_05C	1500			
777200	ICAO_A	5	3	Penjanje	Maksimum za penjanje	T_01	3000			
777200	ICAO_A	5	4	Ubrzanje	Maksimum za penjanje	T_05A		1182,6	208,8	
777200	ICAO_A	5	5	Ubrzanje	Maksimum za penjanje	T_01		1346,3	222,1	
777200	ICAO_A	5	6	Ubrzanje	Maksimum za penjanje	T_00		1451,1	250	
777200	ICAO_A	5	7	Penjanje	Maksimum za penjanje	T_00	5500			
777200	ICAO_A	5	8	Penjanje	Maksimum za penjanje	T_00	7500			
777200	ICAO_A	5	9	Penjanje	Maksimum za penjanje	T_00	10000			
777200	ICAO_A	6	1	Uzljetanje	Maksimum za uzljetanje	T_05				
777200	ICAO_A	6	2	Penjanje	Maksimum za uzljetanje	T_05C	1500			
777200	ICAO_A	6	3	Penjanje	Maksimum za penjanje	T_01	3000			
777200	ICAO_A	6	4	Ubrzanje	Maksimum za penjanje	T_05		1075,6	211,4	
777200	ICAO_A	6	5	Ubrzanje	Maksimum za penjanje	T_01		1217,4	223,4	
777200	ICAO_A	6	6	Ubrzanje	Maksimum za penjanje	T_00		1316,4	250	
777200	ICAO_A	6	7	Penjanje	Maksimum za penjanje	T_00	5500			
777200	ICAO_A	6	8	Penjanje	Maksimum za penjanje	T_00	7500			
777200	ICAO_A	6	9	Penjanje	Maksimum za penjanje	T_00	10000			
777200	ICAO_A	7	1	Uzljetanje	Maksimum za uzljetanje	T_05				
777200	ICAO_A	7	2	Penjanje	Maksimum za uzljetanje	T_05C	1500			
777200	ICAO_A	7	3	Penjanje	Maksimum za penjanje	T_01	3000			



ThoriumSoftware d.o.o.

Mobile: +385 (0) 95 8 70 50 70
 Kontakt: Dario Ilija Rendulić
 Email:
[info@thoriumsoftware.eu;](mailto:info@thoriumsoftware.eu)
direndulic@gmail.com

777200	ICAO_A	7	4	Ubrzanje	Maksimum za penjanje	T_05		973,3	214,3	
777200	ICAO_A	7	5	Ubrzanje	Maksimum za penjanje	T_01		1104,3	227,2	
777200	ICAO_A	7	6	Ubrzanje	Maksimum za penjanje	T_00		1188,2	250	
777200	ICAO_A	7	7	Penjanje	Maksimum za penjanje	T_00	5500			
777200	ICAO_A	7	8	Penjanje	Maksimum za penjanje	T_00	7500			
777200	ICAO_A	7	9	Penjanje	Maksimum za penjanje	T_00	10000			
777200	ICAO_A	8	1	Uzljetanje	Maksimum za uzljetanje	T_05				
777200	ICAO_A	8	2	Penjanje	Maksimum za uzljetanje	T_05CH	1500			
777200	ICAO_A	8	3	Penjanje	Maksimum za penjanje	T_01	3000			
777200	ICAO_A	8	4	Ubrzanje	Maksimum za penjanje	T_05		877,9	217,6	
777200	ICAO_A	8	5	Ubrzanje	Maksimum za penjanje	T_01		997,4	231,4	
777200	ICAO_A	8	6	Ubrzanje	Maksimum za penjanje	T_00H		1071,6	250	
777200	ICAO_A	8	7	Penjanje	Maksimum za penjanje	T_00H	5500			
777200	ICAO_A	8	8	Penjanje	Maksimum za penjanje	T_00H	7500			
777200	ICAO_A	8	9	Penjanje	Maksimum za penjanje	T_00H	10000			
777200	ICAO_A	9	1	Uzljetanje	Maksimum za uzljetanje	T_05				
777200	ICAO_A	9	2	Penjanje	Maksimum za uzljetanje	T_05CH	1500			
777200	ICAO_A	9	3	Penjanje	Maksimum za penjanje	T_05	3000			
777200	ICAO_A	9	4	Ubrzanje	Maksimum za penjanje	T_05		820,9	220	
777200	ICAO_A	9	5	Ubrzanje	Maksimum za penjanje	T_01		930,3	234,3	



ThoriumSoftware d.o.o.

Mobile: +385 (0) 95 8 70 50 70
 Kontakt: Dario Ilija Rendulić
 Email:
[info@thoriumsoftware.eu;](mailto:info@thoriumsoftware.eu)
direndulic@gmail.com

777200	ICAO_A	9	6	Ubrzanje	Maksimum za penjanje	T_00H		1000	250	
777200	ICAO_A	9	7	Penjanje	Maksimum za penjanje	T_00H	5500			
777200	ICAO_A	9	8	Penjanje	Maksimum za penjanje	T_00	7500			
777200	ICAO_A	9	9	Penjanje	Maksimum za penjanje	T_00	10000			
777200	ICAO_B	1	1	Uzljetanje	Maksimum za uzljetanje	T_05				
777200	ICAO_B	1	2	Penjanje	Maksimum za uzljetanje	T_05C	1089			
777200	ICAO_B	1	3	Ubrzanje	Maksimum za uzljetanje	T_05A		2183,5	193,8	
777200	ICAO_B	1	4	Ubrzanje	Maksimum za uzljetanje	T_01		1783,1	213,6	
777200	ICAO_B	1	5	Penjanje	Maksimum za penjanje	T_00	3000			
777200	ICAO_B	1	6	Ubrzanje	Maksimum za penjanje	T_00		1857,4	250	
777200	ICAO_B	1	7	Penjanje	Maksimum za penjanje	T_00	5500			
777200	ICAO_B	1	8	Penjanje	Maksimum za penjanje	T_00	7500			
777200	ICAO_B	1	9	Penjanje	Maksimum za penjanje	T_00	10000			
777200	ICAO_B	2	1	Uzljetanje	Maksimum za uzljetanje	T_05				
777200	ICAO_B	2	2	Penjanje	Maksimum za uzljetanje	T_05C	1057			
777200	ICAO_B	2	3	Ubrzanje	Maksimum za uzljetanje	T_05A		2121,3	195,8	
777200	ICAO_B	2	4	Ubrzanje	Maksimum za uzljetanje	T_01		1722,3	215,5	
777200	ICAO_B	2	5	Penjanje	Maksimum za penjanje	T_00	3000			
777200	ICAO_B	2	6	Ubrzanje	Maksimum za penjanje	T_00		1789,8	250	
777200	ICAO_B	2	7	Penjanje	Maksimum za penjanje	T_00	5500			



ThoriumSoftware d.o.o.

Mobile: +385 (0) 95 8 70 50 70
 Kontakt: Dario Ilija Rendulić
 Email:
[info@thoriumsoftware.eu;](mailto:info@thoriumsoftware.eu)
direndulic@gmail.com

777200	ICAO_B	2	8	Penjanje	Maksimum za penjanje	T_00	7500			
777200	ICAO_B	2	9	Penjanje	Maksimum za penjanje	T_00	10000			
777200	ICAO_B	3	1	Uzlijetanje	Maksimum za uzlijetanje	T_05				
777200	ICAO_B	3	2	Penjanje	Maksimum za uzlijetanje	T_05C	1022			
777200	ICAO_B	3	3	Ubrzanje	Maksimum za uzlijetanje	T_05A		2059,4	197,9	
777200	ICAO_B	3	4	Ubrzanje	Maksimum za uzlijetanje	T_01		1664,2	217,6	
777200	ICAO_B	3	5	Penjanje	Maksimum za penjanje	T_00	3000			
777200	ICAO_B	3	6	Ubrzanje	Maksimum za penjanje	T_00		1723	250	
777200	ICAO_B	3	7	Penjanje	Maksimum za penjanje	T_00	5500			
777200	ICAO_B	3	8	Penjanje	Maksimum za penjanje	T_00	7500			
777200	ICAO_B	3	9	Penjanje	Maksimum za penjanje	T_00	10000			
777200	ICAO_B	4	1	Uzlijetanje	Maksimum za uzlijetanje	T_05				
777200	ICAO_B	4	2	Penjanje	Maksimum za uzlijetanje	T_05C	1000			
777200	ICAO_B	4	3	Ubrzanje	Maksimum za uzlijetanje	T_05A		1940,1	201,8	
777200	ICAO_B	4	4	Ubrzanje	Maksimum za uzlijetanje	T_01		1555,7	221,6	
777200	ICAO_B	4	5	Penjanje	Maksimum za penjanje	T_00	3000			
777200	ICAO_B	4	6	Ubrzanje	Maksimum za penjanje	T_00		1602,1	250	
777200	ICAO_B	4	7	Penjanje	Maksimum za penjanje	T_00	5500			
777200	ICAO_B	4	8	Penjanje	Maksimum za penjanje	T_00	7500			
777200	ICAO_B	4	9	Penjanje	Maksimum za penjanje	T_00	10000			



ThoriumSoftware d.o.o.

Mobile: +385 (0) 95 8 70 50 70
 Kontakt: Dario Ilija Rendulić
 Email:
[info@thoriumsoftware.eu;](mailto:info@thoriumsoftware.eu)
direndulic@gmail.com

777200	ICAO_B	5	1	Uzlijetanje	Maksimum za uzlijetanje	T_05				
777200	ICAO_B	5	2	Penjanje	Maksimum za uzlijetanje	T_05C	1000			
777200	ICAO_B	5	3	Ubrzanje	Maksimum za uzlijetanje	T_05A		1809,2	206,7	
777200	ICAO_B	5	4	Ubrzanje	Maksimum za uzlijetanje	T_01		1431,6	226,5	
777200	ICAO_B	5	5	Penjanje	Maksimum za penjanje	T_00	3000			
777200	ICAO_B	5	6	Ubrzanje	Maksimum za penjanje	T_00		1466,4	250	
777200	ICAO_B	5	7	Penjanje	Maksimum za penjanje	T_00	5500			
777200	ICAO_B	5	8	Penjanje	Maksimum za penjanje	T_00	7500			
777200	ICAO_B	5	9	Penjanje	Maksimum za penjanje	T_00	10000			
777200	ICAO_B	6	1	Uzlijetanje	Maksimum za uzlijetanje	T_05				
777200	ICAO_B	6	2	Penjanje	Maksimum za uzlijetanje	T_05C	1000			
777200	ICAO_B	6	3	Ubrzanje	Maksimum za uzlijetanje	T_05A		1683,9	211,6	
777200	ICAO_B	6	4	Ubrzanje	Maksimum za uzlijetanje	T_01		1315,7	231,4	
777200	ICAO_B	6	5	Penjanje	Maksimum za penjanje	T_00	3000			
777200	ICAO_B	6	6	Ubrzanje	Maksimum za penjanje	T_00		1337,6	250	
777200	ICAO_B	6	7	Penjanje	Maksimum za penjanje	T_00	5500			
777200	ICAO_B	6	8	Penjanje	Maksimum za penjanje	T_00	7500			
777200	ICAO_B	6	9	Penjanje	Maksimum za penjanje	T_00	10000			
777200	ICAO_B	7	1	Uzlijetanje	Maksimum za uzlijetanje	T_05				
777200	ICAO_B	7	2	Penjanje	Maksimum za uzlijetanje	T_05C	1000			



ThoriumSoftware d.o.o.

Mobile: +385 (0) 95 8 70 50 70
 Kontakt: Dario Ilija Rendulić
 Email:
[info@thoriumsoftware.eu;](mailto:info@thoriumsoftware.eu)
direndulic@gmail.com

777200	ICAO_B	7	3	Ubrzanje	Maksimum za uzljetanje	T_05A		1562,2	216,6	
777200	ICAO_B	7	4	Ubrzanje	Maksimum za uzljetanje	T_01		1197,4	236,5	
777200	ICAO_B	7	5	Penjanje	Maksimum za penjanje	T_00	3000			
777200	ICAO_B	7	6	Ubrzanje	Maksimum za penjanje	T_00		1214,8	250	
777200	ICAO_B	7	7	Penjanje	Maksimum za penjanje	T_00	5500			
777200	ICAO_B	7	8	Penjanje	Maksimum za penjanje	T_00	7500			
777200	ICAO_B	7	9	Penjanje	Maksimum za penjanje	T_00	10000			
777200	ICAO_B	8	1	Uzljetanje	Maksimum za uzljetanje	T_05				
777200	ICAO_B	8	2	Penjanje	Maksimum za uzljetanje	T_05C	1000			
777200	ICAO_B	8	3	Ubrzanje	Maksimum za uzljetanje	T_05A		1450,3	222,2	
777200	ICAO_B	8	4	Ubrzanje	Maksimum za uzljetanje	T_01		1090,6	241,9	
777200	ICAO_B	8	5	Penjanje	Maksimum za penjanje	T_00	3000			
777200	ICAO_B	8	6	Ubrzanje	Maksimum za penjanje	T_00		1101,5	250	
777200	ICAO_B	8	7	Penjanje	Maksimum za penjanje	T_00	5500			
777200	ICAO_B	8	8	Penjanje	Maksimum za penjanje	T_00	7500			
777200	ICAO_B	8	9	Penjanje	Maksimum za penjanje	T_00	10000			
777200	ICAO_B	9	1	Uzljetanje	Maksimum za uzljetanje	T_05				
777200	ICAO_B	9	2	Penjanje	Maksimum za uzljetanje	T_05C	1000			
777200	ICAO_B	9	3	Ubrzanje	Maksimum za uzljetanje	T_05A		1381,9	225,8	
777200	ICAO_B	9	4	Ubrzanje	Maksimum za uzljetanje	T_01		1025,7	245,6	



ThoriumSoftware d.o.o.

Mobile: +385 (0) 95 8 70 50 70
 Kontakt: Dario Ilija Rendulić
 Email:
[info@thoriumsoftware.eu;](mailto:info@thoriumsoftware.eu)
direndulic@gmail.com

777200	ICAO_B	9	5	Penjanje	Maksimum za penjanje	T_00	3000			
777200	ICAO_B	9	6	Ubrzanje	Maksimum za penjanje	T_00		1031,1	250	
777200	ICAO_B	9	7	Penjanje	Maksimum za penjanje	T_00	5500			
777200	ICAO_B	9	8	Penjanje	Maksimum za penjanje	T_00	7500			
777200	ICAO_B	9	9	Penjanje	Maksimum za penjanje	T_00	10000			
777300	DEFAULT	1	1	Uzljetanje	Maksimum za uzljetanje	T_20_U				
777300	DEFAULT	1	2	Penjanje	Maksimum za uzljetanje	T_20_U	1068			
777300	DEFAULT	1	3	Ubrzanje	Maksimum za penjanje	T_05_U		1471,6	215,4	
777300	DEFAULT	1	4	Penjanje	Maksimum za penjanje	T_00_U	3000			
777300	DEFAULT	1	5	Ubrzanje	Maksimum za penjanje	T_00_U		1779,1	250	
777300	DEFAULT	1	6	Penjanje	Maksimum za penjanje	T_00_U	5000			
777300	DEFAULT	1	7	Penjanje	Maksimum za penjanje	T_00_U	7500			
777300	DEFAULT	1	8	Penjanje	Maksimum za penjanje	T_00_U	10000			
777300	DEFAULT	2	1	Uzljetanje	Maksimum za uzljetanje	T_20_U				
777300	DEFAULT	2	2	Penjanje	Maksimum za uzljetanje	T_20_U	1064			
777300	DEFAULT	2	3	Ubrzanje	Maksimum za penjanje	T_05_U		1418	217,8	
777300	DEFAULT	2	4	Penjanje	Maksimum za penjanje	T_00_U	3000			
777300	DEFAULT	2	5	Ubrzanje	Maksimum za penjanje	T_00_U		1713,9	250	
777300	DEFAULT	2	6	Penjanje	Maksimum za penjanje	T_00_U	5000			
777300	DEFAULT	2	7	Penjanje	Maksimum za penjanje	T_00_U	7500			



ThoriumSoftware d.o.o.

Mobile: +385 (0) 95 8 70 50 70
 Kontakt: Dario Ilija Rendulić
 Email:
[info@thoriumsoftware.eu;](mailto:info@thoriumsoftware.eu)
direndulic@gmail.com

777300	DEFAULT	2	8	Penjanje	Maksimum za penjanje	T_00_U	10000			
777300	DEFAULT	3	1	Uzlijetanje	Maksimum za uzlijetanje	T_20_U				
777300	DEFAULT	3	2	Penjanje	Maksimum za uzlijetanje	T_20_U	1062			
777300	DEFAULT	3	3	Ubrzanje	Maksimum za penjanje	T_05_U		1368	220,3	
777300	DEFAULT	3	4	Penjanje	Maksimum za penjanje	T_00_U	3000			
777300	DEFAULT	3	5	Ubrzanje	Maksimum za penjanje	T_00_U		1638,9	250	
777300	DEFAULT	3	6	Penjanje	Maksimum za penjanje	T_00_U	5000			
777300	DEFAULT	3	7	Penjanje	Maksimum za penjanje	T_00_U	7500			
777300	DEFAULT	3	8	Penjanje	Maksimum za penjanje	T_00_U	10000			
777300	DEFAULT	4	1	Uzlijetanje	Maksimum za uzlijetanje	T_20_U				
777300	DEFAULT	4	2	Penjanje	Maksimum za uzlijetanje	T_20_U	1058			
777300	DEFAULT	4	3	Ubrzanje	Maksimum za penjanje	T_05_U		1279	224,3	
777300	DEFAULT	4	4	Penjanje	Maksimum za penjanje	T_00_U	3000			
777300	DEFAULT	4	5	Ubrzanje	Maksimum za penjanje	T_00_U		1519,4	250	
777300	DEFAULT	4	6	Penjanje	Maksimum za penjanje	T_00_U	5000			
777300	DEFAULT	4	7	Penjanje	Maksimum za penjanje	T_00_U	7500			
777300	DEFAULT	4	8	Penjanje	Maksimum za penjanje	T_00_U	10000			
777300	DEFAULT	5	1	Uzlijetanje	Maksimum za uzlijetanje	T_20_U				
777300	DEFAULT	5	2	Penjanje	Maksimum za uzlijetanje	T_20_U	1053			
777300	DEFAULT	5	3	Ubrzanje	Maksimum za penjanje	T_05_U		1179,2	229,4	



ThoriumSoftware d.o.o.

Mobile: +385 (0) 95 8 70 50 70
 Kontakt: Dario Ilija Rendulić
 Email:
[info@thoriumsoftware.eu;](mailto:info@thoriumsoftware.eu)
direndulic@gmail.com

777300	DEFAULT	5	4	Penjanje	Maksimum za penjanje	T_00_U	3000			
777300	DEFAULT	5	5	Ubrzanje	Maksimum za penjanje	T_00_U		1392,1	250	
777300	DEFAULT	5	6	Penjanje	Maksimum za penjanje	T_00_U	5000			
777300	DEFAULT	5	7	Penjanje	Maksimum za penjanje	T_00_U	7500			
777300	DEFAULT	5	8	Penjanje	Maksimum za penjanje	T_00_U	10000			
777300	DEFAULT	6	1	Uzljetanje	Maksimum za uzljetanje	T_20_U				
777300	DEFAULT	6	2	Penjanje	Maksimum za uzljetanje	T_20_U	1049			
777300	DEFAULT	6	3	Ubrzanje	Maksimum za penjanje	T_05_U		1082,8	234,4	
777300	DEFAULT	6	4	Penjanje	Maksimum za penjanje	T_00_U	3000			
777300	DEFAULT	6	5	Ubrzanje	Maksimum za penjanje	T_00_U		1260	250	
777300	DEFAULT	6	6	Penjanje	Maksimum za penjanje	T_00_U	5000			
777300	DEFAULT	6	7	Penjanje	Maksimum za penjanje	T_00_U	7500			
777300	DEFAULT	6	8	Penjanje	Maksimum za penjanje	T_00_U	10000			
777300	DEFAULT	7	1	Uzljetanje	Maksimum za uzljetanje	T_20_U				
777300	DEFAULT	7	2	Penjanje	Maksimum za uzljetanje	T_20_U	1042			
777300	DEFAULT	7	3	Ubrzanje	Maksimum za penjanje	T_05_U		911,6	243,4	
777300	DEFAULT	7	4	Penjanje	Maksimum za penjanje	T_00_U	3000			
777300	DEFAULT	7	5	Ubrzanje	Maksimum za penjanje	T_00_U		1060,3	250	
777300	DEFAULT	7	6	Penjanje	Maksimum za penjanje	T_00_U	5000			
777300	DEFAULT	7	7	Penjanje	Maksimum za penjanje	T_00_U	7500			



ThoriumSoftware d.o.o.

Mobile: +385 (0) 95 8 70 50 70
 Kontakt: Dario Ilija Rendulić
 Email:
[info@thoriumsoftware.eu;](mailto:info@thoriumsoftware.eu)
direndulic@gmail.com

777300	DEFAULT	7	8	Penjanje	Maksimum za penjanje	T_00_U	10000			
777300	ICAO_A	1	1	Uzlijetanje	Maksimum za uzlijetanje	T_20_U				
777300	ICAO_A	1	2	Penjanje	Maksimum za uzlijetanje	T_20_U	1565			
777300	ICAO_A	1	3	Penjanje	Maksimum za penjanje	T_20_U	3000			
777300	ICAO_A	1	4	Ubrzanje	Maksimum za penjanje	T_05_U		1420,7	215,2	
777300	ICAO_A	1	5	Penjanje	Maksimum za penjanje	T_00_U	4117			
777300	ICAO_A	1	6	Ubrzanje	Maksimum za penjanje	T_00_U		1762,5	250	
777300	ICAO_A	1	7	Penjanje	Maksimum za penjanje	T_00_U	5000			
777300	ICAO_A	1	8	Penjanje	Maksimum za penjanje	T_00_U	7500			
777300	ICAO_A	1	9	Penjanje	Maksimum za penjanje	T_00_U	10000			
777300	ICAO_A	2	1	Uzlijetanje	Maksimum za uzlijetanje	T_20_U				
777300	ICAO_A	2	2	Penjanje	Maksimum za uzlijetanje	T_20_U	1563			
777300	ICAO_A	2	3	Penjanje	Maksimum za penjanje	T_20_U	3000			
777300	ICAO_A	2	4	Ubrzanje	Maksimum za penjanje	T_05_U		1372,5	217,6	
777300	ICAO_A	2	5	Penjanje	Maksimum za penjanje	T_00_U	4014			
777300	ICAO_A	2	6	Ubrzanje	Maksimum za penjanje	T_00_U		1691,8	250	
777300	ICAO_A	2	7	Penjanje	Maksimum za penjanje	T_00_U	5000			
777300	ICAO_A	2	8	Penjanje	Maksimum za penjanje	T_00_U	7500			
777300	ICAO_A	2	9	Penjanje	Maksimum za penjanje	T_00_U	10000			
777300	ICAO_A	3	1	Uzlijetanje	Maksimum za uzlijetanje	T_20_U				



ThoriumSoftware d.o.o.

Mobile: +385 (0) 95 8 70 50 70
 Kontakt: Dario Ilija Rendulić
 Email:
[info@thoriumsoftware.eu;](mailto:info@thoriumsoftware.eu)
direndulic@gmail.com

777300	ICAO_A	3	2	Penjanje	Maksimum za uzljetanje	T_20_U	1561			
777300	ICAO_A	3	3	Penjanje	Maksimum za penjanje	T_20_U	3000			
777300	ICAO_A	3	4	Ubrzanje	Maksimum za penjanje	T_05_U		1320,6	220	
777300	ICAO_A	3	5	Penjanje	Maksimum za penjanje	T_00_U	4041			
777300	ICAO_A	3	6	Ubrzanje	Maksimum za penjanje	T_00_U		1616	250	
777300	ICAO_A	3	7	Penjanje	Maksimum za penjanje	T_00_U	5000			
777300	ICAO_A	3	8	Penjanje	Maksimum za penjanje	T_00_U	7500			
777300	ICAO_A	3	9	Penjanje	Maksimum za penjanje	T_00_U	10000			
777300	ICAO_A	4	1	Uzljetanje	Maksimum za uzljetanje	T_20_U				
777300	ICAO_A	4	2	Penjanje	Maksimum za uzljetanje	T_20_U	1557			
777300	ICAO_A	4	3	Penjanje	Maksimum za penjanje	T_20_U	3000			
777300	ICAO_A	4	4	Ubrzanje	Maksimum za penjanje	T_00_U		1320,5	250	
777300	ICAO_A	4	5	Penjanje	Maksimum za penjanje	T_00_U	5000			
777300	ICAO_A	4	6	Penjanje	Maksimum za penjanje	T_00_U	7500			
777300	ICAO_A	4	7	Penjanje	Maksimum za penjanje	T_00_U	10000			
777300	ICAO_A	5	1	Uzljetanje	Maksimum za uzljetanje	T_05_U				
777300	ICAO_A	5	2	Penjanje	Maksimum za uzljetanje	T_20_U	1553			
777300	ICAO_A	5	3	Penjanje	Maksimum za penjanje	T_20_U	3000			
777300	ICAO_A	5	4	Ubrzanje	Maksimum za penjanje	T_00_U		1199,1	250	
777300	ICAO_A	5	5	Penjanje	Maksimum za penjanje	T_00_U	5000			



ThoriumSoftware d.o.o.

Mobile: +385 (0) 95 8 70 50 70
 Kontakt: Dario Ilija Rendulić
 Email:
[info@thoriumsoftware.eu;](mailto:info@thoriumsoftware.eu)
direndulic@gmail.com

777300	ICAO_A	5	6	Penjanje	Maksimum za penjanje	T_00_U	7500			
777300	ICAO_A	5	7	Penjanje	Maksimum za penjanje	T_00_U	10000			
777300	ICAO_A	6	1	Uzlijetanje	Maksimum za uzlijetanje	T_20_U				
777300	ICAO_A	6	2	Penjanje	Maksimum za uzlijetanje	T_20_U	1553			
777300	ICAO_A	6	3	Penjanje	Maksimum za penjanje	T_20_U	3000			
777300	ICAO_A	6	4	Ubrzanje	Maksimum za penjanje	T_00_U		1083,7	250	
777300	ICAO_A	6	5	Penjanje	Maksimum za penjanje	T_00_U	5000			
777300	ICAO_A	6	6	Penjanje	Maksimum za penjanje	T_00_U	7500			
777300	ICAO_A	6	7	Penjanje	Maksimum za penjanje	T_00_U	10000			
777300	ICAO_A	7	1	Uzlijetanje	Maksimum za uzlijetanje	T_20_U				
777300	ICAO_A	7	2	Penjanje	Maksimum za uzlijetanje	T_20_U	1553			
777300	ICAO_A	7	3	Penjanje	Maksimum za penjanje	T_20_U	3000			
777300	ICAO_A	7	4	Ubrzanje	Maksimum za penjanje	T_00_U		889	250	
777300	ICAO_A	7	5	Penjanje	Maksimum za penjanje	T_00_U	5000			
777300	ICAO_A	7	6	Penjanje	Maksimum za penjanje	T_00_U	7500			
777300	ICAO_A	7	7	Penjanje	Maksimum za penjanje	T_00_U	10000			
777300	ICAO_B	1	1	Uzlijetanje	Maksimum za uzlijetanje	T_20_U				
777300	ICAO_B	1	2	Penjanje	Maksimum za uzlijetanje	T_20_U	1000			
777300	ICAO_B	1	3	Ubrzanje	Maksimum za uzlijetanje	T_05_U		2149,6	215,4	
777300	ICAO_B	1	4	Penjanje	Maksimum za uzlijetanje	T_00_U	3416			



ThoriumSoftware d.o.o.

Mobile: +385 (0) 95 8 70 50 70
 Kontakt: Dario Ilija Rendulić
 Email:
[info@thoriumsoftware.eu;](mailto:info@thoriumsoftware.eu)
direndulic@gmail.com

777300	ICAO_B	1	5	Ubrzanje	Maksimum za penjanje	T_00_U		1800	250	
777300	ICAO_B	1	6	Penjanje	Maksimum za penjanje	T_00_U	5000			
777300	ICAO_B	1	7	Penjanje	Maksimum za penjanje	T_00_U	7500			
777300	ICAO_B	1	8	Penjanje	Maksimum za penjanje	T_00_U	10000			
777300	ICAO_B	2	1	Uzljetanje	Maksimum za uzljetanje	T_20_U				
777300	ICAO_B	2	2	Penjanje	Maksimum za uzljetanje	T_20_U	1000			
777300	ICAO_B	2	3	Ubrzanje	Maksimum za uzljetanje	T_05_U		2086,3	217,9	
777300	ICAO_B	2	4	Penjanje	Maksimum za uzljetanje	T_00_U	3205			
777300	ICAO_B	2	5	Ubrzanje	Maksimum za penjanje	T_00_U		1772,6	250	
777300	ICAO_B	2	6	Penjanje	Maksimum za penjanje	T_00_U	5000			
777300	ICAO_B	2	7	Penjanje	Maksimum za penjanje	T_00_U	7500			
777300	ICAO_B	2	8	Penjanje	Maksimum za penjanje	T_00_U	10000			
777300	ICAO_B	3	1	Uzljetanje	Maksimum za uzljetanje	T_20_U				
777300	ICAO_B	3	2	Penjanje	Maksimum za uzljetanje	T_20_U	1000			
777300	ICAO_B	3	3	Ubrzanje	Maksimum za uzljetanje	T_05_U		2020,6	220,3	
777300	ICAO_B	3	4	Penjanje	Maksimum za uzljetanje	T_00_U	3076			
777300	ICAO_B	3	5	Ubrzanje	Maksimum za penjanje	T_00_U		1708,6	250	
777300	ICAO_B	3	6	Penjanje	Maksimum za penjanje	T_00_U	5000			
777300	ICAO_B	3	7	Penjanje	Maksimum za penjanje	T_00_U	7500			
777300	ICAO_B	3	8	Penjanje	Maksimum za penjanje	T_00_U	10000			



ThoriumSoftware d.o.o.

Mobile: +385 (0) 95 8 70 50 70
 Kontakt: Dario Ilija Rendulić
 Email:
[info@thoriumsoftware.eu;](mailto:info@thoriumsoftware.eu)
direndulic@gmail.com

777300	ICAO_B	4	1	Uzlijetanje	Maksimum za uzlijetanje	T_20_U				
777300	ICAO_B	4	2	Penjanje	Maksimum za uzlijetanje	T_20_U	1000			
777300	ICAO_B	4	3	Ubrzanje	Maksimum za uzlijetanje	T_05_U		1895,3	226,3	
777300	ICAO_B	4	4	Penjanje	Maksimum za uzlijetanje	T_00_U	2894			
777300	ICAO_B	4	5	Penjanje	Maksimum za penjanje	T_00_U	3000			
777300	ICAO_B	4	6	Ubrzanje	Maksimum za penjanje	T_00_U		1525,8	250	
777300	ICAO_B	4	7	Penjanje	Maksimum za penjanje	T_00_U	5000			
777300	ICAO_B	4	8	Penjanje	Maksimum za penjanje	T_00_U	7500			
777300	ICAO_B	4	9	Penjanje	Maksimum za penjanje	T_00_U	10000			
777300	ICAO_B	5	1	Uzlijetanje	Maksimum za uzlijetanje	T_20_U				
777300	ICAO_B	5	2	Penjanje	Maksimum za uzlijetanje	T_20_U	1000			
777300	ICAO_B	5	3	Ubrzanje	Maksimum za uzlijetanje	T_05_U		1768,6	229,4	
777300	ICAO_B	5	4	Penjanje	Maksimum za uzlijetanje	T_00_U	2679			
777300	ICAO_B	5	5	Penjanje	Maksimum za penjanje	T_00_U	3000			
777300	ICAO_B	5	6	Ubrzanje	Maksimum za penjanje	T_00_U		1387,7	250	
777300	ICAO_B	5	7	Penjanje	Maksimum za penjanje	T_00_U	5000			
777300	ICAO_B	5	8	Penjanje	Maksimum za penjanje	T_00_U	7500			
777300	ICAO_B	5	9	Penjanje	Maksimum za penjanje	T_00_U	10000			
777300	ICAO_B	6	1	Uzlijetanje	Maksimum za uzlijetanje	T_20_U				
777300	ICAO_B	6	2	Penjanje	Maksimum za uzlijetanje	T_20_U	1000			



ThoriumSoftware d.o.o.

Mobile: +385 (0) 95 8 70 50 70
 Kontakt: Dario Ilija Rendulić
 Email:
[info@thoriumsoftware.eu;](mailto:info@thoriumsoftware.eu)
direndulic@gmail.com

777300	ICAO_B	6	3	Ubrzanje	Maksimum za uzljetanje	T_05_U		1639,4	235,5	
777300	ICAO_B	6	4	Penjanje	Maksimum za uzljetanje	T_00_U	2402			
777300	ICAO_B	6	5	Penjanje	Maksimum za penjanje	T_00_U	3000			
777300	ICAO_B	6	6	Ubrzanje	Maksimum za penjanje	T_00_U		1271,6	250	
777300	ICAO_B	6	7	Penjanje	Maksimum za penjanje	T_00_U	5000			
777300	ICAO_B	6	8	Penjanje	Maksimum za penjanje	T_00_U	7500			
777300	ICAO_B	6	9	Penjanje	Maksimum za penjanje	T_00_U	10000			
777300	ICAO_B	7	1	Uzljetanje	Maksimum za uzljetanje	T_20_U				
777300	ICAO_B	7	2	Penjanje	Maksimum za uzljetanje	T_20_U	1000			
777300	ICAO_B	7	3	Ubrzanje	Maksimum za uzljetanje	T_05_U		1491	244,4	
777300	ICAO_B	7	4	Penjanje	Maksimum za uzljetanje	T_00_U	2216			
777300	ICAO_B	7	5	Penjanje	Maksimum za penjanje	T_00_U	3000			
777300	ICAO_B	7	6	Ubrzanje	Maksimum za penjanje	T_00_U		1271,6	250	
777300	ICAO_B	7	7	Penjanje	Maksimum za penjanje	T_00_U	5000			
777300	ICAO_B	7	8	Penjanje	Maksimum za penjanje	T_00_U	7500			
777300	ICAO_B	7	9	Penjanje	Maksimum za penjanje	T_00_U	10000			
7773ER	DEFAULT	1	1	Uzljetanje	Maksimum za uzljetanje	FLAP_5				
7773ER	DEFAULT	1	2	Penjanje	Maksimum za uzljetanje	FLAP_5	1434			
7773ER	DEFAULT	1	3	Ubrzanje_Post otak	Maksimum za penjanje	FLAP_5			200	55
7773ER	DEFAULT	1	4	Ubrzanje_Post otak	Maksimum za penjanje	FLAP_1			223	50



ThoriumSoftware d.o.o.

Mobile: +385 (0) 95 8 70 50 70
 Kontakt: Dario Ilija Rendulić
 Email:
[info@thoriumsoftware.eu;](mailto:info@thoriumsoftware.eu)
direndulic@gmail.com

7773ER	DEFAULT	1	5	Penjanje	Maksimum za penjanje	FLAP_0	3000			
7773ER	DEFAULT	1	6	Ubrzanje_Post otak	Maksimum za penjanje	FLAP_0			250	50
7773ER	DEFAULT	1	7	Penjanje	Maksimum za penjanje	FLAP_0	10000			
7773ER	DEFAULT	2	1	Uzljetanje	Maksimum za uzljetanje	FLAP_5				
7773ER	DEFAULT	2	2	Penjanje	Maksimum za uzljetanje	FLAP_5	1434			
7773ER	DEFAULT	2	3	Ubrzanje_Post otak	Maksimum za penjanje	FLAP_5			200	55
7773ER	DEFAULT	2	4	Ubrzanje_Post otak	Maksimum za penjanje	FLAP_1			225	50
7773ER	DEFAULT	2	5	Penjanje	Maksimum za penjanje	FLAP_0	3000			
7773ER	DEFAULT	2	6	Ubrzanje_Post otak	Maksimum za penjanje	FLAP_0			250	50
7773ER	DEFAULT	2	7	Penjanje	Maksimum za penjanje	FLAP_0	10000			
7773ER	DEFAULT	3	1	Uzljetanje	Maksimum za uzljetanje	FLAP_5				
7773ER	DEFAULT	3	2	Penjanje	Maksimum za uzljetanje	FLAP_5	1355			
7773ER	DEFAULT	3	3	Ubrzanje_Post otak	Maksimum za penjanje	FLAP_5			204	55
7773ER	DEFAULT	3	4	Ubrzanje_Post otak	Maksimum za penjanje	FLAP_1			228	50
7773ER	DEFAULT	3	5	Penjanje	Maksimum za penjanje	FLAP_0	3000			
7773ER	DEFAULT	3	6	Ubrzanje_Post otak	Maksimum za penjanje	FLAP_0			250	50
7773ER	DEFAULT	3	7	Penjanje	Maksimum za penjanje	FLAP_0	10000			
7773ER	DEFAULT	4	1	Uzljetanje	Maksimum za uzljetanje	FLAP_5				
7773ER	DEFAULT	4	2	Penjanje	Maksimum za uzljetanje	FLAP_5	1289			
7773ER	DEFAULT	4	3	Ubrzanje_Post otak	Maksimum za penjanje	FLAP_5			205	55



ThoriumSoftware d.o.o.

Mobile: +385 (0) 95 8 70 50 70
 Kontakt: Dario Ilija Rendulić
 Email:
[info@thoriumsoftware.eu;](mailto:info@thoriumsoftware.eu)
direndulic@gmail.com

7773ER	DEFAULT	4	4	Ubrzanje_Post otak	Maksimum za penjanje	FLAP_1			230	50
7773ER	DEFAULT	4	5	Penjanje	Maksimum za penjanje	FLAP_0	3000			
7773ER	DEFAULT	4	6	Ubrzanje_Post otak	Maksimum za penjanje	FLAP_0			250	50
7773ER	DEFAULT	4	7	Penjanje	Maksimum za penjanje	FLAP_0	10000			
7773ER	DEFAULT	5	1	Uzlijetanje	Maksimum za uzlijetanje	FLAP_5				
7773ER	DEFAULT	5	2	Penjanje	Maksimum za uzlijetanje	FLAP_5	1214			
7773ER	DEFAULT	5	3	Ubrzanje_Post otak	Maksimum za penjanje	FLAP_5			210	55
7773ER	DEFAULT	5	4	Ubrzanje_Post otak	Maksimum za penjanje	FLAP_1			235	50
7773ER	DEFAULT	5	5	Penjanje	Maksimum za penjanje	FLAP_0	3000			
7773ER	DEFAULT	5	6	Ubrzanje_Post otak	Maksimum za penjanje	FLAP_0			250	50
7773ER	DEFAULT	5	7	Penjanje	Maksimum za penjanje	FLAP_0	10000			
7773ER	DEFAULT	6	1	Uzlijetanje	Maksimum za uzlijetanje	FLAP_5				
7773ER	DEFAULT	6	2	Penjanje	Maksimum za uzlijetanje	FLAP_5	1142			
7773ER	DEFAULT	6	3	Ubrzanje_Post otak	Maksimum za penjanje	FLAP_5			215	55
7773ER	DEFAULT	6	4	Ubrzanje_Post otak	Maksimum za penjanje	FLAP_1			240	50
7773ER	DEFAULT	6	5	Penjanje	Maksimum za penjanje	FLAP_0	3000			
7773ER	DEFAULT	6	6	Ubrzanje_Post otak	Maksimum za penjanje	FLAP_0			250	50
7773ER	DEFAULT	6	7	Penjanje	Maksimum za penjanje	FLAP_0	10000			
7773ER	DEFAULT	7	1	Uzlijetanje	Maksimum za uzlijetanje	FLAP_5				
7773ER	DEFAULT	7	2	Penjanje	Maksimum za uzlijetanje	FLAP_5	1067			



ThoriumSoftware d.o.o.

Mobile: +385 (0) 95 8 70 50 70
 Kontakt: Dario Ilija Rendulić
 Email:
[info@thoriumsoftware.eu;](mailto:info@thoriumsoftware.eu)
direndulic@gmail.com

7773ER	DEFAULT	7	3	Ubrzanje_Post otak	Maksimum za penjanje	FLAP_5			222	55
7773ER	DEFAULT	7	4	Ubrzanje_Post otak	Maksimum za penjanje	FLAP_1			248	50
7773ER	DEFAULT	7	5	Penjanje	Maksimum za penjanje	FLAP_0	3000			
7773ER	DEFAULT	7	6	Ubrzanje_Post otak	Maksimum za penjanje	FLAP_0			250	50
7773ER	DEFAULT	7	7	Penjanje	Maksimum za penjanje	FLAP_0	10000			
7773ER	DEFAULT	8	1	Uzljetanje	Maksimum za uzljetanje	FLAP_5				
7773ER	DEFAULT	8	2	Penjanje	Maksimum za uzljetanje	FLAP_5	1000			
7773ER	DEFAULT	8	3	Ubrzanje_Post otak	Maksimum za penjanje	FLAP_5			222	55
7773ER	DEFAULT	8	4	Ubrzanje_Post otak	Maksimum za penjanje	FLAP_1			255	50
7773ER	DEFAULT	8	5	Penjanje	Maksimum za penjanje	FLAP_0	3000			
7773ER	DEFAULT	8	6	Ubrzanje_Post otak	Maksimum za penjanje	FLAP_0			256	50
7773ER	DEFAULT	8	7	Penjanje	Maksimum za penjanje	FLAP_0	10000			
7773ER	DEFAULT	9	1	Uzljetanje	Maksimum za uzljetanje	FLAP_5				
7773ER	DEFAULT	9	2	Penjanje	Maksimum za uzljetanje	FLAP_5	1000			
7773ER	DEFAULT	9	3	Ubrzanje_Post otak	Maksimum za penjanje	FLAP_5			226	55
7773ER	DEFAULT	9	4	Ubrzanje_Post otak	Maksimum za penjanje	FLAP_1			261	50
7773ER	DEFAULT	9	5	Penjanje	Maksimum za penjanje	FLAP_0	3000			
7773ER	DEFAULT	9	6	Ubrzanje_Post otak	Maksimum za penjanje	FLAP_0			261,1	50
7773ER	DEFAULT	9	7	Penjanje	Maksimum za penjanje	FLAP_0	10000			
7773ER	ICAO_A	1	1	Uzljetanje	Maksimum za uzljetanje	FLAP_5				



ThoriumSoftware d.o.o.

Mobile: +385 (0) 95 8 70 50 70
 Kontakt: Dario Ilija Rendulić
 Email:
[info@thoriumsoftware.eu;](mailto:info@thoriumsoftware.eu)
direndulic@gmail.com

7773ER	ICAO_A	1	2	Penjanje	Maksimum za uzljetanje	FLAP_5	1500			
7773ER	ICAO_A	1	3	Penjanje	Maksimum za penjanje	FLAP_5	3000			
7773ER	ICAO_A	1	4	Ubrzanje_Post otak	Maksimum za penjanje	FLAP_5			210	55
7773ER	ICAO_A	1	5	Ubrzanje_Post otak	Maksimum za penjanje	FLAP_1			220	55
7773ER	ICAO_A	1	6	Penjanje	Maksimum za penjanje	FLAP_1	4400			
7773ER	ICAO_A	1	7	Ubrzanje_Post otak	Maksimum za penjanje	FLAP_0			250	50
7773ER	ICAO_A	1	8	Penjanje	Maksimum za penjanje	FLAP_0	10000			
7773ER	ICAO_A	2	1	Uzljetanje	Maksimum za uzljetanje	FLAP_5				
7773ER	ICAO_A	2	2	Penjanje	Maksimum za uzljetanje	FLAP_5	1500			
7773ER	ICAO_A	2	3	Penjanje	Maksimum za penjanje	FLAP_5	3000			
7773ER	ICAO_A	2	4	Ubrzanje_Post otak	Maksimum za penjanje	FLAP_5			220	55
7773ER	ICAO_A	2	5	Ubrzanje_Post otak	Maksimum za penjanje	FLAP_1			230	55
7773ER	ICAO_A	2	6	Penjanje	Maksimum za penjanje	FLAP_1	4300			
7773ER	ICAO_A	2	7	Ubrzanje_Post otak	Maksimum za penjanje	FLAP_0			250	50
7773ER	ICAO_A	2	8	Penjanje	Maksimum za penjanje	FLAP_0	10000			
7773ER	ICAO_A	3	1	Uzljetanje	Maksimum za uzljetanje	FLAP_5				
7773ER	ICAO_A	3	2	Penjanje	Maksimum za uzljetanje	FLAP_5	1500			
7773ER	ICAO_A	3	3	Penjanje	Maksimum za penjanje	FLAP_5	3000			
7773ER	ICAO_A	3	4	Ubrzanje_Post otak	Maksimum za penjanje	FLAP_5			220	55
7773ER	ICAO_A	3	5	Ubrzanje_Post otak	Maksimum za penjanje	FLAP_1			230	55



ThoriumSoftware d.o.o.

Mobile: +385 (0) 95 8 70 50 70
 Kontakt: Dario Ilija Rendulić
 Email:
[info@thoriumsoftware.eu;](mailto:info@thoriumsoftware.eu)
direndulic@gmail.com

7773ER	ICAO_A	3	6	Penjanje	Maksimum za penjanje	FLAP_1	4200			
7773ER	ICAO_A	3	7	Ubrzanje_Post otak	Maksimum za penjanje	FLAP_0			250	50
7773ER	ICAO_A	3	8	Penjanje	Maksimum za penjanje	FLAP_0	10000			
7773ER	ICAO_A	4	1	Uzljetanje	Maksimum za uzljetanje	FLAP_5				
7773ER	ICAO_A	4	2	Penjanje	Maksimum za uzljetanje	FLAP_5	1500			
7773ER	ICAO_A	4	3	Penjanje	Maksimum za penjanje	FLAP_5	3000			
7773ER	ICAO_A	4	4	Ubrzanje_Post otak	Maksimum za penjanje	FLAP_5			220	55
7773ER	ICAO_A	4	5	Ubrzanje_Post otak	Maksimum za penjanje	FLAP_1			230	55
7773ER	ICAO_A	4	6	Penjanje	Maksimum za penjanje	FLAP_1	4100			
7773ER	ICAO_A	4	7	Ubrzanje_Post otak	Maksimum za penjanje	FLAP_0			250	50
7773ER	ICAO_A	4	8	Penjanje	Maksimum za penjanje	FLAP_0	10000			
7773ER	ICAO_A	5	1	Uzljetanje	Maksimum za uzljetanje	FLAP_5				
7773ER	ICAO_A	5	2	Penjanje	Maksimum za uzljetanje	FLAP_5	1500			
7773ER	ICAO_A	5	3	Penjanje	Maksimum za penjanje	FLAP_5	3000			
7773ER	ICAO_A	5	4	Ubrzanje_Post otak	Maksimum za penjanje	FLAP_5			220	55
7773ER	ICAO_A	5	5	Ubrzanje_Post otak	Maksimum za penjanje	FLAP_1			230	55
7773ER	ICAO_A	5	6	Ubrzanje_Post otak	Maksimum za penjanje	FLAP_0			250	50
7773ER	ICAO_A	5	7	Penjanje	Maksimum za penjanje	FLAP_0	10000			
7773ER	ICAO_A	6	1	Uzljetanje	Maksimum za uzljetanje	FLAP_5				
7773ER	ICAO_A	6	2	Penjanje	Maksimum za uzljetanje	FLAP_5	1500			



ThoriumSoftware d.o.o.

Mobile: +385 (0) 95 8 70 50 70
 Kontakt: Dario Ilija Rendulić
 Email:
[info@thoriumsoftware.eu;](mailto:info@thoriumsoftware.eu)
direndulic@gmail.com

7773ER	ICAO_A	6	3	Penjanje	Maksimum za penjanje	FLAP_5	3000			
7773ER	ICAO_A	6	4	Ubrzanje_Post otak	Maksimum za penjanje	FLAP_5			220	55
7773ER	ICAO_A	6	5	Ubrzanje_Post otak	Maksimum za penjanje	FLAP_1			230	55
7773ER	ICAO_A	6	6	Ubrzanje_Post otak	Maksimum za penjanje	FLAP_0			250	50
7773ER	ICAO_A	6	7	Penjanje	Maksimum za penjanje	FLAP_0	10000			
7773ER	ICAO_A	7	1	Uzljetanje	Maksimum za uzljetanje	FLAP_5				
7773ER	ICAO_A	7	2	Penjanje	Maksimum za uzljetanje	FLAP_5	1500			
7773ER	ICAO_A	7	3	Penjanje	Maksimum za penjanje	FLAP_5	3000			
7773ER	ICAO_A	7	4	Ubrzanje_Post otak	Maksimum za penjanje	FLAP_5			220	55
7773ER	ICAO_A	7	5	Ubrzanje_Post otak	Maksimum za penjanje	FLAP_1			230	55
7773ER	ICAO_A	7	6	Ubrzanje_Post otak	Maksimum za penjanje	FLAP_0			250	50
7773ER	ICAO_A	7	7	Penjanje	Maksimum za penjanje	FLAP_0	10000			
7773ER	ICAO_A	8	1	Uzljetanje	Maksimum za uzljetanje	FLAP_5				
7773ER	ICAO_A	8	2	Penjanje	Maksimum za uzljetanje	FLAP_5	1500			
7773ER	ICAO_A	8	3	Penjanje	Maksimum za penjanje	FLAP_5	3000			
7773ER	ICAO_A	8	4	Ubrzanje_Post otak	Maksimum za penjanje	FLAP_5			220	55
7773ER	ICAO_A	8	5	Ubrzanje_Post otak	Maksimum za penjanje	FLAP_1			230	55
7773ER	ICAO_A	8	6	Ubrzanje_Post otak	Maksimum za penjanje	FLAP_0			255	50
7773ER	ICAO_A	8	7	Penjanje	Maksimum za penjanje	FLAP_0	10000			
7773ER	ICAO_A	9	1	Uzljetanje	Maksimum za uzljetanje	FLAP_5				



ThoriumSoftware d.o.o.

Mobile: +385 (0) 95 8 70 50 70
 Kontakt: Dario Ilija Rendulić
 Email:
[info@thoriumsoftware.eu;](mailto:info@thoriumsoftware.eu)
direndulic@gmail.com

7773ER	ICAO_A	9	2	Penjanje	Maksimum za uzljetanje	FLAP_5	1500			
7773ER	ICAO_A	9	3	Penjanje	Maksimum za penjanje	FLAP_5	3000			
7773ER	ICAO_A	9	4	Ubrzanje_Post otak	Maksimum za penjanje	FLAP_5			230	55
7773ER	ICAO_A	9	5	Ubrzanje_Post otak	Maksimum za penjanje	FLAP_1			240	55
7773ER	ICAO_A	9	6	Ubrzanje_Post otak	Maksimum za penjanje	FLAP_0			260	50
7773ER	ICAO_A	9	7	Penjanje	Maksimum za penjanje	FLAP_0	10000			
7773ER	ICAO_B	1	1	Uzljetanje	Maksimum za uzljetanje	FLAP_5				
7773ER	ICAO_B	1	2	Penjanje	Maksimum za uzljetanje	FLAP_5	1434			
7773ER	ICAO_B	1	3	Ubrzanje_Post otak	Maksimum za uzljetanje	FLAP_5			223	55
7773ER	ICAO_B	1	4	Penjanje	Maksimum za uzljetanje	FLAP_1	3564			
7773ER	ICAO_B	1	5	Ubrzanje_Post otak	Maksimum za penjanje	FLAP_0			240	50
7773ER	ICAO_B	1	6	Ubrzanje_Post otak	Maksimum za penjanje	FLAP_0			250	50
7773ER	ICAO_B	1	7	Penjanje	Maksimum za penjanje	FLAP_0	10000			
7773ER	ICAO_B	2	1	Uzljetanje	Maksimum za uzljetanje	FLAP_5				
7773ER	ICAO_B	2	2	Penjanje	Maksimum za uzljetanje	FLAP_5	1396			
7773ER	ICAO_B	2	3	Ubrzanje_Post otak	Maksimum za uzljetanje	FLAP_5			225	55
7773ER	ICAO_B	2	4	Penjanje	Maksimum za uzljetanje	FLAP_1	3442			
7773ER	ICAO_B	2	5	Ubrzanje_Post otak	Maksimum za penjanje	FLAP_0			240	50
7773ER	ICAO_B	2	6	Ubrzanje_Post otak	Maksimum za penjanje	FLAP_0			250	50
7773ER	ICAO_B	2	7	Penjanje	Maksimum za penjanje	FLAP_0	10000			



ThoriumSoftware d.o.o.

Mobile: +385 (0) 95 8 70 50 70
 Kontakt: Dario Ilija Rendulić
 Email:
[info@thoriumsoftware.eu;](mailto:info@thoriumsoftware.eu)
direndulic@gmail.com

7773ER	ICAO_B	3	1	Uzlijetanje	Maksimum za uzlijetanje	FLAP_5				
7773ER	ICAO_B	3	2	Penjanje	Maksimum za uzlijetanje	FLAP_5	1355			
7773ER	ICAO_B	3	3	Ubrzanje_Post otak	Maksimum za uzlijetanje	FLAP_5			228	55
7773ER	ICAO_B	3	4	Penjanje	Maksimum za uzlijetanje	FLAP_1	3314			
7773ER	ICAO_B	3	5	Ubrzanje_Post otak	Maksimum za penjanje	FLAP_0			240	50
7773ER	ICAO_B	3	6	Ubrzanje_Post otak	Maksimum za penjanje	FLAP_0			250	50
7773ER	ICAO_B	3	7	Penjanje	Maksimum za penjanje	FLAP_0	10000			
7773ER	ICAO_B	4	1	Uzlijetanje	Maksimum za uzlijetanje	FLAP_5				
7773ER	ICAO_B	4	2	Penjanje	Maksimum za uzlijetanje	FLAP_5	1289			
7773ER	ICAO_B	4	3	Ubrzanje_Post otak	Maksimum za uzlijetanje	FLAP_5			231	55
7773ER	ICAO_B	4	4	Penjanje	Maksimum za uzlijetanje	FLAP_1	3104			
7773ER	ICAO_B	4	5	Ubrzanje_Post otak	Maksimum za penjanje	FLAP_0			240	50
7773ER	ICAO_B	4	6	Ubrzanje_Post otak	Maksimum za penjanje	FLAP_0			250	50
7773ER	ICAO_B	4	7	Penjanje	Maksimum za penjanje	FLAP_0	10000			
7773ER	ICAO_B	5	1	Uzlijetanje	Maksimum za uzlijetanje	FLAP_5				
7773ER	ICAO_B	5	2	Penjanje	Maksimum za uzlijetanje	FLAP_5	1214			
7773ER	ICAO_B	5	3	Ubrzanje_Post otak	Maksimum za uzlijetanje	FLAP_5			236	55
7773ER	ICAO_B	5	4	Penjanje	Maksimum za uzlijetanje	FLAP_1	3000			
7773ER	ICAO_B	5	5	Ubrzanje_Post otak	Maksimum za penjanje	FLAP_0			245	50
7773ER	ICAO_B	5	6	Ubrzanje_Post otak	Maksimum za penjanje	FLAP_0			250	50



ThoriumSoftware d.o.o.

Mobile: +385 (0) 95 8 70 50 70
 Kontakt: Dario Ilija Rendulić
 Email:
[info@thoriumsoftware.eu;](mailto:info@thoriumsoftware.eu)
direndulic@gmail.com

7773ER	ICAO_B	5	7	Penjanje	Maksimum za penjanje	FLAP_0	10000			
7773ER	ICAO_B	6	1	Uzlijetanje	Maksimum za uzlijetanje	FLAP_5				
7773ER	ICAO_B	6	2	Penjanje	Maksimum za uzlijetanje	FLAP_5	1138			
7773ER	ICAO_B	6	3	Ubrzanje_Post otak	Maksimum za uzlijetanje	FLAP_5			241	55
7773ER	ICAO_B	6	4	Penjanje	Maksimum za uzlijetanje	FLAP_1	3000			
7773ER	ICAO_B	6	5	Ubrzanje_Post otak	Maksimum za penjanje	FLAP_0			250	50
7773ER	ICAO_B	6	6	Penjanje	Maksimum za penjanje	FLAP_0	10000			
7773ER	ICAO_B	7	1	Uzlijetanje	Maksimum za uzlijetanje	FLAP_5				
7773ER	ICAO_B	7	2	Penjanje	Maksimum za uzlijetanje	FLAP_5	1067			
7773ER	ICAO_B	7	3	Ubrzanje_Post otak	Maksimum za uzlijetanje	FLAP_5			249	55
7773ER	ICAO_B	7	4	Penjanje	Maksimum za uzlijetanje	FLAP_1	2451			
7773ER	ICAO_B	7	5	Ubrzanje_Post otak	Maksimum za penjanje	FLAP_1			250	55
7773ER	ICAO_B	7	6	Penjanje	Maksimum za penjanje	FLAP_0	3000			
7773ER	ICAO_B	7	7	Penjanje	Maksimum za penjanje	FLAP_0	10000			
7773ER	ICAO_B	8	1	Uzlijetanje	Maksimum za uzlijetanje	FLAP_5				
7773ER	ICAO_B	8	2	Penjanje	Maksimum za uzlijetanje	FLAP_5	1000			
7773ER	ICAO_B	8	3	Ubrzanje_Post otak	Maksimum za uzlijetanje	FLAP_5			257	55
7773ER	ICAO_B	8	4	Penjanje	Maksimum za uzlijetanje	FLAP_1	2280			
7773ER	ICAO_B	8	5	Ubrzanje_Post otak	Maksimum za penjanje	FLAP_1			257	55
7773ER	ICAO_B	8	6	Penjanje	Maksimum za penjanje	FLAP_0	3000			



ThoriumSoftware d.o.o.

Mobile: +385 (0) 95 8 70 50 70
 Kontakt: Dario Ilija Rendulić
 Email:
[info@thoriumsoftware.eu;](mailto:info@thoriumsoftware.eu)
direndulic@gmail.com

7773ER	ICAO_B	8	7	Penjanje	Maksimum za penjanje	FLAP_0	10000			
7773ER	ICAO_B	9	1	Uzlijetanje	Maksimum za uzlijetanje	FLAP_5				
7773ER	ICAO_B	9	2	Penjanje	Maksimum za uzlijetanje	FLAP_5	1000			
7773ER	ICAO_B	9	3	Ubrzanje_Post otak	Maksimum za uzlijetanje	FLAP_5			261	55
7773ER	ICAO_B	9	4	Penjanje	Maksimum za uzlijetanje	FLAP_1	2180			
7773ER	ICAO_B	9	5	Ubrzanje_Post otak	Maksimum za penjanje	FLAP_1			262	55
7773ER	ICAO_B	9	6	Penjanje	Maksimum za penjanje	FLAP_0	3000			
7773ER	ICAO_B	9	7	Penjanje	Maksimum za penjanje	FLAP_0	10000			
7878R	DEFAULT	1	1	Uzlijetanje	Maksimum za uzlijetanje	FLAP_5				
7878R	DEFAULT	1	2	Penjanje	Maksimum za uzlijetanje	FLAP_5	1000			
7878R	DEFAULT	1	3	Ubrzanje_Post otak	Maksimum za penjanje	FLAP_5			214	55
7878R	DEFAULT	1	4	Ubrzanje_Post otak	Maksimum za penjanje	FLAP_1			225	55
7878R	DEFAULT	1	5	Penjanje	Maksimum za penjanje	FLAP_0	3000			
7878R	DEFAULT	1	6	Ubrzanje_Post otak	Maksimum za penjanje	FLAP_0			250	50
7878R	DEFAULT	1	7	Penjanje	Maksimum za penjanje	FLAP_0	10000			
7878R	DEFAULT	2	1	Uzlijetanje	Maksimum za uzlijetanje	FLAP_5				
7878R	DEFAULT	2	2	Penjanje	Maksimum za uzlijetanje	FLAP_5	1000			
7878R	DEFAULT	2	3	Ubrzanje_Post otak	Maksimum za penjanje	FLAP_5			214	55
7878R	DEFAULT	2	4	Ubrzanje_Post otak	Maksimum za penjanje	FLAP_1			222	55
7878R	DEFAULT	2	5	Penjanje	Maksimum za penjanje	FLAP_0	3000			



ThoriumSoftware d.o.o.

Mobile: +385 (0) 95 8 70 50 70
 Kontakt: Dario Ilija Rendulić
 Email:
[info@thoriumsoftware.eu;](mailto:info@thoriumsoftware.eu)
direndulic@gmail.com

7878R	DEFAULT	2	6	Ubrzanje_Post otak	Maksimum za penjanje	FLAP_0			250	50
7878R	DEFAULT	2	7	Penjanje	Maksimum za penjanje	FLAP_0	10000			
7878R	DEFAULT	3	1	Uzljetanje	Maksimum za uzljetanje	FLAP_5				
7878R	DEFAULT	3	2	Penjanje	Maksimum za uzljetanje	FLAP_5	1000			
7878R	DEFAULT	3	3	Ubrzanje_Post otak	Maksimum za penjanje	FLAP_5			215	55
7878R	DEFAULT	3	4	Ubrzanje_Post otak	Maksimum za penjanje	FLAP_1			230	55
7878R	DEFAULT	3	5	Penjanje	Maksimum za penjanje	FLAP_0	3000			
7878R	DEFAULT	3	6	Ubrzanje_Post otak	Maksimum za penjanje	FLAP_0			250	50
7878R	DEFAULT	3	7	Penjanje	Maksimum za penjanje	FLAP_0	10000			
7878R	DEFAULT	4	1	Uzljetanje	Maksimum za uzljetanje	FLAP_5				
7878R	DEFAULT	4	2	Penjanje	Maksimum za uzljetanje	FLAP_5	1000			
7878R	DEFAULT	4	3	Ubrzanje_Post otak	Maksimum za penjanje	FLAP_5			215	55
7878R	DEFAULT	4	4	Ubrzanje_Post otak	Maksimum za penjanje	FLAP_1			228	55
7878R	DEFAULT	4	5	Penjanje	Maksimum za penjanje	FLAP_0	3000			
7878R	DEFAULT	4	6	Ubrzanje_Post otak	Maksimum za penjanje	FLAP_0			250	50
7878R	DEFAULT	4	7	Penjanje	Maksimum za penjanje	FLAP_0	10000			
7878R	DEFAULT	5	1	Uzljetanje	Maksimum za uzljetanje	FLAP_5				
7878R	DEFAULT	5	2	Penjanje	Maksimum za uzljetanje	FLAP_5	1000			
7878R	DEFAULT	5	3	Ubrzanje_Post otak	Maksimum za penjanje	FLAP_5			218	55
7878R	DEFAULT	5	4	Ubrzanje_Post otak	Maksimum za penjanje	FLAP_1			235	55



ThoriumSoftware d.o.o.

Mobile: +385 (0) 95 8 70 50 70
 Kontakt: Dario Ilija Rendulić
 Email:
[info@thoriumsoftware.eu;](mailto:info@thoriumsoftware.eu)
direndulic@gmail.com

7878R	DEFAULT	5	5	Penjanje	Maksimum za penjanje	FLAP_0	3000			
7878R	DEFAULT	5	6	Ubrzanje_Post otak	Maksimum za penjanje	FLAP_0			250	50
7878R	DEFAULT	5	7	Penjanje	Maksimum za penjanje	FLAP_0	10000			
7878R	DEFAULT	6	1	Uzljetanje	Maksimum za uzljetanje	FLAP_5				
7878R	DEFAULT	6	2	Penjanje	Maksimum za uzljetanje	FLAP_5	1000			
7878R	DEFAULT	6	3	Ubrzanje_Post otak	Maksimum za penjanje	FLAP_5			220	55
7878R	DEFAULT	6	4	Ubrzanje_Post otak	Maksimum za penjanje	FLAP_1			238	55
7878R	DEFAULT	6	5	Penjanje	Maksimum za penjanje	FLAP_0	3000			
7878R	DEFAULT	6	6	Ubrzanje_Post otak	Maksimum za penjanje	FLAP_0			250	50
7878R	DEFAULT	6	7	Penjanje	Maksimum za penjanje	FLAP_0	10000			
7878R	DEFAULT	7	1	Uzljetanje	Maksimum za uzljetanje	FLAP_5				
7878R	DEFAULT	7	2	Penjanje	Maksimum za uzljetanje	FLAP_5	1000			
7878R	DEFAULT	7	3	Ubrzanje_Post otak	Maksimum za penjanje	FLAP_5			224	55
7878R	DEFAULT	7	4	Ubrzanje_Post otak	Maksimum za penjanje	FLAP_1			243	55
7878R	DEFAULT	7	5	Penjanje	Maksimum za penjanje	FLAP_0	3000			
7878R	DEFAULT	7	6	Ubrzanje_Post otak	Maksimum za penjanje	FLAP_0			250	50
7878R	DEFAULT	7	7	Penjanje	Maksimum za penjanje	FLAP_0	10000			
7878R	DEFAULT	8	1	Uzljetanje	Maksimum za uzljetanje	FLAP_5				
7878R	DEFAULT	8	2	Penjanje	Maksimum za uzljetanje	FLAP_5	1000			
7878R	DEFAULT	8	3	Ubrzanje_Post otak	Maksimum za penjanje	FLAP_5			226	55



ThoriumSoftware d.o.o.

Mobile: +385 (0) 95 8 70 50 70
 Kontakt: Dario Ilija Rendulić
 Email:
[info@thoriumsoftware.eu;](mailto:info@thoriumsoftware.eu)
direndulic@gmail.com

7878R	DEFAULT	8	4	Ubrzanje_Post otak	Maksimum za penjanje	FLAP_1			246	55
7878R	DEFAULT	8	5	Penjanje	Maksimum za penjanje	FLAP_0	3000			
7878R	DEFAULT	8	6	Ubrzanje_Post otak	Maksimum za penjanje	FLAP_0			250	50
7878R	DEFAULT	8	7	Penjanje	Maksimum za penjanje	FLAP_0	10000			
7878R	DEFAULT	9	1	Uzlijetanje	Maksimum za uzlijetanje	FLAP_5				
7878R	DEFAULT	9	2	Penjanje	Maksimum za uzlijetanje	FLAP_5	1000			
7878R	DEFAULT	9	3	Ubrzanje_Post otak	Maksimum za penjanje	FLAP_5			230	55
7878R	DEFAULT	9	4	Ubrzanje_Post otak	Maksimum za penjanje	FLAP_1			245	55
7878R	DEFAULT	9	5	Penjanje	Maksimum za penjanje	FLAP_0	3000			
7878R	DEFAULT	9	6	Ubrzanje_Post otak	Maksimum za penjanje	FLAP_0			250	50
7878R	DEFAULT	9	7	Penjanje	Maksimum za penjanje	FLAP_0	10000			
7878R	ICAO_A	1	1	Uzlijetanje	Maksimum za uzlijetanje	FLAP_5				
7878R	ICAO_A	1	2	Penjanje	Maksimum za uzlijetanje	FLAP_5	1500			
7878R	ICAO_A	1	3	Penjanje	Maksimum za penjanje	FLAP_5	3000			
7878R	ICAO_A	1	4	Ubrzanje_Post otak	Maksimum za penjanje	FLAP_5			220	55
7878R	ICAO_A	1	5	Penjanje	Maksimum za penjanje	FLAP_1	4500			
7878R	ICAO_A	1	6	Ubrzanje_Post otak	Maksimum za penjanje	FLAP_0			250	50
7878R	ICAO_A	1	7	Penjanje	Maksimum za penjanje	FLAP_0	10000			
7878R	ICAO_A	2	1	Uzlijetanje	Maksimum za uzlijetanje	FLAP_5				
7878R	ICAO_A	2	2	Penjanje	Maksimum za uzlijetanje	FLAP_5	1500			



ThoriumSoftware d.o.o.

Mobile: +385 (0) 95 8 70 50 70
 Kontakt: Dario Ilija Rendulić
 Email:
[info@thoriumsoftware.eu;](mailto:info@thoriumsoftware.eu)
direndulic@gmail.com

7878R	ICAO_A	2	3	Penjanje	Maksimum za penjanje	FLAP_5	3000			
7878R	ICAO_A	2	4	Ubrzanje_Post otak	Maksimum za penjanje	FLAP_5			220	55
7878R	ICAO_A	2	5	Penjanje	Maksimum za penjanje	FLAP_1	4400			
7878R	ICAO_A	2	6	Ubrzanje_Post otak	Maksimum za penjanje	FLAP_0			250	50
7878R	ICAO_A	2	7	Penjanje	Maksimum za penjanje	FLAP_0	10000			
7878R	ICAO_A	3	1	Uzljetanje	Maksimum za uzljetanje	FLAP_5				
7878R	ICAO_A	3	2	Penjanje	Maksimum za uzljetanje	FLAP_5	1500			
7878R	ICAO_A	3	3	Penjanje	Maksimum za penjanje	FLAP_5	3000			
7878R	ICAO_A	3	4	Ubrzanje_Post otak	Maksimum za penjanje	FLAP_5			220	55
7878R	ICAO_A	3	5	Penjanje	Maksimum za penjanje	FLAP_1	4400			
7878R	ICAO_A	3	6	Ubrzanje_Post otak	Maksimum za penjanje	FLAP_0			250	50
7878R	ICAO_A	3	7	Penjanje	Maksimum za penjanje	FLAP_0	10000			
7878R	ICAO_A	4	1	Uzljetanje	Maksimum za uzljetanje	FLAP_5				
7878R	ICAO_A	4	2	Penjanje	Maksimum za uzljetanje	FLAP_5	1500			
7878R	ICAO_A	4	3	Penjanje	Maksimum za penjanje	FLAP_5	3000			
7878R	ICAO_A	4	4	Ubrzanje_Post otak	Maksimum za penjanje	FLAP_5			220	55
7878R	ICAO_A	4	5	Penjanje	Maksimum za penjanje	FLAP_1	4300			
7878R	ICAO_A	4	6	Ubrzanje_Post otak	Maksimum za penjanje	FLAP_0			250	50
7878R	ICAO_A	4	7	Penjanje	Maksimum za penjanje	FLAP_0	10000			
7878R	ICAO_A	5	1	Uzljetanje	Maksimum za uzljetanje	FLAP_5				



ThoriumSoftware d.o.o.

Mobile: +385 (0) 95 8 70 50 70
 Kontakt: Dario Ilija Rendulić
 Email:
[info@thoriumsoftware.eu;](mailto:info@thoriumsoftware.eu)
direndulic@gmail.com

7878R	ICAO_A	5	2	Penjanje	Maksimum za uzljetanje	FLAP_5	1500			
7878R	ICAO_A	5	3	Penjanje	Maksimum za penjanje	FLAP_5	3000			
7878R	ICAO_A	5	4	Ubrzanje_Post otak	Maksimum za penjanje	FLAP_5			224	55
7878R	ICAO_A	5	5	Penjanje	Maksimum za penjanje	FLAP_1	4200			
7878R	ICAO_A	5	6	Ubrzanje_Post otak	Maksimum za penjanje	FLAP_0			250	50
7878R	ICAO_A	5	7	Penjanje	Maksimum za penjanje	FLAP_0	10000			
7878R	ICAO_A	6	1	Uzljetanje	Maksimum za uzljetanje	FLAP_5				
7878R	ICAO_A	6	2	Penjanje	Maksimum za uzljetanje	FLAP_5	1500			
7878R	ICAO_A	6	3	Penjanje	Maksimum za penjanje	FLAP_5	3000			
7878R	ICAO_A	6	4	Ubrzanje_Post otak	Maksimum za penjanje	FLAP_5			226	55
7878R	ICAO_A	6	5	Penjanje	Maksimum za penjanje	FLAP_1	4100			
7878R	ICAO_A	6	6	Ubrzanje_Post otak	Maksimum za penjanje	FLAP_0			250	50
7878R	ICAO_A	6	7	Penjanje	Maksimum za penjanje	FLAP_0	10000			
7878R	ICAO_A	7	1	Uzljetanje	Maksimum za uzljetanje	FLAP_5				
7878R	ICAO_A	7	2	Penjanje	Maksimum za uzljetanje	FLAP_5	1500			
7878R	ICAO_A	7	3	Penjanje	Maksimum za penjanje	FLAP_5	3000			
7878R	ICAO_A	7	4	Ubrzanje_Post otak	Maksimum za penjanje	FLAP_5			232	55
7878R	ICAO_A	7	5	Penjanje	Maksimum za penjanje	FLAP_1	4000			
7878R	ICAO_A	7	6	Ubrzanje_Post otak	Maksimum za penjanje	FLAP_0			250	50
7878R	ICAO_A	7	7	Penjanje	Maksimum za penjanje	FLAP_0	10000			



ThoriumSoftware d.o.o.

Mobile: +385 (0) 95 8 70 50 70
 Kontakt: Dario Ilija Rendulić
 Email:
[info@thoriumsoftware.eu;](mailto:info@thoriumsoftware.eu)
direndulic@gmail.com

7878R	ICAO_A	8	1	Uzlijetanje	Maksimum za uzlijetanje	FLAP_5				
7878R	ICAO_A	8	2	Penjanje	Maksimum za uzlijetanje	FLAP_5	1500			
7878R	ICAO_A	8	3	Penjanje	Maksimum za penjanje	FLAP_5	3000			
7878R	ICAO_A	8	4	Ubrzanje_Post otak	Maksimum za penjanje	FLAP_5			232	55
7878R	ICAO_A	8	5	Penjanje	Maksimum za penjanje	FLAP_1	4000			
7878R	ICAO_A	8	6	Ubrzanje_Post otak	Maksimum za penjanje	FLAP_0			250	50
7878R	ICAO_A	8	7	Penjanje	Maksimum za penjanje	FLAP_0	10000			
7878R	ICAO_A	9	1	Uzlijetanje	Maksimum za uzlijetanje	FLAP_5				
7878R	ICAO_A	9	2	Penjanje	Maksimum za uzlijetanje	FLAP_5	1500			
7878R	ICAO_A	9	3	Penjanje	Maksimum za penjanje	FLAP_5	3000			
7878R	ICAO_A	9	4	Ubrzanje_Post otak	Maksimum za penjanje	FLAP_5			235	55
7878R	ICAO_A	9	5	Penjanje	Maksimum za penjanje	FLAP_1	4000			
7878R	ICAO_A	9	6	Ubrzanje_Post otak	Maksimum za penjanje	FLAP_0			250	50
7878R	ICAO_A	9	7	Penjanje	Maksimum za penjanje	FLAP_0	10000			
7878R	ICAO_B	1	1	Uzlijetanje	Maksimum za uzlijetanje	FLAP_5				
7878R	ICAO_B	1	2	Penjanje	Maksimum za uzlijetanje	FLAP_5	1000			
7878R	ICAO_B	1	3	Ubrzanje_Post otak	Maksimum za uzlijetanje	FLAP_5			220	55
7878R	ICAO_B	1	4	Penjanje	Maksimum za uzlijetanje	FLAP_1	2700			
7878R	ICAO_B	1	5	Penjanje	Maksimum za penjanje	FLAP_0	3000			
7878R	ICAO_B	1	6	Ubrzanje_Post otak	Maksimum za penjanje	FLAP_0			250	50



ThoriumSoftware d.o.o.

Mobile: +385 (0) 95 8 70 50 70
 Kontakt: Dario Ilija Rendulić
 Email:
[info@thoriumsoftware.eu;](mailto:info@thoriumsoftware.eu)
direndulic@gmail.com

7878R	ICAO_B	1	7	Penjanje	Maksimum za penjanje	FLAP_0	10000			
7878R	ICAO_B	2	1	Uzlijetanje	Maksimum za uzlijetanje	FLAP_5				
7878R	ICAO_B	2	2	Penjanje	Maksimum za uzlijetanje	FLAP_5	1000			
7878R	ICAO_B	2	3	Ubrzanje_Post otak	Maksimum za uzlijetanje	FLAP_5			220	55
7878R	ICAO_B	2	4	Penjanje	Maksimum za uzlijetanje	FLAP_1	2700			
7878R	ICAO_B	2	5	Penjanje	Maksimum za penjanje	FLAP_0	3000			
7878R	ICAO_B	2	6	Ubrzanje_Post otak	Maksimum za penjanje	FLAP_0			250	50
7878R	ICAO_B	2	7	Penjanje	Maksimum za penjanje	FLAP_0	10000			
7878R	ICAO_B	3	1	Uzlijetanje	Maksimum za uzlijetanje	FLAP_5				
7878R	ICAO_B	3	2	Penjanje	Maksimum za uzlijetanje	FLAP_5	1000			
7878R	ICAO_B	3	3	Ubrzanje_Post otak	Maksimum za uzlijetanje	FLAP_5			220	55
7878R	ICAO_B	3	4	Penjanje	Maksimum za uzlijetanje	FLAP_1	2700			
7878R	ICAO_B	3	5	Penjanje	Maksimum za penjanje	FLAP_0	3000			
7878R	ICAO_B	3	6	Ubrzanje_Post otak	Maksimum za penjanje	FLAP_0			250	50
7878R	ICAO_B	3	7	Penjanje	Maksimum za penjanje	FLAP_0	10000			
7878R	ICAO_B	4	1	Uzlijetanje	Maksimum za uzlijetanje	FLAP_5				
7878R	ICAO_B	4	2	Penjanje	Maksimum za uzlijetanje	FLAP_5	1000			
7878R	ICAO_B	4	3	Ubrzanje_Post otak	Maksimum za uzlijetanje	FLAP_5			225	55
7878R	ICAO_B	4	4	Penjanje	Maksimum za uzlijetanje	FLAP_1	2600			
7878R	ICAO_B	4	5	Penjanje	Maksimum za penjanje	FLAP_0	3000			



ThoriumSoftware d.o.o.

Mobile: +385 (0) 95 8 70 50 70
 Kontakt: Dario Ilija Rendulić
 Email:
[info@thoriumsoftware.eu;](mailto:info@thoriumsoftware.eu)
direndulic@gmail.com

7878R	ICAO_B	4	6	Ubrzanje_Post otak	Maksimum za penjanje	FLAP_0			250	50
7878R	ICAO_B	4	7	Penjanje	Maksimum za penjanje	FLAP_0	10000			
7878R	ICAO_B	5	1	Uzljetanje	Maksimum za uzljetanje	FLAP_5				
7878R	ICAO_B	5	2	Penjanje	Maksimum za uzljetanje	FLAP_5	1000			
7878R	ICAO_B	5	3	Ubrzanje_Post otak	Maksimum za uzljetanje	FLAP_5			230	55
7878R	ICAO_B	5	4	Penjanje	Maksimum za uzljetanje	FLAP_1	2500			
7878R	ICAO_B	5	5	Penjanje	Maksimum za penjanje	FLAP_0	3000			
7878R	ICAO_B	5	6	Ubrzanje_Post otak	Maksimum za penjanje	FLAP_0			250	50
7878R	ICAO_B	5	7	Penjanje	Maksimum za penjanje	FLAP_0	10000			
7878R	ICAO_B	6	1	Uzljetanje	Maksimum za uzljetanje	FLAP_5				
7878R	ICAO_B	6	2	Penjanje	Maksimum za uzljetanje	FLAP_5	1000			
7878R	ICAO_B	6	3	Ubrzanje_Post otak	Maksimum za uzljetanje	FLAP_5			230	55
7878R	ICAO_B	6	4	Penjanje	Maksimum za uzljetanje	FLAP_1	2400			
7878R	ICAO_B	6	5	Penjanje	Maksimum za penjanje	FLAP_0	3000			
7878R	ICAO_B	6	6	Ubrzanje_Post otak	Maksimum za penjanje	FLAP_0			250	50
7878R	ICAO_B	6	7	Penjanje	Maksimum za penjanje	FLAP_0	10000			
7878R	ICAO_B	7	1	Uzljetanje	Maksimum za uzljetanje	FLAP_5				
7878R	ICAO_B	7	2	Penjanje	Maksimum za uzljetanje	FLAP_5	1000			
7878R	ICAO_B	7	3	Ubrzanje_Post otak	Maksimum za uzljetanje	FLAP_5			235	55
7878R	ICAO_B	7	4	Penjanje	Maksimum za uzljetanje	FLAP_1	2200			



ThoriumSoftware d.o.o.

Mobile: +385 (0) 95 8 70 50 70
 Kontakt: Dario Ilija Rendulić
 Email:
[info@thoriumsoftware.eu;](mailto:info@thoriumsoftware.eu)
direndulic@gmail.com

7878R	ICAO_B	7	5	Penjanje	Maksimum za penjanje	FLAP_0	3000			
7878R	ICAO_B	7	6	Ubrzanje_Post otak	Maksimum za penjanje	FLAP_0			250	50
7878R	ICAO_B	7	7	Penjanje	Maksimum za penjanje	FLAP_0	10000			
7878R	ICAO_B	8	1	Uzljetanje	Maksimum za uzljetanje	FLAP_5				
7878R	ICAO_B	8	2	Penjanje	Maksimum za uzljetanje	FLAP_5	1000			
7878R	ICAO_B	8	3	Ubrzanje_Post otak	Maksimum za uzljetanje	FLAP_5			240	55
7878R	ICAO_B	8	4	Penjanje	Maksimum za uzljetanje	FLAP_1	2100			
7878R	ICAO_B	8	5	Penjanje	Maksimum za penjanje	FLAP_0	3000			
7878R	ICAO_B	8	6	Ubrzanje_Post otak	Maksimum za penjanje	FLAP_0			250	50
7878R	ICAO_B	8	7	Penjanje	Maksimum za penjanje	FLAP_0	10000			
7878R	ICAO_B	9	1	Uzljetanje	Maksimum za uzljetanje	FLAP_5				
7878R	ICAO_B	9	2	Penjanje	Maksimum za uzljetanje	FLAP_5	1000			
7878R	ICAO_B	9	3	Ubrzanje_Post otak	Maksimum za uzljetanje	FLAP_5			245	55
7878R	ICAO_B	9	4	Penjanje	Maksimum za uzljetanje	FLAP_1	2100			
7878R	ICAO_B	9	5	Penjanje	Maksimum za penjanje	FLAP_0	3000			
7878R	ICAO_B	9	6	Ubrzanje_Post otak	Maksimum za penjanje	FLAP_0			250	50
7878R	ICAO_B	9	7	Penjanje	Maksimum za penjanje	FLAP_0	10000			



ThoriumSoftware d.o.o.

Mobile: +385 (0) 95 8 70 50 70
Kontakt: Dario Ilija Rendulić
Email:
info@thoriumsoftware.eu;
direndulic@gmail.com

A300-622R	DEFAULT	1	1	Uzlijetanje	Maksimum za uzlijetanje	1500					
A300-622R	DEFAULT	1	2	Penjanje	Maksimum za uzlijetanje	1500	1000				
A300-622R	DEFAULT	1	3	Ubrzanje	Maksimum za uzlijetanje	1500		1419,5	185,3		
A300-622R	DEFAULT	1	4	Penjanje	Maksimum za penjanje	0	3000				
A300-622R	DEFAULT	1	5	Ubrzanje	Maksimum za penjanje	0		1275	250		
A300-622R	DEFAULT	1	6	Penjanje	Maksimum za penjanje	0	5500				

A300-622R	DEFAULT	1	7	Penjanje	Maksimum za penjanje	0	7500			
A300-622R	DEFAULT	1	8	Penjanje	Maksimum za penjanje	0	10000			
A300-622R	DEFAULT	2	1	Uzlijetanje	Maksimum za uzlijetanje	1500				
A300-622R	DEFAULT	2	2	Penjanje	Maksimum za uzlijetanje	1500	1000			
A300-622R	DEFAULT	2	3	Ubrzanje	Maksimum za uzlijetanje	1500		1361,3	189,3	
A300-622R	DEFAULT	2	4	Penjanje	Maksimum za penjanje	0	3000			
A300-622R	DEFAULT	2	5	Ubrzanje	Maksimum za penjanje	0		1216,8	250	
A300-622R	DEFAULT	2	6	Penjanje	Maksimum za penjanje	0	5500			
A300-622R	DEFAULT	2	7	Penjanje	Maksimum za penjanje	0	7500			
A300-622R	DEFAULT	2	8	Penjanje	Maksimum za penjanje	0	10000			
A300-622R	DEFAULT	3	1	Uzlijetanje	Maksimum za uzlijetanje	1500				
A300-622R	DEFAULT	3	2	Penjanje	Maksimum za uzlijetanje	1500	1000			
A300-622R	DEFAULT	3	3	Ubrzanje	Maksimum za uzlijetanje	1500		1303,7	193,2	
A300-622R	DEFAULT	3	4	Penjanje	Maksimum za penjanje	0	3000			
A300-622R	DEFAULT	3	5	Ubrzanje	Maksimum za penjanje	0		1159,4	250	
A300-622R	DEFAULT	3	6	Penjanje	Maksimum za penjanje	0	5500			

A300-622R	DEFAULT	3	7	Penjanje	Maksimum za penjanje	0	7500			
A300-622R	DEFAULT	3	8	Penjanje	Maksimum za penjanje	0	10000			
A300-622R	DEFAULT	4	1	Uzlijetanje	Maksimum za uzlijetanje	1500				
A300-622R	DEFAULT	4	2	Penjanje	Maksimum za uzlijetanje	1500	1000			
A300-622R	DEFAULT	4	3	Ubrzanje	Maksimum za uzlijetanje	1500		1210,4	200,1	
A300-622R	DEFAULT	4	4	Penjanje	Maksimum za penjanje	0	3000			
A300-622R	DEFAULT	4	5	Ubrzanje	Maksimum za penjanje	0		1065,5	250	
A300-622R	DEFAULT	4	6	Penjanje	Maksimum za penjanje	0	5500			
A300-622R	DEFAULT	4	7	Penjanje	Maksimum za penjanje	0	7500			
A300-622R	DEFAULT	4	8	Penjanje	Maksimum za penjanje	0	10000			
A300-622R	DEFAULT	5	1	Uzlijetanje	Maksimum za uzlijetanje	1500				
A300-622R	DEFAULT	5	2	Penjanje	Maksimum za uzlijetanje	1500	1000			
A300-622R	DEFAULT	5	3	Ubrzanje	Maksimum za uzlijetanje	1500		1099,6	209,1	
A300-622R	DEFAULT	5	4	Penjanje	Maksimum za penjanje	0	3000			
A300-622R	DEFAULT	5	5	Ubrzanje	Maksimum za penjanje	0		953,9	250	
A300-622R	DEFAULT	5	6	Penjanje	Maksimum za penjanje	0	5500			

A300-622R	DEFAULT	5	7	Penjanje	Maksimum za penjanje	0	7500			
A300-622R	DEFAULT	5	8	Penjanje	Maksimum za penjanje	0	10000			
A300-622R	DEFAULT	6	1	Uzlijetanje	Maksimum za uzlijetanje	1500				
A300-622R	DEFAULT	6	2	Penjanje	Maksimum za uzlijetanje	1500	1000			
A300-622R	DEFAULT	6	3	Ubrzanje	Maksimum za uzlijetanje	1500		1015,3	216,4	
A300-622R	DEFAULT	6	4	Penjanje	Maksimum za penjanje	0	3000			
A300-622R	DEFAULT	6	5	Ubrzanje	Maksimum za penjanje	0		870,9	250	
A300-622R	DEFAULT	6	6	Penjanje	Maksimum za penjanje	0	5500			
A300-622R	DEFAULT	6	7	Penjanje	Maksimum za penjanje	0	7500			
A300-622R	DEFAULT	6	8	Penjanje	Maksimum za penjanje	0	10000			
A300-622R	ICAO_A	1	1	Uzlijetanje	Maksimum za uzlijetanje	1500				
A300-622R	ICAO_A	1	2	Penjanje	Maksimum za uzlijetanje	1500	1500			
A300-622R	ICAO_A	1	3	Penjanje	Maksimum za penjanje	1500	3000			
A300-622R	ICAO_A	1	4	Ubrzanje	Maksimum za penjanje	1500		979,6	185,2	
A300-622R	ICAO_A	1	5	Ubrzanje	Maksimum za penjanje	0		1107,6	204,5	
A300-622R	ICAO_A	1	6	Ubrzanje	Maksimum za penjanje	0		1303,7	250	

A300-622R	ICAO_A	1	7	Penjanje	Maksimum za penjanje	0	5500			
A300-622R	ICAO_A	1	8	Penjanje	Maksimum za penjanje	0	7500			
A300-622R	ICAO_A	1	9	Penjanje	Maksimum za penjanje	0	10000			
A300-622R	ICAO_A	2	1	Uzlijetanje	Maksimum za uzlijetanje	1500				
A300-622R	ICAO_A	2	2	Penjanje	Maksimum za uzlijetanje	1500	1500			
A300-622R	ICAO_A	2	3	Penjanje	Maksimum za penjanje	1500	3000			
A300-622R	ICAO_A	2	4	Ubrzanje	Maksimum za penjanje	1500		935	189,1	
A300-622R	ICAO_A	2	5	Ubrzanje	Maksimum za penjanje	0		1059,7	207,3	
A300-622R	ICAO_A	2	6	Ubrzanje	Maksimum za penjanje	0		1241,6	250	
A300-622R	ICAO_A	2	7	Penjanje	Maksimum za penjanje	0	5500			
A300-622R	ICAO_A	2	8	Penjanje	Maksimum za penjanje	0	7500			
A300-622R	ICAO_A	2	9	Penjanje	Maksimum za penjanje	0	10000			
A300-622R	ICAO_A	3	1	Uzlijetanje	Maksimum za uzlijetanje	1500				
A300-622R	ICAO_A	3	2	Penjanje	Maksimum za uzlijetanje	1500	1500			
A300-622R	ICAO_A	3	3	Penjanje	Maksimum za penjanje	1500	3000			
A300-622R	ICAO_A	3	4	Ubrzanje	Maksimum za penjanje	1500		890,5	193,1	

A300-622R	ICAO_A	3	5	Ubrzanje	Maksimum za penjanje	0		1012,1	210,1	
A300-622R	ICAO_A	3	6	Ubrzanje	Maksimum za penjanje	0		1180,8	250	
A300-622R	ICAO_A	3	7	Penjanje	Maksimum za penjanje	0	5500			
A300-622R	ICAO_A	3	8	Penjanje	Maksimum za penjanje	0	7500			
A300-622R	ICAO_A	3	9	Penjanje	Maksimum za penjanje	0	10000			
A300-622R	ICAO_A	4	1	Uzlijetanje	Maksimum za uzlijetanje	1500				
A300-622R	ICAO_A	4	2	Penjanje	Maksimum za uzlijetanje	1500	1500			
A300-622R	ICAO_A	4	3	Penjanje	Maksimum za penjanje	1500	3000			
A300-622R	ICAO_A	4	4	Ubrzanje	Maksimum za penjanje	1500		817,4	200	
A300-622R	ICAO_A	4	5	Ubrzanje	Maksimum za penjanje	0		933,4	215,2	
A300-622R	ICAO_A	4	6	Ubrzanje	Maksimum za penjanje	0		1081,4	250	
A300-622R	ICAO_A	4	7	Penjanje	Maksimum za penjanje	0	5500			
A300-622R	ICAO_A	4	8	Penjanje	Maksimum za penjanje	0	7500			
A300-622R	ICAO_A	4	9	Penjanje	Maksimum za penjanje	0	10000			
A300-622R	ICAO_A	5	1	Uzlijetanje	Maksimum za uzlijetanje	1500				
A300-622R	ICAO_A	5	2	Penjanje	Maksimum za uzlijetanje	1500	1500			

A300-622R	ICAO_A	5	3	Penjanje	Maksimum za penjanje	1500	3000			
A300-622R	ICAO_A	5	4	Ubrzanje	Maksimum za penjanje	1500		729	208,9	
A300-622R	ICAO_A	5	5	Ubrzanje	Maksimum za penjanje	0		839,1	222,1	
A300-622R	ICAO_A	5	6	Ubrzanje	Maksimum za penjanje	0		963,8	250	
A300-622R	ICAO_A	5	7	Penjanje	Maksimum za penjanje	0	5500			
A300-622R	ICAO_A	5	8	Penjanje	Maksimum za penjanje	0	7500			
A300-622R	ICAO_A	5	9	Penjanje	Maksimum za penjanje	0	10000			
A300-622R	ICAO_A	6	1	Uzlijetanje	Maksimum za uzlijetanje	1500				
A300-622R	ICAO_A	6	2	Penjanje	Maksimum za uzlijetanje	1500	1500			
A300-622R	ICAO_A	6	3	Penjanje	Maksimum za penjanje	1500	3000			
A300-622R	ICAO_A	6	4	Ubrzanje	Maksimum za penjanje	1500		660,6	216,3	
A300-622R	ICAO_A	6	5	Ubrzanje	Maksimum za penjanje	0		765,7	227,9	
A300-622R	ICAO_A	6	6	Ubrzanje	Maksimum za penjanje	0		876,5	250	
A300-622R	ICAO_A	6	7	Penjanje	Maksimum za penjanje	0	5500			
A300-622R	ICAO_A	6	8	Penjanje	Maksimum za penjanje	0	7500			
A300-622R	ICAO_A	6	9	Penjanje	Maksimum za penjanje	0	10000			

A300-622R	ICAO_B	1	1	Uzljetanje	Maksimum za uzljetanje	1500				
A300-622R	ICAO_B	1	2	Penjanje	Maksimum za uzljetanje	1500	1000			
A300-622R	ICAO_B	1	3	Ubrzanje	Maksimum za uzljetanje	1500		1419,5	185,3	
A300-622R	ICAO_B	1	4	Penjanje	Maksimum za penjanje	0	3000			
A300-622R	ICAO_B	1	5	Ubrzanje	Maksimum za penjanje	0		1275	250	
A300-622R	ICAO_B	1	6	Penjanje	Maksimum za penjanje	0	5500			
A300-622R	ICAO_B	1	7	Penjanje	Maksimum za penjanje	0	7500			
A300-622R	ICAO_B	1	8	Penjanje	Maksimum za penjanje	0	10000			
A300-622R	ICAO_B	2	1	Uzljetanje	Maksimum za uzljetanje	1500				
A300-622R	ICAO_B	2	2	Penjanje	Maksimum za uzljetanje	1500	1000			
A300-622R	ICAO_B	2	3	Ubrzanje	Maksimum za uzljetanje	1500		1361,3	189,3	
A300-622R	ICAO_B	2	4	Penjanje	Maksimum za penjanje	0	3000			
A300-622R	ICAO_B	2	5	Ubrzanje	Maksimum za penjanje	0		1216,8	250	
A300-622R	ICAO_B	2	6	Penjanje	Maksimum za penjanje	0	5500			
A300-622R	ICAO_B	2	7	Penjanje	Maksimum za penjanje	0	7500			
A300-622R	ICAO_B	2	8	Penjanje	Maksimum za penjanje	0	10000			

A300-622R	ICAO_B	3	1	Uzljetanje	Maksimum za uzljetanje	1500				
A300-622R	ICAO_B	3	2	Penjanje	Maksimum za uzljetanje	1500	1000			
A300-622R	ICAO_B	3	3	Ubrzanje	Maksimum za uzljetanje	1500		1303,7	193,2	
A300-622R	ICAO_B	3	4	Penjanje	Maksimum za penjanje	0	3000			
A300-622R	ICAO_B	3	5	Ubrzanje	Maksimum za penjanje	0		1159,4	250	
A300-622R	ICAO_B	3	6	Penjanje	Maksimum za penjanje	0	5500			
A300-622R	ICAO_B	3	7	Penjanje	Maksimum za penjanje	0	7500			
A300-622R	ICAO_B	3	8	Penjanje	Maksimum za penjanje	0	10000			
A300-622R	ICAO_B	4	1	Uzljetanje	Maksimum za uzljetanje	1500				
A300-622R	ICAO_B	4	2	Penjanje	Maksimum za uzljetanje	1500	1000			
A300-622R	ICAO_B	4	3	Ubrzanje	Maksimum za uzljetanje	1500		1210,4	200,1	
A300-622R	ICAO_B	4	4	Penjanje	Maksimum za penjanje	0	3000			
A300-622R	ICAO_B	4	5	Ubrzanje	Maksimum za penjanje	0		1065,5	250	
A300-622R	ICAO_B	4	6	Penjanje	Maksimum za penjanje	0	5500			
A300-622R	ICAO_B	4	7	Penjanje	Maksimum za penjanje	0	7500			
A300-622R	ICAO_B	4	8	Penjanje	Maksimum za penjanje	0	10000			

A300-622R	ICAO_B	5	1	Uzljetanje	Maksimum za uzljetanje	1500				
A300-622R	ICAO_B	5	2	Penjanje	Maksimum za uzljetanje	1500	1000			
A300-622R	ICAO_B	5	3	Ubrzanje	Maksimum za uzljetanje	1500		1099,6	209,1	
A300-622R	ICAO_B	5	4	Penjanje	Maksimum za penjanje	0	3000			
A300-622R	ICAO_B	5	5	Ubrzanje	Maksimum za penjanje	0		953,9	250	
A300-622R	ICAO_B	5	6	Penjanje	Maksimum za penjanje	0	5500			
A300-622R	ICAO_B	5	7	Penjanje	Maksimum za penjanje	0	7500			
A300-622R	ICAO_B	5	8	Penjanje	Maksimum za penjanje	0	10000			
A300-622R	ICAO_B	6	1	Uzljetanje	Maksimum za uzljetanje	1500				
A300-622R	ICAO_B	6	2	Penjanje	Maksimum za uzljetanje	1500	1000			
A300-622R	ICAO_B	6	3	Ubrzanje	Maksimum za uzljetanje	1500		1015,3	216,4	
A300-622R	ICAO_B	6	4	Penjanje	Maksimum za penjanje	0	3000			
A300-622R	ICAO_B	6	5	Ubrzanje	Maksimum za penjanje	0		870,9	250	
A300-622R	ICAO_B	6	6	Penjanje	Maksimum za penjanje	0	5500			
A300-622R	ICAO_B	6	7	Penjanje	Maksimum za penjanje	0	7500			
A300-622R	ICAO_B	6	8	Penjanje	Maksimum za penjanje	0	10000			

A300B4-203	DEFAULT	1	1	Uzlijetanje	Maksimum za uzlijetanje	8				
A300B4-203	DEFAULT	1	2	Penjanje	Maksimum za uzlijetanje	8	1000			
A300B4-203	DEFAULT	1	3	Ubrzanje	Maksimum za uzlijetanje	8		2440	169	
A300B4-203	DEFAULT	1	4	Ubrzanje	Maksimum za uzlijetanje	1		1830	189	
A300B4-203	DEFAULT	1	5	Ubrzanje	Maksimum za penjanje	ZERO		1000	209	
A300B4-203	DEFAULT	1	6	Penjanje	Maksimum za penjanje	ZERO	3000			
A300B4-203	DEFAULT	1	7	Ubrzanje	Maksimum za penjanje	ZERO		1000	250	
A300B4-203	DEFAULT	1	8	Penjanje	Maksimum za penjanje	ZERO	5500			
A300B4-203	DEFAULT	1	9	Penjanje	Maksimum za penjanje	ZERO	7500			
A300B4-203	DEFAULT	1	10	Penjanje	Maksimum za penjanje	ZERO	10000			
A300B4-203	DEFAULT	2	1	Uzlijetanje	Maksimum za uzlijetanje	8				
A300B4-203	DEFAULT	2	2	Penjanje	Maksimum za uzlijetanje	8	1000			
A300B4-203	DEFAULT	2	3	Ubrzanje	Maksimum za uzlijetanje	8		2268	174	
A300B4-203	DEFAULT	2	4	Ubrzanje	Maksimum za uzlijetanje	1		1701	194	
A300B4-203	DEFAULT	2	5	Ubrzanje	Maksimum za penjanje	ZERO		1000	214	
A300B4-203	DEFAULT	2	6	Penjanje	Maksimum za penjanje	ZERO	3000			

A300B4-203	DEFAULT	2	7	Ubrzanje	Maksimum za penjanje	ZERO		1000	250	
A300B4-203	DEFAULT	2	8	Penjanje	Maksimum za penjanje	ZERO	5500			
A300B4-203	DEFAULT	2	9	Penjanje	Maksimum za penjanje	ZERO	7500			
A300B4-203	DEFAULT	2	10	Penjanje	Maksimum za penjanje	ZERO	10000			
A300B4-203	DEFAULT	3	1	Uzlijetanje	Maksimum za uzlijetanje	8				
A300B4-203	DEFAULT	3	2	Penjanje	Maksimum za uzlijetanje	8	1000			
A300B4-203	DEFAULT	3	3	Ubrzanje	Maksimum za uzlijetanje	8		2137	178	
A300B4-203	DEFAULT	3	4	Ubrzanje	Maksimum za uzlijetanje	1		1603	198	
A300B4-203	DEFAULT	3	5	Ubrzanje	Maksimum za penjanje	ZERO		1000	218	
A300B4-203	DEFAULT	3	6	Penjanje	Maksimum za penjanje	ZERO	3000			
A300B4-203	DEFAULT	3	7	Ubrzanje	Maksimum za penjanje	ZERO		1000	250	
A300B4-203	DEFAULT	3	8	Penjanje	Maksimum za penjanje	ZERO	5500			
A300B4-203	DEFAULT	3	9	Penjanje	Maksimum za penjanje	ZERO	7500			
A300B4-203	DEFAULT	3	10	Penjanje	Maksimum za penjanje	ZERO	10000			
A300B4-203	DEFAULT	4	1	Uzlijetanje	Maksimum za uzlijetanje	8				
A300B4-203	DEFAULT	4	2	Penjanje	Maksimum za uzlijetanje	8	1000			

A300B4-203	DEFAULT	4	3	Ubrzanje	Maksimum za uzlijetanje	8		1912	186	
A300B4-203	DEFAULT	4	4	Ubrzanje	Maksimum za uzlijetanje	1		1434	206	
A300B4-203	DEFAULT	4	5	Ubrzanje	Maksimum za penjanje	ZERO		1000	226	
A300B4-203	DEFAULT	4	6	Penjanje	Maksimum za penjanje	ZERO	3000			
A300B4-203	DEFAULT	4	7	Ubrzanje	Maksimum za penjanje	ZERO		1000	250	
A300B4-203	DEFAULT	4	8	Penjanje	Maksimum za penjanje	ZERO	5500			
A300B4-203	DEFAULT	4	9	Penjanje	Maksimum za penjanje	ZERO	7500			
A300B4-203	DEFAULT	4	10	Penjanje	Maksimum za penjanje	ZERO	10000			
A300B4-203	DEFAULT	5	1	Uzlijetanje	Maksimum za uzlijetanje	8				
A300B4-203	DEFAULT	5	2	Penjanje	Maksimum za uzlijetanje	8	1000			
A300B4-203	DEFAULT	5	3	Ubrzanje	Maksimum za uzlijetanje	8		1688	194	
A300B4-203	DEFAULT	5	4	Ubrzanje	Maksimum za uzlijetanje	1		1266	214	
A300B4-203	DEFAULT	5	5	Ubrzanje	Maksimum za penjanje	ZERO		1000	234	
A300B4-203	DEFAULT	5	6	Penjanje	Maksimum za penjanje	ZERO	3000			
A300B4-203	DEFAULT	5	7	Ubrzanje	Maksimum za penjanje	ZERO		1000	250	
A300B4-203	DEFAULT	5	8	Penjanje	Maksimum za penjanje	ZERO	5500			

A300B4-203	DEFAULT	5	9	Penjanje	Maksimum za penjanje	ZERO	7500			
A300B4-203	DEFAULT	5	10	Penjanje	Maksimum za penjanje	ZERO	10000			
A310-304	DEFAULT	1	1	Uzlijetanje	Maksimum za uzlijetanje	1500				
A310-304	DEFAULT	1	2	Penjanje	Maksimum za uzlijetanje	1500	1000			
A310-304	DEFAULT	1	3	Ubrzanje	Maksimum za uzlijetanje	1500		1475,7	179,5	
A310-304	DEFAULT	1	4	Penjanje	Maksimum za penjanje	0	3000			
A310-304	DEFAULT	1	5	Ubrzanje	Maksimum za penjanje	0		1454,9	250	
A310-304	DEFAULT	1	6	Penjanje	Maksimum za penjanje	0	5500			
A310-304	DEFAULT	1	7	Penjanje	Maksimum za penjanje	0	7500			
A310-304	DEFAULT	1	8	Penjanje	Maksimum za penjanje	0	10000			
A310-304	DEFAULT	2	1	Uzlijetanje	Maksimum za uzlijetanje	1500				
A310-304	DEFAULT	2	2	Penjanje	Maksimum za uzlijetanje	1500	1000			
A310-304	DEFAULT	2	3	Ubrzanje	Maksimum za uzlijetanje	1500		1415,7	183	
A310-304	DEFAULT	2	4	Penjanje	Maksimum za penjanje	0	3000			
A310-304	DEFAULT	2	5	Ubrzanje	Maksimum za penjanje	0		1392,7	250	
A310-304	DEFAULT	2	6	Penjanje	Maksimum za penjanje	0	5500			

A310-304	DEFAULT	2	7	Penjanje	Maksimum za penjanje	0	7500			
A310-304	DEFAULT	2	8	Penjanje	Maksimum za penjanje	0	10000			
A310-304	DEFAULT	3	1	Uzlijetanje	Maksimum za uzlijetanje	1500				
A310-304	DEFAULT	3	2	Penjanje	Maksimum za uzlijetanje	1500	1000			
A310-304	DEFAULT	3	3	Ubrzanje	Maksimum za uzlijetanje	1500		1357	186,6	
A310-304	DEFAULT	3	4	Penjanje	Maksimum za penjanje	0	3000			
A310-304	DEFAULT	3	5	Ubrzanje	Maksimum za penjanje	0		1332,3	250	
A310-304	DEFAULT	3	6	Penjanje	Maksimum za penjanje	0	5500			
A310-304	DEFAULT	3	7	Penjanje	Maksimum za penjanje	0	7500			
A310-304	DEFAULT	3	8	Penjanje	Maksimum za penjanje	0	10000			
A310-304	DEFAULT	4	1	Uzlijetanje	Maksimum za uzlijetanje	1500				
A310-304	DEFAULT	4	2	Penjanje	Maksimum za uzlijetanje	1500	1000			
A310-304	DEFAULT	4	3	Ubrzanje	Maksimum za uzlijetanje	1500		1262,8	192,8	
A310-304	DEFAULT	4	4	Penjanje	Maksimum za penjanje	0	3000			
A310-304	DEFAULT	4	5	Ubrzanje	Maksimum za penjanje	0		1234,1	250	
A310-304	DEFAULT	4	6	Penjanje	Maksimum za penjanje	0	5500			

A310-304	DEFAULT	4	7	Penjanje	Maksimum za penjanje	0	7500			
A310-304	DEFAULT	4	8	Penjanje	Maksimum za penjanje	0	10000			
A310-304	DEFAULT	5	1	Uzlijetanje	Maksimum za uzlijetanje	1500				
A310-304	DEFAULT	5	2	Penjanje	Maksimum za uzlijetanje	1500	1000			
A310-304	DEFAULT	5	3	Ubrzanje	Maksimum za uzlijetanje	1500		1151,8	200,9	
A310-304	DEFAULT	5	4	Penjanje	Maksimum za penjanje	0	3000			
A310-304	DEFAULT	5	5	Ubrzanje	Maksimum za penjanje	0		1117,9	250	
A310-304	DEFAULT	5	6	Penjanje	Maksimum za penjanje	0	5500			
A310-304	DEFAULT	5	7	Penjanje	Maksimum za penjanje	0	7500			
A310-304	DEFAULT	5	8	Penjanje	Maksimum za penjanje	0	10000			
A310-304	DEFAULT	6	1	Uzlijetanje	Maksimum za uzlijetanje	1500				
A310-304	DEFAULT	6	2	Penjanje	Maksimum za uzlijetanje	1500	1000			
A310-304	DEFAULT	6	3	Ubrzanje	Maksimum za uzlijetanje	1500		990,5	214,3	
A310-304	DEFAULT	6	4	Penjanje	Maksimum za penjanje	0	3000			
A310-304	DEFAULT	6	5	Ubrzanje	Maksimum za penjanje	0		944,8	250	
A310-304	DEFAULT	6	6	Penjanje	Maksimum za penjanje	0	5500			

A310-304	DEFAULT	6	7	Penjanje	Maksimum za penjanje	0	7500			
A310-304	DEFAULT	6	8	Penjanje	Maksimum za penjanje	0	10000			
A310-304	ICAO_A	1	1	Uzlijetanje	Maksimum za uzlijetanje	1500				
A310-304	ICAO_A	1	2	Penjanje	Maksimum za uzlijetanje	1500	1500			
A310-304	ICAO_A	1	3	Penjanje	Maksimum za penjanje	1500	3000			
A310-304	ICAO_A	1	4	Ubrzanje	Maksimum za penjanje	1500		1167,6	179,4	
A310-304	ICAO_A	1	5	Ubrzanje	Maksimum za penjanje	0		1273,6	200,4	
A310-304	ICAO_A	1	6	Ubrzanje	Maksimum za penjanje	0		1496,6	250	
A310-304	ICAO_A	1	7	Penjanje	Maksimum za penjanje	0	5500			
A310-304	ICAO_A	1	8	Penjanje	Maksimum za penjanje	0	7500			
A310-304	ICAO_A	1	9	Penjanje	Maksimum za penjanje	0	10000			
A310-304	ICAO_A	2	1	Uzlijetanje	Maksimum za uzlijetanje	1500				
A310-304	ICAO_A	2	2	Penjanje	Maksimum za uzlijetanje	1500	1500			
A310-304	ICAO_A	2	3	Penjanje	Maksimum za penjanje	1500	3000			
A310-304	ICAO_A	2	4	Ubrzanje	Maksimum za penjanje	1500		1115,8	182,9	
A310-304	ICAO_A	2	5	Ubrzanje	Maksimum za penjanje	0		1222,3	202,8	

A310-304	ICAO_A	2	6	Ubrzanje	Maksimum za penjanje	0		1430,5	250	
A310-304	ICAO_A	2	7	Penjanje	Maksimum za penjanje	0	5500			
A310-304	ICAO_A	2	8	Penjanje	Maksimum za penjanje	0	7500			
A310-304	ICAO_A	2	9	Penjanje	Maksimum za penjanje	0	10000			
A310-304	ICAO_A	3	1	Uzlijetanje	Maksimum za uzlijetanje	1500				
A310-304	ICAO_A	3	2	Penjanje	Maksimum za uzlijetanje	1500	1500			
A310-304	ICAO_A	3	3	Penjanje	Maksimum za penjanje	1500	3000			
A310-304	ICAO_A	3	4	Ubrzanje	Maksimum za penjanje	1500		1065,4	186,5	
A310-304	ICAO_A	3	5	Ubrzanje	Maksimum za penjanje	0		1172,6	205,3	
A310-304	ICAO_A	3	6	Ubrzanje	Maksimum za penjanje	0		1366,6	250	
A310-304	ICAO_A	3	7	Penjanje	Maksimum za penjanje	0	5500			
A310-304	ICAO_A	3	8	Penjanje	Maksimum za penjanje	0	7500			
A310-304	ICAO_A	3	9	Penjanje	Maksimum za penjanje	0	10000			
A310-304	ICAO_A	4	1	Uzlijetanje	Maksimum za uzlijetanje	1500				
A310-304	ICAO_A	4	2	Penjanje	Maksimum za uzlijetanje	1500	1500			
A310-304	ICAO_A	4	3	Penjanje	Maksimum za penjanje	1500	3000			

A310-304	ICAO_A	4	4	Ubrzanje	Maksimum za penjanje	1500		984,3	192,7	
A310-304	ICAO_A	4	5	Ubrzanje	Maksimum za penjanje	0		1091,4	209,7	
A310-304	ICAO_A	4	6	Ubrzanje	Maksimum za penjanje	0		1262,9	250	
A310-304	ICAO_A	4	7	Penjanje	Maksimum za penjanje	0	5500			
A310-304	ICAO_A	4	8	Penjanje	Maksimum za penjanje	0	7500			
A310-304	ICAO_A	4	9	Penjanje	Maksimum za penjanje	0	10000			
A310-304	ICAO_A	5	1	Uzlijetanje	Maksimum za uzlijetanje	1500				
A310-304	ICAO_A	5	2	Penjanje	Maksimum za uzlijetanje	1500	1500			
A310-304	ICAO_A	5	3	Penjanje	Maksimum za penjanje	1500	3000			
A310-304	ICAO_A	5	4	Ubrzanje	Maksimum za penjanje	1500		888,4	200,8	
A310-304	ICAO_A	5	5	Ubrzanje	Maksimum za penjanje	0		994,5	215,7	
A310-304	ICAO_A	5	6	Ubrzanje	Maksimum za penjanje	0		1140,7	250	
A310-304	ICAO_A	5	7	Penjanje	Maksimum za penjanje	0	5500			
A310-304	ICAO_A	5	8	Penjanje	Maksimum za penjanje	0	7500			
A310-304	ICAO_A	5	9	Penjanje	Maksimum za penjanje	0	10000			
A310-304	ICAO_A	6	1	Uzlijetanje	Maksimum za uzlijetanje	1500				

A310-304	ICAO_A	6	2	Penjanje	Maksimum za uzljetanje	1500	1500			
A310-304	ICAO_A	6	3	Penjanje	Maksimum za penjanje	1500	3000			
A310-304	ICAO_A	6	4	Ubrzanje	Maksimum za penjanje	1500		747,4	214,2	
A310-304	ICAO_A	6	5	Ubrzanje	Maksimum za penjanje	0		848,6	226,2	
A310-304	ICAO_A	6	6	Ubrzanje	Maksimum za penjanje	0		959,5	250	
A310-304	ICAO_A	6	7	Penjanje	Maksimum za penjanje	0	5500			
A310-304	ICAO_A	6	8	Penjanje	Maksimum za penjanje	0	7500			
A310-304	ICAO_A	6	9	Penjanje	Maksimum za penjanje	0	10000			
A310-304	ICAO_B	1	1	Uzljetanje	Maksimum za uzljetanje	1500				
A310-304	ICAO_B	1	2	Penjanje	Maksimum za uzljetanje	1500	1000			
A310-304	ICAO_B	1	3	Ubrzanje	Maksimum za uzljetanje	1500		1475,7	179,5	
A310-304	ICAO_B	1	4	Penjanje	Maksimum za penjanje	0	3000			
A310-304	ICAO_B	1	5	Ubrzanje	Maksimum za penjanje	0		1454,9	250	
A310-304	ICAO_B	1	6	Penjanje	Maksimum za penjanje	0	5500			
A310-304	ICAO_B	1	7	Penjanje	Maksimum za penjanje	0	7500			
A310-304	ICAO_B	1	8	Penjanje	Maksimum za penjanje	0	10000			

A310-304	ICAO_B	2	1	Uzljetanje	Maksimum za uzljetanje	1500				
A310-304	ICAO_B	2	2	Penjanje	Maksimum za uzljetanje	1500	1000			
A310-304	ICAO_B	2	3	Ubrzanje	Maksimum za uzljetanje	1500		1415,7	183	
A310-304	ICAO_B	2	4	Penjanje	Maksimum za penjanje	0	3000			
A310-304	ICAO_B	2	5	Ubrzanje	Maksimum za penjanje	0		1392,7	250	
A310-304	ICAO_B	2	6	Penjanje	Maksimum za penjanje	0	5500			
A310-304	ICAO_B	2	7	Penjanje	Maksimum za penjanje	0	7500			
A310-304	ICAO_B	2	8	Penjanje	Maksimum za penjanje	0	10000			
A310-304	ICAO_B	3	1	Uzljetanje	Maksimum za uzljetanje	1500				
A310-304	ICAO_B	3	2	Penjanje	Maksimum za uzljetanje	1500	1000			
A310-304	ICAO_B	3	3	Ubrzanje	Maksimum za uzljetanje	1500		1357	186,6	
A310-304	ICAO_B	3	4	Penjanje	Maksimum za penjanje	0	3000			
A310-304	ICAO_B	3	5	Ubrzanje	Maksimum za penjanje	0		1332,3	250	
A310-304	ICAO_B	3	6	Penjanje	Maksimum za penjanje	0	5500			
A310-304	ICAO_B	3	7	Penjanje	Maksimum za penjanje	0	7500			
A310-304	ICAO_B	3	8	Penjanje	Maksimum za penjanje	0	10000			

A310-304	ICAO_B	4	1	Uzljetanje	Maksimum za uzljetanje	1500				
A310-304	ICAO_B	4	2	Penjanje	Maksimum za uzljetanje	1500	1000			
A310-304	ICAO_B	4	3	Ubrzanje	Maksimum za uzljetanje	1500		1262,8	192,8	
A310-304	ICAO_B	4	4	Penjanje	Maksimum za penjanje	0	3000			
A310-304	ICAO_B	4	5	Ubrzanje	Maksimum za penjanje	0		1234,1	250	
A310-304	ICAO_B	4	6	Penjanje	Maksimum za penjanje	0	5500			
A310-304	ICAO_B	4	7	Penjanje	Maksimum za penjanje	0	7500			
A310-304	ICAO_B	4	8	Penjanje	Maksimum za penjanje	0	10000			
A310-304	ICAO_B	5	1	Uzljetanje	Maksimum za uzljetanje	1500				
A310-304	ICAO_B	5	2	Penjanje	Maksimum za uzljetanje	1500	1000			
A310-304	ICAO_B	5	3	Ubrzanje	Maksimum za uzljetanje	1500		1151,8	200,9	
A310-304	ICAO_B	5	4	Penjanje	Maksimum za penjanje	0	3000			
A310-304	ICAO_B	5	5	Ubrzanje	Maksimum za penjanje	0		1117,9	250	
A310-304	ICAO_B	5	6	Penjanje	Maksimum za penjanje	0	5500			
A310-304	ICAO_B	5	7	Penjanje	Maksimum za penjanje	0	7500			
A310-304	ICAO_B	5	8	Penjanje	Maksimum za penjanje	0	10000			

A310-304	ICAO_B	6	1	Uzljetanje	Maksimum za uzljetanje	1500				
A310-304	ICAO_B	6	2	Penjanje	Maksimum za uzljetanje	1500	1000			
A310-304	ICAO_B	6	3	Ubrzanje	Maksimum za uzljetanje	1500		990,5	214,3	
A310-304	ICAO_B	6	4	Penjanje	Maksimum za penjanje	0	3000			
A310-304	ICAO_B	6	5	Ubrzanje	Maksimum za penjanje	0		944,8	250	
A310-304	ICAO_B	6	6	Penjanje	Maksimum za penjanje	0	5500			
A310-304	ICAO_B	6	7	Penjanje	Maksimum za penjanje	0	7500			
A310-304	ICAO_B	6	8	Penjanje	Maksimum za penjanje	0	10000			
A319-131	DEFAULT	1	1	Uzljetanje	Maksimum za uzljetanje	1+F				
A319-131	DEFAULT	1	2	Penjanje	Maksimum za uzljetanje	1+F	1000			
A319-131	DEFAULT	1	3	Ubrzanje	Maksimum za uzljetanje	1+F		1042,6	181,6	
A319-131	DEFAULT	1	4	Ubrzanje	Maksimum za uzljetanje	1		1177,5	200,7	
A319-131	DEFAULT	1	5	Penjanje	Maksimum za penjanje	ZERO	3000			
A319-131	DEFAULT	1	6	Ubrzanje	Maksimum za penjanje	ZERO		1320,8	250	
A319-131	DEFAULT	1	7	Penjanje	Maksimum za penjanje	ZERO	5500			
A319-131	DEFAULT	1	8	Penjanje	Maksimum za penjanje	ZERO	7500			

A319-131	DEFAULT	1	9	Penjanje	Maksimum za penjanje	ZERO	10000			
A319-131	DEFAULT	2	1	Uzlijetanje	Maksimum za uzlijetanje	1+F				
A319-131	DEFAULT	2	2	Penjanje	Maksimum za uzlijetanje	1+F	1000			
A319-131	DEFAULT	2	3	Ubrzanje	Maksimum za uzlijetanje	1+F		997,1	185,3	
A319-131	DEFAULT	2	4	Ubrzanje	Maksimum za uzlijetanje	1		1128,9	203,3	
A319-131	DEFAULT	2	5	Penjanje	Maksimum za penjanje	ZERO	3000			
A319-131	DEFAULT	2	6	Ubrzanje	Maksimum za penjanje	ZERO		1264	250	
A319-131	DEFAULT	2	7	Penjanje	Maksimum za penjanje	ZERO	5500			
A319-131	DEFAULT	2	8	Penjanje	Maksimum za penjanje	ZERO	7500			
A319-131	DEFAULT	2	9	Penjanje	Maksimum za penjanje	ZERO	10000			
A319-131	DEFAULT	3	1	Uzlijetanje	Maksimum za uzlijetanje	1+F				
A319-131	DEFAULT	3	2	Penjanje	Maksimum za uzlijetanje	1+F	1000			
A319-131	DEFAULT	3	3	Ubrzanje	Maksimum za uzlijetanje	1+F		952,7	189	
A319-131	DEFAULT	3	4	Ubrzanje	Maksimum za uzlijetanje	1		1081	206	
A319-131	DEFAULT	3	5	Penjanje	Maksimum za penjanje	ZERO	3000			
A319-131	DEFAULT	3	6	Ubrzanje	Maksimum za penjanje	ZERO		1208,7	250	

A319-131	DEFAULT	3	7	Penjanje	Maksimum za penjanje	ZERO	5500			
A319-131	DEFAULT	3	8	Penjanje	Maksimum za penjanje	ZERO	7500			
A319-131	DEFAULT	3	9	Penjanje	Maksimum za penjanje	ZERO	10000			
A319-131	DEFAULT	4	1	Uzlijetanje	Maksimum za uzlijetanje	1+F				
A319-131	DEFAULT	4	2	Penjanje	Maksimum za uzlijetanje	1+F	1000			
A319-131	DEFAULT	4	3	Ubrzanje	Maksimum za uzlijetanje	1+F		880,8	195,6	
A319-131	DEFAULT	4	4	Ubrzanje	Maksimum za uzlijetanje	1		1001,7	210,8	
A319-131	DEFAULT	4	5	Penjanje	Maksimum za penjanje	ZERO	3000			
A319-131	DEFAULT	4	6	Ubrzanje	Maksimum za penjanje	ZERO		1119,6	250	
A319-131	DEFAULT	4	7	Penjanje	Maksimum za penjanje	ZERO	5500			
A319-131	DEFAULT	4	8	Penjanje	Maksimum za penjanje	ZERO	7500			
A319-131	DEFAULT	4	9	Penjanje	Maksimum za penjanje	ZERO	10000			
A319-131	DEFAULT	5	1	Uzlijetanje	Maksimum za uzlijetanje	1+F				
A319-131	DEFAULT	5	2	Ubrzanje	Maksimum za uzlijetanje	1+F		735,2	169,7	
A319-131	DEFAULT	5	3	Penjanje	Maksimum za uzlijetanje	1+F	1000			
A319-131	DEFAULT	5	4	Ubrzanje	Maksimum za uzlijetanje	1+F		793,4	208,8	

A319-131	DEFAULT	5	5	Ubrzanje	Maksimum za uzljetanje	ZERO		860	221,2	
A319-131	DEFAULT	5	6	Penjanje	Maksimum za penjanje	ZERO	3000			
A319-131	DEFAULT	5	7	Ubrzanje	Maksimum za penjanje	ZERO		964,2	250	
A319-131	DEFAULT	5	8	Penjanje	Maksimum za penjanje	ZERO	5500			
A319-131	DEFAULT	5	9	Penjanje	Maksimum za penjanje	ZERO	7500			
A319-131	DEFAULT	5	10	Penjanje	Maksimum za penjanje	ZERO	10000			
A319-131	ICAO_A	1	1	Uzljetanje	Maksimum za uzljetanje	1+F				
A319-131	ICAO_A	1	2	Penjanje	Maksimum za uzljetanje	1+F	1500			
A319-131	ICAO_A	1	3	Penjanje	Maksimum za penjanje	1+F	3000			
A319-131	ICAO_A	1	4	Ubrzanje	Maksimum za penjanje	1+F		822,7	181,4	
A319-131	ICAO_A	1	5	Ubrzanje	Maksimum za penjanje	1		972,3	196,5	
A319-131	ICAO_A	1	6	Ubrzanje	Maksimum za penjanje	ZERO		1162,8	223,8	
A319-131	ICAO_A	1	7	Ubrzanje	Maksimum za penjanje	ZERO		1374,2	250	
A319-131	ICAO_A	1	8	Penjanje	Maksimum za penjanje	ZERO	5500			
A319-131	ICAO_A	1	9	Penjanje	Maksimum za penjanje	ZERO	7500			
A319-131	ICAO_A	1	10	Penjanje	Maksimum za penjanje	ZERO	10000			

A319-131	ICAO_A	2	1	Uzlijetanje	Maksimum za uzlijetanje	1+F				
A319-131	ICAO_A	2	2	Penjanje	Maksimum za uzlijetanje	1+F	1500			
A319-131	ICAO_A	2	3	Penjanje	Maksimum za penjanje	1+F	3000			
A319-131	ICAO_A	2	4	Ubrzanje	Maksimum za penjanje	1+F		786,5	185,2	
A319-131	ICAO_A	2	5	Ubrzanje	Maksimum za penjanje	1		935,4	199,4	
A319-131	ICAO_A	2	6	Ubrzanje	Maksimum za penjanje	ZERO		1115,9	225,3	
A319-131	ICAO_A	2	7	Ubrzanje	Maksimum za penjanje	ZERO		1312,1	250	
A319-131	ICAO_A	2	8	Penjanje	Maksimum za penjanje	ZERO	5500			
A319-131	ICAO_A	2	9	Penjanje	Maksimum za penjanje	ZERO	7500			
A319-131	ICAO_A	2	10	Penjanje	Maksimum za penjanje	ZERO	10000			
A319-131	ICAO_A	3	1	Uzlijetanje	Maksimum za uzlijetanje	1+F				
A319-131	ICAO_A	3	2	Penjanje	Maksimum za uzlijetanje	1+F	1500			
A319-131	ICAO_A	3	3	Penjanje	Maksimum za penjanje	1+F	3000			
A319-131	ICAO_A	3	4	Ubrzanje	Maksimum za penjanje	1+F		751,1	188,9	
A319-131	ICAO_A	3	5	Ubrzanje	Maksimum za penjanje	1		899,4	202,4	
A319-131	ICAO_A	3	6	Ubrzanje	Maksimum za penjanje	ZERO		1070,2	226,9	

A319-131	ICAO_A	3	7	Ubrzanje	Maksimum za penjanje	ZERO		1252	250	
A319-131	ICAO_A	3	8	Penjanje	Maksimum za penjanje	ZERO	5500			
A319-131	ICAO_A	3	9	Penjanje	Maksimum za penjanje	ZERO	7500			
A319-131	ICAO_A	3	10	Penjanje	Maksimum za penjanje	ZERO	10000			
A319-131	ICAO_A	4	1	Uzlijetanje	Maksimum za uzlijetanje	1+F				
A319-131	ICAO_A	4	2	Penjanje	Maksimum za uzlijetanje	1+F	1500			
A319-131	ICAO_A	4	3	Penjanje	Maksimum za penjanje	1+F	3000			
A319-131	ICAO_A	4	4	Ubrzanje	Maksimum za penjanje	1+F		693,7	195,4	
A319-131	ICAO_A	4	5	Ubrzanje	Maksimum za penjanje	1		840,2	207,6	
A319-131	ICAO_A	4	6	Ubrzanje	Maksimum za penjanje	ZERO		996,8	230	
A319-131	ICAO_A	4	7	Ubrzanje	Maksimum za penjanje	ZERO		1155,3	250	
A319-131	ICAO_A	4	8	Penjanje	Maksimum za penjanje	ZERO	5500			
A319-131	ICAO_A	4	9	Penjanje	Maksimum za penjanje	ZERO	7500			
A319-131	ICAO_A	4	10	Penjanje	Maksimum za penjanje	ZERO	10000			
A319-131	ICAO_A	5	1	Uzlijetanje	Maksimum za uzlijetanje	1+F				
A319-131	ICAO_A	5	2	Ubrzanje	Maksimum za uzlijetanje	1+F		735,2	169,7	

A319-131	ICAO_A	5	3	Penjanje	Maksimum za uzljetanje	1+F	1500			
A319-131	ICAO_A	5	4	Penjanje	Maksimum za penjanje	1+F	3000			
A319-131	ICAO_A	5	5	Ubrzanje	Maksimum za penjanje	1+F		637,2	208,7	
A319-131	ICAO_A	5	6	Ubrzanje	Maksimum za penjanje	1		733,4	218,7	
A319-131	ICAO_A	5	7	Ubrzanje	Maksimum za penjanje	ZERO		869,2	237,4	
A319-131	ICAO_A	5	8	Ubrzanje	Maksimum za penjanje	ZERO		987,8	250	
A319-131	ICAO_A	5	9	Penjanje	Maksimum za penjanje	ZERO	5500			
A319-131	ICAO_A	5	10	Penjanje	Maksimum za penjanje	ZERO	7500			
A319-131	ICAO_A	5	11	Penjanje	Maksimum za penjanje	ZERO	10000			
A319-131	ICAO_B	1	1	Uzljetanje	Maksimum za uzljetanje	1+F				
A319-131	ICAO_B	1	2	Penjanje	Maksimum za uzljetanje	1+F	1000			
A319-131	ICAO_B	1	3	Ubrzanje	Maksimum za uzljetanje	1+F		1042,6	181,6	
A319-131	ICAO_B	1	4	Ubrzanje	Maksimum za uzljetanje	1		1177,5	200,7	
A319-131	ICAO_B	1	5	Penjanje	Maksimum za penjanje	ZERO	3000			
A319-131	ICAO_B	1	6	Ubrzanje	Maksimum za penjanje	ZERO		1320,8	250	
A319-131	ICAO_B	1	7	Penjanje	Maksimum za penjanje	ZERO	5500			

A319-131	ICAO_B	1	8	Penjanje	Maksimum za penjanje	ZERO	7500			
A319-131	ICAO_B	1	9	Penjanje	Maksimum za penjanje	ZERO	10000			
A319-131	ICAO_B	2	1	Uzlijetanje	Maksimum za uzlijetanje	1+F				
A319-131	ICAO_B	2	2	Penjanje	Maksimum za uzlijetanje	1+F	1000			
A319-131	ICAO_B	2	3	Ubrzanje	Maksimum za uzlijetanje	1+F		997,1	185,3	
A319-131	ICAO_B	2	4	Ubrzanje	Maksimum za uzlijetanje	1		1128,9	203,3	
A319-131	ICAO_B	2	5	Penjanje	Maksimum za penjanje	ZERO	3000			
A319-131	ICAO_B	2	6	Ubrzanje	Maksimum za penjanje	ZERO		1264	250	
A319-131	ICAO_B	2	7	Penjanje	Maksimum za penjanje	ZERO	5500			
A319-131	ICAO_B	2	8	Penjanje	Maksimum za penjanje	ZERO	7500			
A319-131	ICAO_B	2	9	Penjanje	Maksimum za penjanje	ZERO	10000			
A319-131	ICAO_B	3	1	Uzlijetanje	Maksimum za uzlijetanje	1+F				
A319-131	ICAO_B	3	2	Penjanje	Maksimum za uzlijetanje	1+F	1000			
A319-131	ICAO_B	3	3	Ubrzanje	Maksimum za uzlijetanje	1+F		952,7	189	
A319-131	ICAO_B	3	4	Ubrzanje	Maksimum za uzlijetanje	1		1081	206	
A319-131	ICAO_B	3	5	Penjanje	Maksimum za penjanje	ZERO	3000			

A319-131	ICAO_B	3	6	Ubrzanje	Maksimum za penjanje	ZERO		1208,7	250	
A319-131	ICAO_B	3	7	Penjanje	Maksimum za penjanje	ZERO	5500			
A319-131	ICAO_B	3	8	Penjanje	Maksimum za penjanje	ZERO	7500			
A319-131	ICAO_B	3	9	Penjanje	Maksimum za penjanje	ZERO	10000			
A319-131	ICAO_B	4	1	Uzlijetanje	Maksimum za uzlijetanje	1+F				
A319-131	ICAO_B	4	2	Penjanje	Maksimum za uzlijetanje	1+F	1000			
A319-131	ICAO_B	4	3	Ubrzanje	Maksimum za uzlijetanje	1+F		880,8	195,6	
A319-131	ICAO_B	4	4	Ubrzanje	Maksimum za uzlijetanje	1		1001,7	210,8	
A319-131	ICAO_B	4	5	Penjanje	Maksimum za penjanje	ZERO	3000			
A319-131	ICAO_B	4	6	Ubrzanje	Maksimum za penjanje	ZERO		1119,6	250	
A319-131	ICAO_B	4	7	Penjanje	Maksimum za penjanje	ZERO	5500			
A319-131	ICAO_B	4	8	Penjanje	Maksimum za penjanje	ZERO	7500			
A319-131	ICAO_B	4	9	Penjanje	Maksimum za penjanje	ZERO	10000			
A319-131	ICAO_B	5	1	Uzlijetanje	Maksimum za uzlijetanje	1+F				
A319-131	ICAO_B	5	2	Ubrzanje	Maksimum za uzlijetanje	1+F		735,2	169,7	
A319-131	ICAO_B	5	3	Penjanje	Maksimum za uzlijetanje	1+F	1000			

A319-131	ICAO_B	5	4	Ubrzanje	Maksimum za uzlijetanje	1+F		793,4	208,8	
A319-131	ICAO_B	5	5	Ubrzanje	Maksimum za uzlijetanje	ZERO		860	221,2	
A319-131	ICAO_B	5	6	Penjanje	Maksimum za penjanje	ZERO	3000			
A319-131	ICAO_B	5	7	Ubrzanje	Maksimum za penjanje	ZERO		964,2	250	
A319-131	ICAO_B	5	8	Penjanje	Maksimum za penjanje	ZERO	5500			
A319-131	ICAO_B	5	9	Penjanje	Maksimum za penjanje	ZERO	7500			
A319-131	ICAO_B	5	10	Penjanje	Maksimum za penjanje	ZERO	10000			
A320-211	DEFAULT	1	1	Uzlijetanje	Maksimum za uzlijetanje	1+F				
A320-211	DEFAULT	1	2	Penjanje	Maksimum za uzlijetanje	1+F	1000			
A320-211	DEFAULT	1	3	Ubrzanje	Maksimum za uzlijetanje	1+F		1150,5	186,2	
A320-211	DEFAULT	1	4	Ubrzanje	Maksimum za uzlijetanje	1		1300,7	208,1	
A320-211	DEFAULT	1	5	Penjanje	Maksimum za penjanje	ZERO	3000			
A320-211	DEFAULT	1	6	Ubrzanje	Maksimum za penjanje	ZERO		1230,7	250	
A320-211	DEFAULT	1	7	Penjanje	Maksimum za penjanje	ZERO	5500			
A320-211	DEFAULT	1	8	Penjanje	Maksimum za penjanje	ZERO	7500			
A320-211	DEFAULT	1	9	Penjanje	Maksimum za penjanje	ZERO	10000			

A320-211	DEFAULT	2	1	Uzljetanje	Maksimum za uzljetanje	1+F				
A320-211	DEFAULT	2	2	Penjanje	Maksimum za uzljetanje	1+F	1000			
A320-211	DEFAULT	2	3	Ubrzanje	Maksimum za uzljetanje	1+F		1098,5	190,2	
A320-211	DEFAULT	2	4	Ubrzanje	Maksimum za uzljetanje	1		1243,7	210,7	
A320-211	DEFAULT	2	5	Penjanje	Maksimum za penjanje	ZERO	3000			
A320-211	DEFAULT	2	6	Ubrzanje	Maksimum za penjanje	ZERO		1171	250	
A320-211	DEFAULT	2	7	Penjanje	Maksimum za penjanje	ZERO	5500			
A320-211	DEFAULT	2	8	Penjanje	Maksimum za penjanje	ZERO	7500			
A320-211	DEFAULT	2	9	Penjanje	Maksimum za penjanje	ZERO	10000			
A320-211	DEFAULT	3	1	Uzljetanje	Maksimum za uzljetanje	1+F				
A320-211	DEFAULT	3	2	Penjanje	Maksimum za uzljetanje	1+F	1000			
A320-211	DEFAULT	3	3	Ubrzanje	Maksimum za uzljetanje	1+F		1049,6	194,3	
A320-211	DEFAULT	3	4	Ubrzanje	Maksimum za uzljetanje	1		1189,2	213,5	
A320-211	DEFAULT	3	5	Penjanje	Maksimum za penjanje	ZERO	3000			
A320-211	DEFAULT	3	6	Ubrzanje	Maksimum za penjanje	ZERO		1113,9	250	
A320-211	DEFAULT	3	7	Penjanje	Maksimum za penjanje	ZERO	5500			

A320-211	DEFAULT	3	8	Penjanje	Maksimum za penjanje	ZERO	7500			
A320-211	DEFAULT	3	9	Penjanje	Maksimum za penjanje	ZERO	10000			
A320-211	DEFAULT	4	1	Uzlijetanje	Maksimum za uzlijetanje	1+F				
A320-211	DEFAULT	4	2	Penjanje	Maksimum za uzlijetanje	1+F	1000			
A320-211	DEFAULT	4	3	Ubrzanje	Maksimum za uzlijetanje	1+F		972,6	201,4	
A320-211	DEFAULT	4	4	Ubrzanje	Maksimum za uzlijetanje	1		1101	218,7	
A320-211	DEFAULT	4	5	Penjanje	Maksimum za penjanje	ZERO	3000			
A320-211	DEFAULT	4	6	Ubrzanje	Maksimum za penjanje	ZERO		1021	250	
A320-211	DEFAULT	4	7	Penjanje	Maksimum za penjanje	ZERO	5500			
A320-211	DEFAULT	4	8	Penjanje	Maksimum za penjanje	ZERO	7500			
A320-211	DEFAULT	4	9	Penjanje	Maksimum za penjanje	ZERO	10000			
A320-211	DEFAULT	5	1	Uzlijetanje	Maksimum za uzlijetanje	1+F				
A320-211	DEFAULT	5	2	Penjanje	Maksimum za uzlijetanje	1+F	1000			
A320-211	DEFAULT	5	3	Ubrzanje	Maksimum za uzlijetanje	1+F		933,1	205,1	
A320-211	DEFAULT	5	4	Ubrzanje	Maksimum za uzlijetanje	1		1056	221,4	
A320-211	DEFAULT	5	5	Penjanje	Maksimum za penjanje	ZERO	3000			

A320-211	DEFAULT	5	6	Ubrzanje	Maksimum za penjanje	ZERO		973,2	250	
A320-211	DEFAULT	5	7	Penjanje	Maksimum za penjanje	ZERO	5500			
A320-211	DEFAULT	5	8	Penjanje	Maksimum za penjanje	ZERO	7500			
A320-211	DEFAULT	5	9	Penjanje	Maksimum za penjanje	ZERO	10000			
A320-211	ICAO_A	1	1	Uzlijetanje	Maksimum za uzlijetanje	1+F				
A320-211	ICAO_A	1	2	Penjanje	Maksimum za uzlijetanje	1+F	1500			
A320-211	ICAO_A	1	3	Penjanje	Maksimum za penjanje	1+F	3000			
A320-211	ICAO_A	1	4	Ubrzanje	Maksimum za penjanje	1+F		812,1	186,1	
A320-211	ICAO_A	1	5	Ubrzanje	Maksimum za penjanje	1		933,5	201,2	
A320-211	ICAO_A	1	6	Ubrzanje	Maksimum za penjanje	ZERO		1119,7	228,2	
A320-211	ICAO_A	1	7	Ubrzanje	Maksimum za penjanje	ZERO		1240,5	250	
A320-211	ICAO_A	1	8	Penjanje	Maksimum za penjanje	ZERO	5500			
A320-211	ICAO_A	1	9	Penjanje	Maksimum za penjanje	ZERO	7500			
A320-211	ICAO_A	1	10	Penjanje	Maksimum za penjanje	ZERO	10000			
A320-211	ICAO_A	2	1	Uzlijetanje	Maksimum za uzlijetanje	1+F				
A320-211	ICAO_A	2	2	Penjanje	Maksimum za uzlijetanje	1+F	1500			

A320-211	ICAO_A	2	3	Penjanje	Maksimum za penjanje	1+F	3000			
A320-211	ICAO_A	2	4	Ubrzanje	Maksimum za penjanje	1+F		769,5	190,1	
A320-211	ICAO_A	2	5	Ubrzanje	Maksimum za penjanje	1		899,8	204,3	
A320-211	ICAO_A	2	6	Ubrzanje	Maksimum za penjanje	ZERO		1069,9	229,9	
A320-211	ICAO_A	2	7	Ubrzanje	Maksimum za penjanje	ZERO		1176,4	250	
A320-211	ICAO_A	2	8	Penjanje	Maksimum za penjanje	ZERO	5500			
A320-211	ICAO_A	2	9	Penjanje	Maksimum za penjanje	ZERO	7500			
A320-211	ICAO_A	2	10	Penjanje	Maksimum za penjanje	ZERO	10000			
A320-211	ICAO_A	3	1	Uzlijetanje	Maksimum za uzlijetanje	1+F				
A320-211	ICAO_A	3	2	Penjanje	Maksimum za uzlijetanje	1+F	1500			
A320-211	ICAO_A	3	3	Penjanje	Maksimum za penjanje	1+F	3000			
A320-211	ICAO_A	3	4	Ubrzanje	Maksimum za penjanje	1+F		730,3	194,1	
A320-211	ICAO_A	3	5	Ubrzanje	Maksimum za penjanje	1		868	207,6	
A320-211	ICAO_A	3	6	Ubrzanje	Maksimum za penjanje	ZERO		1021,8	231,7	
A320-211	ICAO_A	3	7	Ubrzanje	Maksimum za penjanje	ZERO		1115,4	250	
A320-211	ICAO_A	3	8	Penjanje	Maksimum za penjanje	ZERO	5500			

A320-211	ICAO_A	3	9	Penjanje	Maksimum za penjanje	ZERO	7500			
A320-211	ICAO_A	3	10	Penjanje	Maksimum za penjanje	ZERO	10000			
A320-211	ICAO_A	4	1	Uzlijetanje	Maksimum za uzlijetanje	1+F				
A320-211	ICAO_A	4	2	Penjanje	Maksimum za uzlijetanje	1+F	1500			
A320-211	ICAO_A	4	3	Penjanje	Maksimum za penjanje	1+F	3000			
A320-211	ICAO_A	4	4	Ubrzanje	Maksimum za penjanje	1+F		670,3	201,2	
A320-211	ICAO_A	4	5	Ubrzanje	Maksimum za penjanje	1		816,4	213,5	
A320-211	ICAO_A	4	6	Ubrzanje	Maksimum za penjanje	ZERO		942	235,2	
A320-211	ICAO_A	4	7	Ubrzanje	Maksimum za penjanje	ZERO		1017,5	250	
A320-211	ICAO_A	4	8	Penjanje	Maksimum za penjanje	ZERO	5500			
A320-211	ICAO_A	4	9	Penjanje	Maksimum za penjanje	ZERO	7500			
A320-211	ICAO_A	4	10	Penjanje	Maksimum za penjanje	ZERO	10000			
A320-211	ICAO_A	5	1	Uzlijetanje	Maksimum za uzlijetanje	1+F				
A320-211	ICAO_A	5	2	Penjanje	Maksimum za uzlijetanje	1+F	1500			
A320-211	ICAO_A	5	3	Penjanje	Maksimum za penjanje	1+F	3000			
A320-211	ICAO_A	5	4	Ubrzanje	Maksimum za penjanje	1+F		640,5	205	

A320-211	ICAO_A	5	5	Ubrzanje	Maksimum za penjanje	1		789,5	216,6	
A320-211	ICAO_A	5	6	Ubrzanje	Maksimum za penjanje	ZERO		899,5	237,1	
A320-211	ICAO_A	5	7	Ubrzanje	Maksimum za penjanje	ZERO		968,2	250	
A320-211	ICAO_A	5	8	Penjanje	Maksimum za penjanje	ZERO	5500			
A320-211	ICAO_A	5	9	Penjanje	Maksimum za penjanje	ZERO	7500			
A320-211	ICAO_A	5	10	Penjanje	Maksimum za penjanje	ZERO	10000			
A320-211	ICAO_B	1	1	Uzlijetanje	Maksimum za uzlijetanje	1+F				
A320-211	ICAO_B	1	2	Penjanje	Maksimum za uzlijetanje	1+F	1000			
A320-211	ICAO_B	1	3	Ubrzanje	Maksimum za uzlijetanje	1+F		1150,5	186,2	
A320-211	ICAO_B	1	4	Ubrzanje	Maksimum za uzlijetanje	1		1300,7	208,1	
A320-211	ICAO_B	1	5	Penjanje	Maksimum za penjanje	ZERO	3000			
A320-211	ICAO_B	1	6	Ubrzanje	Maksimum za penjanje	ZERO		1230,7	250	
A320-211	ICAO_B	1	7	Penjanje	Maksimum za penjanje	ZERO	5500			
A320-211	ICAO_B	1	8	Penjanje	Maksimum za penjanje	ZERO	7500			
A320-211	ICAO_B	1	9	Penjanje	Maksimum za penjanje	ZERO	10000			
A320-211	ICAO_B	2	1	Uzlijetanje	Maksimum za uzlijetanje	1+F				

A320-211	ICAO_B	2	2	Penjanje	Maksimum za uzljetanje	1+F	1000			
A320-211	ICAO_B	2	3	Ubrzanje	Maksimum za uzljetanje	1+F		1098,5	190,2	
A320-211	ICAO_B	2	4	Ubrzanje	Maksimum za uzljetanje	1		1243,7	210,7	
A320-211	ICAO_B	2	5	Penjanje	Maksimum za penjanje	ZERO	3000			
A320-211	ICAO_B	2	6	Ubrzanje	Maksimum za penjanje	ZERO		1171	250	
A320-211	ICAO_B	2	7	Penjanje	Maksimum za penjanje	ZERO	5500			
A320-211	ICAO_B	2	8	Penjanje	Maksimum za penjanje	ZERO	7500			
A320-211	ICAO_B	2	9	Penjanje	Maksimum za penjanje	ZERO	10000			
A320-211	ICAO_B	3	1	Uzljetanje	Maksimum za uzljetanje	1+F				
A320-211	ICAO_B	3	2	Penjanje	Maksimum za uzljetanje	1+F	1000			
A320-211	ICAO_B	3	3	Ubrzanje	Maksimum za uzljetanje	1+F		1049,6	194,3	
A320-211	ICAO_B	3	4	Ubrzanje	Maksimum za uzljetanje	1		1189,2	213,5	
A320-211	ICAO_B	3	5	Penjanje	Maksimum za penjanje	ZERO	3000			
A320-211	ICAO_B	3	6	Ubrzanje	Maksimum za penjanje	ZERO		1113,9	250	
A320-211	ICAO_B	3	7	Penjanje	Maksimum za penjanje	ZERO	5500			
A320-211	ICAO_B	3	8	Penjanje	Maksimum za penjanje	ZERO	7500			

A320-211	ICAO_B	3	9	Penjanje	Maksimum za penjanje	ZERO	10000			
A320-211	ICAO_B	4	1	Uzlijetanje	Maksimum za uzlijetanje	1+F				
A320-211	ICAO_B	4	2	Penjanje	Maksimum za uzlijetanje	1+F	1000			
A320-211	ICAO_B	4	3	Ubrzanje	Maksimum za uzlijetanje	1+F		972,6	201,4	
A320-211	ICAO_B	4	4	Ubrzanje	Maksimum za uzlijetanje	1		1101	218,7	
A320-211	ICAO_B	4	5	Penjanje	Maksimum za penjanje	ZERO	3000			
A320-211	ICAO_B	4	6	Ubrzanje	Maksimum za penjanje	ZERO		1021	250	
A320-211	ICAO_B	4	7	Penjanje	Maksimum za penjanje	ZERO	5500			
A320-211	ICAO_B	4	8	Penjanje	Maksimum za penjanje	ZERO	7500			
A320-211	ICAO_B	4	9	Penjanje	Maksimum za penjanje	ZERO	10000			
A320-211	ICAO_B	5	1	Uzlijetanje	Maksimum za uzlijetanje	1+F				
A320-211	ICAO_B	5	2	Penjanje	Maksimum za uzlijetanje	1+F	1000			
A320-211	ICAO_B	5	3	Ubrzanje	Maksimum za uzlijetanje	1+F		933,1	205,1	
A320-211	ICAO_B	5	4	Ubrzanje	Maksimum za uzlijetanje	1		1056	221,4	
A320-211	ICAO_B	5	5	Penjanje	Maksimum za penjanje	ZERO	3000			
A320-211	ICAO_B	5	6	Ubrzanje	Maksimum za penjanje	ZERO		973,2	250	

A320-211	ICAO_B	5	7	Penjanje	Maksimum za penjanje	ZERO	5500			
A320-211	ICAO_B	5	8	Penjanje	Maksimum za penjanje	ZERO	7500			
A320-211	ICAO_B	5	9	Penjanje	Maksimum za penjanje	ZERO	10000			
A320-232	DEFAULT	1	1	Uzlijetanje	Maksimum za uzlijetanje	1+F				
A320-232	DEFAULT	1	2	Penjanje	Maksimum za uzlijetanje	1+F	1000			
A320-232	DEFAULT	1	3	Ubrzanje	Maksimum za uzlijetanje	1+F		1219,6	185,5	
A320-232	DEFAULT	1	4	Ubrzanje	Maksimum za uzlijetanje	1		1372,6	208,6	
A320-232	DEFAULT	1	5	Penjanje	Maksimum za penjanje	ZERO	3000			
A320-232	DEFAULT	1	6	Ubrzanje	Maksimum za penjanje	ZERO		1192,1	250	
A320-232	DEFAULT	1	7	Penjanje	Maksimum za penjanje	ZERO	5500			
A320-232	DEFAULT	1	8	Penjanje	Maksimum za penjanje	ZERO	7500			
A320-232	DEFAULT	1	9	Penjanje	Maksimum za penjanje	ZERO	10000			
A320-232	DEFAULT	2	1	Uzlijetanje	Maksimum za uzlijetanje	1+F				
A320-232	DEFAULT	2	2	Penjanje	Maksimum za uzlijetanje	1+F	1000			
A320-232	DEFAULT	2	3	Ubrzanje	Maksimum za uzlijetanje	1+F		1167,9	189,3	
A320-232	DEFAULT	2	4	Ubrzanje	Maksimum za uzlijetanje	1		1315,7	211	

A320-232	DEFAULT	2	5	Penjanje	Maksimum za penjanje	ZERO	3000			
A320-232	DEFAULT	2	6	Ubrzanje	Maksimum za penjanje	ZERO		1137,4	250	
A320-232	DEFAULT	2	7	Penjanje	Maksimum za penjanje	ZERO	5500			
A320-232	DEFAULT	2	8	Penjanje	Maksimum za penjanje	ZERO	7500			
A320-232	DEFAULT	2	9	Penjanje	Maksimum za penjanje	ZERO	10000			
A320-232	DEFAULT	3	1	Uzlijetanje	Maksimum za uzlijetanje	1+F				
A320-232	DEFAULT	3	2	Penjanje	Maksimum za uzlijetanje	1+F	1000			
A320-232	DEFAULT	3	3	Ubrzanje	Maksimum za uzlijetanje	1+F		1118,6	193,2	
A320-232	DEFAULT	3	4	Ubrzanje	Maksimum za uzlijetanje	1		1260,6	213,6	
A320-232	DEFAULT	3	5	Penjanje	Maksimum za penjanje	ZERO	3000			
A320-232	DEFAULT	3	6	Ubrzanje	Maksimum za penjanje	ZERO		1085,2	250	
A320-232	DEFAULT	3	7	Penjanje	Maksimum za penjanje	ZERO	5500			
A320-232	DEFAULT	3	8	Penjanje	Maksimum za penjanje	ZERO	7500			
A320-232	DEFAULT	3	9	Penjanje	Maksimum za penjanje	ZERO	10000			
A320-232	DEFAULT	4	1	Uzlijetanje	Maksimum za uzlijetanje	1+F				
A320-232	DEFAULT	4	2	Penjanje	Maksimum za uzlijetanje	1+F	1000			

A320-232	DEFAULT	4	3	Ubrzanje	Maksimum za uzlijetanje	1+F		1040,6	199,9	
A320-232	DEFAULT	4	4	Ubrzanje	Maksimum za uzlijetanje	1		1170,7	218,4	
A320-232	DEFAULT	4	5	Penjanje	Maksimum za penjanje	ZERO	3000			
A320-232	DEFAULT	4	6	Ubrzanje	Maksimum za penjanje	ZERO		1001,5	250	
A320-232	DEFAULT	4	7	Penjanje	Maksimum za penjanje	ZERO	5500			
A320-232	DEFAULT	4	8	Penjanje	Maksimum za penjanje	ZERO	7500			
A320-232	DEFAULT	4	9	Penjanje	Maksimum za penjanje	ZERO	10000			
A320-232	DEFAULT	5	1	Uzlijetanje	Maksimum za uzlijetanje	1+F				
A320-232	DEFAULT	5	2	Penjanje	Maksimum za uzlijetanje	1+F	1000			
A320-232	DEFAULT	5	3	Ubrzanje	Maksimum za uzlijetanje	1+F		921,9	210,9	
A320-232	DEFAULT	5	4	Ubrzanje	Maksimum za uzlijetanje	1		1033,9	226,5	
A320-232	DEFAULT	5	5	Penjanje	Maksimum za penjanje	ZERO	3000			
A320-232	DEFAULT	5	6	Ubrzanje	Maksimum za penjanje	ZERO		876,3	250	
A320-232	DEFAULT	5	7	Penjanje	Maksimum za penjanje	ZERO	5500			
A320-232	DEFAULT	5	8	Penjanje	Maksimum za penjanje	ZERO	7500			
A320-232	DEFAULT	5	9	Penjanje	Maksimum za penjanje	ZERO	10000			

A320-232	ICAO_A	1	1	Uzlijetanje	Maksimum za uzlijetanje	1+F				
A320-232	ICAO_A	1	2	Penjanje	Maksimum za uzlijetanje	1+F	1500			
A320-232	ICAO_A	1	3	Penjanje	Maksimum za penjanje	1+F	3000			
A320-232	ICAO_A	1	4	Ubrzanje	Maksimum za penjanje	1+F		776,1	185,4	
A320-232	ICAO_A	1	5	Ubrzanje	Maksimum za penjanje	1		906,7	200,1	
A320-232	ICAO_A	1	6	Ubrzanje	Maksimum za penjanje	ZERO		1062	226	
A320-232	ICAO_A	1	7	Ubrzanje	Maksimum za penjanje	ZERO		1218,7	250	
A320-232	ICAO_A	1	8	Penjanje	Maksimum za penjanje	ZERO	5500			
A320-232	ICAO_A	1	9	Penjanje	Maksimum za penjanje	ZERO	7500			
A320-232	ICAO_A	1	10	Penjanje	Maksimum za penjanje	ZERO	10000			
A320-232	ICAO_A	2	1	Uzlijetanje	Maksimum za uzlijetanje	1+F				
A320-232	ICAO_A	2	2	Penjanje	Maksimum za uzlijetanje	1+F	1500			
A320-232	ICAO_A	2	3	Penjanje	Maksimum za penjanje	1+F	3000			
A320-232	ICAO_A	2	4	Ubrzanje	Maksimum za penjanje	1+F		739,7	189,1	
A320-232	ICAO_A	2	5	Ubrzanje	Maksimum za penjanje	1		870	203	
A320-232	ICAO_A	2	6	Ubrzanje	Maksimum za penjanje	ZERO		1015,7	227,5	

A320-232	ICAO_A	2	7	Ubrzanje	Maksimum za penjanje	ZERO		1160,7	250	
A320-232	ICAO_A	2	8	Penjanje	Maksimum za penjanje	ZERO	5500			
A320-232	ICAO_A	2	9	Penjanje	Maksimum za penjanje	ZERO	7500			
A320-232	ICAO_A	2	10	Penjanje	Maksimum za penjanje	ZERO	10000			
A320-232	ICAO_A	3	1	Uzlijetanje	Maksimum za uzlijetanje	1+F				
A320-232	ICAO_A	3	2	Penjanje	Maksimum za uzlijetanje	1+F	1500			
A320-232	ICAO_A	3	3	Penjanje	Maksimum za penjanje	1+F	3000			
A320-232	ICAO_A	3	4	Ubrzanje	Maksimum za penjanje	1+F		705	193	
A320-232	ICAO_A	3	5	Ubrzanje	Maksimum za penjanje	1		834,6	206,1	
A320-232	ICAO_A	3	6	Ubrzanje	Maksimum za penjanje	ZERO		971,6	229,2	
A320-232	ICAO_A	3	7	Ubrzanje	Maksimum za penjanje	ZERO		1105,4	250	
A320-232	ICAO_A	3	8	Penjanje	Maksimum za penjanje	ZERO	5500			
A320-232	ICAO_A	3	9	Penjanje	Maksimum za penjanje	ZERO	7500			
A320-232	ICAO_A	3	10	Penjanje	Maksimum za penjanje	ZERO	10000			
A320-232	ICAO_A	4	1	Uzlijetanje	Maksimum za uzlijetanje	1+F				
A320-232	ICAO_A	4	2	Penjanje	Maksimum za uzlijetanje	1+F	1500			

A320-232	ICAO_A	4	3	Penjanje	Maksimum za penjanje	1+F	3000			
A320-232	ICAO_A	4	4	Ubrzanje	Maksimum za penjanje	1+F		650,5	199,8	
A320-232	ICAO_A	4	5	Ubrzanje	Maksimum za penjanje	1		776,9	211,6	
A320-232	ICAO_A	4	6	Ubrzanje	Maksimum za penjanje	ZERO		901,1	232,6	
A320-232	ICAO_A	4	7	Ubrzanje	Maksimum za penjanje	ZERO		1016,8	250	
A320-232	ICAO_A	4	8	Penjanje	Maksimum za penjanje	ZERO	5500			
A320-232	ICAO_A	4	9	Penjanje	Maksimum za penjanje	ZERO	7500			
A320-232	ICAO_A	4	10	Penjanje	Maksimum za penjanje	ZERO	10000			
A320-232	ICAO_A	5	1	Uzlijetanje	Maksimum za uzlijetanje	1+F				
A320-232	ICAO_A	5	2	Penjanje	Maksimum za uzlijetanje	1+F	1500			
A320-232	ICAO_A	5	3	Penjanje	Maksimum za penjanje	1+F	3000			
A320-232	ICAO_A	5	4	Ubrzanje	Maksimum za penjanje	1+F		568,3	210,7	
A320-232	ICAO_A	5	5	Ubrzanje	Maksimum za penjanje	1		687,3	220,6	
A320-232	ICAO_A	5	6	Ubrzanje	Maksimum za penjanje	ZERO		794,5	238,5	
A320-232	ICAO_A	5	7	Ubrzanje	Maksimum za penjanje	ZERO		884,4	250	
A320-232	ICAO_A	5	8	Penjanje	Maksimum za penjanje	ZERO	5500			

A320-232	ICAO_A	5	9	Penjanje	Maksimum za penjanje	ZERO	7500			
A320-232	ICAO_A	5	10	Penjanje	Maksimum za penjanje	ZERO	10000			
A320-232	ICAO_B	1	1	Uzlijetanje	Maksimum za uzlijetanje	1+F				
A320-232	ICAO_B	1	2	Penjanje	Maksimum za uzlijetanje	1+F	1000			
A320-232	ICAO_B	1	3	Ubrzanje	Maksimum za uzlijetanje	1+F		1219,6	185,5	
A320-232	ICAO_B	1	4	Ubrzanje	Maksimum za uzlijetanje	1		1372,6	208,6	
A320-232	ICAO_B	1	5	Penjanje	Maksimum za penjanje	ZERO	3000			
A320-232	ICAO_B	1	6	Ubrzanje	Maksimum za penjanje	ZERO		1192,1	250	
A320-232	ICAO_B	1	7	Penjanje	Maksimum za penjanje	ZERO	5500			
A320-232	ICAO_B	1	8	Penjanje	Maksimum za penjanje	ZERO	7500			
A320-232	ICAO_B	1	9	Penjanje	Maksimum za penjanje	ZERO	10000			
A320-232	ICAO_B	2	1	Uzlijetanje	Maksimum za uzlijetanje	1+F				
A320-232	ICAO_B	2	2	Penjanje	Maksimum za uzlijetanje	1+F	1000			
A320-232	ICAO_B	2	3	Ubrzanje	Maksimum za uzlijetanje	1+F		1167,9	189,3	
A320-232	ICAO_B	2	4	Ubrzanje	Maksimum za uzlijetanje	1		1315,7	211	
A320-232	ICAO_B	2	5	Penjanje	Maksimum za penjanje	ZERO	3000			

A320-232	ICAO_B	2	6	Ubrzanje	Maksimum za penjanje	ZERO		1137,4	250	
A320-232	ICAO_B	2	7	Penjanje	Maksimum za penjanje	ZERO	5500			
A320-232	ICAO_B	2	8	Penjanje	Maksimum za penjanje	ZERO	7500			
A320-232	ICAO_B	2	9	Penjanje	Maksimum za penjanje	ZERO	10000			
A320-232	ICAO_B	3	1	Uzlijetanje	Maksimum za uzlijetanje	1+F				
A320-232	ICAO_B	3	2	Penjanje	Maksimum za uzlijetanje	1+F	1000			
A320-232	ICAO_B	3	3	Ubrzanje	Maksimum za uzlijetanje	1+F		1118,6	193,2	
A320-232	ICAO_B	3	4	Ubrzanje	Maksimum za uzlijetanje	1		1260,6	213,6	
A320-232	ICAO_B	3	5	Penjanje	Maksimum za penjanje	ZERO	3000			
A320-232	ICAO_B	3	6	Ubrzanje	Maksimum za penjanje	ZERO		1085,2	250	
A320-232	ICAO_B	3	7	Penjanje	Maksimum za penjanje	ZERO	5500			
A320-232	ICAO_B	3	8	Penjanje	Maksimum za penjanje	ZERO	7500			
A320-232	ICAO_B	3	9	Penjanje	Maksimum za penjanje	ZERO	10000			



ThoriumSoftware d.o.o.

Mobile: +385 (0) 95 8 70 50 70
Kontakt: Dario Ilija Rendulić
Email:
info@thoriumsoftware.eu;
direndulic@gmail.com

„A350-941	DEFAULT1	1	Uzljetanje	Maksimum za uzljetanje	D_1+F_D						
A350-941	DEFAULT1	2	Penjanje	Maksimum za uzljetanje	D_1+F_D	1 000					
A350-941	DEFAULT1	3	Ubrzanje	Maksimum za uzljetanje	D_1+F_U		1 726,5	170,7	60		
A350-941	DEFAULT1	4	Ubrzanje	Maksimum za uzljetanje	D_1_U		1 862,6	197,2	60		
A350-941	DEFAULT1	5	Penjanje	Maksimum za penjanje	D_ZERO	3 000					
A350-941	DEFAULT1	6	Ubrzanje	Maksimum za penjanje	D_ZERO		1 658	250	60		
A350-941	DEFAULT1	7	Penjanje	Maksimum za penjanje	D_ZERO	10 000					
A350-941	DEFAULT2	1	Uzljetanje	Maksimum za uzljetanje	D_1+F_D						
A350-941	DEFAULT2	2	Penjanje	Maksimum za uzljetanje	D_1+F_D	1 000					
A350-941	DEFAULT2	3	Ubrzanje	Maksimum za uzljetanje	D_1+F_U		1 699,9	173,1	60		

A350-941	DEFAULT	2	4Ubrzanje	Maksimum za uzlijetanje	D_1_U		1 812,6	198,6	60
A350-941	DEFAULT	2	5Penjanje	Maksimum za penjanje	D_ZERO	3 000			
A350-941	DEFAULT	2	6Ubrzanje	Maksimum za penjanje	D_ZERO		1 604,5	250	60
A350-941	DEFAULT	2	7Penjanje	Maksimum za penjanje	D_ZERO	10 000			
A350-941	DEFAULT	3	1Uzlijetanje	Maksimum za uzlijetanje	D_1+F_D				
A350-941	DEFAULT	3	2Penjanje	Maksimum za uzlijetanje	D_1+F_D	1 000			
A350-941	DEFAULT	3	3Ubrzanje	Maksimum za uzlijetanje	D_1+F_U		1 662,2	175,6	60
A350-941	DEFAULT	3	4Ubrzanje	Maksimum za uzlijetanje	D_1_U		1 762,3	200,1	60
A350-941	DEFAULT	3	5Penjanje	Maksimum za penjanje	D_ZERO	3 000			
A350-941	DEFAULT	3	6Ubrzanje	Maksimum za penjanje	D_ZERO		1 551,6	250	60
A350-941	DEFAULT	3	7Penjanje	Maksimum za penjanje	D_ZERO	10 000			
A350-941	DEFAULT	4	1Uzlijetanje	Maksimum za uzlijetanje	D_1+F_D				
A350-941	DEFAULT	4	2Penjanje	Maksimum za uzlijetanje	D_1+F_U	1 000			
A350-941	DEFAULT	4	3Ubrzanje	Maksimum za uzlijetanje	D_1+F_U		1 586,1	179,9	60
A350-941	DEFAULT	4	4Ubrzanje	Maksimum za uzlijetanje	D_1_U		1 679,8	202,7	60
A350-941	DEFAULT	4	5Penjanje	Maksimum za penjanje	D_ZERO	3 000			
A350-941	DEFAULT	4	6Ubrzanje	Maksimum za penjanje	D_ZERO		1 465,3	250	60
A350-941	DEFAULT	4	7Penjanje	Maksimum za penjanje	D_ZERO	10 000			
A350-941	DEFAULT	5	1Uzlijetanje	Maksimum za uzlijetanje	D_1+F_D				
A350-941	DEFAULT	5	2Penjanje	Maksimum za uzlijetanje	D_1+F_U	1 000			
A350-941	DEFAULT	5	3Ubrzanje	Maksimum za uzlijetanje	D_1+F_U		1 491,7	185,3	60
A350-941	DEFAULT	5	4Ubrzanje	Maksimum za uzlijetanje	D_1_U		1 586,9	206,4	60
A350-941	DEFAULT	5	5Penjanje	Maksimum za penjanje	D_ZERO	3 000			
A350-941	DEFAULT	5	6Ubrzanje	Maksimum za penjanje	D_ZERO		1 365,5	250	60
A350-941	DEFAULT	5	7Penjanje	Maksimum za penjanje	D_ZERO	10 000			
A350-941	DEFAULT	6	1Uzlijetanje	Maksimum za uzlijetanje	D_1+F_D				

A350-941	DEFAULT	6	2	Penjanje	Maksimum za uzlijetanje	D_1+F_U	1 000			
A350-941	DEFAULT	6	3	Ubrzanje	Maksimum za uzlijetanje	D_1+F_U		1 399,5	191,1	60
A350-941	DEFAULT	6	4	Ubrzanje	Maksimum za uzlijetanje	D_1_U		1 494,1	210,4	60
A350-941	DEFAULT	6	5	Penjanje	Maksimum za penjanje	D_ZERO	3 000			
A350-941	DEFAULT	6	6	Ubrzanje	Maksimum za penjanje	D_ZERO		1 268,2	250	60
A350-941	DEFAULT	6	7	Penjanje	Maksimum za penjanje	D_ZERO	10 000			
A350-941	DEFAULT	7	1	Uzlijetanje	Maksimum za uzlijetanje	D_1+F_D				
A350-941	DEFAULT	7	2	Penjanje	Maksimum za uzlijetanje	D_1+F_U	1 000			
A350-941	DEFAULT	7	3	Ubrzanje	Maksimum za uzlijetanje	D_1+F_U		1 314	197	60
A350-941	DEFAULT	7	4	Ubrzanje	Maksimum za uzlijetanje	D_1_U		1 407,1	214,7	60
A350-941	DEFAULT	7	5	Penjanje	Maksimum za penjanje	D_ZERO	3 000			
A350-941	DEFAULT	7	6	Ubrzanje	Maksimum za penjanje	D_ZERO		1 176,3	250	60
A350-941	DEFAULT	7	7	Penjanje	Maksimum za penjanje	D_ZERO	10 000			
A350-941	DEFAULT	8	1	Uzlijetanje	Maksimum za uzlijetanje	D_1+F_D				
A350-941	DEFAULT	8	2	Penjanje	Maksimum za uzlijetanje	D_1+F_U	1 000			
A350-941	DEFAULT	8	3	Ubrzanje	Maksimum za uzlijetanje	D_1+F_U		1 233,3	203,4	60
A350-941	DEFAULT	8	4	Ubrzanje	Maksimum za uzlijetanje	D_1_U		1 325,3	219,6	60
A350-941	DEFAULT	8	5	Penjanje	Maksimum za penjanje	D_ZERO	3 000			
A350-941	DEFAULT	8	6	Ubrzanje	Maksimum za penjanje	D_ZERO		1 089,2	250	60
A350-941	DEFAULT	8	7	Penjanje	Maksimum za penjanje	D_ZERO	10 000			
A350-941	DEFAULT	M	1	Uzlijetanje	Maksimum za uzlijetanje	D_1+F_D				
A350-941	DEFAULT	M	2	Penjanje	Maksimum za uzlijetanje	D_1+F_U	1 000			
A350-941	DEFAULT	M	3	Ubrzanje	Maksimum za uzlijetanje	D_1+F_U		1 185,1	207,6	60
A350-941	DEFAULT	M	4	Ubrzanje	Maksimum za uzlijetanje	D_1_U		1 275,6	222,9	60
A350-941	DEFAULT	M	5	Penjanje	Maksimum za penjanje	D_ZERO	3 000			

A350-941	DEFAULT	M	6	Ubrzanje	Maksimum za penjanje	D_ZERO		1 036,7	250	60
A350-941	DEFAULT	M	7	Penjanje	Maksimum za penjanje	D_ZERO	10 000			
A350-941	ICAO_A	1	1	Uzlijetanje	Maksimum za uzlijetanje	D_1+F_D				
A350-941	ICAO_A	1	2	Penjanje	Maksimum za uzlijetanje	D_1+F_U	1 500			
A350-941	ICAO_A	1	3	Penjanje	Maksimum za penjanje	D_1+F_U	3 000			
A350-941	ICAO_A	1	4	Ubrzanje	Maksimum za penjanje	D_1+F_U		1 323,2	171	60
A350-941	ICAO_A	1	5	Ubrzanje	Maksimum za penjanje	D_1_U		1 353,1	189,5	60
A350-941	ICAO_A	1	6	Ubrzanje	Maksimum za penjanje	D_ZERO		1 514,1	213,7	60
A350-941	ICAO_A	1	7	Ubrzanje	Maksimum za penjanje	D_ZERO		1 673,8	250	60
A350-941	ICAO_A	1	8	Penjanje	Maksimum za penjanje	D_ZERO	10 000			
A350-941	ICAO_A	2	1	Uzlijetanje	Maksimum za uzlijetanje	D_1+F_D				
A350-941	ICAO_A	2	2	Penjanje	Maksimum za uzlijetanje	D_1+F_U	1 500			
A350-941	ICAO_A	2	3	Penjanje	Maksimum za penjanje	D_1+F_U	3 000			
A350-941	ICAO_A	2	4	Ubrzanje	Maksimum za penjanje	D_1+F_U		1 265,7	173,4	60
A350-941	ICAO_A	2	5	Ubrzanje	Maksimum za penjanje	D_1_U		1 315,1	191,2	60
A350-941	ICAO_A	2	6	Ubrzanje	Maksimum za penjanje	D_ZERO		1 466,2	214,5	60
A350-941	ICAO_A	2	7	Ubrzanje	Maksimum za penjanje	D_ZERO		1 619,3	250	60
A350-941	ICAO_A	2	8	Penjanje	Maksimum za penjanje	D_ZERO	10 000			
A350-941	ICAO_A	3	1	Uzlijetanje	Maksimum za uzlijetanje	D_1+F_D				
A350-941	ICAO_A	3	2	Penjanje	Maksimum za uzlijetanje	D_1+F_U	1 500			
A350-941	ICAO_A	3	3	Penjanje	Maksimum za penjanje	D_1+F_U	3 000			
A350-941	ICAO_A	3	4	Ubrzanje	Maksimum za penjanje	D_1+F_U		1 214,3	175,9	60
A350-941	ICAO_A	3	5	Ubrzanje	Maksimum za penjanje	D_1_U		1 276,7	193	60
A350-941	ICAO_A	3	6	Ubrzanje	Maksimum za penjanje	D_ZERO		1 418,4	215,4	60
A350-941	ICAO_A	3	7	Ubrzanje	Maksimum za penjanje	D_ZERO		1 565	250	60
A350-941	ICAO_A	3	8	Penjanje	Maksimum za penjanje	D_ZERO	10 000			
A350-941	ICAO_A	4	1	Uzlijetanje	Maksimum za uzlijetanje	D_1+F_D				
A350-941	ICAO_A	4	2	Penjanje	Maksimum za uzlijetanje	D_1+F_U	1 500			
A350-941	ICAO_A	4	3	Penjanje	Maksimum za penjanje	D_1+F_U	3 000			



Thorium A+

Izvrsni inženjeri koriste izvrstan alat!

ThoriumSoftware d.o.o.

Mobile: +385 (0) 95 8 70 50 70

Kontakt: Dario Ilija Rendulić

Email:

info@thoriumsoftware.eu;

direndulic@gmail.com

A350-941	ICAO_A	4	4	Ubrzanje	Maksimum za penjanje	D_1+F_U		1 138,4	180,3	60
A350-941	ICAO_A	4	5	Ubrzanje	Maksimum za penjanje	D_1_U		1 212,8	196,1	60
A350-941	ICAO_A	4	6	Ubrzanje	Maksimum za penjanje	D_ZERO		1 340,5	217	60
A350-941	ICAO_A	4	7	Ubrzanje	Maksimum za penjanje	D_ZERO		1 476,4	250	60
A350-941	ICAO_A	4	8	Penjanje	Maksimum za penjanje	D_ZERO	10 000			
A350-941	ICAO_A	5	1	Uzlijetanje	Maksimum za uzlijetanje	D_1+F_D				
A350-941	ICAO_A	5	2	Penjanje	Maksimum za uzlijetanje	D_1+F_U	1 500			
A350-941	ICAO_A	5	3	Penjanje	Maksimum za penjanje	D_1+F_U	3 000			
A350-941	ICAO_A	5	4	Ubrzanje	Maksimum za penjanje	D_1+F_U		1 066,3	185,8	60
A350-941	ICAO_A	5	5	Ubrzanje	Maksimum za penjanje	D_1_U		1 139,9	200,3	60
A350-941	ICAO_A	5	6	Ubrzanje	Maksimum za penjanje	D_ZERO		1 252,3	219,5	60
A350-941	ICAO_A	5	7	Ubrzanje	Maksimum za penjanje	D_ZERO		1 374,5	250	60
A350-941	ICAO_A	5	8	Penjanje	Maksimum za penjanje	D_ZERO	10 000			
A350-941	ICAO_A	6	1	Uzlijetanje	Maksimum za uzlijetanje	D_1+F_D				
A350-941	ICAO_A	6	2	Penjanje	Maksimum za uzlijetanje	D_1+F_U	1 500			
A350-941	ICAO_A	6	3	Penjanje	Maksimum za penjanje	D_1+F_U	3 000			
A350-941	ICAO_A	6	4	Ubrzanje	Maksimum za penjanje	D_1+F_U		994,4	191,7	60
A350-941	ICAO_A	6	5	Ubrzanje	Maksimum za penjanje	D_1_U		1 064,9	204,8	60
A350-941	ICAO_A	6	6	Ubrzanje	Maksimum za penjanje	D_ZERO		1 165,9	222,3	60
A350-941	ICAO_A	6	7	Ubrzanje	Maksimum za penjanje	D_ZERO		1 275,1	250	60
A350-941	ICAO_A	6	8	Penjanje	Maksimum za penjanje	D_ZERO	10 000			
A350-941	ICAO_A	7	1	Uzlijetanje	Maksimum za uzlijetanje	D_1+F_D				
A350-941	ICAO_A	7	2	Penjanje	Maksimum za uzlijetanje	D_1+F_U	1 500			
A350-941	ICAO_A	7	3	Penjanje	Maksimum za penjanje	D_1+F_U	3 000			
A350-941	ICAO_A	7	4	Ubrzanje	Maksimum za penjanje	D_1+F_U		927	197,8	60
A350-941	ICAO_A	7	5	Ubrzanje	Maksimum za penjanje	D_1_U		994,4	209,7	60
A350-941	ICAO_A	7	6	Ubrzanje	Maksimum za penjanje	D_ZERO		1 085,3	225,7	60
A350-941	ICAO_A	7	7	Ubrzanje	Maksimum za penjanje	D_ZERO		1 181	250	60
A350-941	ICAO_A	7	8	Penjanje	Maksimum za penjanje	D_ZERO	10 000			
A350-941	ICAO_A	8	1	Uzlijetanje	Maksimum za uzlijetanje	D_1+F_D				

A350-941	ICAO_A	8	2	Penjanje	Maksimum za uzlijetanje	D_1+F_U	1 500			
A350-941	ICAO_A	8	3	Penjanje	Maksimum za penjanje	D_1+F_U	3 000			
A350-941	ICAO_A	8	4	Ubrzanje	Maksimum za penjanje	D_1+F_U		862,4	204,1	60
A350-941	ICAO_A	8	5	Ubrzanje	Maksimum za penjanje	D_1_U		927,4	214,9	60
A350-941	ICAO_A	8	6	Ubrzanje	Maksimum za penjanje	D_ZERO		1 009,2	229,4	60
A350-941	ICAO_A	8	7	Ubrzanje	Maksimum za penjanje	D_ZERO		1 091,2	250	60
A350-941	ICAO_A	8	8	Penjanje	Maksimum za penjanje	D_ZERO	10 000			
A350-941	ICAO_A	M	1	Uzlijetanje	Maksimum za uzlijetanje	D_1+F_D				
A350-941	ICAO_A	M	2	Penjanje	Maksimum za uzlijetanje	D_1+F_U	1 500			
A350-941	ICAO_A	M	3	Penjanje	Maksimum za penjanje	D_1+F_U	3 000			
A350-941	ICAO_A	M	4	Ubrzanje	Maksimum za penjanje	D_1+F_U		823,3	208,3	60
A350-941	ICAO_A	M	5	Ubrzanje	Maksimum za penjanje	D_1_U		886,5	218,4	60
A350-941	ICAO_A	M	6	Ubrzanje	Maksimum za penjanje	D_ZERO		963,5	232	60
A350-941	ICAO_A	M	7	Ubrzanje	Maksimum za penjanje	D_ZERO		1 036,9	250	60
A350-941	ICAO_A	M	8	Penjanje	Maksimum za penjanje	D_ZERO	10 000			
A350-941	ICAO_B	1	1	Uzlijetanje	Maksimum za uzlijetanje	D_1+F_D				
A350-941	ICAO_B	1	2	Penjanje	Maksimum za uzlijetanje	D_1+F_D	1 000			
A350-941	ICAO_B	1	3	Ubrzanje	Maksimum za uzlijetanje	D_1+F_U		1 726,5	170,7	60
A350-941	ICAO_B	1	4	Ubrzanje	Maksimum za uzlijetanje	D_1_U		1 862,6	197,2	60
A350-941	ICAO_B	1	5	Penjanje	Maksimum za penjanje	D_ZERO	3 000			
A350-941	ICAO_B	1	6	Ubrzanje	Maksimum za penjanje	D_ZERO		1 658	250	60
A350-941	ICAO_B	1	7	Penjanje	Maksimum za penjanje	D_ZERO	10 000			
A350-941	ICAO_B	2	1	Uzlijetanje	Maksimum za uzlijetanje	D_1+F_D				
A350-941	ICAO_B	2	2	Penjanje	Maksimum za uzlijetanje	D_1+F_D	1 000			
A350-941	ICAO_B	2	3	Ubrzanje	Maksimum za uzlijetanje	D_1+F_U		1 699,9	173,1	60
A350-941	ICAO_B	2	4	Ubrzanje	Maksimum za uzlijetanje	D_1_U		1 812,6	198,6	60
A350-941	ICAO_B	2	5	Penjanje	Maksimum za penjanje	D_ZERO	3 000			

A350-941	ICAO_B	2	6	Ubrzanje	Maksimum za penjanje	D_ZERO		1 604,5	250	60
A350-941	ICAO_B	2	7	Penjanje	Maksimum za penjanje	D_ZERO	10 000			
A350-941	ICAO_B	3	1	Uzljetanje	Maksimum za uzljetanje	D_1+F_D				
A350-941	ICAO_B	3	2	Penjanje	Maksimum za uzljetanje	D_1+F_D	1 000			
A350-941	ICAO_B	3	3	Ubrzanje	Maksimum za uzljetanje	D_1+F_U		1 662,2	175,6	60
A350-941	ICAO_B	3	4	Ubrzanje	Maksimum za uzljetanje	D_1_U		1 762,3	200,1	60
A350-941	ICAO_B	3	5	Penjanje	Maksimum za penjanje	D_ZERO	3 000			
A350-941	ICAO_B	3	6	Ubrzanje	Maksimum za penjanje	D_ZERO		1 551,6	250	60
A350-941	ICAO_B	3	7	Penjanje	Maksimum za penjanje	D_ZERO	10 000			
A350-941	ICAO_B	4	1	Uzljetanje	Maksimum za uzljetanje	D_1+F_D				
A350-941	ICAO_B	4	2	Penjanje	Maksimum za uzljetanje	D_1+F_U	1 000			
A350-941	ICAO_B	4	3	Ubrzanje	Maksimum za uzljetanje	D_1+F_U		1 586,1	179,9	60
A350-941	ICAO_B	4	4	Ubrzanje	Maksimum za uzljetanje	D_1_U		1 679,8	202,7	60
A350-941	ICAO_B	4	5	Penjanje	Maksimum za penjanje	D_ZERO	3 000			
A350-941	ICAO_B	4	6	Ubrzanje	Maksimum za penjanje	D_ZERO		1 465,3	250	60
A350-941	ICAO_B	4	7	Penjanje	Maksimum za penjanje	D_ZERO	10 000			
A350-941	ICAO_B	5	1	Uzljetanje	Maksimum za uzljetanje	D_1+F_D				
A350-941	ICAO_B	5	2	Penjanje	Maksimum za uzljetanje	D_1+F_U	1 000			
A350-941	ICAO_B	5	3	Ubrzanje	Maksimum za uzljetanje	D_1+F_U		1 491,7	185,3	60
A350-941	ICAO_B	5	4	Ubrzanje	Maksimum za uzljetanje	D_1_U		1 586,9	206,4	60
A350-941	ICAO_B	5	5	Penjanje	Maksimum za penjanje	D_ZERO	3 000			
A350-941	ICAO_B	5	6	Ubrzanje	Maksimum za penjanje	D_ZERO		1 365,5	250	60
A350-941	ICAO_B	5	7	Penjanje	Maksimum za penjanje	D_ZERO	10 000			
A350-941	ICAO_B	6	1	Uzljetanje	Maksimum za uzljetanje	D_1+F_D				
A350-941	ICAO_B	6	2	Penjanje	Maksimum za uzljetanje	D_1+F_U	1 000			



Thorium A+

Izvrsni inženjeri koriste izvrstan alat!

ThoriumSoftware d.o.o.

Mobile: +385 (0) 95 8 70 50 70

Kontakt: Dario Ilija Rendulić

Email:

info@thoriumsoftware.eu;

direndulic@gmail.com

A350-941	ICAO_B	6	3Ubrzanje	Maksimum za uzljetanje	D_1+F_U		1 399,5	191,1	60
A350-941	ICAO_B	6	4Ubrzanje	Maksimum za uzljetanje	D_1_U		1 494,1	210,4	60
A350-941	ICAO_B	6	5Penjanje	Maksimum za penjanje	D_ZERO	3 000			
A350-941	ICAO_B	6	6Ubrzanje	Maksimum za penjanje	D_ZERO		1 268,2	250	60
A350-941	ICAO_B	6	7Penjanje	Maksimum za penjanje	D_ZERO	10 000			
A350-941	ICAO_B	7	1Uzljetanje	Maksimum za uzljetanje	D_1+F_D				
A350-941	ICAO_B	7	2Penjanje	Maksimum za uzljetanje	D_1+F_U	1 000			
A350-941	ICAO_B	7	3Ubrzanje	Maksimum za uzljetanje	D_1+F_U		1 314	197	60
A350-941	ICAO_B	7	4Ubrzanje	Maksimum za uzljetanje	D_1_U		1 407,1	214,7	60
A350-941	ICAO_B	7	5Penjanje	Maksimum za penjanje	D_ZERO	3 000			
A350-941	ICAO_B	7	6Ubrzanje	Maksimum za penjanje	D_ZERO		1 176,3	250	60
A350-941	ICAO_B	7	7Penjanje	Maksimum za penjanje	D_ZERO	10 000			
A350-941	ICAO_B	8	1Uzljetanje	Maksimum za uzljetanje	D_1+F_D				
A350-941	ICAO_B	8	2Penjanje	Maksimum za uzljetanje	D_1+F_U	1 000			
A350-941	ICAO_B	8	3Ubrzanje	Maksimum za uzljetanje	D_1+F_U		1 233,3	203,4	60
A350-941	ICAO_B	8	4Ubrzanje	Maksimum za uzljetanje	D_1_U		1 325,3	219,6	60
A350-941	ICAO_B	8	5Penjanje	Maksimum za penjanje	D_ZERO	3 000			
A350-941	ICAO_B	8	6Ubrzanje	Maksimum za penjanje	D_ZERO		1 089,2	250	60
A350-941	ICAO_B	8	7Penjanje	Maksimum za penjanje	D_ZERO	10 000			
A350-941	ICAO_B	M1	1Uzljetanje	Maksimum za uzljetanje	D_1+F_D				
A350-941	ICAO_B	M2	2Penjanje	Maksimum za uzljetanje	D_1+F_U	1 000			
A350-941	ICAO_B	M3	3Ubrzanje	Maksimum za uzljetanje	D_1+F_U		1 185,1	207,6	60
A350-941	ICAO_B	M4	4Ubrzanje	Maksimum za uzljetanje	D_1_U		1 275,6	222,9	60
A350-941	ICAO_B	M5	5Penjanje	Maksimum za penjanje	D_ZERO	3 000			
A350-941	ICAO_B	M6	6Ubrzanje	Maksimum za penjanje	D_ZERO		1 036,7	250	60

A350-941	ICAO_B	M7	7Penjanje	Maksimum za penjanje	D_ZERO	10 000	"		
----------	--------	----	-----------	----------------------	--------	--------	---	--	--

Tablica I-4 (3. dio): Uobičajeni proceduralni koraci pri odletu

ACFTID	Oznaka profila (Profile_ID)	Duljina faze	Broj koraka	Tip koraka	Režim rada motora	Zakrilca (Flap_ID)	Visina krajnje točke (ft)	Stopa penjanja (ft/min)	Kalibrirana brzina leta u krajnjoj točki (kt)	Postotak ubrzanja (Accelerate_Percent) (%)
A320-232	ICAO_B	4	1	Uzlijetanje	Maksimum za uzlijetanje	1+F				
A320-232	ICAO_B	4	2	Penjanje	Maksimum za uzlijetanje	1+F	1000			
A320-232	ICAO_B	4	3	Ubrzanje	Maksimum za uzlijetanje	1+F		1040,6	199,9	
A320-232	ICAO_B	4	4	Ubrzanje	Maksimum za uzlijetanje	1		1170,7	218,4	
A320-232	ICAO_B	4	5	Penjanje	Maksimum za penjanje	ZERO	3000			
A320-232	ICAO_B	4	6	Ubrzanje	Maksimum za penjanje	ZERO		1001,5	250	
A320-232	ICAO_B	4	7	Penjanje	Maksimum za penjanje	ZERO	5500			
A320-232	ICAO_B	4	8	Penjanje	Maksimum za penjanje	ZERO	7500			
A320-232	ICAO_B	4	9	Penjanje	Maksimum za penjanje	ZERO	10000			
A320-232	ICAO_B	5	1	Uzlijetanje	Maksimum za uzlijetanje	1+F				
A320-232	ICAO_B	5	2	Penjanje	Maksimum za uzlijetanje	1+F	1000			
A320-232	ICAO_B	5	3	Ubrzanje	Maksimum za uzlijetanje	1+F		921,9	210,9	
A320-232	ICAO_B	5	4	Ubrzanje	Maksimum za uzlijetanje	1		1033,9	226,5	
A320-232	ICAO_B	5	5	Penjanje	Maksimum za penjanje	ZERO	3000			
A320-232	ICAO_B	5	6	Ubrzanje	Maksimum za penjanje	ZERO		876,3	250	
A320-232	ICAO_B	5	7	Penjanje	Maksimum za penjanje	ZERO	5500			
A320-232	ICAO_B	5	8	Penjanje	Maksimum za penjanje	ZERO	7500			
A320-232	ICAO_B	5	9	Penjanje	Maksimum za penjanje	ZERO	10000			
A321-232	DEFAULT	1	1	Uzlijetanje	Maksimum za uzlijetanje	1+F				



ThoriumSoftware d.o.o.

Mobile: +385 (0) 95 8 70 50 70
 Kontakt: Dario Ilija Rendulić
 Email:
[info@thoriumsoftware.eu;](mailto:info@thoriumsoftware.eu)
direndulic@gmail.com

A321-232	DEFAULT	1	2	Penjanje	Maksimum za uzlijetanje	1+F	1000			
A321-232	DEFAULT	1	3	Ubrzanje	Maksimum za uzlijetanje	1+F		1235,6	195	
A321-232	DEFAULT	1	4	Ubrzanje	Maksimum za uzlijetanje	1		1376	219,7	
A321-232	DEFAULT	1	5	Penjanje	Maksimum za penjanje	ZERO	3000			
A321-232	DEFAULT	1	6	Ubrzanje	Maksimum za penjanje	ZERO		1127,8	250	
A321-232	DEFAULT	1	7	Penjanje	Maksimum za penjanje	ZERO	5500			
A321-232	DEFAULT	1	8	Penjanje	Maksimum za penjanje	ZERO	7500			
A321-232	DEFAULT	1	9	Penjanje	Maksimum za penjanje	ZERO	10000			
A321-232	DEFAULT	2	1	Uzlijetanje	Maksimum za uzlijetanje	1+F				
A321-232	DEFAULT	2	2	Penjanje	Maksimum za uzlijetanje	1+F	1000			
A321-232	DEFAULT	2	3	Ubrzanje	Maksimum za uzlijetanje	1+F		1180,9	199	
A321-232	DEFAULT	2	4	Ubrzanje	Maksimum za uzlijetanje	1		1316,8	222,2	
A321-232	DEFAULT	2	5	Penjanje	Maksimum za penjanje	ZERO	3000			
A321-232	DEFAULT	2	6	Ubrzanje	Maksimum za penjanje	ZERO		1070,3	250	
A321-232	DEFAULT	2	7	Penjanje	Maksimum za penjanje	ZERO	5500			
A321-232	DEFAULT	2	8	Penjanje	Maksimum za penjanje	ZERO	7500			
A321-232	DEFAULT	2	9	Penjanje	Maksimum za penjanje	ZERO	10000			
A321-232	DEFAULT	3	1	Uzlijetanje	Maksimum za uzlijetanje	1+F				
A321-232	DEFAULT	3	2	Penjanje	Maksimum za uzlijetanje	1+F	1000			
A321-232	DEFAULT	3	3	Ubrzanje	Maksimum za uzlijetanje	1+F		1127,9	203	
A321-232	DEFAULT	3	4	Ubrzanje	Maksimum za uzlijetanje	1		1259,2	224,8	

A321-232	DEFAULT	3	5	Penjanje	Maksimum za penjanje	ZERO	3000			
A321-232	DEFAULT	3	6	Ubrzanje	Maksimum za penjanje	ZERO		1015,1	250	
A321-232	DEFAULT	3	7	Penjanje	Maksimum za penjanje	ZERO	5500			
A321-232	DEFAULT	3	8	Penjanje	Maksimum za penjanje	ZERO	7500			
A321-232	DEFAULT	3	9	Penjanje	Maksimum za penjanje	ZERO	10000			
A321-232	DEFAULT	4	1	Uzlijetanje	Maksimum za uzlijetanje	1+F				
A321-232	DEFAULT	4	2	Penjanje	Maksimum za uzlijetanje	1+F	1000			
A321-232	DEFAULT	4	3	Ubrzanje	Maksimum za uzlijetanje	1+F		1039	209	
A321-232	DEFAULT	4	4	Ubrzanje	Maksimum za uzlijetanje	1		1161,6	228,6	
A321-232	DEFAULT	4	5	Penjanje	Maksimum za penjanje	ZERO	3000			
A321-232	DEFAULT	4	6	Ubrzanje	Maksimum za penjanje	ZERO		923,7	250	
A321-232	DEFAULT	4	7	Penjanje	Maksimum za penjanje	ZERO	5500			
A321-232	DEFAULT	4	8	Penjanje	Maksimum za penjanje	ZERO	7500			
A321-232	DEFAULT	4	9	Penjanje	Maksimum za penjanje	ZERO	10000			
A321-232	DEFAULT	5	1	Uzlijetanje	Maksimum za uzlijetanje	1+F				
A321-232	DEFAULT	5	2	Penjanje	Maksimum za uzlijetanje	1+F	1000			
A321-232	DEFAULT	5	3	Ubrzanje	Maksimum za uzlijetanje	1+F		889,6	210	
A321-232	DEFAULT	5	4	Ubrzanje	Maksimum za uzlijetanje	1		969,1	226,5	
A321-232	DEFAULT	5	5	Penjanje	Maksimum za penjanje	ZERO	3000			
A321-232	DEFAULT	5	6	Ubrzanje	Maksimum za penjanje	ZERO		752,3	250	
A321-232	DEFAULT	5	7	Penjanje	Maksimum za penjanje	ZERO	5500			

A321-232	DEFAULT	5	8	Penjanje	Maksimum za penjanje	ZERO	7500			
A321-232	DEFAULT	5	9	Penjanje	Maksimum za penjanje	ZERO	10000			
A321-232	ICAO_A	1	1	Uzljetanje	Maksimum za uzljetanje	1+F				
A321-232	ICAO_A	1	2	Penjanje	Maksimum za uzljetanje	1+F	1500			
A321-232	ICAO_A	1	3	Penjanje	Maksimum za penjanje	1+F	3000			
A321-232	ICAO_A	1	4	Ubrzanje	Maksimum za penjanje	1+F		819,7	194,9	
A321-232	ICAO_A	1	5	Ubrzanje	Maksimum za penjanje	1		920,7	210,8	
A321-232	ICAO_A	1	6	Ubrzanje	Maksimum za penjanje	ZERO		1039,9	234,6	
A321-232	ICAO_A	1	7	Ubrzanje	Maksimum za penjanje	ZERO		1125,4	250	
A321-232	ICAO_A	1	8	Penjanje	Maksimum za penjanje	ZERO	5500			
A321-232	ICAO_A	1	9	Penjanje	Maksimum za penjanje	ZERO	7500			
A321-232	ICAO_A	1	10	Penjanje	Maksimum za penjanje	ZERO	10000			
A321-232	ICAO_A	2	1	Uzljetanje	Maksimum za uzljetanje	1+F				
A321-232	ICAO_A	2	2	Penjanje	Maksimum za uzljetanje	1+F	1500			
A321-232	ICAO_A	2	3	Penjanje	Maksimum za penjanje	1+F	3000			
A321-232	ICAO_A	2	4	Ubrzanje	Maksimum za penjanje	1+F		778,4	198,9	
A321-232	ICAO_A	2	5	Ubrzanje	Maksimum za penjanje	1		874,3	213,7	
A321-232	ICAO_A	2	6	Ubrzanje	Maksimum za penjanje	ZERO		987,1	236,1	
A321-232	ICAO_A	2	7	Ubrzanje	Maksimum za penjanje	ZERO		1066,3	250	
A321-232	ICAO_A	2	8	Penjanje	Maksimum za penjanje	ZERO	5500			
A321-232	ICAO_A	2	9	Penjanje	Maksimum za penjanje	ZERO	7500			



ThoriumSoftware d.o.o.

Mobile: +385 (0) 95 8 70 50 70
 Kontakt: Dario Ilija Rendulić
 Email:
[info@thoriumsoftware.eu;](mailto:info@thoriumsoftware.eu)
direndulic@gmail.com

A321-232	ICAO_A	2	10	Penjanje	Maksimum za penjanje	ZERO	10000			
A321-232	ICAO_A	3	1	Uzljetanje	Maksimum za uzljetanje	1+F				
A321-232	ICAO_A	3	2	Penjanje	Maksimum za uzljetanje	1+F	1500			
A321-232	ICAO_A	3	3	Penjanje	Maksimum za penjanje	1+F	3000			
A321-232	ICAO_A	3	4	Ubrzanje	Maksimum za penjanje	1+F		737,9	202,9	
A321-232	ICAO_A	3	5	Ubrzanje	Maksimum za penjanje	1		829,1	216,7	
A321-232	ICAO_A	3	6	Ubrzanje	Maksimum za penjanje	ZERO		936,1	237,7	
A321-232	ICAO_A	3	7	Ubrzanje	Maksimum za penjanje	ZERO		1009,5	250	
A321-232	ICAO_A	3	8	Penjanje	Maksimum za penjanje	ZERO	5500			
A321-232	ICAO_A	3	9	Penjanje	Maksimum za penjanje	ZERO	7500			
A321-232	ICAO_A	3	10	Penjanje	Maksimum za penjanje	ZERO	10000			
A321-232	ICAO_A	4	1	Uzljetanje	Maksimum za uzljetanje	1+F				
A321-232	ICAO_A	4	2	Penjanje	Maksimum za uzljetanje	1+F	1500			
A321-232	ICAO_A	4	3	Penjanje	Maksimum za penjanje	1+F	3000			
A321-232	ICAO_A	4	4	Ubrzanje	Maksimum za penjanje	1+F		670,5	209,9	
A321-232	ICAO_A	4	5	Ubrzanje	Maksimum za penjanje	1		754,2	222,1	
A321-232	ICAO_A	4	6	Ubrzanje	Maksimum za penjanje	ZERO		852,9	240,9	
A321-232	ICAO_A	4	7	Ubrzanje	Maksimum za penjanje	ZERO		917,2	250	
A321-232	ICAO_A	4	8	Penjanje	Maksimum za penjanje	ZERO	5500			
A321-232	ICAO_A	4	9	Penjanje	Maksimum za penjanje	ZERO	7500			
A321-232	ICAO_A	4	10	Penjanje	Maksimum za penjanje	ZERO	10000			



ThoriumSoftware d.o.o.

Mobile: +385 (0) 95 8 70 50 70
 Kontakt: Dario Ilija Rendulić
 Email:
[info@thoriumsoftware.eu;](mailto:info@thoriumsoftware.eu)
direndulic@gmail.com

A321-232	ICAO_A	5	1	Uzljetanje	Maksimum za uzljetanje	1+F				
A321-232	ICAO_A	5	2	Penjanje	Maksimum za uzljetanje	1+F	1500			
A321-232	ICAO_A	5	3	Penjanje	Maksimum za penjanje	1+F	3000			
A321-232	ICAO_A	5	4	Ubrzanje	Maksimum za penjanje	1+F		551,5	210	
A321-232	ICAO_A	5	5	Ubrzanje	Maksimum za penjanje	1		604,9	219,9	
A321-232	ICAO_A	5	6	Ubrzanje	Maksimum za penjanje	ZERO		685,2	235,3	
A321-232	ICAO_A	5	7	Ubrzanje	Maksimum za penjanje	ZERO		749,8	250	
A321-232	ICAO_A	5	8	Penjanje	Maksimum za penjanje	ZERO	5500			
A321-232	ICAO_A	5	9	Penjanje	Maksimum za penjanje	ZERO	7500			
A321-232	ICAO_A	5	10	Penjanje	Maksimum za penjanje	ZERO	10000			
A321-232	ICAO_B	1	1	Uzljetanje	Maksimum za uzljetanje	1+F				
A321-232	ICAO_B	1	2	Penjanje	Maksimum za uzljetanje	1+F	1000			
A321-232	ICAO_B	1	3	Ubrzanje	Maksimum za uzljetanje	1+F		1235,6	195	
A321-232	ICAO_B	1	4	Ubrzanje	Maksimum za uzljetanje	1		1376	219,7	
A321-232	ICAO_B	1	5	Penjanje	Maksimum za penjanje	ZERO	3000			
A321-232	ICAO_B	1	6	Ubrzanje	Maksimum za penjanje	ZERO		1127,8	250	
A321-232	ICAO_B	1	7	Penjanje	Maksimum za penjanje	ZERO	5500			
A321-232	ICAO_B	1	8	Penjanje	Maksimum za penjanje	ZERO	7500			
A321-232	ICAO_B	1	9	Penjanje	Maksimum za penjanje	ZERO	10000			
A321-232	ICAO_B	2	1	Uzljetanje	Maksimum za uzljetanje	1+F				
A321-232	ICAO_B	2	2	Penjanje	Maksimum za uzljetanje	1+F	1000			



ThoriumSoftware d.o.o.

Mobile: +385 (0) 95 8 70 50 70
 Kontakt: Dario Ilija Rendulić
 Email:
[info@thoriumsoftware.eu;](mailto:info@thoriumsoftware.eu)
direndulic@gmail.com

A321-232	ICAO_B	2	3	Ubrzanje	Maksimum za uzlijetanje	1+F		1180,9	199	
A321-232	ICAO_B	2	4	Ubrzanje	Maksimum za uzlijetanje	1		1316,8	222,2	
A321-232	ICAO_B	2	5	Penjanje	Maksimum za penjanje	ZERO	3000			
A321-232	ICAO_B	2	6	Ubrzanje	Maksimum za penjanje	ZERO		1070,3	250	
A321-232	ICAO_B	2	7	Penjanje	Maksimum za penjanje	ZERO	5500			
A321-232	ICAO_B	2	8	Penjanje	Maksimum za penjanje	ZERO	7500			
A321-232	ICAO_B	2	9	Penjanje	Maksimum za penjanje	ZERO	10000			
A321-232	ICAO_B	3	1	Uzlijetanje	Maksimum za uzlijetanje	1+F				
A321-232	ICAO_B	3	2	Penjanje	Maksimum za uzlijetanje	1+F	1000			
A321-232	ICAO_B	3	3	Ubrzanje	Maksimum za uzlijetanje	1+F		1127,9	203	
A321-232	ICAO_B	3	4	Ubrzanje	Maksimum za uzlijetanje	1		1259,2	224,8	
A321-232	ICAO_B	3	5	Penjanje	Maksimum za penjanje	ZERO	3000			
A321-232	ICAO_B	3	6	Ubrzanje	Maksimum za penjanje	ZERO		1015,1	250	
A321-232	ICAO_B	3	7	Penjanje	Maksimum za penjanje	ZERO	5500			
A321-232	ICAO_B	3	8	Penjanje	Maksimum za penjanje	ZERO	7500			
A321-232	ICAO_B	3	9	Penjanje	Maksimum za penjanje	ZERO	10000			
A321-232	ICAO_B	4	1	Uzlijetanje	Maksimum za uzlijetanje	1+F				
A321-232	ICAO_B	4	2	Penjanje	Maksimum za uzlijetanje	1+F	1000			
A321-232	ICAO_B	4	3	Ubrzanje	Maksimum za uzlijetanje	1+F		1039	209	
A321-232	ICAO_B	4	4	Ubrzanje	Maksimum za uzlijetanje	1		1161,6	228,6	
A321-232	ICAO_B	4	5	Penjanje	Maksimum za penjanje	ZERO	3000			



ThoriumSoftware d.o.o.

Mobile: +385 (0) 95 8 70 50 70
 Kontakt: Dario Ilija Rendulić
 Email:
[info@thoriumsoftware.eu;](mailto:info@thoriumsoftware.eu)
direndulic@gmail.com

A321-232	ICAO_B	4	6	Ubrzanje	Maksimum za penjanje	ZERO		923,7	250	
A321-232	ICAO_B	4	7	Penjanje	Maksimum za penjanje	ZERO	5500			
A321-232	ICAO_B	4	8	Penjanje	Maksimum za penjanje	ZERO	7500			
A321-232	ICAO_B	4	9	Penjanje	Maksimum za penjanje	ZERO	10000			
A321-232	ICAO_B	5	1	Uzljetanje	Maksimum za uzljetanje	1+F				
A321-232	ICAO_B	5	2	Penjanje	Maksimum za uzljetanje	1+F	1000			
A321-232	ICAO_B	5	3	Ubrzanje	Maksimum za uzljetanje	1+F		889,6	210	
A321-232	ICAO_B	5	4	Ubrzanje	Maksimum za uzljetanje	1		969,1	226,5	
A321-232	ICAO_B	5	5	Penjanje	Maksimum za penjanje	ZERO	3000			
A321-232	ICAO_B	5	6	Ubrzanje	Maksimum za penjanje	ZERO		752,3	250	
A321-232	ICAO_B	5	7	Penjanje	Maksimum za penjanje	ZERO	5500			
A321-232	ICAO_B	5	8	Penjanje	Maksimum za penjanje	ZERO	7500			
A321-232	ICAO_B	5	9	Penjanje	Maksimum za penjanje	ZERO	10000			
A330-301	DEFAULT	1	1	Uzljetanje	Maksimum za uzljetanje	1+F				
A330-301	DEFAULT	1	2	Penjanje	Maksimum za uzljetanje	1+F	1000			
A330-301	DEFAULT	1	3	Ubrzanje	Maksimum za uzljetanje	1+F		1160,6	170,7	
A330-301	DEFAULT	1	4	Ubrzanje	Maksimum za uzljetanje	1		1267,7	207,4	
A330-301	DEFAULT	1	5	Penjanje	Maksimum za penjanje	ZERO	3000			
A330-301	DEFAULT	1	6	Ubrzanje	Maksimum za penjanje	ZERO		1218,2	250	
A330-301	DEFAULT	1	7	Penjanje	Maksimum za penjanje	ZERO	5500			
A330-301	DEFAULT	1	8	Penjanje	Maksimum za penjanje	ZERO	7500			



ThoriumSoftware d.o.o.

Mobile: +385 (0) 95 8 70 50 70
 Kontakt: Dario Ilija Rendulić
 Email:
[info@thoriumsoftware.eu;](mailto:info@thoriumsoftware.eu)
direndulic@gmail.com

A330-301	DEFAULT	1	9	Penjanje	Maksimum za penjanje	ZERO	10000			
A330-301	DEFAULT	2	1	Uzljetanje	Maksimum za uzljetanje	1+F				
A330-301	DEFAULT	2	2	Penjanje	Maksimum za uzljetanje	1+F	1000			
A330-301	DEFAULT	2	3	Ubrzanje	Maksimum za uzljetanje	1+F		1121,7	173,4	
A330-301	DEFAULT	2	4	Ubrzanje	Maksimum za uzljetanje	1		1228,7	208,6	
A330-301	DEFAULT	2	5	Penjanje	Maksimum za penjanje	ZERO	3000			
A330-301	DEFAULT	2	6	Ubrzanje	Maksimum za penjanje	ZERO		1176	250	
A330-301	DEFAULT	2	7	Penjanje	Maksimum za penjanje	ZERO	5500			
A330-301	DEFAULT	2	8	Penjanje	Maksimum za penjanje	ZERO	7500			
A330-301	DEFAULT	2	9	Penjanje	Maksimum za penjanje	ZERO	10000			
A330-301	DEFAULT	3	1	Uzljetanje	Maksimum za uzljetanje	1+F				
A330-301	DEFAULT	3	2	Penjanje	Maksimum za uzljetanje	1+F	1000			
A330-301	DEFAULT	3	3	Ubrzanje	Maksimum za uzljetanje	1+F		1083,6	176,1	
A330-301	DEFAULT	3	4	Ubrzanje	Maksimum za uzljetanje	1		1190,2	209,8	
A330-301	DEFAULT	3	5	Penjanje	Maksimum za penjanje	ZERO	3000			
A330-301	DEFAULT	3	6	Ubrzanje	Maksimum za penjanje	ZERO		1134,5	250	
A330-301	DEFAULT	3	7	Penjanje	Maksimum za penjanje	ZERO	5500			
A330-301	DEFAULT	3	8	Penjanje	Maksimum za penjanje	ZERO	7500			
A330-301	DEFAULT	3	9	Penjanje	Maksimum za penjanje	ZERO	10000			
A330-301	DEFAULT	4	1	Uzljetanje	Maksimum za uzljetanje	1+F				
A330-301	DEFAULT	4	2	Penjanje	Maksimum za uzljetanje	1+F	1000			



ThoriumSoftware d.o.o.

Mobile: +385 (0) 95 8 70 50 70
 Kontakt: Dario Ilija Rendulić
 Email:
[info@thoriumsoftware.eu;](mailto:info@thoriumsoftware.eu)
direndulic@gmail.com

A330-301	DEFAULT	4	3	Ubrzanje	Maksimum za uzlijetanje	1+F		1022,6	180,8	
A330-301	DEFAULT	4	4	Ubrzanje	Maksimum za uzlijetanje	1		1126,6	212,1	
A330-301	DEFAULT	4	5	Penjanje	Maksimum za penjanje	ZERO	3000			
A330-301	DEFAULT	4	6	Ubrzanje	Maksimum za penjanje	ZERO		1066,4	250	
A330-301	DEFAULT	4	7	Penjanje	Maksimum za penjanje	ZERO	5500			
A330-301	DEFAULT	4	8	Penjanje	Maksimum za penjanje	ZERO	7500			
A330-301	DEFAULT	4	9	Penjanje	Maksimum za penjanje	ZERO	10000			
A330-301	DEFAULT	5	1	Uzlijetanje	Maksimum za uzlijetanje	1+F				
A330-301	DEFAULT	5	2	Penjanje	Maksimum za uzlijetanje	1+F	1000			
A330-301	DEFAULT	5	3	Ubrzanje	Maksimum za uzlijetanje	1+F		951,6	186,7	
A330-301	DEFAULT	5	4	Ubrzanje	Maksimum za uzlijetanje	1		1051,7	215,3	
A330-301	DEFAULT	5	5	Penjanje	Maksimum za penjanje	ZERO	3000			
A330-301	DEFAULT	5	6	Ubrzanje	Maksimum za penjanje	ZERO		986,6	250	
A330-301	DEFAULT	5	7	Penjanje	Maksimum za penjanje	ZERO	5500			
A330-301	DEFAULT	5	8	Penjanje	Maksimum za penjanje	ZERO	7500			
A330-301	DEFAULT	5	9	Penjanje	Maksimum za penjanje	ZERO	10000			
A330-301	DEFAULT	6	1	Uzlijetanje	Maksimum za uzlijetanje	1+F				
A330-301	DEFAULT	6	2	Penjanje	Maksimum za uzlijetanje	1+F	1000			
A330-301	DEFAULT	6	3	Ubrzanje	Maksimum za uzlijetanje	1+F		883,9	193	
A330-301	DEFAULT	6	4	Ubrzanje	Maksimum za uzlijetanje	1		978,1	218,9	
A330-301	DEFAULT	6	5	Penjanje	Maksimum za penjanje	ZERO	3000			



ThoriumSoftware d.o.o.

Mobile: +385 (0) 95 8 70 50 70
 Kontakt: Dario Ilija Rendulić
 Email:
[info@thoriumsoftware.eu;](mailto:info@thoriumsoftware.eu)
direndulic@gmail.com

A330-301	DEFAULT	6	6	Ubrzanje	Maksimum za penjanje	ZERO		908,7	250	
A330-301	DEFAULT	6	7	Penjanje	Maksimum za penjanje	ZERO	5500			
A330-301	DEFAULT	6	8	Penjanje	Maksimum za penjanje	ZERO	7500			
A330-301	DEFAULT	6	9	Penjanje	Maksimum za penjanje	ZERO	10000			
A330-301	DEFAULT	7	1	Uzljetanje	Maksimum za uzljetanje	1+F				
A330-301	DEFAULT	7	2	Penjanje	Maksimum za uzljetanje	1+F	1000			
A330-301	DEFAULT	7	3	Ubrzanje	Maksimum za uzljetanje	1+F		864,2	195	
A330-301	DEFAULT	7	4	Ubrzanje	Maksimum za uzljetanje	1		956,5	220,1	
A330-301	DEFAULT	7	5	Penjanje	Maksimum za penjanje	ZERO	3000			
A330-301	DEFAULT	7	6	Ubrzanje	Maksimum za penjanje	ZERO		885,7	250	
A330-301	DEFAULT	7	7	Penjanje	Maksimum za penjanje	ZERO	5500			
A330-301	DEFAULT	7	8	Penjanje	Maksimum za penjanje	ZERO	7500			
A330-301	DEFAULT	7	9	Penjanje	Maksimum za penjanje	ZERO	10000			
A330-301	ICAO_A	1	1	Uzljetanje	Maksimum za uzljetanje	1+F				
A330-301	ICAO_A	1	2	Penjanje	Maksimum za uzljetanje	1+F	1500			
A330-301	ICAO_A	1	3	Penjanje	Maksimum za penjanje	1+F	3000			
A330-301	ICAO_A	1	4	Ubrzanje	Maksimum za penjanje	1+F		722,8	170,7	
A330-301	ICAO_A	1	5	Ubrzanje	Maksimum za penjanje	1		783,9	193	
A330-301	ICAO_A	1	6	Ubrzanje	Maksimum za penjanje	ZERO		965	210,2	
A330-301	ICAO_A	1	7	Ubrzanje	Maksimum za penjanje	ZERO		1210,9	250	
A330-301	ICAO_A	1	8	Penjanje	Maksimum za penjanje	ZERO	5500			



ThoriumSoftware d.o.o.

Mobile: +385 (0) 95 8 70 50 70
 Kontakt: Dario Ilija Rendulić
 Email:
[info@thoriumsoftware.eu;](mailto:info@thoriumsoftware.eu)
direndulic@gmail.com

A330-301	ICAO_A	1	9	Penjanje	Maksimum za penjanje	ZERO	7500			
A330-301	ICAO_A	1	10	Penjanje	Maksimum za penjanje	ZERO	10000			
A330-301	ICAO_A	2	1	Uzljetanje	Maksimum za uzljetanje	1+F				
A330-301	ICAO_A	2	2	Penjanje	Maksimum za uzljetanje	1+F	1500			
A330-301	ICAO_A	2	3	Penjanje	Maksimum za penjanje	1+F	3000			
A330-301	ICAO_A	2	4	Ubrzanje	Maksimum za penjanje	1+F		694,4	173,3	
A330-301	ICAO_A	2	5	Ubrzanje	Maksimum za penjanje	1		758,4	194,7	
A330-301	ICAO_A	2	6	Ubrzanje	Maksimum za penjanje	ZERO		938	211,3	
A330-301	ICAO_A	2	7	Ubrzanje	Maksimum za penjanje	ZERO		1168,1	250	
A330-301	ICAO_A	2	8	Penjanje	Maksimum za penjanje	ZERO	5500			
A330-301	ICAO_A	2	9	Penjanje	Maksimum za penjanje	ZERO	7500			
A330-301	ICAO_A	2	10	Penjanje	Maksimum za penjanje	ZERO	10000			
A330-301	ICAO_A	3	1	Uzljetanje	Maksimum za uzljetanje	1+F				
A330-301	ICAO_A	3	2	Penjanje	Maksimum za uzljetanje	1+F	1500			
A330-301	ICAO_A	3	3	Penjanje	Maksimum za penjanje	1+F	3000			
A330-301	ICAO_A	3	4	Ubrzanje	Maksimum za penjanje	1+F		668,3	176	
A330-301	ICAO_A	3	5	Ubrzanje	Maksimum za penjanje	1		734,4	196,4	
A330-301	ICAO_A	3	6	Ubrzanje	Maksimum za penjanje	ZERO		911,9	212,4	
A330-301	ICAO_A	3	7	Ubrzanje	Maksimum za penjanje	ZERO		1126,3	250	
A330-301	ICAO_A	3	8	Penjanje	Maksimum za penjanje	ZERO	5500			
A330-301	ICAO_A	3	9	Penjanje	Maksimum za penjanje	ZERO	7500			



ThoriumSoftware d.o.o.

Mobile: +385 (0) 95 8 70 50 70
 Kontakt: Dario Ilija Rendulić
 Email:
[info@thoriumsoftware.eu;](mailto:info@thoriumsoftware.eu)
direndulic@gmail.com

A330-301	ICAO_A	3	10	Penjanje	Maksimum za penjanje	ZERO	10000			
A330-301	ICAO_A	4	1	Uzljetanje	Maksimum za uzljetanje	1+F				
A330-301	ICAO_A	4	2	Penjanje	Maksimum za uzljetanje	1+F	1500			
A330-301	ICAO_A	4	3	Penjanje	Maksimum za penjanje	1+F	3000			
A330-301	ICAO_A	4	4	Ubrzanje	Maksimum za penjanje	1+F		622	180,8	
A330-301	ICAO_A	4	5	Ubrzanje	Maksimum za penjanje	1		698,3	199,8	
A330-301	ICAO_A	4	6	Ubrzanje	Maksimum za penjanje	ZERO		871,8	214,9	
A330-301	ICAO_A	4	7	Ubrzanje	Maksimum za penjanje	ZERO		1057,8	250	
A330-301	ICAO_A	4	8	Penjanje	Maksimum za penjanje	ZERO	5500			
A330-301	ICAO_A	4	9	Penjanje	Maksimum za penjanje	ZERO	7500			
A330-301	ICAO_A	4	10	Penjanje	Maksimum za penjanje	ZERO	10000			
A330-301	ICAO_A	5	1	Uzljetanje	Maksimum za uzljetanje	1+F				
A330-301	ICAO_A	5	2	Penjanje	Maksimum za uzljetanje	1+F	1500			
A330-301	ICAO_A	5	3	Penjanje	Maksimum za penjanje	1+F	3000			
A330-301	ICAO_A	5	4	Ubrzanje	Maksimum za penjanje	1+F		569,3	186,8	
A330-301	ICAO_A	5	5	Ubrzanje	Maksimum za penjanje	1		663,1	204,4	
A330-301	ICAO_A	5	6	Ubrzanje	Maksimum za penjanje	ZERO		827,1	218,4	
A330-301	ICAO_A	5	7	Ubrzanje	Maksimum za penjanje	ZERO		977,1	250	
A330-301	ICAO_A	5	8	Penjanje	Maksimum za penjanje	ZERO	5500			
A330-301	ICAO_A	5	9	Penjanje	Maksimum za penjanje	ZERO	7500			
A330-301	ICAO_A	5	10	Penjanje	Maksimum za penjanje	ZERO	10000			

A330-301	ICAO_A	6	1	Uzlijetanje	Maksimum za uzlijetanje	1+F				
A330-301	ICAO_A	6	2	Penjanje	Maksimum za uzlijetanje	1+F	1500			
A330-301	ICAO_A	6	3	Penjanje	Maksimum za penjanje	1+F	3000			
A330-301	ICAO_A	6	4	Ubrzanje	Maksimum za penjanje	1+F		519,8	193	
A330-301	ICAO_A	6	5	Ubrzanje	Maksimum za penjanje	1		634,2	209,3	
A330-301	ICAO_A	6	6	Ubrzanje	Maksimum za penjanje	ZERO		781	222,2	
A330-301	ICAO_A	6	7	Ubrzanje	Maksimum za penjanje	ZERO		898,1	250	
A330-301	ICAO_A	6	8	Penjanje	Maksimum za penjanje	ZERO	5500			
A330-301	ICAO_A	6	9	Penjanje	Maksimum za penjanje	ZERO	7500			
A330-301	ICAO_A	6	10	Penjanje	Maksimum za penjanje	ZERO	10000			
A330-301	ICAO_A	7	1	Uzlijetanje	Maksimum za uzlijetanje	1+F				
A330-301	ICAO_A	7	2	Penjanje	Maksimum za uzlijetanje	1+F	1500			
A330-301	ICAO_A	7	3	Penjanje	Maksimum za penjanje	1+F	3000			
A330-301	ICAO_A	7	4	Ubrzanje	Maksimum za penjanje	1+F		506,2	194,9	
A330-301	ICAO_A	7	5	Ubrzanje	Maksimum za penjanje	1		625,8	210,8	
A330-301	ICAO_A	7	6	Ubrzanje	Maksimum za penjanje	ZERO		766,4	223,5	
A330-301	ICAO_A	7	7	Ubrzanje	Maksimum za penjanje	ZERO		875,2	250	
A330-301	ICAO_A	7	8	Penjanje	Maksimum za penjanje	ZERO	5500			
A330-301	ICAO_A	7	9	Penjanje	Maksimum za penjanje	ZERO	7500			
A330-301	ICAO_A	7	10	Penjanje	Maksimum za penjanje	ZERO	10000			
A330-301	ICAO_B	1	1	Uzlijetanje	Maksimum za uzlijetanje	1+F				



ThoriumSoftware d.o.o.

Mobile: +385 (0) 95 8 70 50 70
 Kontakt: Dario Ilija Rendulić
 Email:
[info@thoriumsoftware.eu;](mailto:info@thoriumsoftware.eu)
direndulic@gmail.com

A330-301	ICAO_B	1	2	Penjanje	Maksimum za uzlijetanje	1+F	1000			
A330-301	ICAO_B	1	3	Ubrzanje	Maksimum za uzlijetanje	1+F		1160,6	170,7	
A330-301	ICAO_B	1	4	Ubrzanje	Maksimum za uzlijetanje	1		1267,7	207,4	
A330-301	ICAO_B	1	5	Penjanje	Maksimum za penjanje	ZERO	3000			
A330-301	ICAO_B	1	6	Ubrzanje	Maksimum za penjanje	ZERO		1218,2	250	
A330-301	ICAO_B	1	7	Penjanje	Maksimum za penjanje	ZERO	5500			
A330-301	ICAO_B	1	8	Penjanje	Maksimum za penjanje	ZERO	7500			
A330-301	ICAO_B	1	9	Penjanje	Maksimum za penjanje	ZERO	10000			
A330-301	ICAO_B	2	1	Uzlijetanje	Maksimum za uzlijetanje	1+F				
A330-301	ICAO_B	2	2	Penjanje	Maksimum za uzlijetanje	1+F	1000			
A330-301	ICAO_B	2	3	Ubrzanje	Maksimum za uzlijetanje	1+F		1121,7	173,4	
A330-301	ICAO_B	2	4	Ubrzanje	Maksimum za uzlijetanje	1		1228,7	208,6	
A330-301	ICAO_B	2	5	Penjanje	Maksimum za penjanje	ZERO	3000			
A330-301	ICAO_B	2	6	Ubrzanje	Maksimum za penjanje	ZERO		1176	250	
A330-301	ICAO_B	2	7	Penjanje	Maksimum za penjanje	ZERO	5500			
A330-301	ICAO_B	2	8	Penjanje	Maksimum za penjanje	ZERO	7500			
A330-301	ICAO_B	2	9	Penjanje	Maksimum za penjanje	ZERO	10000			
A330-301	ICAO_B	3	1	Uzlijetanje	Maksimum za uzlijetanje	1+F				
A330-301	ICAO_B	3	2	Penjanje	Maksimum za uzlijetanje	1+F	1000			
A330-301	ICAO_B	3	3	Ubrzanje	Maksimum za uzlijetanje	1+F		1083,6	176,1	
A330-301	ICAO_B	3	4	Ubrzanje	Maksimum za uzlijetanje	1		1190,2	209,8	



ThoriumSoftware d.o.o.

Mobile: +385 (0) 95 8 70 50 70
 Kontakt: Dario Ilija Rendulić
 Email:
[info@thoriumsoftware.eu;](mailto:info@thoriumsoftware.eu)
direndulic@gmail.com

A330-301	ICAO_B	3	5	Penjanje	Maksimum za penjanje	ZERO	3000			
A330-301	ICAO_B	3	6	Ubrzanje	Maksimum za penjanje	ZERO		1134,5	250	
A330-301	ICAO_B	3	7	Penjanje	Maksimum za penjanje	ZERO	5500			
A330-301	ICAO_B	3	8	Penjanje	Maksimum za penjanje	ZERO	7500			
A330-301	ICAO_B	3	9	Penjanje	Maksimum za penjanje	ZERO	10000			
A330-301	ICAO_B	4	1	Uzlijetanje	Maksimum za uzlijetanje	1+F				
A330-301	ICAO_B	4	2	Penjanje	Maksimum za uzlijetanje	1+F	1000			
A330-301	ICAO_B	4	3	Ubrzanje	Maksimum za uzlijetanje	1+F		1022,6	180,8	
A330-301	ICAO_B	4	4	Ubrzanje	Maksimum za uzlijetanje	1		1126,6	212,1	
A330-301	ICAO_B	4	5	Penjanje	Maksimum za penjanje	ZERO	3000			
A330-301	ICAO_B	4	6	Ubrzanje	Maksimum za penjanje	ZERO		1066,4	250	
A330-301	ICAO_B	4	7	Penjanje	Maksimum za penjanje	ZERO	5500			
A330-301	ICAO_B	4	8	Penjanje	Maksimum za penjanje	ZERO	7500			
A330-301	ICAO_B	4	9	Penjanje	Maksimum za penjanje	ZERO	10000			
A330-301	ICAO_B	5	1	Uzlijetanje	Maksimum za uzlijetanje	1+F				
A330-301	ICAO_B	5	2	Penjanje	Maksimum za uzlijetanje	1+F	1000			
A330-301	ICAO_B	5	3	Ubrzanje	Maksimum za uzlijetanje	1+F		951,6	186,7	
A330-301	ICAO_B	5	4	Ubrzanje	Maksimum za uzlijetanje	1		1051,7	215,3	
A330-301	ICAO_B	5	5	Penjanje	Maksimum za penjanje	ZERO	3000			
A330-301	ICAO_B	5	6	Ubrzanje	Maksimum za penjanje	ZERO		986,6	250	
A330-301	ICAO_B	5	7	Penjanje	Maksimum za penjanje	ZERO	5500			



ThoriumSoftware d.o.o.

Mobile: +385 (0) 95 8 70 50 70
 Kontakt: Dario Ilija Rendulić
 Email:
[info@thoriumsoftware.eu;](mailto:info@thoriumsoftware.eu)
direndulic@gmail.com

A330-301	ICAO_B	5	8	Penjanje	Maksimum za penjanje	ZERO	7500			
A330-301	ICAO_B	5	9	Penjanje	Maksimum za penjanje	ZERO	10000			
A330-301	ICAO_B	6	1	Uzljetanje	Maksimum za uzljetanje	1+F				
A330-301	ICAO_B	6	2	Penjanje	Maksimum za uzljetanje	1+F	1000			
A330-301	ICAO_B	6	3	Ubrzanje	Maksimum za uzljetanje	1+F		883,9	193	
A330-301	ICAO_B	6	4	Ubrzanje	Maksimum za uzljetanje	1		978,1	218,9	
A330-301	ICAO_B	6	5	Penjanje	Maksimum za penjanje	ZERO	3000			
A330-301	ICAO_B	6	6	Ubrzanje	Maksimum za penjanje	ZERO		908,7	250	
A330-301	ICAO_B	6	7	Penjanje	Maksimum za penjanje	ZERO	5500			
A330-301	ICAO_B	6	8	Penjanje	Maksimum za penjanje	ZERO	7500			
A330-301	ICAO_B	6	9	Penjanje	Maksimum za penjanje	ZERO	10000			
A330-301	ICAO_B	7	1	Uzljetanje	Maksimum za uzljetanje	1+F				
A330-301	ICAO_B	7	2	Penjanje	Maksimum za uzljetanje	1+F	1000			
A330-301	ICAO_B	7	3	Ubrzanje	Maksimum za uzljetanje	1+F		864,2	195	
A330-301	ICAO_B	7	4	Ubrzanje	Maksimum za uzljetanje	1		956,5	220,1	
A330-301	ICAO_B	7	5	Penjanje	Maksimum za penjanje	ZERO	3000			
A330-301	ICAO_B	7	6	Ubrzanje	Maksimum za penjanje	ZERO		885,7	250	
A330-301	ICAO_B	7	7	Penjanje	Maksimum za penjanje	ZERO	5500			
A330-301	ICAO_B	7	8	Penjanje	Maksimum za penjanje	ZERO	7500			
A330-301	ICAO_B	7	9	Penjanje	Maksimum za penjanje	ZERO	10000			
A330-343	DEFAULT	1	1	Uzljetanje	Maksimum za uzljetanje	1+F				



ThoriumSoftware d.o.o.

Mobile: +385 (0) 95 8 70 50 70
 Kontakt: Dario Ilija Rendulić
 Email:
[info@thoriumsoftware.eu;](mailto:info@thoriumsoftware.eu)
direndulic@gmail.com

A330-343	DEFAULT	1	2	Penjanje	Maksimum za uzlijetanje	1+F	1000			
A330-343	DEFAULT	1	3	Ubrzanje	Maksimum za uzlijetanje	1+F		1273,5	174,9	
A330-343	DEFAULT	1	4	Ubrzanje	Maksimum za uzlijetanje	1		1384,8	213,9	
A330-343	DEFAULT	1	5	Penjanje	Maksimum za penjanje	ZERO	3000			
A330-343	DEFAULT	1	6	Ubrzanje	Maksimum za penjanje	ZERO		1268,1	250	
A330-343	DEFAULT	1	7	Penjanje	Maksimum za penjanje	ZERO	5500			
A330-343	DEFAULT	1	8	Penjanje	Maksimum za penjanje	ZERO	7500			
A330-343	DEFAULT	1	9	Penjanje	Maksimum za penjanje	ZERO	10000			
A330-343	DEFAULT	2	1	Uzlijetanje	Maksimum za uzlijetanje	1+F				
A330-343	DEFAULT	2	2	Penjanje	Maksimum za uzlijetanje	1+F	1000			
A330-343	DEFAULT	2	3	Ubrzanje	Maksimum za uzlijetanje	1+F		1218,9	177,7	
A330-343	DEFAULT	2	4	Ubrzanje	Maksimum za uzlijetanje	1		1340,4	215	
A330-343	DEFAULT	2	5	Penjanje	Maksimum za penjanje	ZERO	3000			
A330-343	DEFAULT	2	6	Ubrzanje	Maksimum za penjanje	ZERO		1223,6	250	
A330-343	DEFAULT	2	7	Penjanje	Maksimum za penjanje	ZERO	5500			
A330-343	DEFAULT	2	8	Penjanje	Maksimum za penjanje	ZERO	7500			
A330-343	DEFAULT	2	9	Penjanje	Maksimum za penjanje	ZERO	10000			
A330-343	DEFAULT	3	1	Uzlijetanje	Maksimum za uzlijetanje	1+F				
A330-343	DEFAULT	3	2	Penjanje	Maksimum za uzlijetanje	1+F	1000			
A330-343	DEFAULT	3	3	Ubrzanje	Maksimum za uzlijetanje	1+F		1181,2	180,4	
A330-343	DEFAULT	3	4	Ubrzanje	Maksimum za uzlijetanje	1		1296,6	216,1	

A330-343	DEFAULT	3	5	Penjanje	Maksimum za penjanje	ZERO	3000			
A330-343	DEFAULT	3	6	Ubrzanje	Maksimum za penjanje	ZERO		1180	250	
A330-343	DEFAULT	3	7	Penjanje	Maksimum za penjanje	ZERO	5500			
A330-343	DEFAULT	3	8	Penjanje	Maksimum za penjanje	ZERO	7500			
A330-343	DEFAULT	3	9	Penjanje	Maksimum za penjanje	ZERO	10000			
A330-343	DEFAULT	4	1	Uzlijetanje	Maksimum za uzlijetanje	1+F				
A330-343	DEFAULT	4	2	Penjanje	Maksimum za uzlijetanje	1+F	1000			
A330-343	DEFAULT	4	3	Ubrzanje	Maksimum za uzlijetanje	1+F		1115,2	185,2	
A330-343	DEFAULT	4	4	Ubrzanje	Maksimum za uzlijetanje	1		1224,1	218,3	
A330-343	DEFAULT	4	5	Penjanje	Maksimum za penjanje	ZERO	3000			
A330-343	DEFAULT	4	6	Ubrzanje	Maksimum za penjanje	ZERO		1108,4	250	
A330-343	DEFAULT	4	7	Penjanje	Maksimum za penjanje	ZERO	5500			
A330-343	DEFAULT	4	8	Penjanje	Maksimum za penjanje	ZERO	7500			
A330-343	DEFAULT	4	9	Penjanje	Maksimum za penjanje	ZERO	10000			
A330-343	DEFAULT	5	1	Uzlijetanje	Maksimum za uzlijetanje	1+F				
A330-343	DEFAULT	5	2	Penjanje	Maksimum za uzlijetanje	1+F	1000			
A330-343	DEFAULT	5	3	Ubrzanje	Maksimum za uzlijetanje	1+F		1038,3	191,3	
A330-343	DEFAULT	5	4	Ubrzanje	Maksimum za uzlijetanje	1		1139,2	221,4	
A330-343	DEFAULT	5	5	Penjanje	Maksimum za penjanje	ZERO	3000			
A330-343	DEFAULT	5	6	Ubrzanje	Maksimum za penjanje	ZERO		1025,2	250	
A330-343	DEFAULT	5	7	Penjanje	Maksimum za penjanje	ZERO	5500			



ThoriumSoftware d.o.o.

Mobile: +385 (0) 95 8 70 50 70
 Kontakt: Dario Ilija Rendulić
 Email:
[info@thoriumsoftware.eu;](mailto:info@thoriumsoftware.eu)
direndulic@gmail.com

A330-343	DEFAULT	5	8	Penjanje	Maksimum za penjanje	ZERO	7500			
A330-343	DEFAULT	5	9	Penjanje	Maksimum za penjanje	ZERO	10000			
A330-343	DEFAULT	6	1	Uzljetanje	Maksimum za uzljetanje	1+F				
A330-343	DEFAULT	6	2	Penjanje	Maksimum za uzljetanje	1+F	1000			
A330-343	DEFAULT	6	3	Ubrzanje	Maksimum za uzljetanje	1+F		962,8	197,3	
A330-343	DEFAULT	6	4	Ubrzanje	Maksimum za uzljetanje	1		1054,3	224,5	
A330-343	DEFAULT	6	5	Penjanje	Maksimum za penjanje	ZERO	3000			
A330-343	DEFAULT	6	6	Ubrzanje	Maksimum za penjanje	ZERO		943,3	250	
A330-343	DEFAULT	6	7	Penjanje	Maksimum za penjanje	ZERO	5500			
A330-343	DEFAULT	6	8	Penjanje	Maksimum za penjanje	ZERO	7500			
A330-343	DEFAULT	6	9	Penjanje	Maksimum za penjanje	ZERO	10000			
A330-343	DEFAULT	7	1	Uzljetanje	Maksimum za uzljetanje	1+F				
A330-343	DEFAULT	7	2	Penjanje	Maksimum za uzljetanje	1+F	1000			
A330-343	DEFAULT	7	3	Ubrzanje	Maksimum za uzljetanje	1+F		869,5	200,8	
A330-343	DEFAULT	7	4	Ubrzanje	Maksimum za uzljetanje	1		948,6	225	
A330-343	DEFAULT	7	5	Penjanje	Maksimum za penjanje	ZERO	3000			
A330-343	DEFAULT	7	6	Ubrzanje	Maksimum za penjanje	ZERO		842	250	
A330-343	DEFAULT	7	7	Penjanje	Maksimum za penjanje	ZERO	5500			
A330-343	DEFAULT	7	8	Penjanje	Maksimum za penjanje	ZERO	7500			
A330-343	DEFAULT	7	9	Penjanje	Maksimum za penjanje	ZERO	10000			
A330-343	ICAO_A	1	1	Uzljetanje	Maksimum za uzljetanje	1+F				

A330-343	ICAO_A	1	2	Penjanje	Maksimum za uzlijetanje	1+F	1500			
A330-343	ICAO_A	1	3	Penjanje	Maksimum za penjanje	1+F	3000			
A330-343	ICAO_A	1	4	Ubrzanje	Maksimum za penjanje	1+F		839,6	174,8	
A330-343	ICAO_A	1	5	Ubrzanje	Maksimum za penjanje	1		914,2	200,1	
A330-343	ICAO_A	1	6	Ubrzanje	Maksimum za penjanje	ZERO		1103,7	218,9	
A330-343	ICAO_A	1	7	Ubrzanje	Maksimum za penjanje	ZERO		1253,2	250	
A330-343	ICAO_A	1	8	Penjanje	Maksimum za penjanje	ZERO	5500			
A330-343	ICAO_A	1	9	Penjanje	Maksimum za penjanje	ZERO	7500			
A330-343	ICAO_A	1	10	Penjanje	Maksimum za penjanje	ZERO	10000			
A330-343	ICAO_A	2	1	Uzlijetanje	Maksimum za uzlijetanje	1+F				
A330-343	ICAO_A	2	2	Penjanje	Maksimum za uzlijetanje	1+F	1500			
A330-343	ICAO_A	2	3	Penjanje	Maksimum za penjanje	1+F	3000			
A330-343	ICAO_A	2	4	Ubrzanje	Maksimum za penjanje	1+F		801,5	177,5	
A330-343	ICAO_A	2	5	Ubrzanje	Maksimum za penjanje	1		885,4	201,7	
A330-343	ICAO_A	2	6	Ubrzanje	Maksimum za penjanje	ZERO		1068,3	219,8	
A330-343	ICAO_A	2	7	Ubrzanje	Maksimum za penjanje	ZERO		1208,4	250	
A330-343	ICAO_A	2	8	Penjanje	Maksimum za penjanje	ZERO	5500			
A330-343	ICAO_A	2	9	Penjanje	Maksimum za penjanje	ZERO	7500			
A330-343	ICAO_A	2	10	Penjanje	Maksimum za penjanje	ZERO	10000			
A330-343	ICAO_A	3	1	Uzlijetanje	Maksimum za uzlijetanje	1+F				
A330-343	ICAO_A	3	2	Penjanje	Maksimum za uzlijetanje	1+F	1500			



ThoriumSoftware d.o.o.

Mobile: +385 (0) 95 8 70 50 70
 Kontakt: Dario Ilija Rendulić
 Email:
[info@thoriumsoftware.eu;](mailto:info@thoriumsoftware.eu)
direndulic@gmail.com

A330-343	ICAO_A	3	3	Penjanje	Maksimum za penjanje	1+F	3000			
A330-343	ICAO_A	3	4	Ubrzanje	Maksimum za penjanje	1+F		766,4	180,3	
A330-343	ICAO_A	3	5	Ubrzanje	Maksimum za penjanje	1		857,9	203,5	
A330-343	ICAO_A	3	6	Ubrzanje	Maksimum za penjanje	ZERO		1033,8	220,9	
A330-343	ICAO_A	3	7	Ubrzanje	Maksimum za penjanje	ZERO		1164,8	250	
A330-343	ICAO_A	3	8	Penjanje	Maksimum za penjanje	ZERO	5500			
A330-343	ICAO_A	3	9	Penjanje	Maksimum za penjanje	ZERO	7500			
A330-343	ICAO_A	3	10	Penjanje	Maksimum za penjanje	ZERO	10000			
A330-343	ICAO_A	4	1	Uzljetanje	Maksimum za uzljetanje	1+F				
A330-343	ICAO_A	4	2	Penjanje	Maksimum za uzljetanje	1+F	1500			
A330-343	ICAO_A	4	3	Penjanje	Maksimum za penjanje	1+F	3000			
A330-343	ICAO_A	4	4	Ubrzanje	Maksimum za penjanje	1+F		717,5	185,3	
A330-343	ICAO_A	4	5	Ubrzanje	Maksimum za penjanje	1		814,6	206,8	
A330-343	ICAO_A	4	6	Ubrzanje	Maksimum za penjanje	ZERO		977,3	223	
A330-343	ICAO_A	4	7	Ubrzanje	Maksimum za penjanje	ZERO		1093,5	250	
A330-343	ICAO_A	4	8	Penjanje	Maksimum za penjanje	ZERO	5500			
A330-343	ICAO_A	4	9	Penjanje	Maksimum za penjanje	ZERO	7500			
A330-343	ICAO_A	4	10	Penjanje	Maksimum za penjanje	ZERO	10000			
A330-343	ICAO_A	5	1	Uzljetanje	Maksimum za uzljetanje	1+F				
A330-343	ICAO_A	5	2	Penjanje	Maksimum za uzljetanje	1+F	1500			
A330-343	ICAO_A	5	3	Penjanje	Maksimum za penjanje	1+F	3000			



ThoriumSoftware d.o.o.

Mobile: +385 (0) 95 8 70 50 70
 Kontakt: Dario Ilija Rendulić
 Email:
[info@thoriumsoftware.eu;](mailto:info@thoriumsoftware.eu)
direndulic@gmail.com

A330-343	ICAO_A	5	4	Ubrzanje	Maksimum za penjanje	1+F		661,1	191,5	
A330-343	ICAO_A	5	5	Ubrzanje	Maksimum za penjanje	1		767	211,2	
A330-343	ICAO_A	5	6	Ubrzanje	Maksimum za penjanje	ZERO		910,6	226,1	
A330-343	ICAO_A	5	7	Ubrzanje	Maksimum za penjanje	ZERO		1011	250	
A330-343	ICAO_A	5	8	Penjanje	Maksimum za penjanje	ZERO	5500			
A330-343	ICAO_A	5	9	Penjanje	Maksimum za penjanje	ZERO	7500			
A330-343	ICAO_A	5	10	Penjanje	Maksimum za penjanje	ZERO	10000			
A330-343	ICAO_A	6	1	Uzljetanje	Maksimum za uzljetanje	1+F				
A330-343	ICAO_A	6	2	Penjanje	Maksimum za uzljetanje	1+F	1500			
A330-343	ICAO_A	6	3	Penjanje	Maksimum za penjanje	1+F	3000			
A330-343	ICAO_A	6	4	Ubrzanje	Maksimum za penjanje	1+F		607,1	197,4	
A330-343	ICAO_A	6	5	Ubrzanje	Maksimum za penjanje	1		717	215,3	
A330-343	ICAO_A	6	6	Ubrzanje	Maksimum za penjanje	ZERO		840,3	228,8	
A330-343	ICAO_A	6	7	Ubrzanje	Maksimum za penjanje	ZERO		929,9	250	
A330-343	ICAO_A	6	8	Penjanje	Maksimum za penjanje	ZERO	5500			
A330-343	ICAO_A	6	9	Penjanje	Maksimum za penjanje	ZERO	7500			
A330-343	ICAO_A	6	10	Penjanje	Maksimum za penjanje	ZERO	10000			
A330-343	ICAO_A	7	1	Uzljetanje	Maksimum za uzljetanje	1+F				
A330-343	ICAO_A	7	2	Penjanje	Maksimum za uzljetanje	1+F	1500			
A330-343	ICAO_A	7	3	Penjanje	Maksimum za penjanje	1+F	3000			
A330-343	ICAO_A	7	4	Ubrzanje	Maksimum za penjanje	1+F		538	200,4	



ThoriumSoftware d.o.o.

Mobile: +385 (0) 95 8 70 50 70
 Kontakt: Dario Ilija Rendulić
 Email:
[info@thoriumsoftware.eu;](mailto:info@thoriumsoftware.eu)
direndulic@gmail.com

A330-343	ICAO_A	7	5	Ubrzanje	Maksimum za penjanje	1		638,8	216,2	
A330-343	ICAO_A	7	6	Ubrzanje	Maksimum za penjanje	ZERO		743,9	228,1	
A330-343	ICAO_A	7	7	Ubrzanje	Maksimum za penjanje	ZERO		830,4	250	
A330-343	ICAO_A	7	8	Penjanje	Maksimum za penjanje	ZERO	5500			
A330-343	ICAO_A	7	9	Penjanje	Maksimum za penjanje	ZERO	7500			
A330-343	ICAO_A	7	10	Penjanje	Maksimum za penjanje	ZERO	10000			
A330-343	ICAO_B	1	1	Uzljetanje	Maksimum za uzljetanje	1+F				
A330-343	ICAO_B	1	2	Penjanje	Maksimum za uzljetanje	1+F	1000			
A330-343	ICAO_B	1	3	Ubrzanje	Maksimum za uzljetanje	1+F		1273,5	174,9	
A330-343	ICAO_B	1	4	Ubrzanje	Maksimum za uzljetanje	1		1384,8	213,9	
A330-343	ICAO_B	1	5	Penjanje	Maksimum za penjanje	ZERO	3000			
A330-343	ICAO_B	1	6	Ubrzanje	Maksimum za penjanje	ZERO		1268,1	250	
A330-343	ICAO_B	1	7	Penjanje	Maksimum za penjanje	ZERO	5500			
A330-343	ICAO_B	1	8	Penjanje	Maksimum za penjanje	ZERO	7500			
A330-343	ICAO_B	1	9	Penjanje	Maksimum za penjanje	ZERO	10000			
A330-343	ICAO_B	2	1	Uzljetanje	Maksimum za uzljetanje	1+F				
A330-343	ICAO_B	2	2	Penjanje	Maksimum za uzljetanje	1+F	1000			
A330-343	ICAO_B	2	3	Ubrzanje	Maksimum za uzljetanje	1+F		1218,9	177,7	
A330-343	ICAO_B	2	4	Ubrzanje	Maksimum za uzljetanje	1		1340,4	215	
A330-343	ICAO_B	2	5	Penjanje	Maksimum za penjanje	ZERO	3000			
A330-343	ICAO_B	2	6	Ubrzanje	Maksimum za penjanje	ZERO		1223,6	250	



ThoriumSoftware d.o.o.

Mobile: +385 (0) 95 8 70 50 70
 Kontakt: Dario Ilija Rendulić
 Email:
[info@thoriumsoftware.eu;](mailto:info@thoriumsoftware.eu)
direndulic@gmail.com

A330-343	ICAO_B	2	7	Penjanje	Maksimum za penjanje	ZERO	5500			
A330-343	ICAO_B	2	8	Penjanje	Maksimum za penjanje	ZERO	7500			
A330-343	ICAO_B	2	9	Penjanje	Maksimum za penjanje	ZERO	10000			
A330-343	ICAO_B	3	1	Uzljetanje	Maksimum za uzljetanje	1+F				
A330-343	ICAO_B	3	2	Penjanje	Maksimum za uzljetanje	1+F	1000			
A330-343	ICAO_B	3	3	Ubrzanje	Maksimum za uzljetanje	1+F		1181,2	180,4	
A330-343	ICAO_B	3	4	Ubrzanje	Maksimum za uzljetanje	1		1296,6	216,1	
A330-343	ICAO_B	3	5	Penjanje	Maksimum za penjanje	ZERO	3000			
A330-343	ICAO_B	3	6	Ubrzanje	Maksimum za penjanje	ZERO		1180	250	
A330-343	ICAO_B	3	7	Penjanje	Maksimum za penjanje	ZERO	5500			
A330-343	ICAO_B	3	8	Penjanje	Maksimum za penjanje	ZERO	7500			
A330-343	ICAO_B	3	9	Penjanje	Maksimum za penjanje	ZERO	10000			
A330-343	ICAO_B	4	1	Uzljetanje	Maksimum za uzljetanje	1+F				
A330-343	ICAO_B	4	2	Penjanje	Maksimum za uzljetanje	1+F	1000			
A330-343	ICAO_B	4	3	Ubrzanje	Maksimum za uzljetanje	1+F		1115,2	185,2	
A330-343	ICAO_B	4	4	Ubrzanje	Maksimum za uzljetanje	1		1224,1	218,3	
A330-343	ICAO_B	4	5	Penjanje	Maksimum za penjanje	ZERO	3000			
A330-343	ICAO_B	4	6	Ubrzanje	Maksimum za penjanje	ZERO		1108,4	250	
A330-343	ICAO_B	4	7	Penjanje	Maksimum za penjanje	ZERO	5500			
A330-343	ICAO_B	4	8	Penjanje	Maksimum za penjanje	ZERO	7500			
A330-343	ICAO_B	4	9	Penjanje	Maksimum za penjanje	ZERO	10000			



ThoriumSoftware d.o.o.

Mobile: +385 (0) 95 8 70 50 70
 Kontakt: Dario Ilija Rendulić
 Email:
[info@thoriumsoftware.eu;](mailto:info@thoriumsoftware.eu)
direndulic@gmail.com

A330-343	ICAO_B	5	1	Uzljetanje	Maksimum za uzljetanje	1+F				
A330-343	ICAO_B	5	2	Penjanje	Maksimum za uzljetanje	1+F	1000			
A330-343	ICAO_B	5	3	Ubrzanje	Maksimum za uzljetanje	1+F		1038,3	191,3	
A330-343	ICAO_B	5	4	Ubrzanje	Maksimum za uzljetanje	1		1139,2	221,4	
A330-343	ICAO_B	5	5	Penjanje	Maksimum za penjanje	ZERO	3000			
A330-343	ICAO_B	5	6	Ubrzanje	Maksimum za penjanje	ZERO		1025,2	250	
A330-343	ICAO_B	5	7	Penjanje	Maksimum za penjanje	ZERO	5500			
A330-343	ICAO_B	5	8	Penjanje	Maksimum za penjanje	ZERO	7500			
A330-343	ICAO_B	5	9	Penjanje	Maksimum za penjanje	ZERO	10000			
A330-343	ICAO_B	6	1	Uzljetanje	Maksimum za uzljetanje	1+F				
A330-343	ICAO_B	6	2	Penjanje	Maksimum za uzljetanje	1+F	1000			
A330-343	ICAO_B	6	3	Ubrzanje	Maksimum za uzljetanje	1+F		962,8	197,3	
A330-343	ICAO_B	6	4	Ubrzanje	Maksimum za uzljetanje	1		1054,3	224,5	
A330-343	ICAO_B	6	5	Penjanje	Maksimum za penjanje	ZERO	3000			
A330-343	ICAO_B	6	6	Ubrzanje	Maksimum za penjanje	ZERO		943,3	250	
A330-343	ICAO_B	6	7	Penjanje	Maksimum za penjanje	ZERO	5500			
A330-343	ICAO_B	6	8	Penjanje	Maksimum za penjanje	ZERO	7500			
A330-343	ICAO_B	6	9	Penjanje	Maksimum za penjanje	ZERO	10000			
A330-343	ICAO_B	7	1	Uzljetanje	Maksimum za uzljetanje	1+F				
A330-343	ICAO_B	7	2	Penjanje	Maksimum za uzljetanje	1+F	1000			
A330-343	ICAO_B	7	3	Ubrzanje	Maksimum za uzljetanje	1+F		869,5	200,8	



ThoriumSoftware d.o.o.

Mobile: +385 (0) 95 8 70 50 70
 Kontakt: Dario Ilija Rendulić
 Email:
[info@thoriumsoftware.eu;](mailto:info@thoriumsoftware.eu)
direndulic@gmail.com

A330-343	ICAO_B	7	4	Ubrzanje	Maksimum za uzlijetanje	1		948,6	225	
A330-343	ICAO_B	7	5	Penjanje	Maksimum za penjanje	ZERO	3000			
A330-343	ICAO_B	7	6	Ubrzanje	Maksimum za penjanje	ZERO		842	250	
A330-343	ICAO_B	7	7	Penjanje	Maksimum za penjanje	ZERO	5500			
A330-343	ICAO_B	7	8	Penjanje	Maksimum za penjanje	ZERO	7500			
A330-343	ICAO_B	7	9	Penjanje	Maksimum za penjanje	ZERO	10000			
A340-211	DEFAULT	1	1	Uzlijetanje	Maksimum za uzlijetanje	1+F				
A340-211	DEFAULT	1	2	Penjanje	Maksimum za uzlijetanje	1+F	1000			
A340-211	DEFAULT	1	3	Ubrzanje	Maksimum za uzlijetanje	1+F		1019,3	177,6	
A340-211	DEFAULT	1	4	Ubrzanje	Maksimum za uzlijetanje	1		1101,1	215,2	
A340-211	DEFAULT	1	5	Penjanje	Maksimum za penjanje	ZERO	3000			
A340-211	DEFAULT	1	6	Ubrzanje	Maksimum za penjanje	ZERO		1165,6	250	
A340-211	DEFAULT	1	7	Penjanje	Maksimum za penjanje	ZERO	5500			
A340-211	DEFAULT	1	8	Penjanje	Maksimum za penjanje	ZERO	7500			
A340-211	DEFAULT	1	9	Penjanje	Maksimum za penjanje	ZERO	10000			
A340-211	DEFAULT	2	1	Uzlijetanje	Maksimum za uzlijetanje	1+F				
A340-211	DEFAULT	2	2	Penjanje	Maksimum za uzlijetanje	1+F	1000			
A340-211	DEFAULT	2	3	Ubrzanje	Maksimum za uzlijetanje	1+F		973,9	180,5	
A340-211	DEFAULT	2	4	Ubrzanje	Maksimum za uzlijetanje	1		1061,1	216,3	
A340-211	DEFAULT	2	5	Penjanje	Maksimum za penjanje	ZERO	3000			
A340-211	DEFAULT	2	6	Ubrzanje	Maksimum za penjanje	ZERO		1120,6	250	



ThoriumSoftware d.o.o.

Mobile: +385 (0) 95 8 70 50 70
 Kontakt: Dario Ilija Rendulić
 Email:
[info@thoriumsoftware.eu;](mailto:info@thoriumsoftware.eu)
direndulic@gmail.com

A340-211	DEFAULT	2	7	Penjanje	Maksimum za penjanje	ZERO	5500			
A340-211	DEFAULT	2	8	Penjanje	Maksimum za penjanje	ZERO	7500			
A340-211	DEFAULT	2	9	Penjanje	Maksimum za penjanje	ZERO	10000			
A340-211	DEFAULT	3	1	Uzljetanje	Maksimum za uzljetanje	1+F				
A340-211	DEFAULT	3	2	Penjanje	Maksimum za uzljetanje	1+F	1000			
A340-211	DEFAULT	3	3	Ubrzanje	Maksimum za uzljetanje	1+F		930,2	183,1	
A340-211	DEFAULT	3	4	Ubrzanje	Maksimum za uzljetanje	1		1021,2	217,3	
A340-211	DEFAULT	3	5	Penjanje	Maksimum za penjanje	ZERO	3000			
A340-211	DEFAULT	3	6	Ubrzanje	Maksimum za penjanje	ZERO		1076,1	250	
A340-211	DEFAULT	3	7	Penjanje	Maksimum za penjanje	ZERO	5500			
A340-211	DEFAULT	3	8	Penjanje	Maksimum za penjanje	ZERO	7500			
A340-211	DEFAULT	3	9	Penjanje	Maksimum za penjanje	ZERO	10000			
A340-211	DEFAULT	4	1	Uzljetanje	Maksimum za uzljetanje	1+F				
A340-211	DEFAULT	4	2	Penjanje	Maksimum za uzljetanje	1+F	1000			
A340-211	DEFAULT	4	3	Ubrzanje	Maksimum za uzljetanje	1+F		860,1	188,2	
A340-211	DEFAULT	4	4	Ubrzanje	Maksimum za uzljetanje	1		955,9	219,5	
A340-211	DEFAULT	4	5	Penjanje	Maksimum za penjanje	ZERO	3000			
A340-211	DEFAULT	4	6	Ubrzanje	Maksimum za penjanje	ZERO		1003,9	250	
A340-211	DEFAULT	4	7	Penjanje	Maksimum za penjanje	ZERO	5500			
A340-211	DEFAULT	4	8	Penjanje	Maksimum za penjanje	ZERO	7500			
A340-211	DEFAULT	4	9	Penjanje	Maksimum za penjanje	ZERO	10000			



ThoriumSoftware d.o.o.

Mobile: +385 (0) 95 8 70 50 70
 Kontakt: Dario Ilija Rendulić
 Email:
[info@thoriumsoftware.eu;](mailto:info@thoriumsoftware.eu)
direndulic@gmail.com

A340-211	DEFAULT	5	1	Uzlijetanje	Maksimum za uzlijetanje	1+F				
A340-211	DEFAULT	5	2	Penjanje	Maksimum za uzlijetanje	1+F	1000			
A340-211	DEFAULT	5	3	Ubrzanje	Maksimum za uzlijetanje	1+F		779,4	194,9	
A340-211	DEFAULT	5	4	Ubrzanje	Maksimum za uzlijetanje	1		879,4	222,9	
A340-211	DEFAULT	5	5	Penjanje	Maksimum za penjanje	ZERO	3000			
A340-211	DEFAULT	5	6	Ubrzanje	Maksimum za penjanje	ZERO		920,2	250	
A340-211	DEFAULT	5	7	Penjanje	Maksimum za penjanje	ZERO	5500			
A340-211	DEFAULT	5	8	Penjanje	Maksimum za penjanje	ZERO	7500			
A340-211	DEFAULT	5	9	Penjanje	Maksimum za penjanje	ZERO	10000			
A340-211	DEFAULT	6	1	Uzlijetanje	Maksimum za uzlijetanje	1+F				
A340-211	DEFAULT	6	2	Penjanje	Maksimum za uzlijetanje	1+F	1000			
A340-211	DEFAULT	6	3	Ubrzanje	Maksimum za uzlijetanje	1+F		705,2	199,2	
A340-211	DEFAULT	6	4	Ubrzanje	Maksimum za uzlijetanje	1		802	224,4	
A340-211	DEFAULT	6	5	Penjanje	Maksimum za penjanje	ZERO	3000			
A340-211	DEFAULT	6	6	Ubrzanje	Maksimum za penjanje	ZERO		836,4	250	
A340-211	DEFAULT	6	7	Penjanje	Maksimum za penjanje	ZERO	5500			
A340-211	DEFAULT	6	8	Penjanje	Maksimum za penjanje	ZERO	7500			
A340-211	DEFAULT	6	9	Penjanje	Maksimum za penjanje	ZERO	10000			
A340-211	DEFAULT	7	1	Uzlijetanje	Maksimum za uzlijetanje	1+F				
A340-211	DEFAULT	7	2	Penjanje	Maksimum za uzlijetanje	1+F	1000			
A340-211	DEFAULT	7	3	Ubrzanje	Maksimum za uzlijetanje	1+F		519,8	199,2	



ThoriumSoftware d.o.o.

Mobile: +385 (0) 95 8 70 50 70
 Kontakt: Dario Ilija Rendulić
 Email:
[info@thoriumsoftware.eu;](mailto:info@thoriumsoftware.eu)
direndulic@gmail.com

A340-211	DEFAULT	7	4	Ubrzanje	Maksimum za uzlijetanje	1		591,5	218,2	
A340-211	DEFAULT	7	5	Ubrzanje	Maksimum za uzlijetanje	1		653,7	223,4	
A340-211	DEFAULT	7	6	Penjanje	Maksimum za penjanje	ZERO	3000			
A340-211	DEFAULT	7	7	Ubrzanje	Maksimum za penjanje	ZERO		622,6	250	
A340-211	DEFAULT	7	8	Penjanje	Maksimum za penjanje	ZERO	5500			
A340-211	DEFAULT	7	9	Penjanje	Maksimum za penjanje	ZERO	7500			
A340-211	DEFAULT	7	10	Penjanje	Maksimum za penjanje	ZERO	10000			
A340-211	ICAO_A	1	1	Uzlijetanje	Maksimum za uzlijetanje	1+F				
A340-211	ICAO_A	1	2	Penjanje	Maksimum za uzlijetanje	1+F	1500			
A340-211	ICAO_A	1	3	Penjanje	Maksimum za penjanje	1+F	3000			
A340-211	ICAO_A	1	4	Ubrzanje	Maksimum za penjanje	1+F		832,3	177,4	
A340-211	ICAO_A	1	5	Ubrzanje	Maksimum za penjanje	1		890,6	206,8	
A340-211	ICAO_A	1	6	Ubrzanje	Maksimum za penjanje	ZERO		1039,6	227,9	
A340-211	ICAO_A	1	7	Ubrzanje	Maksimum za penjanje	ZERO		1154,4	250	
A340-211	ICAO_A	1	8	Penjanje	Maksimum za penjanje	ZERO	5500			
A340-211	ICAO_A	1	9	Penjanje	Maksimum za penjanje	ZERO	7500			
A340-211	ICAO_A	1	10	Penjanje	Maksimum za penjanje	ZERO	10000			
A340-211	ICAO_A	2	1	Uzlijetanje	Maksimum za uzlijetanje	1+F				
A340-211	ICAO_A	2	2	Penjanje	Maksimum za uzlijetanje	1+F	1500			
A340-211	ICAO_A	2	3	Penjanje	Maksimum za penjanje	1+F	3000			
A340-211	ICAO_A	2	4	Ubrzanje	Maksimum za penjanje	1+F		793	180,4	



ThoriumSoftware d.o.o.

Mobile: +385 (0) 95 8 70 50 70
 Kontakt: Dario Ilija Rendulić
 Email:
[info@thoriumsoftware.eu;](mailto:info@thoriumsoftware.eu)
direndulic@gmail.com

A340-211	ICAO_A	2	5	Ubrzanje	Maksimum za penjanje	1		855,5	208,3	
A340-211	ICAO_A	2	6	Ubrzanje	Maksimum za penjanje	ZERO		999,1	228,5	
A340-211	ICAO_A	2	7	Ubrzanje	Maksimum za penjanje	ZERO		1109,1	250	
A340-211	ICAO_A	2	8	Penjanje	Maksimum za penjanje	ZERO	5500			
A340-211	ICAO_A	2	9	Penjanje	Maksimum za penjanje	ZERO	7500			
A340-211	ICAO_A	2	10	Penjanje	Maksimum za penjanje	ZERO	10000			
A340-211	ICAO_A	3	1	Uzljetanje	Maksimum za uzljetanje	1+F				
A340-211	ICAO_A	3	2	Penjanje	Maksimum za uzljetanje	1+F	1500			
A340-211	ICAO_A	3	3	Penjanje	Maksimum za penjanje	1+F	3000			
A340-211	ICAO_A	3	4	Ubrzanje	Maksimum za penjanje	1+F		754,7	183	
A340-211	ICAO_A	3	5	Ubrzanje	Maksimum za penjanje	1		820,5	209,4	
A340-211	ICAO_A	3	6	Ubrzanje	Maksimum za penjanje	ZERO		959,1	228,8	
A340-211	ICAO_A	3	7	Ubrzanje	Maksimum za penjanje	ZERO		1064,5	250	
A340-211	ICAO_A	3	8	Penjanje	Maksimum za penjanje	ZERO	5500			
A340-211	ICAO_A	3	9	Penjanje	Maksimum za penjanje	ZERO	7500			
A340-211	ICAO_A	3	10	Penjanje	Maksimum za penjanje	ZERO	10000			
A340-211	ICAO_A	4	1	Uzljetanje	Maksimum za uzljetanje	1+F				
A340-211	ICAO_A	4	2	Penjanje	Maksimum za uzljetanje	1+F	1500			
A340-211	ICAO_A	4	3	Penjanje	Maksimum za penjanje	1+F	3000			
A340-211	ICAO_A	4	4	Ubrzanje	Maksimum za penjanje	1+F		690,8	188,1	
A340-211	ICAO_A	4	5	Ubrzanje	Maksimum za penjanje	1		763	212,2	



ThoriumSoftware d.o.o.

Mobile: +385 (0) 95 8 70 50 70
 Kontakt: Dario Ilija Rendulić
 Email:
[info@thoriumsoftware.eu;](mailto:info@thoriumsoftware.eu)
direndulic@gmail.com

A340-211	ICAO_A	4	6	Ubrzanje	Maksimum za penjanje	ZERO		893,8	230	
A340-211	ICAO_A	4	7	Ubrzanje	Maksimum za penjanje	ZERO		991,5	250	
A340-211	ICAO_A	4	8	Penjanje	Maksimum za penjanje	ZERO	5500			
A340-211	ICAO_A	4	9	Penjanje	Maksimum za penjanje	ZERO	7500			
A340-211	ICAO_A	4	10	Penjanje	Maksimum za penjanje	ZERO	10000			
A340-211	ICAO_A	5	1	Uzlijetanje	Maksimum za uzlijetanje	1+F				
A340-211	ICAO_A	5	2	Penjanje	Maksimum za uzlijetanje	1+F	1500			
A340-211	ICAO_A	5	3	Penjanje	Maksimum za penjanje	1+F	3000			
A340-211	ICAO_A	5	4	Ubrzanje	Maksimum za penjanje	1+F		621,5	194,8	
A340-211	ICAO_A	5	5	Ubrzanje	Maksimum za penjanje	1		695,5	216,1	
A340-211	ICAO_A	5	6	Ubrzanje	Maksimum za penjanje	ZERO		818,3	232,2	
A340-211	ICAO_A	5	7	Ubrzanje	Maksimum za penjanje	ZERO		906,8	250	
A340-211	ICAO_A	5	8	Penjanje	Maksimum za penjanje	ZERO	5500			
A340-211	ICAO_A	5	9	Penjanje	Maksimum za penjanje	ZERO	7500			
A340-211	ICAO_A	5	10	Penjanje	Maksimum za penjanje	ZERO	10000			
A340-211	ICAO_A	6	1	Uzlijetanje	Maksimum za uzlijetanje	1+F				
A340-211	ICAO_A	6	2	Penjanje	Maksimum za uzlijetanje	1+F	1500			
A340-211	ICAO_A	6	3	Penjanje	Maksimum za penjanje	1+F	3000			
A340-211	ICAO_A	6	4	Ubrzanje	Maksimum za penjanje	1+F		555,3	199,2	
A340-211	ICAO_A	6	5	Ubrzanje	Maksimum za penjanje	1		627,4	218,1	
A340-211	ICAO_A	6	6	Ubrzanje	Maksimum za penjanje	ZERO		742,5	232,6	



ThoriumSoftware d.o.o.

Mobile: +385 (0) 95 8 70 50 70
 Kontakt: Dario Ilija Rendulić
 Email:
[info@thoriumsoftware.eu;](mailto:info@thoriumsoftware.eu)
direndulic@gmail.com

A340-211	ICAO_A	6	7	Ubrzanje	Maksimum za penjanje	ZERO		824,1	250	
A340-211	ICAO_A	6	8	Penjanje	Maksimum za penjanje	ZERO	5500			
A340-211	ICAO_A	6	9	Penjanje	Maksimum za penjanje	ZERO	7500			
A340-211	ICAO_A	6	10	Penjanje	Maksimum za penjanje	ZERO	10000			
A340-211	ICAO_A	7	1	Uzlijetanje	Maksimum za uzlijetanje	1+F				
A340-211	ICAO_A	7	2	Penjanje	Maksimum za uzlijetanje	1+F	1500			
A340-211	ICAO_A	7	3	Penjanje	Maksimum za penjanje	1+F	3000			
A340-211	ICAO_A	7	4	Ubrzanje	Maksimum za penjanje	1+F		388,7	199,2	
A340-211	ICAO_A	7	5	Ubrzanje	Maksimum za penjanje	1		444,2	212,8	
A340-211	ICAO_A	7	6	Ubrzanje	Maksimum za penjanje	1		500,7	224,8	
A340-211	ICAO_A	7	7	Ubrzanje	Maksimum za penjanje	ZERO		555,6	235,4	
A340-211	ICAO_A	7	8	Ubrzanje	Maksimum za penjanje	ZERO		623	250	
A340-211	ICAO_A	7	9	Penjanje	Maksimum za penjanje	ZERO	5500			
A340-211	ICAO_A	7	10	Penjanje	Maksimum za penjanje	ZERO	7500			
A340-211	ICAO_A	7	11	Penjanje	Maksimum za penjanje	ZERO	10000			
A340-211	ICAO_B	1	1	Uzlijetanje	Maksimum za uzlijetanje	1+F				
A340-211	ICAO_B	1	2	Penjanje	Maksimum za uzlijetanje	1+F	1000			
A340-211	ICAO_B	1	3	Ubrzanje	Maksimum za uzlijetanje	1+F		1019,3	177,6	
A340-211	ICAO_B	1	4	Ubrzanje	Maksimum za uzlijetanje	1		1101,1	215,2	
A340-211	ICAO_B	1	5	Penjanje	Maksimum za penjanje	ZERO	3000			
A340-211	ICAO_B	1	6	Ubrzanje	Maksimum za penjanje	ZERO		1165,6	250	



ThoriumSoftware d.o.o.

Mobile: +385 (0) 95 8 70 50 70
 Kontakt: Dario Ilija Rendulić
 Email:
[info@thoriumsoftware.eu;](mailto:info@thoriumsoftware.eu)
direndulic@gmail.com

A340-211	ICAO_B	1	7	Penjanje	Maksimum za penjanje	ZERO	5500			
A340-211	ICAO_B	1	8	Penjanje	Maksimum za penjanje	ZERO	7500			
A340-211	ICAO_B	1	9	Penjanje	Maksimum za penjanje	ZERO	10000			
A340-211	ICAO_B	2	1	Uzljetanje	Maksimum za uzljetanje	1+F				
A340-211	ICAO_B	2	2	Penjanje	Maksimum za uzljetanje	1+F	1000			
A340-211	ICAO_B	2	3	Ubrzanje	Maksimum za uzljetanje	1+F		973,9	180,5	
A340-211	ICAO_B	2	4	Ubrzanje	Maksimum za uzljetanje	1		1061,1	216,3	
A340-211	ICAO_B	2	5	Penjanje	Maksimum za penjanje	ZERO	3000			
A340-211	ICAO_B	2	6	Ubrzanje	Maksimum za penjanje	ZERO		1120,6	250	
A340-211	ICAO_B	2	7	Penjanje	Maksimum za penjanje	ZERO	5500			
A340-211	ICAO_B	2	8	Penjanje	Maksimum za penjanje	ZERO	7500			
A340-211	ICAO_B	2	9	Penjanje	Maksimum za penjanje	ZERO	10000			
A340-211	ICAO_B	3	1	Uzljetanje	Maksimum za uzljetanje	1+F				
A340-211	ICAO_B	3	2	Penjanje	Maksimum za uzljetanje	1+F	1000			
A340-211	ICAO_B	3	3	Ubrzanje	Maksimum za uzljetanje	1+F		930,2	183,1	
A340-211	ICAO_B	3	4	Ubrzanje	Maksimum za uzljetanje	1		1021,2	217,3	
A340-211	ICAO_B	3	5	Penjanje	Maksimum za penjanje	ZERO	3000			
A340-211	ICAO_B	3	6	Ubrzanje	Maksimum za penjanje	ZERO		1076,1	250	
A340-211	ICAO_B	3	7	Penjanje	Maksimum za penjanje	ZERO	5500			
A340-211	ICAO_B	3	8	Penjanje	Maksimum za penjanje	ZERO	7500			
A340-211	ICAO_B	3	9	Penjanje	Maksimum za penjanje	ZERO	10000			



ThoriumSoftware d.o.o.

Mobile: +385 (0) 95 8 70 50 70
 Kontakt: Dario Ilija Rendulić
 Email:
[info@thoriumsoftware.eu;](mailto:info@thoriumsoftware.eu)
direndulic@gmail.com

A340-211	ICAO_B	4	1	Uzlijetanje	Maksimum za uzlijetanje	1+F				
A340-211	ICAO_B	4	2	Penjanje	Maksimum za uzlijetanje	1+F	1000			
A340-211	ICAO_B	4	3	Ubrzanje	Maksimum za uzlijetanje	1+F		860,1	188,2	
A340-211	ICAO_B	4	4	Ubrzanje	Maksimum za uzlijetanje	1		955,9	219,5	
A340-211	ICAO_B	4	5	Penjanje	Maksimum za penjanje	ZERO	3000			
A340-211	ICAO_B	4	6	Ubrzanje	Maksimum za penjanje	ZERO		1003,9	250	
A340-211	ICAO_B	4	7	Penjanje	Maksimum za penjanje	ZERO	5500			
A340-211	ICAO_B	4	8	Penjanje	Maksimum za penjanje	ZERO	7500			
A340-211	ICAO_B	4	9	Penjanje	Maksimum za penjanje	ZERO	10000			
A340-211	ICAO_B	5	1	Uzlijetanje	Maksimum za uzlijetanje	1+F				
A340-211	ICAO_B	5	2	Penjanje	Maksimum za uzlijetanje	1+F	1000			
A340-211	ICAO_B	5	3	Ubrzanje	Maksimum za uzlijetanje	1+F		779,4	194,9	
A340-211	ICAO_B	5	4	Ubrzanje	Maksimum za uzlijetanje	1		879,4	222,9	
A340-211	ICAO_B	5	5	Penjanje	Maksimum za penjanje	ZERO	3000			
A340-211	ICAO_B	5	6	Ubrzanje	Maksimum za penjanje	ZERO		920,2	250	
A340-211	ICAO_B	5	7	Penjanje	Maksimum za penjanje	ZERO	5500			
A340-211	ICAO_B	5	8	Penjanje	Maksimum za penjanje	ZERO	7500			
A340-211	ICAO_B	5	9	Penjanje	Maksimum za penjanje	ZERO	10000			
A340-211	ICAO_B	6	1	Uzlijetanje	Maksimum za uzlijetanje	1+F				
A340-211	ICAO_B	6	2	Penjanje	Maksimum za uzlijetanje	1+F	1000			
A340-211	ICAO_B	6	3	Ubrzanje	Maksimum za uzlijetanje	1+F		705,2	199,2	



ThoriumSoftware d.o.o.

Mobile: +385 (0) 95 8 70 50 70
 Kontakt: Dario Ilija Rendulić
 Email:
[info@thoriumsoftware.eu;](mailto:info@thoriumsoftware.eu)
direndulic@gmail.com

A340-211	ICAO_B	6	4	Ubrzanje	Maksimum za uzlijetanje	1		802	224,4	
A340-211	ICAO_B	6	5	Penjanje	Maksimum za penjanje	ZERO	3000			
A340-211	ICAO_B	6	6	Ubrzanje	Maksimum za penjanje	ZERO		836,4	250	
A340-211	ICAO_B	6	7	Penjanje	Maksimum za penjanje	ZERO	5500			
A340-211	ICAO_B	6	8	Penjanje	Maksimum za penjanje	ZERO	7500			
A340-211	ICAO_B	6	9	Penjanje	Maksimum za penjanje	ZERO	10000			
A340-211	ICAO_B	7	1	Uzlijetanje	Maksimum za uzlijetanje	1+F				
A340-211	ICAO_B	7	2	Penjanje	Maksimum za uzlijetanje	1+F	1000			
A340-211	ICAO_B	7	3	Ubrzanje	Maksimum za uzlijetanje	1+F		519,8	199,2	
A340-211	ICAO_B	7	4	Ubrzanje	Maksimum za uzlijetanje	1		591,5	218,2	
A340-211	ICAO_B	7	5	Ubrzanje	Maksimum za uzlijetanje	1		653,7	223,4	
A340-211	ICAO_B	7	6	Penjanje	Maksimum za penjanje	ZERO	3000			
A340-211	ICAO_B	7	7	Ubrzanje	Maksimum za penjanje	ZERO		622,6	250	
A340-211	ICAO_B	7	8	Penjanje	Maksimum za penjanje	ZERO	5500			
A340-211	ICAO_B	7	9	Penjanje	Maksimum za penjanje	ZERO	7500			
A340-211	ICAO_B	7	10	Penjanje	Maksimum za penjanje	ZERO	10000			
A340-642	DEFAULT	1	1	Uzlijetanje	Maksimum za uzlijetanje	1+F				
A340-642	DEFAULT	1	2	Ubrzanje	Maksimum za uzlijetanje	1+F		1518,1	178,9	
A340-642	DEFAULT	1	3	Penjanje	Maksimum za uzlijetanje	1+F	1000			
A340-642	DEFAULT	1	4	Ubrzanje	Maksimum za uzlijetanje	1+F		1534,7	191,5	
A340-642	DEFAULT	1	5	Ubrzanje	Maksimum za uzlijetanje	1		1638,4	240,3	



ThoriumSoftware d.o.o.

Mobile: +385 (0) 95 8 70 50 70
 Kontakt: Dario Ilija Rendulić
 Email:
[info@thoriumsoftware.eu;](mailto:info@thoriumsoftware.eu)
direndulic@gmail.com

A340-642	DEFAULT	1	6	Penjanje	Maksimum za penjanje	ZERO	3000			
A340-642	DEFAULT	1	7	Ubrzanje	Maksimum za penjanje	ZERO		1461,4	250	
A340-642	DEFAULT	1	8	Penjanje	Maksimum za penjanje	ZERO	5500			
A340-642	DEFAULT	1	9	Penjanje	Maksimum za penjanje	ZERO	7500			
A340-642	DEFAULT	1	10	Penjanje	Maksimum za penjanje	ZERO	10000			
A340-642	DEFAULT	2	1	Uzlijetanje	Maksimum za uzlijetanje	1+F				
A340-642	DEFAULT	2	2	Ubrzanje	Maksimum za uzlijetanje	1+F		1481	178,3	
A340-642	DEFAULT	2	3	Penjanje	Maksimum za uzlijetanje	1+F	1000			
A340-642	DEFAULT	2	4	Ubrzanje	Maksimum za uzlijetanje	1+F		1452,6	194,6	
A340-642	DEFAULT	2	5	Ubrzanje	Maksimum za uzlijetanje	1		1595,8	241,6	
A340-642	DEFAULT	2	6	Penjanje	Maksimum za penjanje	ZERO	3000			
A340-642	DEFAULT	2	7	Ubrzanje	Maksimum za penjanje	ZERO		1415	250	
A340-642	DEFAULT	2	8	Penjanje	Maksimum za penjanje	ZERO	5500			
A340-642	DEFAULT	2	9	Penjanje	Maksimum za penjanje	ZERO	7500			
A340-642	DEFAULT	2	10	Penjanje	Maksimum za penjanje	ZERO	10000			
A340-642	DEFAULT	3	1	Uzlijetanje	Maksimum za uzlijetanje	1+F				
A340-642	DEFAULT	3	2	Ubrzanje	Maksimum za uzlijetanje	1+F		1444,1	177,7	
A340-642	DEFAULT	3	3	Penjanje	Maksimum za uzlijetanje	1+F	1000			
A340-642	DEFAULT	3	4	Ubrzanje	Maksimum za uzlijetanje	1+F		1382,6	197,7	
A340-642	DEFAULT	3	5	Ubrzanje	Maksimum za uzlijetanje	1		1554,9	243	
A340-642	DEFAULT	3	6	Penjanje	Maksimum za penjanje	ZERO	3000			



ThoriumSoftware d.o.o.

Mobile: +385 (0) 95 8 70 50 70
 Kontakt: Dario Ilija Rendulić
 Email:
[info@thoriumsoftware.eu;](mailto:info@thoriumsoftware.eu)
direndulic@gmail.com

A340-642	DEFAULT	3	7	Ubrzanje	Maksimum za penjanje	ZERO		1374,5	250	
A340-642	DEFAULT	3	8	Penjanje	Maksimum za penjanje	ZERO	5500			
A340-642	DEFAULT	3	9	Penjanje	Maksimum za penjanje	ZERO	7500			
A340-642	DEFAULT	3	10	Penjanje	Maksimum za penjanje	ZERO	10000			
A340-642	DEFAULT	4	1	Uzlijetanje	Maksimum za uzlijetanje	1+F				
A340-642	DEFAULT	4	2	Ubrzanje	Maksimum za uzlijetanje	1+F		1383,2	176,9	
A340-642	DEFAULT	4	3	Penjanje	Maksimum za uzlijetanje	1+F	1000			
A340-642	DEFAULT	4	4	Ubrzanje	Maksimum za uzlijetanje	1+F		1292	203	
A340-642	DEFAULT	4	5	Ubrzanje	Maksimum za uzlijetanje	1		1478,5	245,2	
A340-642	DEFAULT	4	6	Penjanje	Maksimum za penjanje	ZERO	3000			
A340-642	DEFAULT	4	7	Ubrzanje	Maksimum za penjanje	ZERO		1320,3	250	
A340-642	DEFAULT	4	8	Penjanje	Maksimum za penjanje	ZERO	5500			
A340-642	DEFAULT	4	9	Penjanje	Maksimum za penjanje	ZERO	7500			
A340-642	DEFAULT	4	10	Penjanje	Maksimum za penjanje	ZERO	10000			
A340-642	DEFAULT	5	1	Uzlijetanje	Maksimum za uzlijetanje	1+F				
A340-642	DEFAULT	5	2	Ubrzanje	Maksimum za uzlijetanje	1+F		1327,9	180,6	
A340-642	DEFAULT	5	3	Penjanje	Maksimum za uzlijetanje	1+F	1000			
A340-642	DEFAULT	5	4	Ubrzanje	Maksimum za uzlijetanje	1+F		1209,7	210,1	
A340-642	DEFAULT	5	5	Ubrzanje	Maksimum za uzlijetanje	1		1373,5	248,4	
A340-642	DEFAULT	5	6	Penjanje	Maksimum za penjanje	ZERO	3000			
A340-642	DEFAULT	5	7	Ubrzanje	Maksimum za penjanje	ZERO		1410,4	250	



ThoriumSoftware d.o.o.

Mobile: +385 (0) 95 8 70 50 70
 Kontakt: Dario Ilija Rendulić
 Email:
[info@thoriumsoftware.eu;](mailto:info@thoriumsoftware.eu)
direndulic@gmail.com

A340-642	DEFAULT	5	8	Penjanje	Maksimum za penjanje	ZERO	5500			
A340-642	DEFAULT	5	9	Penjanje	Maksimum za penjanje	ZERO	7500			
A340-642	DEFAULT	5	10	Penjanje	Maksimum za penjanje	ZERO	10000			
A340-642	DEFAULT	6	1	Uzljetanje	Maksimum za uzljetanje	1+F				
A340-642	DEFAULT	6	2	Ubrzanje	Maksimum za uzljetanje	1+F		1185	185,4	
A340-642	DEFAULT	6	3	Penjanje	Maksimum za uzljetanje	1+F	1000			
A340-642	DEFAULT	6	4	Ubrzanje	Maksimum za uzljetanje	1+F		1126,6	214,9	
A340-642	DEFAULT	6	5	Ubrzanje	Maksimum za uzljetanje	1		1268,8	249,8	
A340-642	DEFAULT	6	6	Penjanje	Maksimum za penjanje	ZERO	3000			
A340-642	DEFAULT	6	7	Ubrzanje	Maksimum za penjanje	ZERO		2048,9	250	
A340-642	DEFAULT	6	8	Penjanje	Maksimum za penjanje	ZERO	5500			
A340-642	DEFAULT	6	9	Penjanje	Maksimum za penjanje	ZERO	7500			
A340-642	DEFAULT	6	10	Penjanje	Maksimum za penjanje	ZERO	10000			
A340-642	DEFAULT	7	1	Uzljetanje	Maksimum za uzljetanje	1+F				
A340-642	DEFAULT	7	2	Penjanje	Maksimum za uzljetanje	1+F	1000			
A340-642	DEFAULT	7	3	Ubrzanje	Maksimum za uzljetanje	1+F		868,2	214,9	
A340-642	DEFAULT	7	4	Ubrzanje	Maksimum za uzljetanje	1		929,6	241,1	
A340-642	DEFAULT	7	5	Penjanje	Maksimum za penjanje	ZERO	3000			
A340-642	DEFAULT	7	6	Ubrzanje	Maksimum za penjanje	ZERO		748,4	250	
A340-642	DEFAULT	7	7	Penjanje	Maksimum za penjanje	ZERO	5500			
A340-642	DEFAULT	7	8	Penjanje	Maksimum za penjanje	ZERO	7500			



ThoriumSoftware d.o.o.

Mobile: +385 (0) 95 8 70 50 70
 Kontakt: Dario Ilija Rendulić
 Email:
[info@thoriumsoftware.eu;](mailto:info@thoriumsoftware.eu)
direndulic@gmail.com

A340-642	DEFAULT	7	9	Penjanje	Maksimum za penjanje	ZERO	10000			
A340-642	ICAO_A	1	1	Uzljetanje	Maksimum za uzljetanje	1+F				
A340-642	ICAO_A	1	2	Ubrzanje	Maksimum za uzljetanje	1+F		1518,1	178,9	
A340-642	ICAO_A	1	3	Penjanje	Maksimum za uzljetanje	1+F	1500			
A340-642	ICAO_A	1	4	Penjanje	Maksimum za penjanje	1+F	3000			
A340-642	ICAO_A	1	5	Ubrzanje	Maksimum za penjanje	1+F		1110,7	191,6	
A340-642	ICAO_A	1	6	Ubrzanje	Maksimum za penjanje	1		1176,6	225,9	
A340-642	ICAO_A	1	7	Ubrzanje	Maksimum za penjanje	1		1342,4	250	
A340-642	ICAO_A	1	8	Penjanje	Maksimum za penjanje	ZERO	5500			
A340-642	ICAO_A	1	9	Penjanje	Maksimum za penjanje	ZERO	7500			
A340-642	ICAO_A	1	10	Penjanje	Maksimum za penjanje	ZERO	10000			
A340-642	ICAO_A	2	1	Uzljetanje	Maksimum za uzljetanje	1+F				
A340-642	ICAO_A	2	2	Ubrzanje	Maksimum za uzljetanje	1+F		1481	178,3	
A340-642	ICAO_A	2	3	Penjanje	Maksimum za uzljetanje	1+F	1500			
A340-642	ICAO_A	2	4	Penjanje	Maksimum za penjanje	1+F	3000			
A340-642	ICAO_A	2	5	Ubrzanje	Maksimum za penjanje	1+F		1053,1	194,6	
A340-642	ICAO_A	2	6	Ubrzanje	Maksimum za penjanje	1		1135,6	227,4	
A340-642	ICAO_A	2	7	Ubrzanje	Maksimum za penjanje	1		1292,5	250	
A340-642	ICAO_A	2	8	Penjanje	Maksimum za penjanje	ZERO	5500			
A340-642	ICAO_A	2	9	Penjanje	Maksimum za penjanje	ZERO	7500			
A340-642	ICAO_A	2	10	Penjanje	Maksimum za penjanje	ZERO	10000			



ThoriumSoftware d.o.o.

Mobile: +385 (0) 95 8 70 50 70
 Kontakt: Dario Ilija Rendulić
 Email:
[info@thoriumsoftware.eu;](mailto:info@thoriumsoftware.eu)
direndulic@gmail.com

A340-642	ICAO_A	3	1	Uzlijetanje	Maksimum za uzlijetanje	1+F				
A340-642	ICAO_A	3	2	Ubrzanje	Maksimum za uzlijetanje	1+F		1444,1	177,7	
A340-642	ICAO_A	3	3	Penjanje	Maksimum za uzlijetanje	1+F	1500			
A340-642	ICAO_A	3	4	Penjanje	Maksimum za penjanje	1+F	3000			
A340-642	ICAO_A	3	5	Ubrzanje	Maksimum za penjanje	1+F		1002,2	197,7	
A340-642	ICAO_A	3	6	Ubrzanje	Maksimum za penjanje	1		1095,6	228,9	
A340-642	ICAO_A	3	7	Ubrzanje	Maksimum za penjanje	1		1243,9	250	
A340-642	ICAO_A	3	8	Penjanje	Maksimum za penjanje	ZERO	5500			
A340-642	ICAO_A	3	9	Penjanje	Maksimum za penjanje	ZERO	7500			
A340-642	ICAO_A	3	10	Penjanje	Maksimum za penjanje	ZERO	10000			
A340-642	ICAO_A	4	1	Uzlijetanje	Maksimum za uzlijetanje	1+F				
A340-642	ICAO_A	4	2	Ubrzanje	Maksimum za uzlijetanje	1+F		1383,2	176,9	
A340-642	ICAO_A	4	3	Penjanje	Maksimum za uzlijetanje	1+F	1500			
A340-642	ICAO_A	4	4	Penjanje	Maksimum za penjanje	1+F	3000			
A340-642	ICAO_A	4	5	Ubrzanje	Maksimum za penjanje	1+F		925,2	203,3	
A340-642	ICAO_A	4	6	Ubrzanje	Maksimum za penjanje	1		1029,9	232	
A340-642	ICAO_A	4	7	Ubrzanje	Maksimum za penjanje	1		1164	250	
A340-642	ICAO_A	4	8	Penjanje	Maksimum za penjanje	ZERO	5500			
A340-642	ICAO_A	4	9	Penjanje	Maksimum za penjanje	ZERO	7500			
A340-642	ICAO_A	4	10	Penjanje	Maksimum za penjanje	ZERO	10000			
A340-642	ICAO_A	5	1	Uzlijetanje	Maksimum za uzlijetanje	1+F				



ThoriumSoftware d.o.o.

Mobile: +385 (0) 95 8 70 50 70
 Kontakt: Dario Ilija Rendulić
 Email:
[info@thoriumsoftware.eu;](mailto:info@thoriumsoftware.eu)
direndulic@gmail.com

A340-642	ICAO_A	5	2	Ubrzanje	Maksimum za uzlijetanje	1+F		1327,9	180,6	
A340-642	ICAO_A	5	3	Penjanje	Maksimum za uzlijetanje	1+F	1500			
A340-642	ICAO_A	5	4	Penjanje	Maksimum za penjanje	1+F	3000			
A340-642	ICAO_A	5	5	Ubrzanje	Maksimum za penjanje	1+F		848,8	210,8	
A340-642	ICAO_A	5	6	Ubrzanje	Maksimum za penjanje	1		950,4	236,5	
A340-642	ICAO_A	5	7	Ubrzanje	Maksimum za penjanje	1		1067,5	250	
A340-642	ICAO_A	5	8	Penjanje	Maksimum za penjanje	ZERO	5500			
A340-642	ICAO_A	5	9	Penjanje	Maksimum za penjanje	ZERO	7500			
A340-642	ICAO_A	5	10	Penjanje	Maksimum za penjanje	ZERO	10000			
A340-642	ICAO_A	6	1	Uzlijetanje	Maksimum za uzlijetanje	1+F				
A340-642	ICAO_A	6	2	Ubrzanje	Maksimum za uzlijetanje	1+F		1185	185,4	
A340-642	ICAO_A	6	3	Penjanje	Maksimum za uzlijetanje	1+F	1500			
A340-642	ICAO_A	6	4	Penjanje	Maksimum za penjanje	1+F	3000			
A340-642	ICAO_A	6	5	Ubrzanje	Maksimum za penjanje	1+F		780,5	219	
A340-642	ICAO_A	6	6	Ubrzanje	Maksimum za penjanje	1		875,9	242	
A340-642	ICAO_A	6	7	Ubrzanje	Maksimum za penjanje	1		975,3	250	
A340-642	ICAO_A	6	8	Penjanje	Maksimum za penjanje	ZERO	5500			
A340-642	ICAO_A	6	9	Penjanje	Maksimum za penjanje	ZERO	7500			
A340-642	ICAO_A	6	10	Penjanje	Maksimum za penjanje	ZERO	10000			
A340-642	ICAO_A	7	1	Uzlijetanje	Maksimum za uzlijetanje	1+F				
A340-642	ICAO_A	7	2	Penjanje	Maksimum za uzlijetanje	1+F	1500			



ThoriumSoftware d.o.o.

Mobile: +385 (0) 95 8 70 50 70
 Kontakt: Dario Ilija Rendulić
 Email:
[info@thoriumsoftware.eu;](mailto:info@thoriumsoftware.eu)
direndulic@gmail.com

A340-642	ICAO_A	7	3	Penjanje	Maksimum za penjanje	1+F	3000			
A340-642	ICAO_A	7	4	Ubrzanje	Maksimum za penjanje	1+F		556,7	214,9	
A340-642	ICAO_A	7	5	Ubrzanje	Maksimum za penjanje	1		601,9	231,3	
A340-642	ICAO_A	7	6	Ubrzanje	Maksimum za penjanje	ZERO		681,8	244	
A340-642	ICAO_A	7	7	Ubrzanje	Maksimum za penjanje	ZERO		729,1	250	
A340-642	ICAO_A	7	8	Penjanje	Maksimum za penjanje	ZERO	5500			
A340-642	ICAO_A	7	9	Penjanje	Maksimum za penjanje	ZERO	7500			
A340-642	ICAO_A	7	10	Penjanje	Maksimum za penjanje	ZERO	10000			
A340-642	ICAO_B	1	1	Uzljetanje	Maksimum za uzljetanje	1+F				
A340-642	ICAO_B	1	2	Ubrzanje	Maksimum za uzljetanje	1+F		1518,1	178,9	
A340-642	ICAO_B	1	3	Penjanje	Maksimum za uzljetanje	1+F	1000			
A340-642	ICAO_B	1	4	Ubrzanje	Maksimum za uzljetanje	1+F		1534,7	191,5	
A340-642	ICAO_B	1	5	Ubrzanje	Maksimum za uzljetanje	1		1638,4	240,3	
A340-642	ICAO_B	1	6	Penjanje	Maksimum za penjanje	ZERO	3000			
A340-642	ICAO_B	1	7	Ubrzanje	Maksimum za penjanje	ZERO		1461,4	250	
A340-642	ICAO_B	1	8	Penjanje	Maksimum za penjanje	ZERO	5500			
A340-642	ICAO_B	1	9	Penjanje	Maksimum za penjanje	ZERO	7500			
A340-642	ICAO_B	1	10	Penjanje	Maksimum za penjanje	ZERO	10000			
A340-642	ICAO_B	2	1	Uzljetanje	Maksimum za uzljetanje	1+F				
A340-642	ICAO_B	2	2	Ubrzanje	Maksimum za uzljetanje	1+F		1481	178,3	
A340-642	ICAO_B	2	3	Penjanje	Maksimum za uzljetanje	1+F	1000			



ThoriumSoftware d.o.o.

Mobile: +385 (0) 95 8 70 50 70
 Kontakt: Dario Ilija Rendulić
 Email:
[info@thoriumsoftware.eu;](mailto:info@thoriumsoftware.eu)
direndulic@gmail.com

A340-642	ICAO_B	2	4	Ubrzanje	Maksimum za uzlijetanje	1+F		1452,6	194,6	
A340-642	ICAO_B	2	5	Ubrzanje	Maksimum za uzlijetanje	1		1595,8	241,6	
A340-642	ICAO_B	2	6	Penjanje	Maksimum za penjanje	ZERO	3000			
A340-642	ICAO_B	2	7	Ubrzanje	Maksimum za penjanje	ZERO		1415	250	
A340-642	ICAO_B	2	8	Penjanje	Maksimum za penjanje	ZERO	5500			
A340-642	ICAO_B	2	9	Penjanje	Maksimum za penjanje	ZERO	7500			
A340-642	ICAO_B	2	10	Penjanje	Maksimum za penjanje	ZERO	10000			
A340-642	ICAO_B	3	1	Uzlijetanje	Maksimum za uzlijetanje	1+F				
A340-642	ICAO_B	3	2	Ubrzanje	Maksimum za uzlijetanje	1+F		1444,1	177,7	
A340-642	ICAO_B	3	3	Penjanje	Maksimum za uzlijetanje	1+F	1000			
A340-642	ICAO_B	3	4	Ubrzanje	Maksimum za uzlijetanje	1+F		1382,6	197,7	
A340-642	ICAO_B	3	5	Ubrzanje	Maksimum za uzlijetanje	1		1554,9	243	
A340-642	ICAO_B	3	6	Penjanje	Maksimum za penjanje	ZERO	3000			
A340-642	ICAO_B	3	7	Ubrzanje	Maksimum za penjanje	ZERO		1374,5	250	
A340-642	ICAO_B	3	8	Penjanje	Maksimum za penjanje	ZERO	5500			
A340-642	ICAO_B	3	9	Penjanje	Maksimum za penjanje	ZERO	7500			
A340-642	ICAO_B	3	10	Penjanje	Maksimum za penjanje	ZERO	10000			
A340-642	ICAO_B	4	1	Uzlijetanje	Maksimum za uzlijetanje	1+F				
A340-642	ICAO_B	4	2	Ubrzanje	Maksimum za uzlijetanje	1+F		1383,2	176,9	
A340-642	ICAO_B	4	3	Penjanje	Maksimum za uzlijetanje	1+F	1000			
A340-642	ICAO_B	4	4	Ubrzanje	Maksimum za uzlijetanje	1+F		1292	203	



ThoriumSoftware d.o.o.

Mobile: +385 (0) 95 8 70 50 70
 Kontakt: Dario Ilija Rendulić
 Email:
[info@thoriumsoftware.eu;](mailto:info@thoriumsoftware.eu)
direndulic@gmail.com

A340-642	ICAO_B	4	5	Ubrzanje	Maksimum za uzlijetanje	1		1478,5	245,2	
A340-642	ICAO_B	4	6	Penjanje	Maksimum za penjanje	ZERO	3000			
A340-642	ICAO_B	4	7	Ubrzanje	Maksimum za penjanje	ZERO		1320,3	250	
A340-642	ICAO_B	4	8	Penjanje	Maksimum za penjanje	ZERO	5500			
A340-642	ICAO_B	4	9	Penjanje	Maksimum za penjanje	ZERO	7500			
A340-642	ICAO_B	4	10	Penjanje	Maksimum za penjanje	ZERO	10000			
A340-642	ICAO_B	5	1	Uzlijetanje	Maksimum za uzlijetanje	1+F				
A340-642	ICAO_B	5	2	Ubrzanje	Maksimum za uzlijetanje	1+F		1327,9	180,6	
A340-642	ICAO_B	5	3	Penjanje	Maksimum za uzlijetanje	1+F	1000			
A340-642	ICAO_B	5	4	Ubrzanje	Maksimum za uzlijetanje	1+F		1209,7	210,1	
A340-642	ICAO_B	5	5	Ubrzanje	Maksimum za uzlijetanje	1		1373,5	248,4	
A340-642	ICAO_B	5	6	Penjanje	Maksimum za penjanje	ZERO	3000			
A340-642	ICAO_B	5	7	Ubrzanje	Maksimum za penjanje	ZERO		1410,4	250	
A340-642	ICAO_B	5	8	Penjanje	Maksimum za penjanje	ZERO	5500			
A340-642	ICAO_B	5	9	Penjanje	Maksimum za penjanje	ZERO	7500			
A340-642	ICAO_B	5	10	Penjanje	Maksimum za penjanje	ZERO	10000			
A340-642	ICAO_B	6	1	Uzlijetanje	Maksimum za uzlijetanje	1+F				
A340-642	ICAO_B	6	2	Ubrzanje	Maksimum za uzlijetanje	1+F		1185	185,4	
A340-642	ICAO_B	6	3	Penjanje	Maksimum za uzlijetanje	1+F	1000			
A340-642	ICAO_B	6	4	Ubrzanje	Maksimum za uzlijetanje	1+F		1126,6	214,9	
A340-642	ICAO_B	6	5	Ubrzanje	Maksimum za uzlijetanje	1		1268,8	249,8	

A340-642	ICAO_B	6	6	Penjanje	Maksimum za penjanje	ZERO	3000			
A340-642	ICAO_B	6	7	Ubrzanje	Maksimum za penjanje	ZERO		2048,9	250	
A340-642	ICAO_B	6	8	Penjanje	Maksimum za penjanje	ZERO	5500			
A340-642	ICAO_B	6	9	Penjanje	Maksimum za penjanje	ZERO	7500			
A340-642	ICAO_B	6	10	Penjanje	Maksimum za penjanje	ZERO	10000			
A340-642	ICAO_B	7	1	Uzlijetanje	Maksimum za uzlijetanje	1+F				
A340-642	ICAO_B	7	2	Penjanje	Maksimum za uzlijetanje	1+F	1000			
A340-642	ICAO_B	7	3	Ubrzanje	Maksimum za uzlijetanje	1+F		868,2	214,9	
A340-642	ICAO_B	7	4	Ubrzanje	Maksimum za uzlijetanje	1		929,6	241,1	
A340-642	ICAO_B	7	5	Penjanje	Maksimum za penjanje	ZERO	3000			
A340-642	ICAO_B	7	6	Ubrzanje	Maksimum za penjanje	ZERO		748,4	250	
A340-642	ICAO_B	7	7	Penjanje	Maksimum za penjanje	ZERO	5500			
A340-642	ICAO_B	7	8	Penjanje	Maksimum za penjanje	ZERO	7500			
A340-642	ICAO_B	7	9	Penjanje	Maksimum za penjanje	ZERO	10000			
A380-841	DEFAULT	1	1	Uzlijetanje	Maksimum za uzlijetanje	D_1+F				
A380-841	DEFAULT	1	2	Penjanje	Maksimum za uzlijetanje	D_1+F	1000			
A380-841	DEFAULT	1	3	Ubrzanje	Maksimum za uzlijetanje	D_1+F		1085	175,1	
A380-841	DEFAULT	1	4	Ubrzanje	Maksimum za uzlijetanje	D_1		1306	238,9	
A380-841	DEFAULT	1	5	Penjanje	Maksimum za penjanje	D_1	3000			
A380-841	DEFAULT	1	6	Ubrzanje	Maksimum za penjanje	ZERO		1497,8	250	
A380-841	DEFAULT	1	7	Penjanje	Maksimum za penjanje	ZERO	10000			

A380-841	DEFAULT	2	1	Uzlijetanje	Maksimum za uzlijetanje	D_1+F				
A380-841	DEFAULT	2	2	Penjanje	Maksimum za uzlijetanje	D_1+F	1000			
A380-841	DEFAULT	2	3	Ubrzanje	Maksimum za uzlijetanje	D_1+F		1054	177,6	
A380-841	DEFAULT	2	4	Ubrzanje	Maksimum za uzlijetanje	D_1		1262,8	238,9	
A380-841	DEFAULT	2	5	Penjanje	Maksimum za penjanje	D_1	3000			
A380-841	DEFAULT	2	6	Ubrzanje	Maksimum za penjanje	ZERO		1444,8	250	
A380-841	DEFAULT	2	7	Penjanje	Maksimum za penjanje	ZERO	10000			
A380-841	DEFAULT	3	1	Uzlijetanje	Maksimum za uzlijetanje	D_1+F				
A380-841	DEFAULT	3	2	Penjanje	Maksimum za uzlijetanje	D_1+F	1000			
A380-841	DEFAULT	3	3	Ubrzanje	Maksimum za uzlijetanje	D_1+F		1022,1	180,2	
A380-841	DEFAULT	3	4	Ubrzanje	Maksimum za uzlijetanje	D_1		1220,9	239,1	
A380-841	DEFAULT	3	5	Penjanje	Maksimum za penjanje	D_1	3000			
A380-841	DEFAULT	3	6	Ubrzanje	Maksimum za penjanje	ZERO		1394,3	250	
A380-841	DEFAULT	3	7	Penjanje	Maksimum za penjanje	ZERO	10000			
A380-841	DEFAULT	4	1	Uzlijetanje	Maksimum za uzlijetanje	D_1+F				
A380-841	DEFAULT	4	2	Penjanje	Maksimum za uzlijetanje	D_1+F	1000			
A380-841	DEFAULT	4	3	Ubrzanje	Maksimum za uzlijetanje	D_1+F		975,4	184,8	
A380-841	DEFAULT	4	4	Ubrzanje	Maksimum za uzlijetanje	D_1		1152,5	239,6	
A380-841	DEFAULT	4	5	Penjanje	Maksimum za penjanje	D_1	3000			
A380-841	DEFAULT	4	6	Ubrzanje	Maksimum za penjanje	ZERO		1313,6	250	
A380-841	DEFAULT	4	7	Penjanje	Maksimum za penjanje	ZERO	10000			



ThoriumSoftware d.o.o.

Mobile: +385 (0) 95 8 70 50 70
 Kontakt: Dario Ilija Rendulić
 Email:
[info@thoriumsoftware.eu;](mailto:info@thoriumsoftware.eu)
direndulic@gmail.com

A380-841	DEFAULT	5	1	Uzlijetanje	Maksimum za uzlijetanje	D_1+F				
A380-841	DEFAULT	5	2	Penjanje	Maksimum za uzlijetanje	D_1+F	1000			
A380-841	DEFAULT	5	3	Ubrzanje	Maksimum za uzlijetanje	D_1+F		908,1	190,6	
A380-841	DEFAULT	5	4	Ubrzanje	Maksimum za uzlijetanje	D_1		1072,2	240,8	
A380-841	DEFAULT	5	5	Penjanje	Maksimum za penjanje	D_1	3000			
A380-841	DEFAULT	5	6	Ubrzanje	Maksimum za penjanje	ZERO		1220,7	250	
A380-841	DEFAULT	5	7	Penjanje	Maksimum za penjanje	ZERO	10000			
A380-841	DEFAULT	6	1	Uzlijetanje	Maksimum za uzlijetanje	D_1+F				
A380-841	DEFAULT	6	2	Penjanje	Maksimum za uzlijetanje	D_1+F	1000			
A380-841	DEFAULT	6	3	Ubrzanje	Maksimum za uzlijetanje	D_1+F		843	196,7	
A380-841	DEFAULT	6	4	Ubrzanje	Maksimum za uzlijetanje	D_1		994,4	242,4	
A380-841	DEFAULT	6	5	Penjanje	Maksimum za penjanje	D_1	3000			
A380-841	DEFAULT	6	6	Ubrzanje	Maksimum za penjanje	ZERO		1134,1	250	
A380-841	DEFAULT	6	7	Penjanje	Maksimum za penjanje	ZERO	10000			
A380-841	DEFAULT	7	1	Uzlijetanje	Maksimum za uzlijetanje	D_1+F				
A380-841	DEFAULT	7	2	Penjanje	Maksimum za uzlijetanje	D_1+F	1000			
A380-841	DEFAULT	7	3	Ubrzanje	Maksimum za uzlijetanje	D_1+F		783	202,7	
A380-841	DEFAULT	7	4	Ubrzanje	Maksimum za uzlijetanje	D_1		925	244,4	
A380-841	DEFAULT	7	5	Penjanje	Maksimum za penjanje	D_1	3000			
A380-841	DEFAULT	7	6	Ubrzanje	Maksimum za penjanje	ZERO		1065,1	250	
A380-841	DEFAULT	7	7	Penjanje	Maksimum za penjanje	ZERO	10000			



ThoriumSoftware d.o.o.

Mobile: +385 (0) 95 8 70 50 70
 Kontakt: Dario Ilija Rendulić
 Email:
[info@thoriumsoftware.eu;](mailto:info@thoriumsoftware.eu)
direndulic@gmail.com

A380-841	DEFAULT	8	1	Uzljetanje	Maksimum za uzljetanje	D_1+F				
A380-841	DEFAULT	8	2	Penjanje	Maksimum za uzljetanje	D_1+F	1000			
A380-841	DEFAULT	8	3	Ubrzanje	Maksimum za uzljetanje	D_1+F		622,4	220	
A380-841	DEFAULT	8	4	Ubrzanje	Maksimum za uzljetanje	D_1		744,8	251,7	
A380-841	DEFAULT	8	5	Penjanje	Maksimum za penjanje	D_1	3000			
A380-841	DEFAULT	8	6	Penjanje	Maksimum za penjanje	ZERO	10000			
A380-841	ICAO_A	1	1	Uzljetanje	Maksimum za uzljetanje	D_1+F				
A380-841	ICAO_A	1	2	Penjanje	Maksimum za uzljetanje	D_1+F	1500			
A380-841	ICAO_A	1	3	Penjanje	Maksimum za penjanje	D_1+F	3000			
A380-841	ICAO_A	1	4	Ubrzanje	Maksimum za penjanje	D_1		1049,1	175,1	
A380-841	ICAO_A	1	5	Ubrzanje	Maksimum za penjanje	D_1		1257,9	233,9	
A380-841	ICAO_A	1	6	Ubrzanje	Maksimum za penjanje	ZERO		1403,3	250	
A380-841	ICAO_A	1	7	Penjanje	Maksimum za penjanje	ZERO	10000			
A380-841	ICAO_A	2	1	Uzljetanje	Maksimum za uzljetanje	D_1+F				
A380-841	ICAO_A	2	2	Penjanje	Maksimum za uzljetanje	D_1+F	1500			
A380-841	ICAO_A	2	3	Penjanje	Maksimum za penjanje	D_1+F	3000			
A380-841	ICAO_A	2	4	Ubrzanje	Maksimum za penjanje	D_1		1005,4	177,7	
A380-841	ICAO_A	2	5	Ubrzanje	Maksimum za penjanje	D_1		1217,2	234,1	
A380-841	ICAO_A	2	6	Ubrzanje	Maksimum za penjanje	ZERO		1355,3	250	
A380-841	ICAO_A	2	7	Penjanje	Maksimum za penjanje	ZERO	10000			
A380-841	ICAO_A	3	1	Uzljetanje	Maksimum za uzljetanje	D_1+F				



ThoriumSoftware d.o.o.

Mobile: +385 (0) 95 8 70 50 70
 Kontakt: Dario Ilija Rendulić
 Email:
[info@thoriumsoftware.eu;](mailto:info@thoriumsoftware.eu)
direndulic@gmail.com

A380-841	ICAO_A	3	2	Penjanje	Maksimum za uzlijetanje	D_1+F	1500			
A380-841	ICAO_A	3	3	Penjanje	Maksimum za penjanje	D_1+F	3000			
A380-841	ICAO_A	3	4	Ubrzanje	Maksimum za penjanje	D_1		965,1	180,3	
A380-841	ICAO_A	3	5	Ubrzanje	Maksimum za penjanje	D_1		1177,8	234,5	
A380-841	ICAO_A	3	6	Ubrzanje	Maksimum za penjanje	ZERO		1308,6	250	
A380-841	ICAO_A	3	7	Penjanje	Maksimum za penjanje	ZERO	10000			
A380-841	ICAO_A	4	1	Uzlijetanje	Maksimum za uzlijetanje	D_1+F				
A380-841	ICAO_A	4	2	Penjanje	Maksimum za uzlijetanje	D_1+F	1500			
A380-841	ICAO_A	4	3	Penjanje	Maksimum za penjanje	D_1+F	3000			
A380-841	ICAO_A	4	4	Ubrzanje	Maksimum za penjanje	D_1		912,3	184,9	
A380-841	ICAO_A	4	5	Ubrzanje	Maksimum za penjanje	D_1		1113,9	235,4	
A380-841	ICAO_A	4	6	Ubrzanje	Maksimum za penjanje	ZERO		1231,9	250	
A380-841	ICAO_A	4	7	Penjanje	Maksimum za penjanje	ZERO	10000			
A380-841	ICAO_A	5	1	Uzlijetanje	Maksimum za uzlijetanje	D_1+F				
A380-841	ICAO_A	5	2	Penjanje	Maksimum za uzlijetanje	D_1+F	1500			
A380-841	ICAO_A	5	3	Penjanje	Maksimum za penjanje	D_1+F	3000			
A380-841	ICAO_A	5	4	Ubrzanje	Maksimum za penjanje	D_1		850,1	190,8	
A380-841	ICAO_A	5	5	Ubrzanje	Maksimum za penjanje	D_1		1038,8	237,1	
A380-841	ICAO_A	5	6	Ubrzanje	Maksimum za penjanje	ZERO		1141,2	250	
A380-841	ICAO_A	5	7	Penjanje	Maksimum za penjanje	ZERO	10000			
A380-841	ICAO_A	6	1	Uzlijetanje	Maksimum za uzlijetanje	D_1+F				



ThoriumSoftware d.o.o.

Mobile: +385 (0) 95 8 70 50 70
 Kontakt: Dario Ilija Rendulić
 Email:
[info@thoriumsoftware.eu;](mailto:info@thoriumsoftware.eu)
direndulic@gmail.com

A380-841	ICAO_A	6	2	Penjanje	Maksimum za uzlijetanje	D_1+F	1500			
A380-841	ICAO_A	6	3	Penjanje	Maksimum za penjanje	D_1+F	3000			
A380-841	ICAO_A	6	4	Ubrzanje	Maksimum za penjanje	D_1		789,5	196,9	
A380-841	ICAO_A	6	5	Ubrzanje	Maksimum za penjanje	D_1		965,9	239,1	
A380-841	ICAO_A	6	6	Ubrzanje	Maksimum za penjanje	ZERO		1053	250	
A380-841	ICAO_A	6	7	Penjanje	Maksimum za penjanje	ZERO	10000			
A380-841	ICAO_A	7	1	Uzlijetanje	Maksimum za uzlijetanje	D_1+F				
A380-841	ICAO_A	7	2	Penjanje	Maksimum za uzlijetanje	D_1+F	1500			
A380-841	ICAO_A	7	3	Penjanje	Maksimum za penjanje	D_1+F	3000			
A380-841	ICAO_A	7	4	Ubrzanje	Maksimum za penjanje	D_1		735,4	203,1	
A380-841	ICAO_A	7	5	Ubrzanje	Maksimum za penjanje	D_1		900,3	241,6	
A380-841	ICAO_A	7	6	Ubrzanje	Maksimum za penjanje	ZERO		973,7	250	
A380-841	ICAO_A	7	7	Penjanje	Maksimum za penjanje	ZERO	10000			
A380-841	ICAO_A	8	1	Uzlijetanje	Maksimum za uzlijetanje	D_1+F				
A380-841	ICAO_A	8	2	Penjanje	Maksimum za uzlijetanje	D_1+F	1500			
A380-841	ICAO_A	8	3	Penjanje	Maksimum za penjanje	D_1+F	3000			
A380-841	ICAO_A	8	4	Ubrzanje	Maksimum za penjanje	D_1		587,9	220	
A380-841	ICAO_A	8	5	Ubrzanje	Maksimum za penjanje	D_1		722,8	249,2	
A380-841	ICAO_A	8	6	Ubrzanje	Maksimum za penjanje	ZERO		762,6	250	
A380-841	ICAO_A	8	7	Penjanje	Maksimum za penjanje	ZERO	10000			
A380-841	ICAO_B	1	1	Uzlijetanje	Maksimum za uzlijetanje	D_1+F				



ThoriumSoftware d.o.o.

Mobile: +385 (0) 95 8 70 50 70
 Kontakt: Dario Ilija Rendulić
 Email:
[info@thoriumsoftware.eu;](mailto:info@thoriumsoftware.eu)
direndulic@gmail.com

A380-841	ICAO_B	1	2	Penjanje	Maksimum za uzlijetanje	D_1+F	1000			
A380-841	ICAO_B	1	3	Ubrzanje	Maksimum za uzlijetanje	D_1+F		1085	175,1	
A380-841	ICAO_B	1	4	Ubrzanje	Maksimum za uzlijetanje	D_1		1306	238,9	
A380-841	ICAO_B	1	5	Penjanje	Maksimum za penjanje	D_1	3000			
A380-841	ICAO_B	1	6	Ubrzanje	Maksimum za penjanje	ZERO		1497,8	250	
A380-841	ICAO_B	1	7	Penjanje	Maksimum za penjanje	ZERO	10000			
A380-841	ICAO_B	2	1	Uzlijetanje	Maksimum za uzlijetanje	D_1+F				
A380-841	ICAO_B	2	2	Penjanje	Maksimum za uzlijetanje	D_1+F	1000			
A380-841	ICAO_B	2	3	Ubrzanje	Maksimum za uzlijetanje	D_1+F		1054	177,6	
A380-841	ICAO_B	2	4	Ubrzanje	Maksimum za uzlijetanje	D_1		1262,8	238,9	
A380-841	ICAO_B	2	5	Penjanje	Maksimum za penjanje	D_1	3000			
A380-841	ICAO_B	2	6	Ubrzanje	Maksimum za penjanje	ZERO		1444,8	250	
A380-841	ICAO_B	2	7	Penjanje	Maksimum za penjanje	ZERO	10000			
A380-841	ICAO_B	3	1	Uzlijetanje	Maksimum za uzlijetanje	D_1+F				
A380-841	ICAO_B	3	2	Penjanje	Maksimum za uzlijetanje	D_1+F	1000			
A380-841	ICAO_B	3	3	Ubrzanje	Maksimum za uzlijetanje	D_1+F		1022,1	180,2	
A380-841	ICAO_B	3	4	Ubrzanje	Maksimum za uzlijetanje	D_1		1220,9	239,1	
A380-841	ICAO_B	3	5	Penjanje	Maksimum za penjanje	D_1	3000			
A380-841	ICAO_B	3	6	Ubrzanje	Maksimum za penjanje	ZERO		1394,3	250	
A380-841	ICAO_B	3	7	Penjanje	Maksimum za penjanje	ZERO	10000			
A380-841	ICAO_B	4	1	Uzlijetanje	Maksimum za uzlijetanje	D_1+F				



ThoriumSoftware d.o.o.

Mobile: +385 (0) 95 8 70 50 70
 Kontakt: Dario Ilija Rendulić
 Email:
[info@thoriumsoftware.eu;](mailto:info@thoriumsoftware.eu)
direndulic@gmail.com

A380-841	ICAO_B	4	2	Penjanje	Maksimum za uzlijetanje	D_1+F	1000			
A380-841	ICAO_B	4	3	Ubrzanje	Maksimum za uzlijetanje	D_1+F		975,4	184,8	
A380-841	ICAO_B	4	4	Ubrzanje	Maksimum za uzlijetanje	D_1		1152,5	239,6	
A380-841	ICAO_B	4	5	Penjanje	Maksimum za penjanje	D_1	3000			
A380-841	ICAO_B	4	6	Ubrzanje	Maksimum za penjanje	ZERO		1313,6	250	
A380-841	ICAO_B	4	7	Penjanje	Maksimum za penjanje	ZERO	10000			
A380-841	ICAO_B	5	1	Uzlijetanje	Maksimum za uzlijetanje	D_1+F				
A380-841	ICAO_B	5	2	Penjanje	Maksimum za uzlijetanje	D_1+F	1000			
A380-841	ICAO_B	5	3	Ubrzanje	Maksimum za uzlijetanje	D_1+F		908,1	190,6	
A380-841	ICAO_B	5	4	Ubrzanje	Maksimum za uzlijetanje	D_1		1072,2	240,8	
A380-841	ICAO_B	5	5	Penjanje	Maksimum za penjanje	D_1	3000			
A380-841	ICAO_B	5	6	Ubrzanje	Maksimum za penjanje	ZERO		1220,7	250	
A380-841	ICAO_B	5	7	Penjanje	Maksimum za penjanje	ZERO	10000			
A380-841	ICAO_B	6	1	Uzlijetanje	Maksimum za uzlijetanje	D_1+F				
A380-841	ICAO_B	6	2	Penjanje	Maksimum za uzlijetanje	D_1+F	1000			
A380-841	ICAO_B	6	3	Ubrzanje	Maksimum za uzlijetanje	D_1+F		843	196,7	
A380-841	ICAO_B	6	4	Ubrzanje	Maksimum za uzlijetanje	D_1		994,4	242,4	
A380-841	ICAO_B	6	5	Penjanje	Maksimum za penjanje	D_1	3000			
A380-841	ICAO_B	6	6	Ubrzanje	Maksimum za penjanje	ZERO		1134,1	250	
A380-841	ICAO_B	6	7	Penjanje	Maksimum za penjanje	ZERO	10000			
A380-841	ICAO_B	7	1	Uzlijetanje	Maksimum za uzlijetanje	D_1+F				



ThoriumSoftware d.o.o.

Mobile: +385 (0) 95 8 70 50 70
 Kontakt: Dario Ilija Rendulić
 Email:
[info@thoriumsoftware.eu;](mailto:info@thoriumsoftware.eu)
direndulic@gmail.com

A380-841	ICAO_B	7	2	Penjanje	Maksimum za uzlijetanje	D_1+F	1000			
A380-841	ICAO_B	7	3	Ubrzanje	Maksimum za uzlijetanje	D_1+F		783	202,7	
A380-841	ICAO_B	7	4	Ubrzanje	Maksimum za uzlijetanje	D_1		925	244,4	
A380-841	ICAO_B	7	5	Penjanje	Maksimum za penjanje	D_1	3000			
A380-841	ICAO_B	7	6	Ubrzanje	Maksimum za penjanje	ZERO		1065,1	250	
A380-841	ICAO_B	7	7	Penjanje	Maksimum za penjanje	ZERO	10000			
A380-841	ICAO_B	8	1	Uzlijetanje	Maksimum za uzlijetanje	D_1+F				
A380-841	ICAO_B	8	2	Penjanje	Maksimum za uzlijetanje	D_1+F	1000			
A380-841	ICAO_B	8	3	Ubrzanje	Maksimum za uzlijetanje	D_1+F		622,4	220	
A380-841	ICAO_B	8	4	Ubrzanje	Maksimum za uzlijetanje	D_1		744,8	251,7	
A380-841	ICAO_B	8	5	Penjanje	Maksimum za penjanje	D_1	3000			
A380-841	ICAO_B	8	6	Penjanje	Maksimum za penjanje	ZERO	10000			
A380-861	DEFAULT	1	1	Uzlijetanje	Maksimum za uzlijetanje	D_1+F				
A380-861	DEFAULT	1	2	Penjanje	Maksimum za uzlijetanje	D_1+F	1000			
A380-861	DEFAULT	1	3	Ubrzanje	Maksimum za uzlijetanje	D_1+F		1086	175,1	
A380-861	DEFAULT	1	4	Ubrzanje	Maksimum za uzlijetanje	D_1		1312,2	239,2	
A380-861	DEFAULT	1	5	Penjanje	Maksimum za penjanje	D_1	3000			
A380-861	DEFAULT	1	6	Ubrzanje	Maksimum za penjanje	ZERO		1499,1	250	
A380-861	DEFAULT	1	7	Penjanje	Maksimum za penjanje	ZERO	10000			
A380-861	DEFAULT	2	1	Uzlijetanje	Maksimum za uzlijetanje	D_1+F				
A380-861	DEFAULT	2	2	Penjanje	Maksimum za uzlijetanje	D_1+F	1000			



ThoriumSoftware d.o.o.

Mobile: +385 (0) 95 8 70 50 70
 Kontakt: Dario Ilija Rendulić
 Email:
[info@thoriumsoftware.eu;](mailto:info@thoriumsoftware.eu)
direndulic@gmail.com

A380-861	DEFAULT	2	3	Ubrzanje	Maksimum za uzlijetanje	D_1+F		1056	177,6	
A380-861	DEFAULT	2	4	Ubrzanje	Maksimum za uzlijetanje	D_1		1269	239,2	
A380-861	DEFAULT	2	5	Penjanje	Maksimum za penjanje	D_1	3000			
A380-861	DEFAULT	2	6	Ubrzanje	Maksimum za penjanje	ZERO		1446,4	250	
A380-861	DEFAULT	2	7	Penjanje	Maksimum za penjanje	ZERO	10000			
A380-861	DEFAULT	3	1	Uzlijetanje	Maksimum za uzlijetanje	D_1+F				
A380-861	DEFAULT	3	2	Penjanje	Maksimum za uzlijetanje	D_1+F	1000			
A380-861	DEFAULT	3	3	Ubrzanje	Maksimum za uzlijetanje	D_1+F		1024,4	180,2	
A380-861	DEFAULT	3	4	Ubrzanje	Maksimum za uzlijetanje	D_1		1226,4	239,2	
A380-861	DEFAULT	3	5	Penjanje	Maksimum za penjanje	D_1	3000			
A380-861	DEFAULT	3	6	Ubrzanje	Maksimum za penjanje	ZERO		1394,9	250	
A380-861	DEFAULT	3	7	Penjanje	Maksimum za penjanje	ZERO	10000			
A380-861	DEFAULT	4	1	Uzlijetanje	Maksimum za uzlijetanje	D_1+F				
A380-861	DEFAULT	4	2	Penjanje	Maksimum za uzlijetanje	D_1+F	1000			
A380-861	DEFAULT	4	3	Ubrzanje	Maksimum za uzlijetanje	D_1+F		972,5	184,7	
A380-861	DEFAULT	4	4	Ubrzanje	Maksimum za uzlijetanje	D_1		1158,3	239,8	
A380-861	DEFAULT	4	5	Penjanje	Maksimum za penjanje	D_1	3000			
A380-861	DEFAULT	4	6	Ubrzanje	Maksimum za penjanje	ZERO		1315,9	250	
A380-861	DEFAULT	4	7	Penjanje	Maksimum za penjanje	ZERO	10000			
A380-861	DEFAULT	5	1	Uzlijetanje	Maksimum za uzlijetanje	D_1+F				
A380-861	DEFAULT	5	2	Penjanje	Maksimum za uzlijetanje	D_1+F	1000			

A380-861	DEFAULT	5	3	Ubrzanje	Maksimum za uzlijetanje	D_1+F		906,2	190,4	
A380-861	DEFAULT	5	4	Ubrzanje	Maksimum za uzlijetanje	D_1		1080,4	240,9	
A380-861	DEFAULT	5	5	Penjanje	Maksimum za penjanje	D_1	3000			
A380-861	DEFAULT	5	6	Ubrzanje	Maksimum za penjanje	ZERO		1225,2	250	
A380-861	DEFAULT	5	7	Penjanje	Maksimum za penjanje	ZERO	10000			
A380-861	DEFAULT	6	1	Uzlijetanje	Maksimum za uzlijetanje	D_1+F				
A380-861	DEFAULT	6	2	Penjanje	Maksimum za uzlijetanje	D_1+F	1000			
A380-861	DEFAULT	6	3	Ubrzanje	Maksimum za uzlijetanje	D_1+F		840	196,4	
A380-861	DEFAULT	6	4	Ubrzanje	Maksimum za uzlijetanje	D_1		1003	242,5	
A380-861	DEFAULT	6	5	Penjanje	Maksimum za penjanje	D_1	3000			
A380-861	DEFAULT	6	6	Ubrzanje	Maksimum za penjanje	ZERO		1139	250	
A380-861	DEFAULT	6	7	Penjanje	Maksimum za penjanje	ZERO	10000			
A380-861	DEFAULT	7	1	Uzlijetanje	Maksimum za uzlijetanje	D_1+F				
A380-861	DEFAULT	7	2	Penjanje	Maksimum za uzlijetanje	D_1+F	1000			
A380-861	DEFAULT	7	3	Ubrzanje	Maksimum za uzlijetanje	D_1+F		777,6	202,7	
A380-861	DEFAULT	7	4	Ubrzanje	Maksimum za uzlijetanje	D_1		930,4	244,6	
A380-861	DEFAULT	7	5	Penjanje	Maksimum za penjanje	D_1	3000			
A380-861	DEFAULT	7	6	Ubrzanje	Maksimum za penjanje	ZERO		1063,2	250	
A380-861	DEFAULT	7	7	Penjanje	Maksimum za penjanje	ZERO	10000			
A380-861	DEFAULT	8	1	Uzlijetanje	Maksimum za uzlijetanje	D_1+F				
A380-861	DEFAULT	8	2	Penjanje	Maksimum za uzlijetanje	D_1+F	1000			



ThoriumSoftware d.o.o.

Mobile: +385 (0) 95 8 70 50 70
 Kontakt: Dario Ilija Rendulić
 Email:
[info@thoriumsoftware.eu;](mailto:info@thoriumsoftware.eu)
direndulic@gmail.com

A380-861	DEFAULT	8	3	Ubrzanje	Maksimum za uzlijetanje	D_1+F		618,5	220	
A380-861	DEFAULT	8	4	Ubrzanje	Maksimum za uzlijetanje	D_1		746,6	251,8	
A380-861	DEFAULT	8	5	Penjanje	Maksimum za penjanje	D_1	3000			
A380-861	DEFAULT	8	6	Penjanje	Maksimum za penjanje	ZERO	10000			
A380-861	ICAO_A	1	1	Uzlijetanje	Maksimum za uzlijetanje	D_1+F				
A380-861	ICAO_A	1	2	Penjanje	Maksimum za uzlijetanje	D_1+F	1500			
A380-861	ICAO_A	1	3	Penjanje	Maksimum za penjanje	D_1+F	3000			
A380-861	ICAO_A	1	4	Ubrzanje	Maksimum za penjanje	D_1		1057,7	175,1	
A380-861	ICAO_A	1	5	Ubrzanje	Maksimum za penjanje	D_1		1257,2	233,9	
A380-861	ICAO_A	1	6	Ubrzanje	Maksimum za penjanje	ZERO		1386,8	250	
A380-861	ICAO_A	1	7	Penjanje	Maksimum za penjanje	ZERO	10000			
A380-861	ICAO_A	2	1	Uzlijetanje	Maksimum za uzlijetanje	D_1+F				
A380-861	ICAO_A	2	2	Penjanje	Maksimum za uzlijetanje	D_1+F	1500			
A380-861	ICAO_A	2	3	Penjanje	Maksimum za penjanje	D_1+F	3000			
A380-861	ICAO_A	2	4	Ubrzanje	Maksimum za penjanje	D_1		1012,5	177,6	
A380-861	ICAO_A	2	5	Ubrzanje	Maksimum za penjanje	D_1		1208,1	233,8	
A380-861	ICAO_A	2	6	Ubrzanje	Maksimum za penjanje	ZERO		1339,4	250	
A380-861	ICAO_A	2	7	Penjanje	Maksimum za penjanje	ZERO	10000			
A380-861	ICAO_A	3	1	Uzlijetanje	Maksimum za uzlijetanje	D_1+F				
A380-861	ICAO_A	3	2	Penjanje	Maksimum za uzlijetanje	D_1+F	1500			
A380-861	ICAO_A	3	3	Penjanje	Maksimum za penjanje	D_1+F	3000			



ThoriumSoftware d.o.o.

Mobile: +385 (0) 95 8 70 50 70
 Kontakt: Dario Ilija Rendulić
 Email:
[info@thoriumsoftware.eu;](mailto:info@thoriumsoftware.eu)
direndulic@gmail.com

A380-861	ICAO_A	3	4	Ubrzanje	Maksimum za penjanje	D_1		970	180,2	
A380-861	ICAO_A	3	5	Ubrzanje	Maksimum za penjanje	D_1		1168,2	234,1	
A380-861	ICAO_A	3	6	Ubrzanje	Maksimum za penjanje	ZERO		1293	250	
A380-861	ICAO_A	3	7	Penjanje	Maksimum za penjanje	ZERO	10000			
A380-861	ICAO_A	4	1	Uzljetanje	Maksimum za uzljetanje	D_1+F				
A380-861	ICAO_A	4	2	Penjanje	Maksimum za uzljetanje	D_1+F	1500			
A380-861	ICAO_A	4	3	Penjanje	Maksimum za penjanje	D_1+F	3000			
A380-861	ICAO_A	4	4	Ubrzanje	Maksimum za penjanje	D_1		908,4	184,8	
A380-861	ICAO_A	4	5	Ubrzanje	Maksimum za penjanje	D_1		1103,5	235	
A380-861	ICAO_A	4	6	Ubrzanje	Maksimum za penjanje	ZERO		1216,8	250	
A380-861	ICAO_A	4	7	Penjanje	Maksimum za penjanje	ZERO	10000			
A380-861	ICAO_A	5	1	Uzljetanje	Maksimum za uzljetanje	D_1+F				
A380-861	ICAO_A	5	2	Penjanje	Maksimum za uzljetanje	D_1+F	1500			
A380-861	ICAO_A	5	3	Penjanje	Maksimum za penjanje	D_1+F	3000			
A380-861	ICAO_A	5	4	Ubrzanje	Maksimum za penjanje	D_1		847,3	190,5	
A380-861	ICAO_A	5	5	Ubrzanje	Maksimum za penjanje	D_1		1029,6	236,5	
A380-861	ICAO_A	5	6	Ubrzanje	Maksimum za penjanje	ZERO		1129,4	250	
A380-861	ICAO_A	5	7	Penjanje	Maksimum za penjanje	ZERO	10000			
A380-861	ICAO_A	6	1	Uzljetanje	Maksimum za uzljetanje	D_1+F				
A380-861	ICAO_A	6	2	Penjanje	Maksimum za uzljetanje	D_1+F	1500			
A380-861	ICAO_A	6	3	Penjanje	Maksimum za penjanje	D_1+F	3000			



ThoriumSoftware d.o.o.

Mobile: +385 (0) 95 8 70 50 70
 Kontakt: Dario Ilija Rendulić
 Email:
[info@thoriumsoftware.eu;](mailto:info@thoriumsoftware.eu)
direndulic@gmail.com

A380-861	ICAO_A	6	4	Ubrzanje	Maksimum za penjanje	D_1		786	196,7	
A380-861	ICAO_A	6	5	Ubrzanje	Maksimum za penjanje	D_1		955,7	238,5	
A380-861	ICAO_A	6	6	Ubrzanje	Maksimum za penjanje	ZERO		1041,8	250	
A380-861	ICAO_A	6	7	Penjanje	Maksimum za penjanje	ZERO	10000			
A380-861	ICAO_A	7	1	Uzljetanje	Maksimum za uzljetanje	D_1+F				
A380-861	ICAO_A	7	2	Penjanje	Maksimum za uzljetanje	D_1+F	1500			
A380-861	ICAO_A	7	3	Penjanje	Maksimum za penjanje	D_1+F	3000			
A380-861	ICAO_A	7	4	Ubrzanje	Maksimum za penjanje	D_1		728,1	203,1	
A380-861	ICAO_A	7	5	Ubrzanje	Maksimum za penjanje	D_1		886,1	241,1	
A380-861	ICAO_A	7	6	Ubrzanje	Maksimum za penjanje	ZERO		959,3	250	
A380-861	ICAO_A	7	7	Penjanje	Maksimum za penjanje	ZERO	10000			
A380-861	ICAO_A	8	1	Uzljetanje	Maksimum za uzljetanje	D_1+F				
A380-861	ICAO_A	8	2	Penjanje	Maksimum za uzljetanje	D_1+F	1500			
A380-861	ICAO_A	8	3	Penjanje	Maksimum za penjanje	D_1+F	3000			
A380-861	ICAO_A	8	4	Ubrzanje	Maksimum za penjanje	D_1		577,2	220	
A380-861	ICAO_A	8	5	Ubrzanje	Maksimum za penjanje	D_1		705,6	248,6	
A380-861	ICAO_A	8	6	Ubrzanje	Maksimum za penjanje	ZERO		749,1	250	
A380-861	ICAO_A	8	7	Penjanje	Maksimum za penjanje	ZERO	10000			
A380-861	ICAO_B	1	1	Uzljetanje	Maksimum za uzljetanje	D_1+F				
A380-861	ICAO_B	1	2	Penjanje	Maksimum za uzljetanje	D_1+F	1000			
A380-861	ICAO_B	1	3	Ubrzanje	Maksimum za uzljetanje	D_1+F		1086	175,1	



ThoriumSoftware d.o.o.

Mobile: +385 (0) 95 8 70 50 70
 Kontakt: Dario Ilija Rendulić
 Email:
[info@thoriumsoftware.eu;](mailto:info@thoriumsoftware.eu)
direndulic@gmail.com

A380-861	ICAO_B	1	4	Ubrzanje	Maksimum za uzlijetanje	D_1		1312,2	239,2	
A380-861	ICAO_B	1	5	Penjanje	Maksimum za penjanje	D_1	3000			
A380-861	ICAO_B	1	6	Ubrzanje	Maksimum za penjanje	ZERO		1499,1	250	
A380-861	ICAO_B	1	7	Penjanje	Maksimum za penjanje	ZERO	10000			
A380-861	ICAO_B	2	1	Uzlijetanje	Maksimum za uzlijetanje	D_1+F				
A380-861	ICAO_B	2	2	Penjanje	Maksimum za uzlijetanje	D_1+F	1000			
A380-861	ICAO_B	2	3	Ubrzanje	Maksimum za uzlijetanje	D_1+F		1056	177,6	
A380-861	ICAO_B	2	4	Ubrzanje	Maksimum za uzlijetanje	D_1		1269	239,2	
A380-861	ICAO_B	2	5	Penjanje	Maksimum za penjanje	D_1	3000			
A380-861	ICAO_B	2	6	Ubrzanje	Maksimum za penjanje	ZERO		1446,4	250	
A380-861	ICAO_B	2	7	Penjanje	Maksimum za penjanje	ZERO	10000			
A380-861	ICAO_B	3	1	Uzlijetanje	Maksimum za uzlijetanje	D_1+F				
A380-861	ICAO_B	3	2	Penjanje	Maksimum za uzlijetanje	D_1+F	1000			
A380-861	ICAO_B	3	3	Ubrzanje	Maksimum za uzlijetanje	D_1+F		1024,4	180,2	
A380-861	ICAO_B	3	4	Ubrzanje	Maksimum za uzlijetanje	D_1		1226,4	239,2	
A380-861	ICAO_B	3	5	Penjanje	Maksimum za penjanje	D_1	3000			
A380-861	ICAO_B	3	6	Ubrzanje	Maksimum za penjanje	ZERO		1394,9	250	
A380-861	ICAO_B	3	7	Penjanje	Maksimum za penjanje	ZERO	10000			
A380-861	ICAO_B	4	1	Uzlijetanje	Maksimum za uzlijetanje	D_1+F				
A380-861	ICAO_B	4	2	Penjanje	Maksimum za uzlijetanje	D_1+F	1000			
A380-861	ICAO_B	4	3	Ubrzanje	Maksimum za uzlijetanje	D_1+F		972,5	184,7	



ThoriumSoftware d.o.o.

Mobile: +385 (0) 95 8 70 50 70
 Kontakt: Dario Ilija Rendulić
 Email:
[info@thoriumsoftware.eu;](mailto:info@thoriumsoftware.eu)
direndulic@gmail.com

A380-861	ICAO_B	4	4	Ubrzanje	Maksimum za uzlijetanje	D_1		1158,3	239,8	
A380-861	ICAO_B	4	5	Penjanje	Maksimum za penjanje	D_1	3000			
A380-861	ICAO_B	4	6	Ubrzanje	Maksimum za penjanje	ZERO		1315,9	250	
A380-861	ICAO_B	4	7	Penjanje	Maksimum za penjanje	ZERO	10000			
A380-861	ICAO_B	5	1	Uzlijetanje	Maksimum za uzlijetanje	D_1+F				
A380-861	ICAO_B	5	2	Penjanje	Maksimum za uzlijetanje	D_1+F	1000			
A380-861	ICAO_B	5	3	Ubrzanje	Maksimum za uzlijetanje	D_1+F		906,2	190,4	
A380-861	ICAO_B	5	4	Ubrzanje	Maksimum za uzlijetanje	D_1		1080,4	240,9	
A380-861	ICAO_B	5	5	Penjanje	Maksimum za penjanje	D_1	3000			
A380-861	ICAO_B	5	6	Ubrzanje	Maksimum za penjanje	ZERO		1225,2	250	
A380-861	ICAO_B	5	7	Penjanje	Maksimum za penjanje	ZERO	10000			
A380-861	ICAO_B	6	1	Uzlijetanje	Maksimum za uzlijetanje	D_1+F				
A380-861	ICAO_B	6	2	Penjanje	Maksimum za uzlijetanje	D_1+F	1000			
A380-861	ICAO_B	6	3	Ubrzanje	Maksimum za uzlijetanje	D_1+F		840	196,4	
A380-861	ICAO_B	6	4	Ubrzanje	Maksimum za uzlijetanje	D_1		1003	242,5	
A380-861	ICAO_B	6	5	Penjanje	Maksimum za penjanje	D_1	3000			
A380-861	ICAO_B	6	6	Ubrzanje	Maksimum za penjanje	ZERO		1139	250	
A380-861	ICAO_B	6	7	Penjanje	Maksimum za penjanje	ZERO	10000			
A380-861	ICAO_B	7	1	Uzlijetanje	Maksimum za uzlijetanje	D_1+F				
A380-861	ICAO_B	7	2	Penjanje	Maksimum za uzlijetanje	D_1+F	1000			
A380-861	ICAO_B	7	3	Ubrzanje	Maksimum za uzlijetanje	D_1+F		777,6	202,7	



ThoriumSoftware d.o.o.

Mobile: +385 (0) 95 8 70 50 70
 Kontakt: Dario Ilija Rendulić
 Email:
[info@thoriumsoftware.eu;](mailto:info@thoriumsoftware.eu)
direndulic@gmail.com

A380-861	ICAO_B	7	4	Ubrzanje	Maksimum za uzlijetanje	D_1		930,4	244,6	
A380-861	ICAO_B	7	5	Penjanje	Maksimum za penjanje	D_1	3000			
A380-861	ICAO_B	7	6	Ubrzanje	Maksimum za penjanje	ZERO		1063,2	250	
A380-861	ICAO_B	7	7	Penjanje	Maksimum za penjanje	ZERO	10000			
A380-861	ICAO_B	8	1	Uzlijetanje	Maksimum za uzlijetanje	D_1+F				
A380-861	ICAO_B	8	2	Penjanje	Maksimum za uzlijetanje	D_1+F	1000			
A380-861	ICAO_B	8	3	Ubrzanje	Maksimum za uzlijetanje	D_1+F		618,5	220	
A380-861	ICAO_B	8	4	Ubrzanje	Maksimum za uzlijetanje	D_1		746,6	251,8	
A380-861	ICAO_B	8	5	Penjanje	Maksimum za penjanje	D_1	3000			
A380-861	ICAO_B	8	6	Penjanje	Maksimum za penjanje	ZERO	10000			
BAC111	DEFAULT	1	1	Uzlijetanje	Maksimum za uzlijetanje	8				
BAC111	DEFAULT	1	2	Penjanje	Maksimum za uzlijetanje	8	1000			
BAC111	DEFAULT	1	3	Ubrzanje	Maksimum za uzlijetanje	8		1942	158	
BAC111	DEFAULT	1	4	Ubrzanje	Maksimum za uzlijetanje	INT1		1457	178	
BAC111	DEFAULT	1	5	Ubrzanje	Maksimum za penjanje	INT1		1000	198	
BAC111	DEFAULT	1	6	Penjanje	Maksimum za penjanje	ZERO	3000			
BAC111	DEFAULT	1	7	Ubrzanje	Maksimum za penjanje	ZERO		1000	250	
BAC111	DEFAULT	1	8	Penjanje	Maksimum za penjanje	ZERO	5500			
BAC111	DEFAULT	1	9	Penjanje	Maksimum za penjanje	ZERO	7500			
BAC111	DEFAULT	1	10	Penjanje	Maksimum za penjanje	ZERO	10000			
BAC111	DEFAULT	2	1	Uzlijetanje	Maksimum za uzlijetanje	8				

BAC111	DEFAULT	2	2	Penjanje	Maksimum za uzlijetanje	8	1000			
BAC111	DEFAULT	2	3	Ubrzanje	Maksimum za uzlijetanje	8		1809	163	
BAC111	DEFAULT	2	4	Ubrzanje	Maksimum za uzlijetanje	INT1		1357	183	
BAC111	DEFAULT	2	5	Ubrzanje	Maksimum za penjanje	INT1		1000	203	
BAC111	DEFAULT	2	6	Penjanje	Maksimum za penjanje	ZERO	3000			
BAC111	DEFAULT	2	7	Ubrzanje	Maksimum za penjanje	ZERO		1000	250	
BAC111	DEFAULT	2	8	Penjanje	Maksimum za penjanje	ZERO	5500			
BAC111	DEFAULT	2	9	Penjanje	Maksimum za penjanje	ZERO	7500			
BAC111	DEFAULT	2	10	Penjanje	Maksimum za penjanje	ZERO	10000			
BAC111	DEFAULT	3	1	Uzlijetanje	Maksimum za uzlijetanje	8				
BAC111	DEFAULT	3	2	Penjanje	Maksimum za uzlijetanje	8	1000			
BAC111	DEFAULT	3	3	Ubrzanje	Maksimum za uzlijetanje	8		1665	169	
BAC111	DEFAULT	3	4	Ubrzanje	Maksimum za uzlijetanje	INT1		1249	189	
BAC111	DEFAULT	3	5	Ubrzanje	Maksimum za penjanje	INT1		1000	209	
BAC111	DEFAULT	3	6	Penjanje	Maksimum za penjanje	ZERO	3000			
BAC111	DEFAULT	3	7	Ubrzanje	Maksimum za penjanje	ZERO		1000	250	
BAC111	DEFAULT	3	8	Penjanje	Maksimum za penjanje	ZERO	5500			
BAC111	DEFAULT	3	9	Penjanje	Maksimum za penjanje	ZERO	7500			
BAC111	DEFAULT	3	10	Penjanje	Maksimum za penjanje	ZERO	10000			
BAE146	DEFAULT	1	1	Uzlijetanje	Maksimum za uzlijetanje	18				
BAE146	DEFAULT	1	2	Penjanje	Maksimum za uzlijetanje	18	1000			



ThoriumSoftware d.o.o.

Mobile: +385 (0) 95 8 70 50 70
 Kontakt: Dario Ilija Rendulić
 Email:
[info@thoriumsoftware.eu;](mailto:info@thoriumsoftware.eu)
direndulic@gmail.com

BAE146	DEFAULT	1	3	Ubrzanje	Maksimum za uzlijetanje	18		970	171	
BAE146	DEFAULT	1	4	Ubrzanje	Maksimum za penjanje	ZERO		900	201	
BAE146	DEFAULT	1	5	Penjanje	Maksimum za penjanje	ZERO	3000			
BAE146	DEFAULT	1	6	Ubrzanje	Maksimum za penjanje	ZERO		900	250	
BAE146	DEFAULT	1	7	Penjanje	Maksimum za penjanje	ZERO	5500			
BAE146	DEFAULT	1	8	Penjanje	Maksimum za penjanje	ZERO	7500			
BAE146	DEFAULT	1	9	Penjanje	Maksimum za penjanje	ZERO	10000			
BAE146	DEFAULT	2	1	Uzlijetanje	Maksimum za uzlijetanje	18				
BAE146	DEFAULT	2	2	Penjanje	Maksimum za uzlijetanje	18	1000			
BAE146	DEFAULT	2	3	Ubrzanje	Maksimum za uzlijetanje	18		801	178	
BAE146	DEFAULT	2	4	Ubrzanje	Maksimum za penjanje	ZERO		750	208	
BAE146	DEFAULT	2	5	Penjanje	Maksimum za penjanje	ZERO	3000			
BAE146	DEFAULT	2	6	Ubrzanje	Maksimum za penjanje	ZERO		750	250	
BAE146	DEFAULT	2	7	Penjanje	Maksimum za penjanje	ZERO	5500			
BAE146	DEFAULT	2	8	Penjanje	Maksimum za penjanje	ZERO	7500			
BAE146	DEFAULT	2	9	Penjanje	Maksimum za penjanje	ZERO	10000			
BAE146	DEFAULT	3	1	Uzlijetanje	Maksimum za uzlijetanje	18				
BAE146	DEFAULT	3	2	Penjanje	Maksimum za uzlijetanje	18	1000			
BAE146	DEFAULT	3	3	Ubrzanje	Maksimum za uzlijetanje	18		671	184	
BAE146	DEFAULT	3	4	Ubrzanje	Maksimum za penjanje	ZERO		500	214	
BAE146	DEFAULT	3	5	Penjanje	Maksimum za penjanje	ZERO	3000			

BAE146	DEFAULT	3	6	Ubrzanje	Maksimum za penjanje	ZERO		500	250	
BAE146	DEFAULT	3	7	Penjanje	Maksimum za penjanje	ZERO	5500			
BAE146	DEFAULT	3	8	Penjanje	Maksimum za penjanje	ZERO	7500			
BAE146	DEFAULT	3	9	Penjanje	Maksimum za penjanje	ZERO	10000			
BAE300	DEFAULT	1	1	Uzlijetanje	Maksimum za uzlijetanje	18				
BAE300	DEFAULT	1	2	Penjanje	Maksimum za uzlijetanje	18	1000			
BAE300	DEFAULT	1	3	Ubrzanje	Maksimum za uzlijetanje	18		920	176	
BAE300	DEFAULT	1	4	Ubrzanje	Maksimum za penjanje	ZERO		900	206	
BAE300	DEFAULT	1	5	Penjanje	Maksimum za penjanje	ZERO	3000			
BAE300	DEFAULT	1	6	Ubrzanje	Maksimum za penjanje	ZERO		900	250	
BAE300	DEFAULT	1	7	Penjanje	Maksimum za penjanje	ZERO	5500			
BAE300	DEFAULT	1	8	Penjanje	Maksimum za penjanje	ZERO	7500			
BAE300	DEFAULT	1	9	Penjanje	Maksimum za penjanje	ZERO	10000			
BAE300	DEFAULT	2	1	Uzlijetanje	Maksimum za uzlijetanje	18				
BAE300	DEFAULT	2	2	Penjanje	Maksimum za uzlijetanje	18	1000			
BAE300	DEFAULT	2	3	Ubrzanje	Maksimum za uzlijetanje	18		762	183	
BAE300	DEFAULT	2	4	Ubrzanje	Maksimum za penjanje	ZERO		750	213	
BAE300	DEFAULT	2	5	Penjanje	Maksimum za penjanje	ZERO	3000			
BAE300	DEFAULT	2	6	Ubrzanje	Maksimum za penjanje	ZERO		750	250	
BAE300	DEFAULT	2	7	Penjanje	Maksimum za penjanje	ZERO	5500			
BAE300	DEFAULT	2	8	Penjanje	Maksimum za penjanje	ZERO	7500			



ThoriumSoftware d.o.o.

Mobile: +385 (0) 95 8 70 50 70
 Kontakt: Dario Ilija Rendulić
 Email:
[info@thoriumsoftware.eu;](mailto:info@thoriumsoftware.eu)
direndulic@gmail.com

BAE300	DEFAULT	2	9	Penjanje	Maksimum za penjanje	ZERO	10000			
BAE300	DEFAULT	3	1	Uzlijetanje	Maksimum za uzlijetanje	18				
BAE300	DEFAULT	3	2	Penjanje	Maksimum za uzlijetanje	18	1000			
BAE300	DEFAULT	3	3	Ubrzanje	Maksimum za uzlijetanje	18		622	189	
BAE300	DEFAULT	3	4	Ubrzanje	Maksimum za penjanje	ZERO		500	219	
BAE300	DEFAULT	3	5	Penjanje	Maksimum za penjanje	ZERO	3000			
BAE300	DEFAULT	3	6	Ubrzanje	Maksimum za penjanje	ZERO		500	250	
BAE300	DEFAULT	3	7	Penjanje	Maksimum za penjanje	ZERO	5500			
BAE300	DEFAULT	3	8	Penjanje	Maksimum za penjanje	ZERO	7500			
BAE300	DEFAULT	3	9	Penjanje	Maksimum za penjanje	ZERO	10000			
BEC58P	DEFAULT	1	1	Uzlijetanje	Maksimum za uzlijetanje	TO				
BEC58P	DEFAULT	1	2	Ubrzanje	Maksimum za uzlijetanje	TO		1040	115	
BEC58P	DEFAULT	1	3	Penjanje	Maksimum za uzlijetanje	TO	1000			
BEC58P	DEFAULT	1	4	Ubrzanje	Maksimum za uzlijetanje	TO		1040	130	
BEC58P	DEFAULT	1	5	Penjanje	Maksimum za penjanje	ZERO	3000			
BEC58P	DEFAULT	1	6	Penjanje	Maksimum za penjanje	ZERO	5500			
BEC58P	DEFAULT	1	7	Penjanje	Maksimum za penjanje	ZERO	7500			
BEC58P	DEFAULT	1	8	Penjanje	Maksimum za penjanje	ZERO	10000			
CIT3	DEFAULT	1	1	Uzlijetanje	Maksimum za uzlijetanje	20				
CIT3	DEFAULT	1	2	Ubrzanje	Maksimum za uzlijetanje	20		1146	149	
CIT3	DEFAULT	1	3	Penjanje	Maksimum za uzlijetanje	20	1500			



ThoriumSoftware d.o.o.

Mobile: +385 (0) 95 8 70 50 70
 Kontakt: Dario Ilija Rendulić
 Email:
[info@thoriumsoftware.eu;](mailto:info@thoriumsoftware.eu)
direndulic@gmail.com

CIT3	DEFAULT	1	4	Ubrzanje	Maksimum za uzlijetanje	10		1146	174	
CIT3	DEFAULT	1	5	Penjanje	Maksimum za penjanje	ZERO	3000			
CIT3	DEFAULT	1	6	Ubrzanje	Maksimum za penjanje	ZERO		1503	250	
CIT3	DEFAULT	1	7	Penjanje	Maksimum za penjanje	ZERO	5500			
CIT3	DEFAULT	1	8	Penjanje	Maksimum za penjanje	ZERO	7500			
CIT3	DEFAULT	1	9	Penjanje	Maksimum za penjanje	ZERO	10000			
CL600	DEFAULT	1	1	Uzlijetanje	Maksimum za uzlijetanje	20				
CL600	DEFAULT	1	2	Ubrzanje	Maksimum za uzlijetanje	20		1554	163	
CL600	DEFAULT	1	3	Penjanje	Maksimum za uzlijetanje	20	1500			
CL600	DEFAULT	1	4	Ubrzanje	Maksimum za uzlijetanje	10		1554	200	
CL600	DEFAULT	1	5	Penjanje	Maksimum za penjanje	ZERO	3000			
CL600	DEFAULT	1	6	Ubrzanje	Maksimum za penjanje	ZERO		1771	250	
CL600	DEFAULT	1	7	Penjanje	Maksimum za penjanje	ZERO	5500			
CL600	DEFAULT	1	8	Penjanje	Maksimum za penjanje	ZERO	7500			
CL600	DEFAULT	1	9	Penjanje	Maksimum za penjanje	ZERO	10000			
CL601	DEFAULT	1	1	Uzlijetanje	Maksimum za uzlijetanje	20				
CL601	DEFAULT	1	2	Ubrzanje	Maksimum za uzlijetanje	20		1673	177	
CL601	DEFAULT	1	3	Penjanje	Maksimum za uzlijetanje	20	1500			
CL601	DEFAULT	1	4	Ubrzanje	Maksimum za uzlijetanje	10		1673	200	
CL601	DEFAULT	1	5	Penjanje	Maksimum za penjanje	ZERO	3000			
CL601	DEFAULT	1	6	Ubrzanje	Maksimum za penjanje	ZERO		1724	250	



ThoriumSoftware d.o.o.

Mobile: +385 (0) 95 8 70 50 70
 Kontakt: Dario Ilija Rendulić
 Email:
[info@thoriumsoftware.eu;](mailto:info@thoriumsoftware.eu)
direndulic@gmail.com

CL601	DEFAULT	1	7	Penjanje	Maksimum za penjanje	ZERO	5500			
CL601	DEFAULT	1	8	Penjanje	Maksimum za penjanje	ZERO	7500			
CL601	DEFAULT	1	9	Penjanje	Maksimum za penjanje	ZERO	10000			
CNA172	DEFAULT	1	1	Uzljetanje	Maksimum za uzljetanje	ZERO-C				
CNA172	DEFAULT	1	2	Ubrzanje	Maksimum za uzljetanje	ZERO-C		500	75	
CNA172	DEFAULT	1	3	Penjanje	Maksimum za uzljetanje	ZERO-C	1000			
CNA172	DEFAULT	1	4	Ubrzanje	Maksimum za uzljetanje	ZERO-C		500	80	
CNA172	DEFAULT	1	5	Penjanje	Maksimum za penjanje	ZERO-C	3000			
CNA172	DEFAULT	1	6	Penjanje	Maksimum za penjanje	ZERO-C	5000			
CNA172	DEFAULT	1	7	Penjanje	Maksimum za penjanje	ZERO-C	8000			
CNA182	DEFAULT	1	1	Uzljetanje	Maksimum za uzljetanje	F-20D				
CNA182	DEFAULT	1	2	Ubrzanje	Maksimum za uzljetanje	F-20D		500	80	
CNA182	DEFAULT	1	3	Penjanje	Maksimum za uzljetanje	ZERO	1000			
CNA182	DEFAULT	1	4	Ubrzanje	Maksimum za uzljetanje	ZERO		500	85	
CNA182	DEFAULT	1	5	Penjanje	Maksimum za penjanje	ZERO	3000			
CNA182	DEFAULT	1	6	Penjanje	Maksimum za penjanje	ZERO	5000			
CNA182	DEFAULT	1	7	Penjanje	Maksimum za penjanje	ZERO	8000			
CNA182	DEFAULT	1	8	Penjanje	Maksimum za penjanje	ZERO	10000			
CNA208	DEFAULT	1	1	Uzljetanje	Maksimum za uzljetanje	F-20D				
CNA208	DEFAULT	1	2	Ubrzanje	Maksimum za uzljetanje	F-20D		915	104	
CNA208	DEFAULT	1	3	Penjanje	Maksimum za uzljetanje	ZERO	1000			



ThoriumSoftware d.o.o.

Mobile: +385 (0) 95 8 70 50 70
 Kontakt: Dario Ilija Rendulić
 Email:
[info@thoriumsoftware.eu;](mailto:info@thoriumsoftware.eu)
direndulic@gmail.com

CNA208	DEFAULT	1	4	Ubrzanje	Maksimum za penjanje	ZERO		846	115	
CNA208	DEFAULT	1	5	Penjanje	Maksimum za penjanje	ZERO	2000			
CNA208	DEFAULT	1	6	Penjanje	Maksimum za penjanje	ZERO	4000			
CNA208	DEFAULT	1	7	Penjanje	Maksimum za penjanje	ZERO	6000			
CNA208	DEFAULT	1	8	Penjanje	Maksimum za penjanje	ZERO	8000			
CNA208	DEFAULT	1	9	Penjanje	Maksimum za penjanje	ZERO	10000			
CNA441	DEFAULT	1	1	Uzljetanje	Maksimum za uzljetanje	TO				
CNA441	DEFAULT	1	2	Ubrzanje	Maksimum za uzljetanje	TO		1216	120	
CNA441	DEFAULT	1	3	Ubrzanje	Maksimum za uzljetanje	ZERO		1216	140	
CNA441	DEFAULT	1	4	Penjanje	Maksimum za uzljetanje	ZERO	3000			
CNA441	DEFAULT	1	5	Penjanje	Maksimum za penjanje	ZERO	5500			
CNA441	DEFAULT	1	6	Penjanje	Maksimum za penjanje	ZERO	7500			
CNA441	DEFAULT	1	7	Penjanje	Maksimum za penjanje	ZERO	10000			
CNA500	DEFAULT	1	1	Uzljetanje	Maksimum za uzljetanje	12				
CNA500	DEFAULT	1	2	Ubrzanje	Maksimum za uzljetanje	12		997	131	
CNA500	DEFAULT	1	3	Penjanje	Maksimum za uzljetanje	12	1500			
CNA500	DEFAULT	1	4	Ubrzanje	Maksimum za uzljetanje	1		997	200	
CNA500	DEFAULT	1	5	Penjanje	Maksimum za penjanje	ZERO	3000			
CNA500	DEFAULT	1	6	Ubrzanje	Maksimum za penjanje	ZERO		1459	250	
CNA500	DEFAULT	1	7	Penjanje	Maksimum za penjanje	ZERO	5500			
CNA500	DEFAULT	1	8	Penjanje	Maksimum za penjanje	ZERO	7500			



ThoriumSoftware d.o.o.

Mobile: +385 (0) 95 8 70 50 70
 Kontakt: Dario Ilija Rendulić
 Email:
[info@thoriumsoftware.eu;](mailto:info@thoriumsoftware.eu)
direndulic@gmail.com

CNA500	DEFAULT	1	9	Penjanje	Maksimum za penjanje	ZERO	10000			
CNA510	DEFAULT	1	1	Uzljetanje	Maksimum za uzljetanje	D_15				
CNA510	DEFAULT	1	2	Penjanje	Maksimum za uzljetanje	D_15	535			
CNA510	DEFAULT	1	3	Ubrzanje	Maksimum za uzljetanje	D_15		1500	138,3	
CNA510	DEFAULT	1	4	Penjanje	Maksimum za uzljetanje	D_15	1500			
CNA510	DEFAULT	1	5	Ubrzanje	Maksimum za penjanje	ZERO_C		1500	171	
CNA510	DEFAULT	1	6	Penjanje	Maksimum za penjanje	ZERO_C	3000			
CNA510	DEFAULT	1	7	Ubrzanje	Maksimum za penjanje	ZERO_C		1000	250	
CNA510	DEFAULT	1	8	Penjanje	Maksimum za penjanje	ZERO_C	5500			
CNA510	DEFAULT	1	9	Penjanje	Maksimum za penjanje	ZERO_C	7500			
CNA510	DEFAULT	1	10	Penjanje	Maksimum za penjanje	ZERO_C	10000			
CNA510	FLAPS_0	1	1	Uzljetanje	Maksimum za uzljetanje	ZERO_D				
CNA510	FLAPS_0	1	2	Penjanje	Maksimum za uzljetanje	ZERO_D	601			
CNA510	FLAPS_0	1	3	Ubrzanje	Maksimum za uzljetanje	ZERO_D		1500	138,3	
CNA510	FLAPS_0	1	4	Penjanje	Maksimum za uzljetanje	ZERO_D	1500			
CNA510	FLAPS_0	1	5	Ubrzanje	Maksimum za penjanje	ZERO_C		1500	171	
CNA510	FLAPS_0	1	6	Penjanje	Maksimum za penjanje	ZERO_C	3000			
CNA510	FLAPS_0	1	7	Ubrzanje	Maksimum za penjanje	ZERO_C		1000	250	
CNA510	FLAPS_0	1	8	Penjanje	Maksimum za penjanje	ZERO_C	5500			
CNA510	FLAPS_0	1	9	Penjanje	Maksimum za penjanje	ZERO_C	7500			
CNA510	FLAPS_0	1	10	Penjanje	Maksimum za penjanje	ZERO_C	10000			



ThoriumSoftware d.o.o.

Mobile: +385 (0) 95 8 70 50 70
 Kontakt: Dario Ilija Rendulić
 Email:
[info@thoriumsoftware.eu;](mailto:info@thoriumsoftware.eu)
direndulic@gmail.com

CNA510	FLAPS_15	1	1	Uzlijetanje	Maksimum za uzlijetanje	D_15				
CNA510	FLAPS_15	1	2	Penjanje	Maksimum za uzlijetanje	D_15	535			
CNA510	FLAPS_15	1	3	Ubrzanje	Maksimum za uzlijetanje	D_15		1500	138,3	
CNA510	FLAPS_15	1	4	Penjanje	Maksimum za uzlijetanje	D_15	1500			
CNA510	FLAPS_15	1	5	Ubrzanje	Maksimum za penjanje	ZERO_C		1500	171	
CNA510	FLAPS_15	1	6	Penjanje	Maksimum za penjanje	ZERO_C	3000			
CNA510	FLAPS_15	1	7	Ubrzanje	Maksimum za penjanje	ZERO_C		1000	250	
CNA510	FLAPS_15	1	8	Penjanje	Maksimum za penjanje	ZERO_C	5500			
CNA510	FLAPS_15	1	9	Penjanje	Maksimum za penjanje	ZERO_C	7500			
CNA510	FLAPS_15	1	10	Penjanje	Maksimum za penjanje	ZERO_C	10000			
CNA525C	DEFAULT	1	1	Uzlijetanje	Maksimum za uzlijetanje	D-15				
CNA525C	DEFAULT	1	2	Penjanje	Maksimum za uzlijetanje	D-15	482,5			
CNA525C	DEFAULT	1	3	Ubrzanje	Maksimum za uzlijetanje	D-15		1500	140,3	
CNA525C	DEFAULT	1	4	Penjanje	Maksimum za uzlijetanje	D-15	1500			
CNA525C	DEFAULT	1	5	Ubrzanje	Maksimum za penjanje	ZERO_C		1500	171	
CNA525C	DEFAULT	1	6	Penjanje	Maksimum za penjanje	ZERO_C	3000			
CNA525C	DEFAULT	1	7	Ubrzanje	Maksimum za penjanje	ZERO_C		1000	250	
CNA525C	DEFAULT	1	8	Penjanje	Maksimum za penjanje	ZERO_C	5500			
CNA525C	DEFAULT	1	9	Penjanje	Maksimum za penjanje	ZERO_C	7500			
CNA525C	DEFAULT	1	10	Penjanje	Maksimum za penjanje	ZERO_C	10000			
CNA55B	DEFAULT	1	1	Uzlijetanje	Maksimum za uzlijetanje	D_15				



ThoriumSoftware d.o.o.

Mobile: +385 (0) 95 8 70 50 70
 Kontakt: Dario Ilija Rendulić
 Email:
[info@thoriumsoftware.eu;](mailto:info@thoriumsoftware.eu)
direndulic@gmail.com

CNA55B	DEFAULT	1	2	Penjanje	Maksimum za uzlijetanje	D_15	379			
CNA55B	DEFAULT	1	3	Ubrzanje	Maksimum za uzlijetanje	D_15		1500	146,5	
CNA55B	DEFAULT	1	4	Penjanje	Maksimum za uzlijetanje	D_15	1500			
CNA55B	DEFAULT	1	5	Ubrzanje	Maksimum za penjanje	ZERO_C		1500	171,5	
CNA55B	DEFAULT	1	6	Penjanje	Maksimum za penjanje	ZERO_C	3000			
CNA55B	DEFAULT	1	7	Ubrzanje	Maksimum za penjanje	ZERO_C		1000	250	
CNA55B	DEFAULT	1	8	Penjanje	Maksimum za penjanje	ZERO_C	5500			
CNA55B	DEFAULT	1	9	Penjanje	Maksimum za penjanje	ZERO_C	7500			
CNA55B	DEFAULT	1	10	Penjanje	Maksimum za penjanje	ZERO_C	10000			
CNA55B	FLAPS_0	1	1	Uzlijetanje	Maksimum za uzlijetanje	ZERO_D				
CNA55B	FLAPS_0	1	2	Penjanje	Maksimum za uzlijetanje	ZERO_D	420			
CNA55B	FLAPS_0	1	3	Ubrzanje	Maksimum za uzlijetanje	ZERO_D		1500	156	
CNA55B	FLAPS_0	1	4	Penjanje	Maksimum za uzlijetanje	ZERO_D	1500			
CNA55B	FLAPS_0	1	5	Ubrzanje	Maksimum za penjanje	ZERO_C		1500	181,1	
CNA55B	FLAPS_0	1	6	Penjanje	Maksimum za penjanje	ZERO_C	3000			
CNA55B	FLAPS_0	1	7	Ubrzanje	Maksimum za penjanje	ZERO_C		1000	250	
CNA55B	FLAPS_0	1	8	Penjanje	Maksimum za penjanje	ZERO_C	5500			
CNA55B	FLAPS_0	1	9	Penjanje	Maksimum za penjanje	ZERO_C	7500			
CNA55B	FLAPS_0	1	10	Penjanje	Maksimum za penjanje	ZERO_C	10000			
CNA55B	FLAPS_15	1	1	Uzlijetanje	Maksimum za uzlijetanje	D_15				
CNA55B	FLAPS_15	1	2	Penjanje	Maksimum za uzlijetanje	D_15	379			



ThoriumSoftware d.o.o.

Mobile: +385 (0) 95 8 70 50 70
 Kontakt: Dario Ilija Rendulić
 Email:
[info@thoriumsoftware.eu;](mailto:info@thoriumsoftware.eu)
direndulic@gmail.com

CNA55B	FLAPS_15	1	3	Ubrzanje	Maksimum za uzlijetanje	D_15		1500	146,5	
CNA55B	FLAPS_15	1	4	Penjanje	Maksimum za uzlijetanje	D_15	1500			
CNA55B	FLAPS_15	1	5	Ubrzanje	Maksimum za penjanje	ZERO_C		1500	171,5	
CNA55B	FLAPS_15	1	6	Penjanje	Maksimum za penjanje	ZERO_C	3000			
CNA55B	FLAPS_15	1	7	Ubrzanje	Maksimum za penjanje	ZERO_C		1000	250	
CNA55B	FLAPS_15	1	8	Penjanje	Maksimum za penjanje	ZERO_C	5500			
CNA55B	FLAPS_15	1	9	Penjanje	Maksimum za penjanje	ZERO_C	7500			
CNA55B	FLAPS_15	1	10	Penjanje	Maksimum za penjanje	ZERO_C	10000			
CNA560E	DEFAULT	1	1	Uzlijetanje	Maksimum za uzlijetanje	15				
CNA560E	DEFAULT	1	2	Penjanje	Maksimum za uzlijetanje	15	277			
CNA560E	DEFAULT	1	3	Ubrzanje	Maksimum za uzlijetanje	15		1500	161,7	
CNA560E	DEFAULT	1	4	Penjanje	Maksimum za uzlijetanje	15	1500			
CNA560E	DEFAULT	1	5	Ubrzanje	Maksimum za penjanje	15		1500	186,7	
CNA560E	DEFAULT	1	6	Penjanje	Maksimum za penjanje	ZERO	3000			
CNA560E	DEFAULT	1	7	Ubrzanje	Maksimum za penjanje	ZERO		1000	250	
CNA560E	DEFAULT	1	8	Penjanje	Maksimum za penjanje	ZERO	5500			
CNA560E	DEFAULT	1	9	Penjanje	Maksimum za penjanje	ZERO	7500			
CNA560E	DEFAULT	1	10	Penjanje	Maksimum za penjanje	ZERO	10000			
CNA560U	DEFAULT	1	1	Uzlijetanje	Maksimum za uzlijetanje	15				
CNA560U	DEFAULT	1	2	Ubrzanje	Maksimum za uzlijetanje	15		1200	148	
CNA560U	DEFAULT	1	3	Penjanje	Maksimum za uzlijetanje	15	1500			



ThoriumSoftware d.o.o.

Mobile: +385 (0) 95 8 70 50 70
 Kontakt: Dario Ilija Rendulić
 Email:
[info@thoriumsoftware.eu;](mailto:info@thoriumsoftware.eu)
direndulic@gmail.com

CNA560U	DEFAULT	1	4	Ubrzanje	Maksimum za uzlijetanje	ZERO		1500	175	
CNA560U	DEFAULT	1	5	Penjanje	Maksimum za penjanje	ZERO	3000			
CNA560U	DEFAULT	1	6	Ubrzanje	Maksimum za penjanje	ZERO		1500	250	
CNA560U	DEFAULT	1	7	Penjanje	Maksimum za penjanje	ZERO	5500			
CNA560U	DEFAULT	1	8	Penjanje	Maksimum za penjanje	ZERO	7500			
CNA560U	DEFAULT	1	9	Penjanje	Maksimum za penjanje	ZERO	10000			
CNA560XL	DEFAULT	1	1	Uzlijetanje	Maksimum za uzlijetanje	15				
CNA560XL	DEFAULT	1	2	Ubrzanje	Maksimum za uzlijetanje	15		1500	158	
CNA560XL	DEFAULT	1	3	Penjanje	Maksimum za uzlijetanje	15	1500			
CNA560XL	DEFAULT	1	4	Ubrzanje	Maksimum za penjanje	ZERO		1500	185	
CNA560XL	DEFAULT	1	5	Penjanje	Maksimum za penjanje	ZERO	3000			
CNA560XL	DEFAULT	1	6	Ubrzanje	Maksimum za penjanje	ZERO		1500	250	
CNA560XL	DEFAULT	1	7	Penjanje	Maksimum za penjanje	ZERO	10000			
CNA680	DEFAULT	1	1	Uzlijetanje	Maksimum za uzlijetanje	15				
CNA680	DEFAULT	1	2	Penjanje	Maksimum za uzlijetanje	15	386			
CNA680	DEFAULT	1	3	Ubrzanje	Maksimum za uzlijetanje	15		1000	140,6	
CNA680	DEFAULT	1	4	Penjanje	Maksimum za uzlijetanje	15	1500			
CNA680	DEFAULT	1	5	Ubrzanje	Maksimum za penjanje	15		1500	175	
CNA680	DEFAULT	1	6	Penjanje	Maksimum za penjanje	ZERO	3000			
CNA680	DEFAULT	1	7	Ubrzanje	Maksimum za penjanje	ZERO		1500	250	
CNA680	DEFAULT	1	8	Penjanje	Maksimum za penjanje	ZERO	5500			



ThoriumSoftware d.o.o.

Mobile: +385 (0) 95 8 70 50 70
 Kontakt: Dario Ilija Rendulić
 Email:
[info@thoriumsoftware.eu;](mailto:info@thoriumsoftware.eu)
direndulic@gmail.com

CNA680	DEFAULT	1	9	Penjanje	Maksimum za penjanje	ZERO	7500			
CNA680	DEFAULT	1	10	Penjanje	Maksimum za penjanje	ZERO	10000			
CNA750	DEFAULT	1	1	Uzljetanje	Maksimum za uzljetanje	15				
CNA750	DEFAULT	1	2	Penjanje	Maksimum za uzljetanje	15	277			
CNA750	DEFAULT	1	3	Ubrzanje	Maksimum za uzljetanje	15		1500	161,7	
CNA750	DEFAULT	1	4	Penjanje	Maksimum za uzljetanje	15	1500			
CNA750	DEFAULT	1	5	Ubrzanje	Maksimum za penjanje	15		1500	186,7	
CNA750	DEFAULT	1	6	Penjanje	Maksimum za penjanje	ZERO	3000			
CNA750	DEFAULT	1	7	Ubrzanje	Maksimum za penjanje	ZERO		1000	250	
CNA750	DEFAULT	1	8	Penjanje	Maksimum za penjanje	ZERO	5500			
CNA750	DEFAULT	1	9	Penjanje	Maksimum za penjanje	ZERO	7500			
CNA750	DEFAULT	1	10	Penjanje	Maksimum za penjanje	ZERO	10000			
CNA750	FLAP_15	1	1	Uzljetanje	Maksimum za uzljetanje	15				
CNA750	FLAP_15	1	2	Penjanje	Maksimum za uzljetanje	15	277			
CNA750	FLAP_15	1	3	Ubrzanje	Maksimum za uzljetanje	15		1500	161,7	
CNA750	FLAP_15	1	4	Penjanje	Maksimum za uzljetanje	15	1500			
CNA750	FLAP_15	1	5	Ubrzanje	Maksimum za penjanje	15		1500	186,7	
CNA750	FLAP_15	1	6	Penjanje	Maksimum za penjanje	ZERO	3000			
CNA750	FLAP_15	1	7	Ubrzanje	Maksimum za penjanje	ZERO		1000	250	
CNA750	FLAP_15	1	8	Penjanje	Maksimum za penjanje	ZERO	5500			
CNA750	FLAP_15	1	9	Penjanje	Maksimum za penjanje	ZERO	7500			



ThoriumSoftware d.o.o.

Mobile: +385 (0) 95 8 70 50 70
 Kontakt: Dario Ilija Rendulić
 Email:
[info@thoriumsoftware.eu;](mailto:info@thoriumsoftware.eu)
direndulic@gmail.com

CNA750	FLAP_15	1	10	Penjanje	Maksimum za penjanje	ZERO	10000			
CNA750	FLAP_5	1	1	Uzljetanje	Maksimum za uzljetanje	5				
CNA750	FLAP_5	1	2	Penjanje	Maksimum za uzljetanje	5	285			
CNA750	FLAP_5	1	3	Ubrzanje	Maksimum za uzljetanje	5		1500	168,9	
CNA750	FLAP_5	1	4	Penjanje	Maksimum za uzljetanje	5	1500			
CNA750	FLAP_5	1	5	Ubrzanje	Maksimum za penjanje	5		1500	193,9	
CNA750	FLAP_5	1	6	Penjanje	Maksimum za penjanje	ZERO	3000			
CNA750	FLAP_5	1	7	Ubrzanje	Maksimum za penjanje	ZERO		1000	250	
CNA750	FLAP_5	1	8	Penjanje	Maksimum za penjanje	ZERO	5500			
CNA750	FLAP_5	1	9	Penjanje	Maksimum za penjanje	ZERO	7500			
CNA750	FLAP_5	1	10	Penjanje	Maksimum za penjanje	ZERO	10000			
CRJ9-ER	DEFAULT	1	1	Uzljetanje	Maksimum za uzljetanje	D-8				
CRJ9-ER	DEFAULT	1	2	Penjanje	Maksimum za uzljetanje	D-8	595			
CRJ9-ER	DEFAULT	1	3	Penjanje	Maksimum za uzljetanje	U-8	1000			
CRJ9-ER	DEFAULT	1	4	Ubrzanje	Maksimum za penjanje	0-204		500	204	
CRJ9-ER	DEFAULT	1	5	Penjanje	Maksimum za penjanje	ZERO	3000			
CRJ9-ER	DEFAULT	1	6	Ubrzanje	Maksimum za penjanje	0-250		500	250	
CRJ9-ER	DEFAULT	1	7	Penjanje	Maksimum za penjanje	ZERO	10000			
CRJ9-ER	DEFAULT	2	1	Uzljetanje	Maksimum za uzljetanje	D-8				
CRJ9-ER	DEFAULT	2	2	Penjanje	Maksimum za uzljetanje	D-8	555			
CRJ9-ER	DEFAULT	2	3	Penjanje	Maksimum za uzljetanje	U-8	1000			



ThoriumSoftware d.o.o.

Mobile: +385 (0) 95 8 70 50 70
 Kontakt: Dario Ilija Rendulić
 Email:
[info@thoriumsoftware.eu;](mailto:info@thoriumsoftware.eu)
direndulic@gmail.com

CRJ9-ER	DEFAULT	2	4	Ubrzanje	Maksimum za penjanje	0-204		500	204	
CRJ9-ER	DEFAULT	2	5	Penjanje	Maksimum za penjanje	ZERO	3000			
CRJ9-ER	DEFAULT	2	6	Ubrzanje	Maksimum za penjanje	0-250		500	250	
CRJ9-ER	DEFAULT	2	7	Penjanje	Maksimum za penjanje	ZERO	10000			
CRJ9-ER	DEFAULT	3	1	Uzlijetanje	Maksimum za uzlijetanje	D-8				
CRJ9-ER	DEFAULT	3	2	Penjanje	Maksimum za uzlijetanje	D-8	525			
CRJ9-ER	DEFAULT	3	3	Penjanje	Maksimum za uzlijetanje	U-8	1000			
CRJ9-ER	DEFAULT	3	4	Ubrzanje	Maksimum za penjanje	0-204		500	204	
CRJ9-ER	DEFAULT	3	5	Penjanje	Maksimum za penjanje	ZERO	3000			
CRJ9-ER	DEFAULT	3	6	Ubrzanje	Maksimum za penjanje	0-250		500	250	
CRJ9-ER	DEFAULT	3	7	Penjanje	Maksimum za penjanje	ZERO	10000			
CRJ9-ER	DEFAULT	4	1	Uzlijetanje	Maksimum za uzlijetanje	D-8				
CRJ9-ER	DEFAULT	4	2	Penjanje	Maksimum za uzlijetanje	D-8	485			
CRJ9-ER	DEFAULT	4	3	Penjanje	Maksimum za uzlijetanje	U-8	1000			
CRJ9-ER	DEFAULT	4	4	Ubrzanje	Maksimum za penjanje	0-204		500	204	
CRJ9-ER	DEFAULT	4	5	Penjanje	Maksimum za penjanje	ZERO	3000			
CRJ9-ER	DEFAULT	4	6	Ubrzanje	Maksimum za penjanje	0-250		500	250	
CRJ9-ER	DEFAULT	4	7	Penjanje	Maksimum za penjanje	ZERO	10000			
CRJ9-ER	DEFAULT	5	1	Uzlijetanje	Maksimum za uzlijetanje	D-8				
CRJ9-ER	DEFAULT	5	2	Penjanje	Maksimum za uzlijetanje	D-8	465			
CRJ9-ER	DEFAULT	5	3	Penjanje	Maksimum za uzlijetanje	U-8	1000			



ThoriumSoftware d.o.o.

Mobile: +385 (0) 95 8 70 50 70
 Kontakt: Dario Ilija Rendulić
 Email:
[info@thoriumsoftware.eu;](mailto:info@thoriumsoftware.eu)
direndulic@gmail.com

CRJ9-ER	DEFAULT	5	4	Ubrzanje	Maksimum za penjanje	0-204		500	204	
CRJ9-ER	DEFAULT	5	5	Penjanje	Maksimum za penjanje	0-204	3000			
CRJ9-ER	DEFAULT	5	6	Ubrzanje	Maksimum za penjanje	0-250		500	250	
CRJ9-ER	DEFAULT	5	7	Penjanje	Maksimum za penjanje	ZERO	10000			
CRJ9-ER	ICAO_A	1	1	Uzljetanje	Maksimum za uzljetanje	D-8				
CRJ9-ER	ICAO_A	1	2	Penjanje	Maksimum za uzljetanje	D-8	595			
CRJ9-ER	ICAO_A	1	3	Penjanje	Maksimum za uzljetanje	U-8	1500			
CRJ9-ER	ICAO_A	1	4	Penjanje	Maksimum za penjanje	U-8	3000			
CRJ9-ER	ICAO_A	1	5	Ubrzanje	Maksimum za penjanje	0-250		500	250	
CRJ9-ER	ICAO_A	1	6	Penjanje	Maksimum za penjanje	ZERO	10000			
CRJ9-ER	ICAO_A	2	1	Uzljetanje	Maksimum za uzljetanje	D-8				
CRJ9-ER	ICAO_A	2	2	Penjanje	Maksimum za uzljetanje	D-8	555			
CRJ9-ER	ICAO_A	2	3	Penjanje	Maksimum za uzljetanje	U-8	1500			
CRJ9-ER	ICAO_A	2	4	Penjanje	Maksimum za penjanje	U-8	3000			
CRJ9-ER	ICAO_A	2	5	Ubrzanje	Maksimum za penjanje	0-250		500	250	
CRJ9-ER	ICAO_A	2	6	Penjanje	Maksimum za penjanje	ZERO	10000			
CRJ9-ER	ICAO_A	3	1	Uzljetanje	Maksimum za uzljetanje	D-8				
CRJ9-ER	ICAO_A	3	2	Penjanje	Maksimum za uzljetanje	D-8	525			
CRJ9-ER	ICAO_A	3	3	Penjanje	Maksimum za uzljetanje	U-8	1500			
CRJ9-ER	ICAO_A	3	4	Penjanje	Maksimum za penjanje	U-8	3000			
CRJ9-ER	ICAO_A	3	5	Ubrzanje	Maksimum za penjanje	0-250		500	250	



ThoriumSoftware d.o.o.

Mobile: +385 (0) 95 8 70 50 70
 Kontakt: Dario Ilija Rendulić
 Email:
[info@thoriumsoftware.eu;](mailto:info@thoriumsoftware.eu)
direndulic@gmail.com

CRJ9-ER	ICAO_A	3	6	Penjanje	Maksimum za penjanje	ZERO	10000			
CRJ9-ER	ICAO_A	4	1	Uzlijetanje	Maksimum za uzlijetanje	D-8				
CRJ9-ER	ICAO_A	4	2	Penjanje	Maksimum za uzlijetanje	D-8	485			
CRJ9-ER	ICAO_A	4	3	Penjanje	Maksimum za uzlijetanje	U-8	1500			
CRJ9-ER	ICAO_A	4	4	Penjanje	Maksimum za penjanje	U-8	3000			
CRJ9-ER	ICAO_A	4	5	Ubrzanje	Maksimum za penjanje	0-250		500	250	
CRJ9-ER	ICAO_A	4	6	Penjanje	Maksimum za penjanje	ZERO	10000			
CRJ9-ER	ICAO_A	5	1	Uzlijetanje	Maksimum za uzlijetanje	D-8				
CRJ9-ER	ICAO_A	5	2	Penjanje	Maksimum za uzlijetanje	D-8	465			
CRJ9-ER	ICAO_A	5	3	Penjanje	Maksimum za uzlijetanje	U-8	1500			
CRJ9-ER	ICAO_A	5	4	Penjanje	Maksimum za penjanje	U-8	3000			
CRJ9-ER	ICAO_A	5	5	Ubrzanje	Maksimum za penjanje	0-250		500	250	
CRJ9-ER	ICAO_A	5	6	Penjanje	Maksimum za penjanje	ZERO	10000			
CRJ9-ER	ICAO_B	1	1	Uzlijetanje	Maksimum za uzlijetanje	D-8				
CRJ9-ER	ICAO_B	1	2	Penjanje	Maksimum za uzlijetanje	D-8	595			
CRJ9-ER	ICAO_B	1	3	Penjanje	Maksimum za uzlijetanje	U-8	1000			
CRJ9-ER	ICAO_B	1	4	Ubrzanje	Maksimum za uzlijetanje	0-204		500	204	
CRJ9-ER	ICAO_B	1	5	Penjanje	Maksimum za penjanje	ZERO	3000			
CRJ9-ER	ICAO_B	1	6	Ubrzanje	Maksimum za penjanje	0-250		500	250	
CRJ9-ER	ICAO_B	1	7	Penjanje	Maksimum za penjanje	ZERO	10000			
CRJ9-ER	ICAO_B	2	1	Uzlijetanje	Maksimum za uzlijetanje	D-8				



ThoriumSoftware d.o.o.

Mobile: +385 (0) 95 8 70 50 70
 Kontakt: Dario Ilija Rendulić
 Email:
[info@thoriumsoftware.eu;](mailto:info@thoriumsoftware.eu)
direndulic@gmail.com

CRJ9-ER	ICAO_B	2	2	Penjanje	Maksimum za uzlijetanje	D-8	555			
CRJ9-ER	ICAO_B	2	3	Penjanje	Maksimum za uzlijetanje	U-8	1000			
CRJ9-ER	ICAO_B	2	4	Ubrzanje	Maksimum za uzlijetanje	0-204		500	204	
CRJ9-ER	ICAO_B	2	5	Penjanje	Maksimum za penjanje	ZERO	3000			
CRJ9-ER	ICAO_B	2	6	Ubrzanje	Maksimum za penjanje	0-250		500	250	
CRJ9-ER	ICAO_B	2	7	Penjanje	Maksimum za penjanje	ZERO	10000			
CRJ9-ER	ICAO_B	3	1	Uzlijetanje	Maksimum za uzlijetanje	D-8				
CRJ9-ER	ICAO_B	3	2	Penjanje	Maksimum za uzlijetanje	D-8	525			
CRJ9-ER	ICAO_B	3	3	Penjanje	Maksimum za uzlijetanje	U-8	1000			
CRJ9-ER	ICAO_B	3	4	Ubrzanje	Maksimum za uzlijetanje	0-204		500	204	
CRJ9-ER	ICAO_B	3	5	Penjanje	Maksimum za penjanje	ZERO	3000			
CRJ9-ER	ICAO_B	3	6	Ubrzanje	Maksimum za penjanje	0-250		500	250	
CRJ9-ER	ICAO_B	3	7	Penjanje	Maksimum za penjanje	ZERO	10000			
CRJ9-ER	ICAO_B	4	1	Uzlijetanje	Maksimum za uzlijetanje	D-8				
CRJ9-ER	ICAO_B	4	2	Penjanje	Maksimum za uzlijetanje	D-8	485			
CRJ9-ER	ICAO_B	4	3	Penjanje	Maksimum za uzlijetanje	U-8	1000			
CRJ9-ER	ICAO_B	4	4	Ubrzanje	Maksimum za uzlijetanje	0-204		500	204	
CRJ9-ER	ICAO_B	4	5	Penjanje	Maksimum za penjanje	ZERO	3000			
CRJ9-ER	ICAO_B	4	6	Ubrzanje	Maksimum za penjanje	0-250		500	250	
CRJ9-ER	ICAO_B	4	7	Penjanje	Maksimum za penjanje	ZERO	10000			
CRJ9-ER	ICAO_B	5	1	Uzlijetanje	Maksimum za uzlijetanje	D-8				



ThoriumSoftware d.o.o.

Mobile: +385 (0) 95 8 70 50 70
 Kontakt: Dario Ilija Rendulić
 Email:
[info@thoriumsoftware.eu;](mailto:info@thoriumsoftware.eu)
direndulic@gmail.com

CRJ9-ER	ICAO_B	5	2	Penjanje	Maksimum za uzlijetanje	D-8	465			
CRJ9-ER	ICAO_B	5	3	Penjanje	Maksimum za uzlijetanje	U-8	1000			
CRJ9-ER	ICAO_B	5	4	Ubrzanje	Maksimum za uzlijetanje	0-204		500	204	
CRJ9-ER	ICAO_B	5	5	Penjanje	Maksimum za penjanje	ZERO	3000			
CRJ9-ER	ICAO_B	5	6	Ubrzanje	Maksimum za penjanje	0-250		500	250	
CRJ9-ER	ICAO_B	5	7	Penjanje	Maksimum za penjanje	ZERO	10000			
CRJ9-LR	DEFAULT	1	1	Uzlijetanje	Maksimum za uzlijetanje	D-8				
CRJ9-LR	DEFAULT	1	2	Penjanje	Maksimum za uzlijetanje	D-8	615			
CRJ9-LR	DEFAULT	1	3	Penjanje	Maksimum za uzlijetanje	U-8	1000			
CRJ9-LR	DEFAULT	1	4	Ubrzanje	Maksimum za penjanje	0-204		500	204	
CRJ9-LR	DEFAULT	1	5	Penjanje	Maksimum za penjanje	ZERO	3000			
CRJ9-LR	DEFAULT	1	6	Ubrzanje	Maksimum za penjanje	0-250		500	250	
CRJ9-LR	DEFAULT	1	7	Penjanje	Maksimum za penjanje	ZERO	10000			
CRJ9-LR	DEFAULT	2	1	Uzlijetanje	Maksimum za uzlijetanje	D-8				
CRJ9-LR	DEFAULT	2	2	Penjanje	Maksimum za uzlijetanje	D-8	575			
CRJ9-LR	DEFAULT	2	3	Penjanje	Maksimum za uzlijetanje	U-8	1000			
CRJ9-LR	DEFAULT	2	4	Ubrzanje	Maksimum za penjanje	0-204		500	204	
CRJ9-LR	DEFAULT	2	5	Penjanje	Maksimum za penjanje	ZERO	3000			
CRJ9-LR	DEFAULT	2	6	Ubrzanje	Maksimum za penjanje	0-250		500	250	
CRJ9-LR	DEFAULT	2	7	Penjanje	Maksimum za penjanje	ZERO	10000			
CRJ9-LR	DEFAULT	3	1	Uzlijetanje	Maksimum za uzlijetanje	D-8				



ThoriumSoftware d.o.o.

Mobile: +385 (0) 95 8 70 50 70
 Kontakt: Dario Ilija Rendulić
 Email:
[info@thoriumsoftware.eu;](mailto:info@thoriumsoftware.eu)
direndulic@gmail.com

CRJ9-LR	DEFAULT	3	2	Penjanje	Maksimum za uzlijetanje	D-8	545			
CRJ9-LR	DEFAULT	3	3	Penjanje	Maksimum za uzlijetanje	U-8	1000			
CRJ9-LR	DEFAULT	3	4	Ubrzanje	Maksimum za penjanje	0-204		500	204	
CRJ9-LR	DEFAULT	3	5	Penjanje	Maksimum za penjanje	0-204	3000			
CRJ9-LR	DEFAULT	3	6	Ubrzanje	Maksimum za penjanje	0-250		500	250	
CRJ9-LR	DEFAULT	3	7	Penjanje	Maksimum za penjanje	ZERO	10000			
CRJ9-LR	DEFAULT	4	1	Uzlijetanje	Maksimum za uzlijetanje	D-8				
CRJ9-LR	DEFAULT	4	2	Penjanje	Maksimum za uzlijetanje	D-8	505			
CRJ9-LR	DEFAULT	4	3	Penjanje	Maksimum za uzlijetanje	U-8	1000			
CRJ9-LR	DEFAULT	4	4	Ubrzanje	Maksimum za penjanje	0-204		500	204	
CRJ9-LR	DEFAULT	4	5	Penjanje	Maksimum za penjanje	ZERO	3000			
CRJ9-LR	DEFAULT	4	6	Ubrzanje	Maksimum za penjanje	0-250		500	250	
CRJ9-LR	DEFAULT	4	7	Penjanje	Maksimum za penjanje	0-250	10000			
CRJ9-LR	DEFAULT	5	1	Uzlijetanje	Maksimum za uzlijetanje	D-8				
CRJ9-LR	DEFAULT	5	2	Penjanje	Maksimum za uzlijetanje	D-8	455			
CRJ9-LR	DEFAULT	5	3	Penjanje	Maksimum za uzlijetanje	U-8	1000			
CRJ9-LR	DEFAULT	5	4	Ubrzanje	Maksimum za penjanje	0-204		500	204	
CRJ9-LR	DEFAULT	5	5	Penjanje	Maksimum za penjanje	ZERO	3000			
CRJ9-LR	DEFAULT	5	6	Ubrzanje	Maksimum za penjanje	0-250		500	250	
CRJ9-LR	DEFAULT	5	7	Penjanje	Maksimum za penjanje	ZERO	10000			
CRJ9-LR	ICAO_A	1	1	Uzlijetanje	Maksimum za uzlijetanje	D-8				



ThoriumSoftware d.o.o.

Mobile: +385 (0) 95 8 70 50 70
 Kontakt: Dario Ilija Rendulić
 Email:
[info@thoriumsoftware.eu;](mailto:info@thoriumsoftware.eu)
direndulic@gmail.com

CRJ9-LR	ICAO_A	1	2	Penjanje	Maksimum za uzljetanje	D-8	615			
CRJ9-LR	ICAO_A	1	3	Penjanje	Maksimum za uzljetanje	U-8	1500			
CRJ9-LR	ICAO_A	1	4	Penjanje	Maksimum za penjanje	U-8	3000			
CRJ9-LR	ICAO_A	1	5	Ubrzanje	Maksimum za penjanje	0-250		500	250	
CRJ9-LR	ICAO_A	1	6	Penjanje	Maksimum za penjanje	ZERO	10000			
CRJ9-LR	ICAO_A	2	1	Uzljetanje	Maksimum za uzljetanje	D-8				
CRJ9-LR	ICAO_A	2	2	Penjanje	Maksimum za uzljetanje	D-8	575			
CRJ9-LR	ICAO_A	2	3	Penjanje	Maksimum za uzljetanje	U-8	1500			
CRJ9-LR	ICAO_A	2	4	Penjanje	Maksimum za penjanje	U-8	3000			
CRJ9-LR	ICAO_A	2	5	Ubrzanje	Maksimum za penjanje	U-8		500	250	
CRJ9-LR	ICAO_A	2	6	Penjanje	Maksimum za penjanje	ZERO	10000			
CRJ9-LR	ICAO_A	3	1	Uzljetanje	Maksimum za uzljetanje	D-8				
CRJ9-LR	ICAO_A	3	2	Penjanje	Maksimum za uzljetanje	D-8	545			
CRJ9-LR	ICAO_A	3	3	Penjanje	Maksimum za uzljetanje	U-8	1500			
CRJ9-LR	ICAO_A	3	4	Penjanje	Maksimum za penjanje	U-8	3000			
CRJ9-LR	ICAO_A	3	5	Ubrzanje	Maksimum za penjanje	U-8		500	250	
CRJ9-LR	ICAO_A	3	6	Penjanje	Maksimum za penjanje	ZERO	10000			
CRJ9-LR	ICAO_A	4	1	Uzljetanje	Maksimum za uzljetanje	D-8				
CRJ9-LR	ICAO_A	4	2	Penjanje	Maksimum za uzljetanje	D-8	505			
CRJ9-LR	ICAO_A	4	3	Penjanje	Maksimum za uzljetanje	U-8	1500			
CRJ9-LR	ICAO_A	4	4	Penjanje	Maksimum za penjanje	U-8	3000			



ThoriumSoftware d.o.o.

Mobile: +385 (0) 95 8 70 50 70
 Kontakt: Dario Ilija Rendulić
 Email:
[info@thoriumsoftware.eu;](mailto:info@thoriumsoftware.eu)
direndulic@gmail.com

CRJ9-LR	ICAO_A	4	5	Ubrzanje	Maksimum za penjanje	U-8		500	250	
CRJ9-LR	ICAO_A	4	6	Penjanje	Maksimum za penjanje	ZERO	10000			
CRJ9-LR	ICAO_A	5	1	Uzljetanje	Maksimum za uzljetanje	D-8				
CRJ9-LR	ICAO_A	5	2	Penjanje	Maksimum za uzljetanje	D-8	455			
CRJ9-LR	ICAO_A	5	3	Penjanje	Maksimum za uzljetanje	U-8	1500			
CRJ9-LR	ICAO_A	5	4	Penjanje	Maksimum za penjanje	U-8	3000			
CRJ9-LR	ICAO_A	5	5	Ubrzanje	Maksimum za penjanje	0-250		500	250	
CRJ9-LR	ICAO_A	5	6	Penjanje	Maksimum za penjanje	ZERO	10000			
CRJ9-LR	ICAO_B	1	1	Uzljetanje	Maksimum za uzljetanje	D-8				
CRJ9-LR	ICAO_B	1	2	Penjanje	Maksimum za uzljetanje	D-8	615			
CRJ9-LR	ICAO_B	1	3	Penjanje	Maksimum za uzljetanje	U-8	1000			
CRJ9-LR	ICAO_B	1	4	Ubrzanje	Maksimum za uzljetanje	0-204		500	204	
CRJ9-LR	ICAO_B	1	5	Penjanje	Maksimum za penjanje	ZERO	3000			
CRJ9-LR	ICAO_B	1	6	Ubrzanje	Maksimum za penjanje	0-250		500	250	
CRJ9-LR	ICAO_B	1	7	Penjanje	Maksimum za penjanje	ZERO	10000			
CRJ9-LR	ICAO_B	2	1	Uzljetanje	Maksimum za uzljetanje	D-8				
CRJ9-LR	ICAO_B	2	2	Penjanje	Maksimum za uzljetanje	D-8	575			
CRJ9-LR	ICAO_B	2	3	Penjanje	Maksimum za uzljetanje	U-8	1000			
CRJ9-LR	ICAO_B	2	4	Ubrzanje	Maksimum za uzljetanje	0-204		500	204	
CRJ9-LR	ICAO_B	2	5	Penjanje	Maksimum za penjanje	ZERO	3000			
CRJ9-LR	ICAO_B	2	6	Ubrzanje	Maksimum za penjanje	0-250		500	250	

CRJ9-LR	ICAO_B	2	7	Penjanje	Maksimum za penjanje	ZERO	10000			
CRJ9-LR	ICAO_B	3	1	Uzljetanje	Maksimum za uzljetanje	D-8				
CRJ9-LR	ICAO_B	3	2	Penjanje	Maksimum za uzljetanje	D-8	545			
CRJ9-LR	ICAO_B	3	3	Penjanje	Maksimum za uzljetanje	U-8	1000			
CRJ9-LR	ICAO_B	3	4	Ubrzanje	Maksimum za uzljetanje	0-204		500	204	
CRJ9-LR	ICAO_B	3	5	Penjanje	Maksimum za penjanje	ZERO	3000			
CRJ9-LR	ICAO_B	3	6	Ubrzanje	Maksimum za penjanje	0-250		500	250	
CRJ9-LR	ICAO_B	3	7	Penjanje	Maksimum za penjanje	ZERO	10000			
CRJ9-LR	ICAO_B	4	1	Uzljetanje	Maksimum za uzljetanje	D-8				
CRJ9-LR	ICAO_B	4	2	Penjanje	Maksimum za uzljetanje	D-8	505			
CRJ9-LR	ICAO_B	4	3	Penjanje	Maksimum za uzljetanje	U-8	1000			
CRJ9-LR	ICAO_B	4	4	Ubrzanje	Maksimum za uzljetanje	0-204		500	204	
CRJ9-LR	ICAO_B	4	5	Penjanje	Maksimum za penjanje	ZERO	3000			
CRJ9-LR	ICAO_B	4	6	Ubrzanje	Maksimum za penjanje	0-250		500	250	
CRJ9-LR	ICAO_B	4	7	Penjanje	Maksimum za penjanje	ZERO	10000			
CRJ9-LR	ICAO_B	5	1	Uzljetanje	Maksimum za uzljetanje	D-8				
CRJ9-LR	ICAO_B	5	2	Penjanje	Maksimum za uzljetanje	D-8	455			
CRJ9-LR	ICAO_B	5	3	Penjanje	Maksimum za uzljetanje	U-8	1000			
CRJ9-LR	ICAO_B	5	4	Ubrzanje	Maksimum za uzljetanje	0-204		500	204	
CRJ9-LR	ICAO_B	5	5	Penjanje	Maksimum za penjanje	ZERO	3000			
CRJ9-LR	ICAO_B	5	6	Ubrzanje	Maksimum za penjanje	0-250		500	250	



ThoriumSoftware d.o.o.

Mobile: +385 (0) 95 8 70 50 70
 Kontakt: Dario Ilija Rendulić
 Email:
[info@thoriumsoftware.eu;](mailto:info@thoriumsoftware.eu)
direndulic@gmail.com

CRJ9-LR	ICAO_B	5	7	Penjanje	Maksimum za penjanje	ZERO	10000			
CVR580	DEFAULT	1	1	Uzljetanje	Maksimum za uzljetanje	10				
CVR580	DEFAULT	1	2	Penjanje	Maksimum za uzljetanje	10	1000			
CVR580	DEFAULT	1	3	Ubrzanje	Maksimum za uzljetanje	10		1907	130	
CVR580	DEFAULT	1	4	Ubrzanje	Maksimum za penjanje	INTR		1430	150	
CVR580	DEFAULT	1	5	Penjanje	Maksimum za penjanje	ZERO	3000			
CVR580	DEFAULT	1	6	Penjanje	Maksimum za penjanje	ZERO	5500			
CVR580	DEFAULT	1	7	Penjanje	Maksimum za penjanje	ZERO	7500			
CVR580	DEFAULT	1	8	Penjanje	Maksimum za penjanje	ZERO	10000			
CVR580	DEFAULT	2	1	Uzljetanje	Maksimum za uzljetanje	10				
CVR580	DEFAULT	2	2	Penjanje	Maksimum za uzljetanje	10	1000			
CVR580	DEFAULT	2	3	Ubrzanje	Maksimum za uzljetanje	10		1557	136	
CVR580	DEFAULT	2	4	Ubrzanje	Maksimum za penjanje	INTR		1168	156	
CVR580	DEFAULT	2	5	Penjanje	Maksimum za penjanje	ZERO	3000			
CVR580	DEFAULT	2	6	Penjanje	Maksimum za penjanje	ZERO	5500			
CVR580	DEFAULT	2	7	Penjanje	Maksimum za penjanje	ZERO	7500			
CVR580	DEFAULT	2	8	Penjanje	Maksimum za penjanje	ZERO	10000			
CVR580	DEFAULT	3	1	Uzljetanje	Maksimum za uzljetanje	10				
CVR580	DEFAULT	3	2	Penjanje	Maksimum za uzljetanje	10	1000			
CVR580	DEFAULT	3	3	Ubrzanje	Maksimum za uzljetanje	10		1321	140	
CVR580	DEFAULT	3	4	Ubrzanje	Maksimum za penjanje	INTR		991	160	



ThoriumSoftware d.o.o.

Mobile: +385 (0) 95 8 70 50 70
 Kontakt: Dario Ilija Rendulić
 Email:
[info@thoriumsoftware.eu;](mailto:info@thoriumsoftware.eu)
direndulic@gmail.com

CVR580	DEFAULT	3	5	Penjanje	Maksimum za penjanje	ZERO	3000			
CVR580	DEFAULT	3	6	Penjanje	Maksimum za penjanje	ZERO	5500			
CVR580	DEFAULT	3	7	Penjanje	Maksimum za penjanje	ZERO	7500			
CVR580	DEFAULT	3	8	Penjanje	Maksimum za penjanje	ZERO	10000			
DC1010	DEFAULT	1	1	Uzlijetanje	Maksimum za uzlijetanje	10				
DC1010	DEFAULT	1	2	Penjanje	Maksimum za uzlijetanje	10	1000			
DC1010	DEFAULT	1	3	Ubrzanje	Maksimum za uzlijetanje	10		1904	159	
DC1010	DEFAULT	1	4	Ubrzanje	Maksimum za uzlijetanje	5		1428	174	
DC1010	DEFAULT	1	5	Ubrzanje	Maksimum za penjanje	INT		1000	189	
DC1010	DEFAULT	1	6	Penjanje	Maksimum za penjanje	ZERO	3000			
DC1010	DEFAULT	1	7	Ubrzanje	Maksimum za penjanje	ZERO		1000	250	
DC1010	DEFAULT	1	8	Penjanje	Maksimum za penjanje	ZERO	5500			
DC1010	DEFAULT	1	9	Penjanje	Maksimum za penjanje	ZERO	7500			
DC1010	DEFAULT	1	10	Penjanje	Maksimum za penjanje	ZERO	10000			
DC1010	DEFAULT	2	1	Uzlijetanje	Maksimum za uzlijetanje	10				
DC1010	DEFAULT	2	2	Penjanje	Maksimum za uzlijetanje	10	1000			
DC1010	DEFAULT	2	3	Ubrzanje	Maksimum za uzlijetanje	10		1799	163	
DC1010	DEFAULT	2	4	Ubrzanje	Maksimum za uzlijetanje	5		1350	178	
DC1010	DEFAULT	2	5	Ubrzanje	Maksimum za penjanje	INT		1000	193	
DC1010	DEFAULT	2	6	Penjanje	Maksimum za penjanje	ZERO	3000			
DC1010	DEFAULT	2	7	Ubrzanje	Maksimum za penjanje	ZERO		1000	250	



ThoriumSoftware d.o.o.

Mobile: +385 (0) 95 8 70 50 70
 Kontakt: Dario Ilija Rendulić
 Email:
[info@thoriumsoftware.eu;](mailto:info@thoriumsoftware.eu)
direndulic@gmail.com

DC1010	DEFAULT	2	8	Penjanje	Maksimum za penjanje	ZERO	5500			
DC1010	DEFAULT	2	9	Penjanje	Maksimum za penjanje	ZERO	7500			
DC1010	DEFAULT	2	10	Penjanje	Maksimum za penjanje	ZERO	10000			
DC1010	DEFAULT	3	1	Uzljetanje	Maksimum za uzljetanje	10				
DC1010	DEFAULT	3	2	Penjanje	Maksimum za uzljetanje	10	1000			
DC1010	DEFAULT	3	3	Ubrzanje	Maksimum za uzljetanje	10		1670	167	
DC1010	DEFAULT	3	4	Ubrzanje	Maksimum za uzljetanje	5		1253	182	
DC1010	DEFAULT	3	5	Ubrzanje	Maksimum za penjanje	INT		1000	197	
DC1010	DEFAULT	3	6	Penjanje	Maksimum za penjanje	ZERO	3000			
DC1010	DEFAULT	3	7	Ubrzanje	Maksimum za penjanje	ZERO		1000	250	
DC1010	DEFAULT	3	8	Penjanje	Maksimum za penjanje	ZERO	5500			
DC1010	DEFAULT	3	9	Penjanje	Maksimum za penjanje	ZERO	7500			
DC1010	DEFAULT	3	10	Penjanje	Maksimum za penjanje	ZERO	10000			
DC1010	DEFAULT	4	1	Uzljetanje	Maksimum za uzljetanje	10				
DC1010	DEFAULT	4	2	Penjanje	Maksimum za uzljetanje	10	1000			
DC1010	DEFAULT	4	3	Ubrzanje	Maksimum za uzljetanje	10		1494	174	
DC1010	DEFAULT	4	4	Ubrzanje	Maksimum za uzljetanje	5		1121	189	
DC1010	DEFAULT	4	5	Ubrzanje	Maksimum za penjanje	INT		1000	204	
DC1010	DEFAULT	4	6	Penjanje	Maksimum za penjanje	ZERO	3000			
DC1010	DEFAULT	4	7	Ubrzanje	Maksimum za penjanje	ZERO		1000	250	
DC1010	DEFAULT	4	8	Penjanje	Maksimum za penjanje	ZERO	5500			



ThoriumSoftware d.o.o.

Mobile: +385 (0) 95 8 70 50 70
 Kontakt: Dario Ilija Rendulić
 Email:
[info@thoriumsoftware.eu;](mailto:info@thoriumsoftware.eu)
direndulic@gmail.com

DC1010	DEFAULT	4	9	Penjanje	Maksimum za penjanje	ZERO	7500			
DC1010	DEFAULT	4	10	Penjanje	Maksimum za penjanje	ZERO	10000			
DC1010	DEFAULT	5	1	Uzljetanje	Maksimum za uzljetanje	10				
DC1010	DEFAULT	5	2	Penjanje	Maksimum za uzljetanje	10	1000			
DC1010	DEFAULT	5	3	Ubrzanje	Maksimum za uzljetanje	10		1335	180	
DC1010	DEFAULT	5	4	Ubrzanje	Maksimum za uzljetanje	5		1002	195	
DC1010	DEFAULT	5	5	Ubrzanje	Maksimum za penjanje	INT		1000	210	
DC1010	DEFAULT	5	6	Penjanje	Maksimum za penjanje	ZERO	3000			
DC1010	DEFAULT	5	7	Ubrzanje	Maksimum za penjanje	ZERO		1000	250	
DC1010	DEFAULT	5	8	Penjanje	Maksimum za penjanje	ZERO	5500			
DC1010	DEFAULT	5	9	Penjanje	Maksimum za penjanje	ZERO	7500			
DC1010	DEFAULT	5	10	Penjanje	Maksimum za penjanje	ZERO	10000			
DC1010	DEFAULT	6	1	Uzljetanje	Maksimum za uzljetanje	10				
DC1010	DEFAULT	6	2	Penjanje	Maksimum za uzljetanje	10	1000			
DC1010	DEFAULT	6	3	Ubrzanje	Maksimum za uzljetanje	10		1191	186	
DC1010	DEFAULT	6	4	Ubrzanje	Maksimum za uzljetanje	5		894	201	
DC1010	DEFAULT	6	5	Ubrzanje	Maksimum za penjanje	INT		800	216	
DC1010	DEFAULT	6	6	Penjanje	Maksimum za penjanje	ZERO	3000			
DC1010	DEFAULT	6	7	Ubrzanje	Maksimum za penjanje	ZERO		800	250	
DC1010	DEFAULT	6	8	Penjanje	Maksimum za penjanje	ZERO	5500			
DC1010	DEFAULT	6	9	Penjanje	Maksimum za penjanje	ZERO	7500			



ThoriumSoftware d.o.o.

Mobile: +385 (0) 95 8 70 50 70
 Kontakt: Dario Ilija Rendulić
 Email:
[info@thoriumsoftware.eu;](mailto:info@thoriumsoftware.eu)
direndulic@gmail.com

DC1010	DEFAULT	6	10	Penjanje	Maksimum za penjanje	ZERO	10000			
DC1040	DEFAULT	1	1	Uzljetanje	Maksimum za uzljetanje	15				
DC1040	DEFAULT	1	2	Penjanje	Maksimum za uzljetanje	15	1000			
DC1040	DEFAULT	1	3	Ubrzanje	Maksimum za uzljetanje	15		2255	175	
DC1040	DEFAULT	1	4	Ubrzanje	Maksimum za uzljetanje	5		1692	190	
DC1040	DEFAULT	1	5	Ubrzanje	Maksimum za penjanje	INT		1000	205	
DC1040	DEFAULT	1	6	Penjanje	Maksimum za penjanje	ZERO	3000			
DC1040	DEFAULT	1	7	Ubrzanje	Maksimum za penjanje	ZERO		1000	250	
DC1040	DEFAULT	1	8	Penjanje	Maksimum za penjanje	ZERO	5500			
DC1040	DEFAULT	1	9	Penjanje	Maksimum za penjanje	ZERO	7500			
DC1040	DEFAULT	1	10	Penjanje	Maksimum za penjanje	ZERO	10000			
DC1040	DEFAULT	2	1	Uzljetanje	Maksimum za uzljetanje	15				
DC1040	DEFAULT	2	2	Penjanje	Maksimum za uzljetanje	15	1000			
DC1040	DEFAULT	2	3	Ubrzanje	Maksimum za uzljetanje	15		2146	178	
DC1040	DEFAULT	2	4	Ubrzanje	Maksimum za uzljetanje	5		1610	193	
DC1040	DEFAULT	2	5	Ubrzanje	Maksimum za penjanje	INT		1000	208	
DC1040	DEFAULT	2	6	Penjanje	Maksimum za penjanje	ZERO	3000			
DC1040	DEFAULT	2	7	Ubrzanje	Maksimum za penjanje	ZERO		1000	250	
DC1040	DEFAULT	2	8	Penjanje	Maksimum za penjanje	ZERO	5500			
DC1040	DEFAULT	2	9	Penjanje	Maksimum za penjanje	ZERO	7500			
DC1040	DEFAULT	2	10	Penjanje	Maksimum za penjanje	ZERO	10000			



ThoriumSoftware d.o.o.

Mobile: +385 (0) 95 8 70 50 70
 Kontakt: Dario Ilija Rendulić
 Email:
[info@thoriumsoftware.eu;](mailto:info@thoriumsoftware.eu)
direndulic@gmail.com

DC1040	DEFAULT	3	1	Uzlijetanje	Maksimum za uzlijetanje	15				
DC1040	DEFAULT	3	2	Penjanje	Maksimum za uzlijetanje	15	1000			
DC1040	DEFAULT	3	3	Ubrzanje	Maksimum za uzlijetanje	15		2050	181	
DC1040	DEFAULT	3	4	Ubrzanje	Maksimum za uzlijetanje	5		1538	196	
DC1040	DEFAULT	3	5	Ubrzanje	Maksimum za penjanje	INT		1000	211	
DC1040	DEFAULT	3	6	Penjanje	Maksimum za penjanje	ZERO	3000			
DC1040	DEFAULT	3	7	Ubrzanje	Maksimum za penjanje	ZERO		1000	250	
DC1040	DEFAULT	3	8	Penjanje	Maksimum za penjanje	ZERO	5500			
DC1040	DEFAULT	3	9	Penjanje	Maksimum za penjanje	ZERO	7500			
DC1040	DEFAULT	3	10	Penjanje	Maksimum za penjanje	ZERO	10000			
DC1040	DEFAULT	4	1	Uzlijetanje	Maksimum za uzlijetanje	15				
DC1040	DEFAULT	4	2	Penjanje	Maksimum za uzlijetanje	15	1000			
DC1040	DEFAULT	4	3	Ubrzanje	Maksimum za uzlijetanje	15		1859	187	
DC1040	DEFAULT	4	4	Ubrzanje	Maksimum za uzlijetanje	5		1395	202	
DC1040	DEFAULT	4	5	Ubrzanje	Maksimum za penjanje	INT		1000	217	
DC1040	DEFAULT	4	6	Penjanje	Maksimum za penjanje	ZERO	3000			
DC1040	DEFAULT	4	7	Ubrzanje	Maksimum za penjanje	ZERO		1000	250	
DC1040	DEFAULT	4	8	Penjanje	Maksimum za penjanje	ZERO	5500			
DC1040	DEFAULT	4	9	Penjanje	Maksimum za penjanje	ZERO	7500			
DC1040	DEFAULT	4	10	Penjanje	Maksimum za penjanje	ZERO	10000			
DC1040	DEFAULT	5	1	Uzlijetanje	Maksimum za uzlijetanje	15				



ThoriumSoftware d.o.o.

Mobile: +385 (0) 95 8 70 50 70
 Kontakt: Dario Ilija Rendulić
 Email:
[info@thoriumsoftware.eu;](mailto:info@thoriumsoftware.eu)
direndulic@gmail.com

DC1040	DEFAULT	5	2	Penjanje	Maksimum za uzlijetanje	15	1000			
DC1040	DEFAULT	5	3	Ubrzanje	Maksimum za uzlijetanje	15		1639	195	
DC1040	DEFAULT	5	4	Ubrzanje	Maksimum za uzlijetanje	5		1229	210	
DC1040	DEFAULT	5	5	Ubrzanje	Maksimum za penjanje	INT		1000	225	
DC1040	DEFAULT	5	6	Penjanje	Maksimum za penjanje	ZERO	3000			
DC1040	DEFAULT	5	7	Ubrzanje	Maksimum za penjanje	ZERO		1000	250	
DC1040	DEFAULT	5	8	Penjanje	Maksimum za penjanje	ZERO	5500			
DC1040	DEFAULT	5	9	Penjanje	Maksimum za penjanje	ZERO	7500			
DC1040	DEFAULT	5	10	Penjanje	Maksimum za penjanje	ZERO	10000			
DC1040	DEFAULT	6	1	Uzlijetanje	Maksimum za uzlijetanje	15				
DC1040	DEFAULT	6	2	Penjanje	Maksimum za uzlijetanje	15	1000			
DC1040	DEFAULT	6	3	Ubrzanje	Maksimum za uzlijetanje	15		1436	203	
DC1040	DEFAULT	6	4	Ubrzanje	Maksimum za uzlijetanje	5		1077	218	
DC1040	DEFAULT	6	5	Ubrzanje	Maksimum za penjanje	INT		1000	233	
DC1040	DEFAULT	6	6	Penjanje	Maksimum za penjanje	ZERO	3000			
DC1040	DEFAULT	6	7	Ubrzanje	Maksimum za penjanje	ZERO		1000	250	
DC1040	DEFAULT	6	8	Penjanje	Maksimum za penjanje	ZERO	5500			
DC1040	DEFAULT	6	9	Penjanje	Maksimum za penjanje	ZERO	7500			
DC1040	DEFAULT	6	10	Penjanje	Maksimum za penjanje	ZERO	10000			
DC1040	DEFAULT	7	1	Uzlijetanje	Maksimum za uzlijetanje	15				
DC1040	DEFAULT	7	2	Penjanje	Maksimum za uzlijetanje	15	1000			



ThoriumSoftware d.o.o.

Mobile: +385 (0) 95 8 70 50 70
 Kontakt: Dario Ilija Rendulić
 Email:
[info@thoriumsoftware.eu;](mailto:info@thoriumsoftware.eu)
direndulic@gmail.com

DC1040	DEFAULT	7	3	Ubrzanje	Maksimum za uzlijetanje	15		1170	211	
DC1040	DEFAULT	7	4	Ubrzanje	Maksimum za uzlijetanje	5		878	226	
DC1040	DEFAULT	7	5	Ubrzanje	Maksimum za penjanje	INT		800	241	
DC1040	DEFAULT	7	6	Penjanje	Maksimum za penjanje	ZERO	3000			
DC1040	DEFAULT	7	7	Ubrzanje	Maksimum za penjanje	ZERO		800	250	
DC1040	DEFAULT	7	8	Penjanje	Maksimum za penjanje	ZERO	5500			
DC1040	DEFAULT	7	9	Penjanje	Maksimum za penjanje	ZERO	7500			
DC1040	DEFAULT	7	10	Penjanje	Maksimum za penjanje	ZERO	10000			
DC3	DEFAULT	1	1	Uzlijetanje	Maksimum za uzlijetanje	TO				
DC3	DEFAULT	1	2	Penjanje	Maksimum za uzlijetanje	TO	400			
DC3	DEFAULT	1	3	Penjanje	Maksimum za penjanje	ZERO	3000			
DC3	DEFAULT	1	4	Ubrzanje	Maksimum za penjanje	ZERO		1000	126	
DC3	DEFAULT	1	5	Penjanje	Maksimum za penjanje	ZERO	5500			
DC3	DEFAULT	1	6	Penjanje	Maksimum za penjanje	ZERO	7500			
DC3	DEFAULT	1	7	Penjanje	Maksimum za penjanje	ZERO	10000			
DC3	DEFAULT	2	1	Uzlijetanje	Maksimum za uzlijetanje	TO				
DC3	DEFAULT	2	2	Penjanje	Maksimum za uzlijetanje	TO	400			
DC3	DEFAULT	2	3	Penjanje	Maksimum za penjanje	ZERO	3000			
DC3	DEFAULT	2	4	Ubrzanje	Maksimum za penjanje	ZERO		800	130	
DC3	DEFAULT	2	5	Penjanje	Maksimum za penjanje	ZERO	5500			
DC3	DEFAULT	2	6	Penjanje	Maksimum za penjanje	ZERO	7500			



ThoriumSoftware d.o.o.

Mobile: +385 (0) 95 8 70 50 70
 Kontakt: Dario Ilija Rendulić
 Email:
[info@thoriumsoftware.eu;](mailto:info@thoriumsoftware.eu)
direndulic@gmail.com

DC3	DEFAULT	2	7	Penjanje	Maksimum za penjanje	ZERO	10000			
DC3	DEFAULT	3	1	Uzlijetanje	Maksimum za uzlijetanje	TO				
DC3	DEFAULT	3	2	Penjanje	Maksimum za uzlijetanje	TO	400			
DC3	DEFAULT	3	3	Penjanje	Maksimum za penjanje	ZERO	3000			
DC3	DEFAULT	3	4	Ubrzanje	Maksimum za penjanje	ZERO		633	134	
DC3	DEFAULT	3	5	Penjanje	Maksimum za penjanje	ZERO	7500			
DC3	DEFAULT	3	6	Penjanje	Maksimum za penjanje	ZERO	10000			
DC6	DEFAULT	1	1	Uzlijetanje	Maksimum za uzlijetanje	TO				
DC6	DEFAULT	1	2	Penjanje	Maksimum za uzlijetanje	TO	1500			
DC6	DEFAULT	1	3	Ubrzanje	Maksimum za uzlijetanje	TO		818	135	
DC6	DEFAULT	1	4	Penjanje	Maksimum za penjanje	ZERO	3000			
DC6	DEFAULT	1	5	Penjanje	Maksimum za penjanje	ZERO	5500			
DC6	DEFAULT	1	6	Penjanje	Maksimum za penjanje	ZERO	7500			
DC6	DEFAULT	1	7	Penjanje	Maksimum za penjanje	ZERO	10000			
DC6	DEFAULT	2	1	Uzlijetanje	Maksimum za uzlijetanje	TO				
DC6	DEFAULT	2	2	Penjanje	Maksimum za uzlijetanje	TO	1500			
DC6	DEFAULT	2	3	Ubrzanje	Maksimum za uzlijetanje	TO		643	143	
DC6	DEFAULT	2	4	Penjanje	Maksimum za penjanje	ZERO	3000			
DC6	DEFAULT	2	5	Penjanje	Maksimum za penjanje	ZERO	5500			
DC6	DEFAULT	2	6	Penjanje	Maksimum za penjanje	ZERO	7500			
DC6	DEFAULT	2	7	Penjanje	Maksimum za penjanje	ZERO	10000			



ThoriumSoftware d.o.o.

Mobile: +385 (0) 95 8 70 50 70
 Kontakt: Dario Ilija Rendulić
 Email:
[info@thoriumsoftware.eu;](mailto:info@thoriumsoftware.eu)
direndulic@gmail.com

DC6	DEFAULT	3	1	Uzlijetanje	Maksimum za uzlijetanje	TO				
DC6	DEFAULT	3	2	Penjanje	Maksimum za uzlijetanje	TO	1500			
DC6	DEFAULT	3	3	Ubrzanje	Maksimum za uzlijetanje	TO		498	149	
DC6	DEFAULT	3	4	Penjanje	Maksimum za penjanje	ZERO	3000			
DC6	DEFAULT	3	5	Penjanje	Maksimum za penjanje	ZERO	5500			
DC6	DEFAULT	3	6	Penjanje	Maksimum za penjanje	ZERO	7500			
DC6	DEFAULT	3	7	Penjanje	Maksimum za penjanje	ZERO	10000			
DC850	DEFAULT	1	1	Uzlijetanje	Maksimum za uzlijetanje	15				
DC850	DEFAULT	1	2	Penjanje	Maksimum za uzlijetanje	15	1000			
DC850	DEFAULT	1	3	Ubrzanje	Maksimum za uzlijetanje	15		2205	149	
DC850	DEFAULT	1	4	Ubrzanje	Maksimum za uzlijetanje	INT		1654	169	
DC850	DEFAULT	1	5	Ubrzanje	Maksimum za penjanje	INT		1000	189	
DC850	DEFAULT	1	6	Penjanje	Maksimum za penjanje	ZERO	3000			
DC850	DEFAULT	1	7	Ubrzanje	Maksimum za penjanje	ZERO		1000	250	
DC850	DEFAULT	1	8	Penjanje	Maksimum za penjanje	ZERO	5500			
DC850	DEFAULT	1	9	Penjanje	Maksimum za penjanje	ZERO	7500			
DC850	DEFAULT	1	10	Penjanje	Maksimum za penjanje	ZERO	10000			
DC850	DEFAULT	2	1	Uzlijetanje	Maksimum za uzlijetanje	15				
DC850	DEFAULT	2	2	Penjanje	Maksimum za uzlijetanje	15	1000			
DC850	DEFAULT	2	3	Ubrzanje	Maksimum za uzlijetanje	15		2089	153	
DC850	DEFAULT	2	4	Ubrzanje	Maksimum za uzlijetanje	INT		1567	173	



ThoriumSoftware d.o.o.

Mobile: +385 (0) 95 8 70 50 70
 Kontakt: Dario Ilija Rendulić
 Email:
[info@thoriumsoftware.eu;](mailto:info@thoriumsoftware.eu)
direndulic@gmail.com

DC850	DEFAULT	2	5	Ubrzanje	Maksimum za penjanje	INT		1000	193	
DC850	DEFAULT	2	6	Penjanje	Maksimum za penjanje	ZERO	3000			
DC850	DEFAULT	2	7	Ubrzanje	Maksimum za penjanje	ZERO		1000	250	
DC850	DEFAULT	2	8	Penjanje	Maksimum za penjanje	ZERO	5500			
DC850	DEFAULT	2	9	Penjanje	Maksimum za penjanje	ZERO	7500			
DC850	DEFAULT	2	10	Penjanje	Maksimum za penjanje	ZERO	10000			
DC850	DEFAULT	3	1	Uzljetanje	Maksimum za uzljetanje	15				
DC850	DEFAULT	3	2	Penjanje	Maksimum za uzljetanje	15	1000			
DC850	DEFAULT	3	3	Ubrzanje	Maksimum za uzljetanje	15		1930	158	
DC850	DEFAULT	3	4	Ubrzanje	Maksimum za uzljetanje	INT		1448	178	
DC850	DEFAULT	3	5	Ubrzanje	Maksimum za penjanje	INT		1000	198	
DC850	DEFAULT	3	6	Penjanje	Maksimum za penjanje	ZERO	3000			
DC850	DEFAULT	3	7	Ubrzanje	Maksimum za penjanje	ZERO		1000	250	
DC850	DEFAULT	3	8	Penjanje	Maksimum za penjanje	ZERO	5500			
DC850	DEFAULT	3	9	Penjanje	Maksimum za penjanje	ZERO	7500			
DC850	DEFAULT	3	10	Penjanje	Maksimum za penjanje	ZERO	10000			
DC850	DEFAULT	4	1	Uzljetanje	Maksimum za uzljetanje	15				
DC850	DEFAULT	4	2	Penjanje	Maksimum za uzljetanje	15	1000			
DC850	DEFAULT	4	3	Ubrzanje	Maksimum za uzljetanje	15		1743	165	
DC850	DEFAULT	4	4	Ubrzanje	Maksimum za uzljetanje	INT		1308	185	
DC850	DEFAULT	4	5	Ubrzanje	Maksimum za penjanje	INT		1000	205	

DC850	DEFAULT	4	6	Penjanje	Maksimum za penjanje	ZERO	3000			
DC850	DEFAULT	4	7	Ubrzanje	Maksimum za penjanje	ZERO		1000	250	
DC850	DEFAULT	4	8	Penjanje	Maksimum za penjanje	ZERO	5500			
DC850	DEFAULT	4	9	Penjanje	Maksimum za penjanje	ZERO	7500			
DC850	DEFAULT	4	10	Penjanje	Maksimum za penjanje	ZERO	10000			
DC850	DEFAULT	5	1	Uzlijetanje	Maksimum za uzlijetanje	15				
DC850	DEFAULT	5	2	Penjanje	Maksimum za uzlijetanje	15	1000			
DC850	DEFAULT	5	3	Ubrzanje	Maksimum za uzlijetanje	15		1541	173	
DC850	DEFAULT	5	4	Ubrzanje	Maksimum za uzlijetanje	INT		1156	193	
DC850	DEFAULT	5	5	Ubrzanje	Maksimum za penjanje	INT		1000	213	
DC850	DEFAULT	5	6	Penjanje	Maksimum za penjanje	ZERO	3000			
DC850	DEFAULT	5	7	Ubrzanje	Maksimum za penjanje	ZERO		1000	250	
DC850	DEFAULT	5	8	Penjanje	Maksimum za penjanje	ZERO	5500			
DC850	DEFAULT	5	9	Penjanje	Maksimum za penjanje	ZERO	7500			
DC850	DEFAULT	5	10	Penjanje	Maksimum za penjanje	ZERO	10000			
DC850	DEFAULT	6	1	Uzlijetanje	Maksimum za uzlijetanje	15				
DC850	DEFAULT	6	2	Penjanje	Maksimum za uzlijetanje	15	1000			
DC850	DEFAULT	6	3	Ubrzanje	Maksimum za uzlijetanje	15		1397	180	
DC850	DEFAULT	6	4	Ubrzanje	Maksimum za uzlijetanje	INT		1048	200	
DC850	DEFAULT	6	5	Ubrzanje	Maksimum za penjanje	INT		1000	220	
DC850	DEFAULT	6	6	Penjanje	Maksimum za penjanje	ZERO	3000			



ThoriumSoftware d.o.o.

Mobile: +385 (0) 95 8 70 50 70
 Kontakt: Dario Ilija Rendulić
 Email:
[info@thoriumsoftware.eu;](mailto:info@thoriumsoftware.eu)
direndulic@gmail.com

DC850	DEFAULT	6	7	Ubrzanje	Maksimum za penjanje	ZERO		1000	250	
DC850	DEFAULT	6	8	Penjanje	Maksimum za penjanje	ZERO	5500			
DC850	DEFAULT	6	9	Penjanje	Maksimum za penjanje	ZERO	7500			
DC850	DEFAULT	6	10	Penjanje	Maksimum za penjanje	ZERO	10000			
DC860	DEFAULT	1	1	Uzlijetanje	Maksimum za uzlijetanje	12				
DC860	DEFAULT	1	2	Penjanje	Maksimum za uzlijetanje	12	1000			
DC860	DEFAULT	1	3	Ubrzanje	Maksimum za uzlijetanje	12		2055	160	
DC860	DEFAULT	1	4	Ubrzanje	Maksimum za uzlijetanje	INT		1541	180	
DC860	DEFAULT	1	5	Ubrzanje	Maksimum za penjanje	INT		1000	200	
DC860	DEFAULT	1	6	Penjanje	Maksimum za penjanje	ZERO	3000			
DC860	DEFAULT	1	7	Ubrzanje	Maksimum za penjanje	ZERO		1000	250	
DC860	DEFAULT	1	8	Penjanje	Maksimum za penjanje	ZERO	5500			
DC860	DEFAULT	1	9	Penjanje	Maksimum za penjanje	ZERO	7500			
DC860	DEFAULT	1	10	Penjanje	Maksimum za penjanje	ZERO	10000			
DC860	DEFAULT	2	1	Uzlijetanje	Maksimum za uzlijetanje	12				
DC860	DEFAULT	2	2	Penjanje	Maksimum za uzlijetanje	12	1000			
DC860	DEFAULT	2	3	Ubrzanje	Maksimum za uzlijetanje	12		1959	164	
DC860	DEFAULT	2	4	Ubrzanje	Maksimum za uzlijetanje	INT		1470	184	
DC860	DEFAULT	2	5	Ubrzanje	Maksimum za penjanje	INT		1000	204	
DC860	DEFAULT	2	6	Penjanje	Maksimum za penjanje	ZERO	3000			
DC860	DEFAULT	2	7	Ubrzanje	Maksimum za penjanje	ZERO		1000	250	



ThoriumSoftware d.o.o.

Mobile: +385 (0) 95 8 70 50 70
 Kontakt: Dario Ilija Rendulić
 Email:
[info@thoriumsoftware.eu;](mailto:info@thoriumsoftware.eu)
direndulic@gmail.com

DC860	DEFAULT	2	8	Penjanje	Maksimum za penjanje	ZERO	5500			
DC860	DEFAULT	2	9	Penjanje	Maksimum za penjanje	ZERO	7500			
DC860	DEFAULT	2	10	Penjanje	Maksimum za penjanje	ZERO	10000			
DC860	DEFAULT	3	1	Uzlijetanje	Maksimum za uzlijetanje	12				
DC860	DEFAULT	3	2	Penjanje	Maksimum za uzlijetanje	12	1000			
DC860	DEFAULT	3	3	Ubrzanje	Maksimum za uzlijetanje	12		1827	168	
DC860	DEFAULT	3	4	Ubrzanje	Maksimum za uzlijetanje	INT		1371	188	
DC860	DEFAULT	3	5	Ubrzanje	Maksimum za penjanje	INT		1000	208	
DC860	DEFAULT	3	6	Penjanje	Maksimum za penjanje	ZERO	3000			
DC860	DEFAULT	3	7	Ubrzanje	Maksimum za penjanje	ZERO		1000	250	
DC860	DEFAULT	3	8	Penjanje	Maksimum za penjanje	ZERO	5500			
DC860	DEFAULT	3	9	Penjanje	Maksimum za penjanje	ZERO	7500			
DC860	DEFAULT	3	10	Penjanje	Maksimum za penjanje	ZERO	10000			
DC860	DEFAULT	4	1	Uzlijetanje	Maksimum za uzlijetanje	12				
DC860	DEFAULT	4	2	Penjanje	Maksimum za uzlijetanje	12	1000			
DC860	DEFAULT	4	3	Ubrzanje	Maksimum za uzlijetanje	12		1668	175	
DC860	DEFAULT	4	4	Ubrzanje	Maksimum za uzlijetanje	INT		1251	195	
DC860	DEFAULT	4	5	Ubrzanje	Maksimum za penjanje	INT		1000	215	
DC860	DEFAULT	4	6	Penjanje	Maksimum za penjanje	ZERO	3000			
DC860	DEFAULT	4	7	Ubrzanje	Maksimum za penjanje	ZERO		1000	250	
DC860	DEFAULT	4	8	Penjanje	Maksimum za penjanje	ZERO	5500			



ThoriumSoftware d.o.o.

Mobile: +385 (0) 95 8 70 50 70
 Kontakt: Dario Ilija Rendulić
 Email:
[info@thoriumsoftware.eu;](mailto:info@thoriumsoftware.eu)
direndulic@gmail.com

DC860	DEFAULT	4	9	Penjanje	Maksimum za penjanje	ZERO	7500			
DC860	DEFAULT	4	10	Penjanje	Maksimum za penjanje	ZERO	10000			
DC860	DEFAULT	5	1	Uzljetanje	Maksimum za uzljetanje	12				
DC860	DEFAULT	5	2	Penjanje	Maksimum za uzljetanje	12	1000			
DC860	DEFAULT	5	3	Ubrzanje	Maksimum za uzljetanje	12		1491	182	
DC860	DEFAULT	5	4	Ubrzanje	Maksimum za uzljetanje	INT		1118	202	
DC860	DEFAULT	5	5	Ubrzanje	Maksimum za penjanje	INT		1000	222	
DC860	DEFAULT	5	6	Penjanje	Maksimum za penjanje	ZERO	3000			
DC860	DEFAULT	5	7	Ubrzanje	Maksimum za penjanje	ZERO		1000	250	
DC860	DEFAULT	5	8	Penjanje	Maksimum za penjanje	ZERO	5500			
DC860	DEFAULT	5	9	Penjanje	Maksimum za penjanje	ZERO	7500			
DC860	DEFAULT	5	10	Penjanje	Maksimum za penjanje	ZERO	10000			
DC860	DEFAULT	6	1	Uzljetanje	Maksimum za uzljetanje	12				
DC860	DEFAULT	6	2	Penjanje	Maksimum za uzljetanje	12	1000			
DC860	DEFAULT	6	3	Ubrzanje	Maksimum za uzljetanje	12		1394	187	
DC860	DEFAULT	6	4	Ubrzanje	Maksimum za uzljetanje	INT		1046	207	
DC860	DEFAULT	6	5	Ubrzanje	Maksimum za penjanje	INT		1000	227	
DC860	DEFAULT	6	6	Penjanje	Maksimum za penjanje	ZERO	3000			
DC860	DEFAULT	6	7	Ubrzanje	Maksimum za penjanje	ZERO		1000	250	
DC860	DEFAULT	6	8	Penjanje	Maksimum za penjanje	ZERO	5500			
DC860	DEFAULT	6	9	Penjanje	Maksimum za penjanje	ZERO	7500			



ThoriumSoftware d.o.o.

Mobile: +385 (0) 95 8 70 50 70
 Kontakt: Dario Ilija Rendulić
 Email:
[info@thoriumsoftware.eu;](mailto:info@thoriumsoftware.eu)
direndulic@gmail.com

DC860	DEFAULT	6	10	Penjanje	Maksimum za penjanje	ZERO	10000			
DC860	DEFAULT	7	1	Uzljetanje	Maksimum za uzljetanje	12				
DC860	DEFAULT	7	2	Penjanje	Maksimum za uzljetanje	12	1000			
DC860	DEFAULT	7	3	Ubrzanje	Maksimum za uzljetanje	12		1275	192	
DC860	DEFAULT	7	4	Ubrzanje	Maksimum za uzljetanje	INT		956	212	
DC860	DEFAULT	7	5	Ubrzanje	Maksimum za penjanje	INT		900	232	
DC860	DEFAULT	7	6	Penjanje	Maksimum za penjanje	ZERO	3000			
DC860	DEFAULT	7	7	Ubrzanje	Maksimum za penjanje	ZERO		900	250	
DC860	DEFAULT	7	8	Penjanje	Maksimum za penjanje	ZERO	5500			
DC860	DEFAULT	7	9	Penjanje	Maksimum za penjanje	ZERO	7500			
DC860	DEFAULT	7	10	Penjanje	Maksimum za penjanje	ZERO	10000			
DC870	DEFAULT	1	1	Uzljetanje	Maksimum za uzljetanje	12				
DC870	DEFAULT	1	2	Penjanje	Maksimum za uzljetanje	12	1000			
DC870	DEFAULT	1	3	Ubrzanje	Maksimum za uzljetanje	12		2405	160	
DC870	DEFAULT	1	4	Ubrzanje	Maksimum za uzljetanje	INT		1804	180	
DC870	DEFAULT	1	5	Ubrzanje	Maksimum za penjanje	INT		1000	200	
DC870	DEFAULT	1	6	Penjanje	Maksimum za penjanje	ZERO	3000			
DC870	DEFAULT	1	7	Ubrzanje	Maksimum za penjanje	ZERO		1000	250	
DC870	DEFAULT	1	8	Penjanje	Maksimum za penjanje	ZERO	5500			
DC870	DEFAULT	1	9	Penjanje	Maksimum za penjanje	ZERO	7500			
DC870	DEFAULT	1	10	Penjanje	Maksimum za penjanje	ZERO	10000			



ThoriumSoftware d.o.o.

Mobile: +385 (0) 95 8 70 50 70
 Kontakt: Dario Ilija Rendulić
 Email:
[info@thoriumsoftware.eu;](mailto:info@thoriumsoftware.eu)
direndulic@gmail.com

DC870	DEFAULT	2	1	Uzlijetanje	Maksimum za uzlijetanje	12				
DC870	DEFAULT	2	2	Penjanje	Maksimum za uzlijetanje	12	1000			
DC870	DEFAULT	2	3	Ubrzanje	Maksimum za uzlijetanje	12		2289	164	
DC870	DEFAULT	2	4	Ubrzanje	Maksimum za uzlijetanje	INT		1717	184	
DC870	DEFAULT	2	5	Ubrzanje	Maksimum za penjanje	INT		1000	204	
DC870	DEFAULT	2	6	Penjanje	Maksimum za penjanje	ZERO	3000			
DC870	DEFAULT	2	7	Ubrzanje	Maksimum za penjanje	ZERO		1000	250	
DC870	DEFAULT	2	8	Penjanje	Maksimum za penjanje	ZERO	5500			
DC870	DEFAULT	2	9	Penjanje	Maksimum za penjanje	ZERO	7500			
DC870	DEFAULT	2	10	Penjanje	Maksimum za penjanje	ZERO	10000			
DC870	DEFAULT	3	1	Uzlijetanje	Maksimum za uzlijetanje	12				
DC870	DEFAULT	3	2	Penjanje	Maksimum za uzlijetanje	12	1000			
DC870	DEFAULT	3	3	Ubrzanje	Maksimum za uzlijetanje	12		2129	168	
DC870	DEFAULT	3	4	Ubrzanje	Maksimum za uzlijetanje	INT		1597	188	
DC870	DEFAULT	3	5	Ubrzanje	Maksimum za penjanje	INT		1000	208	
DC870	DEFAULT	3	6	Penjanje	Maksimum za penjanje	ZERO	3000			
DC870	DEFAULT	3	7	Ubrzanje	Maksimum za penjanje	ZERO		1000	250	
DC870	DEFAULT	3	8	Penjanje	Maksimum za penjanje	ZERO	5500			
DC870	DEFAULT	3	9	Penjanje	Maksimum za penjanje	ZERO	7500			
DC870	DEFAULT	3	10	Penjanje	Maksimum za penjanje	ZERO	10000			
DC870	DEFAULT	4	1	Uzlijetanje	Maksimum za uzlijetanje	12				



ThoriumSoftware d.o.o.

Mobile: +385 (0) 95 8 70 50 70
 Kontakt: Dario Ilija Rendulić
 Email:
[info@thoriumsoftware.eu;](mailto:info@thoriumsoftware.eu)
direndulic@gmail.com

DC870	DEFAULT	4	2	Penjanje	Maksimum za uzlijetanje	12	1000			
DC870	DEFAULT	4	3	Ubrzanje	Maksimum za uzlijetanje	12		1938	175	
DC870	DEFAULT	4	4	Ubrzanje	Maksimum za uzlijetanje	INT		1454	195	
DC870	DEFAULT	4	5	Ubrzanje	Maksimum za penjanje	INT		1000	215	
DC870	DEFAULT	4	6	Penjanje	Maksimum za penjanje	ZERO	3000			
DC870	DEFAULT	4	7	Ubrzanje	Maksimum za penjanje	ZERO		1000	250	
DC870	DEFAULT	4	8	Penjanje	Maksimum za penjanje	ZERO	5500			
DC870	DEFAULT	4	9	Penjanje	Maksimum za penjanje	ZERO	7500			
DC870	DEFAULT	4	10	Penjanje	Maksimum za penjanje	ZERO	10000			
DC870	DEFAULT	5	1	Uzlijetanje	Maksimum za uzlijetanje	12				
DC870	DEFAULT	5	2	Penjanje	Maksimum za uzlijetanje	12	1000			
DC870	DEFAULT	5	3	Ubrzanje	Maksimum za uzlijetanje	12		1727	182	
DC870	DEFAULT	5	4	Ubrzanje	Maksimum za uzlijetanje	INT		1295	202	
DC870	DEFAULT	5	5	Ubrzanje	Maksimum za penjanje	INT		1000	222	
DC870	DEFAULT	5	6	Penjanje	Maksimum za penjanje	ZERO	3000			
DC870	DEFAULT	5	7	Ubrzanje	Maksimum za penjanje	ZERO		1000	250	
DC870	DEFAULT	5	8	Penjanje	Maksimum za penjanje	ZERO	5500			
DC870	DEFAULT	5	9	Penjanje	Maksimum za penjanje	ZERO	7500			
DC870	DEFAULT	5	10	Penjanje	Maksimum za penjanje	ZERO	10000			
DC870	DEFAULT	6	1	Uzlijetanje	Maksimum za uzlijetanje	12				
DC870	DEFAULT	6	2	Penjanje	Maksimum za uzlijetanje	12	1000			



ThoriumSoftware d.o.o.

Mobile: +385 (0) 95 8 70 50 70
 Kontakt: Dario Ilija Rendulić
 Email:
[info@thoriumsoftware.eu;](mailto:info@thoriumsoftware.eu)
direndulic@gmail.com

DC870	DEFAULT	6	3	Ubrzanje	Maksimum za uzlijetanje	12		1611	187	
DC870	DEFAULT	6	4	Ubrzanje	Maksimum za uzlijetanje	INT		1209	207	
DC870	DEFAULT	6	5	Ubrzanje	Maksimum za penjanje	INT		1000	227	
DC870	DEFAULT	6	6	Penjanje	Maksimum za penjanje	ZERO	3000			
DC870	DEFAULT	6	7	Ubrzanje	Maksimum za penjanje	ZERO		1000	250	
DC870	DEFAULT	6	8	Penjanje	Maksimum za penjanje	ZERO	5500			
DC870	DEFAULT	6	9	Penjanje	Maksimum za penjanje	ZERO	7500			
DC870	DEFAULT	6	10	Penjanje	Maksimum za penjanje	ZERO	10000			
DC870	DEFAULT	7	1	Uzlijetanje	Maksimum za uzlijetanje	12				
DC870	DEFAULT	7	2	Penjanje	Maksimum za uzlijetanje	12	1000			
DC870	DEFAULT	7	3	Ubrzanje	Maksimum za uzlijetanje	12		1470	192	
DC870	DEFAULT	7	4	Ubrzanje	Maksimum za uzlijetanje	INT		1103	212	
DC870	DEFAULT	7	5	Ubrzanje	Maksimum za penjanje	INT		1000	232	
DC870	DEFAULT	7	6	Penjanje	Maksimum za penjanje	ZERO	3000			
DC870	DEFAULT	7	7	Ubrzanje	Maksimum za penjanje	ZERO		1000	250	
DC870	DEFAULT	7	8	Penjanje	Maksimum za penjanje	ZERO	5500			
DC870	DEFAULT	7	9	Penjanje	Maksimum za penjanje	ZERO	7500			
DC870	DEFAULT	7	10	Penjanje	Maksimum za penjanje	ZERO	10000			
DC8QN	DEFAULT	1	1	Uzlijetanje	Maksimum za uzlijetanje	12				
DC8QN	DEFAULT	1	2	Penjanje	Maksimum za uzlijetanje	12	1000			
DC8QN	DEFAULT	1	3	Ubrzanje	Maksimum za uzlijetanje	12		2055	160	



ThoriumSoftware d.o.o.

Mobile: +385 (0) 95 8 70 50 70
 Kontakt: Dario Ilija Rendulić
 Email:
[info@thoriumsoftware.eu;](mailto:info@thoriumsoftware.eu)
direndulic@gmail.com

DC8QN	DEFAULT	1	4	Ubrzanje	Maksimum za uzlijetanje	INT		1541	180	
DC8QN	DEFAULT	1	5	Ubrzanje	Maksimum za penjanje	INT		1000	200	
DC8QN	DEFAULT	1	6	Penjanje	Maksimum za penjanje	ZERO	3000			
DC8QN	DEFAULT	1	7	Ubrzanje	Maksimum za penjanje	ZERO		1000	250	
DC8QN	DEFAULT	1	8	Penjanje	Maksimum za penjanje	ZERO	5500			
DC8QN	DEFAULT	1	9	Penjanje	Maksimum za penjanje	ZERO	7500			
DC8QN	DEFAULT	1	10	Penjanje	Maksimum za penjanje	ZERO	10000			
DC8QN	DEFAULT	2	1	Uzlijetanje	Maksimum za uzlijetanje	12				
DC8QN	DEFAULT	2	2	Penjanje	Maksimum za uzlijetanje	12	1000			
DC8QN	DEFAULT	2	3	Ubrzanje	Maksimum za uzlijetanje	12		1959	164	
DC8QN	DEFAULT	2	4	Ubrzanje	Maksimum za uzlijetanje	INT		1470	184	
DC8QN	DEFAULT	2	5	Ubrzanje	Maksimum za penjanje	INT		1000	204	
DC8QN	DEFAULT	2	6	Penjanje	Maksimum za penjanje	ZERO	3000			
DC8QN	DEFAULT	2	7	Ubrzanje	Maksimum za penjanje	ZERO		1000	250	
DC8QN	DEFAULT	2	8	Penjanje	Maksimum za penjanje	ZERO	5500			
DC8QN	DEFAULT	2	9	Penjanje	Maksimum za penjanje	ZERO	7500			
DC8QN	DEFAULT	2	10	Penjanje	Maksimum za penjanje	ZERO	10000			
DC8QN	DEFAULT	3	1	Uzlijetanje	Maksimum za uzlijetanje	12				
DC8QN	DEFAULT	3	2	Penjanje	Maksimum za uzlijetanje	12	1000			
DC8QN	DEFAULT	3	3	Ubrzanje	Maksimum za uzlijetanje	12		1827	168	
DC8QN	DEFAULT	3	4	Ubrzanje	Maksimum za uzlijetanje	INT		1371	188	



ThoriumSoftware d.o.o.

Mobile: +385 (0) 95 8 70 50 70
 Kontakt: Dario Ilija Rendulić
 Email:
[info@thoriumsoftware.eu;](mailto:info@thoriumsoftware.eu)
direndulic@gmail.com

DC8QN	DEFAULT	3	5	Ubrzanje	Maksimum za penjanje	INT		1000	208	
DC8QN	DEFAULT	3	6	Penjanje	Maksimum za penjanje	ZERO	3000			
DC8QN	DEFAULT	3	7	Ubrzanje	Maksimum za penjanje	ZERO		1000	250	
DC8QN	DEFAULT	3	8	Penjanje	Maksimum za penjanje	ZERO	5500			
DC8QN	DEFAULT	3	9	Penjanje	Maksimum za penjanje	ZERO	7500			
DC8QN	DEFAULT	3	10	Penjanje	Maksimum za penjanje	ZERO	10000			
DC8QN	DEFAULT	4	1	Uzljetanje	Maksimum za uzljetanje	12				
DC8QN	DEFAULT	4	2	Penjanje	Maksimum za uzljetanje	12	1000			
DC8QN	DEFAULT	4	3	Ubrzanje	Maksimum za uzljetanje	12		1668	175	
DC8QN	DEFAULT	4	4	Ubrzanje	Maksimum za uzljetanje	INT		1251	195	
DC8QN	DEFAULT	4	5	Ubrzanje	Maksimum za penjanje	INT		1000	215	
DC8QN	DEFAULT	4	6	Penjanje	Maksimum za penjanje	ZERO	3000			
DC8QN	DEFAULT	4	7	Ubrzanje	Maksimum za penjanje	ZERO		1000	250	
DC8QN	DEFAULT	4	8	Penjanje	Maksimum za penjanje	ZERO	5500			
DC8QN	DEFAULT	4	9	Penjanje	Maksimum za penjanje	ZERO	7500			
DC8QN	DEFAULT	4	10	Penjanje	Maksimum za penjanje	ZERO	10000			
DC8QN	DEFAULT	5	1	Uzljetanje	Maksimum za uzljetanje	12				
DC8QN	DEFAULT	5	2	Penjanje	Maksimum za uzljetanje	12	1000			
DC8QN	DEFAULT	5	3	Ubrzanje	Maksimum za uzljetanje	12		1491	182	
DC8QN	DEFAULT	5	4	Ubrzanje	Maksimum za uzljetanje	INT		1118	202	
DC8QN	DEFAULT	5	5	Ubrzanje	Maksimum za penjanje	INT		1000	222	

DC8QN	DEFAULT	5	6	Penjanje	Maksimum za penjanje	ZERO	3000			
DC8QN	DEFAULT	5	7	Ubrzanje	Maksimum za penjanje	ZERO		1000	250	
DC8QN	DEFAULT	5	8	Penjanje	Maksimum za penjanje	ZERO	5500			
DC8QN	DEFAULT	5	9	Penjanje	Maksimum za penjanje	ZERO	7500			
DC8QN	DEFAULT	5	10	Penjanje	Maksimum za penjanje	ZERO	10000			
DC8QN	DEFAULT	6	1	Uzlijetanje	Maksimum za uzlijetanje	12				
DC8QN	DEFAULT	6	2	Penjanje	Maksimum za uzlijetanje	12	1000			
DC8QN	DEFAULT	6	3	Ubrzanje	Maksimum za uzlijetanje	12		1394	187	
DC8QN	DEFAULT	6	4	Ubrzanje	Maksimum za uzlijetanje	INT		1046	207	
DC8QN	DEFAULT	6	5	Ubrzanje	Maksimum za penjanje	INT		1000	227	
DC8QN	DEFAULT	6	6	Penjanje	Maksimum za penjanje	ZERO	3000			
DC8QN	DEFAULT	6	7	Ubrzanje	Maksimum za penjanje	ZERO		1000	250	
DC8QN	DEFAULT	6	8	Penjanje	Maksimum za penjanje	ZERO	5500			
DC8QN	DEFAULT	6	9	Penjanje	Maksimum za penjanje	ZERO	7500			
DC8QN	DEFAULT	6	10	Penjanje	Maksimum za penjanje	ZERO	10000			
DC8QN	DEFAULT	7	1	Uzlijetanje	Maksimum za uzlijetanje	12				
DC8QN	DEFAULT	7	2	Penjanje	Maksimum za uzlijetanje	12	1000			
DC8QN	DEFAULT	7	3	Ubrzanje	Maksimum za uzlijetanje	12		1275	192	
DC8QN	DEFAULT	7	4	Ubrzanje	Maksimum za uzlijetanje	INT		956	212	
DC8QN	DEFAULT	7	5	Ubrzanje	Maksimum za penjanje	INT		900	232	
DC8QN	DEFAULT	7	6	Penjanje	Maksimum za penjanje	ZERO	3000			



ThoriumSoftware d.o.o.

Mobile: +385 (0) 95 8 70 50 70
 Kontakt: Dario Ilija Rendulić
 Email:
[info@thoriumsoftware.eu;](mailto:info@thoriumsoftware.eu)
direndulic@gmail.com

DC8QN	DEFAULT	7	7	Ubrzanje	Maksimum za penjanje	ZERO		900	250	
DC8QN	DEFAULT	7	8	Penjanje	Maksimum za penjanje	ZERO	5500			
DC8QN	DEFAULT	7	9	Penjanje	Maksimum za penjanje	ZERO	7500			
DC8QN	DEFAULT	7	10	Penjanje	Maksimum za penjanje	ZERO	10000			
DC910	DEFAULT	1	1	Uzlijetanje	Maksimum za uzlijetanje	15				
DC910	DEFAULT	1	2	Penjanje	Maksimum za uzlijetanje	15	1000			
DC910	DEFAULT	1	3	Ubrzanje	Maksimum za uzlijetanje	15		2296	136	
DC910	DEFAULT	1	4	Ubrzanje	Maksimum za uzlijetanje	5		1722	146	
DC910	DEFAULT	1	5	Ubrzanje	Maksimum za penjanje	INT		1000	181	
DC910	DEFAULT	1	6	Penjanje	Maksimum za penjanje	ZERO	3000			
DC910	DEFAULT	1	7	Ubrzanje	Maksimum za penjanje	ZERO		1000	250	
DC910	DEFAULT	1	8	Penjanje	Maksimum za penjanje	ZERO	5500			
DC910	DEFAULT	1	9	Penjanje	Maksimum za penjanje	ZERO	7500			
DC910	DEFAULT	1	10	Penjanje	Maksimum za penjanje	ZERO	10000			
DC910	DEFAULT	2	1	Uzlijetanje	Maksimum za uzlijetanje	15				
DC910	DEFAULT	2	2	Penjanje	Maksimum za uzlijetanje	15	1000			
DC910	DEFAULT	2	3	Ubrzanje	Maksimum za uzlijetanje	15		2070	143	
DC910	DEFAULT	2	4	Ubrzanje	Maksimum za uzlijetanje	5		1553	153	
DC910	DEFAULT	2	5	Ubrzanje	Maksimum za penjanje	INT		1000	188	
DC910	DEFAULT	2	6	Penjanje	Maksimum za penjanje	ZERO	3000			
DC910	DEFAULT	2	7	Ubrzanje	Maksimum za penjanje	ZERO		1000	250	



ThoriumSoftware d.o.o.

Mobile: +385 (0) 95 8 70 50 70
 Kontakt: Dario Ilija Rendulić
 Email:
[info@thoriumsoftware.eu;](mailto:info@thoriumsoftware.eu)
direndulic@gmail.com

DC910	DEFAULT	2	8	Penjanje	Maksimum za penjanje	ZERO	5500			
DC910	DEFAULT	2	9	Penjanje	Maksimum za penjanje	ZERO	7500			
DC910	DEFAULT	2	10	Penjanje	Maksimum za penjanje	ZERO	10000			
DC910	DEFAULT	3	1	Uzlijetanje	Maksimum za uzlijetanje	15				
DC910	DEFAULT	3	2	Penjanje	Maksimum za uzlijetanje	15	1000			
DC910	DEFAULT	3	3	Ubrzanje	Maksimum za uzlijetanje	15		1901	149	
DC910	DEFAULT	3	4	Ubrzanje	Maksimum za uzlijetanje	5		1426	159	
DC910	DEFAULT	3	5	Ubrzanje	Maksimum za penjanje	INT		1000	194	
DC910	DEFAULT	3	6	Penjanje	Maksimum za penjanje	ZERO	3000			
DC910	DEFAULT	3	7	Ubrzanje	Maksimum za penjanje	ZERO		1000	250	
DC910	DEFAULT	3	8	Penjanje	Maksimum za penjanje	ZERO	5500			
DC910	DEFAULT	3	9	Penjanje	Maksimum za penjanje	ZERO	7500			
DC910	DEFAULT	3	10	Penjanje	Maksimum za penjanje	ZERO	10000			
DC930	DEFAULT	1	1	Uzlijetanje	Maksimum za uzlijetanje	15				
DC930	DEFAULT	1	2	Penjanje	Maksimum za uzlijetanje	15	1000			
DC930	DEFAULT	1	3	Ubrzanje	Maksimum za uzlijetanje	15		1741	154	
DC930	DEFAULT	1	4	Ubrzanje	Maksimum za uzlijetanje	5		1306	164	
DC930	DEFAULT	1	5	Ubrzanje	Maksimum za penjanje	INT		1000	199	
DC930	DEFAULT	1	6	Penjanje	Maksimum za penjanje	ZERO	3000			
DC930	DEFAULT	1	7	Ubrzanje	Maksimum za penjanje	ZERO		1000	250	
DC930	DEFAULT	1	8	Penjanje	Maksimum za penjanje	ZERO	5500			



ThoriumSoftware d.o.o.

Mobile: +385 (0) 95 8 70 50 70
 Kontakt: Dario Ilija Rendulić
 Email:
[info@thoriumsoftware.eu;](mailto:info@thoriumsoftware.eu)
direndulic@gmail.com

DC930	DEFAULT	1	9	Penjanje	Maksimum za penjanje	ZERO	7500			
DC930	DEFAULT	1	10	Penjanje	Maksimum za penjanje	ZERO	10000			
DC930	DEFAULT	2	1	Uzljetanje	Maksimum za uzljetanje	15				
DC930	DEFAULT	2	2	Penjanje	Maksimum za uzljetanje	15	1000			
DC930	DEFAULT	2	3	Ubrzanje	Maksimum za uzljetanje	15		1559	161	
DC930	DEFAULT	2	4	Ubrzanje	Maksimum za uzljetanje	5		1169	171	
DC930	DEFAULT	2	5	Ubrzanje	Maksimum za penjanje	INT		1000	206	
DC930	DEFAULT	2	6	Penjanje	Maksimum za penjanje	ZERO	3000			
DC930	DEFAULT	2	7	Ubrzanje	Maksimum za penjanje	ZERO		1000	250	
DC930	DEFAULT	2	8	Penjanje	Maksimum za penjanje	ZERO	5500			
DC930	DEFAULT	2	9	Penjanje	Maksimum za penjanje	ZERO	7500			
DC930	DEFAULT	2	10	Penjanje	Maksimum za penjanje	ZERO	10000			
DC930	DEFAULT	3	1	Uzljetanje	Maksimum za uzljetanje	15				
DC930	DEFAULT	3	2	Penjanje	Maksimum za uzljetanje	15	1000			
DC930	DEFAULT	3	3	Ubrzanje	Maksimum za uzljetanje	15		1406	168	
DC930	DEFAULT	3	4	Ubrzanje	Maksimum za uzljetanje	5		1055	178	
DC930	DEFAULT	3	5	Ubrzanje	Maksimum za penjanje	INT		1000	213	
DC930	DEFAULT	3	6	Penjanje	Maksimum za penjanje	ZERO	3000			
DC930	DEFAULT	3	7	Ubrzanje	Maksimum za penjanje	ZERO		1000	250	
DC930	DEFAULT	3	8	Penjanje	Maksimum za penjanje	ZERO	5500			
DC930	DEFAULT	3	9	Penjanje	Maksimum za penjanje	ZERO	7500			



ThoriumSoftware d.o.o.

Mobile: +385 (0) 95 8 70 50 70
 Kontakt: Dario Ilija Rendulić
 Email:
[info@thoriumsoftware.eu;](mailto:info@thoriumsoftware.eu)
direndulic@gmail.com

DC930	DEFAULT	3	10	Penjanje	Maksimum za penjanje	ZERO	10000			
DC93LW	DEFAULT	1	1	Uzljetanje	Maksimum za uzljetanje	15				
DC93LW	DEFAULT	1	2	Penjanje	Maksimum za uzljetanje	15	1000			
DC93LW	DEFAULT	1	3	Ubrzanje	Maksimum za uzljetanje	15		1741	154	
DC93LW	DEFAULT	1	4	Ubrzanje	Maksimum za uzljetanje	5		1306	164	
DC93LW	DEFAULT	1	5	Ubrzanje	Maksimum za penjanje	INT		1000	199	
DC93LW	DEFAULT	1	6	Penjanje	Maksimum za penjanje	ZERO	3000			
DC93LW	DEFAULT	1	7	Ubrzanje	Maksimum za penjanje	ZERO		1000	250	
DC93LW	DEFAULT	1	8	Penjanje	Maksimum za penjanje	ZERO	5500			
DC93LW	DEFAULT	1	9	Penjanje	Maksimum za penjanje	ZERO	7500			
DC93LW	DEFAULT	1	10	Penjanje	Maksimum za penjanje	ZERO	10000			
DC93LW	DEFAULT	2	1	Uzljetanje	Maksimum za uzljetanje	15				
DC93LW	DEFAULT	2	2	Penjanje	Maksimum za uzljetanje	15	1000			
DC93LW	DEFAULT	2	3	Ubrzanje	Maksimum za uzljetanje	15		1559	161	
DC93LW	DEFAULT	2	4	Ubrzanje	Maksimum za uzljetanje	5		1169	171	
DC93LW	DEFAULT	2	5	Ubrzanje	Maksimum za penjanje	INT		1000	206	
DC93LW	DEFAULT	2	6	Penjanje	Maksimum za penjanje	ZERO	3000			
DC93LW	DEFAULT	2	7	Ubrzanje	Maksimum za penjanje	ZERO		1000	250	
DC93LW	DEFAULT	2	8	Penjanje	Maksimum za penjanje	ZERO	5500			
DC93LW	DEFAULT	2	9	Penjanje	Maksimum za penjanje	ZERO	7500			
DC93LW	DEFAULT	2	10	Penjanje	Maksimum za penjanje	ZERO	10000			



ThoriumSoftware d.o.o.

Mobile: +385 (0) 95 8 70 50 70
 Kontakt: Dario Ilija Rendulić
 Email:
[info@thoriumsoftware.eu;](mailto:info@thoriumsoftware.eu)
direndulic@gmail.com

DC93LW	DEFAULT	3	1	Uzlijetanje	Maksimum za uzlijetanje	15				
DC93LW	DEFAULT	3	2	Penjanje	Maksimum za uzlijetanje	15	1000			
DC93LW	DEFAULT	3	3	Ubrzanje	Maksimum za uzlijetanje	15		1406	168	
DC93LW	DEFAULT	3	4	Ubrzanje	Maksimum za uzlijetanje	5		1055	178	
DC93LW	DEFAULT	3	5	Ubrzanje	Maksimum za penjanje	INT		1000	213	
DC93LW	DEFAULT	3	6	Penjanje	Maksimum za penjanje	ZERO	3000			
DC93LW	DEFAULT	3	7	Ubrzanje	Maksimum za penjanje	ZERO		1000	250	
DC93LW	DEFAULT	3	8	Penjanje	Maksimum za penjanje	ZERO	5500			
DC93LW	DEFAULT	3	9	Penjanje	Maksimum za penjanje	ZERO	7500			
DC93LW	DEFAULT	3	10	Penjanje	Maksimum za penjanje	ZERO	10000			
DC950	DEFAULT	1	1	Uzlijetanje	Maksimum za uzlijetanje	15				
DC950	DEFAULT	1	2	Penjanje	Maksimum za uzlijetanje	15	1000			
DC950	DEFAULT	1	3	Ubrzanje	Maksimum za uzlijetanje	15		1983	159	
DC950	DEFAULT	1	4	Ubrzanje	Maksimum za uzlijetanje	5		1487	169	
DC950	DEFAULT	1	5	Ubrzanje	Maksimum za penjanje	INTR		1000	204	
DC950	DEFAULT	1	6	Penjanje	Maksimum za penjanje	ZERO	3000			
DC950	DEFAULT	1	7	Ubrzanje	Maksimum za penjanje	ZERO		1000	250	
DC950	DEFAULT	1	8	Penjanje	Maksimum za penjanje	ZERO	5500			
DC950	DEFAULT	1	9	Penjanje	Maksimum za penjanje	ZERO	7500			
DC950	DEFAULT	1	10	Penjanje	Maksimum za penjanje	ZERO	10000			
DC950	DEFAULT	2	1	Uzlijetanje	Maksimum za uzlijetanje	15				



ThoriumSoftware d.o.o.

Mobile: +385 (0) 95 8 70 50 70
 Kontakt: Dario Ilija Rendulić
 Email:
[info@thoriumsoftware.eu;](mailto:info@thoriumsoftware.eu)
direndulic@gmail.com

DC950	DEFAULT	2	2	Penjanje	Maksimum za uzlijetanje	15	1000			
DC950	DEFAULT	2	3	Ubrzanje	Maksimum za uzlijetanje	15		1843	164	
DC950	DEFAULT	2	4	Ubrzanje	Maksimum za uzlijetanje	5		1382	174	
DC950	DEFAULT	2	5	Ubrzanje	Maksimum za penjanje	INTR		1000	209	
DC950	DEFAULT	2	6	Penjanje	Maksimum za penjanje	ZERO	3000			
DC950	DEFAULT	2	7	Ubrzanje	Maksimum za penjanje	ZERO		1000	250	
DC950	DEFAULT	2	8	Penjanje	Maksimum za penjanje	ZERO	5500			
DC950	DEFAULT	2	9	Penjanje	Maksimum za penjanje	ZERO	7500			
DC950	DEFAULT	2	10	Penjanje	Maksimum za penjanje	ZERO	10000			
DC950	DEFAULT	3	1	Uzlijetanje	Maksimum za uzlijetanje	15				
DC950	DEFAULT	3	2	Penjanje	Maksimum za uzlijetanje	15	1000			
DC950	DEFAULT	3	3	Ubrzanje	Maksimum za uzlijetanje	15		1698	170	
DC950	DEFAULT	3	4	Ubrzanje	Maksimum za uzlijetanje	5		1274	180	
DC950	DEFAULT	3	5	Ubrzanje	Maksimum za penjanje	INTR		1000	215	
DC950	DEFAULT	3	6	Penjanje	Maksimum za penjanje	ZERO	3000			
DC950	DEFAULT	3	7	Ubrzanje	Maksimum za penjanje	ZERO		1000	250	
DC950	DEFAULT	3	8	Penjanje	Maksimum za penjanje	ZERO	5500			
DC950	DEFAULT	3	9	Penjanje	Maksimum za penjanje	ZERO	7500			
DC950	DEFAULT	3	10	Penjanje	Maksimum za penjanje	ZERO	10000			
DC95HW	DEFAULT	1	1	Uzlijetanje	Maksimum za uzlijetanje	15				
DC95HW	DEFAULT	1	2	Penjanje	Maksimum za uzlijetanje	15	1000			



ThoriumSoftware d.o.o.

Mobile: +385 (0) 95 8 70 50 70
 Kontakt: Dario Ilija Rendulić
 Email:
[info@thoriumsoftware.eu;](mailto:info@thoriumsoftware.eu)
direndulic@gmail.com

DC95HW	DEFAULT	1	3	Ubrzanje	Maksimum za uzlijetanje	15		1983	159	
DC95HW	DEFAULT	1	4	Ubrzanje	Maksimum za uzlijetanje	5		1487	169	
DC95HW	DEFAULT	1	5	Ubrzanje	Maksimum za penjanje	INTR		1000	204	
DC95HW	DEFAULT	1	6	Penjanje	Maksimum za penjanje	ZERO	3000			
DC95HW	DEFAULT	1	7	Ubrzanje	Maksimum za penjanje	ZERO		1000	250	
DC95HW	DEFAULT	1	8	Penjanje	Maksimum za penjanje	ZERO	5500			
DC95HW	DEFAULT	1	9	Penjanje	Maksimum za penjanje	ZERO	7500			
DC95HW	DEFAULT	1	10	Penjanje	Maksimum za penjanje	ZERO	10000			
DC95HW	DEFAULT	2	1	Uzlijetanje	Maksimum za uzlijetanje	15				
DC95HW	DEFAULT	2	2	Penjanje	Maksimum za uzlijetanje	15	1000			
DC95HW	DEFAULT	2	3	Ubrzanje	Maksimum za uzlijetanje	15		1843	164	
DC95HW	DEFAULT	2	4	Ubrzanje	Maksimum za uzlijetanje	5		1382	174	
DC95HW	DEFAULT	2	5	Ubrzanje	Maksimum za penjanje	INTR		1000	209	
DC95HW	DEFAULT	2	6	Penjanje	Maksimum za penjanje	ZERO	3000			
DC95HW	DEFAULT	2	7	Ubrzanje	Maksimum za penjanje	ZERO		1000	250	
DC95HW	DEFAULT	2	8	Penjanje	Maksimum za penjanje	ZERO	5500			
DC95HW	DEFAULT	2	9	Penjanje	Maksimum za penjanje	ZERO	7500			
DC95HW	DEFAULT	2	10	Penjanje	Maksimum za penjanje	ZERO	10000			
DC95HW	DEFAULT	3	1	Uzlijetanje	Maksimum za uzlijetanje	15				
DC95HW	DEFAULT	3	2	Penjanje	Maksimum za uzlijetanje	15	1000			
DC95HW	DEFAULT	3	3	Ubrzanje	Maksimum za uzlijetanje	15		1698	170	



ThoriumSoftware d.o.o.

Mobile: +385 (0) 95 8 70 50 70
 Kontakt: Dario Ilija Rendulić
 Email:
[info@thoriumsoftware.eu;](mailto:info@thoriumsoftware.eu)
direndulic@gmail.com

DC95HW	DEFAULT	3	4	Ubrzanje	Maksimum za uzlijetanje	5		1274	180	
DC95HW	DEFAULT	3	5	Ubrzanje	Maksimum za penjanje	INTR		1000	215	
DC95HW	DEFAULT	3	6	Penjanje	Maksimum za penjanje	ZERO	3000			
DC95HW	DEFAULT	3	7	Ubrzanje	Maksimum za penjanje	ZERO		1000	250	
DC95HW	DEFAULT	3	8	Penjanje	Maksimum za penjanje	ZERO	5500			
DC95HW	DEFAULT	3	9	Penjanje	Maksimum za penjanje	ZERO	7500			
DC95HW	DEFAULT	3	10	Penjanje	Maksimum za penjanje	ZERO	10000			
DC9Q7	DEFAULT	1	1	Uzlijetanje	Maksimum za uzlijetanje	15				
DC9Q7	DEFAULT	1	2	Penjanje	Maksimum za uzlijetanje	15	1000			
DC9Q7	DEFAULT	1	3	Ubrzanje	Maksimum za uzlijetanje	15		2296	136	
DC9Q7	DEFAULT	1	4	Ubrzanje	Maksimum za uzlijetanje	5		1722	146	
DC9Q7	DEFAULT	1	5	Ubrzanje	Maksimum za penjanje	INT		1000	181	
DC9Q7	DEFAULT	1	6	Penjanje	Maksimum za penjanje	ZERO	3000			
DC9Q7	DEFAULT	1	7	Ubrzanje	Maksimum za penjanje	ZERO		1000	250	
DC9Q7	DEFAULT	1	8	Penjanje	Maksimum za penjanje	ZERO	5500			
DC9Q7	DEFAULT	1	9	Penjanje	Maksimum za penjanje	ZERO	7500			
DC9Q7	DEFAULT	1	10	Penjanje	Maksimum za penjanje	ZERO	10000			
DC9Q7	DEFAULT	2	1	Uzlijetanje	Maksimum za uzlijetanje	15				
DC9Q7	DEFAULT	2	2	Penjanje	Maksimum za uzlijetanje	15	1000			
DC9Q7	DEFAULT	2	3	Ubrzanje	Maksimum za uzlijetanje	15		2070	143	
DC9Q7	DEFAULT	2	4	Ubrzanje	Maksimum za uzlijetanje	5		1553	153	



ThoriumSoftware d.o.o.

Mobile: +385 (0) 95 8 70 50 70
 Kontakt: Dario Ilija Rendulić
 Email:
[info@thoriumsoftware.eu;](mailto:info@thoriumsoftware.eu)
direndulic@gmail.com

DC9Q7	DEFAULT	2	5	Ubrzanje	Maksimum za penjanje	INT		1000	188	
DC9Q7	DEFAULT	2	6	Penjanje	Maksimum za penjanje	ZERO	3000			
DC9Q7	DEFAULT	2	7	Ubrzanje	Maksimum za penjanje	ZERO		1000	250	
DC9Q7	DEFAULT	2	8	Penjanje	Maksimum za penjanje	ZERO	5500			
DC9Q7	DEFAULT	2	9	Penjanje	Maksimum za penjanje	ZERO	7500			
DC9Q7	DEFAULT	2	10	Penjanje	Maksimum za penjanje	ZERO	10000			
DC9Q7	DEFAULT	3	1	Uzlijetanje	Maksimum za uzlijetanje	15				
DC9Q7	DEFAULT	3	2	Penjanje	Maksimum za uzlijetanje	15	1000			
DC9Q7	DEFAULT	3	3	Ubrzanje	Maksimum za uzlijetanje	15		1901	149	
DC9Q7	DEFAULT	3	4	Ubrzanje	Maksimum za uzlijetanje	5		1426	159	
DC9Q7	DEFAULT	3	5	Ubrzanje	Maksimum za penjanje	INT		1000	194	
DC9Q7	DEFAULT	3	6	Penjanje	Maksimum za penjanje	ZERO	3000			
DC9Q7	DEFAULT	3	7	Ubrzanje	Maksimum za penjanje	ZERO		1000	250	
DC9Q7	DEFAULT	3	8	Penjanje	Maksimum za penjanje	ZERO	5500			
DC9Q7	DEFAULT	3	9	Penjanje	Maksimum za penjanje	ZERO	7500			
DC9Q7	DEFAULT	3	10	Penjanje	Maksimum za penjanje	ZERO	10000			
DC9Q9	DEFAULT	1	1	Uzlijetanje	Maksimum za uzlijetanje	15				
DC9Q9	DEFAULT	1	2	Penjanje	Maksimum za uzlijetanje	15	1000			
DC9Q9	DEFAULT	1	3	Ubrzanje	Maksimum za uzlijetanje	15		1741	154	
DC9Q9	DEFAULT	1	4	Ubrzanje	Maksimum za uzlijetanje	5		1306	164	
DC9Q9	DEFAULT	1	5	Ubrzanje	Maksimum za penjanje	INT		1000	199	



ThoriumSoftware d.o.o.

Mobile: +385 (0) 95 8 70 50 70
 Kontakt: Dario Ilija Rendulić
 Email:
[info@thoriumsoftware.eu;](mailto:info@thoriumsoftware.eu)
direndulic@gmail.com

DC9Q9	DEFAULT	1	6	Penjanje	Maksimum za penjanje	ZERO	3000			
DC9Q9	DEFAULT	1	7	Ubrzanje	Maksimum za penjanje	ZERO		1000	250	
DC9Q9	DEFAULT	1	8	Penjanje	Maksimum za penjanje	ZERO	5500			
DC9Q9	DEFAULT	1	9	Penjanje	Maksimum za penjanje	ZERO	7500			
DC9Q9	DEFAULT	1	10	Penjanje	Maksimum za penjanje	ZERO	10000			
DC9Q9	DEFAULT	2	1	Uzlijetanje	Maksimum za uzlijetanje	15				
DC9Q9	DEFAULT	2	2	Penjanje	Maksimum za uzlijetanje	15	1000			
DC9Q9	DEFAULT	2	3	Ubrzanje	Maksimum za uzlijetanje	15		1559	161	
DC9Q9	DEFAULT	2	4	Ubrzanje	Maksimum za uzlijetanje	5		1169	171	
DC9Q9	DEFAULT	2	5	Ubrzanje	Maksimum za penjanje	INT		1000	206	
DC9Q9	DEFAULT	2	6	Penjanje	Maksimum za penjanje	ZERO	3000			
DC9Q9	DEFAULT	2	7	Ubrzanje	Maksimum za penjanje	ZERO		1000	250	
DC9Q9	DEFAULT	2	8	Penjanje	Maksimum za penjanje	ZERO	5500			
DC9Q9	DEFAULT	2	9	Penjanje	Maksimum za penjanje	ZERO	7500			
DC9Q9	DEFAULT	2	10	Penjanje	Maksimum za penjanje	ZERO	10000			
DC9Q9	DEFAULT	3	1	Uzlijetanje	Maksimum za uzlijetanje	15				
DC9Q9	DEFAULT	3	2	Penjanje	Maksimum za uzlijetanje	15	1000			
DC9Q9	DEFAULT	3	3	Ubrzanje	Maksimum za uzlijetanje	15		1406	168	
DC9Q9	DEFAULT	3	4	Ubrzanje	Maksimum za uzlijetanje	5		1055	178	
DC9Q9	DEFAULT	3	5	Ubrzanje	Maksimum za penjanje	INT		1000	213	
DC9Q9	DEFAULT	3	6	Penjanje	Maksimum za penjanje	ZERO	3000			

DC9Q9	DEFAULT	3	7	Ubrzanje	Maksimum za penjanje	ZERO		1000	250	
DC9Q9	DEFAULT	3	8	Penjanje	Maksimum za penjanje	ZERO	5500			
DC9Q9	DEFAULT	3	9	Penjanje	Maksimum za penjanje	ZERO	7500			
DC9Q9	DEFAULT	3	10	Penjanje	Maksimum za penjanje	ZERO	10000			
DHC6	DEFAULT	1	1	Uzlijetanje	Maksimum za uzlijetanje	TO				
DHC6	DEFAULT	1	2	Penjanje	Maksimum za uzlijetanje	TO	1000			
DHC6	DEFAULT	1	3	Ubrzanje	Maksimum za uzlijetanje	TO		952	98	
DHC6	DEFAULT	1	4	Penjanje	Maksimum za penjanje	ZERO	3000			
DHC6	DEFAULT	1	5	Penjanje	Maksimum za penjanje	ZERO	5500			
DHC6	DEFAULT	1	6	Penjanje	Maksimum za penjanje	ZERO	7500			
DHC6	DEFAULT	1	7	Penjanje	Maksimum za penjanje	ZERO	10000			
DHC6QP	DEFAULT	1	1	Uzlijetanje	Maksimum za uzlijetanje	TO				
DHC6QP	DEFAULT	1	2	Penjanje	Maksimum za uzlijetanje	TO	1000			
DHC6QP	DEFAULT	1	3	Ubrzanje	Maksimum za uzlijetanje	TO		952	98	
DHC6QP	DEFAULT	1	4	Penjanje	Maksimum za penjanje	ZERO	3000			
DHC6QP	DEFAULT	1	5	Penjanje	Maksimum za penjanje	ZERO	5500			
DHC6QP	DEFAULT	1	6	Penjanje	Maksimum za penjanje	ZERO	7500			
DHC6QP	DEFAULT	1	7	Penjanje	Maksimum za penjanje	ZERO	10000			
DHC7	DEFAULT	1	1	Uzlijetanje	Maksimum za uzlijetanje	25				
DHC7	DEFAULT	1	2	Penjanje	Maksimum za uzlijetanje	25	1000			
DHC7	DEFAULT	1	3	Ubrzanje	Maksimum za uzlijetanje	25		933	102	



ThoriumSoftware d.o.o.

Mobile: +385 (0) 95 8 70 50 70
 Kontakt: Dario Ilija Rendulić
 Email:
[info@thoriumsoftware.eu;](mailto:info@thoriumsoftware.eu)
direndulic@gmail.com

DHC7	DEFAULT	1	4	Ubrzanje	Maksimum za uzlijetanje	10		700	122	
DHC7	DEFAULT	1	5	Penjanje	Maksimum za penjanje	ZERO	3000			
DHC7	DEFAULT	1	6	Ubrzanje	Maksimum za penjanje	ZERO		700	160	
DHC7	DEFAULT	1	7	Penjanje	Maksimum za penjanje	ZERO	5500			
DHC7	DEFAULT	1	8	Penjanje	Maksimum za penjanje	ZERO	7500			
DHC7	DEFAULT	1	9	Penjanje	Maksimum za penjanje	ZERO	10000			
DHC8	DEFAULT	1	1	Uzlijetanje	Maksimum za uzlijetanje	15				
DHC8	DEFAULT	1	2	Penjanje	Maksimum za uzlijetanje	15	1000			
DHC8	DEFAULT	1	3	Ubrzanje	Maksimum za uzlijetanje	15		1491	110	
DHC8	DEFAULT	1	4	Ubrzanje	Maksimum za penjanje	5		1119	125	
DHC8	DEFAULT	1	5	Penjanje	Maksimum za penjanje	ZERO	3000			
DHC8	DEFAULT	1	6	Ubrzanje	Maksimum za penjanje	ZERO		1119	165	
DHC8	DEFAULT	1	7	Penjanje	Maksimum za penjanje	ZERO	5500			
DHC8	DEFAULT	1	8	Penjanje	Maksimum za penjanje	ZERO	7500			
DHC8	DEFAULT	1	9	Penjanje	Maksimum za penjanje	ZERO	10000			

„A350-941	DEFAULT	1	Uzljetanje	Maksimum za uzljetanje	D_1+F_D					
A350-941	DEFAULT	1	2Penjanje	Maksimum za uzljetanje	D_1+F_D	1 000				
A350-941	DEFAULT	1	3Ubrzanje	Maksimum za uzljetanje	D_1+F_U		1 726,5	170,760		
A350-941	DEFAULT	1	4Ubrzanje	Maksimum za uzljetanje	D_1_U		1 862,6	197,260		
A350-941	DEFAULT	1	5Penjanje	Maksimum za penjanje	D_ZERO	3 000				
A350-941	DEFAULT	1	6Ubrzanje	Maksimum za penjanje	D_ZERO		1 658	250	60	
A350-941	DEFAULT	1	7Penjanje	Maksimum za penjanje	D_ZERO	10 000				
A350-941	DEFAULT	2	1Uzljetanje	Maksimum za uzljetanje	D_1+F_D					
A350-941	DEFAULT	2	2Penjanje	Maksimum za uzljetanje	D_1+F_D	1 000				
A350-941	DEFAULT	2	3Ubrzanje	Maksimum za uzljetanje	D_1+F_U		1 699,9	173,160		
A350-941	DEFAULT	2	4Ubrzanje	Maksimum za uzljetanje	D_1_U		1 812,6	198,660		
A350-941	DEFAULT	2	5Penjanje	Maksimum za penjanje	D_ZERO	3 000				
A350-941	DEFAULT	2	6Ubrzanje	Maksimum za penjanje	D_ZERO		1 604,5	250	60	
A350-941	DEFAULT	2	7Penjanje	Maksimum za penjanje	D_ZERO	10 000				
A350-941	DEFAULT	3	1Uzljetanje	Maksimum za uzljetanje	D_1+F_D					
A350-941	DEFAULT	3	2Penjanje	Maksimum za uzljetanje	D_1+F_D	1 000				
A350-941	DEFAULT	3	3Ubrzanje	Maksimum za uzljetanje	D_1+F_U		1 662,2	175,660		
A350-941	DEFAULT	3	4Ubrzanje	Maksimum za uzljetanje	D_1_U		1 762,3	200,160		
A350-941	DEFAULT	3	5Penjanje	Maksimum za penjanje	D_ZERO	3 000				
A350-941	DEFAULT	3	6Ubrzanje	Maksimum za penjanje	D_ZERO		1 551,6	250	60	
A350-941	DEFAULT	3	7Penjanje	Maksimum za penjanje	D_ZERO	10 000				
A350-941	DEFAULT	4	1Uzljetanje	Maksimum za uzljetanje	D_1+F_D					
A350-941	DEFAULT	4	2Penjanje	Maksimum za uzljetanje	D_1+F_U	1 000				

A350-941	DEFAULT	4	3Ubrzanje	Maksimum za uzlijetanje	D_1+F_U		1 586,1	179,9	60
A350-941	DEFAULT	4	4Ubrzanje	Maksimum za uzlijetanje	D_1_U		1 679,8	202,7	60
A350-941	DEFAULT	4	5Penjanje	Maksimum za penjanje	D_ZERO	3 000			
A350-941	DEFAULT	4	6Ubrzanje	Maksimum za penjanje	D_ZERO		1 465,3	250	60
A350-941	DEFAULT	4	7Penjanje	Maksimum za penjanje	D_ZERO	10 000			
A350-941	DEFAULT	5	1Uzlijetanje	Maksimum za uzlijetanje	D_1+F_D				
A350-941	DEFAULT	5	2Penjanje	Maksimum za uzlijetanje	D_1+F_U	1 000			
A350-941	DEFAULT	5	3Ubrzanje	Maksimum za uzlijetanje	D_1+F_U		1 491,7	185,3	60
A350-941	DEFAULT	5	4Ubrzanje	Maksimum za uzlijetanje	D_1_U		1 586,9	206,4	60
A350-941	DEFAULT	5	5Penjanje	Maksimum za penjanje	D_ZERO	3 000			
A350-941	DEFAULT	5	6Ubrzanje	Maksimum za penjanje	D_ZERO		1 365,5	250	60
A350-941	DEFAULT	5	7Penjanje	Maksimum za penjanje	D_ZERO	10 000			
A350-941	DEFAULT	6	1Uzlijetanje	Maksimum za uzlijetanje	D_1+F_D				
A350-941	DEFAULT	6	2Penjanje	Maksimum za uzlijetanje	D_1+F_U	1 000			
A350-941	DEFAULT	6	3Ubrzanje	Maksimum za uzlijetanje	D_1+F_U		1 399,5	191,1	60
A350-941	DEFAULT	6	4Ubrzanje	Maksimum za uzlijetanje	D_1_U		1 494,1	210,4	60
A350-941	DEFAULT	6	5Penjanje	Maksimum za penjanje	D_ZERO	3 000			
A350-941	DEFAULT	6	6Ubrzanje	Maksimum za penjanje	D_ZERO		1 268,2	250	60
A350-941	DEFAULT	6	7Penjanje	Maksimum za penjanje	D_ZERO	10 000			
A350-941	DEFAULT	7	1Uzlijetanje	Maksimum za uzlijetanje	D_1+F_D				
A350-941	DEFAULT	7	2Penjanje	Maksimum za uzlijetanje	D_1+F_U	1 000			
A350-941	DEFAULT	7	3Ubrzanje	Maksimum za uzlijetanje	D_1+F_U		1 314	197	60
A350-941	DEFAULT	7	4Ubrzanje	Maksimum za uzlijetanje	D_1_U		1 407,1	214,7	60
A350-941	DEFAULT	7	5Penjanje	Maksimum za penjanje	D_ZERO	3 000			
A350-941	DEFAULT	7	6Ubrzanje	Maksimum za penjanje	D_ZERO		1 176,3	250	60
A350-941	DEFAULT	7	7Penjanje	Maksimum za penjanje	D_ZERO	10 000			

A350-941	DEFAULT	8	1	Uzljetanje	Maksimum za uzljetanje	D_1+F_D					
A350-941	DEFAULT	8	2	Penjanje	Maksimum za uzljetanje	D_1+F_U	1 000				
A350-941	DEFAULT	8	3	Ubrzanje	Maksimum za uzljetanje	D_1+F_U		1 233,3	203,460		
A350-941	DEFAULT	8	4	Ubrzanje	Maksimum za uzljetanje	D_1_U		1 325,3	219,660		
A350-941	DEFAULT	8	5	Penjanje	Maksimum za penjanje	D_ZERO	3 000				
A350-941	DEFAULT	8	6	Ubrzanje	Maksimum za penjanje	D_ZERO		1 089,2	250	60	
A350-941	DEFAULT	8	7	Penjanje	Maksimum za penjanje	D_ZERO	10 000				
A350-941	DEFAULT	M	1	Uzljetanje	Maksimum za uzljetanje	D_1+F_D					
A350-941	DEFAULT	M	2	Penjanje	Maksimum za uzljetanje	D_1+F_U	1 000				
A350-941	DEFAULT	M	3	Ubrzanje	Maksimum za uzljetanje	D_1+F_U		1 185,1	207,660		
A350-941	DEFAULT	M	4	Ubrzanje	Maksimum za uzljetanje	D_1_U		1 275,6	222,960		
A350-941	DEFAULT	M	5	Penjanje	Maksimum za penjanje	D_ZERO	3 000				
A350-941	DEFAULT	M	6	Ubrzanje	Maksimum za penjanje	D_ZERO		1 036,7	250	60	
A350-941	DEFAULT	M	7	Penjanje	Maksimum za penjanje	D_ZERO	10 000				
A350-941	ICAO_A	1	1	Uzljetanje	Maksimum za uzljetanje	D_1+F_D					
A350-941	ICAO_A	1	2	Penjanje	Maksimum za uzljetanje	D_1+F_U	1 500				
A350-941	ICAO_A	1	3	Penjanje	Maksimum za penjanje	D_1+F_U	3 000				
A350-941	ICAO_A	1	4	Ubrzanje	Maksimum za penjanje	D_1+F_U		1 323,2	171	60	
A350-941	ICAO_A	1	5	Ubrzanje	Maksimum za penjanje	D_1_U		1 353,1	189,560		
A350-941	ICAO_A	1	6	Ubrzanje	Maksimum za penjanje	D_ZERO		1 514,1	213,760		
A350-941	ICAO_A	1	7	Ubrzanje	Maksimum za penjanje	D_ZERO		1 673,8	250	60	
A350-941	ICAO_A	1	8	Penjanje	Maksimum za penjanje	D_ZERO	10 000				
A350-941	ICAO_A	2	1	Uzljetanje	Maksimum za uzljetanje	D_1+F_D					
A350-941	ICAO_A	2	2	Penjanje	Maksimum za uzljetanje	D_1+F_U	1 500				
A350-941	ICAO_A	2	3	Penjanje	Maksimum za penjanje	D_1+F_U	3 000				
A350-941	ICAO_A	2	4	Ubrzanje	Maksimum za penjanje	D_1+F_U		1 265,7	173,460		
A350-941	ICAO_A	2	5	Ubrzanje	Maksimum za penjanje	D_1_U		1 315,1	191,260		

A350-941	ICAO_A	2	6	Ubrzanje	Maksimum za penjanje	D_ZERO		1 466,2	214,5	60
A350-941	ICAO_A	2	7	Ubrzanje	Maksimum za penjanje	D_ZERO		1 619,3	250	60
A350-941	ICAO_A	2	8	Penjanje	Maksimum za penjanje	D_ZERO	10 000			
A350-941	ICAO_A	3	1	Uzljetanje	Maksimum za uzljetanje	D_1+F_D				
A350-941	ICAO_A	3	2	Penjanje	Maksimum za uzljetanje	D_1+F_U	1 500			
A350-941	ICAO_A	3	3	Penjanje	Maksimum za penjanje	D_1+F_U	3 000			
A350-941	ICAO_A	3	4	Ubrzanje	Maksimum za penjanje	D_1+F_U		1 214,3	175,9	60
A350-941	ICAO_A	3	5	Ubrzanje	Maksimum za penjanje	D_1_U		1 276,7	193	60
A350-941	ICAO_A	3	6	Ubrzanje	Maksimum za penjanje	D_ZERO		1 418,4	215,4	60
A350-941	ICAO_A	3	7	Ubrzanje	Maksimum za penjanje	D_ZERO		1 565	250	60
A350-941	ICAO_A	3	8	Penjanje	Maksimum za penjanje	D_ZERO	10 000			
A350-941	ICAO_A	4	1	Uzljetanje	Maksimum za uzljetanje	D_1+F_D				
A350-941	ICAO_A	4	2	Penjanje	Maksimum za uzljetanje	D_1+F_U	1 500			
A350-941	ICAO_A	4	3	Penjanje	Maksimum za penjanje	D_1+F_U	3 000			
A350-941	ICAO_A	4	4	Ubrzanje	Maksimum za penjanje	D_1+F_U		1 138,4	180,3	60
A350-941	ICAO_A	4	5	Ubrzanje	Maksimum za penjanje	D_1_U		1 212,8	196,1	60
A350-941	ICAO_A	4	6	Ubrzanje	Maksimum za penjanje	D_ZERO		1 340,5	217	60
A350-941	ICAO_A	4	7	Ubrzanje	Maksimum za penjanje	D_ZERO		1 476,4	250	60
A350-941	ICAO_A	4	8	Penjanje	Maksimum za penjanje	D_ZERO	10 000			
A350-941	ICAO_A	5	1	Uzljetanje	Maksimum za uzljetanje	D_1+F_D				
A350-941	ICAO_A	5	2	Penjanje	Maksimum za uzljetanje	D_1+F_U	1 500			
A350-941	ICAO_A	5	3	Penjanje	Maksimum za penjanje	D_1+F_U	3 000			
A350-941	ICAO_A	5	4	Ubrzanje	Maksimum za penjanje	D_1+F_U		1 066,3	185,8	60
A350-941	ICAO_A	5	5	Ubrzanje	Maksimum za penjanje	D_1_U		1 139,9	200,3	60
A350-941	ICAO_A	5	6	Ubrzanje	Maksimum za penjanje	D_ZERO		1 252,3	219,5	60
A350-941	ICAO_A	5	7	Ubrzanje	Maksimum za penjanje	D_ZERO		1 374,5	250	60
A350-941	ICAO_A	5	8	Penjanje	Maksimum za penjanje	D_ZERO	10 000			
A350-941	ICAO_A	6	1	Uzljetanje	Maksimum za uzljetanje	D_1+F_D				
A350-941	ICAO_A	6	2	Penjanje	Maksimum za uzljetanje	D_1+F_U	1 500			

A350-941	ICAO_A	6	3	Penjanje	Maksimum za penjanje	D_1+F_U	3 000				
A350-941	ICAO_A	6	4	Ubrzanje	Maksimum za penjanje	D_1+F_U		994,4	191,7	60	
A350-941	ICAO_A	6	5	Ubrzanje	Maksimum za penjanje	D_1_U		1 064,9	204,8	60	
A350-941	ICAO_A	6	6	Ubrzanje	Maksimum za penjanje	D_ZERO		1 165,9	222,3	60	
A350-941	ICAO_A	6	7	Ubrzanje	Maksimum za penjanje	D_ZERO		1 275,1	250	60	
A350-941	ICAO_A	6	8	Penjanje	Maksimum za penjanje	D_ZERO	10 000				
A350-941	ICAO_A	7	1	Uzljetanje	Maksimum za uzljetanje	D_1+F_D					
A350-941	ICAO_A	7	2	Penjanje	Maksimum za uzljetanje	D_1+F_U	1 500				
A350-941	ICAO_A	7	3	Penjanje	Maksimum za penjanje	D_1+F_U	3 000				
A350-941	ICAO_A	7	4	Ubrzanje	Maksimum za penjanje	D_1+F_U		927	197,8	60	
A350-941	ICAO_A	7	5	Ubrzanje	Maksimum za penjanje	D_1_U		994,4	209,7	60	
A350-941	ICAO_A	7	6	Ubrzanje	Maksimum za penjanje	D_ZERO		1 085,3	225,7	60	
A350-941	ICAO_A	7	7	Ubrzanje	Maksimum za penjanje	D_ZERO		1 181	250	60	
A350-941	ICAO_A	7	8	Penjanje	Maksimum za penjanje	D_ZERO	10 000				
A350-941	ICAO_A	8	1	Uzljetanje	Maksimum za uzljetanje	D_1+F_D					
A350-941	ICAO_A	8	2	Penjanje	Maksimum za uzljetanje	D_1+F_U	1 500				
A350-941	ICAO_A	8	3	Penjanje	Maksimum za penjanje	D_1+F_U	3 000				
A350-941	ICAO_A	8	4	Ubrzanje	Maksimum za penjanje	D_1+F_U		862,4	204,1	60	
A350-941	ICAO_A	8	5	Ubrzanje	Maksimum za penjanje	D_1_U		927,4	214,9	60	
A350-941	ICAO_A	8	6	Ubrzanje	Maksimum za penjanje	D_ZERO		1 009,2	229,4	60	
A350-941	ICAO_A	8	7	Ubrzanje	Maksimum za penjanje	D_ZERO		1 091,2	250	60	
A350-941	ICAO_A	8	8	Penjanje	Maksimum za penjanje	D_ZERO	10 000				
A350-941	ICAO_A	M1	1	Uzljetanje	Maksimum za uzljetanje	D_1+F_D					
A350-941	ICAO_A	M2	2	Penjanje	Maksimum za uzljetanje	D_1+F_U	1 500				
A350-941	ICAO_A	M3	3	Penjanje	Maksimum za penjanje	D_1+F_U	3 000				
A350-941	ICAO_A	M4	4	Ubrzanje	Maksimum za penjanje	D_1+F_U		823,3	208,3	60	
A350-941	ICAO_A	M5	5	Ubrzanje	Maksimum za penjanje	D_1_U		886,5	218,4	60	
A350-941	ICAO_A	M6	6	Ubrzanje	Maksimum za penjanje	D_ZERO		963,5	232	60	
A350-941	ICAO_A	M7	7	Ubrzanje	Maksimum za penjanje	D_ZERO		1 036,9	250	60	
A350-941	ICAO_A	M8	8	Penjanje	Maksimum za penjanje	D_ZERO	10 000				

A350-941	ICAO_B	1	1	Uzljetanje	Maksimum za uzljetanje	D_1+F_D					
A350-941	ICAO_B	1	2	Penjanje	Maksimum za uzljetanje	D_1+F_D	1 000				
A350-941	ICAO_B	1	3	Ubrzanje	Maksimum za uzljetanje	D_1+F_U		1 726,5	170,760		
A350-941	ICAO_B	1	4	Ubrzanje	Maksimum za uzljetanje	D_1_U		1 862,6	197,260		
A350-941	ICAO_B	1	5	Penjanje	Maksimum za penjanje	D_ZERO	3 000				
A350-941	ICAO_B	1	6	Ubrzanje	Maksimum za penjanje	D_ZERO		1 658	250	60	
A350-941	ICAO_B	1	7	Penjanje	Maksimum za penjanje	D_ZERO	10 000				
A350-941	ICAO_B	2	1	Uzljetanje	Maksimum za uzljetanje	D_1+F_D					
A350-941	ICAO_B	2	2	Penjanje	Maksimum za uzljetanje	D_1+F_D	1 000				
A350-941	ICAO_B	2	3	Ubrzanje	Maksimum za uzljetanje	D_1+F_U		1 699,9	173,160		
A350-941	ICAO_B	2	4	Ubrzanje	Maksimum za uzljetanje	D_1_U		1 812,6	198,660		
A350-941	ICAO_B	2	5	Penjanje	Maksimum za penjanje	D_ZERO	3 000				
A350-941	ICAO_B	2	6	Ubrzanje	Maksimum za penjanje	D_ZERO		1 604,5	250	60	
A350-941	ICAO_B	2	7	Penjanje	Maksimum za penjanje	D_ZERO	10 000				
A350-941	ICAO_B	3	1	Uzljetanje	Maksimum za uzljetanje	D_1+F_D					
A350-941	ICAO_B	3	2	Penjanje	Maksimum za uzljetanje	D_1+F_D	1 000				
A350-941	ICAO_B	3	3	Ubrzanje	Maksimum za uzljetanje	D_1+F_U		1 662,2	175,660		
A350-941	ICAO_B	3	4	Ubrzanje	Maksimum za uzljetanje	D_1_U		1 762,3	200,160		
A350-941	ICAO_B	3	5	Penjanje	Maksimum za penjanje	D_ZERO	3 000				
A350-941	ICAO_B	3	6	Ubrzanje	Maksimum za penjanje	D_ZERO		1 551,6	250	60	
A350-941	ICAO_B	3	7	Penjanje	Maksimum za penjanje	D_ZERO	10 000				
A350-941	ICAO_B	4	1	Uzljetanje	Maksimum za uzljetanje	D_1+F_D					
A350-941	ICAO_B	4	2	Penjanje	Maksimum za uzljetanje	D_1+F_U	1 000				
A350-941	ICAO_B	4	3	Ubrzanje	Maksimum za uzljetanje	D_1+F_U		1 586,1	179,960		
A350-941	ICAO_B	4	4	Ubrzanje	Maksimum za uzljetanje	D_1_U		1 679,8	202,760		

A350-941	ICAO_B	4	5	Penjanje	Maksimum za penjanje	D_ZERO	3 000				
A350-941	ICAO_B	4	6	Ubrzanje	Maksimum za penjanje	D_ZERO		1 465,3	250	60	
A350-941	ICAO_B	4	7	Penjanje	Maksimum za penjanje	D_ZERO	10 000				
A350-941	ICAO_B	5	1	Uzljetanje	Maksimum za uzljetanje	D_1+F_D					
A350-941	ICAO_B	5	2	Penjanje	Maksimum za uzljetanje	D_1+F_U	1 000				
A350-941	ICAO_B	5	3	Ubrzanje	Maksimum za uzljetanje	D_1+F_U		1 491,7	185,3	60	
A350-941	ICAO_B	5	4	Ubrzanje	Maksimum za uzljetanje	D_1_U		1 586,9	206,4	60	
A350-941	ICAO_B	5	5	Penjanje	Maksimum za penjanje	D_ZERO	3 000				
A350-941	ICAO_B	5	6	Ubrzanje	Maksimum za penjanje	D_ZERO		1 365,5	250	60	
A350-941	ICAO_B	5	7	Penjanje	Maksimum za penjanje	D_ZERO	10 000				
A350-941	ICAO_B	6	1	Uzljetanje	Maksimum za uzljetanje	D_1+F_D					
A350-941	ICAO_B	6	2	Penjanje	Maksimum za uzljetanje	D_1+F_U	1 000				
A350-941	ICAO_B	6	3	Ubrzanje	Maksimum za uzljetanje	D_1+F_U		1 399,5	191,1	60	
A350-941	ICAO_B	6	4	Ubrzanje	Maksimum za uzljetanje	D_1_U		1 494,1	210,4	60	
A350-941	ICAO_B	6	5	Penjanje	Maksimum za penjanje	D_ZERO	3 000				
A350-941	ICAO_B	6	6	Ubrzanje	Maksimum za penjanje	D_ZERO		1 268,2	250	60	
A350-941	ICAO_B	6	7	Penjanje	Maksimum za penjanje	D_ZERO	10 000				
A350-941	ICAO_B	7	1	Uzljetanje	Maksimum za uzljetanje	D_1+F_D					
A350-941	ICAO_B	7	2	Penjanje	Maksimum za uzljetanje	D_1+F_U	1 000				
A350-941	ICAO_B	7	3	Ubrzanje	Maksimum za uzljetanje	D_1+F_U		1 314	197	60	
A350-941	ICAO_B	7	4	Ubrzanje	Maksimum za uzljetanje	D_1_U		1 407,1	214,7	60	
A350-941	ICAO_B	7	5	Penjanje	Maksimum za penjanje	D_ZERO	3 000				
A350-941	ICAO_B	7	6	Ubrzanje	Maksimum za penjanje	D_ZERO		1 176,3	250	60	
A350-941	ICAO_B	7	7	Penjanje	Maksimum za penjanje	D_ZERO	10 000				
A350-941	ICAO_B	8	1	Uzljetanje	Maksimum za uzljetanje	D_1+F_D					
A350-941	ICAO_B	8	2	Penjanje	Maksimum za uzljetanje	D_1+F_U	1 000				

A350-941	ICAO_B	8	3Ubrzanje	Maksimum za uzljetanje	D_1+F_U		1 233,3	203,460
A350-941	ICAO_B	8	4Ubrzanje	Maksimum za uzljetanje	D_1_U		1 325,3	219,660
A350-941	ICAO_B	8	5Penjanje	Maksimum za penjanje	D_ZERO	3 000		
A350-941	ICAO_B	8	6Ubrzanje	Maksimum za penjanje	D_ZERO		1 089,2	250 60
A350-941	ICAO_B	8	7Penjanje	Maksimum za penjanje	D_ZERO	10 000		
A350-941	ICAO_B	M1	Uzljetanje	Maksimum za uzljetanje	D_1+F_D			
A350-941	ICAO_B	M2	Penjanje	Maksimum za uzljetanje	D_1+F_U	1 000		
A350-941	ICAO_B	M3	Ubrzanje	Maksimum za uzljetanje	D_1+F_U		1 185,1	207,660
A350-941	ICAO_B	M4	Ubrzanje	Maksimum za uzljetanje	D_1_U		1 275,6	222,960
A350-941	ICAO_B	M5	Penjanje	Maksimum za penjanje	D_ZERO	3 000		
A350-941	ICAO_B	M6	Ubrzanje	Maksimum za penjanje	D_ZERO		1 036,7	250 60
A350-941	ICAO_B	M7	Penjanje	Maksimum za penjanje	D_ZERO	10 000		
ATR72	DEFAULT	1	1Uzljetanje	Maksimum za uzljetanje	15			
ATR72	DEFAULT	1	2Penjanje	Maksimum za uzljetanje	15	1 000		
ATR72	DEFAULT	1	3Ubrzanje	Maksimum za penjanje	INTR		885	133,339,1
ATR72	DEFAULT	1	4Ubrzanje	Maksimum za penjanje	ZERO		1 040	142,435,6
ATR72	DEFAULT	1	5Penjanje	Maksimum za penjanje	ZERO	3 000		
ATR72	DEFAULT	1	6Ubrzanje	Maksimum za penjanje	ZERO		964	168,338,9
ATR72	DEFAULT	1	7Penjanje	Maksimum za penjanje	ZERO	5 500		
ATR72	DEFAULT	1	8Penjanje	Maksimum za penjanje	ZERO	7 500		
ATR72	DEFAULT	1	9Penjanje	Maksimum za penjanje	ZERO	10 000		
ATR72	DEFAULT	2	1Uzljetanje	Maksimum za uzljetanje	15			
ATR72	DEFAULT	2	2Penjanje	Maksimum za uzljetanje	15	1 000		
ATR72	DEFAULT	2	3Ubrzanje	Maksimum za penjanje	INTR		900	138 31,7
ATR72	DEFAULT	2	4Ubrzanje	Maksimum za penjanje	ZERO		995	147,332,2
ATR72	DEFAULT	2	5Penjanje	Maksimum za penjanje	ZERO	3 000		
ATR72	DEFAULT	2	6Ubrzanje	Maksimum za penjanje	ZERO		962	168,332,1
ATR72	DEFAULT	2	7Penjanje	Maksimum za penjanje	ZERO	5 500		

ATR72	DEFAULT2	8	Penjanje	Maksimum za penjanje	ZERO	7 500			
ATR72	DEFAULT2	9	Penjanje	Maksimum za penjanje	ZERO	10 000			
ATR72	DEFAULT3	1	Uzljetanje	Maksimum za uzljetanje	15				
ATR72	DEFAULT3	2	Penjanje	Maksimum za uzljetanje	15	1 000			
ATR72	DEFAULT3	3	Ubrzanje	Maksimum za penjanje	INTR		890	139,8	24,5
ATR72	DEFAULT3	4	Ubrzanje	Maksimum za penjanje	ZERO		942	149,2	27,9
ATR72	DEFAULT3	5	Penjanje	Maksimum za penjanje	ZERO	3 000			
ATR72	DEFAULT3	6	Ubrzanje	Maksimum za penjanje	ZERO		907	168,3	27,8
ATR72	DEFAULT3	7	Penjanje	Maksimum za penjanje	ZERO	5 500			
ATR72	DEFAULT3	8	Penjanje	Maksimum za penjanje	ZERO	7 500			
ATR72	DEFAULT3	9	Penjanje	Maksimum za penjanje	ZERO	10 000	"		

Tablica I-4 (4. dio): Uobičajeni proceduralni koraci pri odletu

ACFTID	Oznaka profila (Profile_ID)	Duljina faze	Broj koraka	Tip koraka	Režim rada motora	Zakrilca (Flap_ID)	Visina krajnje točke (ft)	Stopa penjanja (ft/min)	Kalibrirana brzina leta u krajnjoj točki (kt)	Postotak ubrzanja (Accelerate_Percent) (%)
DHC830	DEFAULT	1	1	Penjanje	Maksimum za uzljetanje	10				
DHC830	DEFAULT	1	2	Penjanje	Maksimum za uzljetanje	10	1000			
DHC830	DEFAULT	1	3	Ubrzanje	Maksimum za uzljetanje	10		1280	122	
DHC830	DEFAULT	1	4	Ubrzanje	Maksimum za penjanje	5		960	137	
DHC830	DEFAULT	1	5	Penjanje	Maksimum za penjanje	ZERO	3000			
DHC830	DEFAULT	1	6	Ubrzanje	Maksimum za penjanje	ZERO		960	179	
DHC830	DEFAULT	1	7	Penjanje	Maksimum za penjanje	ZERO	5500			
DHC830	DEFAULT	1	8	Penjanje	Maksimum za penjanje	ZERO	7500			



ThoriumSoftware d.o.o.

Mobile: +385 (0) 95 8 70 50 70
 Kontakt: Dario Ilija Rendulić
 Email:
[info@thoriumsoftware.eu;](mailto:info@thoriumsoftware.eu)
direndulic@gmail.com

DHC830	DEFAULT	1	9	Penjanje	Maksimum za penjanje	ZERO	10000			
DO228	DEFAULT	1	1	Penjanje	Maksimum za uzljetanje	FLAPS1				
DO228	DEFAULT	1	2	Ubrzanje	Maksimum za uzljetanje	FLAPS1		1000	101	
DO228	DEFAULT	1	3	Penjanje	Maksimum za uzljetanje	ZERO	1000			
DO228	DEFAULT	1	4	Ubrzanje	Maksimum za penjanje	ZERO		1000	122	
DO228	DEFAULT	1	5	Penjanje	Maksimum za penjanje	ZERO	2000			
DO228	DEFAULT	1	6	Penjanje	Maksimum za penjanje	ZERO	4000			
DO228	DEFAULT	1	7	Penjanje	Maksimum za penjanje	ZERO	6000			
DO228	DEFAULT	1	8	Penjanje	Maksimum za penjanje	ZERO	8000			
DO228	DEFAULT	1	9	Penjanje	Maksimum za penjanje	ZERO	10000			
DO328	DEFAULT	1	1	Penjanje	Maksimum za uzljetanje	F12-D				
DO328	DEFAULT	1	2	Ubrzanje	Maksimum za uzljetanje	F12-D		1000	120	
DO328	DEFAULT	1	3	Penjanje	Maksimum za uzljetanje	ZERO	1000			
DO328	DEFAULT	1	4	Ubrzanje	Maksimum za uzljetanje	ZERO		1000	130	
DO328	DEFAULT	1	5	Penjanje	Maksimum za penjanje	ZERO	2000			
DO328	DEFAULT	1	6	Penjanje	Maksimum za penjanje	ZERO	4000			
DO328	DEFAULT	1	7	Penjanje	Maksimum za penjanje	ZERO	6000			



ThoriumSoftware d.o.o.

Mobile: +385 (0) 95 8 70 50 70
 Kontakt: Dario Ilija Rendulić
 Email:
[info@thoriumsoftware.eu;](mailto:info@thoriumsoftware.eu)
direndulic@gmail.com

DO328	DEFAULT	1	8	Penjanje	Maksimum za penjanje	ZERO	8000			
DO328	DEFAULT	1	9	Penjanje	Maksimum za penjanje	ZERO	10000			
ECLIPSE500	DEFAULT	1	1	Penjanje	Maksimum za uzljetanje	TO_DN				
ECLIPSE500	DEFAULT	1	2	Penjanje	Maksimum za uzljetanje	TO_DN	200			
ECLIPSE500	DEFAULT	1	3	Penjanje	Maksimum za uzljetanje	TO_UP	400			
ECLIPSE500	DEFAULT	1	4	Ubrzanje	Maksimum za penjanje	UP_UP		1972,9	114	
ECLIPSE500	DEFAULT	1	5	Ubrzanje	Maksimum za penjanje	UP_UP		2153,3	130,7	
ECLIPSE500	DEFAULT	1	6	Ubrzanje	Maksimum za penjanje	UP_UP		2276	145,3	
ECLIPSE500	DEFAULT	1	7	Ubrzanje	Maksimum za penjanje	UP_UP		2313,3	158,2	
ECLIPSE500	DEFAULT	1	8	Ubrzanje	Maksimum za penjanje	UP_UP		2288,2	170	
ECLIPSE500	DEFAULT	1	9	Penjanje	Smanjeni potisak za penjanje	UP_UP	6000			
ECLIPSE500	DEFAULT	1	10	Penjanje	Smanjeni potisak za penjanje	UP_UP	8000			
ECLIPSE500	DEFAULT	1	11	Penjanje	Smanjeni potisak za penjanje	UP_UP	10000			
ECLIPSE500	DEFAULT	2	1	Penjanje	Maksimum za uzljetanje	TO_DN				
ECLIPSE500	DEFAULT	2	2	Penjanje	Maksimum za uzljetanje	TO_DN	200			
ECLIPSE500	DEFAULT	2	3	Penjanje	Maksimum za uzljetanje	TO_UP	400			



ThoriumSoftware d.o.o.

Mobile: +385 (0) 95 8 70 50 70
 Kontakt: Dario Ilija Rendulić
 Email:
[info@thoriumsoftware.eu;](mailto:info@thoriumsoftware.eu)
direndulic@gmail.com

ECLIPSE500	DEFAULT	2	4	Ubrzanje	Maksimum za penjanje	UP_UP		1803,3	114,8	
ECLIPSE500	DEFAULT	2	5	Ubrzanje	Maksimum za penjanje	UP_UP		1971,7	131,2	
ECLIPSE500	DEFAULT	2	6	Ubrzanje	Maksimum za penjanje	UP_UP		2087,6	145,6	
ECLIPSE500	DEFAULT	2	7	Ubrzanje	Maksimum za penjanje	UP_UP		2124,1	158,4	
ECLIPSE500	DEFAULT	2	8	Ubrzanje	Maksimum za penjanje	UP_UP		2102,8	170	
ECLIPSE500	DEFAULT	2	9	Penjanje	Smanjeni potisak za penjanje	UP_UP	6000			
ECLIPSE500	DEFAULT	2	10	Penjanje	Smanjeni potisak za penjanje	UP_UP	8000			
ECLIPSE500	DEFAULT	2	11	Penjanje	Smanjeni potisak za penjanje	UP_UP	10000			
ECLIPSE500	DEFAULT	3	1	Penjanje	Maksimum za uzlijetanje	TO_DN				
ECLIPSE500	DEFAULT	3	2	Penjanje	Maksimum za uzlijetanje	TO_DN	200			
ECLIPSE500	DEFAULT	3	3	Penjanje	Maksimum za uzlijetanje	TO_UP	400			
ECLIPSE500	DEFAULT	3	4	Ubrzanje	Maksimum za penjanje	UP_UP		1760,4	115	
ECLIPSE500	DEFAULT	3	5	Ubrzanje	Maksimum za penjanje	UP_UP		1926,2	131,4	
ECLIPSE500	DEFAULT	3	6	Ubrzanje	Maksimum za penjanje	UP_UP		2039,6	145,7	
ECLIPSE500	DEFAULT	3	7	Ubrzanje	Maksimum za penjanje	UP_UP		2075,3	158,4	
ECLIPSE500	DEFAULT	3	8	Ubrzanje	Maksimum za penjanje	UP_UP		2054,5	170	
ECLIPSE500	DEFAULT	3	9	Penjanje	Smanjeni potisak za penjanje	UP_UP	6000			

ECLIPSE500	DEFAULT	3	10	Penjanje	Smanjeni potisak za penjanje	UP_UP	8000			
ECLIPSE500	DEFAULT	3	11	Penjanje	Smanjeni potisak za penjanje	UP_UP	10000			
ECLIPSE500	HI_ALT	1	1	Penjanje	Maksimum za uzlijetanje	TO_DN				
ECLIPSE500	HI_ALT	1	2	Penjanje	Maksimum za uzlijetanje	TO_DN	200			
ECLIPSE500	HI_ALT	1	3	Penjanje	Maksimum za uzlijetanje	TO_UP	400			
ECLIPSE500	HI_ALT	1	4	Ubrzanje	Smanjeni potisak za penjanje	UP_UP		1798,3	113,9	
ECLIPSE500	HI_ALT	1	5	Ubrzanje	Smanjeni potisak za penjanje	UP_UP		1951,8	130,7	
ECLIPSE500	HI_ALT	1	6	Ubrzanje	Smanjeni potisak za penjanje	UP_UP		2043,9	145,3	
ECLIPSE500	HI_ALT	1	7	Ubrzanje	Smanjeni potisak za penjanje	UP_UP		2054,7	158,2	
ECLIPSE500	HI_ALT	1	8	Ubrzanje	Smanjeni potisak za penjanje	UP_UP		1998,7	170	
ECLIPSE500	HI_ALT	1	9	Penjanje	Smanjeni potisak za penjanje	UP_UP	6000			
ECLIPSE500	HI_ALT	1	10	Penjanje	Smanjeni potisak za penjanje	UP_UP	8000			
ECLIPSE500	HI_ALT	1	11	Penjanje	Smanjeni potisak za penjanje	UP_UP	10000			
ECLIPSE500	HI_ALT	2	1	Penjanje	Maksimum za uzlijetanje	TO_DN				
ECLIPSE500	HI_ALT	2	2	Penjanje	Maksimum za uzlijetanje	TO_DN	200			

ECLIPSE500	HI_ALT	2	3	Penjanje	Maksimum za uzljetanje	TO_UP	400			
ECLIPSE500	HI_ALT	2	4	Ubrzanje	Smanjeni potisak za penjanje	UP_UP		1637	114,8	
ECLIPSE500	HI_ALT	2	5	Ubrzanje	Smanjeni potisak za penjanje	UP_UP		1780,8	131,2	
ECLIPSE500	HI_ALT	2	6	Ubrzanje	Smanjeni potisak za penjanje	UP_UP		1868,3	145,6	
ECLIPSE500	HI_ALT	2	7	Ubrzanje	Smanjeni potisak za penjanje	UP_UP		1880,3	158,4	
ECLIPSE500	HI_ALT	2	8	Ubrzanje	Smanjeni potisak za penjanje	UP_UP		1838,2	170	
ECLIPSE500	HI_ALT	2	9	Penjanje	Smanjeni potisak za penjanje	UP_UP	6000			
ECLIPSE500	HI_ALT	2	10	Penjanje	Smanjeni potisak za penjanje	UP_UP	8000			
ECLIPSE500	HI_ALT	2	11	Penjanje	Smanjeni potisak za penjanje	UP_UP	10000			
ECLIPSE500	HI_ALT	3	1	Penjanje	Maksimum za uzljetanje	TO_DN				
ECLIPSE500	HI_ALT	3	2	Penjanje	Maksimum za uzljetanje	TO_DN	200			
ECLIPSE500	HI_ALT	3	3	Penjanje	Maksimum za uzljetanje	TO_UP	400			
ECLIPSE500	HI_ALT	3	4	Ubrzanje	Smanjeni potisak za penjanje	UP_UP		1595,5	115	
ECLIPSE500	HI_ALT	3	5	Ubrzanje	Smanjeni potisak za penjanje	UP_UP		1736,8	131,4	
ECLIPSE500	HI_ALT	3	6	Ubrzanje	Smanjeni potisak za penjanje	UP_UP		1823,1	145,6	



ThoriumSoftware d.o.o.

Mobile: +385 (0) 95 8 70 50 70
 Kontakt: Dario Ilija Rendulić
 Email:
[info@thoriumsoftware.eu;](mailto:info@thoriumsoftware.eu)
direndulic@gmail.com

ECLIPSE500	HI_ALT	3	7	Ubrzanje	Smanjeni potisak za penjanje	UP_UP		1835,6	158,4	
ECLIPSE500	HI_ALT	3	8	Ubrzanje	Smanjeni potisak za penjanje	UP_UP		1794,8	170	
ECLIPSE500	HI_ALT	3	9	Penjanje	Smanjeni potisak za penjanje	UP_UP	6000			
ECLIPSE500	HI_ALT	3	10	Penjanje	Smanjeni potisak za penjanje	UP_UP	8000			
ECLIPSE500	HI_ALT	3	11	Penjanje	Smanjeni potisak za penjanje	UP_UP	10000			
EMB120	DEFAULT	1	1	Penjanje	Maksimum za uzljetanje	15				
EMB120	DEFAULT	1	2	Penjanje	Maksimum za uzljetanje	15	1000			
EMB120	DEFAULT	1	3	Ubrzanje	Maksimum za uzljetanje	15		460	130	
EMB120	DEFAULT	1	4	Ubrzanje	Maksimum za uzljetanje	ZERO		345	135	
EMB120	DEFAULT	1	5	Ubrzanje	Maksimum za penjanje	ZERO		1000	143	
EMB120	DEFAULT	1	6	Penjanje	Maksimum za penjanje	ZERO	3000			
EMB120	DEFAULT	1	7	Penjanje	Maksimum za penjanje	ZERO	5500			
EMB120	DEFAULT	1	8	Penjanje	Maksimum za penjanje	ZERO	7500			
EMB120	DEFAULT	1	9	Penjanje	Maksimum za penjanje	ZERO	10000			
EMB145	DEFAULT	1	1	Penjanje	Maksimum za uzljetanje	9-GEAR				
EMB145	DEFAULT	1	2	Penjanje	Maksimum za uzljetanje	9	1000			



ThoriumSoftware d.o.o.

Mobile: +385 (0) 95 8 70 50 70
 Kontakt: Dario Ilija Rendulić
 Email:
[info@thoriumsoftware.eu;](mailto:info@thoriumsoftware.eu)
direndulic@gmail.com

EMB145	DEFAULT	1	3	Ubrzanje	Maksimum za penjanje	ZERO		1367	220	
EMB145	DEFAULT	1	4	Penjanje	Maksimum za penjanje	ZERO	3000			
EMB145	DEFAULT	1	5	Ubrzanje	Maksimum za penjanje	ZERO		1000	250	
EMB145	DEFAULT	1	6	Penjanje	Maksimum za penjanje	ZERO	5500			
EMB145	DEFAULT	1	7	Penjanje	Maksimum za penjanje	ZERO	7500			
EMB145	DEFAULT	1	8	Penjanje	Maksimum za penjanje	ZERO	10000			
EMB145	DEFAULT	2	1	Penjanje	Maksimum za uzljetanje	9-GEAR				
EMB145	DEFAULT	2	2	Penjanje	Maksimum za uzljetanje	9	1000			
EMB145	DEFAULT	2	3	Ubrzanje	Maksimum za penjanje	ZERO		1334	220	
EMB145	DEFAULT	2	4	Penjanje	Maksimum za penjanje	ZERO	3000			
EMB145	DEFAULT	2	5	Ubrzanje	Maksimum za penjanje	ZERO		1000	250	
EMB145	DEFAULT	2	6	Penjanje	Maksimum za penjanje	ZERO	5500			
EMB145	DEFAULT	2	7	Penjanje	Maksimum za penjanje	ZERO	7500			
EMB145	DEFAULT	2	8	Penjanje	Maksimum za penjanje	ZERO	10000			
EMB145	DEFAULT	3	1	Penjanje	Maksimum za uzljetanje	9-GEAR				
EMB145	DEFAULT	3	2	Penjanje	Maksimum za uzljetanje	9	1000			
EMB145	DEFAULT	3	3	Ubrzanje	Maksimum za penjanje	ZERO		1315	220	
EMB145	DEFAULT	3	4	Penjanje	Maksimum za penjanje	ZERO	3000			



ThoriumSoftware d.o.o.

Mobile: +385 (0) 95 8 70 50 70
 Kontakt: Dario Ilija Rendulić
 Email:
[info@thoriumsoftware.eu;](mailto:info@thoriumsoftware.eu)
direndulic@gmail.com

EMB145	DEFAULT	3	5	Ubrzanje	Maksimum za penjanje	ZERO		1000	250	
EMB145	DEFAULT	3	6	Penjanje	Maksimum za penjanje	ZERO	5500			
EMB145	DEFAULT	3	7	Penjanje	Maksimum za penjanje	ZERO	7500			
EMB145	DEFAULT	3	8	Penjanje	Maksimum za penjanje	ZERO	10000			
EMB145	DEFAULT	4	1	Penjanje	Maksimum za uzljetanje	9-GEAR				
EMB145	DEFAULT	4	2	Penjanje	Maksimum za uzljetanje	9	1000			
EMB145	DEFAULT	4	3	Ubrzanje	Maksimum za penjanje	ZERO		1293	220	
EMB145	DEFAULT	4	4	Penjanje	Maksimum za penjanje	ZERO	3200			
EMB145	DEFAULT	4	5	Ubrzanje	Maksimum za penjanje	ZERO		1000	250	
EMB145	DEFAULT	4	6	Penjanje	Maksimum za penjanje	ZERO	5500			
EMB145	DEFAULT	4	7	Penjanje	Maksimum za penjanje	ZERO	7500			
EMB145	DEFAULT	4	8	Penjanje	Maksimum za penjanje	ZERO	10000			
EMB14L	DEFAULT	1	1	Penjanje	Maksimum za uzljetanje	9-GEAR				
EMB14L	DEFAULT	1	2	Penjanje	Maksimum za uzljetanje	9	1000			
EMB14L	DEFAULT	1	3	Ubrzanje	Maksimum za penjanje	ZERO		1465	220	
EMB14L	DEFAULT	1	4	Penjanje	Maksimum za penjanje	ZERO	3000			
EMB14L	DEFAULT	1	5	Ubrzanje	Maksimum za penjanje	ZERO		1000	250	
EMB14L	DEFAULT	1	6	Penjanje	Maksimum za penjanje	ZERO	5500			



ThoriumSoftware d.o.o.

Mobile: +385 (0) 95 8 70 50 70
 Kontakt: Dario Ilija Rendulić
 Email:
[info@thoriumsoftware.eu;](mailto:info@thoriumsoftware.eu)
direndulic@gmail.com

EMB14L	DEFAULT	1	7	Penjanje	Maksimum za penjanje	ZERO	7500			
EMB14L	DEFAULT	1	8	Penjanje	Maksimum za penjanje	ZERO	10000			
EMB14L	DEFAULT	2	1	Penjanje	Maksimum za uzljetanje	9-GEAR				
EMB14L	DEFAULT	2	2	Penjanje	Maksimum za uzljetanje	9	1000			
EMB14L	DEFAULT	2	3	Ubrzanje	Maksimum za penjanje	ZERO		1420	220	
EMB14L	DEFAULT	2	4	Penjanje	Maksimum za penjanje	ZERO	3000			
EMB14L	DEFAULT	2	5	Ubrzanje	Maksimum za penjanje	ZERO		1000	250	
EMB14L	DEFAULT	2	6	Penjanje	Maksimum za penjanje	ZERO	5500			
EMB14L	DEFAULT	2	7	Penjanje	Maksimum za penjanje	ZERO	7500			
EMB14L	DEFAULT	2	8	Penjanje	Maksimum za penjanje	ZERO	10000			
EMB14L	DEFAULT	3	1	Penjanje	Maksimum za uzljetanje	9-GEAR				
EMB14L	DEFAULT	3	2	Penjanje	Maksimum za uzljetanje	9	1000			
EMB14L	DEFAULT	3	3	Ubrzanje	Maksimum za penjanje	ZERO		1395	220	
EMB14L	DEFAULT	3	4	Penjanje	Maksimum za penjanje	ZERO	3000			
EMB14L	DEFAULT	3	5	Ubrzanje	Maksimum za penjanje	ZERO		1000	250	
EMB14L	DEFAULT	3	6	Penjanje	Maksimum za penjanje	ZERO	5500			
EMB14L	DEFAULT	3	7	Penjanje	Maksimum za penjanje	ZERO	7500			
EMB14L	DEFAULT	3	8	Penjanje	Maksimum za penjanje	ZERO	10000			



ThoriumSoftware d.o.o.

Mobile: +385 (0) 95 8 70 50 70
 Kontakt: Dario Ilija Rendulić
 Email:
[info@thoriumsoftware.eu;](mailto:info@thoriumsoftware.eu)
direndulic@gmail.com

EMB14L	DEFAULT	4	1	Penjanje	Maksimum za uzlijetanje	9-GEAR				
EMB14L	DEFAULT	4	2	Penjanje	Maksimum za uzlijetanje	9	1000			
EMB14L	DEFAULT	4	3	Ubrzanje	Maksimum za penjanje	ZERO		1366	220	
EMB14L	DEFAULT	4	4	Penjanje	Maksimum za penjanje	ZERO	3000			
EMB14L	DEFAULT	4	5	Ubrzanje	Maksimum za penjanje	ZERO		1000	250	
EMB14L	DEFAULT	4	6	Penjanje	Maksimum za penjanje	ZERO	5500			
EMB14L	DEFAULT	4	7	Penjanje	Maksimum za penjanje	ZERO	7500			
EMB14L	DEFAULT	4	8	Penjanje	Maksimum za penjanje	ZERO	10000			
EMB14L	DEFAULT	5	1	Penjanje	Maksimum za uzlijetanje	9-GEAR				
EMB14L	DEFAULT	5	2	Penjanje	Maksimum za uzlijetanje	9	1000			
EMB14L	DEFAULT	5	3	Ubrzanje	Maksimum za penjanje	ZERO		1335	220	
EMB14L	DEFAULT	5	4	Penjanje	Maksimum za penjanje	ZERO	3000			
EMB14L	DEFAULT	5	5	Ubrzanje	Maksimum za penjanje	ZERO		1000	250	
EMB14L	DEFAULT	5	6	Penjanje	Maksimum za penjanje	ZERO	5500			
EMB14L	DEFAULT	5	7	Penjanje	Maksimum za penjanje	ZERO	7500			
EMB14L	DEFAULT	5	8	Penjanje	Maksimum za penjanje	ZERO	10000			
EMB14L	DEFAULT	6	1	Penjanje	Maksimum za uzlijetanje	9-GEAR				



ThoriumSoftware d.o.o.

Mobile: +385 (0) 95 8 70 50 70
 Kontakt: Dario Ilija Rendulić
 Email:
[info@thoriumsoftware.eu;](mailto:info@thoriumsoftware.eu)
direndulic@gmail.com

EMB14L	DEFAULT	6	2	Penjanje	Maksimum za uzlijetanje	9	1000			
EMB14L	DEFAULT	6	3	Ubrzanje	Maksimum za penjanje	ZERO		1298	220	
EMB14L	DEFAULT	6	4	Penjanje	Maksimum za penjanje	ZERO	3000			
EMB14L	DEFAULT	6	5	Ubrzanje	Maksimum za penjanje	ZERO		1000	250	
EMB14L	DEFAULT	6	6	Penjanje	Maksimum za penjanje	ZERO	5500			
EMB14L	DEFAULT	6	7	Penjanje	Maksimum za penjanje	ZERO	7500			
EMB14L	DEFAULT	6	8	Penjanje	Maksimum za penjanje	ZERO	10000			
EMB170	DEFAULT	1	1	Penjanje	Maksimum za uzlijetanje	1				
EMB170	DEFAULT	1	2	Penjanje	Maksimum za uzlijetanje	1	1000			
EMB170	DEFAULT	1	3	Ubrzanje	Maksimum za penjanje	ZERO		1936	196	
EMB170	DEFAULT	1	4	Penjanje	Maksimum za penjanje	ZERO	3000			
EMB170	DEFAULT	1	5	Ubrzanje	Maksimum za penjanje	ZERO		2339	240	
EMB170	DEFAULT	1	6	Penjanje	Maksimum za penjanje	ZERO	5500			
EMB170	DEFAULT	1	7	Penjanje	Maksimum za penjanje	ZERO	7500			
EMB170	DEFAULT	1	8	Penjanje	Maksimum za penjanje	ZERO	10000			
EMB170	DEFAULT	2	1	Penjanje	Maksimum za uzlijetanje	1				
EMB170	DEFAULT	2	2	Penjanje	Maksimum za uzlijetanje	1	1000			
EMB170	DEFAULT	2	3	Ubrzanje	Maksimum za penjanje	ZERO		1836	197,1	



ThoriumSoftware d.o.o.

Mobile: +385 (0) 95 8 70 50 70
 Kontakt: Dario Ilija Rendulić
 Email:
[info@thoriumsoftware.eu;](mailto:info@thoriumsoftware.eu)
direndulic@gmail.com

EMB170	DEFAULT	2	4	Penjanje	Maksimum za penjanje	ZERO	3000			
EMB170	DEFAULT	2	5	Ubrzanje	Maksimum za penjanje	ZERO		2228	240	
EMB170	DEFAULT	2	6	Penjanje	Maksimum za penjanje	ZERO	5500			
EMB170	DEFAULT	2	7	Penjanje	Maksimum za penjanje	ZERO	7500			
EMB170	DEFAULT	2	8	Penjanje	Maksimum za penjanje	ZERO	10000			
EMB170	DEFAULT	3	1	Penjanje	Maksimum za uzljetanje	1				
EMB170	DEFAULT	3	2	Penjanje	Maksimum za uzljetanje	1	1000			
EMB170	DEFAULT	3	3	Ubrzanje	Maksimum za penjanje	ZERO		1772	200,9	
EMB170	DEFAULT	3	4	Penjanje	Maksimum za penjanje	ZERO	3000			
EMB170	DEFAULT	3	5	Ubrzanje	Maksimum za penjanje	ZERO		2120	240	
EMB170	DEFAULT	3	6	Penjanje	Maksimum za penjanje	ZERO	5500			
EMB170	DEFAULT	3	7	Penjanje	Maksimum za penjanje	ZERO	7500			
EMB170	DEFAULT	3	8	Penjanje	Maksimum za penjanje	ZERO	10000			
EMB170	ICAO_A	1	1	Penjanje	Maksimum za uzljetanje	1				
EMB170	ICAO_A	1	2	Penjanje	Maksimum za uzljetanje	1	1500			
EMB170	ICAO_A	1	3	Penjanje	Maksimum za penjanje	1	3000			
EMB170	ICAO_A	1	4	Ubrzanje	Maksimum za penjanje	ZERO		1650	195	
EMB170	ICAO_A	1	5	Ubrzanje	Maksimum za penjanje	ZERO		2035	240	



ThoriumSoftware d.o.o.

Mobile: +385 (0) 95 8 70 50 70
 Kontakt: Dario Ilija Rendulić
 Email:
[info@thoriumsoftware.eu;](mailto:info@thoriumsoftware.eu)
direndulic@gmail.com

EMB170	ICAO_A	1	6	Penjanje	Maksimum za penjanje	ZERO	5500			
EMB170	ICAO_A	1	7	Penjanje	Maksimum za penjanje	ZERO	7500			
EMB170	ICAO_A	1	8	Penjanje	Maksimum za penjanje	ZERO	10000			
EMB170	ICAO_A	2	1	Penjanje	Maksimum za uzljetanje	1				
EMB170	ICAO_A	2	2	Penjanje	Maksimum za uzljetanje	1	1500			
EMB170	ICAO_A	2	3	Penjanje	Maksimum za penjanje	1	3000			
EMB170	ICAO_A	2	4	Ubrzanje	Maksimum za penjanje	ZERO		1617	198,1	
EMB170	ICAO_A	2	5	Ubrzanje	Maksimum za penjanje	ZERO		1944	240	
EMB170	ICAO_A	2	6	Penjanje	Maksimum za penjanje	ZERO	5500			
EMB170	ICAO_A	2	7	Penjanje	Maksimum za penjanje	ZERO	7500			
EMB170	ICAO_A	2	8	Penjanje	Maksimum za penjanje	ZERO	10000			
EMB170	ICAO_A	3	1	Penjanje	Maksimum za uzljetanje	1				
EMB170	ICAO_A	3	2	Penjanje	Maksimum za uzljetanje	1	1500			
EMB170	ICAO_A	3	3	Penjanje	Maksimum za penjanje	1	3000			
EMB170	ICAO_A	3	4	Ubrzanje	Maksimum za penjanje	ZERO		1546	200,4	
EMB170	ICAO_A	3	5	Ubrzanje	Maksimum za penjanje	ZERO		1850	240	
EMB170	ICAO_A	3	6	Penjanje	Maksimum za penjanje	ZERO	5500			
EMB170	ICAO_A	3	7	Penjanje	Maksimum za penjanje	ZERO	7500			



ThoriumSoftware d.o.o.

Mobile: +385 (0) 95 8 70 50 70
 Kontakt: Dario Ilija Rendulić
 Email:
[info@thoriumsoftware.eu;](mailto:info@thoriumsoftware.eu)
direndulic@gmail.com

EMB170	ICAO_A	3	8	Penjanje	Maksimum za penjanje	ZERO	10000			
EMB170	ICAO_B	1	1	Penjanje	Maksimum za uzljetanje	1				
EMB170	ICAO_B	1	2	Penjanje	Maksimum za uzljetanje	1	1000			
EMB170	ICAO_B	1	3	Ubrzanje	Maksimum za uzljetanje	ZERO		1899	195,5	
EMB170	ICAO_B	1	4	Penjanje	Maksimum za penjanje	ZERO	3000			
EMB170	ICAO_B	1	5	Ubrzanje	Maksimum za penjanje	ZERO		2301	240	
EMB170	ICAO_B	1	6	Penjanje	Maksimum za penjanje	ZERO	5500			
EMB170	ICAO_B	1	7	Penjanje	Maksimum za penjanje	ZERO	7500			
EMB170	ICAO_B	1	8	Penjanje	Maksimum za penjanje	ZERO	10000			
EMB170	ICAO_B	2	1	Penjanje	Maksimum za uzljetanje	1				
EMB170	ICAO_B	2	2	Penjanje	Maksimum za uzljetanje	1	1000			
EMB170	ICAO_B	2	3	Ubrzanje	Maksimum za uzljetanje	ZERO		1823	198,2	
EMB170	ICAO_B	2	4	Penjanje	Maksimum za penjanje	ZERO	3000			
EMB170	ICAO_B	2	5	Ubrzanje	Maksimum za penjanje	ZERO		2195	240	
EMB170	ICAO_B	2	6	Penjanje	Maksimum za penjanje	ZERO	5500			
EMB170	ICAO_B	2	7	Penjanje	Maksimum za penjanje	ZERO	7500			
EMB170	ICAO_B	2	8	Penjanje	Maksimum za penjanje	ZERO	10000			



ThoriumSoftware d.o.o.

Mobile: +385 (0) 95 8 70 50 70
 Kontakt: Dario Ilija Rendulić
 Email:
[info@thoriumsoftware.eu;](mailto:info@thoriumsoftware.eu)
direndulic@gmail.com

EMB170	ICAO_B	3	1	Penjanje	Maksimum za uzlijetanje	1				
EMB170	ICAO_B	3	2	Penjanje	Maksimum za uzlijetanje	1	1000			
EMB170	ICAO_B	3	3	Ubrzanje	Maksimum za uzlijetanje	ZERO		1743	201	
EMB170	ICAO_B	3	4	Penjanje	Maksimum za penjanje	ZERO	3000			
EMB170	ICAO_B	3	5	Ubrzanje	Maksimum za penjanje	ZERO		2085	240	
EMB170	ICAO_B	3	6	Penjanje	Maksimum za penjanje	ZERO	5500			
EMB170	ICAO_B	3	7	Penjanje	Maksimum za penjanje	ZERO	7500			
EMB170	ICAO_B	3	8	Penjanje	Maksimum za penjanje	ZERO	10000			
EMB175	DEFAULT	1	1	Penjanje	Maksimum za uzlijetanje	1				
EMB175	DEFAULT	1	2	Penjanje	Maksimum za uzlijetanje	1	1000			
EMB175	DEFAULT	1	3	Ubrzanje	Maksimum za penjanje	ZERO		1900	196	
EMB175	DEFAULT	1	4	Penjanje	Maksimum za penjanje	ZERO	3000			
EMB175	DEFAULT	1	5	Ubrzanje	Maksimum za penjanje	ZERO		2308	240	
EMB175	DEFAULT	1	6	Penjanje	Maksimum za penjanje	ZERO	5500			
EMB175	DEFAULT	1	7	Penjanje	Maksimum za penjanje	ZERO	7500			
EMB175	DEFAULT	1	8	Penjanje	Maksimum za penjanje	ZERO	10000			
EMB175	DEFAULT	2	1	Penjanje	Maksimum za uzlijetanje	1				



ThoriumSoftware d.o.o.

Mobile: +385 (0) 95 8 70 50 70
 Kontakt: Dario Ilija Rendulić
 Email:
[info@thoriumsoftware.eu;](mailto:info@thoriumsoftware.eu)
direndulic@gmail.com

EMB175	DEFAULT	2	2	Penjanje	Maksimum za uzlijetanje	1	1000			
EMB175	DEFAULT	2	3	Ubrzanje	Maksimum za penjanje	ZERO		1823	198,1	
EMB175	DEFAULT	2	4	Penjanje	Maksimum za penjanje	ZERO	3000			
EMB175	DEFAULT	2	5	Ubrzanje	Maksimum za penjanje	ZERO		2190	240	
EMB175	DEFAULT	2	6	Penjanje	Maksimum za penjanje	ZERO	5500			
EMB175	DEFAULT	2	7	Penjanje	Maksimum za penjanje	ZERO	7500			
EMB175	DEFAULT	2	8	Penjanje	Maksimum za penjanje	ZERO	10000			
EMB175	DEFAULT	3	1	Penjanje	Maksimum za uzlijetanje	1				
EMB175	DEFAULT	3	2	Penjanje	Maksimum za uzlijetanje	1	1000			
EMB175	DEFAULT	3	3	Ubrzanje	Maksimum za penjanje	ZERO		1745	200,3	
EMB175	DEFAULT	3	4	Penjanje	Maksimum za penjanje	ZERO	3000			
EMB175	DEFAULT	3	5	Ubrzanje	Maksimum za penjanje	ZERO		2086	240	
EMB175	DEFAULT	3	6	Penjanje	Maksimum za penjanje	ZERO	5500			
EMB175	DEFAULT	3	7	Penjanje	Maksimum za penjanje	ZERO	7500			
EMB175	DEFAULT	3	8	Penjanje	Maksimum za penjanje	ZERO	10000			
EMB175	ICAO_A	1	1	Penjanje	Maksimum za uzlijetanje	1				
EMB175	ICAO_A	1	2	Penjanje	Maksimum za uzlijetanje	1	1500			
EMB175	ICAO_A	1	3	Penjanje	Maksimum za penjanje	1	3000			



ThoriumSoftware d.o.o.

Mobile: +385 (0) 95 8 70 50 70
 Kontakt: Dario Ilija Rendulić
 Email:
[info@thoriumsoftware.eu;](mailto:info@thoriumsoftware.eu)
direndulic@gmail.com

EMB175	ICAO_A	1	4	Ubrzanje	Maksimum za penjanje	ZERO		1634	195	
EMB175	ICAO_A	1	5	Ubrzanje	Maksimum za penjanje	ZERO		1979	240	
EMB175	ICAO_A	1	6	Penjanje	Maksimum za penjanje	ZERO	5500			
EMB175	ICAO_A	1	7	Penjanje	Maksimum za penjanje	ZERO	7500			
EMB175	ICAO_A	1	8	Penjanje	Maksimum za penjanje	ZERO	10000			
EMB175	ICAO_A	2	1	Penjanje	Maksimum za uzljetanje	1				
EMB175	ICAO_A	2	2	Penjanje	Maksimum za uzljetanje	1	1500			
EMB175	ICAO_A	2	3	Penjanje	Maksimum za penjanje	1	3000			
EMB175	ICAO_A	2	4	Ubrzanje	Maksimum za penjanje	ZERO		1568	198,5	
EMB175	ICAO_A	2	5	Ubrzanje	Maksimum za penjanje	ZERO		1885	240	
EMB175	ICAO_A	2	6	Penjanje	Maksimum za penjanje	ZERO	5500			
EMB175	ICAO_A	2	7	Penjanje	Maksimum za penjanje	ZERO	7500			
EMB175	ICAO_A	2	8	Penjanje	Maksimum za penjanje	ZERO	10000			
EMB175	ICAO_A	3	1	Penjanje	Maksimum za uzljetanje	1				
EMB175	ICAO_A	3	2	Penjanje	Maksimum za uzljetanje	1	1500			
EMB175	ICAO_A	3	3	Penjanje	Maksimum za penjanje	1	3000			
EMB175	ICAO_A	3	4	Ubrzanje	Maksimum za penjanje	ZERO		1499	201,3	
EMB175	ICAO_A	3	5	Ubrzanje	Maksimum za penjanje	ZERO		1794	240	



ThoriumSoftware d.o.o.

Mobile: +385 (0) 95 8 70 50 70
 Kontakt: Dario Ilija Rendulić
 Email:
[info@thoriumsoftware.eu;](mailto:info@thoriumsoftware.eu)
direndulic@gmail.com

EMB175	ICAO_A	3	6	Penjanje	Maksimum za penjanje	ZERO	5500			
EMB175	ICAO_A	3	7	Penjanje	Maksimum za penjanje	ZERO	7500			
EMB175	ICAO_A	3	8	Penjanje	Maksimum za penjanje	ZERO	10000			
EMB175	ICAO_B	1	1	Penjanje	Maksimum za uzljetanje	1				
EMB175	ICAO_B	1	2	Penjanje	Maksimum za uzljetanje	1	1000			
EMB175	ICAO_B	1	3	Ubrzanje	Maksimum za uzljetanje	ZERO		1818	195,5	
EMB175	ICAO_B	1	4	Penjanje	Maksimum za penjanje	ZERO	3000			
EMB175	ICAO_B	1	5	Ubrzanje	Maksimum za penjanje	ZERO		2202	240	
EMB175	ICAO_B	1	6	Penjanje	Maksimum za penjanje	ZERO	5500			
EMB175	ICAO_B	1	7	Penjanje	Maksimum za penjanje	ZERO	7500			
EMB175	ICAO_B	1	8	Penjanje	Maksimum za penjanje	ZERO	10000			
EMB175	ICAO_B	2	1	Penjanje	Maksimum za uzljetanje	1				
EMB175	ICAO_B	2	2	Penjanje	Maksimum za uzljetanje	1	1000			
EMB175	ICAO_B	2	3	Ubrzanje	Maksimum za uzljetanje	ZERO		1744	197,1	
EMB175	ICAO_B	2	4	Penjanje	Maksimum za penjanje	ZERO	3000			
EMB175	ICAO_B	2	5	Ubrzanje	Maksimum za penjanje	ZERO		2099	240	
EMB175	ICAO_B	2	6	Penjanje	Maksimum za penjanje	ZERO	5500			



ThoriumSoftware d.o.o.

Mobile: +385 (0) 95 8 70 50 70
 Kontakt: Dario Ilija Rendulić
 Email:
[info@thoriumsoftware.eu;](mailto:info@thoriumsoftware.eu)
direndulic@gmail.com

EMB175	ICAO_B	2	7	Penjanje	Maksimum za penjanje	ZERO	7500			
EMB175	ICAO_B	2	8	Penjanje	Maksimum za penjanje	ZERO	10000			
EMB175	ICAO_B	3	1	Penjanje	Maksimum za uzljetanje	1				
EMB175	ICAO_B	3	2	Penjanje	Maksimum za uzljetanje	1	1000			
EMB175	ICAO_B	3	3	Ubrzanje	Maksimum za uzljetanje	ZERO		1668	200,8	
EMB175	ICAO_B	3	4	Penjanje	Maksimum za penjanje	ZERO	3000			
EMB175	ICAO_B	3	5	Ubrzanje	Maksimum za penjanje	ZERO		1996	240	
EMB175	ICAO_B	3	6	Penjanje	Maksimum za penjanje	ZERO	5500			
EMB175	ICAO_B	3	7	Penjanje	Maksimum za penjanje	ZERO	7500			
EMB175	ICAO_B	3	8	Penjanje	Maksimum za penjanje	ZERO	10000			
EMB190	DEFAULT	1	1	Penjanje	Maksimum za uzljetanje	1				
EMB190	DEFAULT	1	2	Penjanje	Maksimum za uzljetanje	1	1000			
EMB190	DEFAULT	1	3	Ubrzanje	Maksimum za penjanje	ZERO		1685	194,5	
EMB190	DEFAULT	1	4	Penjanje	Maksimum za penjanje	ZERO	3000			
EMB190	DEFAULT	1	5	Ubrzanje	Maksimum za penjanje	ZERO		2041	250	
EMB190	DEFAULT	1	6	Penjanje	Maksimum za penjanje	ZERO	5500			
EMB190	DEFAULT	1	7	Penjanje	Maksimum za penjanje	ZERO	7500			
EMB190	DEFAULT	1	8	Penjanje	Maksimum za penjanje	ZERO	10000			



ThoriumSoftware d.o.o.

Mobile: +385 (0) 95 8 70 50 70
 Kontakt: Dario Ilija Rendulić
 Email:
[info@thoriumsoftware.eu;](mailto:info@thoriumsoftware.eu)
direndulic@gmail.com

EMB190	DEFAULT	2	1	Penjanje	Maksimum za uzlijetanje	1				
EMB190	DEFAULT	2	2	Penjanje	Maksimum za uzlijetanje	1	1000			
EMB190	DEFAULT	2	3	Ubrzanje	Maksimum za penjanje	ZERO		1616	197,1	
EMB190	DEFAULT	2	4	Penjanje	Maksimum za penjanje	ZERO	3000			
EMB190	DEFAULT	2	5	Ubrzanje	Maksimum za penjanje	ZERO		1944	250	
EMB190	DEFAULT	2	6	Penjanje	Maksimum za penjanje	ZERO	5500			
EMB190	DEFAULT	2	7	Penjanje	Maksimum za penjanje	ZERO	7500			
EMB190	DEFAULT	2	8	Penjanje	Maksimum za penjanje	ZERO	10000			
EMB190	DEFAULT	3	1	Penjanje	Maksimum za uzlijetanje	1				
EMB190	DEFAULT	3	2	Penjanje	Maksimum za uzlijetanje	1	1000			
EMB190	DEFAULT	3	3	Ubrzanje	Maksimum za penjanje	ZERO		1546	199,7	
EMB190	DEFAULT	3	4	Penjanje	Maksimum za penjanje	ZERO	3000			
EMB190	DEFAULT	3	5	Ubrzanje	Maksimum za penjanje	ZERO		1850	250	
EMB190	DEFAULT	3	6	Penjanje	Maksimum za penjanje	ZERO	5500			
EMB190	DEFAULT	3	7	Penjanje	Maksimum za penjanje	ZERO	7500			
EMB190	DEFAULT	3	8	Penjanje	Maksimum za penjanje	ZERO	10000			
EMB190	DEFAULT	4	1	Penjanje	Maksimum za uzlijetanje	1				



ThoriumSoftware d.o.o.

Mobile: +385 (0) 95 8 70 50 70
 Kontakt: Dario Ilija Rendulić
 Email:
[info@thoriumsoftware.eu;](mailto:info@thoriumsoftware.eu)
direndulic@gmail.com

EMB190	DEFAULT	4	2	Penjanje	Maksimum za uzlijetanje	1	1000			
EMB190	DEFAULT	4	3	Ubrzanje	Maksimum za penjanje	ZERO		1416	205,2	
EMB190	DEFAULT	4	4	Penjanje	Maksimum za penjanje	ZERO	3000			
EMB190	DEFAULT	4	5	Ubrzanje	Maksimum za penjanje	ZERO		1677	250	
EMB190	DEFAULT	4	6	Penjanje	Maksimum za penjanje	ZERO	5500			
EMB190	DEFAULT	4	7	Penjanje	Maksimum za penjanje	ZERO	7500			
EMB190	DEFAULT	4	8	Penjanje	Maksimum za penjanje	ZERO	10000			
EMB190	ICAO_A	1	1	Penjanje	Maksimum za uzlijetanje	1				
EMB190	ICAO_A	1	2	Penjanje	Maksimum za uzlijetanje	1	1500			
EMB190	ICAO_A	1	3	Penjanje	Maksimum za penjanje	1	3000			
EMB190	ICAO_A	1	4	Ubrzanje	Maksimum za penjanje	ZERO		1652	194,1	
EMB190	ICAO_A	1	5	Ubrzanje	Maksimum za penjanje	ZERO		2012	250	
EMB190	ICAO_A	1	6	Penjanje	Maksimum za penjanje	ZERO	5500			
EMB190	ICAO_A	1	7	Penjanje	Maksimum za penjanje	ZERO	7500			
EMB190	ICAO_A	1	8	Penjanje	Maksimum za penjanje	ZERO	10000			
EMB190	ICAO_A	2	1	Penjanje	Maksimum za uzlijetanje	1				
EMB190	ICAO_A	2	2	Penjanje	Maksimum za uzlijetanje	1	1500			
EMB190	ICAO_A	2	3	Penjanje	Maksimum za penjanje	1	3000			

EMB190	ICAO_A	2	4	Ubrzanje	Maksimum za penjanje	ZERO		1582	196,6	
EMB190	ICAO_A	2	5	Ubrzanje	Maksimum za penjanje	ZERO		1918	250	
EMB190	ICAO_A	2	6	Penjanje	Maksimum za penjanje	ZERO	5500			
EMB190	ICAO_A	2	7	Penjanje	Maksimum za penjanje	ZERO	7500			
EMB190	ICAO_A	2	8	Penjanje	Maksimum za penjanje	ZERO	10000			
EMB190	ICAO_A	3	1	Penjanje	Maksimum za uzljetanje	1				
EMB190	ICAO_A	3	2	Penjanje	Maksimum za uzljetanje	1	1500			
EMB190	ICAO_A	3	3	Penjanje	Maksimum za penjanje	1	3000			
EMB190	ICAO_A	3	4	Ubrzanje	Maksimum za penjanje	ZERO		1513	199,4	
EMB190	ICAO_A	3	5	Ubrzanje	Maksimum za penjanje	ZERO		1826	250	
EMB190	ICAO_A	3	6	Penjanje	Maksimum za penjanje	ZERO	5500			
EMB190	ICAO_A	3	7	Penjanje	Maksimum za penjanje	ZERO	7500			
EMB190	ICAO_A	3	8	Penjanje	Maksimum za penjanje	ZERO	10000			
EMB190	ICAO_A	4	1	Penjanje	Maksimum za uzljetanje	1				
EMB190	ICAO_A	4	2	Penjanje	Maksimum za uzljetanje	1	1500			
EMB190	ICAO_A	4	3	Penjanje	Maksimum za penjanje	1	3000			
EMB190	ICAO_A	4	4	Ubrzanje	Maksimum za penjanje	ZERO		1382	204,8	
EMB190	ICAO_A	4	5	Ubrzanje	Maksimum za penjanje	ZERO		1658	250	



ThoriumSoftware d.o.o.

Mobile: +385 (0) 95 8 70 50 70
 Kontakt: Dario Ilija Rendulić
 Email:
[info@thoriumsoftware.eu;](mailto:info@thoriumsoftware.eu)
direndulic@gmail.com

EMB190	ICAO_A	4	6	Penjanje	Maksimum za penjanje	ZERO	7500			
EMB190	ICAO_A	4	7	Penjanje	Maksimum za penjanje	ZERO	10000			
EMB190	ICAO_B	1	1	Penjanje	Maksimum za uzljetanje	1				
EMB190	ICAO_B	1	2	Penjanje	Maksimum za uzljetanje	1	1000			
EMB190	ICAO_B	1	3	Ubrzanje	Maksimum za uzljetanje	ZERO		1899	194,4	
EMB190	ICAO_B	1	4	Penjanje	Maksimum za penjanje	ZERO	3000			
EMB190	ICAO_B	1	5	Ubrzanje	Maksimum za penjanje	ZERO		2171	250	
EMB190	ICAO_B	1	6	Penjanje	Maksimum za penjanje	ZERO	5500			
EMB190	ICAO_B	1	7	Penjanje	Maksimum za penjanje	ZERO	7500			
EMB190	ICAO_B	1	8	Penjanje	Maksimum za penjanje	ZERO	10000			
EMB190	ICAO_B	2	1	Penjanje	Maksimum za uzljetanje	1				
EMB190	ICAO_B	2	2	Penjanje	Maksimum za uzljetanje	1	1000			
EMB190	ICAO_B	2	3	Ubrzanje	Maksimum za uzljetanje	ZERO		1824	197	
EMB190	ICAO_B	2	4	Penjanje	Maksimum za penjanje	ZERO	3000			
EMB190	ICAO_B	2	5	Ubrzanje	Maksimum za penjanje	ZERO		2069	250	
EMB190	ICAO_B	2	6	Penjanje	Maksimum za penjanje	ZERO	5500			
EMB190	ICAO_B	2	7	Penjanje	Maksimum za penjanje	ZERO	7500			



ThoriumSoftware d.o.o.

Mobile: +385 (0) 95 8 70 50 70
 Kontakt: Dario Ilija Rendulić
 Email:
[info@thoriumsoftware.eu;](mailto:info@thoriumsoftware.eu)
direndulic@gmail.com

EMB190	ICAO_B	2	8	Penjanje	Maksimum za penjanje	ZERO	10000			
EMB190	ICAO_B	3	1	Penjanje	Maksimum za uzljetanje	1				
EMB190	ICAO_B	3	2	Penjanje	Maksimum za uzljetanje	1	1000			
EMB190	ICAO_B	3	3	Ubrzanje	Maksimum za uzljetanje	ZERO		1628	199,7	
EMB190	ICAO_B	3	4	Penjanje	Maksimum za penjanje	ZERO	3000			
EMB190	ICAO_B	3	5	Ubrzanje	Maksimum za penjanje	ZERO		1969	250	
EMB190	ICAO_B	3	6	Penjanje	Maksimum za penjanje	ZERO	5500			
EMB190	ICAO_B	3	7	Penjanje	Maksimum za penjanje	ZERO	7500			
EMB190	ICAO_B	3	8	Penjanje	Maksimum za penjanje	ZERO	10000			
EMB190	ICAO_B	4	1	Penjanje	Maksimum za uzljetanje	1				
EMB190	ICAO_B	4	2	Penjanje	Maksimum za uzljetanje	1	1000			
EMB190	ICAO_B	4	3	Ubrzanje	Maksimum za uzljetanje	ZERO		1603	205,1	
EMB190	ICAO_B	4	4	Penjanje	Maksimum za penjanje	ZERO	3000			
EMB190	ICAO_B	4	5	Ubrzanje	Maksimum za penjanje	ZERO		1784	250	
EMB190	ICAO_B	4	6	Penjanje	Maksimum za penjanje	ZERO	5500			
EMB190	ICAO_B	4	7	Penjanje	Maksimum za penjanje	ZERO	7500			
EMB190	ICAO_B	4	8	Penjanje	Maksimum za penjanje	ZERO	10000			



ThoriumSoftware d.o.o.

Mobile: +385 (0) 95 8 70 50 70
 Kontakt: Dario Ilija Rendulić
 Email:
[info@thoriumsoftware.eu;](mailto:info@thoriumsoftware.eu)
direndulic@gmail.com

EMB195	DEFAULT	1	1	Penjanje	Maksimum za uzlijetanje	1				
EMB195	DEFAULT	1	2	Penjanje	Maksimum za uzlijetanje	1	1000			
EMB195	DEFAULT	1	3	Ubrzanje	Maksimum za penjanje	ZERO		1622	195	
EMB195	DEFAULT	1	4	Penjanje	Maksimum za penjanje	ZERO	3000			
EMB195	DEFAULT	1	5	Ubrzanje	Maksimum za penjanje	ZERO		1965	250	
EMB195	DEFAULT	1	6	Penjanje	Maksimum za penjanje	ZERO	5500			
EMB195	DEFAULT	1	7	Penjanje	Maksimum za penjanje	ZERO	7500			
EMB195	DEFAULT	1	8	Penjanje	Maksimum za penjanje	ZERO	10000			
EMB195	DEFAULT	2	1	Penjanje	Maksimum za uzlijetanje	1				
EMB195	DEFAULT	2	2	Penjanje	Maksimum za uzlijetanje	1	1000			
EMB195	DEFAULT	2	3	Ubrzanje	Maksimum za penjanje	ZERO		1556	197,6	
EMB195	DEFAULT	2	4	Penjanje	Maksimum za penjanje	ZERO	3000			
EMB195	DEFAULT	2	5	Ubrzanje	Maksimum za penjanje	ZERO		1872	250	
EMB195	DEFAULT	2	6	Penjanje	Maksimum za penjanje	ZERO	5500			
EMB195	DEFAULT	2	7	Penjanje	Maksimum za penjanje	ZERO	7500			
EMB195	DEFAULT	2	8	Penjanje	Maksimum za penjanje	ZERO	10000			
EMB195	DEFAULT	3	1	Penjanje	Maksimum za uzlijetanje	1				



ThoriumSoftware d.o.o.

Mobile: +385 (0) 95 8 70 50 70
 Kontakt: Dario Ilija Rendulić
 Email:
[info@thoriumsoftware.eu;](mailto:info@thoriumsoftware.eu)
direndulic@gmail.com

EMB195	DEFAULT	3	2	Penjanje	Maksimum za uzlijetanje	1	1000			
EMB195	DEFAULT	3	3	Ubrzanje	Maksimum za penjanje	ZERO		1489	200,2	
EMB195	DEFAULT	3	4	Penjanje	Maksimum za penjanje	ZERO	3000			
EMB195	DEFAULT	3	5	Ubrzanje	Maksimum za penjanje	ZERO		1781	250	
EMB195	DEFAULT	3	6	Penjanje	Maksimum za penjanje	ZERO	5500			
EMB195	DEFAULT	3	7	Penjanje	Maksimum za penjanje	ZERO	7500			
EMB195	DEFAULT	3	8	Penjanje	Maksimum za penjanje	ZERO	10000			
EMB195	DEFAULT	4	1	Penjanje	Maksimum za uzlijetanje	1				
EMB195	DEFAULT	4	2	Penjanje	Maksimum za uzlijetanje	1	1000			
EMB195	DEFAULT	4	3	Ubrzanje	Maksimum za penjanje	ZERO		1364	205,7	
EMB195	DEFAULT	4	4	Penjanje	Maksimum za penjanje	ZERO	3000			
EMB195	DEFAULT	4	5	Ubrzanje	Maksimum za penjanje	ZERO		1615	250	
EMB195	DEFAULT	4	6	Penjanje	Maksimum za penjanje	ZERO	7500			
EMB195	DEFAULT	4	7	Penjanje	Maksimum za penjanje	ZERO	10000			
EMB195	ICAO_A	1	1	Penjanje	Maksimum za uzlijetanje	1				
EMB195	ICAO_A	1	2	Penjanje	Maksimum za uzlijetanje	1	1500			
EMB195	ICAO_A	1	3	Penjanje	Maksimum za penjanje	1	3000			
EMB195	ICAO_A	1	4	Ubrzanje	Maksimum za penjanje	ZERO		1605	196,5	



ThoriumSoftware d.o.o.

Mobile: +385 (0) 95 8 70 50 70
 Kontakt: Dario Ilija Rendulić
 Email:
[info@thoriumsoftware.eu;](mailto:info@thoriumsoftware.eu)
direndulic@gmail.com

EMB195	ICAO_A	1	5	Ubrzanje	Maksimum za penjanje	ZERO		1930	250	
EMB195	ICAO_A	1	6	Penjanje	Maksimum za penjanje	ZERO	7500			
EMB195	ICAO_A	1	7	Penjanje	Maksimum za penjanje	ZERO	10000			
EMB195	ICAO_A	2	1	Penjanje	Maksimum za uzljetanje	1				
EMB195	ICAO_A	2	2	Penjanje	Maksimum za uzljetanje	1	1500			
EMB195	ICAO_A	2	3	Penjanje	Maksimum za penjanje	1	3000			
EMB195	ICAO_A	2	4	Ubrzanje	Maksimum za penjanje	ZERO		1538	198,1	
EMB195	ICAO_A	2	5	Ubrzanje	Maksimum za penjanje	ZERO		1871	250	
EMB195	ICAO_A	2	6	Penjanje	Maksimum za penjanje	ZERO	7500			
EMB195	ICAO_A	2	7	Penjanje	Maksimum za penjanje	ZERO	10000			
EMB195	ICAO_A	3	1	Penjanje	Maksimum za uzljetanje	1				
EMB195	ICAO_A	3	2	Penjanje	Maksimum za uzljetanje	1	1500			
EMB195	ICAO_A	3	3	Penjanje	Maksimum za penjanje	1	3000			
EMB195	ICAO_A	3	4	Ubrzanje	Maksimum za penjanje	ZERO		1467	201,3	
EMB195	ICAO_A	3	5	Ubrzanje	Maksimum za penjanje	ZERO		1768	250	
EMB195	ICAO_A	3	6	Penjanje	Maksimum za penjanje	ZERO	7500			
EMB195	ICAO_A	3	7	Penjanje	Maksimum za penjanje	ZERO	10000			
EMB195	ICAO_A	4	1	Penjanje	Maksimum za uzljetanje	1				



ThoriumSoftware d.o.o.

Mobile: +385 (0) 95 8 70 50 70
 Kontakt: Dario Ilija Rendulić
 Email:
[info@thoriumsoftware.eu;](mailto:info@thoriumsoftware.eu)
direndulic@gmail.com

EMB195	ICAO_A	4	2	Penjanje	Maksimum za uzlijetanje	1	1500			
EMB195	ICAO_A	4	3	Penjanje	Maksimum za penjanje	1	3000			
EMB195	ICAO_A	4	4	Ubrzanje	Maksimum za penjanje	ZERO		1336	206,2	
EMB195	ICAO_A	4	5	Ubrzanje	Maksimum za penjanje	ZERO		1607	250	
EMB195	ICAO_A	4	6	Penjanje	Maksimum za penjanje	ZERO	7500			
EMB195	ICAO_A	4	7	Penjanje	Maksimum za penjanje	ZERO	10000			
EMB195	ICAO_B	1	1	Penjanje	Maksimum za uzlijetanje	1				
EMB195	ICAO_B	1	2	Penjanje	Maksimum za uzlijetanje	1	1000			
EMB195	ICAO_B	1	3	Ubrzanje	Maksimum za uzlijetanje	ZERO		1732	194,8	
EMB195	ICAO_B	1	4	Penjanje	Maksimum za penjanje	ZERO	3000			
EMB195	ICAO_B	1	5	Ubrzanje	Maksimum za penjanje	ZERO		1988	250	
EMB195	ICAO_B	1	6	Penjanje	Maksimum za penjanje	ZERO	5500			
EMB195	ICAO_B	1	7	Penjanje	Maksimum za penjanje	ZERO	7500			
EMB195	ICAO_B	1	8	Penjanje	Maksimum za penjanje	ZERO	10000			
EMB195	ICAO_B	2	1	Penjanje	Maksimum za uzlijetanje	1				
EMB195	ICAO_B	2	2	Penjanje	Maksimum za uzlijetanje	1	1000			
EMB195	ICAO_B	2	3	Ubrzanje	Maksimum za uzlijetanje	ZERO		1664	197	

EMB195	ICAO_B	2	4	Penjanje	Maksimum za penjanje	ZERO	3000			
EMB195	ICAO_B	2	5	Ubrzanje	Maksimum za penjanje	ZERO		1895	250	
EMB195	ICAO_B	2	6	Penjanje	Maksimum za penjanje	ZERO	5500			
EMB195	ICAO_B	2	7	Penjanje	Maksimum za penjanje	ZERO	7500			
EMB195	ICAO_B	2	8	Penjanje	Maksimum za penjanje	ZERO	10000			
EMB195	ICAO_B	3	1	Penjanje	Maksimum za uzljetanje	1				
EMB195	ICAO_B	3	2	Penjanje	Maksimum za uzljetanje	1	1000			
EMB195	ICAO_B	3	3	Ubrzanje	Maksimum za uzljetanje	ZERO		1485	195	
EMB195	ICAO_B	3	4	Penjanje	Maksimum za penjanje	ZERO	3000			
EMB195	ICAO_B	3	5	Ubrzanje	Maksimum za penjanje	ZERO		1800	250	
EMB195	ICAO_B	3	6	Penjanje	Maksimum za penjanje	ZERO	5500			
EMB195	ICAO_B	3	7	Penjanje	Maksimum za penjanje	ZERO	7500			
EMB195	ICAO_B	3	8	Penjanje	Maksimum za penjanje	ZERO	10000			
EMB195	ICAO_B	4	1	Penjanje	Maksimum za uzljetanje	1				
EMB195	ICAO_B	4	2	Penjanje	Maksimum za uzljetanje	1	1000			
EMB195	ICAO_B	4	3	Ubrzanje	Maksimum za uzljetanje	ZERO		1468	205,4	
EMB195	ICAO_B	4	4	Penjanje	Maksimum za penjanje	ZERO	3000			



ThoriumSoftware d.o.o.

Mobile: +385 (0) 95 8 70 50 70
 Kontakt: Dario Ilija Rendulić
 Email:
[info@thoriumsoftware.eu;](mailto:info@thoriumsoftware.eu)
direndulic@gmail.com

EMB195	ICAO_B	4	5	Ubrzanje	Maksimum za penjanje	ZERO		1631	250	
EMB195	ICAO_B	4	6	Penjanje	Maksimum za penjanje	ZERO	5500			
EMB195	ICAO_B	4	7	Penjanje	Maksimum za penjanje	ZERO	7500			
EMB195	ICAO_B	4	8	Penjanje	Maksimum za penjanje	ZERO	10000			
F10062	DEFAULT	1	1	Penjanje	Maksimum za uzlijetanje	TO				
F10062	DEFAULT	1	2	Penjanje	Maksimum za uzlijetanje	TO	1000			
F10062	DEFAULT	1	3	Ubrzanje	Maksimum za uzlijetanje	TO		2196	154	
F10062	DEFAULT	1	4	Ubrzanje	Maksimum za uzlijetanje	TO		1647	169	
F10062	DEFAULT	1	5	Ubrzanje	Maksimum za penjanje	TO		1000	184	
F10062	DEFAULT	1	6	Penjanje	Maksimum za penjanje	TO	3000			
F10062	DEFAULT	1	7	Ubrzanje	Maksimum za penjanje	TO		1000	250	
F10062	DEFAULT	1	8	Penjanje	Maksimum za penjanje	TO	5500			
F10062	DEFAULT	1	9	Penjanje	Maksimum za penjanje	TO	7500			
F10062	DEFAULT	1	10	Penjanje	Maksimum za penjanje	TO	10000			
F10062	DEFAULT	2	1	Penjanje	Maksimum za uzlijetanje	TO				
F10062	DEFAULT	2	2	Penjanje	Maksimum za uzlijetanje	TO	1000			
F10062	DEFAULT	2	3	Ubrzanje	Maksimum za uzlijetanje	TO		1982	161	



ThoriumSoftware d.o.o.

Mobile: +385 (0) 95 8 70 50 70
 Kontakt: Dario Ilija Rendulić
 Email:
[info@thoriumsoftware.eu;](mailto:info@thoriumsoftware.eu)
direndulic@gmail.com

F10062	DEFAULT	2	4	Ubrzanje	Maksimum za uzljetanje	TO		1487	176	
F10062	DEFAULT	2	5	Ubrzanje	Maksimum za penjanje	TO		1000	191	
F10062	DEFAULT	2	6	Penjanje	Maksimum za penjanje	TO	3000			
F10062	DEFAULT	2	7	Ubrzanje	Maksimum za penjanje	TO		1000	250	
F10062	DEFAULT	2	8	Penjanje	Maksimum za penjanje	TO	5500			
F10062	DEFAULT	2	9	Penjanje	Maksimum za penjanje	TO	7500			
F10062	DEFAULT	2	10	Penjanje	Maksimum za penjanje	TO	10000			
F10062	DEFAULT	3	1	Penjanje	Maksimum za uzljetanje	TO				
F10062	DEFAULT	3	2	Penjanje	Maksimum za uzljetanje	TO	1000			
F10062	DEFAULT	3	3	Ubrzanje	Maksimum za uzljetanje	TO		1819	167	
F10062	DEFAULT	3	4	Ubrzanje	Maksimum za uzljetanje	TO		1364	182	
F10062	DEFAULT	3	5	Ubrzanje	Maksimum za penjanje	TO		1000	197	
F10062	DEFAULT	3	6	Penjanje	Maksimum za penjanje	TO	3000			
F10062	DEFAULT	3	7	Ubrzanje	Maksimum za penjanje	TO		1000	250	
F10062	DEFAULT	3	8	Penjanje	Maksimum za penjanje	TO	5500			
F10062	DEFAULT	3	9	Penjanje	Maksimum za penjanje	TO	7500			
F10062	DEFAULT	3	10	Penjanje	Maksimum za penjanje	TO	10000			



ThoriumSoftware d.o.o.

Mobile: +385 (0) 95 8 70 50 70
 Kontakt: Dario Ilija Rendulić
 Email:
[info@thoriumsoftware.eu;](mailto:info@thoriumsoftware.eu)
direndulic@gmail.com

F10065	DEFAULT	1	1	Penjanje	Maksimum za uzlijetanje	TO				
F10065	DEFAULT	1	2	Penjanje	Maksimum za uzlijetanje	TO	1000			
F10065	DEFAULT	1	3	Ubrzanje	Maksimum za uzlijetanje	TO		2446	157	
F10065	DEFAULT	1	4	Ubrzanje	Maksimum za uzlijetanje	TO		1835	172	
F10065	DEFAULT	1	5	Ubrzanje	Maksimum za penjanje	TO		1000	187	
F10065	DEFAULT	1	6	Penjanje	Maksimum za penjanje	TO	3000			
F10065	DEFAULT	1	7	Ubrzanje	Maksimum za penjanje	TO		1000	250	
F10065	DEFAULT	1	8	Penjanje	Maksimum za penjanje	TO	5500			
F10065	DEFAULT	1	9	Penjanje	Maksimum za penjanje	TO	7500			
F10065	DEFAULT	1	10	Penjanje	Maksimum za penjanje	TO	10000			
F10065	DEFAULT	2	1	Penjanje	Maksimum za uzlijetanje	TO				
F10065	DEFAULT	2	2	Penjanje	Maksimum za uzlijetanje	TO	1000			
F10065	DEFAULT	2	3	Ubrzanje	Maksimum za uzlijetanje	TO		2218	165	
F10065	DEFAULT	2	4	Ubrzanje	Maksimum za uzlijetanje	TO		1664	180	
F10065	DEFAULT	2	5	Ubrzanje	Maksimum za penjanje	TO		1000	195	
F10065	DEFAULT	2	6	Penjanje	Maksimum za penjanje	TO	3000			
F10065	DEFAULT	2	7	Ubrzanje	Maksimum za penjanje	TO		1000	250	



ThoriumSoftware d.o.o.

Mobile: +385 (0) 95 8 70 50 70
 Kontakt: Dario Ilija Rendulić
 Email:
[info@thoriumsoftware.eu;](mailto:info@thoriumsoftware.eu)
direndulic@gmail.com

F10065	DEFAULT	2	8	Penjanje	Maksimum za penjanje	TO	5500			
F10065	DEFAULT	2	9	Penjanje	Maksimum za penjanje	TO	7500			
F10065	DEFAULT	2	10	Penjanje	Maksimum za penjanje	TO	10000			
F10065	DEFAULT	3	1	Penjanje	Maksimum za uzlijetanje	TO				
F10065	DEFAULT	3	2	Penjanje	Maksimum za uzlijetanje	TO	1000			
F10065	DEFAULT	3	3	Ubrzanje	Maksimum za uzlijetanje	TO		2021	171	
F10065	DEFAULT	3	4	Ubrzanje	Maksimum za uzlijetanje	TO		1516	186	
F10065	DEFAULT	3	5	Ubrzanje	Maksimum za penjanje	TO		1000	201	
F10065	DEFAULT	3	6	Penjanje	Maksimum za penjanje	TO	3000			
F10065	DEFAULT	3	7	Ubrzanje	Maksimum za penjanje	TO		1000	250	
F10065	DEFAULT	3	8	Penjanje	Maksimum za penjanje	TO	5500			
F10065	DEFAULT	3	9	Penjanje	Maksimum za penjanje	TO	7500			
F10065	DEFAULT	3	10	Penjanje	Maksimum za penjanje	TO	10000			
F28MK2	DEFAULT	1	1	Penjanje	Maksimum za uzlijetanje	6				
F28MK2	DEFAULT	1	2	Penjanje	Maksimum za uzlijetanje	6	1000			
F28MK2	DEFAULT	1	3	Ubrzanje	Maksimum za uzlijetanje	6		2229	155	
F28MK2	DEFAULT	1	4	Ubrzanje	Maksimum za uzlijetanje	ZERO		1672	170	



ThoriumSoftware d.o.o.

Mobile: +385 (0) 95 8 70 50 70
 Kontakt: Dario Ilija Rendulić
 Email:
[info@thoriumsoftware.eu;](mailto:info@thoriumsoftware.eu)
direndulic@gmail.com

F28MK2	DEFAULT	1	5	Ubrzanje	Maksimum za penjanje	ZERO		1000	185	
F28MK2	DEFAULT	1	6	Penjanje	Maksimum za penjanje	ZERO	3000			
F28MK2	DEFAULT	1	7	Ubrzanje	Maksimum za penjanje	ZERO		1000	250	
F28MK2	DEFAULT	1	8	Penjanje	Maksimum za penjanje	ZERO	5500			
F28MK2	DEFAULT	1	9	Penjanje	Maksimum za penjanje	ZERO	7500			
F28MK2	DEFAULT	1	10	Penjanje	Maksimum za penjanje	ZERO	10000			
F28MK2	DEFAULT	2	1	Penjanje	Maksimum za uzljetanje	6				
F28MK2	DEFAULT	2	2	Penjanje	Maksimum za uzljetanje	6	1000			
F28MK2	DEFAULT	2	3	Ubrzanje	Maksimum za uzljetanje	6		2011	162	
F28MK2	DEFAULT	2	4	Ubrzanje	Maksimum za uzljetanje	ZERO		1508	177	
F28MK2	DEFAULT	2	5	Ubrzanje	Maksimum za penjanje	ZERO		1000	192	
F28MK2	DEFAULT	2	6	Penjanje	Maksimum za penjanje	ZERO	3000			
F28MK2	DEFAULT	2	7	Ubrzanje	Maksimum za penjanje	ZERO		1000	250	
F28MK2	DEFAULT	2	8	Penjanje	Maksimum za penjanje	ZERO	5500			
F28MK2	DEFAULT	2	9	Penjanje	Maksimum za penjanje	ZERO	7500			
F28MK2	DEFAULT	2	10	Penjanje	Maksimum za penjanje	ZERO	10000			
F28MK4	DEFAULT	1	1	Penjanje	Maksimum za uzljetanje	6				



ThoriumSoftware d.o.o.

Mobile: +385 (0) 95 8 70 50 70
 Kontakt: Dario Ilija Rendulić
 Email:
[info@thoriumsoftware.eu;](mailto:info@thoriumsoftware.eu)
direndulic@gmail.com

F28MK4	DEFAULT	1	2	Penjanje	Maksimum za uzlijetanje	6	1000			
F28MK4	DEFAULT	1	3	Ubrzanje	Maksimum za uzlijetanje	6		2103	152	
F28MK4	DEFAULT	1	4	Ubrzanje	Maksimum za uzlijetanje	ZERO		1578	167	
F28MK4	DEFAULT	1	5	Ubrzanje	Maksimum za penjanje	ZERO		1000	182	
F28MK4	DEFAULT	1	6	Penjanje	Maksimum za penjanje	ZERO	3000			
F28MK4	DEFAULT	1	7	Ubrzanje	Maksimum za penjanje	ZERO		1000	250	
F28MK4	DEFAULT	1	8	Penjanje	Maksimum za penjanje	ZERO	5500			
F28MK4	DEFAULT	1	9	Penjanje	Maksimum za penjanje	ZERO	7500			
F28MK4	DEFAULT	1	10	Penjanje	Maksimum za penjanje	ZERO	10000			
F28MK4	DEFAULT	2	1	Penjanje	Maksimum za uzlijetanje	6				
F28MK4	DEFAULT	2	2	Penjanje	Maksimum za uzlijetanje	6	1000			
F28MK4	DEFAULT	2	3	Ubrzanje	Maksimum za uzlijetanje	6		1941	157	
F28MK4	DEFAULT	2	4	Ubrzanje	Maksimum za uzlijetanje	ZERO		1456	172	
F28MK4	DEFAULT	2	5	Ubrzanje	Maksimum za penjanje	ZERO		1000	187	
F28MK4	DEFAULT	2	6	Penjanje	Maksimum za penjanje	ZERO	3000			
F28MK4	DEFAULT	2	7	Ubrzanje	Maksimum za penjanje	ZERO		1000	250	
F28MK4	DEFAULT	2	8	Penjanje	Maksimum za penjanje	ZERO	5500			



ThoriumSoftware d.o.o.

Mobile: +385 (0) 95 8 70 50 70
 Kontakt: Dario Ilija Rendulić
 Email:
[info@thoriumsoftware.eu;](mailto:info@thoriumsoftware.eu)
direndulic@gmail.com

F28MK4	DEFAULT	2	9	Penjanje	Maksimum za penjanje	ZERO	7500			
F28MK4	DEFAULT	2	10	Penjanje	Maksimum za penjanje	ZERO	10000			
F28MK4	DEFAULT	3	1	Penjanje	Maksimum za uzljetanje	6				
F28MK4	DEFAULT	3	2	Penjanje	Maksimum za uzljetanje	6	1000			
F28MK4	DEFAULT	3	3	Ubrzanje	Maksimum za uzljetanje	6		1743	165	
F28MK4	DEFAULT	3	4	Ubrzanje	Maksimum za uzljetanje	6		1307	180	
F28MK4	DEFAULT	3	5	Ubrzanje	Maksimum za penjanje	ZERO		1000	195	
F28MK4	DEFAULT	3	6	Penjanje	Maksimum za penjanje	ZERO	3000			
F28MK4	DEFAULT	3	7	Ubrzanje	Maksimum za penjanje	ZERO		1000	250	
F28MK4	DEFAULT	3	8	Penjanje	Maksimum za penjanje	ZERO	5500			
F28MK4	DEFAULT	3	9	Penjanje	Maksimum za penjanje	ZERO	7500			
F28MK4	DEFAULT	3	10	Penjanje	Maksimum za penjanje	ZERO	10000			
FAL20	DEFAULT	1	1	Penjanje	Maksimum za uzljetanje	10				
FAL20	DEFAULT	1	2	Ubrzanje	Maksimum za uzljetanje	10		1388	152	
FAL20	DEFAULT	1	3	Penjanje	Maksimum za uzljetanje	10	1500			
FAL20	DEFAULT	1	4	Ubrzanje	Maksimum za uzljetanje	10		1388	162	
FAL20	DEFAULT	1	5	Ubrzanje	Maksimum za penjanje	INTR		1041	177	

FAL20	DEFAULT	1	6	Penjanje	Maksimum za penjanje	ZERO	3000			
FAL20	DEFAULT	1	7	Ubrzanje	Maksimum za penjanje	ZERO		1432	250	
FAL20	DEFAULT	1	8	Penjanje	Maksimum za penjanje	ZERO	5500			
FAL20	DEFAULT	1	9	Penjanje	Maksimum za penjanje	ZERO	7500			
FAL20	DEFAULT	1	10	Penjanje	Maksimum za penjanje	ZERO	10000			
GII	DEFAULT	1	1	Penjanje	Smanjeni potisak za penjanje	T-20-D				
GII	DEFAULT	1	2	Penjanje	Smanjeni potisak za penjanje	T-20-D	35			
GII	DEFAULT	1	3	Ubrzanje	Smanjeni potisak za penjanje	T-20-D		1500	162	
GII	DEFAULT	1	4	Penjanje	Smanjeni potisak za penjanje	T-20-D	400			
GII	DEFAULT	1	5	Penjanje	Smanjeni potisak za penjanje	T-10-U	520			
GII	DEFAULT	1	6	Penjanje	Smanjeni potisak za penjanje	T-10-U	1500			
GII	DEFAULT	1	7	Penjanje	Smanjeni potisak za penjanje	T-10-U	3000			
GII	DEFAULT	1	8	Ubrzanje	Maksimum za penjanje	T-0-U		1675	192	
GII	DEFAULT	1	9	Ubrzanje	Maksimum za penjanje	T-0-U		1775	250	
GII	DEFAULT	1	10	Penjanje	Maksimum za penjanje	T-0-U	5500			
GII	DEFAULT	1	11	Penjanje	Maksimum za penjanje	T-0-U	7500			
GII	DEFAULT	1	12	Penjanje	Maksimum za penjanje	T-0-U	10000			



ThoriumSoftware d.o.o.

Mobile: +385 (0) 95 8 70 50 70
 Kontakt: Dario Ilija Rendulić
 Email:
[info@thoriumsoftware.eu;](mailto:info@thoriumsoftware.eu)
direndulic@gmail.com

GII	QF_FULL	1	1	Penjanje	Maksimum za uzlijetanje	T-20-D				
GII	QF_FULL	1	2	Penjanje	Maksimum za uzlijetanje	T-20-D	35			
GII	QF_FULL	1	3	Ubrzanje	Maksimum za uzlijetanje	T-20-D		1500	162	
GII	QF_FULL	1	4	Penjanje	Maksimum za uzlijetanje	T-20-D	400			
GII	QF_FULL	1	5	Penjanje	Smanjeni potisak za penjanje	T-10-U	520			
GII	QF_FULL	1	6	Penjanje	Smanjeni potisak za penjanje	T-10-U	1500			
GII	QF_FULL	1	7	Penjanje	Smanjeni potisak za penjanje	T-10-U	3000			
GII	QF_FULL	1	8	Ubrzanje	Maksimum za penjanje	T-0-U		1675	192	
GII	QF_FULL	1	9	Ubrzanje	Maksimum za penjanje	T-0-U		1775	250	
GII	QF_FULL	1	10	Penjanje	Maksimum za penjanje	T-0-U	5500			
GII	QF_FULL	1	11	Penjanje	Maksimum za penjanje	T-0-U	7500			
GII	QF_FULL	1	12	Penjanje	Maksimum za penjanje	T-0-U	10000			
GIIB	DEFAULT	1	1	Penjanje	Smanjeni potisak za penjanje	T-20-D				
GIIB	DEFAULT	1	2	Penjanje	Smanjeni potisak za penjanje	T-20-D	35			
GIIB	DEFAULT	1	3	Ubrzanje	Smanjeni potisak za penjanje	T-20-D		1500	156	
GIIB	DEFAULT	1	4	Penjanje	Smanjeni potisak za penjanje	T-20-D	400			



ThoriumSoftware d.o.o.

Mobile: +385 (0) 95 8 70 50 70
 Kontakt: Dario Ilija Rendulić
 Email:
[info@thoriumsoftware.eu;](mailto:info@thoriumsoftware.eu)
direndulic@gmail.com

GIIB	DEFAULT	1	5	Penjanje	Smanjeni potisak za penjanje	T-10-U	520			
GIIB	DEFAULT	1	6	Penjanje	Smanjeni potisak za penjanje	T-10-U	1500			
GIIB	DEFAULT	1	7	Penjanje	Smanjeni potisak za penjanje	T-10-U	3000			
GIIB	DEFAULT	1	8	Ubrzanje	Maksimum za penjanje	T-0-U		1675	192	
GIIB	DEFAULT	1	9	Ubrzanje	Maksimum za penjanje	T-0-U		1775	250	
GIIB	DEFAULT	1	10	Penjanje	Maksimum za penjanje	T-0-U	5500			
GIIB	DEFAULT	1	11	Penjanje	Maksimum za penjanje	T-0-U	7500			
GIIB	DEFAULT	1	12	Penjanje	Maksimum za penjanje	T-0-U	10000			
GIIB	QF_FULL	1	1	Penjanje	Maksimum za uzlijetanje	T-20-D				
GIIB	QF_FULL	1	2	Penjanje	Maksimum za uzlijetanje	T-20-D	35			
GIIB	QF_FULL	1	3	Ubrzanje	Maksimum za uzlijetanje	T-20-D		1500	156	
GIIB	QF_FULL	1	4	Penjanje	Maksimum za uzlijetanje	T-20-D	400			
GIIB	QF_FULL	1	5	Penjanje	Smanjeni potisak za penjanje	T-10-U	520			
GIIB	QF_FULL	1	6	Penjanje	Smanjeni potisak za penjanje	T-10-U	1500			
GIIB	QF_FULL	1	7	Penjanje	Smanjeni potisak za penjanje	T-10-U	3000			
GIIB	QF_FULL	1	8	Ubrzanje	Maksimum za penjanje	T-0-U		1675	192	

GIIB	QF_FULL	1	9	Ubrzanje	Maksimum za penjanje	T-0-U		1775	250	
GIIB	QF_FULL	1	10	Penjanje	Maksimum za penjanje	T-0-U	5500			
GIIB	QF_FULL	1	11	Penjanje	Maksimum za penjanje	T-0-U	7500			
GIIB	QF_FULL	1	12	Penjanje	Maksimum za penjanje	T-0-U	10000			
GIV	DEFAULT	1	1	Penjanje	Maksimum za uzljetanje	T-20-D				
GIV	DEFAULT	1	2	Penjanje	Maksimum za uzljetanje	T-20-D	35			
GIV	DEFAULT	1	3	Ubrzanje	Maksimum za uzljetanje	T-20-D		1800	159,2	
GIV	DEFAULT	1	4	Penjanje	Maksimum za uzljetanje	T-20-U	400			
GIV	DEFAULT	1	5	Penjanje	Maksimum za penjanje	T-20-U	600			
GIV	DEFAULT	1	6	Penjanje	Maksimum za penjanje	T-20-U	750			
GIV	DEFAULT	1	7	Penjanje	Maksimum za penjanje	T-10-U	1850			
GIV	DEFAULT	1	8	Penjanje	Maksimum za penjanje	T-10-U	3000			
GIV	DEFAULT	1	9	Ubrzanje	Maksimum za penjanje	T-0-U		1750	250	
GIV	DEFAULT	1	10	Penjanje	Maksimum za penjanje	T-0-U	5000			
GIV	DEFAULT	1	11	Penjanje	Maksimum za penjanje	T-0-U	6000			
GIV	DEFAULT	1	12	Penjanje	Maksimum za penjanje	T-0-U	7000			
GIV	DEFAULT	1	13	Penjanje	Maksimum za penjanje	T-0-U	8000			
GIV	DEFAULT	1	14	Penjanje	Maksimum za penjanje	T-0-U	9000			



ThoriumSoftware d.o.o.

Mobile: +385 (0) 95 8 70 50 70
 Kontakt: Dario Ilija Rendulić
 Email:
[info@thoriumsoftware.eu;](mailto:info@thoriumsoftware.eu)
direndulic@gmail.com

GIV	DEFAULT	1	15	Penjanje	Maksimum za penjanje	T-0-U	10000			
GV	DEFAULT	1	1	Penjanje	Maksimum za uzlijetanje	T-20-D				
GV	DEFAULT	1	2	Penjanje	Maksimum za uzlijetanje	T-20-D	35			
GV	DEFAULT	1	3	Ubrzanje	Maksimum za uzlijetanje	T-20-D		1500	165,7	
GV	DEFAULT	1	4	Penjanje	Maksimum za uzlijetanje	T-20-U	400			
GV	DEFAULT	1	5	Penjanje	Maksimum za penjanje	T-20-U	600			
GV	DEFAULT	1	6	Penjanje	Maksimum za penjanje	T-20-U	750			
GV	DEFAULT	1	7	Penjanje	Maksimum za penjanje	T-10-U	1800			
GV	DEFAULT	1	8	Penjanje	Maksimum za penjanje	T-10-U	3000			
GV	DEFAULT	1	9	Ubrzanje	Maksimum za penjanje	T-0-U		1750	250	
GV	DEFAULT	1	10	Penjanje	Maksimum za penjanje	T-0-U	5000			
GV	DEFAULT	1	11	Penjanje	Maksimum za penjanje	T-0-U	6000			
GV	DEFAULT	1	12	Penjanje	Maksimum za penjanje	T-0-U	7000			
GV	DEFAULT	1	13	Penjanje	Maksimum za penjanje	T-0-U	8000			
GV	DEFAULT	1	14	Penjanje	Maksimum za penjanje	T-0-U	9000			
GV	DEFAULT	1	15	Penjanje	Maksimum za penjanje	T-0-U	10000			
HS748A	DEFAULT	1	1	Penjanje	Maksimum za uzlijetanje	TO				



ThoriumSoftware d.o.o.

Mobile: +385 (0) 95 8 70 50 70
 Kontakt: Dario Ilija Rendulić
 Email:
[info@thoriumsoftware.eu;](mailto:info@thoriumsoftware.eu)
direndulic@gmail.com

HS748A	DEFAULT	1	2	Penjanje	Maksimum za uzlijetanje	TO	1000			
HS748A	DEFAULT	1	3	Ubrzanje	Maksimum za uzlijetanje	TO		917	127	
HS748A	DEFAULT	1	4	Ubrzanje	Maksimum za penjanje	INTR		688	147	
HS748A	DEFAULT	1	5	Penjanje	Maksimum za penjanje	ZERO	3000			
HS748A	DEFAULT	1	6	Penjanje	Maksimum za penjanje	ZERO	5500			
HS748A	DEFAULT	1	7	Penjanje	Maksimum za penjanje	ZERO	7500			
HS748A	DEFAULT	1	8	Penjanje	Maksimum za penjanje	ZERO	10000			
IA1125	DEFAULT	1	1	Penjanje	Maksimum za uzlijetanje	12				
IA1125	DEFAULT	1	2	Ubrzanje	Maksimum za uzlijetanje	12		1094	163	
IA1125	DEFAULT	1	3	Penjanje	Maksimum za uzlijetanje	12	1500			
IA1125	DEFAULT	1	4	Ubrzanje	Maksimum za uzlijetanje	INTR		1094	188	
IA1125	DEFAULT	1	5	Penjanje	Maksimum za penjanje	ZERO	3000			
IA1125	DEFAULT	1	6	Ubrzanje	Maksimum za penjanje	ZERO		1286	250	
IA1125	DEFAULT	1	7	Penjanje	Maksimum za penjanje	ZERO	5500			
IA1125	DEFAULT	1	8	Penjanje	Maksimum za penjanje	ZERO	7500			
IA1125	DEFAULT	1	9	Penjanje	Maksimum za penjanje	ZERO	10000			
L1011	DEFAULT	1	1	Penjanje	Maksimum za uzlijetanje	10				



ThoriumSoftware d.o.o.

Mobile: +385 (0) 95 8 70 50 70
 Kontakt: Dario Ilija Rendulić
 Email:
[info@thoriumsoftware.eu;](mailto:info@thoriumsoftware.eu)
direndulic@gmail.com

L1011	DEFAULT	1	2	Penjanje	Maksimum za uzlijetanje	10	1000			
L1011	DEFAULT	1	3	Ubrzanje	Maksimum za uzlijetanje	10		2145	162	
L1011	DEFAULT	1	4	Ubrzanje	Maksimum za uzlijetanje	INTR		1609	182	
L1011	DEFAULT	1	5	Ubrzanje	Maksimum za penjanje	INTR		1000	202	
L1011	DEFAULT	1	6	Penjanje	Maksimum za penjanje	ZERO	3000			
L1011	DEFAULT	1	7	Ubrzanje	Maksimum za penjanje	ZERO		1000	250	
L1011	DEFAULT	1	8	Penjanje	Maksimum za penjanje	ZERO	5500			
L1011	DEFAULT	1	9	Penjanje	Maksimum za penjanje	ZERO	7500			
L1011	DEFAULT	1	10	Penjanje	Maksimum za penjanje	ZERO	10000			
L1011	DEFAULT	2	1	Penjanje	Maksimum za uzlijetanje	10				
L1011	DEFAULT	2	2	Penjanje	Maksimum za uzlijetanje	10	1000			
L1011	DEFAULT	2	3	Ubrzanje	Maksimum za uzlijetanje	10		2068	165	
L1011	DEFAULT	2	4	Ubrzanje	Maksimum za uzlijetanje	INTR		1551	185	
L1011	DEFAULT	2	5	Ubrzanje	Maksimum za penjanje	INTR		1000	205	
L1011	DEFAULT	2	6	Penjanje	Maksimum za penjanje	ZERO	3000			
L1011	DEFAULT	2	7	Ubrzanje	Maksimum za penjanje	ZERO		1000	250	
L1011	DEFAULT	2	8	Penjanje	Maksimum za penjanje	ZERO	5500			



ThoriumSoftware d.o.o.

Mobile: +385 (0) 95 8 70 50 70
 Kontakt: Dario Ilija Rendulić
 Email:
[info@thoriumsoftware.eu;](mailto:info@thoriumsoftware.eu)
direndulic@gmail.com

L1011	DEFAULT	2	9	Penjanje	Maksimum za penjanje	ZERO	7500			
L1011	DEFAULT	2	10	Penjanje	Maksimum za penjanje	ZERO	10000			
L1011	DEFAULT	3	1	Penjanje	Maksimum za uzljetanje	10				
L1011	DEFAULT	3	2	Penjanje	Maksimum za uzljetanje	10	1000			
L1011	DEFAULT	3	3	Ubrzanje	Maksimum za uzljetanje	10		1959	168	
L1011	DEFAULT	3	4	Ubrzanje	Maksimum za uzljetanje	INTR		1469	188	
L1011	DEFAULT	3	5	Ubrzanje	Maksimum za penjanje	INTR		1000	208	
L1011	DEFAULT	3	6	Penjanje	Maksimum za penjanje	ZERO	3000			
L1011	DEFAULT	3	7	Ubrzanje	Maksimum za penjanje	ZERO		1000	250	
L1011	DEFAULT	3	8	Penjanje	Maksimum za penjanje	ZERO	5500			
L1011	DEFAULT	3	9	Penjanje	Maksimum za penjanje	ZERO	7500			
L1011	DEFAULT	3	10	Penjanje	Maksimum za penjanje	ZERO	10000			
L1011	DEFAULT	4	1	Penjanje	Maksimum za uzljetanje	10				
L1011	DEFAULT	4	2	Penjanje	Maksimum za uzljetanje	10	1000			
L1011	DEFAULT	4	3	Ubrzanje	Maksimum za uzljetanje	10		1857	171	
L1011	DEFAULT	4	4	Ubrzanje	Maksimum za uzljetanje	INTR		1393	191	
L1011	DEFAULT	4	5	Ubrzanje	Maksimum za penjanje	INTR		1000	211	



ThoriumSoftware d.o.o.

Mobile: +385 (0) 95 8 70 50 70
 Kontakt: Dario Ilija Rendulić
 Email:
[info@thoriumsoftware.eu;](mailto:info@thoriumsoftware.eu)
direndulic@gmail.com

L1011	DEFAULT	4	6	Penjanje	Maksimum za penjanje	ZERO	3000			
L1011	DEFAULT	4	7	Ubrzanje	Maksimum za penjanje	ZERO		1000	250	
L1011	DEFAULT	4	8	Penjanje	Maksimum za penjanje	ZERO	5500			
L1011	DEFAULT	4	9	Penjanje	Maksimum za penjanje	ZERO	7500			
L1011	DEFAULT	4	10	Penjanje	Maksimum za penjanje	ZERO	10000			
L1011	DEFAULT	5	1	Penjanje	Maksimum za uzljetanje	10				
L1011	DEFAULT	5	2	Penjanje	Maksimum za uzljetanje	10	1000			
L1011	DEFAULT	5	3	Ubrzanje	Maksimum za uzljetanje	10		1669	178	
L1011	DEFAULT	5	4	Ubrzanje	Maksimum za uzljetanje	INTR		1252	198	
L1011	DEFAULT	5	5	Ubrzanje	Maksimum za penjanje	INTR		1000	218	
L1011	DEFAULT	5	6	Penjanje	Maksimum za penjanje	ZERO	3000			
L1011	DEFAULT	5	7	Ubrzanje	Maksimum za penjanje	ZERO		1000	250	
L1011	DEFAULT	5	8	Penjanje	Maksimum za penjanje	ZERO	5500			
L1011	DEFAULT	5	9	Penjanje	Maksimum za penjanje	ZERO	7500			
L1011	DEFAULT	5	10	Penjanje	Maksimum za penjanje	ZERO	10000			
L1011	DEFAULT	6	1	Penjanje	Maksimum za uzljetanje	10				
L1011	DEFAULT	6	2	Penjanje	Maksimum za uzljetanje	10	1000			



ThoriumSoftware d.o.o.

Mobile: +385 (0) 95 8 70 50 70
 Kontakt: Dario Ilija Rendulić
 Email:
[info@thoriumsoftware.eu;](mailto:info@thoriumsoftware.eu)
direndulic@gmail.com

L1011	DEFAULT	6	3	Ubrzanje	Maksimum za uzlijetanje	10		1501	184	
L1011	DEFAULT	6	4	Ubrzanje	Maksimum za uzlijetanje	INTR		1126	204	
L1011	DEFAULT	6	5	Ubrzanje	Maksimum za penjanje	INTR		1000	224	
L1011	DEFAULT	6	6	Penjanje	Maksimum za penjanje	ZERO	3000			
L1011	DEFAULT	6	7	Ubrzanje	Maksimum za penjanje	ZERO		1000	250	
L1011	DEFAULT	6	8	Penjanje	Maksimum za penjanje	ZERO	5500			
L1011	DEFAULT	6	9	Penjanje	Maksimum za penjanje	ZERO	7500			
L1011	DEFAULT	6	10	Penjanje	Maksimum za penjanje	ZERO	10000			
L10115	DEFAULT	1	1	Penjanje	Maksimum za uzlijetanje	10				
L10115	DEFAULT	1	2	Penjanje	Maksimum za uzlijetanje	10	1000			
L10115	DEFAULT	1	3	Ubrzanje	Maksimum za uzlijetanje	10		2632	166	
L10115	DEFAULT	1	4	Ubrzanje	Maksimum za uzlijetanje	INTR		1974	186	
L10115	DEFAULT	1	5	Ubrzanje	Maksimum za penjanje	INTR		1000	206	
L10115	DEFAULT	1	6	Penjanje	Maksimum za penjanje	ZERO	3000			
L10115	DEFAULT	1	7	Ubrzanje	Maksimum za penjanje	ZERO		1000	250	
L10115	DEFAULT	1	8	Penjanje	Maksimum za penjanje	ZERO	5500			
L10115	DEFAULT	1	9	Penjanje	Maksimum za penjanje	ZERO	7500			



ThoriumSoftware d.o.o.

Mobile: +385 (0) 95 8 70 50 70
 Kontakt: Dario Ilija Rendulić
 Email:
[info@thoriumsoftware.eu;](mailto:info@thoriumsoftware.eu)
direndulic@gmail.com

L10115	DEFAULT	1	10	Penjanje	Maksimum za penjanje	ZERO	10000			
L10115	DEFAULT	2	1	Penjanje	Maksimum za uzljetanje	10				
L10115	DEFAULT	2	2	Penjanje	Maksimum za uzljetanje	10	1000			
L10115	DEFAULT	2	3	Ubrzanje	Maksimum za uzljetanje	10		2547	168	
L10115	DEFAULT	2	4	Ubrzanje	Maksimum za uzljetanje	INTR		1911	188	
L10115	DEFAULT	2	5	Ubrzanje	Maksimum za penjanje	INTR		1000	208	
L10115	DEFAULT	2	6	Penjanje	Maksimum za penjanje	ZERO	3000			
L10115	DEFAULT	2	7	Ubrzanje	Maksimum za penjanje	ZERO		1000	250	
L10115	DEFAULT	2	8	Penjanje	Maksimum za penjanje	ZERO	5500			
L10115	DEFAULT	2	9	Penjanje	Maksimum za penjanje	ZERO	7500			
L10115	DEFAULT	2	10	Penjanje	Maksimum za penjanje	ZERO	10000			
L10115	DEFAULT	3	1	Penjanje	Maksimum za uzljetanje	10				
L10115	DEFAULT	3	2	Penjanje	Maksimum za uzljetanje	10	1000			
L10115	DEFAULT	3	3	Ubrzanje	Maksimum za uzljetanje	10		2428	171	
L10115	DEFAULT	3	4	Ubrzanje	Maksimum za uzljetanje	INTR		1821	191	
L10115	DEFAULT	3	5	Ubrzanje	Maksimum za penjanje	INTR		1000	211	
L10115	DEFAULT	3	6	Penjanje	Maksimum za penjanje	ZERO	3000			



ThoriumSoftware d.o.o.

Mobile: +385 (0) 95 8 70 50 70
 Kontakt: Dario Ilija Rendulić
 Email:
[info@thoriumsoftware.eu;](mailto:info@thoriumsoftware.eu)
direndulic@gmail.com

L10115	DEFAULT	3	7	Ubrzanje	Maksimum za penjanje	ZERO		1000	250	
L10115	DEFAULT	3	8	Penjanje	Maksimum za penjanje	ZERO	5500			
L10115	DEFAULT	3	9	Penjanje	Maksimum za penjanje	ZERO	7500			
L10115	DEFAULT	3	10	Penjanje	Maksimum za penjanje	ZERO	10000			
L10115	DEFAULT	4	1	Penjanje	Maksimum za uzlijetanje	10				
L10115	DEFAULT	4	2	Penjanje	Maksimum za uzlijetanje	10	1000			
L10115	DEFAULT	4	3	Ubrzanje	Maksimum za uzlijetanje	10		2317	175	
L10115	DEFAULT	4	4	Ubrzanje	Maksimum za uzlijetanje	INTR		1738	195	
L10115	DEFAULT	4	5	Ubrzanje	Maksimum za penjanje	INTR		1000	215	
L10115	DEFAULT	4	6	Penjanje	Maksimum za penjanje	ZERO	3000			
L10115	DEFAULT	4	7	Ubrzanje	Maksimum za penjanje	ZERO		1000	250	
L10115	DEFAULT	4	8	Penjanje	Maksimum za penjanje	ZERO	5500			
L10115	DEFAULT	4	9	Penjanje	Maksimum za penjanje	ZERO	7500			
L10115	DEFAULT	4	10	Penjanje	Maksimum za penjanje	ZERO	10000			
L10115	DEFAULT	5	1	Penjanje	Maksimum za uzlijetanje	10				
L10115	DEFAULT	5	2	Penjanje	Maksimum za uzlijetanje	10	1000			
L10115	DEFAULT	5	3	Ubrzanje	Maksimum za uzlijetanje	10		2125	181	

L10115	DEFAULT	5	4	Ubrzanje	Maksimum za uzljetanje	INTR		1594	201	
L10115	DEFAULT	5	5	Ubrzanje	Maksimum za penjanje	INTR		1000	221	
L10115	DEFAULT	5	6	Penjanje	Maksimum za penjanje	ZERO	3000			
L10115	DEFAULT	5	7	Ubrzanje	Maksimum za penjanje	ZERO		1000	250	
L10115	DEFAULT	5	8	Penjanje	Maksimum za penjanje	ZERO	5500			
L10115	DEFAULT	5	9	Penjanje	Maksimum za penjanje	ZERO	7500			
L10115	DEFAULT	5	10	Penjanje	Maksimum za penjanje	ZERO	10000			
L10115	DEFAULT	6	1	Penjanje	Maksimum za uzljetanje	10				
L10115	DEFAULT	6	2	Penjanje	Maksimum za uzljetanje	10	1000			
L10115	DEFAULT	6	3	Ubrzanje	Maksimum za uzljetanje	10		1953	186	
L10115	DEFAULT	6	4	Ubrzanje	Maksimum za uzljetanje	INTR		1465	206	
L10115	DEFAULT	6	5	Ubrzanje	Maksimum za penjanje	INTR		1000	226	
L10115	DEFAULT	6	6	Penjanje	Maksimum za penjanje	ZERO	3000			
L10115	DEFAULT	6	7	Ubrzanje	Maksimum za penjanje	ZERO		1000	250	
L10115	DEFAULT	6	8	Penjanje	Maksimum za penjanje	ZERO	5500			
L10115	DEFAULT	6	9	Penjanje	Maksimum za penjanje	ZERO	7500			
L10115	DEFAULT	6	10	Penjanje	Maksimum za penjanje	ZERO	10000			



ThoriumSoftware d.o.o.

Mobile: +385 (0) 95 8 70 50 70
 Kontakt: Dario Ilija Rendulić
 Email:
[info@thoriumsoftware.eu;](mailto:info@thoriumsoftware.eu)
direndulic@gmail.com

L10115	DEFAULT	7	1	Penjanje	Maksimum za uzlijetanje	10				
L10115	DEFAULT	7	2	Penjanje	Maksimum za uzlijetanje	10	1000			
L10115	DEFAULT	7	3	Ubrzanje	Maksimum za uzlijetanje	10		1790	192	
L10115	DEFAULT	7	4	Ubrzanje	Maksimum za uzlijetanje	INTR		1343	212	
L10115	DEFAULT	7	5	Ubrzanje	Maksimum za penjanje	INTR		1000	232	
L10115	DEFAULT	7	6	Penjanje	Maksimum za penjanje	ZERO	3000			
L10115	DEFAULT	7	7	Ubrzanje	Maksimum za penjanje	ZERO		1000	250	
L10115	DEFAULT	7	8	Penjanje	Maksimum za penjanje	ZERO	5500			
L10115	DEFAULT	7	9	Penjanje	Maksimum za penjanje	ZERO	7500			
L10115	DEFAULT	7	10	Penjanje	Maksimum za penjanje	ZERO	10000			
L188	DEFAULT	1	1	Penjanje	Maksimum za uzlijetanje	78-%				
L188	DEFAULT	1	2	Penjanje	Maksimum za uzlijetanje	78-%	1000			
L188	DEFAULT	1	3	Ubrzanje	Maksimum za uzlijetanje	78-%		1653	133	
L188	DEFAULT	1	4	Ubrzanje	Maksimum za penjanje	INTR		1240	153	
L188	DEFAULT	1	5	Penjanje	Maksimum za penjanje	ZERO	3000			
L188	DEFAULT	1	6	Penjanje	Maksimum za penjanje	ZERO	5500			
L188	DEFAULT	1	7	Penjanje	Maksimum za penjanje	ZERO	7500			



ThoriumSoftware d.o.o.

Mobile: +385 (0) 95 8 70 50 70
 Kontakt: Dario Ilija Rendulić
 Email:
[info@thoriumsoftware.eu;](mailto:info@thoriumsoftware.eu)
direndulic@gmail.com

L188	DEFAULT	1	8	Penjanje	Maksimum za penjanje	ZERO	10000			
L188	DEFAULT	2	1	Penjanje	Maksimum za uzlijetanje	78-%				
L188	DEFAULT	2	2	Penjanje	Maksimum za uzlijetanje	78-%	1000			
L188	DEFAULT	2	3	Ubrzanje	Maksimum za uzlijetanje	78-%		1309	139	
L188	DEFAULT	2	4	Ubrzanje	Maksimum za penjanje	INTR		982	159	
L188	DEFAULT	2	5	Penjanje	Maksimum za penjanje	ZERO	3000			
L188	DEFAULT	2	6	Penjanje	Maksimum za penjanje	ZERO	5500			
L188	DEFAULT	2	7	Penjanje	Maksimum za penjanje	ZERO	7500			
L188	DEFAULT	2	8	Penjanje	Maksimum za penjanje	ZERO	10000			
L188	DEFAULT	3	1	Penjanje	Maksimum za uzlijetanje	78-%				
L188	DEFAULT	3	2	Penjanje	Maksimum za uzlijetanje	78-%	1000			
L188	DEFAULT	3	3	Ubrzanje	Maksimum za uzlijetanje	78-%		905	147	
L188	DEFAULT	3	4	Ubrzanje	Maksimum za penjanje	INTR		679	167	
L188	DEFAULT	3	5	Penjanje	Maksimum za penjanje	ZERO	3000			
L188	DEFAULT	3	6	Penjanje	Maksimum za penjanje	ZERO	5500			
L188	DEFAULT	3	7	Penjanje	Maksimum za penjanje	ZERO	7500			
L188	DEFAULT	3	8	Penjanje	Maksimum za penjanje	ZERO	10000			



ThoriumSoftware d.o.o.

Mobile: +385 (0) 95 8 70 50 70
 Kontakt: Dario Ilija Rendulić
 Email:
[info@thoriumsoftware.eu;](mailto:info@thoriumsoftware.eu)
direndulic@gmail.com

LEAR25	DEFAULT	1	1	Penjanje	Maksimum za uzlijetanje	20				
LEAR25	DEFAULT	1	2	Ubrzanje	Maksimum za uzlijetanje	20		1698	171	
LEAR25	DEFAULT	1	3	Penjanje	Maksimum za uzlijetanje	20	1500			
LEAR25	DEFAULT	1	4	Ubrzanje	Maksimum za uzlijetanje	10		1698	196	
LEAR25	DEFAULT	1	5	Penjanje	Maksimum za penjanje	ZERO	3000			
LEAR25	DEFAULT	1	6	Ubrzanje	Maksimum za penjanje	ZERO		2075	250	
LEAR25	DEFAULT	1	7	Penjanje	Maksimum za penjanje	ZERO	5500			
LEAR25	DEFAULT	1	8	Penjanje	Maksimum za penjanje	ZERO	7500			
LEAR25	DEFAULT	1	9	Penjanje	Maksimum za penjanje	ZERO	10000			
LEAR35	DEFAULT	1	1	Penjanje	Maksimum za uzlijetanje	20				
LEAR35	DEFAULT	1	2	Ubrzanje	Maksimum za uzlijetanje	20		1493	158	
LEAR35	DEFAULT	1	3	Penjanje	Maksimum za uzlijetanje	20	1500			
LEAR35	DEFAULT	1	4	Ubrzanje	Maksimum za uzlijetanje	10		1493	183	
LEAR35	DEFAULT	1	5	Penjanje	Maksimum za penjanje	ZERO	3000			
LEAR35	DEFAULT	1	6	Ubrzanje	Maksimum za penjanje	ZERO		1706	250	
LEAR35	DEFAULT	1	7	Penjanje	Maksimum za penjanje	ZERO	5500			
LEAR35	DEFAULT	1	8	Penjanje	Maksimum za penjanje	ZERO	7500			



ThoriumSoftware d.o.o.

Mobile: +385 (0) 95 8 70 50 70
 Kontakt: Dario Ilija Rendulić
 Email:
[info@thoriumsoftware.eu;](mailto:info@thoriumsoftware.eu)
direndulic@gmail.com

LEAR35	DEFAULT	1	9	Penjanje	Maksimum za penjanje	ZERO	10000			
MD11GE	DEFAULT	1	1	Penjanje	Maksimum za uzlijetanje	25				
MD11GE	DEFAULT	1	2	Penjanje	Maksimum za uzlijetanje	25	1000			
MD11GE	DEFAULT	1	3	Ubrzanje	Maksimum za uzlijetanje	0/EXT		1500	211	
MD11GE	DEFAULT	1	4	Penjanje	Maksimum za penjanje	0/EXT	2000			
MD11GE	DEFAULT	1	5	Penjanje	Maksimum za penjanje	0/EXT	3000			
MD11GE	DEFAULT	1	6	Ubrzanje	Maksimum za penjanje	0/RET		1500	250	
MD11GE	DEFAULT	1	7	Penjanje	Maksimum za penjanje	0/RET	10000			
MD11GE	DEFAULT	2	1	Penjanje	Maksimum za uzlijetanje	25				
MD11GE	DEFAULT	2	2	Penjanje	Maksimum za uzlijetanje	25	1000			
MD11GE	DEFAULT	2	3	Ubrzanje	Maksimum za uzlijetanje	0/EXT		1500	210	
MD11GE	DEFAULT	2	4	Penjanje	Maksimum za penjanje	0/EXT	2000			
MD11GE	DEFAULT	2	5	Penjanje	Maksimum za penjanje	0/EXT	3000			
MD11GE	DEFAULT	2	6	Ubrzanje	Maksimum za penjanje	0/RET		1500	250	
MD11GE	DEFAULT	2	7	Penjanje	Maksimum za penjanje	0/RET	10000			
MD11GE	DEFAULT	3	1	Penjanje	Maksimum za uzlijetanje	25				
MD11GE	DEFAULT	3	2	Penjanje	Maksimum za uzlijetanje	25	1000			



ThoriumSoftware d.o.o.

Mobile: +385 (0) 95 8 70 50 70
 Kontakt: Dario Ilija Rendulić
 Email:
[info@thoriumsoftware.eu;](mailto:info@thoriumsoftware.eu)
direndulic@gmail.com

MD11GE	DEFAULT	3	3	Ubrzanje	Maksimum za uzlijetanje	0/EXT		1500	210	
MD11GE	DEFAULT	3	4	Penjanje	Maksimum za penjanje	0/EXT	2000			
MD11GE	DEFAULT	3	5	Penjanje	Maksimum za penjanje	0/EXT	3000			
MD11GE	DEFAULT	3	6	Ubrzanje	Maksimum za penjanje	0/RET		1500	250	
MD11GE	DEFAULT	3	7	Penjanje	Maksimum za penjanje	0/RET	10000			
MD11GE	DEFAULT	4	1	Penjanje	Maksimum za uzlijetanje	25				
MD11GE	DEFAULT	4	2	Penjanje	Maksimum za uzlijetanje	25	1000			
MD11GE	DEFAULT	4	3	Ubrzanje	Maksimum za uzlijetanje	0/EXT		1500	209	
MD11GE	DEFAULT	4	4	Penjanje	Maksimum za penjanje	0/EXT	2000			
MD11GE	DEFAULT	4	5	Penjanje	Maksimum za penjanje	0/EXT	3000			
MD11GE	DEFAULT	4	6	Ubrzanje	Maksimum za penjanje	0/RET		1500	250	
MD11GE	DEFAULT	4	7	Penjanje	Maksimum za penjanje	0/RET	10000			
MD11GE	DEFAULT	5	1	Penjanje	Maksimum za uzlijetanje	25				
MD11GE	DEFAULT	5	2	Penjanje	Maksimum za uzlijetanje	25	1000			
MD11GE	DEFAULT	5	3	Ubrzanje	Maksimum za uzlijetanje	0/EXT		1500	208	
MD11GE	DEFAULT	5	4	Penjanje	Maksimum za penjanje	0/EXT	2000			
MD11GE	DEFAULT	5	5	Penjanje	Maksimum za penjanje	0/EXT	3000			



ThoriumSoftware d.o.o.

Mobile: +385 (0) 95 8 70 50 70
 Kontakt: Dario Ilija Rendulić
 Email:
[info@thoriumsoftware.eu;](mailto:info@thoriumsoftware.eu)
direndulic@gmail.com

MD11GE	DEFAULT	5	6	Ubrzanje	Maksimum za penjanje	0/RET		1500	250	
MD11GE	DEFAULT	5	7	Penjanje	Maksimum za penjanje	0/RET	10000			
MD11GE	DEFAULT	6	1	Penjanje	Maksimum za uzljetanje	25				
MD11GE	DEFAULT	6	2	Penjanje	Maksimum za uzljetanje	25	1000			
MD11GE	DEFAULT	6	3	Ubrzanje	Maksimum za uzljetanje	0/EXT		1500	208	
MD11GE	DEFAULT	6	4	Penjanje	Maksimum za penjanje	0/EXT	2000			
MD11GE	DEFAULT	6	5	Penjanje	Maksimum za penjanje	0/EXT	3000			
MD11GE	DEFAULT	6	6	Ubrzanje	Maksimum za penjanje	0/RET		1500	250	
MD11GE	DEFAULT	6	7	Penjanje	Maksimum za penjanje	0/RET	10000			
MD11GE	DEFAULT	7	1	Penjanje	Maksimum za uzljetanje	25				
MD11GE	DEFAULT	7	2	Penjanje	Maksimum za uzljetanje	25	1000			
MD11GE	DEFAULT	7	3	Ubrzanje	Maksimum za uzljetanje	0/EXT		1500	207	
MD11GE	DEFAULT	7	4	Penjanje	Maksimum za penjanje	0/EXT	2000			
MD11GE	DEFAULT	7	5	Penjanje	Maksimum za penjanje	0/EXT	3000			
MD11GE	DEFAULT	7	6	Ubrzanje	Maksimum za penjanje	0/RET		1500	250	
MD11GE	DEFAULT	7	7	Penjanje	Maksimum za penjanje	0/RET	10000			
MD11PW	DEFAULT	1	1	Penjanje	Maksimum za uzljetanje	25				



ThoriumSoftware d.o.o.

Mobile: +385 (0) 95 8 70 50 70
 Kontakt: Dario Ilija Rendulić
 Email:
[info@thoriumsoftware.eu;](mailto:info@thoriumsoftware.eu)
direndulic@gmail.com

MD11PW	DEFAULT	1	2	Penjanje	Maksimum za uzlijetanje	25	1000			
MD11PW	DEFAULT	1	3	Ubrzanje	Maksimum za uzlijetanje	0/EXT		1500	206	
MD11PW	DEFAULT	1	4	Penjanje	Maksimum za penjanje	0/EXT	2000			
MD11PW	DEFAULT	1	5	Penjanje	Maksimum za penjanje	0/EXT	3000			
MD11PW	DEFAULT	1	6	Ubrzanje	Maksimum za penjanje	0/RET		1500	250	
MD11PW	DEFAULT	1	7	Penjanje	Maksimum za penjanje	0/RET	10000			
MD11PW	DEFAULT	2	1	Penjanje	Maksimum za uzlijetanje	25				
MD11PW	DEFAULT	2	2	Penjanje	Maksimum za uzlijetanje	25	1000			
MD11PW	DEFAULT	2	3	Ubrzanje	Maksimum za uzlijetanje	0/EXT		1500	206	
MD11PW	DEFAULT	2	4	Penjanje	Maksimum za penjanje	0/EXT	2000			
MD11PW	DEFAULT	2	5	Penjanje	Maksimum za penjanje	0/EXT	3000			
MD11PW	DEFAULT	2	6	Ubrzanje	Maksimum za penjanje	0/RET		1500	250	
MD11PW	DEFAULT	2	7	Penjanje	Maksimum za penjanje	0/RET	10000			
MD11PW	DEFAULT	3	1	Penjanje	Maksimum za uzlijetanje	25				
MD11PW	DEFAULT	3	2	Penjanje	Maksimum za uzlijetanje	25	1000			
MD11PW	DEFAULT	3	3	Ubrzanje	Maksimum za uzlijetanje	0/EXT		1500	205	
MD11PW	DEFAULT	3	4	Penjanje	Maksimum za penjanje	0/EXT	2000			



ThoriumSoftware d.o.o.

Mobile: +385 (0) 95 8 70 50 70
 Kontakt: Dario Ilija Rendulić
 Email:
[info@thoriumsoftware.eu;](mailto:info@thoriumsoftware.eu)
direndulic@gmail.com

MD11PW	DEFAULT	3	5	Penjanje	Maksimum za penjanje	0/EXT	3000			
MD11PW	DEFAULT	3	6	Ubrzanje	Maksimum za penjanje	0/RET		1500	250	
MD11PW	DEFAULT	3	7	Penjanje	Maksimum za penjanje	0/RET	10000			
MD11PW	DEFAULT	4	1	Penjanje	Maksimum za uzljetanje	25				
MD11PW	DEFAULT	4	2	Penjanje	Maksimum za uzljetanje	25	1000			
MD11PW	DEFAULT	4	3	Ubrzanje	Maksimum za uzljetanje	0/EXT		1500	205	
MD11PW	DEFAULT	4	4	Penjanje	Maksimum za penjanje	0/EXT	2000			
MD11PW	DEFAULT	4	5	Penjanje	Maksimum za penjanje	0/EXT	3000			
MD11PW	DEFAULT	4	6	Ubrzanje	Maksimum za penjanje	0/RET		1500	250	
MD11PW	DEFAULT	4	7	Penjanje	Maksimum za penjanje	0/RET	10000			
MD11PW	DEFAULT	5	1	Penjanje	Maksimum za uzljetanje	25				
MD11PW	DEFAULT	5	2	Penjanje	Maksimum za uzljetanje	25	1000			
MD11PW	DEFAULT	5	3	Ubrzanje	Maksimum za uzljetanje	0/EXT		1500	205	
MD11PW	DEFAULT	5	4	Penjanje	Maksimum za penjanje	0/EXT	2000			
MD11PW	DEFAULT	5	5	Penjanje	Maksimum za penjanje	0/EXT	3000			
MD11PW	DEFAULT	5	6	Ubrzanje	Maksimum za penjanje	0/RET		1500	250	
MD11PW	DEFAULT	5	7	Penjanje	Maksimum za penjanje	0/RET	10000			



ThoriumSoftware d.o.o.

Mobile: +385 (0) 95 8 70 50 70
 Kontakt: Dario Ilija Rendulić
 Email:
[info@thoriumsoftware.eu;](mailto:info@thoriumsoftware.eu)
direndulic@gmail.com

MD11PW	DEFAULT	6	1	Penjanje	Maksimum za uzlijetanje	25				
MD11PW	DEFAULT	6	2	Penjanje	Maksimum za uzlijetanje	25	1000			
MD11PW	DEFAULT	6	3	Ubrzanje	Maksimum za uzlijetanje	0/EXT		1500	206	
MD11PW	DEFAULT	6	4	Penjanje	Maksimum za penjanje	0/EXT	2000			
MD11PW	DEFAULT	6	5	Penjanje	Maksimum za penjanje	0/EXT	3000			
MD11PW	DEFAULT	6	6	Ubrzanje	Maksimum za penjanje	0/RET		1500	250	
MD11PW	DEFAULT	6	7	Penjanje	Maksimum za penjanje	0/RET	10000			
MD11PW	DEFAULT	7	1	Penjanje	Maksimum za uzlijetanje	25				
MD11PW	DEFAULT	7	2	Penjanje	Maksimum za uzlijetanje	25	1000			
MD11PW	DEFAULT	7	3	Ubrzanje	Maksimum za uzlijetanje	0/EXT		1500	207	
MD11PW	DEFAULT	7	4	Penjanje	Maksimum za penjanje	0/EXT	2000			
MD11PW	DEFAULT	7	5	Penjanje	Maksimum za penjanje	0/EXT	3000			
MD11PW	DEFAULT	7	6	Ubrzanje	Maksimum za penjanje	0/RET		1500	250	
MD11PW	DEFAULT	7	7	Penjanje	Maksimum za penjanje	0/RET	10000			
MD81	DEFAULT	1	1	Penjanje	Maksimum za uzlijetanje	T_15				
MD81	DEFAULT	1	2	Penjanje	Maksimum za uzlijetanje	T_15	1000			
MD81	DEFAULT	1	3	Ubrzanje	Maksimum za penjanje	T_INT		1434,2	214,1	



ThoriumSoftware d.o.o.

Mobile: +385 (0) 95 8 70 50 70
 Kontakt: Dario Ilija Rendulić
 Email:
[info@thoriumsoftware.eu;](mailto:info@thoriumsoftware.eu)
direndulic@gmail.com

MD81	DEFAULT	1	4	Penjanje	Maksimum za penjanje	T_ZERO	3000			
MD81	DEFAULT	1	5	Ubrzanje	Maksimum za penjanje	T_ZERO		1866,9	250	
MD81	DEFAULT	1	6	Penjanje	Maksimum za penjanje	T_ZERO	5500			
MD81	DEFAULT	1	7	Penjanje	Maksimum za penjanje	T_ZERO	7500			
MD81	DEFAULT	1	8	Penjanje	Maksimum za penjanje	T_ZERO	10000			
MD81	DEFAULT	2	1	Penjanje	Maksimum za uzljetanje	T_15				
MD81	DEFAULT	2	2	Penjanje	Maksimum za uzljetanje	T_15	1000			
MD81	DEFAULT	2	3	Ubrzanje	Maksimum za penjanje	T_INT		1346,9	218,7	
MD81	DEFAULT	2	4	Penjanje	Maksimum za penjanje	T_ZERO	3000			
MD81	DEFAULT	2	5	Ubrzanje	Maksimum za penjanje	T_ZERO		1745	250	
MD81	DEFAULT	2	6	Penjanje	Maksimum za penjanje	T_ZERO	5500			
MD81	DEFAULT	2	7	Penjanje	Maksimum za penjanje	T_ZERO	7500			
MD81	DEFAULT	2	8	Penjanje	Maksimum za penjanje	T_ZERO	10000			
MD81	DEFAULT	3	1	Penjanje	Maksimum za uzljetanje	T_15				
MD81	DEFAULT	3	2	Penjanje	Maksimum za uzljetanje	T_15	1000			
MD81	DEFAULT	3	3	Ubrzanje	Maksimum za penjanje	T_INT		1266	223,2	
MD81	DEFAULT	3	4	Penjanje	Maksimum za penjanje	T_ZERO	3000			
MD81	DEFAULT	3	5	Ubrzanje	Maksimum za penjanje	T_ZERO		1643,2	250	

MD81	DEFAULT	3	6	Penjanje	Maksimum za penjanje	T_ZERO	5500			
MD81	DEFAULT	3	7	Penjanje	Maksimum za penjanje	T_ZERO	7500			
MD81	DEFAULT	3	8	Penjanje	Maksimum za penjanje	T_ZERO	10000			
MD81	DEFAULT	4	1	Penjanje	Maksimum za uzljetanje	T_15				
MD81	DEFAULT	4	2	Penjanje	Maksimum za uzljetanje	T_15	1000			
MD81	DEFAULT	4	3	Ubrzanje	Maksimum za penjanje	T_INT		1211,7	226,3	
MD81	DEFAULT	4	4	Penjanje	Maksimum za penjanje	T_ZERO	3000			
MD81	DEFAULT	4	5	Ubrzanje	Maksimum za penjanje	T_ZERO		1577,9	250	
MD81	DEFAULT	4	6	Penjanje	Maksimum za penjanje	T_ZERO	5500			
MD81	DEFAULT	4	7	Penjanje	Maksimum za penjanje	T_ZERO	7500			
MD81	DEFAULT	4	8	Penjanje	Maksimum za penjanje	T_ZERO	10000			
MD81	ICAO_A	1	1	Penjanje	Maksimum za uzljetanje	T_15				
MD81	ICAO_A	1	2	Penjanje	Maksimum za uzljetanje	T_15	1500			
MD81	ICAO_A	1	3	Penjanje	Maksimum za penjanje	T_15	3000			
MD81	ICAO_A	1	4	Ubrzanje	Maksimum za penjanje	T_ZERO		1169,8	250	
MD81	ICAO_A	1	5	Penjanje	Maksimum za penjanje	T_ZERO	5500			
MD81	ICAO_A	1	6	Penjanje	Maksimum za penjanje	T_ZERO	7500			
MD81	ICAO_A	1	7	Penjanje	Maksimum za penjanje	T_ZERO	10000			



ThoriumSoftware d.o.o.

Mobile: +385 (0) 95 8 70 50 70
 Kontakt: Dario Ilija Rendulić
 Email:
[info@thoriumsoftware.eu;](mailto:info@thoriumsoftware.eu)
direndulic@gmail.com

MD81	ICAO_A	2	1	Penjanje	Maksimum za uzlijetanje	T_15				
MD81	ICAO_A	2	2	Penjanje	Maksimum za uzlijetanje	T_15	1500			
MD81	ICAO_A	2	3	Penjanje	Maksimum za penjanje	T_15	3000			
MD81	ICAO_A	2	4	Ubrzanje	Maksimum za penjanje	T_ZERO		1089,3	250	
MD81	ICAO_A	2	5	Penjanje	Maksimum za penjanje	T_ZERO	5500			
MD81	ICAO_A	2	6	Penjanje	Maksimum za penjanje	T_ZERO	7500			
MD81	ICAO_A	2	7	Penjanje	Maksimum za penjanje	T_ZERO	10000			
MD81	ICAO_A	3	1	Penjanje	Maksimum za uzlijetanje	T_15				
MD81	ICAO_A	3	2	Penjanje	Maksimum za uzlijetanje	T_15	1500			
MD81	ICAO_A	3	3	Penjanje	Maksimum za penjanje	T_15	3000			
MD81	ICAO_A	3	4	Ubrzanje	Maksimum za penjanje	T_ZERO		1049,8	250	
MD81	ICAO_A	3	5	Penjanje	Maksimum za penjanje	T_ZERO	5500			
MD81	ICAO_A	3	6	Penjanje	Maksimum za penjanje	T_ZERO	7500			
MD81	ICAO_A	3	7	Penjanje	Maksimum za penjanje	T_ZERO	10000			
MD81	ICAO_A	4	1	Penjanje	Maksimum za uzlijetanje	T_15				
MD81	ICAO_A	4	2	Penjanje	Maksimum za uzlijetanje	T_15	1500			
MD81	ICAO_A	4	3	Penjanje	Maksimum za penjanje	T_15	3000			



ThoriumSoftware d.o.o.

Mobile: +385 (0) 95 8 70 50 70
 Kontakt: Dario Ilija Rendulić
 Email:
[info@thoriumsoftware.eu;](mailto:info@thoriumsoftware.eu)
direndulic@gmail.com

MD81	ICAO_A	4	4	Ubrzanje	Maksimum za penjanje	T_ZERO		998,8	250	
MD81	ICAO_A	4	5	Penjanje	Maksimum za penjanje	T_ZERO	5500			
MD81	ICAO_A	4	6	Penjanje	Maksimum za penjanje	T_ZERO	7500			
MD81	ICAO_A	4	7	Penjanje	Maksimum za penjanje	T_ZERO	10000			
MD81	ICAO_B	1	1	Penjanje	Maksimum za uzljetanje	T_15				
MD81	ICAO_B	1	2	Penjanje	Maksimum za uzljetanje	T_15	1000			
MD81	ICAO_B	1	3	Ubrzanje	Maksimum za uzljetanje	T_INT		1434,8	218,8	
MD81	ICAO_B	1	4	Penjanje	Maksimum za penjanje	T_ZERO	3000			
MD81	ICAO_B	1	5	Ubrzanje	Maksimum za penjanje	T_ZERO		1900,5	250	
MD81	ICAO_B	1	6	Penjanje	Maksimum za penjanje	T_ZERO	5500			
MD81	ICAO_B	1	7	Penjanje	Maksimum za penjanje	T_ZERO	7500			
MD81	ICAO_B	1	8	Penjanje	Maksimum za penjanje	T_ZERO	10000			
MD81	ICAO_B	2	1	Penjanje	Maksimum za uzljetanje	T_15				
MD81	ICAO_B	2	2	Penjanje	Maksimum za uzljetanje	T_15	1000			
MD81	ICAO_B	2	3	Ubrzanje	Maksimum za uzljetanje	T_INT		1345,2	223	
MD81	ICAO_B	2	4	Penjanje	Maksimum za penjanje	T_ZERO	3000			
MD81	ICAO_B	2	5	Ubrzanje	Maksimum za penjanje	T_ZERO		1779,8	250	



ThoriumSoftware d.o.o.

Mobile: +385 (0) 95 8 70 50 70
 Kontakt: Dario Ilija Rendulić
 Email:
[info@thoriumsoftware.eu;](mailto:info@thoriumsoftware.eu)
direndulic@gmail.com

MD81	ICAO_B	2	6	Penjanje	Maksimum za penjanje	T_ZERO	5500			
MD81	ICAO_B	2	7	Penjanje	Maksimum za penjanje	T_ZERO	7500			
MD81	ICAO_B	2	8	Penjanje	Maksimum za penjanje	T_ZERO	10000			
MD81	ICAO_B	3	1	Penjanje	Maksimum za uzljetanje	T_15				
MD81	ICAO_B	3	2	Penjanje	Maksimum za uzljetanje	T_15	1000			
MD81	ICAO_B	3	3	Ubrzanje	Maksimum za uzljetanje	T_INT		1264,5	227,4	
MD81	ICAO_B	3	4	Penjanje	Maksimum za penjanje	T_ZERO	3000			
MD81	ICAO_B	3	5	Ubrzanje	Maksimum za penjanje	T_ZERO		1664,2	250	
MD81	ICAO_B	3	6	Penjanje	Maksimum za penjanje	T_ZERO	5500			
MD81	ICAO_B	3	7	Penjanje	Maksimum za penjanje	T_ZERO	7500			
MD81	ICAO_B	3	8	Penjanje	Maksimum za penjanje	T_ZERO	10000			
MD81	ICAO_B	4	1	Penjanje	Maksimum za uzljetanje	T_15				
MD81	ICAO_B	4	2	Penjanje	Maksimum za uzljetanje	T_15	1000			
MD81	ICAO_B	4	3	Ubrzanje	Maksimum za uzljetanje	T_INT		1211,1	230,2	
MD81	ICAO_B	4	4	Penjanje	Maksimum za penjanje	T_ZERO	3000			
MD81	ICAO_B	4	5	Ubrzanje	Maksimum za penjanje	T_ZERO		1594,3	250	
MD81	ICAO_B	4	6	Penjanje	Maksimum za penjanje	T_ZERO	5500			



ThoriumSoftware d.o.o.

Mobile: +385 (0) 95 8 70 50 70
 Kontakt: Dario Ilija Rendulić
 Email:
[info@thoriumsoftware.eu;](mailto:info@thoriumsoftware.eu)
direndulic@gmail.com

MD81	ICAO_B	4	7	Penjanje	Maksimum za penjanje	T_ZERO	7500			
MD81	ICAO_B	4	8	Penjanje	Maksimum za penjanje	T_ZERO	10000			
MD82	DEFAULT	1	1	Penjanje	Maksimum za uzljetanje	T_15				
MD82	DEFAULT	1	2	Penjanje	Maksimum za uzljetanje	T_15	1000			
MD82	DEFAULT	1	3	Ubrzanje	Maksimum za penjanje	INT4		1247,7	216,4	
MD82	DEFAULT	1	4	Penjanje	Maksimum za penjanje	INT3	3000			
MD82	DEFAULT	1	5	Ubrzanje	Maksimum za penjanje	T_ZERO		1933	250	
MD82	DEFAULT	1	6	Penjanje	Maksimum za penjanje	T_ZERO	5500			
MD82	DEFAULT	1	7	Penjanje	Maksimum za penjanje	T_ZERO	7500			
MD82	DEFAULT	1	8	Penjanje	Maksimum za penjanje	T_ZERO	10000			
MD82	DEFAULT	2	1	Penjanje	Maksimum za uzljetanje	T_15				
MD82	DEFAULT	2	2	Penjanje	Maksimum za uzljetanje	T_15	1000			
MD82	DEFAULT	2	3	Ubrzanje	Maksimum za penjanje	INT4		1169,5	220,7	
MD82	DEFAULT	2	4	Penjanje	Maksimum za penjanje	INT3	3000			
MD82	DEFAULT	2	5	Ubrzanje	Maksimum za penjanje	T_ZERO		1805,5	250	
MD82	DEFAULT	2	6	Penjanje	Maksimum za penjanje	T_ZERO	5500			
MD82	DEFAULT	2	7	Penjanje	Maksimum za penjanje	T_ZERO	7500			
MD82	DEFAULT	2	8	Penjanje	Maksimum za penjanje	T_ZERO	10000			



ThoriumSoftware d.o.o.

Mobile: +385 (0) 95 8 70 50 70
 Kontakt: Dario Ilija Rendulić
 Email:
[info@thoriumsoftware.eu;](mailto:info@thoriumsoftware.eu)
direndulic@gmail.com

MD82	DEFAULT	3	1	Penjanje	Maksimum za uzlijetanje	T_15				
MD82	DEFAULT	3	2	Penjanje	Maksimum za uzlijetanje	T_15	1000			
MD82	DEFAULT	3	3	Ubrzanje	Maksimum za penjanje	INT4		1099,1	225,1	
MD82	DEFAULT	3	4	Penjanje	Maksimum za penjanje	INT3	3000			
MD82	DEFAULT	3	5	Ubrzanje	Maksimum za penjanje	T_ZERO		1710,9	250	
MD82	DEFAULT	3	6	Penjanje	Maksimum za penjanje	T_ZERO	5500			
MD82	DEFAULT	3	7	Penjanje	Maksimum za penjanje	T_ZERO	7500			
MD82	DEFAULT	3	8	Penjanje	Maksimum za penjanje	T_ZERO	10000			
MD82	DEFAULT	4	1	Penjanje	Maksimum za uzlijetanje	T_15				
MD82	DEFAULT	4	2	Penjanje	Maksimum za uzlijetanje	T_15	1000			
MD82	DEFAULT	4	3	Ubrzanje	Maksimum za penjanje	INT4		989,5	231,9	
MD82	DEFAULT	4	4	Penjanje	Maksimum za penjanje	INT3	3000			
MD82	DEFAULT	4	5	Ubrzanje	Maksimum za penjanje	T_ZERO		1563,6	250	
MD82	DEFAULT	4	6	Penjanje	Maksimum za penjanje	T_ZERO	5500			
MD82	DEFAULT	4	7	Penjanje	Maksimum za penjanje	T_ZERO	7500			
MD82	DEFAULT	4	8	Penjanje	Maksimum za penjanje	T_ZERO	10000			
MD82	DEFAULT	5	1	Penjanje	Maksimum za uzlijetanje	T_15				



ThoriumSoftware d.o.o.

Mobile: +385 (0) 95 8 70 50 70
 Kontakt: Dario Ilija Rendulić
 Email:
[info@thoriumsoftware.eu;](mailto:info@thoriumsoftware.eu)
direndulic@gmail.com

MD82	DEFAULT	5	2	Penjanje	Maksimum za uzlijetanje	T_15	1000			
MD82	DEFAULT	5	3	Ubrzanje	Maksimum za penjanje	INT4		950,4	234,2	
MD82	DEFAULT	5	4	Penjanje	Maksimum za penjanje	INT3	3000			
MD82	DEFAULT	5	5	Ubrzanje	Maksimum za penjanje	T_ZERO		1518,1	250	
MD82	DEFAULT	5	6	Penjanje	Maksimum za penjanje	T_ZERO	5500			
MD82	DEFAULT	5	7	Penjanje	Maksimum za penjanje	T_ZERO	7500			
MD82	DEFAULT	5	8	Penjanje	Maksimum za penjanje	T_ZERO	10000			
MD82	ICAO_A	1	1	Penjanje	Maksimum za uzlijetanje	T_15				
MD82	ICAO_A	1	2	Penjanje	Maksimum za uzlijetanje	T_15	1500			
MD82	ICAO_A	1	3	Penjanje	Maksimum za penjanje	T_INT	3000			
MD82	ICAO_A	1	4	Ubrzanje	Maksimum za penjanje	T_ZERO		1200	250	
MD82	ICAO_A	1	5	Penjanje	Maksimum za penjanje	T_ZERO	5500			
MD82	ICAO_A	1	6	Penjanje	Maksimum za penjanje	T_ZERO	7500			
MD82	ICAO_A	1	7	Penjanje	Maksimum za penjanje	T_ZERO	10000			
MD82	ICAO_A	2	1	Penjanje	Maksimum za uzlijetanje	T_15				
MD82	ICAO_A	2	2	Penjanje	Maksimum za uzlijetanje	T_15	1500			
MD82	ICAO_A	2	3	Penjanje	Maksimum za penjanje	T_15	3000			
MD82	ICAO_A	2	4	Ubrzanje	Maksimum za penjanje	T_ZERO		1120,6	250	



ThoriumSoftware d.o.o.

Mobile: +385 (0) 95 8 70 50 70
 Kontakt: Dario Ilija Rendulić
 Email:
[info@thoriumsoftware.eu;](mailto:info@thoriumsoftware.eu)
direndulic@gmail.com

MD82	ICAO_A	2	5	Penjanje	Maksimum za penjanje	T_ZERO	5500			
MD82	ICAO_A	2	6	Penjanje	Maksimum za penjanje	T_ZERO	7500			
MD82	ICAO_A	2	7	Penjanje	Maksimum za penjanje	T_ZERO	10000			
MD82	ICAO_A	3	1	Penjanje	Maksimum za uzljetanje	T_15				
MD82	ICAO_A	3	2	Penjanje	Maksimum za uzljetanje	T_15	1500			
MD82	ICAO_A	3	3	Penjanje	Maksimum za penjanje	T_15	3000			
MD82	ICAO_A	3	4	Ubrzanje	Maksimum za penjanje	T_ZERO		1051,4	250	
MD82	ICAO_A	3	5	Penjanje	Maksimum za penjanje	T_ZERO	5500			
MD82	ICAO_A	3	6	Penjanje	Maksimum za penjanje	T_ZERO	7500			
MD82	ICAO_A	3	7	Penjanje	Maksimum za penjanje	T_ZERO	10000			
MD82	ICAO_A	4	1	Penjanje	Maksimum za uzljetanje	T_15				
MD82	ICAO_A	4	2	Penjanje	Maksimum za uzljetanje	T_15	1500			
MD82	ICAO_A	4	3	Penjanje	Maksimum za penjanje	T_15	3000			
MD82	ICAO_A	4	4	Ubrzanje	Maksimum za penjanje	T_ZERO		939,4	250	
MD82	ICAO_A	4	5	Penjanje	Maksimum za penjanje	T_ZERO	5500			
MD82	ICAO_A	4	6	Penjanje	Maksimum za penjanje	T_ZERO	7500			
MD82	ICAO_A	4	7	Penjanje	Maksimum za penjanje	T_ZERO	10000			
MD82	ICAO_A	5	1	Penjanje	Maksimum za uzljetanje	T_15				



ThoriumSoftware d.o.o.

Mobile: +385 (0) 95 8 70 50 70
 Kontakt: Dario Ilija Rendulić
 Email:
[info@thoriumsoftware.eu;](mailto:info@thoriumsoftware.eu)
direndulic@gmail.com

MD82	ICAO_A	5	2	Penjanje	Maksimum za uzlijetanje	T_15	1500			
MD82	ICAO_A	5	3	Penjanje	Maksimum za penjanje	T_15	3000			
MD82	ICAO_A	5	4	Ubrzanje	Maksimum za penjanje	T_ZERO		900	250	
MD82	ICAO_A	5	5	Penjanje	Maksimum za penjanje	T_ZERO	5500			
MD82	ICAO_A	5	6	Penjanje	Maksimum za penjanje	T_ZERO	7500			
MD82	ICAO_A	5	7	Penjanje	Maksimum za penjanje	T_ZERO	10000			
MD82	ICAO_B	1	1	Penjanje	Maksimum za uzlijetanje	T_15				
MD82	ICAO_B	1	2	Penjanje	Maksimum za uzlijetanje	T_15	1000			
MD82	ICAO_B	1	3	Ubrzanje	Maksimum za uzlijetanje	T_INT		1447,7	218,7	
MD82	ICAO_B	1	4	Penjanje	Maksimum za penjanje	T_ZERO	3000			
MD82	ICAO_B	1	5	Ubrzanje	Maksimum za penjanje	T_ZERO		1952,8	250	
MD82	ICAO_B	1	6	Penjanje	Maksimum za penjanje	T_ZERO	5500			
MD82	ICAO_B	1	7	Penjanje	Maksimum za penjanje	T_ZERO	7500			
MD82	ICAO_B	1	8	Penjanje	Maksimum za penjanje	T_ZERO	10000			
MD82	ICAO_B	2	1	Penjanje	Maksimum za uzlijetanje	T_15				
MD82	ICAO_B	2	2	Penjanje	Maksimum za uzlijetanje	T_15	1000			
MD82	ICAO_B	2	3	Ubrzanje	Maksimum za uzlijetanje	T_INT		1360,4	222,9	

MD82	ICAO_B	2	4	Penjanje	Maksimum za penjanje	T_ZERO	3000			
MD82	ICAO_B	2	5	Ubrzanje	Maksimum za penjanje	T_ZERO		1838,2	250	
MD82	ICAO_B	2	6	Penjanje	Maksimum za penjanje	T_ZERO	5500			
MD82	ICAO_B	2	7	Penjanje	Maksimum za penjanje	T_ZERO	7500			
MD82	ICAO_B	2	8	Penjanje	Maksimum za penjanje	T_ZERO	10000			
MD82	ICAO_B	3	1	Penjanje	Maksimum za uzljetanje	T_15				
MD82	ICAO_B	3	2	Penjanje	Maksimum za uzljetanje	T_15	1000			
MD82	ICAO_B	3	3	Ubrzanje	Maksimum za uzljetanje	T_INT		1279,8	227,2	
MD82	ICAO_B	3	4	Penjanje	Maksimum za penjanje	T_ZERO	3000			
MD82	ICAO_B	3	5	Ubrzanje	Maksimum za penjanje	T_ZERO		1732,3	250	
MD82	ICAO_B	3	6	Penjanje	Maksimum za penjanje	T_ZERO	5500			
MD82	ICAO_B	3	7	Penjanje	Maksimum za penjanje	T_ZERO	7500			
MD82	ICAO_B	3	8	Penjanje	Maksimum za penjanje	T_ZERO	10000			
MD82	ICAO_B	4	1	Penjanje	Maksimum za uzljetanje	T_15				
MD82	ICAO_B	4	2	Penjanje	Maksimum za uzljetanje	T_15	1000			
MD82	ICAO_B	4	3	Ubrzanje	Maksimum za uzljetanje	T_INT		1160,8	233,9	
MD82	ICAO_B	4	4	Penjanje	Maksimum za penjanje	T_ZERO	3000			



ThoriumSoftware d.o.o.

Mobile: +385 (0) 95 8 70 50 70
 Kontakt: Dario Ilija Rendulić
 Email:
[info@thoriumsoftware.eu;](mailto:info@thoriumsoftware.eu)
direndulic@gmail.com

MD82	ICAO_B	4	5	Ubrzanje	Maksimum za penjanje	T_ZERO		1564,9	250	
MD82	ICAO_B	4	6	Penjanje	Maksimum za penjanje	T_ZERO	5500			
MD82	ICAO_B	4	7	Penjanje	Maksimum za penjanje	T_ZERO	7500			
MD82	ICAO_B	4	8	Penjanje	Maksimum za penjanje	T_ZERO	10000			
MD82	ICAO_B	5	1	Penjanje	Maksimum za uzljetanje	T_15				
MD82	ICAO_B	5	2	Penjanje	Maksimum za uzljetanje	T_15	1000			
MD82	ICAO_B	5	3	Ubrzanje	Maksimum za uzljetanje	T_INT		1131,1	236,1	
MD82	ICAO_B	5	4	Penjanje	Maksimum za penjanje	T_ZERO	3000			
MD82	ICAO_B	5	5	Ubrzanje	Maksimum za penjanje	T_ZERO		1522,4	250	
MD82	ICAO_B	5	6	Penjanje	Maksimum za penjanje	T_ZERO	5500			
MD82	ICAO_B	5	7	Penjanje	Maksimum za penjanje	T_ZERO	7500			
MD82	ICAO_B	5	8	Penjanje	Maksimum za penjanje	T_ZERO	10000			
MD83	DEFAULT	1	1	Penjanje	Maksimum za uzljetanje	T_15				
MD83	DEFAULT	1	2	Penjanje	Maksimum za uzljetanje	T_15	1000			
MD83	DEFAULT	1	3	Ubrzanje	Maksimum za penjanje	T_INT		1319	218,1	
MD83	DEFAULT	1	4	Penjanje	Maksimum za penjanje	T_ZERO	3000			
MD83	DEFAULT	1	5	Ubrzanje	Maksimum za penjanje	T_ZERO		2033,2	250	
MD83	DEFAULT	1	6	Penjanje	Maksimum za penjanje	T_ZERO	5500			

MD83	DEFAULT	1	7	Penjanje	Maksimum za penjanje	T_ZERO	7500			
MD83	DEFAULT	1	8	Penjanje	Maksimum za penjanje	T_ZERO	10000			
MD83	DEFAULT	2	1	Penjanje	Maksimum za uzljetanje	T_15				
MD83	DEFAULT	2	2	Penjanje	Maksimum za uzljetanje	T_15	1000			
MD83	DEFAULT	2	3	Ubrzanje	Maksimum za penjanje	T_INT		1239,2	222,2	
MD83	DEFAULT	2	4	Penjanje	Maksimum za penjanje	T_ZERO	3000			
MD83	DEFAULT	2	5	Ubrzanje	Maksimum za penjanje	T_ZERO		1921,8	250	
MD83	DEFAULT	2	6	Penjanje	Maksimum za penjanje	T_ZERO	5500			
MD83	DEFAULT	2	7	Penjanje	Maksimum za penjanje	T_ZERO	7500			
MD83	DEFAULT	2	8	Penjanje	Maksimum za penjanje	T_ZERO	10000			
MD83	DEFAULT	3	1	Penjanje	Maksimum za uzljetanje	T_15				
MD83	DEFAULT	3	2	Penjanje	Maksimum za uzljetanje	T_15	1000			
MD83	DEFAULT	3	3	Ubrzanje	Maksimum za penjanje	T_INT		1158,7	226,6	
MD83	DEFAULT	3	4	Penjanje	Maksimum za penjanje	T_ZERO	3000			
MD83	DEFAULT	3	5	Ubrzanje	Maksimum za penjanje	T_ZERO		1810	250	
MD83	DEFAULT	3	6	Penjanje	Maksimum za penjanje	T_ZERO	5500			
MD83	DEFAULT	3	7	Penjanje	Maksimum za penjanje	T_ZERO	7500			
MD83	DEFAULT	3	8	Penjanje	Maksimum za penjanje	T_ZERO	10000			



ThoriumSoftware d.o.o.

Mobile: +385 (0) 95 8 70 50 70
 Kontakt: Dario Ilija Rendulić
 Email:
[info@thoriumsoftware.eu;](mailto:info@thoriumsoftware.eu)
direndulic@gmail.com

MD83	DEFAULT	4	1	Penjanje	Maksimum za uzlijetanje	T_15				
MD83	DEFAULT	4	2	Penjanje	Maksimum za uzlijetanje	T_15	1000			
MD83	DEFAULT	4	3	Ubrzanje	Maksimum za penjanje	T_INT		1049,7	233,6	
MD83	DEFAULT	4	4	Penjanje	Maksimum za penjanje	T_ZERO	3000			
MD83	DEFAULT	4	5	Ubrzanje	Maksimum za penjanje	T_ZERO		1649	250	
MD83	DEFAULT	4	6	Penjanje	Maksimum za penjanje	T_ZERO	5500			
MD83	DEFAULT	4	7	Penjanje	Maksimum za penjanje	T_ZERO	7500			
MD83	DEFAULT	4	8	Penjanje	Maksimum za penjanje	T_ZERO	10000			
MD83	DEFAULT	5	1	Penjanje	Maksimum za uzlijetanje	T_15				
MD83	DEFAULT	5	2	Penjanje	Maksimum za uzlijetanje	T_15	1000			
MD83	DEFAULT	5	3	Ubrzanje	Maksimum za penjanje	T_INT		929,7	241,3	
MD83	DEFAULT	5	4	Penjanje	Maksimum za penjanje	T_ZERO	3000			
MD83	DEFAULT	5	5	Ubrzanje	Maksimum za penjanje	T_ZERO		1482,4	250	
MD83	DEFAULT	5	6	Penjanje	Maksimum za penjanje	T_ZERO	5500			
MD83	DEFAULT	5	7	Penjanje	Maksimum za penjanje	T_ZERO	7500			
MD83	DEFAULT	5	8	Penjanje	Maksimum za penjanje	T_ZERO	10000			
MD83	ICAO_A	1	1	Penjanje	Maksimum za uzlijetanje	T_15				



ThoriumSoftware d.o.o.

Mobile: +385 (0) 95 8 70 50 70
 Kontakt: Dario Ilija Rendulić
 Email:
[info@thoriumsoftware.eu;](mailto:info@thoriumsoftware.eu)
direndulic@gmail.com

MD83	ICAO_A	1	2	Penjanje	Maksimum za uzljetanje	T_15	1500			
MD83	ICAO_A	1	3	Penjanje	Maksimum za penjanje	T_15	3000			
MD83	ICAO_A	1	4	Ubrzanje	Maksimum za penjanje	T_INT		1269,6	250	
MD83	ICAO_A	1	5	Penjanje	Maksimum za penjanje	T_ZERO	5500			
MD83	ICAO_A	1	6	Penjanje	Maksimum za penjanje	T_ZERO	7500			
MD83	ICAO_A	1	7	Penjanje	Maksimum za penjanje	T_ZERO	10000			
MD83	ICAO_A	2	1	Penjanje	Maksimum za uzljetanje	T_15				
MD83	ICAO_A	2	2	Penjanje	Maksimum za uzljetanje	T_15	1500			
MD83	ICAO_A	2	3	Penjanje	Maksimum za penjanje	T_15	3000			
MD83	ICAO_A	2	4	Ubrzanje	Maksimum za penjanje	T_INT		1188,7	250	
MD83	ICAO_A	2	5	Penjanje	Maksimum za penjanje	T_ZERO	5500			
MD83	ICAO_A	2	6	Penjanje	Maksimum za penjanje	T_ZERO	7500			
MD83	ICAO_A	2	7	Penjanje	Maksimum za penjanje	T_ZERO	10000			
MD83	ICAO_A	3	1	Penjanje	Maksimum za uzljetanje	T_15				
MD83	ICAO_A	3	2	Penjanje	Maksimum za uzljetanje	T_15	1500			
MD83	ICAO_A	3	3	Penjanje	Maksimum za penjanje	T_15	3000			
MD83	ICAO_A	3	4	Ubrzanje	Maksimum za penjanje	T_INT		1109,5	250	
MD83	ICAO_A	3	5	Penjanje	Maksimum za penjanje	T_ZERO	5500			



ThoriumSoftware d.o.o.

Mobile: +385 (0) 95 8 70 50 70
 Kontakt: Dario Ilija Rendulić
 Email:
[info@thoriumsoftware.eu;](mailto:info@thoriumsoftware.eu)
direndulic@gmail.com

MD83	ICAO_A	3	6	Penjanje	Maksimum za penjanje	T_ZERO	7500			
MD83	ICAO_A	3	7	Penjanje	Maksimum za penjanje	T_ZERO	10000			
MD83	ICAO_A	4	1	Penjanje	Maksimum za uzljetanje	T_15				
MD83	ICAO_A	4	2	Penjanje	Maksimum za uzljetanje	T_15	1500			
MD83	ICAO_A	4	3	Penjanje	Maksimum za penjanje	T_15	3000			
MD83	ICAO_A	4	4	Ubrzanje	Maksimum za penjanje	T_INT		989,8	250	
MD83	ICAO_A	4	5	Penjanje	Maksimum za penjanje	T_ZERO	5500			
MD83	ICAO_A	4	6	Penjanje	Maksimum za penjanje	T_ZERO	7500			
MD83	ICAO_A	4	7	Penjanje	Maksimum za penjanje	T_ZERO	10000			
MD83	ICAO_A	5	1	Penjanje	Maksimum za uzljetanje	T_15				
MD83	ICAO_A	5	2	Penjanje	Maksimum za uzljetanje	T_15	1500			
MD83	ICAO_A	5	3	Penjanje	Maksimum za penjanje	T_15	3000			
MD83	ICAO_A	5	4	Ubrzanje	Maksimum za penjanje	T_INT		880,1	250	
MD83	ICAO_A	5	5	Penjanje	Maksimum za penjanje	T_ZERO	5500			
MD83	ICAO_A	5	6	Penjanje	Maksimum za penjanje	T_ZERO	7500			
MD83	ICAO_A	5	7	Penjanje	Maksimum za penjanje	T_ZERO	10000			
MD83	ICAO_B	1	1	Penjanje	Maksimum za uzljetanje	T_15				



ThoriumSoftware d.o.o.

Mobile: +385 (0) 95 8 70 50 70
 Kontakt: Dario Ilija Rendulić
 Email:
[info@thoriumsoftware.eu;](mailto:info@thoriumsoftware.eu)
direndulic@gmail.com

MD83	ICAO_B	1	2	Penjanje	Maksimum za uzlijetanje	T_15	1000			
MD83	ICAO_B	1	3	Ubrzanje	Maksimum za uzlijetanje	T_INT		1546,8	221,1	
MD83	ICAO_B	1	4	Penjanje	Maksimum za penjanje	T_ZERO	3000			
MD83	ICAO_B	1	5	Ubrzanje	Maksimum za penjanje	T_ZERO		2056,2	250	
MD83	ICAO_B	1	6	Penjanje	Maksimum za penjanje	T_ZERO	5500			
MD83	ICAO_B	1	7	Penjanje	Maksimum za penjanje	T_ZERO	7500			
MD83	ICAO_B	1	8	Penjanje	Maksimum za penjanje	T_ZERO	10000			
MD83	ICAO_B	2	1	Penjanje	Maksimum za uzlijetanje	T_15				
MD83	ICAO_B	2	2	Penjanje	Maksimum za uzlijetanje	T_15	1000			
MD83	ICAO_B	2	3	Ubrzanje	Maksimum za uzlijetanje	T_INT		1462	225,1	
MD83	ICAO_B	2	4	Penjanje	Maksimum za penjanje	T_ZERO	3000			
MD83	ICAO_B	2	5	Ubrzanje	Maksimum za penjanje	T_ZERO		1941,6	250	
MD83	ICAO_B	2	6	Penjanje	Maksimum za penjanje	T_ZERO	5500			
MD83	ICAO_B	2	7	Penjanje	Maksimum za penjanje	T_ZERO	7500			
MD83	ICAO_B	2	8	Penjanje	Maksimum za penjanje	T_ZERO	10000			
MD83	ICAO_B	3	1	Penjanje	Maksimum za uzlijetanje	T_15				
MD83	ICAO_B	3	2	Penjanje	Maksimum za uzlijetanje	T_15	1000			



ThoriumSoftware d.o.o.

Mobile: +385 (0) 95 8 70 50 70
 Kontakt: Dario Ilija Rendulić
 Email:
[info@thoriumsoftware.eu;](mailto:info@thoriumsoftware.eu)
direndulic@gmail.com

MD83	ICAO_B	3	3	Ubrzanje	Maksimum za uzlijetanje	T_INT		1376,3	229,2	
MD83	ICAO_B	3	4	Penjanje	Maksimum za penjanje	T_ZERO	3000			
MD83	ICAO_B	3	5	Ubrzanje	Maksimum za penjanje	T_ZERO		1837,5	250	
MD83	ICAO_B	3	6	Penjanje	Maksimum za penjanje	T_ZERO	5500			
MD83	ICAO_B	3	7	Penjanje	Maksimum za penjanje	T_ZERO	7500			
MD83	ICAO_B	3	8	Penjanje	Maksimum za penjanje	T_ZERO	10000			
MD83	ICAO_B	4	1	Penjanje	Maksimum za uzlijetanje	T_15				
MD83	ICAO_B	4	2	Penjanje	Maksimum za uzlijetanje	T_15	1000			
MD83	ICAO_B	4	3	Ubrzanje	Maksimum za uzlijetanje	T_INT		1249,5	236,1	
MD83	ICAO_B	4	4	Penjanje	Maksimum za penjanje	T_ZERO	3000			
MD83	ICAO_B	4	5	Ubrzanje	Maksimum za penjanje	T_ZERO		1671,1	250	
MD83	ICAO_B	4	6	Penjanje	Maksimum za penjanje	T_ZERO	5500			
MD83	ICAO_B	4	7	Penjanje	Maksimum za penjanje	T_ZERO	7500			
MD83	ICAO_B	4	8	Penjanje	Maksimum za penjanje	T_ZERO	10000			
MD83	ICAO_B	5	1	Penjanje	Maksimum za uzlijetanje	T_15				
MD83	ICAO_B	5	2	Penjanje	Maksimum za uzlijetanje	T_15	1000			
MD83	ICAO_B	5	3	Ubrzanje	Maksimum za uzlijetanje	T_INT		1130,3	243,6	



ThoriumSoftware d.o.o.

Mobile: +385 (0) 95 8 70 50 70
 Kontakt: Dario Ilija Rendulić
 Email:
[info@thoriumsoftware.eu;](mailto:info@thoriumsoftware.eu)
direndulic@gmail.com

MD83	ICAO_B	5	4	Penjanje	Maksimum za penjanje	T_ZERO	3000			
MD83	ICAO_B	5	5	Ubrzanje	Maksimum za penjanje	T_ZERO		1504,9	250	
MD83	ICAO_B	5	6	Penjanje	Maksimum za penjanje	T_ZERO	5500			
MD83	ICAO_B	5	7	Penjanje	Maksimum za penjanje	T_ZERO	7500			
MD83	ICAO_B	5	8	Penjanje	Maksimum za penjanje	T_ZERO	10000			
MD9025	DEFAULT	1	1	Penjanje	Maksimum za uzljetanje	EXT/11				
MD9025	DEFAULT	1	2	Penjanje	Maksimum za uzljetanje	EXT/11	1000			
MD9025	DEFAULT	1	3	Ubrzanje	Maksimum za uzljetanje	RET/0		2280	194	
MD9025	DEFAULT	1	4	Penjanje	Maksimum za penjanje	RET/0	3000			
MD9025	DEFAULT	1	5	Ubrzanje	Maksimum za penjanje	RET/0		1000	250	
MD9025	DEFAULT	1	6	Penjanje	Maksimum za penjanje	RET/0	10000			
MD9025	DEFAULT	2	1	Penjanje	Maksimum za uzljetanje	EXT/11				
MD9025	DEFAULT	2	2	Penjanje	Maksimum za uzljetanje	EXT/11	1000			
MD9025	DEFAULT	2	3	Ubrzanje	Maksimum za uzljetanje	RET/0		2150	193	
MD9025	DEFAULT	2	4	Penjanje	Maksimum za penjanje	RET/0	3000			
MD9025	DEFAULT	2	5	Ubrzanje	Maksimum za penjanje	RET/0		1000	250	
MD9025	DEFAULT	2	6	Penjanje	Maksimum za penjanje	RET/0	10000			



ThoriumSoftware d.o.o.

Mobile: +385 (0) 95 8 70 50 70
 Kontakt: Dario Ilija Rendulić
 Email:
[info@thoriumsoftware.eu;](mailto:info@thoriumsoftware.eu)
direndulic@gmail.com

MD9025	DEFAULT	3	1	Penjanje	Maksimum za uzlijetanje	EXT/11				
MD9025	DEFAULT	3	2	Penjanje	Maksimum za uzlijetanje	EXT/11	1000			
MD9025	DEFAULT	3	3	Ubrzanje	Maksimum za uzlijetanje	RET/0		2031	192	
MD9025	DEFAULT	3	4	Penjanje	Maksimum za penjanje	RET/0	3000			
MD9025	DEFAULT	3	5	Ubrzanje	Maksimum za penjanje	RET/0		1000	250	
MD9025	DEFAULT	3	6	Penjanje	Maksimum za penjanje	RET/0	10000			
MD9025	DEFAULT	4	1	Penjanje	Maksimum za uzlijetanje	EXT/11				
MD9025	DEFAULT	4	2	Penjanje	Maksimum za uzlijetanje	EXT/11	1000			
MD9025	DEFAULT	4	3	Ubrzanje	Maksimum za uzlijetanje	RET/0		1916	191	
MD9025	DEFAULT	4	4	Penjanje	Maksimum za penjanje	RET/0	3000			
MD9025	DEFAULT	4	5	Ubrzanje	Maksimum za penjanje	RET/0		1000	250	
MD9025	DEFAULT	4	6	Penjanje	Maksimum za penjanje	RET/0	10000			
MD9025	DEFAULT	5	1	Penjanje	Maksimum za uzlijetanje	EXT/11				
MD9025	DEFAULT	5	2	Penjanje	Maksimum za uzlijetanje	EXT/11	1000			
MD9025	DEFAULT	5	3	Ubrzanje	Maksimum za uzlijetanje	RET/0		1840	190	
MD9025	DEFAULT	5	4	Penjanje	Maksimum za penjanje	RET/0	3000			



ThoriumSoftware d.o.o.

Mobile: +385 (0) 95 8 70 50 70
Kontakt: Dario Ilija Rendulić
Email:
info@thoriumsoftware.eu;
direndulic@gmail.com

MD9025	DEFAULT	5	5	Ubrzanje	Maksimum za penjanje	RET/0		1000	250	
MD9025	DEFAULT	5	6	Penjanje	Maksimum za penjanje	RET/0	10000			
MD9028	DEFAULT	1	1	Penjanje	Maksimum za uzlijetanje	EXT/11				
MD9028	DEFAULT	1	2	Penjanje	Maksimum za uzlijetanje	EXT/11	1000			
MD9028	DEFAULT	1	3	Ubrzanje	Maksimum za uzlijetanje	RET/0		2666	196	
MD9028	DEFAULT	1	4	Penjanje	Maksimum za penjanje	RET/0	3000			
MD9028	DEFAULT	1	5	Ubrzanje	Maksimum za penjanje	RET/0		1000	250	
MD9028	DEFAULT	1	6	Penjanje	Maksimum za penjanje	RET/0	10000			
MD9028	DEFAULT	2	1	Penjanje	Maksimum za uzlijetanje	EXT/11				
MD9028	DEFAULT	2	2	Penjanje	Maksimum za uzlijetanje	EXT/11	1000			
MD9028	DEFAULT	2	3	Ubrzanje	Maksimum za uzlijetanje	RET/0		2525	194	
MD9028	DEFAULT	2	4	Penjanje	Maksimum za penjanje	RET/0	3000			
MD9028	DEFAULT	2	5	Ubrzanje	Maksimum za penjanje	RET/0		1000	250	
MD9028	DEFAULT	2	6	Penjanje	Maksimum za penjanje	RET/0	10000			
MD9028	DEFAULT	3	1	Penjanje	Maksimum za uzlijetanje	EXT/11				
MD9028	DEFAULT	3	2	Penjanje	Maksimum za uzlijetanje	EXT/11	1000			



ThoriumSoftware d.o.o.

Mobile: +385 (0) 95 8 70 50 70
 Kontakt: Dario Ilija Rendulić
 Email:
[info@thoriumsoftware.eu;](mailto:info@thoriumsoftware.eu)
direndulic@gmail.com

MD9028	DEFAULT	3	3	Ubrzanje	Maksimum za uzljetanje	RET/0		2391	193	
MD9028	DEFAULT	3	4	Penjanje	Maksimum za penjanje	RET/0	3000			
MD9028	DEFAULT	3	5	Ubrzanje	Maksimum za penjanje	RET/0		1000	250	
MD9028	DEFAULT	3	6	Penjanje	Maksimum za penjanje	RET/0	10000			
MD9028	DEFAULT	4	1	Penjanje	Maksimum za uzljetanje	EXT/11				
MD9028	DEFAULT	4	2	Penjanje	Maksimum za uzljetanje	EXT/11	1000			
MD9028	DEFAULT	4	3	Ubrzanje	Maksimum za uzljetanje	RET/0		2263	192	
MD9028	DEFAULT	4	4	Penjanje	Maksimum za penjanje	RET/0	3000			
MD9028	DEFAULT	4	5	Ubrzanje	Maksimum za penjanje	RET/0		1000	250	
MD9028	DEFAULT	4	6	Penjanje	Maksimum za penjanje	RET/0	10000			
MD9028	DEFAULT	5	1	Penjanje	Maksimum za uzljetanje	EXT/11				
MD9028	DEFAULT	5	2	Penjanje	Maksimum za uzljetanje	EXT/11	1000			
MD9028	DEFAULT	5	3	Ubrzanje	Maksimum za uzljetanje	RET/0		2180	189	
MD9028	DEFAULT	5	4	Penjanje	Maksimum za penjanje	RET/0	3000			
MD9028	DEFAULT	5	5	Ubrzanje	Maksimum za penjanje	RET/0		1000	250	
MD9028	DEFAULT	5	6	Penjanje	Maksimum za penjanje	RET/0	10000			
MU3001	DEFAULT	1	1	Penjanje	Maksimum za uzljetanje	10				



ThoriumSoftware d.o.o.

Mobile: +385 (0) 95 8 70 50 70
 Kontakt: Dario Ilija Rendulić
 Email:
[info@thoriumsoftware.eu;](mailto:info@thoriumsoftware.eu)
direndulic@gmail.com

MU3001	DEFAULT	1	2	Ubrzanje	Maksimum za uzljetanje	10		1130	142	
MU3001	DEFAULT	1	3	Penjanje	Maksimum za uzljetanje	1	1500			
MU3001	DEFAULT	1	4	Ubrzanje	Maksimum za uzljetanje	1		1130	200	
MU3001	DEFAULT	1	5	Penjanje	Maksimum za penjanje	ZERO	3000			
MU3001	DEFAULT	1	6	Ubrzanje	Maksimum za penjanje	ZERO		1555	250	
MU3001	DEFAULT	1	7	Penjanje	Maksimum za penjanje	ZERO	5500			
MU3001	DEFAULT	1	8	Penjanje	Maksimum za penjanje	ZERO	7500			
MU3001	DEFAULT	1	9	Penjanje	Maksimum za penjanje	ZERO	10000			
PA30	DEFAULT	1	1	Penjanje	Maksimum za uzljetanje	15-D				
PA30	DEFAULT	1	2	Ubrzanje	Maksimum za uzljetanje	15-D		415	79	
PA30	DEFAULT	1	3	Ubrzanje	Maksimum za uzljetanje	15-D		500	113	
PA30	DEFAULT	1	4	Penjanje	Maksimum za uzljetanje	ZERO-D	1500			
PA30	DEFAULT	1	5	Penjanje	Maksimum za uzljetanje	ZERO-D	3000			
PA30	DEFAULT	1	6	Penjanje	Maksimum za penjanje	ZERO-D	5500			
PA30	DEFAULT	1	7	Penjanje	Maksimum za penjanje	ZERO-D	7500			
PA30	DEFAULT	1	8	Penjanje	Maksimum za penjanje	ZERO-D	10000			



ThoriumSoftware d.o.o.

Mobile: +385 (0) 95 8 70 50 70
 Kontakt: Dario Ilija Rendulić
 Email:
[info@thoriumsoftware.eu;](mailto:info@thoriumsoftware.eu)
direndulic@gmail.com

PA42	DEFAULT	1	1	Penjanje	Maksimum za uzlijetanje	ZER-DN				
PA42	DEFAULT	1	2	Ubrzanje	Maksimum za uzlijetanje	ZER-DN		1000	118	
PA42	DEFAULT	1	3	Penjanje	Maksimum za uzlijetanje	ZER-DN	1000			
PA42	DEFAULT	1	4	Ubrzanje	Maksimum za penjanje	ZERO		1000	154	
PA42	DEFAULT	1	5	Penjanje	Maksimum za penjanje	ZERO	3000			
PA42	DEFAULT	1	6	Penjanje	Maksimum za penjanje	ZERO	4000			
PA42	DEFAULT	1	7	Penjanje	Maksimum za penjanje	ZERO	6000			
PA42	DEFAULT	1	8	Penjanje	Maksimum za penjanje	ZERO	8000			
PA42	DEFAULT	1	9	Penjanje	Maksimum za penjanje	ZERO	10000			
SD330	DEFAULT	1	1	Penjanje	Maksimum za uzlijetanje	10				
SD330	DEFAULT	1	2	Penjanje	Maksimum za uzlijetanje	10	1000			
SD330	DEFAULT	1	3	Ubrzanje	Maksimum za uzlijetanje	10		971	117	
SD330	DEFAULT	1	4	Ubrzanje	Maksimum za penjanje	INTR		728	137	
SD330	DEFAULT	1	5	Penjanje	Maksimum za penjanje	ZERO	3000			
SD330	DEFAULT	1	6	Penjanje	Maksimum za penjanje	ZERO	5500			
SD330	DEFAULT	1	7	Penjanje	Maksimum za penjanje	ZERO	7500			
SD330	DEFAULT	1	8	Penjanje	Maksimum za penjanje	ZERO	10000			



ThoriumSoftware d.o.o.

Mobile: +385 (0) 95 8 70 50 70
 Kontakt: Dario Ilija Rendulić
 Email:
[info@thoriumsoftware.eu;](mailto:info@thoriumsoftware.eu)
direndulic@gmail.com

SF340	DEFAULT	1	1	Penjanje	Maksimum za uzlijetanje	15				
SF340	DEFAULT	1	2	Penjanje	Maksimum za uzlijetanje	15	1000			
SF340	DEFAULT	1	3	Ubrzanje	Maksimum za uzlijetanje	15		1821	127	
SF340	DEFAULT	1	4	Ubrzanje	Maksimum za penjanje	5		1366	147	
SF340	DEFAULT	1	5	Penjanje	Maksimum za penjanje	ZERO	3000			
SF340	DEFAULT	1	6	Penjanje	Maksimum za penjanje	ZERO	5500			
SF340	DEFAULT	1	7	Penjanje	Maksimum za penjanje	ZERO	7500			
SF340	DEFAULT	1	8	Penjanje	Maksimum za penjanje	ZERO	10000			
SF340	DEFAULT	2	1	Penjanje	Maksimum za uzlijetanje	15				
SF340	DEFAULT	2	2	Penjanje	Maksimum za uzlijetanje	15	1000			
SF340	DEFAULT	2	3	Ubrzanje	Maksimum za uzlijetanje	15		1450	133	
SF340	DEFAULT	2	4	Ubrzanje	Maksimum za penjanje	5		1088	153	
SF340	DEFAULT	2	5	Penjanje	Maksimum za penjanje	ZERO	3000			
SF340	DEFAULT	2	6	Penjanje	Maksimum za penjanje	ZERO	5500			
SF340	DEFAULT	2	7	Penjanje	Maksimum za penjanje	ZERO	7500			
SF340	DEFAULT	2	8	Penjanje	Maksimum za penjanje	ZERO	10000			

Tablica I-5: Unaprijed zadane fiksne točke profila

ACFTID	Opis	Tip motora	Broj motora	Klasifikacija po masi	Kategorija vlasnika	MGT OW (lb)	MGLW (lb)	Najveća duljina za slijetanje (ft)	Najveća razina statičkog potiska na razini mora (lb)	Poglavlje o buci	NPD oznaka (NPD_ID)	Parametar snage	Oznaka spektralne klase za prilaz	Oznaka spektralne klase za odlet	Oznaka lateralne usmjere nosti
1900D	Beech 1900D/PT6A67	Turboeljni	2	Veliki	Komercijalni	16950	14940	1696	3367	1	PT6A67	CNT (lb)	213	109	Elisa
707	Boeing 707-120/JT3C	Mlazni	4	Teški	Komercijalni	302400	188900	6682	10120	1	JT4A	CNT (lb)	208	107	Krilo
707120	Boeing 707-120B/JT3D-3	Mlazni	4	Teški	Komercijalni	302400	188900	6893	14850	1	JT3D	CNT (lb)	208	107	Krilo
707320	Boeing 707-320B/JT3D-7	Mlazni	4	Teški	Komercijalni	334000	247000	5622	19000	1	JT3D	CNT (lb)	208	107	Krilo
707QN	Boeing 707-320B/JT3D-7QN	Mlazni	4	Teški	Komercijalni	334000	247000	5622	19000	2	JT3DQ	CNT (lb)	208	106	Krilo
717200	Boeing 717-200/BR715	Mlazni	2	Veliki	Komercijalni	121000	110000	4600	18000	3	BR715	CNT (lb)	203	105	Trup
720	Boeing 720/JT3C	Mlazni	4	Veliki	Komercijalni	223500	155600	4871	10120	1	JT4A	CNT (lb)	208	107	Krilo
720B	Boeing 720B/JT3D-3	Mlazni	4	Veliki	Komercijalni	234000	175000	5717	18000	1	JT3D	CNT (lb)	208	107	Krilo
727100	Boeing 727-100/JT8D-7	Mlazni	3	Veliki	Komercijalni	169500	142500	4867	14000	1	3JT8D	CNT (lb)	201	101	Trup
727200	Boeing 727-200/JT8D-7	Mlazni	3	Veliki	Komercijalni	217600	163300	5571	11895	1	3JT8D	CNT (lb)	201	101	Trup
727D15	Boeing 727-200/JT8D-15	Mlazni	3	Veliki	Komercijalni	208000	169000	4922	15500	1	3JT8D	CNT (lb)	201	101	Trup
727D17	Boeing 727-200/JT8D-17	Mlazni	3	Veliki	Komercijalni	208000	169000	5444	16000	2	3JT8DQ	CNT (lb)	201	101	Trup
727EM1	FEDX 727-100/JT8D-7	Mlazni	3	Veliki	Komercijalni	169500	142500	4867	14000	3	3JT8E7	CNT (lb)	201	101	Trup
727EM2	FEDX 727-200/JT8D-15	Mlazni	3	Veliki	Komercijalni	208000	169000	4922	15500	3	3JT8E5	CNT (lb)	201	101	Trup
727Q15	Boeing 727-200/JT8D-15QN	Mlazni	3	Veliki	Komercijalni	208000	169000	4922	15500	2	3JT8DQ	CNT (lb)	201	101	Trup
727Q7	Boeing 727-100/JT8D-7QN	Mlazni	3	Veliki	Komercijalni	169500	142500	4867	14000	2	3JT8DQ	CNT (lb)	201	101	Trup
727Q9	Boeing 727-200/JT8D-9	Mlazni	3	Veliki	Komercijalni	191000	160000	5444	14500	2	3JT8DQ	CNT (lb)	201	101	Trup

727QF	UPS 727-100 22C 25C	Mlazni	3	Veliki	Komerčijalni	1690 00	142500	4448	15380	3	TAY651	CNT (lb)	201	101	Trup
737	Boeing 737/JT8D-9	Mlazni	2	Veliki	Komerčijalni	1090 00	98000	3900	14500	1	2JT8DW	CNT (lb)	201	101	Krilo
737300	Boeing 737-300/CFM56-3B-1	Mlazni	2	Veliki	Komerčijalni	1350 00	114000	4580	20000	3	CFM563	CNT (lb)	202	102	Krilo
7373B2	Boeing 737-300/CFM56-3B-2	Mlazni	2	Veliki	Komerčijalni	1395 00	114000	4580	22000	3	CFM563	CNT (lb)	202	102	Krilo
737400	Boeing 737-400/CFM56-3C-1	Mlazni	2	Veliki	Komerčijalni	1500 00	124000	5062	23500	3	CFM563	CNT (lb)	202	102	Krilo
737500	Boeing 737-500/CFM56-3C-1	Mlazni	2	Veliki	Komerčijalni	1335 00	111000	4551	20000	3	CFM563	CNT (lb)	202	102	Krilo
737700	Boeing 737-700/CFM56-7B24	Mlazni	2	Veliki	Komerčijalni	1545 00	129200	4445	24000	3	CF567B	CNT (lb)	203	104	Krilo
737800	Boeing 737-800/CFM56-7B26	Mlazni	2	Veliki	Komerčijalni	1742 00	146300	5435	26300	3	CF567B	CNT (lb)	203	104	Krilo
737D17	Boeing 737-200/JT8D-17	Mlazni	2	Veliki	Komerčijalni	1240 00	107000	4244	16000	2	2JT8QW	CNT (lb)	201	101	Krilo
737N17	Boeing 737-200/JT8D-17 Nordam B737 LGW Hushkit	Mlazni	2	Veliki	Komerčijalni	1240 00	107000	4244	16000	3	2JT8DN	CNT (lb)	202	104	Krilo
737N9	Boeing 737/JT8D-9 Nordam B737 LGW Hushkit	Mlazni	2	Veliki	Komerčijalni	1090 00	98000	3900	14500	3	2JT8DN	CNT (lb)	202	104	Krilo
737QN	Boeing 737/JT8D-9QN	Mlazni	2	Veliki	Komerčijalni	1090 00	98000	3900	14500	2	2JT8QW	CNT (lb)	201	101	Krilo
747100	Boeing 747-100/JT9DBD	Mlazni	4	Teški	Komerčijalni	7330 00	516600	5727	33042	2	JT9DBD	CNT (lb)	209	107	Krilo
74710Q	Boeing 747-100/JT9D-7QN	Mlazni	4	Teški	Komerčijalni	7330 00	564000	6200	45500	3	JT9DFL	CNT (lb)	207	107	Krilo
747200	Boeing 747-200/JT9D-7	Mlazni	4	Teški	Komerčijalni	7750 00	564000	6200	45500	3	JT9DFL	CNT (lb)	207	107	Krilo
74720A	Boeing 747-200/JT9D-7A	Mlazni	4	Teški	Komerčijalni	7850 00	564000	6200	46300	3	JT9D7Q	CNT (lb)	207	107	Krilo
74720B	Boeing 747-200/JT9D-7Q	Mlazni	4	Teški	Komerčijalni	8000 00	630000	6200	53000	3	JT9D7Q	CNT (lb)	207	107	Krilo
747400	Boeing 747-400/PW4056	Mlazni	4	Teški	Komerčijalni	8750 00	652000	6989	56800	3	PW4056	CNT (lb)	207	107	Krilo
7478	Boeing 747-8F/GENx-2B67	Mlazni	4	Teški	Komerčijalni	9870 00	757000	7900	68000	4	GENX67	CNT (lb)	205	107	Krilo

747SP	Boeing 747SP/JT9D-7	Mlazni	4	Teški	Komercijalni	7020 00	475000	5911	45500	3	JT9DFL	CNT (lb)	207	107	Krilo
757300	Boeing 757-300/RB211-535E4B	Mlazni	2	Veliki	Komercijalni	2750 00	224000	5651	43100	3	RR535E	CNT (lb)	203	103	Krilo
757PW	Boeing 757-200/PW2037	Mlazni	2	Veliki	Komercijalni	2550 00	210000	4790	38300	3	PW2037	CNT (lb)	203	103	Krilo
757RR	Boeing 757-200/RB211-535E4	Mlazni	2	Veliki	Komercijalni	2550 00	210000	4640	40100	3	RR535E	CNT (lb)	203	103	Krilo
767300	Boeing 767-300/PW4060	Mlazni	2	Teški	Komercijalni	4070 00	320000	4710	60000	3	2CF680	CNT (lb)	203	103	Krilo
767400	Boeing 767-400ER/CF6-80C2B(F)	Mlazni	2	Teški	Komercijalni	4500 00	340000	6000	58685	3	CF680C	CNT (lb)	205	102	Krilo
767CF6	Boeing 767-200/CF6-80A	Mlazni	2	Teški	Komercijalni	3155 00	270000	4700	48000	3	2CF680	CNT (lb)	203	103	Krilo
767JT9	Boeing 767-200/JT9D-7R4D	Mlazni	2	Teški	Komercijalni	3510 00	270000	4744	48000	3	2CF680	CNT (lb)	203	103	Krilo
777200	Boeing 777-200/GE90-76B	Mlazni	2	Teški	Komercijalni	6560 00	470000	4450	90000	3	GE90	CNT (lb)	205	105	Krilo
777300	Boeing 777-300/Trent 892	Mlazni	2	Teški	Komercijalni	6600 00	524000	6012	77000	0	TRENT8	CNT (lb)	203	105	Krilo
7773ER	Boeing 777-300ER/GE90-115B-EIS	Mlazni	2	Teški	Komercijalni	7750 00	554000	5805	115000	3	GE9015	CNT (lb)	204	107	Krilo
7878R	Boeing 787-8/T1000-C/01 Family Plan Cert	Mlazni	2	Teški	Komercijalni	5025 00	380000	5090	70000	4	T1KBFP	CNT (lb)	205	103	Krilo
A300-622R	Airbus A300-622R/PW4158	Mlazni	2	Teški	Komercijalni	3785 33	308647	4735	58000	3	PW4158	CNT (lb)	202	103	Krilo
A300B4-203	Airbus A300B4-200/CF6-50C2	Mlazni	2	Teški	Komercijalni	3640 00	295000	5367	52500	3	2CF650	CNT (lb)	203	103	Krilo
A310-304	Airbus A310-304/GE CF6-80C2A2	Mlazni	2	Teški	Komercijalni	3461 26	273373	4682	53500	3	A310	CNT (lb)	204	103	Krilo
A319-131	Airbus A319-131/V2522-A5	Mlazni	2	Veliki	Komercijalni	1664 49	137789	4364	22000	3	V2522A	CNT (lb)	205	103	Krilo
A320-211	Airbus A320-211/CFM56-5A1	Mlazni	2	Veliki	Komercijalni	1697 56	142198	4753	25000	3	CFM565	CNT (lb)	202	103	Krilo
A320-232	Airbus A320-232/V2527-A5	Mlazni	2	Veliki	Komercijalni	1697 56	145505	4917	26500	3	V2527A	CNT (lb)	205	103	Krilo



ThoriumSoftware d.o.o.

Mobile: +385 (0) 95 8 70 50 70
 Kontakt: Dario Ilija Rendulić
 Email:
[info@thoriumsoftware.eu;](mailto:info@thoriumsoftware.eu)
direndulic@gmail.com

A321-232	Airbus A321-232/IAE V2530-A5	Mlazni	2	Veliki	Komerčijalni	196211	166449	5587	30000	3	V2530	CNT (lb)	202	103	Krilo
A330-301	Airbus A330-301/GE CF6-80 E1A2	Mlazni	2	Teški	Komerčijalni	478400	383604	5966	67500	3	CF680E	CNT (lb)	202	102	Krilo
A330-343	Airbus A330-343/RR Trent 772B	Mlazni	2	Teški	Komerčijalni	513677	412264	5512	71100	3	TRENT7	CNT (lb)	205	102	Krilo
A340-211	Airbus A340-211/CFM56-5C2	Mlazni	4	Teški	Komerčijalni	573200	399036	5900	31200	3	CF565C	CNT (lb)	206	107	Krilo
A340-642	Airbus A340-642/RR Trent 556	Mlazni	4	Teški	Komerčijalni	804687	564383	6919	56000	4	TRENT5	CNT (lb)	205	102	Krilo
A380-841	Airbus A380-841/RR Trent 970	Mlazni	4	Teški	Komerčijalni	1254430	862007	6752	70000	4	TRENT9	CNT (lb)	205	105	Krilo
A380-861	Airbus A380-861/EA GP7270	Mlazni	4	Teški	Komerčijalni	1254430	862007	6837	70000	4	GP7270	CNT (lb)	206	105	Krilo
BAC111	BAC 111/SPEY MK511-14	Mlazni	2	Veliki	Komerčijalni	89600	82000	4449	11400	2	2JT8D	CNT (lb)	201	101	Trup
BAE146	BAe 146-200/ALF502R-5	Mlazni	4	Veliki	Komerčijalni	93000	81000	3770	6970	3	AL502R	CNT (lb)	206	108	Krilo
BAE300	BAe 146-300/ALF502R-5	Mlazni	4	Veliki	Komerčijalni	97500	84500	3960	6970	3	AL502R	CNT (lb)	206	108	Krilo
BEC58P	Raytheon BARON 58P/TS10-520-L	Klipni	2	Mali	Opće zrakoplovstvo	6100	6100	2733	779	0	TSIO52	CNT (% maksim alnog statičko g potiska)	215	109	Elisa
CIT3	Cessna Citation III/TFE731-3-100S	Mlazni	2	Veliki	Opće zrakoplovstvo	20000	17000	2770	3650	3	TF7313	CNT (lb)	216	113	Trup
CL600	Canadair CL-600/ALF502L	Mlazni	2	Veliki	Opće zrakoplovstvo	36000	33000	3300	7500	3	AL502L	CNT (lb)	216	113	Trup
CL601	Canadair CL-601/CF34-3A	Mlazni	2	Veliki	Opće zrakoplovstvo	43100	36000	3550	9220	3	CF34	CNT (lb)	216	113	Trup
CNA172	Cessna 172R/Lycoming IO-360-L2A	Klipni	1	Mali	Opće zrakoplovstvo	2450	2450	1695	436	0	IO360L	CNT (% maksim alnog statičko g potiska)	215	109	Elisa
CNA182	Cessna 182H / Continental O-470-R	Klipni	1	Mali	Opće zrakoplovstvo	2800	2800	1544	965	2	O470R	CNT (lb)	215	113	Elisa



ThoriumSoftware d.o.o.

Mobile: +385 (0) 95 8 70 50 70
 Kontakt: Dario Ilija Rendulić
 Email:
[info@thoriumsoftware.eu;](mailto:info@thoriumsoftware.eu)
direndulic@gmail.com

CNA206	Cessna 206H/Lycoming IO-540-AC	Klipni	1	Mali	Opće zrakoplovstvo	3600	3600	1880	798	0	IO540	Drugo (RPM)	215	109	Elisa
CNA208	Cessna 208 / PT6A-114	Turboeljni	1	Mali	Opće zrakoplovstvo	8750	8500	1740	2300	3	PT6A114	CNT (lb)	210	109	Elisa
CNA20T	Cessna T206H/Lycoming TIO-540-AJ1A	Klipni	1	Mali	Opće zrakoplovstvo	3600	3600	1880	825	0	TIO540	Drugo (RPM)	215	109	Elisa
CNA441	Cessna CONQUEST II /TPE331-8	Turboeljni	2	Mali	Komercijalni	9900	9400	1939	1535	0	TPE331	CNT (% maksim alnog statičko g potiska)	210	111	Elisa
CNA500	Cessna Citation II/JT15D-4	Mlazni	2	Veliki	Opće zrakoplovstvo	14700	14000	3050	2500	3	JT15D1	CNT (lb)	216	113	Trup
CNA510	Cessna Mustang Model 510 / PW615F	Mlazni	2	Mali	Komercijalni	8645	7200	3010	1466	0	PW615F	CNT (lb)	203	113	Trup
CNA525C	Cessna Citation CJ4 525C /FJ44-4A	Mlazni	2	Mali	Komercijalni	16950	15500	3010	3600	4	FJ44-4	CNT (lb)	235	136	Trup
CNA55B	Cessna 550 Citation Bravo/PW530A	Mlazni	2	Veliki	Opće zrakoplovstvo	14800	13500	3010	2863	0	PW530A	CNT (lb)	203	113	Trup
CNA560E	Cessna Citation Encore 560 / PW535A	Mlazni	2	Mali	Komercijalni	16300	13680	3000	3313	3	2PW535	CNT (lb)	238	138	Trup
CNA560U	Cessna Citation Ultra 560 / JT15D-5D	Mlazni	2	Mali	Komercijalni	16300	13680	2700	3029	3	2J155D	CNT (lb)	237	113	Trup
CNA560XL	Cessna Citation Excel 560 / PW545A	Mlazni	2	Mali	Komercijalni	20000	16830	3000	3824	3	PW545A	CNT (lb)	238	137	Trup
CNA680	Cessna Citation Sovereign 680 / PW306C	Mlazni	2	Mali	Komercijalni	30000	24390	3010	5749	3	PW306C	CNT (lb)	236	136	Trup
CNA750	Cessna Citation X/Rolls Royce Allison AE3007C	Mlazni	2	Veliki	Opće zrakoplovstvo	35700	31800	3500	6407	3	AE300C	CNT (lb)	202	105	Trup
CONCRD	Concorde/OLY593	Mlazni	4	Teški	Komercijalni	400000	245000	10600	38100	0	OLY593	CNT (lb)	206	106	Krilo
CRJ9-ER	Bombardier CL-600-2D15/CL-600-2D24/CF34-8C5	Mlazni	2	Veliki	Komercijalni	82500	73500	5779	13525	3	CF348C5	CNT (lb)	216	113	Trup



ThoriumSoftware d.o.o.

Mobile: +385 (0) 95 8 70 50 70
 Kontakt: Dario Ilija Rendulić
 Email:
[info@thoriumsoftware.eu;](mailto:info@thoriumsoftware.eu)
direndulic@gmail.com

CRJ9-LR	Bombardier CL-600-2D15/CL-600-2D24/CF34-8C5	Mlazni	2	Veliki	Komerčijalni	8450 0	75100	5680	13525	3	CF348C5	CNT (lb)	216	113	Trup
CVR580	Convair CV-580/ALL 501-D15	Turboeljni	2	Veliki	Komerčijalni	5800 0	52000	4256	8100	0	501D13	CNT (% maksim alnog statičko g potiska)	214	112	Elisa
DC1010	McDonnell Douglas DC10-10/CF6-6D	Mlazni	3	Teški	Komerčijalni	4550 00	363000	5820	40000	3	CF66D	CNT (lb)	203	101	Krilo
DC1030	McDonnell Douglas DC10-30/CF6-50C2	Mlazni	3	Teški	Komerčijalni	5720 00	403000	5418	53200	3	CF66D	CNT (lb)	203	101	Krilo
DC1040	McDonnell Douglas DC10-40/JT9D-20	Mlazni	3	Teški	Komerčijalni	5550 00	403000	6020	49400	3	CF66D	CNT (lb)	203	101	Krilo
DC3	Douglas DC-3/R1820-86	Klipni	2	Veliki	Komerčijalni	2800 0	24500	2222	3120	0	2R2800	CNT (% maksim alnog statičko g potiska)	213	110	Elisa
DC6	Douglas DC-6/R2800-CB17	Klipni	4	Veliki	Komerčijalni	1060 00	95000	3010	4180	0	4R2800	CNT (% maksim alnog statičko g potiska)	213	110	Elisa
DC820	Douglas DC-8-20/JT4A	Mlazni	4	Teški	Komerčijalni	3176 00	194400	6527	11850	1	JT4A	CNT (lb)	208	107	Krilo
DC850	Douglas DC-8-50/JT3D-3B	Mlazni	4	Teški	Komerčijalni	3250 00	240000	5400	18000	1	JT3D	CNT (lb)	208	107	Krilo
DC860	Douglas DC-8-60/JT3D-7	Mlazni	4	Teški	Komerčijalni	3550 00	275000	5310	19000	1	JT3D	CNT (lb)	208	107	Krilo
DC870	Douglas DC-8-70/CFM56-2C-5	Mlazni	4	Teški	Komerčijalni	3550 00	258000	6500	22000	3	CFM562	CNT (lb)	206	106	Krilo
DC8QN	Douglas DC-8-60/JT8D-7QN	Mlazni	4	Teški	Komerčijalni	3550 00	275000	5310	19000	2	JT3DQ	CNT (lb)	208	106	Krilo
DC910	McDonnell Douglas DC-9-10/JT8D-7	Mlazni	2	Veliki	Komerčijalni	9070 0	81700	5030	14000	1	2JT8D	CNT (lb)	201	101	Trup
DC930	McDonnell Douglas DC-9-30/JT8D-9	Mlazni	2	Veliki	Komerčijalni	1140 00	102000	4680	14500	1	2JT8D	CNT (lb)	201	101	Trup
DC93LW	McDonnell Douglas DC-9-30/JT8D-9 w/ ABS Lightweight hushkit	Mlazni	2	Veliki	Komerčijalni	1140 00	102000	4680	14500	3	2JT8DL	CNT (lb)	201	101	Trup



ThoriumSoftware d.o.o.

Mobile: +385 (0) 95 8 70 50 70
 Kontakt: Dario Ilija Rendulić
 Email:
[info@thoriumsoftware.eu;](mailto:info@thoriumsoftware.eu)
direndulic@gmail.com

DC950	McDonnell Douglas DC-9-50/JT8D-17	Mlazni	2	Veliki	Komercijalni	121000	110000	4880	16000	2	2JT8DQ	CNT (lb)	201	101	Trup
DC95HW	McDonnell Douglas DC-9-50/JT8D17 w/ ABS Teškiweight hushkit	Mlazni	2	Veliki	Komercijalni	121000	110000	4880	16000	3	2JT8DH	CNT (lb)	201	101	Trup
DC9Q7	McDonnell Douglas DC-9-10/JT8D-7QN	Mlazni	2	Veliki	Komercijalni	90700	81700	5030	14000	2	2JT8DQ	CNT (lb)	201	101	Trup
DC9Q9	McDonnell Douglas DC-9-30/JT8D-9QN	Mlazni	2	Veliki	Komercijalni	114000	102000	4680	14500	2	2JT8DQ	CNT (lb)	201	101	Trup
DHC6	De Havilland DASH 6/PT6A-27	Turboeljni	2	Mali	Komercijalni	12500	12300	1500	2000	0	PT6A27	CNT (% maksim alnog statičko g potiska)	210	109	Elisa
DHC6QP	De Havilland DASH 6/PT6A-27 Raisbeck Quiet ElisaMod	Turboeljni	2	Mali	Komercijalni	12500	12300	1500	2000	0	RAISQP	CNT (% maksim alnog statičko g potiska)	210	109	Elisa
DHC7	De Havilland DASH 7/PT6A-50	Turboeljni	4	Veliki	Komercijalni	41000	39000	2150	2850	3	PT6A50	CNT (% maksim alnog statičko g potiska)	213	112	Elisa
DHC8	Bombardier de Havilland DASH 8-100/PW121	Turboeljni	2	Veliki	Komercijalni	34500	33900	3000	4750	3	PW120	CNT (% maksim alnog statičko g potiska)	213	112	Elisa
DHC830	Bombardier de Havilland DASH 8-300/PW123	Turboeljni	2	Veliki	Komercijalni	43000	42000	3500	4918	3	PW120	CNT (% maksim alnog statičko g potiska)	213	112	Elisa
DO228	Dornier 228-202 / TPE 311-5	Turboeljni	2	Veliki	Komercijalni	13669	13448	2375	2240	3	TPE311-5	CNT (lb)	216	110	Elisa
DO328	Dornier 328-100 / PW119C	Turboeljni	2	Veliki	Komercijalni	30843	29167	3825	6745	3	PW119C	CNT (lb)	214	109	Elisa
ECLIPSE500	Eclipse 500 / PW610F	Mlazni	2	Mali	Opće zrakoplovstvo	6000	5600	2389	1031	3	PW610F	CNT (lb)	201	103	Trup



ThoriumSoftware d.o.o.

Mobile: +385 (0) 95 8 70 50 70
 Kontakt: Dario Ilija Rendulić
 Email:
[info@thoriumsoftware.eu;](mailto:info@thoriumsoftware.eu)
direndulic@gmail.com

EMB120	Embraer 120 ER / Pratt & Whitney PW118	Turboeli sni	2	Veliki	Komerči jalni	2643 3	25794	5571	4000	3	EPW118	CNT (lb)	213	109	Elisa
EMB145	Embraer 145 ER / Allison AE3007	Mlazni	2	Veliki	Komerči jalni	4542 0	41230	4232	7500	3	AE3007	CNT (lb)	216	113	Trup
EMB14L	Embraer 145 LR / Allison AE3007A1	Mlazni	2	Veliki	Komerči jalni	4850 0	42550	4232	7500	3	AE3007	CNT (lb)	216	113	Trup
EMB170	Embraer ERJ170- 100	Mlazni	2	Veliki	Komerči jalni	8201 2	72312	4029	13800	3	CF348E	CNT (lb)	216	113	Krilo
EMB175	Embraer ERJ170- 200	Mlazni	2	Veliki	Komerči jalni	8551 7	74957	4130	13800	3	CF348E	CNT (lb)	216	113	Krilo
EMB190	Embraer ERJ190- 100	Mlazni	2	Veliki	Komerči jalni	1141 99	97003	4081	18500	3	CF3410E	CNT (lb)	205	105	Krilo
EMB195	Embraer ERJ190- 200	Mlazni	2	Veliki	Komerči jalni	1152 80	100972	4183	18500	3	CF3410E	CNT (lb)	205	105	Krilo
F10062	Fokker 100/TAY 620-15	Mlazni	2	Veliki	Komerči jalni	9500 0	85500	4560	13900	3	TAY620	CNT (lb)	201	101	Trup
F10065	Fokker 100/TAY 650-15	Mlazni	2	Veliki	Komerči jalni	9800 0	88000	4704	15100	3	TAY650	CNT (lb)	201	101	Trup
F28MK2	Fokker F-28- 2000/RB183MK555	Mlazni	2	Veliki	Komerči jalni	6500 0	59000	3540	9850	2	RB183	CNT (lb)	216	104	Trup
F28MK4	Fokker F-28- 4000/RB183MK555	Mlazni	2	Veliki	Komerči jalni	7300 0	64000	3546	9900	2	RB183P	CNT (lb)	216	104	Trup
FAL20	Dassault FALCON 20/CF700-2D-2	Mlazni	2	Veliki	Opće zrakopl ovstvo	2870 0	27300	2490	4500	2	CF700	CNT (lb)	203	113	Trup
GII	Gulfstream GII/SPEY 511-8	Mlazni	2	Veliki	Opće zrakopl ovstvo	6480 0	58500	3200	11400	2	SPEYHK	CNT (lb)	216	104	Trup
GIIB	Gulfstream GIIB/GIII - SPEY 511-8	Mlazni	2	Veliki	Opće zrakopl ovstvo	6970 0	58500	3250	11400	2	SPEYHK	CNT (lb)	216	104	Trup
GIV	Gulfstream GIV- SP/TAY 611-8	Mlazni	2	Veliki	Opće zrakopl ovstvo	7460 0	66000	3190	13850	3	TAYGIV	CNT (lb)	203	113	Trup
GV	Gulfstream GV/BR 710	Mlazni	2	Veliki	Opće zrakopl ovstvo	9050 0	75300	2760	14750	3	BR710	CNT (lb)	205	105	Trup
HS748A	Hawker Siddeley HS-748/DART MK532-2	Turboeli sni	2	Veliki	Komerči jalni	4650 0	43000	3360	5150	2	RDA532	CNT (% maksim alnog statičko g potiska)	212	110	Elisa



ThoriumSoftware d.o.o.

Mobile: +385 (0) 95 8 70 50 70
 Kontakt: Dario Ilija Rendulić
 Email:
[info@thoriumsoftware.eu;](mailto:info@thoriumsoftware.eu)
direndulic@gmail.com

IA1125	IAI-1125 ASTRA/TFE731-3A	Mlazni	2	Veliki	Opće zrakoplovstvo	2350 0	20700	3689	3700	3	TF7313	CNT (lb)	216	113	Trup
L1011	Lockheed Martin L-1011/RB211-22B	Mlazni	3	Teški	Komerčno	4300 00	358000	5693	42000	3	RB2112	CNT (lb)	203	101	Krilo
L10115	Lockheed Martin L-1011-500/RB211-224B	Mlazni	3	Teški	Komerčno	5100 00	368000	6800	50000	3	RB2112	CNT (lb)	203	101	Krilo
L188	Lockheed L-188C/ALL 501-D13	Turboeljni	4	Veliki	Komerčno	1160 00	98100	4960	8000	0	T56A7	CNT (% maksim alnog statičko g potiska)	214	112	Elisa
LEAR25	LearMlazni 25/CJ610-8	Mlazni	2	Veliki	Opće zrakoplovstvo	1500 0	13500	2620	2950	2	CJ610	CNT (lb)	202	113	Trup
LEAR35	LearMlazni 36/TFE731-2	Mlazni	2	Veliki	Opće zrakoplovstvo	1830 0	15300	3076	3500	3	TF7312	CNT (lb)	216	113	Trup
MD11GE	McDonnell Douglas MD-11/CF6-80C2D1F	Mlazni	3	Teški	Komerčno	6824 00	433300	5131	61500	3	2CF68D	CNT (lb)	203	103	Krilo
MD11PW	McDonnell Douglas MD-11/PW 4460	Mlazni	3	Teški	Komerčno	6824 00	433300	4681	60000	3	PW4460	CNT (lb)	203	103	Krilo
MD81	McDonnell Douglas MD-81/JT8D-209	Mlazni	2	Veliki	Komerčno	1400 00	128000	4860	19300	3	2JT8D2	CNT (lb)	204	104	Trup
MD82	McDonnell Douglas MD-82/JT8D-217A	Mlazni	2	Veliki	Komerčno	1495 00	130000	4920	20900	3	2JT8D2	CNT (lb)	204	104	Trup
MD83	McDonnell Douglas MD-83/JT8D-219	Mlazni	2	Veliki	Komerčno	1600 00	139500	5200	21700	3	2JT8D2	CNT (lb)	204	104	Trup
MD9025	McDonnell Douglas MD-90/V2525-D5	Mlazni	2	Veliki	Komerčno	1560 00	142000	3000	25000	3	V2525	CNT (lb)	205	105	Trup
MD9028	McDonnell Douglas MD-90/V2528-D5	Mlazni	2	Veliki	Komerčno	1560 00	142000	3000	28000	3	V2525	CNT (lb)	205	105	Trup
MU3001	Mitsubishi MU300-10 Diamond II/JT15D-5	Mlazni	2	Veliki	Opće zrakoplovstvo	1410 0	13200	2800	2500	3	JT15D5	CNT (lb)	203	113	Trup
PA28	Piper Warrior PA-28-161/O-320-D3G	Klipni	1	Mali	Opće zrakoplovstvo	2325	2325	1695	400	0	O320D3	Drugo (RPM)	213	113	Elisa
PA30	Piper Twin Comanche PA-30/IO-320-B1A	Klipni	2	Mali	Opće zrakoplovstvo	3600	3600	1654	777	0	IO320B	CNT (lb)	213	113	Elisa



ThoriumSoftware d.o.o.

Mobile: +385 (0) 95 8 70 50 70
 Kontakt: Dario Ilija Rendulić
 Email:
 info@thoriumsoftware.eu;
 direndulic@gmail.com

PA31	Piper Navajo Chieftain PA-31-350/TIO-5	Klipni	2	Mali	Opće zrakoplovstvo	7000	7000	1850	1481	0	TIO542	Drug (RPM)	213	109	Elisa
PA42	Piper PA-42 / PT6A-41	Turboeli sni	2	Mali	Opće zrakoplovstvo	11200	10330	3300	1800	3	PT6A41	CNT (lb)	213	109	Elisa
SABR80	NA Sabreliner 80	Mlazni	2	Veliki	Opće zrakoplovstvo	33720	27290	2490	3962	2	CF700	CNT (lb)	203	113	Trup
SD330	Short SD3-30/PT6A-45AR	Turboeli sni	2	Veliki	Komercijalni	22900	22600	3650	2670	3	PT6A45	CNT (% maksim alnog statičko g potiska)	211	109	Elisa
SF340	Saab SF340B/CT7-9B	Turboeli sni	2	Veliki	Komercijalni	27300	26500	3470	4067	3	CT75	CNT (% maksim alnog statičko g potiska)	211	110	Elisa

Tablica I-6: Unaprijed zadane mase

ACFTID	Duljina faze	Masa (lb)
1900D	1	15500
1900D	2	16950
707	1	175000
707	2	185000
707	3	200000
707	4	220000
707	5	245000
707	6	257000
707120	1	175000
707120	2	185000
707120	3	200000
707120	4	220000
707120	5	245000

707120	6	257000
707320	1	214000
707320	2	228000
707320	3	240000
707320	4	260000
707320	5	286000
707320	6	312000
707320	7	330000
707QN	1	214000
707QN	2	228000
707QN	3	240000
707QN	4	260000
707QN	5	286000
707QN	6	312000
707QN	7	330000
717200	1	94900
717200	2	99700
717200	3	104900
717200	4	110400
717200	5	112700
717200	6	121000
720	1	145000
720	2	155000
720	3	165000
720	4	180000
720	5	190000
720B	1	165000
720B	2	175000

720B	3	185000
720B	4	200000
720B	5	210000
727100	1	136000
727100	2	143000
727100	3	150000
727100	4	158000
727200	1	152000
727200	2	163000
727200	3	174000
727200	4	185000
727D15	1	156000
727D15	2	164000
727D15	3	175000
727D15	4	189000
727D15	5	204000
727D17	1	157000
727D17	2	169000
727D17	3	180000
727D17	4	189000
727EM1	1	136000
727EM1	2	143000
727EM1	3	150000
727EM1	4	158000
727EM2	1	156000
727EM2	2	164000
727EM2	3	175000
727EM2	4	189000

727EM2	5	204000
727Q15	1	156000
727Q15	2	164000
727Q15	3	175000
727Q15	4	189000
727Q15	5	204000
727Q7	1	136000
727Q7	2	143000
727Q7	3	150000
727Q7	4	158000
727Q9	1	156000
727Q9	2	168000
727Q9	3	180000
727Q9	4	191000
727QF	1	136000
727QF	2	143000
727QF	3	150000
727QF	4	158000
737	1	82000
737	2	85000
737	3	92000
737	4	100000
737300	1	108800
737300	2	114100
737300	3	119900
737300	4	131800
7373B2	1	108800
7373B2	2	114100

7373B2	3	119900
7373B2	4	131800
7373B2	M	139500
737400	1	115800
737400	2	121400
737400	3	127700
737400	4	138200
737400	M	150000
737500	1	103400
737500	2	108500
737500	3	114100
737500	4	125700
737500	5	126900
737500	M	128500
737700	1	120000
737700	2	125000
737700	3	130300
737700	4	141100
737700	5	154400
737700	6	154500
737800	1	133300
737800	2	139200
737800	3	145500
737800	4	156700
737800	5	167600
737800	6	172300
737D17	1	90000
737D17	2	95000

737D17	3	100000
737D17	4	105000
737N17	1	90000
737N17	2	95000
737N17	3	100000
737N17	4	105000
737N9	1	82000
737N9	2	85000
737N9	3	92000
737N9	4	100000
737QN	1	82000
737QN	2	85000
737QN	3	92000
737QN	4	100000
747100	1	475000
747100	2	495000
747100	3	520000
747100	4	550000
747100	5	625000
747100	6	635000
74710Q	1	475000
74710Q	2	495000
74710Q	3	520000
74710Q	4	550000
74710Q	5	625000
74710Q	6	635000
747200	1	525000
747200	2	545000

747200	3	565000
747200	4	610000
747200	5	665000
747200	6	725000
747200	7	775000
74720A	1	475000
74720A	2	500000
74720A	3	520000
74720A	4	560000
74720A	5	610000
74720A	6	675000
74720A	7	725000
74720B	1	525000
74720B	2	545000
74720B	3	565000
74720B	4	610000
74720B	5	665000
74720B	6	725000
74720B	7	775000
747400	1	545000
747400	2	563800
747400	3	583100
747400	4	621500
747400	5	669500
747400	6	720900
747400	7	776600
747400	8	836200
747400	9	875000

7478	1	671100
7478	2	691200
7478	3	713300
7478	4	752400
7478	5	801000
7478	6	853400
7478	7	909300
7478	8	969000
7478	9	987000
747SP	1	400000
747SP	2	422000
747SP	3	443000
747SP	4	475000
747SP	5	518000
747SP	6	560000
747SP	7	625000
757300	1	203900
757300	2	212700
757300	3	222100
757300	4	239100
757300	5	260700
757300	6	269400
757PW	1	183200
757PW	2	190000
757PW	3	197500
757PW	4	212600
757PW	5	230900
757PW	6	243200

757PW	7	255000
757RR	1	183900
757RR	2	191200
757RR	3	199100
757RR	4	215200
757RR	5	234800
757RR	6	243200
757RR	7	255000
767300	1	265000
767300	2	275500
767300	3	286400
767300	4	305700
767300	5	330000
767300	6	355900
767300	7	367700
767400	1	288818
767400	2	299037
767400	3	310125
767400	4	329861
767400	5	354427
767400	6	380906
767400	7	422420
767CF6	1	227000
767CF6	2	236000
767CF6	3	245300
767CF6	4	261400
767CF6	5	281600
767CF6	6	303300

767CF6	7	315500
767JT9	1	228500
767JT9	2	237600
767JT9	3	247000
767JT9	4	263600
767JT9	5	284600
767JT9	6	306900
767JT9	7	317100
777200	1	429900
777200	2	442400
777200	3	456100
777200	4	483100
777200	5	516400
777200	6	551700
777200	7	589400
777200	8	629500
777200	9	656000
777300	1	435100
777300	2	449700
777300	3	465300
777300	4	493100
777300	5	527700
777300	6	564500
777300	7	636100
7773ER	1	503600
7773ER	2	519100
7773ER	3	536100
7773ER	4	565800

7773ER	5	602700
7773ER	6	642600
7773ER	7	684500
7773ER	8	728900
7773ER	9	775000
7878R	1	343400
7878R	2	353200
7878R	3	363900
7878R	4	382600
7878R	5	405700
7878R	6	430100
7878R	7	455900
7878R	8	483600
7878R	9	502500
A300-622R	1	278700
A300-622R	2	290300
A300-622R	3	302400
A300-622R	4	324100
A300-622R	5	353300
A300-622R	6	378500
A300B4-203	1	262000
A300B4-203	2	280000
A300B4-203	3	295000
A300B4-203	4	324000
A300B4-203	5	357000
A310-304	1	243300
A310-304	2	253000
A310-304	3	262900

A310-304	4	280700
A310-304	5	304400
A310-304	6	346100
A319-131	1	125900
A319-131	2	131000
A319-131	3	136500
A319-131	4	146100
A319-131	5	166400
A320-211	1	133400
A320-211	2	139200
A320-211	3	145200
A320-211	4	155900
A320-211	5	169800
A320-232	1	132900
A320-232	2	138500
A320-232	3	144200
A320-232	4	154300
A320-232	5	172000
A321-232	1	156800
A321-232	2	163300
A321-232	3	170000
A321-232	4	182100
A321-232	5	206100
A330-301	1	367000
A330-301	2	378500
A330-301	3	390500
A330-301	4	411700
A330-301	5	439200

A330-301	6	469100
A330-301	7	478400
A330-343	1	369200
A330-343	2	380800
A330-343	3	392900
A330-343	4	414300
A330-343	5	441900
A330-343	6	472000
A330-343	7	513700
A340-211	1	369500
A340-211	2	381600
A340-211	3	394100
A340-211	4	416600
A340-211	5	446000
A340-211	6	477600
A340-211	7	573200
A340-642	1	524100
A340-642	2	540700
A340-642	3	557800
A340-642	4	588000
A340-642	5	628600
A340-642	6	671300
A340-642	7	811300
A380-841	1	799160
A380-841	2	822921
A380-841	3	847265
A380-841	4	890164
A380-841	5	945893

A380-841	6	1006106
A380-841	7	1066266
A380-841	8	1254430
A380-861	1	798928
A380-861	2	822613
A380-861	3	846941
A380-861	4	889750
A380-861	5	943737
A380-861	6	1003582
A380-861	7	1066266
A380-861	8	1254430
BAC111	1	74000
BAC111	2	79000
BAC111	3	85000
BAE146	1	76000
BAE146	2	84000
BAE146	3	91000
BAE300	1	80000
BAE300	2	88000
BAE300	3	96000
BEC58P	1	5500
CIT3	1	20000
CL600	1	36000
CL601	1	43100
CNA172	1	2450
CNA182	1	2800
CNA206	1	3000
CNA206	2	3300

CNA206	3	3600
CNA208	1	8750
CNA20T	1	3000
CNA20T	2	3300
CNA20T	3	3600
CNA441	1	9850
CNA500	1	14700
CNA510	1	8645
CNA525C	1	16950
CNA55B	1	14800
CNA560E	1	16300
CNA560U	1	16300
CNA560XL	1	20000
CNA680	1	30000
CNA750	1	35700
CONCRD	1	340000
CONCRD	2	340000
CONCRD	3	375000
CONCRD	4	375000
CONCRD	5	400000
CONCRD	6	400000
CRJ9-ER	1	67500
CRJ9-ER	2	71000
CRJ9-ER	3	75000
CRJ9-ER	4	80000
CRJ9-ER	5	82500
CRJ9-LR	1	65500
CRJ9-LR	2	69000

CRJ9-LR	3	73000
CRJ9-LR	4	78000
CRJ9-LR	5	84500
CVR580	1	49000
CVR580	2	54000
CVR580	3	58000
DC1010	1	325000
DC1010	2	340000
DC1010	3	360000
DC1010	4	390000
DC1010	5	420000
DC1010	6	450000
DC1030	1	375000
DC1030	2	390000
DC1030	3	405000
DC1030	4	436000
DC1030	5	476000
DC1030	6	517000
DC1030	7	561000
DC1040	1	364000
DC1040	2	379000
DC1040	3	393000
DC1040	4	423000
DC1040	5	462000
DC1040	6	502000
DC1040	7	544000
DC3	1	24000
DC3	2	26000



ThoriumSoftware d.o.o.

Mobile: +385 (0) 95 8 70 50 70
Kontakt: Dario Ilija Rendulić
Email:
info@thoriumsoftware.eu;
direndulic@gmail.com

DC3	3	28000
DC6	1	85000
DC6	2	95000
DC6	3	105000
DC820	1	180000
DC820	2	190000
DC820	3	205000
DC820	4	225000
DC820	5	250000
DC820	6	270000
DC850	1	185000
DC850	2	195000
DC850	3	210000
DC850	4	230000
DC850	5	255000
DC850	6	275000
DC860	1	220000
DC860	2	230000
DC860	3	245000
DC860	4	265000
DC860	5	290000
DC860	6	305000
DC860	7	325000
DC870	1	220000
DC870	2	230000
DC870	3	245000
DC870	4	265000
DC870	5	290000

DC870	6	305000
DC870	7	325000
DC8QN	1	220000
DC8QN	2	230000
DC8QN	3	245000
DC8QN	4	265000
DC8QN	5	290000
DC8QN	6	305000
DC8QN	7	325000
DC910	1	70000
DC910	2	78000
DC910	3	85000
DC930	1	93500
DC930	2	103000
DC930	3	112000
DC93LW	1	93500
DC93LW	2	103000
DC93LW	3	112000
DC950	1	100000
DC950	2	107000
DC950	3	115000
DC95HW	1	100000
DC95HW	2	107000
DC95HW	3	115000
DC9Q7	1	70000
DC9Q7	2	78000
DC9Q7	3	85000
DC9Q9	1	93500

DC9Q9	2	103000
DC9Q9	3	112000
DHC6	1	12500
DHC6QP	1	12500
DHC7	1	38950
DHC8	1	31000
DHC830	1	38700
DO228	1	13669
DO328	1	30843
ECLIPSE500	1	5500
ECLIPSE500	2	5891
ECLIPSE500	3	6000
EMB120	1	22475
EMB145	1	35500
EMB145	2	39500
EMB145	3	41800
EMB145	4	44000
EMB14L	1	35275
EMB14L	2	39675
EMB14L	3	41900
EMB14L	4	44100
EMB14L	5	46300
EMB14L	6	48500
EMB170	1	63070
EMB170	2	66599
EMB170	3	70484
EMB175	1	65698
EMB175	2	69459

EMB175	3	73518
EMB190	1	83520
EMB190	2	87757
EMB190	3	92363
EMB190	4	100656
EMB195	1	87096
EMB195	2	91558
EMB195	3	96388
EMB195	4	105138
F10062	1	78000
F10062	2	86000
F10062	3	93000
F10065	1	80000
F10065	2	88000
F10065	3	96000
F28MK2	1	58000
F28MK2	2	64000
F28MK4	1	61000
F28MK4	2	66000
F28MK4	3	73000
FAL20	1	28660
GII	1	56000
GIIB	1	59245
GIV	1	63410
GV	1	76925
HS748A	1	46500
IA1125	1	23500
L1011	1	330000

L1011	2	340000
L1011	3	355000
L1011	4	370000
L1011	5	400000
L1011	6	430000
L10115	1	345000
L10115	2	355000
L10115	3	370000
L10115	4	385000
L10115	5	413000
L10115	6	441000
L10115	7	470000
L188	1	93000
L188	2	102000
L188	3	115000
LEAR25	1	15000
LEAR35	1	18300
MD11GE	1	395000
MD11GE	2	410000
MD11GE	3	425000
MD11GE	4	460000
MD11GE	5	495000
MD11GE	6	535000
MD11GE	7	580000
MD11PW	1	395000
MD11PW	2	410000
MD11PW	3	425000
MD11PW	4	460000

MD11PW	5	495000
MD11PW	6	535000
MD11PW	7	580000
MD81	1	120680
MD81	2	127804
MD81	3	135134
MD81	4	140000
MD82	1	120383
MD82	2	127379
MD82	3	134584
MD82	4	145838
MD82	5	149500
MD83	1	121555
MD83	2	128361
MD83	3	135456
MD83	4	147079
MD83	5	160000
MD9025	1	131021
MD9025	2	137490
MD9025	3	144181
MD9025	4	151107
MD9025	5	156000
MD9028	1	131021
MD9028	2	137490
MD9028	3	144181
MD9028	4	151107
MD9028	5	156000
MU3001	1	14100



ThoriumSoftware d.o.o.

Mobile: +385 (0) 95 8 70 50 70
Kontakt: Dario Ilija Rendulić
Email:
info@thoriumsoftware.eu;
direndulic@gmail.com

PA28	1	2325
PA30	1	3600
PA31	1	7000
PA42	1	11200
SABR80	1	28660
SD330	1	21800
SF340	1	24548
SF340	2	27275

„7378MAX	1	140 000
7378MAX	2	144 600
7378MAX	3	149 600
7378MAX	4	159 300
7378MAX	5	171 300
7378MAX	6	174 500
7378MAX	M	181 200
A350-941	1	421 680
A350-941	2	433 189
A350-941	3	445 270
A350-941	4	466 326
A350-941	5	493 412
A350-941	6	522 377
A350-941	7	552 871
A350-941	8	585 147
A350-941	M	606 271
ATR72	1	44 750
ATR72	2	47 620
ATR72	3	50 710 ”

Tablica I-7: Koeficijenti za mlazne motore

ACFTID	Režim rada motora	E (lb)	F (lb/kt)	Ga (lb/ft)	Gb (lb/ft ²)	H (lb/ °C)	K1 (lb/EPR)	K2 (lb/EPR ²)	K3 (lb/(N1/vθ))	K4 (lb/(N1/vθ) ²)
1900D	Maksimum za penjanje	2548,8	-6,7075	-0,014	0	-0,72				
1900D	Maksimum za uzljetanje	3374,6	-9,6869	-0,0046	0	-0,504				
707320	Opći	-25447,4	-6,79039	-0,01775	0	0	33299,8	-5817		
707320	Maksimum za penjanje	15943,8	-13,9584	0,1672	5,7074E-06	0				
707320	Maksimum za uzljetanje	18044,7	-15,7976	0,1893	6,4595E-06	0				
707QN	Opći	-25447,4	-6,79039	-0,01775	0	0	33299,8	-5817		
707QN	Maksimum za penjanje	15943,8	-13,9584	0,1672	5,7074E-06	0				
707QN	Maksimum za uzljetanje	18044,7	-15,7976	0,1893	6,4595E-06	0				
717200	Maksimum za penjanje	15541,5	-17,8282	0,253495	0	0				
717200	Maksimum za penjanje, visoka temperatura	22232	-18,025	-0,201	0	-218				
717200	Maksimum za uzljetanje	17542,7	-19,588	0,234981	0	0				
717200	Maksimum za penjanje, visoka temperatura	22280,7	-19,819	-0,097	0	-154,5				
720B	Opći	-27419,9	-5,81791	-0,01175	0	0	35654,5	-6560,9		
720B	Maksimum za penjanje	14540,1	-13,4149	0,121548	1,78264E-06	0				
720B	Maksimum za uzljetanje	16768,6	-15,471	0,140178	2,0559E-06	0				
727100	Opći	-14205,5	-4,53212	0	0	0	16602,8	-1403,02		



ThoriumSoftware d.o.o.

Mobile: +385 (0) 95 8 70 50 70
 Kontakt: Dario Ilija Rendulić
 Email:
[info@thoriumsoftware.eu;](mailto:info@thoriumsoftware.eu)
direndulic@gmail.com

727100	Maksimum za penjanje	12029,2	-7,99864	-0,05203	5,44617E-06	0				
727100	Maksimum za uzljetanje	13218,9	-8,78972	-0,05717	5,9848E-06	0				
727D15	Opći	-14773,7	-5,09534	0	0	0	17717,3	-1845,07		
727D15	Maksimum za penjanje	14249,6	-8,103	-0,0436	0	-103				
727D15	Maksimum za uzljetanje	14935,3	-7,459	0,3337	0	-14,78				
727D15	Maksimum za penjanje, visoka temperatura	15524,3	-7,066	0	0	-32,38				
727D17	Opći	-14773,7	-5,09534	0	0	0	17717,3	-1845,07		
727D17	Maksimum za penjanje	13812,7	-7,52948	0,207702	-0,000025939	0				
727D17	Maksimum za uzljetanje	15519,8	-8,46009	0,233373	-0,000029145	0				
727EM1	Maksimum za penjanje	12029,2	-7,99864	-0,05203	5,44617E-06	0				
727EM1	Maksimum za uzljetanje	13218,9	-8,78972	-0,05717	5,9848E-06	0				
727EM2	Opći	-14773,7	-5,09534	0	0	0	17717,3	-1845,07		
727EM2	Maksimum za penjanje	14249,6	-8,103	-0,0436	0	-103				
727EM2	Maksimum za uzljetanje	14935,3	-7,459	0,3337	0	-14,78				
727EM2	Maksimum za penjanje, visoka temperatura	15524,3	-7,066	0	0	-32,38				
727Q15	Opći	-14773,7	-5,09534	0	0	0	17717,3	-1845,07		
727Q15	Maksimum za penjanje	14249,6	-8,103	-0,0436	0	-103				

727Q15	Maksimum za uzljetanje	14935,3	-7,459	0,3337	0	-14,78				
727Q15	Maksimum za penjanje, visoka temperatura	15524,3	-7,066	0	0	-32,38				
727Q7	Opći	-14205,5	-4,53212	0	0	0	16602,8	-1403,02		
727Q7	Maksimum za penjanje	12029,2	-7,99864	-0,05203	5,44617E-06	0				
727Q7	Maksimum za uzljetanje	13218,9	-8,78972	-0,05717	5,9848E-06	0				
727Q9	Opći	-14095,4	-4,77532	0	0	0	16666,2	-1490,42		
727Q9	Maksimum za penjanje	12746,2	-8,11613	-0,00049	-4,53384E-06	0				
727Q9	Maksimum za uzljetanje	13705,6	-8,72702	-0,00053	-4,8751E-06	0				
727QF	Opći	-10908	-23,3571	-0,0723	-0,00000138	0	10929,8	2380,86		
727QF	Maksimum za penjanje	11266	-9,335	0,169297	-4,70391E-06	0				
727QF	Maksimum za penjanje, visoka temperatura	13966	-9,335	0	0	-90				
727QF	Maksimum za trajnu upotrebu, visoka temperatura	14687	-9,335	0	0	-90				
727QF	Maksimum za trajnu upotrebu	11987	-9,335	0,158001	-4,70391E-06	0				
727QF	Maksimum za uzljetanje	14100	-12,25	0,1495	-0,00001175	0				
727QF	Maksimum za penjanje, visoka temperatura	16800	-12,25	0	0	-90				
737	Opći	-14095,4	-4,77532	0	0	0	16666,2	-1490,42		

737	Maksimum za penjanje	12740,1	-7,93589	-0,02662	-4,2762E-07	0				
737	Maksimum za uzljetanje	13847,9	-8,62596	-0,02894	-4,648E-07	0				
737300	Opći	11106	-10,09	-0,0409	0	0			-369,8	4,835
737300	Maksimum za penjanje	17383,1	-15,6072	0,148043	-0,000001	-24,2				
737300	Maksimum za penjanje, visoka temperatura	20363,9	-17,0452	-0,06578	-0,000001	-119				
737300	Maksimum za uzljetanje	19347	-25,8689	0,456499	-0,0000112	-14,78				
737300	Maksimum za penjanje, visoka temperatura	21143,7	-26,2402	0,398451	-0,000014	-79,95				
7373B2	Opći	11106	-10,09	-0,0409	0	0			-369,8	4,835
7373B2	Maksimum za penjanje	18623,5	-16,4797	0,169674	0	-9,126				
7373B2	Maksimum za penjanje, visoka temperatura	21906,6	-17,4327	-0,07536	0	-132,5				
7373B2	Maksimum za uzljetanje	21480,7	-25,888	0,225791	0	-8,441				
7373B2	Maksimum za penjanje, visoka temperatura	25393,2	-25,7175	-0,0246	0	-141,3				
737400	Opći	21384	-13,79	-0,0435	0	0			-615,8	6,409
737400	Maksimum za penjanje	19662,2	-18,221	0,207237	0	0				
737400	Maksimum za penjanje, visoka temperatura	22875,1	-18,001	-0,07615	0	-124,7				
737400	Maksimum za uzljetanje	22116,3	-26,0175	0,259442	0	0				

737400	Maksimum za penjanje, visoka temperatura	26883,2	-26,1707	-0,04324	0	-159,7				
737500	Opći	11106	-10,09	0,0409	0	0			-369,8	4,835
737500	Maksimum za penjanje	17530,9	-16,3556	0,153997	-0,0000013	-23,39				
737500	Maksimum za penjanje, visoka temperatura	20510,5	-17,1336	-0,07687	-0,0000004	-122,3				
737500	Maksimum za uzljetanje	19629,4	-26,7504	0,550433	-0,0000217	-7,999				
737500	Maksimum za penjanje, visoka temperatura	22636,2	-28,0937	0,225263	0,0000409	-105,6				
737700	Maksimum za penjanje	22106,7	-23,7147	0,165546	0,0000065	0				
737700	Maksimum za penjanje, visoka temperatura	29618,1	-24,596	-0,273	0	-249,1				
737700	Maksimum za uzljetanje	23534,8	-29,3547	0,308407	0	0				
737700	Maksimum za penjanje, visoka temperatura	29335,5	-28,632	-0,105	0	-195,6				
737800	Maksimum za penjanje	22403,5	-27,2645	0,305603	0	0				
737800	Maksimum za penjanje, visoka temperatura	26593,3	-26,293	-0,078	0	-174,4				
737800	Maksimum za uzljetanje	26089,1	-29,1098	0,143559	0	0				
737800	Maksimum za penjanje, visoka temperatura	30143,2	-29,773	-0,029	0	-145,2				

„737800	Prilaz uz minimalni potisak	649,0	-3,3	0,0118	0	0					
7378MAX	Prilaz uz minimalni potisak	1 046	-4,6	0,0147	0	0					
7378MAX	Maksimum za penjanje	21 736	-28,6	0,3333	-3,28E-06	0					
7378MAX	Maksimum za penjanje, visoka temperatura	23 323	-15,1	-0,09821	6,40E-06	-	142,0575				
7378MAX	Maksimum za uzljetanje	26 375	-32,3	0,07827	8,81E-07	0					
7378MAX	Maksimum za penjanje, visoka temperatura	30 839	-27,1	-0,06346	-8,23E-06	-	183,1101				
A350-941	Prilaz uz minimalni potisak	5 473,2	-24,305716	0,0631198	-4,21E-06	0					
A350-941	Prilaz uz minimalni potisak, visoka temperatura	5 473,2	-24,305716	0,0631198	-4,21E-06	0					
A350-941	Maksimum za penjanje	67 210,9	-82,703367	1,18939	-	0	0,000012074	0			
A350-941	Maksimum za penjanje, visoka temperatura	76 854,6	-75,672429	0	0	-	466				
A350-941	Maksimum za uzljetanje	84 912,8	-	0,940876	-8,31E-06	0					
A350-941	Maksimum za penjanje, visoka temperatura	96 170,0	-	0	0	-	394				
ATR72	Maksimum za penjanje	5 635,2	-9,5	0,01127	0,00000027	0					
ATR72	Maksimum za uzljetanje	7 583,5	-20,3	0,137399	-0,00000604	0"					

737D17	Opći	-14773,7	-5,09534	0	0	0	17717,3	-1845,07			
737D17	Maksimum za penjanje	13083,2	-7,13185	0,196733	-0,000024569	0					
737D17	Maksimum za uzljetanje	15519,8	-8,46009	0,233373	-0,000029145	0					
737N17	Opći	-14773,7	-5,09534	0	0	0	17717,3	-1845,07			
737N17	Maksimum za penjanje	13083,2	-7,13185	0,196733	-0,000024569	0					
737N17	Maksimum za uzljetanje	15519,8	-8,46009	0,233373	-0,000029145	0					
737N9	Opći	-14095,4	-4,77532	0	0	0	16666,2	-1490,42			
737N9	Maksimum za penjanje	12740,1	-7,93589	-0,02662	-4,2762E-07	0					
737N9	Maksimum za uzljetanje	13847,9	-8,62596	-0,02894	-4,648E-07	0					
737QN	Opći	-14095,4	-4,77532	0	0	0	16666,2	-1490,42			



ThoriumSoftware d.o.o.

Mobile: +385 (0) 95 8 70 50 70
 Kontakt: Dario Ilija Rendulić
 Email:
[info@thoriumsoftware.eu;](mailto:info@thoriumsoftware.eu)
direndulic@gmail.com

737QN	Maksimum za penjanje	12740,1	-7,93589	-0,02662	-4,2762E-07	0				
737QN	Maksimum za uzljetanje	13847,9	-8,62596	-0,02894	-4,648E-07	0				
74710Q	Opći	-141079	-11,7298	-0,02833	0	0	201105	-53843		
74710Q	Maksimum za penjanje	36791,4	-43,5074	0,3004	-0,0000092	0				
74710Q	Maksimum za uzljetanje	42780,7	-50,59	0,349279	-0,000010697	0				
747200	Opći	-141079	-11,7298	-0,02833	0	0	201105	-53843		
747200	Maksimum za penjanje	36791,4	-43,5074	0,3004	-0,0000092	0				
747200	Maksimum za uzljetanje	42780,7	-50,59	0,349279	-0,000010697	0				
74720A	Opći	-32370	-7,83	-0,02105	0	0	47590	0		
74720A	Maksimum za penjanje	34860	-35	0,4962	0	0				
74720A	Maksimum za uzljetanje	40870	-40,11	0,4435	0	0				
74720B	Opći	-28110	-10,05	-0,03543	0	0	46375	0		
74720B	Maksimum za penjanje	39594	-38,08	0,5262	0	0				
74720B	Maksimum za uzljetanje	48866	-43,68	0,6641	0	0				
747400	Opći	-49250	0	0	0	0	62210	0		
747400	Maksimum za penjanje	44157,4	-42,6142	0,635772	0	0				
747400	Maksimum za penjanje, visoka temperatura	56826,2	-45,4912	-0,20856	0	-392,3				
747400	Maksimum za uzljetanje	53290,5	-53,434	0,606283	0	0				

747400	Maksimum za penjanje, visoka temperatura	66921,4	-54,5627	-0,1278	0	-410,2				
7478	Prilaz uz minimalni potisak	5920	-19,02	0,225	0	0				
7478	Maksimum za penjanje	50523	-39,8663	0,842437	-0,000015	0				
7478	Maksimum za penjanje, visoka temperatura	56739,2	-27,469	-0,1411	-0,000015	-343,137				
7478	Maksimum za uzljetanje	64247,2	-66,0662	0,481932	0,000004	0				
7478	Maksimum za penjanje, visoka temperatura	80923,7	-71,3162	-0,30655	-0,00001	-520,464				
747SP	Opći	-141079	-11,7298	-0,02833	0	0	201105	-53843		
747SP	Maksimum za penjanje	36791,4	-43,5074	0,3004	-0,0000092	0				
747SP	Maksimum za uzljetanje	42780,7	-50,59	0,349279	-0,000010697	0				
757300	Maksimum za penjanje	29549,2	-30,6086	0,398179	0	0				
757300	Maksimum za penjanje, visoka temperatura	36157	-30,9643	-0,16465	0	-250,7				
757300	Maksimum za uzljetanje	40175,5	-35,323	-0,11328	0	0				
757300	Maksimum za penjanje, visoka temperatura	46892,4	-35,6127	-0,53031	0	-241,7				
757PW	Opći	-44951	-0,83	0,0198	0	0	52972	0		
757PW	Maksimum za penjanje	27775,1	-27,6876	0,381725	0	0				
757PW	Maksimum za penjanje,	34748,3	-29,9467	-0,16641	0	-250,7				

	visoka temperatura									
757PW	Maksimum za uzljetanje	36214,8	-48,2704	0,908044	0	0				
757PW	Maksimum za penjanje, visoka temperatura	45592,5	-49,7383	0,213208	0	-290,6				
757RR	Opći	-44907	-21,97	-0,0589	0	0	46999	0		
757RR	Maksimum za penjanje	30065,2	-32,4779	0,397321	0	0				
757RR	Maksimum za penjanje, visoka temperatura	36735,1	-32,445	-0,16871	0	-258,4				
757RR	Maksimum za uzljetanje	37802,1	-38,2839	0,527181	0	0				
757RR	Maksimum za penjanje, visoka temperatura	45336,5	-39,1302	-0,00514	0	-257,4				
767300	Opći	-49250	0	0	0	0	62210	0		
767300	Maksimum za penjanje	45480	-41,9	0,559	0	0				
767300	Maksimum za uzljetanje	56370	-53	0,251	0	0				
767400	Maksimum za penjanje	45902,7	-39,5895	0,633446	0	0				
767400	Maksimum za penjanje, visoka temperatura	63647,5	-41,082	-0,55	0	-562,3				
767400	Maksimum za uzljetanje	60475,4	-56,8041	0,478788	0	0				
767400	Maksimum za penjanje, visoka temperatura	72425,5	-55,569	-0,236	0	-416,2				
767CF6	Opći	62790	-35,03	-0,1177	0	0			-1610,37	14

767CF6	Maksimum za penjanje	38057	-43,24	0,705	0	0				
767CF6	Maksimum za uzljetanje	44769	-48,34	0,5	0	0				
767JT9	Opći	-39777	-17,367	-0,0467	0	0	56550	0		
767JT9	Maksimum za penjanje	38700	-34,5	0,49	0	0				
767JT9	Maksimum za uzljetanje	43190	-38,3	0,876	0	0				
777200	Opći	32710	0	0	0	0			-1258	16,16
777200	Maksimum za penjanje	67093,7	-85,7553	1,8498	-0,000076	0				
777200	Maksimum za penjanje, visoka temperatura	82096,7	-72,2859	-0,32818	-0,0000179	-637				
777200	Maksimum za uzljetanje	93672,6	-122,251	1,1818	-0,0000806	0				
777200	Maksimum za penjanje, visoka temperatura	114758,6	-125,38	-0,159	-0,0000261	-702,4				
777300	Maksimum za penjanje	64636,2	-70,833	0,880073	0	0				
777300	Maksimum za penjanje, visoka temperatura	90015,1	-70,745	-0,852	0	-823				
777300	Maksimum za uzljetanje	87833,8	-97,7894	0,27543	0	0				
777300	Maksimum za penjanje, visoka temperatura	103835,2	-97,831	-0,632	0	-549,1				
7773ER	Prilaz uz minimalni potisak	8950	-27,25	0,131	0	0				
7773ER	Maksimum za penjanje	92110	-119	1,14	-0,000007	0				

7773ER	Maksimum za penjanje, visoka temperatura	96550	-69,4	-0,542	-0,00005	-533				
7773ER	Maksimum za uzljetanje	112250	-120	0,713	-0,00011	0				
7878R	Prilaz uz minimalni potisak	3425	-12,03	0,0955	0	0				
7878R	Maksimum za penjanje	61142,6	-78,8116	1,219801	-0,000039	0				
7878R	Maksimum za penjanje, visoka temperatura	65000	-55	0,1	-0,00002	-404,274				
7878R	Maksimum za uzljetanje	71214,6	-93,4796	0,652462	0,000002	0				
7878R	Maksimum za penjanje, visoka temperatura	86784,2	-92	-0,27021	-0,00001	-520,488				
A300-622R	Opći	-148952	-6,71	-0,03	0	0	203740	-50104,7		
A300-622R	Prilaz uz minimalni potisak	8432,8	-47,7662	0,750523	-0,000059071	0				
A300-622R	Prilaz uz minimalni potisak, visoka temperatura	8432,8	-47,7662	0,750523	-0,000059071	0				
A300-622R	Maksimum za penjanje	44457,2	-45,778	0,735506	-0,000015775	0				
A300-622R	Maksimum za penjanje, visoka temperatura	52183,7	-44,1929	0	0	-271				
A300-622R	Maksimum za uzljetanje	56307,1	-50,9157	0,405632	-2,0986E-06	0				
A300-622R	Maksimum za penjanje, visoka temperatura	61250,3	-51,5373	0	0	-192				

A300B4-203	Opći	-132687	-30,4092	-0,10796	4,02686E-07	0			2535,75	-8,23842
A300B4-203	Maksimum za penjanje	43416,5	-35	-0,12523	6,27209E-07	0				
A300B4-203	Maksimum za uzljetanje	49336,9	-39,8243	-0,14231	7,12738E-07	0				
A310-304	Opći	41317	-32,9	-0,0857	-0,0000016	0	-1131,6	11,8		
A310-304	Prilaz uz minimalni potisak	4613,2	-22,0136	0,082133	-2,7376E-06	0				
A310-304	Prilaz uz minimalni potisak, visoka temperatura	4613,2	-22,0136	0,082133	-2,7376E-06	0				
A310-304	Maksimum za penjanje	42008	-49,5706	1,64076	-0,000043059	0				
A310-304	Maksimum za penjanje, visoka temperatura	55143,3	-37,4839	0	0	-505				
A310-304	Maksimum za uzljetanje	50530,5	-51,1538	1,26398	-0,000012839	0				
A310-304	Maksimum za penjanje, visoka temperatura	71457,7	-50,7768	0	0	-608				
A319-131	Opći	-105513	-6,58	0,006828	-8,055E-07	0	149900	-42300		
A319-131	Prilaz uz minimalni potisak	1219,5	-7,22737	0,154266	-0,000007955	0				
A319-131	Prilaz uz minimalni potisak, visoka temperatura	1219,5	-7,22737	0,154266	-0,000007955	0				
A319-131	Maksimum za penjanje	14957,2	1,71654	0,442593	-0,000013824	0				
A319-131	Maksimum za penjanje, visoka temperatura	12977,6	18,59062	0	0	-78,7				

A319-131	Maksimum za uzljetanje	21435,4	-21,3236	0,309465	1,26125E-05	0				
A319-131	Maksimum za penjanje, visoka temperatura	23853,8	-18,7311	0	0	-76,8				
A320-211	Opći	24380	-18,534	-0,07842	-2,509E-07	0			-669,457	6,9451
A320-211	Prilaz uz minimalni potisak	2858,8	-14,7325	0,096537	-6,7861E-06	0				
A320-211	Prilaz uz minimalni potisak, visoka temperatura	2858,8	-14,7325	0,096537	-6,7861E-06	0				
A320-211	Maksimum za penjanje	16859,1	-4,3786	0,183576	2,9851E-06	0				
A320-211	Maksimum za penjanje, visoka temperatura	19148,5	-6,50173	0	0	-95				
A320-211	Maksimum za uzljetanje	23652,9	-22,9338	0,295879	-5,4631E-06	0				
A320-211	Maksimum za penjanje, visoka temperatura	27385	-23,3	0	0	-132				
A320-232	Opći	-65083,3	-7,25	-0,01918	2,575E-08	0	87817,6	-18693,1		
A320-232	Prilaz uz minimalni potisak	1138,9	-6,52566	0,1667	-9,2579E-06	0				
A320-232	Prilaz uz minimalni potisak, visoka temperatura	1138,9	-6,52566	0,1667	-9,2579E-06	0				
A320-232	Maksimum za penjanje	15539,2	-4,08932	0,438331	-0,00001439	0				
A320-232	Maksimum za penjanje, visoka temperatura	14111,4	10,67953	0	0	-82,2				

A320-232	Maksimum za uzlijetanje	24746,2	-25,2473	0,304165	9,2451E-06	0				
A320-232	Maksimum za penjanje, visoka temperatura	29506,5	-24,4165	0	0	-139				
A321-232	Opći	-26190,2	-6,6	-0,0197	-3,408E-07	0	33032,2	0		
A321-232	Prilaz uz minimalni potisak	1274,1	-7,34054	0,175187	-0,000011478	0				
A321-232	Prilaz uz minimalni potisak, visoka temperatura	1274,1	-7,34054	0,175187	-0,000011478	0				
A321-232	Maksimum za penjanje	21870,8	-21,4867	0,380647	-5,5566E-06	0				
A321-232	Maksimum za penjanje, visoka temperatura	24158,5	-16,8504	0	0	-147				
A321-232	Maksimum za uzlijetanje	28636,4	-26,7318	0,249782	-3,9163E-06	0				
A321-232	Maksimum za penjanje, visoka temperatura	31608,2	-25,9736	0	0	-114				
A330-301	Opći	-36339,3	-31,32	-0,1297	0	0			484,645	4,0056
A330-301	Prilaz uz minimalni potisak	4572,4	-26,0005	0,013461	2,8669E-06	0				
A330-301	Prilaz uz minimalni potisak, visoka temperatura	4572,4	-26,0005	0,013461	2,8669E-06	0				
A330-301	Maksimum za penjanje	34249,9	25,9859	0,764157	-8,1437E-07	0				
A330-301	Maksimum za penjanje, visoka temperatura	46667,8	10,51272	0	0	-346				

A330-301	Maksimum za uzlijetanje	61384,5	-48,4678	0,582821	-6,2628E-06	0				
A330-301	Maksimum za penjanje, visoka temperatura	69058	-46,465	0	0	-288				
A330-343	Opći	-127410	-9,31	-0,0386	0,000000569	0	162922	-29498,6		
A330-343	Prilaz uz minimalni potisak	3134,3	-13,0338	0,085938	1,7155E-06	0				
A330-343	Prilaz uz minimalni potisak, visoka temperatura	3134,3	-13,0338	0,085938	1,7155E-06	0				
A330-343	Maksimum za penjanje	44462	-12,031	0,711026	5,12762E-06	0				
A330-343	Maksimum za penjanje, visoka temperatura	63522,4	-50,7504	0	0	-411				
A330-343	Maksimum za uzlijetanje	69831	-77,9676	0,882955	-0,000026894	0				
A330-343	Maksimum za penjanje, visoka temperatura	85732,2	-78,8957	0	0	-451				
A340-211	Opći	19716	-17,65	-0,0878	0	0			-590,77	7,341
A340-211	Prilaz uz minimalni potisak	4019,5	-20,508	-0,02271	1,16972E-05	0				
A340-211	Prilaz uz minimalni potisak, visoka temperatura	4019,5	-20,508	-0,02271	1,16972E-05	0				
A340-211	Maksimum za penjanje	26802,9	-28,8264	0,31673	3,50144E-06	0				
A340-211	Maksimum za penjanje, visoka temperatura	31091,8	-31,4492	0	0	-160				

A340-211	Maksimum za uzlijetanje	29929,8	-30,7732	0,29922	-4,1757E-06	0				
A340-211	Maksimum za penjanje, visoka temperatura	34594,4	-30,094	0	0	-175				
A340-642	Prilaz uz minimalni potisak	6529,4	-29,9521	0,272155	-0,000020281	0				
A340-642	Prilaz uz minimalni potisak, visoka temperatura	6529,4	-29,9521	0,272155	-0,000020281	0				
A340-642	Maksimum za penjanje	42621,6	-44,2784	0,484124	2,668E-07	0				
A340-642	Maksimum za penjanje, visoka temperatura	50112	-60,5262	0	0	-212				
A340-642	Maksimum za uzlijetanje	55248,1	-61,4744	0,506968	-9,6324E-06	0				
A340-642	Maksimum za penjanje, visoka temperatura	63276,8	-59,6458	0	0	-300				
A380-841	Prilaz uz minimalni potisak	10914,8	-31,2899	-2,1424	0,000260636	0				
A380-841	Prilaz uz minimalni potisak, visoka temperatura	10914,8	-31,2899	-2,1424	0,000260636	0				
A380-841	Maksimum za penjanje	63586,2	-53,9292	1,23082	-0,00003343	0				
A380-841	Maksimum za penjanje, visoka temperatura	72974,3	-52,6993	0	0	-420				
A380-841	Maksimum za uzlijetanje	71176,1	-84,4052	0,220679	0,000428339	0				



ThoriumSoftware d.o.o.

Mobile: +385 (0) 95 8 70 50 70
 Kontakt: Dario Ilija Rendulić
 Email:
[info@thoriumsoftware.eu;](mailto:info@thoriumsoftware.eu)
direndulic@gmail.com

A380-841	Maksimum za penjanje, visoka temperatura	90820,8	-94,5354	0	0	-610				
A380-861	Prilaz uz minimalni potisak	8921,7	-30,2153	-0,87777	0,000104691	0				
A380-861	Prilaz uz minimalni potisak, visoka temperatura	8921,7	-30,2153	-0,87777	0,000104691	0				
A380-861	Maksimum za penjanje	66053,2	-61,754	0,977183	-0,000025178	0				
A380-861	Maksimum za penjanje, visoka temperatura	73729,7	-65,1895	0	0	-324				
A380-861	Maksimum za uzljetanje	70053,6	-76,0931	0,838794	-0,000010766	0				
A380-861	Maksimum za penjanje, visoka temperatura	83320,5	-82,3362	0	0	-432				
BAC111	Maksimum za penjanje	9827,9	-5,89674	-0,01966	0	0				
BAC111	Maksimum za uzljetanje	11168,1	-6,70084	-0,02234	0	0				
BAE146	Opći	-13783	-9,9585	0,056057	-1,23124E-05	0			304,295	-0,84327
BAE146	Maksimum za penjanje	6339,4	-9,9585	0,056057	-0,0000035	0				
BAE146	Maksimum za uzljetanje	6542,4	-9,9585	0,056057	-0,0000035	0				
BAE300	Opći	-13783	-9,9585	0,056057	-1,23124E-05	0			304,295	-0,84327
BAE300	Maksimum za penjanje	6339,4	-9,9585	0,056057	-0,0000035	0				
BAE300	Maksimum za uzljetanje	6542,4	-9,9585	0,056057	-0,0000035	0				
CIT3	Maksimum za penjanje	2987,4	-3,4992	0,06123	-1,1664E-06	0				

CIT3	Maksimum za uzlijetanje	3319,3	-3,888	0,068032	-0,000001296	0				
CL600	Maksimum za penjanje	5543,3	-5,6542	0,08442	0	0				
CL600	Maksimum za uzlijetanje	6159,2	-6,2824	0,0938	0	0				
CL601	Maksimum za penjanje	6517,3	-6,6476	0,09776	0	0				
CL601	Maksimum za uzlijetanje	7241,4	-7,3862	0,10862	0	0				
CNA208	Maksimum za penjanje	2953,9	-8,581	-0,00453	-7,2035E-07	-1,44				
CNA208	Maksimum za uzlijetanje	3245,2	-11,69	-0,01053	-6,777E-07	-1,62				
CNA500	Opći	1743,1	-1,64678	-0,00201	-1,5642E-07	0			-49,6794	0,545
CNA500	Maksimum za penjanje	1919,5	-1,99614	0,0615	-2,40502E-06	0				
CNA500	Maksimum za uzlijetanje	2132,8	-2,21793	0,068333	-2,67224E-06	0				
CNA510	Opći	4234,6	-1,68388	0,001047	-5,78019E-08	0			-103,817	0,811333
CNA510	Maksimum za penjanje	1486	-1,60533	0	-1,04748E-07	0				
CNA510	Maksimum za uzlijetanje	1492,8	-1,87734	0	-2,55208E-06	0				
CNA525C	Opći	1528,4	-2,83667	-0,00013	2,55648E-07	0			-51,50512788	0,724013467
CNA525C	Maksimum za penjanje	3001,7	-2,38854	0,004585	-1,4045E-07	0				
CNA525C	Maksimum za uzlijetanje	3464,1	-2,5254	0,001981	-1,46353E-06	0				
CNA55B	Opći	1373,8	-2,2903	-8,9E-05	3,2273E-08	0			-44,861	0,66327
CNA55B	Maksimum za penjanje	2323,1	-2,4386	0,002159	-2,1456E-07	0				



ThoriumSoftware d.o.o.

Mobile: +385 (0) 95 8 70 50 70
 Kontakt: Dario Ilija Rendulić
 Email:
[info@thoriumsoftware.eu;](mailto:info@thoriumsoftware.eu)
direndulic@gmail.com

CNA55B	Maksimum za uzljetanje	2658,7	-2,6269	-0,00359	1,7262E-07	0				
CNA560E	Opći	1533,4	-2,49247	0,011973	-6,90894E-07	0			-53,9835	0,839574
CNA560E	Maksimum za penjanje	3194,3	-2,53358	0,028038	2,70832E-07	0				
CNA560E	Maksimum za uzljetanje	3316,5	-2,7005	0,04349	-6,52616E-07	0				
CNA560U	Maksimum za penjanje	2597,5	-2,22178	0,023781	6,12239E-08	0				
CNA560U	Maksimum za uzljetanje	2920	-2,0264	0,025133	2,95314E-07	0				
CNA560XL	Maksimum za penjanje	3454,5	-3,98132	-0,0704	0	0				
CNA560XL	Maksimum za uzljetanje	3838,3	-4,42368	-0,07823	0	0				
CNA680	Opći	2904,8	-4,80092	-0,00174	5,62892E-07	0			-101,327	1,3401
CNA680	Maksimum za penjanje	5520,2	-5,32711	-0,02377	1,89918E-06	0				
CNA680	Maksimum za uzljetanje	5683	-6,55907	-0,00159	8,72971E-07	0				
CNA750	Opći	4778,6	-6,56521	0,000671	-4,11321E-07	0			-146,712	1,9748
CNA750	Maksimum za penjanje	6097,8	-7,0102	-0,00528	3,74689E-08	0				
CNA750	Maksimum za uzljetanje	6127,8	-7,07624	-0,00394	3,95764E-08	0				
CONCRD	Maksimum za penjanje	33252,1	-26,6	0,2328	0	0				
CONCRD	Maksimum za uzljetanje	39653	-31,722	0,2776	0	0				
CRJ9-ER	Opći	6087,3	-9,35507	-0,04736	1,55476E-07	-1,4767			-183,9266	2,785981
CRJ9-ER	Prilaz uz minimalni potisak	1163,1	-4,5855	-0,0238	1,63611E-06	-0,0249				

CRJ9-ER	Maksimum za penjanje	10438,3	-9,64192	0,15855	-3,00077E-07	-1,3095				
CRJ9-ER	Maksimum za penjanje, visoka temperatura	12973,4	-9,57675	-0,05589	3,05523E-07	-100,415				
CRJ9-ER	Maksimum za uzljetanje	13260,6	-16,6244	0,19849	-7,00045E-06	-1,6224				
CRJ9-ER	Maksimum za penjanje, visoka temperatura	16247,3	-17,4575	0,077341	-1,06353E-05	-109,219				
CRJ9-LR	Opći	6087,3	-9,35507	-0,04736	1,55476E-07	-1,4767			-183,9266	2,785981
CRJ9-LR	Prilaz uz minimalni potisak	1163,1	-4,5855	-0,0238	1,63611E-06	-0,0249				
CRJ9-LR	Maksimum za penjanje	10438,3	-9,64192	0,15855	-3,00077E-07	-1,3095				
CRJ9-LR	Maksimum za penjanje, visoka temperatura	12973,4	-9,57675	-0,05589	3,05523E-07	-100,415				
CRJ9-LR	Maksimum za uzljetanje	13260,6	-16,6244	0,19849	-7,00045E-06	-1,6224				
CRJ9-LR	Maksimum za penjanje, visoka temperatura	16247,3	-17,4575	0,077341	-1,06353E-05	-109,219				
DC1010	Opći	25027,6	-27,4313	-0,07828	0	0			-694,556	8,02362
DC1010	Maksimum za penjanje	30596	-28,4416	-0,10164	5,0902E-07	0				
DC1010	Maksimum za uzljetanje	35985,4	-30,9909	-0,11075	5,5465E-07	0				
DC1030	Maksimum za penjanje	38520	-29,38	0,49	0	0				
DC1030	Maksimum za uzljetanje	49310	-42,42	0,61	0	0				
DC1040	Opći	-143602	-14,4996	-0,05026	0	0	204567	-54761,9		

DC1040	Maksimum za penjanje	34087,9	-12,9859	-0,04641	2,3241E-07	0				
DC1040	Maksimum za uzljetanje	41594,9	-22,3071	-0,07971	3,9923E-07	0				
DC850	Opći	-22582,8	-6,58409	-0,02081	0	0	29070,9	-4341,84		
DC850	Maksimum za penjanje	14243,5	-5,6565	-0,02021	1,0123E-07	0				
DC850	Maksimum za uzljetanje	15670,3	-5,8955	-0,02107	1,0551E-07	0				
DC860	Opći	-27959,5	-6,35297	-0,01835	0	0	35850,3	-6157,74		
DC860	Maksimum za penjanje	15558,7	-7,2339	-0,02585	1,2947E-07	0				
DC860	Maksimum za uzljetanje	16740,5	-4,9394	-0,01765	8,8401E-08	0				
DC870	Opći	11106	-10,09	-0,0409	0	0			-369,8	4,835
DC870	Maksimum za penjanje	18859	-17,91	0,1953	0	-2,034				
DC870	Maksimum za uzljetanje	20758	-20,65	0,2173	0	0				
DC8QN	Opći	-27959,5	-6,35297	-0,01835	0	0	35850,3	-6157,74		
DC8QN	Maksimum za penjanje	15558,7	-7,2339	-0,02585	1,2947E-07	0				
DC8QN	Maksimum za uzljetanje	16740,5	-4,9394	-0,01765	8,8401E-08	0				
DC910	Opći	-10596,5	-1,51369	-0,00525	0	0	11541,7	162,698		
DC910	Maksimum za penjanje	11194,3	-3,0274	-0,01082	5,4181E-08	0				
DC910	Maksimum za uzljetanje	12308,2	-0,478	0,001708	8,55E-09	0				
DC930	Opći	-13523,2	-2,66888	-0,00925	0	0	15803,6	-1257,94		
DC930	Maksimum za penjanje	11561,8	-2,94773	-0,01053	5,2756E-08	0				

DC930	Maksimum za uzljetanje	12972	-2,31038	-0,00826	4,1349E-08	0				
DC93LW	Opći	-13523,2	-2,66888	-0,00925	0	0	15803,6	-1257,94		
DC93LW	Maksimum za penjanje	11561,8	-2,94773	-0,01053	5,2756E-08	0				
DC93LW	Maksimum za uzljetanje	12972	-2,31038	-0,00826	4,1349E-08	0				
DC950	Opći	-13523,2	-2,66888	-0,00925	0	0	15803,6	-1257,94		
DC950	Maksimum za penjanje	12365,4	-2,54939	-0,00911	4,5627E-08	0				
DC950	Maksimum za uzljetanje	14698,5	-2,13511	-0,00763	3,8212E-08	0				
DC95HW	Opći	-13523,2	-2,66888	-0,00925	0	0	15803,6	-1257,94		
DC95HW	Maksimum za penjanje	12365,4	-2,54939	-0,00911	4,5627E-08	0				
DC95HW	Maksimum za uzljetanje	14698,5	-2,13511	-0,00763	3,8212E-08	0				
DC9Q7	Opći	-10596,5	-1,51369	-0,00525	0	0	11541,7	162,698		
DC9Q7	Maksimum za penjanje	11194,3	-3,0274	-0,01082	5,4181E-08	0				
DC9Q7	Maksimum za uzljetanje	12308,2	-0,478	0,001708	8,55E-09	0				
DC9Q9	Opći	-13523,2	-2,66888	-0,00925	0	0	15803,6	-1257,94		
DC9Q9	Maksimum za penjanje	11561,8	-2,94773	-0,01053	5,2756E-08	0				
DC9Q9	Maksimum za uzljetanje	12972	-2,31038	-0,00826	4,1349E-08	0				
DHC8	Opći	2010,7	-19,409	0,07743	0	0			54,6666	-0,0828
DHC8	Maksimum za penjanje	6323,6	-21,4445	0,088232	0	0				
DHC8	Maksimum za uzljetanje	7026,2	-23,8272	0,098036	0	0				

DHC830	Opći	1623,1	-18,411	0,075104	0	0			72,6356	-0,17951
DHC830	Maksimum za penjanje	6679	-21,9919	0,090305	0	0				
DHC830	Maksimum za uzljetanje	7421,1	-24,4354	0,100339	0	0				
DO228	Maksimum za penjanje	2571	-7,9721	0,07004	-4,9292E-06	0				
DO228	Maksimum za uzljetanje	2524,3	-8,067	0,06042	-6,8678E-06	0				
DO328	Maksimum za penjanje	7752,5	-23,2	0,225	-0,0000158	0				
DO328	Maksimum za uzljetanje	8138,2	-28,1	0,199	-0,000021	0				
ECLIPSE500	Maksimum za penjanje	947,7	-0,73662	0,018307	2,63346E-07	-0,0571				
ECLIPSE500	Maksimum za penjanje, visoka temperatura	1077,4	-1,20966	-0,00912	1,28125E-07	-9,84248				
ECLIPSE500	Maksimum za uzljetanje	1039,2	-1,57439	0,034769	-0,000002274	-0,0323				
ECLIPSE500	Maksimum za penjanje, visoka temperatura	1258,9	-1,6144	-0,00748	3,13285E-08	-10,7499				
ECLIPSE500	Smanjeni potisak za penjanje	1084,2	-1,38862	0,009974	7,08687E-08	0,048579				
ECLIPSE500	Smanjeni potisak za penjanje, visoka temperatura	1168,6	-1,50732	-0,01586	3,07776E-07	-11,2558				
EMB120	Maksimum za penjanje	4668	-11,932	0,0664	0	-5,663				
EMB120	Maksimum za uzljetanje	5212	-12,45	0,0728	0	-6,87				
EMB145	Maksimum za penjanje	5554,3	-6,86092	0,065416	0	-4,036				



ThoriumSoftware d.o.o.

Mobile: +385 (0) 95 8 70 50 70
Kontakt: Dario Ilija Rendulić
Email:
info@thoriumsoftware.eu;
direndulic@gmail.com

EMB145	Maksimum za uzljetanje	7499,5	-9,12812	0,045563	0	-22,89					
EMB14L	Maksimum za penjanje	6432,5	-7,56929	0,069004	0	-5,419					
EMB14L	Maksimum za uzljetanje	7246,1	-8,61031	0,232825	0	-0,9689					
EMB170	Prilaz uz minimalni potisak	945	-3,5	-0,01	0	0					
EMB170	Maksimum za penjanje	11716	-13,423	0,25	-0,000019	0					
EMB170	Maksimum za uzljetanje	13350	-17,43	0,1875	-0,000013	-4,47					
EMB175	Prilaz uz minimalni potisak	945	-3,5	-0,01	0	0					
EMB175	Maksimum za penjanje	11716	-13,423	0,25	-0,000019	0					
EMB175	Maksimum za uzljetanje	13350	-17,43	0,1875	-0,000013	-4,47					
EMB190	Prilaz uz minimalni potisak	1080	-3,65	0,011	0	0					
EMB190	Maksimum za penjanje	15137	-14,3	0,239	-0,0000187	0					
EMB190	Maksimum za uzljetanje	17499	-18,99	0,3207	-0,000021	-4,29					
EMB195	Prilaz uz minimalni potisak	1080	-3,65	0,011	0	0					
EMB195	Maksimum za penjanje	15137	-14,3	0,239	-0,0000187	0					
EMB195	Maksimum za uzljetanje	17499	-18,99	0,3207	-0,000021	-4,29					
F10062	Maksimum za penjanje	10472	-9,57	0,137	0	0					

F10062	Maksimum za uzljetanje	13551	-16,56	0,2804	0	0				
F10065	Maksimum za penjanje	10970	-10,52	0,1238	0	0				
F10065	Maksimum za uzljetanje	14814	-16,72	0,065	0	0				
F28MK2	Maksimum za penjanje	8408	-4,72	0,1048	0	0				
F28MK2	Maksimum za uzljetanje	9851	-7,68	0,0889	0	0				
F28MK4	Maksimum za penjanje	8459	-4,874	0,0997	0	0				
F28MK4	Maksimum za uzljetanje	9905	-7,445	0,0765	0	0				
FAL20	Maksimum za penjanje	4102	-2,3831	-0,11465	1,02126E-05	0				
FAL20	Maksimum za uzljetanje	4017,4	-3,4567	0,058024	-2,49247E-06	0				
GII	Maksimum za penjanje	9827,9	-5,89674	-0,01966	0	0				
GII	Maksimum za uzljetanje	11324	-9,697	0,1539	-0,000004	0				
GII	Maksimum za penjanje, visoka temperatura	12833	-8,35	0,0346	-0,000004	-74,58				
GII	Smanjeni potisak za penjanje	6030	0	-0,0081	0,0000002	0				
GII	Smanjeni potisak za uzljetanje	9060	-7,27	0,121	-0,000003	0				
GII	Smanjeni potisak za uzljetanje, visoka temperatura	10266	-6,25	0,0277	-0,0000003	-59,7				

GIIB	Maksimum za penjanje	9827,9	-5,89674	-0,01966	0	0				
GIIB	Maksimum za uzljetanje	11324	-9,697	0,1539	-0,000004	0				
GIIB	Maksimum za penjanje, visoka temperatura	12833	-8,35	0,0346	-0,000004	-74,58				
GIIB	Smanjeni potisak za penjanje	5369	0	-0,0081	0	0				
GIIB	Smanjeni potisak za uzljetanje	9060	-7,27	0,121	-0,000003	0				
GIIB	Smanjeni potisak za uzljetanje, visoka temperatura	10266	-6,25	0,0277	-0,0000003	-59,7				
GIV	Maksimum za penjanje	10770	-10,96	0,1784	-0,000001	0				
GIV	Maksimum za penjanje, visoka temperatura	11805	-9,4	-0,0624	0	-89				
GIV	Maksimum za uzljetanje	13725	-18,2	0,3189	-0,00002	0				
GIV	Maksimum za penjanje, visoka temperatura	17129	-17,6	-0,0472	0,0000003	-114				
GV	Maksimum za penjanje	12400	-11,6	0,12	0	0				
GV	Maksimum za penjanje, visoka temperatura	14900	-11,2	-0,11	0	-107				
GV	Maksimum za uzljetanje	14600	-18,86	0,1649	0	0				
GV	Maksimum za penjanje, visoka temperatura	18970	-18,4	-0,115	0	-126,5				

IA1125	Maksimum za penjanje	3114,4	-3,4992	0,04125	-2,81988E-06	0				
IA1125	Maksimum za uzljetanje	3460,5	-3,888	0,045834	-3,1332E-06	0				
L1011	Opći	-80222,2	-25,0263	0	0	0	92893,5	-10186,1		
L1011	Maksimum za penjanje	34204,8	-43,8172	0,270193	2,0153E-06	0				
L1011	Maksimum za uzljetanje	40720	-52,1633	0,321659	2,3992E-06	0				
L10115	Maksimum za penjanje	39532,9	-44,0258	0,27148	2,02494E-06	0				
L10115	Maksimum za uzljetanje	46840	-52,1633	0,321659	2,3992E-06	0				
LEAR25	Maksimum za penjanje	2560,9	-1,8352	-0,01509	1,95912E-06	0				
LEAR25	Maksimum za uzljetanje	2845,4	-2,03911	-0,01677	2,1768E-06	0				
LEAR35	Maksimum za penjanje	3071	-3,4992	-0,00397	1,38915E-06	0				
LEAR35	Maksimum za uzljetanje	3412,2	-3,888	-0,00441	1,5435E-06	0				
MD11GE	Maksimum za penjanje	47037	-45,71	0,854	0	-368,1				
MD11GE	Maksimum za uzljetanje	57156	-42,73	0,303	0	-357,5				
MD11PW	Maksimum za penjanje	51197	-59,27	0,416	0	-357				
MD11PW	Maksimum za uzljetanje	57661	-51,3	0,513	0	-426,6				
MD81	Opći	-15384	-10	0,019	0	0	17917	0		
MD81	Maksimum za penjanje	18040,9	-8,83022	-0,02993	0	-114,3				
MD81	Maksimum za penjanje,	21047,1	-12,8373	-0,07163	0	-151,8				

	visoka temperatura									
MD81	Maksimum za uzljetanje	18810,5	-11,1271	0,092622	0	-2,101				
MD81	Maksimum za penjanje, visoka temperatura	22678,5	-14,546	-0,05823	0	-138,4				
MD82	Opći	-13488	-10	0,025	0	0	16750	0		
MD82	Maksimum za penjanje	16810,1	-5,36467	0,048334	0	-60,8				
MD82	Maksimum za penjanje, visoka temperatura	22606,4	-13,9975	-0,09177	0	-168,1				
MD82	Maksimum za uzljetanje	19344,5	-15,5531	0,333164	0	-1,031				
MD82	Maksimum za penjanje, visoka temperatura	24452	-16,6869	0,005711	0	-162,5				
MD83	Opći	-13845	-13,33	0,019	0	0	17500	0		
MD83	Maksimum za penjanje	18075,2	-7,63873	0,058915	0	-64,7				
MD83	Maksimum za penjanje, visoka temperatura	23181,6	-13,4908	-0,09344	0	-164				
MD83	Maksimum za uzljetanje	20080,8	-11,9047	0,191099	0	-4,078				
MD83	Maksimum za penjanje, visoka temperatura	25460,4	-15,5681	-0,05468	0	-176,1				
MD9025	Opći	-31899	-8,5718	-0,0276	0	0	37206	0		
MD9025	Maksimum za penjanje	23881	-30,625	0,2551	0	0				
MD9025	Maksimum za penjanje, visoka temperatura	27078,4	-30,625	0	0	-213,2				

MD9025	Maksimum za uzljetanje	23066	-23,5769	0,3147	0	0				
MD9025	Maksimum za penjanje, visoka temperatura	28697,1	-23,5769	0	0	-225,2				
MD9028	Opći	-31899	-8,5718	-0,0276	0	0	37206	0		
MD9028	Maksimum za penjanje	23421	-26,5453	0,2599	0	0				
MD9028	Maksimum za penjanje, visoka temperatura	26678,6	-26,5453	0	0	-217,2				
MD9028	Maksimum za uzljetanje	25656	-25,3418	0,2419	0	0				
MD9028	Maksimum za penjanje, visoka temperatura	30520	-25,3418	0	0	-194,6				
MU3001	Opći	1743,1	-1,64678	-0,00201	-1,5642E-07	0			-49,6794	0,545
MU3001	Maksimum za penjanje	1919,5	-1,99614	0,0615	-2,40502E-06	0				
MU3001	Maksimum za uzljetanje	2132,8	-2,21793	0,068333	-2,67224E-06	0				
PA42	Maksimum za penjanje	2295,2	-6,6307	0,041917	5,8567E-07	0				
PA42	Maksimum za uzljetanje	2219,6	-5,9898	0,044468	2,8008E-07	0				

Tablica I-8: Koeficijenti za elisne motore

ACFT_ID	Režim rada motora	Učinkovitost elise	Instalirana neto pogonska snaga (hp)
BEC58P	Maksimum za penjanje	0,90	261,3
BEC58P	Maksimum za uzljetanje	0,90	310,0
CNA172	Maksimum za penjanje	0,69	140,0
CNA172	Maksimum za uzljetanje	0,67	155,0

CNA182	Maksimum za penjanje	0,78	189,8
CNA182	Maksimum za uzlijetanje	0,75	222,4
CNA206	Maksimum za penjanje	0,77	234,0
CNA206	Maksimum za uzlijetanje	0,70	300,0
CNA20T	Maksimum za penjanje	0,77	238,0
CNA20T	Maksimum za uzlijetanje	0,69	310,0
CNA441	Maksimum za penjanje	0,90	620,0
CNA441	Maksimum za uzlijetanje	0,90	635,5
CVR580	Maksimum za penjanje	0,85	3344,0
CVR580	Maksimum za uzlijetanje	0,85	3800,0
DC3	Maksimum za penjanje	0,85	1130,0
DC3	Maksimum za uzlijetanje	0,85	1302,0
DC6	Maksimum za penjanje	0,90	1750,0
DC6	Maksimum za uzlijetanje	0,90	1900,0
DHC6	Maksimum za penjanje	0,90	557,5
DHC6	Maksimum za uzlijetanje	0,90	587,0
DHC6QP	Maksimum za penjanje	0,90	557,5
DHC6QP	Maksimum za uzlijetanje	0,90	587,0
DHC7	Maksimum za penjanje	0,90	846,0
DHC7	Maksimum za uzlijetanje	0,90	940,0
HS748A	Maksimum za penjanje	0,90	1805,0
HS748A	Maksimum za uzlijetanje	0,90	2006,0
L188	Maksimum za penjanje	0,90	3180,0
L188	Maksimum za uzlijetanje	0,90	3460,0
PA30	Maksimum za penjanje	0,80	130,5
PA30	Maksimum za uzlijetanje	0,80	139,5

SD330	Maksimum za penjanje	0,90	972,0
SD330	Maksimum za uzlijetanje	0,90	1080,0
SF340	Maksimum za penjanje	0,90	1587,0
SF340	Maksimum za uzlijetanje	0,90	1763,0

Tablica I-9: NPD (buka – snaga – udaljenost) podaci

NPD_ID	Mjera buke	Tip operacije (Op type)	Režim rada motora (polje »Parametar snage« u tablici »Zrakoplov« navodi vrstu režima rada i jedinicu)	L_200ft	L_400ft	L_630ft	L_1000ft	L_2000ft	L_4000ft	L_6300ft	L_10000ft	L_16000ft	L_25000ft
2CF650	LAmox	A	10000,0	99,2	91,9	86,7	81,0	72,1	63,0	56,7	49,6	41,6	33,1
2CF650	LAmox	A	25000,0	105,3	98,3	93,4	88,0	79,5	70,5	64,3	57,4	49,7	41,5
2CF650	LAmox	D	25000,0	105,3	98,3	93,4	88,0	79,5	70,5	64,3	57,4	49,7	41,5
2CF650	LAmox	D	40000,0	109,1	102,3	97,6	92,5	84,3	75,4	69,3	62,6	55,1	47,2
2CF650	SEL	A	10000,0	99,9	95,0	91,4	87,5	81,3	74,6	69,7	64,2	57,7	50,7
2CF650	SEL	A	25000,0	103,7	99,3	96,1	92,7	87,1	80,6	75,8	70,5	64,3	57,5
2CF650	SEL	D	25000,0	103,7	99,3	96,1	92,7	87,1	80,6	75,8	70,5	64,3	57,5
2CF650	SEL	D	40000,0	106,8	102,9	100,1	97,1	92,0	85,8	81,0	75,9	69,9	63,4
2CF680	LAmox	A	7000,0	96,3	89,8	85,2	80,2	71,9	63,2	56,9	50,8	44,1	37,7
2CF680	LAmox	A	12000,0	97,5	90,9	86,3	81,3	73,0	64,4	58,3	52,3	45,8	39,6
2CF680	LAmox	D	17000,0	98,2	91,5	87,0	82,1	74,2	65,8	59,7	53,6	46,9	40,4
2CF680	LAmox	D	25000,0	98,5	92,6	88,3	83,7	76,4	68,0	62,0	55,6	48,7	41,8
2CF680	LAmox	D	33000,0	101,5	95,8	91,7	87,3	80,2	71,8	65,8	59,4	52,5	45,5
2CF680	LAmox	D	41000,0	104,4	99,0	95,2	91,0	84,1	75,8	69,7	63,2	56,0	48,8
2CF680	SEL	A	7000,0	98,1	93,9	90,8	87,4	81,4	75,0	70,3	65,7	60,6	55,7
2CF680	SEL	A	12000,0	99,3	95,0	91,9	88,5	82,5	76,2	71,7	67,2	62,3	57,6
2CF680	SEL	D	17000,0	100,0	95,6	92,6	89,3	83,7	77,6	73,1	68,5	63,4	58,4



ThoriumSoftware d.o.o.

Mobile: +385 (0) 95 8 70 50 70
 Kontakt: Dario Ilija Rendulić
 Email:
[info@thoriumsoftware.eu;](mailto:info@thoriumsoftware.eu)
direndulic@gmail.com

2CF680	SEL	D	25000,0	100,3	96,7	93,9	90,9	85,9	79,8	75,4	70,5	65,2	59,8
2CF680	SEL	D	33000,0	103,3	99,9	97,3	94,5	89,7	83,6	79,2	74,3	69,0	63,5
2CF680	SEL	D	41000,0	106,2	103,1	100,8	98,2	93,6	87,6	83,1	78,1	72,5	66,8
2CF68D	LAmix	A	10020,0	97,7	91,0	85,8	81,1	73,0	64,5	58,5	51,7	44,8	38,3
2CF68D	LAmix	A	23190,0	103,3	96,5	91,5	86,5	77,5	68,3	61,7	54,6	47,5	40,4
2CF68D	LAmix	D	25940,0	101,9	94,6	89,8	85,0	77,5	68,9	62,6	55,3	47,5	37,2
2CF68D	LAmix	D	39180,0	104,2	97,6	93,1	89,0	81,7	73,4	66,8	60,1	52,2	42,2
2CF68D	LAmix	D	51530,0	108,4	102,1	97,8	93,5	86,7	78,9	72,8	66,3	58,7	49,2
2CF68D	LAmix	D	55500,0	111,4	105,1	100,8	96,5	88,7	82,4	76,3	70,3	62,7	54,0
2CF68D	SEL	A	10020,0	99,5	95,1	91,4	88,3	82,5	76,3	71,9	66,6	61,3	56,3
2CF68D	SEL	A	23190,0	105,1	100,6	97,1	93,7	87,0	80,1	75,1	69,5	64,0	58,4
2CF68D	SEL	D	25940,0	103,7	98,7	95,4	92,2	87,0	80,7	76,0	70,2	64,0	55,2
2CF68D	SEL	D	39180,0	106,0	101,7	98,7	96,2	91,2	85,2	80,2	75,0	68,7	60,2
2CF68D	SEL	D	51530,0	110,2	106,2	103,4	100,7	96,2	90,7	86,2	81,2	75,2	67,2
2CF68D	SEL	D	55500,0	113,2	109,2	106,4	103,7	98,2	94,2	89,7	85,2	79,2	72,0
2J155D	LAmix	A	500,0	87,0	79,3	74,0	68,2	59,0	49,2	42,4	35,2	27,6	20,0
2J155D	LAmix	A	1000,0	92,9	85,4	80,2	74,6	65,6	56,0	49,4	42,4	35,0	27,6
2J155D	LAmix	D	1500,0	98,3	90,9	85,7	80,1	71,2	61,7	55,1	48,1	40,7	33,4
2J155D	LAmix	D	2400,0	103,2	97,1	92,5	87,5	79,2	70,0	63,4	56,3	48,7	41,1
2J155D	LAmix	D	2800,0	107,7	101,4	96,9	91,8	83,5	74,2	67,7	60,6	53,0	45,4
2J155D	SEL	A	500,0	87,3	81,9	78,1	73,8	66,9	59,3	54,0	48,3	42,3	36,2
2J155D	SEL	A	1000,0	93,3	88,1	84,4	80,3	73,6	66,3	61,1	55,6	49,7	43,8
2J155D	SEL	D	1500,0	99,5	94,3	90,6	86,5	79,9	72,6	67,5	62,0	56,1	50,3
2J155D	SEL	D	2400,0	106,2	102,4	99,3	95,8	89,8	82,8	77,8	72,2	66,1	59,9
2J155D	SEL	D	2800,0	109,9	106,0	102,9	99,4	93,3	86,4	81,3	75,7	69,6	63,4
2JT8D	LAmix	A	3000,0	102,6	94,6	88,6	82,3	73,8	64,5	58,0	51,0	42,8	34,4
2JT8D	LAmix	A	6000,0	105,4	97,9	91,5	85,8	77,2	68,5	61,9	55,1	47,1	38,5



ThoriumSoftware d.o.o.

Mobile: +385 (0) 95 8 70 50 70
 Kontakt: Dario Ilija Rendulić
 Email:
[info@thoriumsoftware.eu;](mailto:info@thoriumsoftware.eu)
direndulic@gmail.com

2JT8D	LAmx	D	8000,0	108,6	100,7	95,6	89,9	81,8	73,2	66,5	59,9	52,0	43,8
2JT8D	LAmx	D	10000,0	111,6	104,3	99,5	94,6	86,3	77,7	71,8	64,9	57,2	48,9
2JT8D	LAmx	D	12000,0	115,9	108,9	104,3	99,4	91,1	82,8	76,8	70,1	62,8	54,6
2JT8D	LAmx	D	14000,0	120,8	113,4	109,4	104,5	96,4	88,2	82,3	75,8	68,6	60,9
2JT8D	SEL	A	3000,0	102,3	97,2	92,9	88,5	82,8	75,6	70,9	65,4	58,8	51,8
2JT8D	SEL	A	6000,0	106,1	100,5	96,7	93,0	87,2	80,9	76,1	70,7	64,1	56,9
2JT8D	SEL	D	8000,0	108,8	103,9	100,5	96,8	91,5	85,7	80,5	75,1	68,9	62,0
2JT8D	SEL	D	10000,0	111,4	107,2	104,3	101,1	95,7	89,5	85,0	79,8	73,5	66,7
2JT8D	SEL	D	12000,0	115,1	111,1	108,4	105,5	100,2	94,3	89,9	85,0	78,8	72,1
2JT8D	SEL	D	14000,0	119,8	115,9	113,3	110,5	105,4	99,7	95,3	90,3	84,5	78,4
2JT8D2	LAmx	A	4000,0	89,8	82,7	78,0	73,2	65,6	57,3	51,1	44,5	37,7	31,3
2JT8D2	LAmx	A	4667,0	90,8	83,6	79,0	74,2	66,6	58,2	52,0	45,4	38,6	32,2
2JT8D2	LAmx	A	5333,0	91,8	84,6	79,9	75,1	67,5	59,1	52,9	46,3	39,4	33,0
2JT8D2	LAmx	A	6000,0	92,9	85,6	80,9	76,1	68,4	60,0	53,8	47,1	40,3	33,9
2JT8D2	LAmx	D	9000,0	100,6	93,9	89,5	84,8	77,3	69,0	62,9	56,1	49,2	42,5
2JT8D2	LAmx	D	11000,0	103,0	96,3	91,9	87,2	79,6	71,2	65,0	58,2	51,2	44,4
2JT8D2	LAmx	D	13000,0	105,4	98,7	94,2	89,5	81,8	73,3	67,1	60,2	53,1	46,3
2JT8D2	LAmx	D	15000,0	107,8	101,1	96,6	91,8	84,1	75,5	69,2	62,2	55,1	48,2
2JT8D2	LAmx	D	17000,0	110,2	103,5	99,0	94,2	86,4	77,6	71,3	64,2	57,0	50,1
2JT8D2	LAmx	D	19000,0	112,6	105,9	101,4	96,5	88,6	79,8	73,4	66,2	59,0	52,0
2JT8D2	SEL	A	4000,0	91,5	87,5	84,7	81,9	77,1	71,6	67,2	62,4	57,5	52,9
2JT8D2	SEL	A	4667,0	92,6	88,5	85,8	82,9	78,1	72,6	68,2	63,4	58,5	53,8
2JT8D2	SEL	A	5333,0	93,7	89,6	86,8	83,9	79,1	73,6	69,2	64,4	59,4	54,8
2JT8D2	SEL	A	6000,0	94,7	90,6	87,8	84,9	80,1	74,6	70,2	65,4	60,4	55,7
2JT8D2	SEL	D	9000,0	100,1	96,3	93,7	91,0	86,3	80,8	76,6	71,6	66,5	61,7
2JT8D2	SEL	D	11000,0	102,4	98,7	96,1	93,3	88,6	83,0	78,7	73,7	68,7	63,8
2JT8D2	SEL	D	13000,0	104,8	101,0	98,5	95,6	90,9	85,2	80,9	75,9	70,8	65,9



ThoriumSoftware d.o.o.

Mobile: +385 (0) 95 8 70 50 70
 Kontakt: Dario Ilija Rendulić
 Email:
[info@thoriumsoftware.eu;](mailto:info@thoriumsoftware.eu)
direndulic@gmail.com

2JT8D2	SEL	D	15000,0	107,1	103,4	100,8	98,0	93,1	87,4	83,1	78,0	72,9	68,0
2JT8D2	SEL	D	17000,0	109,5	105,7	103,2	100,3	95,4	89,6	85,2	80,2	75,0	70,1
2JT8D2	SEL	D	19000,0	111,8	108,1	105,5	102,7	97,7	91,8	87,4	82,3	77,2	72,2
2JT8DH	LAmix	A	3000,0	88,6	83,0	76,9	71,2	62,7	54,1	48,0	41,2	33,4	25,2
2JT8DH	LAmix	A	6000,0	93,9	88,7	84,5	79,9	72,5	64,0	57,8	50,8	42,9	34,3
2JT8DH	LAmix	D	8000,0	101,1	94,5	90,0	85,2	77,5	68,8	62,5	55,4	47,3	38,7
2JT8DH	LAmix	D	10000,0	103,5	96,9	92,5	87,7	79,9	71,2	64,8	57,6	49,6	41,2
2JT8DH	LAmix	D	12000,0	108,0	101,4	97,0	92,2	84,5	75,8	69,4	62,4	54,4	45,9
2JT8DH	LAmix	D	14000,0	110,7	104,2	99,8	95,1	87,5	79,0	72,8	65,9	58,2	50,0
2JT8DH	SEL	A	3000,0	92,6	88,5	85,0	81,2	75,5	69,0	64,1	58,5	51,9	44,9
2JT8DH	SEL	A	6000,0	97,9	93,6	90,8	87,9	83,0	76,7	71,7	65,9	59,2	51,8
2JT8DH	SEL	D	8000,0	99,5	95,8	93,2	90,3	85,4	79,0	73,8	67,9	61,1	53,6
2JT8DH	SEL	D	10000,0	103,6	99,9	97,3	94,4	89,5	83,0	77,8	71,8	65,0	57,7
2JT8DH	SEL	D	12000,0	107,2	103,5	100,9	98,0	93,1	86,7	81,5	75,6	68,9	61,5
2JT8DH	SEL	D	14000,0	110,8	107,2	104,6	101,8	97,0	90,6	85,6	79,9	73,4	66,4
2JT8DL	LAmix	A	3000,0	92,7	85,7	80,8	75,8	67,8	59,0	52,6	45,4	37,2	28,7
2JT8DL	LAmix	A	6000,0	96,7	89,9	85,3	80,4	72,4	63,6	57,2	50,0	41,8	33,2
2JT8DL	LAmix	D	8000,0	102,0	95,2	90,7	85,8	77,8	69,0	62,6	55,5	47,3	38,7
2JT8DL	LAmix	D	10000,0	105,7	98,5	93,9	89,0	81,0	72,2	65,8	58,6	50,6	42,0
2JT8DL	LAmix	D	12000,0	109,3	102,5	98,0	93,2	85,3	76,5	70,0	62,9	54,9	46,4
2JT8DL	LAmix	D	14000,0	112,5	105,8	101,3	96,4	88,5	79,5	72,9	65,7	57,6	49,1
2JT8DL	SEL	A	3000,0	94,7	90,2	87,0	83,7	78,4	71,7	66,5	60,4	53,5	46,1
2JT8DL	SEL	A	6000,0	97,9	94,0	91,2	88,2	83,0	76,5	71,2	65,2	58,3	50,8
2JT8DL	SEL	D	8000,0	101,2	97,3	94,5	91,5	86,3	79,7	74,5	68,5	61,6	54,1
2JT8DL	SEL	D	10000,0	104,6	101,3	98,4	95,3	90,1	83,6	78,3	72,4	65,5	58,1
2JT8DL	SEL	D	12000,0	108,1	104,7	101,9	99,0	94,0	87,4	82,1	76,2	69,4	62,1
2JT8DL	SEL	D	14000,0	111,7	108,0	105,3	102,4	97,3	90,6	85,3	79,2	72,3	65,0



ThoriumSoftware d.o.o.

Mobile: +385 (0) 95 8 70 50 70
 Kontakt: Dario Ilija Rendulić
 Email:
[info@thoriumsoftware.eu;](mailto:info@thoriumsoftware.eu)
direndulic@gmail.com

2JT8DN	LAmx	A	3000,0	90,6	84,2	79,7	74,9	67,3	59,2	53,6	47,7	41,5	35,4
2JT8DN	LAmx	A	5000,0	95,8	89,3	84,8	80,0	72,4	64,3	58,8	52,9	46,6	40,5
2JT8DN	LAmx	D	6000,0	96,8	90,8	86,5	81,8	74,1	65,8	59,9	53,7	47,0	40,4
2JT8DN	LAmx	D	8000,0	101,2	95,2	90,9	86,1	78,5	70,2	64,4	58,2	51,6	45,0
2JT8DN	LAmx	D	10000,0	105,1	99,1	94,7	90,0	82,3	73,8	67,9	61,6	54,8	48,0
2JT8DN	LAmx	D	12000,0	108,5	102,5	98,1	93,3	85,5	77,0	71,0	64,6	57,8	51,0
2JT8DN	LAmx	D	14000,0	111,4	105,4	101,0	96,3	88,5	80,1	74,1	67,8	60,9	54,2
2JT8DN	LAmx	D	16000,0	113,8	107,8	103,4	98,7	90,9	82,5	76,5	70,1	63,3	56,6
2JT8DN	SEL	A	3000,0	94,0	90,4	87,5	84,2	78,4	71,7	66,7	61,3	55,3	49,3
2JT8DN	SEL	A	5000,0	98,5	94,9	92,1	88,8	83,0	76,3	71,4	66,0	60,0	53,9
2JT8DN	SEL	D	6000,0	98,6	94,8	92,0	88,8	83,4	77,4	73,0	68,3	63,1	57,9
2JT8DN	SEL	D	8000,0	102,7	99,0	96,1	92,9	87,6	81,5	77,2	72,5	67,4	62,3
2JT8DN	SEL	D	10000,0	106,6	102,9	100,0	96,8	91,3	85,1	80,7	75,9	70,6	65,3
2JT8DN	SEL	D	12000,0	110,2	106,4	103,5	100,2	94,7	88,4	83,9	79,0	73,7	68,3
2JT8DN	SEL	D	14000,0	113,1	109,5	106,7	103,5	98,0	91,8	87,3	82,4	77,0	71,6
2JT8DN	SEL	D	16000,0	115,9	112,3	109,5	106,3	100,8	94,6	90,1	85,2	79,8	74,4
2JT8DQ	LAmx	A	3000,0	94,9	88,2	83,6	78,6	70,8	62,3	56,1	49,2	41,3	32,8
2JT8DQ	LAmx	A	6000,0	99,1	92,4	87,8	82,8	75,0	66,5	60,3	53,4	45,5	37,0
2JT8DQ	LAmx	D	8000,0	104,1	97,4	92,7	87,8	80,0	71,6	65,5	58,6	50,9	42,6
2JT8DQ	LAmx	D	10000,0	109,2	102,5	98,4	92,8	85,2	76,8	70,8	64,1	56,5	48,5
2JT8DQ	LAmx	D	12000,0	114,6	107,9	103,3	98,2	90,5	82,3	76,4	69,7	62,4	54,6
2JT8DQ	LAmx	D	14000,0	120,1	113,4	108,8	104,0	96,1	87,9	82,1	75,6	68,4	60,9
2JT8DQ	SEL	A	3000,0	94,6	90,8	87,9	84,8	79,8	73,4	69,0	63,6	57,2	50,2
2JT8DQ	SEL	A	6000,0	99,8	96,0	93,1	90,0	85,0	78,9	74,2	68,8	62,4	55,4
2JT8DQ	SEL	D	8000,0	104,3	100,6	97,7	94,7	89,7	83,7	79,1	73,8	67,6	60,8
2JT8DQ	SEL	D	10000,0	109,0	105,2	102,5	99,5	94,6	88,6	84,1	79,0	72,9	66,3
2JT8DQ	SEL	D	12000,0	113,8	110,1	107,4	104,5	99,6	93,8	89,3	84,2	78,4	72,1

2JT8DQ	SEL	D	14000,0	119,1	115,4	112,8	110,0	105,1	99,4	95,0	90,1	84,4	78,4
2JT8DW	LAmox	A	3000,0	102,6	94,6	88,6	82,3	73,8	64,5	58,0	51,0	42,8	34,4
2JT8DW	LAmox	A	6000,0	105,4	97,9	91,5	85,8	77,2	68,5	61,9	55,1	47,1	38,5
2JT8DW	LAmox	D	8000,0	108,6	100,7	95,6	89,9	81,8	73,2	66,5	59,9	52,0	43,8
2JT8DW	LAmox	D	10000,0	111,6	104,3	99,5	94,6	86,3	77,7	71,8	64,9	57,2	48,9
2JT8DW	LAmox	D	12000,0	115,9	108,9	104,3	99,4	91,1	82,8	76,8	70,1	62,8	54,6
2JT8DW	LAmox	D	14000,0	120,8	113,4	109,4	104,5	96,4	88,2	82,3	75,8	68,6	60,9
2JT8DW	SEL	A	3000,0	102,3	97,2	92,9	88,5	82,8	75,6	70,9	65,4	58,8	51,8
2JT8DW	SEL	A	6000,0	106,1	100,5	96,7	93,0	87,2	80,9	76,1	70,7	64,1	56,9
2JT8DW	SEL	D	8000,0	108,8	103,9	100,5	96,8	91,5	85,7	80,5	75,1	68,9	62,0
2JT8DW	SEL	D	10000,0	111,4	107,2	104,3	101,1	95,7	89,5	85,0	79,8	73,5	66,7
2JT8DW	SEL	D	12000,0	115,1	111,1	108,4	105,5	100,2	94,3	89,9	85,0	78,8	72,1
2JT8DW	SEL	D	14000,0	119,8	115,9	113,3	110,5	105,4	99,7	95,3	90,3	84,5	78,4
2JT8QW	LAmox	A	3000,0	94,9	88,2	83,6	78,6	70,8	62,3	56,1	49,2	41,3	32,8
2JT8QW	LAmox	A	6000,0	99,1	92,4	87,8	82,8	75,0	66,5	60,3	53,4	45,5	37,0
2JT8QW	LAmox	D	8000,0	104,1	97,4	92,7	87,8	80,0	71,6	65,5	58,6	50,9	42,6
2JT8QW	LAmox	D	10000,0	109,2	102,5	98,4	92,8	85,2	76,8	70,8	64,1	56,5	48,5
2JT8QW	LAmox	D	12000,0	114,6	107,9	103,3	98,2	90,5	82,3	76,4	69,7	62,4	54,6
2JT8QW	LAmox	D	14000,0	120,1	113,4	108,8	104,0	96,1	87,9	82,1	75,6	68,4	60,9
2JT8QW	SEL	A	3000,0	94,6	90,8	87,9	84,8	79,8	73,4	69,0	63,6	57,2	50,2
2JT8QW	SEL	A	6000,0	99,8	96,0	93,1	90,0	85,0	78,9	74,2	68,8	62,4	55,4
2JT8QW	SEL	D	8000,0	104,3	100,6	97,7	94,7	89,7	83,7	79,1	73,8	67,6	60,8
2JT8QW	SEL	D	10000,0	109,0	105,2	102,5	99,5	94,6	88,6	84,1	79,0	72,9	66,3
2JT8QW	SEL	D	12000,0	113,8	110,1	107,4	104,5	99,6	93,8	89,3	84,2	78,4	72,1
2JT8QW	SEL	D	14000,0	119,1	115,4	112,8	110,0	105,1	99,4	95,0	90,1	84,4	78,4
2PW535	LAmox	A	500,0	89,5	81,8	76,3	70,3	60,6	50,0	42,6	34,6	26,2	17,7
2PW535	LAmox	A	700,0	89,6	82,2	76,9	71,1	61,6	51,2	43,9	36,1	28,7	19,5



ThoriumSoftware d.o.o.

Mobile: +385 (0) 95 8 70 50 70
 Kontakt: Dario Ilija Rendulić
 Email:
[info@thoriumsoftware.eu;](mailto:info@thoriumsoftware.eu)
direndulic@gmail.com

2PW535	LAmox	D	1200,0	96,1	87,5	81,6	75,4	65,6	55,3	48,3	40,9	33,2	25,6
2PW535	LAmox	D	1600,0	99,2	89,9	83,7	77,2	67,2	57,0	50,2	43,1	35,8	28,8
2PW535	LAmox	D	2000,0	100,7	92,2	86,4	80,3	70,9	61,1	54,4	47,4	40,2	33,1
2PW535	LAmox	D	3000,0	103,5	96,4	91,5	86,1	77,3	67,9	61,3	54,3	46,8	39,4
2PW535	SEL	A	500,0	89,4	84,8	81,3	77,4	70,8	63,2	57,8	51,9	45,6	39,1
2PW535	SEL	A	700,0	89,3	85,1	81,8	78,1	71,7	64,5	59,3	53,5	47,3	41,0
2PW535	SEL	D	1200,0	90,8	87,1	84,1	80,7	74,7	67,8	62,8	57,2	51,1	44,9
2PW535	SEL	D	1600,0	92,6	89,0	86,2	82,9	77,2	70,6	65,8	60,5	54,7	48,8
2PW535	SEL	D	2000,0	96,0	92,3	89,4	86,1	80,4	73,9	69,2	64,0	58,3	52,6
2PW535	SEL	D	3000,0	102,3	98,9	96,2	93,1	87,7	81,5	77,0	72,0	66,6	61,1
2R2800	LAmox	A	30,0	92,6	86,1	81,7	77,0	69,5	61,3	55,5	49,6	43,4	36,6
2R2800	LAmox	A	100,0	103,5	97,2	92,9	88,4	81,3	73,6	68,0	61,9	55,3	47,9
2R2800	LAmox	D	30,0	92,6	86,1	81,7	77,0	69,5	61,3	55,5	49,6	43,4	36,6
2R2800	LAmox	D	100,0	103,5	97,2	92,9	88,4	81,3	73,6	68,0	61,9	55,3	47,9
2R2800	SEL	A	30,0	96,9	92,7	89,7	86,5	81,3	75,3	71,0	66,6	61,9	56,6
2R2800	SEL	A	100,0	107,5	103,0	99,9	96,6	91,3	85,4	81,0	76,2	70,7	64,5
2R2800	SEL	D	30,0	96,9	92,7	89,7	86,5	81,3	75,3	71,0	66,6	61,9	56,6
2R2800	SEL	D	100,0	107,5	103,0	99,9	96,6	91,3	85,4	81,0	76,2	70,7	64,5
3JT8D	LAmox	A	3000,0	104,6	96,6	90,6	84,3	75,8	66,5	60,0	53,0	44,8	36,4
3JT8D	LAmox	A	6000,0	107,4	98,9	93,5	87,8	79,2	70,5	63,9	57,1	49,1	40,5
3JT8D	LAmox	D	8000,0	110,6	102,7	97,6	91,9	83,8	75,2	68,5	61,9	54,0	45,8
3JT8D	LAmox	D	10000,0	113,6	106,3	101,5	96,6	88,3	79,7	73,8	66,9	59,2	50,9
3JT8D	LAmox	D	12000,0	117,9	110,9	106,3	101,4	93,1	84,8	78,8	72,1	64,8	56,6
3JT8D	LAmox	D	14000,0	122,8	115,4	111,4	106,5	98,4	90,2	84,3	77,8	70,6	62,8
3JT8D	SEL	A	3000,0	104,3	99,2	94,9	90,5	84,8	77,6	72,9	67,4	60,8	53,8
3JT8D	SEL	A	6000,0	108,1	102,5	98,7	95,0	89,2	82,9	78,1	72,7	66,1	58,9
3JT8D	SEL	D	8000,0	110,8	105,9	102,5	98,8	93,5	87,7	82,5	77,1	70,9	64,0



ThoriumSoftware d.o.o.

Mobile: +385 (0) 95 8 70 50 70
 Kontakt: Dario Ilija Rendulić
 Email:
[info@thoriumsoftware.eu;](mailto:info@thoriumsoftware.eu)
direndulic@gmail.com

3JT8D	SEL	D	10000,0	113,4	109,2	106,3	103,1	97,7	91,5	87,0	81,8	75,5	68,7
3JT8D	SEL	D	12000,0	117,1	113,1	110,4	107,5	102,2	96,3	91,9	87,0	80,8	74,1
3JT8D	SEL	D	14000,0	121,8	117,9	115,3	112,5	107,4	101,7	97,3	92,3	86,5	80,4
3JT8DQ	LAmix	A	3000,0	96,9	90,2	85,6	80,6	72,8	64,3	58,1	51,2	43,3	34,8
3JT8DQ	LAmix	A	6000,0	101,1	94,4	89,8	84,8	77,0	68,5	62,3	55,4	47,5	39,0
3JT8DQ	LAmix	D	8000,0	106,1	99,4	94,8	89,8	82,0	73,6	67,5	60,6	52,9	44,6
3JT8DQ	LAmix	D	10000,0	111,2	104,5	99,9	95,0	87,2	78,8	72,8	66,1	58,5	50,5
3JT8DQ	LAmix	D	12000,0	116,6	109,9	105,3	100,4	92,5	84,3	78,4	71,7	64,4	56,6
3JT8DQ	LAmix	D	14000,0	122,1	115,4	110,8	106,0	98,1	89,9	84,1	77,6	70,4	62,9
3JT8DQ	SEL	A	3000,0	96,6	92,8	89,8	86,8	81,8	75,4	71,0	65,6	59,2	52,2
3JT8DQ	SEL	A	6000,0	101,8	98,0	95,1	92,0	87,0	80,9	76,2	70,8	64,4	57,4
3JT8DQ	SEL	D	8000,0	106,3	102,6	99,7	96,7	91,7	85,7	81,1	75,8	69,6	62,8
3JT8DQ	SEL	D	10000,0	111,0	107,2	104,5	101,5	96,6	90,6	86,1	81,0	74,9	68,3
3JT8DQ	SEL	D	12000,0	115,8	112,1	109,4	106,5	101,6	95,8	91,3	86,2	80,4	74,1
3JT8DQ	SEL	D	14000,0	121,1	117,4	114,8	112,0	107,1	101,4	97,0	92,1	86,4	80,4
3JT8E5	LAmix	A	3000,0	96,4	89,3	84,5	79,3	71,3	62,6	56,1	49,0	41,0	32,0
3JT8E5	LAmix	A	5000,0	98,0	91,3	86,7	81,8	74,0	65,4	59,1	52,2	44,3	35,6
3JT8E5	LAmix	D	7000,0	104,7	97,8	93,0	87,8	79,5	70,3	63,4	55,8	47,3	38,0
3JT8E5	LAmix	D	10000,0	109,2	102,3	97,5	92,4	84,2	75,1	68,4	61,3	53,3	44,7
3JT8E5	LAmix	D	12000,0	112,1	105,3	100,6	95,6	87,7	79,3	73,2	66,7	59,5	51,5
3JT8E5	LAmix	D	14000,0	115,5	108,7	104,1	99,1	91,4	83,1	77,1	70,9	63,9	56,2
3JT8E5	SEL	A	3000,0	98,2	93,4	90,1	86,5	80,8	74,4	69,5	63,9	57,5	50,0
3JT8E5	SEL	A	5000,0	99,8	95,4	92,3	89,0	83,5	77,2	72,5	67,1	60,8	53,6
3JT8E5	SEL	D	7000,0	106,5	101,9	98,6	95,0	89,0	82,1	76,8	70,7	63,8	56,0
3JT8E5	SEL	D	10000,0	111,0	106,4	103,1	99,6	93,7	86,9	81,8	76,2	69,8	62,7
3JT8E5	SEL	D	12000,0	113,9	109,4	106,2	102,8	97,2	91,1	86,6	81,6	76,0	69,5
3JT8E5	SEL	D	14000,0	117,3	112,8	109,7	106,3	100,9	94,9	90,5	85,8	80,4	74,2



ThoriumSoftware d.o.o.

Mobile: +385 (0) 95 8 70 50 70
 Kontakt: Dario Ilija Rendulić
 Email:
[info@thoriumsoftware.eu;](mailto:info@thoriumsoftware.eu)
direndulic@gmail.com

3JT8E7	LAmox	A	3000,0	95,1	88,3	84,0	78,3	70,1	61,1	54,4	47,2	39,2	30,4
3JT8E7	LAmox	A	5000,0	98,1	91,3	86,5	81,3	73,1	64,1	57,4	50,2	42,2	33,4
3JT8E7	LAmox	D	7000,0	103,9	97,0	92,2	87,0	78,7	69,5	62,6	55,0	46,5	37,2
3JT8E7	LAmox	D	10000,0	109,1	102,2	97,4	92,2	83,9	74,7	68,0	60,8	52,9	44,0
3JT8E7	LAmox	D	12000,0	111,9	105,2	100,4	95,4	87,4	78,6	72,1	65,1	57,0	47,9
3JT8E7	LAmox	D	14000,0	114,6	107,9	103,2	98,2	90,3	81,7	75,2	68,3	60,5	51,7
3JT8E7	SEL	A	3000,0	96,9	92,4	89,6	85,5	79,6	72,9	67,8	62,1	55,7	48,4
3JT8E7	SEL	A	5000,0	99,9	95,4	92,1	88,5	82,6	75,9	70,8	65,1	58,7	51,4
3JT8E7	SEL	D	7000,0	105,7	101,1	97,8	94,2	88,2	81,3	76,0	69,9	63,0	55,2
3JT8E7	SEL	D	10000,0	110,9	106,3	103,0	99,4	93,4	86,5	81,4	75,7	69,4	62,0
3JT8E7	SEL	D	12000,0	113,7	109,3	106,0	102,6	96,9	90,4	85,5	80,0	73,5	65,9
3JT8E7	SEL	D	14000,0	116,4	112,0	108,8	105,4	99,8	93,5	88,6	83,2	77,0	69,7
4R2800	LAmox	A	30,0	95,6	89,1	84,7	80,0	72,5	64,3	58,5	52,6	46,4	39,6
4R2800	LAmox	A	100,0	106,5	100,2	95,9	91,4	84,3	76,6	71,0	64,9	58,3	50,9
4R2800	LAmox	D	30,0	95,6	89,1	84,7	80,0	72,5	64,3	58,5	52,6	46,4	39,6
4R2800	LAmox	D	100,0	106,5	100,2	95,9	91,4	84,3	76,6	71,0	64,9	58,3	50,9
4R2800	SEL	A	30,0	99,9	95,7	92,7	89,5	84,3	78,3	74,0	69,6	64,9	59,6
4R2800	SEL	A	100,0	110,5	106,0	102,9	99,6	94,3	88,4	84,0	79,2	73,7	67,5
4R2800	SEL	D	30,0	99,9	95,7	92,7	89,5	84,3	78,3	74,0	69,6	64,9	59,6
4R2800	SEL	D	100,0	110,5	106,0	102,9	99,6	94,3	88,4	84,0	79,2	73,7	67,5
501D13	LAmox	A	30,0	93,0	86,4	81,8	76,9	68,9	59,4	52,0	44,0	36,2	28,6
501D13	LAmox	A	100,0	96,8	90,3	85,9	81,3	74,3	67,0	62,1	57,0	51,5	45,4
501D13	LAmox	D	30,0	93,0	86,4	81,8	76,9	68,9	59,4	52,0	44,0	36,2	28,6
501D13	LAmox	D	100,0	96,8	90,3	85,9	81,3	74,3	67,0	62,1	57,0	51,5	45,4
501D13	SEL	A	30,0	95,0	90,7	87,6	84,2	78,4	71,2	65,3	58,8	52,5	46,4
501D13	SEL	A	100,0	97,1	92,8	89,9	86,8	82,0	77,0	73,6	69,9	66,0	61,4
501D13	SEL	D	30,0	95,0	90,7	87,6	84,2	78,4	71,2	65,3	58,8	52,5	46,4

501D13	SEL	D	100,0	97,1	92,8	89,9	86,8	82,0	77,0	73,6	69,9	66,0	61,4
A310	LAmox	A	3000,0	92,2	86,2	81,7	77,0	69,2	60,4	54,0	47,1	39,4	31,4
A310	LAmox	A	12000,0	95,5	89,4	84,4	79,2	70,8	61,9	55,6	48,6	40,8	32,6
A310	LAmox	D	20000,0	101,6	93,8	88,6	82,7	73,0	63,1	56,1	48,3	40,1	31,8
A310	LAmox	D	30000,0	103,4	95,3	89,9	84,2	75,4	66,1	59,6	52,5	44,5	36,1
A310	LAmox	D	40000,0	104,4	96,9	91,9	86,6	78,3	69,2	62,7	55,7	48,0	39,7
A310	LAmox	D	50000,0	108,8	101,6	96,7	91,5	83,0	73,7	67,7	61,0	53,3	44,8
A310	SEL	A	3000,0	97,5	93,3	90,1	87,0	81,6	75,7	71,2	66,4	60,0	51,9
A310	SEL	A	12000,0	98,9	94,5	91,3	88,0	82,6	76,4	71,8	66,4	60,5	52,3
A310	SEL	D	20000,0	102,7	98,3	94,5	90,5	83,8	76,5	71,6	66,1	59,5	52,7
A310	SEL	D	30000,0	103,7	99,2	95,8	92,3	86,7	80,4	75,8	70,4	64,3	57,6
A310	SEL	D	40000,0	104,5	100,4	97,6	94,4	89,2	83,4	79,0	73,9	68,0	61,4
A310	SEL	D	50000,0	108,0	103,9	101,2	98,2	93,3	87,8	83,6	78,6	72,9	66,4
AE3007	LAmox	A	2000,0	85,5	78,7	74,2	69,3	61,5	52,7	46,4	39,3	31,2	22,7
AE3007	LAmox	A	3000,0	90,4	83,5	78,7	73,5	65,5	56,8	50,6	43,6	35,4	26,9
AE3007	LAmox	D	4000,0	90,8	84,3	79,8	75,1	67,5	58,9	52,6	45,5	37,4	28,6
AE3007	LAmox	D	5000,0	93,0	86,6	82,1	77,4	69,8	61,2	54,9	47,8	39,8	31,3
AE3007	LAmox	D	6000,0	96,0	89,5	85,0	80,3	72,6	64,0	57,7	50,6	42,5	34,0
AE3007	SEL	A	2000,0	89,8	85,6	82,7	79,5	74,1	67,8	63,2	57,7	51,4	44,3
AE3007	SEL	A	3000,0	92,7	88,6	85,6	82,3	77,0	70,9	66,3	61,0	54,8	47,9
AE3007	SEL	D	4000,0	91,7	88,1	85,4	82,5	77,7	72,0	67,6	62,4	56,1	49,1
AE3007	SEL	D	5000,0	93,6	90,0	87,4	84,6	79,8	74,2	69,9	64,8	58,7	51,9
AE3007	SEL	D	6000,0	96,7	93,0	90,3	87,5	82,8	77,2	72,8	67,7	61,6	54,9
AE300C	LAmox	A	1100,0	88,6	80,4	74,8	69,0	59,9	50,4	44,0	37,0	30,4	23,6
AE300C	LAmox	A	1400,0	88,6	80,4	74,8	69,0	59,9	50,4	44,0	37,0	30,4	23,6
AE300C	LAmox	A	1900,0	88,6	80,7	75,3	69,5	60,6	51,3	44,9	38,1	31,3	24,5
AE300C	LAmox	D	3500,0	90,6	83,5	78,4	73,1	64,4	55,2	48,7	42,0	34,7	27,5



ThoriumSoftware d.o.o.

Mobile: +385 (0) 95 8 70 50 70
 Kontakt: Dario Ilija Rendulić
 Email:
[info@thoriumsoftware.eu;](mailto:info@thoriumsoftware.eu)
direndulic@gmail.com

AE300C	LAmox	D	4500,0	92,7	85,7	80,7	75,5	67,1	58,1	51,9	45,2	38,3	31,4
AE300C	LAmox	D	5500,0	94,7	88,0	83,3	78,2	69,9	60,9	54,7	47,9	40,9	33,9
AE300C	SEL	A	1100,0	91,1	86,1	82,6	78,7	72,5	65,8	61,1	56,0	50,8	45,5
AE300C	SEL	A	1400,0	91,1	86,1	82,6	78,7	72,5	65,8	61,1	56,0	50,8	45,5
AE300C	SEL	A	1900,0	92,5	87,1	83,3	79,4	73,1	66,4	61,8	56,7	51,8	46,8
AE300C	SEL	D	3500,0	92,9	88,2	84,7	80,8	74,4	67,2	62,1	56,7	50,6	44,6
AE300C	SEL	D	4500,0	95,2	90,4	87,0	83,2	77,1	70,4	65,7	60,6	55,2	49,8
AE300C	SEL	D	5500,0	96,6	92,4	89,3	85,7	79,7	72,9	68,0	62,7	57,0	51,2
AL502L	LAmox	A	1900,0	88,4	81,5	76,6	71,3	62,7	53,2	46,4	39,1	31,4	23,2
AL502L	LAmox	A	5000,0	98,0	91,5	86,9	82,2	74,4	65,8	59,4	52,6	45,1	36,8
AL502L	LAmox	D	1900,0	88,4	81,5	76,6	71,3	62,7	53,2	46,4	39,1	31,4	23,2
AL502L	LAmox	D	5000,0	98,0	91,5	86,9	82,2	74,4	65,8	59,4	52,6	45,1	36,8
AL502L	SEL	A	1900,0	90,2	85,5	82,1	78,3	72,0	64,7	59,4	53,6	47,4	40,7
AL502L	SEL	A	5000,0	101,1	96,8	93,8	90,5	85,0	78,6	73,8	68,4	62,5	55,6
AL502L	SEL	D	1900,0	90,2	85,5	82,1	78,3	72,0	64,7	59,4	53,6	47,4	40,7
AL502L	SEL	D	5000,0	101,1	96,8	93,8	90,5	85,0	78,6	73,8	68,4	62,5	55,6
AL502R	LAmox	A	1600,0	91,2	84,5	79,7	74,5	66,3	57,0	50,1	42,3	33,7	25,0
AL502R	LAmox	A	5200,0	101,6	94,8	89,8	84,6	76,3	67,5	61,2	54,3	47,0	39,7
AL502R	LAmox	D	1600,0	91,2	84,5	79,7	74,5	66,3	57,0	50,1	42,3	33,7	25,0
AL502R	LAmox	D	5200,0	101,6	94,8	89,8	84,6	76,3	67,5	61,2	54,3	47,0	39,7
AL502R	SEL	A	1600,0	92,9	89,0	86,0	82,7	77,3	70,4	65,0	58,7	51,6	44,3
AL502R	SEL	A	5200,0	102,3	98,4	95,4	92,1	86,8	80,4	75,6	70,3	64,4	58,7
AL502R	SEL	D	1600,0	92,9	89,0	86,0	82,7	77,3	70,4	65,0	58,7	51,6	44,3
AL502R	SEL	D	5200,0	102,3	98,4	95,4	92,1	86,8	80,4	75,6	70,3	64,4	58,7
BR710	LAmox	A	1830,0	87,7	80,6	75,8	70,7	62,6	54,0	47,8	41,1	33,7	26,0
BR710	LAmox	A	2000,0	87,9	80,7	75,9	70,7	62,7	54,0	47,9	41,2	33,7	25,9
BR710	LAmox	A	3000,0	88,9	81,7	76,7	71,5	63,4	54,8	48,6	41,7	34,1	26,1



ThoriumSoftware d.o.o.

Mobile: +385 (0) 95 8 70 50 70
 Kontakt: Dario Ilija Rendulić
 Email:
[info@thoriumsoftware.eu;](mailto:info@thoriumsoftware.eu)
direndulic@gmail.com

BR710	LAmox	A	4000,0	90,1	82,9	77,9	72,7	64,6	55,9	49,7	42,8	35,1	27,1
BR710	LAmox	A	5000,0	92,5	85,3	80,4	75,0	66,6	57,6	51,1	44,0	35,9	27,5
BR710	LAmox	A	6000,0	94,7	87,7	82,7	77,3	68,8	59,8	53,3	46,0	37,9	29,3
BR710	LAmox	A	7000,0	96,7	89,7	84,7	79,3	70,9	61,8	55,2	47,9	39,7	31,1
BR710	LAmox	A	8000,0	98,4	91,5	86,5	81,1	72,7	63,6	57,1	49,8	41,6	32,9
BR710	LAmox	A	9000,0	99,9	93,0	88,0	82,7	74,4	65,3	58,8	51,5	43,3	34,7
BR710	LAmox	A	10000,0	101,0	94,1	89,3	84,0	75,8	66,8	60,4	53,2	45,0	36,5
BR710	LAmox	A	11000,0	101,6	95,0	90,2	85,1	77,0	68,2	61,8	54,7	46,7	38,3
BR710	LAmox	A	12000,0	102,6	95,6	90,9	85,9	78,0	69,3	63,1	56,1	48,3	40,1
BR710	LAmox	A	12900,0	102,9	95,9	91,3	86,4	78,7	70,3	64,1	57,3	49,7	41,7
BR710	LAmox	D	4000,0	90,0	82,7	77,7	72,5	64,1	55,2	48,9	41,8	33,9	25,7
BR710	LAmox	D	5000,0	92,5	85,3	80,4	75,0	66,6	57,6	51,1	44,0	35,9	27,5
BR710	LAmox	D	6000,0	94,7	87,7	82,7	77,3	68,8	59,8	53,3	46,0	37,9	29,3
BR710	LAmox	D	7000,0	96,7	89,7	84,7	79,3	70,9	61,8	55,2	47,9	39,7	31,1
BR710	LAmox	D	8000,0	98,4	91,5	86,5	81,1	72,7	63,6	57,1	49,8	41,6	32,9
BR710	LAmox	D	9000,0	99,9	93,0	88,0	82,7	74,4	65,3	58,8	51,5	43,3	34,7
BR710	LAmox	D	10000,0	101,0	94,1	89,3	84,0	75,8	66,8	60,4	53,2	45,0	36,5
BR710	LAmox	D	11000,0	101,6	95,0	90,2	85,1	77,0	68,2	61,8	54,7	46,7	38,3
BR710	LAmox	D	12000,0	102,6	95,6	90,9	85,9	78,0	69,3	63,1	56,1	48,3	40,1
BR710	LAmox	D	12900,0	102,9	95,9	91,3	86,4	78,7	70,3	64,1	57,3	49,7	41,7
BR710	SEL	A	1830,0	90,3	85,8	82,8	79,6	74,3	68,3	63,8	58,7	53,0	46,8
BR710	SEL	A	2000,0	90,3	85,9	82,9	79,7	74,4	68,4	63,9	58,8	53,0	46,8
BR710	SEL	A	3000,0	91,0	86,6	83,6	80,3	75,0	69,1	64,6	59,5	53,6	47,2
BR710	SEL	A	4000,0	92,2	87,6	84,5	81,2	76,0	70,1	65,7	60,6	54,7	48,2
BR710	SEL	A	5000,0	92,7	88,5	85,6	82,3	76,9	70,8	66,3	61,1	54,9	48,1
BR710	SEL	A	6000,0	94,7	90,5	87,6	84,2	78,8	72,7	68,1	62,9	56,7	49,9
BR710	SEL	A	7000,0	96,5	92,4	89,4	86,1	80,6	74,5	69,9	64,7	58,5	51,7



ThoriumSoftware d.o.o.

Mobile: +385 (0) 95 8 70 50 70
 Kontakt: Dario Ilija Rendulić
 Email:
[info@thoriumsoftware.eu;](mailto:info@thoriumsoftware.eu)
direndulic@gmail.com

BR710	SEL	A	8000,0	98,1	94,1	91,1	87,8	82,3	76,2	71,7	66,4	60,3	53,5
BR710	SEL	A	9000,0	99,6	95,6	92,6	89,4	83,9	77,9	73,4	68,1	62,0	55,3
BR710	SEL	A	10000,0	100,9	96,9	94,0	90,8	85,5	79,5	75,0	69,8	63,8	57,1
BR710	SEL	A	11000,0	102,1	98,1	95,3	92,2	86,9	81,0	76,6	71,5	65,5	58,9
BR710	SEL	A	12000,0	103,1	99,1	96,4	93,4	88,3	82,5	78,1	73,1	67,2	60,7
BR710	SEL	A	12900,0	103,8	99,9	97,3	94,4	89,5	83,8	79,5	74,5	68,7	62,3
BR710	SEL	D	4000,0	90,5	86,4	83,5	80,2	74,9	68,9	64,4	59,2	53,0	46,2
BR710	SEL	D	5000,0	92,7	88,5	85,6	82,3	76,9	70,8	66,3	61,1	54,9	48,1
BR710	SEL	D	6000,0	94,7	90,5	87,6	84,2	78,8	72,7	68,1	62,9	56,7	49,9
BR710	SEL	D	7000,0	96,5	92,4	89,4	86,1	80,6	74,5	69,9	64,7	58,5	51,7
BR710	SEL	D	8000,0	98,1	94,1	91,1	87,8	82,3	76,2	71,7	66,4	60,3	53,5
BR710	SEL	D	9000,0	99,6	95,6	92,6	89,4	83,9	77,9	73,4	68,1	62,0	55,3
BR710	SEL	D	10000,0	100,9	96,9	94,0	90,8	85,5	79,5	75,0	69,8	63,8	57,1
BR710	SEL	D	11000,0	102,1	98,1	95,3	92,2	86,9	81,0	76,6	71,5	65,5	58,9
BR710	SEL	D	12000,0	103,1	99,1	96,4	93,4	88,3	82,5	78,1	73,1	67,2	60,7
BR710	SEL	D	12900,0	103,8	99,9	97,3	94,4	89,5	83,8	79,5	74,5	68,7	62,3
BR715	LAmox	A	4250,0	89,2	81,6	76,8	71,6	63,4	54,6	48,3	41,6	34,7	28,2
BR715	LAmox	A	5000,0	89,6	82,4	77,5	72,4	64,2	55,4	49,1	42,3	35,5	28,9
BR715	LAmox	A	5750,0	89,9	83,0	78,2	73,0	64,9	56,1	49,7	43,0	36,1	29,6
BR715	LAmox	A	9875,0	93,8	87,0	82,4	77,6	69,8	61,4	55,3	48,6	41,8	35,3
BR715	LAmox	D	11000,0	95,7	88,9	84,3	79,5	71,7	63,1	57,0	50,2	43,4	36,9
BR715	LAmox	D	13000,0	98,6	91,9	87,3	82,5	74,6	66,0	59,8	52,9	46,0	39,4
BR715	LAmox	D	15000,0	101,2	94,5	90,0	85,1	77,2	68,5	62,2	55,3	48,3	41,6
BR715	LAmox	D	17000,0	103,5	97,0	92,4	87,5	79,6	70,7	64,4	57,4	50,4	43,7
BR715	LAmox	D	19000,0	106,4	99,9	95,3	90,4	82,4	73,4	67,0	60,0	52,9	46,2
BR715	LAmox	D	19750,0	107,5	101,0	96,5	91,6	83,5	74,5	68,1	61,1	53,9	47,2
BR715	SEL	A	4250,0	91,9	87,1	84,1	80,7	75,2	69,0	64,4	59,4	54,2	49,4

BR715	SEL	A	5000,0	92,2	88,0	84,9	81,5	76,1	69,9	65,3	60,3	55,2	50,3
BR715	SEL	A	5750,0	92,5	88,6	85,6	82,2	76,8	70,6	66,0	61,0	55,9	51,1
BR715	SEL	A	9875,0	95,7	91,5	88,7	85,6	80,5	74,8	70,5	65,6	60,7	56,0
BR715	SEL	D	11000,0	97,3	93,1	90,3	87,2	82,1	76,4	72,1	67,2	62,3	57,6
BR715	SEL	D	13000,0	99,8	95,7	92,9	89,8	84,7	78,9	74,7	69,8	64,9	60,2
BR715	SEL	D	15000,0	102,1	98,0	95,2	92,1	87,0	81,2	77,0	72,1	67,2	62,5
BR715	SEL	D	17000,0	104,1	100,1	97,3	94,2	89,1	83,3	79,0	74,2	69,2	64,6
BR715	SEL	D	19000,0	106,6	102,7	99,8	96,7	91,6	85,8	81,5	76,7	71,8	67,2
BR715	SEL	D	19750,0	107,6	103,7	100,8	97,7	92,6	86,8	82,5	77,7	72,8	68,2
CF34	LAmox	A	2000,0	87,3	80,7	76,0	71,1	63,0	54,1	47,6	40,6	33,0	24,6
CF34	LAmox	A	3000,0	90,6	83,8	79,0	73,9	65,6	56,5	49,8	42,7	34,9	26,5
CF34	LAmox	D	4000,0	93,1	86,3	81,5	76,5	68,4	59,6	53,1	46,0	38,2	29,6
CF34	LAmox	D	5000,0	95,0	88,2	83,5	78,6	70,6	61,9	55,6	48,7	40,9	32,3
CF34	LAmox	D	6000,0	97,2	90,9	86,1	81,2	73,2	64,5	58,2	51,5	43,5	34,9
CF34	SEL	A	2000,0	90,9	86,7	83,3	79,9	74,1	67,4	62,4	56,9	50,7	43,9
CF34	SEL	A	3000,0	94,3	89,8	86,5	82,9	76,9	70,0	64,8	59,2	52,9	46,0
CF34	SEL	D	4000,0	96,3	91,8	88,5	85,0	79,1	72,5	67,5	61,9	55,6	48,6
CF34	SEL	D	5000,0	97,7	93,2	90,0	86,5	80,8	74,3	69,5	64,1	57,9	50,7
CF34	SEL	D	6000,0	99,7	95,2	92,0	88,5	82,8	76,3	71,5	66,1	59,9	52,7
CF3410E	LAmox	A	3000,0	90,1	83,6	79,1	74,4	66,9	58,6	52,6	45,7	37,9	29,5
CF3410E	LAmox	A	5000,0	91,9	85,3	80,7	75,9	68,3	59,9	53,9	47,2	39,6	31,4
CF3410E	LAmox	D	8000,0	94,9	88,5	84,0	79,3	71,9	63,7	57,7	51,0	43,3	34,8
CF3410E	LAmox	D	10000,0	97,6	91,1	86,6	81,9	74,3	66,0	60,2	53,4	45,6	37,1
CF3410E	LAmox	D	15000,0	103,3	96,8	92,3	87,5	79,8	71,3	65,1	58,3	50,4	42,0
CF3410E	SEL	A	3000,0	92,5	88,8	86,1	83,2	78,4	72,7	68,3	63,3	57,2	50,5
CF3410E	SEL	A	5000,0	93,9	90,1	87,4	84,4	79,5	73,9	69,6	64,7	58,9	52,4
CF3410E	SEL	D	8000,0	95,9	92,2	89,6	86,7	81,8	76,3	72,1	67,1	61,2	54,5



ThoriumSoftware d.o.o.

Mobile: +385 (0) 95 8 70 50 70
 Kontakt: Dario Ilija Rendulić
 Email:
[info@thoriumsoftware.eu;](mailto:info@thoriumsoftware.eu)
direndulic@gmail.com

CF3410E	SEL	D	10000,0	98,6	94,9	92,1	89,2	84,4	78,8	74,6	69,9	63,9	57,2
CF3410E	SEL	D	15000,0	103,8	100,2	97,5	94,6	89,8	84,1	79,9	74,9	69,1	62,6
CF348C5	LAmix	A	2500,0	89,7	83,1	78,6	73,8	66,2	57,6	51,3	44,1	36,0	27,3
CF348C5	LAmix	A	7250,0	91,3	84,7	80,2	75,4	67,6	58,9	52,6	45,5	37,6	29,2
CF348C5	LAmix	D	7250,0	94,5	87,9	83,5	78,7	71,0	62,3	56,0	48,8	40,5	31,7
CF348C5	LAmix	D	16250,0	103,6	97,1	92,6	87,9	80,2	71,6	65,3	58,3	50,3	42,0
CF348C5	SEL	A	2500,0	93,1	89,2	86,4	83,3	78,2	72,0	67,1	61,5	54,9	47,7
CF348C5	SEL	A	7250,0	95,2	91,0	88,1	85,0	79,8	73,6	68,8	63,2	56,8	49,9
CF348C5	SEL	D	7250,0	96,4	92,3	89,5	86,5	81,5	75,3	70,4	64,7	58,0	50,6
CF348C5	SEL	D	16250,0	104,7	100,9	98,2	95,3	90,4	84,4	79,6	74,0	67,6	60,7
CF348E	LAmix	A	3000,0	91,1	84,4	79,8	74,8	66,8	57,8	51,3	44,0	35,9	27,5
CF348E	LAmix	A	4000,0	92,0	85,3	80,7	75,8	67,8	59,0	52,5	45,5	37,6	29,6
CF348E	LAmix	D	7000,0	95,5	88,9	84,3	79,4	71,5	62,8	56,5	49,5	41,6	33,5
CF348E	LAmix	D	9000,0	99,3	92,7	88,2	83,4	75,5	66,8	60,6	53,7	46,0	38,0
CF348E	LAmix	D	11000,0	103,3	96,6	92,0	87,1	79,2	70,3	64,0	57,2	49,6	41,8
CF348E	SEL	A	3000,0	93,5	89,6	86,7	83,5	78,2	72,0	67,2	61,6	55,3	48,6
CF348E	SEL	A	4000,0	94,7	90,7	87,9	84,7	79,4	73,3	68,7	63,3	57,2	50,7
CF348E	SEL	D	7000,0	97,3	93,2	90,5	87,4	82,3	76,2	71,7	66,4	60,4	54,0
CF348E	SEL	D	9000,0	100,3	96,5	93,9	91,0	86,0	80,3	75,9	70,9	65,0	58,6
CF348E	SEL	D	11000,0	103,4	99,7	97,1	94,2	89,4	83,8	79,5	74,6	68,9	62,5
CF565C	LAmix	A	3000,0	93,3	86,6	82,1	77,3	69,7	61,5	55,6	48,9	41,5	33,6
CF565C	LAmix	A	5000,0	94,2	87,3	82,5	77,6	69,9	61,6	55,6	49,0	41,5	33,6
CF565C	LAmix	D	12500,0	98,9	89,4	82,8	76,4	67,3	57,8	51,3	44,2	36,3	27,7
CF565C	LAmix	D	20000,0	103,4	95,3	89,8	83,9	75,3	66,2	59,9	53,0	45,0	36,3
CF565C	LAmix	D	27500,0	106,9	99,4	94,4	89,3	81,0	71,9	65,4	58,3	50,2	41,5
CF565C	SEL	A	3000,0	98,7	92,8	89,9	86,8	81,7	76,0	71,7	66,6	60,8	54,3
CF565C	SEL	A	5000,0	99,0	93,3	90,1	86,9	81,9	76,1	71,8	66,7	60,9	54,3



ThoriumSoftware d.o.o.

Mobile: +385 (0) 95 8 70 50 70
 Kontakt: Dario Ilija Rendulić
 Email:
[info@thoriumsoftware.eu;](mailto:info@thoriumsoftware.eu)
direndulic@gmail.com

CF565C	SEL	D	12500,0	98,8	92,6	88,7	84,8	78,6	71,9	67,1	61,6	55,4	48,5
CF565C	SEL	D	20000,0	105,3	99,9	96,4	92,9	87,3	81,0	76,4	70,9	64,7	57,8
CF565C	SEL	D	27500,0	108,0	103,5	100,5	97,4	92,1	86,2	81,7	76,2	70,7	64,6
CF567B	LAmox	A	3000,0	93,0	85,9	81,1	76,1	68,0	59,2	52,5	45,6	37,5	29,3
CF567B	LAmox	A	4000,0	93,6	86,5	81,7	76,6	68,7	59,9	53,4	46,6	37,8	29,7
CF567B	LAmox	A	5000,0	94,1	87,0	82,2	77,2	69,2	60,5	54,1	47,4	39,0	31,1
CF567B	LAmox	A	6000,0	94,6	87,5	82,7	77,6	69,7	61,1	54,7	48,1	40,4	32,9
CF567B	LAmox	A	7000,0	95,0	87,9	83,0	78,0	70,1	61,5	55,2	48,7	41,8	34,5
CF567B	LAmox	D	10000,0	95,2	87,9	83,6	78,8	71,3	63,0	57,3	50,4	44,2	36,9
CF567B	LAmox	D	13000,0	98,1	91,0	86,7	82,0	74,5	66,3	60,7	53,9	46,9	39,6
CF567B	LAmox	D	16000,0	100,5	93,7	89,3	84,6	77,3	69,2	63,5	56,8	49,4	42,1
CF567B	LAmox	D	19000,0	102,7	96,0	91,7	87,1	79,7	71,7	66,1	59,5	52,2	44,9
CF567B	LAmox	D	23500,0	107,2	100,9	96,5	91,9	84,7	76,8	71,4	64,6	57,7	50,4
CF567B	SEL	A	3000,0	95,5	91,3	88,2	84,9	79,5	73,3	68,3	63,2	55,9	49,6
CF567B	SEL	A	4000,0	96,2	91,9	88,8	85,6	80,2	74,1	69,4	64,3	56,8	50,7
CF567B	SEL	A	5000,0	96,7	92,5	89,4	86,1	80,8	74,8	70,1	65,2	58,0	52,4
CF567B	SEL	A	6000,0	97,2	93,0	89,9	86,7	81,4	75,5	70,9	66,0	59,4	54,3
CF567B	SEL	A	7000,0	97,7	93,4	90,4	87,1	81,9	76,0	71,5	66,7	60,8	55,6
CF567B	SEL	D	10000,0	96,3	92,1	89,4	86,3	81,4	75,9	72,0	67,0	61,3	51,9
CF567B	SEL	D	13000,0	99,2	95,2	92,4	89,4	84,7	79,3	75,4	70,5	64,5	56,1
CF567B	SEL	D	16000,0	101,7	97,6	95,0	92,1	87,4	82,1	78,3	73,5	67,3	60,0
CF567B	SEL	D	19000,0	103,9	99,9	97,3	94,5	89,9	84,7	81,0	76,2	70,3	63,7
CF567B	SEL	D	23500,0	108,4	104,5	102,0	99,3	95,0	89,9	86,4	81,5	75,5	69,5
CF66D	LAmox	A	8000,0	99,2	92,0	86,6	81,0	72,1	63,0	56,5	49,1	40,8	32,5
CF66D	LAmox	A	14000,0	102,1	95,0	89,9	84,5	76,0	67,0	60,6	53,3	45,1	37,1
CF66D	LAmox	D	20000,0	104,5	97,6	92,7	87,5	79,3	70,4	64,1	56,9	48,9	41,0
CF66D	LAmox	D	28000,0	106,2	99,4	94,6	89,5	81,5	72,6	66,4	59,3	51,3	43,6



ThoriumSoftware d.o.o.

Mobile: +385 (0) 95 8 70 50 70
 Kontakt: Dario Ilija Rendulić
 Email:
[info@thoriumsoftware.eu;](mailto:info@thoriumsoftware.eu)
direndulic@gmail.com

CF66D	LAmox	D	36000,0	107,8	101,1	96,5	91,5	83,7	74,9	68,7	61,7	53,8	46,2
CF66D	SEL	A	8000,0	100,7	95,5	91,7	87,5	81,1	74,0	68,8	63,0	56,3	49,7
CF66D	SEL	A	14000,0	104,4	99,5	95,9	92,0	85,9	79,0	73,9	68,3	61,7	55,2
CF66D	SEL	D	20000,0	106,8	102,2	98,7	95,0	89,0	82,3	77,3	71,8	65,4	58,9
CF66D	SEL	D	28000,0	109,3	104,8	101,4	98,0	92,2	85,6	80,7	75,3	69,0	62,6
CF66D	SEL	D	36000,0	110,9	106,6	103,3	100,0	94,3	87,8	83,0	77,6	71,4	65,1
CF680C	LAmox	A	5500,0	94,4	87,4	82,8	78,0	70,4	61,9	55,7	48,8	40,9	31,7
CF680C	LAmox	A	7000,0	95,3	88,1	83,5	78,5	70,7	62,1	55,8	49,0	40,9	31,4
CF680C	LAmox	A	12000,0	95,9	88,8	84,1	79,1	71,3	62,7	56,4	49,6	41,7	32,5
CF680C	LAmox	A	15000,0	98,9	91,2	86,2	80,7	72,3	63,4	57,0	50,1	42,0	32,1
CF680C	LAmox	D	17000,0	101,6	93,6	87,8	81,4	71,6	62,2	55,8	48,8	40,6	30,5
CF680C	LAmox	D	21000,0	100,8	93,1	87,6	81,7	72,6	63,6	57,4	50,7	42,7	33,0
CF680C	LAmox	D	25000,0	100,6	93,1	87,8	82,3	73,8	65,0	59,0	52,4	44,7	35,2
CF680C	LAmox	D	33000,0	101,3	94,2	89,3	84,2	76,3	67,9	62,1	55,7	48,2	39,2
CF680C	LAmox	D	41000,0	103,1	96,3	91,5	86,7	79,1	70,9	65,1	58,9	51,5	42,6
CF680C	LAmox	D	54000,0	109,7	103,2	98,8	94,0	86,4	78,2	72,5	66,2	59,0	50,4
CF680C	SEL	A	5500,0	95,9	93,2	90,4	87,2	82,1	76,2	71,6	66,4	60,4	53,5
CF680C	SEL	A	7000,0	96,6	93,7	90,7	87,5	82,2	76,2	71,5	66,4	60,4	53,4
CF680C	SEL	A	12000,0	98,0	94,9	91,8	88,5	83,0	76,9	72,2	67,1	61,0	53,9
CF680C	SEL	A	15000,0	99,2	97,1	93,8	90,1	84,2	77,6	72,9	67,7	61,6	54,5
CF680C	SEL	D	17000,0	104,5	99,3	95,3	90,7	83,1	75,4	70,6	65,4	59,2	51,4
CF680C	SEL	D	21000,0	103,1	98,4	94,7	90,5	83,7	76,8	72,3	67,3	61,4	53,9
CF680C	SEL	D	25000,0	102,5	98,0	94,6	90,8	84,6	78,2	73,8	69,1	63,4	56,2
CF680C	SEL	D	33000,0	102,6	98,5	95,5	92,1	86,7	80,9	76,9	72,3	66,9	60,1
CF680C	SEL	D	41000,0	104,0	100,1	97,3	94,2	89,2	83,8	79,9	75,4	70,1	63,5
CF680C	SEL	D	54000,0	109,8	106,1	103,6	100,8	96,1	90,8	86,9	82,6	77,5	71,2
CF680E	LAmox	A	6000,0	93,8	86,6	82,0	77,2	69,6	61,4	55,4	48,7	41,1	33,0



ThoriumSoftware d.o.o.

Mobile: +385 (0) 95 8 70 50 70
 Kontakt: Dario Ilija Rendulić
 Email:
[info@thoriumsoftware.eu;](mailto:info@thoriumsoftware.eu)
direndulic@gmail.com

CF680E	LAmox	A	12000,0	96,7	89,2	84,3	79,1	71,0	62,4	56,2	49,2	41,6	33,5
CF680E	LAmox	D	34000,0	105,5	97,4	92,0	86,3	77,7	68,4	61,8	54,3	46,2	37,4
CF680E	LAmox	D	42000,0	106,0	98,2	93,2	88,0	79,8	70,7	64,2	56,9	48,8	40,1
CF680E	LAmox	D	52000,0	107,5	100,1	95,2	90,2	82,3	73,8	67,6	60,6	52,7	44,0
CF680E	LAmox	D	62000,0	111,7	104,4	99,6	94,5	86,6	78,4	72,4	65,6	57,6	48,8
CF680E	SEL	A	6000,0	99,1	93,5	90,3	87,1	81,9	76,1	71,7	66,6	60,3	53,7
CF680E	SEL	A	12000,0	100,0	94,8	91,5	88,2	82,8	76,9	72,3	67,1	60,8	54,2
CF680E	SEL	D	34000,0	106,7	101,4	98,1	94,5	88,6	82,2	77,6	72,2	65,9	58,9
CF680E	SEL	D	42000,0	107,2	102,4	99,4	96,0	90,6	84,4	79,9	74,6	68,4	61,5
CF680E	SEL	D	52000,0	108,4	104,1	101,2	98,2	93,2	87,4	83,0	77,6	71,6	64,8
CF680E	SEL	D	62000,0	112,7	108,3	105,4	102,5	97,6	91,9	87,7	82,5	76,5	70,4
CF700	LAmox	A	850,0	98,2	90,6	84,9	78,7	68,7	59,1	52,4	45,3	37,6	29,2
CF700	LAmox	A	1500,0	100,5	93,5	88,6	83,5	74,6	64,9	57,6	49,7	41,7	33,0
CF700	LAmox	D	2500,0	101,0	94,0	89,1	84,0	75,9	66,9	60,2	52,8	44,8	36,1
CF700	LAmox	D	3750,0	108,6	101,4	96,3	91,0	82,4	72,6	65,3	57,2	48,4	38,9
CF700	SEL	A	850,0	100,7	95,3	91,2	86,4	78,7	71,4	66,2	60,5	54,4	47,4
CF700	SEL	A	1500,0	102,8	97,8	94,1	90,0	83,4	75,9	70,1	63,7	57,2	50,0
CF700	SEL	D	2500,0	104,2	99,5	96,1	92,5	86,7	79,9	74,7	68,9	62,3	55,1
CF700	SEL	D	3750,0	111,3	106,4	102,8	99,0	92,6	85,1	79,2	72,7	65,4	57,4
CFM562	LAmox	A	5000,0	96,4	89,8	85,2	80,4	72,6	64,0	57,5	50,3	42,1	33,4
CFM562	LAmox	A	10000,0	100,5	94,0	89,2	84,4	76,7	68,7	61,8	54,7	46,5	37,8
CFM562	LAmox	D	10000,0	100,5	94,0	89,2	84,4	76,7	68,7	61,8	54,7	46,5	37,8
CFM562	LAmox	D	15500,0	106,1	99,5	94,8	89,9	82,3	73,9	67,8	60,8	52,6	43,9
CFM562	SEL	A	5000,0	97,9	93,5	90,4	87,1	81,9	75,6	70,7	64,9	58,2	51,0
CFM562	SEL	A	10000,0	101,5	97,2	94,2	91,0	85,9	79,8	75,0	69,3	62,6	55,4
CFM562	SEL	D	10000,0	101,5	97,2	94,2	91,0	85,9	79,8	75,0	69,3	62,6	55,4
CFM562	SEL	D	15500,0	106,5	102,5	99,6	96,5	91,6	85,7	81,0	75,5	68,9	61,6



ThoriumSoftware d.o.o.

Mobile: +385 (0) 95 8 70 50 70
 Kontakt: Dario Ilija Rendulić
 Email:
[info@thoriumsoftware.eu;](mailto:info@thoriumsoftware.eu)
direndulic@gmail.com

CFM563	LAmox	A	2500,0	93,4	85,7	80,8	75,6	67,4	58,2	51,5	44,0	36,5	29,1
CFM563	LAmox	A	3500,0	94,5	86,7	81,8	76,5	68,2	59,1	52,5	45,1	37,6	30,4
CFM563	LAmox	A	4500,0	95,8	88,0	83,0	77,7	69,5	60,4	53,9	46,6	39,2	32,1
CFM563	LAmox	A	5500,0	97,2	89,3	84,4	79,1	71,0	62,0	55,6	48,3	41,0	33,9
CFM563	LAmox	D	6500,0	95,8	89,1	84,5	79,6	71,7	63,2	56,9	49,8	42,5	35,7
CFM563	LAmox	D	9000,0	97,0	90,3	85,8	80,9	73,2	64,8	58,6	51,6	44,5	37,8
CFM563	LAmox	D	11500,0	98,6	92,0	87,4	82,7	75,0	66,7	60,6	53,8	46,8	40,2
CFM563	LAmox	D	14000,0	100,4	93,8	89,3	84,5	77,0	68,8	62,8	56,0	49,2	42,7
CFM563	LAmox	D	16500,0	102,2	95,7	91,2	86,5	79,0	70,9	65,0	58,4	51,6	45,3
CFM563	LAmox	D	19000,0	104,4	97,9	93,5	88,9	81,5	73,5	67,6	61,1	54,5	48,3
CFM563	SEL	A	2500,0	94,7	90,2	87,1	83,7	78,1	71,5	66,7	61,1	55,4	49,8
CFM563	SEL	A	3500,0	96,3	91,5	88,3	84,7	79,0	72,5	67,7	62,2	56,6	51,2
CFM563	SEL	A	4500,0	97,6	92,8	89,5	85,8	80,1	73,7	69,0	63,6	58,1	52,8
CFM563	SEL	A	5500,0	98,8	93,9	90,6	86,9	81,4	75,0	70,4	65,1	59,7	54,4
CFM563	SEL	D	6500,0	96,4	92,3	89,3	86,1	80,9	75,2	70,8	65,6	60,3	55,4
CFM563	SEL	D	9000,0	97,9	93,7	90,7	87,5	82,4	76,8	72,5	67,5	62,5	57,7
CFM563	SEL	D	11500,0	99,5	95,4	92,5	89,3	84,3	78,9	74,7	69,9	64,9	60,3
CFM563	SEL	D	14000,0	101,1	97,2	94,4	91,3	86,5	81,2	77,1	72,3	67,5	63,0
CFM563	SEL	D	16500,0	102,8	99,0	96,3	93,5	88,8	83,6	79,6	74,9	70,2	65,8
CFM563	SEL	D	19000,0	104,7	101,2	98,7	96,0	91,5	86,4	82,5	78,0	73,4	69,1
CFM565	LAmox	A	2700,0	91,7	84,4	79,7	74,8	67,0	58,5	52,2	45,3	37,5	29,5
CFM565	LAmox	A	6000,0	93,8	86,1	80,9	75,6	67,4	58,7	52,4	45,5	37,7	29,7
CFM565	LAmox	D	12000,0	100,3	92,0	86,2	80,3	71,1	61,7	55,4	48,6	40,9	33,1
CFM565	LAmox	D	15500,0	102,5	94,9	89,5	83,6	74,0	65,0	58,8	52,1	44,7	36,8
CFM565	LAmox	D	19000,0	104,3	96,6	91,1	85,7	77,2	68,2	62,2	55,5	47,9	40,0
CFM565	LAmox	D	22500,0	105,9	98,9	94,1	88,9	80,9	72,5	66,1	59,4	51,7	43,3
CFM565	SEL	A	2700,0	96,6	90,5	87,5	84,2	78,9	72,8	68,2	62,9	56,8	50,3



ThoriumSoftware d.o.o.

Mobile: +385 (0) 95 8 70 50 70
 Kontakt: Dario Ilija Rendulić
 Email:
[info@thoriumsoftware.eu;](mailto:info@thoriumsoftware.eu)
direndulic@gmail.com

CFM565	SEL	A	6000,0	97,4	91,6	88,2	84,8	79,3	73,1	68,5	63,3	57,1	50,6
CFM565	SEL	D	12000,0	100,9	96,2	92,4	88,3	81,9	75,5	71,1	66,0	60,0	53,8
CFM565	SEL	D	15500,0	103,6	99,0	95,3	91,5	85,6	79,3	74,9	69,9	64,2	57,9
CFM565	SEL	D	19000,0	104,7	100,5	97,3	93,9	88,3	82,4	78,1	73,2	67,3	61,0
CFM565	SEL	D	22500,0	106,5	102,4	99,6	96,4	91,4	85,7	81,5	76,5	70,8	64,3
CJ610	LAmox	A	700,0	98,5	91,9	87,3	82,4	74,3	65,0	58,0	50,1	41,3	31,6
CJ610	LAmox	A	1800,0	117,1	110,3	105,6	100,5	92,2	82,5	75,1	66,7	57,0	46,0
CJ610	LAmox	D	1800,0	117,1	110,3	105,6	100,5	92,2	82,5	75,1	66,7	57,0	46,0
CJ610	LAmox	D	2600,0	122,2	115,0	109,8	104,3	95,3	85,3	77,6	68,9	59,0	47,9
CJ610	SEL	A	700,0	100,8	96,4	93,3	89,9	84,0	77,0	71,5	65,1	57,8	49,6
CJ610	SEL	A	1800,0	119,3	114,8	111,6	108,0	101,9	94,5	88,6	81,6	73,4	63,9
CJ610	SEL	D	1800,0	119,3	114,8	111,6	108,0	101,9	94,5	88,6	81,6	73,4	63,9
CJ610	SEL	D	2600,0	124,7	119,7	116,0	112,0	105,3	97,5	91,3	84,1	75,7	66,1
CT75	LAmox	A	30,0	86,9	80,5	76,1	71,6	64,5	57,0	51,6	45,6	38,6	30,9
CT75	LAmox	A	75,0	88,1	81,7	77,4	73,0	66,0	58,5	53,3	47,6	41,3	34,5
CT75	LAmox	D	75,0	88,1	81,7	77,4	73,0	66,0	58,5	53,3	47,6	41,3	34,5
CT75	LAmox	D	100,0	95,2	88,9	84,7	80,3	73,4	66,1	60,8	54,8	47,9	40,1
CT75	SEL	A	30,0	87,5	83,4	80,5	77,5	72,7	67,4	63,6	59,1	53,6	47,3
CT75	SEL	A	75,0	89,0	85,1	82,5	79,5	75,1	69,9	66,2	62,0	57,2	51,8
CT75	SEL	D	75,0	89,0	85,1	82,5	79,5	75,1	69,9	66,2	62,0	57,2	51,8
CT75	SEL	D	100,0	97,0	92,8	90,1	87,3	82,9	77,8	74,0	69,5	64,1	57,8
EPW118	LAmox	A	700,0	88,9	82,0	77,1	71,9	63,6	55,2	49,3	42,9	34,7	27,0
EPW118	LAmox	A	1000,0	88,3	81,5	76,8	71,8	64,0	55,5	49,4	42,4	33,5	25,1
EPW118	LAmox	D	2000,0	85,8	79,2	74,8	70,2	63,0	55,2	49,6	43,2	35,4	28,1
EPW118	LAmox	D	3000,0	86,4	79,9	75,6	71,1	64,0	56,6	51,3	45,6	38,7	32,1
EPW118	LAmox	D	3800,0	92,0	85,7	81,5	77,1	70,4	63,3	58,4	53,0	46,2	39,7
EPW118	SEL	A	700,0	94,5	87,5	82,7	77,5	69,2	60,7	54,9	48,4	40,3	32,6



ThoriumSoftware d.o.o.

Mobile: +385 (0) 95 8 70 50 70
 Kontakt: Dario Ilija Rendulić
 Email:
[info@thoriumsoftware.eu;](mailto:info@thoriumsoftware.eu)
direndulic@gmail.com

EPW118	SEL	A	1000,0	94,9	88,1	83,4	78,4	70,6	62,1	56,0	49,0	40,2	31,7
EPW118	SEL	D	2000,0	98,4	91,9	87,4	82,8	75,6	67,8	62,2	55,9	48,1	40,7
EPW118	SEL	D	3000,0	98,7	92,3	87,9	83,4	76,4	68,9	63,7	58,0	51,0	44,5
EPW118	SEL	D	3800,0	100,9	94,6	90,4	86,0	79,3	72,2	67,3	61,9	55,0	48,6
FJ44-4	LAmox	A	600,0	86,7	79,1	73,8	68,1	59,1	49,4	42,7	35,7	28,2	20,8
FJ44-4	LAmox	A	900,0	89,1	81,8	76,6	70,9	61,7	51,7	44,6	37,1	29,1	21,1
FJ44-4	LAmox	D	1700,0	96,4	88,4	82,8	76,9	67,6	57,7	50,9	43,7	36,2	28,8
FJ44-4	LAmox	D	2400,0	98,2	91,8	87,1	81,8	73,2	63,5	56,7	49,3	41,3	33,4
FJ44-4	LAmox	D	3000,0	101,5	95,2	90,6	85,4	76,8	67,3	60,5	53,1	45,2	37,3
FJ44-4	LAmox	D	3300,0	103,8	97,4	92,7	87,5	78,9	69,4	62,7	55,4	47,6	39,8
FJ44-4	SEL	A	600,0	87,3	82,8	79,5	75,9	70,0	63,4	58,8	53,9	48,6	43,3
FJ44-4	SEL	A	900,0	90,4	85,5	82,0	78,1	71,8	64,9	60,0	54,8	49,2	43,6
FJ44-4	SEL	D	1700,0	94,2	90,0	86,8	83,2	77,2	70,5	65,7	60,6	55,0	49,3
FJ44-4	SEL	D	2400,0	98,2	94,4	91,5	88,2	82,5	76,0	71,3	66,1	60,5	54,8
FJ44-4	SEL	D	3000,0	102,0	98,5	95,7	92,5	86,9	80,4	75,7	70,5	64,9	59,1
FJ44-4	SEL	D	3300,0	104,5	101,0	98,2	95,0	89,5	83,2	78,6	73,5	68,0	62,4
GE90	LAmox	A	12000,0	94,2	86,8	81,8	76,8	68,9	60,3	54,1	47,5	40,8	34,5
GE90	LAmox	A	17000,0	95,3	87,9	82,9	77,9	69,9	61,2	55,0	48,3	41,5	35,1
GE90	LAmox	A	22000,0	96,6	89,0	84,0	78,9	70,7	62,0	55,6	48,9	42,0	35,6
GE90	LAmox	A	27000,0	97,9	90,0	84,9	79,7	71,4	62,5	56,2	49,4	42,5	36,0
GE90	LAmox	D	31000,0	97,5	90,7	86,0	80,8	72,8	63,8	57,5	50,4	43,3	36,4
GE90	LAmox	D	41000,0	98,8	92,0	87,3	82,2	74,2	65,3	59,0	52,1	45,1	38,4
GE90	LAmox	D	51000,0	100,6	93,8	89,2	84,1	76,2	67,3	61,1	54,3	47,5	40,9
GE90	LAmox	D	61000,0	102,8	96,0	91,4	86,4	78,5	69,7	63,6	56,9	50,1	43,5
GE90	LAmox	D	71000,0	105,0	98,3	93,7	88,7	80,8	72,1	66,1	59,4	52,7	46,3
GE90	LAmox	D	81000,0	109,0	102,4	97,8	92,9	85,2	76,7	70,8	64,4	58,0	52,0
GE90	SEL	A	12000,0	97,7	92,8	89,5	86,3	80,9	74,9	70,4	65,5	60,5	55,8



ThoriumSoftware d.o.o.

Mobile: +385 (0) 95 8 70 50 70
 Kontakt: Dario Ilija Rendulić
 Email:
[info@thoriumsoftware.eu;](mailto:info@thoriumsoftware.eu)
direndulic@gmail.com

GE90	SEL	A	17000,0	98,6	93,9	90,6	87,2	81,7	75,7	71,1	66,1	61,1	56,4
GE90	SEL	A	22000,0	99,8	94,9	91,5	88,1	82,5	76,3	71,7	66,7	61,6	56,9
GE90	SEL	A	27000,0	101,0	95,9	92,4	88,8	83,2	76,9	72,3	67,2	62,1	57,3
GE90	SEL	D	31000,0	100,0	95,8	92,7	89,2	83,5	76,9	72,2	66,9	61,4	56,2
GE90	SEL	D	41000,0	101,2	97,1	94,2	90,7	85,1	78,5	73,9	68,7	63,4	58,4
GE90	SEL	D	51000,0	102,7	98,8	95,9	92,5	87,0	80,6	76,1	71,1	66,0	61,1
GE90	SEL	D	61000,0	104,4	100,6	97,7	94,5	89,2	82,9	78,6	73,7	68,7	64,0
GE90	SEL	D	71000,0	106,1	102,3	99,5	96,4	91,3	85,3	81,1	76,3	71,5	66,9
GE90	SEL	D	81000,0	109,1	105,4	102,7	99,7	95,0	89,6	85,7	81,3	77,0	73,0
GE9015	LAmox	A	12000,0	96,1	88,9	84,3	79,4	71,6	63,2	57,1	50,5	43,8	37,5
GE9015	LAmox	A	17333,0	96,5	89,3	84,6	79,7	71,9	63,4	57,3	50,7	43,9	37,6
GE9015	LAmox	A	22667,0	97,2	90,0	85,3	80,3	72,5	63,9	57,6	51,0	44,1	37,7
GE9015	LAmox	A	28000,0	98,2	90,9	86,1	81,1	73,2	64,5	58,1	51,4	44,4	37,9
GE9015	LAmox	D	39000,0	100,4	93,2	88,4	83,4	75,3	66,5	60,1	52,9	45,6	38,6
GE9015	LAmox	D	50600,0	101,8	94,7	89,9	84,8	76,6	67,7	61,5	54,5	47,4	40,6
GE9015	LAmox	D	62200,0	103,5	96,6	91,8	86,7	78,5	69,6	63,3	56,4	49,4	42,7
GE9015	LAmox	D	73800,0	105,5	98,6	93,8	88,7	80,5	71,7	65,4	58,6	51,7	45,0
GE9015	LAmox	D	85400,0	108,5	101,7	96,9	91,9	83,8	75,1	68,9	62,1	55,3	48,8
GE9015	LAmox	D	97000,0	114,5	107,6	103,0	98,1	90,4	81,8	75,7	68,9	61,9	55,4
GE9015	SEL	A	12000,0	99,5	94,9	91,8	88,7	83,5	77,6	73,1	68,3	63,3	58,6
GE9015	SEL	A	17333,0	99,9	95,2	92,1	88,9	83,6	77,7	73,2	68,3	63,2	58,5
GE9015	SEL	A	22667,0	100,5	95,9	92,8	89,5	84,1	78,1	73,5	68,5	63,4	58,6
GE9015	SEL	A	28000,0	101,3	96,7	93,5	90,2	84,8	78,7	74,0	68,9	63,7	58,9
GE9015	SEL	D	39000,0	102,7	97,8	94,4	90,9	85,3	78,9	74,3	68,9	63,5	58,3
GE9015	SEL	D	50600,0	103,6	98,9	95,7	92,3	86,7	80,4	75,9	70,7	65,5	60,6
GE9015	SEL	D	62200,0	105,0	100,5	97,4	94,1	88,5	82,3	77,9	72,9	67,8	63,0
GE9015	SEL	D	73800,0	106,6	102,3	99,2	96,0	90,5	84,4	80,0	75,1	70,1	65,4



ThoriumSoftware d.o.o.

Mobile: +385 (0) 95 8 70 50 70
 Kontakt: Dario Ilija Rendulić
 Email:
[info@thoriumsoftware.eu;](mailto:info@thoriumsoftware.eu)
direndulic@gmail.com

GE9015	SEL	D	85400,0	109,3	105,0	102,1	98,9	93,6	87,7	83,4	78,6	73,7	69,1
GE9015	SEL	D	97000,0	114,7	110,6	107,7	104,7	99,7	94,1	89,9	85,1	80,2	75,6
GENX67	LAmox	A	7000,0	99,0	91,8	87,0	82,2	74,4	65,9	59,6	52,8	45,9	39,4
GENX67	LAmox	A	12000,0	99,6	92,4	87,6	82,8	75,0	66,5	60,2	53,3	46,4	39,9
GENX67	LAmox	A	17000,0	100,0	92,8	88,0	83,2	75,3	66,7	60,4	53,5	46,5	40,0
GENX67	LAmox	A	22000,0	100,4	93,2	88,3	83,4	75,4	66,8	60,4	53,5	46,5	39,9
GENX67	LAmox	D	17000,0	101,0	94,3	89,7	84,9	77,2	68,7	62,5	55,5	48,4	41,5
GENX67	LAmox	D	25000,0	101,5	94,8	90,2	85,3	77,5	68,8	62,6	55,6	48,4	41,6
GENX67	LAmox	D	33000,0	102,9	96,2	91,5	86,6	78,7	70,0	63,7	56,6	49,5	42,6
GENX67	LAmox	D	41000,0	104,8	98,0	93,4	88,5	80,5	71,7	65,4	58,3	51,0	44,1
GENX67	LAmox	D	49000,0	107,0	100,2	95,5	90,6	82,6	73,8	67,4	60,2	53,0	46,0
GENX67	LAmox	D	57000,0	110,1	103,4	98,7	93,8	85,8	76,9	70,5	63,2	55,9	49,0
GENX67	SEL	A	7000,0	101,0	96,8	93,9	90,9	85,7	79,7	75,1	70,0	64,9	60,1
GENX67	SEL	A	12000,0	101,6	97,4	94,5	91,4	86,2	80,2	75,6	70,5	65,3	60,4
GENX67	SEL	A	17000,0	102,3	98,0	95,0	91,9	86,6	80,6	75,9	70,7	65,4	60,5
GENX67	SEL	A	22000,0	102,8	98,5	95,5	92,3	86,9	80,8	76,1	70,8	65,4	60,4
GENX67	SEL	D	17000,0	102,0	98,1	95,3	92,4	87,4	81,7	77,3	72,1	66,9	61,8
GENX67	SEL	D	25000,0	102,6	98,6	95,8	92,8	87,6	81,7	77,3	72,1	66,9	61,8
GENX67	SEL	D	33000,0	103,9	99,9	97,1	94,0	88,8	82,8	78,4	73,2	68,0	62,9
GENX67	SEL	D	41000,0	105,5	101,6	98,8	95,7	90,5	84,5	80,1	74,9	69,7	64,7
GENX67	SEL	D	49000,0	107,4	103,5	100,7	97,7	92,5	86,6	82,2	77,0	71,8	66,8
GENX67	SEL	D	57000,0	110,1	106,3	103,5	100,6	95,5	89,7	85,3	80,2	75,1	70,2
GP7270	LAmox	A	5500,0	92,0	86,2	81,9	77,4	69,8	61,4	55,3	48,6	41,2	33,5
GP7270	LAmox	A	7500,0	92,4	86,4	82,1	77,5	69,9	61,6	55,5	48,8	41,3	33,5
GP7270	LAmox	A	12000,0	93,4	87,0	82,5	77,9	70,3	61,9	55,8	49,1	41,6	33,7
GP7270	LAmox	A	14000,0	94,0	87,5	82,9	78,1	70,4	62,0	55,9	49,2	41,7	33,9
GP7270	LAmox	D	40000,0	99,3	92,8	88,5	83,7	75,9	67,2	60,9	53,9	45,9	37,3

GP7270	LAmox	D	50000,0	102,0	95,9	91,3	86,5	78,7	70,1	63,8	56,8	48,8	40,2
GP7270	LAmox	D	60000,0	104,1	98,2	93,8	89,1	81,6	73,0	66,8	59,7	51,7	43,1
GP7270	LAmox	D	80000,0	111,3	105,6	101,7	97,1	90,0	81,7	75,5	68,2	61,1	52,5
GP7270	SEL	A	5500,0	96,8	92,6	89,8	86,7	81,6	75,7	71,2	66,2	60,4	54,2
GP7270	SEL	A	7500,0	97,3	93,0	90,0	86,9	81,8	75,9	71,5	66,4	60,6	54,3
GP7270	SEL	A	12000,0	98,4	93,9	90,8	87,6	82,4	76,4	72,0	66,9	61,0	54,6
GP7270	SEL	A	14000,0	99,0	94,3	91,2	88,0	82,7	76,8	72,3	67,2	61,3	54,8
GP7270	SEL	D	40000,0	102,6	98,2	95,0	91,8	86,5	80,6	76,1	71,0	64,9	58,2
GP7270	SEL	D	50000,0	105,6	101,0	97,9	94,8	89,7	83,8	79,5	74,3	68,3	61,6
GP7270	SEL	D	60000,0	107,7	103,5	100,5	97,4	92,2	86,4	82,0	76,9	70,8	64,1
GP7270	SEL	D	80000,0	114,8	111,0	108,5	105,6	100,6	94,9	90,6	85,5	79,6	72,7
IO320B	LAmox	A	55,0	79,0	72,6	68,2	63,6	56,4	48,5	43,0	36,8	30,0	22,9
IO320B	LAmox	A	107,0	79,8	73,3	68,9	64,3	56,8	48,3	42,1	35,3	27,9	20,6
IO320B	LAmox	D	201,0	86,6	79,8	75,1	70,0	62,5	54,3	48,3	41,6	34,2	26,7
IO320B	LAmox	D	214,0	89,5	82,6	77,8	72,7	64,6	56,2	50,1	43,4	35,8	28,1
IO320B	LAmox	D	339,0	96,1	89,0	84,0	78,6	70,2	61,5	55,3	48,3	40,5	32,3
IO320B	SEL	A	55,0	82,3	78,4	75,7	72,9	68,2	62,8	58,8	54,3	49,2	44,1
IO320B	SEL	A	107,0	83,5	79,8	77,1	74,2	69,1	63,0	58,5	53,5	48,0	42,8
IO320B	SEL	D	201,0	90,2	85,8	82,8	79,6	74,3	68,3	63,9	58,8	53,0	47,2
IO320B	SEL	D	214,0	93,9	89,0	85,7	82,2	76,6	70,4	65,9	60,7	54,7	48,6
IO320B	SEL	D	339,0	98,8	94,5	91,4	88,1	82,5	76,1	71,4	66,1	60,0	53,5
IO360L	LAmox	A	26,6	71,6	64,2	59,7	55,0	47,7	39,8	34,4	28,5	22,4	16,9
IO360L	LAmox	A	58,2	78,8	72,2	67,7	62,9	55,2	46,7	40,7	34,1	27,0	20,3
IO360L	LAmox	D	59,6	82,7	75,6	71,1	66,4	58,9	50,8	45,0	38,6	31,7	24,5
IO360L	LAmox	D	100,0	84,6	77,8	73,2	68,2	60,4	52,0	46,2	39,9	33,5	25,6
IO360L	SEL	A	26,6	73,0	68,7	65,8	63,0	58,6	53,6	50,0	46,2	42,4	38,8
IO360L	SEL	A	58,2	79,3	75,3	72,7	69,9	65,1	59,6	55,5	51,1	46,3	43,0



ThoriumSoftware d.o.o.

Mobile: +385 (0) 95 8 70 50 70
 Kontakt: Dario Ilija Rendulić
 Email:
[info@thoriumsoftware.eu;](mailto:info@thoriumsoftware.eu)
direndulic@gmail.com

IO360L	SEL	D	59,6	83,5	79,8	77,2	74,4	69,7	64,1	59,9	55,3	50,3	45,8
IO360L	SEL	D	100,0	84,9	81,4	78,9	76,0	71,2	65,5	61,3	56,5	51,8	46,3
IO540	LAmox	A	2400,0	82,2	75,8	71,7	67,3	60,6	53,5	48,7	43,4	37,7	31,6
IO540	LAmox	A	2500,0	86,4	80,1	75,9	71,5	64,7	57,6	52,7	47,4	41,7	35,6
IO540	LAmox	A	2700,0	94,6	88,2	83,8	79,3	72,0	63,9	58,2	52,2	45,6	38,8
IO540	LAmox	D	2500,0	92,0	85,6	81,2	76,7	69,5	62,0	56,8	51,3	45,2	38,8
IO540	LAmox	D	2700,0	99,0	92,6	88,3	83,8	76,6	68,7	63,1	56,9	50,0	42,7
IO540	SEL	A	2400,0	82,7	79,3	77,0	74,6	70,8	66,6	63,5	60,1	56,1	51,7
IO540	SEL	A	2500,0	86,6	83,2	80,8	78,4	74,4	70,2	67,1	63,7	59,8	55,4
IO540	SEL	A	2700,0	92,9	89,5	87,2	84,6	80,5	75,8	72,2	68,2	63,6	58,4
IO540	SEL	D	2500,0	91,8	88,3	85,8	83,2	78,9	74,1	70,8	67,1	63,0	58,3
IO540	SEL	D	2700,0	96,8	93,5	91,1	88,6	84,3	79,4	75,7	71,5	66,7	61,4
JT15D1	LAmox	A	300,0	83,2	76,3	71,5	66,5	58,6	50,1	43,9	37,1	29,5	21,0
JT15D1	LAmox	A	600,0	85,7	78,8	74,0	69,0	61,1	52,6	46,4	39,6	32,0	23,5
JT15D1	LAmox	D	1200,0	93,2	86,2	81,3	76,0	67,6	58,4	51,8	44,6	36,7	28,1
JT15D1	LAmox	D	1550,0	95,3	88,6	83,9	79,0	71,1	62,3	55,7	48,4	40,1	31,0
JT15D1	SEL	A	300,0	85,6	81,0	77,7	74,2	68,5	62,3	57,6	52,3	46,2	39,2
JT15D1	SEL	A	600,0	86,8	82,2	78,9	75,4	69,7	63,5	58,8	53,5	47,4	40,4
JT15D1	SEL	D	1200,0	96,4	91,7	88,2	84,5	78,3	71,4	66,3	60,6	54,2	47,1
JT15D1	SEL	D	1550,0	98,0	93,6	90,4	87,0	81,4	74,8	69,7	63,9	57,1	49,5
JT15D5	LAmox	A	670,0	90,2	82,7	77,2	71,2	61,7	52,0	45,5	38,5	30,7	21,2
JT15D5	LAmox	A	1500,0	101,3	94,4	89,6	84,4	75,8	67,2	61,3	54,4	46,4	37,5
JT15D5	LAmox	D	1500,0	101,3	94,4	89,6	84,4	75,8	67,2	61,3	54,4	46,4	37,5
JT15D5	LAmox	D	2100,0	103,7	97,2	92,6	87,8	80,1	72,0	66,0	59,2	51,1	42,2
JT15D5	SEL	A	670,0	90,2	85,6	82,2	78,4	72,3	65,3	60,3	54,7	48,4	41,4
JT15D5	SEL	A	1500,0	104,1	99,8	96,8	93,4	87,3	81,1	76,6	71,3	64,8	57,4
JT15D5	SEL	D	1500,0	104,1	99,8	96,8	93,4	87,3	81,1	76,6	71,3	64,8	57,4



ThoriumSoftware d.o.o.

Mobile: +385 (0) 95 8 70 50 70
 Kontakt: Dario Ilija Rendulić
 Email:
[info@thoriumsoftware.eu;](mailto:info@thoriumsoftware.eu)
direndulic@gmail.com

JT15D5	SEL	D	2100,0	106,0	102,4	99,7	96,8	91,6	85,7	81,2	75,9	69,3	61,8
JT3D	LAmox	A	4000,0	111,8	104,5	98,9	93,0	81,8	67,8	59,2	50,9	41,8	32,9
JT3D	LAmox	A	6000,0	114,0	106,8	101,5	95,5	84,6	71,3	63,3	55,3	46,4	37,2
JT3D	LAmox	D	8000,0	115,9	109,0	103,7	98,0	87,6	75,4	67,7	59,8	51,1	42,1
JT3D	LAmox	D	10000,0	117,5	110,8	105,6	100,0	90,4	79,5	71,8	63,8	55,2	46,5
JT3D	LAmox	D	12000,0	118,2	111,5	106,4	101,0	92,1	82,0	74,5	66,8	58,6	49,7
JT3D	LAmox	D	15000,0	119,7	113,0	107,9	102,5	94,0	85,0	78,1	70,3	62,0	53,5
JT3D	SEL	A	4000,0	112,5	107,5	103,6	99,0	90,0	78,3	71,2	64,5	57,0	49,5
JT3D	SEL	A	6000,0	114,8	109,8	105,9	101,5	92,8	81,8	75,2	68,9	61,7	54,1
JT3D	SEL	D	8000,0	117,1	112,0	108,2	104,0	95,9	85,9	79,6	73,4	66,1	58,6
JT3D	SEL	D	10000,0	119,0	113,9	110,1	106,0	98,5	90,0	83,7	77,5	70,1	62,8
JT3D	SEL	D	12000,0	120,7	115,6	111,9	107,7	100,8	92,6	87,1	81,0	73,9	66,5
JT3D	SEL	D	15000,0	122,5	117,4	113,6	109,5	103,1	96,4	90,8	85,1	77,9	70,4
JT3DQ	LAmox	A	3000,0	102,8	95,2	89,6	83,1	74,3	65,0	58,4	51,0	42,6	34,0
JT3DQ	LAmox	A	5000,0	105,2	96,2	89,9	84,4	75,7	66,2	59,5	52,1	43,9	35,5
JT3DQ	LAmox	D	11000,0	107,5	100,8	96,3	91,4	83,5	75,0	68,7	61,7	53,6	45,3
JT3DQ	LAmox	D	15500,0	114,2	107,7	103,2	98,7	91,4	83,7	78,2	72,0	64,9	57,3
JT3DQ	SEL	A	3000,0	104,4	99,4	95,6	91,4	84,8	77,8	72,6	66,7	59,9	52,7
JT3DQ	SEL	A	5000,0	105,1	100,0	96,2	91,9	85,4	78,4	73,2	67,3	60,6	53,7
JT3DQ	SEL	D	11000,0	109,1	105,4	102,7	99,8	95,0	88,9	84,2	78,6	72,1	65,2
JT3DQ	SEL	D	15500,0	116,9	113,3	110,8	108,1	103,5	98,1	94,1	89,4	83,9	77,7
JT4A	LAmox	A	4000,0	109,2	101,7	96,3	90,5	80,6	69,0	61,7	54,5	45,7	36,9
JT4A	LAmox	A	6000,0	111,1	103,6	98,2	92,5	82,7	71,2	63,7	56,3	48,1	39,5
JT4A	LAmox	D	10000,0	116,5	109,3	104,1	98,5	89,3	79,0	71,6	63,7	54,5	45,4
JT4A	LAmox	D	12000,0	119,6	112,4	107,4	102,0	93,1	82,9	75,3	67,4	58,4	48,8
JT4A	LAmox	D	15000,0	125,3	118,3	113,2	108,0	99,1	89,2	81,5	73,5	64,3	54,6
JT4A	SEL	A	4000,0	110,8	105,4	101,2	97,0	89,6	80,6	74,3	68,6	60,9	52,7



ThoriumSoftware d.o.o.

Mobile: +385 (0) 95 8 70 50 70
 Kontakt: Dario Ilija Rendulić
 Email:
[info@thoriumsoftware.eu;](mailto:info@thoriumsoftware.eu)
direndulic@gmail.com

JT4A	SEL	A	6000,0	112,7	107,3	103,3	99,0	91,8	82,9	76,8	71,1	63,6	55,7
JT4A	SEL	D	10000,0	117,4	112,4	108,7	104,5	97,4	89,2	83,3	76,9	69,4	61,5
JT4A	SEL	D	12000,0	120,0	115,2	111,6	107,5	100,6	92,6	86,6	80,3	72,6	64,7
JT4A	SEL	D	15000,0	125,5	120,8	117,6	113,5	106,9	99,3	93,3	86,6	78,7	70,6
JT9D7Q	LAmix	A	8560,0	101,8	95,4	91,0	86,3	78,6	69,9	63,6	56,7	49,0	40,9
JT9D7Q	LAmix	A	14000,0	103,3	96,8	92,2	87,1	79,2	70,5	64,2	57,5	49,9	41,9
JT9D7Q	LAmix	D	24370,0	106,3	99,8	95,3	90,3	82,6	74,2	68,1	61,6	54,2	46,4
JT9D7Q	LAmix	D	34850,0	110,0	103,8	99,4	94,7	87,2	78,7	72,7	66,0	58,6	50,8
JT9D7Q	LAmix	D	40240,0	112,5	106,3	102,0	97,3	89,9	81,4	75,3	68,6	61,2	53,4
JT9D7Q	LAmix	D	44940,0	115,3	109,1	104,8	100,0	92,6	84,2	78,0	71,4	63,9	56,1
JT9D7Q	SEL	A	8560,0	103,6	99,5	96,6	93,5	88,1	81,7	77,0	71,6	65,5	58,9
JT9D7Q	SEL	A	14000,0	105,1	100,9	97,8	94,3	88,7	82,3	77,6	72,4	66,4	59,9
JT9D7Q	SEL	D	24370,0	108,1	103,9	100,9	97,5	92,1	86,0	81,5	76,5	70,7	64,4
JT9D7Q	SEL	D	34850,0	111,8	107,9	105,0	101,9	96,7	90,5	86,1	80,9	75,1	68,8
JT9DBD	SEL	D	40240,0	114,3	110,4	107,6	104,5	99,4	93,2	88,7	83,5	77,7	71,4
JT9DBD	SEL	D	44940,0	117,1	113,2	110,4	107,2	102,1	96,0	91,4	86,3	80,4	74,1
JT9DBD	LAmix	A	8000,0	106,5	99,5	94,5	89,0	79,8	69,1	61,2	53,2	44,9	36,3
JT9DBD	LAmix	A	14000,0	111,0	104,0	99,0	93,5	84,3	73,6	65,7	57,7	49,4	40,8
JT9DBD	LAmix	D	20000,0	114,3	107,2	102,1	96,5	87,1	76,9	69,8	62,3	54,2	45,4
JT9DBD	LAmix	D	28000,0	116,4	109,3	104,2	98,5	89,0	79,1	72,3	65,0	57,0	48,0
JT9DBD	LAmix	D	36000,0	117,9	110,8	105,7	100,0	90,5	80,6	73,8	66,5	58,5	49,7
JT9DBD	SEL	A	8000,0	108,2	103,5	99,9	96,0	89,1	80,6	74,2	67,6	60,9	53,7
JT9DBD	SEL	A	14000,0	113,2	108,5	104,9	101,0	94,1	85,6	79,2	72,6	65,9	58,7
JT9DBD	SEL	D	20000,0	116,6	111,8	108,1	104,0	96,9	89,0	83,4	77,3	70,7	63,4
JT9DBD	SEL	D	28000,0	118,7	113,9	110,2	106,0	98,8	91,2	85,9	80,0	73,5	66,2
JT9DBD	SEL	D	36000,0	120,2	115,4	111,7	107,5	100,3	92,7	87,4	81,5	75,0	67,7
JT9DFL	LAmix	A	8000,0	103,0	95,5	90,2	84,3	75,1	66,0	59,7	52,6	44,5	35,6



ThoriumSoftware d.o.o.

Mobile: +385 (0) 95 8 70 50 70
 Kontakt: Dario Ilija Rendulić
 Email:
[info@thoriumsoftware.eu;](mailto:info@thoriumsoftware.eu)
direndulic@gmail.com

JT9DFL	LAmox	A	16000,0	107,1	99,6	94,3	88,4	79,2	70,1	63,8	56,7	48,6	39,7
JT9DFL	LAmox	D	24000,0	110,6	103,1	97,8	92,1	83,3	74,5	68,3	61,5	53,7	45,4
JT9DFL	LAmox	D	32000,0	113,5	105,9	100,6	95,1	86,5	77,9	71,9	65,3	57,7	49,7
JT9DFL	LAmox	D	40000,0	115,7	108,1	102,8	97,3	88,7	80,1	74,1	67,5	59,9	51,9
JT9DFL	SEL	A	8000,0	102,3	97,8	94,3	90,5	84,4	77,7	72,9	67,3	60,7	53,3
JT9DFL	SEL	A	16000,0	106,3	101,8	98,3	94,5	88,4	81,7	76,9	71,3	64,7	57,3
JT9DFL	SEL	D	24000,0	109,4	105,1	101,7	98,0	92,2	85,8	81,2	75,9	69,7	62,8
JT9DFL	SEL	D	32000,0	111,8	107,4	104,1	100,5	94,9	88,7	84,2	79,1	73,1	66,5
JT9DFL	SEL	D	40000,0	113,8	109,4	106,1	102,5	96,9	90,7	86,2	81,1	75,1	68,5
O320D3	LAmox	A	1500,0	66,9	60,5	56,2	51,7	44,7	37,2	32,1	26,7	21,1	15,9
O320D3	LAmox	A	1600,0	68,1	61,7	57,4	52,9	45,9	38,4	33,2	27,7	21,9	16,6
O320D3	LAmox	A	1800,0	72,1	65,6	61,2	56,6	49,3	41,3	35,8	30,0	23,9	18,0
O320D3	LAmox	D	2150,0	79,8	73,1	68,6	63,9	56,2	47,9	42,2	36,1	29,7	23,1
O320D3	LAmox	D	2442,0	87,3	80,7	76,1	71,2	63,5	55,1	49,4	43,1	36,1	28,7
O320D3	LAmox	D	2600,0	88,8	82,1	77,5	72,6	64,7	56,2	50,2	43,8	36,7	29,3
O320D3	SEL	A	1500,0	69,0	65,6	62,8	60,2	56,0	51,3	48,0	44,5	41,3	38,2
O320D3	SEL	A	1600,0	70,4	67,1	64,6	62,0	57,7	53,0	49,6	45,9	42,3	38,9
O320D3	SEL	A	1800,0	74,1	70,5	68,0	65,3	60,7	55,5	51,8	47,8	43,8	39,9
O320D3	SEL	D	2150,0	80,4	76,9	74,3	71,4	66,5	60,9	57,0	52,7	48,1	43,7
O320D3	SEL	D	2442,0	87,9	84,2	81,5	78,5	73,4	67,9	63,9	59,5	54,4	48,9
O320D3	SEL	D	2600,0	89,4	85,5	82,8	79,8	74,8	69,0	64,8	60,2	55,0	49,2
O470R	LAmox	A	169,0	73,3	67,1	62,9	58,6	51,8	44,6	39,6	34,1	28,1	21,8
O470R	LAmox	A	244,0	73,9	67,7	63,5	59,2	52,5	45,4	40,3	34,8	28,8	22,4
O470R	LAmox	D	533,0	87,5	81,2	77,0	72,7	65,7	58,2	52,7	46,6	39,7	32,3
O470R	LAmox	D	640,0	96,1	89,8	85,5	80,9	73,5	65,0	58,6	51,3	43,0	34,3
O470R	SEL	A	169,0	75,6	71,7	69,0	66,2	61,7	56,7	53,1	49,2	44,7	39,8
O470R	SEL	A	244,0	76,2	72,3	69,6	66,8	62,3	57,3	53,7	49,7	45,1	40,2

O470R	SEL	D	533,0	87,8	83,8	81,1	78,2	73,6	68,2	64,2	59,6	54,2	48,4
O470R	SEL	D	640,0	95,4	91,3	88,5	85,4	80,3	74,1	69,2	63,4	56,5	49,3
OLY593	LAmx	A	10000,0	115,8	109,2	104,6	99,8	92,0	83,2	76,5	68,8	60,3	50,7
OLY593	LAmx	A	20000,0	126,4	119,4	113,3	109,2	101,2	92,4	85,9	78,7	70,2	60,7
OLY593	LAmx	D	20000,0	126,4	119,4	113,3	109,2	101,2	92,4	85,9	78,7	70,2	60,7
OLY593	LAmx	D	28000,0	132,1	124,8	119,6	114,3	106,1	97,3	90,8	83,6	75,1	65,3
OLY593	LAmx	D	32000,0	134,0	126,7	121,4	116,0	107,8	98,9	92,4	85,2	76,7	67,3
OLY593	SEL	A	10000,0	117,7	113,4	110,3	107,0	101,5	94,8	89,6	83,5	76,5	68,3
OLY593	SEL	A	20000,0	130,3	125,5	122,0	118,3	112,6	106,1	101,1	95,3	88,3	80,3
OLY593	SEL	D	20000,0	130,3	125,5	122,0	118,3	112,6	106,1	101,1	95,3	88,3	80,3
OLY593	SEL	D	28000,0	136,4	131,3	127,6	123,8	118,0	111,4	106,4	100,6	93,7	85,7
OLY593	SEL	D	32000,0	138,4	133,2	129,4	125,5	119,6	113,0	108,0	102,2	95,3	87,4
PT6A114	LAmx	A	400,0	90,0	83,6	79,4	75,0	68,0	60,4	54,8	48,3	40,5	31,7
PT6A114	LAmx	A	427,0	90,0	83,6	79,4	75,0	68,0	60,4	54,8	48,3	40,5	31,7
PT6A114	LAmx	A	463,0	90,3	84,0	79,7	75,2	68,2	60,6	55,1	48,7	41,1	32,6
PT6A114	LAmx	D	1009,0	88,2	82,0	77,8	73,5	66,7	59,1	53,5	47,1	39,4	30,8
PT6A114	LAmx	D	1899,0	90,0	83,8	79,7	75,4	68,7	61,4	56,1	50,1	43,1	35,4
PT6A114	SEL	A	400,0	89,9	85,8	83,0	80,1	75,4	70,1	65,9	61,0	54,7	47,4
PT6A114	SEL	A	427,0	89,9	85,8	83,0	80,1	75,4	70,1	65,9	61,0	54,7	47,4
PT6A114	SEL	A	463,0	89,4	85,3	82,4	79,4	74,7	69,3	65,3	60,6	54,7	47,9
PT6A114	SEL	D	1009,0	87,7	83,8	81,1	78,3	73,7	68,4	64,3	59,4	53,2	46,1
PT6A114	SEL	D	1899,0	89,7	85,8	83,2	80,4	75,9	70,9	67,1	62,6	57,1	50,9
PT6A27	LAmx	A	30,0	90,9	84,6	80,4	76,0	69,1	61,6	56,0	49,8	42,6	34,0
PT6A27	LAmx	A	100,0	95,6	89,5	85,3	81,0	74,3	67,0	61,6	55,6	49,0	41,4
PT6A27	LAmx	D	30,0	90,9	84,6	80,4	76,0	69,1	61,6	56,0	49,8	42,6	34,0
PT6A27	LAmx	D	100,0	95,6	89,5	85,3	81,0	74,3	67,0	61,6	55,6	49,0	41,4
PT6A27	SEL	A	30,0	91,3	87,2	84,4	81,6	76,9	71,7	67,6	62,9	57,2	50,0

PT6A27	SEL	A	100,0	95,9	92,0	89,3	86,5	82,0	77,0	73,1	68,6	63,5	57,4
PT6A27	SEL	D	30,0	91,3	87,2	84,4	81,6	76,9	71,7	67,6	62,9	57,2	50,0
PT6A27	SEL	D	100,0	95,9	92,0	89,3	86,5	82,0	77,0	73,1	68,6	63,5	57,4
PT6A41	LAmix	A	300,0	83,6	77,2	72,8	68,2	60,9	52,8	47,0	40,4	32,8	24,9
PT6A41	LAmix	A	311,0	83,6	77,2	72,8	68,2	60,9	52,8	47,0	40,4	32,8	24,9
PT6A41	LAmix	D	820,0	85,2	78,9	74,7	70,3	63,5	56,0	50,6	44,4	37,2	29,1
PT6A41	LAmix	D	1153,0	87,2	81,0	76,9	72,6	65,9	58,6	53,4	47,5	40,6	32,9
PT6A41	SEL	A	300,0	87,8	83,6	80,7	77,6	72,5	66,7	62,3	57,3	51,3	44,8
PT6A41	SEL	A	311,0	87,8	83,6	80,7	77,6	72,5	66,7	62,3	57,3	51,3	44,8
PT6A41	SEL	D	820,0	86,6	82,5	79,8	77,0	72,3	67,1	63,2	58,5	52,8	46,3
PT6A41	SEL	D	1153,0	88,6	84,7	82,0	79,2	74,8	69,8	66,0	61,6	56,2	50,0
PT6A45	LAmix	A	35,0	87,2	81,0	76,7	72,4	65,1	57,7	52,9	48,0	41,9	35,1
PT6A45	LAmix	A	65,0	87,8	81,4	77,0	72,5	64,9	57,4	52,4	47,4	41,7	35,5
PT6A45	LAmix	D	65,0	87,8	81,4	77,0	72,5	64,9	57,4	52,4	47,4	41,7	35,5
PT6A45	LAmix	D	100,0	94,9	88,6	84,4	80,0	72,6	65,2	60,3	55,4	49,4	42,4
PT6A45	SEL	A	35,0	88,0	84,0	81,3	78,5	74,0	69,2	65,6	61,6	57,0	51,6
PT6A45	SEL	A	65,0	88,5	84,4	81,5	78,5	73,7	68,5	64,8	60,9	56,8	52,0
PT6A45	SEL	D	65,0	88,5	84,4	81,5	78,5	73,7	68,5	64,8	60,9	56,8	52,0
PT6A45	SEL	D	100,0	95,1	91,1	88,4	85,5	81,0	76,1	72,4	68,4	63,8	58,4
PT6A50	LAmix	A	35,0	83,9	78,2	74,0	68,8	60,7	51,8	45,5	38,6	31,4	24,2
PT6A50	LAmix	A	40,0	87,4	81,7	77,5	72,4	64,2	55,5	49,0	42,1	34,4	26,7
PT6A50	LAmix	D	80,0	84,7	78,5	74,4	69,8	62,5	54,0	48,1	41,3	34,0	26,4
PT6A50	LAmix	D	100,0	86,9	80,7	76,6	72,0	64,7	56,2	50,2	43,5	36,4	29,3
PT6A50	SEL	A	35,0	85,7	82,3	79,6	76,0	70,2	63,6	58,9	53,5	47,9	42,2
PT6A50	SEL	A	40,0	89,2	85,8	83,1	79,6	73,7	67,3	62,4	57,0	50,9	44,7
PT6A50	SEL	D	80,0	86,5	82,6	80,0	77,0	72,0	65,8	61,5	56,2	50,5	44,4
PT6A50	SEL	D	100,0	88,7	84,8	82,2	79,2	74,2	68,0	63,6	58,4	52,9	47,3

PT6A67	LAmox	A	400,0	87,8	81,2	76,8	72,2	64,9	56,7	50,6	43,5	35,4	27,1
PT6A67	LAmox	A	600,0	89,1	82,4	77,9	73,3	66,1	58,1	52,3	45,7	37,8	29,2
PT6A67	LAmox	D	1000,0	90,2	83,7	79,2	74,5	67,0	58,8	52,9	46,7	39,9	33,2
PT6A67	LAmox	D	1100,0	90,2	83,7	79,2	74,5	67,0	58,8	52,9	46,7	39,9	33,2
PT6A67	LAmox	D	1600,0	87,9	81,5	77,2	72,7	65,7	58,1	52,7	46,9	40,5	34,0
PT6A67	LAmox	D	1700,0	87,9	81,5	77,2	72,7	65,7	58,1	52,7	46,9	40,5	34,0
PT6A67	SEL	A	400,0	90,6	86,4	83,9	81,0	76,3	70,7	66,2	60,9	54,6	48,2
PT6A67	SEL	A	600,0	90,8	86,6	83,9	80,9	76,3	71,0	66,8	61,8	55,7	48,8
PT6A67	SEL	D	1000,0	92,8	88,9	86,3	83,3	78,4	72,7	68,5	63,9	58,8	53,6
PT6A67	SEL	D	1100,0	92,8	88,9	86,3	83,3	78,4	72,7	68,5	63,9	58,8	53,6
PT6A67	SEL	D	1600,0	89,4	85,7	83,2	80,5	76,0	70,9	67,2	63,1	58,5	53,7
PT6A67	SEL	D	1700,0	89,4	85,7	83,2	80,5	76,0	70,9	67,2	63,1	58,5	53,7
PW119C	LAmox	A	108,0	91,0	84,0	79,0	73,6	64,7	55,1	48,4	41,1	33,2	25,4
PW119C	LAmox	A	465,0	91,8	84,6	79,4	73,7	64,1	53,6	46,5	39,0	31,1	22,9
PW119C	LAmox	D	3412,0	87,2	80,6	76,2	71,5	64,3	56,5	51,0	44,9	38,3	31,6
PW119C	LAmox	D	4300,0	88,8	82,4	78,2	73,8	67,0	59,9	55,0	49,7	43,9	37,8
PW119C	LAmox	D	4301,0	88,8	82,4	78,2	73,8	67,0	59,9	55,0	49,7	43,9	37,8
PW119C	SEL	A	108,0	95,0	90,3	86,8	82,8	76,2	68,8	63,6	57,8	51,4	45,1
PW119C	SEL	A	465,0	95,3	90,4	86,7	82,5	75,1	66,9	61,3	55,3	48,8	42,2
PW119C	SEL	D	3412,0	90,0	85,7	82,7	79,6	74,6	69,1	65,0	60,5	55,4	50,1
PW119C	SEL	D	4300,0	90,2	86,0	83,2	80,3	75,8	71,0	67,6	63,8	59,5	54,8
PW119C	SEL	D	4301,0	90,2	86,0	83,2	80,3	75,8	71,0	67,6	63,8	59,5	54,8
PW120	LAmox	A	35,0	87,1	80,3	75,5	70,5	62,4	54,0	48,9	43,8	39,1	34,8
PW120	LAmox	A	40,0	90,0	83,7	79,2	74,3	66,7	59,0	54,0	48,8	43,4	38,1
PW120	LAmox	D	90,0	82,8	76,9	72,9	68,7	62,8	56,3	51,8	47,3	42,3	37,6
PW120	LAmox	D	100,0	85,2	79,4	75,8	71,9	65,9	59,7	55,3	51,0	46,2	41,6
PW120	LAmox	D	150,0	90,2	84,4	80,8	76,9	70,9	64,7	60,3	56,0	51,2	46,6



ThoriumSoftware d.o.o.

Mobile: +385 (0) 95 8 70 50 70
 Kontakt: Dario Ilija Rendulić
 Email:
[info@thoriumsoftware.eu;](mailto:info@thoriumsoftware.eu)
direndulic@gmail.com

PW120	SEL	A	35,0	88,9	84,4	81,1	77,7	71,9	65,8	62,3	58,7	55,6	52,8
PW120	SEL	A	40,0	91,8	87,8	84,8	81,5	76,2	70,8	67,4	63,7	59,9	56,1
PW120	SEL	D	90,0	84,6	81,0	78,5	75,9	72,3	68,1	65,2	62,2	58,8	55,6
PW120	SEL	D	100,0	87,0	83,5	81,4	79,1	75,4	71,5	68,7	65,9	62,7	59,6
PW120	SEL	D	150,0	92,0	88,5	86,4	84,1	80,4	76,5	73,7	70,9	67,7	64,6
PW2037	LAmox	A	5000,0	93,3	86,7	82,1	77,1	69,2	60,2	53,4	46,2	38,2	30,2
PW2037	LAmox	A	12000,0	97,8	90,9	86,1	80,9	72,6	63,4	56,5	49,0	40,7	32,4
PW2037	LAmox	D	13000,0	95,6	89,2	84,6	79,6	71,4	62,1	55,2	47,6	39,3	30,8
PW2037	LAmox	D	24000,0	99,7	93,1	88,4	83,2	75,2	66,1	59,8	53,3	46,2	39,0
PW2037	LAmox	D	30000,0	101,5	95,5	91,1	86,4	78,8	70,1	63,7	57,0	49,5	41,9
PW2037	LAmox	D	36000,0	103,7	98,4	94,6	90,5	83,8	75,5	68,9	61,6	53,2	44,6
PW2037	SEL	A	5000,0	95,1	90,8	87,7	84,3	78,7	72,0	66,8	61,1	54,7	48,2
PW2037	SEL	A	12000,0	99,6	95,0	91,7	88,1	82,1	75,2	69,9	63,9	57,2	50,4
PW2037	SEL	D	13000,0	97,4	93,3	90,2	86,8	80,9	73,9	68,6	62,5	55,8	48,8
PW2037	SEL	D	24000,0	101,5	97,2	94,0	90,4	84,7	77,9	73,2	68,2	62,7	57,0
PW2037	SEL	D	30000,0	103,3	99,6	96,7	93,6	88,3	81,9	77,1	71,9	66,0	59,9
PW2037	SEL	D	36000,0	105,5	102,5	100,2	97,7	93,3	87,3	82,3	76,5	69,7	62,6
PW306C	LAmox	A	500,0	84,2	77,2	72,2	66,8	58,1	48,7	42,1	35,1	27,7	20,3
PW306C	LAmox	A	1000,0	85,4	78,1	73,0	67,6	58,8	49,4	42,8	35,9	28,5	21,3
PW306C	LAmox	D	1500,0	86,2	79,5	74,7	69,4	60,7	51,2	44,5	37,2	29,5	21,8
PW306C	LAmox	D	3500,0	95,2	88,8	84,1	78,9	70,3	60,8	54,1	46,9	39,1	31,3
PW306C	LAmox	D	5500,0	101,4	95,1	90,4	85,2	76,5	66,8	60,0	52,6	44,6	36,5
PW306C	SEL	A	500,0	85,4	81,5	78,6	75,2	69,3	62,7	57,8	52,6	46,8	41,0
PW306C	SEL	A	1000,0	86,5	82,4	79,3	75,8	69,9	63,3	58,5	53,4	47,8	42,1
PW306C	SEL	D	1500,0	85,8	82,3	79,5	76,2	70,6	64,0	59,1	53,8	47,9	41,9
PW306C	SEL	D	3500,0	94,9	91,3	88,4	85,2	79,5	72,9	68,1	62,9	57,1	51,2
PW306C	SEL	D	5500,0	101,3	97,9	95,1	91,9	86,3	79,8	75,0	69,7	64,0	58,1



ThoriumSoftware d.o.o.

Mobile: +385 (0) 95 8 70 50 70
 Kontakt: Dario Ilija Rendulić
 Email:
[info@thoriumsoftware.eu;](mailto:info@thoriumsoftware.eu)
direndulic@gmail.com

PW4056	LAmox	A	7000,0	99,8	92,4	87,3	82,0	74,1	65,7	59,6	52,8	45,8	39,1
PW4056	LAmox	A	10000,0	99,9	92,4	87,3	82,0	74,2	65,8	59,7	52,8	45,8	39,0
PW4056	LAmox	A	13000,0	100,5	92,9	87,7	82,4	74,5	66,1	60,0	53,1	46,1	39,4
PW4056	LAmox	A	16000,0	101,4	93,6	88,2	82,9	74,9	66,5	60,4	53,6	46,6	40,0
PW4056	LAmox	D	20000,0	101,9	94,4	89,3	83,9	75,7	67,7	61,9	55,5	49,1	42,9
PW4056	LAmox	D	26000,0	103,4	96,2	91,2	86,1	78,0	69,7	64,0	57,6	51,1	44,9
PW4056	LAmox	D	32000,0	105,1	98,0	93,2	88,1	80,2	71,8	66,0	59,7	53,2	47,0
PW4056	LAmox	D	38000,0	107,0	100,1	95,3	90,4	82,5	74,1	68,3	61,9	55,4	49,2
PW4056	LAmox	D	44000,0	109,5	102,7	98,0	93,1	85,3	76,9	71,2	64,8	58,3	52,2
PW4056	LAmox	D	50000,0	113,3	106,5	101,7	96,9	89,1	81,0	75,3	68,9	62,5	56,4
PW4056	SEL	A	7000,0	102,9	98,2	94,9	91,5	86,1	80,1	75,6	70,5	65,2	60,1
PW4056	SEL	A	10000,0	103,3	98,6	95,2	91,7	86,3	80,3	75,8	70,6	65,2	60,1
PW4056	SEL	A	13000,0	103,9	99,1	95,7	92,1	86,6	80,6	76,1	70,9	65,6	60,6
PW4056	SEL	A	16000,0	104,6	99,8	96,3	92,6	87,0	80,9	76,5	71,4	66,3	61,4
PW4056	SEL	D	20000,0	104,5	99,9	96,5	92,7	86,9	81,1	77,1	72,6	68,0	63,6
PW4056	SEL	D	26000,0	105,0	100,7	97,5	94,1	88,7	83,0	79,0	74,5	70,0	65,6
PW4056	SEL	D	32000,0	106,1	102,0	99,0	95,8	90,6	85,0	81,0	76,5	72,0	67,6
PW4056	SEL	D	38000,0	107,6	103,6	100,8	97,7	92,7	87,2	83,3	78,8	74,3	69,9
PW4056	SEL	D	44000,0	109,9	106,0	103,2	100,2	95,4	90,0	86,2	81,8	77,3	73,0
PW4056	SEL	D	50000,0	113,5	109,6	106,9	104,0	99,2	94,2	90,5	86,1	81,7	77,5
PW4158	LAmox	A	4000,0	97,0	90,1	84,8	78,9	70,6	62,1	56,0	49,2	41,5	33,6
PW4158	LAmox	A	12000,0	99,5	92,3	86,8	81,1	72,4	63,4	57,2	50,2	42,5	34,5
PW4158	LAmox	D	23000,0	104,9	95,7	89,4	83,0	73,2	62,8	56,1	49,2	41,7	34,0
PW4158	LAmox	D	32000,0	107,8	99,8	94,4	88,6	79,1	68,1	61,4	54,6	47,0	39,0
PW4158	LAmox	D	41000,0	108,7	101,0	95,9	90,3	81,0	71,5	65,1	58,2	50,5	42,4
PW4158	LAmox	D	50000,0	111,5	103,9	98,9	93,7	85,4	76,6	70,4	63,7	56,0	47,6
PW4158	SEL	A	4000,0	99,7	94,9	91,6	88,2	82,7	76,6	72,0	66,8	60,8	54,3



ThoriumSoftware d.o.o.

Mobile: +385 (0) 95 8 70 50 70
 Kontakt: Dario Ilija Rendulić
 Email:
[info@thoriumsoftware.eu;](mailto:info@thoriumsoftware.eu)
direndulic@gmail.com

PW4158	SEL	A	12000,0	102,5	97,8	94,1	90,2	84,2	77,8	73,1	67,8	61,6	55,1
PW4158	SEL	D	23000,0	104,1	98,5	94,2	90,0	83,7	76,8	71,9	66,8	61,0	54,7
PW4158	SEL	D	32000,0	106,1	101,4	97,6	94,0	88,1	81,6	77,0	72,0	66,2	60,0
PW4158	SEL	D	41000,0	107,3	103,1	99,7	96,4	91,0	85,0	80,6	75,7	70,1	63,8
PW4158	SEL	D	50000,0	110,6	106,5	103,4	100,2	95,1	89,5	85,3	80,4	74,6	68,1
PW4460	LAmox	A	9300,0	99,2	92,8	87,4	82,4	74,1	65,9	59,6	53,2	46,6	40,4
PW4460	LAmox	A	22400,0	102,5	95,6	90,5	84,9	76,3	67,5	61,2	54,8	48,1	41,7
PW4460	LAmox	D	24960,0	101,9	94,1	89,1	84,0	76,2	67,6	61,3	54,8	47,2	40,0
PW4460	LAmox	D	37100,0	104,4	97,1	92,4	87,5	80,2	71,9	65,8	59,1	51,7	44,7
PW4460	LAmox	D	49010,0	107,4	100,9	96,4	91,9	84,7	76,9	70,8	64,4	56,7	50,2
PW4460	LAmox	D	53830,0	109,6	103,2	98,6	94,0	87,3	79,4	73,8	67,1	59,7	53,2
PW4460	SEL	A	9300,0	101,0	96,9	93,0	89,6	83,6	77,7	73,0	68,1	63,1	58,4
PW4460	SEL	A	22400,0	104,3	99,7	96,1	92,1	85,8	79,3	74,6	69,7	64,6	59,7
PW4460	SEL	D	24960,0	103,7	98,2	94,7	91,2	85,7	79,4	74,7	69,7	63,7	58,0
PW4460	SEL	D	37100,0	106,2	101,2	98,0	94,7	89,7	83,7	79,2	74,0	68,2	62,7
PW4460	SEL	D	49010,0	109,2	105,0	102,0	99,1	94,2	88,7	84,2	79,3	73,2	68,2
PW4460	SEL	D	53830,0	111,4	107,3	104,2	101,2	96,8	91,2	87,2	82,0	76,2	71,2
PW530A	LAmox	A	500,0	88,7	81,1	75,8	70,1	60,9	51,1	44,3	37,1	29,4	21,9
PW530A	LAmox	A	800,0	90,3	82,7	77,5	71,8	62,9	53,3	46,7	39,7	32,3	25,0
PW530A	LAmox	D	1200,0	94,0	87,0	81,9	76,3	67,2	57,2	50,1	42,6	34,5	26,4
PW530A	LAmox	D	1600,0	95,8	89,1	84,2	78,9	70,0	60,3	53,4	45,9	38,0	30,0
PW530A	LAmox	D	2000,0	98,5	91,8	86,8	81,4	72,4	62,5	55,5	47,9	39,8	31,7
PW530A	LAmox	D	2400,0	100,2	93,6	88,8	83,5	74,7	65,0	58,1	50,7	42,8	34,8
PW530A	SEL	A	500,0	88,6	84,0	80,7	77,1	71,1	64,4	59,7	54,6	49,2	43,7
PW530A	SEL	A	800,0	90,4	85,8	82,5	78,9	73,0	66,6	62,0	57,1	51,8	46,6
PW530A	SEL	D	1200,0	92,2	88,0	84,8	81,3	75,3	68,5	63,7	58,4	52,6	46,9
PW530A	SEL	D	1600,0	95,5	91,5	88,4	84,8	78,8	71,9	66,9	61,4	55,5	49,5



ThoriumSoftware d.o.o.

Mobile: +385 (0) 95 8 70 50 70
 Kontakt: Dario Ilija Rendulić
 Email:
[info@thoriumsoftware.eu;](mailto:info@thoriumsoftware.eu)
direndulic@gmail.com

PW530A	SEL	D	2000,0	98,8	94,4	91,2	87,5	81,4	74,6	69,7	64,5	58,7	53,0
PW530A	SEL	D	2400,0	100,2	96,4	93,5	90,1	84,2	77,4	72,5	67,0	61,1	55,0
PW545A	LAmox	A	550,0	91,5	84,2	78,9	73,1	63,6	53,3	46,0	38,2	29,9	21,6
PW545A	LAmox	A	750,0	93,0	85,6	80,3	74,5	65,1	54,7	47,4	39,6	31,3	23,0
PW545A	LAmox	D	1750,0	94,4	87,6	82,7	77,3	68,3	58,5	51,5	44,0	35,9	27,8
PW545A	LAmox	D	2000,0	94,6	87,6	82,5	77,1	68,3	58,7	52,1	45,0	37,5	30,0
PW545A	LAmox	D	2500,0	96,4	89,3	84,3	78,9	70,1	60,6	53,9	46,8	39,3	31,8
PW545A	LAmox	D	3000,0	97,4	90,8	86,1	81,0	72,6	63,5	57,1	50,2	42,8	35,5
PW545A	LAmox	D	3500,0	99,7	93,2	88,5	83,4	75,1	66,0	59,6	52,8	45,6	38,3
PW545A	SEL	A	550,0	92,1	87,1	83,4	79,1	71,7	63,4	57,4	50,8	43,6	36,4
PW545A	SEL	A	750,0	93,6	88,6	84,8	80,5	73,2	64,9	58,9	52,4	45,3	38,1
PW545A	SEL	D	1750,0	94,8	90,3	86,9	83,0	76,3	68,7	63,2	57,2	50,6	44,0
PW545A	SEL	D	2000,0	95,9	91,1	87,5	83,6	77,1	69,8	64,7	59,1	53,1	47,1
PW545A	SEL	D	2500,0	98,0	93,2	89,6	85,7	79,2	71,9	66,8	61,2	55,2	49,2
PW545A	SEL	D	3000,0	98,7	94,4	91,2	87,6	81,5	74,6	69,7	64,3	58,5	52,6
PW545A	SEL	D	3500,0	101,1	96,8	93,6	90,1	84,0	77,2	72,3	67,0	61,3	55,5
PW610F	LAmox	A	79,0	77,0	69,5	64,6	59,8	52,4	44,4	38,6	32,1	24,5	16,3
PW610F	LAmox	A	112,0	77,3	69,8	64,9	59,9	52,4	44,3	38,5	32,0	24,5	16,2
PW610F	LAmox	A	160,0	77,9	70,4	65,4	60,3	52,5	44,4	38,5	32,0	24,5	16,2
PW610F	LAmox	A	208,0	78,5	71,0	66,0	60,8	52,9	44,6	38,7	32,1	24,6	16,3
PW610F	LAmox	A	262,0	79,2	71,8	66,8	61,5	53,5	45,0	39,0	32,4	24,8	16,6
PW610F	LAmox	A	328,0	80,1	72,9	67,9	62,7	54,5	45,8	39,7	32,9	25,2	17,0
PW610F	LAmox	A	404,0	81,2	74,3	69,5	64,3	56,1	47,1	40,7	33,8	26,0	17,7
PW610F	LAmox	D	489,0	83,7	76,9	72,1	66,9	58,4	48,9	42,1	34,6	26,1	17,0
PW610F	LAmox	D	587,0	86,2	79,1	74,2	68,9	60,4	50,9	44,0	36,4	27,8	18,7
PW610F	LAmox	D	689,0	88,3	81,2	76,2	70,9	62,3	52,9	46,0	38,3	29,6	20,4
PW610F	LAmox	D	807,0	90,3	83,3	78,3	73,1	64,6	55,2	48,3	40,5	31,8	22,6



ThoriumSoftware d.o.o.

Mobile: +385 (0) 95 8 70 50 70
 Kontakt: Dario Ilija Rendulić
 Email:
[info@thoriumsoftware.eu;](mailto:info@thoriumsoftware.eu)
direndulic@gmail.com

PW610F	LAmix	D	910,0	91,7	84,8	80,0	74,9	66,5	57,1	50,2	42,5	33,7	24,4
PW610F	LAmix	D	935,0	91,9	85,1	80,4	75,3	67,0	57,6	50,7	43,0	34,2	24,9
PW610F	SEL	A	79,0	78,5	74,3	71,3	68,3	63,5	58,1	54,0	49,2	43,4	36,9
PW610F	SEL	A	112,0	78,7	74,4	71,5	68,4	63,5	58,1	54,0	49,1	43,4	36,8
PW610F	SEL	A	160,0	79,0	74,7	71,8	68,7	63,7	58,2	54,0	49,2	43,4	36,8
PW610F	SEL	A	208,0	79,5	75,2	72,3	69,2	64,1	58,4	54,2	49,3	43,5	36,9
PW610F	SEL	A	262,0	80,1	75,9	72,9	69,8	64,7	58,9	54,7	49,7	43,8	37,2
PW610F	SEL	A	328,0	81,0	76,9	74,0	70,8	65,7	59,8	55,5	50,4	44,4	37,7
PW610F	SEL	A	404,0	82,2	78,3	75,5	72,4	67,2	61,3	56,8	51,6	45,4	38,6
PW610F	SEL	D	489,0	83,4	79,6	76,8	73,6	68,4	62,1	57,3	51,7	44,9	37,5
PW610F	SEL	D	587,0	85,7	81,9	78,9	75,7	70,4	64,2	59,4	53,8	47,0	39,6
PW610F	SEL	D	689,0	87,9	84,1	81,0	77,7	72,4	66,3	61,5	55,9	49,2	41,7
PW610F	SEL	D	807,0	90,1	86,3	83,4	80,1	74,9	68,7	64,0	58,4	51,7	44,1
PW610F	SEL	D	910,0	91,8	88,1	85,3	82,2	77,0	70,8	66,1	60,5	53,7	46,1
PW610F	SEL	D	935,0	92,2	88,4	85,7	82,7	77,5	71,3	66,6	60,9	54,2	46,6
PW615F	LAmix	A	300,0	82,8	75,7	70,6	65,1	56,1	46,3	39,5	32,2	24,4	16,6
PW615F	LAmix	A	500,0	87,1	79,9	74,7	69,0	59,8	49,7	42,6	35,0	26,9	18,8
PW615F	LAmix	D	700,0	90,2	83,5	78,6	73,1	64,1	54,0	46,9	39,2	31,0	22,7
PW615F	LAmix	D	900,0	94,8	87,7	82,6	77,0	67,7	57,5	50,3	42,5	34,2	25,9
PW615F	LAmix	D	1100,0	96,4	89,8	85,0	79,6	70,6	60,5	53,4	45,7	37,3	28,9
PW615F	LAmix	D	1300,0	97,4	91,1	86,4	81,2	72,5	62,7	55,8	48,3	40,2	32,0
PW615F	SEL	A	300,0	85,5	81,7	78,7	75,3	69,5	62,8	58,0	52,7	46,9	41,1
PW615F	SEL	A	500,0	87,0	82,9	79,8	76,3	70,4	63,8	59,0	53,9	48,3	42,6
PW615F	SEL	D	700,0	89,6	85,7	82,6	79,0	73,0	65,9	60,8	55,2	49,1	42,8
PW615F	SEL	D	900,0	92,9	89,0	86,0	82,5	76,5	69,6	64,6	59,2	53,2	47,1
PW615F	SEL	D	1100,0	95,6	92,0	89,1	85,7	79,8	73,0	68,0	62,5	56,5	50,4
PW615F	SEL	D	1300,0	97,4	94,1	91,3	88,1	82,4	75,7	70,8	65,4	59,4	53,3



ThoriumSoftware d.o.o.

Mobile: +385 (0) 95 8 70 50 70
 Kontakt: Dario Ilija Rendulić
 Email:
[info@thoriumsoftware.eu;](mailto:info@thoriumsoftware.eu)
direndulic@gmail.com

RAISQP	LAmix	A	23,0	77,2	70,0	65,1	59,9	51,5	42,3	36,2	30,0	23,6	17,9
RAISQP	LAmix	A	30,0	78,3	71,3	67,4	61,7	53,9	45,6	39,8	33,6	27,0	20,1
RAISQP	LAmix	D	60,0	84,7	78,1	73,6	68,9	61,5	53,8	48,4	42,6	36,3	29,8
RAISQP	LAmix	D	85,0	89,2	82,7	78,4	74,0	67,2	60,1	55,3	50,2	44,6	38,7
RAISQP	LAmix	D	100,0	96,8	90,5	86,3	82,1	75,4	68,3	63,3	57,7	51,3	44,6
RAISQP	SEL	A	23,0	82,3	77,9	74,7	71,4	65,5	59,2	54,8	50,1	45,6	41,3
RAISQP	SEL	A	30,0	82,6	78,6	76,3	72,7	67,6	61,8	57,6	52,9	48,2	43,9
RAISQP	SEL	D	60,0	87,6	84,1	81,6	78,8	74,1	68,8	65,0	60,8	56,1	51,4
RAISQP	SEL	D	85,0	92,3	88,6	86,1	83,4	79,2	74,7	71,3	68,0	63,9	60,1
RAISQP	SEL	D	100,0	97,8	94,5	92,3	90,0	86,3	82,0	78,9	75,2	70,9	66,0
RB183	LAmix	A	1798,0	94,7	87,6	82,6	77,6	69,3	60,8	54,7	47,4	38,9	29,9
RB183	LAmix	A	2698,0	95,6	89,1	84,5	79,8	72,3	64,0	57,9	50,6	42,0	32,9
RB183	LAmix	A	3147,0	98,1	91,3	86,4	81,6	74,2	65,6	59,5	52,2	43,7	34,8
RB183	LAmix	A	3597,0	98,7	92,2	87,3	82,6	75,6	67,2	61,1	53,8	45,3	36,3
RB183	LAmix	A	4496,0	100,4	94,3	90,1	85,4	78,8	70,4	64,3	57,0	48,5	39,5
RB183	LAmix	D	4496,0	101,6	95,0	90,6	85,8	78,6	70,9	65,2	58,5	50,0	39,6
RB183	LAmix	D	10116,0	119,8	113,4	108,9	104,2	96,9	89,3	83,5	76,9	68,4	58,0
RB183	SEL	A	1798,0	96,5	91,7	88,2	84,8	78,8	72,6	68,1	62,3	55,4	47,9
RB183	SEL	A	2698,0	97,4	93,2	90,1	87,0	81,8	75,8	71,3	65,5	58,5	50,9
RB183	SEL	A	3147,0	99,9	95,4	92,0	88,8	83,7	77,4	72,9	67,1	60,2	52,8
RB183	SEL	A	3597,0	100,5	96,3	92,9	89,8	85,1	79,0	74,5	68,7	61,8	54,3
RB183	SEL	A	4496,0	102,2	98,4	95,7	92,6	88,3	82,2	77,7	71,9	65,0	57,5
RB183	SEL	D	4496,0	103,4	99,1	96,2	93,0	88,1	82,7	78,6	73,4	66,5	57,6
RB183	SEL	D	10116,0	121,6	117,5	114,5	111,4	106,4	101,1	96,9	91,8	84,9	76,0
RB183P	LAmix	A	1798,0	93,7	86,9	82,3	77,3	69,1	60,6	54,2	46,5	37,4	27,6
RB183P	LAmix	A	2698,0	94,0	87,9	83,8	79,5	72,0	63,5	57,0	49,3	40,2	30,5
RB183P	LAmix	A	3147,0	97,0	90,5	85,9	81,3	73,7	64,9	58,5	50,8	41,9	32,4



ThoriumSoftware d.o.o.

Mobile: +385 (0) 95 8 70 50 70
 Kontakt: Dario Ilija Rendulić
 Email:
[info@thoriumsoftware.eu;](mailto:info@thoriumsoftware.eu)
direndulic@gmail.com

RB183P	LAmox	A	3597,0	97,8	91,5	87,2	82,5	74,9	66,4	59,9	52,2	43,3	33,7
RB183P	LAmox	A	4496,0	99,9	93,8	89,6	85,3	77,8	69,3	62,8	55,1	46,1	36,4
RB183P	LAmox	D	4496,0	101,5	94,6	89,9	84,9	77,4	69,3	63,3	56,3	47,5	36,5
RB183P	LAmox	D	10116,0	116,3	109,6	104,9	100,1	92,5	84,4	78,4	71,4	62,5	51,5
RB183P	SEL	A	1798,0	95,5	91,0	87,9	84,5	78,6	72,4	67,6	61,4	53,9	45,6
RB183P	SEL	A	2698,0	95,8	92,0	89,4	86,7	81,5	75,3	70,4	64,2	56,7	48,5
RB183P	SEL	A	3147,0	98,8	94,6	91,5	88,5	83,2	76,7	71,9	65,7	58,4	50,4
RB183P	SEL	A	3597,0	99,6	95,6	92,8	89,7	84,4	78,2	73,3	67,1	59,8	51,7
RB183P	SEL	A	4496,0	101,7	97,9	95,2	92,5	87,3	81,1	76,2	70,0	62,6	54,4
RB183P	SEL	D	4496,0	103,3	98,7	95,5	92,1	86,9	81,1	76,7	71,2	64,0	54,5
RB183P	SEL	D	10116,0	118,1	113,7	110,5	107,3	102,0	96,2	91,8	86,3	79,0	69,5
RB2112	LAmox	A	8000,0	99,2	92,0	86,6	81,0	72,1	63,0	56,5	49,1	40,8	32,5
RB2112	LAmox	A	14000,0	102,8	95,8	90,7	85,3	76,8	67,9	61,5	54,2	46,1	38,1
RB2112	LAmox	D	20000,0	104,8	97,4	93,0	87,8	79,6	70,7	64,4	57,2	49,2	41,4
RB2112	LAmox	D	28000,0	106,7	99,9	95,1	90,0	82,0	73,2	66,9	59,8	51,9	44,1
RB2112	LAmox	D	36000,0	108,3	101,6	97,0	92,0	84,2	75,4	69,2	62,2	54,3	46,7
RB2112	SEL	A	8000,0	100,7	95,5	91,7	87,5	81,1	74,0	68,8	63,0	56,3	49,7
RB2112	SEL	A	14000,0	104,8	100,0	96,4	92,5	86,4	79,5	74,5	68,8	62,3	55,8
RB2112	SEL	D	20000,0	107,3	102,6	99,1	95,5	89,5	82,8	77,8	72,3	65,8	59,5
RB2112	SEL	D	28000,0	109,8	105,3	101,9	98,5	92,7	86,1	81,2	75,8	69,5	63,2
RB2112	SEL	D	36000,0	111,4	107,1	103,8	100,5	94,8	88,3	83,5	78,1	71,9	65,6
RDA532	LAmox	A	32,0	96,4	88,7	82,9	76,2	65,3	55,1	48,3	41,3	34,1	26,4
RDA532	LAmox	A	73,0	98,2	91,1	86,2	81,2	73,6	65,9	60,5	54,7	48,2	40,7
RDA532	LAmox	D	73,0	98,2	91,1	86,2	81,2	73,6	65,9	60,5	54,7	48,2	40,7
RDA532	LAmox	D	100,0	98,6	92,2	87,8	83,4	76,4	68,9	63,4	57,3	50,3	42,0
RDA532	SEL	A	32,0	98,9	93,5	89,1	84,0	75,3	67,3	62,0	56,5	50,8	44,6
RDA532	SEL	A	73,0	100,2	95,4	92,0	88,4	83,1	77,7	73,8	69,5	64,5	58,5



ThoriumSoftware d.o.o.

Mobile: +385 (0) 95 8 70 50 70
 Kontakt: Dario Ilija Rendulić
 Email:
[info@thoriumsoftware.eu;](mailto:info@thoriumsoftware.eu)
direndulic@gmail.com

RDA532	SEL	D	73,0	100,2	95,4	92,0	88,4	83,1	77,7	73,8	69,5	64,5	58,5
RDA532	SEL	D	100,0	101,3	97,2	94,3	91,4	86,7	81,4	77,5	72,8	67,3	60,6
RR535E	LAmox	A	6000,0	91,9	84,7	80,1	75,2	67,4	58,6	52,1	45,1	38,1	31,4
RR535E	LAmox	A	7000,0	92,0	84,9	80,3	75,4	67,6	58,8	52,4	45,4	38,4	31,8
RR535E	LAmox	A	8000,0	92,2	85,2	80,6	75,6	67,8	59,0	52,7	45,8	38,8	32,2
RR535E	LAmox	A	9000,0	92,5	85,5	80,8	75,9	68,0	59,3	53,0	46,2	39,2	32,7
RR535E	LAmox	D	10000,0	91,0	84,0	79,7	75,1	67,5	59,1	53,0	46,3	39,4	33,0
RR535E	LAmox	D	15000,0	95,7	87,9	83,1	78,4	70,8	62,3	56,3	49,8	43,1	36,8
RR535E	LAmox	D	20000,0	99,1	91,1	86,3	81,5	73,8	65,4	59,5	53,0	46,4	40,1
RR535E	LAmox	D	25000,0	101,6	93,9	89,1	84,3	76,7	68,3	62,4	55,9	49,2	43,0
RR535E	LAmox	D	30000,0	103,7	96,5	91,9	87,2	79,6	71,2	65,3	58,7	52,0	45,8
RR535E	LAmox	D	35000,0	106,2	100,3	96,1	91,6	84,1	75,8	69,7	63,0	56,2	49,9
RR535E	SEL	A	6000,0	95,9	90,9	87,8	84,6	79,2	72,9	68,1	62,9	57,6	52,5
RR535E	SEL	A	7000,0	95,8	91,0	88,0	84,7	79,3	73,1	68,4	63,2	58,0	53,0
RR535E	SEL	A	8000,0	95,9	91,2	88,2	84,9	79,6	73,4	68,7	63,6	58,4	53,5
RR535E	SEL	A	9000,0	96,0	91,5	88,5	85,2	79,8	73,7	69,1	64,0	58,9	54,1
RR535E	SEL	D	10000,0	93,9	89,5	86,4	83,5	78,3	72,4	68,0	63,0	57,9	53,2
RR535E	SEL	D	15000,0	98,4	93,9	90,7	87,5	82,1	76,1	71,8	67,0	62,1	57,6
RR535E	SEL	D	20000,0	101,6	97,1	94,0	90,8	85,4	79,4	75,1	70,4	65,7	61,2
RR535E	SEL	D	25000,0	104,0	99,7	96,6	93,5	88,2	82,3	78,1	73,5	68,8	64,4
RR535E	SEL	D	30000,0	106,0	101,8	98,8	95,9	90,8	85,1	81,0	76,5	71,8	67,5
RR535E	SEL	D	35000,0	108,3	104,5	101,8	99,4	94,6	89,4	85,4	80,9	76,2	71,9
SPEYHK	LAmox	A	1000,0	86,5	80,4	76,1	71,5	64,1	56,3	50,8	45,0	38,9	32,8
SPEYHK	LAmox	A	2000,0	90,6	84,5	80,2	75,6	68,2	60,4	54,9	49,1	43,0	36,9
SPEYHK	LAmox	A	4000,0	98,8	92,7	88,4	83,8	76,4	68,6	63,1	57,3	51,2	45,1
SPEYHK	LAmox	A	6000,0	108,7	102,6	98,3	93,7	86,3	78,5	73,0	67,2	61,1	55,0
SPEYHK	LAmox	A	8000,0	113,5	107,4	103,1	98,5	91,1	83,3	77,8	72,0	65,9	59,8



ThoriumSoftware d.o.o.

Mobile: +385 (0) 95 8 70 50 70
 Kontakt: Dario Ilija Rendulić
 Email:
[info@thoriumsoftware.eu;](mailto:info@thoriumsoftware.eu)
direndulic@gmail.com

SPEYHK	LAmox	A	10000,0	119,4	113,3	109,0	104,4	97,0	89,2	83,7	77,9	71,8	65,7
SPEYHK	LAmox	D	1000,0	86,5	80,4	76,1	71,5	64,1	56,3	50,8	45,0	38,9	32,8
SPEYHK	LAmox	D	2000,0	90,6	84,5	80,2	75,6	68,2	60,4	54,9	49,1	43,0	36,9
SPEYHK	LAmox	D	4000,0	98,8	92,7	88,4	83,8	76,4	68,6	63,1	57,3	51,2	45,1
SPEYHK	LAmox	D	6000,0	108,7	102,6	98,3	93,7	86,3	78,5	73,0	67,2	61,1	55,0
SPEYHK	LAmox	D	8000,0	113,5	107,4	103,1	98,5	91,1	83,3	77,8	72,0	65,9	59,8
SPEYHK	LAmox	D	10000,0	119,4	113,3	109,0	104,4	97,0	89,2	83,7	77,9	71,8	65,7
SPEYHK	SEL	A	1000,0	89,4	85,5	82,5	79,1	73,3	66,8	62,1	56,9	51,3	45,6
SPEYHK	SEL	A	2000,0	93,5	89,6	86,6	83,2	77,4	70,9	66,2	61,0	55,4	49,7
SPEYHK	SEL	A	4000,0	101,7	97,8	94,8	91,4	85,6	79,1	74,4	69,2	63,6	57,9
SPEYHK	SEL	A	6000,0	111,8	107,9	104,9	101,5	95,7	89,2	84,5	79,3	73,7	68,0
SPEYHK	SEL	A	8000,0	117,3	113,4	110,4	107,0	101,2	94,7	90,0	84,8	79,2	73,5
SPEYHK	SEL	A	10000,0	123,9	120,0	117,0	113,6	107,8	101,3	96,6	91,4	85,8	80,1
SPEYHK	SEL	D	1000,0	89,4	85,5	82,5	79,1	73,3	66,8	62,1	56,9	51,3	45,6
SPEYHK	SEL	D	2000,0	93,5	89,6	86,6	83,2	77,4	70,9	66,2	61,0	55,4	49,7
SPEYHK	SEL	D	4000,0	101,7	97,8	94,8	91,4	85,6	79,1	74,4	69,2	63,6	57,9
SPEYHK	SEL	D	6000,0	111,8	107,9	104,9	101,5	95,7	89,2	84,5	79,3	73,7	68,0
SPEYHK	SEL	D	8000,0	117,3	113,4	110,4	107,0	101,2	94,7	90,0	84,8	79,2	73,5
SPEYHK	SEL	D	10000,0	123,9	120,0	117,0	113,6	107,8	101,3	96,6	91,4	85,8	80,1
T1KBFP	LAmox	A	5250,0	92,3	85,1	80,3	75,4	67,4	58,8	52,6	45,9	39,1	32,7
T1KBFP	LAmox	A	10500,0	92,7	85,5	80,7	75,7	67,8	59,2	53,0	46,3	39,6	33,3
T1KBFP	LAmox	A	15750,0	93,6	86,4	81,5	76,5	68,6	60,0	53,9	47,2	40,5	34,3
T1KBFP	LAmox	A	21000,0	94,6	87,4	82,5	77,5	69,5	61,0	54,9	48,3	41,7	35,5
T1KBFP	LAmox	D	20000,0	92,9	85,9	81,3	76,4	68,5	60,0	53,9	47,0	40,1	33,6
T1KBFP	LAmox	D	29000,0	94,8	88,0	83,3	78,2	70,1	61,4	55,2	48,5	41,7	35,4
T1KBFP	LAmox	D	38000,0	97,1	90,2	85,7	80,4	72,3	63,5	57,3	50,7	44,0	37,8
T1KBFP	LAmox	D	47000,0	99,5	92,5	88,2	82,8	74,6	65,9	59,8	53,2	46,6	40,4



ThoriumSoftware d.o.o.

Mobile: +385 (0) 95 8 70 50 70
 Kontakt: Dario Ilija Rendulić
 Email:
[info@thoriumsoftware.eu;](mailto:info@thoriumsoftware.eu)
direndulic@gmail.com

T1KBFP	LAmox	D	56000,0	101,9	94,8	90,8	85,1	77,0	68,4	62,4	55,9	49,3	43,2
T1KBFP	LAmox	D	65000,0	105,2	97,8	94,2	88,3	80,3	71,9	66,0	59,6	53,2	47,2
T1KBFP	SEL	A	5250,0	94,9	90,5	87,4	84,3	79,1	73,1	68,5	63,4	58,3	53,5
T1KBFP	SEL	A	10500,0	95,9	91,3	88,2	84,9	79,4	73,3	68,7	63,7	58,6	53,9
T1KBFP	SEL	A	15750,0	97,1	92,5	89,2	85,8	80,2	74,1	69,6	64,7	59,6	55,0
T1KBFP	SEL	A	21000,0	98,4	93,7	90,2	86,8	81,2	75,2	70,8	65,9	61,0	56,4
T1KBFP	SEL	D	20000,0	96,4	91,8	88,6	84,8	79,1	73,0	68,5	63,5	58,4	53,6
T1KBFP	SEL	D	29000,0	97,1	92,7	90,0	86,1	80,5	74,5	70,1	65,2	60,3	55,8
T1KBFP	SEL	D	38000,0	98,6	94,3	91,8	87,9	82,4	76,6	72,3	67,5	62,8	58,4
T1KBFP	SEL	D	47000,0	100,5	96,2	94,0	89,9	84,7	78,9	74,8	70,1	65,5	61,2
T1KBFP	SEL	D	56000,0	102,5	98,3	96,2	92,1	87,0	81,5	77,4	72,9	68,3	64,1
T1KBFP	SEL	D	65000,0	105,4	101,2	99,3	95,1	90,2	84,9	81,0	76,6	72,2	68,2
T56A7	LAmox	A	30,0	96,0	89,4	84,8	79,9	71,9	62,4	55,0	47,0	39,2	31,6
T56A7	LAmox	A	100,0	99,8	93,3	88,9	84,3	77,3	70,0	65,1	60,0	54,5	48,4
T56A7	LAmox	D	30,0	96,0	89,4	84,8	79,9	71,9	62,4	55,0	47,0	39,2	31,6
T56A7	LAmox	D	100,0	99,8	93,3	88,9	84,3	77,3	70,0	65,1	60,0	54,5	48,4
T56A7	SEL	A	30,0	98,0	93,7	90,6	87,2	81,4	74,2	68,3	61,8	55,5	49,4
T56A7	SEL	A	100,0	100,1	95,8	92,9	89,8	85,0	80,0	76,6	72,9	69,0	64,4
T56A7	SEL	D	30,0	98,0	93,7	90,6	87,2	81,4	74,2	68,3	61,8	55,5	49,4
T56A7	SEL	D	100,0	100,1	95,8	92,9	89,8	85,0	80,0	76,6	72,9	69,0	64,4
TAY620	LAmox	A	3372,0	89,1	82,7	78,4	73,9	66,8	58,9	53,1	46,9	40,4	34,3
TAY620	LAmox	A	5620,0	93,0	86,8	82,6	78,0	70,7	62,6	56,8	50,3	43,6	37,2
TAY620	LAmox	D	4496,0	91,5	85,3	81,0	76,1	68,7	60,2	54,3	48,0	41,4	35,7
TAY620	LAmox	D	13489,0	106,2	100,2	96,1	91,5	84,4	76,4	70,3	63,6	56,4	50,3
TAY620	SEL	A	3372,0	90,9	86,8	84,0	81,1	76,3	70,7	66,5	61,8	56,9	52,3
TAY620	SEL	A	5620,0	94,8	90,9	88,2	85,2	80,2	74,4	70,2	65,2	60,1	55,2
TAY620	SEL	D	4496,0	93,3	89,4	86,6	83,3	78,2	72,0	67,7	62,9	57,9	53,7



ThoriumSoftware d.o.o.

Mobile: +385 (0) 95 8 70 50 70
 Kontakt: Dario Ilija Rendulić
 Email:
[info@thoriumsoftware.eu;](mailto:info@thoriumsoftware.eu)
direndulic@gmail.com

TAY620	SEL	D	13489,0	108,0	104,3	101,7	98,7	93,9	88,2	83,7	78,5	72,9	68,3
TAY650	LAmox	A	3372,0	89,3	82,9	78,6	74,0	66,7	58,8	53,1	46,9	40,4	34,3
TAY650	LAmox	A	5620,0	92,3	86,0	81,7	77,1	69,7	61,7	56,0	49,8	43,3	37,2
TAY650	LAmox	D	4496,0	91,3	84,8	80,2	75,0	67,3	58,6	53,0	47,2	41,1	35,8
TAY650	LAmox	D	13488,0	104,7	98,8	94,6	90,2	83,2	75,5	69,8	63,6	57,1	51,5
TAY650	SEL	A	3372,0	91,1	87,0	84,2	81,2	76,2	70,6	66,5	61,8	56,9	52,3
TAY650	SEL	A	5620,0	94,1	90,1	87,3	84,3	79,2	73,5	69,4	64,7	59,8	55,2
TAY650	SEL	D	4496,0	93,1	88,9	85,8	82,2	76,8	70,4	66,4	62,1	57,6	53,8
TAY650	SEL	D	13488,0	106,5	102,9	100,2	97,4	92,7	87,3	83,2	78,5	73,6	69,5
TAY651	LAmox	A	5000,0	91,4	84,7	80,1	75,3	67,7	59,5	53,7	47,3	40,8	34,6
TAY651	LAmox	A	7000,0	97,9	91,2	86,7	82,0	74,4	66,0	60,1	53,4	46,6	40,1
TAY651	LAmox	D	9000,0	101,2	94,6	90,1	85,4	77,8	69,4	63,3	56,6	49,8	43,3
TAY651	LAmox	D	11000,0	104,0	97,4	92,9	88,2	80,6	72,2	66,2	59,4	52,5	45,9
TAY651	LAmox	D	13000,0	108,4	101,8	97,4	92,7	85,1	76,8	70,8	64,4	57,9	51,7
TAY651	SEL	A	5000,0	95,7	91,1	87,8	84,4	79,0	73,0	68,7	63,7	58,6	53,8
TAY651	SEL	A	7000,0	100,5	96,1	93,1	89,8	84,5	78,4	73,9	68,7	63,4	58,4
TAY651	SEL	D	9000,0	103,5	99,1	96,2	92,9	87,6	81,5	76,9	71,7	66,4	61,3
TAY651	SEL	D	11000,0	106,3	101,9	98,9	95,7	90,4	84,3	79,7	74,3	68,8	63,6
TAY651	SEL	D	13000,0	110,2	105,9	102,9	99,7	94,4	88,3	83,8	78,7	73,5	68,6
TAYGIV	LAmox	A	2000,0	86,0	79,9	75,6	71,0	63,7	55,8	50,3	44,5	38,4	32,4
TAYGIV	LAmox	A	3000,0	87,2	81,1	76,8	72,2	64,8	57,0	51,5	45,7	39,6	33,5
TAYGIV	LAmox	A	4000,0	88,5	82,4	78,1	73,5	66,2	58,3	52,8	47,0	40,9	34,9
TAYGIV	LAmox	A	6000,0	91,5	85,4	81,1	76,5	69,2	61,3	55,8	50,0	43,9	37,9
TAYGIV	LAmox	A	8000,0	95,1	88,9	84,7	80,0	72,7	64,8	59,4	53,6	47,4	41,4
TAYGIV	LAmox	A	10000,0	99,1	93,0	88,7	84,1	76,7	68,9	63,4	57,6	51,5	45,4
TAYGIV	LAmox	D	2000,0	86,0	79,9	75,6	71,0	63,7	55,8	50,3	44,5	38,4	32,4
TAYGIV	LAmox	D	3000,0	87,2	81,1	76,8	72,2	64,8	57,0	51,5	45,7	39,6	33,5

TAYGIV	LAmox	D	4000,0	88,5	82,4	78,1	73,5	66,2	58,3	52,8	47,0	40,9	34,9
TAYGIV	LAmox	D	6000,0	91,5	85,4	81,1	76,5	69,2	61,3	55,8	50,0	43,9	37,9
TAYGIV	LAmox	D	8000,0	95,1	88,9	84,7	80,0	72,7	64,8	59,4	53,6	47,4	41,4
TAYGIV	LAmox	D	10000,0	99,1	93,0	88,7	84,1	76,7	68,9	63,4	57,6	51,5	45,4
TAYGIV	LAmox	D	11000,0	101,0	95,0	91,0	86,0	79,0	71,0	65,5	60,0	54,0	47,5
TAYGIV	LAmox	D	11200,0	101,5	95,5	91,5	86,5	79,5	71,5	66,0	60,5	54,5	48,0
TAYGIV	SEL	A	2000,0	89,9	86,0	83,0	79,6	73,9	67,3	62,6	57,4	51,8	46,2
TAYGIV	SEL	A	3000,0	90,7	86,8	83,8	80,4	74,6	68,0	63,3	58,2	52,6	46,9
TAYGIV	SEL	A	4000,0	91,6	87,7	84,7	81,3	75,5	69,0	64,2	59,1	53,5	47,8
TAYGIV	SEL	A	6000,0	93,9	90,0	87,0	83,6	77,8	71,3	66,5	61,4	55,8	50,1
TAYGIV	SEL	A	8000,0	96,8	92,9	89,9	86,5	80,8	74,2	69,5	64,3	58,7	53,1
TAYGIV	SEL	A	10000,0	100,4	96,5	93,5	90,1	84,4	77,8	73,1	67,9	62,3	56,6
TAYGIV	SEL	D	2000,0	89,9	86,0	83,0	79,6	73,9	67,3	62,6	57,4	51,8	46,2
TAYGIV	SEL	D	3000,0	90,7	86,8	83,8	80,4	74,6	68,0	63,3	58,2	52,6	46,9
TAYGIV	SEL	D	4000,0	91,6	87,7	84,7	81,3	75,5	69,0	64,2	59,1	53,5	47,8
TAYGIV	SEL	D	6000,0	93,9	90,0	87,0	83,6	77,8	71,3	66,5	61,4	55,8	50,1
TAYGIV	SEL	D	8000,0	96,8	92,9	89,9	86,5	80,8	74,2	69,5	64,3	58,7	53,1
TAYGIV	SEL	D	10000,0	100,4	96,5	93,5	90,1	84,4	77,8	73,1	67,9	62,3	56,6
TAYGIV	SEL	D	11000,0	102,0	98,0	95,5	92,0	86,0	79,5	74,5	70,0	64,0	58,5
TAYGIV	SEL	D	11200,0	102,5	98,5	96,0	92,5	86,5	80,0	75,0	70,5	64,5	59,0
TF7312	LAmox	A	1000,0	91,1	84,2	79,2	73,9	65,5	56,6	50,2	43,5	36,3	28,6
TF7312	LAmox	A	1500,0	96,1	89,3	84,4	79,3	71,0	61,9	55,2	48,0	40,1	31,6
TF7312	LAmox	D	1500,0	96,1	89,3	84,4	79,3	71,0	61,9	55,2	48,0	40,1	31,6
TF7312	LAmox	D	2650,0	107,5	99,8	94,4	88,9	80,1	70,3	62,9	54,6	45,3	35,0
TF7312	SEL	A	1000,0	93,7	89,0	85,6	81,8	75,6	68,9	64,1	58,8	53,1	46,9
TF7312	SEL	A	1500,0	99,3	94,8	91,4	87,8	81,8	74,9	69,7	64,0	57,6	50,6
TF7312	SEL	D	1500,0	99,3	94,8	91,4	87,8	81,8	74,9	69,7	64,0	57,6	50,6



ThoriumSoftware d.o.o.

Mobile: +385 (0) 95 8 70 50 70
 Kontakt: Dario Ilija Rendulić
 Email:
[info@thoriumsoftware.eu;](mailto:info@thoriumsoftware.eu)
direndulic@gmail.com

TF7312	SEL	D	2650,0	110,5	105,0	101,1	97,1	90,6	83,0	77,1	70,3	62,5	53,8
TF7313	LAmox	A	880,0	85,8	78,6	73,4	67,9	59,1	50,0	43,6	36,6	28,8	20,7
TF7313	LAmox	A	2300,0	95,2	88,6	84,1	79,3	71,7	63,4	57,3	50,1	41,6	32,2
TF7313	LAmox	D	2300,0	95,2	88,6	84,1	79,3	71,7	63,4	57,3	50,1	41,6	32,2
TF7313	LAmox	D	3000,0	101,0	94,4	89,8	85,0	77,4	69,1	63,0	55,9	47,6	38,6
TF7313	SEL	A	880,0	87,1	82,9	79,8	76,4	70,8	64,3	59,3	53,8	47,6	41,0
TF7313	SEL	A	2300,0	95,9	92,0	89,3	86,3	81,3	75,4	70,8	65,1	58,1	50,2
TF7313	SEL	D	2300,0	95,9	92,0	89,3	86,3	81,3	75,4	70,8	65,1	58,1	50,2
TF7313	SEL	D	3000,0	103,4	99,4	96,4	93,8	88,8	82,9	78,3	72,7	65,9	58,3
TIO540	LAmox	A	1900,0	77,7	70,8	65,6	61,2	54,5	47,5	42,6	37,3	31,4	25,3
TIO540	LAmox	A	2300,0	83,6	77,1	72,7	68,1	60,9	53,4	48,1	42,5	36,3	29,8
TIO540	LAmox	D	2400,0	85,2	78,7	74,4	69,9	62,8	55,5	50,4	45,0	39,0	32,7
TIO540	LAmox	D	2500,0	89,5	83,1	78,8	74,3	67,3	60,1	55,1	49,7	43,7	37,4
TIO540	SEL	A	1900,0	78,6	74,8	72,3	69,7	65,9	61,7	58,6	55,1	50,9	46,4
TIO540	SEL	A	2300,0	84,3	80,8	78,4	75,9	71,8	67,3	64,0	60,3	55,7	50,6
TIO540	SEL	D	2400,0	86,0	82,5	80,1	77,5	73,5	69,0	65,7	62,1	57,7	52,9
TIO540	SEL	D	2500,0	88,9	85,4	82,9	80,4	76,4	72,0	68,8	65,2	61,0	56,2
TIO542	LAmox	A	2380,0	85,1	78,8	74,6	70,2	63,4	56,2	51,1	45,4	39,2	32,5
TIO542	LAmox	A	2400,0	86,8	80,5	76,3	71,9	65,0	57,6	52,3	46,5	40,1	33,4
TIO542	LAmox	D	2190,0	85,9	79,4	75,0	70,5	63,4	56,0	51,0	45,6	39,7	33,6
TIO542	LAmox	D	2280,0	88,2	81,7	77,4	72,8	65,7	58,1	53,0	47,4	41,4	35,0
TIO542	LAmox	D	2500,0	92,1	85,7	81,3	76,7	69,4	61,7	56,2	50,3	43,8	37,0
TIO542	SEL	A	2380,0	85,2	81,6	79,3	76,8	72,9	68,4	65,2	61,5	57,1	52,4
TIO542	SEL	A	2400,0	86,8	83,2	80,9	78,4	74,3	69,8	66,4	62,5	58,0	53,2
TIO542	SEL	D	2190,0	87,8	84,1	81,6	78,8	74,4	69,5	66,0	62,1	57,9	53,3
TIO542	SEL	D	2280,0	89,5	85,6	82,9	80,2	75,7	70,9	67,4	63,5	59,1	54,3
TIO542	SEL	D	2500,0	93,1	89,4	87,0	84,3	80,0	75,0	71,4	67,3	62,4	57,2

TPE331	LAmox	A	30,0	83,9	77,6	73,4	69,0	62,1	54,6	49,0	42,8	35,6	27,0
TPE331	LAmox	A	100,0	88,4	82,3	78,2	74,0	67,5	60,5	55,4	49,8	43,5	36,4
TPE331	LAmox	D	30,0	83,9	77,6	73,4	69,0	62,1	54,6	49,0	42,8	35,6	27,0
TPE331	LAmox	D	100,0	88,4	82,3	78,2	74,0	67,5	60,5	55,4	49,8	43,5	36,4
TPE331	SEL	A	30,0	84,3	80,2	77,4	74,6	69,9	64,7	60,6	55,9	50,2	43,7
TPE331	SEL	A	100,0	88,5	84,6	82,0	79,3	75,0	70,3	66,7	62,7	57,9	52,2
TPE331	SEL	D	30,0	84,3	80,2	77,4	74,6	69,9	64,7	60,6	55,9	50,2	43,7
TPE331	SEL	D	100,0	88,5	84,6	82,0	79,3	75,0	70,3	66,7	62,7	57,9	52,2
TPE331-5	LAmox	A	300,0	85,5	78,8	74,3	69,5	61,8	53,5	47,6	41,1	33,7	26,0
TPE331-5	LAmox	A	306,0	85,5	78,8	74,3	69,5	61,8	53,5	47,6	41,1	33,7	26,0
TPE331-5	LAmox	A	460,0	84,2	77,5	73,0	68,2	60,5	52,2	46,2	39,5	32,1	24,5
TPE331-5	LAmox	D	1491,0	86,9	80,5	76,1	71,5	64,3	56,6	51,1	45,3	39,1	32,9
TPE331-5	LAmox	D	1791,0	88,1	81,6	77,2	72,6	65,3	57,3	51,5	45,2	38,4	31,5
TPE331-5	LAmox	D	1800,0	88,1	81,6	77,2	72,6	65,3	57,3	51,5	45,2	38,4	31,5
TPE331-5	SEL	A	300,0	88,5	84,1	81,1	77,8	72,4	66,4	61,9	56,9	51,0	44,8
TPE331-5	SEL	A	306,0	88,5	84,1	81,1	77,8	72,4	66,4	61,9	56,9	51,0	44,8
TPE331-5	SEL	A	460,0	86,7	82,3	79,3	76,0	70,6	64,5	59,9	54,8	48,9	42,7
TPE331-5	SEL	D	1491,0	89,7	85,5	82,6	79,6	74,6	69,1	65,1	60,8	56,2	51,4
TPE331-5	SEL	D	1791,0	89,9	85,7	82,8	79,7	74,6	68,9	64,6	59,8	54,5	49,1
TPE331-5	SEL	D	1800,0	89,9	85,7	82,8	79,7	74,6	68,9	64,6	59,8	54,5	49,1
TRENT5	LAmox	A	3000,0	94,6	88,1	83,3	78,3	70,5	61,8	55,6	48,7	41,1	33,2
TRENT5	LAmox	A	5000,0	95,6	88,8	84,0	78,9	70,9	62,1	55,8	48,9	41,2	33,3
TRENT5	LAmox	A	7000,0	96,2	89,6	84,6	79,5	71,3	62,6	56,3	49,3	41,7	33,9
TRENT5	LAmox	A	9000,0	97,2	90,7	85,7	80,5	72,2	63,2	56,8	49,8	42,1	34,1
TRENT5	LAmox	D	30000,0	104,0	96,3	91,0	85,5	77,0	67,8	61,1	53,8	45,9	37,8
TRENT5	LAmox	D	35000,0	104,8	97,3	92,2	86,9	78,6	69,5	62,8	55,7	47,8	39,7
TRENT5	LAmox	D	40000,0	105,8	98,5	93,5	88,3	80,1	71,0	64,4	57,0	49,3	41,1



ThoriumSoftware d.o.o.

Mobile: +385 (0) 95 8 70 50 70
 Kontakt: Dario Ilija Rendulić
 Email:
[info@thoriumsoftware.eu;](mailto:info@thoriumsoftware.eu)
direndulic@gmail.com

TRENT5	LAmox	D	47000,0	107,8	100,4	95,4	90,3	82,2	73,2	66,6	59,3	51,3	43,0
TRENT5	SEL	A	3000,0	99,0	94,3	91,0	87,7	82,3	76,1	71,5	66,3	60,4	53,9
TRENT5	SEL	A	5000,0	99,6	94,8	91,6	88,2	82,7	76,4	71,8	66,5	60,5	54,1
TRENT5	SEL	A	7000,0	100,5	95,5	92,3	88,8	83,3	76,9	72,2	66,9	60,9	54,4
TRENT5	SEL	A	9000,0	101,5	96,4	93,1	89,5	83,9	77,5	72,8	67,5	61,4	54,9
TRENT5	SEL	D	30000,0	104,9	100,0	97,0	93,6	88,2	82,0	77,4	72,0	65,9	59,0
TRENT5	SEL	D	35000,0	106,0	101,4	98,4	95,1	89,8	83,7	79,2	73,8	67,6	60,9
TRENT5	SEL	D	40000,0	107,1	102,7	99,7	96,5	91,4	85,4	80,9	75,6	69,4	62,7
TRENT5	SEL	D	47000,0	108,6	104,4	101,5	98,4	93,3	87,3	82,8	77,6	71,6	65,1
TRENT7	LAmox	A	4000,0	93,6	86,6	81,9	77,1	69,4	61,2	55,3	48,7	41,2	33,4
TRENT7	LAmox	A	12000,0	95,1	88,1	83,3	78,4	70,7	62,3	56,2	49,4	41,8	33,8
TRENT7	LAmox	D	31000,0	102,6	95,4	90,6	85,5	77,3	68,0	61,1	53,3	45,0	36,6
TRENT7	LAmox	D	41000,0	102,6	95,3	90,5	85,4	77,4	68,5	62,0	54,7	46,6	38,1
TRENT7	LAmox	D	52000,0	105,6	98,5	93,8	88,8	80,8	72,0	65,5	58,3	50,2	41,8
TRENT7	LAmox	D	62000,0	108,7	101,6	96,9	91,9	83,9	75,1	68,9	62,0	54,1	45,5
TRENT7	SEL	A	4000,0	97,4	93,0	89,8	86,6	81,5	75,7	71,4	66,3	60,5	54,1
TRENT7	SEL	A	12000,0	98,4	94,0	90,8	87,6	82,4	76,5	72,1	67,0	61,1	54,6
TRENT7	SEL	D	31000,0	104,2	99,6	96,5	93,1	87,7	81,2	76,2	70,6	64,3	57,6
TRENT7	SEL	D	41000,0	104,0	99,8	96,9	93,7	88,3	82,2	77,7	72,3	66,2	59,7
TRENT7	SEL	D	52000,0	106,4	102,4	99,6	96,6	91,5	85,5	81,1	75,9	69,9	63,4
TRENT7	SEL	D	62000,0	109,1	105,1	102,4	99,5	94,6	88,9	84,5	79,4	73,4	67,3
TRENT8	LAmox	A	7000,0	93,6	85,9	80,9	75,9	68,1	59,5	53,3	46,7	39,2	30,3
TRENT8	LAmox	A	14000,0	96,4	88,7	83,6	78,3	70,1	61,2	54,9	48,2	40,6	31,8
TRENT8	LAmox	A	22000,0	98,7	90,8	85,6	80,2	71,8	62,8	56,5	49,7	42,0	33,1
TRENT8	LAmox	A	28000,0	100,2	91,9	86,7	81,3	72,9	63,8	57,5	50,8	43,2	34,4
TRENT8	LAmox	D	32000,0	100,4	93,4	88,5	83,3	74,9	65,7	59,4	52,6	44,8	35,6
TRENT8	LAmox	D	42000,0	102,1	95,3	90,6	85,5	77,2	68,1	61,9	55,3	47,7	38,6

TRENT8	LAmox	D	52000,0	103,8	97,1	92,5	87,5	79,3	70,4	64,3	57,8	50,3	41,3
TRENT8	LAmox	D	62000,0	105,7	99,0	94,4	89,6	81,6	72,9	66,9	60,4	52,8	43,8
TRENT8	LAmox	D	72000,0	107,9	101,3	96,9	92,1	84,6	76,2	70,3	63,8	56,3	47,4
TRENT8	LAmox	D	80000,0	110,5	104,0	99,6	95,1	88,0	80,3	74,4	67,9	60,5	52,0
TRENT8	SEL	A	7000,0	97,4	92,1	88,8	85,3	80,0	74,0	69,6	64,8	59,3	52,8
TRENT8	SEL	A	14000,0	99,6	94,6	91,3	87,8	82,2	75,9	71,2	66,2	60,4	53,7
TRENT8	SEL	A	22000,0	101,6	96,7	93,3	89,7	83,9	77,4	72,7	67,6	61,8	55,2
TRENT8	SEL	A	28000,0	103,1	97,9	94,5	90,8	84,9	78,3	73,6	68,6	63,0	56,6
TRENT8	SEL	D	32000,0	102,6	98,4	95,3	91,8	85,9	79,1	74,2	69,1	63,5	57,2
TRENT8	SEL	D	42000,0	104,5	100,4	97,4	94,0	88,2	81,5	76,8	71,9	66,5	60,4
TRENT8	SEL	D	52000,0	106,1	102,1	99,2	95,9	90,3	83,9	79,3	74,4	69,1	63,1
TRENT8	SEL	D	62000,0	107,6	103,8	101,0	97,8	92,4	86,2	81,7	77,0	71,6	65,3
TRENT8	SEL	D	72000,0	109,5	105,8	103,1	100,1	95,0	89,2	84,9	80,2	74,8	68,3
TRENT8	SEL	D	80000,0	111,6	108,0	105,4	102,7	98,0	92,7	88,7	84,2	78,7	72,0
TRENT9	LAmox	A	4000,0	93,1	86,6	82,2	77,5	69,9	61,4	55,3	48,6	41,2	33,5
TRENT9	LAmox	A	6000,0	93,4	86,8	82,3	77,6	70,0	61,5	55,5	48,8	41,4	33,6
TRENT9	LAmox	A	9000,0	93,9	87,2	82,6	77,9	70,3	61,8	55,7	49,1	41,6	33,9
TRENT9	LAmox	A	13000,0	94,2	87,7	83,2	78,5	71,0	62,5	56,4	49,7	42,1	34,3
TRENT9	LAmox	D	40000,0	98,9	92,4	87,8	83,0	75,1	66,4	60,2	53,3	45,6	37,4
TRENT9	LAmox	D	50000,0	101,1	94,9	90,3	85,5	77,6	68,9	62,7	55,8	48,2	40,1
TRENT9	LAmox	D	60000,0	104,1	98,0	93,5	88,6	80,8	72,0	65,7	58,7	50,9	42,7
TRENT9	LAmox	D	80000,0	107,0	101,2	97,0	92,3	84,6	76,0	69,8	62,8	55,0	46,8
TRENT9	SEL	A	4000,0	98,5	93,7	90,5	87,2	82,0	76,0	71,5	66,4	60,6	54,3
TRENT9	SEL	A	6000,0	98,7	93,8	90,6	87,3	82,1	76,1	71,6	66,6	60,8	54,5
TRENT9	SEL	A	9000,0	99,2	94,2	91,0	87,7	82,4	76,4	72,0	66,9	61,1	54,8
TRENT9	SEL	A	13000,0	99,8	95,0	91,8	88,5	83,2	77,3	72,8	67,7	61,7	55,2
TRENT9	SEL	D	40000,0	102,7	98,2	95,0	91,6	86,3	80,3	75,8	70,8	64,9	58,5

TRENT9	SEL	D	50000,0	104,7	100,4	97,4	94,1	88,9	83,0	79,0	73,6	67,8	61,4
TRENT9	SEL	D	60000,0	107,5	103,5	100,6	97,4	92,2	86,2	81,8	76,7	70,8	64,4
TRENT9	SEL	D	80000,0	110,3	106,6	103,7	100,7	95,7	89,9	85,5	80,4	74,6	68,4
TSIO52	LAmix	A	30,0	83,1	76,9	72,6	68,3	61,5	54,1	48,7	42,8	36,4	29,5
TSIO52	LAmix	A	100,0	95,4	89,1	84,9	80,5	73,7	66,3	60,9	55,1	48,8	42,0
TSIO52	LAmix	D	30,0	83,1	76,9	72,6	68,3	61,5	54,1	48,7	42,8	36,4	29,5
TSIO52	LAmix	D	100,0	95,4	89,1	84,9	80,5	73,7	66,3	60,9	55,1	48,8	42,0
TSIO52	SEL	A	30,0	84,6	80,6	77,9	75,1	70,5	65,3	61,4	57,1	52,2	46,8
TSIO52	SEL	A	100,0	97,6	93,6	90,9	88,0	83,4	78,3	74,4	70,1	65,3	59,9
TSIO52	SEL	D	30,0	84,6	80,6	77,9	75,1	70,5	65,3	61,4	57,1	52,2	46,8
TSIO52	SEL	D	100,0	97,6	93,6	90,9	88,0	83,4	78,3	74,4	70,1	65,3	59,9
V2522A	LAmix	A	2000,0	89,7	83,1	78,5	73,4	65,3	56,3	49,8	42,6	34,5	26,3
V2522A	LAmix	A	2700,0	89,9	83,3	78,6	73,6	65,5	56,5	49,9	42,8	34,7	26,6
V2522A	LAmix	A	6000,0	91,8	85,0	80,0	74,8	66,6	57,6	51,0	43,7	35,5	27,2
V2522A	LAmix	D	10000,0	94,8	86,3	80,5	74,7	66,4	57,4	50,9	43,8	36,0	27,9
V2522A	LAmix	D	14000,0	96,6	88,4	83,2	78,2	70,3	61,5	55,1	47,9	39,8	31,5
V2522A	LAmix	D	18000,0	101,4	93,9	89,1	84,0	76,1	67,2	60,8	53,6	46,0	37,7
V2522A	LAmix	D	21000,0	103,1	95,8	91,0	86,1	78,2	69,4	63,2	56,3	48,6	40,5
V2522A	SEL	A	2000,0	93,7	89,5	86,3	82,8	77,0	70,6	65,6	60,2	53,9	47,2
V2522A	SEL	A	2700,0	93,9	89,7	86,4	82,9	77,1	70,7	65,8	60,4	54,0	47,4
V2522A	SEL	A	6000,0	95,6	91,3	87,9	84,1	78,2	71,5	66,7	61,2	54,7	47,9
V2522A	SEL	D	10000,0	94,9	90,1	86,7	83,3	77,9	71,7	67,0	61,7	55,7	49,1
V2522A	SEL	D	14000,0	98,2	94,0	90,9	87,6	82,1	75,7	71,0	65,4	59,2	52,6
V2522A	SEL	D	18000,0	102,6	98,6	95,6	92,5	87,2	81,1	76,6	71,3	65,3	58,9
V2522A	SEL	D	21000,0	103,9	100,0	97,1	94,1	89,0	83,0	78,7	73,6	67,8	61,7
V2525	LAmix	A	3000,0	89,2	83,0	78,2	73,7	66,0	57,5	51,0	44,1	36,5	28,3
V2525	LAmix	A	6950,0	91,0	84,5	80,0	75,0	67,7	58,9	53,0	46,0	38,2	30,0

V2525	LAmox	D	10500,0	93,1	86,5	82,0	77,2	69,9	61,1	55,3	48,7	41,2	33,4
V2525	LAmox	D	13150,0	95,2	88,8	84,0	79,5	72,1	63,5	57,9	51,0	43,8	36,0
V2525	LAmox	D	18500,0	100,0	93,4	88,8	84,0	76,7	68,1	62,2	56,0	48,6	40,8
V2525	LAmox	D	23000,0	104,8	98,5	93,9	89,0	81,8	73,3	67,8	61,0	53,5	45,4
V2525	SEL	A	3000,0	91,9	88,5	85,4	81,9	76,7	71,2	66,9	61,7	55,7	49,1
V2525	SEL	A	6950,0	94,3	90,2	86,6	83,5	78,3	72,8	68,4	63,7	57,5	51,5
V2525	SEL	D	10500,0	95,8	91,6	88,5	85,3	80,2	74,7	70,2	65,7	59,5	54,1
V2525	SEL	D	13150,0	98,1	94,0	91,0	87,9	82,7	76,9	72,7	68,2	62,7	56,7
V2525	SEL	D	18500,0	102,4	98,5	95,7	92,7	87,7	82,2	78,2	73,2	67,8	61,7
V2525	SEL	D	23000,0	106,2	102,7	99,7	97,0	92,2	86,7	82,7	78,0	72,7	66,5
V2527A	LAmox	A	2000,0	89,3	82,8	78,2	73,4	65,8	57,4	51,2	44,4	36,7	28,6
V2527A	LAmox	A	2700,0	89,5	83,0	78,3	73,5	65,8	57,4	51,3	44,4	36,7	28,6
V2527A	LAmox	A	6000,0	91,6	84,7	79,5	74,2	66,5	58,0	51,9	45,0	37,2	29,1
V2527A	LAmox	D	10000,0	94,8	86,3	80,5	74,8	66,5	57,6	51,1	44,0	36,2	28,2
V2527A	LAmox	D	14000,0	96,7	88,6	83,5	78,4	70,5	61,7	55,3	48,1	40,1	31,8
V2527A	LAmox	D	19000,0	101,2	93,9	89,0	84,0	76,1	67,3	61,1	54,1	46,3	38,2
V2527A	LAmox	D	23000,0	104,0	96,9	92,2	87,3	79,4	70,8	64,7	57,9	50,3	42,0
V2527A	SEL	A	2000,0	93,1	89,1	86,1	82,9	77,7	71,7	67,1	61,9	55,8	49,2
V2527A	SEL	A	2700,0	93,3	89,2	86,2	83,0	77,7	71,8	67,2	62,0	55,8	49,3
V2527A	SEL	A	6000,0	94,7	90,5	87,4	83,9	78,5	72,3	67,7	62,5	56,3	49,7
V2527A	SEL	D	10000,0	95,0	90,2	86,8	83,5	78,1	71,8	67,2	61,9	55,9	49,4
V2527A	SEL	D	14000,0	98,3	93,9	90,9	87,6	82,1	75,8	71,1	65,6	59,4	52,8
V2527A	SEL	D	19000,0	102,5	98,4	95,5	92,3	87,2	81,1	76,7	71,5	65,7	59,4
V2527A	SEL	D	23000,0	104,6	100,7	98,0	95,0	90,0	84,3	80,0	75,1	69,5	63,3
V2530	LAmox	A	2000,0	91,8	84,4	79,6	74,5	66,3	57,2	50,5	43,2	35,2	26,9
V2530	LAmox	A	6000,0	93,3	86,1	81,2	75,9	67,6	58,5	51,8	44,4	36,2	27,8
V2530	LAmox	D	13000,0	96,8	88,3	83,2	78,2	70,3	61,4	54,9	47,6	39,6	31,3



ThoriumSoftware d.o.o.

Mobile: +385 (0) 95 8 70 50 70
 Kontakt: Dario Ilija Rendulić
 Email:
[info@thoriumsoftware.eu;](mailto:info@thoriumsoftware.eu)
direndulic@gmail.com

V2530	LAmox	D	18000,0	99,6	92,1	87,3	82,3	74,3	65,4	59,0	51,9	44,1	35,9
V2530	LAmox	D	22000,0	103,3	96,1	91,4	86,4	78,5	69,8	63,6	56,9	49,2	41,1
V2530	LAmox	D	27000,0	107,0	100,0	95,3	90,4	82,6	74,2	68,1	61,5	54,0	45,8
V2530	SEL	A	2000,0	94,6	90,2	86,9	83,4	77,7	71,2	66,2	60,5	54,3	47,6
V2530	SEL	A	6000,0	96,0	91,4	88,1	84,6	78,8	72,3	67,4	61,7	55,4	48,6
V2530	SEL	D	13000,0	98,3	94,3	91,2	87,8	82,2	75,8	71,0	65,5	59,2	52,5
V2530	SEL	D	18000,0	100,8	96,8	93,8	90,7	85,4	79,4	74,8	69,5	63,6	57,1
V2530	SEL	D	22000,0	104,1	100,1	97,3	94,3	89,3	83,5	79,1	74,0	68,4	62,2
V2530	SEL	D	27000,0	107,5	103,5	100,9	98,0	93,2	87,6	83,4	78,6	73,0	67,1

„7378MAX	LAmox	A	3 000	90,4	83,4	78,7	73,8	65,9	57,1	50,7	43,6	36,5	29,7
7378MAX	LAmox	A	4 000	90,5	83,4	78,8	73,8	65,9	57,1	50,6	43,5	36,4	29,6
7378MAX	LAmox	A	5 000	90,7	83,7	79	74,1	66,1	57,2	50,7	43,6	36,5	29,6
7378MAX	LAmox	A	6 000	91	84	79,4	74,4	66,5	57,6	51	43,9	36,7	29,9
7378MAX	LAmox	A	7 000	91,5	84,4	79,8	74,8	66,9	58	51,5	44,3	37,1	30,2
7378MAX	LAmox	D	10 000	92,4	85,8	81,4	76,6	68,9	60,2	53,9	46,8	39,7	33
7378MAX	LAmox	D	13 000	94,2	87,7	83,2	78,4	70,7	62	55,6	48,5	41,4	34,6
7378MAX	LAmox	D	16 000	96	89,4	84,9	80,1	72,4	63,7	57,3	50,3	43,2	36,5
7378MAX	LAmox	D	19 000	97,6	91	86,5	81,8	74	65,3	59	52,1	45,1	38,4
7378MAX	LAmox	D	22 000	99,2	92,6	88,1	83,4	75,6	67	60,8	54	47,1	40,5
7378MAX	LAmox	D	24 500	100,6	94	89,5	84,8	77	68,5	62,4	55,7	48,9	42,5
7378MAX	SEL	A	3 000	92,6	88,4	85,6	82,4	77,2	70,9	66,1	60,8	55,4	50,2
7378MAX	SEL	A	4 000	92,7	88,6	85,8	82,6	77,3	71	66,2	60,9	55,5	50,4
7378MAX	SEL	A	5 000	93	88,9	86,1	82,9	77,6	71,3	66,5	61,1	55,7	50,6

7378MAX	SEL	A	6 000	93,3	89,3	86,4	83,2	77,9	71,6	66,8	61,4	56	50,8
7378MAX	SEL	A	7 000	93,7	89,6	86,8	83,6	78,3	72	67,1	61,8	56,3	51,1
7378MAX	SEL	D	10 000	94,3	90,4	87,6	84,5	79,1	72,9	68,3	63,2	58	53,1
7378MAX	SEL	D	13 000	96,1	92,2	89,4	86,3	80,8	74,5	69,9	64,8	59,6	54,8
7378MAX	SEL	D	16 000	97,6	93,7	90,9	87,8	82,5	76,3	71,7	66,7	61,6	56,9
7378MAX	SEL	D	19 000	98,8	95	92,3	89,3	84	78	73,6	68,7	63,8	59,1
7378MAX	SEL	D	22 000	100	96,2	93,6	90,6	85,6	79,8	75,5	70,8	66,1	61,7
7378MAX	SEL	D	24 500	100,9	97,2	94,6	91,7	86,9	81,4	77,4	72,8	68,3	64,1
A350-941	LAmox	A	1 000	91,21	84,42	79,83	74,97	67,15	58,68	52,65	46,06	38,92	31,73
A350-941	LAmox	A	10 000	92,16	85,43	80,83	75,99	68,31	59,92	53,97	47,34	40,08	32,68
A350-941	LAmox	A	17 000	94,76	87,92	83,18	78,16	70,23	61,75	55,72	49,06	41,55	33,91
A350-941	LAmox	D	25 000	92,83	85,22	80,6	75,75	68,22	60	54,03	47,27	39,73	31,65
A350-941	LAmox	D	35 000	95,16	88,13	83,33	78,27	70,38	61,9	55,87	49,15	41,66	33,82
A350-941	LAmox	D	50 000	99,67	92,61	87,75	82,5	74,45	66,01	60	53,34	45,7	37,42
A350-941	LAmox	D	70 000	103,74	96,78	91,98	86,87	78,8	70,01	63,7	56,71	48,8	40,63
A350-941	SEL	A	1 000	94,18	89,98	86,96	83,74	78,42	72,25	67,64	62,45	56,7	50,92
A350-941	SEL	A	10 000	95,52	91,32	88,29	85,06	79,78	73,75	69,24	64,17	58,36	52,34
A350-941	SEL	A	17 000	97,74	93,39	90,3	87,01	81,68	75,62	71,18	66,09	60,23	54
A350-941	SEL	D	25 000	95,67	90,95	87,67	84,23	78,73	72,73	68,33	63,24	57,19	50,52
A350-941	SEL	D	35 000	97,28	92,81	89,7	86,39	81,04	75,18	70,92	65,83	59,85	53,36
A350-941	SEL	D	50 000	100,98	96,76	93,79	90,43	85,11	79,2	74,81	69,77	63,84	57,37
A350-941	SEL	D	70 000	104,66	100,74	97,82	94,68	89,49	83,56	79,09	73,94	67,84	61,27
ATR72	LAmox	A	890	86,6	79,4	74,4	69,2	61,1	52,5	46,6	40	32,7	25
ATR72	LAmox	A	900	86,6	79,4	74,4	69,2	61,1	52,5	46,6	40	32,7	25
ATR72	LAmox	A	1 250	86,7	79,5	74,5	69,3	61,2	52,6	46,6	40	32,6	24,8
ATR72	LAmox	A	1 600	87,5	80,2	75,1	69,9	61,9	53,4	47,4	40,8	33,4	25,7
ATR72	LAmox	D	3 000	87,7	81,1	76,7	71,9	64,4	56,7	50,9	44,1	37,2	29,9
ATR72	LAmox	D	3 600	89,4	82,8	78,6	73,9	66,3	58	52,2	45,5	38,8	31,5
ATR72	LAmox	D	4 200	91,1	84,5	80,6	75,9	68,2	59,8	53,9	47,1	40,2	32,9
ATR72	LAmox	D	4 800	92,8	86,3	82,5	77,9	70,1	62,1	56	48,8	41,5	33,8
ATR72	LAmox	D	4 900	94,6	88,2	84	79,7	72,9	65,7	60,8	55,3	50	43,9
ATR72	LAmox	D	5 300	95,7	89,5	85,2	81	74,3	67,3	62,4	57	51,7	45,6
ATR72	LAmox	D	5 310	95,7	89,5	85,2	81	74,3	67,3	62,4	57	51,7	45,6
ATR72	SEL	A	890	89,7	85	81,7	78,2	72,8	66,9	62,6	57,7	52,1	45,9
ATR72	SEL	A	900	89,7	85	81,7	78,2	72,8	66,9	62,6	57,7	52,1	45,9
ATR72	SEL	A	1 250	89,4	84,7	81,5	78,1	72,8	66,8	62,5	57,6	51,8	45,6

ATR72	SEL	A	1 600	89,7	85,1	81,8	78,4	73,1	67,3	63	58,1	52,4	46,2
ATR72	SEL	D	3 000	88,9	84,8	82	79	74,3	68,9	64,9	60	54,6	48,6
ATR72	SEL	D	3 600	90	85,9	83,2	80,3	75,5	70,3	66,4	61,6	56,4	50,5
ATR72	SEL	D	4 200	91,1	87,1	84,4	81,6	77	71,9	67,9	63	57,8	51,9
ATR72	SEL	D	4 800	92,2	88,2	85,6	82,9	78,8	73,8	69,6	64,4	58,8	52,7
ATR72	SEL	D	4 900	92,9	89,4	86,9	84,3	80,3	75,9	72,9	69,3	65,5	61,3
ATR72	SEL	D	5 300	93,7	90,2	87,7	85,2	81,4	77,1	74,1	70,6	66,8	62,6
ATR72	SEL	D	5 310	93,7	90,2	87,7	85,2	81,4	77,1	74,1	70,6	66,8	62,6"

Tablica I-10: Spektralne klase

Oznaka spektralne klase	Tip operacije (Op Type)	Opis	L_50Hz	L_63Hz	L_80Hz	L_100Hz	L_125Hz	L_160Hz	L_200Hz	L_250Hz	L_315Hz	L_400Hz	L_500Hz
101	Odlet	2/3-motora, nizak omjer, turboventilatorski	59,5	61,6	62,8	73,1	80,8	78,3	72,3	75,8	75,9	73,6	71,8
102	Odlet	2-motora, visok omjer, turboventilatorski	59,7	60,0	68,5	73,0	73,8	70,4	67,6	71,4	68,7	72,8	73,2
103	Odlet	2-motora, visok omjer, turboventilatorski	56,7	66,1	70,1	72,8	76,6	73,0	74,5	77,0	75,3	72,2	72,2
104	Odlet	2-motora, nizak/srednji omjer, turboventilatorski	57,3	56,3	61,5	67,7	71,4	73,7	67,0	72,1	73,8	74,1	71,3
105	Odlet	2-motora, visok omjer, turboventilatorski	66,5	60,4	67,1	75,0	78,2	79,3	71,5	76,7	74,4	74,6	72,3
106	Odlet	4-motora, turboventilatorski+ nadzvučni	62,5	57,4	66,9	73,7	75,5	74,0	71,4	73,4	73,4	75,7	75,8
107	Odlet	4-motora, turboventilatorski	58,6	62,7	69,1	74,1	76,0	74,3	74,1	74,4	74,0	73,6	73,2
108	Odlet	4-motora, turboventilatorski	66,2	66,2	66,2	72,2	80,8	67,9	67,6	72,0	70,0	70,7	71,1
109	Odlet	2-motora, turboelisni+1/2-motora, klipni	64,7	67,1	73,1	89,4	84,5	76,3	89,3	80,7	79,3	79,3	81,6



ThoriumSoftware d.o.o.

Mobile: +385 (0) 95 8 70 50 70
 Kontakt: Dario Ilija Rendulić
 Email:
 info@thoriumsoftware.eu;
 direndulic@gmail.com

110	Odlet	2-motora, turboelisni+4-motora, klipni	71,4	69,9	79,9	87,4	76,5	80,9	86,2	86,0	85,6	81,2	76,8
111	Odlet	2-motora, turboelisni	78,0	76,0	90,0	103,0	82,0	85,0	97,0	89,0	94,0	80,0	79,0
112	Odlet	2/4-motora, turboelisni	74,0	95,0	92,0	75,0	96,0	90,0	74,9	78,0	75,0	75,0	74,1
113	Odlet	2-motora, turbomlazni+turbo ventilatorski, poslovni	58,5	57,9	60,7	67,0	71,2	72,6	70,3	72,7	72,9	73,5	72,8
136	Odlet	2-motora, turboventilatorski, poslovni	59,7	60,0	68,5	73,0	73,8	70,4	67,6	71,4	68,7	72,8	73,2
137	Odlet	2-motora, turboventilatorski, poslovni	58,6	62,7	69,1	74,1	76,0	74,3	74,1	74,4	74,0	73,6	73,2
138	Odlet	2-motora, turboventilatorski, poslovni	66,2	66,2	66,2	72,2	80,8	67,9	67,6	72,0	70,0	70,7	71,1

„139	Odlet	2-motora, visok omjer, turboventilatorski	71,4	67,4	59,1	69,3	75,3	76,7	72,6	69,3	76,4	71,2	71,8
140	Odlet	2-motora, turboelisni	63,5	62,8	71,0	87,4	78,5	76,8	74,6	77,4	79,8	74,3	75,4

201	Prilaz	2/3-motora, nizak omjer, turboventilatorski	64,9	65,5	66,2	66,7	73,0	77,6	74,8	70,7	76,6	72,5	74,4
202	Prilaz	2-motora, nizak/visok omjer, turboventilatorski	68,5	68,5	68,5	68,4	68,5	70,9	73,3	67,3	72,6	72,5	72,1
203	Prilaz	2-motora, visok omjer, turboventilatorski, poslovni	67,3	68,9	69,6	70,0	70,2	74,0	74,7	73,1	71,3	74,1	72,9
204	Prilaz	2-motora, nizak/srednji omjer, turboventilatorski	58,8	57,1	59,4	68,0	72,8	73,7	69,1	72,3	74,8	75,6	73,6

205	Prilaz	2-motora, visok omjer, turboventilatorski	68,3	60,7	64,6	67,4	78,4	74,8	71,4	72,4	72,0	72,4	71,6
206	Prilaz	4-motora, turbomlazni+turbo ventilatorski	63,3	65,4	64,1	63,2	66,0	66,6	69,6	70,1	71,5	67,1	71,0
207	Prilaz	4-motora, turboventilatorski	67,0	61,1	62,7	64,1	70,4	74,4	71,8	68,4	76,3	72,3	73,5
208	Prilaz	4-motora, turbomlazni+turbo ventilatorski	66,7	65,0	61,7	65,4	72,9	76,2	73,0	68,1	72,7	70,7	72,1
209	Prilaz	4-motora, turboventilatorski	60,0	59,0	60,0	69,0	71,0	70,0	69,0	69,0	69,0	69,0	70,0
210	Prilaz	2-motora, turboelisni	65,0	70,0	65,0	72,0	77,0	68,0	78,0	85,0	86,0	79,0	73,0
211	Prilaz	2-motora, turboelisni	71,3	65,4	74,7	88,1	77,1	80,3	86,9	80,0	86,8	78,2	75,5
212	Prilaz	2-motora, turboelisni	72,0	68,0	79,0	71,0	73,0	84,0	74,0	75,0	73,0	72,0	71,0
213	Prilaz	4-motora, turboelisni+klipni	64,0	73,0	76,0	71,0	82,0	83,0	67,0	71,0	70,0	69,0	69,0
214	Prilaz	2/4-motora, turboelisni	61,8	69,8	61,8	58,8	67,8	70,8	62,8	59,8	62,8	60,8	60,8
215	Prilaz	1/2-motora, klipni	83,0	98,0	83,0	79,0	91,0	80,0	85,0	76,0	75,0	73,0	72,0
216	Prilaz	2-motora, turbomlazni+turbo ventilatorski	68,0	63,1	64,7	71,2	74,3	75,0	70,3	72,6	72,1	73,3	71,3
235	Prilaz	2-motora, turboventilatorski, poslovni	67,3	68,9	69,6	70,0	70,2	74,0	74,7	73,1	71,3	74,1	72,9
236	Prilaz	2-motora, turboventilatorski, poslovni	62,7	64,8	63,5	62,6	65,4	66,0	69,0	69,5	70,8	66,5	70,4
237	Prilaz	2-motora, turboventilatorski, poslovni	67,0	61,1	62,7	64,1	70,4	74,4	71,8	68,4	76,3	72,3	73,5
238	Prilaz	2-motora, turboventilatorski, poslovni	60,0	59,0	60,0	69,0	71,0	70,0	69,0	69,0	69,0	69,0	70,0



Izvrsni inženjeri koriste izvrstan alat!

ThoriumSoftware d.o.o.

Mobile: +385 (0) 95 8 70 50 70

Kontakt: Dario Ilija Rendulić

Email:

info@thoriumsoftware.eu;

direndulic@gmail.com

,,239	Prilaz	2-motora, visok omjer, turboventilatorski	71,0	65,0	60,7	70,7	74,8	76,5	73,2	71,8	75,9	73,0	71,1
240	Prilaz	2-motora, turboelisni	65,9	68,0	66,9	80,0	77,1	78,5	73,9	75,6	77,7	73,6	73,3

Oznaka spektralne klase	Tip operacije (Op Type)	Opis	L_50Hz	L_63Hz	L_80Hz	L_100Hz	L_125Hz	L_160Hz	L_200Hz	L_250Hz	L_315Hz	L_400Hz	L_500Hz	L_630Hz	L_800Hz	L_1000Hz	L_1250Hz	L_1600Hz	L_2000Hz	L_2500Hz	L_3150Hz	L_4000Hz	L_5000Hz	L_6300Hz	L_8000Hz	L_10000Hz
101	Odlet	2-motora, nizak omjer, turboventilatorski	59,5	61,6	62,8	73,1	80,8	78,3	72,3	75,8	75,9	73,6	71,8	71,6	72,3	70,0	68,3	66,6	64,2	61,4	58,6	54,8	50,9	45,7	43,9	40,9
102	Odlet	2-motora, visok omjer, turboventilatorski	59,7	60,0	68,5	73,0	73,8	70,4	67,6	71,4	68,7	72,8	73,2	73,0	72,9	70,0	68,0	67,3	62,3	61,4	58,0	58,8	58,7	46,7	44,2	44,1
103	Odlet	2-motora, visok omjer, turboventilatorski	56,7	66,1	70,1	72,8	76,6	73,0	74,5	77,0	75,3	72,2	72,2	71,2	70,2	70,0	69,6	71,1	70,6	67,1	63,4	63,5	58,2	51,5	42,3	37,7
104	Odlet	2-motora, nizak/srednji omjer, turboventilatorski	57,3	56,3	61,5	67,7	71,4	73,7	67,0	72,1	73,8	74,1	71,3	70,4	70,9	70,0	68,2	67,3	63,4	60,9	56,6	53,2	47,8	40,5	31,7	27,9
105	Odlet	2-motora, visok omjer, turboventilatorski	66,5	60,4	67,1	75,0	78,2	79,3	71,5	76,7	74,4	74,6	72,3	71,9	71,1	70,0	69,0	68,8	67,0	65,5	63,4	59,2	53,8	50,0	44,7	38,2
106	Odlet	4-motora, turboventilatorski + nadzvučni	62,5	57,4	66,9	73,7	75,5	74,0	71,4	73,4	73,4	75,7	75,8	74,1	71,6	70,0	68,9	68,2	66,4	63,5	62,5	59,2	53,7	48,1	41,2	
107	Odlet	4-motora, turboventilatorski	58,6	62,7	69,1	74,1	76,0	74,3	74,1	74,4	74,0	73,6	73,2	72,3	71,7	70,0	69,1	69,4	69,6	73,6	67,7	63,1	58,3	51,5	44,2	34,7
108	Odlet	4-motora, turboventilatorski	66,2	66,2	66,2	72,2	80,8	67,9	67,6	72,0	70,0	70,7	71,1	68,9	71,1	70,0	68,3	67,5	65,4	63,6	63,9	64,8	62,1	59,3	54,6	47,3
109	Odlet	2-motora, turbodizelski + 1/2-motora, klipni	64,7	67,1	73,1	89,4	84,5	76,3	89,3	80,7	79,3	79,3	81,6	80,3	76,4	70,0	65,0	61,9	59,8	57,3	55,6	52,7	50,9	44,8	36,3	28,4
110	Odlet	2-motora, turbodizelski + 4-motora, klipni	71,4	69,9	79,9	87,4	76,5	80,9	86,2	86,0	85,6	81,2	76,8	74,5	73,2	70,0	69,5	69,2	67,2	65,4	63,2	60,2	58,4	51,4	40,4	29,0
111	Odlet	2-motora, turboelisni	78,0	76,0	90,0	103,0	82,0	85,0	97,0	89,0	94,0	80,0	79,0	79,0	75,0	70,0	68,0	64,0	62,0	58,0	57,0	53,0	48,0	43,0	38,0	33,0
112	Odlet	2/4-motora, turboelisni	74,0	95,0	92,0	75,0	96,0	90,0	74,9	78,0	75,0	75,0	74,1	74,0	72,0	70,0	71,0	72,0	71,0	70,0	66,0	64,0	60,0	54,0	46,0	39,9
113	Odlet	2-motora, turbobrzinski orski, poslovni	58,5	57,9	60,7	67,0	71,2	72,6	70,3	72,7	72,9	73,5	72,8	72,0	71,3	70,0	68,9	67,1	64,5	63,0	60,2	55,8	52,1	45,1	38,8	29,6
136	Odlet	2-motora, turboventilator orski, poslovni	59,7	60,0	68,5	73,0	73,8	70,4	67,6	71,4	68,7	72,8	73,2	73,0	72,9	70,0	68,0	67,3	62,3	61,4	58,0	58,8	58,7	46,7	44,2	44,1
137	Odlet	2-motora, turboventilator orski, poslovni	58,6	62,7	69,1	74,1	76,0	74,3	74,1	74,4	74,0	73,6	73,2	72,3	71,7	70,0	69,1	69,4	69,6	73,6	67,7	63,1	58,3	51,5	44,2	34,7



ThoriumSoftware d.o.o.

Mobile: +385 (0) 95 8 70 50 70

Kontakt: Dario Ilij Rendulić

Email:

info@thoriumsoftware.eu;

direndulic@gmail.com

138	Odel	2-motora, turboventilatorski, poslovni	66,2	66,2	66,2	72,2	80,8	67,9	67,6	72,0	70,0	70,7	71,1	68,9	71,1	70,0	68,3	67,5	65,4	63,6	63,9	64,8	62,1	59,3	54,6	47,3		
201	Prilaz	2/3-motora, nizak omjer, turboventilatorski	64,9	65,5	66,2	66,7	73,0	77,6	74,8	70,7	76,6	72,5	74,4	73,6	70,9	70,0	69,2	67,8	66,5	68,0	63,0	60,0	57,6	56,3	54,6	45,8		
202	Prilaz	2-motora, nizak/vисок omjer, turboventilatorski	68,5	68,5	68,5	68,4	68,5	70,9	73,3	67,3	72,6	72,5	72,1	75,4	75,4	70,0	68,9	68,3	65,8	64,7	63,5	62,1	60,2	57,8	48,6	38,8		
203	Prilaz	2-motora, visok omjer, turboventilatorski, poslovni	67,3	68,9	69,6	70,0	70,2	74,0	74,7	73,1	71,3	74,1	72,9	73,1	71,6	70,0	70,4	67,4	67,4	70,8	69,7	72,1	64,2	56,4	49,6	38,9		
204	Prilaz	2-motora, nizak/srednji omjer, turboventilatorski	58,8	57,1	59,4	68,0	72,8	73,7	69,1	72,3	74,8	75,6	73,6	72,1	72,1	70,0	66,3	63,6	59,9	57,5	54,8	51,8	48,8	45,8	42,8	39,8		
205	Prilaz	2-motora, visok omjer, turboventilatorski	68,3	60,7	64,6	67,4	78,4	74,8	71,4	72,4	72,0	72,4	71,6	72,0	71,0	70,0	68,9	67,2	65,8	64,4	63,0	62,0	60,6	54,4	48,5	39,0		
206	Prilaz	4-motora, turbobalansni + turboventilatorski	63,3	65,4	64,1	63,2	66,0	66,6	69,6	70,1	71,5	67,1	71,0	70,4	71,8	70,0	69,6	66,6	62,9	62,0	62,7	59,1	58,8	53,3	50,2	40,6		
207	Prilaz	4-motora, turboventilatorski	67,0	61,1	62,7	64,1	70,4	74,4	71,8	68,4	76,3	72,3	73,5	71,2	70,5	70,0	68,7	67,1	67,5	69,4	71,1	72,5	65,7	59,3	52,2	45,6		
208	Prilaz	4-motora, turbobalansni + turboventilatorski	66,7	65,0	61,7	65,4	72,9	76,2	73,0	68,1	72,7	70,7	72,1	70,1	69,0	70,0	70,9	70,2	70,6	81,3	73,7	62,8	62,6	56,0	49,6	37,9		
209	Prilaz	4-motora, turboventilatorski	60,0	59,0	60,0	69,0	71,0	70,0	69,0	69,0	69,0	69,0	70,0	69,0	69,0	70,0	72,0	77,0	72,0	72,0	70,0	66,0	63,0	57,0	49,0	38,0		
210	Prilaz	2-motora, turbobalansni	65,0	70,0	65,0	72,0	77,0	68,0	78,0	85,0	86,0	79,0	73,0	76,0	71,0	70,0	68,0	68,0	65,0	63,0	60,0	56,0	53,0	52,0	42,0	28,0		
211	Prilaz	2-motora, turbobalansni	71,3	65,4	74,7	88,1	77,1	80,3	86,9	80,0	86,8	78,2	75,5	75,2	71,6	70,0	70,7	69,6	68,6	67,5	67,0	63,9	59,9	53,0	45,7	40,0		
212	Prilaz	2-motora, turbobalansni	72,0	68,0	79,0	71,0	73,0	84,0	74,0	75,0	73,0	72,0	71,0	77,0	73,0	70,0	77,0	75,0	72,0	70,0	71,0	83,0	75,0	57,0	54,0	45,0		
213	Prilaz	4-motora, turbobalansni + klipni	64,0	73,0	76,0	71,0	82,0	83,0	67,0	71,0	70,0	69,0	69,0	68,0	67,0	70,0	69,0	67,0	64,0	60,0	57,0	54,0	49,0	42,0	32,0	20,0		
214	Prilaz	2/4-motora, turbobalansni	61,8	69,8	61,8	58,8	67,8	70,8	62,8	59,8	62,8	60,8	60,8	59,8	60,8	70,0	67,8	61,8	59,8	56,8	52,8	49,8	47,8	45,8	35,8	27,8		
215	Prilaz	1/2-motora, klipni	83,0	98,0	83,0	79,0	91,0	80,0	85,0	76,0	75,0	73,0	72,0	73,0	71,0	70,0	68,0	66,0	65,0	64,0	60,0	57,0	53,0	49,0	43,0	32,0		
216	Prilaz	2-motora, turbobalansni turboventilatorski	68,0	63,1	64,7	71,2	74,3	75,0	70,3	72,6	72,1	73,3	71,3	74,1	72,9	73,1	71,6	70,0	70,4	67,4	67,4	70,8	69,7	72,1	64,2	56,4	49,6	38,9
235	Prilaz	2-motora, turboventilatorski, poslovni	67,3	68,9	69,6	70,0	70,2	74,0	74,7	73,1	71,3	74,1	72,9	73,1	71,6	70,0	70,4	67,4	67,4	70,8	69,7	72,1	64,2	56,4	49,6	38,9		
236	Prilaz	2-motora, turboventilatorski, poslovni	62,7	64,8	63,5	62,6	65,4	66,0	69,0	69,5	70,8	66,5	70,4	69,8	71,2	69,4	68,9	66,0	62,3	61,4	62,1	58,5	58,2	52,7	49,6	40,0		
237	Prilaz	2-motora, turboventilatorski, poslovni	67,0	61,1	62,7	64,1	70,4	74,4	71,8	68,4	76,3	72,3	73,5	71,2	70,5	70,0	68,7	67,1	67,5	69,4	71,1	72,5	65,7	59,3	52,2	45,6		

238	Pričaz	2-motora, turbovenilat orski, poslovni	60,0	59,0	60,0	69,0	71,0	70,0	69,0	69,0	69,0	69,0	70,0	69,0	69,0	70,0	72,0	77,0	72,0	72,0	70,0	66,0	63,0	57,0	49,0	38,0
-----	--------	--	------	------	------	------	------	------	------	------	------	------	------	------	------	------	------	------	------	------	------	------	------	------	------	------

U ovom se odjeljku nalaze dodatni podaci za zrakoplove općeg zrakoplovstva.

GASEPF i GASEPV podaci

Tablica I-11: GASEPF i GASEPV tipovi zrakoplova

ACFTID	Opis	Tip motora	Broj motora	Klasifikacija po masi	Kategorija vlasnika	MGTOW (lb)	MGLW (lb)	Najveća duljina za slijetanje (ft)	Najveća razina statičkog potiska na razini mora (lb)	Poglavlje o buci	NPD oznaka (NPD_ID)	Parametar snage	Oznaka spektralne klase za pričaz	Oznaka spektralne klase za odlet	Oznaka lateralne usmjerenosti
GASEPF	Jednomotorni zrakoplov s elisom nepromjenjivog koraka	Klipni	1	Mali	Opće zrakoplovstvo	2200	2200	1160	560	0	GASEPF	Postotak	215	109	Elisni
GASEPV	Jednomotorni zrakoplov s elisom promjenjivog koraka	Klipni	1	Mali	Opće zrakoplovstvo	3000	3000	1111	790	0	GASEPV	Postotak	215	109	Elisni

(povezani spektralni podaci dostupni su u tablici »Spektralne klase« u ANP-u)

Tablica I-12: Podaci profila leta za odlazak i dolazak GASEPF i GASEPV zrakoplova

ACFTID	Tip operacije (Op type)	Oznaka profila (Profile_ID)	Duljina faze	Broj točke	Udaljenost(ft)	Visina iznad tla (ft)	Prava brzina (kt)	Postotak maksimalnog statičkog potiska (%)
GASEPF	A	APP_3_DEG	1	1	-114486,8	6000,0	109,4	34,21
GASEPF	A	APP_3_DEG	1	2	-57243,4	3000,0	71,8	37,57
GASEPF	A	APP_3_DEG	1	3	-28621,7	1500,0	60,0	40,59
GASEPF	A	APP_3_DEG	1	4	-19081,1	1000,0	59,6	39,85
GASEPF	A	APP_3_DEG	1	5	0,0	0,0	58,7	38,43
GASEPF	A	APP_3_DEG	1	6	47,2	0,0	55,7	27,20
GASEPF	A	APP_3_DEG	1	7	472,0	0,0	30,0	10,00
GASEPF	A	APP_5_DEG	1	1	-68580,3	6000,0	109,4	18,03
GASEPF	A	APP_5_DEG	1	2	-34290,2	3000,0	71,8	22,59
GASEPF	A	APP_5_DEG	1	3	-17145,1	1500,0	60,0	26,14

GASEPF	A	APP_5_DEG	1	4	-11430,1	1000,0	59,6	25,67
GASEPF	A	APP_5_DEG	1	5	0,0	0,0	58,7	24,75
GASEPF	A	APP_5_DEG	1	6	47,2	0,0	55,7	27,20
GASEPF	A	APP_5_DEG	1	7	472,0	0,0	30,0	10,00
GASEPF	D	DEFAULT_DEP	1	1	0,0	0,0	0,0	113,06
GASEPF	D	DEFAULT_DEP	1	2	972,8	0,0	62,1	113,06
GASEPF	D	DEFAULT_DEP	1	3	2077,9	51,4	73,1	96,32
GASEPF	D	DEFAULT_DEP	1	4	13665,7	1000,0	74,1	98,31
GASEPF	D	DEFAULT_DEP	1	5	16079,7	1097,7	84,3	86,65
GASEPF	D	DEFAULT_DEP	1	6	17079,7	1155,4	84,4	81,16
GASEPF	D	DEFAULT_DEP	1	7	49057,1	3000,0	86,8	84,60
GASEPF	D	DEFAULT_DEP	1	8	97253,2	5500,0	90,1	89,42
GASEPF	D	DEFAULT_DEP	1	9	140694,0	7500,0	92,9	93,53
GASEPF	D	DEFAULT_DEP	1	10	202700,4	10000,0	96,6	99,04
GASEPV	A	APP_3_DEG	1	1	-114486,8	6000,0	109,4	24,34
GASEPV	A	APP_3_DEG	1	2	-57243,4	3000,0	79,4	26,37
GASEPV	A	APP_3_DEG	1	3	-28621,7	1500,0	67,5	45,05
GASEPV	A	APP_3_DEG	1	4	-19081,1	1000,0	67,0	44,24
GASEPV	A	APP_3_DEG	1	5	0,0	0,0	66,0	42,66
GASEPV	A	APP_3_DEG	1	6	42,8	0,0	62,6	31,00
GASEPV	A	APP_3_DEG	1	7	428,0	0,0	30,0	10,00
GASEPV	A	APP_5_DEG	1	1	-68580,3	6000,0	109,4	8,70
GASEPV	A	APP_5_DEG	1	2	-34290,2	3000,0	79,4	12,04
GASEPV	A	APP_5_DEG	1	3	-17145,1	1500,0	67,5	31,28
GASEPV	A	APP_5_DEG	1	4	-11430,1	1000,0	67,0	30,72
GASEPV	A	APP_5_DEG	1	5	0,0	0,0	66,0	29,62

GASEPV	A	APP_5_DEG	1	6	42,8	0,0	62,6	31,00
GASEPV	A	APP_5_DEG	1	7	428,0	0,0	30,0	10,00
GASEPV	D	DEFAULT_DEP	1	1	0,0	0,0	0,0	163,92
GASEPV	D	DEFAULT_DEP	1	2	861,8	0,0	55,6	163,92
GASEPV	D	DEFAULT_DEP	1	3	1302,6	42,7	66,0	138,25
GASEPV	D	DEFAULT_DEP	1	4	2963,7	172,0	90,2	101,67
GASEPV	D	DEFAULT_DEP	1	5	9389,6	1000,0	91,3	103,50
GASEPV	D	DEFAULT_DEP	1	6	10985,9	1102,9	101,6	93,36
GASEPV	D	DEFAULT_DEP	1	7	11985,9	1200,6	101,8	86,89
GASEPV	D	DEFAULT_DEP	1	8	30407,6	3000,0	104,5	90,57
GASEPV	D	DEFAULT_DEP	1	9	57858,2	5500,0	108,5	95,72
GASEPV	D	DEFAULT_DEP	1	10	81543,2	7500,0	111,9	100,13
GASEPV	D	DEFAULT_DEP	1	11	113618,2	10000,0	116,4	106,03

Tablica I-13: NPD podaci za GASEPF i GASEPV zrakoplove

NPD_ID	Mjera buke	Tip operacije (Op type)	Postotak maksimalnog statickog potiska (%)	L_200ft	L_400ft	L_630ft	L_1000ft	L_2000ft	L_4000ft	L_6300ft	L_10000ft	L_16000ft	L_25000ft
GASEPF	LMax	A	30,00	72,2	65,9	61,6	57,2	50,3	43,1	38,0	32,7	27,0	20,9
GASEPF	LMax	A	100,00	84,9	78,6	74,4	70,0	63,2	55,8	50,4	44,6	38,3	31,5
GASEPF	LMax	D	30,00	72,2	65,9	61,6	57,2	50,3	43,1	38,0	32,7	27,0	20,9
GASEPF	LMax	D	100,00	84,9	78,6	74,4	70,0	63,2	55,8	50,4	44,6	38,3	31,5
GASEPF	SEL	A	30,00	74,2	70,1	67,3	64,4	59,8	54,8	51,2	47,4	43,2	38,6
GASEPF	SEL	A	100,00	87,1	83,1	80,4	77,5	72,9	67,8	63,9	59,6	54,8	49,4
GASEPF	SEL	D	30,00	74,2	70,1	67,3	64,4	59,8	54,8	51,2	47,4	43,2	38,6
GASEPF	SEL	D	100,00	87,1	83,1	80,4	77,5	72,9	67,8	63,9	59,6	54,8	49,4
GASEPV	LMax	A	30,00	82,8	73,9	69,6	65,2	58,3	51,1	46,0	40,7	35,0	28,9
GASEPV	LMax	A	100,00	92,4	86,1	81,9	77,5	70,7	63,3	57,9	52,1	45,8	39,0
GASEPV	LMax	D	30,00	82,8	73,9	69,6	65,2	58,3	51,1	46,0	40,7	35,0	28,9

GASEPV	LAmx	D	100,00	92,4	86,1	81,9	77,5	70,7	63,3	57,9	52,1	45,8	39,0
GASEPV	SEL	A	30,00	81,7	77,6	74,8	71,9	67,3	62,3	58,7	54,9	50,7	46,1
GASEPV	SEL	A	100,00	94,6	90,6	87,9	85,0	80,4	75,3	71,4	67,1	62,3	56,9
GASEPV	SEL	D	30,00	81,7	77,6	74,8	71,9	67,3	62,3	58,7	54,9	50,7	46,1
GASEPV	SEL	D	100,00	94,6	90,6	87,9	85,0	80,4	75,3	71,4	67,1	62,3	56,9

Podaci o klasama zrakoplova

Grupa zrakoplova	Primjeri tipova zrakoplova (maksimalna masa pri uzljetanju)
P 1.0	Dewald Sunny, Flightstar II, Ikarus C42, Quicksilver MXL II, Sherpa, Stratos, Tecnam P92 Echo
P 1.1	DG-400 (500 kg), Grob 109B (900 kg), H 36 Dimona (800 kg), Scheibe SF 25C (700 kg)
P 1.2	DR 400/180R (1 000 kg), H 36 Dimona (800 kg), PZL-104 »Wilga 35« (1 200 kg), Scheibe SF 25 (700 kg)
P 1.3	DR 400/180R (1 000 kg), Cessna 172N (1 000 kg), Piper PA-28- 181 (1 200 kg), Piper PA-34-200 (1 900 kg)

Podaci o buci i performansama zrakoplova za četiri klase prikazani su u tablicama u nastavku:

Tablica I-14: Podaci o buci grupa klase zrakoplova P 1.0, P 1.1, P 1.2, P 1.3

NOISE_ID,C,12	THRSET_TYP,C,1	MODEL_TYPE,C,1	SPECT_APP,N,3,0	SPECT_DEP,N,3,0	SPECT_AFB,N,3,0
P1.0	P	I	215	109	0
P1.1	P	I	215	109	0
P1.2	P	I	215	109	0
P1.3	P	I	215	109	0

ACFT_ID,C,12	ACFT_DESCR,C,40	WT_CAT,C, 1	OWNER_CAT, T,C,1	ENG_TYPE,C, 1	NOISE_CAT, C,1	NOISE_ID,C,1 2	NUMB_ENG, N,1,0	THR_REST OR,C,1	MX_GW_T KO,N,7,0	MX_GW_L ND,N,7,0	MX_DS_ST OP,N,5,0
P1.0	Ultralaki (Ultralights)	S	G	P	0	P1.0	1	N	0	0	0
P1.1	Motorna jedrilica	S	G	P	0	P1.1	1	N	0	0	0

P1.2	Elisni s maksimalnom masom pri uzljetanju <= 2 t koji vuče jedrilice	S	G	P	0	P1.2	1	N	0	0	0
P1.3	Elisni s maksimalnom masom pri uzljetanju <= 2 t	S	G	P	0	P1.3	1	N	0	0	0

Tablica I-15: Podaci za profile leta za klase zrakoplova P 1.0, P 1.1, P 1.2, P 1.3 u dolasku i u odlasku

ACFT_ID,C,12	OP_TYPE,C,1	PROF_ID1,C,8	PROF_ID2,C,1	WEIGHT,N,7,0
P1.0	A	DEFAULT	1	100
P1.0	D	DEFAULT	1	100
P1.1	A	DEFAULT	1	100
P1.1	D	DEFAULT	1	100
P1.2	A	DEFAULT	1	100
P1.2	D	DEFAULT	1	100
P1.3	A	DEFAULT	1	100
P1.3	D	DEFAULT	1	100

Tablica I-16: Podaci za točke profila buke za klase zrakoplova P 1.0, P 1.1, P 1.2, P 1.3

ACFT_ID,C, 12	OP_TYPE,C, 1	PROF_ID1, C,8	PROF_ID2, C,1	PT_NUM,N, 3,0	DISTANCE, N,10,1	ALTITUDE, N,7,1	SPEED,N, 1	THR_SET,N, 9,2	OP_MODE, C,1
P1.0	A	DEFAULT	1	1	-114486	6000	50,5	70	A
P1.0	A	DEFAULT	1	2	-18917,1	1000	50,5	70	A
P1.0	A	DEFAULT	1	3	-15636,3	828,1	50,5	70	A
P1.0	A	DEFAULT	1	4	164	0	50,5	70	A
P1.0	A	DEFAULT	1	5	656,2	0	19,4	30	A
P1.0	D	DEFAULT	1	1	0	0	19,4	100	D
P1.0	D	DEFAULT	1	2	328,1	0	62,2	100	D
P1.0	D	DEFAULT	1	3	12986,3	1000	62,2	100	D



ThoriumSoftware d.o.o.

Mobile: +385 (0) 95 8 70 50 70
 Kontakt: Dario Ilija Rendulić
 Email:
[info@thoriumsoftware.eu;](mailto:info@thoriumsoftware.eu)
direndulic@gmail.com

P1.0	D	DEFAULT	1	4	42000	3000	65	100	D
P1.0	D	DEFAULT	1	5	200000	10000	68	100	D
P1.1	A	DEFAULT	1	1	-114486	6000	50,5	70	A
P1.1	A	DEFAULT	1	2	-18589	1000	50,5	70	A
P1.1	A	DEFAULT	1	3	-15308,2	828,1	50,5	70	A
P1.1	A	DEFAULT	1	4	492,1	0	50,5	70	A
P1.1	A	DEFAULT	1	5	656,2	0	19,4	30	A
P1.1	D	DEFAULT	1	1	0	0	19,4	100	D
P1.1	D	DEFAULT	1	2	656,2	0	66,1	100	D
P1.1	D	DEFAULT	1	3	13314,4	1000	66,1	100	D
P1.1	D	DEFAULT	1	4	43000	3000	70	100	D
P1.1	D	DEFAULT	1	5	200000	10000	73,9	100	D
P1.2	A	DEFAULT	1	1	-114486	6000	60,3	70	A
P1.2	A	DEFAULT	1	2	-18589	1000	60,3	70	A
P1.2	A	DEFAULT	1	3	-15308,2	828,1	60,3	70	A
P1.2	A	DEFAULT	1	4	492,1	0	60,3	70	A
P1.2	A	DEFAULT	1	5	1476,4	0	19,4	30	A
P1.2	D	DEFAULT	1	1	0	0	19,4	100	D
P1.2	D	DEFAULT	1	2	1312,3	0	62,2	100	D
P1.2	D	DEFAULT	1	3	17705,8	1000	62,2	100	D
P1.2	D	DEFAULT	1	4	50000	3000	64	100	D
P1.2	D	DEFAULT	1	5	200000	10000	66,1	100	D
P1.3	A	DEFAULT	1	1	-114486	6000	60,3	70	A
P1.3	A	DEFAULT	1	2	-18589	1000	60,3	70	A
P1.3	A	DEFAULT	1	3	-15308,2	828,1	60,3	70	A
P1.3	A	DEFAULT	1	4	492,1	0	60,3	70	A

P1.3	A	DEFAULT	1	5	1476,4	0	19,4	30	A
P1.3	D	DEFAULT	1	1	0	0	19,4	100	D
P1.3	D	DEFAULT	1	2	820,2	0	70	100	D
P1.3	D	DEFAULT	1	3	10344	1000	70	100	D
P1.3	D	DEFAULT	1	4	40000	3000	75	100	D
P1.3	D	DEFAULT	1	5	200000	10000	83	100	D

Tablica I-17: NPD podaci za klase zrakoplova P 1.0, P 1.1, P 1.2, P 1.3

NOISE_ID,C,12	NOISE_TYPE,C,1	OP_MODE,C,1	THR_SET,N,9,2	L_200,N,5,1	L_400,N,5,1	L_630,N,5,1	L_1000,N,5,1	L_2000,N,5,1	L_4000,N,5,1	L_6300,N,5,1	L_10000,N,5,1	L_16000,N,5,1	L_25000,N,5,1
P1.0	M	A	30	55,2	49	44,8	40,4	33,6	26,3	21,2	15,6	9,3	2,8
P1.0	M	A	70	65,2	59	54,8	50,4	43,6	36,3	31,2	25,6	19,3	12,8
P1.0	M	D	88	71,2	65	60,8	56,4	49,6	42,3	37,2	31,6	25,3	18,8
P1.0	M	D	100	75,2	69	64,8	60,4	53,6	46,3	41,2	35,6	29,3	22,8
P1.0	S	A	30	54,7	51,4	49,1	46,7	42,8	38,4	35,2	31,4	27,1	22,3
P1.0	S	A	70	64,7	61,4	59,1	56,7	52,8	48,4	45,2	41,4	37,1	32,3
P1.0	S	D	88	70,7	67,4	65,1	62,7	58,8	54,4	51,2	47,4	43,1	38,3
P1.0	S	D	100	74,7	71,4	69,1	66,7	62,8	58,4	55,2	51,4	47,1	42,3
P1.1	M	A	30	60,2	54	49,8	45,4	38,6	31,3	26,2	20,6	14,3	7,8
P1.1	M	A	70	70,2	64	59,8	55,4	48,6	41,3	36,2	30,6	24,3	17,8
P1.1	M	D	82	74,2	68	63,8	59,4	52,6	45,3	40,2	34,6	28,3	21,8
P1.1	M	D	100	80,2	74	69,8	65,4	58,6	51,3	46,2	40,6	34,3	27,8
P1.1	S	A	30	59,7	56,4	54,1	51,7	47,8	43,4	40,2	36,4	32,1	27,3
P1.1	S	A	70	69,7	66,4	64,1	61,7	57,8	53,4	50,2	46,4	42,1	37,3
P1.1	S	D	82	73,7	70,4	68,1	65,7	61,8	57,4	54,2	50,4	46,1	41,3
P1.1	S	D	100	79,7	76,4	74,1	71,7	67,8	63,4	60,2	56,4	52,1	47,3
P1.2	M	A	30	64,4	58,2	53,9	49,5	42,6	35,1	29,8	24	17,5	10,6

P1.2	M	A	70	74,4	68,2	63,9	59,5	52,6	45,1	39,8	34	27,5	20,6
P1.2	M	D	76	76,4	70,2	65,9	61,5	54,6	47,1	41,8	36	29,5	22,6
P1.2	M	D	100	84,4	78,2	73,9	69,5	62,6	55,1	49,8	44	37,5	30,6
P1.2	S	A	30	63,9	60,5	58,2	55,8	51,8	47,2	43,8	39,8	35,2	30,1
P1.2	S	A	70	73,9	70,5	68,2	65,8	61,8	57,2	53,8	49,8	45,2	40,1
P1.2	S	D	76	75,9	72,5	70,2	67,8	63,8	59,2	55,8	51,8	47,2	42,1
P1.2	S	D	100	83,9	80,5	78,2	75,8	71,8	67,2	63,8	59,8	55,2	50,1
P1.3	M	A	30	66,4	60,2	55,9	51,5	44,6	37,1	31,8	26	19,5	12,6
P1.3	M	A	70	76,4	70,2	65,9	61,5	54,6	47,1	41,8	36	29,5	22,6
P1.3	M	D	76	78,4	72,2	67,9	63,5	56,6	49,1	43,8	38	31,5	24,6
P1.3	M	D	100	86,4	80,2	75,9	71,5	64,6	57,1	51,8	46	39,5	32,6
P1.3	S	A	30	65,9	62,5	60,2	57,8	53,8	49,2	45,8	41,8	37,2	32,1
P1.3	S	A	70	75,9	72,5	70,2	67,8	63,8	59,2	55,8	51,8	47,2	42,1
P1.3	S	D	76	77,9	74,5	72,2	69,8	65,8	61,2	57,8	53,8	49,2	44,1
P1.3	S	D	100	85,9	82,5	80,2	77,8	73,8	69,2	65,8	61,8	57,2	52,1

Skup podataka 1 o buci i performansama helikoptera

Ovdje se nalaze podaci za pet klasa helikoptera na temelju maksimalne mase pri uzljetanju:

Tablica I-18: Skup 1 podataka za helikoptere Tablica s opisima

ACFT_ID	Opis	Tip motora (Engine Type)	Broj motora	Klasifikacija po masi	Kategorija vlasnika	MG TOW (lb)	MGLW (lb)	Maksimalna duljina za slijetanje (ft)	Maksimalni statički potisak na razini mora (lb)	Poglavlje o buci	NPD oznaka (NPD_ID)	Parametar snage	Identifikator spektralne klase za prilaz	Identifikator spektralne klase za odlet	Oznaka lateralne usmjerenosti
H1.0	Helikopteri s maksimalnom masom pri uzljetanju <= 1 t	Elisni	0	0	Helikopter	0	0	0	100	0	H1.0	Snaga na osovini (% maksimalnog statičkog potiska)	215	109	Elisa
H1.1	Helikopteri s maksimalnom masom pri uzljetanju 1-3 t	Elisni	0	0	Helikopter	0	0	0	100	0	H1.1	Snaga na osovini (% maksimalnog statičkog potiska)	215	109	Elisa
H1.2	Helikopteri s maksimalnom masom pri uzljetanju 3-5 t	Elisni	0	0	Helikopter	0	0	0	100	0	H1.2	Snaga na osovini (% maksimalnog statičkog potiska)	215	109	Elisa
H2.1	Helikopteri s maksimalnom masom pri	Elisni	0	0	Helikopter	0	0	0	100	0	H2.1	Snaga na osovini (% maksimalnog statičkog potiska)	215	109	Elisa



ThoriumSoftware d.o.o.

Mobile: +385 (0) 95 8 70 50 70
 Kontakt: Dario Ilija Rendulić
 Email:
[info@thoriumsoftware.eu;](mailto:info@thoriumsoftware.eu)
direndulic@gmail.com

	uzljetanju -10 t										og statičkog potiska)				
H2.2	Helikopteri s maksimalnom masom pri uzljetanju > 10 t	Elisni	0	0	Helikopter	0	0	0	100	0	H2.2	Snaga na osovini (% maksimalnog statičkog potiska)	215	109	Elisa

Tablica I-19: Skup 1 podataka za helikoptere Profili za odlazak

ACFT_ID	OP_TYPE	PROF_ID1	PROF_ID2	PT_NUM	UDALJENOST (ft)	VISINA (ft)	BRZINA (kt)	THR_SET (%)	OP_MODE
H1.0	D	H1.0_S	1	1	0.0	0.0	3.9	100.00	D
H1.0	D	H1.0_S	1	2	9.8	6.6	5.8	100.00	D
H1.0	D	H1.0_S	1	3	32.8	16.4	9.7	100.00	D
H1.0	D	H1.0_S	1	4	295.3	49.2	40.8	100.00	D
H1.0	D	H1.0_S	1	5	5687.5	1000.0	60.3	100.00	D
H1.0	D	H1.0_S	1	6	8968.3	1000.0	64.1	100.00	D
H1.0	D	H1.0_S	1	7	200000.0	1000.0	64.1	100.00	D
H1.1	D	H1.1_S	1	1	0.0	0.0	3.9	100.00	D
H1.1	D	H1.1_S	1	2	9.8	6.6	5.8	100.00	D
H1.1	D	H1.1_S	1	3	32.8	16.4	9.7	100.00	D
H1.1	D	H1.1_S	1	4	295.3	49.2	40.8	100.00	D
H1.1	D	H1.1_S	1	5	6298.3	1000.0	64.1	100.00	D
H1.1	D	H1.1_S	1	6	9579.2	1000.0	70.0	100.00	D
H1.1	D	H1.1_S	1	7	200000.0	1000.0	70.0	100.00	D
H1.2	D	H1.2_S	1	1	0.0	0.0	3.9	100.00	D
H1.2	D	H1.2_S	1	2	9.8	6.6	5.8	100.00	D
H1.2	D	H1.2_S	1	3	32.8	16.4	9.7	100.00	D
H1.2	D	H1.2_S	1	4	295.3	49.2	40.8	100.00	D
H1.2	D	H1.2_S	1	5	6298.3	1000.0	70.0	100.00	D
H1.2	D	H1.2_S	1	6	9579.2	1000.0	75.8	100.00	D

H1.2	D	H1.2_S	1	7	200000.0	1000.0	75.8	100.00	D
H2.1	D	H2.1_S	1	1	0.0	0.0	3.9	100.00	D
H2.1	D	H2.1_S	1	2	9.8	6.6	5.8	100.00	D
H2.1	D	H2.1_S	1	3	32.8	16.4	9.7	100.00	D
H2.1	D	H2.1_S	1	4	295.3	49.2	40.8	100.00	D
H2.1	D	H2.1_S	1	5	6298.3	1000.0	70.0	100.00	D
H2.1	D	H2.1_S	1	6	9579.2	1000.0	75.8	100.00	D
H2.1	D	H2.1_S	1	7	200000.0	1000.0	75.8	100.00	D
H2.2	D	H2.2_S	1	1	0.0	0.0	3.9	100.00	D
H2.2	D	H2.2_S	1	2	9.8	0.0	5.8	100.00	D
H2.2	D	H2.2_S	1	3	32.8	16.4	9.7	100.00	D
H2.2	D	H2.2_S	1	4	295.3	49.2	40.8	100.00	D
H2.2	D	H2.2_S	1	5	6298.3	1000.0	70.0	100.00	D
H2.2	D	H2.2_S	1	6	9579.2	1000.0	75.8	100.00	D
H2.2	D	H2.2_S	1	7	200000.0	1000.0	75.8	100.00	D

Tablica I-20: Skup 1 podataka za helikoptere Profili za dolazak

ACFT_ID	OP_TYPE	PROF_ID1	PROF_ID2	PT_NUM	UDALJENOST	VISINA	BRZINA	THR_SET	OP_MODE
H1.0	A	H1.0_L	1	1	-200000.0	1000.0	64.1	100.00	A
H1.0	A	H1.0_L	1	2	-10836.6	1000.0	64.1	100.00	A
H1.0	A	H1.0_L	1	3	-7555.8	1000.0	60.3	100.00	A
H1.0	A	H1.0_L	1	4	-295.3	44.1	40.8	100.00	A
H1.0	A	H1.0_L	1	5	-32.8	9.6	9.7	100.00	A
H1.0	A	H1.0_L	1	6	-9.8	6.6	5.8	100.00	A
H1.0	A	H1.0_L	1	7	0.0	0.0	3.9	100.00	A
H1.1	A	H1.1_L	1	1	-200000.0	1000.0	70.0	100.00	A



ThoriumSoftware d.o.o.

Mobile: +385 (0) 95 8 70 50 70
 Kontakt: Dario Ilija Rendulić
 Email:
[info@thoriumsoftware.eu;](mailto:info@thoriumsoftware.eu)
direndulic@gmail.com

H1.1	A	H1.1_L	1	2	-8401.5	1000.0	70.0	100.00	A
H1.1	A	H1.1_L	1	3	-5120.6	1000.0	64.1	100.00	A
H1.1	A	H1.1_L	1	4	-295.3	62.0	40.8	100.00	A
H1.1	A	H1.1_L	1	5	-32.8	11.0	9.7	100.00	A
H1.1	A	H1.1_L	1	6	-9.8	6.6	5.8	100.00	A
H1.1	A	H1.1_L	1	7	0.0	0.0	3.9	100.00	A
H1.2	A	H1.2_L	1	1	-200000.0	1000.0	75.8	100.00	A
H1.2	A	H1.2_L	1	2	-9563.0	1000.0	75.8	100.00	A
H1.2	A	H1.2_L	1	3	-6282.2	1000.0	70.0	100.00	A
H1.2	A	H1.2_L	1	4	-295.3	51.8	40.8	100.00	A
H1.2	A	H1.2_L	1	5	-32.8	10.2	9.7	100.00	A
H1.2	A	H1.2_L	1	6	-9.8	6.6	5.8	100.00	A
H1.2	A	H1.2_L	1	7	0.0	0.0	3.9	100.00	A
H2.1	A	H2.1_L	1	1	-200000.0	1000.0	75.8	100.00	A
H2.1	A	H2.1_L	1	2	-9563.0	1000.0	75.8	100.00	A
H2.1	A	H2.1_L	1	3	-6282.2	1000.0	70.0	100.00	A
H2.1	A	H2.1_L	1	4	-295.3	51.8	40.8	100.00	A
H2.1	A	H2.1_L	1	5	-32.8	10.2	9.7	100.00	A
H2.1	A	H2.1_L	1	6	-9.8	6.6	5.8	100.00	A
H2.1	A	H2.1_L	1	7	0.0	0.0	3.9	100.00	A
H2.2	A	H2.2_L	1	1	-200000.0	1000.0	75.8	100.00	A
H2.2	A	H2.2_L	1	2	-9604.4	1000.0	75.8	100.00	A
H2.2	A	H2.2_L	1	3	-6323.6	1000.0	70.0	100.00	A
H2.2	A	H2.2_L	1	4	-295.3	45.2	40.8	100.00	A
H2.2	A	H2.2_L	1	5	-32.8	3.6	9.7	100.00	A
H2.2	A	H2.2_L	1	6	-9.8	0.0	5.8	100.00	A

H2.2	A	H2.2_L	1	7	0.0	0.0	3.9	100.00	A
------	---	--------	---	---	-----	-----	-----	--------	---

Tablica I-21: Podaci o svojstvima buke za skup 1 podataka za helikoptere

NOISE_ID	THRSET_TYP	MODEL_TYPE	SPECT_APP	SPECT_DEP	SPECT_AFB
H1.0	Elisa	I	215	109	0
H1.1	Elisa	I	215	109	0
H1.2	Elisa	I	215	109	0
H2.1	Elisa	I	215	109	0
H2.2	Elisa	I	215	109	0

Tablica I-22: NPD (noise-power-data) podaci za skup 1 podataka za helikoptere

NOISE_ID	NOISE_TYPE	OP_MODE	THR_SET	L_200	L_400	L_630	L_1000	L_2000	L_4000	L_6300	L_10000	L_16000	L_25000
H1.0	M	A	80.00	81.3	75.0	70.7	66.3	59.2	51.4	45.6	39.1	31.5	23.1
H1.0	M	A	100.00	84.3	78.0	73.7	69.3	62.2	54.4	48.6	42.1	34.5	26.1
H1.0	M	D	80.00	81.3	75.0	70.7	66.3	59.2	51.4	45.6	39.1	31.5	23.1
H1.0	M	D	100.00	84.3	78.0	73.7	69.3	62.2	54.4	48.6	42.1	34.5	26.1
H1.0	S	A	80.00	82.0	78.6	76.2	73.6	69.2	64.1	60.1	55.3	49.4	42.8
H1.0	S	A	100.00	85.0	81.6	79.2	76.6	72.2	67.1	63.1	58.3	52.4	45.8
H1.0	S	D	80.00	82.0	78.6	76.2	73.6	69.2	64.1	60.1	55.3	49.4	42.8
H1.0	S	D	100.00	85.0	81.6	79.2	76.6	72.2	67.1	63.1	58.3	52.4	45.8
H1.1	M	A	80.00	86.5	80.2	75.9	71.5	64.4	56.6	50.8	44.3	36.7	28.3
H1.1	M	A	100.00	89.5	83.2	78.9	74.5	67.4	59.6	53.8	47.3	39.7	31.3
H1.1	M	D	80.00	86.5	80.2	75.9	71.5	64.4	56.6	50.8	44.3	36.7	28.3
H1.1	M	D	100.00	89.5	83.2	78.9	74.5	67.4	59.6	53.8	47.3	39.7	31.3
H1.1	S	A	80.00	87.2	83.8	81.4	78.8	74.4	69.3	65.3	60.5	54.6	48.0
H1.1	S	A	100.00	90.2	86.8	84.4	81.8	77.4	72.3	68.3	63.5	57.6	51.0
H1.1	S	D	80.00	87.2	83.8	81.4	78.8	74.4	69.3	65.3	60.5	54.6	48.0



ThoriumSoftware d.o.o.

Mobile: +385 (0) 95 8 70 50 70
 Kontakt: Dario Ilija Rendulić
 Email:
[info@thoriumsoftware.eu;](mailto:info@thoriumsoftware.eu)
direndulic@gmail.com

H1.1	S	D	100.00	90.2	86.8	84.4	81.8	77.4	72.3	68.3	63.5	57.6	51.0
H1.2	M	A	80.00	89.1	82.8	78.5	74.1	67.0	59.2	53.4	46.9	39.3	30.9
H1.2	M	A	100.00	92.1	85.8	81.5	77.1	70.0	62.2	56.4	49.9	42.3	33.9
H1.2	M	D	80.00	89.1	82.8	78.5	74.1	67.0	59.2	53.4	46.9	39.3	30.9
H1.2	M	D	100.00	92.1	85.8	81.5	77.1	70.0	62.2	56.4	49.9	42.3	33.9
H1.2	S	A	80.00	89.8	86.4	84.0	81.4	77.0	71.9	67.9	63.1	57.2	50.6
H1.2	S	A	100.00	92.8	89.4	87.0	84.4	80.0	74.9	70.9	66.1	60.2	53.6
H1.2	S	D	80.00	89.8	86.4	84.0	81.4	77.0	71.9	67.9	63.1	57.2	50.6
H1.2	S	D	100.00	92.8	89.4	87.0	84.4	80.0	74.9	70.9	66.1	60.2	53.6
H2.1	M	A	80.00	91.3	85.0	80.7	76.3	69.2	61.4	55.6	49.1	41.5	33.1
H2.1	M	A	100.00	94.3	88.0	83.7	79.3	72.2	64.4	58.6	52.1	44.5	36.1
H2.1	M	D	80.00	91.3	85.0	80.7	76.3	69.2	61.4	55.6	49.1	41.5	33.1
H2.1	M	D	100.00	94.3	88.0	83.7	79.3	72.2	64.4	58.6	52.1	44.5	36.1
H2.1	S	A	80.00	92.0	88.6	86.2	83.6	79.2	74.1	70.1	65.3	59.4	52.8
H2.1	S	A	100.00	95.0	91.6	89.2	86.6	82.2	77.1	73.1	68.3	62.4	55.8
H2.1	S	D	80.00	92.0	88.6	86.2	83.6	79.2	74.1	70.1	65.3	59.4	52.8
H2.1	S	D	100.00	95.0	91.6	89.2	86.6	82.2	77.1	73.1	68.3	62.4	55.8
H2.2	M	A	80.00	94.3	88.0	83.7	79.3	72.2	64.4	58.6	52.1	44.5	36.1
H2.2	M	A	100.00	97.3	91.0	86.7	82.3	75.2	67.4	61.6	55.1	47.5	39.1
H2.2	M	D	80.00	94.3	88.0	83.7	79.3	72.2	64.4	58.6	52.1	44.5	36.1
H2.2	M	D	100.00	97.3	91.0	86.7	82.3	75.2	67.4	61.6	55.1	47.5	39.1
H2.2	S	A	80.00	95.0	91.6	89.2	86.6	82.2	77.1	73.1	68.3	62.4	55.8
H2.2	S	A	100.00	98.0	94.6	92.2	89.6	85.2	80.1	76.1	71.3	65.4	58.8
H2.2	S	D	80.00	95.0	91.6	89.2	86.6	82.2	77.1	73.1	68.3	62.4	55.8
H2.2	S	D	100.00	98.0	94.6	92.2	89.6	85.2	80.1	76.1	71.3	65.4	58.8

Skup podataka 2 o buci i performansama helikoptera

Podaci su pruženi za tri klase helikoptera na temelju maksimalne mase pri uzljetanju:

1. Laki helikopter (LHEL) maksimalna masa pri uzljetanju < 3 000 kg
2. Srednji helikopter (LHEL) < 3 000 kg < maksimalna masa pri uzljetanju < 6 000 kg
3. Teški helikopter (THEL) maksimalna masa pri uzljetanju > 6 000 kg

Profili leta za dolazak i odlazak daju se kao fiksne točke profila. Osnovni profili leta pretpostavljaju penjanje do visine horizontalnog leta od 1 000 ft (305 m) za svaku klasu. Ako se dio horizontalnog leta pri odlasku ili dolasku lokalno razlikuje od tih vrijednosti, preporuča se prilagoditi osnovne profile kako bi se u njima odrazile lokalne okolnosti.

Tablica I-23: Skup 2 podataka za helikoptere Tablica s opisima

ACFT_ID	Opis	Tip motora (Engine TYPE)	Broj motora	Klasifikacija po masi	Kategorija vlasnika	MGTOW (lb)	MGLW (lb)	Maksimalna duljina za slijetanje(ft)	Maksimalni statički potisak na razini mora (lb)	Poglavlje o buci	NPD oznaka (NPD_ID)	Parametar snage	Identifikator spektralne klase za prilaz	Identifikator spektralne klase za odlet	Oznaka lateralne usmjerenosti
LHEL	Helikopteri s maksimalnom masom pri uzljetanju <= 1 t	Turboeljni	0	0	Helikopter	0	0	0	100	0	LHEL	Snaga na osovini (% maksimalnog statičkog potiska)	215	112	Elisa
MHEL	Helikopteri s maksimalnom masom pri uzljetanju 1-3 t	Turboeljni	0	0	Helikopter	0	0	0	100	0	MHEL	Snaga na osovini (% maksimalnog statičkog potiska)	215	112	Elisa
THEL	Helikopteri s maksimalnom masom pri uzljetanju 3-5 t	Turboeljni	0	0	Helikopter	0	0	0	100	0	THEL	Snaga na osovini (% maksimalnog statičkog potiska)	215	112	Elisa

Tablica I-24: Skup 2 podataka za helikoptere Profili za odlazak

ACFT_ID	Tip operacije	Oznaka profila	Duljina faze	Broj točke	Udaljenost (ft)	Visina (ft)	Stvarna brzina (kt)	Korigirani neto potisak (%)	Režim rada
LHEL	D	DEFAULT	1	1	0	0	1	50	X
LHEL	D	DEFAULT	1	2	10	0	3	50	X
LHEL	D	DEFAULT	1	3	20	16	5	50	X
LHEL	D	DEFAULT	1	4	102	16	5	60	D
LHEL	D	DEFAULT	1	5	561	30	50	60	D
LHEL	D	DEFAULT	1	6	2297	515	70	60	D
LHEL	D	DEFAULT	1	7	4032	1001	90	70	D
LHEL	D	DEFAULT	1	8	7014	1001	100	70	D
LHEL	D	DEFAULT	1	9	10000	1001	110	70	D
MHEL	D	DEFAULT	1	1	0	0	1	50	D
MHEL	D	DEFAULT	1	2	10	0	2	50	D

MHEL	D	DEFAULT	1	3	20	16	3	50	D
MHEL	D	DEFAULT	1	4	102	16	30	50	D
MHEL	D	DEFAULT	1	5	561	30	60	50	D
MHEL	D	DEFAULT	1	6	4032	1001	65	75	D
MHEL	D	DEFAULT	1	7	6785	1001	100	75	D
MHEL	D	DEFAULT	1	8	10000	1001	126	75	D
THEL	D	DEFAULT	1	1	0	0	1	100	X
THEL	D	DEFAULT	1	2	10	0	2	100	X
THEL	D	DEFAULT	1	3	20	16	3	50	D
THEL	D	DEFAULT	1	4	102	16	30	50	D
THEL	D	DEFAULT	1	5	1001	151	60	50	D
THEL	D	DEFAULT	1	5	4679	1000	65	75	D
THEL	D	DEFAULT	1	5	6681	1000	83	75	D
THEL	D	DEFAULT	1	5	8679	1000	100	75	D
THEL	D	DEFAULT	1	5	13679	1000	113	75	D
THEL	D	DEFAULT	1	5	18679	1000	126	75	D

Tablica I-25: Skup 2 podataka za helikoptere Profili za dolazak

ACFT_ID	Tip operacije	Oznaka profila	Duljina faze	Broj točke	Udaljenost (ft)	Visina (ft)	Stvarna brzina (kt)	Korigirani neto potisak (%)	Režim rada
LHEL	D	DEFAULT	1	3	-50003	1000	115	70	X
LHEL	D	DEFAULT	1	4	-9332	1000	113	70	X
LHEL	D	DEFAULT	1	5	-6340	686	110	80	A
LHEL	D	DEFAULT	1	6	-4029	443	95	80	A
LHEL	D	DEFAULT	1	7	-1686	197	80	80	A
LHEL	D	DEFAULT	1	8	-843	108	60	80	A



ThoriumSoftware d.o.o.

Mobile: +385 (0) 95 8 70 50 70
 Kontakt: Dario Ilija Rendulić
 Email:
[info@thoriumsoftware.eu;](mailto:info@thoriumsoftware.eu)
direndulic@gmail.com

LHEL	D	DEFAULT	1	9	0	20	5	80	A
LHEL	D	DEFAULT	1	9	102	0	3	80	A
LHEL	D	DEFAULT	1	9	121	0	1	80	A
MHEL	D	DEFAULT	1	2	-40229	1000	135	75	X
MHEL	D	DEFAULT	1	3	-36322	1000	123	75	X
MHEL	D	DEFAULT	1	4	-32411	1000	112	75	X
MHEL	D	DEFAULT	1	5	-28504	1000	100	75	X
MHEL	D	DEFAULT	1	6	-22145	1000	90	75	X
MHEL	D	DEFAULT	1	7	-15784	1000	80	75	X
MHEL	D	DEFAULT	1	8	-9426	1000	70	75	X
MHEL	D	DEFAULT	1	8	-5153	551	60	60	A
MHEL	D	DEFAULT	1	8	-750	89	50	60	A
MHEL	D	DEFAULT	1	8	-62	16	20	60	A
MHEL	D	DEFAULT	1	8	0	10	5	60	A
MHEL	D	DEFAULT	1	8	102	0	2	60	A
MHEL	D	DEFAULT	1	8	121	0	1	60	A
MHEL	D	DEFAULT	1	8	-40229	1000	135	75	X
MHEL	D	DEFAULT	1	8	-36322	1000	123	75	X
MHEL	D	DEFAULT	1	8	-32411	1000	112	75	X
MHEL	D	DEFAULT	1	8	-28504	1000	100	75	X
MHEL	D	DEFAULT	1	8	-22145	1000	90	75	X
MHEL	D	DEFAULT	1	8	-15784	1000	80	75	X
MHEL	D	DEFAULT	1	8	-9426	1000	70	75	X

MHEL	D	DEFAULT	1	8	-5153	551	60	60	A
MHEL	D	DEFAULT	1	8	-750	89	50	60	A
MHEL	D	DEFAULT	1	8	-62	16	20	60	A
MHEL	D	DEFAULT	1	8	0	10	5	60	A
MHEL	D	DEFAULT	1	8	102	0	2	60	A
MHEL	D	DEFAULT	1	8	121	0	1	60	A

Tablica I-26: Podaci o svojstvima buke za skup 2 podataka za helikoptere

NOISE_ID	THRSET_TYP	MODEL_TYPE	SPECT_APP	SPECT_DEP	SPECT_AFB
LHEL	P	I	215	109	0
MHEL	P	I	215	109	0
THEL	P	I	215	109	0

Tablica I-27: NPD (noise-power-data) podaci za tri klase helikoptera

NPD oznaka	Oznaka za opis buke	Režim rada motora	Operativni način	L_200ft	L_400ft	L_630ft	L_1000ft	L_2000ft	L_4000ft	L_6300ft	L_10000ft	L_16000ft	L_25000ft
LHEL	MAX	80	A	84.6	79.1	75.7	71.6	65.8	60.1	56	48.8	41.6	34.4
LHEL	MAX	70	X	88.4	82.9	79.5	75.6	70.3	65	61.6	55.4	49.2	43
LHEL	MAX	60	D	83.6	78.2	75.1	70.3	66.5	61.7	58.9	53.3	47.7	42.1
LHEL	MAX	50	S	91.7	85.3	81.5	76.5	69.4	61.5	56.5	49.6	42.7	35.8
LHEL	SEL	80	A	90.5	87.1	84.9	82.1	77.6	72.1	67.9	62.4	56.9	51.4
LHEL	SEL	70	X	90.4	87	84.7	81.9	77.5	72	68.1	62.9	57.7	52.5
LHEL	SEL	60	D	85.9	82.5	80.4	77.7	73.4	68.4	64.6	59.6	54.6	49.6
LHEL	SEL	50	S	85.9	82.5	80.4	77.7	73.4	68.4	64.6	59.6	54.6	49.6
MHEL	MAX	50	D	91.8	85.2	80.6	75.7	67.5	58.1	51.2	42.6	34	25.4
MHEL	MAX	60	A	90.2	83.9	80	75.3	68.4	60.9	55.8	49.5	43.2	36.9

MHEL	MAX	75	X	92.4	86	82	77.2	70	62.3	57.1	50.8	44.5	38.2
MHEL	SEL	50	D	91.2	87.2	84.8	80.8	75	68.1	63.7	57.6	51.5	45.4
MHEL	SEL	60	A	94.2	90.1	88.1	84.7	80	74.7	71.3	66	60.7	55.4
MHEL	SEL	75	X	89.3	85.3	82.8	78.9	73.1	66.6	62.6	57	51.4	45.8
THEL	MAX	50	D	91.2	85.2	81.7	76.3	68.8	60.4	54.9	46	37.1	28.2
THEL	MAX	60	A	90	84.1	80.7	75.5	68.5	60.6	55.3	48	40.7	33.4
THEL	MAX	75	X	92.4	86.4	82.9	77.5	70.1	61.6	55.7	48.1	40.5	32.9
THEL	MAX	100	S	100.2	93.8	90.3	84.9	77.5	69.3	64.3	56.5	48.7	40.9
THEL	SEL	50	D	92.8	89.3	87.4	84	79.2	73.5	69.6	63.7	57.8	51.9
THEL	SEL	60	A	91.6	88.2	86.4	83.2	78.8	73.7	70	64.7	59.4	54.1
THEL	SEL	75	X	94	90.5	88.6	85.2	80.5	74.7	70.4	64.8	59.2	53.6
THEL	SEL	100	S	92.8	89.3	87.4	84	79.2	73.5	69.6	63.7	57.8	51.9

PRILOG III.

Tablica 1. Boje za prikaz ocjenskih razina buke u grafičkim dijelovima karata buke i akcijskih planova

Ocjenska razina LR/dB(A)	Naziv boje	Oznaka boje prema DIN 6164, Dio 1 T:S:D	Odgovarajuća boja u registru boja
LR ≤ 35	svijetlo- zelena	22,9:2,0:1,3	RAL 6019
35 < LR ≤ 40	zelena	23,0:7,3:3,1	RAL 6018
40 < LR ≤ 45	tamno- zelena	20,8:6,2:5,2	RAL 6016

45 < LR ≤ 50	žuta	24,8:5,9:0,7	RAL 1016
50 < LR ≤ 55	oker	2,8:4,3:2,9	RAL 1011
55 < LR ≤ 60	pastelno-narančasta	5,1:6,0:1,1	RAL 2003
60 < LR ≤ 65	crvena	7,4:8,6:2,0	RAL 3020 – F 81
65 < LR ≤ 70	rubinsko-crvena	7,8:8,9:3,6	RAL 3003
70 < LR ≤ 75	purpurna	10,3:5,7:3,9	RAL 4006 – F 81
75 < LR ≤ 80	svijetlo-plava	17,3:4,4:2,2	RAL 5012
80 < LR	tamno-plava	17,3:5,7:4,0	RAL 5019

Tablica 2. Boje za prikaz razlika razina buke u grafičkim dijelovima konfliktnih karata buke

Razlika razina ΔL/dB(A)	Naziv boje	Oznaka boje prema DIN 6164, Dio 1 T:S:D	Odgovarajuća boja u registru boja
ΔL ≤ -9	svijetlo-zelena	22,9:2,0:1,3	RAL 6019
-9 < ΔL ≤ -6	zelena	23,0:7,3:3,1	RAL 6018
-6 < ΔL ≤ -3	tamnozelena	20,8:6,2:5,2	RAL 6016
-3 < ΔL ≤ 0	žuta	24,8:5,9:0,7	RAL 1016
0 < ΔL ≤ 3	oker	2,8:4,3:2,9	RAL 1011



ThoriumSoftware d.o.o.

Mobile: +385 (0) 95 8 70 50 70
Kontakt: Dario Ilija Rendulić
Email:
info@thoriumsoftware.eu;
direndulic@gmail.com

$3 < \Delta L \leq 6$	pastelno-narančasta	5,1:6,0:1,1	RAL 2003
$6 < \Delta L \leq 9$	crvena	7,4:8,6:2,0	RAL 3020 — F 81
$9 < \Delta L \leq 12$	rubinsko-crvena	7,8:8,9:3,6	RAL 3003
$12 < \Delta L \leq 15$	purpurna	10,3:5,7:3,9	RAL 4006 — F 81
$15 < \Delta L \leq 18$	svijetloplava	17,3:4,4:2,2	RAL 5012
$18 < \Delta L$	tamnoplava	17,3:5,7:4,0	RAL 5019

PRILOG III

METODE PROCJENE ŠTETNIH UČINAKA

1. Skup štetnih učinaka

Za potrebe procjene štetnih učinaka razmatra se sljedeće:

- ishemijска болест srca (IHD) koja odgovara šiframa od BA40 do BA6Z prema međunarodnoj klasifikaciji ICD-11 koju je utvrdila Svjetska zdravstvena organizacija,
- visoka razina smetanja (HA),
- ozbiljan poremećaj sna (HSD).

2. Izračun štetnih učinaka

Za izračun štetnih učinaka koristi se jedno od sljedećeg:

- relativni rizik (RR) od štetnog učinka definiran kao

$$RR = \left(\frac{\begin{array}{c} Vjerojatnost pojave štetnog učinka \\ među stanovništvom izloženim \\ određenoj razini buke iz okoliša \end{array}}{\begin{array}{c} Vjerojatnost pojave štetnog učinka \\ među stanovništvom koje nije izloženo \\ buci iz okoliša \end{array}} \right)$$

(formula 1.)

- apsolutni rizik (AR) od štetnog učinka definiran kao

$$AR = \left(\frac{\begin{array}{c} Pojava štetnog učinka \\ među stanovništvom izloženim \end{array}}{\begin{array}{c} određenoj razini buke iz okoliša \end{array}} \right)$$

(formula 2.)

2.1. IHD

Za izračun RR-a s obzirom na štetni učinak IHD-a i u odnosu na stopu učestalosti i., koristi se sljedeći odnos doza-učinak:

$$RR_{IHD,i,road} = \begin{cases} e^{[(\ln(1.08)/10) * (L_{den} - 53)]} & \text{za } L_{den} \text{ veći od } 53 \text{ dB} \\ 1 & \text{za } L_{den} \text{ manji od ili jednak } 53 \text{ dB} \end{cases} \quad (\text{formula 3.})$$

za buku od cestovnog prometa.

2.2. HA

Za izračun AR-a s obzirom na štetni učinak HA-a, koristi se sljedeći odnos doza-učinak:

$$AR_{HA,road} = \frac{(78,9270 - 3,1162 * L_{den} + 0,0342 * L_{den}^2)}{100} \quad (\text{formula 4.})$$

za buku od cestovnog prometa;

$$AR_{HA,rail} = \frac{(38,1596 - 2,05538 * L_{den} + 0,0285 * L_{den}^2)}{100} \text{ (formula 5.)}$$

za buku od željezničkog prometa;

$$AR_{HA,air} = \frac{(-50,9693 + 1,0168 * L_{den} + 0,0072 * L_{den}^2)}{100} \text{ (formula 6.)}$$

za buku od zrakoplovnog prometa.

2.3. HSD

Za izračun AR-a s obzirom na štetni učinak HSD-a, koristi se sljedeći odnos doza-učinak:

$$AR_{HSD,road} = \frac{(19,4312 - 0,9336 * L_{night} + 0,0126 * L_{night}^2)}{100} \text{ (formula 7.)}$$

za buku od cestovnog prometa;

$$AR_{HSD,rail} = \frac{(67,5406 - 3,1852 * L_{night} + 0,0391 * L_{night}^2)}{100} \text{ (formula 8.)}$$

za buku od željezničkog prometa;

$$AR_{HSD,air} = \frac{(16,7885 - 0,9293 * L_{night} + 0,0198 * L_{night}^2)}{100} \text{ (formula 9.)}$$

za buku od zrakoplovnog prometa.

3. Procjena štetnih učinaka

3.1. Izloženost stanovništva procjenjuje se neovisno za svaki izvor buke i štetni učinak. Ako su iste osobe istodobno izložene različitim izvorima buke, štetni učinci u pravilu se ne smiju zbrajati. Međutim, ti se učinci mogu usporediti radi procjene relativne važnosti svakog izvora buke.

3.2. Procjena za IHD

3.2.1. Kad je riječ o IHD-u u slučaju buke od željezničkog i zrakoplovnog prometa, procjenjuje se da je stanovništvo koje je izloženo razinama L_{den} iznad primjerenih podložno povećanom riziku od IHD-a, premda točan broj N slučajeva IHD-a nije moguće izračunati.

3.2.2. Kad je riječ o IHD-u u slučaju buke od cestovnog prometa, udio slučajeva konkretnoga štetnog učinka uzrokovanih bukom iz okoliša među stanovništvom izloženim RR-u koji se izračunava, gdje je izvor buke x (cestovni promet), štetni učinak y (IHD) i učestalost i , izvodi se pomoću sljedeće formule:

$$PAF_{x,y} = \left(\frac{\sum_j [p_j \cdot (RR_{j,x,y} - 1)]}{\sum_j [p_j \cdot (RR_{j,x,y} - 1)] + 1} \right) \text{ (formula 10.)}$$

pri čemu:

- $PAF_{x,y}$ je udio koji se može pripisati stanovništvu,
- skup frekvencijskih pojaseva buke j čine pojedinačni pojasevi koji obuhvaćaju raspon od najviše 5 dB (npr.: 50–51 dB, 51–52 dB, 52–53 dB itd. ili 50–54 dB, 55–59 dB, 60–64 dB itd.),
- p_j je udio ukupnog stanovništva P u području obuhvaćenom procjenom koje je izloženo pojasu izloženosti j , koji se povezuje s danim RR-om od konkretnoga štetnog učinka $RR_{j,x,y}$. $RR_{j,x,y}$ izračunava se upotrebom formula opisanih u točki 2. ovog Priloga,

izračunano za srednju vrijednost svakog frekvenčijskog pojasa buke (npr.: ovisno o raspoloživim podacima, 50,5 dB za pojas buke raspona 50–51 dB odnosno 52 dB za pojas buke raspona 50–54 dB).

3.2.3. Kad je riječ o IHD-u u slučaju buke od cestovnog prometa, ukupni broj N slučajeva IHD-a (osobe pogodene štetnim učinkom y; broj slučajeva koji se mogu pripisati štetnom učinku) uzrokovanih izvorom x je:

$$N_{x,y} = PAF_{x,y,i} * I_y * P \text{ (Formula 11)}$$

za cestovni promet.

pri čemu:

- $PAF_{x,y,i}$ izračunava se za učestalost i,
- I_y je stopa učestalosti IHD-a u području obuhvaćenom procjenom, koja se može dobiti iz statističkih podataka o zdravlju za regiju ili zemlju u kojoj se predmetno područje nalazi,
- P je ukupno stanovništvo u području obuhvaćenom procjenom (zbroj stanovništva izloženog različitim frekvenčijskim pojasevima buke).

3.3. Kad je riječ o HA-u i HSD-u u slučaju buke od cestovnog, željezničkog i zrakoplovnog prometa, ukupni broj N osoba pogodenih štetnim učinkom y (broj slučajeva koji se mogu pripisati štetnom učinku) uzrokovanih izvorom x, za svaku kombinaciju izvora buke x (izvor u cestovnom, željezničkom ili zrakoplovnom prometu) i štetnog učinka y (HA, HSD), tada je:

$$N_{x,y} = \sum_j [n_j * AR_{j,x,y}] \text{ (formula 12.)}$$

pri čemu:

- $AR_{x,y}$ je AR relevantnog štetnog učinka (HA, HSD), a izračunava se upotrebom formula iz točke 2. ovog Priloga, izračunano za srednju vrijednost svakog frekvenčijskog pojasa buke (npr.: ovisno o raspoloživim podacima, 50,5 dB za pojas buke raspona 50–51 dB odnosno 52 dB za pojas buke raspona 50–54 dB),
- n_j je broj osoba izloženih pojusu izloženosti j.

4. Buduće revizije

Odnosi doza-učinak koji se uvedu budućim revizijama ovog Priloga posebno će se odnositi na sljedeće:

- odnos između sметanja i L_{den} za buku industrijskih pogona i postrojenja,
- odnos između poremećaja sna i L_{night} za buku industrijskih pogona i postrojenja.

Prema potrebi mogu se prikazati posebni odnosi doza-učinak za:

- brojem stambenih jedinica za stalno stanovanje s posebnom zvučnom izolacijom kako je definirano propisima kojima se uređuje područje zaštite od buke,
- brojem stambenih jedinica za stalno stanovanje s tihom fasadom kako je definirano propisima kojima se uređuje područje zaštite od buke,
- različitim meteorološkim prilikama,
- različitim socio-kulturološkim navikama,
- stanovništvom posebno osjetljivim na buku,
- tonalnom i impulsnom komponentom buke industrijskih pogona i postrojenja.

PRILOG V.

PODACI KOJI SE DOSTAVLJAJU EUROPSKOJ KOMISIJI

Europskoj komisije dostavljaju se sljedeći podaci:

1. Za naseljena područja
 - 1.1. Sažeti opis naseljenog područja: položaj, veličina, broj stanovnika.
 - 1.2. Nadležno tijelo.
 - 1.3. Programi kontrole buke koji su provedeni u prošlosti i mjere protiv buke u tijeku.
 - 1.4. Metode proračuna ili mjerena koje su se koristila.
 - 1.5. Procijenjeni broj ljudi (u stotinama) koji žive u stambenim jedinicama za stalno stanovanje koji su izloženi svakom od sljedećih pojasa vrijednosti L_{den} u dB, na visini 4 m iznad tla na fasadi najizloženijoj buci: 55-59, 60-64, 65-69, 70-74, > 75, odvojeno za buku od cestovnog, pružnog ili zračnog prometa i od industrijskih izvora. Brojke se moraju zaokružiti na najbližu stoticu (npr. 5.200 = između 5.150 i 5.249; 100 = između 50 i 149; 0 = manje od 50).

Osim toga, treba navesti, gdje je to prikladno i gdje je takav podatak dostupan, koliko ljudi u gore navedenim kategorijama živi u stambenim jedinicama za stalno stanovanje koji imaju:

- posebnu izolaciju od predmetne buke, što znači posebnu izolaciju zgrade od jedne ili više vrsta buke okoliša, kombinirane s takvim ventilacijskim ili uređajima za kondicioniranje zraka da se mogu održati visoke vrijednosti izolacije od buke okoliša,
- tiha fasada označava fasadu stana gdje je vrijednost L_{den} , mjerena četiri metra iznad tla i dva metra ispred fasade, za buku emitiranu iz specifičnog izvora, za više od 20 dB niža nego na fasadi koja ima najvišu vrijednost L_{den} .

Također bi trebalo navesti koliko gore navedenom pridonose glavne ceste, glavne željezničke pruge i glavne zračne luke.

1.6. Procijenjeni ukupni broj ljudi (u stotinama) koji žive u stambenim jedinicama za stalno stanovanje koji su izloženi svakom od sljedećih pojaseva vrijednosti L_{night} u dB, mjereno 4 m iznad tla, na fasadi najizloženijoj buci: 50-54, 55-59, 60-64, 65-69, > 70, odvojeno za cestovni, željeznički i zračni promet i industrijske izvore.

Ovi se podaci također mogu utvrditi i za pojas vrijednosti 45-49).

Osim toga, treba navesti, gdje je to prikladno i gdje je takav podatak dostupan, koliko ljudi u gore navedenim kategorijama živi u stambenim jedinicama za stalno stanovanje koji imaju:

- posebnu izolaciju od predmetne buke, kako je definirano u stavku 1.5.,
- tihu fasadu, kako je definirano u stavku 1.5.

Također se mora navesti koliko gornjemu doprinose glavne ceste, glavne željezničke pruge i glavne zračne luke.

1.7. U slučaju grafičkog prikazivanja, strateške karte buke moraju pokazati barem konture od 60, 65, 70 i 75 dB.

1.8. Sažetak akcijskog plana na najviše deset stranica koji obuhvaća sve značajne aspekte iz članka 31. ovoga Pravilnika.

2. Za glavne ceste, glavne željezničke pruge i glavne zračne luke

2.1. Opći opis cesta, željezničkih pruga ili zračnih luka: položaj, veličina i podaci o prometu.

2.2. Karakteristike njihovog okoliša: naseljena područja, sela, prirode ili drugo, podaci o korištenju zemljišta, drugi glavni izvori buke.

2.3. Programi kontrole buke koji su bili provedeni u prošlosti i mjere protiv buke koje su u tijeku.

2.4. Metode proračuna ili mjerena koje su se koristile.

2.5. Procijenjeni ukupni broj ljudi (u stotinama) koji žive izvan naseljenih područja u stambenim jedinicama za stalno stanovanje koji su izloženi svakom od sljedećih pojasa vrijednosti Lden u dB, mjereno 4 m iznad tla i na fasadi najizloženijoj buci: 55-59, 60-64, 65-69, 70-74, > 75.

Osim toga, treba navesti, gdje je to prikladno i gdje je takav podatak dostupan, koliko ljudi u gore navedenim kategorijama živi u stambenim jedinicama za stalno stanovanje koji imaju:

- posebnu izolaciju od predmetne buke, kako je definirano u stavku 1.5.,
- tihu fasadu, kako je definirano u stavku 1.5.

2.6. Procijenjeni ukupni broj ljudi (u stotinama) koji žive izvan naseljenog područja u stambenim jedinicama za stalno stanovanje koji su izloženi svakom od sljedećih pojasa vrijednosti Lnighit u dB, mjereno 4 m iznad tla i na fasadi najizloženijoj buci: 50-

54, 55-59, 60-64, 65-69, > 70. Ovi se podaci također mogu procijeniti za pojase vrijednosti 45-49, prije datuma utvrđenog u članku 11.(1).

Osim toga, treba navesti, gdje je to prikladno i gdje je takav podatak dostupan, koliko ljudi u gore navedenim kategorijama živi u stambenim jedinicama za stalno stanovanje koji imaju:

- posebnu izolaciju od predmetne buke, kako je definirano u stavku 1.5.,
- tihu fasadu, kako je definišano u stavku 1.5.

2.7. Ukupno područje (u km²) izloženo vrijednostima Lden većima od 55, 65 odnosno 75 dB.

Također treba navesti procijenjeni ukupni broj stanova (u stotinama) i procijenjeni ukupni broj ljudi (u stotinama) koji žive u svakom od tih područja. Ove brojke moraju uključivati naseljena područja.

Konture od 55 i 65 dB također se moraju prikazati na jednoj ili više karata koje daju podatak o položaju sela, gradova i naseljenih područja unutar tih kontura.

2.8. Sažetak akcijskog plana na najviše deset stranica koji obuhvaća sve značajne aspekte iz članka 31. ovoga Pravilnika.